MITTEILUNGEN
DER VEREINIGUNG DER GROSSKESSELBETREIBER

INHALTSVERZEICHNIS

DER
HEFTE 1—6
49. JAHRGANG (1969)

DIE FOTOS DER VERFASSER FINDEN SIE AUF DEN SEITEN 3 BIS 8

In den sechs Heften des Jahrganges 49 sind enthalten:

Heft	1	2	3	4	5	6
Seiten	1—72	73—144	145—218	219—298	299—366	367—460

Verfasserverzeichnis 1969

AD, Mitteilungen der Arbeitsgemeinschaft Druckbehälter *49:* 214; 296

Arnold, K.-H., und Martinola, F., Der Kieselsäureschlupf in Entsalzungsanlagen *49:* 454

Baumann, K., Beziehung zwischen Warmfestigkeit und Werkstoffkosten von Heißdampfleitungs- und Überhitzerrohren *49:* 359/360

—, siehe Dangl, K.

Baumgarte, H., und Strohdeicher, R., Stand der Entwicklung kleiner Hochdruck-Industriedampfkessel sowie großer Heizungskessel *49:* 99–106

Becker, R., Planung und Stand der Arbeiten des Kernkraftwerkes Würgassen *49:* 455

Beetz, E., und Grünwald, R., Zehnmonatige Betriebserfahrung mit einem ungebeizten Kraftwerksblock *49:* 453/454

Berg, H., Über die Aufnahme organischer Stoffe und anorganischer Anionen in Oberflächenwasser durch makroporöse Anionenaustauscher *49:* 132–143

Blaschke, R., Kirsch, H., und Ottemann, J., Morphologie der Magnetitschutzschichten und ihre Auswirkungen auf die Druckverhältnisse im Kessel *49:* 453

Bohnsack, G., Phosphorsäure im Dampf *49:* 454

Born, K., Werkstoffzähigkeit und Bauteilsicherheit *49:* 359

Brandt, J., und Linke, G., Gerüstlose Industriedampfkessel für große Dampfleistungen *49:* 269–274

Brandel, A., und Forest, G., Zerstörungsfreie gammagraphische Untersuchungen von wasser-/dampfseitigen Korrosionen und Ablagerungen an Kesselrohren *49:* 453

Brünecke, E., Über Planung und Bewährung der 300-MW-Blockkraftwerke im Braunkohlengebiet *49:* 226–243

Brunner, R., Organische Chlorverbindungen in Regenerationssalzsäure *49:* 122–126

Bublitz, D., Das Problem der Schallminderung bei Kraftwerksanlagen *49:* 73–79

Bürger, R., Entwicklungsstand und Erfahrungen mit Braunkohlenstaubfeuerungen *49:* 153–164

Capitaine, D., Stoffels, P. H., und Jentzsch, W., Der Einsatz von Abhitzekesseln und einige Konstruktionsmerkmale *49:* 165–173

Class, I., Kautz, H. R., und Gerlach, H., Austenitische Chrom-Nickel-Stähle *49:* 360

Class, G., Die Löslichkeit der Kieselsäure in Wasser und Wasserdampf *49:* 37–43

Dangl, K., Baumann, K., Ruttmann, W. †, und Gayer, P., Erfahrungen mit austenitischen Formstücken und Armaturen *49:* 361

DDA, Mitteilungen des Deutschen Dampfkesselausschusses *49:* 70; 363

DEBRIV, siehe VGB

Dibelius, G., Technische und wirtschaftliche Beurteilung verschiedener Baulinien von Kernkraftwerken *49:* 367–375

Diehl, H., Betriebsmäßige Erprobung eines neuentwickelten Leistungsbrenners für ölgefeuerte Dampfkesselanlagen *49:* 93–98

Elshout, A. J., Der Einfluß von MgO auf chemische Reaktionen von Ablagerungen im Hochtemperaturbereich ölgefeuerter Großkessel *49:* 182–190

Ertl, D., Stand und Entwicklung von Elektroentstaubern für Großkraftwerke *49:* 173–179

Ewald, J., siehe Kußmaul, K.

Fehndrich, W., Verschleißuntersuchungen an Kesselrohren *49:* 58–70

Forest, G., siehe Brandel, A.

Freier, R., Deckschichtbildung auf Stahl durch Sauerstoff in neutralem, salzfreiem Wasser *49:* 453

Gayer, P., siehe Dangl, K.

Gerlach, H., siehe Class, I.

Grünwald, R., siehe Beetz, E.

Haase, M., Einfluß der Wärme-Kraft-Kopplung auf die Kraftwerkstechnik *49:* 312–319

Hammer, H., Ein Beitrag zur Auslegung von Heizkraftanlagen *49:* 210–213

Hansen, W., Maßnahmen gegen Niedertemperaturkorrosionen an ölgefeuerten Dampferzeugern *49:* 440–448

Henjes, G., Spannungsverhältnisse an 30 Kesseltrommeln der Baujahre 1939 bis 1961 *49:* 281–296

—, Spannungsverhältnisse an zwei Kesseltrommeln und einem Überhitzersammler sowie deren Einfluß auf die künftige Betriebsweise *49:* 336–344

Jahn, E., Die Verwendung längsnahtgeschweißter Rohre im Kesselbau *49:* 361

Jentzsch, W., siehe Capitaine, D.

Kautz, H. R., siehe Class, I.

Kelp, F., Über Erfahrungen mit Speisewasser-Hochdruckvorwärmern der Sammlerbauweise *49:* 417–429

Kerpes, O., Glas-Luftvorwärmer im Einsatz bei drei Stadtgasspaltanlagen mit einer Kapazität von 1,5 Mill. Nm³ Stadtgas je Tag 49: 208–210
Kessler, G. W., Die Entwicklung von Dampferzeugern in den Vereinigten Staaten von Nordamerika 49: 244–262
Kirsch, H., siehe Blaschke, R.
Klotz, H., Stand von Konstruktion und Berechnung der Fundamente für große Turbosätze 49: 456
Klump, W., Einige praktische Kniffe bei der Reinigung basischer Anionenmassen 49: 362
Knatz, H., siehe Schäfer, H.
Koch, H., Folgerungen aus dem bisherigen Betrieb des Kraftwerkes Scholven für zukünftige Planungen 49: 304–312
Köhle, H., siehe Schoch, W.
Kornbichler, H., Vergleichende Betrachtung über Konstruktion, Werkstoff, Verarbeitung und Prüfung bei Kernkraftwerken und konventionellen Kraftwerken 49: 375–384
Krolewski, H., Über die bauliche Gestaltung von Anlagen zu großen Kühlwassernutzungen 49: 455/456
Kußmaul, K., Beobachtungen an Hochleistungskesseltrommeln 49: 113–122
—, Werkstoff- und Herstellungsfehler in Rohren, Rohrbögen und Schmiedestücken 49: 361
—, und Ewald, J., Beitrag zur Diskussion über die Ringprobe an nahtlosen Rohren 49: 410–417

Laufhütte, D. W., Betriebliche Erfahrungen mit registrierenden Staubmeßgeräten zur Dauerüberwachung von Staubemissionen 49: 15–23
Lehr, K., siehe Wellinger, K.
Leikert, K., Konstruktive Merkmale von Kohlenstaubfeuerungen für große Dampferzeuger 49: 274–280
Lenz, W., Der heutige Entwicklungsstand der Ölfeuerungen für große Kessel 49: 86–92
Linke, G., siehe Brandt, J.
Linzer, V., Beanspruchung eines Flossenrohres durch äußere Kräfte 49: 429–433
Löffel, H., Schwere Betriebsstörungen durch Säureeinbruch in die Kraftwerks-Kesselanlage der Duisburger Kupferhütte 49: 454

Martinola, F., siehe Arnold, K.-H.
Masthoff, G., und Möller, H. G., Erfahrungen mit Korrosionserscheinungen an einem Kühlwasserkreislauf 49: 44–50
Möller, H. G., siehe Masthoff, G.
Müller, E. O., siehe Schinn, R.
Mußmann, E. P., Erfahrungen mit geschweißten Y-Stücken 49: 361
Mutke, R., Beispiele für die Verschiedenartigkeit von Dampferzeugern für konventionelle Kraftwerke und für Kernkraftwerke 49: 145–153

Orth, G., Möglichkeiten der Kostensenkung im Bauteil konventioneller Kraftwerke 49: 385–393
Ottemann, J., siehe Blaschke, R.

Peters, H. L., Konstruktive Gestaltung großer Naturzug-Kühltürme in Schalenbauweise 49: 456
Pfender, M., Vom Wagnis des Ingenieur-Berufs 49: 221

Resch, G., Gegenwärtiger Stand der mechanischen Kondensatfiltration in der Bundesrepublik Deutschland 49: 127–132
—, Einfluß der Sauerstoff-Konzentration auf die Beständigkeit von Stahl in wäßrigen Lösungen 49: 453
Richter, R., siehe Schoch, W.
Ruttmann, W. †, siehe Dangl, K.

Schäfer, H., und Knatz, H., Neuere Versuchsergebnisse auf dem Gebiete der Ascheverwertung 49: 28–36
Scheurer, F., Die schrittweise Entwicklung zu 600-MW-Kraftwerksblöcken der Elektricité de France 49: 299–304
Schieferstein, U., siehe Schinn, R.
Schinn, R., Müller, E. O., und Schieferstein, U., Warmfeste 12prozentige Chromstähle unter besonderer Berücksichtigung von großen Guß- und Schmiedestücken 49: 360/361
Schoch, W., Stähle für Temperaturen unter 400°C 49: 360
—, Richter, R., und Köhle, H., Untersuchungen über Druckverlustanstieg und Magnetbildung an einem Benson-Kessel mit überkritischem Druck 49: 202–208
Schöllhammer, F., Brand in dem Elektronikraum des Kraftwerkes Pleinting 49: 106–112
Schreck, F., Betriebserfahrungen mit gebeizten und ungebeizten Großkesseln gleicher Bauart 49: 453
Schroeder, H. J., Chemie im Kernkraftwerk mit Siedewasserreaktor – Erfahrungen im Kernkraftwerk Gundremmingen 49: 454
Seidel, S., Der Einfluß des Baugrundes auf die Gestaltung der Bauwerke 49: 455
Starke, G., Planung und Stand der Arbeiten des Kernkraftwerkes Stade 49: 455
Stönner, A., Einfluß von reduzierender Rauchgasatmosphäre auf die Korrosion von Brennkammerrohren 49: 180–182
Stoffels, P. H., siehe Capitaine, D.
Strohdeicher, R., siehe Baumgarte, H.
Styrikowitsch, M. A., Stand der Kraftwerkstechnik in der UdSSR 49: 179

Trenkler, H., Spitzenlast-Dampferzeuger 49: 393–410

Uetz, H., Strahlverschleiß 49: 50–57
Ulrich, E., Über den Sicherheitsbegriff in der Festigkeitslehre, Teil I 49: 351–359
—, —, Teil II: Langzeitsicherheit 49: 433–439

Vetter, H., Vergleichende Dauerbetriebserprobung von Staubdichtemeßgeräten hinter Braunkohlenfeuerungen 49: 23–27
VGB und DEBRIV, Nichtverfügbarkeit von Braunkohlenkesseln 49: 346–351
Voß, S., Stand und Entwicklungstendenzen von Bekohlungsanlagen für moderne Großkraftwerke 49: 80–85

Wegner, A., Messung von Dampf- und Rohrwandtemperatur in rauchgasbeheizten Zwischenüberhitzerrohren zur Feststellung von Rohrwandübertemperaturen 49: 325–336
Wellinger, K., Beanspruchung und Werkstoff 49: 359
—, und Lehr, K., Zur spannungsinduzierten Korrosion wasserberührter Kesselteile 49: 190–201
Wickert, K., Versuche zur Bildung von $FeCl_2$ und $FeCl_3$ aus Fe, Fe_3O_4, Fe_2O_3 und HCl-haltigen Gasen 49: 449–452
Wittchow, E., Anfahrsysteme für Bensonkessel 49: 319–325
Wittmann, G., Fachliche und ökonomische Gesichtspunkte zur Tätigkeit des Vermessungsingenieurs beim Kraftwerksbau 49: 455

Zentgraf, K. M., Stand der Abgasentschwefelung 49: 9–15
Zerna, W., Spannbeton-Druckbehälter 49: 456
Zimmermann, H., Die Bedeutung der Kraftwerksregelung für die Netzführung 49: 263–268

Sachverzeichnis 1969

Hinter dem Stichwort bedeutet (B) = Buchbesprechungen

Abhitzekessel, einige Konstruktionsmerkmale, Begriffsbestimmung, Klassifikation, verschiedene Einsatzmöglichkeiten *49:* 165–173
Ablagerungen, wasserseitig, Feststellung durch zerstörungsfreie gammagraphische Untersuchungen *49:* 453
— auf Überhitzern *49:* 182–190
Ablaufwärmetauscher, Anfahrsystem mit — *49:* 319–325
Abnahme nach amtlichen Vorschriften *49:* 346–351
Abnahmeversuche an 12prozentigen Chromstählen, Bruchdehnung, Kerbschlagzähigkeit *49:* 360/361
Abschaltversuche am Block C im Kraftwerk Niederaußem *49:* 226–243
Abzweigstücke (Y-Stücke), Berechnung, Dehnungsmessungen, Herstellung *49:* 361
Additive gegen Hochtemperaturkorrosionen *49:* 182–190
— bei Ölkesseln *49:* 446
Äthylenanlagen, Einsatz von Abhitzekesseln in — *49:* 165–173
Anfahrgeschwindigkeit von Kesseltrommeln *49:* 281–296
Anfahrverluste, Verminderung der — bei Heizkraftwerken *49:* 312–319
Anfahrvorgänge, Automatisierung *49:* 346–351
Anionenaustauscher, Aufnahme organischer Stoffe durch makroporöse — *49:* 132–143
Anlagebedingte Stillstandszeiten, Analyse *49:* 346–351
Anlagekosten, spezifische, abhängig von der Blockleistung *49:* 226–243
—, spezifische, konventioneller Kraftwerke *49:* 385–393
Anlagenbeschreibung, Kernkraftwerk Stade *49:* 455
—, Kernkraftwerk Würgassen *49:* 455
Anrisse Lochleibung, Kesseltrommeln *49:* 113–122
Anrißkennlinie im Zeitfestigkeitsgebiet *49:* 359
Anwärm- und Anfahrvorgang, Kesseltrommeln, Sammler *49:* 336–344
Arbeiten mit Kunststoffen (B) *49:* 457
Ascheverwertung *49:* 28–36
Atomrechtliches Genehmigungsverfahren *49:* 455
Äußere Belastungen auf Magnetit *49:* 190–201
Aufheiz- und Abkühlgeschwindigkeit, Kesseltrommeln *49:* 281–296
Aufheiz- und Abkühlgeschwindigkeiten, Kesseltrommeln, Sammler *49:* 336–344
Aufgeladene Dampferzeuger *49:* 405–408
Ausgehalste Rohr-Sammlerverbindung, Hochdruckvorwärmer *49:* 417–429
Austenitische Chrom-Nickel-Stähle, Erfahrungen *49:* 360
— Formstücke und Armaturen, Erfahrungen *49:* 361
Automatisierung von Anfahrvorgängen *49:* 346–351

Bach, zulässige Spannungen *49:* 351–359
Baubuch – Regierungsbezirk Düsseldorf – V/II. Ausgabe (B) *49:* 458
Baugrund, der Einfluß auf die Gestaltung der Bauwerke *49:* 455
Baugrundeigenschaften *49:* 455
Bauliche Gestaltung, Über die — — von Anlagen zu großen Kühlwassernutzungen *49:* 455/456
Baustellenausrüstung, Kernkraftwerk Würgassen *49:* 455
Bauteil konventioneller Kraftwerke, Möglichkeiten der Kostensenkung *49:* 385–393
Bauteilsicherheit *49:* 359; 360
Bauüberwachung, Kessel, Rohrleitung *49:* 346–351
Bauwerke, Setzungsverhalten, Bergbauauswirkungen, Erdbeben *49:* 455
Beanspruchung eines Flossenrohres durch äußere Kräfte *49:* 429–433
Beanspruchungen in Flossenrohren *49:* 429–433
— in Kesseltrommeln *49:* 281–296
Beitrag zur Diskussion über die Ringprobe an nahtlosen Rohren *49:* 410–417
Beizung, Erfahrungen mit ungebeizten und gebeizten Großkesseln *49:* 453
—, Erfahrungen mit einem ungebeizten Kraftwerksblock *49:* 453/454
Bekohlungsanlagen, Schallminderung *49:* 76
—, Stand und Entwicklungstendenzen *49:* 80–85
Belastungsdiagramme, Einfluß der Heizanlagen auf die — im Netz der Bewag *49:* 312–319
Belastungsfälle nach Bach *49:* 351–359
Berechnung der Spannungen von Kesseltrommeln, Festigkeitshypothesen *49:* 281–296
Berechnungsformeln für Rohrkosten *49:* 359/360
Berechnungsfragen von Rohrböden im Druckbehälterbau (B) *49:* 144
Betriebsbewährung austenitischer Chrom-Nickel-Stähle, Zunderbeständigkeit, Korrosion *49:* 360
— von Guß- und Schmiedestücken aus 12prozentigen Chromstählen *49:* 360/361
Betriebserfahrungen an den ersten 600-MW-Blöcken der E. d. F. *49:* 299–304
Betriebs- und Stillstandseinflüsse, Lochfraß, Kesseltrommeln *49:* 113–122
Betriebsweise von Kraftwerksanlagen, statisch, intermittierend, Werkstoffkennwerte *49:* 360
Betriebswertoptimierung *49:* 346–351
Betontechnologie, Reaktordruckbehälter, Spannbeton *49:* 456
Bewährung und Planung der 300-MW-Blockkraftwerke im Braunkohlengebiet *49:* 226–243
Biegespannungen, Kesseltrommeln *49:* 281–296
—, Kesseltrommeln, Sammler *49:* 336–344
Braunkohlefeuerungen, Dauerbetriebserprobung von Staubdichtemeßgeräten *49:* 23–27
Braunkohlengebiet, Planung und Bewährung der 300-MW-Kraftwerksblöcke im — *49:* 226–243
Braunkohlenstaubfeuerungen, Entwicklungsstand und Erfahrungen *49:* 153–164
Brenner für Braunkohlenstaubfeuerungen *49:* 160/161
Brennergeschränk mit unterteilter Luftzuführung *49:* 94
Brennergeschränke für Ölfeuerungen *49:* 88–90
Brennstofflagerstätten in der UdSSR *49:* 179
Bruchwahrscheinlichkeit *49:* 433–439

Chloride, organische, in HCl *49:* 344/345
Chlorverbindungen in Regenerationssalzsäure, Einfluß im Betrieb *49:* 122–126
—, organische, Bestimmung in Prozeßsalzsäure *49:* 124
Chlorwasserstoff — Gas *49:* 449–452
Chlorwasserstoff-Korrosion *49:* 449–452

DABI – Das Abkürzungsbuch für den Ingenieur (B) *49:* 366
Dampf, Verunreinigung durch Phosphorsäure *49:* 454
Dampferzeuger, aufgeladene *49:* 405–408
—, Entwicklung in den USA *49:* 244–262
—, für gasgekühlte Reaktoren, Auslegnug, Konstruktion, Fertigung, Betrieb *49:* 145–153
— für natriumgekühlte Reaktoren, Auslegung, Konstruktion, Fertigung *49:* 145–153
— für Spitzenlast *49:* 393–410
— für wassergekühlte Reaktoren, Auslegung, Konstruktion, Fertigung, Betrieb *49:* 145–153
—, ihre Verschiedenartigkeit für konventionelle Kraftwerke und Kernkraftwerke *49:* 145–153
Dampflöslichkeit von Kieselsäure *49:* 37–43
Dampftemperatur, Messung von — *49:* 325–336
Datenregistrierung *49:* 346–351
Dechema-Monographien, Band 61: Meßtechnik – Steuerung und Regelung (B) *49:* 298
Dehnung bzw. Stauchung bei Magnetitschädigung *49:* 190–201
Dehnungsmessungen an Schiebergehäusen *49:* 361
— an Y-Stücken *49:* 361
DIN 4701 – ihre Begriffe (Heizungen) (B) *49:* 366
Drehströmungsfeuerung *49:* 408/409
Druckverhältnisse im Kessel, Einfluß der Magnetitschutzschicht *49:* 453
Druckverlustanstieg durch Magnetitschutzschichten *49:* 453
Druckverlustanstieg, Magnetitbildung *49:* 202–208
Durchflußmessung, Grundlagen und Praxis der — (B) *49:* 365
Durchspeister Überhitzer, Anfahren mit — *49:* 319–325

Eckrohrkessel *49:* 99–106
Eingeschweißte Rohre in Platten, Hochdruckvorwärmer *49:* 417–429
Eisen, Angriff durch HCl *49:* 449–452
—, siliciumhaltiges *49:* 28–36
Eisen-II-Chlorid *49:* 449–452
Eisen-III-Chlorid *49:* 449–452
Eisenabscheidung in Bekohlungsanlagen *49:* 83
Elastisch-plastische Wechselverformungen *49:* 359
Elastizitätstheorie, Anwendbarkeit *49:* 351–359
Elektricité de France, Schrittweise Entwicklung zu 600-MW-Blöcken der — *49:* 299–304
Elektrische Stoffumsetzungen in Chemie und Metallurgie in energiewirtschaftlicher Sicht (B) *49:* 365
Elektroentstauber, Stand und Entwicklung *49:* 173–179
Empfehlungen für die Betriebsüberwachung von Turbogeneratoren, insbesondere zum Bestimmen des Revisionszeitpunktes (B) *49:* 366
Enteignung, Über die — von Grundbesitz der Gebietskörperschaften nach geltendem Recht (B) *49:* 457
Entnahmekondensationsturbine, Vorteile der — gegenüber der Gegendruckturbine *49:* 312–319
Entsalzungsanlagen, Kieselsäureschlupf *49:* 454
Entschwefelung von Rauchgasen *49:* 9–15
Entwicklungsstand, Gefüge und Legierungszusätze austenitischer Chrom-Nickel-Stähle *49:* 360
Entwicklungsmöglichkeiten von Spitzenlast-Dampferzeugern *49:* 405–409
Erfahrungen mit austenitischen Formstücken und Armaturen *49:* 361
— mit längsnahtgeschweißten Rohren *49:* 361
Erosionskorrosion, Wasser- oder Dampfseite, Hochdruckvorwärmer *49:* 417–429

Fahnenheizflächen *49:* 99–106
$FeCl_2$, Bildung von — *49:* 449–452
$FeCl_3$, Bildung von — *49:* 449–452
Federfundamente *49:* 456
Federgründung, Schwingungen, Fundament für Turbosätze *49:* 456
Festigkeitslehre, Sicherheit, Kausalitätsprinzip, Statistik *49:* 351–359
Filtrationsverfahren zur mechanischen Kondensatreinigung *49:* 127–132
Flossenrohre, Spannungsverlauf, Verformungen *49:* 429–433
Flugaschesinterung *49:* 28–36
Flugstaub-Pellets *49:* 28–36
Formzahl am Lochrand *49:* 281–296
—, Spannungsspitzen durch Kerben *49:* 359
Formzahlen am Lochrand, Kesseltrommeln, Sammler *49:* 336–344
Frimmersdorf, Block P, Aufbau und Bewährung *49:* 226–243
Fundamente für Turbosätze, Konstruktion, Berechnung *49:* 456
Fundamentkosten, abhängig von der Bodenqualität *49:* 385–393

Gammagraphie zur zerstörungsfreien Untersuchung von Kesselrohren *49:* 453
Gasverteilung und Gasmessung im industriellen Verbrauch (B) *49:* 144
Gebläse, Schallminderung *49:* 74
Gebrauchseigenschaften austenitischer Chrom-Nickel-Stähle *49:* 360
Genehmigungsverfahren, atomrechtlich *49:* 455
Geräuschbekämpfung, siehe „Schallminderung"
Geschmiedete Y-Formstücke (Abzweigstücke) *49:* 361
Geschweißte Y-Formstücke (Abzweigstücke) *49:* 361
Gesetz über die Entschädigung von Zeugen und Sachverständigen (B) *49:* 458
Gestaltänderungsenergie-Sicherheit, Definition *49:* 351–359
Glas-Luftvorwärmer *49:* 208–210
Große Kraftwerkseinheiten, warum? *49:* 226–243
Großkessel, Erfahrungen mit gebeizten und ungebeizten — gleicher Bauart *49:* 453
Großwasserraumkessel *49:* 99–106
Grundlagen der Kraftwerksenergetik (B) *49:* 459
— und Praxis der Durchflußmessung (B) *49:* 365
Grundwerkstoff, Einfluß auf Magnetit *49:* 190–201

Hämatit, Angriff durch HCl *49:* 449–452
Häufigkeitsverteilung der Vergleichsspannung (innendruckbeanspruchtes Rohr) *49:* 351–359
HCl-haltige Gase, Korrosion durch — — *49:* 449–452
Heizdampf-Entnahmezustand, Ermittlung des optimalen — *49:* 211/212
Heizflächenkosten, Überhitzer *49:* 359/360
Heizkraftanlagen, Ein Beitrag zur Auslegung von — *49:* 210–213
Heizkraftwerk, Definition des — *49:* 312–319
Heizkraftwerke in der UdSSR *49:* 179
Heizkraftwerksblöcke, Optimierung des Einsatzes mehrerer — *49:* 312–319
Heizungskessel, größere, Stand der Entwicklung *49:* 99–106
Heizungs-Rohrleitungsbau in der Praxis (B) *49:* 298
Heizwasseraufwärmung, Besonderheiten der mehrstufigen — *49:* 212/213

Herstellung geschweißter Y-Formstücke 49: 361
Herstellungsfehler – Kesseltrommeln 49: 113–122
— in Rohren 49: 410–417
Herstellungsverfahren längsnahtgeschweißter Rohre 49: 361
Hochdruckvorwärmer, Sammlerbauweise, Bauarten, Rohr- und Nippel-Schweißverbindungen, ausgehalste Sammler, eingeschweißte Rohre in Platten 49: 417–429
—, Sammlerbauweise, Schäden 49: 417–429
—, Vergleich, Rohrplatten-Sammlerbauweise 49: 417–429
Hochfeste, schweißbare Kesselbaustähle 49: 360
Hochlaufsicherheit der Turbine, zusätzliche Einrichtungen bei Entnahmekondensationsmaschinen 49: 312–319
Hochtemperaturkorrosion in ölgefeuerten Kesseln 49: 182–190
Hosenrohre 49: 361
Hütte, Taschenbuch der Werkstoffkunde (Stoffhütte) (B) 49: 460
HYDRA-Taschenbuch „Metallschläuche" (B) 49: 457

Industriedampfkessel, gerüstlose 49: 269–274
—, kleinere, Stand der Entwicklung 49: 99–106
Industrieofenbau, Probleme des modernen — (B) 49: 458
Industrie-Ölfeuerungen (B) 49: 297
Ingenieur-Beruf, Vom Wagnis des — 49: 221
Ingenieurgeodäsie 49: 455
Ionenaustauscher, Kieselsäureschlupf in Entsalzungsanlagen 49: 454
—, Reinigung von Anionenharzen mit alkalischer Kochsalzlösung 49: 362

Kantenrisse, innerer Lochrand, Kesseltrommeln 49: 113–122
Kausalitätsprinzip in der Festigkeitslehre 49: 351–359
Kerbwirkungszahl, Dauerfestigkeit 49: 359
Kernkraftwerk Stade, Anlagenbeschreibung 49: 455
— Würgassen, Standortwahl, Anlagenbeschreibung, Baustellenausrüstung 49: 455
Kernkraftwerke, Aufgabenbereich der Chemie in — 49: 454
—, Beurteilung verschiedener Baulinien von — 49: 367–375
— und konventionelle Kraftwerke; vergleichende Betrachtungen über Konstruktion, Werkstoffe, Verarbeitung und Prüfungen 49: 375–384
Kesselanlage, Störungen durch Säureeinbruch 49: 454
Kesselgerüst, Vermessung 49: 455
Kesselrohre, Feststellung von Korrosionen und Ablagerungen 49: 453
Kesseltrommeln, Schäden (Herstellungsfehler, Betriebsauswirkungen) 49: 113–122
—, Spannungsanalyse, Verschwächungsbeiwert, Temperaturänderungsgeschwindigkeit 49: 336–344
—, Spannungsanalyse, Verschwächungsbeiwert, Unrundheiten, Temperaturänderungsgeschwindigkeit 49: 281–296
Kieselsäure, Schlupf in Entsalzungsanlagen 49: 454
—, Löslichkeit in Wasser und Wasserdampf 49: 37–43
Kohlenstaubfeuerungen für große Dampferzeuger, konstruktive Merkmale 49: 274–280
Kondensat, Reinigung durch mechanische Filtration 49: 127–132
Konstruktion von Kernkraftwerken und dessen Bauelementen im Vergleich zu konventionellen Kraftwerken 49: 375–384
Konstruktionselemente des Maschinenbaues (B) 49: 143
Konstruktionsteile aus 12prozentigen Chromstählen 49: 360/361
Konstruktive Gestaltung großer Naturzug-Kühltürme in Schalenbauweise 49: 456
Konzessionsabgabewesen, Reform des — (B) 49: 144
Korrosion, Das Gesicht der — (B) 49: 459
Korrosion: Proceeding Symposium Internal Corrosion in Boilers (B) 49: 457
Korrosion durch HCl 49: 449–452
— von Brennkammerrohren, Einfluß von reduzierender Rauchgasatmosphäre 49: 180–182
—, spannungsinduziert 49: 190–201
—, wasserseitig, Feststellung durch zerstörungsfreie, gammagraphische Untersuchungen 49: 453
Korrosionserscheinungen in einem Kühlwasserkreislauf 49: 44–50
Korrosionsmechanismus bei Niedertemperaturkorrosionen 49: 441
Kostensenkung, Möglichkeiten im Bauteil konventioneller Kraftwerke 49: 385–393
Kostenvergleich warmfester Werkstoffe 49: 359/360
— zwischen Grundlast- und Spitzenlast-Dampferzeugern 49: 399–402
— zwischen ölgefeuertem und steinkohlengefeuertem Dampferzeuger 49: 402
Kraftwerksblöcke der E. d. F. 49: 299–304
Kraftwerksenergetik, Grundlagen der — (B) 49: 459
Kraftwerkstechnik, Stand der — in der UdSSR 49: 1–9
Kristallisation von Steinkohlenschlacken 49: 28–36
Kritische Rißgröße, Stähle 49: 359
Kühltürme, Naturzug, konstruktive Gestaltung, Bauausführung (Schalenbauweise) 49: 456
Kühlwasser, Behandlung gegen Korrosionserscheinungen 49: 44–50
Kühlwasseranlagen, Bemessung, bauliche Gestaltung, Investitionen 49: 455/456
Kühlwasseraufbereitungssystem, Anforderungen 49: 455/456
Kühlwasser-Entnahmebauwerke, Wiedereinleitungsstelle 49: 455/456
Kühlwassernutzung 49: 455/456
Kunststoffe im Kühlturm (B) 49: 218

Lagertechnik und Lagerorganisation (B) 49: 297
Längsnahtgeschweißte Rohre, Herstellung, Prüftechnik, Erfahrungen 49: 361
Lärmbekämpfung, siehe „Schallminderung"
Langzeitsicherheit, Begriff 49: 433–439
—, zeitabhängiges Kriechen, Definition 49: 351–359
Laser, Einsatz des — in der Bearbeitungstechnik (B) 49: 457
Lastwechselsicherheit, Definition 49: 351–359
Leistungsdichte, mittlere, für verschiedene Reaktoren 49: 367–375
Leistungszahl elektrischer Netze 49: 263–268
Lochfraß, Kesseltrommeln 49: 113–122
Lochleibung, Anrisse, Kesseltrommeln 49: 113–122
Lochrand, Formzahl, plastische Rückverformung, Spannungsanalyse 49: 281–296
Lochrandspannungen, Kesseltrommeln, Sammler 49: 336–344
Luftvorwärmer aus Glasrohren 49: 208–210

Magnesiumoxid 49: 182–190
Magnetit, Angriff durch HCl 49: 449–452
—, Schichtdicke, Wachstum 49: 190–201
Magnetitbildung, Druckverlustanstieg 49: 202–208
—, mechanische, Widerstandsfähigkeit 49: 190–201
Magnetitschutzschichten, Morphologie und ihre Auswirkungen auf die Druckverhältnisse im Kessel 49: 453
Mahltrocknung von Braunkohle 49: 153–155
$MgO - V_2O_5 - SO_3$ 49: 182–190
$MgO - V_2O_5$ 49: 182–190
$MgO - V_2O_5 - Na_2O - SO_3$ 49: 182–190
$MgO - SO_3$ 49: 182–190
Mantelthermoelemente 49: 325–336

Membranfilteruntersuchungen, ungelöste Eisenoxide *49:* 202–208
Meß- und Regelanlagen *49:* 346–351
Messung, Regelung, Automation bei Ölfeuerungen *49:* 91/92
Mischung von Kohle in Bekohlungsanlagen *49:* 84/85
Mitteilungen des Deutschen Dampfkesselausschusses (DDA) *49:* 70; 363
— der Arbeitsgemeinschaft Druckbehälter (AD) *49:* 214; 296
Mitteilung der VGB-Geschäftsstelle *49:* 72; 143; 365
Models of Failure (B) *49:* 459
Montageüberwachung, Kessel, Rohrleitung *49:* 346–351
Mühlen für Braunkohle, Rückblick auf die Entwicklung *49:* 155–160
Müllbeseitigung, Neuzeitliche Wege der — (B) *49:* 144
Mullit *49:* 28–36

$Na_2SO_4 - Fe_2(SO_4)_3 - MgSO_4$ *49:* 182–190
$Na_2SO_4 - MgSO_4$ *49:* 182–190
Nachtstromspeicherheizung, Einfluß der — auf die Netzbelastung der Bewag *49:* 312–319
Naturzug-Kühltürme, konstruktive Gestaltung *49:* 456
Nennspannung, gleichmäßige Spannungsverteilung *49:* 359
Netzfrequenz, Stabilisierung der — *49:* 263–268
Netzführung, Bedeutung der Kraftwerksregelung für die — *49:* 263–268
Netzkennlinienverfahren *49:* 263–268
Netzregelung, primäre *49:* 263–268
—, sekundäre *49:* 263–268
Nichtverfügbarkeit (Diskussionstagung) *49:* 346–351
Niederaußem, Block C und D, Aufbau und Bewährung *49:* 226–243
Niedertemperaturkorrosionen an ölgefeuerten Kesseln *49:* 440–448
Nippel-Schweißverbindungen, Hochdruckvorwärmer, Sammlerbauweise, Ausführungsformen *49:* 417–429

Oberflächenrisse, Kesseltrommeln *49:* 113–122
Oberflächenzustand, mechanische Widerstandsfähigkeit *49:* 190–201
Ölaschekorrosion *49:* 182–190
Ölfeuerung, Betriebsmäßige Erprobung eines neuentwickelten Leistungsbrenners *49:* 93–98
Ölfeuerungen für große Kessel, Entwicklungsstand *49:* 86–92
Ölgefeuerte Kessel, SO_3-Bildung, Taupunkt, Korrosion, Abhilfemaßnahmen, nahstöchiometrische Verbrennung *49:* 440–448
Ölzerstäuber *49:* 86–88
Ölzerstäuber, Öldruck/Dampfdruck *49:* 95
Organische Stoffe, Entfernung aus Anionenharzen mittels alkalischer Kochsalzlösung *49:* 362
— in Oberflächenwasser, Aufnahme durch makroporöse Anionenaustauscher *49:* 132–143

Photogrammetrische Ausmessung, Reaktordruckgefäße *49:* 455
Pipelines, Adern der Wirtschaft (B) *49:* 365
Planung und Bewährung der 300-MW-Blockkraftwerke im Braunkohlengebiet *49:* 226–243
— und Stand der Arbeiten des Kernkraftwerkes Stade *49:* 455
— — Würgassen *49:* 455
Plastizitätstheorie *49:* 351–359
Pleinting, Brand im Kraftwerk — *49:* 106–112
—, Kurze Beschreibung des Kraftwerkes — *49:* 106–112
Prallstrahlverschleiß *49:* 50–57
Prallverschleiß *49:* 58–70
Prüftechnik bei längsnahtgeschweißten Rohren *49:* 361
Prüfungen bei Kernkraftwerken im Vergleich zu konventionellen Kraftwerken *49:* 375–384
Pumpenhäuser, Gestaltung *49:* 455/456

Quenchkühler *49:* 165–173

Rationalisierung des Zeichen- und Konstruktionswesens in Bautechnik und Maschinenindustrie (B) *49:* 458
Rauchgasatmosphäre, reduzierende; Einfluß auf die Korrosion von Brennkammerrohren *49:* 180–182
Rauchgase, Entschwefelung *49:* 9–15
Rauchgasentstaubung, Stand und Entwicklung von Elektroentstaubern *49:* 173–179
Reaktorbaulinien, Einfluß verschiedener — auf den nachgeschalteten Kraftprozeß *49:* 367–375
Reaktordruckbehälter, Spannbeton, Anforderungen, Sicherheitseigenschaften *49:* 456
Reduzierstationen, Schallminderung *49:* 76
Reform des Konzessionsabgabenwesens (B) *49:*144
Regelung von Kraftwerken, Bedeutung für die Netzführung *49:* 263–268
Regelversuch am Block P im Kraftwerk Frimmersdorf *49:* 226–243
Riffelformation, Magnetitbildung, Druckverlustanstieg *49:* 202–208
Ringaufdornprobe, Beurteilung *49:* 361
Ringaufdornproben, Prüfergebnisse *49:* 410–417
Ringfaltproben, Prüfergebnisse *49:* 410–417
Ringversuche an Rohren, Aussagefähigkeit *49:* 410–417
Rißausbildung, Magnetit *49:* 190–201
Rißausbreitung, Übergangstemperatur, Stähle *49:* 359
Risse in austenitischen Schiebern und Formstücken *49:* 361
Rißeinleitung, Übergangstemperatur, Stähle *49:* 359
Röntgenfeinstrukturanalyse von Ablagerungen in ölgefeuerten Kesseln *49:* 182–190
Rohre, längsnahtgeschweißt *49:* 361
—, Ringprobe, Fehler *49:* 410–417
—, Werkstoff- und Herstellungsfehler, Aufkohlung *49:* 361
Rohrbögen, Werkstoffwahl, Unrundheiten *49:* 361
Rohrkosten warmfester Werkstoffe, Berechnungsformeln *49:* 359/360
Rohrleitungen, Werkstoffkosten *49:* 359/360
Rohrleitungstechnik in der chemischen Industrie (B) *49:* 365
Rohrschäden Hochdruckvorwärmer *49:* 417–429
Rohrverschleiß *49:* 58–70
Rohrwandaußentemperatur, Bestimmung von — *49:* 325–336
Rückkühlanlagen, Schallminderung *49:* 77
Rundbrenner für Kohlenstaubfeuerungen *49:* 276–279

Sachverständige, Der gerichtliche — (B) *49:* 458
Salzsäure, Gehalt an organischen Chloriden *49:* 344/345
— aus der Herstellung organischer Chlorierungsprodukte (Prozeßsalzsäure) *49:* 122–126
Sammler, Spannungsanalyse, Verschwächungsbeiwert, Temperaturänderungsgeschwindigkeit *49:* 336–344
Sauerstoff, Einfluß auf die Beständigkeit von Stahl in wäßrigen Lösungen *49:* 453
—, Einfluß bei der Deckschichtbildung auf Stahl in neutralem, salzfreiem Wasser *49:* 453
Säureeinbruch, Störungen nach — in einer Kesselanlage *49:* 454
Schäden Hochdruckvorwärmer, Sammlerbauweise *49:* 417–429
—, Kesseltrommeln *49:* 113–122
Schädigungsmechanismus, Magnetit *49:* 190–201

Schädigungsspannungen, Biegewechselbeanspruchung, Magnetit 49: 190–201
Schallminderung bei Kraftwerksanlagen 49: 73–79
Schiebergehäuse, Dehnungs- und Temperaturmessungen 49: 361
Schlackeveredelung 49: 28–36
Schlackeviskosität 49: 28–36
Schlußfolgerungen an Schäden in austenitischen Schiebern und Formstücken 49: 361
Schmiedestücke, Reinheitsgrad 49: 361
Scholven, Kraftwerk, Erfahrungen nach dem ersten Betriebsjahr 49: 304–312
Schutzschichtbildung, Untersuchungen 49: 202–208
Schutzschichtschädigung, Stillstandskorrosion 49: 190–201
Schutzschichtverletzungen bei überelastischer Dehnung 49: 336–344
Schweißen niobstabilisierter, austenitischer Chrom-Nickel-Stähle, Erfahrungen 49: 360
Schweißeignung hochfester Baustähle 49: 360
Schweißnahtfehler, Kesseltrommeln 49: 113–122
Schweißungen an 12prozentigen Chromstählen 49: 360/361
Schweißverbindungen, Hochdruckvorwärmerrohre, automatische WIG-Wurzel-Schweißung, Gasschweißung, Abbrennstumpfschweißung 49: 417–429
Schwingungen, Federgründung, Fundamente 49: 456
Selbstregelungseffekt elektrischer Netze 49: 263–268
Setzungsmessungen, Baugrundeigenschaften 49: 455
Setzungsverhalten der Bauwerke 49: 455
Sicherheit und Verfügbarkeit von Kernkraftwerken verschiedener Baulinien 49: 367–375
Sicherheitsbegriff 49: 433–439
—, Definition, statische Bestimmung, Festigkeitslehre 49: 351–359
Sicherheitseigenschaften, Spannbeton, Reaktordruckbehälter 49: 456
Sicherheitskoeffizienten, Definition, statische Bestimmung, Festigkeitslehre 49: 351–359
Sicherheitstechnik bei Ölfeuerungen 49: 92
Sicherheitsventile, Schallminderung 49: 75
SO_3-Bildung bei ölgefeuerten Kesseln 49: 441/442
Spaltgaskühler 49: 165–173
Spannbeton-Druckbehälter 49: 456
Spannbeton-Reaktordruckbehälter, Entwicklung, Betontechnologie 49: 456
Spannungen am Lochrand, Formzahl, Kesseltrommeln 49: 281–296
— am Lochrand, Kesseltrommeln, Sammler 49: 336–344
Spannungsanalyse, Kesseltrommeln 49: 281–296
—, Kesseltrommeln, Überhitzer-Endsammler, Folgerungen für den Betrieb 49: 336–344
Spannungsinduzierte Korrosion, Magnetitbildung 49: 190–201
— — an Spannungskonzentrationsstellen 49: 360
Spannungssicherheit, Definition 49: 351–359
Spannungsspitzen durch Kerben, Formzahl 49: 359
Spannungsversprödung, Stähle 49: 359
Speisepumpen, direkt am Turbosatz gekoppelt 49: 304–312
Speisewassergeschwindigkeit, Hochdruckvorwärmer, Sammlerbauweise 49: 417–429
Spitzenlast-Dampferzeuger 49: 393–410
Sprödbruchverhalten hochfester Baustähle 49: 360
Sprödbruchversuche an 12prozentigen Chromstählen 49: 360/361
Stade, Kernkraftwerk, Anlagenbeschreibung 49: 455
Stadtheizung, Entwicklung der — in Berlin 49: 312–319
Stahl, Beständigkeit in wäßrigen Lösungen in Gegenwart von Sauerstoff 49: 453
—, Deckschichtbildung durch Sauerstoff in neutralem, salzfreiem Wasser 49: 453
Stahl-Eisen-Liste (B) 49: 458
Stähle, Spannungs-, Temperaturversprödung, kritische Rißgröße, Zähigkeit 49: 359
— für Temperaturen unter 400°C, Anwendungsbereich 49: 360
Stahlbetonfundamente für Turbosätze 49: 456
Stahlfibel (B) 49: 365
Stand von Konstruktion und Berechnung der Fundamente für große Turbosätze 49: 456
Standortwahl, geologische Untersuchungen, Kernkraftwerk Würgassen 49: 455
— Kernkraftwerk Stade 49: 455
Statistik in der Festigkeitslehre 49: 351–359
Statistische Mindestsicherheit, zulässige Spannungen, Streuwerte von Innendruck und Streckgrenze 49: 351–359
Staubdichtemeßgeräte, kontinuierliche, hinter Braunkohlefeuerungen 49: 23–27
Staubmeßgeräte, Betriebliche Erfahrungen mit registrierenden — 49: 15–23
Steinkohlenkraftwerke, Maßnahmen zur Konkurrenzfähigkeit gegenüber Kernkraftwerken 49: 304–312
Stillstandszeiten durch Überwachung 49: 346–351
—, anlagebedingt 49: 346–351
— durch Reinigungs- und Reparaturarbeiten 49: 346–351
Störungen, Früherkennung 49: 346–351
Strahlverschleiß 49: 50–70
Streckgrenzensicherheit 49: 433–439
Stromerzeugungskosten, relative, für verschiedene Kernkraftwerkstypen (Schätzwerte für 600-MW-Blöcke) 49: 367–375
—, spezifische, abhängig von der Ausnutzung 49: 226–243
—, spezifische, abhängig von der Blockleistung 49: 226–243

Temperaturänderungsgeschwindigkeit, Kesseltrommeln 49: 281–296
—, Kesseltrommeln, Sammler 49: 336–344
Temperaturmessung von Dampf und Rohrwänden 49: 325–336
Temperaturmessungen an Schiebergehäusen 49: 361
Temperaturversprödung, Stähle 49: 359
Thermodynamische Analyse der Schaltbilder von Kraftwerken (B) 49: 458
— Eigenschaften der Gase und Flüssigkeiten (B) 49: 458
— Funktionen idealer Gase für Temperaturen bis 6000°K 2. Band (B) 49: 458
Thermoelemente zur Messung der Dampf- und Rohrwandtemperatur 49: 325–336
Tischplattenfundamente 49: 456
Trockener Überhitzer, Anfahren mit — 49: 319–325
Turbogeneratoren, Empfehlungen für die Betriebsüberwachung von —, insbesondere zum Bestimmen des Revisionszeitpunktes (B) 49: 366
Turbosätze, Fundamente, Federgründung 49: 456

UdSSR, Brennstofflagerstätten in der — 49: 1–9
—, Heizkraftwerke in der — 49: 1–9
—, Stand der Kraftwerkstechnik in der — 49: 1–9
Überhitzer, Messung der Dampf- und Rohrwandtemperatur 49: 325–336
—, Werkstoffkosten, Heizflächenkosten 49: 359/360
Überhitzung, Schäden durch — 49: 325–336
Übertemperaturen, Messung an Rohrwänden 49: 325–336
Überwachung im Betrieb, Stillstandszeiten 49: 346–351
Ultraschallprüfung, Aussagefähigkeit 49: 410–417
—, Beurteilung 49: 361
Umwälzpumpe, Anfahrsystem mit — 49: 319–325
Unfall- und Brandsicherheit elektrischer Anlagen in Industriebetrieben (B) 49: 218
Unfallverhütung, Moderne — (B) 49: 144
Unrundheiten, Kesseltrommeln 49: 281–296

Ursache, Schäden, Kesseltrommeln *49:* 113–122
— der Risse in austenitischen Schiebern und Formstücken *49:* 361
USA, Die Entwicklung von Dampferzeugern in den Vereinigten Staaten von Nordamerika *49:* 244–262

VDEW-Mitgliederverzeichnis mit Spannungsverzeichnis, Ausgabe 1969 (B) *49:* 459
Venturi-Parallelstromgeschränk *49:* 94
Verarbeitung hochfester Baustähle, Erfahrungen *49:* 360
— bei Kernkraftwerken im Vergleich zu konventionellen Kraftwerken *49:* 375–384
Verformbarkeit im dreiachsigen Spannungszustand *49:* 359
Verformungen in Flossenrohren *49:* 429–433
Verfügbarkeit und Sicherheit von Kernkraftwerken verschiedener Baulinien *49:* 367–375
Vergleichskriterien verschiedener Baulinien von Kernkaftwerken *49:* 367–375
Vergleichsspannung, Häufigkeitsverteilung bei innendruckbeanspruchtem Rohr *49:* 351–359
Vermessungsingenieur, Fachliche und ökonomische Gesichtspunkte zur Tätigkeit des — beim Kraftwerksbau *49:* 455
Vermessungstechnische Arbeiten und Pläne, Rasternetz, Kosten *49:* 455
Verschwächungsbeiwert, Kesseltrommeln *49:* 281–296
—, Kesseltrommeln, Sammler *49:* 336–344
VGB-Richtwerte für Speise- und Kesselwasser von Wasserrohrkesseln *49:* 215

Wärme-Kraft-Kopplung, Einfluß der — auf die Kraftwerkstechnik *49:* 312–319
Wärmebehandlung von Bau- und Werkzeugstählen (B) *49:* 218
Wärmespannungen, Kesseltrommeln *49:* 281–296
—, Kesseltrommeln, Sammler *49:* 336–344
Wärmeverbrauch, spezifischer, abhängig von der Blockleistung *49:* 226–243
Warmfeste 12prozentige Chromstähle, Erfahrungen mit Guß- und Schmiedestücken *49:* 360/361
Wasserlöslichkeit von Kieselsäure *49:* 37–43
Wasserrohrkessel *49:* 99–106
Wasserstoffmessungen *49:* 202–208
Wasserversorgung, Hinweis und Richtlinien für Absperr- und Regelarmaturen in der — (B) *49:* 144
Wechselbeanspruchung, Magnetit *49:* 190–201
Wechselverformungen im Zeitfestigkeitsgebiet *49:* 359
Weisweiler, Block E und F, Aufbau und Bewährung *49:* 226–243
Werkstoff- und Herstellungsfehler in Rohren, Rohrbögen und Schmiedestücken *49:* 361
Werkstoffe bei Kernkraftwerken im Vergleich zu konventionellen Kraftwerken *49:* 375–384
Werkstoffehler in Rohren *49:* 410–417
Werkstoffkosten, Rohrleitungen, Überhitzer *49:* 359/360
Werkstoffkunde, Hütte, Taschenbuch der — (Stoffhütte) (B) *49:* 460
Werkstoffzähigkeit *49:* 359
Werkstoffzerstörung und Schutzschichtbildung in Wasserversorgungs- und Heizungsanlagen (B) *49:* 144
Würgassen, Kernkraftwerk, Standortwahl, Anlagenbeschreibung *49:* 455

Y-Formstücke, geschweißt, geschmiedet *49:* 361

Zähigkeit im dreiachsigen Spannungszustand *49:* 359
Zeitbegriff in der Festigkeitslehre *49:* 433–439
Zeitstandfestigkeit von 12prozentigen Chromstählen *49:* 360/361
Zeitstandversuche, Ergebnisse deutscher — langer Dauer (B) *49:* 460
Zulässige Aufheiz- und Abkühlgeschwindigkeit, Kesseltrommeln *49:* 281–296
— Fehlergröße, Innendruckschwellversuche *49:* 361
— Spannungen nach Bach *49:* 351–359
Zwangsverteiler für Kohlenstaub *49:* 277

Persönliches

Martin Blümel 65 Jahre *49:* 143
Fritz Brühl gestorben *49:* 457
Rudolf Elger gestorben *49:* 72
Karlheinz Haager 60 Jahre *49:* 214
Heinrich Hegemann gestorben *49:* 297
Arthur Kritzler 65 Jahre *49:* 297
Heinrich Mandel 50 Jahre *49:* 297
Johannes Möller gestorben *49:* 297
Herbert Paul 65 Jahre *49:* 143
Dr. Herbert Paul
Großes Verdienstkreuz des Verdienstordens *49:* 297
Rudolf Quack 60 Jahre *49:* 214
Fritz L. Reuther 60 Jahre *49:* 72
Hans Schrag 65 Jahre *49:* 297
Otto W. Strüven 60 Jahre *49:* 143
August Weckesser 60 Jahre *49:* 214
Karl Wellinger 65 Jahre *49:* 456
Erich Werner 65 Jahre *49:* 213

MITTEILUNGEN
DER VEREINIGUNG DER GROSSKESSELBETREIBER

INHALTSVERZEICHNIS

DER
HEFTE 1—6
50. JAHRGANG (1970)

DIE FOTOS DER VERFASSER FINDEN SIE AUF DEN SEITEN 3 BIS 12

In den sechs Heften des Jahrganges 50 sind enthalten:

Heft	1	2	3	4	5	6
Seiten	1—76	77—152	153—240	241—348	349—444	445—524

Verfasserverzeichnis 1970

Aeberli, H., Die Müllverbrennung und ihre Probleme hinsichtlich rauchgasseitiger Korrosionen *50:* 436
Aleite, W., Regelung des Kernkraftwerkes mit Druckwasserreaktor (KKS) *50:* 518
Arbenz, B., Druckverlust und Durchflußstabilität konvektiv beheizter Gegenstrom-Dampferzeuger *50:* 228–237

Baerlecken, E., und Fabritius, H., Untersuchungen an einem betriebsbeanspruchten Sammler aus dem Werkstoff 13 CrMo 4 4 *50:* 122–132
Balajka, J., und Langsfelderova, H., Der Gebrauch elektrochemischer Methoden zur Beurteilung von Inhibitoren von Ölaschekorrosionen *50:* 437
Bald, A., Turbosätze im Kernkraftwerk (KKS) *50:* 521
Balke, S., Die Technische Überwachung als Partner der Industrie und des Gesetzgebers beim Bau und Betrieb von Wärmekraftwerken *50:* 468–473
Banal, M., Kernenergie im Rahmen der Energieversorgung in Frankreich *50:* 486–493
Baust, M., Sicherheitstechnische Gesichtspunkte beim Hochtemperatur-Kugelhaufenreaktor (KKS) *50:* 519
Bergmann, F., Stand und Tendenzen der Kraftwerksautomatisierung *50:* 22–28
Bernhardt, S., Planungsgrundlagen, technische Ausführung und vorgesehene Betriebsweise der Anlage mit kombiniertem Gas-Dampf-Prozeß der Neckarwerke AG *50:* 153–161
Bieber, K.-H., Betriebliche Bewährung von Rußbläsern *50:* 83–88
Biemann, W., und Handschuh, H., Ein vollautomatischer Dampferzeuger *50:* 382–387
Böhm, A., Bautechnischer Schallschutz im Kraftwerksbau *50:* 439
Böhm, W., Physikalische Auslegung bei Druckwasserreaktoren (KKS) *50:* 516
Börnke, F., Vom Kohlekraftwerk zum Kernkraftwerk, eine baugeschichtliche Betrachtung *50:* 362–371
Böttger, P., Sicherheitstechnische Gesichtspunkte beim Fortgeschrittenen Gasgekühlten Reaktor (KKS) *50:* 519
Bohnsack, G., Diskussionsbeitrag zur Veröffentlichung von F. Kelp „Über Erfahrungen mit Speisewasser-Hochdruckvorwärmern der Sammlerbauweise" *50:* 206/207
Booth, E. S., Kernkraftwerke im Rahmen der Stromversorgung Großbritanniens *50:* 493–500
Brandel, A., Versuche über die chemische Entgasung von Speisewasser für Dampferzeuger *50:* 440
Braun, W., Das 1200-MW-Kernkraftwerk in Biblis des RWE *50:* 438
Brinke, R., Sicherheitstechnische Probleme an Gasfeuerungen *50:* 44–50
Bruyn de, A. J., Der Einfluß der Betriebserfahrungen auf die Auslegung der Gasanlagen im Kraftwerk Hunze *50:* 372–381
Bryers, R. W., und Kerekes, Z., Untersuchungen über Ascheablagerungen und Korrosionserscheinungen bei Müllverbrennungskesseln *50:* 436
Budajová, E., siehe Zeman, V.

Czermak, H., Betriebserfahrungen mit der Kombination eines Gasturbinen-Dampfprozesses in der Anlage Wärmekraftwerk „Hohe Wand" *50:* 161–166

Daberkow, H., Vermessungen im Bergsenkungsgebiet – RWE-Kraftwerk Essen-Karnap *50:* 439
DDA, Mitteilungen des Deutschen Dampfkesselausschusses *50:* 237–239
Dengler, N., Grämer, G., und Heitmann, H. G., Wasserchemie in Kernkraftwerken mit Druckwasserreaktoren *50:* 441
Dittmar, H., Betriebserfahrungen mit Datenverarbeitungsanlagen *50:* 28–32
Dresia, H., Neutronenphysikalische Grundlagen der Reaktorphysik (KKS) *50:* 516

Eichhorn, F., und Shaheeb, A. R., Untersuchungen zum Lichtbogen-Bolzenschweißen von hochlegierten zunderbeständigen Stahlstiften auf niedriglegierte Kesselstähle *50:* 504–515
Elshout, A. J., van Engelen, B., und Jelgersma, J. H. N., Elektrofilterkorrosion in einer Müllverbrennungsanlage *50:* 437
Engel, H., Sicherheitstechnische Gesichtspunkte bei Siedewasserreaktoren (KKS) *50:* 519–520
van Engelen, B., siehe Elshout, A. J.
Ernst, E., siehe Guthmann, E.
Erythropel, H., Internationale Erfahrungen auf dem Gebiet der Ascheverwertung *50:* 191–197
Ettemeyer, R., und Ziermann, E., Kerninstrumentierung bei leicht- und bei gasgekühlten Reaktoren (KKS) *50:* 520
Ettemeyer, R., siehe Weidmann, J.

Fabritius, H., siehe Baerlecken, E.
Fehndrich, W., Organisatorischer Aufbau, praktische Durchführung und bisherige Erfahrungen mit der Schadensstatistik in den Kraftwerken und in der Hauptverwaltung des RWE *50:* 423–429
Fitting, K., Der Deutsche Dampfkesselausschuß (DDA) – ein Modell einer Selbstverwaltung im Dienste des sicherheitstechnischen und sozialwirtschaftlichen Fortschritts *50:* 273–277
Frei, G., Betriebs- und Störverhalten des Druckwasserreaktors (KKS) *50:* 518
Freier, R. K., Neue Erfahrungen mit neutraler Fahrweise *50:* 440
Friedrich, K., siehe Schröder, E.
Fuhrmann, H., Die Spurenmessung mit automatischen Analysengeräten unter Berücksichtigung ihrer besonderen Probleme *50:* 104–108

Gabrysch, G., Möglichkeiten zur Altölbeseitigung sowie Betriebserfahrungen bei der Aufbereitung und Verbrennung von Altöl und Ölschlamm *50:* 181–184
Götzen, W., Schornsteinbauten für große Höhen *50:* 438
Grämer, G., siehe Dengler, N.
Guthmann, E., und Ernst, E., Auslegung, Aufbau und Funktion des natriumgekühlten Schnellen Brüters (KKS) *50:* 520

Halstead, W. D., und Hart, A. B., Die Rolle des Chlorids bei Korrosionserscheinungen durch Ablagerungen *50:* 436
Handschuh, H., siehe Biemann, W
Harder, A., Physikalische Auslegung des Hochtemperatur-Kugelhaufenreaktors (KKS) *50:* 516
Hart, A. B., siehe Halstead, W. D.
Hein, K., Das Strömungsbild einer Kohlenstaubdrallflamme und sein Einfluß auf ihr Zünd- und Ausbrandverhalten *50:* 186–191
Heitmann, H. G., siehe Dengler, G.
Henjes, G., Rese, H., und Krause, R., Das Auffüllen, Anwärmen und Konservieren der Trommeln und Sammler von Dampfkesseln *50:* 394–410
Hennings, H., Konstruktion des Reaktorkerns, der Brennelemente und der Hauptkomponenten der Reaktoranlage beim Hochtemperatur-Kugelhaufenreaktor (KKS) *50:* 517
Hepp, H., Beseitigung radioaktiver Abfälle *50:* 442
Herbrik, R., siehe Voß, K.
Herbsleb, G., Verhalten von nichtrostenden Stählen, Nickel- und Zirkonlegierungen in Primärsystemen von Kernkraftwerken *50:* 132
Hilsheimer, H., Betriebserfahrungen mit der Müllverbrennungsanlage Mannheim *50:* 70–76
Hölker, F.-J., siehe Krischke, H.
Holzer, R., Konstruktion des Reaktorkerns, der Brennelemente und der Hauptkomponenten der Reaktoranlage bei Druckwasserreaktoren (KKS) *50:* 517
Huijbregts, W. M. M., Der Einfluß von Chlorid auf die Korrosion von Eisen und niedriglegierten Stählen bei 310°C und 100 atü *50:* 422
Hurlebaus, D., Kerntechnische Hilfs- und Nebenanlagen bei Siedewasserreaktoren (KKS) *50:* 518

Jaeger, Th., Probleme und Entwicklungstendenzen in der bautechnischen Gestaltung von Kernkraftwerken *50:* 10–21
Janssen, U., Grundbegriffe des Strahlenschutzes (KKS) *50:* 516
Jelgersma, J. H. N., siehe Elshout, A. J.
Jirouš, F., Untersuchung über die Durchflußverteilung bei Rohrregistern *50:* 315–320
Juzi, H., siehe Profos, P.

Kallfaß, H., Erfahrungen mit aktiviertem Hydrazin bei der chemischen Entgasung *50:* 439
Kanow, P., siehe Treille, P.
Kausz, I. A., Kerntechnische Hilfs- und Nebenanlagen für Druckwasserreaktoren (KKS) *50:* 518
Kautz, K., Hochtemperatur-Phasenanalyse von Ablagerungen in Müllverbrennungsanlagen *50:* 438
Kerekes, Z., siehe Bryers, R. W.
Kippenhahn, R., Neue Himmelskörper – Pulsare *50:* 253–258
Kirsch, H., Topotaktische Phänomene bei Korrosionsvorgängen *50:* 118
—, und Pollmann, S., Phasenanalytische Untersuchungen von Ablagerungen aus Magnesiumbisulfit-Ablaugekesseln der Zellstoffproduktion *50:* 437
Kley, H., Konstruktion des Reaktorkerns, der Brennelemente und der Hauptkomponenten der Reaktoranlage beim Fortgeschrittenen Gasgekühlten Reaktor (KKS) *50:* 517
—, Kerntechnische Hilfs- und Nebenanlagen beim Fortgeschrittenen Gasgekühlten Reaktor (KKS) *50:* 518
Klump, W., Kalk-Schnellentcarbonisierung oder Entcarbonisierung durch Ionenaustausch – eine Gegenüberstellung *50:* 440
Köhle, H., 50 Jahre Speisewassertechnologie *50:* 473
König, W., siehe Stönner, A.
Körbel, W., siehe Mutke, R.
Kooi van der, I., Betriebserfahrungen mit der Müllverbrennungsanlage in Rotterdam und Folgerungen für die Planung einer Neuanlage *50:* 302–304
Kopetz, K., Das Verhalten von Kunststoffen bei der Müllbeseitigung *50:* 436
Krause, R., siehe Henjes, G.
Kraushaar, K. H., und Syring, H., Die Funktionsgruppenautomatik in der Vollentsalzungsanlage des Kraftwerkes Staudinger *50:* 33–38
Krischke, H., und Hölker, F.-J., Richtlinien zur Erfassung von Schäden *50:* 332–335
Krolewski, H., Wasserwirtschaftliche Anforderungen zur Kühlwasserversorgung *50:* 438
—, Genehmigungsverfahren bei Kernkraftwerken (KKS) *50:* 512
Krost, H., Kückelhaus, K., und Sulliga, J., Kombinierte Anfahr-, HD-Reduzier- und Sicherheitseinrichtungen für Groß-Blockanlagen *50:* 1–10
Krüger, W., Die Brennstoffauslegung der Kessel des Kraftwerkes „Hermann Wenzel" und der Betrieb mit den gasförmigen Brennstoffen Gichtgas, Koksgas und Erdgas, Teil 1 *50:* 167–175, Teil 2 *50:* 295–301
Kückelhaus, K., siehe Krost, H.
Kuse, G., Bestimmung der Verfügbarkeit von Wärmekraftwerken *50:* 335–337
Kußmaul, K., siehe Wellinger, K.

Langsfelderova, H., siehe Balajka, J.
Ledinegg, M., Die Zweiphasenströmung *50:* 216–228
Lindow, R., Sostmann, R., und Weil, E., Gasdarbietung für Wärmekraftwerke *50:* 175–181
Linzer, V., Praktische Berechnung von Spannungen in Flossenrohren, hervorgerufen durch äußere Kräfte *50:* 197–202
Loth, R., Betriebs- und Regelverhalten des Fortgeschrittenen Gasgekühlten Reaktors (KKS) *50:* 518

Maikranz, F., Korrosionen in drei verschiedenen Feuerungsanlagen (Müll) *50:* 435
Mandel, H., Technische und wirtschaftliche Entwicklung der Stromerzeugung in der Bundesrepublik Deutschland *50:* 265–273
Müller, E., Verschlackung der Schottenüberhitzer bei Schwerölverbrennung im Dauerbetrieb *50:* 66–70
Mutke, R., Körbel, W., und Steller, P.: Möglichkeiten zur Wärmeverwertung in Müllverbrennungsanlagen *50:* 113–117

Necker, P., siehe Herbrik, R.
Neuroth, K., Auswertung der Schadensstatistik mit Beispielen *50:* 429–435
Nieder, R., Chemie im Kernkraftwerk mit Hochtemperaturreaktor – Erfahrungen im Kernkraftwerk AVR Jülich *50:* 441
Niepenberg, H. P., Auslegung und Konstruktionsmerkmale von Gasbrennern *50:* 38–44
Nitsch, D., Erfassungsstufen und Personalaufwand der Schadensstatistik *50:* 420–423
Nowak, F., Korrosionserscheinungen in Müllkesseln *50:* 435

Obernolte, W., Energieprobleme aus deutscher Sicht *50:* 259–264

Piehl, K. H., Untersuchungen über das Versagen einer Kesseltrommel bei der Druckprobe *50:* 304–314
Pieper, H., Radiolyse des Wassers unter Einwirkung ionisierender Strahlung in wassergekühlten Kernreaktoren *50:* 441
Pollmann, S., siehe Kirsch, H.
Profos, P., und Juzi, H., Untersuchungen über die Güte der Frischdampftemperatur-Regelung bei Geradeausbetrieb *50:* 207–211
Pundt, H., siehe Rahlwes, H.

Quack. R., Wechselwirkungen von Betreiber und Hersteller auf die Entwicklung des Dampferzeugers und Feuerungsbaues *50:* 349–356

Rado, L., Rostfeuerungen für Steinkohle *50:* 50–59
Rahlwes, H., und Pundt, H., Bisherige Betriebserfahrungen im Kraftwerk Robert Frank *50:* 77–83
Rahmel, A., Einige physikalisch-chemische Gesichtspunkte zur Hochtemperaturkorrosion durch Salzschmelzen *50:* 436
Rasch, R., Thermodynamik der Hochtemperaturkorrosionen *50:* 437
Reinhardt, A., Betriebsverhalten und Regelung des Kernkraftwerkes mit Siedewasserreaktor (KKS) *50:* 518
Rese, H., siehe Henjes, G.
Richter, R., siehe Schoch, W.
Risse, F., Hydraulische Entaschung *50:* 387–394
Rosahl, O., Deutscher Dampfkesselbau – Partner künftiger Entwicklungen in der Energie- und Anlagentechnik *50:* 445–467

Schäfer, S., Verbesserung der Regelgüte eines Endüberhitzers durch Untersuchung am Analogrechner im Vergleich mit ausgeführten Messungen *50:* 211–216
Schatz, A., Wärme- und strömungstechnische Auslegung beim Fortgeschrittenen Gasgekühlten Reaktor (KKS) *50:* 517
Schenkel, W., Stand und Möglichkeiten der Müllbeseitigung im Ruhrgebiet *50:* 108–112
Schmidt, E., Porenstrukturen makroporöser Ionenaustauscher *50:* 440
Schneider, A., siehe Stönner, A.
Schoch, W., Wiehn, H., Richter, R., und Schuster, H., Untersuchungen über Druckverlustanstieg und Magnetitbildung in einem Bensonkessel *50:* 277–295
Schöning, J., Kerntechnische Hilfs- und Nebenanlagen für den Hochtemperatur-Kugelhaufenreaktor (KKS) *50:* 518
Schomer, E., Sicherheitstechnische Gesichtspunkte bei Druckwasserreaktoren (KKS) *50:* 519–520
Schröder, E., und Friedrich, K., Betriebsverhalten und Regelung des Kernkraftwerkes mit Hochtemperatur-Kugelhaufenreaktoren (KKS) *50:* 518
Schubarth, Th., Physikalische Auslegung des Fortgeschrittenen Gasgekühlten Reaktors (KKS) *50:* 516
Schulten, R., Zukunftsaussichten des THTR-Kraftwerkes *50:* 500–504
Schulze, K.-H., Regelung von Kernkraftwerken mit gasgekühlten Reaktoren am Beispiel des Fortgeschrittenen Gasgekühlten Reaktors (KKS) *50:* 519
Schuster, H., siehe Schoch, W.
Schwarz, E. R., Brennstoffkosten von Kernkraftwerken (KKS) *50:* 521
—, Kreislauf von Kernbrennstoffen (KKS) *50:* 521
Schwarz, O., VGB-Jubiläums-Hauptversammlung (50 Jahre VGB) vom 1. bis 4. Juni 1970 in Essen *50:* 245–253
Setzer, K., Gestaltung und Ausführung von Naturzugkühltürmen *50:* 438
Shaheeb, A. R., siehe Eichhorn, F.
Sostmann, R., siehe Lindow, R.
Stein, H., Elektrotechnik in Kernkraftwerken (KKS) *50:* 521
Steller, P., siehe Mutke, R.
Stönner, A., Schneider, A., und König, W., Messungen von Kohlenstaubkonzentrationen in Rohrleitungen mit Hilfe von radioaktiven Isotopen *50:* 100–104
Stüger, R., Auslegung, Aufbau und Funktion des Schwerwasserreaktors (KKS) *50:* 520
Sulliga, J., siehe Krost, H.
Syring, H., siehe Kraushaar, K. H.
Szabolcs, G., Erfahrungen beim Berstversuch mit einer Kesseltrommel *50:* 411–420

Tränkner, E., Olympia-Bauwerke in München *50:* 439
Treille, P., und Kanow, P., Entwicklungen auf dem Gebiet der Gegenstromregeneration *50:* 441

Ullrich, E., Über den Sicherheitsbegriff in der Festigkeitslehre *50:* 203–206
Ullrich, W., Konstruktion des Reaktorkerns, der Brennelemente und der Hauptkomponenten der Reaktoranlage bei Siedewasserreaktoren (KKS) *50:* 517
Ulrych, G., Wärme- und strömungstechnische Auslegung bei Druckwasserreaktoren (KKS) *50:* 516

Vetter, H., Bedeutung einer Schadenserfassung in Wärmekraftwerken (Seminar-Einführung) *50:* 328–332
Vincent, R., Erfahrungen bei der Anwendung von pulverförmigen Ionenaustauschern *50:* 441
Voigt, O., Wärme- und strömungstechnische Auslegung bei Siedewasserreaktoren (KKS) *50:* 517
Voß, K., Herbrik, R., und Necker, P., Untersuchungen der Struktur und des dynamischen Verhaltens der Regelsysteme von Durchlaufdampferzeugern *50:* 88–94

Wahnschaffe, E., Ein Beitrag zur Behandlung von Kreislauf-Kühlwasser mit Rauchgas *50:* 440
Weber, G., Der Einfluß des Schwefelgehaltes auf das Korrosionsergebnis *50:* 60–66
Weicht, U., Wärme- und strömungstechnische Auslegung für den Hochtemperatur-Kugelhaufenreaktor (KKS) *50:* 517
Weidmann, J., und Ettemeyer, R., Besonderheiten auf dem Gebiet des Messens und Regelns für Kernkraftwerke im Vergleich zu konventionellen Anlagen *50:* 94–99
Weil, E., siehe Lindow, R.
Wellinger, K., und Kußmaul, K., 50 Jahre Werkstofftechnologie im Kraftwerksbau und -betrieb *50:* 356–362
Wiehn, H., siehe Schoch, W.
Wolff, U., Physikalische Auslegung von Siedewasserreaktoren (KKS) *50:* 516
Wolfskehl, O., Verhütung und Reparatur von Korrosionsschäden in Müllverbrennungsanlagen *50:* 436

Yläsaari, S., Untersuchungen über feuerseitige Sulfidkorrosion bei Sodarückgewinnungsanlagen *50:* 437

Zeman, V., und Budajová, E., Stabilität des Strömens in Durchlauf-Verdampfungssystemen *50:* 320–327
Ziermann, E., siehe Ettemeyer, R.

Sachverzeichnis 1970

Hinter dem Stichwort bedeutet (B) = Buchbesprechungen
Hinter dem Stichwort bedeutet (KKS) = VGB-Kernkraftwerks-Seminar 1970.

Das Buch kann durch die VGB-Dampftechnik GmbH, 43 Essen, Postfach 1791, zum Preise von DM 40,— für Mitgliedswerke und DM 60,— für Nichtmitglieder bezogen werden.

Abbrand beim Fortgeschrittenen Gasgekühlten Reaktor (KKS) *50:* 516
Abbrandmessung beim Hochtemperatur-Kugelhaufenreaktor (KKS) *50:* 516
Abfälle, Beseitigung radioaktiver *50:* 442
—, radioaktive, Behandlung und Beseitigung (B) *50:* 240
Abfallbeseitigung, Anlagentechnik in der — Müllverbrennung, Teilverwertung *50:* 445–467
— im SVR-Gebiet *50:* 111
Abfallverbrennungsanlagen, Korrosionen *50:* 435
Abgastemperatur, Einfluß auf die Anlagekosten bei kombinierten Prozessen *50:* 153–161
Ablagerungen in Magnesiumbisulfit-Ablaugekesseln *50:* 437
Abschalteinrichtungen beim Hochtemperatur-Kugelhaufenreaktor (KKS) *50:* 517
Abschaltsicherheit von Sattdampfturbinen (KKS) *50:* 521
Abschirmelemente beim Fortgeschrittenen Gasgekühlten Reaktor (KKS) *50:* 517
Abwasseraufbereitung beim Fortgeschrittenen Gasgekühlten Reaktor (KKS) *50:* 518
AD, Mitteilungen der Arbeitsgemeinschaft Druckbehälter *50:* 340
Aktive Abfälle beim Fortgeschrittenen Gasgekühlten Reaktor (KKS) *50:* 518
Aktivitätsmessungen *50:* 97
Altölaufbereitung *50:* 182
Altölbeseitigung *50:* 181
Altölgesetz *50:* 181
Altölverbrennung *50:* 182
Altölvernichtung, Investitionen und Verbrennungskosten *50:* 184
Altölvernichtungsanlage der Stadtwerke Bielefeld *50:* 182
Analysengeräte, Spurenmessung mit automatischen — *50:* 104–108
An- und Abfahren beim Fortgeschrittenen Gasgekühlten Reaktor (KKS) *50:* 518
An- und Abfahrvorgang beim Hochtemperatur-Kugelhaufenreaktor (KKS) *50:* 518
Anfahr-, HD-Reduzier- und Sicherheitseinrichtung in Kombination, Schaltung, Funktionsweise, Erfahrungen, Genehmigung *50:* 1–10
Anfahrdiagramm für den kombinierten Gas-Dampfblock der Neckarwerke *50:* 153–161
Anfahrperiode (KKS) *50:* 521
Anfahrventil, Aufgabe *50:* 1–10
Anreicherung beim Fortgeschrittenen Gasgekühlten Reaktor (KKS) *50:* 516
Arbeitsschutz – Gesetzgebung, Unfallverhütung *50:* 468–473
— und DDA *50:* 273–277
Arbeitsverfügbarkeit, Begriffsbestimmung *50:* 335–337
Architektur der Kraftwerke *50:* 362–371
Ascheverwertung, Internationale Erfahrungen auf dem Gebiet der — *50:* 191–197
Atomkern, Aufbau des — (KKS) *50:* 516
Atomreaktorsysteme in Großbritannien *50:* 496/497
Atomrecht, deutsches (B) *50:* 338
Atomwirtschaft, Handbuch der — (B) *50:* 338
—, Gesetze, Verordnungen, Bekanntmachungen, Erlasse auf dem Gebiet der — (B) *50:* 338
Aufgaben des DDA *50:* 273–277
Aufgabenstellung des Rechners für das KW Westfalen *50:* 32
Ausbrandverhalten, Das Strömungsbild einer Kohlenstaub-Drallflamme und sein Einfluß auf ihr Zünd- und — *50:* 186–191
Auslegung, Kernkraftwerke Hinkley Point, Sizewell *50:* 10–21
Auslegungsdaten beim Fortgeschrittenen Gasgekühlten Reaktor (KKS) *50:* 517
— beim Hochtemperatur-Kugelhaufenreaktor (KKS) *50:* 516
Ausnutzungsgrenzen der Kühlwasserversorgung *50:* 438
Automatische Analysengeräte, Spurenmessung mit — *50:* 104–108
Automatischer Dampferzeuger nach dem Funktionsgruppenprinzip *50:* 382–387
Automatisierung in Kraftwerken durch Großrechneranlagen bzw. Rechner für Spezialgebiete, Langzeitüberwachung, Berechnungen zul. Materialspannungen beim Anfahrbetrieb usw. *50:* 445–467
— in Kernkraftwerken (KKS) *50:* 521
— der Entaschungsanlage *50:* 390–392
— der Überwachung und Bedienung *50:* 23–27
— des technologischen Prozesses *50:* 23–27
AVR, Betriebserfahrungen mit dem — *50:* 500–504
— Jülich, Chemie im Kernkraftwerk mit Hochtemperaturreaktor *50:* 441
Axialpumpen, Interne — bei Siedewasserreaktoren (KKS) *50:* 517

Baugeschichtliche Entwicklung der Kraftwerke *50:* 362–371
Bauhütte III, Hütte, Taschenbuch der Bautechnik Grundbau – Verkehrsbau – Wasserbau (B) *50:* 523
Bauweise, Kernkraftwerk Biblis *50:* 438
Behandlung radioaktiver Abfälle bei Druckwasserreaktoren (KKS) *50:* 518
— — Stoffe beim Hochtemperatur-Kugelhaufenreaktor (KKS) *50:* 518
Bensonkessel, Druckverlustanstieg *50:* 277
Berechnung von Flossenrohren *50:* 197–202
Berstversuch und Dehnungsmessungen an einer Kesseltrommel *50:* 411–420
Beschickungsanlage beim Hochtemperatur-Kugelhaufenreaktor (KKS) *50:* 517
Bestandsbewirtschaftung der Lagerhaltung durch Elektronenrechner (B) *50:* 523
Beton – Strahlenabschirmung, Reaktordruckbehälter, Sicherheitsbehälter *50:* 10–21
—, Flugaschen im —, Gasbeton, Leichtbeton *50:* 192–194

Betriebsstörungen beim Fortgeschrittenen Gasgekühlten Reaktor (KKS) *50:* 518
Betriebsverhalten der kombinierten Gas-Dampfturbinenanlage „Hohe Wand" *50:* 161–166
Bindungsenergie (KKS) *50:* 516
Blockleistung, maximale und mittlere — in der Bundesrepublik Deutschland und den USA *50:* 265–273
Blockleitgerät *50:* 382–387
Braunkohle, salzhaltige *50:* 350
Braunkohlenrostfeuerung (Entwicklung) *50:* 349
Brennelemente, Aufarbeitung der — (KKS) *50:* 521
—, Herstellung der — (KKS) *50:* 521
— bei Druckwasserreaktoren (KKS) *50:* 517
— beim Hochtemperatur-Kugelhaufenreaktor (KKS) *50:* 517
Brennelementbecken-Kühlkreislauf bei Druckwasserreaktoren (KKS) *50:* 518
Brennelementfertigung (B) *50:* 240
Brennelementwechselmaschine beim Fortgeschrittenen Gasgekühlten Reaktor (KKS) *50:* 517
Brennelementwechselplan (KKS) *50:* 521
Brennelementwechselsystem bei Siedewasserreaktoren (KKS) *50:* 518
Brennermundgeometrie, Einfluß von — *50:* 189/190
Brenngase, siehe Gase
Brennstoffabbrand bei Druckwasserreaktoren (KKS) *50:* 616
Brennstoffanreicherung bei Siedewasserreaktoren (KKS) *50:* 516
Brennstoffbewertung, Richtlinien zur vergleichenden — (B) *50:* 340
Brennstoffe, fossile, bei unterschiedlichen Dampferzeuger-Bauarten, Kraftwerkskessel, Industriekessel *50:* 445–467
—, Anteile in thermischen Kraftwerken im Hinblick auf die Zubauleistung *50:* 445–467
Brennstoffhandhabung beim Fortgeschrittenen Gasgekühlten Reaktor (KKS) *50:* 518
Brennstoffkostenrechnung, Näherungsverfahren für die — (KKS) *50:* 521
Brennstoffkreislauf, nuklearer (B) *50:* 240
— beim Fortgeschrittenen Gasgekühlten Reaktor (KKS) *50:* 516
Brennstoffpolitik Großbritanniens *50:* 495/496
Brennstoffschmelzen, Sicherheit gegen — bei Druckwasserreaktoren (KKS) *50:* 516
— bei Siedewasserreaktoren (KKS) *50:* 517
Brennstoffzyklus beim Hochtemperatur-Kugelhaufenreaktor (KKS) *50:* 516
Bruchverhalten der geborstenen Kesseltrommel *50:* 304–314
Brüter, Schneller, natriumgekühlt, Auslegung, Aufbau und Funktion des — (KKS) *50:* 520
Brutreaktoren *50:* 132
Bundesanstalt für Unfallforschung und Arbeitsschutz – Aufgaben *50:* 273–277
Bunker, Fließverhalten von Schüttgütern in — (B) *50:* 443
Burgmann-Handbuch, Ausgabe 1969 (Dichtelemente, Kompensatoren) (B) *50:* 240

Caisson – Containment *50:* 10–21
Cewilith *50:* 196
Chemikalieneinspeisung bei Druckwasserreaktoren (KKS) *50:* 518
Chlorid, Rolle bei Korrosionen *50:* 436
Chloridkorrosion *50:* 422
Chrom-Nickel-Stähle in Kernkraftwerken *50:* 132
CO_2-Turbine – Größenvergleich mit normaler ZÜ-Dampfturbine *50:* 265–273
Containerschalen, Stahl, Spannbeton für Reaktor-Sicherheitseinschluß *50:* 10–21
Containment, Gestaltung *50:* 10–21
Crab-Nebel *50:* 254
Cyc-Arc-Lichtbogen-Bolzenschweißen *50:* 504–515

Dampfblasengehalt bei Siedewasserreaktoren (KKS) *50:* 517
Dampfdrücke, hohe (Entwicklung) *50:* 351
Dampferzeuger, ein vollautomatischer — für Kohlebetrieb *50:* 382–387
— -Gegenstrom, konvektiv beheizt, Durchflußstabilität, Druckverlust *50:* 228–237
— beim Hochtemperatur-Kugelhaufenreaktor (KKS) *50:* 517
— beim Fortgeschrittenen Gasgekühlten Reaktor (KKS) *50:* 517
Dampferzeugerbau (Entwicklung) *50:* 349
Dampfkessel, Einrichtung und Betrieb (B) *50:* 152
—, Die — einschließlich Feuerungen und Hilfseinrichtungen (III) (B) *50:* 240
Dampfkesselbestand in der Bundesrepublik Deutschland *50:* 51
Dampfkesselüberwachungsvereine, privatrechtliche Organisation *50:* 468–473
Dampfkraftwerke, Große —, Planung, Ausführung und Bau, 3. Band: Die Kraftwerksausrüstung Teil B (B) *50:* 239
Dampfleistung, installierte — in der Bundesrepublik Deutschland *50:* 265–273
Dampfturbine 1200 MW, Schnittbild *50:* 265–273
Datenverarbeitungsanlagen, Betriebserfahrungen mit — *50:* 28–32
Dehnungsmessungen an einer Kesseltrommel *50:* 411–420
Deponien im SVR-Gebiet *50:* 110
Der gerichtliche Sachverständige (B) *50:* 339
Deutscher Dampfkesselausschuß (DDA) – Aufgaben *50:* 273–277
DIN 4100, Erläuterungen zu —, Fachbuchreihe „Schweißtechnik" (B) *50:* 339
Dopplereffekt, Auswirkung des — bei Druckwasserreaktoren (KKS) *50:* 516
Drallflamme, Das Strömungsbild einer Kohlenstaub-Drallflamme und sein Einfluß auf ihr Zünd- und Ausbrandverhalten *50:* 186–191
Drallzahl, Einfluß von — und Brennergeometrie *50:* 189
Druckregelung bei Siedewasserreaktoren (KKS) *50:* 518
Druckverlustanstieg *50:* 277
—, Meßergebnisse *50:* 277–295
Druckverlustmessungen *50:* 286
Druckverteilung in Sammlern und Verteilern bei U-Strömung *50:* 315–320
Druckumsetzungszahl in Sammlern, Verteilern *50:* 315–320
Druckwasserreaktor (KKS) *50:* 516–521
—, Behandlung radioaktiver Abfälle (KKS) *50:* 518
—, Betriebs- und Störverhalten (KKS) *50:* 518
—, Brennelementbecken-Kühlkreislauf (KKS) *50:* 518
—, Brennelemente (KKS) *50:* 517
—, Brennstoffabbrand (KKS) *50:* 516
—, Brennstoffschmelzen (KKS) *50:* 516
—, Chemikalieneinspeisung (KKS) *50:* 518
—, Dopplereffekt, Auswirkung des — (KKS) *50:* 516
—, Filmsieden, Sicherheit gegen — (KKS) *50:* 516
—, Heißkanalfaktoren (KKS) *50:* 516
—, Kerngerüst (KKS) *50:* 517
—, Kerntechnische Hilfs- und Nebenanlagen (KKS) *50:* 518

Druckwasserreaktor (KKS)
—, Konstruktion des Reaktorkerns, der Brennelemente und der Hauptkomponenten der Reaktoranlage (KKS) *50:* 517
—, Kühlkanalfaktoren (KKS) *50:* 516
—, Kühlmittelaufbereitung (KKS) *50:* 518
—, Lastzyklusbetrieb (KKS) *50:* 516
—, Leistungsformfaktor (KKS) *50:* 516
—, Lufttechnische Anlagen (KKS) *50:* 518
—, Multiplikationsfaktor (KKS) *50:* 516
—, Nachkühlsystem (KKS) *50:* 518
—, Neutronenbilanz (KKS) *50:* 516
—, Nuklearer Zwischenkühlkreis (KKS) *50:* 518
—, Physikalische Auslegung (KKS) *50:* 516
—, Reaktivität (KKS) *50:* 516
—, Reaktivitätskoeffizienten (KKS) *50:* 516
—, Reaktivitätskontrolle (KKS) *50:* 516
—, Regelung des Kernkraftwerkes (KKS) *50:* 518
—, Sicherheit, inhärente — (KKS) *50:* 516
—, Sicherheits-Einspeisesystem (KKS) *50:* 518
—, Sicherheitstechnische Gesichtspunkte (KKS) *50:* 519–520
—, Steuerstäbe (KKS) *50:* 517
—, Volumenregelsystem (KKS) *50:* 518
—, Wärme- und strömungstechnische Auslegung (KKS) *50:* 516
—, Xenonschwingungen, Auswirkung der — (KKS) *50:* 516
Druckwasserreaktoren, Wasserchemie bei — *50:* 441
Durchflußstabilität konvektiv beheizter Gegenstrom-Dampferzeuger, allgemein *50:* 228–237
Durchflußverteilung bei axialer Abströmung des Sammlers *50:* 315–320
— bei axialer Anströmung des Verteilers *50:* 315–320
— in Rohrregistern *50:* 315–320
—, Ungleichförmigkeitsgrad der — in Rohrregistern *50:* 315–320
Durchmesserverhältnis, Ermittlung des optimalen — bei Sammlern und Verteilern bei U-Strömung *50:* 315–320
Dynamisches Verhalten der Regelsysteme von Durchlaufdampferzeugern, Untersuchungen des — *50:* 88–94

ECE-Unterausschuß „Verwendung von Flugaschen" *50:* 191–197
Ehrenurkunde erhielt für seine Verdienste auf dem Gebiet „Großkesselbau" Direktor Dipl.-Ing. E. Brünecke *50:* 242
— erhielt für seine Verdienste auf dem Gebiet „Werkstofftechnik" Oberingenieur Dr.-Ing. I. Class *50:* 242
— erhielt für seine Verdienste auf dem Gebiet „Speise-
— wasserchemie" Chefchemiker i. R. Dr.-Ing. H.
— Kiekenberg *50:* 243
— post mortem erhielt für seine Verdienste auf dem Gebiet „Werkstofftechnik" Prokurist Dr.-Ing. W. Ruttmann † *50:* 243
— erhielt für seine Verdienste auf dem Gebiet „Feuerungstechnik" Direktor A. von Weihe *50:* 244
— erhielt für seine Verdienste auf dem Gebiet „Kraftwerker-Ausbildung" Direktor i. R. Dr.-Ing. W. Witwer *50:* 244
Eigenbedarfsversorgung von Kernkraftwerken (KKS) *50:* 521
Eisen, Korrosion durch Chloride *50:* 422
Eisens, Der Weg des —, Bilder aus dem Werdegang des Eisens von Erz zu Stahl *50:* 340
Elektrizitätsversorgung, Die öffentliche — im Bundesgebiet einschließlich West-Berlin 1967 (B) *50:* 240
Elektrofilterkorrosion in Müllverbrennungsanlagen *50:* 437
Elektroschlackeschweißen (B) *50:* 523
Elektrotechnik im Industriebetrieb (B) *50:* 524
Endvorwärmung des Speisewassers, Entwicklung der — in der Bundesrepublik Deutschland *50:* 265–273
Energiegewinnung in Kernkraftwerken *50:* 132
Energiepolitik, Zielsetzung der — *50:* 259–264
Energieprobleme aus deutscher Sicht *50:* 259–264
Energiesituation im Jahre 1970 in Frankreich *50:* 486–493
Energiewirtschaft, Statistik der —, Ausgaben 1968 und 1969 (B) *50:* 339
—, Statistik der —, Ausgabe 1970 (B) *50:* 524
Energiewirtschaftsgesetz *50:* 263/264
Engpaßleistung in der Bundesrepublik Deutschland bis 1980 *50:* 265–273
Entaschung, hydraulische *50:* 387–394
Entaschungsanlage, pneumatische *50:* 58
—, Druckwasser *50:* 58
Entcarbonisierung mit Kalk bzw. im Ionenaustausch *50:* 440
Entgasung auf chemischem Wege mit Hydrazin *50:* 440
— auf chemischem Wege mit aktiviertem Hydrazin *50:* 439
Entladungsabbrand bei Siedewasserreaktoren (KKS) *50:* 516
Entsalzung und Filtration mit pulverförmigen Ionenaustauschern *50:* 441
Entsalzungsanlagen, Gegenstromregeneration *50:* 441
Entstaubungsanlagen in der Umwelttechnik, Elektrofilter, Konverterentstaubung *50:* 445–467
Entwicklungstendenzen im Kraftwerksbau *50:* 362–371
Erdgas, Regelung von — *50:* 178
—, Verfügbarkeit von — *50:* 179
—, Vorkommen und Reserven *50:* 176
Erdgasanalyse *50:* 77
Erdgaseigenschaften *50:* 177
Erdgasreduzierstation der Gasunie NV *50:* 373
Erdgasversorgungsanlagen *50:* 78
Erfassungsstufen, Möglichkeiten hinsichtlich Aufwand und Zielsetzung für die Schadenserfassung *50:* 420–423
Erlöse, Durchschnittswerte für elektrischen Strom – Entwicklung der — in der Bundesrepublik Deutschland *50:* 265–273
Ermüdungsverhalten von Bauteilen unter Innendruck *50:* 356–362
Erosionen an den Endschaufeln von Sattdampfturbinen (KKS) *50:* 521
Erosions-Korrosionen bei Sattdampfturbinen (KKS) *50:* 521
Erwärmung der Gewässer *50:* 438
Epitaxie *50:* 118

Fertigung der geborstenen Kesseltrommel *50:* 304–314
Fertigungstechnik und Automatisierung als Grundlage einer langfristigen Industrieplanung (B) *50:* 444
Festigkeitsberechnung, Entwicklung *50:* 356–362
—, Grundlagen und technische Anwendung (B) *50:* 339
Festigkeitslehre, Sicherheitsbegriff *50:* 203–206
Feststoffkonzentration *50:* 189
Feuerungen, Verbrennung und —, VDI-Berichte Nr. 146 (B) *50:* 523
—, Die Dampfkessel einschließlich — und Hilfseinrichtungen (III) (B) *50:* 240
Feuerungsbau (Entwicklung) *50:* 349
Filmbildungsgeschwindigkeit in Abhängigkeit von Temperatur und Luftüberschuß *50:* 63–65
Filmsieden, Sicherheit gegen — bei Druckwasserreaktoren (KKS) *50:* 516
Filtration und Entsalzung mit pulverförmigen Ionenaustauschern *50:* 441
Flamme *50:* 186–191
Flammenüberwachung von Gasbrennern *50:* 47
Fließverhalten von Schüttgütern in Bunkern (B) *50:* 443

Flossenrohre, Berechnungen, Spannungen quer zur Rohrachse *50:* 197–202
Flüssiggas, Anwendungsbeispiele für — (B) *50:* 444
Flugasche *50:* 191–196
Förderanlage, Wahl der — bei der Entaschung *50:* 387
Folienisolierung beim Fortgeschrittenen Gasgekühlten Reaktor (KKS) *50:* 517
Fortgeschrittener Gasgekühlter Reaktor (KKS) *50:* 516–521
—, Abbrand (KKS) *50:* 516
—, Abschirmelemente (KKS) *50:* 517
—, Abwasseraufbereitung (KKS) *50:* 518
—, Aktive Abfälle (KKS) *50:* 518
—, An- und Abfahren (KKS) *50:* 518
—, Anreicherung (KKS) *50:* 516
—, Auslegungsdaten (KKS) *50:* 517
—, Betriebsstörungen (KKS) *50:* 518
—, Betriebs- und Regelverhalten (KKS) *50:* 518
—, Brennelementwechselmaschine (KKS) *50:* 517
—, Brennstoffhandhabung (KKS) *50:* 518
—, Brennstoffkreislauf (KKS) *50:* 516
—, Dampferzeuger (KKS) *50:* 517
—, Folienisolierung (KKS) *50:* 517
—, Gassysteme (KKS) *50:* 518
—, Gebläse (KKS) *50:* 517
—, Heißstellen (KKS) *50:* 517
—, Kern (KKS) *50:* 517
—, Kerntechnische Hilfs- und Nebenanlagen (KKS) *50:* 518
—, Konstruktion des Reaktorkerns, der Brennelemente und der Hauptkomponenten der Reaktoranlage (KKS) *50:* 517
—, Kühlgasüberwachung (KKS) *50:* 518
—, Lastfahren (KKS) *50:* 518
—, Lüftungsanlage (KKS) *50:* 518
—, Leistungsverteilung (KKS) *50:* 516
—, Moderatorkühlung (KKS) *50:* 517
—, Physikalische Auslegung (KKS) *50:* 516
—, Reaktivitätsbilanz (KKS) *50:* 516
—, Reaktordynamik (KKS) *50:* 518
—, Regelgrößen des nuklearen Dampferzeugungssystems (KKS) *50:* 519
—, Regelung von Kernkraftwerken mit gasgekühlten Reaktoren (KKS) *50:* 519
—, Schwingungen (KKS) *50:* 517
—, Sicherheitstechnische Gesichtspunkte (KKS) *50:* 519
—, Stellgrößen des nuklearen Dampferzeugungssystems (KKS) *50:* 519
—, Spaltgasdruck (KKS) *50:* 516
—, Spannbetonbehälter (KKS) *50:* 517
—, Spannbetonbehälterkühlung (KKS) *50:* 518
—, Temperaturgrenzen (KKS) *50:* 517
—, Temperaturkoeffizienten (KKS) *50:* 516
—, Übergangsverhalten der Dampferzeuger (KKS) *50:* 519
—, Überschußreaktivität (KKS) *50:* 516
—, Wärme- und strömungstechnische Auslegung (KKS) *50:* 517
Fortschritte im Kraftwerksbau *50:* 362–371
Freilastrechner für Dampferzeuger *50:* 382–387
Freisetzungsrate der Spaltprodukte aus den Brennelementem beim Hochtemperatur-Kugelhaufenreaktor (KKS) *50:* 516
Frischdampftemperatur bei verschiedenen Brennstoffen *50:* 170–175
Frischdampfzustände, maximale und mittlere — in der Bundesrepublik Deutschland *50:* 265–273
Frischwasserkühlung, Ausnutzungsgrenzen *50:* 438
Fundamente für Schornsteinbauwerke *50:* 438
Funktionsgruppen, automatisierte, eines Dampferzeugers mit Kohlefeuerung *50:* 382–387
Funktionsgruppenautomatik in der Vollentsalzungsanlage des KW Staudinger *50:* 33
Funktionsgruppenautomatik der Vollentsalzungsanlage des KW Staudinger, Aufbau der — *50:* 34–37
— der Vollentsalzungsanlage des KW Staudinger, Gerätetechnik der — *50:* 37/38

Gasanlagen im Kraftwerk Hunze *50:* 372–381
Gasbrenner, Auslegung und Konstruktionsmerkmale von — *50:* 38–44
—, Brennerabstände *50:* 43
—, Flammenüberwachung von — *50:* 47
—, Hochdruck- *50:* 39
—, Niederdruck- *50:* 39
—, Raumtiefe *50:* 43
—, Zündgeschwindigkeit *50:* 41
Gasbrennersteuerung, Zeitschema für das Zünden *50:* 375–379
Gas-Dampfturbinenanlage in Kombination, „Hohe Wand", Auslegung, Betriebserfahrungen *50:* 161–166
Gas- und Dampfturbinenprozesse in der Kraftwerkstechnik, Beschreibungen, Betriebserfahrungen, Wirkungsgrade *50:* 445–467
Gas-Dampfprozeß-Kombination für 250 MW bei den Neckarwerken *50:* 153–161
Gasdiffusionsverfahren (KKS) *50:* 521
Gasfeuerung, Eckenbrenner, Frontbrenner *50:* 378–380
Gasfeuerungen, Selbstzündung von Brenngasen in Abgasen von — *50:* 49
—, Spüldauer, erforderliche — von — *50:* 48
—, Sicherheitstechnische Probleme an — *50:* 44–50
—, Vorträge auf der Intherm 69 (B) *50:* 240
—, Vorträge auf der Intherm 70 (B) *50:* 522
Gasförmige Brennstoffe Gichtgas, Koksgas und Erdgas *50:* 164; 295
Gasreduzierstation *50:* 77
Gassysteme beim Fortgeschrittenen Gasgekühlten Reaktor (KKS) *50:* 518
Gasturbine, 55 MW, Schnittbild *50:* 265–273
Gasturbinen, Entwicklung des Bestelleinganges in der Bundesrepublik Deutschland *50:* 265–273
— im Zusammenhang mit optimalem Kraftwerkseinsatz *50:* 265–273
Gasventile, Dichtheit von — *50:* 45
—, Kennlinie von — *50:* 45
Gebläse beim Fortgeschrittenen Gasgekühlten Reaktor (KKS) *50:* 517
Gefahr, Prognose der — (B) *50:* 338/339
Gefüge, topotaktische *50:* 118
Gegenstrom-Dampferzeuger, konvektiv beheizt, Durchflußstabilität und Druckverlust *50:* 228–237
Gegenstromregeneration bei Entsalzungsanlagen *50:* 441
Geiger-Müller-Zählrohr, Kerninstrumentierung mit leicht- und gasgekühlten Reaktoren (KKS) *50:* 520
Genehmigung, Geschlossene – schrittweise — bei Kernkraftwerken (KKS) *50:* 521
—, Atomrechtliche — (KKS) *50:* 521
Genehmigungsverfahren für kombinierte Sicherheitsstationen *50:* 1–10
Gersteinwerk, Hydraulische Schlackenförderung *50:* 388
Gesamtregelschema beim Hochtemperatur-Kugelhaufenreaktor (KKS) *50:* 518
Gesamtregelung bei Siedewasserreaktoren (KKS) *50:* 518
Geschichtliches über Kernkraftwerksprogramme Großbritanniens *50:* 495
Gesetzgeber und DDA *50:* 273–277
Gesetz über die Entschädigung von Zeugen und Sachverständigen (B) *50:* 339
Gestaltung von Naturzugkühltürmen *50:* 438
Gewerbeordnung und Technische Überwachung *50:* 468–473

Gichtgasbrenner, Ausführung der — *50:* 298
—, Regelbereich der — *50:* 300
Glasfaserkunststoffe, Druckfeste Formkörper von — *50:* 340
Gleichgewichtsperiode (KKS) *50:* 521
Grenzleistung von Turbosätzen *50:* 265–273
Grundrisse, Kernkraftwerke Hinkley Point, Sizewell *50:* 10–21
Gründung von Naturzugkühltürmen *50:* 438
Großbritannien, Kernkraftwerke im Rahmen der Stromversorgung *50:* 493–500
Großchemie, Anlagentechnik in der —, Beschreibung von Verfahren, Betriebserfahrungen, Werkstoffprobleme *50:* 445–467
Güte der Frischdampftemperatur, Regelung bei Geradeausbetrieb, Untersuchungen über die — *50:* 207–211
Guilleaume-Gedenkmünze für Verdienste um das deutsche Dampfkesselwesen, Verleihung an Professor Dr.-Ing. habil. Dr. techn. E. h. Karl Wellinger *50:* 241
Gußwerkstoffe im Hoch- und Tiefbau (B) *50:* 240

Härteprüfung, Lichtbogen-Bolzenschweißverbindungen *50:* 504–515
Hastelloy *50:* 132
HD-Reduzier-, -Anfahr- und -Sicherheitseinrichtungen in Kombination, Schaltung, Funktionsweise, Erfahrungen, Genehmigung *50:* 1–10
Heißkanalfaktoren bei Druckwasserreaktoren (KKS) *50:* 516
Heißstellen beim Fortgeschrittenen Gasgekühlten Reaktor (KKS) *50:* 517
Heizungs-, Lüftungs- und Klimatechnik, Band 1, Heizungstechnik (B) *50:* 444
Heliumsystem beim Hochtemperatur-Kugelhaufenreaktor (KKS) *50:*518
Himmelskörper, Neue — *50:* 253
Hochbunker für hydraulische Entaschung *50:* 393
Hochdruckvorwärmer der Sammlerbauweise, Erklärung von Korrosionsvorgängen *50:* 206
Hochtemperaturkorrosion *50:* 437
Hochtemperatur-Kugelhaufenreaktor (KKS) *50:* 516–521
— Abbrandmessung (KKS) *50:* 516
—, Abschalteinrichtungen (KKS) *50:* 517
—, An- und Abfahrvorgang (KKS) *50:* 518
—, Auslegedaten (KKS) *50:* 516
—, Behandlung radioaktiver Stoffe (KKS) *50:* 518
—, Beschickungsanlage (KKS) *50:* 517
—, Betriebsverhalten und Regelung des Kernkraftwerkes (KKS) *50:* 518
—, Brennelemente (KKS) *50:* 517
—, Brennstoffzyklus (KKS) *50:* 516
—, Dampferzeuger (KKS) *50:* 517
—, Freisetzungsrate der Spaltprodukte aus den Brennelementen (KKS) *50:* 516
—, Gesamtregelschema (KKS) *50:* 518
—, Heliumsystem (KKS) *50:* 518
—, Kerntechnische Hilfs- und Nebenanlagen (KKS) *50:* 518
—, Konstruktion des Reaktorkerns, der Brennelemente und der Hauptkomponenten der Reaktoranlage (KKS) *50:* 517
—, Kühlgebläse (KKS) *50:* 517
—, Kühlwasserversorgungssystem (KKS) *50:* 518
—, Lufttechnische Anlagen (KKS) *50:* 518
—, Neutronenökonomie (KKS) *50:* 516
—, Physikalische Auslegung (KKS) *50:* 516
—, Sicherheitstechnische Gesichtspunkte (KKS) *50:* 519
—, Spannbetonbehälter (KKS) *50:* 517
—, Störfälle (KKS) *50:* 518
—, Verhalten bei Laständerungen (KKS) *50:* 518
Hochtemperatur-Kugelhaufenreaktor, Wärme- und strömungstechnische Auslegung (KKS) *50:* 517
— Wiederaufarbeitung der Brennelemente (KKS) *50:* 516
Hochtemperatur-Phasenanalyse in Ablagerungen von Müllverbrennungsanlagen *50:* 438
Hochtemperaturreaktor, Chemie beim — *50:* 441
„Hohe Wand", kombinierte Gas-Dampf-Turbinenanlage, Auslegung, Betriebserfahrungen *50:* 161–166
Hydrazin, aktiviertes — zur chemischen Entgasung *50:* 439
— zur chemischen Entgasung *50:* 440

Impulsverstärker, Kerninstrumentierung mit leicht- und gasgekühlten Reaktoren (KKS) *50:* 520
Incoloy *50:* 132
Inconel *50:* 132
Inhibitoren der Ölaschekorrosion *50:* 437
Injektoren für gas- und dampfförmige Medien (B) *50:* 443
INTEKA, Internationale Ausstellung „Technik in Wärmekraftanlagen" *50:* 340–348
Ionenaustauscher, Gegenstromregeneration *50:* 441
—, Anwendung von pulverförmigen — *50:* 441
—, Porenstrukturen makroporöser — *50:* 440
Ionisationskammern, Kerninstrumentierung mit leicht- und gasgekühlten Reaktoren (KKS) *50:* 520
Isotope, Messungen von Kohlenstaubkonzentrationen in Rohrleitungen mit Hilfe von radioaktiven — *50:* 100–104

Jahrbuch für Bergbau, Energie, Mineralöl und Chemie – Ausgabe 1969 (B) *50:* 152

Kern beim Fortgeschrittenen Gasgekühlten Reaktor (KKS) *50:* 517
Kernabmessungen beim Schwerwasserreaktor (KKS) *50:* 520
Kernbauteile für Siedewasserreaktoren (KKS) *50:* 517
Kernbrennstoffe, Kreislauf von — (KKS) *50:* 521
Kernbrennstoffaufbereitung, chemische Grundlagen (B) *50:* 240
—, ingenieurtechnische Gesichtspunkte (B) *50:* 240
Kerngerüst bei Druckwasserreaktoren (KKS) *50:* 517
Kernkraftkomponenten, unmittelbare und mittelbare — im Kraftwerksbau, Beschreibungen, Anforderungen, Erfahrungen unterschiedlicher Anlagen *50:* 445–467
Kernkraftwerk Biblis, Bau- und Wirkungsweise *50:* 438
— mit Hochtemperaturreaktor, Chemie im — *50:* 441
Kernkraftwerke, Auslegung, Grundrisse Hinkley Point, Sizewell *50:* 10–21
— mit Druckwasserreaktoren, Wasserchemie *50:* 441
—, Ausbau der — in Frankreich von 1948 bis 1972 *50:* 486–493
— im Rahmen der Stromversorgung Großbritanniens *50:* 493–500
Kernreaktoren *50:* 132
—, Radiolyse des Wassers *50:* 441
Kesselpreise, Entwicklung der — in der Bundesrepublik Deutschland *50:* 265–273
Kesseltrommel, Versagen bei der Wasserdruckprobe, Rißverlauf *50:* 304–314
—, Lochkantenrisse, Berstversuch *50:* 411–420
Kesseltrommeln, Auffüllen, Anwärmen, Konservieren, Spannungsanalyse *50:* 394–410
Klärschlammbeseitigung *50:* 116
Kohle, ihre jährliche Förderung in den Jahren 1947 bis 1970 in Frankreich *50:* 486–493
Kohledruckvergasung bei kombinierten Prozessen in der Kraftwerkstechnik *50:* 445–467.

Kohlenstaub-Drallflamme, Das Strömungsbild einer — und sein Einfluß auf ihr Zünd- und Ausbrandverhalten. *50:* 186–191
Kohlenstaubfeuerung, Beiträge angewandter Strömungsforschung zur Entwicklung der —, VDI-Forschungsheft 532 (B) *50:* 240
Kohlenstaubkonzentrationen in Rohrleitungen *50:* 100–104
Koksgasbrenner, Regelbereich der — *50:* 300
Kombination von HD-Anfahr-, Reduzier- und Sicherheitsstation *50:* 1–10
Kombinationsbrenner für Erdgas und Heizöl *50:* 80
Kombinierte Gas- und Dampfturbinenprozesse in der Kraftwerkstechnik, Beschreibungen, Betriebserfahrungen, Wirkungsgrade *50:* 445–467
— Gas-Dampfturbinenanlage „Hohe Wand", Betriebserfahrungen, Auslegung *50:* 161–166
— Prozesse *50:* 265–273
Kombinierter Gas-Dampfprozeß für 250 MW bei den Neckarwerken *50:* 153–161
Kondensatordruck – mittlerer und max. – Entwicklung des — in der Bundesrepublik Deutschland und den USA *50:* 265–273
Konstruktionselemente des Maschinenbaues (B) *50:* 338
Konvektiv beheizte Gegenstrom-Dampferzeuger, Durchflußstabilität und Druckverlust *50:* 228–237
Kornentmischung im Nußkohlenbunker *50:* 55
Korrosion, Der Einfluß des Schwefelgehaltes auf die — *50:* 60–66
— durch Chloride *50:* 422
— an Hochdruckvorwärmern *50:* 206
— in Müllverbrennungskesseln *50:* 75
Korrosionen in Müll- und Abfallverbrennungsanlagen, Internationale Tagung am 7./8. April 1970 in Düsseldorf *50:* 435
Korrosionsmechanismus, Deutung des — *50:* 118
Korrosionsmessungen *50:* 61–66
Korrosionsprodukte, kristalline *50:* 118
Korrosionsschutz, Schornsteinschaft *50:* 438
Kosten, Anlage— von Müllverbrennungsanlagen *50:* 114
— der Anreicherung (KKS) *50:* 521
—, Investitionskosten *50:* 297
— je Tonne geförderter Schlacke *50:* 392
—, Stromgestehungskosten *50:* 297
Kostensenkung bei kombinierten Gas- und Turbinenprozessen in der Kraftwerkstechnik *50:* 445–467
— bei der Planung und Investition von Dampferzeuger-Bauarten für fossile Brennstoffe, Kraftwerkskessel, Industriekessel *50:* 445–467
— durch Standardisierung und Rationalisierung als Vorbedingung der Kraftwerksplanung *50:* 445–467
Kraftwerk „Hermann Wenzel" *50:* 167–175; 295–301
— Hunze, Betriebserfahrungen und Auslegung der Gasanlagen *50:* 372–381
— Robert Frank, Bisherige Betriebserfahrungen im — — — *50:* 77–83
Kraftwerke, baugeschichtliche Entwicklung *50:* 362–371
Kraftwerksautomatisierung, Stand und Tendenzen der — *50:* 22–28
Kraftwerksausrüstung, Große Dampfkraftwerke – Planung, Ausführung und Bau, 3. Band, Teil B (B) *50:* 239
Kraftwerksbau, Fortschritte *50:* 362–371
—, Werkstofftechnologie *50:* 356–362
Kraftwerkseinsatz, optimaler — im Zusammenhang mit Gasturbinen *50:* 265–273
Kraftwerksentwicklung *50:* 362–371
Kraftwerksplanung, Kostensenkung durch Standardisierung und Rationalisierung als Vorbedingung der — *50:* 445–467
—, Zubauleistungen von konventionellen Kraftwerken und von Kernkraftwerken, realisierte Objekte und Planungen (bis 1974) *50:* 445–467
Kraftwerksstandort, RWE-Kraftwerk Essen-Karnap *50:* 439
Kreislauf-Kühlwasser, Behandlung mit Rauchgas *50:* 440
Kriech- und Zeitstandversuche langzeitbeanspruchter Bauteile, Gefügezustand, Zähigkeitsverhalten *50:* 122–132
Kritische Heizflächenbelastung bei Siedewasserreaktoren (KKS) *50:* 517
Kunststoffe ersetzen Metalle (B) *50:* 444
— bei der Müllbeseitigung *50:* 436
Kühlgasüberwachung beim Fortgeschrittenen Gasgekühlten Reaktor (KKS) *50:* 518
Kühlgebläse beim Hochtemperatur-Kugelhaufenreaktor (KKS) *50:* 517
Kühlkanalfaktoren bei Druckwasserreaktoren (KKS) *50:* 516
Kühlmittelaufbereitung bei Druckwasserreaktoren (KKS) *50:* 518
Kühlwasser-Kreislaufbehandlung mit Rauchgas *50:* 440
Kühlwasserversorgung, Wasserwirtschaftliche Anforderungen *50:* 438
Kühlwasserversorgungssystem beim Hochtemperatur-Kugelhaufenreaktor (KKS) *50:* 518

Lärmentwicklung von Druckreduzieranlagen für Erdgas *50:* 78
Lagerbeckenkühlsystem bei Siedewasserreaktoren (KKS) *50:* 518
Lagerdruckwassersystem für interne Axialpumpen bei Siedewasserreaktoren (KKS) *50:* 518
Langzeitbeanspruchte Bauteile, mechanische Eigenschaften, Verwendbarkeit, metallographische und metallkundliche Untersuchungen *50:* 122–132
Langzeitsicherheit *50:* 203–206
Laständerungsgeschwindigkeit bei konventionellen und bei Kernkraftwerken *50:* 99
Lastfahren beim Fortgeschrittenen Gasgekühlten Reaktor (KKS) *50:* 518
Lastfolgeverhalten beim Schwerwasserreaktor (KKS) *50:* 520
Lastzyklusbetrieb bei Druckwasserreaktoren (KKS) *50:* 516
Leerlaufkühlsystem bei Siedewasserreaktoren (KKS) *50:* 518
Leistungsdichte bei Siedewasserreaktoren (KKS) *50:* 516
Leistungsformfaktor bei Druckwasserreaktoren (KKS) *50:* 516
Leistungsreserve, Auswertung, Schadensstatistik *50:* 429–435
Leistungsverfügbarkeit, Begriffsbestimmung *50:* 335–337
Leistungsverteilung, Räumliche — bei Siedewasserreaktoren (KKS) *50:* 516
— beim Fortgeschrittenen Gasgekühlten Reaktor (KKS) *50:* 516
Lichtbogen-Bolzenschweißen, Verfahrenstechnik, Metallurgie *50:* 504–515
Lineare Verstärker, Kerninstrumentierung mit leicht- und gasgekühlten Reaktoren (KKS) *50:* 520
Lochkantenrisse durch Wärmespannungen in einer Kesseltrommel *50:* 411–420
Löhne, Entwicklung der — in der Bundesrepublik Deutschland *50:* 265–273.
Logarithmische Verstärker, Kerninstrumentierung mit leicht- und gasgekühlten Reaktoren (KKS) *50:* 520
Lohnanreicherung, Vertragsform der — (KKS) 50: 521
Lufttechnische Anlagen bei Druckwasserreaktoren (KKS) *50:* 518
— — beim Hochtemperatur-Kugelhaufenreaktor (KKS) *50:* 518
Lüftungsanlage beim Fortgeschrittenen Gasgekühlten Reaktor (KKS) *50:* 518

Magnesiumbisulfit-Ablaugekessel *50:* 437
Magnetitbildung *50:* 277
—, Einflußfaktoren, Beläge *50:* 277–295
Makroporöse Ionenaustauscher, Porenstrukturen — *50:* 440
Maschinenschutzgesetz, Das Gesetz über technische Arbeitsmittel (B) *50:* 523
Massendefekt (KKS) *50:* 516
Mechanische Eigenschaften langzeitbeanspruchter Bauteile, Anlieferung, neu vergütet, Kriech- und Zeitstandversuche *50:* 122–132
Mechanisch-technologische Eigenschaften einer Kesseltrommel *50:* 411–420
Meßtechnik für Kernkraftwerke im Vergleich zu konventionellen Anlagen *50:* 94–97
Messungen von Kohlenstaubkonzentrationen in Rohrleitungen mit Hilfe von radioaktiven Isotopen *50:* 100–104
Metallbälge (B) *50:* 444
Metallkundliche Untersuchungen langzeitbeanspruchter Bauteile, Rückstandanalysen *50:* 122–132
— Untersuchungsverfahren, Neuere (B) *50:* 443
Metallographische Untersuchungen langzeitbeanspruchter Bauteile *50:* 122–132
— Untersuchungen, Lichtbogen – Bolzenschweißverbindungen *50:* 504–515
Metallspritzen, Schützende Oberflächen durch Schweißen und — (B) *50:* 524
Metallurgie, Lichtbogen-Bolzenschweißen *50:* 504–515
Mindestreaktivitätskern (KKS) *50:* 521
Mitteilungen der VGB-Geschäftsstelle *50:* 76
Moderatorkühlung beim Fortgeschrittenen Gasgekühlten Reaktor (KKS) *50:* 517
Müll- und Abfallverbrennungsanlagen, Kurzfassung der Vorträge zur internationalen Tagung (B) *50:* 435–439
Müllbeseitigung, Neuzeitliche Wege der — (B) *50:* 240
— im Ruhrgebiet, Stand und Möglichkeiten der — *50:* 108–112
Müllfeuerungen, Roststabtemperatur in — *50:* 73
Müllgreiferkräne, Automatisierung der — *50:* 303
Müllkessel, automatische Regelung der Belastung *50:* 302
Müllverbrennung als Abfallbeseitigung in der Anlagentechnik *50:* 445–467
— (Entwicklung) *50:* 350
—, Korrosion an Kesseln *50:* 75
—, Verschmutzung von Kesseln *50:* 75
Müllverbrennungsanlage Mannheim, Betriebserfahrungen mit der — *50:* 70–76
— Rotterdam, Betriebserfahrungen *50:* 302–304
Müllverbrennungsanlagen, Wärmeverwertung in — *50:* 113–117
— im SVR-Gebiet *50:* 109
—, Korrosionen *50:* 435
Multiplikationsfaktor für Druckwasserreaktoren (KKS) *50:* 516

Nachkühlsystem bei Druckwasserreaktoren (KKS) *50:* 518
Natriumgekühlt, Schneller Brüter, Auslegung, Aufbau und Funktion des — (KKS) *50:* 520
Natururan-Brennstoffzyklus beim Schwerwasserreaktor (KKS) *50:* 520
Naturzugkühltürme, Gestaltung, Ausführung, Standortfragen, Gründungsarten, Vermessung *50:* 438
Neckarwerke, Kombinierte Gas-Dampfturbinen-Anlage der — *50:* 153–161
Neutrale Fahrweise, neue Erfahrungen *50:* 440
Neutronen, thermische *50:* 132
Neutronenbilanz für Druckwasserreaktoren (KKS) *50:* 516
Neutronenflußmessung *50:* 95/96
Neutronenkinetik bei Siedewasserreaktoren (KKS) *50:* 518
Neutronenökonomie beim Hochtemperatur-Kugelhaufenreaktor (KKS) *50:* 516
Neutronenphysikalische Grundlagen der Reaktorphysik (KKS) *50:* 516
Neuzeitliche Armaturen in Aufbau und Anwendung (B) *50:* 339
— Wege der Müllbeseitigung (B) *50:* 240
Nichtrostende Stähle in Kernreaktoren *50:* 132
Nichtverfügbarkeit, Entwicklung der — großer Blöcke *50:* 265–273
—, Arbeits- *50:* 335–337
—, Zeit- *50:* 423–429; 429–435
Niederdruckventil von Dampfturbinen, Entwicklung des — in der Bundesrepublik Deutschland *50:* 265–273
Niedriglegierte Stähle, Korrosion durch Chloride *50:* 422
Normen, Flugasche in den — *50:* 195
Notstromverbraucher in Kernkraftwerken (KKS) *50:* 521
Nukleare Aufbereitungsanlagen für Siedewasserreaktoren (KKS) *50:* 518
— Zwischenkühlkreis bei Druckwasserreaktoren (KKS) *50:* 518
Nuklearer Brennstoffkreislauf (B) *50:* 240

Ölaschekorrosion *50:* 437
Ölfeuerungen, Vorträge auf der Intherm 69 (B) *50:* 240
—, Vorträge auf der Intherm 70 (B) *50:* 522
Ölfeuerungskessel, Verschmutzung von — *50:* 66–70
Olympia-Bauwerke in München *50:* 439
Optimierungskriterien, Festlegung von — *50:* 354
Ortswahl für Kernkraftwerke in Großbritannien *50:* 497
Oxidschichten, Wachstum *50:* 277–295
Oxydationsgrund *50:* 190

Personalaufwand für die Schadenserfassung und -auswertung *50:* 420–423
— für die Schadensstatstik *50:* 423–429
Philips-Lichtbogen-Bolzenschweißen *50:* 504–515
Praktische Berechnung von Spannungen in Flossenrohren, hervorgerufen durch äußere Kräfte *50:* 197–202
Primärenergie Frankreichs – zukünftige Bedürfnisse *50:* 486–493
Primärenergiebasis in der Bundesrepublik Deutschland *50:* 265–273
Programmierung und Programmsystem des Rechners im KW Westfalen *50:* 31/32
Proportionalzählrohr, Kerninstrumentierung mit leicht- und gasgekühlten Reaktoren (KKS) *50:* 520
Prüfung der geborstenen Kesseltrommel *50:* 304–314
Prüfvorrichtungen für Lichtbogen-Bolzenschweißverbindungen *50:* 504–515
Pulsare (Neue Himmelskörper) *50:* 253–258

Radioaktive Abfälle, Beseitigung *50:* 442
— Stoffe, Beförderung der — (B) *50:* 338
— —, Schutz gegen — (B) *50:* 338
Radioastronomie *50:* 253
Radiogalaxien *50:* 253
Rauchgas zur Behandlung von Kreislauf-Kühlwasser *50:* 440
Rauchgastemperatur bei verschiedenen Brennstoffen *50:* 169
Reaktivität bei Druckwasserreaktoren (KKS) *50:* 516
Reaktivitätsbilanz beim Fortgeschrittenen Gasgekühlten Reaktor (KKS) *50:* 516
Reaktivitätskoeffizienten bei Druckwasserreaktoren (KKS) *50:* 516

Reaktivitätskontrolle bei Druckwasserreaktoren (KKS) *50:* 516
Reaktor – Strahlenabschirmung, Gestaltung *50:* 10–21
Reaktordruckbehälter, Stahl, Spannbeton *50:* 10–21
Reaktordynamik beim Fortgeschrittenen Gasgekühlten Reaktor (KKS) *50:* 518
Reaktorkomponenten, Kernkraftwerk Biblis *50:* 438
Reaktorreinigungssystem bei Siedewasserreaktoren (KKS) *50:* 518
Reaktorschutz *50:* 99
Reaktor-Sicherheitseinschluß, Konstruktionen, Containment, Containerschalen *50:* 10–21
Rechner zur Kraftwerksautomatisierung für Langzeitüberwachung, Berechnungen zul. Materialspannungen beim Anfahrbetrieb usw. *50:* 445–467
Recht und Technik *50:* 468–473
Reduzierventile, Aufgabe *50:* 1–10
Regelgrößen des nuklearen Dampferzeugungssystems beim Fortgeschrittenen Gasgekühlten Reaktor (KKS) *50:* 519
Regelgüte eines Endüberhitzers, Verbesserung durch Untersuchung am Analogrechner im Vergleich mit ausgeführten Messungen *50:* 211–216
Regelqualität, Möglichkeiten zur Verbesserung der — *50:* 211/212
—, Untersuchung eines Verfahrens zur Verbesserung der — *50:* 212/213
Regelungstechnik für Kernkraftwerke im Vergleich zu konventionellen Anlagen *50:* 97–99
Reibung an der Rohrinnenfläche bei Zweiphasenströmung *50:* 216–228
Reparaturschweißung an einer Kesseltrommel *50:* 411–420
Richtlinien zur Erfassung von Schäden in Wärmekraftwerken *50:* 332–335
— zur vergleichenden Brennstoffbewertung (B) *50:* 340
Riffelrauhigkeit der Magnetitschicht *50:* 277
—, Strömungsverhalten, Druckverlust *50:* 277–295
Rißverlauf der geborstenen Kesseltrommel *50:* 304–314
Rohrleitungstechnik, Taschenbuch (B) *50:* 523
Rohrregister, Durchflußverteilung in — *50:* 315–320
Rostfeuerungen für Steinkohle *50:* 50–59
Roststabtemperaturen bei Müllfeuerungen *50:* 73
Roststabtemperaturverlauf beim Wanderrost *50:* 56
Rückkühlung, Entwicklung des Anteils der — in Prozent *50:* 265–273
Rückstandanalysen langzeitbeanspruchter Bauteile *50:* 122–132
Rückströmzone *50:* 189
Rüsten und Schalen (B) *50:* 524
Ruhrkohlen-Handbuch, Anhaltszahlen, Erfahrungswerte und praktische Hinweise für industrielle Verbraucher (B) *50:* 443
Rußbläser mit Wasser, betriebliche Bewährung von —, Wirkungsweise *50:* 83–88

Salzhaltige Braunkohle *50:* 350
Salzschmelzen, Korrosionen durch — *50:* 436
Sammler, Auffüllen, Anwärmen, Konservieren, Spannungsanalyse *50:* 394–410
—, Durchflußverteilung bei axialer Abströmung *50:* 315–320
Sattdampfturbinen, Konstruktionsüberblick von — (KKS) *50:* 521
Schadensauswertung *50:* 429–435
Schadenserfassung, Bedeutung in Wärmekraftwerken *50:* 328–332
—, Informationsweg und Formulare *50:* 423–429
—, Richtlinien für Wärmekraftwerke *50:* 332–335
Schadensschlüssel für Wärmekraftwerke, Gliederung des Kraftwerkes in Funktionsgruppen *50:* 332–335
Schadensschwerpunkte, Ursache, Dringlichkeit *50:* 429–435
Schadensstatistik, Auswertung *50:* 429–435
—, Begriffsbestimmung *50:* 335–337
—, Erfassungsstufen und Personalaufwand *50:* 420–423
—, organisatorischer Aufbau, Durchführung und Erfahrung beim RWE *50:* 423–429
—, Richtlinien *50:* 332–335
—, Schadenserfassung, Verfügbarkeit, Begriffsbestimmungen *50:* 328–332
Schäden an Kesseltrommeln, Abhilfemaßnahmen *50:* 394–410
— an Sammlern, Abhilfemaßnahmen *50:* 394–410
—, Schweißverbindungen, mechanische Überbeanspruchung *50:* 122–132
Schallabsorption *50:* 439
Schalldämmung, physikalische Grundlagen *50:* 439
Schalldruckpegel *50:* 439
Schalleistungspegel *50:* 439
Schallschutzmaßnahmen, bautechnischer Teil *50:* 439
Schlackenförderung im Kraftwerk *50:* 387–394
Schlagzähigkeitsprüfung, Lichtbogen-Bolzenschweißverbindungen *50:* 504–515
Schlammwasserverdampfung, Dünnschichtverdampfer für — *50:* 117
Schmelzgranulate im Straßenbau der Bundesrepublik *50:* 196
Schnellentcarbonisierung oder Entcarbonisierung durch Ionenaustausch *50:* 440
Schneller Brüter, natriumgekühlt, Auslegung, Aufbau und Funktion des — (KKS) *50:* 520
Schornsteinbauwerke *50:* 438
Schornsteinfutter und Rauchgasrohre *50:* 438
Schornsteinschaft, Baustoffe *50:* 438
Schraubenradgaszähler *50:* 79
Schrumpfungen, Spannungen und Risse beim Schweißen (B) *50:* 522
Schüttgüter, Fließverhalten von — in Bunkern (B) *50:* 443
Schweißen, Möglichkeiten zum Verbindungsschweißen, Löten und Kleben von Dünnblechen (B) *50:* 523
Schweißtechnische Entwicklung im Ausland (B) *50:* 524
Schweißtechnisches Hochschulkolloquium, 3. (B) *50:* 338
Schweißverbindungen für Lichtbogen-Bolzenschweißen *50:* 504–515
Schwerwasserkühlung beim Schwerwasserreaktor (KKS) *50:* 520
Schwerwasserreaktoren, Auslegung, Aufbau und Funktion des — (KKS) *50:* 520
Schwingungen beim Fortgeschrittenen Gasgekühlten Reaktor (KKS) *50:* 517
Selbstverwaltungsaufgaben des DDA *50:* 273–277
Setzungen *50:* 439
Sicherheit im Betrieb (B) *50:* 338
— in der Festigkeitslehre *50:* 203–206
—, Inhärente — bei Druckwasserreaktoren (KKS) *50:* 516
—, Recht und Wirtschaftlichkeit *50:* 468–473
Sicherheits-, HD-Reduzier- und Anfahreinrichtung in Kombination, Schaltung, Funktionsweise, Erfahrungen, Genehmigung *50:* 1–10
Sicherheitsbehälter, Gestaltung *50:* 10–21
— bei Siedewasserreaktoren (KKS) *50:* 517
Sicherheitseinrichtung für Überströmstation *50:* 1–10
Sicherheitseinschluß von Reaktoranlagen, Containerschalen, doppelschalige Ausführung *50:* 10–21
Sicherheits-Einspeisesystem bei Druckwasserreaktoren (KKS) *50:* 518
Sicherheitslichtschranke *50:* 103
Sicherheitstechnische Erfordernisse, Kernkraftwerk Biblis *50:* 438
Sicherheits-Überströmstationen, Ausführungsbeispiele *50:* 1–10

Sicherheitsventile, mittelbar wirkende oder mit Zusatzbelastung *50:* 1–10
Siedewasserreaktor (KKS) *50:* 516–521
—, Axialpumpen, interne — (KKS) *50:* 517
—, Betriebsverhalten und Regelung des Kernkraftwerkes (KKS) *50:* 518
—, Brennelementwechselsystem (KKS) *50:* 518
—, Brennstoffanreicherung (KKS) *50:* 516
—, Brennstoffschmelzen (KKS) *50:* 517
—, Dampfblasengehalt (KKS) *50:* 517
—, Druckregelung (KKS) *50:* 518
—, Entladungsabbrand (KKS) *50:* 516
—, Gesamtregelung (KKS) *50:* 518
—, Kernbauteile (KKS) *50:* 517
—, Kerntechnische Hilfs- und Nebenanlagen (KKS) *50:* 518
—, Konstruktion des Reaktorkerns, der Brennelemente und der Hauptkomponenten der Reaktoranlage (KKS) *50:* 517
—, Kritische Heizflächenbelastung (KKS) *50:* 517
—, Lagerbeckenkühlsystem (KKS) *50:* 518
—, Lagerdruckwassersystem für interne Axialpumpen (KKS) *50:* 518
—, Leerlaufkühlsystem (KKS) *50:* 518
—, Leistungsdichte (KKS) *50:* 516
—, Leistungsverteilung, räumliche — (KKS) *50:* 516
—, Neutronenkinetik (KKS) *50:* 518
—, Nukleare Aufbereitungsanlagen (KKS) *50:* 518
—, Physikalische Auslegung (KKS) *50:* 516
—, Reaktorreinigungssystem (KKS) *50:* 518
—, Sicherheitsbehälter (KKS) *50:* 517
—, Sicherheitstechnische Gesichtspunkte (KKS) *50:* 517
—, Sprungfunktionen, Verhalten bei — (KKS) *50:* 518
—, Steuerstabantrieb (KKS) *50:* 517
—, Störfallsystem (KKS) *50:* 518
—, Störfallverhalten (KKS) *50:* 518
—, Überschußreaktivität (KKS) *50:* 516
—, Umlaufregelung (KKS) *50:* 518
—, Wärme- und strömungstechnische Auslegung (KKS) *50:* 517
Sodarückgewinnungsanlagen *50:* 437
Sonnenwind *50:* 253
Spaltgasdruck beim Fortgeschrittenen Gasgekühlten Reaktor (KKS) *50:* 516
Spaltneutronen (KKS) *50:* 516
Spannbetonbehälter beim Fortgeschrittenen Gasgekühlten Reaktor (KKS) *50:* 517
— beim Hochtemperatur-Kugelhaufenreaktor (KKS) (KKS) *50:* 517
Spannbetonbehälterkühlung beim Fortgeschrittenen Gasgekühlten Reaktor (KKS) *50:* 518
Spannbeton-Reaktordruckbehälter, Vorteile, Grenzen, Konstruktionsformen, integrierte Systemauslegung *50:* 10–21
Spannungsanalyse, Sammler, Kesseltrommeln *50:* 394–410
Spannungsmessungen in Flossenrohren quer zur Rohrachse *50:* 197–202
Spannungszustand in Flossenrohren bei zusammengesetzter Beanspruchung *50:* 197–202
Speisepumpen – dampfangetrieben – Anteile in Prozent *50:* 265–273
Speisewasser, chemische Entgasung *50:* 440
—, Technologie in den vergangenen 50 Jahren *50:* 473
Speisewasserendvorwärmung, Einfluß der — auf den Wärmeverbrauch bei kombiniertem Prozeß *50:* 153–161
—, Entwicklung der — in der Bundesrepublik Deutschland *50:* 265–273
Spitzenanlage, ausgeführt mit kombiniertem Gas-Dampfprozeß bei den Neckarwerken AG *50:* 153–161
Sprödbruchsicherheit von Kesseltrommeln *50:* 304–314
Sprödbrüche, Entstehungsbedingungen *50:* 356–362
Sprungfunktionen, Verhalten bei — beim Siedewasserreaktor (KKS) *50:* 518
Stabilität des Strömens in Durchlauf-Verdampfungssystemen *50:* 320–327
Stampfmassen, Korrosionsvorgänge an — *50:* 118
Standortfragen von Naturzugkühltürmen *50:* 438
Statistik der Energiewirtschaft, Ausgaben 1968 und 1969 (B) *50:* 339
Statistik der Energiewirtschaft, Ausgabe 1970 (B) *50:* 524
Staubdichte, Messungen von Kohlenstaubkonzentrationen in Rohrleitungen mit Hilfe von radioaktiven Isotopen *50:* 100–104
Staubentnahme, Messungen von Kohlenstaubkonzentrationen in Rohrleitungen mit Hilfe von radioaktiven Isotopen *50:* 100–104
Staubleitungen, Messungen von Kohlenstaubkonzentrationen in Rohrleitungen mit Hilfe von radioaktiven Isotopen *50:* 100–104
Steinkohlefeuerung (Entwicklung) *50:* 350
Stellgrößen des nuklearen Dampferzeugungssystems beim Fortgeschrittenen Gasgekühlten Reaktor (KKS) *50:* 519
Steuerstabantrieb bei Siedewasserreaktoren (KKS) *50:* 517
Steuerstäbe bei Druckwasserreaktoren (KKS) *50:* 517
Störfälle beim Hochtemperatur-Kugelhaufenreaktor (KKS) *50:* 518
Störfallsystem bei Siedewasserreaktoren (KKS) *50:* 518
Störfallverhalten bei Siedewasserreaktoren (KKS) *50:* 518
—, Grundbegriffe des — (KKS) *50:* 516
Störquellen und Störfaktoren der Frischdampftemperatur-Regelung bei Geradeausbetrieb *50:* 208–210
Strahlenabschirmung, Reaktor, Primärkreislauf, Zubehöranlage *50:* 10–21
Strahlenschutz *50:* 96/97
Straßenbau, Flugasche bzw. Schmelzgranulate im — *50:* 195/196
Stromerzeugung in der Bundesrepublik Deutschland – technische und wirtschaftliche Entwicklung *50:* 265–273
— in der Bundesrepublik Deutschland – jährliche Zuwachsraten *50:* 265–273
—, Entwicklung *50:* 362–371
Stromversorgung, Kernkraftwerke im Rahmen der — Großbritanniens *50:* 493–500
Strömen, Stabilität des — in Durchlauf-Verdampfungssystemen *50:* 320–327
Strömungsbild, Das — einer Kohlenstaub-Drallflamme und sein Einfluß auf ihr Zünd- und Ausbrandverhalten *50:* 186–191
Strömungsforschung, Beiträge angewandter — zur Entwicklung der Kohlenstaubfeuerung, VDI-Forschungsheft 532 (B) *50:* 240
Strömungsgeschwindigkeit, Einfluß auf Druckverlustanstieg *50:* 288
Strömungsmodelle bei Zweiphasenströmung *50:* 216–228
Strömungswiderstand und ausgetauschte Flüssigkeitsmenge bei Zweiphasenströmung *50:* 216–228
Struktur der Regelsysteme von Durchlaufdampferzeugern, Untersuchungen der — *50:* 88–94
Sulfatisierung von CaO *50:* 118
Sulfidkorrosion in Sodarückgewinnungsanlagen *50:* 437
Supernova *50:* 254

Taschenbuch für Führungstechnik (B) *50:* 524
Taupunkt als Funktion der Anfahrzeit *50:* 63
Technik und Recht *50:* 468–473
Technische Regeln für Dampfkessel *50:* 468–473
— Entwicklung der Stromerzeugung in der Bundesrepublik Deutschland *50:* 265–273

Technischer Überwachungs-Verein, Aufgaben, rechtliche Stellung *50:* 468
Technologie des Speisewassers in den vergangenen 50 Jahren *50:* 473
Teilstromfilterung des Hauptkühlwasserkreislaufes *50:* 393
Temperaturbestimmung, Sondergebiete der — in Betrieb und Labor (B) *50:* 443
Temperaturgradienten, Sammler, Kesseltrommeln *50:* 394–410
Temperaturgrenzen beim Fortgeschrittenen Gasgekühlten Reaktor (KKS) *50:* 517
Temperaturkoeffizienten beim Fortgeschrittenen Gasgekühlten Reaktor (KKS) *50:* 516
THTR, Vorteile des — *50:* 500–504
—, Zukunftsaussichten des — *50:* 500–504
Thermodynamik der Hochtemperaturkorrosion *50:* 437
Thorium-Zyklus (KKS) *50:* 521
Topotaxie *50:* 118
Torsionsprüfung, Lichtbogen-Bolzenschweißverbindungen *50:* 504–515
Triflux, im Kraftwerk „Hermann Wenzel" *50:* 296
Turbosätze, Grenzleistung der — *50:* 265–273

Übergabestationen für Erdgas *50:* 178
Übergangsverhalten der Dampferzeuger beim Fortgeschrittenen Gasgekühlten Reaktor (KKS) *50:* 519
Überhitzerrohre, Korrosionsvorgänge an — *50:* 118
Überschußreaktivität beim Fortgeschrittenen Gasgekühlten Reaktor (KKS) *50:* 516
— bei Siedewasserreaktoren (KKS) *50:* 516
Überströmventile, Aufbau und Funktion *50:* 1–10
Umlaufregelung bei Siedewasserreaktoren (KKS) *50:* 518
Umweltschutz, Anlagentechnik für —, Elektrofilter, Konverterentstaubung, Brandschutz *50:* 445–467
Unfallverhütung, Moderne — *50:* 240
—, Arbeitsschutz – Gesetzgebung *50:* 468–473
— und DDA *50:* 273–277
Untersuchung der geborstenen Kesseltrommel *50:* 304–314
Uranerz, Gewinnung und Konzentration von — (KKS) *50:* 521
Uranerzbergbau (B) *50:* 240
Uranhexaflorid, Herstellungsverfahren von — (KKS) *50:* 521
Uran-Plutonium-Zyklus (KKS) *50:* 521
Uranversorgung mit angereichertem Uran (B) *50:* 240
U-Strömung, allgemeine *50:* 315–320

Verbrennung und Feuerungen, VDI-Berichte Nr. 146 (B) *50:* 523
Verfahrenstechnik, Lichtbogen-Bolzenschweißen *50:* 504–515
Verformungen in Flossenrohren *50:* 197–202
Verfügbarkeit, Begriffsbestimmungen für Wärmekraftwerke *50:* 335–337
—, Entwicklung der — großer Blöcke *50:* 265–273
— von Kesselanlagen *50:* 355
Verfügbarkeits- und Ausnutzungskennwerte, Begriffsbestimmungen *50:* 328–332
Verhalten bei Laständerungen beim Hochtemperatur-Kugelhaufenreaktor (KKS) *50:* 518
Vermessung von Naturzugkühltürmen *50:* 438
Vermessungstechnik, Auswertung *50:* 439
Versagen einer Kesseltrommel *50:* 304–314
Verschmutzung von Müllverbrennungskesseln *50:* 75
— von Ölfeuerungskesseln *50:* 66–70
Verschwächungsbeiwerte für Kesseltrommeln *50:* 411–420
Versprödung, Lichtbogen-Bolzenschweißverbindungen *50:* 504–515
Verteiler, Durchflußverteilung bei axialer Anströmung *50:* 315–320
Verwendbarkeit langzeitbeanspruchter Bauteile *50:* 122–132
VGB und DDA *50:* 273–277
VGB-Jubiläums-Hauptversammlung (50 Jahre VGB) vom 1. bis 4. Juni 1970 in Essen *50:* 245–253
Vollautomatisierte Rostfeuerungen *50:* 53
Volumenregelsystem bei Druckwasserreaktoren (KKS) *50:* 518

Wärmeaufnahme der Heizflächen bei verschiedenen Brennstoffen *50:* 174
Wärmeleistungsmessung bei Erdgasfeuerung *50:* 82
Wärmemengen bei verschiedenen Brennstoffen *50:* 169
Wärmespannungen, Lochkantenrisse in einer Kesseltrommel *50:* 411–420
Wärmeübergang – industrieller (B) *50:* 76
Wärmeverbrauch, spezifischer, der kombinierten Gas-Dampf-Anlage der Neckarwerke *50:* 153–161
Warmfeste Werkstoffe, Entwicklung *50:* 356–362
Wasser, Radiolyse in wassergekühlten Kernreaktoren *50:* 441
Wasseraufbereitung durch Entcarbonisierung *50:* 440
Wasserkraftwerke, ihre Entwicklung in Frankreich in den Jahren 1946 bis 1970 *50:* 486–493
Wasserrußbläser, betriebliche Bewährung von —, Wirkungsweise *50:* 83–88
Werkstoffe, kernphysikalische Eigenschaften *50:* 132
—, Korrosionsverhalten im Reaktorbau *50:* 132
Werkstoffkunde, Kleine — für das Schweißen von Stahl und Eisen (B) *50:* 524
Werkstofftechnologie im Kraftwerksbau und -betrieb *50:* 356–362
Werkstoffverhalten, überelastisch *50:* 356–362
Westfalen, Entaschung im Kraftwerk — *50:* 389
Wetterfeste Stähle, Verwendung — im Bauwesen (B) *50:* 338
Wiederaufarbeitung der Brennelemente beim Hochtemperatur-Kugelhaufenreaktor (KKS) *50:* 516
Wirkungsgrade von Kesseln mit Rostfeuerungen *50:* 53/54
Wirkungsquerschnitt (KKS) *50:* 516
Wirtschaftliche Entwicklung der Stromerzeugung in der Bundesrepublik Deutschland *50:* 265–273
Wobbezahl – Korrekturregelung *50:* 82

Xenonschwingungen, Auswirkung der — bei Druckwasserreaktoren (KKS) *50:* 516
Xenonvergiftungen beim Schwerwasserreaktor (KKS) *50:* 520

Zeitstandversuche langzeitbeanspruchter Bauteile *50:* 122–132
Zeitverfügbarkeit, Begriffsbestimmung *50:* 335–337
Zerspanung der Eisenwerkstoffe (B) *50:* 524
Zerstörungsfreie Schweißnahtprüfung (B) *50:* 443
Zubauleistungen von konventionellen Kraftwerken und Kernkraftwerken, realisierte Objekte und Planungen (bis 1974) *50:* 445–467
Zündverhalten, Das Strömungsbild einer Kohlenstaub-Drallflamme und sein Einfluß auf ihr Zünd- und Ausbrandverhalten *50:* 186–191
Zugfestigkeit, Lichtbogen-Bolzenschweißverbindungen *50:* 504–515
Zugschwellverhalten, Kerbstäbe *50:* 356–362
Zwangdurchlaufkessel, Bauformen der Umfassungswände in der Bundesrepublik Deutschland *50:* 265–273
Zweiphasenströmung im vertikalen, horizontalen und schrägen Rohr *50:* 216–228

Persönliches

Gerhard Arnold tritt in den Ruhestand *50:* 522
Herbert Bachl Professor *50:* 151
Arthur Brandes 65 Jahre *50:* 152
Georg Bremer 70 Jahre *50:* 522
Ehrhardt Brünecke, VGB-Ehrenurkunde *50:* 242
Wilhelm Buhr 80 Jahre *50:* 522
Herbert Brandt 65 Jahre *50:* 442
H. Cammann 60 Jahre *50:* 442
Immanuel Class 70 Jahre *50:* 337
Immanuel Class, VGB-Ehrenurkunde *50:* 242
Wilhelm Dörrscheidt 70 Jahre *50:* 522
Hermann Erythropel 60 Jahre *50:* 239
Karl Gäbel 65 Jahre *50:* 337
Arnold Theodor Groß gestorben *50:* 522
Karl Grünewald 70 Jahre *50:* 522
Wilhelm Herbert 65 Jahre *50:* 337
Herrmann Kiekenberg, VGB-Ehrenurkunde *50:* 243
Herbert Kramer gestorben *50:* 239
H. Löhle neuer Vorsitzender der Kraftwerker-Schule e. V. Essen *50:* 442
Gustav Adolf Matthaei 65 Jahre *50:* 152
Rudolf von Miller Dr. h. c. *50:* 337
H. Muser 65 Jahre *50:* 442
Wilhelm Otte 90 Jahre *50:* 152
Norbert Pees 70 Jahre *50:* 442
Karl Pilger 60 Jahre *50:* 337
Wilhelm Reerink 65 Jahre *50:* 76
Hugo Richter gestorben *50:* 337
Hanns-Joachim Riedel 60 Jahre *50:* 152
Wilhelm Ruttmann gestorben *50:* 152
Wilhelm Ruttmann †, VGB-Ehrenurkunde post mortem *50:* 243
August Schneider 50 Jahre *50:* 152
Wilhelm Schoch 50 Jahre *50:* 152
Hans Schrag gestorben *50:* 337
Karl Schröder Bundesverdienstkreuz *50:* 151
Gottfried Starke 60 Jahre *50:* 337
Richard Stroehlen 60 Jahre *50:* 152
Franz Theile 60 Jahre *50:* 337
Helmut Wagner Dr.-Ing. E. h. *50:* 152
Wasserrohrkessel-Verband (WKV) 50 Jahre *50:* 151
Alfred von Weihe 65 Jahre *50:* 522
Alfred von Weihe, VGB-Ehrenurkunde *50:* 244
Karl Wellinger, Guilleaume-Gedenkmünze *50:* 241
Wilhelm Witwer, VGB-Ehrenurkunde *50:* 244
Max Wolf gestorben *50:* 239
Emil Zeschky 65 Jahre *50:* 152

a'k2

MITTEILUNGEN DER VGB

TECHNISCHE VEREINIGUNG DER GROSSKRAFTWERKSBETREIBER

INHALTSVERZEICHNIS

DER
HEFTE 1—6
51. JAHRGANG (1971)

DIE FOTOS DER VERFASSER FINDEN SIE AUF DEN SEITEN 3 BIS 9

IN DEN SECHS HEFTEN DES JAHRGANGES 51 SIND ENTHALTEN:

Heft.	1	2	3	4	5	6
Seiten	1—80	81—166	167—258	259—344	345—430	431—518

Verfasserverzeichnis 1971

Aguet, E., Technische und wirtschaftliche Vorteile kombinierter Gasturbinen/Dampfkraftwerke *51:* 402–409

Ahlfänger, W., Herbsleb, G., und Resch, G., Dekontamination nuklearer Anlagenteile *51:* 427

Auclair, J., siehe Mascarello, J. M.

Bachl, H., Technik–Physik–Kybernetik *51:* 280–285

Balthazar, J., Methodische Untersuchungen über die kontinuierliche Kondensatreinigung mit Pulverharz-Anschwemmfiltern *51:* 426

Bettzieche, P., Die Kerbschlagzähigkeit warmfester Kesselstähle bei Prüftemperaturen bis 600° C *51:* 480–485

Bitterlich, E., siehe Hryniszak, W.

Böhm, A., Bublitz, D., und Hubert, M., Geräuschprobleme bei großen Rückkühlanlagen *51:* 235–242

Bohnsack, G., Zum Verständnis der Schikorr-Reaktion *51:* 61–75

—, Das Verhalten des Eisen(II)-hydroxids bei höheren Temperaturen *51:* 328–338

—, Der Einfluß des pH-Wertes auf das System Eisen–Wasser *51:* 425

Boisserée, K., Maßnahmen zum Schutz gegen Lärm – aus der Sicht der Gesetzgebung und Verwaltung *51:* 45–48

Borza, N., siehe Motoiu, C.

Brandel, A., und Fontaine, P., Versuche über die stöchiometrische Verbrennung in ölgefeuerten Kesseln französischer Großkraftwerke *51:* 147–151

Brinke, R., Durchlüftungs- und Verpuffungsversuche an einem Kraftwerks-Wasserrohrkessel *51:* 104–112

Bublitz, D., siehe Böhm, A.

Bünz, P., Ursachen, Messung und Begrenzung des Feststoffauswurfes aus ölgefeuerten Kesseln *51:* 491–497

Burchardt, H., Erfahrungen beim Betrieb der beiden neuen 100-MW-Blöcke des Kraftwerkes Offleben *51:* 136–142

Cerjak, H., siehe Debray, W.

—, und Debray, W., Erfahrungen mit austenitischen Schweißplattierungen an Kernreaktor-Komponenten *51:* 509

Chen, Y. N., Ursache und Vermeidung rauchgasseitiger Schwingungserscheinungen in Kesselanlagen infolge Brenngasdrall-Instabilität und Karman-Wirbelstraßen *51:* 113–123

Daniels, B., Heutige Basis der europäischen Erdölversorgung *51:* 17–23

DDA-Mitteilungen *51:* 77

Debray, W., und Cerjak, H., Werkstoffeigenschaften des Stahles 22 NiMoCr 3 7 für Kernreaktor-Komponenten *51:* 508/509

—, siehe Cerjak, H.

Deublein, O., und Schweiger, F., Anfahrmethoden und Anfahrprobleme bei Kernkraftwerken im Vergleich zu konventionellen Kraftwerken *51:* 1–8

Deuster, G., und Plür, R., Betriebserfahrungen mit Heißluftkraftwerken und Folgerungen für die weitere Entwicklung von Heliumkraftwerken *51:* 81–91

Didion, E., siehe Wilck, A.-F.

Dietz, H., Bautechnische Lagerungsprobleme in Wärmekraftwerken *51:* 466–471

Dörnen, K., Betrachtungen zur Kesselhaus-Freiluftbauweise *51:* 507

Doležal, R., Vereinfachte Methoden zur Berechnung des Naturumlaufes bei Dampfkesseln *51:* 181–187

Florin, C., siehe Keck, R.

Fontaine, P., siehe Brandel, A.

Frei, H., siehe Weber, M.

Fridrich, A., Planung und Bau des Kernkraftwerkes Biblis *51:* 507/508

Fuchs, W. E., siehe Pollmann, S.

Geiger, T., Bericht über einen fertigungsbedingten Zeitstandschaden *51:* 510

Geissler, Th., und Schüler, U., Erfahrungen im Bau und Betrieb von Braunkohlenfeuerungen *51:* 188–202

Glubrecht, H., Probleme bei der Gestaltung der Umwelt *51:* 508

Greuel, G., und Schiffers, A., Betriebserfahrungen mit Drewsperse 735 zur Kühlwasserkonditionierung *51:* 505/506

Hahn, M., Schalldämpfer für gasförmige Medien unter Berücksichtigung ihrer Verwendung im Kraftwerk *51:* 498–505

Hammerstein, P., siehe Keck, R.

Hansen, W., siehe Rosborough, D. F.

Held, H.-D., Planung von Kondensatentsalzungsanlagen bei Zwangdurchlaufkesselbetrieb *51:* 255

—, Einige aktuelle Aufgaben der Kraftwerks-Chemie *51:* 425

Herbsleb, G., siehe Ahlfänger, W.
Hermes, P., Folgerungen aus den Betriebserfahrungen mit einer Müllschlackensinteranlage *51:* 33–37
Hirschfelder, G., Ein Beitrag zur Kondensat-Leistungsregelung eines Blockkraftwerkes für Gleitdruckbetrieb mit Kohlefeuerung *51:* 151–164
Hissink, M., Die photometrische Bestimmung der Gesamthärte in Wasser *51:* 342/343
Hochmüller, K., Möglichkeiten zur Rationalisierung und Automatisierung von Vollentsalzungsanlagen *51:* 426
Hofmann, K., Betriebserfahrungen mit Anschwemmfiltern zur Kondensataufbereitung *51:* 427
Hofmann, W., Zuverlässigkeit und Wartung von Meß- und Regelanlagen *51:* 374–380
Honert, E., und Knüfer, H., Gesichtspunkte für Planung, Bau und Betrieb von Gebläsen für Dampferzeuger *51:* 37–45
Hryniszak, W., und Bitterlich, E., Entwicklungsprobleme der Dampferzeuger im Zusammenhang mit der zukünftigen Entwicklung von Kernkraftwerken *51:* 444–454
Hubert, M., siehe Böhm, A.
Huijbregts, W. M. M., Der Einfluß von Kupfer und Kupferoxid auf die Korrosion von Kesselstahl *51:* 229–235

Ihrenberger, A., siehe Wilck, A.-F.

Jahn, E., Korrosionsuntersuchungen an Rohr-Schweißverbindungen der Stähle 13 CrMo 4 4 und 10 CrMo 9 10 *51:* 410–417
Jansen, G., Lärmschädigung am Arbeitsplatz *51:* 48–50
Janssen, U., Emissionen von Kernkraftwerken *51:* 143–147
Jüntgen, H., und Knoblauch, K., Neuere Entwicklungstendenzen der Rauchgasentschwefelung in den USA und Deutschland *51:* 211–218

Kauffeld, W., Abnahmeversuche an Regelanlagen für Kraftwerksblöcke *51:* 96–104
Kautz, K., Korrosionsursachen in Hausmüllverbrennungsanlagen *51:* 398–402
—, und Kirsch, H., Neue Ergebnisse der Korrosionsforschung auf dem Gebiet der Müllverbrennung *51:* 223–228
—, siehe Singh Dev, R.
Keck, R., Opel, P., Florin, C., und Hammerstein, P., Eigenspannungen erster Art in schweißplattierten Bauteilen *51:* 508
Kegel, H., Das Automatisierungskonzept und die ersten Erfahrungen mit der automatischen Fahrweise eines ölgefeuerten 150-MW-Blockes im Kraftwerk Irsching der Isar-Amperwerke AG *51:* 366–374
Kiesling, J., Die zentrale Instandhaltung des HEW – eine neuzeitliche Betriebskonzeption *51:* 293–301
Kirsch, H., siehe Kautz, K.
—, siehe Singh Dev, R.
Kittel, H., Technische und wirtschaftliche Bedeutung der Chemie im Kraftwerksbetrieb *51:* 381–385
Klump, W., und Viefers, H., Wassereinsparung in geschlossenen Kühlkreisläufen *51:* 254–255
Knoblauch, K., siehe Jüntgen, H.
Knüfer, H., siehe Honert, E.
van der Kooi, I., Wirkungsgradermittlung an Müllverbrennungsanlagen mit Wärmeausnutzung *51:* 26–32
Kowalczyk, U., siehe Tichatschke, J.
Krupop, J., Gekühlte Schlackenauslauflocheinfassung mit automatischer Schlackenabstoßeinrichtung für Schmelzfeuerungen *51:* 208/209
—, Erfahrungen mit Ljungström-Luftvorwärmern *51:* 321–324
Kutsch, K., Rationalisierung im Industriebau durch Netzplantechnik, Grundlagen und Perspektiven *51:* 507

Laufhütte, D. W., und Partsch, C. J., Aufstellung von Lärmkatastern in Kraftwerken und Durchführung von Expositionstests nach VDI 2058, Blatt 2, „Beurteilung von Arbeitslärm am Arbeitsplatz hinsichtlich Gehörschäden" *51:* 243–247

Makinejad, N., siehe Weber, R.
Mascarello, J. M., und Auclair, J., Ergebnisse der Versuchsanlage zur Abgasentschwefelung im E. d. F.-Kraftwerk St. Ouen *51:* 324–328
Mathias, G., Betrachtungen zur regeldynamischen Struktur der Kraftwerks-Blockregelung *51:* 363–366
Maygatt, W., Anforderungen an das Regelverhalten von Kraftwerksblöcken – Formulierung und Prüfung der Gewährleistungen bei Neuanlagen – Gerätetechnik *51:* 92–95
Mayr, A., siehe Schenk, H.
Meyer, L., siehe Schuetzenduebel, W. G.
Motoiu, C., und Borza, N., Über die Ausbildung des Bauteiles von Wärmekraftwerken in Rumänien *51:* 248–254

Norda, H., Versorgung eines Kraftwerkes der chemischen Industrie mit flüssigen und gasförmigen Brennstoffen *51:* 23–26
Nowak, F., Untersuchungen über die zulässige Rostbelastung von Müllverbrennungskesseln *51:* 130–135

Opel, P., siehe Keck, R.
Orth, G., Baukosten konventioneller Kraftwerke *51:* 506/507
Overman, L. J., Snel, A., und Venderbosch, H. W., Zur verminderten Kapazität von Ionenaustauschern bei der Entfernung von Spurenverunreinigungen aus Wasser *51:* 426

Partsch, C. J., siehe Laufhütte, D. W.
Pickel, E., siehe Schenk, H.
Plür, R., siehe Deuster, G.
Pollmann, S., und Fuchs, W. E., Das Korrosionsverhalten feuerfester Baustoffe gegenüber Heizölaschen in Dampferzeugern *51:* 391–398
Pollmanns, B., Erfahrungen mit UV-Flammenwächtern bei Erdgas- und Ölbetrieb im Kraftwerk Wolfsburg *51:* 312–321
Profos, O., siehe Weber, M.

Rees, E., Bemannte Raumfahrtprojekte *51: 271–279*
Resch, G., siehe Ahlfänger, W.
Rosborough, D. F., und Hansen, W., Untersuchungen über Hochtemperaturkorrosionen an ölgefeuerten Kraftwerkskesseln mit nahstöchiometrischer Feuerführung *51:* 51–57
Ruppert, K., Maßnahmen zur Behebung von Economiserschäden infolge Unterschreiten des Säuretaupunktes aus wirtschaftlicher Sicht *51:* 58–61

Schenk, H., Mayr, A., und Pickel, E., Erfahrungen mit den Dampferzeugern im Kernkraftwerk Obrigheim aus Inbetriebnahme, Betrieb und erster Inspektion *51:* 175–181
Schiffers, A., siehe Greuel, G.
Schiller, K., Organisation und Betriebserfahrungen bei der Beseitigung chemischer Produktionsrückstände der BASF *51:* 123–130
Schnellenbach, G., Bauliche Maßnahmen zur Aufnahme von Erdbebenbeanspruchungen bei Kernkraftwerken *51:* 506
Schoch, W., und Spähn, H., Über die Rolle der spannungsinduzierten Korrosion und der Schwingungsrißkorrosion bei der Rißbildung an wasserberührten Kesselteilen *51:* 511
Schüler, U., siehe Geissler, Th.
Schuetzenduebel, W. G., und Meyer, L., Das nukleare Dampferzeugungssystem des ersten gasgekühlten 330-MW-Hochtemperaturreaktors der USA in Fort St. Vrain *51:* 351–357
Schwarz, O., Kurzbericht über die Tätigkeit der VGB 1970/71 *51:* 167–174
Schweiger, F., siehe Deublein, O.
Schwenk, W., Örtliche Korrosion bei Stahlwerkstoffen – Schadensbild – Ursachen – Begriffe 51: 510/511
Singh Dev, R., Kautz, K., und Kirsch, H., Kristallstrukturelle Vorgänge bei der Reaktion von SO_3 und SO_2 mit Flugaschepartikeln und Additiven *51:* 338–341
Snel, A., siehe Overmann, L. J.
Spähn, H., Anwendung der Bruchmechanik *51:* 509/510
—, siehe Schoch, W.
Spliethoff, H., Verhaltensuntersuchungen an Schmelzkammerfeuerungen *51:* 8–16
—, Anfahr- und Abfahrverhältnisse von Brennkammern *51:* 202–208
Splittgerber, E., Probleme bei Schadenuntersuchungen und -auswertungen *51:* 471–479
Stoll, A., Informationstechnik in der Kraftwerkswarte *51:* 358–363
Teske, G., Elektrochemisches Meßverfahren zur Kontrolle der Hydrazinkonzentration im Kesselspeisewasser und im Heizungswasser *51:* 425/426
Thier, H., Werkstoffeigenschaften und Verarbeitung des hochwarmfesten Stahles X 20 CrMo 8 2 *51:* 510
Thomas, H.-J., Grenzleistungsprobleme bei thermischen Turbomaschinen *51:* 286–293
Tichatschke, J., und Kowalczyk, U., Untersuchungen über den Kupfergehalt im Turbinenkondensat und im Kesselwasser beim Anfahren nach Turbinenstillständen *51:* 75/76
—, Untersuchungen über Emissionen aus Müllverbrennungsanlagen *51:* 219–223

Venderbosch, H. W., siehe Overmann, L. J.
VGB, Der VGB-Kongreß „Technik in Wärmekraftwerken 1971" *51:* 260–271
Viefers, H., siehe Klump, W.
Völcker, H., Technologische Probleme der Brennstoffversorgung von Kernkraftwerken *51:* 345–350

Wahnschaffe, E., Ein Beitrag zur Umwandlung von SO_2 zu SO_3 *51:* 385–390
Weber, M., Frei, H., und Profos, O., Erfahrungen aus Forschung, Herstellung und Betrieb von gasbeheizten Dampferzeugern für Kernkraftwerke *51:* 455–465
Weber, R., und Makinejad, N., Grundlagen zur analytischen Festigkeitsberechnung von Flossenrohrwänden als anisotrope Flächentragwerke *51:* 417–425 (Teil I) *51:* 485–491 (Teil II)
Went, J. J., Entwicklung eines thermischen Brüters in den Niederlanden *51:* 431–436
Wilck, A.-F., Didion, E., und Ihrenberger, A., Betriebserfahrungen mit einem Schnellstartkessel zur Abdeckung der Spitzenlast in einem Industriekraftwerk *51:* 301–311
Woitscheck, A., Bruchmechanismen und ihre Kennzeichnung im mikrofraktografischen Bild *51:* 510
Wolff, J., Wie sicher sind Druckgefäße in Wärmekraftwerken? *51:* 437–444

Sachverzeichnis 1971

Hinter dem Stichwort bedeutet (B) = Buchbesprechungen

Abfallbrennstoffe aus Raffinerien *51:* 23
Abgasentschwefelung, Kosten der *51:* 327
Abgasentschwefelungsanlage im KW St. Ouen *51:* 324
Abnahmeversuche an Regelanlagen für Kraftwerksblöcke *51:* 96
Absorptionsschalldämpfer *51:* 498–505
Abstimmung von Maschinenfundamenten (hoch, tief) *51:* 466–471
Abwasser- und Müllbeseitigungsanlagen, Bau und Ausrüstung von (B) *51:* 258
AD-Merkblätter, Verzeichnis *51:* 78
—, Neuausgaben *51:* 344
Additive, Absorption von SO_3 und SO_2 *51:* 338
— in Müllverbrennungsanlagen *51:* 224
AGR-Kraftwerke, ausgeführte Anlagen *51:* 445–454
—, Dampferzeuger *51:* 445–454
—, Zwischenüberhitzer *51:* 445–454
Aktivitätsabgaben deutscher Kernkraftwerke 1968 und 1969 *51:* 143–147
Anfahrmethoden und Anfahrprobleme bei Kernkraftwerken im Vergleich zu konventionellen Kraftwerken *51:* 1–8,
— von Kernkraftwerken *51:* 1–8
Anschwemmfilter zur Kondensataufbereitung, Betriebserfahrungen *51:* 427
— mit Pulverharzen zur Kondensatreinigung, methodische Untersuchungen *51:* 426
Antrieb für Gebläse in gasgekühlten Reaktoren *51:* 43–44
Arbeitsvorbereitung im Reparaturbetrieb *51:* 293–301
Audiologische Befundaufnahme *51:* 246
Audiometrischer Untersuchungsgang (Lärm) *51:* 245/246
Aufgeladene Dampferzeuger, Dampfanlagen mit *51:* 402–409
Auftragswesen bei der Instandhaltung *51:* 293–301
Austrittsquerschnitte von Turbinen, Vergrößerung der *51:* 286–293
Automatisierung von Vollentsalzungsanlagen *51:* 426
Automatisierungskonzept, Das – und die ersten Erfahrungen mit der automatischen Fahrweise eines ölgefeuerten 150-MW-Blockes *51:* 366
AVR, Kernkraftwerk, Anfahrmethode des *51:* 1–8
Axialgleichdruckgebläse *51:* 37
Axialüberdruckgebläse mit regelbaren Laufschaufeln *51:* 37/38

Baukosten konventioneller Kraftwerke *51:* 506/507
Bauliche Maßnahmen bei Erdbebenbeanspruchungen *51:* 506
— —, Freiluftbauweise *51:* 507
Baustoffe, feuerfeste *51:* 391
Bautechnologie für Wärmekraftwerke in Rumänien *51:* 248–254
Bautechnische Lagerungsprobleme *51:* 466–471
Beizversuche an ungeglühten Rundschweißungen *51:* 410–417
Bemannte Raumfahrtprojekte *51:* 271–279
Bemessungstafeln, Kreisquerschnitte, Kreisringquerschnitte, Dreieckquerschnitte, Trapezquerschnitte, Rechteckquerschnitte (B) *51:* 429
Berechnung des Naturumlaufes bei Dampferzeugern, vereinfachte Methode *51:* 181–187
— von Flossenrohrwänden *51:* 417–425 und *51:* 485–491
Betriebserfahrungen mit zwei 100-MW-Blöcken des KW Offleben *51:* 136–142
— mit braunkohlegefeuerten 100-MW-Dampferzeugern (Benson) in Membranwand-Bauweise *51:* 136–142
— mit braunkohlegefeuerten 100-MW-Dampferzeugern (Sulzer) in Skin-Casing-Bauweise *51:* 136–142
— mit zwei systemgleichen braunkohlegefeuerten 100-MW-Blöcken *51:* 136–142
Biblis, Kernkraftwerk, Planung und Bau *51:* 507/508
Bingham-Flüssigkeit *51:* 431–436
Bleicarbonat, als Additiv *51:* 338
Bleiverbindungen, in Belägen von Hausmüllverbrennungsanlagen *51:* 398
Blockleitebene, Betriebserfahrungen mit *51:* 371
Bogenzahnkupplung, Schmierstoffwechselzeit *51:* 39 und 41
Braunkohlen, Art und Zusammensetzung der *51:* 188
—, Die Verfeuerung der *51:* 189/190
Braunkohlenfeuerungen, Erfahrungen im Bau und Betrieb von *51:* 188–202
—, Entwicklungstendenzen *51:* 200–202
Braunkohlegefeuerte 100-MW-Blöcke, Betriebserfahrungen *51:* 136–142
Brennelemente, Fertigung der *51:* 345–350
Brennkammer, Anfahr- und Abfahrverhältnisse von *51:* 202–208
Brennstoffkreislauf für Leichtwasserreaktoren *51:* 345—350
Brennstoffversorgung von Kernkraftwerken *51:* 345—350
Bruchmechanik, linear-elastische Anwendung *51:* 509/510
Bruchmerkmale im mikrofraktografischen Bild *51:* 510
Brüter, thermischer, Entwicklung eines – in den Niederlanden *51:* 431–436
—, —, schnell, physikalische Unterschiede, Vor- und Nachteile *51:* 431–436
—, —, Sicherheitsfragen *51:* 431–436
—, —, Spaltstoffzykluskosten *51:* 431–436
—, —, technologische Probleme *51:* 431–436

Calcit, als Additiv *51:* 338
Chemie im Kraftwerk, aktuelle Aufgaben *51:* 425
— —, technische und wirtschaftlicheBedeutung *51:* 381–385
Chlorkorrosionen *51:* 225 *51:* 398
Chromerzmasse, Korrosion von *51:* 391

Dämpfungswertminderung (Schall) *51:* 498–505
Dampfanlagen mit aufgeladenem Dampferzeuger *51:* 402–409
Dampferzeuger, Anfahrweise *51:* 206
Dampfkessel und Dampfkesselbetrieb in Kernkraftwerken, Erfahrungen aus Forschung, Herstellung und Betrieb *51:* 455–465
Dampfkesselbestimmungen (B) *51:* 257
Dampfturbinen, Spalterregungskräfte *51:* 286–293
Dauerschallpegel, äquivalenter *51:* 49
Diffusionsverfahren zur Urananreicherung *51:* 345–350
DIN-Taschenbuch 2 „Zeichnungsnormen" (B) *51:* 344
Dolomit, als Additiv *51:* 338
Drehklang *51:* 498–505
Drosselschalldämpfer *51:* 498–505
Drehrohröfen für Industrieabfälle *51:* 125
Druckgefäße, Energieinhalt, Prüfaufwand 51*:* 437–444
Druckgefäße, Personenschäden, Schadensursachen *51:* 437–444
Druckwasser-Reaktor, Betriebserfahrungen mit den Dampferzeugern im Kernkraftwerk Obrigheim (KWO) *51:* 175–181
—, Dampferzeuger-Konstruktion *51:* 445–454
—, Dampfumformer *51:* 445–454
—, Dekontamination von Dampferzeugern *51:* 180/181
—, Dichtigkeit der Dampferzeuger *51:* 180/181
—, Grob- und Fein-Wasserabscheider bei den Dampferzeugern im KWO *51:* 175–178
—, Konstruktion der Dampferzeuger im KWO *51:* 175/176
—, Kreislauf *51:* 445–454
—, Leckage am Dampferzeuger im KWO *51:* 180/181
—, Sprengstopfen zur Rohrabdichtung *51:* 180/181
—, Teillastdiagramm für das KWO *51:* 177
—, Wasserstandsregelung der Dampferzeuger im KWO *51:* 179
Dubbel-Taschenbuch für den Maschinenbau (B) *51:* 80
Durag-Doppelflammenwächter, Erfahrungen mit *51:* 314
Durchlüftungsversuche an Kesseln *51:* 104

ECA-Flammenwächter, Erfahrungen mit *51:* 314
Economiserschäden, Jahreskosten-Ermittlung bei verschiedenen Gegenmaßnahmen *51:* 58–61
—, Maßnahmen zur Vermeidung und Kostenvergleich *51:* 58–61
— infolge Niedertemperaturkorrosion und mechanischem Abrieb *51:* 58–61
Eigenschaften von austenitischen Schweißplattierungen *51:* 509
Eigenspannungen in austenitischen Schweißplattierungen *51:* 508
Einzelgrößenregelung, Die – bei Festdruck und Gleitdruck *51:* 364
Eisen, Angriff durch Wasser in Abhängigkeit vom pH-Wert *51:* 425
Eisen(II)-hydroxid, Verhalten bei höheren Temperaturen *51:* 328–338
Elektrische Anlagen, Verordnung über – in explosionsgefährdeten Räumen (B) *51:* 258
—, Schutzmaßnahmen in – und ihre Prüfung (B) *51:* 258
Elektronik, Programmierter Lehrgang (B) *51:* 428
Elektrotechnik, Schaltzeichen und Schaltpläne für die (B) *51:* 429
Emissionen von Kernkraftwerken *51:* 143–147
— aus MVA, Analysen, Meßverfahren *51:* 219
Emissionsquellen von Kernkraftwerken *51:* 143–147
Endstufenschaufeln, ausgeführte – an Dampfturbinen *51:* 286–293
Entropiebegriff, die quantitative Anwendung des – auf die Wartentechnik *51:* 361
Entwicklung eines thermischen Brüters in den Niederlanden *51:* 431–436
Erdbebenbeanspruchungen, bauliche Maßnahmen *51:* 506
Erdgas, Taschenbuch (B) *51:* 344
Erdölfeuerung *51:* 18
Erdölversorgung, europäische *51:* 17
Ermüdungsverhalten, Stahl 22 NiMoCr 3 7 *51:* 508/509
Erstaudiogramm *51:* 50
Explosionsdruck im Feuerraum *51:* 110
Expositionstest *51:* 49, *51:* 243–247

Festigkeit im Apparate- und Anlagenbau (B) *51:* 166
Festigkeitsberechnung von Bauelementen des Dampfkessel-, Behälter- und Rohrleitungsbaues (B) *51:* 429
— von Flossenrohrwänden *51:* 417–425 und 485–491
Feststoffauswurf, Meßmethoden für – aus Ölkesseln *51:* 493
— aus ölgefeuerten Kesseln *51:* 491
Feuerfeste Baustoffe, Korrosionen von *51:* 391
Feuerung, Anfahrverhältnisse *51:* 202
—, Betriebsweisen *51:* 15/16
Feuerungsaufbau von braunkohlegefeuerten 100-MW-Blöcken *51:* 136–142
Feuerungsauslegung, Grundlagen der – *51:* 195
Feuerungskennlinien *51:* 10–15
Flossenrohrwände, Festigkeitsberechnung *51:* 417–425 und 485–491
Flugasche, Absorption von SO_2 und SO_3 *51:* 338
— aus Ölkesseln *51:* 492
Flugkoks aus Ölkesseln *51:* 492
Förderhöhenvergleich zwischen Frischlüftern und Umwälzgebläsen in Hochtemperaturreaktoren *51:* 42/43
Freiluftbauweise für Kesselhaus *51:* 507
Frequenzspektrum *51:* 498–505
Fundamentkonstruktionen *51:* 466–471
Funktionsgruppen, Beschreibung von *51:* 368
Funktionsgruppensteuerungen, Betriebserfahrungen mit *51:* 371

Gasgekühlte Reaktoren, Kreislauf *51:* 445–454
Gasgekühlter Reaktor, Brennstoffbelastung *51:* 445–454
—, Dampferzeuger als Teil des Gesamtsystems *51:* 445–454
—, Entwicklung der Dampferzeuger in England *51:* 445–454
—, Grundtypen (Magnox, AGR, HTR) in England *51:* 445–454
Gasturbinen mit Abwärmedampfanlagen *51:* 402–409
Gasturbinen/Dampfkraftwerke, kombinierte Arten von –, Vorteile der *51:* 402–409
Gebläse *51:* 37–45
— für Dampferzeuger, Bau, Betrieb, Planung *51:* 37
—, laufschaufelgeregelte *51:* 39
— für Kraftwerksreaktoren *51:* 41
Gebläseauswahl mit Rücksicht auf die Verfügbarkeit der Gesamtanlage *51:* 37–41
Gehörprüfung *51:* 49/50
Geräusche von Wasser und Lüfter *51:* 236/237
Geräuschentwicklung der Gebläse *51:* 39
Geräuschgarantien *51:* 498–505
Geräuschminderung durch Einsatz von Schalldämpfern *51:* 498–505

Geräuschnachhallzeiten *51:* 237
Geräuschpegel vor der Ansaugseite *51:* 236
Geräuschprobleme bei großen Rückkühlanlagen *51:* 235–242
Geräuschverhalten von Rückkühlanlagen *51:* 236–238
Geräuschverhältnisse im Inneren der Kühler *51:* 237
Geräuschverminderung, Maßnahmen *51:* 240–242
Geräuschspektren vor der Ansaugseite *51:* 236
Geräuschuntersuchungen an Kühlturmmodellen *51:* 238–240
Gesetzliche Einheiten in der Technik (B) *51:* 166
— Grundlagen für die Emissionen radioaktiver Stoffe *51:* 143–147
Gewährleistungen bei Neuanlagen, Formulierung und Prüfung der *51:* 92
Glasfaserendoskop *51:* 471–479
Grenzleistungsprobleme bei thermischen Turbomaschinen *51:* 286–293
Grundzüge der Sicherheitsmaßnahmen bei Kernkraftwerken (B) *51:* 166
Gütenormen, Stahl und Eisen, DIN-Taschenbuch 4 (B) *51:* 429

Handbuch des Lärmschutzes (B) *51:* 166
Härte, photometrische Bestimmung der Gesamthärte in Wasser *51:* 342/343
Härtestabilisierung in Kühlwasser mit Organomeren (Drewsperse 735) *51:* 505/506
Hausmüllverbrennungsanlagen, Korrosionen in *51:* 223 und 398
Heizungswasser, elektrochemisches Meßverfahren für Hydrazin *51:* 425/426
Helium als Kühlmittel *51:* 41
Heliumkraftwerke, Weiterentwicklung auf Grund der Erfahrungen in Heißluftkraftwerken *51:* 81–91
Heißluftkraftwerke, Betriebserfahrungen *51:* 81–91
—, Rohrschäden am Konvektionsteil des Lufterhitzers *51:* 81–91
—, Korrosionen am Lufterhitzerstrahlteil *51:* 81–91
Hochtemperaturkorrosionen an ölgefeuerten Kesseln *51:* 51
—, Mechanismus der *51:* 224
Hochtemperatur-Reaktor (HTGR), Auslegung der Dampferzeuger, Konstruktionsmerkmale, Herstellung und Montage *51:* 355–357
—, Ausblick auf größere HTGR-Kraftwerke *51:* 357
—, das nukleare Dampferzeugungssystem des ersten 330-MW-Hochtemperatur-Reaktors der USA in Fort St. Vrain *51:* 351–357
—, Eigenschaften und bisherige Erfahrungen *51:* 351
—, gasgekühlt, Aufbau des nuklearen Dampferzeugungssystems in Fort St. Vrain/USA *51:* 351–357
—, Kreislaufschema *51:* 354
—, Wirtschaftliche und Sicherheitsaspekte integrierter Primärkreisläufe *51:* 351–354
Hörschäden *51:* 48/49
Hörschwellenverschiebung *51:* 49, 245/246
HTR, Gasströmungen *51:* 445–454
Hydrazin, elektrochemisches Meßverfahren zur Bestimmung in Kesselspeise- und Heizungswasser *51:* 425/426

Immissionsrichtwerte *51:* 47
Immissionsschutzrecht *51:* 46
Industriebau, Rationalisierung *51:* 507
Informationstechnik, vergleichbare Prozesse in Thermodynamik und *51:* 359
Innendruckschwellverhalten von Hohlzylindern mit eingeschweißten Stutzen (B) *51:* 257
Industriemüllverbrennung *51:* 125
Instandhaltung, zentrale – der HEW – eine neuzeitliche Betriebskonzeption *51:* 293–301
Interferenzschalldämpfer *51:* 498–505
Ionenaustauscher, verminderte Kapazität bei der Spurenentfernung aus Wasser *51:* 426

Kalk, s. Calcit
Kaltspeicher zur Kondensat-Leistungsregelung *51:* 151–164
Kammerdämpfer *51:* 498–505
Kapazität von Ionenaustauschern bei der Spurenentfernung aus Wasser *51:* 426
Karman-Wirbelstraßen *51:* 113
Kernkraftwerke, Anfahrmethoden von *51:* 1–8
Kerbschlagzähigkeit-Temperaturkurven warmfester Stähle *51:* 480–485
Kernkraftwerk Biblis, Planung und Bau *51:* 507/508
— AVR, Anfahrmethode vom *51:* 1–8
— Lingen, Anfahrmethode vom *51:* 1–8
— Obrigheim, Anfahrmethode vom *51:* 1–8
Kernkraftwerke, Brennstoffversorgung von *51:* 345–350
—, Erdbebenbeanspruchungen *51:* 506
—, Dampfkessel und Dampfkesselbetrieb: Erfahrungen aus Forschung, Herstellung und Betrieb *51:* 455–465
—, Dekontamination von Anlagenteilen *51:* 427
—, deutsche Aktivitätsabgaben 1968 und 1969 *51:* 143–147
—, Dichtheit der Dampferzeuger *51:* 455–465
—, Einfluß von Gas- und Wasserzirkulation auf die Dampferzeugerkonstruktion *51:* 445–454
—, Entwicklungsprobleme der Dampferzeuger *51:* 445–454
—, Grundzüge der Sicherheitsmaßnahmen (B) *51:* 166
—, Nukleare, gasbeheizte Dampferzeuger *51:* 445–465
—, Rohrgeometrie und Werkstoffauswahl der Dampferzeuger *51:* 445–454
—, Schwingungen und Fretting *51:* 455–465
—, Stabilitätsfragen (statisch und dynamisch) der Dampferzeuger *51:* 455–465
—, Thermische Ermüdung bei Dampferzeugern *51:* 455–465
Kernreaktor, Gebläse für –en *51:* 41
Kernreaktor-Komponenten, Werkstoffeigenschaften *51:* 508/509
Kesselhaus, Freiluftbauweise *51:* 507
Kesselkonstruktion von braunkohlegefeuerten 100-MW-Blöcken *51:* 136–142
Kesselspeisewasser, elektrochemisches Meßverfahren für Hydrazin *51:* 425/426
Kesselstahl, Korrosion durch Einfluß von Kupfer und Kupferoxiden *51:* 229–235
Kesselwasser, Kupfergehalt beim Anfahren nach Turbinenstillständen *51:* 75/76
Kombinierte Gasturbinen/Dampfkraftwerke *51:* 402–409
Kondensat, Aufbereitung mit Anschwemmfiltern, Betriebserfahrungen *51:* 427
—, Kupfergehalt beim Anfahren nach Turbinenstillständen *51:* 75/76
—, Reinigung mit Pulverharz-Anschwemmfiltern, methodische Untersuchungen *51:* 426
Kondensatentsalzung bei Zwangdurchlaufkesseln *51:* 255
Kondensat-Leistungsregelung, dynamisches Verhalten der Regelstrecke *51:* 151–164
— eines Blockkraftwerkes bei Gleitdruckbetrieb mit Kohlefeuerung, maschinentechnischer Aufwand *51:* 151–164

Kondensat-Leistungsregelung eines Blockkraftwerkes bei Gleitdruckbetrieb mit Kohlefeuerung *51:* 151–164
Konstruktionsfragen und moderne Berechnungsverfahren im Apparatebau (B) *51:* 257
Konventionelle Kraftwerke, Baukosten *51:* 506/507
Körperschall *51:* 498–505
Korrosion, Tieftemperatur- bei Ölfeuerungen *51:* 149
— durch Masseaufnahme bzw. -verlust *51:* 510/511
— metallischer Werkstoffe *51:* 510/511
—, spannungsinduzierte *51:* 511
— von Kesselstahl durch Kupfer und Kupferoxid *51:* 229–235
Korrosionen am Lufterhitzer-Strahlteil in einem Heißluftkraftwerk *51:* 81–91
— durch Bleioxide *51:* 225 und 398
— durch HCl und Cl_2 *51:* 225 und 398
— durch Ölaschen *51:* 391
— durch reduzierende Gase *51:* 226 und 398
— durch Sulfate und SO_3 *51:* 225 und 398
— in Hausmüllverbrennungsanlagen *51:* 223 und 398
Korrosionsforschung, in Müllverbrennungsanlagen (Zusammenfassung neuer Ergebnisse) *51:* 223
Korrosionsmessungen *51:* 51
Kraftwerk „Westfalen", Anfahrmethode vom *51:* 1–8
Kraftwerke, Baukosten *51:* 506/507
Kraftwerks-Blockregelung, Betrachtungen zur regeldynamischen Struktur der *51:* 363
Kraftwerks-Chemie, technische und wirtschaftliche Bedeutung *51:* 381–385
—, aktuelle Aufgaben *51:* 425
Kraftwerkswarte, Informationstechnik in der *51:* 358
Kristallstrukturelle Vorgänge bei der Reaktion von SO_3 und SO_2 mit Flugaschepartikeln und Additiven *51:* 338
Kühlkreisläufe, Wassereinsparung bei geschlossenen *51:* 254/255
Kühlmittel: Helium *51:* 41
Kühlwasser, Härtestabilisierung mit Organomeren (Drewsperse 735) *51:* 505/506
—, Einsparung bei geschlossenen Kreisläufen *51:* 254/255
Kühlwasserwirtschaft in Kraftwerken, Probleme der (B) *51:* 80
Kulissenanordnungen (Schall) *51:* 498–505
Kupfer, Gehalt im Kondensat und im Kesselwasser nach Turbinenstillständen *51:* 75/76
—, Einfluß auf die Korrosion von Kesselstahl *51:* 229–235
—, wasserseitige Korrosionen durch *51:* 229–235
Kupferoxid, wasserseitige Korrosionen durch *51:* 229–235
Kybernetik – Technik – Physik *51:* 280–285
Kybernetik, Analogien zwischen – und Wärmelehre *51:* 358

Lagerung der Axialüberdruckgebläse *51:* 38
— der Umwälzgebläse in gasgekühlten Reaktoren *51:* 44/45
Lagerungsprobleme, bautechnische *51:* 466–471
Lärm, Maßnahmen zum Schutz gegen Lärm aus der Sicht der Gesetzgebung und Verwaltung *51:* 45–48
Lärmbekämpfungsrecht *51:* 46
Lärmeinflußgrößen *51:* 45
Lärmeinwirkungen auf das Hörvermögen, Untersuchungen *51:* 245–247
Lärmkataster in Kraftwerken *51:* 243–247
Lärmminderung in Kraftwerken *51:* 498–505
Lärmpegel *51:* 48
Lärmschädigung am Arbeitsplatz *51:* 48–50
Lärmschutz, Handbuch (B) *51:* 166
Lärmschutzmaßnahmen, zeitliche Prioritäten *51:* 48
Lärmschutzrecht *51:* 46/47
Lärmschwerhörigkeit *51:* 48/49, 246/247
Lärmspektrum *51:* 46
Lärmstufen *51:* 45/46
Lärmwirkungen, extraaural *51:* 50
Lastabhängigkeit der Feuerung *51:* 13–15
Leichtwasserreaktoren, Brennstoffkreislauf für *51:* 1–8
Leistungsregelung an Turbine und Kessel *51:* 363
Leistungsvergleich zwischen Frischlüftern und Umwälzgebläsen in Hochtemperaturreaktoren *51:* 43
Linear-elastische Bruchmechanik *51:* 509/510
Lingen, Kernkraftwerk, Anfahrmethode des *51:* 1–8
Ljungström-Luvos, Erfahrungen mit *51:* 321
Lochblende (Schall) *51:* 498–505
Lufterhitzer, in Heißluftkraftwerken *51:* 81–91
Luftschall *51:* 498–505
Luftwechselzahl *51:* 107

Magnesiasteine, Verhalten gegen Ölaschen *51:* 391
Magnetit, Bildung nach der Schikorr-Reaktion *51:* 61–75
Magnox-Reaktor, Brennstoffelemente *51:* 445–454
Mahlanlagen *51:* 190
Mangancarbonat, als Additiv *51:* 338
Material- und Ersatzteilplanung bei der Instandhaltung *51:* 293–301
Materialauswahl für Saugzuggebläse *51:* 38/39
Maschinengründung, Tief- oder Hochabstimmung *51:* 466–471
Maßnormen, Stahl und Eisen, DIN-Taschenbuch 28 (B) *51:* 429
Mechanische Technik, Grundnormen für die – DIN-Taschenbuch 1 (B) *51:* 429
Messungen, CO-, CO_2- *51:* 8–16
Meß- und Regelanlagen, Zuverlässigkeit und Wartung von *51:* 374
Meß- und Steuerwarten, Gestaltung von (B) *51:* 258
Mikrofraktografische Bruchmerkmale *51:* 510
Mischsulfate in Ablagerungen von Müllverbrennungsanlagen *51:* 225 und 398
Mondlandung *51:* 271–279
Mühlen, Betriebserfahrungen an braunkohlegefeuerten 100-MW-Blöcken *51:* 136–142
Müll, Brennstoffzusammensetzung *51:* 224
Müllschlackensinteranlage, Betriebserfahrungen *51:* 33
—, Investitionskosten, Betriebskosten *51:* 36
Müllverbrennung bei der BASF *51:* 123
—, Emissionen aus Müllverbrennungsanlagen *51:* 219
—, Organisation der – in Chemiewerk *51:* 126
—, Rauchgaszusammensetzung *51:* 224
—, Untersuchung der Rostbelastung *51:* 131
—, Wirkungsgrad von Müllverbrennungskesseln *51:* 26
Müllverbrennungsanlagen, Korrosionen in *51:* 223, 398

Nahstöchiometrische Verbrennung *51:* 147
Natriumbeheizter Dampferzeuger mit Spiralwicklung *51:* 445–454
Natriumbrüter, Kreislauf *51:* 445–454
—, Feststellung der Umlaufzahl *51:* 185
—, Beheizungsintensität *51:* 183–186
—, praktische Anwendungsmethode *51:* 186/187
—, Widerstände im Umlaufkreis *51:* 184
Naturumlauf-Berechnungen von Dampfkesseln, Ausgangswerte *51:* 182
Natururan, Vorkommen und Abbau *51:* 345–350
Netzplantechnik im Industriebau *51:* 507
— bei Grundüberholungen, Revisionen und Großreparaturen *51:* 293–301

Niedertemperatur-Korrosionen, Maßnahmen zur Schadensbeseitigung aus wirtschaftlicher Sicht *51:* 58–61
— am Economiser in Verbindung mit mechanischem Abrieb *51:* 58–61
Nukleare Anlageteile, Dekontamination *51:* 427

Obrigheim, Kernkraftwerk, Anfahrmethode des *51:* 1–8
Ölaschen, Korrosionen durch *51:* 391
Öleinlagerungen (B), Sicherung von *51:* 429
Ölfeuerungen
SO_3-Gehalt der Rauchgase *51:* 148
Konvertierung SO_2 zu SO_3 *51:* 148
Taupunkte bei *51:* 149
Korrosion, Tieftemperatur *51:* 149
Unverbranntes in Ölfeuerungen *51:* 150
Nahstöchiometrische Verbrennung *51:* 147
Ölgefeuerte Kessel, Feststoffauswurf aus *51:* 491
——, Hochtemperaturkorrosionen an *51:* 51
Organisation der zentralen Instandhaltung der HEW *51:* 293–301
Organisationsschema der VGB *51:* 169
Organophosphate bzw. Organomere zur Kühlwasserkonditionierung *51:* 505/506
Otologischer Status *51:* 246
Oxidschichten, kupferhaltige *51:* 233

Personalprobleme bei der Instandhaltung *51:* 293–301
Pfeifenresonator *51:* 498–505
pH-Wert, Einfluß auf das System Eisen/Wasser *51:* 425
Photometrie, Bestimmung der Gesamthärte im Wasser *51:* 342/343
Physik – Technik – Kybernetik *51:* 280–285
Planungsgrundlagen, Kernkraftwerk Biblis *51:* 507/508
Plattenresonator *51:* 498–505
Polymerisation von Pyrolyse-Schweröl *51:* 24
Profile, Seile, Fertigteile (B) *51:* 166
Prüfaufwand bei Druckgefäßen *51:* 437–444
Pulverharz-Anschwemmfilter zur Kondensatreinigung, methodische Untersuchungen *51:* 426

Querschnittsprung *51:* 498–505

Radialgebläse *51:* 37
Radioaktive Stoffe, Gesetzliche Grundlagen für die Emissionen von *51:* 143–147
——, max. zulässige Konzentration *51:* 143–147
— Substanzen, Verhalten von – in der Umwelt *51:* 143–147
Raffinieriekraftwerk, Verbrennung von gasförmigen und flüssigen Brennstoffen *51:* 23
Rauchgasentschwefelung in den USA und in Deutschland *51:* 211
Rauchgasentschwefelungsverfahren
CE-Verfahren *51:* 213
Monsanto-Verfahren *51:* 214
CAT-OX-System *51:* 214
Wellmann-Lord-Verfahren *51:* 214
BF-Verfahren *51:* 215
Rauchgasschwingungen *51:* 113
Raumfahrtprojekte, bemannte und unbemannte *51:* 271–279
Raumstation *51:* 271–279
Raumtransporter *51:* 271–279
Rationalisierung, Netzplantechnik im Industriebau *51:* 507
Reaktorsysteme, Mehrfachkreislauf mit Dampferzeuger *51:* 445–454
—, Einfachkreislauf ohne Dampferzeuger *51:* 445–454
Reflexionsschalldämpfer *51:* 498–505
Regelanlagen für Kraftwerksblöcke, Abnahmeversuche an *51:* 96
Regelkreis, Kybernetischer *51:* 280–285
Regelung von Umwälzgebläsen bei gasgekühlten Reaktoren *51:* 43
Regelverhalten einer Feuerung *51:* 16
— braunkohlegefeuerter 100-MW-Blöcke *51:* 136–142
— von Kraftwerksblöcken, Anforderungen an das *51:* 92
Reibungsabsorber *51:* 498–505
Reihenresonator *51:* 498–505
Remix-Anlage von Sulzer *51:* 402–409
Relaxationsversprödung (Anlaßversprödung), Stahl 22 NiMoCr 3 7 *51:* 508/509
Reparaturplanung bei der Erstellung von Neuanlagen *51:* 293–301
Resonanzfrequenz *51:* 498–505
Resonanzkammern *51:* 498–505
Resonanzschalldämpfer *51:* 498–505
Rohölförderung *51:* 18
Rohöltransport *51:* 21
Rohrleitungstechnik in der chemischen Industrie (B) *51:* 166
Rohrschäden am Konvektionsteil des Lufterhitzers im Heißluftkraftwerk *51:* 81–91
Rostbelastung bei Müllkesseln *51:* 131
Roststabtemperatur von Müllkesseln *51:* 134
Rumänien, Wärmekraftwerke, Bautechnologie *51:* 248–254
Ruß aus Ölkesseln *51:* 492
Rußflocken aus Ölkesseln *51:* 492

Säuretaupunkt, Maßnahmen gegen Unterschreiten aus wirtschaftlicher Sicht *51:* 58–61
Schadenauswertungen für vorsorgliche Untersuchungen *51:* 471–479
Schadenfälle, Auswertung für vorsorgliche Untersuchungen *51:* 471–479
Schadensbilder der Korrosion *51:* 510/511
Schadenschwerpunkte an Armaturen und Turbinen *51:* 471–479
Schadenursache, Bedeutung für statistische Auswertungen *51:* 471–479
Schadensursachen an Druckgefäßen *51:* 437–444
Schadenuntersuchungen, Probleme bei *51:* 471–479
Schallabschirmwall *51:* 241
Schallabschirmwind *51:* 241
Schallausbreitung *51:* 498–505
Schallbeurteilungspegel *51:* 243–245
Schallbewertungsfaktor *51:* 243–245
Schalldämpfer für gasförmige Medien unter Berücksichtigung ihrer Verwendung im Kraftwerk *51:* 498–505
Schalldämpfermaterial *51:* 498–505
Schalldämpfungsmaßnahmekosten *51:* 40
Schalldruck *51:* 498–505
Schallintensität *51:* 49
Schallpegelabnahme mit der Entfernung *51:* 237/238
Schallpegelmesser *51:* 243
Schallpegelrichtwert *51:* 243
Schallschluckkulissen *51:* 498–505
Schallschnelle *51:* 498–505
Schallschutzmaßnahmen an Kühltürmen *51:* 235–242
Schamottesteine, Korrosion von *51:* 391
Schaufelverstelleinrichtung bei Axialüberdruckgebläse *51:* 39
Scheibenschalldämpfer *51:* 498–505
Schikorr-Reaktion, zum Verständnis der *51:* 61–75
Schlackenabstoßeinrichtung, automatisiert *51:* 208/209

Schlackenauslauf, Schäden und Abhilfe *51:* 208/209
Schmelzfeuerung, Verhaltungsuntersuchungen *51:* 8–16
Schmelzfeuerungen, Schlackenauslauf *51:* 208–298
Schnellstart, Anfahrdiagramm für *51:* 306
Schnellstartkessel, Betriebserfahrungen mit *51:* 301
Schrauben, Muttern und Zubehör, DIN-Taschenbuch 10 (B) *51:* 344
Schweißen in der Kerntechnik (B) *51:* 344
Schweißplattierungen, Eigenspannungen *51:* 508
—, Aufgaben, Anforderungen und Erfahrungen *51:* 509
Schweißtechnisches Hochschulkolloquium, 3. (B) *51:* 517
Schweißtechnisches Hochschulkolloquium, 4. (B) *51:* 344
Schweißverbindungen, Zeitstandschäden (14 MoV 6 3) *51:* 510
Schwingungen, Rauchgas- im Feuerraum *51:* 113
—, Rauchgas-, selbsterregte *51:* 113
— durch Spalterregung an Dampfturbinen *51:* 286–293
Schwingungsrißkorrosion *51:* 511
Screening-Test, audiometrische Gehörmessung *51:* 50
Sicherheit bei Druckgefäßen *51:* 437–444
Sicherheitstechnik (B) *51:* 517
Sillimanitsteine, Korrosion von *51:* 391
Sinterbims aus Müllschlacke *51:* 35
SO_2, Absorption von *51:* 338
SO_3, Absorption von *51:* 338
Spalterregungskräfte bei Dampfturbinen *51:* 286–293
Spaltstoffflußkontrolle *51:* 345–350
Spaltstoffzykluskosten bei verschiedenen Reaktorstrategien *51:* 431–436
Spannungen in Flossenrohrwänden *51:* 417–425 und 485–491
Spannungsinduzierte Korrosion wasserberührter Kesselteile *51:* 511
Spannungsrißkorrosions-Versuche an ungeglühten Rundschweißungen *51:* 410–417
Spannungsverteilung an Rissen in festen Körpern (B) *51:* 429
Spinellsteine, Verhalten gegen Ölaschen *51:* 391
Spitzenlastdampferzeuger, Regelung, Automatisierung *51:* 303
Sprödbruchanalyse Stahl 22 NiMoCr 3 7 *51:* 508/509
Spurenverunreinigungen im Wasser, Entfernung mit Ionenaustauschern *51:* 426
Stabilitätsbedingungen eines Turbinenrotors *51:* 286–293
Standardleistungsbuch (B) *51:* 258
Standortkriterien von Kernkraftwerken *51:* 507/508
Stellhebel, Brüche bei der Schaufelverstellung *51:* 40/41
Stickstoffoxide, Reaktionen der – mit den Schwefeloxiden der Verbrennungsgase *51:* 387
—, Einfluß der – auf Korrosionen im Niedertemperaturbereich *51:* 389
—, Analyse der *51:* 389
Stickstoffoxidgehalt in Ölfeuerungen *51:* 386
Strahlendosen und Konzentration radioaktiver Stoffe, Max. zulässige *51:* 143–147
Strahltechnik IV (B) *51:* 344
Strouhal-Zahl S *51:* 118
Strömungsrauschen (Schall) *51:* 498–505
Sulfatisierung, von Oxiden *51:* 338
Sulfatkorrosionen *51:* 225 und 398
Suspensionsströmung im thermischen Versuchsreaktor der KEMA *51:* 431–436

Taupunkte bei Ölfeuerungen *51:* 149
Technik – Physik – Kybernetik *51:* 280–285
Technische Grundbegriffe, Verknüpfung der *51:* 280–285
Technische und wirtschaftliche Vorteile kombinierter Gasturbinen/Dampfkraftwerke *51:* 402–409
Technische Thermodynamik (B) *51:* 166
Technische Wärmelehre (B) *51:* 80
Technologische Probleme der Brennstoffversorgung von Kernkraftwerken *51:* 345–350
Thermodynamik, Vergleichbare Prozesse in – und Informationstechnik *51:* 359
THTR, Dampferzeuger mit Evolventenschlangen *51:* 445–454
Tiefpassfilter *51:* 498–505
Tieftemperaturkorrosionen, in Müllverbrennungsanlagen *51:* 226
Thermischer Brüter, Entwicklung eines – in den Niederlanden *51:* 431–436
Terzmittenfrequenz *51:* 498–505
Topotaktische Reaktionen *51:* 338
Tragwerken, Rechnerische und epxerimentelle Untersuchungen an ausgewählten (B) *51:* 428
Trenndüsenverfahren zur Urananreicherung *51:* 345–350
Turbinenfundamente, Lagerungsprobleme *51:* 466–471
Turbinenrotor, Stabilitätsbedingungen *51:* 286–293
Turbinenstillstand, Kupfergehalt im Kondensat beim Anfahren *51:* 75/76
Turbomaschinen, thermische, Grenzleistungsprobleme *51:* 286–293

Umwälzgebläse eines Kernkraftwerkes mit gasgekühltem Reaktor *51:* 41–45
Unfallverhütung, Moderne (B) *51:* 258
Ungeglühte Rundschweißungen, Korrosionsversuche *51:* 410–417
Unterplattierungsrisse im Stahl 22 NiMoCr 3 7, Ursachen und Abhilfemaßnahmen *51:* 509
Urananreicherung, Verfahren zur *51:* 345–350
UV-Flammenwächter, Erfahrungen mit – bei Erdgas und Ölbetrieb *51:* 312

Verarbeitung des Stahles X 20 CrMo 8 2 *51:* 510
Verbrennung von Chemieabfällen *51:* 123
Verpuffungsversuche an Kesseln *51:* 104
Verschlackungen *51:* 51
VGB-Beirat *51:* 267/268
VGB-Mitglieder *51:* 268–271
VGB-Organisationsschema *51:* 169
VGB-Vorstand *51:* 267
VGB-Kongreß „Technik in Wärmekraftwerken 1971" *51:* 260–271
Vorsitzende der Hauptausschüsse *51:* 268
Vollentsalzungsanlagen, Möglichkeiten zur Rationalisierung und Automatisierung *51:* 426
Volumenstromvergleich zwischen Frischluft im konventionellen Kraftwerk und Kühlgas im Reaktor *51:* 42
Vorwärmer, Differentialgleichung für das Übertragungsverhalten der *51:* 151–164

Wärmegefälle, isentropes, vom Turbinenläufer ertragbares – im Hinblick auf Schwingungen *51:* 286–293
Wärmekraftwerke, Entwicklung in Rumänien *51:* 248–254
Wandtemperaturen *51:* 51

Warmfeste Stähle, Kerbschlagzähigkeits-Temperaturkurven *51:* 480–485
Wartentechnik, die quantitative Anwendung des Entropiebegriffes auf die *51:* 361
Wasser, Einfluß auf Eisen in Abhängigkeit vom pH-Wert *51:* 425
—, photometrische Härtebestimmung *51:* 342/343
Wellenlänge / 4-Resonator *51:* 498–505
Werkstoffeigenschaften des Stahles 22 NiMoCr 3 7 *51:* 508/509
— X 20 CrMo 8 2 *51:* 510
„Westfalen", Kraftwerk, Anfahrmethode des *51:* 1–8
Wiederaufarbeitung bestrahlter Brennelemente *51:* 345–350
Wirbelablösungsfrequenz *51:* 118
Wirkungsgradermittlung bei Müllkesseln *51:* 26

Zeichnungsnormen – DIN Taschenbuch 2 (B) *51:* 344
Zeitstandschaden an Schweißverbindungen aus 14 MoV 6 3 *51:* 510
Zentrale Instandhaltung der HEW *51:* 293–301
Zentrifugenverfahren zur Urananreicherung *51:* 345–350
Zinkcarbonat, als Additiv *51:* 338
Zinkverbindungen in Belägen von Hausmüllverbrennungsanlagen *51:* 398
Zuverlässigkeit, Einfluß und Wartung auf die *51:* 377
— einfacher und redundanter Systeme, Die *51:* 376
Zuverlässigkeitskenngrößen, Gewinnung von *51:* 379
Zweifachregelkreis, Der Kraftwerksblock als *51:* 365

PERSÖNLICHES

Anschütz, Otto, 75 Jahre *51:* 428
Biersack, Richard, 70 Jahre *51:* 256
Boeck, Hartmut, Vorsitzender des Vorstandes der Stadtwerke Hannover *51:* 512
Boucher, Adam, 65 Jahre *51:* 80
Boucher, Adam, 50 Jahre bei Samson *51:* 257
Deitlhauser, Karl, 70 Jahre *51:* 428
Dörrenberg, Oskar, gestorben *51:* 165
Engel, Walter M., 60 Jahre *51:* 512
Flurschütz, Erwin, 50 Jahre *51:* 80
Gaede, Ernst, 65 Jahre *51:* 165
Günther, Rudolf, 60 Jahre *51:* 165
Haack, Paul, tödlich verunglückt *51:* 512
Hauerwas, August, 65 Jahre *51:* 165
Hayd, Eduard, 60 Jahre *51:* 343
Hinsche, Franz, 70 Jahre *51:* 165
Hoffmann, Kurt, Ruhestand *51:* 80
Hubel, Eugen, 65 Jahre *51:* 512
Illies, K., 65 Jahre *51:* 512
Immonen, Viljo Nikodemus, gestorben *51:* 79
Kahle, Paul, 80 Jahre *51:* 256
Kirchner, Ernst, gestorben *51:* 256
Klump, Walter, 60 Jahre *51:* 257
Krämer, Josef, 65 Jahre *51:* 257
Kromer, Carl, 70 Jahre *51:* 428
Lilienfein, Heinz, Vorsitzender des Vorstandes der EVS *51:* 512
Löhle, Herbert, 50 Jahre *51:* 80
Mackenthun, W., 65 Jahre *51:* 165
Malm, L. V. Lage, gestorben *51:* 343
Meysenburg, Helmut, 65 Jahre *51:* 79
Meysenburg, Helmut, 40 Jahre beim RWE *51:* 257
Noetzlin, Günther, 25 Jahre bei CWH *51:* 512
Pees, Norbert, Guilleaume-Gedenkmünze *51:* 259
Pestel, Eduard, Vizepräsident der Deutschen Forschungsgemeinschaft *51:* 428
Petri, Helmut, Ruhestand *51:* 257
Pick, Heribert, gestorben *51:* 428
Piepenbrink, Willi, gestorben *51:* 343
Pilgram, Walther, tödlich verunglückt *51:* 512
Preiser, Willi, 65 Jahre *51:* 343
Rasworschegg, Heinrich, 50 Jahre bei Waagner-Biró *51:* 512
Reuther, Carl, 65 Jahre *51:* 165
Richard, Kurt, 60 Jahre *51:* 165
Riemerschmid, Anton, Bayerischer Verdienstorden *51:* 512
Roggendorf, Alexander, 65 Jahre *51:* 512
Rzehulka, Rudolf, gestorben *51:* 512
Schäff, Karl, 70 Jahre *51:* 257
Schilling, Friedrich-Ernst Otto, gestorben *51:* 256
Schinn, Rudolf, 60 Jahre *51:* 165
Schmidt, Karl Rudolf, 50 Jahre *51:* 512
Schoch, Wilhelm, ausgezeichnet *51:* 80
Schoch, Wilhelm, Dr.-Ing. E. h. *51:* 344
Schuller, Alfred, 60 Jahre *51:* 512
Schult, Heinrich, gestorben *51:* 256
Schulten, Rudolf, erhielt Großes Bundesverdienstkreuz *51:* 512
Schultes, Wilhelm, gestorben *51:* 256
Schwarz, Carl-Henning, 65 Jahre *51:* 343
Schwarz, Karl, 65 Jahre *51:* 512
Schwarz, Ottmar, 50 Jahre *51:* 512
Schweppenhäuser, Hans-Wolfram, neuer Präsident der IHK Heidenheim-Aalen *51:* 165
Süthoff, Theodor, 50 Jahre *51:* 80
Toeller, Heinrich, 60 Jahre *51:* 343
Uebing, D., zum Professor ernannt *51:* 428
Wehrberger, Franz, 60 Jahre *51:* 512
Wellinger, Karl, zum zweiten Male Ehrendoktorwürde *51:* 512
Wiegand, H., 65 Jahre *51:* 165
Wolff, Josef, 60 Jahre *51:* 165
Zerna, W., Ehrung *51:* 165
Zeschky, Emil, Ruhestand *51:* 80
Ziemer, Gerhard, 40 Jahre beim RWE *51:* 257

VGB KRAFTWERKSTECHNIK
MITTEILUNGEN DER VGB TECHNISCHE VEREINIGUNG DER GROSSKRAFTWERKSBETREIBER

INHALTSVERZEICHNIS

DER
HEFTE 1—6
52. JAHRGANG (1972)

DIE FOTOS DER VERFASSER FINDEN SIE AUF DEN SEITEN 2 BIS 7

IN DEN SECHS HEFTEN DES JAHRGANGES 52 SIND ENTHALTEN:

Heft	1	2	3	4	5	6
Seiten	1—92	93—172	173—272	273—362	363—450	451—520

Verfasserverzeichnis 1972

Ahrnbom, L., Die Verhütung kritischer Wandtemperaturen in Verdampferrohren *52:* 326–333

Bald, A., Besonderheiten großer Naßdampfturbosätze *52:* 300–310
Beising, R., Kautz, K., und Kirsch, H., Die Mineralsubstanz niederrheinischer Braunkohlen *52:* 38–44
—, Zur Kenntnis der Feuerraumschlacken aus braunkohlegefeuerten Kesseln *52:* 156–161
Bieber, K.-H., Betriebserfahrungen mit automatischen Kohlenstaubfeuerungen und Ölzündfeuerungen *52:* 468–472
Bienz, J., und Sharan, H. N., HGE/HGK, Ein neues Verbrennungssystem für Dampf- und Wärmeerzeugung *52:* 1–8
Bödege, R., Bericht über die vierte Genfer Konferenz *52:* 83–88
Bödege, R., Eikelpasch, N., Grau, A., und Stephan, W., Erfahrungen mit Abgabe und Überwachung von Aktivitäten in den vier deutschen LWR-Kernkraftwerken VAK, KRB, KWL, KWO *52:* 396–404
Bohnsack, G., Der Einfluß des Hydrazins auf das System Eisen–Wasser *52:* 507
Borglin, S., und Lindberg, G., Problematik bei der Bestimmung von Leistung und Wärmeverbrauch von Gasturbinen *52:* 98–104
Branquet, L., Die Müllverbrennungsanlage der Stadt Rennes/Frankreich *52:* 146–148
Brush, H. F., Planung und Bau von Großkraftwerken *52:* 458–461
Buchwald, K., Neuere Erkenntnisse auf dem Gebiet der zulässigen Anfahr- und Laständerungsgeschwindigkeiten von Dampfturbinen *52:* 416–425
Bursik, A., Beizung von Großkesselanlagen mit Flußsäure *52:* 348–352

Diener, W., siehe Lutz, H. R.
Doležal, R., Druckverlust bei Zweiphasenströmung in den beheizten Siederohren *52:* 11–15
—, Dynamik einiger Strukturänderungen beim Anfahren eines Durchlaufkessels *52:* 318–325

Eickelpasch, N., siehe Bödege, R.
Ensink, P., Umstellung eines Industriekraftwerkes auf Erdgas *52:* 212–217
Erbacher, F., und Leistikow, S., Der Heißdampfkreislauf für Korrosionsversuche unter Wärmeübergang (HKW) *52:* 8–11
Erdmann, G., siehe Heinz, A.
Erfa-Gruppe RWE Technik–Chemie, Erfahrungen mit der Erfassung kleinster Konzentrationen von Kationen und Anionen im Wasser-Dampfkreislauf von Hochdruckkesseln *52:* 508

Fischer, P. U., siehe Johnston, T. A.
Florin, G., siehe Hiltscher, R.
Flunkert, F., siehe Erfa-Gruppe RWE Technik-Chemie
Friedrich, R., Stand und Entwicklungstendenzen im Gasturbinenbau *52:* 196–204
Fröhlich, P., siehe Linzer, V.
Fuchs, H., Aero-terrestrische Photogrammetrie im Industriebau *52:* 505
Fütterer, V., und Metz, A., Schwingungen mit starker Tonabstrahlung in Frischdampfleitungen konventioneller Kraftwerksblöcke *52:* 478–483
Fuhrmann, H., siehe Köhle, H.

Gelis, H., Bautechnische Besonderheiten bei der Errichtung von vier Erdgasblöcken im Gersteinwerk *52:* 505
Grau, A., siehe Bödege, R.

Hammer, H., Über die Wirtschaftlichkeit von Investitionen für Regenerativ-Vorwärmer-Heizflächen bei Dampfkraftwerken *52:* 135–140
Heinlein, H., Erfahrungen bei der Bauplanung und -ausführung des THTR Schmehausen *52:* 506
Heinz, A., Löbert, P., und Erdmann, G., Beitrag zur Betriebssicherheit von Dampferzeugern durch Früherkennung von Schäden *52:* 491–498
Heitmann, H. G., und Kretzer, R., Betriebserfahrungen mit Elektro-Magnetfiltern und ihre Anwendung im Wasser-Dampfkreislauf von Kraftwerken *52:* 508
Held, H.-D., Guter Effekt bei der Schnellentcarbonisierung trotz höheren Phosphatgehaltes im Rohwasser (Aus der Wasserpraxis) *52:* 270/271
Helmenstein, S., und Martin, F., Planungsgrundlagen für Müllverbrennungsanlagen *52:* 333–340
Herold, W., Pabst, G., und Scholz, F., Sicherheitstechnik, Brandschutz und Hygiene in Müllverbrennungsanlagen *52:* 483–490
Hilsheimer, H., Müllverbrennung mit Feuerregelung – Ein Beitrag zum Korrosionsproblem *52:* 16–20

Hiltscher, R., Söderberg, S., und Florin, G., Einseitiger Rohranschlußstutzen mit niedriger Spannungskonzentration für zylindrische Druckbehälter *52:* 73–79
Hintergräber, M., Betrachtungen zu einem Rechenmodell für instationäre Vorgänge in einer konventionellen Kraftwerksanlage *52:* 118–126

Jacobsen, G., Gasturbinen-Spitzenkraftwerke mit Strahltriebwerken der NWK, Aufbau der Anlage, Wirtschaftlichkeitsvergleich mit einer normalen Gasturbine, Betriebserfahrungen *52:* 472–478
Jahn, E., Zeitstandprüfung von Rohr-Schweißverbindungen der Stähle 13 CrMo 4 4 und 10 CrMo 9 10 *52:* 258–270
Johnson, D., Zur Geschichte der Gasturbine *52:* 93–98
Johnston, T. A., und Fischer, P. U., Entwicklung, Bau und Betrieb von Kernreaktoren mit gasgekühltem Hochtemperaturreaktor *52:* 390–396
Justi, E., Stand und Chancen der Energie-Direkt-Umwandlung *52:* 363–374

Källstrand, G., und Kurt, W., Stand und Entwicklungstendenzen des Kesselbaues in Schweden *52:* 109–118
Kahlert, W., Die Schnellstartmethode für Reserveanlagen im Gersteinwerk der VEW *52:* 425–428 I. Teil, *52:* 462–467 II. Teil
Kautz, K., siehe Beising, R.
Kautz, K., und Tichatschke, J., Zusammenhänge zwischen Rauchgasverhältnissen, Kesselbelastung und Korrosionen in einer kommunalen Müllverbrennungsanlage *52:* 249–258
Kirsch, H., siehe Beising, R.
Klotz, H., Erfahrungen beim Bau und Betrieb federgelagerter Turbosätze von Kernkraftwerken *52:* 505
Koch, E., Auslegung und Betriebsverhalten von langen Dampfturbinen-Endschaufeln *52:* 451–458
Köhle, H., und Fuhrmann, H., Verfahren zur Messung von Wasserstoff in kondensiertem Dampf *52:* 243–248
Kollerup, V., Stand und Entwicklungstendenzen des Kesselbaues in Dänemark *52:* 104–118
Kowalczyk, U., siehe Tichatschke, J.
Kretzer, R., siehe Heitmann, G.
—, siehe Erfa-Gruppe RWE Technik-Chemie
Krüger, W., Schaden an einem 180-MW-Block durch Nichtöffnen der gesteuerten Sicherheitsventile; Klärung des Schadens sowie Vorschläge für die Änderung der „SR-Sicherheitsventile" *52:* 57–68
Kühne, G., Besondere Merkmale von Ionenaustauschern für die Kerntechnik *52:* 508
Kurt, W., siehe Källstrand, G.

Ledinegg, M., Die Temperaturverteilung in Flammen *52:* 127–135
Lee, T., Beitrag zur Messung des Säuretaupunktes von schwefelsäurehaltigen Gasen *52:* 44–48
Leistikow, S., siehe Erbacher, F.
Limpouch, B., Statistische Auswertung der Verbrennungsstöchiometrie bei festen fossilen Brennstoffen *52:* 25–38
Lindberg, G., siehe Borglin, S.
Linzer, V., Fröhlich, P., und Schmidt, K., Zwangdurchlauf-Dampferzeuger mit überlagertem Umlauf – Auslegung – Konstruktion – Betriebserfahrungen *52:* 311–318
Löbert, P., siehe Heinz, A.
Lutz, H. R., Schreiber, A., Weehuizen, F. H. J., und Diener, W., Der Brand im Kernkraftwerk Mühleberg (KKM) *52:* 183–196

Marquardt, K., Merkmale eines neuen kontinuierlichen Ionenaustauschverfahrens und Erfahrungen im praktischen Betrieb *52:* 509
Martin, F., siehe Helmenstein, S.
Martynova, O. I., Das Verhalten von Korrosionsprodukten in Wasser-Dampfkreisläufen bei hohen Temperaturen *52:* 507
May, B., siehe Zerna, W.
Metz, A., siehe Fütterer, V.
Minkner, R., Probleme von Gasdruckreduzierstationen *52:* 218–228
Morschheuser, W., Be- und Entlüftung von Kessel- und Maschinenhaus im Kraftwerk *52:* 504

Nowak, B., siehe Zerna, W.

Oude-Hengel, H. H., siehe Uebing, D.

Pabst, G., siehe Herold, W.
Pahl, G., Bewährung und Entwicklungsstand großer Getriebe in Kraftwerken *52:* 404–415
Pietzner, H., und Schiffers, A., Mineralogische und chemische Untersuchungen an Verbrennungsrückständen und Ablagerungen aus dem Feuerraum bei Staubfeuerungen mit rheinischer Braunkohle *52:* 508
Poll, J., Planung und Bau einer Flüssig-/Erdgas-Speicheranlage zur Spitzenlastdeckung *52:* 152–155
Ponto, J., Aktuelle Konjunktur- und Währungsfragen *52:* 281–287

Reinhardt, H.-W., Bestimmung instationärer Wärmespannungen mit Hilfe der Spannungsoptik *52:* 68–73
Reményi, K., und Vörös, L., Grundlagen der Verschleißerscheinungen an Mahleinrichtungen für Kohle und verschleißmindernde Maßnahmen *52:* 48–57
Resch, G., Neue Richtwerte für Kesselspeise- und Kesselwasser – Ein Beitrag zur Neufassung 1972 *52:* 385–390
Richter, R., siehe Schoch, W.
Riedlinger, R. A., Aufbereitungseinrichtungen in Müllverbrennungsanlagen *52:* 498–503
Rieß, R., Chemische Konditionierung des Primär- und des Sekundärkreislaufes von Druckwasserreaktoren *52:* 507

Schiffers, A., siehe Pietzner, H.
Schlaich, J., Naturzugkühltürme mit Seilnetzmantel *52:* 504
Schlizio, H., Die Probenahme als Fehlerquelle bei der Untersuchung von Wasserproben auf suspendierte Eisenoxide (Aus der Wasserpraxis) *52:* 162/163
Schluck, K., siehe Erfa-Gruppe RWE Technik–Chemie
Schmidt, H.-J., Neuere Untersuchungen an Stampfmassen für Schmelzfeuerungen *52:* 429–435
Schmidt, K., siehe Linzer, V.
Schoch, W., Wiehn, H., Richter, R., und Schuster, H., Magnetitbildung und Druckverlustanstieg in einem Bensonkessel *52:* 228–242
Scholz, F., siehe Herold, W.
Schreiber, A., siehe Lutz, H. R.
Schultze, E., Erfahrungen als Gutachter beim Turm zu Pisa *52:* 506
Schuster, H., siehe Schoch, W.

Schwaigerer, S., Zylinderschalen unter innerem Überdruck – Erläuterungen zur TRD 301 *52:* 352–358
Schwarz, O., Kurzbericht über die Tätigkeit der VGB TECHNISCHE VEREINIGUNG DER GROSSKRAFTWERKSBETREIBER *52:* 173–182
Sharan, H. N., siehe Bienz, J.
Söderberg, S., siehe Hiltscher, R.
Stangenberg, F., siehe Zerna, W.
Stephan, W., siehe Bödege, R.

Tanner, R., Gemeinsame Verbrennung von Müll und Klärschlamm mit Abwärmeverwertung zur Schlammtrocknung *52:* 140–145
Thelen, F., Möglichkeiten von Typisierung und Rationalisierung im Großkesselbau *52:* 204–211
Tichatschke, J., siehe Kautz, K.
Tichatschke, J., und Kowalczyk, U., Untersuchung der Beziehungen zwischen Müll- und Rauchgaszusammensetzung *52:* 149–152
Tiefenthal, H.-J., siehe Erfa-Gruppe RWE Technik-Chemie

Uebing, D., und Oude-Hengel, H. H., Zuverlässigkeit, eine Forderung moderner Dampferzeugungstechnik *52:* 375–385

Vater, W., Möglichkeiten der Verbrennung von Klärschlamm *52:* 20–25
Vetterkind, D., Ein Voraussagemodell für die Nichtverfügbarkeit von Dampferzeugern *52:* 435–446
VGB, Neue Richtlinien für das Kesselspeisewasser und das Kesselwasser von Dampferzeugern *52:* 167–172, *52:* 385–390
VGB, Der VGB-Kongreß „Technik in Wärmekraftwerken 1972" *52:* 274–281
Vörös, L., siehe Reményi, K.

Wagner, H., Entwicklungstendenzen des Energieverbrauchs und der Energieerzeugung in der chemischen Industrie *52:* 287–293
Wedekind, G., Die Erdgasversorgung Mitteleuropas *52:* 341–348
Weehuizen, F. H. J., siehe Lutz, H. R.
Wegener, A., Betriebserfahrung mit der Filterung von Schmutzwasser in einem offenen Granulatabsetzbecken *52:* 79–83
Wiehn, H., siehe Schoch, W.

Zerna, W., Neuzeitliche Baukonstruktionen für Wärmekraftwerke *52:* 294–300
Zerna, W., May, B., Nowak, B., und Stangenburg, F., Spezielle Anforderungen an die Bautechnik bei Kernkraftwerken *52:* 504

Sachverzeichnis 1972

Hinter dem Stichwort bedeutet (B) = Buchbesprechungen

Abblasedruck von Sicherheitsventilen *52:* 57–68
Abblaseleistung der HD- und ZÜ-Sicherheitsventile *52:* 57–68
Ablagerungen, Braunkohlenstaubfeuerungen, mineralogische und chemische Untersuchung *52:* 508
—, Korrosionsprodukte auf Turbinenschaufeln *52:* 507
—, wasserseitige, in Verdampferrohren *52:* 326–333
Absolute Grädigkeit, Ermittlung der optimalen *52:* 135–140
Abstimmung von Fundamenten *52:* 505
Abwärmeverwertung für Schlammtrocknung *52:* 140–145
Ægidius Elling, der norwegische Gasturbinenpionier *52:* 93–98
Aktivitäten, Abgabe und Überwachung *52:* 396–404
Alkalisierung mit Hydrazin, Einfluß auf das System Eisen–Wasser *52:* 507
Anfahr- und Schwachlastsystem, Zwangdurchlauf-Dampferzeuger *52:* 116–118
Anfahren, Dampfturbinen *52:* 416–424
—, Durchlaufkessel: Überhitzerverhalten *52:* 318–325
—, Zwangdurchlaufkessel, Warmstart *52:* 318–325
Anlagenbeschreibung des Heißdampfkreislaufs für Korrosionsversuche *52:* 8–11
Arbeitsprogramm für den Heißdampfkreislauf für Korrosionsversuche *52:* 8–11
Asche, mineralogische und chemische Untersuchungen an Ablagerungen aus dem Feuerraum bei Staubfeuerungen mit rheinischer Braunkohle *52:* 508
—, Zusammensetzung bei Braunkohlen *52:* 38–44
Aufgabenstellung des Heißdampfkreislaufs für Korrosionsversuche *52:* 8–11
Ausbreitung und Bekämpfung, Brand im Kernkraftwerk Mühleberg *52:* 185–187
Ausfall- und Reparaturkosten von Dampferzeugern, Abschätzung mit Hilfe der voraussichtlichen Arbeitsnichtverfügbarkeit *52:* 435–446
Auslegung, Dampfturbinen-Endschaufeln *52:* 451–458

Bahnstromerzeugung, Getriebeprobleme *52:* 404–415
Bau und Planung von Großkraftwerken in den USA *52:* 458–461
Baukonstruktionen, Neuzeitliche, für Wärmekraftwerke *52:* 294–300
Bauteile und Bauteilgruppen, Zuverlässigkeit *52:* 375–385
Behördlich festgelegte Grenzen der Abgaben *52:* 396–404
Beizung von Großkesselanlagen mit Flußsäure *52:* 348–352
Beläge, rauchgasseitige, in Müllverbrennungsanlagen *52:* 249–258
Beratungsfirmen, Aufgaben der — bei Bau und Planung von Großkraftwerken *52:* 458–461
Bergschädensicherung im Kraftwerksbau *52:* 505
Betriebserfahrungen, Gasturbinen *52:* 472–478
—, mit der Schnellstartmethode im VEW-Gersteinwerk *52:* 462–467
Betriebssicherheit von Dampferzeugern durch Früherkennung von Schäden *52:* 491–498
Betriebszeit, kritische, zur Verhütung von Verdampferrohrkorrosionen *52:* 326–329
Brand im Kernkraftwerk Mühleberg *52:* 183–196
Brandausbruch, Brand im Kernkraftwerk Mühleberg *52:* 185
Brandschutz, Untersuchungen an Wänden, Decken und Dacheindeckungen *52:* 450
Braunkohlen, die Mineralsubstanz der niederrheinischen *52:* 38–44
—, Infrarotspektrometrische Untersuchungen *52:* 40
—, mineralogische und chemische Untersuchungen an Verbrennungsrückständen und Ablagerungen aus dem Feuerraum von Braunkohlekesseln *52:* 508
Bruchverhalten technischer Werkstoffe (B) *52:* 92
Bypassregel- und Sicherheitsventile *52:* 57–68

CaO-MgO-Al_2O_3-SiO_2, 10% MgO-Ebene des Systems *52:* 156–161
Chalcedon in Braunkohlen *52:* 41–44, *52:* 156–161
Chemische Industrie, Energieverbrauch und Energieerzeugung *52:* 287–293
—, Stromverbrauch *52:* 287–293
Cristobalit in Braunkohlenschlacken *52:* 156–161

Dampf, Messung des Wasserstoffgehaltes *52:* 243–248
Dampf- und Energieerzeugung für den mittleren industriellen Bedarf (B) *52:* 91
Dampferzeugungstechnik, Zuverlässigkeit *52:* 375–385
Dampfkesselbestimmungen (B) *52:* 91
Dampfturbinen, Anfahren *52:* 416–424
—, Festdruckbetrieb *52:* 416–424
—, Gleitdruckbetrieb *52:* 416–424
—, Laständerungen *52:* 416–424
—, Werkstoffe *52:* 416–424
Dampfturbinen-Endschaufeln, Auslegung *52:* 451–458
—, Eigenfrequenz *52:* 451–458
—, Erosion *52:* 451–458
—, Festigkeit *52:* 451–458
—, Schwingung *52:* 451–458
Deformationsmessungen mit Hilfe der Photogrammetrie *52:* 505
Diesel & Gas Turbine Worldwide Catalog (B) *52:* 519
DIN-Taschenbuch 8 – Schweißtechnische Normen (B) *52:* 92
DIN-Taschenbuch 13 – Abwasser-Normen (B) *52:* 518
DIN-Taschenbuch 14 – Spannzüge (B) *52:* 92
DIN-Umrechnungstabellen für die gesetzlichen Einheiten (B) *52:* 91
Diopsid in Braunkohlenschlacken *52:* 156–161
Druckänderungsgeschwindigkeit im Entlastungssystem von Sicherheitsventilen *52:* 57–68
Druckbehälter, Rohranschlußstutzen *52:* 73–79
—, zylindrische *52:* 73–79
Druckluftspeicherung, Gasturbine *52:* 196–204

Druckverlust, Zweiphasenströmung in den beheizten Siederrohren *52:* 11–15
—, Anstieg und Magnetitbildung in einem Bensonkessel *52:* 228–242
—, Messungen bei Riffelrauhigkeit der Magnetitschichten *52:* 240–241
Druckwasserreaktoren, chemische Konditionierung des Primär- und des Sekundärkreislaufes *52:* 507
Dünnschichttrockner für Schlamm *52:* 144
Durchlaufkessel, Anfahren *52:* 462–467

Edelgase, Abgabe von *52:* 396–404
Eigenfrequenz, Dampfturbinen-Endschaufeln *52:* 451–458
Einfrierverfahren der Spannungsoptik *52:* 68–73
Einheitengesetz, Handel und Wirtschaft und das — (B) *52:* 362
Einsatzmöglichkeit, Gasturbinen *52:* 472–478
Eisen(III)-chlorid-Dosierung zur Verbesserung der Schnellentcarbonisierung bei phosphathaltigem Wasser *52:* 270/271
Eisenhüttenwesen, gemeinfaßliche Darstellung (B) *52:* 165
Eisenoxide im Wasser, Probenahme als Fehlerquelle bei der Untersuchung *52:* 162/163
Elektrofilter, Ablagerungen in — von Müllverbrennungsanlagen *52:* 249–258
Elektrolyte, Erfassung kleinster Konzentrationen im Wasser-Dampfkreislauf *52:* 508
Elektro-Magnetfilter, Anwendung im Wasser-Dampfkreislauf von Kraftwerken *52:* 508
Elektronik, Einführung in die (B) *52:* 92
Elektrotechnik, Grundlagen der —, VDI-Taschenbuch T 24 (B) *52:* 362
—, im Industriebetrieb II (B) *52:* 92
Elling, Ægidius, der norwegische Gasturbinenpionier *52:* 93–98
Energie, direkte Umwandlung *52:* 363–374
—, Direktumwandlung, Stand und Chancen *52:* 363–374
— - und Prozeßwärmeerzeugung mit Hochtemperaturreaktoren *52:* 390–396
—, Verbrauch und Erzeugung in der chemischen Industrie *52:* 287–293
Entcarbonisierung mit Kalk in Gegenwart höherer Phosphatgehalte *52:* 270/271
Entwicklung, Naßdampfturbosätze *52:* 300–310
Entwicklungspotential des Hochtemperaturreaktors *52:* 390–396
Entwicklungstendenzen, Gasturbinen *52:* 196–204
— und Stand des Kesselbaues in Dänemark *52:* 104–109
— und Stand des Kesselbaus in Schweden *52:* 109–118
Erdbeben, Bedeutung beim Bau von Kernkraftwerken *52:* 294–300
Erdgas, Flüssiggas-Speicher *52:* 152–155
—, Umstellung eines Industriekraftwerkes auf — *52:* 212–217
—, Feuerung, Brenner, Sicherheitstechnik, Kosten *52:* 212–217
—, Transportsystem in der EWG *52:* 347
—, Versorgung *52:* 341–348
—, Vorkommen *52:* 343
Erläuterungen zur TRD 301, Zylinderschalen *52:* 352–358
Erosion, Dampfturbinen-Endschaufeln *52:* 451–458
—, durch Rußbläser *52:* 491–498
—, Sattdampfturbinen *52:* 300–310
EVU-Technik, praktische (B) *52:* 166
Exergie in der Kraftwerkstechnik (B) *52:* 362
Explosionseinwirkungen auf Kernkraftwerke *52:* 294–300
Explosionsgeschützte elektrische Betriebsmittel und ihr Einsatz (B) *52:* 518

Federlagerung von Fundamenten *52:* 505
Feldspat in Braunkohlen *52:* 41–44
Festdruckbetrieb, Dampfturbinen *52:* 416–424
Festigkeit, Dampfturbinen-Endschaufeln *52:* 451–458
Feuerraumschlacken aus braunkohlegefeuerten Kesseln *52:* 156–161
Feuerschutz, Planungsgesichtspunkte für den — *52:* 183
Feuerungsregelung bei Müllfeuerungen *52:* 16–20
Filterung von Schmutzwasser *52:* 79–83
Finite Elemente für gekrümmte Flächentragwerke (B) *52:* 450
Flammen, Temperaturverteilung *52:* 127–135
Flockung mit Eisen(III)-chlorid zur Verbesserung der Schnellentcarbonisierung bei phosphathaltigem Wasser *52:* 270/271
Flüssiggas-Speicher für Erdgas *52:* 152–155
Flugkörperabsturz auf Kernkraftwerke *52:* 294–300
Fluidik – Bauelemente, Schaltungen, Signalübertragung und -verarbeitung, Meßtechnik (B) *52:* 92
Flußmittel in Schlacken *52:* 160
Flußsäure zur Beizung von Großkesselanlagen *52:* 348–352
Füllzeiten des Zwischenüberhitzers *52:* 57–68
Fundamente, federgelagert *52:* 505

Gasdruckreduzierstationen, Aufbau, Sicherheitseinrichtungen *52:* 218–228
Gasdruckregelgeräte für Erdgas *52:* 220
Gasgekühlte Hochtemperaturreaktoren, Entwicklung, Bau und Betrieb *52:* 390–396
Gasturbinen, Betriebserfahrungen *52:* 472–478
—, Druckluftspeicherung *52:* 196–204
—, Einsatzmöglichkeit *52:* 472–478
—, Entwicklungstendenzen *52:* 196–204
—, Geschichte der *52:* 93–98
—, Getriebeprobleme *52:* 404–415
—, Kopplung mit Hochtemperaturreaktoren *52:* 390–396
—, Leistung *52:* 98–104
—, Spitzenkraftwerk *52:* 472–478
—, Thermodynamik *52:* 98–104, 196–204
—, Wärmeverbrauch *52:* 98–104
Gersteinwerk, Bau von vier Erdgasblöcken *52:* 505
—, Schnellstartmethode *52:* 425–428
Gesetzliche SI-Einheiten (B) *52:* 518
Getriebe, Auslegungskriterien im Hinblick auf große Leistungen *52:* 404–415
—, Bewährung und Entwicklungsstand in Kraftwerken *52:* 404–415
—, Deformation durch Temperatureinflüsse *52:* 404–415
Gleitdruckbetrieb, Dampfturbinen *52:* 416–422
Gleitringdichtungen, axiale (B) *52:* 165
Grädigkeit, absolute, Ermittlung der optimalen — *52:* 135–140
Granulatabsetzbecken, Filterung von Schmutzwasser in einem — *52:* 79–83
Großkraftwerke, Planung und Bau von — in den USA *52:* 458–461
Grundlagen der Kraft- und Wärmewirtschaft (B) *52:* 362

Halbautomatische Ölzündfeuerung, Betriebserfahrungen *52:* 468–472
HD-Sicherheitsventile *52:* 57–68

Hedenbergit in Braunkohlenschlacken *52:* 156–161
Heißdampfkreislauf für Korrosionsversuche *52:* 8–11
Heißdampfoxydation *52:* 239
Heißdruckfestigkeit von Stampfmassen *52:* 429–435
Heißgaserzeuger/Heißgaskessel *52:* 1–8
Heißwasseroxydation *52:* 228–242
Hydrazin, Einfluß auf das System Eisen–Wasser *52:* 507

Illit in Braunkohlen *52:* 41–44 *52:* 156–161
Immissionsnachweis mit Hilfe der Photogrammetrie *52:* 505
Industrieturbinen, Getriebeprobleme *52:* 404–415
Instationäre Vorgänge in einer konventionellen Kraftwerksanlage, Rechenmodell *52:* 118–126
Investitionen für Regenerativ-Vorwärmer-Heizflächen *52:* 135–140
Ionenaustausch, Merkmale eines neuen kontinuierlichen Verfahrens zur Wasseraufbereitung *52:* 509
Ionenaustauscher für die Kerntechnik, besondere Merkmale *52:* 508

Jod und Aerosole, Abgabe *52:* 396–404

Kaolinit in Braunkohlen *52:* 41–44
Keramische Werkstoffe, Einsatz der — in industriellen Anlagen (B) *52:* 166
Kernkraftwerke, bautechnische Aufgaben bei (B) *52:* 164
— mit Druckwasserreaktoren, chemische Konditionierung des Primär- und des Sekundärkreislaufes *52:* 507
—, Sicherheitsauflagen *52:* 504
— Schmehausen *52:* 506
Kernsieden *52:* 327
Kerntechnik, Anforderungen an Ionenaustauscher in der *52:* 508
Kesselbau in Dänemark, Stand und Entwicklungstendenzen *52:* 104–109
— in Schweden, Stand und Entwicklungstendenzen *52:* 109–118
Kesselbeizung mit Flußsäure *52:* 348–352
Kesselhaus, Entlüftung *52:* 504
Kessel-Nichtverfügbarkeit, Voraussage der *52:* 435–446
Kesselspeisewasser, Richtlinien *52:* 167–172 *52:* 385–390
Kesselwasser, Richtlinien *52:* 167–172 *52:* 385–390
Klärschlamm, Entwässerung *52:* 20–25
—, Konditionierung *52:* 20–25
—, Verbrennung *52:* 20–25 *52:* 140–145
Kohlenmühlen, Verschleiß an *52:* 48–57
Kompensatoren, Hydra-Taschenbuch (B) *52:* 165
Kompressorenantrieb, Getriebeprobleme *52:* 404–415
Kondensat, mechanische Reinigung mit Elektro-Magnetfiltern *52:* 508
—, Bildung in der Steuerleitung von Sicherheitsventilen *52:* 57–68
Konjunktur- und Währungsfragen, aktuelle *52:* 281–287
Konservierung des Blockes bei der Schnellstartmethode *52:* 425–428
Konstruktion, Naßdampfturbosätze *52:* 300–310
Konstruktionsfragen und moderne Berechnungsverfahren im Apparatebau (B) *52:* 519
Kontinuierliches Ionenaustauschverfahren, Merkmale und Betriebserfahrungen *52:* 509
Korrosionen, Einfluß von Hydrazin auf das System Eisen–Wasser *52:* 507
— in Müllverbrennungsanlagen *52:* 16–20 *52:* 249–258
—, Versuche im Heißdampfkreislauf unter Wärmeübergang *52:* 8–11
— an Überhitzern und Zwischenüberhitzern *52:* 491–498
Korrosionsprodukte, Verhalten in Wasser-Dampfkreisläufen bei hohen Temperaturen *52:* 507
Kosten und Preise in der Elektrizitätsversorgung der Bundesrepublik Deutschland (B) *52:* 91
Kraftwerksanlage, Rechenmodell für instationäre Vorgänge in einer *52:* 118–126
Kritische Wandtemperaturen von Verdampferrohren *52:* 326–333
Kühltürme, Bergschädengebiet *52:* 505
—, Naturzug- *52:* 504
—, Neuzeitliche Baukonstruktionen *52:* 294–300
— aus vorgespanntem Seilnetz *52:* 504
Kugelhaufen-Kernkraftwerk Schmehausen *52:* 506
Kurzbericht über die Tätigkeit der VGB *52:* 173–182

Lastabschaltung, Sattdampfturbinen *52:* 300–310
Laständerungen, Dampfturbinen *52:* 416–424
Lehren aus dem Unfall (Brand im KKW Mühleberg) *52:* 192–194
Leistung, Gasturbine *52:* 98–104
Löslichkeit von Korrosionsprodukten in Wasser-Dampfkreisläufen bei hohen Temperaturen *52:* 507
Lüftung, künstliche *52:* 504
—, natürliche *52:* 504
— und Schallschutz *52:* 504

Magnetitbildung und Druckverlustanstieg in einem Bensonkessel *52:* 228–242
Magnetitschichten, Mikromorphologie *52:* 228–242
—, wasserseitige, Elementverteilung *52:* 228–242
—, wasserseitige, Wachstum der *52:* 228–242
Mahleinrichtungen für Kohle *52:* 48–57
Markasit in Braunkohlen *52:* 41–44
Maschinenhaus, Entlüftung *52:* 504
Mehrweggetriebe, Wege zur Leistungssteigerung *52:* 404–415
Mengen- und Durchflußmessung von Flüssigkeiten (B) *52:* 518
Meßergebnisse, ZÜ-Sicherheitsventile *52:* 57–68
Meßgrößenverarbeitung (B) *52:* 166
Meß-, Steuer-, Regel- und Sicherheitssysteme, Zuverlässigkeit der (B) *52:* 518
Meß- und Regelungstechnik, Rechentechnik (B) *52:* 518
Messung des Eisenoxidgehaltes in Wasserproben, Fehler durch Probenahme *52:* 162/163
Messung des Wasserstoffgehaltes im Dampf *52:* 243–248
Minerale, Abtrennung von der organischen Braunkohlesubstanz *52:* 38–44
Mineralsubstanz niederrheinischer Braunkohlen *52:* 38–44
Mittelbar gesteuerte Sicherheitsventile, Prüfung *52:* 57–68
Mühleberg, Der Brand im Kernkraftwerk *52:* 183–196
Mühlen für Sperrmüllzerkleinerung *52:* 498–503
Müllfeuerungen, Rauchgasanalyse *52:* 16–20
Müllverbrennung *52:* 16–20
—, HCl-Konzentration in Rauchgasen *52:* 149–152
—, Müll- und Rauchgaszusammensetzung *52:* 149–152
—, PVC-Anteil im Rohmüll *52:* 149–152
— und Schlammtrocknung *52:* 140–145
Müllverbrennungsanlagen, Betriebskosten *52:* 148
—, Brandschutz in *52:* 483–490
—, Hygiene in *52:* 483–490
—, Investitionskosten *52:* 334

—, Jahreskosten *52:* 335
—, Mannheim *52:* 16–20
—, Mühlen und Shredder *52:* 498–503
—, Planungsgrundlagen *52:* 333–340
—, rauchgasseitige Ascheablagerungen *52:* 249–258
—, Rennes *52:* 146
—, Sicherheitstechnik *52:* 483–490
—, Transportkosten *52:* 335
—, Zusammenhänge zwischen Rauchgasverhältnissen, Kesselbelastung und Korrosionen *52:* 249–258

Naßdampfturbosätze, Entwicklung *52:* 300–310
—, Konstruktion *52:* 300–310
Naturumlaufkessel, Typisierung *52:* 204–211
Naturzugkühltürme *52:* 294–300
—, Sonderbauformen *52:* 504
Nichtverfügbarkeit von Dampferzeugern, ein Voraussagemodell für die *52:* 435–446
Normung, die überbetriebliche — in den USA (B) *52:* 165
Notfallorganisation *52:* 185

Oberflächenschichtverfahren der Spannungsoptik *52:* 68–73
Opal in Braunkohlen *52:* 41–44 *52:* 156–161
Oxidschichten, wasserseitige, Riffelbildung von *52:* 228–242
Oxydation der Braunkohle bei tiefen Temperaturen *52:* 39

Phosphate, Einfluß auf die Schnellentcarbonisierung *52:* 270/271
Photogrammetrie, Einsatz beim Industriebau *52:* 505
Physik der Heizungs- und Lüftungstechnik (B) *52:* 91
Pisa, Sanierung des Turmes *52:* 506
Planungsunterlagen, Herstellung von — mit Hilfe der Photogrammetrie *52:* 505
Probenahme, Fehlerquelle bei der Untersuchung von Wasserproben auf suspendierte Eisenoxide *52:* 162/163
Produktionswert der verarbeitenden Industrie *52:* 287–293
Produktivität und Rationalisierungschancen, Wege, Forderungen (B) *52:* 165
Programm für die Wiederinbetriebnahme (Brand im Kernkraftwerk Mühleberg) *52:* 194/195
Prüfverfahren für SiC-Stampfmassen *52:* 434/435
Pyrit in Braunkohlen *52:* 41–44

„Quality-Assurence" – Programm in den USA *52:* 458–461
Quarz in Braunkohlenschlacken *52:* 156–161
Quarz in Braunkohlen *52:* 41–42 *52:* 156–161

Rationalisierung, im Kesselbau *52:* 204–211
Rauchgasentschwefelung (Schweden) *52:* 110
Reaktordruckbehälter, THTR Schmehausen *52:* 506
Reaktorsicherheitsbehälter, außergewöhnliche Lastfälle *52:* 294–300 *52:* 504
Rechenmodell für instationäre Vorgänge in einer konventionellen Kraftwerksanlage *52:* 118–126
Regelanlagen, Projektierung der (B) *52:* 166
Regeln und Steuern (B) *52:* 165
Regelungen, zur Frühgeschichte der technischen (B) *52:* 166
Regenerativ-Vorwärmer-Heizflächen, Wirtschaftlichkeit von Investitionen für *52:* 135–140
Reperatur- und Ausfallkosten von Dampferzeugern, Abschätzung *52:* 435–446
Revisionsplanung in Abhängigkeit von der Kessel-Nichtverfügbarkeit *52:* 435–446
Richtlinien für Kesselspeisewasser- und Kesselwasser, Ausgabe 1972 *52:* 167–172 *52:* 385–390
Riffelbildung an wasserseitigen Magnetitschichten und deren Vermeidung *52:* 228–242
Rohranschlußstutzen, einseitiger *52:* 73–79
Rohrhydraulik (B) *52:* 165
Rohrleitungstechnik (B) *52:* 166
Rohr-Schweißverbindungen, 13 CrMo 4 4 – ungeglüht *52:* 258–270
—, 13 CrMo 4 4 – Zeitstandprüfung *52:* 258–270
—, 10 CrMo 9 10 – ungeglüht *52:* 258–270
—, 10 CrMo 9 10 – Zeitstandprüfung *52:* 258–270
—, Zeitstandprüfung *52:* 258–270
Rohrwandtemperatur, Messung der *52:* 329–330

Säuretaupunkt, Messung *52:* 44–48
Salze, Erfahrungen mit der Erfassung kleinster Konzentrationen im Wasser-Dampfkreislauf von Hochdruckkesseln *52:* 508
Sand in Braunkohlen *52:* 38–44 *52:* 156–161
Sattdampfturbinen, Erosionen *52:* 300–310
—, Lastabschaltung *52:* 300–310
—, Verfügbarkeit *52:* 300–310
—, Wasserabscheidung *52:* 300–310
Schaden an 180-MW-Block *52:* 57–68
Schadenumfang, Brand im Kernkraftwerk Mühleberg *52:* 190
Schadenursache, Brand im Kernkraftwerk Mühleberg *52:* 190–192
— an Dampferzeugern – Früherkennung *52:* 491–498
— durch Versagen von ZÜ-Sicherheitsventilen *52:* 57–68
Schallpegel von Gasdruckreduzierventilen *52:* 223
Schallschutz bei Lüftungen *52:* 504
Schaltanlagen von Niederspannung bis Hochspannung einschließlich 110 kV (B) *52:* 518
Schlacke, Entstehung in braunkohlegefeuerten Kesseln *52:* 156–161
—, Schmelzverhalten von Braunkohlenschlacken *52:* 156–161
—, Zusammensetzung in braunkohlegefeuerten Kesseln *52:* 156–161
Schlamm, Verbrennung *52:* 140–145
—, Konditionierung *52:* 144
—, Trocknung *52:* 20–25 *52:* 140–145
—, Verbrennung, Ofenbauarten *52:* 20–25
Schmutzwasser, Filterung *52:* 79–83
Schnellstartmethode im Gersteinwerk der VEW *52:* 425–428 (I. Teil) *52:* 462–467 (II. Teil)
—, Konservierung des Blockes *52:* 425–428
Schnellentcarbonisierung, Einfluß höherer Phosphatgehalte im Rohwasser *52:* 270/271
Schwefelkies in Braunkohlen *52:* 41–44
Schweißen von Sondermetallen (B) *52:* 164
Schweißtechnik, Wirtschaftslichkeitsfragen der praktischen (B) *52:* 166
Schweißtechnisches Hochschul-Kolloquium (B) *52:* 91
Schwingungen, Dampfturbinen-Endschaufeln *52:* 451–458
—, Gasturbinen *52:* 472–478
— in Frischdampfleitungen – physikalische Zusammenhänge – Untersuchungsmethoden *52:* 478–483
— in Frischdampfleitungen konventioneller Kraftwerksblöcke *52:* 478–483
Seilnetze bei Kühltürmen *52:* 504
Setzungen beim Turm zu Pisa *52:* 506
Shredder für Sperrmüllzerkleinerung *52:* 498–503
SiC-Stampfmassen, Prüfverfahren *52:* 434–435

Sicherheitsabsperrventil für Erdgas *52:* 224
Sicherheitsauflagen bei Kernkraftwerken *52:* 504
Sicherheitsventile, gesteuert *52:* 57–68
Spannbetondruckbehälter, THTR Schmehausen *52:* 506
Spannungskonzentration, niedrige – an zyl. Druckbehältern *52:* 73–79
—, niedrige – an Rohranschlußstutzen *52:* 73–79
—, Rohranschlußstutzen an zyl. Druckbehältern *52:* 73–79
Spannungsoptik, zur Bestimmung instationärer Wärmespannung *52:* 68–73
Spannungsoptische Grundlagen und Verfahren *52:* 68–73
Speisepumpenantrieb, Getriebeprobleme *52:* 404–415
Speisewasser, kontinuierliche Reinigung mit Elektro-Magnetfiltern *52:* 508
Sperrmüllzerkleinerung, Kosten der *52:* 498–503
Spitzenkraftwerk, Gasturbinen *52:* 472–478
Spitzenlastanlagen in Dänemark *52:* 104–109
Spitzenlastdeckung durch Erdgas-Speicher *52:* 152–155
SR-Sicherheitsventile, Neufassung *52:* 57–68
Stähle für Dampfkessel und Druckbehälter, europäische und amerikanische (B) *52:* 166
Stahl-Eisen-Werkstoffblätter, Taschenbuch der (B) *52:* 165
Stampfmassen für Schmelzfeuerungen *52:* 429–435
Statistik der Energiewirtschaft (B) *52:* 450
Stellgeräte und Armaturen für strömende Stoffe (B) *52:* 450
Steuerventil für ZÜ-Sicherheitsventil *52:* 57–68
Stickstoffoxide, Öl- und Gasfeuerungen *52:* 110/111
Strahlenschutz, Brand im Kernkraftwerk Mühleberg *52:* 185–188
Strahltriebwerke, Gasturbine *52:* 472–478
Streulichtverfahren der Spannungsoptik *52:* 68–73
Strömungsquerschnitte im Entlastungssystem von Sicherheitsventilen *52:* 57–68
Strömungswiderstand bei Riffelrauhigkeit der Magnetitschichten *52:* 240/241
Stromverbrauch, der chemischen Industrie *52:* 287–293
—, Zuwachsraten für stromintensive Produkte *52:* 287–293

Tätigkeit der VGB, Kurzbericht über die *52:* 173–182
Taupunkt von Rauchgasen, Impulsmethode *52:* 46
—, Teilkondensationsmethode *52:* 45
Technik in Wärmekraftwerken 1972, der VGB-Kongreß *52:* 274–281
Teillastumwälzung, Zwangdurchlauf-Dampferzeuger mit überlagertem Umlauf *52:* 311–318
Temperaturmessungen in Stampfmassen *52:* 429–435
Temperaturverteilung in Flammen *52:* 127–135
Thermodynamik, Gasturbine *52:* 98–104 *52:* 196–204
THTR – Schmehausen *52:* 506
Tonminerale in Braunkohlen *52:* 41–44 *52:* 156–161
Totzeit von gesteuerten Sicherheitsventilen *52:* 57–68
Tridymit in Braunkohlenschlacken *52:* 156–161
Trockenkühler *52:* 294–300
Trockenkühlung *52:* 504
Türme – Setzungen beim Turm zu Pisa *52:* 506
Turbinenablagerungen durch Korrosionsprodukte *52:* 507
Typisierung und Rationalisierung – Großkesselbau *52:* 204–211

Überlagerter Umlauf, bei Zwangdurchlauf-Dampferzeugern *52:* 311–318
Umgebungsüberwachung *52:* 396–404
Umwandlung, direkte — von Energie *52:* 363–374
Umweltfreundliches Reaktorsystem, der Hochtemperaturreaktor *52:* 390–396
Umweltschutz (B) *52:* 519

Verbesserungsvorschläge, Brand im KKW Mühleberg *52:* 192–194
Verbrennung und Feuerungen (B) *52:* 518
Verbrennungsrechnung, Grundlagen für feste Brennstoffe *52:* 25
Verbrennungsrückstände aus Braunkohlenstaubfeuerungen, mineralogische und chemische Untersuchungen *52:* 508
Verdampferrohre, Verhütung kritischer Wandtemperaturen *52:* 326–333
Verfahrensregelungstechnik, Fibel der (B) *52:* 450
Verfahrenstechnik, Fibel der (B) *52:* 450
Verfügbarkeit, Dampferzeugungstechnik *52:* 375–385
—, Sattdampfturbinen *52:* 300–310
—, Voraussage der Kessel-Nichtverfügbarkeit *52:* 435–446
Vermessung mit Hilfe der Photogrammetrie *52:* 505
Verschlackungen in braunkohlegefeuerten Kesseln *52:* 156–161
Verschlackungsneigung, Ursache der — in braunkohlegefeuerten Kesseln *52:* 156–161
Verschleiß an Kohlenmühlen *52:* 48–57
Verunreinigungen im Wasser-Dampfkreislauf, Erfassung kleinster Ionenkonzentrationen *52:* 508
VDEW-Betriebsstatistik 1970 (B) *52:* 519
VGB, Kongreß „Technik in Wärmekraftwerken 1972", *52:* 274–281
—, Kurzbericht über die Tätigkeit der *52:* 173–182
—, Richtlinien für Kesselspeisewasser und Kesselwasser, Ausgabe 1972 *52:* 167–172 *52:* 385–390
Vollastumwälzung, Zwangdurchlauf-Dampferzeuger mit überlagertem Umlauf *52:* 311–318
Vollautomatische Kohlenstaubfeuerung, Betriebserfahrungen *52:* 468–472
Vollautomatische Ölzündfeuerung, Betriebserfahrungen *52:* 468–472
Vorsteuerung der Sicherheitsventile *52:* 57–68

Währungsfragen, aktuelle *52:* 281–287
Wärmekonzentrationen, gezielter Abbau *52:* 504
Wärmeleitfähigkeit von Stampfmassen *52:* 429–435
Wärmespannungen, instationäre, Bestimmung von *52:* 68–73
Wärmeübergangsrechnung, Grundlagen für feste Brennstoffe *52:* 25
Wärmeverbrauch, Gasturbine *52:* 98–104
Wandtemperaturen, kritische, von Verdampferrohren, Kontrolle der *52:* 326–333
Warmstart, beim Zwangdurchlaufkessel *52:* 318–325
Wasser, Verhalten gegenüber Eisen in Gegenwart von Hydrazin *52:* 507
Wasser-Dampfkreislauf, Reinigung mit Elektro-Magnetfiltern *52:* 508
—, Erfahrungen mit der Erfassung kleinster Ionenkonzentrationen *52:* 508
Wasserabscheidung, Sattdampfturbinen *52:* 300–310
Wasseraufbereitung, Merkmale eines neuen kontinuierlichen Ionenaustauschverfahrens und Betriebserfahrungen *52:* 509
Wasserbehandlung in Kernkraftwerken mit Druckwasserreaktoren *52:* 507
Wasserstoffmessung im Dampf *52:* 243–248
Wasseruntersuchung, Probenahme als Fehlerquelle bei Untersuchung auf suspendierte Eisenoxide *52:* 162/163
Werkstoffe, Dampfturbinen *52:* 416–424

Werkstofftabellen der Metalle (B) *52:* 164
Werkstoffversuche, Formeln und Tabellen für — (Prüfverfahren und Kennwerte (B) *52:* 518
Wertschöpfung der verarbeitenden Industrie *52:* 287–293
Wiederholungsprüfungen für Sicherheitsventile *52:* 57–68
Wiederinstandstellung, Brand im KKW Mühleberg *52:* 194/195
Wirtschaftlichkeitsvergleich, Verschiedene Gasturbinenbauarten *52:* 472–478
Wollastonit in Braunkohlenschlacken *52:* 156–161

Zeit-Nichtverfügbarkeit von Kesseln, Voraussage der *52:* 435–446
Zeitstandprüfung, Rohr-Schweißverbindungen *52:* 258–270
ZÜ-Sicherheitsventile *52:* 57–68
Zuverlässigkeit, Steigerung der — durch Prozeßrechner *52:* 375–385
Zwangdurchlauf-Dampferzeuger, Typisierung *52:* 204–211
—, Überlagerter Umlauf *52:* 311–318
Zweiphasenströmung *52:* 327
—, Druckverlust bei *52:* 11–15
— in beheizten Siederohren *52:* 11–15
—, Mittelwert für senkrechte Siederohre *52:* 11–15
—, Mittelwert für waagerechte Rohre *52:* 11–15
Zwischenschichtverfahren der Spannungsoptik *52:* 68–73
Zwischenüberhitzer-Druckanstieg *52:* 57–68
Zylinderschalen, Festigkeitsberechnung *52:* 352–358
— mit Ausschnitten, Berechnung *52:* 352–358
—, vorwiegend ruhende und schwellende Beanspruchung *52:* 352–358

PERSÖNLICHES

Anderheggen, Erwin, Vorstandsvorsitzender *52:* 272
Bachl, Herbert, im Ruhestand *52:* 447
Bacht, Richard, 70 Jahre *52:* 447
Bäcker, Hans, gestorben *52:* 163
Bähr, Franz Walter, gestorben *52:* 359
Balke, Siegfried, 70 Jahre *52:* 272
Bechdoldt, Hans, gestorben *52:* 516
Boehm, Jos. J., 65 Jahre *52:* 359
Braun, Heinz, 50 Jahre *52:* 272
Brecht, Christoph, Ehrendoktor *52:* 360
Bremer, Wilhelm, 80 Jahre *52:* 272
Bretschneider, Herbert, gestorben *52:* 359
Brünecke, Erhardt, 25 Jahre beim RWE *52:* 272
Classen, Rolf, 50 Jahre *52:* 516
Cronemeyer, Theodor, 75 Jahre *52:* 272
Dahmen, Günter, gestorben *52:* 163
Dörrscheidt, Wilhelm, gestorben *52:* 163
Dümmler, Friedrich, 60 Jahre *52:* 360
Eichler, Josef Alfred, gestorben *52:* 272
Endell, Norbert, Geschäftsführer der VDI-Kommission Reinhaltung der Luft *52:* 90
Fees, Karl, 65 Jahre *52:* 359
Frank, Karl, Ehrenmitglied bei VDEW *52:* 360
Gubin, August, gestorben *52:* 90
Haager, Karlheinz, Honorarprofessor *52:* 272
Hackemann, Werner, im Ruhestand *52:* 90
Hennig, Theodor, 50 Jahre *52:* 272
Henney, Karl Alfred, 65 Jahre *52:* 359
Hillesheim, Jakob, 65 Jahre *52:* 90
Hirschmann, Hans, im Vorstand des VDMA *52:* 360
Hoevels, Werner, gestorben *52:* 90
Hofmann, Karl, gestorben *52:* 163
Ipfelkofer, Josef, 65 Jahre *52:* 272
Ipfelkofer, Josef, im Ruhestand *52:* 516
Jähne, Norbert, 65 Jahre *52:* 164
Kirsch, Helmut, Professor *52:* 447
Kretschmann, Willy, 75 Jahre *52:* 163
Leiste, Hasso, 65 Jahre *52:* 516
Lenkewitz, Heinz, 60 Jahre *52:* 516
Loew, Heinz, Lehrauftrag *52:* 516
Ludewig, Walter, 65 Jahre *52:* 163
Lupberger, Ernst, gestorben *52:* 90
Möbius, Werner, gestorben *52:* 272
Möller-Klepzig, Karl-Heinz, 65 Jahre *52:* 516
Müller, Heinrich, im Ruhestand *52:* 90
Pavel, Dietmar, gestorben *52:* 272
Pees, Norbert, gestorben *52:* 273
Pfender, Max, im Ruhestand *52:* 447
Puhr-Westerheide, Hans, 60 Jahre *52:* 516
Rademacher, Heinrich, 65 Jahre *52:* 516
Rant, Zoran, gestorben *52:* 163
Ratzel, Ludwig, Oberbürgermeister *52:* 360
Reuther, Hans-J., 60 Jahre *52:* 90
Reuther, Hans J., ausgezeichnet *52:* 447
Riedlinger, Rudolf Alfred, Betriebsdirektor *52:* 447
Rosahl, Otto, 65 Jahre *52:* 272
Ruppel, Gerhard, 70 Jahre *52:* 359
Sack, Max, 65 Jahre *52:* 447
Schneider, Theodor, ausgezeichnet *52:* 516
Schmidt-Amelung, Karl, 65 Jahre *52:* 516
Schöning, Werner, 75 Jahre *52:* 163
Schuller, Alfred, Ehrendoktor *52:* 272
Schulte, Richard, 25 Jahre bei VEW *52:* 90
Schulte, Richard, weiter Vorstandsvorsitzender *52:* 360
Schulte, Richard, 65 Jahre *52:* 447
Schulte, Richard, ausgezeichnet *52:* 516
Schulten, Rudolf, ausgezeichnet *52:* 164
Schumacher, Adolf, Ernennung *52:* 164
Schwarz, Karl, neuer Leiter der VDI-Kommission Reinhaltung der Luft *52:* 90
Selden, Kurt, im Ruhestand *52:* 516
Stephany, Hans, gestorben *52:* 359
Stönner, Alfred, 50 Jahre *52:* 272
Stuchtey, Rudolf, ausgezeichnet *52:* 516
Thomas, Kurt, gestorben *52:* 516
Wagner, Helmut, 40 Jahre in der chemischen Industrie *52:* 164
Wagner, Helmut, Professor *52:* 516
Werner, Fritz, im Ruhestand *52:* 447
Wessels, Theodor, gestorben *52:* 447
Wiese, Wilhelm, 70 Jahre *52:* 447
Windmöller, Wilhelm, 60 Jahre *52:* 360
Wolf, Leonhard, 75 Jahre *52:* 359
Zikesch, Carl-Herbert, 75 Jahre *52:* 163
Zschintzsch, Wilhelm, gestorben *52:* 90

VGB KRAFTWERKSTECHNIK

MITTEILUNGEN DER VGB TECHNISCHE VEREINIGUNG DER GROSSKRAFTWERKSBETREIBER

53. JAHRGANG (1973) · HEFTE 1–12

INTERNATIONALE FACHZEITSCHRIFT FÜR TECHNIK IN WÄRMEKRAFTWERKEN

HERAUSGEBER

VGB TECHNISCHE VEREINIGUNG DER GROSSKRAFTWERKSBETREIBER E. V.

Vorsitzender: Direktor Dr.-Ing. K. Knizia, Dortmund;
Geschäftsführer: Direktor Dr.-Ing. O. Schwarz, Essen.

SCHRIFTLEITUNG

Abteilungsdirektor Ing. (grad.) H. Kaes, Essen;
Oberingenieur Dipl.-Ing. A. Kantner, Essen;
Abteilungsdirektor Professor Dr. rer. nat. H. Kirsch, Essen;
Oberingenieur Dr. rer. nat. H. Kittel, Essen;
Oberingenieur Dipl.-Ing. K. Plate, Essen.

HAUPTSCHRIFTLEITUNG UND GESTALTUNG

Oberingenieur Ing. (grad.) H. Bleßmann, Essen.

ANSCHRIFT

VGB TECHNISCHE VEREINIGUNG DER GROSSKRAFTWERKSBETREIBER E. V.
43 Essen, Klinkestraße 29/31
Postfach 1791, Fernruf 1981, Fernschreiber 0857507 vgb d.
Für den sachlichen Inhalt der Beiträge ist der jeweilige Autor verantwortlich.

WISSENSCHAFTLICHER REDAKTIONSBEIRAT

Professor Dr.-Ing. F. Brandt, Darmstadt;
Professor Dr. techn. D. Johnson, Trondheim;
Professor Dr. techn. M. Ledinegg, Wien
Professor Ir. J. J. C. van Lier, Delft;
Professor Dr. techn. O. I. Martynova, Moskau;
Professor Dr.-Ing. P. Profos, Zürich;
Professor Dr.-Ing. R. Quack, Stuttgart;
Professor Dr. phil. H. Rögener, Hannover;
Professor Dr. rer. nat. R. Schulten, Aachen;
Professor Dipl.-Ing. I. D. Stancescu, Bukarest;
Professor Dr.-Ing. habil. Dr. techn. E. h. Dr.-Ing. E. h. K. Wellinger, Stuttgart.

TECHNISCHER REDAKTIONSBEIRAT

Oberingenieur H. Berggren, Malmö;
Direktor Professor Dr.-Ing. H. Brüderlin, Stuttgart;
Direktor Dipl.-Ing. E. Brünecke, Essen;
Direktor Dr. K. Hansen, Kopenhagen;
Direktor Dr.-Ing. G. Noetzlin, Marl;
Direktor Dr.-Ing. H. Novak, Nürnberg;
Direktor F. Scheurer, Paris;
Direktor Dr.-Ing. E. h. Dipl.-Ing. W. Schoch, Mannheim;
Oberingenieur Ir. G. J. Schoppert, Nijmegen.

Inhaltsverzeichnis 1973

DIE FOTOS DER VERFASSER FINDEN SIE AUF DEN SEITEN 2 BIS 10

IN DEN ZWÖLF HEFTEN DES JAHRGANGES 53 SIND ENTHALTEN:

Heft	1	2	3	4	5	6
Seiten	1–70	71–138	139–206	207–276	277–346	347–416

Heft	7	8	9	10	11	12
Seiten	417–488	489–558	559–628	629–688	689–754	755–866

Verfasserverzeichnis 1973

Adamsky, F. J., Schäden an Formstücken in heißdampfführenden Rohrleitungen – Erscheinungsform und Prüfkriterien *53:* 259–266

Aldrian, W., Der Einfluß des Luftabscheidevermögens von Turbinenöl auf den Turbinenbetrieb *53:* 456–463

Anson, D., Die Entwicklung großer Ölbrenner *53:* 57–62

Arp, H., Mensch - Maschine - Kommunikation in Kraftwerksanlagen *53:* 50–56

Arriens, K. H., Betriebserfahrungen mit Armaturen in Kernkraftwerken *53:* 82–87

—, Jankowski, W., Oertel, R., und Richter, H., Armaturen für 600-MW-Blöcke *53:* 840–841

Aust, D., Die erfolgreiche Reduktion von SO_2 zu Schwefel in großtechnischem Maßstab und die Anwendung dieses Verfahrens auf Emissionen von Kraftwerken *53:* 521–525

Balajka, J., Verhütung rauchgasseitiger Korrosionen bei der Verbrennung von Rückstandsölen *53:* 683–687

Beckert, P., Bau und Betrieb der Müllverbrennungsanlage Zürcher Oberland *53:* 139–144

Beckmann, H., und Maygatt, W., Erste Inbetriebnahmeergebnisse der Blockleistungsregelung im Kernkraftwerk Würgassen *53:* 646–650

Bitterlich, E., Kessel und Feuerungen für 600-MW-Blöcke für Öl/Gas *53:* 791–798

Böger, H., Chudzienski, E., Götz, A., und Mika, H., Ausbildung von Kraftwerkspersonal am Beispiel der Kernkraftwerke Stade und Brunsbüttel *53:* 571–579

Börnke, F., Eingliederung des Kraftwerkes in seine Umgebung *53:* 360–368

Böschke, G., Brinkmann, W., Hampel, H., und Stammen, W., Rohrleitungen für 600-MW-Blöcke *53:* 833–840

Bohnsack, G.: Der Einfluß des Sauerstoffs auf das System Eisen/Wasser (Teil I) *53:* 382–393

—, Der Einfluß des Sauerstoffs auf das System Eisen/Wasser (Teil II) *53:* 472–481

Brandel, A., und Mousset, P., Bemerkungen über die Hochtemperaturkorrosion der mit Schweröl gefeuerten Dampferzeuger *53:* 239–247

Bret, Z., Beitrag zur Hochtemperaturkorrosion von Überhitzerrohren eines Dampfkessels *53:* 254–258

Brinkmann, W., siehe Böschke, G.

Brücher, A., und Spindeldreher, F., Neue Wege bei der Fertigung, der Montage und der Revision von großen Sattdampfturbosätzen am Beispiel Stade *53:* 368–376

Brügel, P., Elsässer, R. F., und Kleczka, L., Mittellastkraftwerke der öffentlichen und industriellen Energieerzeugung *53:* 641–646

Chudzienski, E., siehe Böger, H.

Coenders, F., Industrie-Wasserrohr-Kessel *53:* 296–306

Danzer, H. H., Neuzeitliche Bauelemente für den Industrie- und Großkesselbau *53:* 689–698

Dittmar, H., Einsatz eines Programmsystems zur Berechnung von thermodynamischen Kreisprozessen bei den VEW *53:* 71–77

Doležal, R., Auskühlen des abgestellten Trommelkessels und sein Warmhalten *53:* 427–443

—, Anfahrdynamik eines Naturumlaufkessels beim Kaltstart *53:* 306–314

Doose, U., Bundes-Abfallbeseitigungsgesetz und Müllverbrennung *53:* 525–529

Elsässer, R. F., siehe Brügel, P.

Enders, G., Technische Probleme der Heizöl- und Erdgasversorgung österreichischer Wärmekraftwerke *53:* 105–109

Enzenberg, L. v., und Läge, K., Turbosätze für 600-MW-Blöcke (KWU-Konzeption) *53:* 811–817

Erker, A., und Mayer, K. H., Relaxations- und Sprödbruchverhalten von warmfesten Schraubenverbindungen *53:* 121–131

Falgenhauer, G., siehe Martin, P.

Fehndrich, W., Hlubek, W., und Kutsch, W., Die Kraftwerksschadensstatistik im Hinblick auf optimale Revisionsstrategie *53:* 656–665

Franzmann, K., Kessel und Feuerungen für 600-MW-Blöcke für Steinkohle *53:* 798–806

Fritsch, Th., und Zaché, A., Besondere Konstruktionsmerkmale und Betriebsbewährung der 600-MW-Turbosätze in Frankreich *53:* 817–826

Götz, A., siehe Böger, H.
Große-Schulte, M., siehe Preusche, G.
Grümm, H., Grenzen der Energieerzeugung *53:* 508–515
Grünn, H., Reidick, H., Schüler, U., Seefeldt, K.-F., und Waldmann, H., Kessel und Feuerungen für 600-MW-Blöcke für Braunkohle *53:* 772–791
Günther, H., Hildebrandt, H., und Schmitt, W., Die Energieversorgung des BASF-Werkes Ludwigshafen aus einem Kernkraftwerk *53:* 418–427

Hamann, P., Krenz, R., und Schlegel, G., Automatisierung des Blockes 6 im Heizkraftwerk Pfaffenwald der Universität Stuttgart *53:* 151–164
Hampel, H., siehe Böschke, G.
Hannes, K., Planung und Bau von 700-MW-Blöcken für Steinkohle *53:* 768–771
Härtel, W., Entwurf eines Flammenpyrometers auf der Basis der Fernsehtechnik *53:* 393–400
Heek van, K. H., siehe Stalherm, D.
Heitmann, H. G., und Kelp, F., Die Erzeugung von Magnetitschichten bei Speisewasservorwärmern *53:* 1–8
Hildebrandt, H., siehe Günther, H.
Hirschfelder, G., Der Trockenkühlturm des 300-MW-THTR-Kernkraftwerkes Schmehausen-Uentrop *53:* 463–471
Hlubek, W., siehe Fehndrich, W.
Hofmann, W., Instandsetzung der Turbinensteuerung nach einem Brandschaden *53:* 449–456
Honold, E., Pumpen für 600-MW-Blöcke *53:* 826–833
Huppmann, H., Ölbrände in Dampfturbinenanlagen *53:* 172–182

Insch, G. M., Recent Advances in Reactor Systems *53:* 698–706

Jankowski, W., siehe Arriens, K.-H.
Jirous, F., Durchflußverteilung und die Ungleichförmigkeit der Temperatur in Rohrsystemen *53:* 40–44
Jüntgen, H., siehe Stalherm, D.

Kadlez, K., Mach, K., und Marek, A., Automatische Rohrschweißverfahren im Kessel- und Apparatebau *53:* 665–671
Kantner, A., und Kersting, W., Müllverbrennung, ein Beitrag zum Umweltschutz *53:* 62–68
Katin, A., Bericht über die 10. Sitzung der AIR MANAGEMENT SECTOR GROUP der OECD vom 20. bis 29. September 1972 in Tokio *53:* 132–136
Kautz, K., siehe Singh Dev, R.
Kautz, K., und Kirsch, H., Zum Einfluß des Vanadiums auf die Hochtemperaturkorrosion in ölgefeuerten Kesseln *53:* 621–627
—, siehe Kirsch, H.
Kelp, F., siehe Heitmann, H. G.
Keltsch, E., Erste Betriebserfahrungen mit den 650-MW-Kernkraftwerken Stade und Würgassen *53:* 559–570
Kersting, W., siehe Kantner, A.
Kirsch, H., siehe Kautz, K.
—, siehe Singh Dev, R.
—, Kautz, K., und Singh Dev, R., Die Untersuchung von Feinstäuben durch ein analytisches Elektronenmikroskop *53:* 195–199
Kleczka, L., siehe Brügel, P.
Knaak, R., und Kuhl, H., Ergebnisse der Großversuche mit gemeinsamer Verbrennung von Müll und Klärschlamm in den Müllverbrennungsanlagen Kopenhagen und Bonn-Bad Godesberg *53:* 210–213
Knizia, K., Energieumwandlung aus fossilen und nuklearen Brennstoffen in Kraftwerken – Stand und Entwicklungstendenzen *53:* 277–283
Knobloch, A., Wann wird der Kraftwirtschaft das Fusionskraftwerk zur Verfügung stehen? – Stand und Entwicklungstendenzen *53:* 707–716
Knoll, H., Anforderungen an Müllverbrennungsanlagen *53:* 314–320
Kooi, I. van der, Die Abfallverbrennungsanlage Botlek im Industriegebiet der Stadt Rotterdam *53:* 742–747
Kramer, H., Schönefeld, R., und Stodieck, W., Anforderungen an eine einheitliche Schadenserfassung aus der Sicht der Hersteller *53:* 44–50
Krenz, R., siehe Hamann, P.
Krost, H., und Schönweitz, B., Planung und Bau von 600-MW-Blöcken für Braunkohle *53:* 757–764
Kuhl, H., siehe Knaak, R.
Kutsch, W., siehe Fehndrich, W.

Läge, K., siehe Enzenberg, L. v.
Leikert, K., Neue Erkenntnisse und Entwicklungen auf dem Gebiete der Ölfeuerungen *53:* 219–224
Löf, B., Die Stromversorgung Schwedens 1975 bis 1990 *53:* 592–594
Löhle, H., Der kombinierte Gas-Dampfturbinenblock Altbach der Neckarwerke – Auslegung, Fahrweise und erste Betriebsbewährung *53:* 579–592
Lüscher, K.-H., Maßnahmen zur Vermeidung von Rohrabzehrungen in Müllkesseln *53:* 87–93

Mach, K., siehe Kadlez, K.
Maghon, H., Die Entwicklung der einwelligen Gasturbine *53:* 651–656
Mandel, H., Einleitung 600-MW-Blöcke *53:* 755–757
Marek, A., siehe Kadlez, K.
Martens, H., Betriebserfahrungen mit dem vollautomatischen 150-MW-Schnellstart- und Spitzenlastdampfblock des HEW-Kraftwerks Hafen *53:* 283–296
Martin, P., und Falgenhauer, G., Gedanken zur Belastungsgeschwindigkeit von Dampferzeugern großer Leistung *53:* 717–727
Mathias, G., Grundsätzliche Überlegungen zur Regelung von Frequenz und Übergabeleistung in elektrischen Energieversorgungsnetzen *53:* 377–382
Mayer, K. H., siehe Erker, A.
Maygatt, W., siehe Beckmann, H.
Meier zu Köcker, H., Beurteilung und Aussichten von Verfahren zur Rauchgasentschwefelung *53:* 516–521
Mika, H., siehe Böger, H.
Mittelbach, E., Kondensation von Schwefelsäure aus Rauchgasen und der Meßvorgang auf elektrischen Taupunktfühlern *53:* 675–682
Mousset, P., siehe Brandel, A.

Nentwich, A., und Nistler, W., Überlegungen zur Wahl des Standortes und zur Konzeption des Kernkraftwerkes Tullnerfeld *53:* 635–641
Neumann, G., Optimierung des Ausbaues von Energieversorgungssystemen *53:* 434–442
Nistler, W., siehe Nentwich, A.
—, Kernkraftwerk Tullnerfeld in Zwentendorf *53:* 100–105

Öpik, I., Korrosionsbeständigkeit von Überhitzerstählen unter Mitwirkung von Ascheablagerungen *53:* 539–542
Oertel, R., siehe Arriens, K.-H.
Otting, H. F., Betriebserfahrungen mit Teilkammer-Schmelzfeuerungen *53:* 25–35
Oude-Hengel, H. H., Schäden an Formstücken in heißdampfführenden Rohrleitungen *53:* 110–120

Peters, G., Schwingungs- und Dehnungsmessungen an Turbomaschinen *53:* 224–233
Petzel, H. K., Turbosätze für 600-MW-Blöcke (BBC-Konzeption) *53:* 806–811
Platt, W., und Plürr, R., Aus Zechenkraftwerk wird Müllverbrennungsanlage – Planung, Bau und erste Betriebserfahrungen *53:* 607–612
Plür, R., siehe Platt, W.
Pohle, R., Betriebserfahrungen mit der Müllverbrennungsanlage der Stadt Nürnberg *53:* 93–99
Pollmann, S., und Wolf, H., Die Korrosionsbeständigkeit von Dichtungsringen für Lufterhitzerrohre aus Glas *53:* 482–486
Preusche, G., und Große-Schulte, M., Instrumentierung von Siedewasserreaktoren *53:* 165–171

Raask, E., Verschlackungen in steinkohlegefeuerten Kesseln – Verschlackungsmechanismus und Verhütungsmaßnahmen *53:* 248–254
Rasch, R., Folgerungen für die Betriebspraxis aus der Theorie der Hochtemperaturkorrosion in Dampferzeugeranlagen *53:* 401–408
Rech, J., Betriebsverhalten von Meßkreisen *53:* 78–81
Reichert, G., Planung und Bau von 600-MW-Blöcken für Öl/Gas *53:* 764–768
Reidick, H., siehe Grünn, H.
Reifenhäuser, R., Erfahrungen mit ölgefeuerten Blockanlagen im Kraftwerk Irsching *53:* 594–603
Reimer, H., Rauchgaswäsche nach Müllverbrennungsanlagen *53:* 735–742
Richter, H., siehe Arriens, K.-H.
Rolker, S., Untersuchungen zur Schwefelsäure-Taupunkt-Bestimmung in Rauchgasen *53:* 333–342
Rollmann, P., siehe Schot, J.

Sack, M., Optimale Automatisierung des Kraftwerksbetriebes *53:* 629–635
—, Das Betriebsverhalten der Kraftwerke im Regelkreis des Lastverteilers *53:* 442–449
Samuel, T., Ein Diskussionsbeitrag zur Phosphatfahrweise in nuklearen Dampferzeugern *53:* 672–674
Schellenberg, K. D., Einsatz und Betrieb der Gasturbinen im Westberliner Inselnetz *53:* 529–539
Schieferstein, U., siehe Schinn, R.
Schinn, R., und Schieferstein, U., Anforderungen und Abnahmekriterien für schwere Schmiedestücke des Turbogeneratorbaues *53:* 182–195
Schlegel, G., siehe Hammann, P.
Schmidt, E., Aus der Wasserpraxis *53:* 748–749
Schmidt, K. R., Zur Frischwasserkühlung bei Wärmekraftwerken *53:* 9–25
Schmitt, W., siehe Günther, H.
Schöllhammer, F., Neue Erfahrungen mit Wellenschwingungen *53:* 320–332
Schönefeld, R., siehe Kramer, H.
Schönweitz, B., siehe Krost, H.,
Schopf, A., Vorwärmer für 600-MW-Blöcke *53:* 841–845
Schot, J., und Rollmann, P., Rauchgasseitige Korrosionen an Nachschaltheizflächen in Dampferzeugern, ihre Verhütung durch geeignete Werkstoffwahl und deren Einfluß auf die . . . *53:* 199–203
Schüler, U., siehe Grünn, H.
Schultz, M., Kühltürme für 600-MW-Blöcke *53:* 835–856
Schwarz, O., Kurzbericht über die Tätigkeit der VGB TECHNISCHE VEREINIGUNG DER GROSSKRAFTWERKSBETREIBER E. V. 1972/1973 *53:* 347–359
Seefeldt, K.-F., siehe Grünn, H.
Singh Dev, R., Kautz, K., und Kirsch, H., Die Einbindung von Spurenelementen, insbesondere des Fluors, in Aschen und Stäuben von Müllverbrennungsanlagen *53:* 408–414
—, siehe Kirsch, H.
Sippel, H., und Zimmermann, P., Elektrotechnik in 600-MW-Blöcken *53:* 849–853
Spindeldreher, F., siehe Brücher, A.
Stalherm, D., van Heek, K. H., und Jüntgen, H., zum Verbrennungsablauf am Einzelkorn *53:* 35–40
Stammen, W., siehe Böschke
Sterff, M., und Werner, M., Leittechnik in 600-MW-Blöcken *53:* 845–849
Stodieck, W., siehe Kramer, H.
Stoffregen, U., Bautechnische Besonderheiten bei 600-MW-Blöcken *53:* 856–864

Thiel, P., Umstellung eines Braunkohlen-Schmelzkessels auf Erdgas *53:* 144–150
Tietze, H., Vergleich von Strahlungs- und Konvektionsverdampfer *53:* 728–734

Vogt, F., Verfeuerung von Rohteer im Kraftwerk Salzgitter *53:* 604–606

Wahnschaffe, E., Die Bildung der Stickstoffoxide bei der Verbrennung von schwerem Heizöl *53:* 213–218
Waldmann, H., siehe Grünn, H.
Wawra, H., Die Bedeutung verbesserter Kenntnis elastischer Kennwerte in der Kraftwerkstechnik *53:* 612–621
Werner, E., Die Elektrizitätsversorgung Österreichs auf dem Wege von der Wasserkraft zur Kernkraft *53:* 499–508
Werner, M., siehe Sterff, M.
Wickert, K., Beschleunigte und nichtbeschleunigte Korrosionen, insbesondere HCl-Korrosionen *53:* 233–238
Wolf, H., siehe Pollmann, S.

Zaché, A., siehe Fritsch, Th.
Zilk, H., Fernsehen heute – Anfang oder Ende der Elektronenkultur? *53:* 497–499
Zimmermann, P., siehe Sippel

Sachverzeichnis 1973

Abfallverbrennungsanlage in Rotterdam *53:* 742
Abnahmekriterien und Anforderungen für schwere Schmiedestücke des Turbogeneratorenbaues *53:* 182–195
Absaugung für Spindelabdichtung *53:* 82–87
Abstopfvorrichtung für Sammlerrohre in Vorwärmern *53:* 844
Additiv, gegen Verschlackung *53:* 252–253
Additive gegen Korrosionen *53:* 683–687
Ähnlichkeitsrelationen für Strömungsmaschinen verschiedener Drehzahl *53:* 651
Altölverbrennung *53:* 318
Analysen, chemische und phasenanalytische von Aschen aus Müllverbrennungsanlagen *53:* 409–412
Anfahrdynamik eines Naturumlaufkessels beim Kaltstart *53:* 306–314
Anfahr-, HD-Reduzier- und Sicherheitseinrichtungen für 600-MW-Blöcke *53:* 840/841
Anfahren und Abfahren – komb. Gas- und Dampfturbinenblock *53:* 585
Anfahrvorgang von Dampferzeugern großer Leistung *53:* 725
Anforderungen und Abnahmekriterien für schwere Schmiedestücke des Turbogeneratorenbaues *53:* 182–195
Anlagenkennzeichnungssystem *53:* 656–665
Anlagekosten, spezifisch abhängig von der Blockleistung *53:* 756
Ascheablagerungen, Haftmechanismus der *53:* 249–250
Ascheablagerungen, Wirkung auf die Korrosion von Überhitzerstählen *53:* 539–542
—, Versinterung der *53:* 250–251
Anionenaustauscher in der Hydroxidform, Haltbarkeit während der Lagerung *53:* 748–749
Anzeigemethoden, Vergleich *53:* 50–56
Apparatebau, automatische Rohrschweißverfahren *53:* 665–671
Arbeitsverfügbarkeit, Kosten in Abhängigkeit von der – *53:* 656–665
Armaturen in Kernkraftwerken, Betriebserfahrungen *53:* 82–87
Asbeste, Verhalten von *53:* 482–486
Aufgeladene Gasturbinenanlage *53:* 644
Auskühlen und Warmhalten — Trommelkessel *53:* 427–434
Austenitische Stähle, Korrosion von — *53:* 540–542
Automatische Rohrschweißverfahren im Kessel- und Apparatebau *53:* 665–671
Automatisierung, Heizkraftwerk Pfaffenwald *53:* 151–164
Automatisierung, optimale *53:* 629–635
—, Wirtschaftlichkeit *53:* 629–635
Automatisierungseinrichtungen, Übersicht *53:* 151–164
Automatisierungsfreundliche Gestaltung, Beispiele *53:* 151–164
Automatisierungslücken *53:* 629–635
Axiallager bei Pumpen *53:* 826–833
Axialpropellerpumpe *53:* 826–833
Axialschubausgleich bei Pumpen *53:* 826–833

Bauarten, Kessel und Feuerungen (Öl/Gas) von 600-MW-Blöcken *53:* 791–793
Bauelemente für Industrie- und Großkesselbau *53:* 689–698
Bautechnische Besonderheiten bei 600-MW-Blöcken *53:* 856–864
Bauweise und Schaltung — 600-MW-Blöcke für Braunkohle *53:* 772–776
Bedeutung elastischer Kennwerte in der Kraftwerkstechnik *53:* 612–621
Belastungsgeschwindigkeit von großen Dampferzeugern *53:* 717–727
Betriebsbewährung und Konstruktionsmerkmale der 600-MW-Turbosätze in Frankreich *53:* 817–826
Betriebserfahrung, elektronische Blocksteuerung *53:* 151–164
— mit Kernkraftwerken *53:* 559
—, Regelanlage Dampferzeuger *53:* 151–164
Betriebsverhalten (im Regelkreis der Lastverteilung) *53:* 442–449
— von Kernkraftwerken *53:* 559
Betriebssicherheit, Maßnahmen zur Erhöhung der — *53:* 78–81
—, Regelung, 600 MW *53:* 845–849
Bewilligungsverfahren *53:* 104
Bleigehalte in Aschen von Müllverbrennungsanlagen *53:* 410/411
Blockautomatisierung *53:* 629–635
Blockleistung, Entwicklung in der BRD bis 1980 *53:* 756
Blockleistungsregelung, Inbetriebnahme *53:* 646–650
—, Kernkraftwerk *53:* 646–650
Blockleitebene, 600 MW *53:* 845–849
Blocksteuerung, elektronisch *53:* 151–164
Brandschaden, Turbinensteuerung *53:* 449–456
Brandschäden an Dampfturbinen, Auswertung *53:* 172–182
Brandschadenverhütung, Schmierölsystem *53:* 172–182
—, Schmierölsystem, Empfehlung *53:* 172–182
—, Steuerölsystem *53:* 172–182
Braunkohlen-Blöcke 600 MW *53:* 757–764
Braunkohlenkessel für 600-MW-Blöcke *53:* 772–791
Braunkohlenkessel, Umstellung auf Erdgas *53:* 144–150
Braunkohlenmühlen für 600-MW-Blöcke *53:* 781–783
Braunkohlenasche, Hochtemperaturkorrosion durch — *53:* 254–258
Braunkohlenstaubbrenner für 150-, 300- und 600-MW-Anlagen *53:*781
Brennelement *53:* 568
Brennschieferasche, Korrosion durch *53:* 540–542

Calciumfluorid in Aschen und Stäuben von Müllverbrennungsanlagen *53:* 413
Carbidbildung bei Hochtemperaturkorrosion *53:* 239–247
Chemische Größen, neue Meßeinheiten *53:* 545–558
Chlorgehalte in Aschen von Müllverbrennungsanlagen *53:* 410/411

CO_2-Produktion und -Konzentration in der Atmosphäre *53:* 513

Dampfturbinenanlagen, Ölbrände in — *53:* 172–182
Datensichtgeräte *53:* 50–56
Deckeldichtungen *53:* 82–87
Defekte Meßkreise, Störungen durch *53:* 78–81
Dehnungs- und Schwingungsmessungen an Turbomaschinen *53:* 224–333
Dichtungsringe für Lufterhitzerrohre aus Glas *53:* 482–486
Doppelspirale (Pumpengehäuse) *53:* 826–833
Druck, neue Maßeinheiten *53:* 545–558
Druckabbausystem *53:* 165
—, *53:* 564
Druckanstiegsgeschwindigkeit des ZÜ-Systems *53:* 840/841
Druckregelung, Inbetriebnahme *53:* 646–650
Druckwasserreaktoren, VGB-Richtlinien für die Wasserqualität *53:* 207–209
—, zur „Phosphatfahrweise" im Sekundärkreislauf *53:* 672–674

Eigenbedarfschaltanlagen für 600-MW-Blöcke *53:* 853
Eigenstabilität des Netzes *53:* 442–449
Einbauart, Peripheriegeräte *53:* 78–81
Eingliederung des Kraftwerkes in seine Umgebung *53:* 360–368
Einheiten mit Übergangsfristen *53:* 545–558
—, nicht mehr zugelassene *53:* 545–558
Einwellige Gasturbine, Entwicklung *53:* 651–656
Eisenchlorid, Dampfdruck von *53:* 406
Elastische Kennwerte, Kraftwerkstechnik *53:* 612–621
Elektrische Motoren und Verbraucher bei 600-MW-Blöcken *53:* 851/852
Elektrizitätsversorgung Österreichs *53:* 499–508
Elektrofilterstäube, Zusammensetzung der — in Müllverbrennungsanlagen *53:* 408–414
Elektronenmikroskopische Untersuchung von Flugstäuben *53:* 195–199 *53:* 408–414
Elektrokorrosion *53:* 82–87
Emailbeschichtung für Luvos *53:* 200
Energieerzeugung, Grenzen der *53:* 508–515
Energieerzeugung, Welt-, jährliches Wachstum *53:* 510
Energiegrößen, neue Maßeinheiten *53:* 545–558
Energiequellen der Erde *53:* 511
Energieverbrauch, elektrisch, BRD bis 1985 *53:* 755
Energieversorgung aus Kernkraftwerk — BASF *53:* 418–427
Energieversorgungssystem, Optimierung des Ausbaus *53:* 434–442
Engpaßleistung in der BRD bis 1990 *53:* 644
Entlastungseinrichtungen bei Pumpen *53:* 826–833
Erdgas-Reduzierstationen *53:* 145
Erdgas, Sicherheitseinrichtungen *53:* 147
—, Umstellung auf — *53:* 144–150
Erdgasfeuerung *53:* 146
Erdgasversorgung *53:* 105–109
Erosionsschäden, Müllkessel *53:* 87–93

Faltenbalgabdichtung *53:* 82–87
Farbmonitor, modifizierter (FPF-Verfahren) *53:* 393–400
Feinststäube, elektronenmikroskopische Untersuchung *53:* 195–199 *53:* 408–414
Fernsehen heute *53:* 497–499
Festdruckregelung, Charakterisierung *53:* 442–449
Filmverdampfung *53:* 721
Flächenintegrator (FPF-Verfahren) *53:* 393–400
Flammenpyrometer, Fernsehtechnik *53:* 393–400
Fluor, in Aschen und Stäuben von Müllverbrennungsanlagen *53:* 408–414
Formstücke, Schäden an — *53:* 110–120 *53:* 259–266
FPF-Verfahren, Blockschaltbild *53:* 393–400
Frequenz, Regelung von — *53:* 377–382
Frequenz, stochastische Schwankungen *53:* 442–449
Frischwasserkühlung, Ausbreitung von Warmwasserströmen *53:* 16–19
—, Biologische Auswirkungen *53:* 21
— bei Wärmekraftwerken *53:* 9–25
—, Temperaturschichtung des Gewässers *53:* 15
Fusionskonzepte, verschiedene *53:* 707–716

Galvanikschlamm, Aufarbeitung *53:* 320
Gas/Öl-Blöcke 600 MW, Grundlegende Konzeption, Auslegungsdaten *53:* 764–768
Gasturbine, Grenzen der Entwicklung bei Verdichter und Turbine — Entwicklung der Erstellungskosten *53:* 652–656
Gasturbinen im Westberliner Inselnetz *53:* 229–239
—, KW Altbach der Neckarwerke *53:* 581
Gasturbinenanlage Charlottenburg *53:* 535–538
— Moabit *53:* 531–534
— Steglitz *53:* 530/531
Generator für 600-MW-Turbosätze, KWU-Konzeption *53:* 814–816
Generatoren für 600-MW-Turbosätze, BBC-Konzeption *53:* 808–809
Geräteauswahl, Pheripheriegeräte *53:* 78–81
Geräteeinsatz, Pheripheriegeräte *53:* 78–81
Gewährleistungen, Blockleistungsregelung *53:* 646–650
Glas, Lufterhitzerrohre aus — *53:* 482–486
Glasbeschichtung für Luvos *53:* 200
Glasfasern, Verhalten von *53:* 485/486
Glas-Metall-Beschichtung für Luvos *53:* 200
Gleitdruckbetrieb, Charakterisierung *53:* 442–449
Gleitringdichtung bei Pumpen *53:* 826–833
Grenzleistungen von Gasturbinen *53:* 651
Größe Blöcke – 600 MW – Öl/Gas, Planung und Bau *53:* 764–768

HD-Reduzier- und Sicherheitseinrichtungen *53:* 840/841
H_2SO_4-H_2O-Diagramm *53:* 675/676
Heißdampfführende Rohrleitungen, Schäden an Formstücken *53:* 110–120 *53:* 259–266
Heißwasserkessel *53:* 305
Heizölfernleitung *53:* 106
Heizölleitung *53:* 106
Heizölversorgung *53:* 105–109
Hightemperatur gas cooled reactor, future development *53:* 700, 703
Hochspannungsisolation, Staubbeläge auf — *53:* 199
Hochtemperaturkorrosion in ölgefeuerten Kesseln *53:* 621–627
Hochtemperaturkorrosion durch Braunkohlenasche *53:* 254–258
Hochtemperaturkorrosionen in ölgefeuerten Kesseln *53:* 685–687
—, *53:* 401–408
— durch HCl *53:* 233–238
— durch Kohlenasche *53:* 239/240
— durch Schwerölaschen *53:* 239–247

Inbetriebnahme, elektronische Blocksteuerung *53:* 151–164
Industrie- und Großkesselbau, Bauelemente *53:* 689–698
—, Konstruktionselemente *53:* 591–696
—, Spannungsanalyse und Ermüdungsberechnung *53:* 696–698
—, Standardisierung *53:* 690
Industriekessel, Auslegung, Konstruktion, Herstellung 53: 306
Industrie-Wasserrohrkessel *53:* 296–306
Instandhaltungsstrategie, Bedeutung der Schadensstatistik für die optimale — *53:* 656–665
Instrumentierung des Reaktorschutzsystems *53:* 167
— für das Betriebssystem *53:* 166
— von Siedewasserreaktoren *53:* 165
Ionenaustauscher, Haltbarkeit während der Lagerung *53:* 748–749
Isothermenschalter (FPF-Verfahren) *53:* 393–400

Kaliumfluorid, in Aschen und Stäuben von Müllverbrennungsanlagen *53:* 413
Kaltstart eines Naturumlaufkessels *53:* 306–314
Kationenaustauscher in der H-Form, Haltbarkeit während der Lagerung *53:* 748–749
Kennwerte, elastische, in der Kraftwerkstechnik *53:* 612–621
Kernfusion, Stand und Entwicklung *53:* 707–716
Kernkraftwerk der BASF *53:* 418–427
— Brunsbüttel, Ausbildung des Kraftwerkspersonals *53:* 571–579
— Stade, Ausbildung des Kraftwerkspersonals *53:* 571–579
— Stade *53:* 559
— Tullnerfeld *53:* 100
— Würgassen *53:* 562
Kernkraftwerke mit Druckwasserreaktoren, „Phosphatfahrweise" im Sekundärkreislauf *53:* 672–674
—, VGB-Richtlinien für das Wasser in Leichtwasserreaktoren *53:* 207–209
Kessel und Feuerungen für 600-MW-Blöcke, Braunkohlenfeuerung *53:* 772–791
—, Öl-/Gasfeuerung *53:* 791–798
—, Steinkohle *53:* 798–806
Kesselbau, automatische Rohrschweißverfahren *53:* 665–671
Klärschlammverbrennung *53:* 210–213
Kombinierter Gas-Dampfturbinenblock, Auslegung, Fahrweise, Betriebsbewährung *53:* 579–592
—, KW Altbach der Neckarwerke *53:* 579–592
Kommunikation, Mensch – Maschine *53:* 50–56
Kompaktkessel *53:* 297
Kompatibilität, Leittechnik *53:* 845–849
Kondensation von Schwefelsäure *53:* 675–682
Kondensatmengenstrom, Benennung des — *53:* 676–678
Kondensatoren für 600-MW-Turbosätze, BBC-Konzeption *53:* 810
—, KWU-Konzeption *53:* 813
Konstruktionsmerkmale braunkohlegefeuerter Kessel für 600 MW *53:* 776–779
Kopplung zwischen Gasturbine Abhitzekessel und Kernkraftwerk *53:* 279
Korrosion an Armaturenspindeln *53:* 82–87
— durch Vanadium *53:* 621–627
—, Müllkessel *53:* 87–93
— von Überhitzerstählen *53:* 539–542
Korrosionen an Nachschaltheizflächen *53:* 199–203
—, Einfluß von Sauerstoff auf das System Eisen/Wasser *53:* 382–393 (I. Teil) *53:* 472–481 (II. Teil)
— durch HCl *53:* 233–238
—, rauchgasseitige *53:* 683–688
Kostensituation, Trockenkühlturm *53:* 471
Kraftwerk, Eingliederung in seine Umgebung *53:* 360–368
— Irsching *53:* 594–603
— Salzgitter *53:* 604–606
Kraftwerker – Kraftwerksmeister „Kerntechnik" *53:* 571–579
Kraftwerksautomatisierung, Gesichtspunkte *53:* 151–164
Kraftwerksbetrieb, optimale Automatisierung *53:* 629–635
Kraftwerkstechnik, elastische Kennwerte *53:* 612–621
Kryolith als Staubbestandteil *53:* 199
Kühleinbauten in Kühltürmen *53:* 853/854
Kühlelemente, Trockenkühlturm *53:* 467
Kühltürme für 600-MW-Blöcke *53:* 853–856
Kühlwasserpumpen für 600-MW-Blöcke *53:* 826–833
Kugelgehäuse (Pumpengehäuse) *53:* 826–833
Kupferoxychlorid als Additiv gegen Verschlammung *53:* 252–253

Laserfusionsreaktor *53:* 711
Lastverteilung, Optimierung *53:* 629–635
Leistungsgrößen, neue Maßeinheiten *53:* 545–558
Leistungsregelung, Kernkraftwerk *53:* 646–650
Leistungsstörung, Ermittlung der Systemgrößen 53: 377–382
Leittechnik *53:* 102
—, Konzept (600 MW) *53:* 845–849
—, 600-MW-Blöcke *53:* 845–849
Light water reactors *53:* 699
Lithiumfluorid in Müllaschen *53:* 198 *53:* 411
Luftabscheidevermögen von Turbinenöl, Einfluß auf den Turbinenbetrieb *53:* 456–463
Lufterhitzerrohre aus Glas *53:* 482–486
Luftvorwärmer für 600-MW-Blöcke *53:* 805
—, Verschmutzung von — *53 :* 203
—, Wärmeübertragungen *53:* 202
—, Werkstoffwahl für, *53:* 199–203

Magnesiumverbindungen als Additive *53:* 683–687
Magnetitschichten, Erzeugung bei Speisewasservorwärmern *53:* 1–8
Mahl- und Feuerungsanlagen v. braunkohlengefeuerten Kesseln für 600 MW *53:* 779–780/785
Maßeinheiten, neue *53:* 545–558
Massenmedien und Kritik *53:* 498
Materialien für Packungen *53:* 82–87
Mehrfach-Stopfbuchse *53:* 82–87
Mehrkammer-Stopfbüchse *53:* 82–87
Mehrteilige Systeme, Netzverbände *53:* 377:382
Meßkreise, Betriebsverhalten *53:* 78–81
Meßsystem, Leittechnik, 600 MW *53:* 845–849
Meßverfahren, Schwingungstechnik Turbinen *53:* 229–233
Mineralsubstanz, Schmelzverhalten *53:* 248– 254
Müllanfall *53:* 64
Müllfeuerung, automatische Beschickung *53:* 745
Müllfeuerung, Regelung *53:* 141–142
Müllkessel, Betriebsstörungen *53:* 95
—, Korrosion *53:* 93–99
—, Korrosion und Erosion *53:* 87–93
—, Vermeidung von Rostabzehrungen *53:* 87–93
—, Verschmutzung *53:* 98
Müllverbrennung, Betriebskosten *53:* 99
—, Bundes-Abfallbeseitigungsgesetz *53:* 525–529
—, Klärschlamm *53:* 210–213
—, Kosten *53:* 68
—, Kosten *53:* 144
—, Umweltschutz *53:* 62–68

Müllverbrennungsanlage Bonn-Bad Godesberg *53:* 210–213
—, Botlek *53:* 742
— Niederrhein *53:* 607–612
— Nürnberg *53:* 314–320
— in Nürnberg, Betriebserfahrungen *53:* 93–99
— Oberhausen *53:* 604–612
— Zürcher Oberland *53:* 139–144
Müllverbrennungsanlagen, Anforderungen *53:* 314–320
—, größere in BRD *53:* 64
—, Zusammensetzung der Aschen und Elektrofilterstäube *53:* 408–414
— Rauchgaswäsche *53:* 735–742
600-MW-Blöcke, Kessel und Feuerungen für Braunkohle *53:* 772–791
—, Kessel und Feuerungen für Öl undGas *53:* 791–798
—, Kessel und Feuerungen für Steinkohle *53:* 798–806

Naturumlaufkessel, Kaltstart *53:* 306–314
Natriumvanadylvanadat, Beteiligung an Hochtemperaturkorrosionen *53:* 621–627
Natriumfluorchlorid in Aschen und Stäuben von Müllverbrennungsanlagen *53:* 413
Netzregelungskonzepte *53:* 442–449
Netzverband, statische Betrachtungen *53:* 377–382
Neutronenflußmessung *53:* 168
Ni-V_2O_5-System, Aktivierungsenergie *53:* 686
Normmivolumen, neue Maßeinheiten *53:* 545–558
Nukleare Sicherheit *53:* 102

Ölbrenner, Ausbrand *53:* 59
—, Entwicklung in England *53:* 57–62
—, SO_3-Bildung *53:* 60
Öl-Gasbrenner (Steinm.) *53:* 219–224
Öl-/Gaskessel für 600-MW-Blöcke *53:* 791–798
Ölbrände, Dampfturbinen *53:* 172–182
—, das Löschen von — *53:* 172–182
Ölfeuerungen, neue Erkenntnisse *53:* 219–224
Ölfeuerungsschema *53:* 596
Ölgefeuerte Kessel, Betriebserfahrungen *53:* 594–603
Ölgefeuerter 910-t/h-Kessel *53:* 594–603
Ölleckage, Empfehlungen zur Vermeidung *53:* 172–182
—, Entdeckung *53:* 172–182
Ölvorwärmer *53:* 602
Organisationsplan (techn. Personal), Kernkraftwerk Stade, Kernkraftwerk Brunsbüttel *53:* 571–579
Österreich, Elektrizitätsversorgung *53:* 499–508

Packungsmaterialien *53:* 82–87
Perlitische Stähle, Korrosion von — *53:* 540–542
Personalbedarf, spezifisch abhängig von der Blockleistung *53:* 756
Phasenanalyse von Stäuben *53:* 195–199 *53:* 408–414
Phosphatfahrweise bei Druckwasserreaktoren *53:* 672–674
Planfeststellungsverfahren *53:* 529
Plasmamaschine, Princeton, Garching *53:* 709
Process heat *53:* 702
Programmsystem, Berechnung von thermodynam. Kreisprozessen *53:* 71–77
Propellerpumpen *53:* 826–833
Prozeßrechner, neuere Entwicklungen *53:* 629–635
Pumpen für 600-MW-Blöcke *53:* 826–833

Rauchgasdichte, Messung *53:* 599
Rauchgaswäsche, HCl-Absorption *53:* 737
— nach Müllfeuerungen *53:* 735–742
—, Wirtschaftlichkeit *53:* 740
Rauchgaswäscher, Bauarten *53:* 738
Reactor Systems, recent advances *53:* 698
Reduzierende Bedingungen, Einfluß von — auf die Hochtemperaturkorrosion *53:* 402/403
Reduziergeräusche an Überströmstationen *53:* 840/841
Regelanlage Dampferzeuger *53:* 151–164
Regelbefehl, Verhalten *53:* 442–449
Regelfähigkeit (Netz), Anforderungen *53:* 442–449
Regelkonzept, Kernkraftwerk *53:* 646–650
— (System Kessel-Turbine) *53:* 442–449
Regelung (600-MW-Blöcke) *53:* 845–849
Revisionsstrategie, Kraftwerksschadensstatistik im Hinblick auf optimale — *53:* 656–665
Revisionszeitpunkt, Der optimale — *53:* 656–665
Rohrgehäusepumpen *53:* 826–833
Rohrleitungen, heißdampfführende, Schäden an Formstücken *53:* 110–120 *53:* 259–266
Rohrschweißverfahren, automatische *53:* 665–671
— im Kessel- und Apparatebau, automatische *53:* 665–671
Rohteer-Verfeinerung *53:* 604–606
Rückschubrost *53:* 140

Sattdampfturbosatz Stade *53:* 368–376
Sauerstoff, Einfluß auf das System Eisen/Wasser *53:* 382–393 (I. Teil) *53:* 472–481 (II. Teil)
Säuretaupunkt-Meßgerät *53:* 337–339 *53:* 675–682
Schadensdaten, Erfassung und Speicherung *53:* 656–665
Schadenserfassung, Anforderungen aus der Sicht der Turbinenhersteller an eine einheitliche — *53:* 44–55
Schadenshäufigkeit, Ursache und Gewicht *53:* 44–50
Schadensstatistik im Hinblick auf optimale Revisionsstrategie *53:* 656–665
Schadensverhütung, Abwicklung und Auswertung *53:* 44–50
—, Empfehlungen (Brandschäden Turbine) *53:* 172–182
Schäden an Formstücken in heißdampfführenden Rohrleitungen *53:* 110–120 *53:* 259–266
—, Erscheinungsform und Prüfkriterien *53:* 259–266
Schaltung und Aufbau der Mahl- und Feuerungsanlage eines 600-MW-Blockes *53:* 802
Schlagzähigkeit, neue Maßeinheiten *53:* 545–558
Schmelzfeuerungen, Teilkammer *53:* 25–35
Schmiedestücke des Turbogeneratorenbaues, Anforderungen und Abnahmekriterien *53:* 182–195
Schnellstart- und Spitzenlastblock, Betriebserfahrungen *53:* 283–296
—, HEW Kraftwerk Hafen *53:* 283–296
—, Inbetriebnahme *53:* 283–296
—, Verfügbarkeit *53:* 295
Schutzraum, Meßgeräte *53:* 78–81
Schutzschichten auf Speisewasservorwärmern *53:* 1–8
Schwadenbeeinflussung von Kühltürmen *53:* 855
Schweden, Stromversorgung von 1975 bis 1990 *53:* 592–594
Schwefelsäure, Einwirkung von — auf Asbeste, Glasfibern und Teflon *53:* 482–486
Schwefelsäure-Taupunkt *53:* 333–339 *53:* 675–682
Schwimmringdichtung bei Pumpen *53:* 826–833
Schwingungen an öl-/gasgefeuerten Kesseln *53:* 793
Seilnetzkonstruktion, Trockenkühlturm *53:* 469
Sicherheitseinrichtungen für 600-MW-Blöcke *53:* 840/841
Sicherheitsventile *53:* 82–87
Siedewasserreaktor *53:* 100
Siedewasserreaktoren, VGB-Richtlinien für die Wasserqualität *53:* 207–209
Siliziumsulfid bei rauchgasseitigen Korrosionnen *53:* 406/407

SO_2, Beteiligung an Hochtemperaturkorrosionen *53:* 621–627
SO_3, Beteiligung an Hochtemperaturkorrosionen *53:* 621–627
SO_3-Bildung und Säuretaupunkt *53:* 333–334 *53:* 675:682
Sondermüll-Verbrennungsanlage Schwabach *53:* 315
Spaltkorrosion (Stillstandskorrosion) *53:* 82–87
Speisepumpen für 600-MW-Blöcke *53:* 826–833
Speisewasservorwärmer, Erzeugung von Magnetitschichten *53:* 1–8
Spiegelmaschine, Kernfusion *53:* 710
Spindelabdichtung, Möglichkeiten *53:* 82–87
Spindelkorrosion bei Stopfbuchspackungen *53:* 82–87
Spurenelemente in Aschen und Stäuben von Müllverbrennungsanlagen *53:* 408–414
St 42, Korrosionen durch gasf. HCl *53:* 233–238
Stade, Sattdampfturbosatz *53:* 368–376
Statistische Auswertung von Bränden, Ergebnisse 53: 172–182
Staubuntersuchungen *53:* 195–199 *53:* 408–414
Steam generating heavy water reactor *53:* 699
Steinkohlen-Blöcke, 600 MW *53:* 768–771
Steinkohlenkessel für 600-MW-Blöcke *53:* 798–806
Stellaratar – Kernfusion *53:* 710
Stellgeschwindigkeiten an Überströmstationen *53:* 840/841
Steuerung, 600-MW-Blöcke *53:* 845–849
Stickstoffoxide, Bildung von — in Ölfeuerungen *53:* 213–218
Störungsursachen, Peripheriegeräte *53:* 78–81
Stopfbuchse mit Absaugung *53:* 82–87
Strahlungs- und Konvektionsverdampfer, Vergleich *53:* 728–734
Stromerzeugung, geordnete Häufigkeit der — *53:* 645
Stromversorgung Schwedens von 1975 bis 1990 *53:* 592–594
Sulfidbildung bei Hochtemperaturkorrosionen *53:* 621–627 *53:* 247 *53:* 254–258
Sulfidkorrosion *53:* 406–407
SWR-Druckgefäß *53:* 165

Tätigkeitsbericht der VGB 1972/1973 *53:* 347–359
Taupunktfühler, elektrische *53:* 675–682
Taupunktmessung, kontinuierliche *53:* 338–339 *53:* 675–682
Teflon, Verhalten von — *53:* 485/486
Teilkammer-Schmelzfeuerungen, Betriebserfahrungen *53:* 25–35
Temperaturdarstellung, Flammenbild *53:* 393–400
Temperaturdifferenzen, neue Maßeinheiten *53:* 545–558
Temperaturgradienten in Bauelementen großer Dampferzeuger *53:* 720
Temperaturschichtung des Gewässers, Frischwasserkühlung *53:* 15
Theta Pinch — Kernfusion *53:* 710
Tieftemperaturkorrosionen *53:* 683–685
— an Nachschaltheizflächen *53:* 199–203
Tokomak-Kernfusion *53:* 710
Topfgehäusepumpe *53:* 826–833
Trockenkühlturm, Kostensituation *53:* 471
—, Kühlelemente *53:* 467
—, 300-MW-THTR-Kernkraftwerk Schmehausen *53:* 463–471
—, Seilnetzkonstruktion *53:* 469
Trommelkessel, Auskühlen und Warmhalten *53:* 427–434
Turbinenhersteller, Anforderungen an eine einheitliche Schadenserfassung aus der Sicht der — *53:* 44–50
Turbinenöl-Luftabscheidevermögen *53:* 456–463
Turbinensteuerung, Instandsetzung nach Brandschaden *53:* 449–456
Turbogeneratorenbau, schwere Schmiedestücke, Anforderungen und Abnahmekriterien *53:* 182–195
Turbosatz *53:* 102
Turbosätze für 600 MW in Frankreich, Konstruktion und Betriebsbewährung *53:* 817–826

Überautomatisierung *53:* 629–635
Überhitzerstähle, Korrosion von *53:* 539–542
Übergabeleistung, Regelung der — *53:* 377–382
—, Stochastische Schwankungen *53:* 442–449
Umwälzpumpen für 600-MW-Blöcke *53:* 826–833
Ungleichförmigkeit der Temperatur in Rohrsystemen von Dampferzeugern *53:* 40–44

V_2A-Stahl, Verhalten gegenüber gasf. HCl *53:* 233–238
Vakuumabsaugung für Spindeldichtung *53:* 82–87
Vanadium, Korrosion durch — *53:* 621–627
Vanadiumverbindungen, katalytische Wirkungen bei der Hochtemperaturkorrosion *53:* 239–247 *53:* 621
Verfügbarkeitsbegriff in der Energieerzeugung *53:* 656–665
Verschmutzung und Korrosion *53:* 401–403
— in steinkohlegefeuertem Kessel *53:* 248–254
Verschlackung, Bekämpfung der — *53:* 251/252
Verschlackungen in steinkohlegefeuerten Kesseln *53:* 248–254
Vektor-Monitor, rechnergesteuerter Einsatz *53:* 50–56
Vektor-Monitor-System, Entwurf *53:* 50–56
Verbundbetrieb (europäisch) *53:* 442–449
Verbrennung, Laboruntersuchungen *53:* 35–40
—, Reaktionskinetische Messungen *53:* 35–40
Verbrennungsablauf *53:* 35–40
Verfügbarkeit eines Schnellast- und Spitzenlastblockes *53:* 295
Verfügbarkeitsoptimierung *53:* 656–665
Verfügbarkeit von 600-MW-Blöcken — Steinkohlenfeuerung *53:* 800
VGB, Kongreß „Kraftwerke 1973" *53:* 489–497
VGB-Richtlinien für das Wasser in Kernkraftwerken mit Leichtwasserreaktoren *53:* 207–209
VGB, Tätigkeitsbericht 1972/1973 *53:* 347–359
Video-Recorder *53:* 498
Volumenschwund bei Packungen *53:* 82–87
Vorwärmer, Erzeugung von Magnetitschichten *53:* 1–8

Wärmesperre für Pumpen *53:* 826–833
Wärmeverbrauch, spezifisch, abhängig von der Blockleistung *53:* 756
Wasser, Verhalten gegenüber Eisen in Gegenwart von Sauerstoff *53:* 382–393 (I. Teil) *53:* 472–481 (II. Teil)
—, VGB-Richtlinien für das — in Leichtwasserreaktoren *53:* 207–209
Wellenbahnkurven-Turbinen *53:* 226
Wellenmittelpunktsbahnkurven, Deutung der — *53:* 320–332
Wellenschwingungen, Erfahrungen mit — *53:* 320–332
Werkstoffe für Armaturen *53:* 82–87

Zinkgehalte in Aschen von Müllverbrennungsanlagen *53:* 410/411
Zündbrenner, elektrische *53:* 602
Zustandsanzeige für einen Dampferzeuger *53:* 50–56

PERSÖNLICHES

Bachmair, Anton, 75 Jahre *53:* 542
Bachmair, Anton, Bundesverdienstkreuz *53:* 864
Balke, Siegfried, Ehrenmitglied der Dechema *53:* 542
Bandel, Rudolf, 65 Jahre *53:* 864
Bendfeldt, Hans, 70 Jahre *53:* 275
Börnke, Fritz, 60 Jahre *53:* 542
Brink, ten, Johann, im Ruhestand *53:* 275
Brocke, Wolfgang, 60 Jahre *53:* 69
Brünecke, Erhard, 65 Jahre *53:* 203
Burchhardt, Hans, 65 Jahre *53:* 203
Busch, Heinz, 50 Jahre *53:* 750
Cuenot, Yves, 50 Jahre *53:* 415
Dangl, Kurt, 65 Jahre *53:* 487
Dettmering, Wilhelm, neuer VDI-Vorsitzender *53:* 750
Ebersold, Wilhelm, 50 Jahre *53:* 138
Engler, Otto, 70 Jahre *53:* 203
Ewaldsen, Hans L., 50 Jahre *53:* 627
Frank, Berthold, zwei Ehrenprofessuren *53:* 275
Frank, Berthold, 60 Jahre *53:* 415
Friedrich, Hans, 70 Jahre *53:* 542
Gauf, Josef, Bundesverdienstkreuz *53:* 864
Gelis, H., 25 Jahre bei VEW *53:* 487
Gersten, Gerd Wolfgang, gestorben *53:* 864
Guck, Rudolf, 50 Jahre *53:* 542
Hämmerling, Friedrich, Großes Verdienstkreuz *53:* 688
Haussmann, Raimund, 60 Jahre *53:* 275
Heitmann, Hans Günther, 50 Jahre *53:* 138
Holzhey, Fritz, 65 Jahre *53:* 138
Hübner, Martin, im Ruhestand *53:* 275
Jaroschek, Kurt, 75 Jahre *53:* 750
Jung, Richard, erhielt VDI-Ehrenzeichen *53:* 750
Karnik, Friedrich, gestorben *53:* 344
Keysselitz, Günther, 65 Jahre *53:* 203
Kirchberg, Georg, gestorben *53:* 750
Klotzbach, Günter, neuer Vorsitzender des VDEh *53:* 688
Kneller, Christian, 70 Jahre *53:* 203
Knoll, Helmut, stellvertretendes Vorstandsmitglied der EWAG *53:* 69
Koch, Hans, ordentliches Vorstandsmitglied der VKR *53:* 69
Krieg, Herbert, 60 Jahre *53:* 542
Krüger, Georg, 65 Jahre *53:* 203
Kuhlmann, Albert, zum Honorarprofessor ernannt *53:* 275
Löhle, Herbert, Ehrensenator der Universität Stuttgart *53:* 203
Loemke, Heinrich, gestorben *53:* 542
Ludwig, N., Großes Verdienstkreuz *53:* 627
Ludewig, Walter, Dechema-Medaille *53:* 542
Maikranz, Franz, 60 Jahre *53:* 203
Mandel, Heinrich, 25 Jahre beim RWE *53:* 138
Meyer, Peter, gestorben *53:* 344
Mewes, Hans, 65 Jahre *53:* 750
Möllmann, Alfons, gestorben *53:* 750
Mühlhausen, Franz, 70 Jahre *53:* 487
Neumann, Willy, 65 Jahre *53:* 275
Novak, Heinrich, Vorstandsmitglied der Großkraftwerk Franken AG *53:* 69
Novotny, Frank, gestorben *53:* 415
Oschatz, Werner, 65 Jahre *53:* 750
Peddinghaus, Günter, 65 Jahre *53:* 627
Peter, Karl, im Ruhestand *53:* 275
Reerink, Wilhelm, ausgezeichnet *53:* 69
Reimann, Albert, 75 Jahre *53:* 627
Reuther, Fritz L., 65 Jahre *53:* 864
Rummel, Karl, 70 Jahre *53:* 344
Sauerbruch, Peter, 60 Jahre *53:* 415
Schad, Albert, Großes Bundesverdienstkreuz *53:* 542
Schelberger, Herbert, 65 Jahre *53:* 344
Schelberger, Herbert, 1. Vorsitzender des VGW *53:* 487
Schimmelbusch, H., verläßt NUKEM-Geschäftsführung *53:* 69
Schmitt, Matthias, 60 Jahre *53:* 487
Schmitz, Hans, 70 Jahre *53:* 415
Schnadt, Henri M., gestorben *53:* 344
Schrader, Karl, 70 Jahre *53:* 415
Schröder, Karl, 75 Jahre *53:* 138
Schubert, Johannes, im Ruhestand *53:* 487
Spalthoff, Franz Joseph, 60 Jahre *53:* 487
Spengler, Günter, gestorben *53:* 864
Stratmann, Heinrich, zum Honorarprofessor ernannt *53:* 138
Thörner, Heinz, 80 Jahre *53:* 203
Tietz, Hans, 75 Jahre *53:* 688
Traustel, Sergei, 70 Jahre *53:* 542
Vetter, Oskar, erhielt bayerischen Verdienstorden *53:* 542
Watzke, Erich, 70 Jahre *53:* 864
Werkmeister, H., 70 Jahre *53:* 487
Wiehage, Walter, im Ruhestand *53:* 415
Witzenmann, Walter, 65 Jahre *53:* 415

BUCHBESPRECHUNGEN

Auf dem Weg ins Informationszeitalter *53:* 204
Begriffsbestimmungen nach DIN *53:* 205
Betriebswirtschaftslehre *53:* 488
Bilanzierung und Erfolgsrechnung *53:* 488
Brandschutz im Hochbau *53:* 276
Chemie im Kraftwerk *53:* 754
Dampferzeugungstechnik *53:* 205
Dampferzeugungstechnik, Wörterbuch *53:* 206
Deutsche Armaturen *53:* 346
Deutschlands führende Unternehmen und ihr Management *53:* 204
Dimensioning and strength calculations *53:* 416
Einführung in die Physik *53:* 753
Elektrisch Heizen und Klimatisieren *53:* 276
Energie-Leistungen, Prognosen, Alternativen *53:* 204
Energie- und wärmetechnische Anlagen *53:* 206
Energiewirtschaftslehre *53:* 346
Energiewirtschaft der Volksrepublik China *53:* 345
Energiewirtschaft, Statistik *53:* 206
Entstaubungstechnik *53:* 487
Festkörperphysik und elektronische Technik *53:* 205
Finanzierung und Investitionsrechnung *53:* 487
Formeln und Tabellen für Kunststoffe und Kunststoffverarbeitung *53:* 488
Große Dampferzeuger mit fossilen Brennstoffen *53:* 276
Gesundheitsschädliche Arbeitsstoffe; toxikologisch-arbeitsmedizinische Begründungen von MAK-Werten *53:* 70
Industrielle Kostenrechnung *53:* 488
Industriefeuerungen *53:* 70
Industrieöfen und -feuerungen *53:* 345
Jahrbuch für Bergbau, Energie, Mineralöl und Chemie 1972 *53:* 70
Lärmminderung in der Industrie *53:* 346
Lärmschutz und Luftreinhaltung *53:* 346
Luftreinhaltung *53:* 488
Materialwirtschaft, Produktion und Personalwesen *53:* 487
Marketing *53:* 488
Mechanische Verbindungselemente *53:* 487
Meß- und Steuertechnik *53:* 276
Meß- und Steuerwarten *53:* 276
Metallische Werkstoffe – Materialprüfnormen *53:* 754
Netzplantechnik – Theorie und Praxis *53:* 488
Normen für Stahlrohrleitungen *53:* 206

Öffentliche Energieversorgung *53:* 346
Rohrleitungsstatik *53:* 276
Schadenverhütung, Allianz-Handbuch *53:* 70
Scheiben mit beliebiger Geometrie und allgemeinem Materialgesetz *53:* 754
Schematisiertes Verfahren zur manuellen Aufstellung der Systemmatrix für die Berechnung von Stabtragwerken *53:* 206
Schweißen *53:* 346
Schweißen, Kostenrechnung *53:* 70
Schweißnaht als Konstruktionselement im chemischen Apparatebau *53:* 345
Schweißtechnische Praxis *53:* 70
Schweißtechnisches Hochschulkolloquium *53:* 205
Selbstdiffusion an Metalloberflächen *53:* 206
Sicherheitstechnik *53:* 416
Spannzeugnormen *53:* 754
Spurenstoffe in der Atmosphäre *53:* 754
Stahl-Eisen-Liste *53:* 206
Stahlrohr-Handbuch *53:* 416
Technikgeschichte *53:* 206
Technische Wärmelehre *53:* 205
Überbetriebliche technische Normen *53:* 754
Ventilatoranlagen *53:* 70
Wärmeübertragung *53:* 754
Wärme- und Strömungstechnik im Dampferzeugerbau *53:* 205
Warenkennzeichnung im deutschen Normenausschuß *53:* 754
Warmumformbarkeit von Stählen, Ermittlung von Kennwerten *53:* 69
Werkstoffprüfung, neuzeitliche Verfahren *53:* 345
Werkzeugnormen – Schraubenwerkzeuge *53:* 416
Zerspannung metallischer Werkstoffe *53:* 754

VGB KRAFTWERKSTECHNIK

MITTEILUNGEN DER VGB TECHNISCHE VEREINIGUNG DER GROSSKRAFTWERKSBETREIBER

54. JAHRGANG (1974) · HEFTE 1–12

INTERNATIONALE FACHZEITSCHRIFT FÜR TECHNIK IN WÄRMEKRAFTWERKEN

HERAUSGEBER

VGB TECHNISCHE VEREINIGUNG DER GROSSKRAFTWERKSBETREIBER E.V.
Vorsitzender: Direktor Dr.-Ing. K. Knizia, Dortmund;
Geschäftsführer: Direktor Dr.-Ing. O. Schwarz, Essen.

SCHRIFTLEITUNG

Abteilungsdirektor Ing. (grad.) H. Kaes, Essen;
Oberingenieur Dipl.-Ing. A. Kantner, Essen;
Abteilungsdirektor Professor Dr. rer. nat. H. Kirsch, Essen;
Oberingenieur Dr. rer. nat. H. Kittel, Essen;
Oberingenieur Dipl.-Ing. K. Plate, Essen.

HAUPTSCHRIFTLEITUNG UND GESTALTUNG

Oberingenieur Ing. (grad.) H. Bleßmann, Essen.

ANSCHRIFT

VGB TECHNISCHE VEREINIGUNG DER GROSSKRAFTWERKSBETREIBER E.V.
43 Essen, Klinkestraße 29/31
Postfach 1791, Fernruf 1981, Fernschreiber 0857507 vgb d.

Für den sachlichen Inhalt der Beiträge ist der jeweilige Autor verantwortlich.

WISSENSCHAFTLICHER REDAKTIONSBEIRAT

Professor Dr.-Ing. F. Brandt, Darmstadt;
Professor Dr. techn. D. Johnson, Trondheim;
Professor Dr. techn. M. Ledinegg, Wien;
Professor Ir. J. J. C. van Lier, Delft;
Professor Dr. techn. O. I. Martynova, Moskau;
Professor Dr.-Ing. P. Profos, Zürich;
Professor Dr.-Ing. R. Quack, Stuttgart;
Professor Dr. phil. H. Rögener, Hannover;
Professor Dr. rer. nat. R. Schulten, Aachen;
Professor Dipl.-Ing. I. D. Stancescu, Bukarest;
Professor Dr.-Ing. habil. Dr. techn. E. h. Dr.-Ing. E. h. K. Wellinger, Stuttgart.

TECHNISCHER REDAKTIONSBEIRAT

Oberingenieur H. Berggren, Malmö;
Direktor Professor Dr.-Ing. H. Brüderlin, Stuttgart;
Direktor Dipl.-Ing. E. Brünecke, Essen;
Direktor Dr. K. Hansen, Kopenhagen;
Direktor Dr.-Ing. G. Noetzlin, Marl;
Direktor Dr.-Ing. H. Novak, Nürnberg;
Direktor F. Scheurer, Paris;
Direktor Dr.-Ing. E. h. Dipl.-Ing. W. Schoch, Mannheim;
Oberingenieur Ir. G. J. Schoppert, Nijmegen.

Inhaltsverzeichnis 1974

DIE FOTOS DER VERFASSER FINDEN SIE AUF DEN SEITEN II BIS X

IN DEN ZWÖLF HEFTEN DES JAHRGANGES 54 SIND ENTHALTEN:

Heft.	1	2	3	4	5	6
Seiten	1–68	69–136	137–210	211–288	289–358	359–432

Heft.	7	8	9	10	11	12
Seiten	433–500	501–564	565–632	633–698	699–770	771–844

Verfasserverzeichnis 1974

Aas, S., The Effects of Load Following Operation on Fuel Rods *54:* 446–451

Adamsky, F.-J., und Hofstötter, P., Betriebsverhalten von Formstücken in Rohrleitungen von Kraftwerken *54:* 678–690

Apperloo, M., Kondensataufbereitung durch Filtration *54:* 25–33

Baschek, H., und Kocourek, E., Betriebserfahrungen mit Wärmeaustauschern in Kernkraftwerken mit Leichtwasserreaktoren *54:* 799–807

Bedenig, D., Der Hochtemperaturreaktor – Seine Charakteristiken – Seine Bedeutung für die Zukunft – Bisherige Betriebserfahrungen *54:* 782–787

Beglinger, V., Schaufelkühlung als Mittel zur Erhöhung von Wirkungsgrad und Leistungsdichte bei Industrie-Gasturbinen *54:* 46–52

Beising, R. und Kirsch, H., Das Verhalten des Spurenelements Fluor aus fossilen Brennstoffen bei der Verbrennung *54:* 268–286

Beyer, H., Zur Wiederholungsdruckprobe am Containment des Kernkraftwerkes Lingen *54:* 810–816

Bieber, K. H., und Herrmann, W., Versuchsergebnisse und Betriebserfahrungen über den Einsatz von Wasserrußbläsern auf verschweißten Rohrwänden *54:* 699–707

Bohr, E., Ein Beitrag zur Wartengestaltung von Wärmekraftwerken aus ergonomischer Sicht *54:* 657–662

Borris, B., Der Einfluß des Sauerstoffs bei der neutralen Fahrweise *54:* 324–332

Braunstein, L., siehe Hochmüller, K.

Bruchhaus, R., Köster, K., und Resch, G., Planung, Ausführung und Ergebnisse einer Kesselreinigung durch Spülen und Ausblasen *54:* 174–185

Brunner, R. E., und Hoffmann, W., Erfahrungen mit Schichtbettaustauschern in Vollentsalzungsanlagen *54:* 235–242

Büttner, W., und Wind, R., Temperatursturz-Überwachungsgerät für Turbinen mit Erfassung der Temperaturänderungsgeschwindigkeit *54:* 725/726

Bursik, A., Betrachtungen über die Beizung von Dampferzeugern mit Flußsäure *54:* 482–488

Buxmann, J., und Heeren, H., Oberflächenkondensator für Trockenkühlung *54:* 301–306

Christian, H., siehe Schüller, H.-J.

Cutler, A. J. B., Hart, A. B., Laxton, J. W., und Stevens, C. G., Die derzeitigen Probleme durch rauchgasseitige Korrosionen bei der CEGB und neuere Forschungen zu deren Lösung *54:* 611–619

Dibelius, D., und Schwarz, O., Schwerpunkte in der Entwicklung thermischer Kraftwerke *54:* 194–202

Didion, E., Turbinenregelungsprobleme im Industriekraftwerk beim Umschalten von elektrischem Verbundbetrieb auf Inselbetrieb *54:* 640–648

Diederichs, M., Standardisierung von Kernkraftwerken mit Leichtwasserreaktoren *54:* 578–582

Dietrich, J. R., The PWR – Present and Future *54:* 15–25

Dittmar, S., Die Finite-Element-Methode im Rahmen der Festigkeitsberechnung an überwachungspflichtigen Bauteilen *54:* 411–418

Dobrevsky, I., Aus der Wasserpraxis. Beständigkeit von Ionenaustauschern bei Temperaturen unter 0°C *54:* 408–410

Ebert, K., und Fässler, P., Berechnung des Anfahrverhaltens von Zwangdurchlaufkesseln auf dem Digitalrechner als Optimierungsmittel für die Systemauslegung und Prozeßführung *54:* 547–555

Edelmann, J., Erfahrungen aus Inbetriebnahme und Betrieb einer DDC-Regelung *54:* 555–562

Effertz, P.-H., Fichte, W., und Forchhammer, P., Kühlwasserseitige Korrosion an Kondensatoren und Kühlern in Kraftwerken *54:* 82–93

Eilinghoff, K.-J., Auswirkungen nachträglicher Sicherheitsauflagen für den Bau des Kernkraftwerkes der Kernkraftwerk Philippsburg GmbH. *54:* 827–835

Eller, H., Das Stahlgerüst für einen 2000-t/h-Braunkohlenkessel *54:* 105–113

Ellmer, M., Wiederholungsprüfungen in Kernkraftwerken mit Leichtwasserreaktoren *54:* 807–810

Ernstberger, R., und Pocock, F. J., Wasserchemie und Korrosionsbegrenzung beim BBR-Dampferzeugersystem *54:* 691–696

Fabritius, H., und Weber, H., Restlebensdauer und Werkstoffeigenschaften von langzeitig bei hohen Temperaturen betriebsbeanspruchten Bauteilen aus warmfesten ferritischen Stählen *54:* 262–268

Fässler, P., siehe Ebert, K.

Fehndrich, W., Hlubek, W., und Kutsch, W., Entwicklung und technisch-betriebswirtschaftliche Analyse der Nichtverfügbarkeit der RWE-Kraftwerke *54:* 760–769

Fichte, W., siehe Effertz, P.-H.

Forchhammer, P., siehe Effertz, P.-H.

Forck, B., siehe Schwarz, O.

Freier, R. K., siehe Schroeder, H.-J.
Fuchs, H., Einfluß von Kühltürmen auf die atmosphärische Ausbreitung radioaktiver Abgase *54:* 825–827

Gebureck, P., Entwicklung und Anwendung von neuartigen Neutronenflußdetektoren in Kraftwerksreaktoren *54:* 816–821
Gerking, E., Vorschlag eines Temperaturplanes für die Weser *54:* 224–235
Groß, G., siehe Linzer, V.
Gudehus, H., Eigenwerte einer Maschinenwelle auf drei Gleitlagern *54:* 385–390

Haas, H., Betriebserfahrungen mit Sattdampfkreisläufen – Turbinen, Wasserabscheider, Rohrleitungen *54:* 791–798
Hagn, L., siehe Schüller, H.-J.
Hart, A. B., siehe Cutler, A. J. B.
Hauser, H., Nagel, K., und Spähn, H., Schadensfall an einem 800-m²-Gaskühler für 450 bar Betriebsdruck *54:* 123–134
Hedbäck, T., Entwicklungstendenzen in der Kraft/Wärme-Koppelung am Beispiel der Fernwärmeversorgung *54:* 708–714
Heeren, H., siehe Buxmann, J.
Heger, H., Spezielle Gesichtspunkte für die Leittechnik bei kombinierten Gas-Dampfturbinenblöcken *54:* 619–630
Heinrich, O., Strömungsvorgänge und Geräusche in Regelventilen mit Modellversuchen im schallnahen und Überschallbereich *54:* 374–384
Helbling, W., siehe Mühlhäuser, H.
Held, H.-D., Zur Frage der Magnetitablagerungen in Zwangdurchlaufkesseln *54:* 406–408
Hepp, H., siehe Schroeder, H.-J.
Hermes, W., siehe Schneider, F.
Herrmann, W., siehe, Bieber, K. H.
Hiller, S., siehe Neeb, K. H.
Hinz, W., Möglichkeiten zukünftiger Wartengestaltung im Wärmekraftwerk *54:* 726–731
Hlubek, W., siehe Fehndrich, W.
Hochmüller, K., Maihöfer, A., und Braunstein, L., Probleme in Dampferzeugern durch nichtionogene Inhaltsstoffe des Speisewassers *54:* 160–174
Höger, R., Das elastische Verhalten von Rohrschenkelgruppen zwischen Sammlern und Flossenrohrwänden *54:* 746–756
Hoffmann, W., siehe Brunner, R. E.
Hofstötter, P., siehe Adamsky, F.-J.
Holly, J., siehe Stokes, J. W.
Hotzel, E., Steinkohlenverwendung im Kraftwerk und Luftreinhaltung *54:* 69–75

Jelinek-Fink, P., Wo stehen wir heute mit dem Kernbrennstoffzyklus? *54:* 633–639
Jutemar, I., und Schlizio, H., Beizen von Kraftwerksanlagen *54:* 1–10

Kahlert, W., Erfahrungen beim Bau und bei der Inbetriebnahme von sechs zeichnungsgleichen Kombi-Blöcken *54:* 537–547
Kaiser, G., Sonderfragen der Instrumentierung von gasgekühlten Hochtemperaturreaktoren *54:* 369–374
Kanter, A., Emission von Staub und Schwefeldioxid aus Dampfkraftwerken *54:* 668–672
Keller, H., Erosionskorrosionen an Naßdampfturbinen *54:* 292–295
Kiesling, J., Umfang und Methode der Reparaturplanung für die in Bau befindlichen Kraftwerke der Hamburgischen Electricitäts-Werke *54:* 289–292
Knizia, K., Das VEW-Kohle-Umwandlungsverfahren *54:* 525–531
Knoche, K. F., Thermische Erzeugung von Wasserstoff mit Hilfe von Hochtemperaturreaktoren *54:* 582–585
Kober, A., siehe Schüller, H.-J.
Koch, H., Planung größter Kraftwerksblöcke *54:* 587–595
Kocourek, E., siehe Baschek, H.
Köhle, H., Kombination der letzten Stufe einer Zusatzwasseraufbereitung mit der Kondensatreinigungsanlage *54:* 93–100
Körbel, W., Eine neue Verfahrenstechnik zur gemeinsamen Verbrennung von Müll und Klärschlamm *54:* 101–104
Köster, K., siehe Bruchhaus, R.
Kolonits, F., Die Störung ausdampfender Flüssigkeiten in Rohrleitungen *54:* 53–60
Kortzfleisch, von G., Anforderungen der Gesellschaft an die Unternehmen – Anforderungen der Unternehmen an die Gesellschaft *54:* 510–516
Kucharski, J., Steuerung eines Ferngasnetzes unter Berücksichtigung von abschaltbaren Lieferungen für Industriebetriebe und Kraftwerke *54:* 316–319
Kutsch, K., Baustelleneinrichtung als vorübergehende Produktionsplanung *54:* 113–123
Kutsch, W., siehe Fehndrich, W.

Laxton, J. W., siehe Cutler, A. J. B.
Lempp, V., siehe Linzer, V.
Linzer, V., Lempp, W., und Groß, G., Berechnung von Spannungen und Temperaturfeldern in Flossenwänden und aufgeschweißten Bauteilen *54:* 595–601

Maihöfer, A., siehe Hochmüller, K.
Makinejad, N., Dynamische Lochrandspannungen und zulässige Temperaturdifferenz in rotationssymmetrisch belasteten zylindrischen Bauteilen größerer Dampferzeuger *54:* 186–194
Martin, P., und Mathias, G., Einige regeltechnische Gesichtspunkte zum Umleitbetrieb bei Blockkraftwerken *54:* 648–657
Martinola, F., Aus der Wasserpraxis – Sind Schichtbettfilter besser als ihr Ruf? *54:* 100–101
Mathias, G., Die Auswirkungen von Unempfindlichkeiten im Turbinenregelkreis auf Turbine und Verbrauchernetz *54:* 390–395
Mathias, G., siehe Martin, P.
Mayer, K. H., siehe Stokes, J. W.
Mühle, E.-E., Grundsätzliches zur Lebensdauer von Dampfturbinen *54:* 296–300
Mühlhäuser, H., und Helbling, W., Technische und wirtschaftliche Aspekte der Verwendung von Wärme aus Kernkraftwerken zu Heizzwecken *54:* 775–782
Müller, P., Vorschlag eines Einheitsverfahrens zur Berechnung zulässiger Temperaturänderungsgeschwindigkeiten und Temperatursprünge von Kessel- und Rohrleitungsformstücken *54:* 737–746

Nagel, K., siehe Hauser, H.
Neeb, K. H., und Hiller, S., Möglichkeiten und Probleme bei der In-line-Überwachung des Primärkühlmittels von Druckwasserreaktoren *54:* 821–825
Niepenberg, H. P., Entwicklungstendenzen im Großbrennerbau für flüssige und gasförmige Brennstoffe *54:* 731–736

Nitsch, D., und Schmitz, H., Arbeitsverfügbarkeit von Blockanlagen 1973 *54:* 756–759
Nowak, F., und Thömen, K. H., Die zweite Generation moderner Müllverbrennungs-Kesselanlagen – konstruktive Besonderheiten, Erfahrungen *54:* 672–677

Ortner, G., Klärtechnische Einrichtungen zur optimalen Nutzung von Betriebswässern *54:* 242–250
Osthaus, K. H., Kohlevergasung nach dem Koppers-Trotzek-Verfahren für den Kraftwerksbetrieb *54:* 221–224

Pauli, B., Bisherige Betriebserfahrungen mit Stufenschwenkrosten und Planungen für kombinierte Verbrennung von Müll und Klärschlamm *54:* 332–335
Peché, D., siehe Reploh, H.
Pedotti, P., Speisepumpenkonzeption für eine optimale Verfügbarkeit *54:* 211–221
Pocock, F. J., siehe Ernstberger, R.
Puhr-Westerheide, H., Kraftwerke mit Kohledruckvergasung *54:* 532–536

Quack, R., Forschung auf dem Gebiet der Kraftwerkstechnik (Teil I) *54:* 516–525
Quack, R., Forschung auf dem Gebiet der Kraftwerkstechnik (Teil II) *54:* 565–574

Reploh, H., und Peché, D., Seuchenhygienische Aspekte bei der Müllverbrennung *54:* 335–338
Resch, G., siehe Bruchhaus, R.
Reumont, von G. A., Stand der Entwicklung bei Stählen mit guter Schweißeignung für warmgehende Druckbehälter in Dampfkraft- und Kernenergieanlagen *54:* 418–430
Riedlinger, R. A., Ascheaufbereitung in Müllverbrennungsanlagen *54:* 477–482
Rolker, J., Betriebserfahrungen mit einem neuentwickelten Säuretaupunktmeßgerät *54:* 489–493

Sommers, H., Betriebserfahrungen mit dem LR-Verfahren zur Vorentgasung von Kohle in Verbindung mit einer Kesselfeuerung *54:* 306–310
Spangemacher, K., Stellungnahme zum Aufsatz „Kühltürme für 600-MW-Blöcke" *54:* 135
Spähn, H., siehe Hauser, H.
Speich, P., Kohlevergasung mit nuklearer Prozeßwärme *54:* 438–446
Spliethoff, H., Information im Kraftwerk mit Magnetband *54:* 137–146
Scheubel, F. N., Bemerkungen zu den Problemen der Windlast auf Kühltürme *54:* 396–398
Schinn, R., Staif, F., und Wiemann, W., Große Guß- und Schmiedestücke für 1500tourige Sattdampfturbosätze *54:* 456–471
Schlegel, G., Optimierung von Struktur und Parametern des Mehrgrößen-Regelsystems Naturumlauf-Dampferzeuger *54:* 493–498
Schlizio, H., siehe Jutemar, I.
Schlotmann, W., Die Sondermüll-Verbrennungsanlage beim Zweckverband Sondermüllplätze Mittelfranken in Schwabach/Bayern *54:* 33–38
Schmelzer, J., Der Ersatz alter Kraftwerksanlagen *54:* 146–149
Schmitz, H., siehe Nitsch, D.
Schneider, F., und Hermes, W., Bauplanung und Bauausführung der Braunkohlenkraftwerke Niederaußem und Neurath *54:* 149–160
Schnurer, H., Schutzmaßnahmen für äußere Einwirkungen bei Kernkraftwerken *54:* 398–405
Scholder, K., Das Dilemma des Fortschritts *54:* 434–438
Schroeder, H.-J., Freier, R. K. und Hepp, H., VGB-Richtlinien für das Wasser in Kernkraftwerken mit Leichtwasserreaktoren *54:* 319–324
Schubert, J., Die Umstellung von kohlegefeuerten Kesseln auf Erdgasbetrieb im Gemeinschaftswerk Hattingen *54:* 311–316
Schüller, H.-J., Christian, H., und Kober, A., Risse im Schweißnahtbereich von Formstücken aus Heißdampfleitungen – Spannungsanalytische Untersuchungen – *54:* 338–344
Schüller, H.-J., Hagn, L., und Woitscheck, A., Risse im Schweißnahtbereich von Formstücken aus Heißdampfleitungen – Werkstoffuntersuchungen – *54:* 344–357
Schulten, R., Welchen Einfluß kann der Hochtemperaturreaktor auf die Infrastruktur nehmen? *54:* 585–587
Schwarz, O., Kurzbericht über die Tätigkeit der VGB 1973/1974 *54:* 359–368
Schwarz, O., und Forck, B., Brennstoff- oder Abgasentschwefelung aus der Sicht des Kraftwerksbetriebes *54:* 10–15
Schwarz, O., siehe Dibelius, D.
Stabenow, G., Betriebserfahrungen mit Müllverbrennungsanlagen in Chikago und Harrisburg/USA *54:* 38–42
Staif, F., siehe Schinn, R.
Stevens, C. G., siehe Cutler, A. J. B.
Stönner, A., Neue Entwicklungen bei der Probenahme und Probevorbereitung von Kraftwerkskohle *54:* 663–667
Stokes, J. W., Holly, J., und Mayer, K. H., Amerikanische Dampfkessel- und Druckbehältervorschriften *54:* 835–842
Stratemeier, M. A., und Williams, D. E., Die leichte Industriegasturbine – Vergangenheit und Zukunft *54:* 75–81

Thies, J., Besondere Anforderungen an Rohrleitungssysteme von Kernkraftwerken *54:* 787–790
Thömen, K. H., siehe Nowak, F.
Thomassen, H. G., Berücksichtigung der Schallemissionen bei der Planung und beim Bau von Kraftwerken *54:* 43–46
Toepper, H. G., Brandschutz für Turbinenanlagen *54:* 715–724

Weil, K. H., Möglicher Einfluß der Wasserstofftechnologie auf die zukünftige Energieversorgung *54:* 574–577
Werner, J., Integriertes Datenerfassungs-, Auswertungs- und Abrechnungssystem für Müllbeseitigungsanlagen *54:* 741–477
Wickert, K., Stickoxide in Feuerungen *54:* 60–66
Wiemann, W., siehe Schinn, R.
Williams, D. E., siehe Stratemeier, M. A.
Wind, R., siehe Büttner, W.
Witschakowski, W., Erfahrungen mit Druckbehältern in Mehrlagenbauweise *54:* 601–610
Woitscheck, A., siehe Schüller, H.-J.

Zechella, A., Schwimmende Kernkraftwerke – Programm und Stand der Technik 1974 in den USA *54:* 771–775
Zimmermann, H., Neuartiger Niveaugeber für Entwässerungseinrichtungen in konventionellen und nuklearen Kraftwerken *54:* 452–456

Sachverzeichnis 1974

Abgase radioaktiv, Einfluß der Kühltürme auf atmospärische Ausbreitung *54:* 825–827
Abgas-Entschwefelung *54:* 14
Abwasser aus der Kesselheizung mit Flußsäure *54:* 482–488
Anzeigeelemente, Gestaltung *54:* 659–660
Anhen, Fluorgehalt *54:* 275–281
Armaturen, Schallemissionen *54:* 374–384
Arbeitsausnutzung von Blockanlagen 1973 *54:* 756–759
Arbeitsverfügbarkeit von Blockanlagen 1973 *54:* 756–759
Arbeitsvorbereitung *54:* 113–123
Ausbeutedauer der Energievorräte der Welt *54:* 194–202
Ausblasen vor Inbetriebnahme eines Kessels *54:* 174–185
Ausdampfende Flüssigkeiten in Rohrleitungen *54:* 53–60
Ausnutzung, Arbeits- von Blockanlagen 1973 *54:* 756–759
Autozirkulation bei der Kesselbeizung *54:* 1–10

Bauelemente, Forschungsthemen aus dem Gebiet der *54:* 570/571
Baustelleneinrichtung *54:* 149–160
Baustelleneinrichtung *54:* 113–123
BBR-Dampferzeugersystem, Wasserchemie und Korrosionsbegrenzung *54:* 691–696
Bedeutung der HTGR für die Zukunft *54:* 782–787
Behandlung und Lagerung radioaktiver Abfälle *54:* 633–639
Beizen von Kraftwerksanlagen *54:* 1–10
Beizung bereits betriebener Kessel beim Anstieg der Rohrwandtemperaturen *54:* 2
Beizung von Dampferzeugern mit Flußsäure *54:* 482–488
Bemessungserdbeben *54:* 696–698
Berechnung zulässiger Temperaturänderungsgeschwindigkeiten und Temperatursprünge, Vorschlag eines Einheitsverfahrens *54:* 737–746
Berechnung, dynamische, von beliebig komplexen räumlichen Rohrleitungssystemen auf Erdbebenbeanspruchung nach dem Response-Spectrum-Verfahren *54:* 262–268
Betriebsverhalten von Formstücken in Rohrleitungen von Kraftwerken *54:* 678–690
Betriebserfahrungen mit HTGR *54:* 782–787
Betriebsstoffe, Forschungsthemen auf dem Gebiet der *54:* 568
Beurteilung des Kraftwärmeprozesses *54:* 708–714
Borbestimmung durch Neutronenabsorptiometrie *54:* 822–823
Brennstoff-Entschwefelung *54:* 12/13
Brennstoffe, Forschungen auf dem Gebiet der *54:* 568
Brandschutz – Kernkraftwerke *54:* 827–835
Brandschutz für Turbinenanlagen *54:* 715–724
Braunkohle, hydrierende Vergasung *54:* 438–446
Braunkohlen, Fluorgehalt *54:* 274–276
Braunkohlenkraftwerke Neurath und Niederaußem *54:* 149–160

Charakteristiken des HTGR *54:* 782–787
Containment, Wiederholungsdruckprobe *54:* 810–816

Dampferzeuger – Betriebserfahrungen in Kernkraftwerken (Leichtwasser-Reaktor) *54:* 799–807
Dampftemperatur in ölgefeuerten Anlagen *54:* 613/614
Dampfturbinen, Lastabschaltverhalten von Sattdampfturbinen *54:* 791–798
Dampfturbinen, Regelventile in Sattdampfturbinen *54:* 791–798
Dampfturbinen, Erosionen an Rohrleitungen und Turbinenbauteilen von Sattdampfturbinen *54:* 791–798
Dampfturbinen (Industrieturbinen), Regelungsprobleme bei Industrieturbinen beim Umschalten von Verbundbetrieb auf Inselbetrieb *54:* 640–648
Dampfturbinen, Lebensdauer von Dampfturbinen, Wellen
Dampfturbinen, Lebensdauer von Dampfturbinen, Wellenanriß *54:* 296–300
Dampfturbinen, Lebensdauer von Dampfturbinen, Rißwachstum und kritische Rißlänge *54:* 296–300
Dampfturbinen, Lebensdauer von Dampfturbinen, Versagenskriterium bei wechselnder Dehnung *54:* 296–300
Dampfturbinen, Lebensdauer von Dampfturbinen, Versagenskriterium bei Kriechen *54:* 296–300
Dampfturbinen, Erfassung der Temperaturänderungsgeschwindigkeit *54:* 725/726
Dampfturbinen, Temperatursturz-Überwachungsgerät *54:* 725/726
Dampfturbinen, Eigenwertberechnung eines dreifach gleitgelagerten Turbinenrotors *54:* 385–390
Dampfturbinen, Eigenwerte einer Maschinenwelle auf drei Gleitlagern *54:* 385–390. .
Dampfturbinen, Stabilität einer schwingenden Welle *54:* 385–390
Dampfturbinen, Maßnahmen gegen Erosionskorrosion *54:* 292–295
Dampfturbinen, Berechnung der Abtragungsraten bei Erosionskorrosion *54:* 292–295
Dampfturbinen, Erosionskorrosion, physikalisch-chemische Zusammenhänge *54:* 292–295
Dampfturbinen, Erosionskorrosion an Naßdampfturbinen *54:* 292–295
Dampfturbinen, Oberflächenkondensator für Trockenkühlung, Wirtschaftlichkeitsbetrachtung *54:* 301–306
Dampfturbinen, Oberflächenkondensator für Trockenkühlung, Einflußgrößen auf das Bauvolumen *54:* 301–306
Dampfturbinen, Oberflächenkondensator für Trockenkühlung *54:* 301–306
Dampfturbinen, Schaufelerosionen in Sattdampfturbinen *54:* 791–798
Dampfturbinen, Wasserabscheider in Sattdampfturbinen *54:* 791–798
Dampfturbinen, Sattdampfkreisläufe, Betriebserfahrungen *54:* 791–798
DDC-Regelung, Inbetriebnahme *54:* 555–562
DDC-Regelung, Betrieb *54:* 555–562
DDC-Regelung, Struktur *54:* 557
DDC-Programmsystem, Aufbau *54:* 561

DDC-Regelung, Regelgüte *54:* 562
Defection diagramme of fuel rods *54:* 446–451
Deformation characteristics of fuel cladding *54:* 446–451
Design goals for the PWR *54:* 15–25
Die Strömung ausdampfender Flüssigkeiten in Rohrleitungen *54:* 53–60
Drehklanggeräusche *54:* 43–46
Druckbehälter, warmgehende, Stand der Entwicklung bei Stählen mit guter Schweißeignung für *54:* 418–430
Druckprobe am Containment, Instrumentierung *54:* 811–814
Druck, kritischer – in Regelorganen. Die Strömung ausdampfender Flüssigkeiten in Rohrleitungen *54:* 53–60
Druckwasserreaktoren, Wasserchemie beim BBR-Dampferzeugersystem *54:* 691–696
Druckwasserreaktoren, Diskussionsbeitrag zu den VGB-Richtlinien für Leichtwasserreaktoren, 1. Ausgabe *54:* 319–324
Dynamische Lochrandspannungen und zulässige Temperaturdifferenzen in rotationssymmetrisch belasteten Bauteilen größerer Dampferzeuger *54:* 186–194
Dynamische Berechnung von beliebig komplexen räumlichen Rohrleitungssystemen auf Erdbebenbeanspruchung nach dem Response-Spectrum-Verfahren *54:* 262–268

Effects of Load following operation on fuel rods *54:* 446–451
Effekts of Licensing developments in USA on PWR *54:* 15–25
Eigenfrequenzen bei Rohrleitungen *54:* 787–790
Einwirkung, äußerliche – bei Kernkraftwerken *54:* 398–405
Eisenwerkstoffe, Verhalten bei neutraler Fahrweise *54:* 324–332
Elastisches Verhalten von Rohrschenkelgruppen zwischen Sammlern und Flossenrohrwänden *54:* 747–756
Emissionsgrenzwerte für Staub und Schwefeldioxid bei Steinkohlen – Verwendung *54:* 69–75
Emission von Staub und Schwefeldioxid aus Dampfkraftwerken *54:* 532–536
Energiebedarf in der BRD, Prognose für die Primärenergie *54:* 438–446; 525–531
Energieverbrauch, zukünftige Entwicklung in der BR Deutschland *54:* 10/11
Entschwefelung, Brennstoff oder Abgas? *54:* 10–15
Entwicklungstendenzen in der Kraft/Wärme-Kopplung am Beispiel der Fernwärmeversorgung *54:* 708–714
Erdbebenbeanspruchung, von beliebig komplexen räumlichen Rohrleitungssystemen, dynamische Berechnung nach dem Response-Spectrum-Verfahren *54:* 262–268
Erdbebenberechnungen bei Rohrleitungen *54:* 787–790
Erdbeben – Kernkraftwerke *54:* 398–405
Ergonomische Wartengestaltung *54:* 657–662
Ermittlung des Zeitpunktes für den optimalen Anlagenersatz *54:* 146–149
Ernstberger, R., und Pocock, F. J., Wasserchemie und Korrosionsbegrenzung beim BBR-Dampferzeugersystem *54:* 691–696
Ersatz alter Kraftwerksanlagen *54:* 146–149
Erzeugungskosten der elektrischen Nettoleistung als Funktion von der angeschlossenen Wärmeleistung *54:* 708–714
Explosionen, Einwirkung auf Kernkraftwerke *54:* 398–405

Fernwärmeversorgung durch ein Kernkraftwerk – Prinzipschaltbild einer *54:* 708–714
Festigkeitsberechnung, nach der Finite-Element-Methode, an überwachungspflichtigen Bauteilen *54:* 411–418
Filter in der Kondensataufbereitung *54:* 25–33
Finite-Element-Methode im Rahmen der Festigkeitsberechnung an überwachungspflichtigen Bauteilen *54:* 411–418
Finite-Element-Methode im Rahmen der Festigkeitsberechnung an überwachungspflichtigen Bauteilen *54:* 411–418
Flugstäube, Fluorgehalt *54:* 275–281
Flugstäube, kristalline Verbindungen *54:* 281
Flugzeugabsturz *54:* 398–405
Fluor in fossilen Brennstoffen *54:* 268–286
Fluorbestimmung in Kohlen, Öl und Aschen *54:* 269
Flußsäure zur Beizung von Dampferzeugern *54:* 482–488
Forschung in der Kraftwerkstechnik *54:* 516–525 und 565–574
Formstücke, Betriebsverhalten von, in Rohrleitungen von Kraftwerken *54:* 678–690
Formstücke, Risse im Schweißnahtbereich von – Werkstoffuntersuchungen *54:* 344–357
Fortschritt, das Dilemma des *54:* 434–438
Frischwasserkühlung bei Wärmekraftwerken *54:* 224–235
fuel rod design and power cycling *54:* 446–451

γ-Spektrometrie, die in-line *54:* 823

Gas/Dampf-Kraftprozeß, Wärmeschaltungen *54:* 619–621
Gasgekühlte Hochtemperaturreaktoren, Sonderfragen der Instrumentierung *54:* 369–374
Gaskühler, Schadensfall *54:* 123–134
Gasturbinenabgas, Rechen- und Meßverfahren zum Erfassen des Rest-O_2 *54:* 622–626
Gemischtfeuerung Öl/Kohle *54:* 612/613
Genehmigungsverfahren *54:* 827–835
General Characteristics of PWR plants *54:* 15–25
Geräuschbelastung innerhalb und außerhalb des Kraftwerkes *54:* 43–46
Geräusche in Regelventilen im schallnahen und Überschallbereich *54:* 374–384
Gesellschaft, Anforderung an die *54:* 510–516
Gestehungskosten der Heizwärme aus Kernkraftwerken *54:* 775–782
Gesteuerter Umleitbetrieb, Verhalten des Kraftwerkes *54:* 654–655
Große Guß- und Schmiedestücke für 1500tourige Sattdampfturbosätze *54:* 456–471
Grundsätze – Auslegung von Kernkraftwerken gegen Seismische Einwirkungen *54:* 696–698
Guß- und Schmiedestücke für 1500tourige Sattdampfturbosätze *54:* 456–471

Heiztemperaturreaktor *54:* 782–787
Helium-Gasturbine *54:* 782–787
Herstellungskosten von Wasserstoff *54:* 582–585
Hochtemperaturreaktor, Einfluß auf Infrastruktur *54:* 585–587
Hochtemperaturreaktor zur Vergasung *54:* 194–202

Inhibitoren für die Beizung mit Flußsäure *54:* 482–488
Inhibitoren für die Kesselbeizung *54:* 1–10
Industriedampfturbinen, Turbinenleistungsregelung, Turbinendruckregelung *54:* 640–648

Industriedampfturbinen, Frequenzregelung und Lastaufteilung im Inselbetrieb *54:* 640–648
Industriegasturbinen, Erhöhung der Turbineneintrittstemperatur *54:* 46–52
Industriegasturbinen, Kühlluftverbrauch bei gekühlten Schaufeln *54:* 46–52
Industriegasturbinen, Schaufelkühlung *54:* 46–52
Industriegasturbinen, Entwicklungstendenzen *54:* 75–81
Industriegasturbinen, Schaufelkühlung *54:* 75–81
Industriegasturbinen, Spitzenstromanlagen *54:* 75–81
Industriegasturbinen, Traussonischer Verdichter *54:* 75–81
Industriegasturbinen, Erhöhung der Grenzleistung *54:* 46–52
In-Line-Überwachung des Primärkühlmittels *54:* 821–825
Instandhaltungsplanung, Umfang und Methoden für die in Bau befindlichen Kraftwerke der HEW *54:* 289–292
Instandhaltung, Einfluß auf Störungen, Verfügbarkeit und Kosten bei RWE-Kraftwerken *54:* 760–769
Ionenaustauscher, Beständigkeit gegen mechanischen und osmotischen Schock *54:* 408–410
Ionenaustauscher, Beständigkeit bei Temperaturen unter 0° C *54:* 408–410
Ionenaustauscher, Einsatz in Schichtbettfiltern *54:* 100/101
Ionenaustauscher, Schichtbettechnik in Vollentsalzungsanlagen *54:* 235–242
Instrumentierung von gasgekühlten Hochtemperaturreaktoren *54:* 369–374
Investitionsentscheidungen beim Ersatz alter Kraftwerksanlagen *54:* 146–149

Kaltes Ende, Optimierung bei 3 x 1200-MW-Ölblöcken *54:* 587–595
Kavitationsverhalten, Speisepumpen *54:* 211–221
Kernbrennstoffzyklus *54:* 633–639
Kernkraftwerke mit Druckwasserreaktoren, Wasserchemie beim BBR-Dampferzeugersystem *54:* 691–696
Kernkraftwerke mit Leichtwasserreaktoren, Diskussionsbeitrag zu den VGB-Richtlinien für die Wasserqualität *54:* 319–324
Kernkraftwerkspeisepumpen *54:* 211–221
Kernkraftwerk Beznau – Betriebserfahrungen mit Wärmeaustauschern *54:* 799–807
Kernkraftwerkswärme für Heizzwecke *54:* 775–782
Kernkraftwerke mit Hochtemperaturreaktoren *54:* 194–202
Kernkraftwerk Gösgen, Windkanalversuche über Abgaskonzentrationen *54:* 825–827
Kernkraftwerke, besondere Anforderungen an Rohrleitungssysteme *54:* 787–790
Kernkraftwerk Philippsburg; nachträgliche Sicherheitsauflagen *54:* 827–835
Kerzenfilter zur Kondensataufbereitung *54:* 25–33
Kessel, Beizung mit Flußsäure *54:* 482–488
Kessel, Inbetriebnahme ohne Beizung nach Spülen und Ausblasen *54:* 174–185
Kessel, Korrosion durch nichtionogene Inhaltsstoffe des Speisewassers *54:* 160–174
Kesselbeizung, Veranlassung durch Anstieg der Rohrwandtemperatur *54:* 2
Kesselbeizung, Erfahrungen mit verschiedenen Verfahren und Beizmedien *54:* 1–10
Kesselgerüst *54:* 149–160
Kesselgerüßt für 600-MW-Braunkohlendampferzeuger *54:* 105–113
Kesselreinigung durch Spülen und Ausblasen *54:* 174–185
Kesselspeisepumpen, Axialschubausgleich *54:* 211–221
Kohle-Vorentgasung in Verbindung mit Kesselfeuerungen *54:* 306–310
Kohle-Vergasung, STEAG-Verfahren *54:* 532–536
Kohle-Vergasung, Koppers-Trotzek-Verfahren *54:* 221–224
Kohle-Vergasung mit nuklearer Prozeßwärme *54:* 438–446
Kohle, Entgasung und Teil-Vergasung in Umwandlungsverfahren *54:* 525–531
Kombinierter Gas-Dampfturbinen-Prozeß *54:* 525–531; 532–536
Kombi-Blöcke, Betriebsumschaltungen *54:* 629/630
Kombi-Blöcke, O_2-Versorgung der Brenner durch FL oder GTA *54:* 626–629
Kombi-Blöcke, Regelschaltungen zum Verhüten von Luftmangel *54:* 626–629
Kombi-Blöcke, Varianten der Blockleitfunktionen, Beispiele *54:* 621–622
Kombi-Blöcke, Betriebsführung, An- und Abfahrmöglichkeiten *54:* 621
Kombinierte Gas-Dampfturbinenblöcke, Leittechnik *54:* 619–630
Kombi-Blöcke
— Umschalten von Gasturbinen auf Frischlüfterbetrieb *54:* 537–547
— Umweltbeeinflussung *54:* 537–547
— Wärmeschaltbild *54:* 537–547
— Zeichnungsgleiche Ausführungen im Gersteinwerk und Kraftwerk Emsland *54:* 537–547
— Erfahrungen beim Bau und bei der Inbetriebnahme *54:* 537–547
Kondensatoren, Kühlwasserseitige Korrosionen *54:* 82–93
Kondensataufbereitung durch Filtration *54:* 25–33
Kondensataufbereitung, Kombination mit der Zusatzwasser-Aufbereitungsanlage *54:* 93–100
Kondensationskammer – Kernkraftwerke *54:* 827–835
Koppers-Totzek-Verfahren *54:* 221–224
Korrosion in Dampferzeugern durch nichtionogene Inhaltsstoffe des Speisewassers *54:* 160–174
Korrosion durch Kühlwasser an Kondensatoren und Kühlern *54:* 82–93
Korrosionen, rauchgasseitige *54:* 611–619
Korrosionsschutz durch Bandagierung und Schilde *54:* 614
Korrosionen, elektrochemische Untersuchungsmethoden *54:* 614–618
Korrosionen, Forschungsthemen auf dem Gebiet der *54:* 568/569
Kostendegression im Kraftwerksbau *54:* 587–595
Kraftwerkskohle, automatische Probenahme und Probevorbereitung *54:* 663–667
Kraftwerke mit Gaserzeugung *54:* 221–224; 306–310; 438–446; 525–531; 532–536
Kraftwerk, Frischwasserkühlung *54:* 224–235
Kraftwerke, Emission von Staub und Schwefeldioxid *54:* 69–75; 532–536
Kraft/Wärme-Kopplung in der Fernwärmeversorgung *54:* 708–714
Kraftwerke 1974, VGB-Kongreß *54:* 501–510
Kraftwerksanlagen, der Ersatz alter –, *54:* 146–149
Kritischer Druck bei ausdampfenden Flüssigkeiten *54:* 53–60
Kühltürme, Einsatzkriterien *54:* 224–235
Kühltürme, Einfluß auf die atmosphärische Ausbreitung radioaktiver Abgase *54:* 825–827
Kühltürme – Windlast *54:* 396–398
KTA-Entwurf einer sicherheitstechnischen Regel *54:* 696–698

Kühlwasser, Korrosion an Kondensatoren und Kühlern *54:* 82–93
Kugelverfolgung mit Venturidüsen (Kugelhaufenreaktor) *54:* 372
Kupferwerkstoffe, Verhalten bei neutraler Fahrweise *54:* 324–332
Kupferwerkstoffe, Kühlwasserseitige Korrosion *54:* 82–93

Lärmbekämpfungsprobleme *54:* 43–46
Lärmschutz *54:* 149–160
Lagerbeständigkeit von Ionenaustauschern *54:* 408–410
Lasten – Kesselgerüst *54:* 105–113
Lebensdauer von Kesselrohren *54:* 612
Leckratendruckprobe, Durchführung *54:* 815/816
Leckratenprüfung, Schutz der Betriebsmeßgeräte *54:* 814/815
Leichtwasserreaktor – Betriebserfahrungen mit Wärmeaustauschern *54:* 709–807
Leittechnik, bei kombinierten Gas-Dampfturbinenblöcken *54:* 619–630
Lochrandspannungen, dynamische, und zulässige Temperaturdifferenzen in rotationssymmetrisch belasteten zylindrischen Bauteilen größerer Dampferzeuger *54:* 186–194
Luftreinhaltung bei Steinkohlenverwendung *54:* 69–75
LR (Lurgi-Ruhrgas)-Vorentgasungsverfahren *54:* 306–310

Magnetband-Information, Anwendung *54:* 143
Magnetband-Information, Vor- und Nachteile *54:* 139
Magnetband, Information im Kraftwerk mit *54:* 137–146
Magnetit, Ablagerungen in Zwangdurchlaufkesseln *54:* 406–408
Magnetitlöslichkeit in Abhängigkeit von Temperatur und Ammoniakkonzentration *54:* 406–408
Mehrgrößen-Regelsystem „Naturumlauf-Dampferzeuger", Optimierung *54:* 493–498
Mehrgrößenregelsystem, Modellbildung *54:* 495
Mehrstufenverfahren zur thermischen Wasserzersetzung *54:* 582–585
Meßverfahren, Stickoxide in Feuerungen *54:* 60–66
Montageablauf eines Kesselgerüstes *54:* 105–113

Neutrale Fahrweise, Einfluß des Sauerstoffs *54:* 324–332
ND-Umleitstation, Vereinfachte Steuerung *54:* 655/656
Neutronenabsorptiometrie, die Borbestimmung durch *54:* 822/823
Neutronenflußdetektoren, Entwicklung und Anwendung *54:* 816–821
Nichtverfügbarkeit, Entwicklung und technisch-betriebswirtschaftliche Analyse der RWE-Kraftwerke *54:* 760–769
Niveaugeber, neuartige für Entwässerung *54:* 452–456
Nukleare Kohlenvergasung *54:* 585–587
Nukleares Heizkraftwerk *54:* 775–782

Offshore power systems *54:* 771–775
Oktavspektren der Geräuschpegel in Kraftwerksbereichen *54:* 43–46
Optimale Reglerparameter – Übertragung auf die Anlage *54:* 498
Optimaler Ersatzzeitpunkt für alte Kraftwerksanlagen *54:* 146–149
Optimierung von Struktur und Parametern eines Mehrgroßen-Regelsystems „Naturumlauf-DE" *54:* 493–498
Organische Substanzen als Ursache für Korrosionen im Kessel *54:* 160–174

Planung größter Kraftwerksblöcke *54:* 587–595
Platzbedarf größter Kraftwerksblöcke *54:* 587–595
Primärenergiebasis der thermischen Kraftwerke in der BRD *54:* 194–202
Primärkühlmittel, In-Line-Überwachung *54:* 821–825
Probenahme und Probevorbereitung von Kraftwerkskohle *54:* 663–667
Produktionsablauf *54:* 113–123
Prüfaufwand bei Wiederholungsprüfungen *54:* 807–810
Pultgestaltung, Warte *54:* 660/661
PWR-Present and Future *54:* 15–25

Qualitätskontrolle – Kesselgerüst *54:* 105–113

Regelventile, Strömungsvorgänge und Geräusche mit Modellversuchen *54:* 374–384
Regelungslehre, Forschungsthemen auf dem Gebiet der *54:* 569/570
Reparaturpersonal, Ausbildung bei der HEW für künftige Aufgaben *54:* 289–292
Reparaturplanung, Umfang und Methoden für die in Bau befindlichen Kraftwerke der HEW *54:* 289–292
Restlebensdauer und Werkstoffeigenschaften von langzeitig bei hohen Temperaturen betriebsbeanspruchten Bauteile aus warmfesten ferritischen Stählen *54:* 205–262
Risikobetrachtung bei Leistungssteigerung konventioneller Blockeinheiten *54:* 587–595
Risse im Schweißnahtbereich von Formstücken aus Heißdampfleitungen – Werkstoffuntersuchungen *54:* 344–357
Rohrleitungen, Formstücke in, Betriebsverhalten *54:* 678–690
Rohrleitungsberechnungen, Spannungsanalysen *54:* 787–790
Rohrleitungen – Die Strömung ausdampfender Flüssigkeiten in *54:* 53–60
Rohrleitungssysteme, beliebig komplexe räumliche, dynamische Berechnung auf Erdbebenbeanspruchung nach dem Response-Spektrum-Verfahren *54:* 262–268
Rohrleistungssysteme, besondere Anforderungen bei Kernkraftwerken *54:* 787–790
Rohrschenkelgruppen zwischen Sammlern und Flossenrohrwänden, elastisches Verhalten *54:* 747–756
Rohrwandtemperatur als Kriterium für eine notwendige chemische Reinigung *54:* 2
Rotationssymmetrisch belastete zylindrische Bauteile, dynamische Lochrandspannungen und zulässige Temperaturdifferenzen *54:* 186–194

Sattdampfturbosätze, 1500tourige, große Guß- und Schmiedestücke für *54:* 456–471
Sauerstoff, Einfluß im Wasser-Dampfkreislauf bei neutraler Fahrweise *54:* 324–332
Seismische Eingabedaten *54:* 696–698
Seismische Berechnung *54:* 696–698
„Self-Powered"-Detektoren, Aufbau und Wirkungsweise *54:* 816–821
Sicherheitsauflagen, nachträgliche, bei Kernkraftwerken *54:* 827–835

Sicherheit des Wasserstoffbereiches *54:* 574–577
Siedewasserreaktoren, Diskussionsbeitrag zu den VGB-Richtlinien für Leichtwasserreaktoren, 1. Ausgabe *54:* 319–324
Sonderlastfälle – Kernkraftwerke *54:* 827–835
Spannungsanalyse, Rohrleitungsberechnungen *54:* 787–790
Spannbetonbehälter, Instrumentierung *54:* 370/371
Speisepumpen, axiale und radiale Spiele, Rotorsteifheit *54:* 211–221
Speisepumpen, Kavitationsverhalten *54:* 211–221
Speisepumpen, Konzeption für optimale Verfügbarkeit *54:* 211–221
Speisewasser, korrosiver Einfluß nichtionogener Inhaltsstoffe *54:* 160–174
Spülen und Ausblasen eines Kessels vor der ersten Inbetriebnahme *54:* 174–185
Spurenelemente in Brennstoffen *54:* 270
Systeme, Forschungsthemen auf dem Gebiet der *54:* 571
Schadensanalyse im RWE-Kraftwerksbereich *54:* 760–769
Schadensfall an einem 800-m²-Gaskühler für 450 bar Betriebsdruck *54:* 123–134
Schadensfall, Gaskühler für 450 bar *54:* 123–134
Schäden an Speisepumpen *54:* 211–221
Schallpegel durch Außenanlagen *54:* 43–46
Schallschutzmaßnahmen *54:* 43–46
Schallspektrum *54:* 43–46
Schallemission, Berücksichtigung bei der Planung und beim Bau von Kraftwerken *54:* 43–46
Schallemissionen von Armaturen *54:* 374–384
Schaltungen von nuklearen Heizdampfturbinen *54:* 775–782
Schichtbettaustauscher, Erfahrungen bei Vollentsalzungsanlagen *54:* 235–242
Schichtbettfilter, Empfehlungen für die Betriebsweise *54:* 100/101
Schmiede- und Gußstücke, große, für 1500tourige Sattdampfturbosätze *54:* 456–471
Schornsteine – Braunkohlenkraftwerk *54:* 149–160
Schutzmaßnahmen – Kernkraftwerke *54:* 398–405
Schutzschichtbetrieb nach der Kesselbeizung *54:* 1–10
Schweißeignung, gute, Stand der Entwicklung bei Stählen für warmgehende Druckbehälter *54:* 418–430
Schweißnahtbereich, Risse Formstücke aus Heißdampfleitungen – Werkstoffuntersuchungen *54:* 344–357
Schwerpunkte in der Entwicklung thermischer Kraftwerke *54:* 194–202
Schwimmende Kernkraftwerke in den USA *54:* 771–775
Schwingungen, Speisepumpen *54:* 211–221
Stabstellungsmessung mit Reed-Kontakten *54:* 372
Stähle mit guter Schweißeignung, Stand der Entwicklung, für warmgehende Druckbehälter *54:* 418–430
Stahlgerüst für 600-MW-Kessel *54:* 105–113
Standardisierung KWK-Druckwasserreaktor *54:* 578–582
Standardisierung von Kernkraftwerken *54:* 578–582
Stand der Entwicklung bei Stählen mit guter Schweißeignung für warmgehende Druckbehälter *54:* 418–430
Standorte für Schwimmende Kernkraftwerke *54:* 771–775
STEAG-Kohle-Druckvergasungs-Verfahren *54:* 532–536
Steinkohle, Verwendung im Kraftwerk *54:* 69–75
Steinkohle, hydrierende Vergasung *54:* 438–446
Steinkohlen, Fluorgehalt *54:* 270–274
Steinkohlen, Mineralbestand *54:* 270/271
Stickoxide in Feuerungen *54:* 60–66
Strömungsvorgänge und Geräusche an Regelventilen *54:* 374–384
Strömung, die – ausdampfender Flüssigkeiten in Rohrleitungen *54:* 53–60
Strömungslehre, Forschungsthemen auf dem Gebiet der *54:* 569

Tätigkeitsbericht der VGB *54:* 359–368
Technische Ausführungsmöglichkeiten größter Kraftwerksblöcke *54:* 587–595
Temperatursprünge und Temperaturänderungsgeschwindigkeiten, zulässige, Vorschlag eines Einheitsverfahrens zur Berechnung *54:* 737–746
Temperaturänderungsgeschwindigkeiten und Temperatursprünge, zulässige, Vorschlag eines Einheitsverfahrens zur Berechnung *54:* 737–746
Temperaturdifferenzen, zulässige, und dynamische Lochrandspannungen in rotationssymmetrischen Bauteilen *54:* 186–194
Temperaturpläne für Gewässer zur Wahl der Wärmeabführung von Wärmekraftwerken *54:* 224–235
Thermische Erzeugung von Wasserstoff mit Hilfe von Hochtemperaturreaktoren *54:* 582–585
Thermischer Neutronenfluß, Messung des *54:* 372
Träger für Transport nuklearer Wärme *54:* 585–587
Topfpumpe, Kesselspeisung *54:* 211–221
Turbinenregelkreis, Auswirkung von Unempfindlichkeiten auf die Turbine *54:* 390–395
Turbinenölbrände, Vermeidung von . . . *54:* 721–724
Turbinen, Brandschutz des Ölsystems *54:* 715–724
Turbinen, Brandursachen *54:* 715–724
Turbinenanlagen, Brandschutz *54:* 715–724

Umleitbetrieb bei Blockkraftwerken, regeltechnische Gesichtspunkte *54:* 648–657
Umleiteinrichtungen, Schaltung und Betriebsweise *54:* 649
Umleitstationen, statische Druckcharakteristiken *54:* 649–651
Umleitbetrieb, Stabilitätsverhalten *54:* 651–654
Unempfindlichkeit im Turbinenregelkreis, Regelungstheoretische Überlegungen *54:* 391–393
Urananreicherung *54:* 633–639
Unternehmen, Anforderungen an die *54:* 510–516
Universitätsinstitute auf dem Gebiet der Kraftwerkstechnik *54:* 571–574

Vanadium-Korrosionen durch Ölaschebeläge *54:* 614–618
Ventilsitz und Körperformen an Regelventilen *54:* 374–384
Verbundbetrieb-, zukünftiger Elektrizität/Wasserstoff *54:* 574–577
Verfügbarkeit, Arbeits- von Blockanlagen 1973 *54:* 756–759
Verfügbarkeit, Entwicklung und technisch-betriebswirtschaftliche Analyse der Nichtverfügbarkeit der RWE-Kraftwerke *54:* 760–769
Vermeidung von Schwachstellen bei Wiederholungsprüfungen *54:* 807–810
VEW-Kohle-Umwandlungsverfahren *54:* 438–446
VGB-Richtlinien für das Wasser in Kernkraftwerken mit LWR-Diskussionsbeitrag *54:* 319–324
VGB, Kongreß „Kraftwerke 1974" *54:* 501–510
VGB, Tätigkeitsbericht *54:* 359–368
Verbrennung, Forschungsthemen auf dem Gebiet der *54:* 569
Verdampferrohr-Korrosionen *54:* 614

Vollentsalzung, Erfahrungen mit Schichtbettaustauschern *54:* 235–242
Vollentsalzung, Kombination mit der Kondensatreinigungsanlage *54:* 93–100
Voraussichtlicher Primärenergiebedarf der Kraftwirtschaft *54:* 194–202
Vorschlag eines Einheitsverfahrens zur Berechnung zulässiger Temperaturänderungsgeschwindigkeiten und Temperatursprünge *54:* 737–746

Wärmeaustauscher, Betriebserfahrungen in Kernkraftwerken *54:* 799–807
Wärmelehre, Forschungsthemen auf dem Gebiet der *54:* 569
Wärmenetz-Kraftmaschinenkopplung *54:* 708–714
Warmfeste ferritische Stähle, Restlebensdauer und Werkstoffeigenschaften von langzeitig bei hohen Temperaturen betriebsbeanspruchten Bauteilen *54:* 250–262
Warte, Architektonische Lösungen *54:* 730
Warte, Gerätetechnische Lösungen *54:* 729/730
Wartenkonzept, Aufgabenstellung *54:* 727–729
Wartengestaltung, zukünftige *54:* 726–731
Wartenbeleuchtung *54:* 661
Wartengestaltung *54:* 657–662
Wasser, Diskussionsbeitrag zu den VGB-Richtlinien für das – in Leichtwasserreaktoren *54:* 319–324
Wasseraufbereitung, Erfahrungen mit Schichtbettaustauschern in Vollentsalzungsanlagen *54:* 235–242
Wasseraufbereitung, Vor- und Nachteile des Einsatzes von Schichtbettfiltern *54:* 100/101
Wasseraufbereitung, Kombination von Zusatzwasser- und Kondensataufbereitung *54:* 93–100
Wasserchemie bei Druckwasserreaktoren mit BBR-Dampferzeugersystem *54:* 691–696
Wasser-Dampfkreislauf, Abhängigkeit zwischen Eisen- und Ammoniakgehalt in Zwangdurchlaufkesseln *54:* 406–408
Wasser-Dampfkreislauf, Einfluß des Sauerstoffs bei der neutralen Fahrweise *54:* 324–332
Wasserrußbläser, Versuchsergebnisse und Betriebserfahrungen *54:* 699–707
Wasserrußbläser, Einsatz bei verschweißten Rohrwänden *54:* 699–707
Wasserrußbläser, Rohr-Schäden (Rißbildungen) infolge Thermoschock *54:* 699–707
Wasserstoffprobleme *54:* 574–577
Wasserstofftechnologie, möglicher Einfluß auf die zukünftige Energieversorgung *54:* 574–577
Werkstoffeigenschaften, und Restlebensdauer, von langzeitig bei hohen Temperaturen betriebsbeanspruchten Bauteilen aus warmfesten ferritischen Stählen *54:* 250–262
Werkstoffe, Forschungen auf dem Gebiet der *54:* 567/568
Wiederaufbereitung bestrahlter Brennelemente *54:* 633–639
Wiederholungsprüfungen in Kernkraftwerken *54:* 807–810
Wiederholungsdruckprobe am Containment *54:* 810–816
Windlast, Kühltürme *54:* 396–398
Wirbelbett-Druckvergaser für Braun- oder Steinkohle *54:* 438–446
Wirtschaftlichkeit der Wasserstofftechnologie *54:* 574–577

Zwangdurchlaufkessel, Magnetitablagerungen *54:* 406–408
— Berechnung des Anfahrverhaltens auf dem Digitalrechner *54:* 547–555
Zwangdurchlaufkessel, Berechnung des Anfahrverhaltens als Optimierungsmittel *54:* 547–555
— Rechenprogramm für den Anfahrvorgang *54:* 547–555
— Rechenbeispiele für Berechnung des Anfahrverhaltens *54:* 547–555
— Eingabedaten für Anfahr-Berechnungsprogramm *54:* 547–555

PERSÖNLICHES

Bammert, Karl, 65 Jahre *54:* 66
Benke, Robert, 65 Jahre *54:* 66
Bohnsack, Gerhard, 50 Jahre *54:* 135
Burchard, Hans-Joachim, Hauptgeschäftsführer des MWV und der AEV *54:* 843
Christen, Alfred, 60 Jahre *54:* 208
Clausmeyer, Horst, Honorarprofessor *54:* 498
Dewall von, Hans-Werner, gestorben *54:* 286
Dietmann, Dr., Wissenschaftlicher Rat und Professor *54:* 286
Dümmler, Friedrich, 25 Jahre beim RWTÜV Essen *54:* 67
Gieselmann, Wilhelm, Technischer Geschäftsführer *54:* 135
Greiner, G., 60 Jahre *54:* 208
Gutperle, G., 65 Jahre *54:* 208
Haager, Karlheinz, 65 Jahre *54:* 208
Hegenberg, Willi, Ordentliches Vorstandsmitglied *54:* 67
Henke, Ernst, gestorben *54:* 208
Heyne, Hans, gestorben *54:* 66
Hiller, Heinz, Hauptgeschäftsführer der Lurgi Ges. *54:* 843
Hochmüller, Kurt, 50 Jahre *54:* 431
Jenne, Reinhard, Leiter des Referates Elektrizitätswirtschaft *54:* 135
Kirsch, Helmut, Vorsitzender der Deutschen Mineralogischen Gesellschaft *54:* 769
Klapdohr, Karl, gestorben *54:* 769
Knizia, Klaus, Vorstandsvorsitzer bei VEW *54:* 843
Köhle, Herbert, 65 Jahre *54:* 66
Krägeloh, Dr., Wissenschaftlicher Rat und Professor *54:* 286
Kramer, Otto, gestorben *54:* 843
Kretzer, Richard, 50 Jahre *54:* 66
Kußmaul, Dr., Wissenschaftlicher Rat und Professor *54:* 286
Kutsch, Karl, 65 Jahre *54:* 843
Lehmann, Friedrich Wilhelm, Bundesverdienstkreuz erster Klasse *54:* 135
Liesen, Klaus, Stellvertretender Vorsitzender des Vorstandes der Ruhrgas-AG. *54:* 67
Mandel, Heinrich, Ehrendoktorwürde *54:* 67
Mandel, Heinrich, Präsident des Deutschen Nationalen Komitees der Weltenergie-Konferenz (DNK) *54:* 357
Marnet, Chrysanth, Stellvertretender Beiratsvorsitzender *54:* 843
Maul, R., Bundesverdienstkreuz erster Klasse *54:* 67
Meister, Rudolf, 60 Jahre *54:* 769
Meysenburg, Helmut, im Ruhestand *54:* 498
Miller von, Rudolf, 75 Jahre *54:* 769
Mössner, Otto, 65 Jahre *54:* 66
Paul, Herbert, 70 Jahre *54:* 208
Reuther, Hans J., Vizepräsident des DIHT *54:* 135
Riedel, Hans Joachim, Vorstandsmitglied der VEBA AG *54:* 631
Späth, Friedrich, im Vorstand der Ruhrgas AG *54:* 498

Schelberger, Herbert, Bayrische Verdienstorden *54:* 431
Schelberger, Herbert, Ehrensenator der Universität Stuttgart *54:* 843
Scheubel, Franz Nikolaus, 75 Jahre *54:* 135
Schlachter, Hans, 50 Jahre *54:* 286
Schlachter, Hans, 50 Jahre *54:* 357
Schoch, Wilhelm, Neuer Vorsitzender der VdTÜV *54:* 208
Schoch, Wilhelm, 25 Jahre bei GKM *54:* 843
Schüler, Udo, zum Professor ernannt *54:* 631
Schulte, Heinz, Vorstandsvorsitzender der STEAG AG *54:* 135
Starck, Dietrich, 65 Jahre *54:* 843
Theile, Franz, im Ruhestand *54:* 431
Uetz, Dr., Wissenschaftlicher Rat und Professor *54:* 286
Vetter, Heinz, 50 Jahre *54:* 431
Vetter, Oskar, im Ruhestand *54:* 631
Völcker, Helmut, im STEAG-Vorstand *54:* 631
Vogt, Friedrich, 65 Jahre *54:* 769
Wagner, Helmut, 65 Jahre *54:* 357
Weckesser, August, Otto-Hahn-Preis 1974 *54:* 208
Weckesser, August, 65 Jahre *54:* 431
Wellinger, Karl, 70 Jahre *54:* 769
Werner, Ernst, im Ruhestand *54:* 66
Werner, Erich, 70 Jahre *54:* 431
Wiesenack, Günter, gestorben *54:* 769
Zaoralek, Johannes, im Ruhestand *54:* 631

BUCHBESPRECHUNGEN

Werkstoffe, Aufbau und Eigenschaften *54:* 68
VGB-Taschenbuch 1 „Rationalisierung der Gußputzerei" *54:* 68
Erdgas-Übernahme- und Reduzierstationen für Kraftwerke und Großabnehmer *54:* 68
Gas-Verbrennung – Wärme II *54:* 136
Anstrichsysteme dichtschichtig, (Beschichtungen) im Korrosionsschutz von Stahl, Feuerverzinktem Stahl und Beton *54:* 136
DIN-Taschenbuch 8: Schweißtechnische Normen *54:* 136
Umweltgestaltung, Beiträge *54:* 136
Kraftwerk und Umwelt 1973 *54:* 209
Fachbuchreihe Schweißtechnik *54:* 209
Schweißtechnik, Fachbuchreihe Verfahren der Autogentechnik *54:* 209
Schweißtechnik, Fachbuchreihe, Das Verhalten der Stähle beim Schweißen, Teil I: Grundlagen *54:* 209
Unfallsicherheit elektrischer Anlagen in Industriebetrieben *54:* 209
Transformatoren-Stationen bis 20 kV für EVU- und Industrienetze mit hoher Belastungsdichte *54:* 209
Atom, das lustige *54:* 209
Modellversuche für große Braunkohle-Dampferzeuger *54:* 209
Spitzenstrom – Notstrom *54:* 286
Studienblätter für Technik und Naturwissenschaften *54:* 286
Dokumentation und Information *54:* 286
Email – immer aktuell *54:* 286
Jahrbuch für Bergbau, Energie, Mineralöl und Chemie 1973 *54:* 287
Studienblätter für Technik und Naturwissenschaften *54:* 287
DIN-Taschenbuch 44 *54:* 287
Sicherheitstechnik *54:* 287
Korrosionsprobleme in heiztechnischen Anlagen *54:* 287
Unfallverhütung, moderne *54:* 287
Optimale Betriebsgröße von Heizkraftwerken *54:* 287
Technische Thermodynamik – Teil 1 – *54:* 287
Wärme- und Stoffübertragung bei der Verdunstungskühlung im Gegen- und Kreuzstrom *54:* 287
Rohrleitungstechnik in Wärmekraftwerken *54:* 357
Kraftwerksbau als interdisziplinäre Aufgabe *54:* 357
Mathematik für Naturwissenschaftler und Ingenieure *54:* 357
Prüfung und Untersuchung der Korrosionsbeständigkeit von Stählen *54:* 432
Handbuch der Fernwärmepraxis *54:* 432
DIN-Taschenbuch 4: Stahl und Eisen – Gütenormen *54:* 432
VII. Schweißtechnisches Hochschulkolloquium *54:* 432
Abfallwirtschaft in Nordrhein-Westfalen 1973 *54:* 432
DIN-Taschenbuch 28: Stahl und Eisen – Maßnormen *54:* 500
Immissionsschutzgesetz – Bundes *54:* 500
DIN-Taschenbuch 46: Normen für die Stanztechnik *54:* 500
VDI-Wärmeatlas, Berechnungsblätter für den Wärmeübergang *54:* 500
Fachwörter der Kraftwerkstechnik *54:* 500
Handbuch der industriellen Meßtechnik *54:* 500
Stahlrohr, Das *54:* 563
Heizungsanlagen *54:* 563
Strahlung und Strahlungsmeßtechnik in Kernkraftwerken *54:* 563
Europäische Gemeinschaft und die Ölkrise, Die *54:* 563
Dampfkesselbestimmungen *54:* 563
Messen, Steuern, Regeln mit Prozeßrechnern *54:* 563
Berechnungsgrundlagen für Bauten *54:* 631
Kontrahierungszwang bei der Industriestromeinspeisung, Zum *54:* 631
Caliqua-Handbuch der Heißwassertechnik *54:* 631
Unfallverhütung, Moderne *54:* 631
Meßtechnik und Regelungstechnik und Automatik 1973 *54:* 770
Verbrennungen und Feuerungen *54:* 770
Konstruktiver Ingenieurbau *54:* 770
Korrosion und Korrosionsschutz *54:* 770
Ölbuch *54:* 770
Handbuch der Schweißtechnik, Werkstoffe – Verfahren – Fertigung *54:* 770
Brennstoffe und Dampf in Deiner Hand *54:* 770
Jahrbuch für Bergbau, Energie, Mineralöl und Chemie 1974 *54:* 843
Lärmminderung in Planung und Konstruktion – Aufgaben des Ingenieurs *54:* 844
Bundes-Immissionsschutzgesetz *54:* 844
Werkstoffprüfung, Zerstörungsfreie *54:* 844
Korrosion des Eisens und ihre Verhütung, Die *54:* 844
Praxis der Versorgung mit Fernwärme *54:* 844

VGB KRAFTWERKSTECHNIK

MITTEILUNGEN DER VGB TECHNISCHE VEREINIGUNG DER GROSSKRAFTWERKSBETREIBER

55. JAHRGANG (1975) • HEFTE 1—12

INTERNATIONALE FACHZEITSCHRIFT FÜR TECHNIK IN WÄRMEKRAFTWERKEN

HERAUSGEBER

VGB TECHNISCHE VEREINIGUNG DER GROSSKRAFTWERKSBETREIBER E. V.

Vorsitzender: Professor Dr.-Ing. K. Knizia, Dortmund;
Geschäftsführer: Direktor Dr.-Ing. O. Schwarz, Essen.

SCHRIFTLEITUNG

Abteilungsdirektor Ing. (grad.) H. Kaes, Essen;
Oberingenieur Dipl.-Ing. A. Kantner, Essen;
Abteilungsdirektor Professor Dr. rer. nat. H. Kirsch, Essen;
Oberingenieur Dr. rer. nat. H. Kittel, Essen;
Oberingenieur Dipl.-Ing. K. Plate, Essen.

HAUPTSCHRIFTLEITUNG UND GESTALTUNG

Oberingenieur Ing. (grad.) H. Bleßmann, Essen.

ANSCHRIFT

VGB TECHNISCHE VEREINIGUNG DER GROSSKRAFTWERKSBETREIBER E. V.

43 Essen, Klinkestraße 27/31
Postfach 1791, Fernruf 1981, Fernschreiber 0857507 vgb d.
Für den sachlichen Inhalt der Beiträge ist der jeweilige Autor verantwortlich.
Briefe und Manuskripte nur an die Schriftleitung,
nicht an einzelne Sachbearbeiter.
Für unverlangte Einsendungen übernehmen wir keine Haftung.

WISSENSCHAFTLICHER REDAKTIONSBEIRAT

Professor Dr.-Ing. F. Brandt, Darmstadt;
Professor Dr. techn. D. Johnson, Trondheim;
Professor Dr. techn. M. Ledinegg, Wien;
Professor Ir. J. J. C. van Lier, Delft;
Professor Dr. techn. O. I. Martynova, Moskau;
Professor Dr.-Ing. P. Profos, Zürich;
Professor Dr.-Ing. R. Quack, Stuttgart;
Professor Dr. phil. H. Rögener, Hannover;
Professor Dr. rer. nat. R. Schulten, Aachen;
Professor Dipl.-Ing. I. D. Stancescu, Bukarest;
Professor Dr.-Ing. habil. Dr. techn. E.h. Dr.-Ing. E.h. K. Wellinger, Stuttgart.

TECHNISCHER REDAKTIONSBEIRAT

Oberingenieur H. Berggren, Malmö;
Direktor Professor Dr.-Ing. H. Brüderlin, Stuttgart;
Direktor Dr. K. Hansen, Kopenhagen;
Direktor Dr.-Ing. G. Noetzlin, Marl;
Direktor Dr.-Ing. H. Novak, Nürnberg;
Direktor F. Scheurer, Paris;
Direktor Dr.-Ing. E.h. Dipl.-Ing. W. Schoch, Mannheim;
Oberingenieur Ir. G. J. Schoppert, Nijmegen.

Inhaltsverzeichnis 1975

DIE FOTOS DER VERFASSER FINDEN SIE AUF DEN SEITEN II BIS XII



K. Wellinger, Nürnberg



K. Wörrlein, Darmstadt



J. Wohler, Uentrop



H. Zaunschirm, Graz/Österreich



D.-J. Zelgert, Marl



P. Zenker, Oberhausen



A. Ziegler, Bonn



K. Zinke, Dortmund

IN DEN ZWÖLF HEFTEN DES JAHRGANGES 55 SIND ENTHALTEN:

Heft.	1	2	3	4	5	6
Seiten.	1—72	73—148	149—212	213—276	277—342	343—418

Heft.	7	8	9	10	11	12
Seiten.	419—486	487—554	555—622	623—696	697—772	773—836

Verfasserverzeichnis 1975

Ahrnbom, L., Kristalline Ablagerungen auf dampferzeugenden Oberflächen 55:239—249

Ammer, H., Kontinuierliche Erfassung wichtiger Kationen und Anionen im Spurenbereich 55:109—119

Anneveld, B.t.w.H., Simulation der Dynamik eines Zwischenüberhitzers 55:54—61

Balke, S., Gesellschaftspolitische Bedeutung des Bauingenieurwesens für die Zukunft 55:614—620

Banga, R., Gefügeänderungen in warmfesten Feinkornbaustählen unter Einfluß von Temperaturbeanspruchung 55:538—546

Bartholomé, G., und Vasoukis, G., Sicherheitstechnische Beurteilung fehlerbehafteter Schweißnähte von Reaktorkomponenten 55:691—696

Bauer, P., siehe Beck, J.

Baumann, K., Korrosionen und Korrosionsschutz auf der Rauchgasseite von Dampferzeugern 55:174—180

Beck, J., Bauer, P., und Hofmann, W., Kreislauf- und Abgabeaktivitäten in kerntechnischen Anlagen 55:229—234

Beetz, E., und Grünewald, R., Vollentsalzungsanlage durch Umbau auf Schichtbettfiltertechnik 55:167—170

Bohnstedt, J., siehe Geis, H.

Borsetzky, K.-D., Das Kernkraftwerk Kalkar — Ein Prototyp 55:815—824

Brandel, A., siehe Helion, R.

Brandes, H., und Martin, H., Spannungen in Membranwänden 55:12—20

Braß, W., Leckinghaus, H.-J., und Resch, G., NO_X-Bestimmung, Probleme und Erfahrungen 55:170—174

Braun, B., Temperatur- und Leistungsverhalten von Zwangdurchlaufdampferzeugern 55:4—12

Braun, F., siehe Hennig, Th.

Brosche, D., Thermo- und fluiddynamische Belastungen von Volldrucksicherheitsbehältern bei Kühlmittelverlustunfällen 55:739—745

Buchwald, K., Aus der Kraftwerkspraxis 55:473

Buchwald, K., und Merz, K., Grenzleistung von Dampfturbogruppen 55:720—724

Burgmann, F., und Lange, H., Flockungshilfsmittel bei der Kiesfiltration von Oberflächenwässern 55:669—672

Bursik, A., Kann die umgekehrte Osmose zu einem Bestandteil der Zusatzwasseraufbereitung werden? 55:748—752

Cerwenka, E., siehe Kammholz, H.

Christmann, G., Naß-/Trockenkühlturm 55:218—225

Cleve, U., und Manhart, H., Hochdruck-Speisewasservorwärmer für Kraftwerke mit spaltfrei eingeschweißten Rohren 55:66—71

Cramer, H., Ausgewählte Betriebserfahrungen aus dem Kernkraftwerk Stade 55:773—777

Daberkow, H., Vermessungstechnische Arbeiten beim Bau von großen Naturzugkühlern aus Stahlbeton 55:466—468

Delatronchette, C., siehe Helion, R.

Deniau, R., Le Point actuel des Travaux de Recherche et de Développement dans le Domaine des Centrales Thermiques 55:794—798

Dibelius, G., siehe Ederhof, A.

Doležal, R., Kammer, G.v.d., und Königsdorf, E., Simulation des Anfahrens eines Dampferzeugers mit einem universalen, für große Zustandsübergänge geeigneten Modell 55:506—513

Domeisen, H., siehe Profos, P.

Durcak, H., und Schroeder, H.J., Kondensataufbereitung im Kernkraftwerk RWE-Bayernwerk Gundremmingen 55:453—455

Dynko, G., Erosionsversuche an Kesselrohren 55:689—691

Dziembowski von, H., Hennecke, H., und Thelen, F., Steinkohlenfeuerung für das Kraftwerk Wilhelmshaven 55:343—354

Ederhof, A., und Dibelius, G., Streulichtsonde zur Bestimmung von Tropfengröße und Feuchte in Zweiphasenströmungen 55:61—66

Edler, A., siehe Gilli, P.V.

Eichhorn, F., siehe Theis, K.

Eitz, A.W., Planung, Errichtung und Inbetriebnahme des 1200-MW-Kernkraftwerkes Biblis 55:646—654

Erker, A., siehe Wellinger, K.

Erythropel, H., Ascheverwertung 55:297—302

Ewald, J., Schäden an Stumpf-Schweißnähten von HD-Formstücken aus Werkstoff 14 MoV 63 55:603—608

Förster, E., und Kehl, P., Entwicklungstendenzen des Energieverbrauchs in der eisenschaffenden Industrie unter Berücksichtigung der Direktreduktion 55:697—703

Forck, B., siehe Mandel, H.

Freier, R.K., siehe Torborg, H.-H.

Fritzsche, P., Naß-/Trockenkühltürme, Betriebserfahrungen 55:225—229

Frühauf, H.-J., siehe Meerwald, K.

Frühauf, H.-J., und Thomas, H.-J., Versuche mit schwer entflammbarem Fluid im Schmier- und Hydrauliksystem einer Dampfturbine 55:724—728

Fürmaier, B., und Knorr, W., Neuordnung der Abfallbeseitigung und Methode der Abfallverbrennung 55:682—685

Fuchs, W.E., Feuerfeste Baustoffe im Dampferzeuger 55:302—308

Gaffal, K., und Klein, J., Konstruktion von Hauptkühlmittelpumpen 55:213—217

Garcia, F.E., Verwendung eines organischen Additivs zur Verhütung von Ablagerungen und Korrosionen 55:120—124

Gauthier, J.C., und Pillard, J.C., Versuchsergebnisse eines Brenners mit hohem Wirkungsgrad für ein Kraftwerk mit 700 MW 55:447—452
Gebauhr, W., Maßnahmen beim Anfahren von Kernkraftwerken mit Druckwasserreaktoren 55:48—54
Geis, H., und Bohnstedt, J., Schwingungen von Dampfturbinenwellen 55:73—81
Geis, H., Zeitstandrisse an Rohrleitungen als Folge einer thermischen Überbeanspruchung während des Anfahrvorganges 55:753—758
Gilli, P.V., Edler, A., Halozan, H., und Schaup, P., Probleme des Wärmeüberganges, Druckverlustes und der Strömungsstabilität in thermisch hochbeanspruchten Dampferzeugerrohren 55:589—600
Glattfelder, A.H., Entwurfskonzept für Weitbereichsregelungen 55:428—431
Grämer, G., siehe Gebauhr, W.
Gramatke, J., und Reichert, G., Steinkohlenfeuerungen im Kraftwerk Scholven — Erfahrungen 55:277—286
Griepentrog, H., und Frommann, F., Gasturbinen im geschlossenen Prozeß, Entwicklung, Bau und Anwendung 55:261—271
Grünwald, R., siehe Beetz, E.

Habetler, G., siehe Zaunschirm, H.
Halozan, H., siehe Gilli, P.V.
Haneke, R., Temperaturverlauf im Querschnitt geschweißter Rohrwände bei überwiegend konvektivem Wärmeübergang auf der Rauchgasseite 55:758—764
Haubold, W., Stade, K.Ch., und Stamm, H.H., Chemie in natriumgekühlten Kernkraftwerken — Erfahrungen in der KNK 55:94—104
Helion, R., Verringerung von Rauchgasemissionen durch Verbrennung von Heizöl-Wasseremulsionen 55:88—93
Hennecke, H., siehe Dziembowski von, H.
Hennig, Th., Ermittlung kühlwasserseitiger Undichtheit mit Frigen 55:261/262
Hennig, Th., und Braun, F., Vergleichsmessungen an Dampfturbinen 55:308—314
Henning, H., Kühltürme niedriger Bauhöhe für große Kraftwerksleistungen 55:530—538
Herbsleb, G., Interkristalline Spannungsrißkorrosion sensibilisierter Chrom-Nickel-Stähle in siedenden Wässern 55:608—613
Herms, R., Korrosionsschutz und Beschichtung im Kraftwerk 55:469—473
Höhmann, P., siehe Ortner, G.
Hofmann, W., siehe Beck, J.
Hofstötter, P., siehe Mai, E.
Hohn, A., Lebensdauer von Dampfturbinenbauteilen 55:519—529
Howes, E.A., The Organisation of Research for Thermal Power Plants in the Central Generating Board 55:791—793
Huijbregts, W.M.M., Jelgersma, J.H.N., und Snel, A., Wärmetransport, Ablagerungen und Kondensatorleckagen auf die Korrosion in Dampferzeugern 55:26—39

Jahn, E., Herstellung von Rohrbögen auf der Induktivbiegemaschine 55:387—399
Jelgersma, J.H.N., siehe Huijbregts, W.M.M.
Jeschor, H., Dacheindeckung von Kraftwerksgebäuden 55:198—200

Kammer, G.v.d., siehe Doležal, R.
Kammholz, H., und Cerwenka, E., Verminderung der Schadgasemissionen von Müllverbrennungsanlagen durch Trockenwäsche 55:234—239
Kassebohm, B., siehe Marnet, Chr.
Kaucher, W., Bälge, Kompensatoren und Kompensation 55:133—138
Kautz, K., Kirsch, H., und Singh Dev, R., Chemismus und Morphologie von Kraftwerksstäuben 55:180—187
Kautz, K., Kirsch, H., und Laufhütte, W., Spurenelementgehalte in Steinkohlen und den daraus entstehenden Reingasstäuben 55:672—676
Kehl, P., siehe Förster, E.
Keller, H., Mengenregelung mit Dralleinströmung als Alternative zur herkömmlichen Düsengruppenregelung für Dampfturbinen großer Leistung 55:419—427
Kerkhoff, H., siehe Uebing, D.
Kienböck, M., und Kirn, K.-W., Zentrifugalabscheider mit Agglomerator für Kernkraftwerke 55:487—497
Kirn, K.-W., siehe Kienböck, M.
Kirsch, H., siehe Kautz, K.
Klein, J., siehe Gaffal, K.
Kliemann, S., Stand und Entwicklungsmöglichkeiten im Kühlturm unter den Gesichtspunkten der verschiedenen Umwelteinflüsse 55:375—381
Knorr, W., siehe Fürmaier, B.
Königsdorf, E., siehe Doležal, R.
Kolonits, F., Kompressible Strömung von überhitztem Wasserdampf in Rohrleitungen 55:686—688
Krätzig, W.B., Natriumzugkühltürme aus Stahlbeton 55:191—200
Kremer, S., Berechnung von Eigenfrequenzen ebener und räumlicher Balkenstrukturen 55:734—739

Lange, G., siehe Mandel, H.
Lange, H., siehe Burgmann, F.
Laufhütte, W., siehe Kautz, K.
Leckinghaus, H.-J., siehe Braß, W.
Ledinegg, M., und Wiesenberger, J., Strömung in beheizten Rohrregistern 55:581—589
Lescrauwaet, Y., Axialgebläse mit verstellbaren Rotorschaufeln 55:156—166
Lüneborg, H., Entscheidungshilfen für Kessel- und Maschinenhausumschließungen 55:250—254

Mai, E., und Hofstötter, P., Speisewasserbehälter mit aufgesetzten Entgasern — Beanspruchungsverhältnisse 55:321—330
Mandel, H., Schwarz, O., Forck, B., und Lange, G., Systemanalyse Entschwefelungsverfahren 55:355—359
Manhart, H., siehe Cleve, U.
Marnet, Ch., und Kassebohm, B., Bau- und Betriebserfahrungen mit der leichten und schweren Gasturbine 55:782—787
Martin, H., siehe Brandes, H.
Martin, P., und Mathey, M., Zuverlässigkeitsbetrachtungen beim Turbinenschutz 55:574—580 (I. Teil) 55:655—660 (II. Teil)

Martinola, F., und Siegers, G., Adsorptionsverhalten makroporöser Ionenaustauscher 55:40—47
Mathey, M., siehe Martin, P.
Mauer, W., und Straßer, P., Speisewasserdruckbehälter — Schäden und Reparaturmaßnahmen 55:330—335
Mayer, K.H., siehe Wellinger, K.
Meerwald, K., und Frühauf, H., Sicherheitsbehälter für das Kernkraftwerk Gundremmingen II 55:200—204
Meister, R., Kernenergie heute und morgen 55:640—646
Merz, K., siehe Buchwald, K.
Moldenhauer, W., Betriebserfahrungen mit stationären Gasturbinen in Schwerbauweise unter Berücksichtigung verschiedener Brennstoffarten 55:787—791

Nitsch, D., und Schmitz, H., Arbeitsverfügbarkeit von Blockanlagen 1974 55:830—834

Ortner, G., Höhmann, P., und Schiffers, A., Kühlturmzusatzwasseraufbereitung und Abwasserbehandlung im RWE-Gaskraftwerk Huckingen 55:21—25
Olijve, J.G., siehe Gebauhr, W.

Parry, D.J., Tasker, P.W., und Tyldesley, J.D., Dinatriumhydrogenphosphat im Durchlaufdampferzeuger eines englischen Kernkraftwerks 55:105—109
Peter, U., Bestimmen von Spaltweiten und Wellenschwingungen im Inneren thermischer Turbomaschinen 55:660—669
Peters, A., Chemische Verhalten von Schaugläsern aus insb. Borosilicatglas 55:128—132
Piening, W., Physikalische Vorgänge beim Entspannen von Gas und Dampf 55:372—375
Pillard, J.C., siehe Gauthier, J.C.
Popp, M., siehe Schmidt -Küster, W.-J.
Profos, P., und Domeisen, H., Wärmeleitfehler bei Temperaturmessungen an Rohrleitungen 55:432—435

Reichert, G., siehe Gramatke, J.
Reidick, H., Planungskonzepte für Kohlenfeuerungen 55:435—446
Resch, G., siehe Braß, W.
Resch, G., und Zinke, K., Der Einfluß der Hydrazinkonzentration auf die Sauerstoffkorrosion 55:824—827
Riedlinger, R.A., Schallminderungsmaßnahmen am Arbeitsplatz im Kraftwerk 55:676—681
Rieß, R., siehe Gebauhr, W.
Roth, B.F., Wiederaufarbeitung von LWR-Brennelementen 55:704—708

Seefeldt, K.-F., und Waldmann, H., Grenzleitungsprobleme bei fossil gefeuerten Großdampferzeugern 55:498—506 (I. Teil) 55:567—574 (II. Teil)
Siegers, G., siehe Martinola, F.
Singh Dev, siehe Kautz, K.
Snel, A., siehe Huijbregts, W.M.M.
Späth, W., Zum Langzeitverhalten nahtloser Rohre 55:828/829
Spalthoff, F.J., 600-MW-Kraftwerksblöcke der RWE A.G. 55:708—715
Sundermann, P., siehe Helion, R.

Schäfer, R., siehe Wellinger, K.
Schaup, P., siehe Gilli, P.V.
Schiffers, A., siehe Ortner, G.
Schliesing, H., Korrosionsschutz und Beschichtung im Kraftwerk 55:318—320
Schlizio, H., Abwässer aus Flußsäurebeizungen — Behandlung und schadlose Beseitigung 55:335—339
Schmidt - Küster, W.-J., Popp, M., und Ziegler, A., Neue Technologien zur Sicherung der Energieversorgung 55:807—810
Schmitz, H., siehe Nitsch, D.
Schnellenbach, G., Sicherheitsbehälter aus Stahlbeton und Spannbeton für Kernkraftwerke 55:81—88
Schöllnberger, H., Umbau von Schwerölzusatzbrennern auf kombinierte Gas-Ölbrenner 55:188—191
Schöneberger, W., Beeinflussung des Kavitationsbeginns bei Radialpumpen durch die Zuströmverhältnisse 55:600—602
Schroeder, H.J., siehe Gebauhr, W.
Schroeder, H.J., siehe Durcak, H.
Schwarz, O., siehe Mandel, H.
Schwarz, O., Tätigkeit der VGB 55:555—566
Schwarz, O., Impulse aus Bau und Betrieb auf Entwicklung und Forschung in der Kraftwerkstechnik am Beispiel der Bundesrepublik Deutschland — 55 Jahre VGB 55:798—806
Schweiger, F., und Wohler, J., Hochtemperaturreaktoren mit Kugelbrennelementen — Fortschrittliche Abschaltverfahren und Nachwärmeabfuhrmöglichkeiten 55:364—372

Stade, K.Ch., siehe Haubold, W.
Stamm, H., siehe Haubold, W.
Stanek, L., Unser Lebensraum — das Sonnensystem 55:634—640
Stangenberg, F., siehe Schnellenbach, G.
Stönner, A., Schmelzkammerfeuerungen — Betriebserfahrungen 55:294—297

Tasker, P.W., siehe Parry, D.J.
Theis, K., und Eichhorn, F., Werkstoffverhalten des Druckbehälterstahles 22 NiMoCr 37 55:547—552
Thelen, F., siehe Dziembowski von, H.
Thömen, K.-H., Erfahrungen mit einem Müllshredder in der Müllverbrennungsanlage Düsseldorf 55:728—733
Thomas, H.-J., siehe Frühauf, H.-J.
Torborg, H.-H., und Freier, R.K., 500-MW-Blockanfahrt mit Voroxydation 55:777—782
Tyldesley, J.D., siehe Parry, D.J.

Uebing, D., und Kerkhoff, H., Beanspruchung von Rohren und Behältern 55:254—261

Varekamp, W., Kombinierte Erdgas-/Ölbrenner großer Leistung - Entwicklung, Erprobung 55:286—293
Vasoukis, G., siehe Bartholomé, G.

Vodicka, V., Naß-/Trockenkühlung mit NTB-Elementen 55:314—317
Völcker, H., Das Trenndüsenverfahren zur Urananreicherung — ein Beitrag zur Sicherung der Kernbrennstoffversorgung der Bundesrepublik 55:811—814
Vogt, F., Explosion im Koksgasnetz des Kraftwerkes Salzgitter 55:382—386

Waldmann, H., siehe Seefeldt, K.-F.
Wawra, H., Porosität und Kennwertabfall mechanischer Eigenschaften in der Kraftwerkstechnik 55:399—411
Weise, H.-D., Gefüge warmfester Stähle in seiner gleichzeitigen Abhängigkeit von Glühtemperatur und Glühdauer bei Zugbeanspruchung 55:745—748
Welch, R., ND-Vorwärmer im Turbinendampfstutzen 55:360—363
Wellinger, K., Erker, A., Mayer, K.H., und Schäfer, R., Sprödbruchuntersuchungen an warmfesten Schraubenwerkstoffen 55:455—466
Wiesenberger, J., siehe Ledinegg, M.
Wörrlein, K., Instabilitäten bei der Durchflußverteilung in beheizten Rohrsträngen von Dampferzeugern 55:513—518
Wohler, J., siehe Schweiger, F.

Zaunschirm, H., und Habetler, G., Gleitdruckbetrieb auf die zulässige Temperaturänderungsgeschwindigkeit dickwandiger Bauteile 55:149—156
Zelgert, D., DDC-Regelung an einem Kraftwerksblock 55:125—127
Zenker, P., 50-MW-Heliumturbinenanlage Oberhausen 55:715—719
Zerna, W., siehe Schnellenbach, G.
Ziegler, A., siehe Schmidt - Küster, W.-J.
Zinke, K., siehe Resch, G.

Sachverzeichnis 1975

Ablagerungen, wasserseitige 55:239—249
Abfallbeseitigung in Bayern 55:682—685
Abgasreinigung bei MVA 55:234—239
Abwasser aus Flußsäurebeizungen 55:335—339
Abwasser, Reinigung durch Integration mit der Kühlwasseraufbereitung 55:21—25
Additive 55:120—124
Additive bei Müllfeuerungen 55:234—239
AD-Regelwerk 55:480
AD-Regelwerk, Änderungen 55:770/771
Adsorptionsverhalten, makroporöser Ionenaustauscher 55:40—47
Aktivkohle zur Absenkung mit $KMnO_4$ oxydierbarer Substanzen in neutralisierten Beizabwässern 55:335—339
Anfahren eines Dampferzeugers, Modell für Simulation 55:506—513
Arbeitsplatz im Kraftwerk 55:676—681
Ascheverwertung 55:297—302
— Flugasche 55:297—302
— Granulat 55:297—302
— Schlacken 55:297—302
— Strahlmittel 55:297—302
Aufbereitung von radioaktivem Turbinenkondensat 55:453—455
Auslegungsdaten, 600-MW-Blöcke 55:708—715
Axialgebläse, Charakteristik der Schaufelverstellung 55:156—166
— Festsetzen der Schaufelverstellung 55:156—166
— Prüfstand für Schaufellager 55:156—166
— Schlußfolgerungen aus Lager-Versuchsreihen 55:156—166
— Verschutzung der Schaufellager 55:156—166
— verstellbare Rotorschaufeln 55:156—166

Bälge, Kompensatoren und Kompensation 55:133—138
Balkenstrukturen, ebene und räumliche Berechnung der Eigenfrequenzen 55:734—739
Baustoffe, feuerfeste 55:302—308
Bauwesen, Branchenkommunikation 55:614—619
— Futurologie 55:614—619
— gesellschaftspolitisch 55:614—619
— Image 55:614—619
— Ingenieursoziologie 55:614—619
Beanspruchung, Behälter 55:254—261
— betriebliche 55:254—261
— Rohre 55:254—261
Beizlösungen, Zusammensetzung nach der Neutralisation 55:335—339
Beizung, Chemikalien- und Wasserverbrauch bei verschiedenen Kraftwerksblöcken 55:335—339
Bekohlungsanlage 55:277—286
Beschleunigungsdruckverlust 55:513—518
Betriebserfahrungen mit Schmelzkammerfeuerungen 55:294—297
Bezugselektrode, Einfluß auf Meßfehler 55:109—119
Borosilicatglas für Schaugläser, Verhalten gegenüber Kesselwasser 55:128—132
Brennelemente, Wiederaufarbeitung von LWR-BE 55:704—708
Brenner, schwenkbar für Erdgas und Öl 55:286—293
Brennprüfstand 55:286—293
Brennkammerauslegung 55:435—446
Brennstoffband 55:343—354
Brennstoffregelung von Gas- und Ölbrennern 55:286—293

Central Electricity Generating Board 55:791—793
Chemie im Kernkraftwerk mit Druckwasserreaktoren, Probleme und Personaleinsatz beim Anfahren 55:48—53
Chemoluminiszenzverfahren zur NO_X-Bestimmung 55:170—174
Chlorid, kontinuierliche Spurenmessung 55:109—119
Cost of research 55:791—793

Dacheindeckungen, Abdichtung 55:198—200
— Dämmung 55:198—200
— Dampfentspannung 55:198—200
— Dampfsperre 55:198—200
— Schichtenausbildung 55:198—200
— Taupunktberechnung 55:198—200
Dampferzeuger, Ablagerungen im Kessel, Einfluß auf die Verdampferkorrosion 55:26—39
— Alkalisierung von Kesselwasser mit Feststoffen bei Meerwassereinbruch 55:26—39
— wasserseitige Korrosion durch Salze und Oxidablagerungen 55:26—39
— Korrosion in Dampferzeugern, Einfluß von Wärmetransport, Ablagerungen und Kondensatorleckagen 55:26—39
— on-load corrosion, Zustandekommen durch Salze und Oxidsuspensionen 55:26—39
— Wärmeübertragung und Massenfluß in Kesselrohren 55:26—39
Dampfturbinen, Ausfallwahrscheinlichkeit 55:574—580
— Bauteillebensdauer 55:519—529
— Bruchmechanik 55:519—529
— Grenzleistung von Dampfturbogruppen 55:720—724
— Innerer Wirkungsgrad 55:308—314
— Kriterienklassen 55:574—580
— Lebensdauer 55:519—529
— Mengenregelung mit Dralleinströmung 55:419—427
— Meßgeräteaufwand für Vergleichsmessungen 55:308—314
— Redundanzschaltungen 55:574—580
— Regelungsarten 55:419—427
— Stellgliederschaltungen 55:574—580
— Systemredundanz 55:655—660
— Turbinenschutz 55:574—580
— Vergleichsmessungen an Dampfturbinen 55:308—314
— Vortexregelung 55:419—427
— Wellenschwingungen 55:73—81
DDC-Regelung, Erfahrungen 55:125—127
Dekontamination radioaktiven Kondensates mit Mischbettaustauschern 55:453—455
Deutscher Dampfkesselausschuß (DDA), Änderungen 13. Sitzung 55:204—208
Dipolstrahler 55:372—375
Direktreduktion 55:697—703
Druckbehälterstahl 22 Ni Mo Cr 37, Temperaturbeanspruchung 55:547—552
— Werkstoffverhalten 55:547—552
— Zugbeanspruchung 55:547—552
Druckwasserreaktoren, chemische Maßnahmen beim Anfahren 55:48—53
Durchflußmenge 55:581—589
Durchlaufdampferzeuger, Anwendung von Dinatriumhydrogenphosphat in einem englischen Kernkraftwerk 55:105—109
Durchsatzmenge, Einfluß der Ausgangsgrößen 55:581—589
Dynamik eines Zwischenüberhitzers, Simulation 55:54—61

Einzeldruckverluste 55:513—518
Elektroden, ionensensitive, für Differenzmessungen im Spurenbereich 55:109—119
Elektrofilterabscheidung 55:277—286
Emulsionsverbrennung 55:88—93 und 55:447—452
Energiepreisrelation 55:697—703
Energiesysteme, rationelle 55:807—810
Energieverbrauch, Entwicklungstendenzen eines integrierten Hüttenwerkes 55:697—703
Energieversorgung, neue Technologien 55:807—810
Entschwefelungsverfahren, Abgas 55:355—359
— Kosten 55:355—359
— schweres Heizöl 55:355—359
— Steinkohle 55:355—359
— Systemanalyse 55:355—359
Entspannen von Gas und Dampf 55:372—375
Erdgas-/Ölbrenner 55:286—293
Erosionsversuche an Kesselrohren 55:689—691
Explosion Koksgas 55:382—386

Feinkornbaustähle, Gefügeänderungen 55:538—546
— Temperaturbeanspruchung 55:538—546
— warmfeste 55:538—546
Feinstäube, Chemismus und Morphologie 55:180—187
Feststoffauswurf, Ölbrenner 55:447—452
Feuerraumauslegung 55:435—446
Feuerraumkorrosionen in Schmelzfeuerungen 55:174—180
Feuerraumschwingungen 55:286—293
Feuerraumüberwachung 55:286—293 und 55:343—354
Filterkonditionierung bei der Kühlwasseraufbereitung 55:669—672
Fischtoxizität neutralisierter Flußsäure-Beizlösungen 55:335—339
Flockungshilfsmittel, Anwendung bei der Kiesfiltration 55:669—672
Flugasche 55:297—302
Fluide, Hydraulik 55:724—728
— Luftabscheidevermögen im Schmier- und Hydraulik-System 55:724—728
— schwer entflammbar 55:724—728
Forschung in der Kraftwerkstechnik 55:805
Frequenzspektrum 55:372—375
Füllungsbeeinflussung von Zwangdurchlaufdampferzeugern, Experimentelle Ergebnisse 55:4—12
— Regelung der ... 55:4—12

Gasbrenner, Versuche 55:447—452
Gasexplosion 55:382—386
Gaskraftwerk Duisburg-Huckingen, integrierte Kühlwasseraufbereitung und Abwasserreinigung 55:21—25
Gasleitungen, Inertisierung 55:382—386
— Reinigung 55:382—386
Gas-Ölbrenner, kombinierte 55:188—191
Gasturbine, Aufbau und Funktion 55:715—719
— Betriebserfahrungen 55:782—787
— Betriebserfahrungen in Schwerbauweise 55:787—791
— Betriebsverhalten 55:262—271

— Brennstoffe 55:787—791
— Heliumturbine 55:715—719
— Konstruktion 55:262—271
— leichte im KW-Flingern 55:782—787
— Revisionsintervalle 55:787—791
— schwere im KW Lausward 55:782—787
— Thermodynamik 55:262—271
Gebäudesprühsysteme 55:739—745
Generatortechnik 55:802/803
Geschweißte Rohrwände 55:758—764
Geschwindigkeitsverteilung, lineare am Pumpeneintritt 55:600—602
Gleitdruckbetrieb, Temperaturänderungsgeschwindigkeit dickwandiger Bauteile 55:149—156
Granulat 55:297—302
Grenzleistungsprobleme bei Großdampferzeuger 55:498—506
Großdampferzeuger, Aufbau, Anordnung, Schaltung, Heizflächengrößen 55:567—574
— Brennkammer-Feuerungskonzepte 55:498—506
— Fertigung und Montage 55:567—574
— fossil gefeuert, künftige Einsatzweise 55:498—506 Grenzleistungsprobleme 55:498—506
— Konstruktive Probleme 55:567—574
— Verfügbarkeitsbetrachtung 55:573
— Wärme- und strömungstechnische Auslegung 55:498—506
Gruppensteuerung 55:343—354

Hauptkühlmittelpumpen, Fehlerbaum für Dichtungsstörung 55:213—217
— Fehlerbaum zur Pumpenabschaltung 55:213—217
— Montageabläufe und Strahlenbelastung 55:213—217
— Personalbedarf für Revisionen 55:213—217
— Verfügbarkeitsanalyse 55:213—217
— Wartungsbedingungen 55:213—217
Heizöl-Wasseremulsionen 55:88—93, 55:447—452
Hochtemperaturkorosion 55:120—124
Hydrazin und Sauerstoffkorrosion 55:824—827

Impulssatz 55:686—688
Inhibitor, Wirksamkeit von Hydrazin als Korrosionsinhibitor 55:824—827
— Entfernung aus Beizabwässern mittels Aktivkohle 55:335—339
Instabilitäten 55:513—518
Ionenaustauscher, Einsatz in Schichtbettfiltern 55:167—170
— innere Oberfläche und Adsorptionsverhalten 55:40—47
— Kondensataufbereitung im Kernkraftwerk mit Siedewasserreaktor 55:453—455
— kontinuierliche analytische Überwachung 55:109—119
— organische Substanzen, Adsorption an makroporösen Ionenaustauschern 55:40—47

Kavitationsbeginn 55:600—602
Kavitationsbeiwerte für verschiedene Zulaufkrümmer 55:600—602
Kernenergie, heute — morgen 55:640—646 55:807—810
Kerntechnische Anlagen, Messung von Kreislauf-, Abgabereaktivität 55:229—234
Kerntechnischer Ausschuß (KTA), Entwürfe von sicherheitstechnischen Regeln 55:140/141
Kernkraftwerke, Anwendung von Dinatriumhydrogenphosphat in einem Durchlaufdampferzeuger 55:105—109
— Betriebserfahrungen von KKS 55:773—777
— chemische Maßnahmen beim Anfahren von Druckwasserreaktoren 55:48—53
— Entwicklung eines Zentrifugalabscheiders 55:487—497
— mit Natriumkühlung 55:94—104
— KKW Biblis, Planung, Einrichtung, Inbetriebnahme 55:646—654
— Betriebserfahrungen KNK mit Natrium als Wärmeübertragungsmittel 55:94—104
— Überwachung der Schutzgassysteme im KNK 55:94—104
Kernkraftwerk-Simulator-Zentrum, Erster Spatenstich 55:1—4
— Grundsteinlegung 55:411—415
— Richtfest 55:764—770
Kessel- und Maschinenhausumschließung, Aufbau, Gestaltung 55:250—254
— Beispiele 55:250—254
— Belüftung 55:250—254
— Beständigkeit 55:250—254
— Kosten 55:250—254
— Öffnungen 55:250—254
— Schutzanforderungen 55:250—254
Kesseltechnik 55:798—806
Kesselverpuffung 55:708—715
Kesselwasser, Einfluß von pH-Wert und Temperatur auf die Korrosion von Schaugläsern 55:128—132
Kiesfiltration unter Einsatz von Flockungshilfsmitteln 55:669—672
Kohlenfeuerungen, Brennkammerauslegung 55:435—446
— Feuerraumauslegung 55:435—446
— Kohlenstaubbrenner 55:435—446
— Mahlanlagen 5::435—446
— Mühlengebläse 55:435—446
— Planungskonzepte für Kohlenfeuerungen 55:435—446
— Staubverteilungsmessung 55:435—446
Kohlenstaubbrenner 55:435—446
Kohlenstaubgebläse 55:277—286
Kohlenstaubverteiler 55:277—286, 55:343—354
Kohletechnologie 55:807—810
Koks, Koksgas, Explosion 55:382—386
Kompensatoren, Kompensation und Bälge 55:133—138
Kompressible Strömung 55:686—688
Kondensat, Aufbereitung mit Mischbettaustauschern 55:453—455
Kondensatoren, Zusammenhang zwischen Werkstoff und Kühlwasserqualität 55:271—275

Konvektiver Wärmeübergang 55:758—764
Korrosion, Glaskorrosion als Funktion der Kesselwasserbeschaffenheit 55:128—132
— Hemmung durch gelösten Sauerstoff im neutralen Wasser-Dampfkreislauf 55:777—782
— in einem Dampferzeuger durch Meerwassersalze 55:105—109
— in geschlossenen, wasserführenden Systemen in Gegenwart von Hydrazin und Sauerstoff 55:824—827
— Korrosionsschutz auf der Rauchgasseite 55:174—180
Korrosionsausfallfaktor 55:294—297
Korrosionsschutz, Ausführungsüberwachung 55:469—473
— Auswahlkriterien 55:469—473
— Beschichtungsstoffe 55:469—473
— Dekontaminierbarkeit 55:318—320
— in geschlossenen Warm- und Kaltwasserkreisläufen mit Hydrazin 55:824—827
— Personalqualifikation 55:469—473
— Entrostung 55:318—320
— Gewährleistung 55:469—473
— Gütesicherung 55:469—473
— Materialbeispiele 55:318—320
— Materialverzeichnis 55:318—320
— prinzipielles 55:469—473
Kraftwerk Salzgitter 55:382—386
Kraftwerk und Umwelt 55:143—148
Kraftwerkerausbildung 55:803
Kraftwerkspraxis, Empfehlung zur Auslegung der ND-Umleitstationen 55:473/474
— Verfahren zur Krypton-85-Abscheidung 55:553
Kraftwerksschule E.V., 55:1—4, 411—415, 764—770
Kraftwerkstechnik 55:798—806
— Kennwertabfall 55:399—411
mechanische Eigenschaften 55:399—411
— Porosität 55:399—411
Kühlkreislauf, geschlossen, Betrieb mit neutralem, salzfreien Wasser 55:777—782
— Wasserqualität, Werkstoffe und Betriebsbedingungen 55:271—275
Kühltürme niedriger Bauhöhe, Kosten 55:530—538
— Naturzug 55:530—538
— Zwangsbelüftung 55:530—538
Kühlturmumbau, Stand und Entwicklungsmöglichkeiten 55:375—381
— Umwelteinflüsse 55:375—381
Kühlung im Kraftwerk, Verfahrenstechniken 55:271—275
Kühlwasser, Entfernung suspendierter Stoffe bei der Aufbereitung 55:669—672
— Integration der Aufbereitung mit der Abwasserreinigung 55:21—25
— Sedimentation durch Parallelplattenabscheider 55:21—25
— VGB-Richtlinie für Umlaufkühlung mit offenem Kühlkreislauf 55:271—275
— Wasseraufbereitung durch Flockungs-Fäll-Verfahren und Langsamentcarbonisierung 55:21—25
Kugelhaufenreaktor, Fortschrittliche Verfahren zur Abschaltung und Nachwärmeabfuhr 55:364—372
Kühlmittelverlustunfälle 55:739—745
Lärmbereiche im Kraftwerk 55:676—681
Lärmkataster 55:676—681
Läuferverschlußkeile, mit definierter Vorspannung 55:708—715
Läuferwicklung, Kühlung und Ausführung bei Turbogeneratoren 55:708—715
Lastwechselregler 55:428—430
Lebensraum 55:634—640
Luftmengenregelung im Brenner 55:447—452
Magnesiumoxid bei Müllfeuerungen 55:234—239
Magnesiumsalze, Hydrolyse unter Kesselbedingungen 55:105—109
Mahlanlagen 55:343—354
Mahlanlagen für Kohlenfeuerungen 55:435—446
Mahltrocknung 55:277—286
Makroporöser Ionenaustauscher, innere Oberfläche und Adsorptionsverhalten 55:40—47
Management of research 55:791—793
Mariner 10 55:634—640
Mars 55:634—640
Meerwassereinbruch, Auswirkungen im Dampferzeuger 55:105—109
Membranwände, Berechnung von Spannungen 55:12—20
— Spannungen durch mechanische Belastungen 55:12—20
— Spannungen durch Wärmebeanspruchung 55:12—20
Metallschlauch Kompensatoren, Einsatz 55:133—138
— Herstellung 55:133—138
— Lebensdauer 55:133—138
— Strömungswiderstand 55:133—138
— Wellengeometrie 55:133—138
— Werkstoffe 55:133—138
— Wirkungsweise 55:133—138
Mischbettaustauscher mit steindardisierbarer Na- und H-Konzentration 55:109—119
Mühlengebläse 55:435—446
Müllfeuerungen 55:234—239
Müllshredder 55:728—733
Müllverbrennungsanlage Würzburg 55:682—685
Naß-/Trockenkühltürme, Auslegungskriterien 55:219—225
— Betriebserfahrungen 55:225—229
— Entwicklungsstand 55:219—225
— Leistungsverhalten 55:219—225
— Investitionskosten 55:314—317
— Kühlcharakteristik 55:314—317
— Kühlelemente 55:314—317
Natrium, kontinuierliche Bestimmung im Spurenbereich 55:109—119
— Wärmeübertragungsmittel in Kernkraftwerken 55:94—104
— Überwachung der Reinheit in Kernkraftwerken und Versuchsanlagen 55:94—104
Naturzugkühler, Achsabweichungen 55:466—468
— Bauherstellung 55:191—197
— Baukonstruktion 55:191—197
— Bautoleranz 55:466—468
— dynamische Festigkeit 55:191—197
— Grenzhöhen 55:191—197

— Modellmessungen 55:191—197
— Sicherheitskonzept 55:191—197
— Stand der Entwicklung 55:191—197
— Toleranzauswertung 55:466—468
— Vermessung 55:466—468
ND-Umleitstationen 55:473/474
ND-Vorwärmer, Anordnung 55:360—363
— Bauarten 55:360—363
— Montagemöglichkeiten 55:360—363
— Schaltungen 55:360—363
Neutrale Fahrweise bei einem 500-MW;Block 55:777—782
NO_X-Emission bei Rauchgasrezirkulation 55:447—452
NO_X, Emissions- und Immissionsmessungen 55:170—174
Nyquist-Kurven 55:589—600

Ölbrenner, Emulsionsverbrennung 55:447—452
— Luftmengenregelung 55:447—452
— Rauchgaszirkulation 55:447—452
— Stickoxidemission 55:447—452
— Umbau 55:188—191
— Wassereinspritzung in Flammen 55:447—452
— Zerstäuberbrenner 55:447—452
Osmose, umgekehrte, zur Wasseraufbereitung 55:748—752

Pelletisierungsanlage 55:277—286
Phosphatester 55:724—728
Phosphatfahrweise bei einem Durchlaufdampferzeuger 55:105—109
Planungskonzepte für Kohlenfeuerungen 55:435—446
Polyelektrolyte als Filterhilfsmittel bei der Kiesfiltration 55:669—672
Primärenergieverbrauch, Vergleich 55:697—703

Quadrupolstrahler 55:372—375
Querschnittsänderung 55:686—688

Rauchgasentschwefelungsanlage 55:343—354
Rauchgasrezirkulation 55:447—452
Rauchgasseitige Korrosionen 55:174—180
Reaktorsicherheitsbehälter 55:739—745
Regelung von Steinkohlenfeuerungen, Feuerraumüberwachung 55:343—354
— Gruppensteuerung 55:343—354
— Störfälle an Feuerungshilfsaggregaten 55:343—354
Reibungsdruckabfall 55:513—518
Reinigungsstäube, Spurenelemente 55:672—676
Rohrbögen, Erfahrungen 55:387—399
— Herstellung 55:387—399
— Induktivbiegemaschine 55:387—399
Rohre, Langzeitverhalten 55:828/829
— nahtlose 55:828/829
Rohrleitungen, Rechenverfahren 55:432—435
— Temperaturmessungen 55:432—435
— thermische Überbeanspruchung während des Anfahrvorganges 55:753—758
— Wärmeableitfehler 55:432—435
— Zeitstandrisse 55:753—758
Rohrregister 55:581—589

Salzausscheidungen in einem Durchlaufdampferzeuger 55:105—109
Sauerstoff, Bindung mit Hydrazin 55:824—827
600-MW-Kraftwerksblöcke 55:708—715
Sedimentation durch Parallelplattenabscheider 55:21—25
Sicherheitsbehälter, Auslegung 55:81—88
— Bauliche Ausbildung 55:200—204
— Belastungen 55:200—204
— Betriebliche Funktion 55:200—204
— Details 55:200—204
— KKW Gundremmingen II 55:200—204
— Konstruktionskonzept 55:81—88
— Stahl- und Spannbeton 55:81—88
— Stand der Ausführungen 55:81—88
— Statisches Konzept 55:200—204
— Stör- und Betriebslasten 55:81—88
— Übersicht zum Rekatortyp 55:81—88
— Wandkonstruktion 55:81—88
zylindrische Bauform 55:200—204
Simulation der Zwischenüberhitzer-Dynamik 55:54—61
Simulator 55:1—4, 411—415, 764—770
Sinteranlage für Flugasche 55:277—286
Sonnensystem 55:634—640
Spannungen in Membranwänden 55:12—20
Spannungsrißkorrosion, interkristalline, sensibilisierte Chrom-Nickel-Stahle in siedenden Wässern 55:608—613
Speisewasser, Aufbereitung durch Umkehrosmose und Vollentsalzung 55:748—752
Speisewasserdruckbehälter, Reparaturmaßnahmen 55:330—335
— Schäden 55:330—335
Speisewassertechnologie 55:801
Speisewasservorwärmer, Betriebsbeanspruchung 55:66—71
— Festigkeits-, Schwingungs- und Schwelldruckversuche 55:66—71
— spaltfreies Rohreinschweißen 55:66—71
Sperrmüllshredder 55:728—733

Schallminderungsmaßnahmen, Arbeitsplatz im Kraftwerk 55:676—681
— Lärmbereiche im Kraftwerk 55:676—681
— Lärmkataster 55:676—681
— Schallschutz, persönlicher 55:676—681
Schaugläser, chemisches Verhalten in Dampferzeugern 55:128—132
Schichtbettfilter, Einsatz zur Leistungssteigerung einer Vollentsalzungsanlage 55:167—170
Schlacken 55:297—302
Schmelzkammerfeuerungen, Betriebserfahrungen 55:277—286
— Korrosionsausfallfaktor 55:294—297
Schraubenwerkstoffe, Sprödbruchuntersuchungen 55:455—466
— warmfeste 55:455—466
Schüsselmühlen 55:277—286, 343—354
Schutzschichtbetrieb beim Anfahren von Druckwasserreaktoren 55:48—53
Schutzschichtbildung durch Sauerstoffdosierung 55:777—782
Schweißnähte, fehlerbehaftete in Reaktorkomponenten 55:691—696
— Reaktorkomponente 55:691—696
sicherheitstechnische Beurteilung 55:691—696

Stabilität der Zweiphasenströmung 55:589—600
Stähle, Glühtemperatur und Glühdauer 55:745—748
— warmfeste bei Zugbeanspruchung 55:745—748
Standortplanung 55:343—354
Staubverteilungsmessung 55:435—446
Steinkohlen, Spurenelemente 55:672—676
Steinkohlenfeuerung, Bekohlungsanlage 55:277—286
— Brennstoffband 55:343—354
— Elektrofilterabscheidung 55:277—286
— Kohlenstaubgebläse 55:277—286
— Kohlenstaubverteiler 55:277—286
— Kohlenstaubverteilung 55:343—354
— Mahlanlagen 55:343—354
— Mahltrocknung 55:277—286
— Pelletigierungsanlage 55:277—286
— Rauchgasentschwefelungsanlage 55:343—354
— Schüsselmühlen 55:277—286§ 343—354
— Sinteranlage für Flugasche 55:277—286
— Standortplanung 55:343—354
Trockenfeuerung 55:277—286
— Umweltschutzmaßnahmen Kraftwerk Wilhelmshaven 55:343—354
— Verfügbarkeit von Trockenfeuerungen 55:277—286
— Wirbelbrenner für Kohle und Schwerstbetrieb 55:343—354
— Wirbelbrenner für Kohlenstaub 55:277—286
Stickoxidemission 55:447—452
Stickoxide bei Emulsionsverbrennung 55:89
Stickstoffoxide, Messung nach dem Chemoluminiszeuzverfahren 55:170—174
Stillstandskorrosion auf der Rauchgasseite von Dampferzeugern 55:174—180
Störfälle an Feuerungshilfsaggregaten 55:343—354
Störumschaltung 55:474
Strahlmittel 55:297—302
Streulichtsonde zur Erfassung des Tropfenspektrums 55:61—66
Strömungsstabilität 55:589—600
Stumpf-Schweißnähte, HD-Formstücke aus Werkstoff 14MoV63 55:603—608
— Schäden 55:603—608
Surete Nucleaire, Etudes particulieres de 55:794—798

Taupunkt, Rauchgas 55:120—124
Temperaturverlauf, beheizte Rohrhälfte 55:758—764
— unbeheizte Rohrhälfte 55:758—764
Temperaturverteilung in Membranwänden 55:758—764
Thermodynamische Belastungen bei Kühlmittelverlustunfällen 55:739—745
Thermodynamique et transfert thermique 55:794—798
Tieftemperaturkorrosion, rauchgasseitige 55:120—124, 174—180
— Trockenfeuerung 55:277—286
Travaux de Développement 55:794—798
Travaux de recherche 55:794—798
Turbinentechnik 55:802

Überhitzerkorrosion, rauchgasseitige 55:174—180
Überhitzter Wasserdampf, kompressible Strömung 55:686—688
Umkehrosmose zur Speisewasseraufbereitung 55:748—752
Umweltbelastung durch Stickstoffoxide 55:170—174
Umweltschutzmaßnahmen, Kraftwerk Wilhelmshaven 55:343—354
Unverbranntes bei Ölfeuerungen 55:88—93

Venus 55:634—640
Verdunstungskühlung, VGB-Kühlwasserrichtlinie 55:271—275
Verfügbarkeit von Trockenfeuerungen 55:277—286
Verschmutzungen auf der Rauchgasseite von Kesseln 55:120—124, 171—180
VGB, Kongreß „Kraftwerke 1975" 55:624—633
— Kurzbericht Tätigkeit 1974/1975 55:555—566
Volldrucksicherheitsbehälter, Aufbau 55:739—745
Vollentsalzung, Leistungssteigerung durch Anwendung der Schichtbettfiltertechnik 55:167—170
Voroxydation zur Vorbehandlung eines Wasser-Dampfkreislaufes oder eines geschlossenen Kühlkreislaufes 55:777—782

Wärmeübergang 55:589—600
Wasseraufbereitung, Flockungs-Fäll-Verfahren und Langsamentcarbonisierung 55:21—25
— Schichtbettfiltertechnik in einer Vollentsalzungsanlage 55:167—170
— umgekehrte Osmose 55:748—752
Wasser-Dampfkreislauf, Anwendung der Sauerstoffkonditionierung in neutralem, salzfreiem Wasser 55:777—782
Wassereinspritzung in Flammen 55:447—452
Wasserstoffperoxid, Dosierung im Wasser-Dampfkreislauf 55:777—782
Weitbereichsregelungen 55:428—431
Werkstofftechnologie 55:801/802
Wirbelbrenner, für Kohlenstaub 55:277—286
— für Kohle und Schweröl betrieb 55:343—354

Zentrifugalabscheider für Kernkraftwerke, Entwicklung 55:487—497
— Versuche und Betriebsergebnisse 55:487—497
Zerstäuberbrenner 55:447—452
Zwangdurchlaufdampferzeuger, Rechenergebnisse einer Modell-Simulation des Anfahrens 55:506—513
— Simulation des Anfahrvorganges 55:506—513
— Verbesserung des Temperatur- und Leistungsverhaltens 55:4—12
Zweiphasendruckabfall 55:589—600
Zweiphasenströmungen, Streulichtsonde zur Bestimmung von Tropfengröße und Feuchte 55:61—66
Zwischenüberhitzer, Simulation der Dynamik 55:54—61

Persönliches

Barthelt, Klaus, 25jähriges Dienstjubiläum 55:210
Beetz, E., 50 Jahre 55:696
Blass, Erich, gestorben 55:771
Börner, Paul, im Ruhestand 55:339
Brandt, Herbert, 70 Jahre 55:696
Campell, Wilson W., gestorben 55:210
Clausen, Heinrich, im Ruhestand 55:481
Deckers, Peter-Josef, aus Ruhrgas-Vorstand ausgeschieden 55:339
Dengler, Norbert, 50 Jahre 55:210
Deuster, Gerhard, Dr.-Ing. E.h. 55:418
Ehret, Adolf, 50 Jahre 55:696
Endhoven, Dirk, 50 Jahre 55:619
Engler, Otto, gestorben 55:72
Erythropel, Hermann 65 Jahre 55:339
Frahm, Klaus-Dietrich, gestorben 55:481
Franke, Arnold, Generalbevollmächtigter bei VKR 55:771
Gärtner, Erwin, 65 Jahre 55:771
Gelis, Hans, 65 Jahre 55:138
Hartmann, Georg, 60 Jahre 55:481
Hoffmann, Werner, Geschäftsführender Direktor VdTÜV 55:339
Jutemar, Ingmar, 50 Jahre 55:834
Kersting, Wilhelm, 60 Jahre 55:696
Kirsch, Helmut, Honorarprofessor 55:339
Knizia, Klaus, Honorarprofessor 55:339
Knoll, Helmut, Geschäftsführer der Städtischen Werke Nürnberg GmbH. 55:481
Kooi, van der, gestorben 55:696
Kost, Heinrich, 85 Jahre 55:339
Laborenz, Karl, 60 Jahre 55:339
Malzer, Georg, gestorben 55:138
Mandel, Heinrich, Präsident des DNK 55:339
Mandel, Heinrich, Aufsichtsratsvorsitzender bei Rheinbraun 55:552
Marnet, Chrysanth, Geschäftsführer der AVR 55:481
Marnet, Chrysanth, Vorsitzender der Studiengesellschaft verbrauchsnaher Stromerzeugung 55:771
Meysenburg, Helmut, Ehrenmitglied der VDEW 55:481
Riedel, Hanns Joachim, 65 Jahre 55:275
Sohns, Ernst-Otto, Leiter der Rechtsabteilung bei VDEW 55:552
Spillner, Fritz, 65 Jahre 55:210
Schenk, Paul, neuer Vorsitzender der VDEW 55:418
Schenkel, Werner, zum Professor ernannt 55:481
Schliesing, Herbert, 50 Jahre 55:552
Schlüter, W., 25 Jahre beim VDEh 55:418
Schmidt, Gerhard, Sprecher des Vorstandes der IZE 55:481
Schmitt, Christoph, Geschäftsführer der IZE 55:72
Schulte, Richard, Ehrenmitglied der VDEW 55:481
Schulten, Rudolf, Grashof-Denkmünze 55:481
Schumann, Werner, 65 Jahre 55:72
Schwarz, Karl, Bundesverdienstkreuz 55:552
Tegethoff, Wilm, Geschäftsführer der VDEW 55:72
Traustel, Sergei, gestorben 55:138
Wahnschaffe, Ernst, 50 Jahre 55:339
Weckesser, August, Bundesverdienstkreuz 55:619
Weihe von, Alfred, 70 Jahre 55:771
Wiese, Franz-Ferdinand, gestorben 55:619

Buchbesprechungen

Tabellenbuch für den Rohrleitungsbau 55:72
Jahrbuch der Wärmerückgewinnung 55:72
Sawyer's Gas turbine Engineering Handbook 55:148
Messen von Gewinden 55:148
Meßtechnik und Automatik 55:340
Berechnung der instationären Strömung durch gegeneinander bewegte Schaufelgitter und der Schaufelkraftschwankungen 55:341
Statstik der Energiewirtschaft 55:341
NPSH bei Kreiselpumpen — Bedeutung, Berechnung, Messung 55:341
Traupel-Festschrift 55:341
Sicherheitstechnik 55:341
Wärmekraftwerke und Umweltschutz — Planung, Kosten und Zukunftsaussichten 55:341
Kernenergie-Adressen — Namen — Bezugsquellen in der Bundesrepublik Deutschland 55:341
Gasturbinen kurz und bündig 55:418
Apparate und Verfahren der industriellen Gasreinigung 55:485
Grundprobleme zum atomrechtlichen Verwaltungsverfahren 55:485
Tieftemperaturtechnik und ihre Werkstoffe 55:485
Lexikon der Abwassertechnik 55:486
Zuverlässigkeitsverfahren für die Prozeßmeßtechnik 55:486
Konstruktiver Ingenieurbau 55:486
Entstaubung industrieller und gewerblicher Anlagen 55:486
Die Analyse der Luft und ihrer Verunreinigung in der freien Atmosphäre und am Arbeitsplatz 55:486
Rosten von Stahl durch Natureinflüsse 55:486
Stahl-Eisen-Liste 55:486
Proceedings of the fifth conferens on dimensioning and strength calculations, and the sixth congress on material testing 55:553
Schweißtechnischer Gefügeatlas 55:553
Entwicklungslinien der Energietechnik 55:553
Die Regelung von Dampfkraftwerken 55:553
Kraftwerkstechnik — Zuverlässigkeitssteigerung und Betriebsoptimierung 55:621
Integrierte Energieversorgung 55:621
Grundlagen des Festigkeits- und Bruchverhaltens 55:621
Thermische Kraftanlagen 55:621
Messen, Regeln und Automatisieren 55:621
KSB-Kreiselpumpenlexikon 55:771
Das technische Büro 55:771
Das Axiallager mit kippbeweglichen Kreisgleitschuhen 55:771
Technische Anleitung zur Reinhaltung der Luft (TA Luft) 55:771
Technische Thermodynamik 55:835
Elektrowärme Praxis 55:835
Nichtkonventionelle Energiesysteme 55:835
DIN-Taschenbuch 22 55:835
Sicherheitstechnik 55:835
Die gesetzlichen Einheiten in der Technik 55:835

VGB KRAFTWERKSTECHNIK

MITTEILUNGEN DER VGB TECHNISCHE VEREINIGUNG DER GROSSKRAFTWERKSBETREIBER

56. JAHRGANG (1976) ● HEFTE 1–12

INTERNATIONALE FACHZEITSCHRIFT FÜR TECHNIK IN WÄRMEKRAFTWERKEN

HERAUSGEBER

VGB TECHNISCHE VEREINIGUNG DER GROSSKRAFTWERKSBETREIBER E.V.

Vorsitzender: Direktor Professor Dr.-Ing. K. Knizia, Dortmund;
Geschäftsführer: Direktor Dr.-Ing. O. Schwarz, Essen.

REDAKTION

Abteilungsdirektor Ing. (grad.) H. Kaes, Essen;
Oberingenieur Dipl.-Ing. A. Kantner, Essen;
Abteilungsdirektor Professor Dr. rer. nat. H. Kirsch, Essen;
Oberingenieur Dr. rer. nat. H. Kittel, Essen;
Oberingenieur Dipl.-Ing. K. Plate, Essen;

CHEFREDAKTEUR

Oberingenieur Ing. (grad.) H. Bleßmann, Essen.

ANSCHRIFT

VGB TECHNISCHE VEREINIGUNG DER GROSSKRAFTWERKSBETREIBER E.V.
Klinkestraße 27/31, Postfach 1791, 4300 Essen,
Fernruf 198-1, Fernschreiber 0857507 vgb d.

Für den sachlichen Inhalt der Beiträge ist der jeweilige Autor verantwortlich.
Briefe und Manuskripte bitte nur an die Redaktion,
nicht an einzelne Sachbearbeiter.
Für unverlangte Einsendungen übernehmen wir keine Haftung.

WISSENSCHAFTLICHER REDAKTIONSBEIRAT

Professor Dr.-Ing. F. Brandt, Darmstadt;
Professor Dr. techn. D. Johnson, Trondheim;
Professor Dr. techn. M. Ledinegg, Wien;
Professor Ir. J.J.C. van Lier, Delft;
Professor Dr. techn. O.I. Martynova, Moskau;
Professor Dr.-Ing. P. Profos, Zürich;
Professor Dr.-Ing. R. Quack, Stuttgart;
Professor Dr. phil. H. Rögener, Hannover;
Professor Dr. rer. nat. R. Schulten, Aachen;
Professor Dipl.-Ing. I.D. Stancescu, Bukarest.
Professor Dr.-Ing. habil. Dr. techn. E.h. Dr.-Ing. E.h. K. Wellinger†, Stuttgart

TECHNISCHER REDAKTIONSBEIRAT

Oberingenieur H. Berggren, Malmö;
Direktor Professor Dr.-Ing. H. Brüderlin, Stuttgart;
Direktor Dr. K. Hansen, Kopenhagen;
Direktor Dr.-Ing. G. Noetzlin, Marl;
Direktor Dr.-Ing. H. Novak, Nürnberg;
Direktor F. Scheurer, Paris;
Direktor Dr.-Ing. E.h. Dipl.-Ing. W. Schoch, Mannheim;
Oberingenieur Ir. G.J. Schoppert, Nijmegen.

VERTRIEB UND ANZEIGENVERWALTUNG

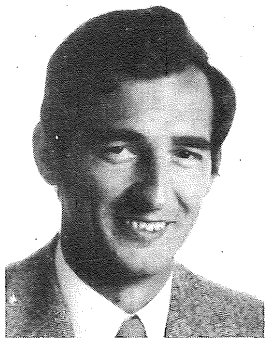
VGB-DAMPFTECHNIK GMBH, Klinkestraße 27/31, Postfach 1791,
4300 Essen, Fernruf 198-242, Fernschreiber 0857507 vgb d.
Verantwortlich für Vertrieb und Anzeigenteil: R. Rätz.

ERSCHEINUNGSWEISE

monatlich, außerdem erscheint zeitlich verschoben
eine englische Fassung.

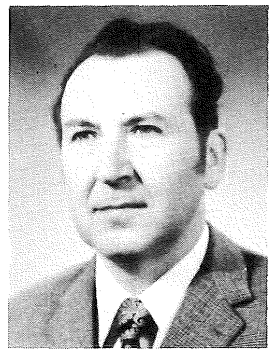
Inhaltsverzeichnis 1976

DIE FOTOS DER VERFASSER FINDEN SIE AUF DEN SEITEN II BIS X

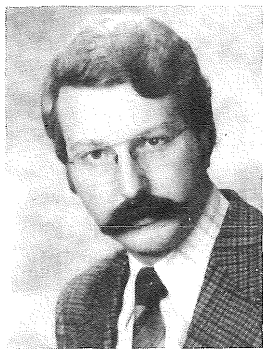

V. Vodicka, Bochum

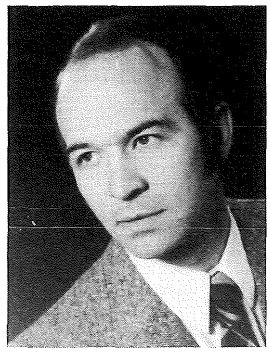

K.H. Wedepohl, Göttingen


V. Wehle, Düsseldorf


R. Welch, Erlangen

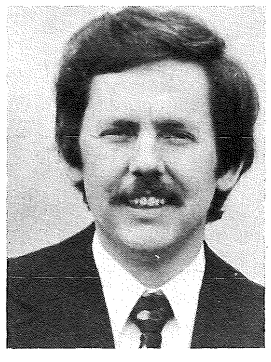

W. Wiemann, Mülheim/Ruhr


F.W. Wietelmann, Mannheim


D.W. Wildberg, Mannheim


D. Wiume,
Ismaningen b. München


J. Wohler, Hamm-Uentrop


R. Wohlrab, München


F. Zerlauth,
Winterthur/Schweiz

IN DEN ZWÖLF HEFTEN DES JAHRGANGES 56 SIND ENTHALTEN:

Heft.....	1	2	3	4	5	6
Seiten....	1–64	65–136	137–212	213–284	285–364	365–424

Heft.....	7	8	9	10	11	12
Seiten....	425–472	473–520	521–582	583–654	655–726	727–806

Verfasserverzeichnis 1976

Adrian, F., und Meyer-Kahrwerg, H., Allgemeine Vorteile aufgeladener Dampferzeuger, wesentliche Konstruktionsmerkmale und erste Betriebserfahrungen mit einem Dampferzeuger von 300 t/h Dampfleistung 56:76–83

Aeberli, H., Die Verbrennung von Sondermüll und Industrieabfällen 56:155–160

Albrecht, E., Endlagerung radioaktiver Abfälle – eine Problemlösung des Umweltschutzes 56:231–233

Albrecht, W., und Schnellenbach, G., Planung und Bau von Spannbetondruckbehältern 56:124–131

Aleite, W., 1300-MW-Kernkraftwerke im Lastfolgebetrieb 56:72–76

Arens-Fischer, F., Erfahrungen bei Funktionsprüfungen an gesteuerten Sicherheitseinrichtungen gegen Drucküberschreitung an Dampfkesseln 56:766–776

Auchter, E., siehe Braun, B.

Beelmann, R., siehe Hennecke, H.

Beglinger, V., und Zerlauth, F., Typ 3 – eine neue 5-MW-Gasturbine 56:319–327

Bennert, J., Modernisierung älterer Kraftwerke mit Hilfe von Gasturbinen 56:20–23

Berg, D., Beeinflussung der Planung von Kernkraftwerken in Richtung auf Wartungs- und Reparaturfreundlichkeit 56:300–319

Berners, O., Demontage von Kernkraftwerken 56:233–236

Bernhardt, S., und Grauf, S., Brandschutzeinrichtungen im Kontrollbereich des Gemeinschaftskernkraftwerks Neckar GmbH. 56:425–432

Beuerle, H.-J., Fechner, J.B., und Wildberg, D.W., Fachkundenachweis von Kernkraftwerkspersonal im Gemeinschaftskernkraftwerk Neckar 56:573–577

Birgerson, S., siehe Reissmann, H.

Birker, M., und Rommerswinkel, F., Einsatz von Kompensatoren in Kraftwerken 56:464–471

Böhm, A., und Gilg, J., Geräuschentwicklung und Geräuschminderung bei Gasturbinen 56:432–440

Bohnsack, G., Die Bedeutung des Sauerstoffs für den Wasserdampfkreislauf 56:50–54

Bohnsack, G., Die Bedeutung des Phosphats im System Eisen/Wasser 56:562–573, 638–645

Bösken, W., siehe Torborg, H.H.

Brandes, H., siehe Rahlwes, H.,

Brandt, F., Kommentar zur Neubearbeitung der DIN 1942 – Abnahmeregeln für Dampferzeuger 56:484–489

Braun, B., Auchter, E., und Schweiggart, H., Die selbsttätige Regelung von Müllfeuerungen 56:23–29

Braun, B., Jacobs, J., und Rosahl, O., Stickoxidemissionen aus Kraftwerksfeuerungen 56:785–791

Breth, H., Aktuelle baugrundtechnische Probleme für den Kraftwerksbau 56:407–415

Brinkmann, D., Künstle, K., und Reiter, K., Anlagenkonzepte von nuklearen Prozeßwärmeanlagen zur Kohlevergasung mit Hochtemperaturreaktor 56:213–219

Brunner, R., Chemische Betriebserfahrungen im Kernkraftwerk Stade während der ersten drei Betriebszyklen 56:90–100

Bühling, H., Erfahrungen bei der Beschickung des AVR-Kugelhaufenreaktors 56:144–148

Burgmann, F., siehe Resch, G.

Büttner, W., Erfahrungen mit Konstantdruck-Zerstäuberbrennern 56:247–252

Büttner, W., Einsatz von Heizöl- und Rauchgas-Additiven in Großdampferzeugern 56:388–395

Cammerer, W., Gewährleistungen für die Wärmedämmung am Beispiel von Dampferzeugeranlagen 56:503–509

Cautius, W., Der heutige Entwicklungsstand des Kugelhaufenreaktors 56:296–300

Charalambus, B., siehe Kelp, F.

Cleve, H.-H., von, Vergleich von Wirtschaftlichkeit und Technik zwischen luftgekühlten Kondensationsanlagen mit Naturzug-Türmen nach dem direkten und indirekten System 56:542–548

Deublein, O., Problemlösungen im Kernkraftwerk Lingen 56:13–17

Diefenbach, G., Baugrundumschließung durch Dichtungswände 56:116–124

Diekmann, H., siehe Nordheim, G., von

Dittmar, H., Das Doppelprozeßrechnersystem für die Kombi-Blöcke des Kraftwerkes Emsland 56:548–555

Dolezal, R., Festdruck mit gesteuerter Hochdruckkondensation als neue Betriebsweise für Blöcke mit Trommelkesseln 56:236–241

Dörr, A., und Flunkert, F., Erfahrungen mit der Bestimmung von Natrium im ppb-Bereich 56:160–166

Durein, E., Planungsgesichtspunkte bei der Modernisierung einer Industriekraftanlage 56:476–484

Edelmann, J., und Spieth, W., Auswahlkriterien für die Sicherheit und Zuverlässigkeit von Leitsystemen in Kernkraftwerken 56:700–708

Effertz, P.-H., Klose, R., und Wiume, D., Korrosionsvorgänge und Schichtwachstum in ND-Speisewasser 56:45–50

Eilers, F., Probleme bei der Verfeuerung von Mischkohle 56:537–542

Eisenblätter, J., und Jax, P., Fehlerortung und Leckageprüfung an Großkesseln und Rohrleitungen mit Hilfe der Schallemissionsanalyse 56:452–456

Eisermann, W., Betriebserfahrungen mit maschinentechnischen Anlagen und Armaturen im Kernkraftwerk Biblis 56:610–613

Fechner, G., Turboregelkupplungen – Entwicklungsstand, Einsatzmöglichkeiten und Kenngrößen (mit Schwerpunkt bei Speisepumpen) 56:496–503
Fechner, J.B., siehe Beuerle, H.-J.
Flunkert, F., siehe Dörr, A.,
Freier, R.K., Herms, R., und Kallenbach, R., Erfahrungen mit Beschichtungen in wasserberührten Anlagen 56:106–110
Friedrich, J., Die Bauleistungsversicherung und ihre Bedeutung beim Kraftwerksbau 56:273–276

Gericke, B., Der Massenausstoß von Verdampfersystemen bei gleichmäßiger und ungleichmäßiger Beheizung längs des Rohres 56:599–605
Gilbert, F., Erste Erfahrungen mit der TA Luft 1974 56:263–268
Gilg, J., siehe Böhm, A.
Grabenhorst, U., Untersuchungen zum Haftverhalten von Steinkohlen 56:776–785
Grauf, S., siehe Bernhardt, S.
Grothe, F.K., siehe Unseld, H.

Hansen, W., Qualitätsentwicklung und Verbrennungsprobleme bei Heizöl S 56:448–452
Held, H.-D., Die Wasserbestimmung in Steinkohlen 56:110–116
Hennecke, H., und Beelmann, R., Feuerungseinrichtungen großer Dampferzeuger für feste Brennstoffe 56:193
Herbsleb, G., Oberflächensauberkeit und temporärer Korrosionsschutz von Rohren aus nichtrostenden Stählen für die Kerntechnik 56:29–33
Herms, R., siehe Freier, R.K.,
Hofmann, R., siehe Mayer, G.
Hösch, U., Ein Programmsystem zur Automatisierung der Leitebene eines Turbosatzes im Kraftwerk Westfalen der VEW 56:241–247
Huschauer, H., siehe Linzer, W.

Jacobs, J., Neue Ergebnisse der Feuerungstechnik und Verbrennungsforschung 56:708–711
Jacobs, J., siehe Braun, B.
Jax, P., siehe Eisenblätter, J.
Jeglic, F.A., und Wietelmann, F.W., Der Geradrohr-Zwangdurchlauf-Dampferzeuger im BBR-Reaktor 56:1–7
Jonas, W., und Ramm, W., Der Einfluß der Einwirkungen von außen auf Konstruktion und Preise 56:177–187
Junkers, G., Konservierung des 450-t/h-Kessels des 150-MW-Blockes im Kraftwerk St. Barbara der Saarbergwerke AG 56:535–537

Kallenbach, R., siehe Freier, R.K.
Kallenbach, R., Regeln der Technik – Impulse aus Bau und Betrieb von Kraftwerksanlagen 56:660–663
Kautz, K. siehe Thömen, K.H.
Kelp, F., Welch, R., und Charalambus, B., Entwicklung des Duplex-Geradrohrvorwärmers für große Dampfturbosätze 56:489–496
Kittel, H., und Schlizio, H., Die Wasserstoffmessung als Hilfsmittel zur Deutung von Vorgängen im Wasser-Dampfkreislauf 56:39–45
Klefenz, G., und Seidel, R., Regelverhalten eines im gesteuerten Gleitdruck betriebenen Kraftwerksblockes 56:83–90
Klose, R., siehe Effertz, P.-H.
Kochs, H.-D., Berechnung der Zuverlässigkeit technischer Anlagen mit Markoffschen Modellen 56:793–800
Kowalczyk, U., Bestimmung der Fluorwasserstoffkonzentration in Abgasen von kohle- und müllgefeuerten Kesseln nach verschiedenen Meßverfahren 56:395–401
Kraemer, O., Leonardo da Vinci – Erfindergeist vor den Toren der Neuzeit 56:347–353
Krips, H., und Podhorsky, M., Hydraulisches Aufweiten – ein neues Verfahren zur Befestigung von Rohren 56:456–464
Künstle, K., siehe Brinkmann, D.

Lachner, H., Hydraulische Schraubenspannvorrichtungen – Ausführung, Wartung, Betriebserfahrungen 56:401–407
Lange, K.-H., und Maghon, H., Gasturbinen im Kombi-Block 56:17–20
Lank De, G., und Pötz, F., Primär- und Sekundärmaßnahmen zum Schutz von Schalldämpfern, die kurz hinter Gasturbinen angeordnet sind 56:687–693
Leikert, K., Stand der Erkenntnisse über Feuerraumschwingungen und Maßnahmen zu ihrer Beseitigung 56:327–334
Linzer, W., Huschauer, H., und Roos, E., Die Anwendung der Spannungsanalyse im modernen Dampferzeugerbau 56:8–13
Löhle, H., Das Ausbildungsprogramm der Betreiber für Kernkraftwerkspersonal unter Einbeziehung des Trainings am Kernkraftwerks-Simulator 56:745–750

Maghon, H. siehe Lange, K.-H.
Maguerre, F., und Seidel, W., Zur Überwachung der Wärmeabgabe thermischer Kraftwerke 56–446–448
Matthias, H.-B., Kesselumwälzpumpen für fossile Kraftwerke – derzeitiger Entwicklungsstand, Hinweise für die Planung, Betriebserfahrungen 56:440–446
May, W., siehe Mayinger, F.
Mayer, G., und Hofmann, R., Erfahrungen bei der Inbetriebnahme des Kombi-Blockes Marbach III 56:760–766
Mayer, K.H., und Rieß, W., Einfluß der Gefügestruktur auf die Gebrauchseigenschaften hochbeanspruchter Dampfturbinenbauteile 56:150–155
Mayinger, F., und May, W., Zerstörungsfreie Materialprüfung mit Hilfe der optischen Holographie 56:334–340
Meyer-Kahrweg, H., siehe Adrian, F.
Meininger, S., Anlagentechnische Erfahrungen mit Abwasseraufbereitungsanlagen in Kernkraftwerken mit Druckwasser- und Siedewasserreaktoren Neue Entwicklung auf diesen Gebieten 56:555–562

Meininger, S., Kunststoffleitungen im Kraftwerk — insbesondere im Kernkraftwerk 56:683—687
Michelfelder, S., Die Verminderung der Stickoxidemission über die Optimierung der Brennerkonstruktion — Betriebsergebnisse mit einem Versuchsbrenner 56:622—630
Millat, H., Praktische Erfahrungen mit Planung und Organisation von Revisionen im Kernkraftwerk Beznau I und II der Nordostschweizerische Kraftwerke AG 56:65—72
Möllenkamp, F.W., siehe Spliethoff, H.
Möller, W., und Wenzel, H., Werkstoff- und Fertigungsfragen bei der Herstellung von Geradrohrdampferzeugern 56:222—231

Nieder, R., und Resch, G., Wasserchemie bei Kernkraftwerken mit Hochtemperatur-Reaktor am Beispiel des AVR 56:100—106
Nordheim, G. von, und Diekmann, H., Mindestmengenregelventile für Hauptspeise- und Kondensatpumpenanlagen — Zweipunkt oder kontinuierlich geregelt, Hinweise für Planung und Betrieb 56:373—377

Oppel, Ch. von, Weiterbehandlung kontinuierlich anfallender Feststoffe aus Wasserreinigungsanlagen 56:166—169

Pause, H., Die Bauwirtschaft als Partner — Probleme und Ausblick 56:33—39
Podhorsky, M., siehe Krips, H.
Pötz, F., siehe De Lank, G.

Rahlwes, H., und Brandes, H., Sicherheitstechnische Einrichtungen und Verriegelung der Luft- und Rauchgaskanäle für kombinierte Dampf-/Gasturbinen-Anlagen 56:756—760
Ramm, W., siehe Jonas, W.
Reh, L., Einsatzmöglichkeiten der Wirbelschichtfeuerung als Kraftwerksfeuerung 56:509—518
Reidick, H., Die Erdgasfeuerung des 600-MW-Dampferzeugers im Kraftwerk Meppen 56:383—388
Reissmann, H., Rauchgasreinigung und Rauchgaswäsche bei Müllverbrennungsanlagen 56:252—257
Reissmann, H., und Birgerson, S., Erfahrungen mit mechanischen Entstaubern und Elektrofiltern bei ölgefeuerten Dampfkesseln 56:791—793
Reiter, K., siehe Brinkmann, D.
Resch, G., und Burgmann, F., Versuche mit organischen Phosphorverbindungen zur Kühlwasserbehandlung 56:169—173
Resch, G., siehe Nieder, R.
Richter, H., Schnellsteuerungen für Sicherheitsventile in konventionellen Kraftwerken am Beispiel der Zwischenüberhitzer-Absicherung 56:671—677
Rieß, W., siehe Mayer, K.H.
Rommerswinkel, F., siehe Birker, M.
Roofthooft, R., Aus der Wasserpraxis 56:645/646
Roos, E., siehe Linzer, W.
Rosahl, O., siehe Braun, B.

Salm, P., Flüssigkeitsring-Vakuumpumpen als Kompakteinheiten für die Entlüftung von Dampfturbinenkondensatoren in konventionellen und nuklearen Anlagen 56:677—683
Seefeldt, K.-F., Großdampferzeuger für kombinierte Gas-/Dampfturbinen-Kraftwerke 56:750—756
Seidel, R., siehe Klefenz, G.
Seidel, W., siehe Maguerre, F.
Spalthoff, F.J., Erste Revisionen des Blockes A im Kernkraftwerk Biblis 56:663—671
Spieth, W., siehe Edelmann, J.
Spliethoff, H., Steinkohlenfeuerung, Brennstoff- und Verbrennungslufteinrichtungen im Kraftwerk Weiher III 56:613—622
Spliethoff, H., und Möllenkamp, F.W., Planung eines 700-MW-Kohleblocks am Beispiel des Kraftwerkes Weiher III 56:727—735

Schefe, G., Durch welche Maßnahmen kann der Prüfaufwand an konventionellen Bauteilen von Kernenergieanlagen verringert werden? 56:294—296
Schieferstein, U., und Wiemann, W., Einfluß von Werkstoff-Inhomogenitäten auf einige Gebrauchseigenschaften von Stählen für schwere Schmiedestücke 56:268—273, Teil 2 56:340—347
Schittke, K.J., Zum Problem der dynamischen Instabilität bei Dampferzeugern — kritische Literaturübersicht 56:532—535
Schlegel, G., Das Kernkraftwerk-Simulator-Zentrum der KRAFTWERKSSCHULE E.V., Essen 56:365—368
Schlizio, H., siehe Kittel, H.
Schnellenbach, G., siehe Albrecht, W.
Schoch, W., Selbstverwaltung der Wirtschaft — Möglichkeiten und Grenzen in einer pluralistischen Gesellschaft 56:655—660
Schopf, A., Dampferzeuger in U-Rohr-Bauweise für Kernkraftwerke und ihre Fertigung 56:137—144
Schroeder, H.J., Dekontamination in Kernkraftwerken 56:353—357
Schroeder, H.J., Chemische Laboratorien in Kernkraftwerken 56:711—715
Schwarz, O., Kurzbericht über die Tätigkeit der VGB TECHNISCHE VEREINIGUNG DER GROSSKRAFTWERKSBETREIBER E.V. 1975/1976 56:521—532
Schweiger, F., und Wohler, J., Fortschrittliche Abschaltverfahren und Nachwärmeabfuhrmöglichkeiten für Hochtemperaturreaktoren mit Kugelbrennelementen 56:368—373
Schweiggart, H., siehe Braun, B.

Steffan, W., Speisepumpenantriebe — Wirtschaftlichkeitsvergleich zwischen Dampfturbinen- und Elektroantrieb 56:605—610
Stegemann, D., Untersuchungen zum Betriebsverhalten von Kernkraftwerken 56:219—222
Stein, H., Ein Beitrag zur Problematik keramischer Auskleidungen von Feuerräumen in Müllverbrennungsanlagen 56:257—263
Stöbel, W., Die Rasmussen-Studie — Folgen und Auswirkungen unter Berücksichtigung deutscher Verhältnisse 56:291—294
Szewalski, R., Ein neuer Grenzschaufeltyp für Dampfturbinen 56:148—150

Thömen, K.H., Tichatschke, J., und Kautz, K., Über den Einfluß der verstärkten Verfeuerung von vorzerkleinertem Müll auf die Korrosion an Schottenüberhitzern 56:715—722
Thomas, H.J., Urlichs, K., und Wohlrab, R., Läuferinstabilität bei thermischen Turbomaschinen infolge Spalterregung 56:377—383
Tichatschke, J., siehe Thömen, K.H.
Torborg, H.-H., und Bösken, W., Netzkennlinienbetrieb einer gasbefeuerten Gleitdruckanlage mit Kondensatleistungsregelung — zwei Jahre Betriebserfahrungen mit dem 500-MW-Erdgasblock Moorburg 56:735—741

Unseld, H., und Grothe, F.K., Feuerungsprobleme bei kombinierten Gasturbinen-Dampfturbinenblöcken — Umschaltung von Gasturbinen auf Frischluftbetrieb 56:693—700
Urlichs, K., siehe Thomas, H.J.

Vodicka, V., Heutiger Entwicklungsstand der kombinierten Naß-/Trockenkühlung in der BRD und erste Betriebserfahrungen mit den verschiedenen Verfahren 56:630—638

Watson, J.E., Why are american utilities participating in the EPR-institution 56:741—745
Wedepohl, K.H., Erdaufbau und Verteilungsgesetze von metallischen Rohstoffen, insbesondere von Uran und Thorium 56:594—599
Wehle, V., Ökologische Aspekte beim Einsatz von Phosphonsäuren zur Kühlwasserbehandlung 56:173—177
Welch, R., siehe Kelp, F.
Wenzel, H., siehe Möller, W.
Wietelmann, F.W., siehe Jeglic, F.A.
Wiemann, W., siehe Schieferstein, U.
Wildberg, D.W., siehe Beuerle, H.-J.
Wiume, D., siehe Effertz, P.-H.
Wohler, J., siehe Schweiger, F.
Wohlrab, R., siehe Thomas, H.J.

Zerlauth, F., siehe Beglinger, V.

Sachverzeichnis 1976

Abfallstoffe aus Wasserreinigungsanlagen Entsorgung 56:166—169
Abfallzerkleinerung 56:715—721
Abgasanlage für Kernkraftwerke 56:306—317
Abgase, Fluorwasserstoffkonzentration 56:395—400
Abhitzekessel für Gasturbinen 56:20—23
Abnahmeregeln für Dampferzeuger Kommentar zur Neubearbeitung der DIN 1942 56:484—489
Abwasseraufbereitung im Kernkraftwerk Stade 56:90—100
Additive, Heizöl 56:388—395
Alkalisierung von Wasser-Dampfkreisläufen 56:39—45
Ammoniak, Dissoziationsverhalten bei höherer Temperatur 56:39—45
Angularkompensatoren 56:464—470
Anschwemmfilter zur Kondensatreinigung 56:645
Antriebe für Speisepumpen, Wirtschaftlichkeitsvergleich 56:605—610
Apparatebau: Hydraulisches Aufweiten — ein neues Verfahren zur Befestigung von Rohren 56:456—464
Arbeitsausnutzung von Blockanlagen 1975 56:800—805
Arbeitsverfügbarkeit von Blockanlagen 1975 56:800—805
Armaturen im Kernkraftwerk 56:610—613
Atomemissionsspektroskopie zur Natrium-Bestimmung 56:106—166
Aufgeladener Dampferzeuger — Konstruktionsmerkmale, erste Betriebserfahrungen 56:76—83
Aufwärmspanne, Ermittlung 56:446
Ausbildung von Kernkraftwerkspersonal 56:365—368, 745—750
Ausnutzung von Blockanlagen 1975 56:800—805
Automatisierung der Leitebene eines Turbosatzes Programmsystem 56:241—246
Axialkompensatoren 56:464—470

Bauprinzip, Komponenten, Genehmigungsverfahren Bauablauf 56:124—130
Berechnung: Die Anwendung der Spannungsanalyse im modernen Dampferzeugerbau 56:8—13
— Hydraulisches Aufweiten — ein neues Verfahren zur Befestigung von Rohren 56:456—464
Beschichtungen für wasserberührte Anlagen 56:106—110
Beteiligung amerikanischer EVU am EPRI 56:741—744
Bildschirmprogramme 56:554
Bituminöse Beschichtungen in wasserberührten Anlagen 56:106—110
Blockregelung mit und ohne Kondensatstromregelung 56:735—741
Bodenhebung- und Setzung bei Aushub und Bauerstellung; Setzung infolge Schub, Seismische Bodeninstabilität 56:407—414
Brandfrüherkennung im Sicherheitsbehälter 56:430
Brandbelastung im Sicherheitsbehälter 56:429
Brandschutzeinrichtungen im Kontrollbereich 56:425—432
Brennelementschäden, Block A im KKW Biblis 56:668
Brennerkonstruktion, Emissionsoptimierung 56:662—629

Brennstoffanalyse, Wasserbestimmung in Steinkohlen 56:110–116
Brennstoff-Stickoxidentstehung 56:785–790
Brennstoffversorgung, Kohle-Öl-Suspension 56:708–711
Brennstoffversorgungseinrichtungen, Steinkohlefeuerung 56:613–622

Chemische Laboratorien in Kernkraftwerken 56:711–714

Dampferzeuger, Dynamische Instabilität 56:532–535
– Fahrweise 56:670
– Vorteile des aufgeladenen Dampferzeugers 56:76–83
– Werkstoff- und Fertigungsfragen 56:222–231
Dampfturbinen, Einfluß der Gefügestruktur 56:150–154
– Entwicklung des Duplex-Geradrohrvorwärmers 56:489–496
– Grenzschaufeltyp 56:148–150
– Läuferinstabilität bei thermischen Turbomaschinen 56:377–383
– Laufschaufel als Zweiblattmodell 56:148–150
– Niederfrequente Schwingungen durch Spalterregung 56:377–383
– Spalterregung bei Turbomaschinen 56:377–383
Dampfturbinen- und Elektroantrieb für Speisepumpen 56:605–610
Dehnungswechselfestigkeit 56:268–273, 340–346
Dekontamination in Kernkraftwerken 56:353–357
Dieselnotstromanlage, Zuverlässigkeitsanalyse 56:793–800
Doppelprozeßrechner, Hardware 56:548–549
– Software 56:549
Doppelprozeßrechnersystem, Kombi-Blöcke 56:548–555
– Verfügbarkeit 56:554–555
Dosisauswertung mittels Rechner 56:316
Druckbehälter 56:294–296
Druckwasserreaktor, Betriebserfahrung Biblis 56:610–613
– BBR-Geradrohrdampferzeuger 56:1–7
– chemische Betriebserfahrungen aus dem Kernkraftwerk Stade 56:90–100
– Dampferzeuger U-Rohr-Bauweise 56:137–143
– Erfahrungen bei Revisionen in Beznau 56:65–72
– 1300-MW-KKW im Lastfolgebetrieb 56:72–75
– Kondensatreinigungsanlage 56:645
– Phosphatfahrweise 56:562–572, 638–644
Duplex-Geradrohrvorwärmer 56:489–496
Dynamische Instabilität bei Dampferzeugern 56:532–535

Elektro- und Dampfturbinenantrieb für Speisepumpen, Wirtschaftlichkeitsvergleich 56:605–610
Elektroden, ionenselektive, zur Natrium-Bestimmung 56:160–166
Elektrofilter bei Ölkesseln 56:791–793
Elemente, Methoden, Beispiele 56:116–124
Elmo-Vakuumpumpe – Aufbau und Wirkungsweise, geschlossener Betriebsflüssigkeitskreislauf 56:677–682
Emissionen, Mischkohle-Feuerung 56:537–542
– Stickoxid 56:622–629
Emissionsrichtwerte, Stickoxide 56:785–790
Entsorgung, Demontage von KKW 56:236–241
– Endlagerung von aktivem Abfall 56:233–236
– fester Abfallstoffe aus Wasserreinigungsanlagen 56:166–169
Entschwefelung, Rauchgas in der Wirbelschicht 56:509–518
EPRI (Electric Power Research Institute) Einrichtungen und Ziele 56:741–744
Erdgasfeuerung, KW Meppen 56:383–388
Erosions-Korrosionserscheinungen, Block A im KKW Biblis 56:665–667

Fehlerortung 56:452–456
Fertigungsfragen 56:222–231
Feuerfeste Baustoffe für Müllfeuerungen 56:257–263
Feuerung, Mischkohle 56:537–542
– Stickoxidemissionen 56:785–790
– Wirbelschicht 56:509–518
Feuerraumkonstruktion, Steinkohlefeuerung 56:613–622
Feuerungstechnik, neue Ergebnisse 56:708–711
Feuerraumschwingungen 56:327–333
– Maßnahmen zur Beseitigung 56:327–333
– Stand der Erkenntnisse 56:327–333
Flammenforschung, Internationale 56:708–711
Fluchtwege im Sicherheitsbehälter 56:428
Flüssigkeitsring-Vakuumpumpen 56:677–682
Flugasche, Fluoridadsorption 56:400
Fluor-Analyse 56:395–400
Fluorwasserstoffkonzentration in Abgasen 56:395–400

Gasturbinen, Auslegungsdaten der 5-MW-Gasturbine 56:319–327
– Geräusch 56:432–440
– Kombi-Block 56:17–20
– Konstruktion der 5-MW-Gasturbine 56:319–327
– Konstruktionsprinzipien von Gasturbinen 56:17–20
– Kühlung der rotierenden Teile 56:319–327
– Schallschutz 56:687–692
– Typ 3 – eine neue 5-MW-Gasturbine 56:319–327
– Vergleiche Mono-Block / Kombi-Block 56:17–20
Gebäudeanordnung in Kernkraftwerken 56:302–304, 317
Gefügestruktur 56:150–154
Gemeinschaftskernkraftwerk Neckar, Personalausbildung 56:745–750
Generatorwellen, Werkstofffragen 56:268–273, 340–346
Geradrohrdampferzeuger, Werkstofffragen 56:222–231
Geräuschentwicklung, Gasturbinen 56:432–440
Gesteuerter Gleitdruck, Regelverhalten eines im ...betriebenen KW-Block 56:83–90
Gewährleistungen bei Wärmedämmung an Dampferzeugern 56:503–509
Gleitdruckanlage 56:735–741
Großdampferzeuger, Kombi-Blöcke 56:750–756
Gummierung von wasserberührten Anlagen 56:106–110

Härtestabilisierung im Wasser mit Organophosphaten 56:169–172
Haftaufweitung, Hydraulisches Aufweiten – ein neues Verfahren zur Befestigung von Rohren 56:456–464
Hardware von Doppelprozeßrechnern 56:548–549
Hauptkühlmittelpumpen, Betriebserfahrungen 56:610–613
– gelöste Schrauben im KKW Biblis 56:668–669
Heizöladditive, Untersuchungen BASF 56:388–395
Heizöl S, Qualitätsentwicklung 56:448–452
– Verbrennungsprobleme 56:448–452
Hohlbohrkernprüfung 56:268–273, 340–346
Holographische Interferometrie 56:334–340
Hochdruckkondensation, gesteuert 56:236–241
Hochtemperaturreaktor, Wasserchemie beim AVR Jülich 56:100–105
– Kohlenvergasung, Prozeßwärme 56:213–219
Hydraulisches Aufweiten – ein neues Verfahren zur Befestigung von Rohren 56:456–464
Hydrodynamische Regelkupplungen 56:496–503

Immissionswerte nach TA Luft 56:266–267
Industriekraftanlagen, Kombination von Kondensations- und Gegendruckanlagen 56:476–484
– Planungsgesichtspunkte bei der Modernisierung 56:476–484
Interferenzlinien 56:334–340
Inspektion des Generators im KKW Biblis 56:668

Kernkraftwerke, Ausrüstung und personelle Besetzung der Laboratorien 56:711–714
– Betriebsverhalten 56:219–231
– Dekontamination 56:353–357
– KKW AVR Jülich, Wasserchemie 56:100–105
– KKW Doel, Kondensatreinigungsanlage 56:645
– KKW Stade, chemische Betriebserfahrungen 56:90–100
Kernkraftwerk-Simulator-Zentrum 56:365–368, 745–750
Kernkraftwerkspersonal, Ausbildung 56:365–368, 745–750
Kesselwasser, Konditionierung mit Natriumphosphaten 56:562–572, 638–644
Kesselkonservierung 56:535–537
Kesselumwälzpumpen, Entwicklungsstand, Planungshinweise, Betriebserfahrungen 56:440–446
Kraftwerk Meppen, Erdgasfeuerung 56:383–388
Kraftwerksblock, nachträgliche Automatisierung der Leitebene 56:241–246
Kraftwerksschule e.V. 56:365–368, 745–750
Kohle, Wasserbestimmung 56:110–116
Kohlegefeuerte Kessel, Fluorwasserstoff Konzentration 56:395–400
Kohlemischungen, Verfeuerung von 56:537–542
Kohlenstaubverbrennung in der Wirbelschicht 56:509–518
Kohlenstaubzwangsverteiler 56:613–622
Kombi-Blöcke, Dampfturbinen 56:693–700
– aufgeladener Dampferzeuger 56:76–83
– Doppelprozeßrechnersystem 56:548–555
– Feuerungsprobleme 56:693–700
– Freilastrechner 56:552–553
– Großdampferzeuger 56:750–756
– KW Altbach 56:750–756
– KW Elverlingsen 56:20–23
– KW Franken 56:750–756
– KW Mainz-Wiesbaden 56:750–756
– KW Marbach, Inbetriebnahme, Erfahrungen 56:760–766
– Sicherheitstechnische Einrichtungen 56:756–760
– Umschaltung von Gasturbinen auf Frischluftbetrieb 56:693–700
– Verriegelung der Luft- und Rauchgaskanäle 56:756–760
Kombinierte Naß-/Trockenkühlung, Entwicklungsstand und erste Betriebserfahrungen 56:630–637
Kompensatoren in Kraftwerken, Wirkungsweise, Konstruktion, Berechnung, Auslegung, Fertigung, Prüfung, Transport, Lagerung, Montage 56:464–470
Kondensatorleckagen, Kontrolle durch Natrium-Bestimmung 56:160–166
Kondensatreinigung im Kernkraftwerk Doel 56:645
Kondensatstromregelung einer Gleitdruckanlage 56:735–741
Konservierung eines 450-t/h-Kessels 56:535–537
Konstantdruck-Zerstäuberbrenner 56:247–252
Kontrollbereich, Brandschutzeinrichtungen 56:425–432
Kontamination und Dekontamination 56:353–357
Korrosion, Geradrohrdampferzeuger 56:222–231
– ND-Vorwärmer 56:45–50
– Wasser-Dampfkreislauf, Nachweis durch Wasserstoffmessungen 56:39–45
Korrosion und Korrosionsinhibierung durch Sauerstoff 56:50–54
Korrosionsschutz durch Beschichtungen 56:106–110
Kühlung im Kraftwerk, Verfahrenstechniken der Luftkühlung 56:473–476
Kühlkreislauf, Wasserqualität und Werkstoffe bei geschlossenen Systemen 56:473–476
Kühlwasser, Konditionierung mit organischen Phosphorverbindungen 56:169–172
– ökologische Aspekte beim Einsatz von Phosphonsäuren 56:173–176
– VGB-Richtlinie für Umlaufkühlung mit geschlossenem Kühlkreislauf 56:473–476
Kugelhaufenreaktor, Erfahrungen mit der Beschickung 56:144–147
– Fortschrittliche Abschaltverfahren 56:368–372
– Stand der Entwicklung 56:296–300
Kunststoff-Beschichtungen in wasserberührten Anlagen 56:106–110
Kunststoffleitungen im Kraftwerk, Zeitstandsfestigkeit, Betriebsbelastung, Strahlenbeständigkeit, Verarbeitung, Konstruktion, Überwachung, Anwendungsbeispiele 56:683–687

Laboratorien in Kernkraftwerken, Ausrüstung und Personal 56:711–714
Lärmminderung, Gasturbinen 56:432–440
Lastfallbeschreibungen, Tragverhalten der Bauelemente 56:177–186
Lateralkompensatoren 56:464–470
Leckagen, Hochdruckteil der Turbine Block A im KKW Biblis 56:665

Leckageprüfung, Fehlerortung und Leckageprüfung an Großkesseln und Rohrleitungen mit Hilfe der Schallemissionsanalyse 56:452–456
Leitebene eines Turbosatzes, Programmsystem zur Automatisierung 56:241–246
Leitstandsfahrer von Kernkraftwerken 56:745–750
Leitsysteme, Auswahlkriterien 56:700–708
– sicherer und zuverlässiger Aufbau 56:703–707
Leittechnische Geräte, Untersuchungen der Zuverlässigkeit 56:701–703
Luftgekühlte Kondensationsanlagen 56:542–548
Luftreinhaltung, TA Luft 1974 56:263–267

Markoffsche Modelle 56:793–800
Maschinentechnische Anlagen im Kernkraftwerk 56:610–613
Massenausstoß von Verdampfersystemen 56:599–605
Meßschaltung, Überwachung der Wärmeabgabe 56:447–448
Minderungsmaßnahmen, Stickoxide 56:785–790
Mindestmengenregelung, Arten 56:373–376
Mindestmengenregelventile, Konstruktion, Verfügbarkeit und Verschleißverhalten, theoretische Betrachtungen 56:373–376
Mischung, Steinkohlen- 56:537–542
Miteral, -fasermatten, -wollematten 56:503–509
Modernisierung älterer Kraftwerke 56:20–23
– einer Industriekraftanlage 56:476–484
Müllfeuerungen, keramische Auskleidung 56:257–263
– Rauchgasreinigung und Rauchgaswäsche 56:252–257
– Regelung 56:23–29
Müllkessel, Fluorwasserstoffkonzentration 56:395–400
Müllverbrennung 56:715–721
– Sondermüllverbrennung 56:155–159

Naß-Trockenkühlung 56:630–637
Natrium, Bestimmung im ppb-Bereich 56:160–166
Natriumphosphate zur Kesselwasserbehandlung 56:562–572, 638–644
Netzkennlinienregelbetrieb einer gasgefeuerten Gleitdruckanlage 56:735–741
Niederdruck-Vorwärmer, Korrosionsvorgänge und Schichtwachstum 56:45–50
NO_x: siehe Stickoxide 56:622–629

Oberflächenrißprüfung 56:334–340
Ökologie bei Anwendung von Phosphonsäuren zur Kühlwasserbehandlung 56:173–176
Ölbrenner, Versuchserfahrungen 56:247–252
Optimierungsstudie für Reparaturen unter Strahlenbelastung 56:316–317
Organophosphate zur Kühlwasserbehandlung 56:169–172
– ökologische Aspekte 56:173–176

Phosphate, Chemie im System Eisen/Wasser 56:562–572, 638–644
Phosphatfahrweise bei Druckwasserreaktoren 56:562–572, 638–644
Phosphonsäuren zur Kühlwasserbehandlung, ökologische Aspekte 56:173–176
Phosphorverbindungen, organische, zur Kühlwasserbehandlung 56:169–172
Planung von Kernkraftwerken 56:300–318
– mittels Modell, Vorteile 56:318
– von Montagen in Kernkraftwerken mittels Modell 56:312–315, 318
– Von Reparaturen in Kernkraftwerken mittels Modell 56:318
Prüfaufwand 56:294–296
Prozeßperipherie, nachträglicher Anschluß an den Prozeßrechner 56:246
Radionuklide, Kontamination und Dekontamination 56:353–357
Rauchgase, Fluoranalyse 56:395–400
Rauchgaswäsche bei Müllfeuerungen 56:252–257
Reaktorfahrer 56:745–750
Regelkonzept für KW-Block im gesteuerten Gleitdruck 56:84
Regelkupplungen 56:496–503
Regeln der Technik 56:660–662
Regelverhalten eines im gesteuerten Gleitdruck betriebenen KW-Blockes 56:83–90
Reinhaltung der Luft, Technische Anleitung zur ..., 1974 56:263–267
Reinigungsanlage für Kernkraftwerke 56:301, 305, 317
Relaxationsverhalten 56:150–154
Reparaturfreundlichkeit 56:300–318
Revisionen, Block A im KKW Biblis 56:663–671
Rezirkulation von Rauchgasen zur NO_x-Minderung 56:787–790
Rißbildung, Speisewasserbehälter Block A im KKW Biblis 56:667–668
Rißwachstumsverhalten 56:268–273, 340–346
Rohrböden, Hydraulisches Aufweiten – ein neues Verfahren zur Befestigung von Rohren 56:456–464

Sauerstoff, Bedeutung für den Wasser-Dampfkreislauf 56:50–54
Seigerungen 56:268–273, 340–346
Selbstverwaltung der Wirtschaft 56:655–659
Sicherheit, von Leittechnischen Systemen 56:700–708
Sicherheitsbehälter, Brandfrüherkennung 56:430
– Fluchtwege 56:428
– Verringerung der Brandbelastung 56:429
Sicherheitseinrichtungen gegen Drucküberschreitungen an Dampfkesseln 56:766–776
– Auslegung 56:766–776
– Prüfung 56:766–776
– Ergebnisse sicherheitstechnischer Funktionsprüfungen 56:766–776
– Erfahrungen 56:766–776
Sicherheitstechnische Einrichtungen für Kombi-Blöcke 56:756–760
Sicherheitsventile, Schnellsteuerung 56:671–676
– Zusatzbelastung 56:671–676
– Steuerung 56:671–676
– Berechnungsbeispiel 56:671–676
– Bau und Betrieb 56:671–676

Siedewasserreaktor, Problemlösungen Lingen 56:13–17
Signalflußplan für Kraftwerksblock im gesteuerten Gleitdruck 56:84–85
Simulator-Training 56:365–368, 745–750
Sonvicobrenner, Versuche 56:247–252
Spannungsanalyse, Anwendung im modernen Dampferzeugerbau 56:8–13
Spannvorrichtungen für Schrauben Ausführung 56:401–407
– Wartung 56:401–407
– Betriebserfahrungen 56:401–407
– Funktion 56:401–407
Speisewasserausschuß der VGB, 50jähriges Bestehen 56:54–56
Speisewasserbehälter, Leckage Block A im KKW Biblis 56:667–668
Speisepumpenantriebe, Wirtschaftlichkeitsvergleich zwischen Dampfturbinen- und Elektroantrieb 56:605–610
Speisepumpenregelkupplungen 56:496–503
Sprödbruchverhalten, Werkstoff-Inhomogenität 56:268–273, 340–346
Systemausfall-Wahrscheinlichkeit, Berechnung 56:793–800
Systemauslegung in Bezug auf Strahlenbelastung 56:317/318
Schalldämpfer, hinter Gasturbinen 56:432–440, 687–692
Schallemissionsanalyse 56:452–456
Schichtleiter von Kernkraftwerken 56:745–750
Schlammaufbereitung 56:166–169
Schmiedestücke 56:268–273, 340–346
Schornsteinhöhenbestimmung nach TA Luft 56:267
Schraubenspannvorrichtungen, hydraulisch 56:401–407
Schutzschichtbildung in ND-Vorwärmern 56:45–50
Schwefelabdruck 56:268–273, 340–346
Staatsentlastende Tätigkeit 56:655–659
Steinkohlen, Feuerung 56:613–622
– Wasserbestimmung 56:110–116
Steuerstabantrieb, Störungen 56:669
Stickoxidemissionen 56:708–711, 785–790
– Verminderung 56:622–629
Wirbelschichtfeuerungen 56:509–518
Stillstandskorrosion, Verhütung durch Kesselkonservierung 56:535–537
Störfallanalyse, Rasmussen-Studie 56:291–294
Stopfbuchslose Umwälzpumpen 56:440–446
Strahlenbelastung des Personals 56:670–671
Strömungsversuche, Schalldämpfer-Durchströmung 56:687–692
Stufenverbrennung, Stickoxidemissionen 56:622–629

tri-Natriumphosphat zur Kesselwasserbehandlung 56:562–572, 638–644
Tritiumbildung bei Hochtemperaturreaktoren 56:100–105
Trockenkühltürme, Vergleich von Wirtschaftlichkeit und Technik 56:542–548
– VGB-Kühlwasserrichtlinie 56:473–476
Trommelkessel, Festdruckbetrieb mit gesteuerter Hochdruckkondensation 56:236–241
Turbinenanfahrprogramm 56:554
Turbinenschaden, Block A im KKW Biblis 56:665–667
Turbinenwellen 56:268–273, 340–346
Turboregelkupplungen, Entwicklungsstand 56:496–503
– Einsatzmöglichkeiten 56:496–503
– Kenngrößen 56:496–503
– Funktion 56:496–503
Turbosatz – Programmsystem zur Automatisierung eines ... 56:241–246

Umwälzpumpen 56:440–446
Umweltschutzkosten, Schallschutz bei Gasturbinen 56:432–440

Vakuumpumpen für Dampfturbinenkondensatoren 56:677–682
– Flüssigkeitsring-Kompakteinheit 56:677–682
– physikalische Vorgänge 56:677–682
– Wahl des Systems 56:677–682
Verbände als Ordnungsfaktoren 56:655–659
Verbrennungsforschung 56:708–711
– Versuchsbrenner 56:622–629
Verbrennungsluftregelung, Steinkohlefeuerung 56:613–622
Verdampfersystem, Massenausstoß bei Beheizung 56:599–605
Verfügbarkeit, Blockanlagen 1975 56:800–805
– Block A im KKW Biblis 56:664
Vergleichende Betrachtungen, Voraussagen 56:33–38
Verriegerungen der Luft- und Rauchgaskanäle für kombinierte Gas-/Dampfturbinen-Anlagen 56:756–760
Verschmutzungen, Mischkohlefeuerungen 56:537–542
Versicherungsformen 56:273–276
Ventilgehäuse 56:152
VGB, Kongreß „Kraftwerke 1976" 56:583–593
– Konzept 56:660–662
– Kurzbericht Tätigkeit 1975/76 56:521–532
– Speisewasserausschuß, 50jähriges Bestehen 56:54–56

Wärmeabgabe, Ermittlung 56:446
– Überwachung 56:446–448
Wärmedämmung, Gewährleistungen 56:503–509
Wärmetauscher 56:456–464
Wasseraufbereitung, Bestimmung des Natrium-Schlupfes 56:160–166
– Entsorgung fester Abfallstoffe 56:166–169
Wasserbestimmung in Steinkohlen 56:110–116
Wasserchemie, AVR-Reaktor 56:100–105
– Kernkraftwerk Stade 56:90–100
Wasser-Dampfkreislauf, Bedeutung des Sauerstoffs 56:50–54
– Bestimmung von Natrium 56:110–116
– Korrosion und Schichtwachstum in ND-Vorwärmern 56:45–50
– Wasserstoffmessungen 56:39–45
– Sekundärkreislauf AVR Jülich 56:100–105
– Wasser-Dampfkreislauf 56:39–45

Werkstoffe 56:222–231, 268–273, 340–346
Wiederholungsprüfung 56:452–456
Wirbelschichtfeuerung als Kraftwerksfeuerung 56:509–518
Wirtschaftlichkeitsvergleich für Speisepumpenantriebe 56:605–610

Zerstörungsfreie Prüfung 56:452–456
Zeitstandfestigkeit 56:150–154
Zuverlässigkeit, Berechnung mit Markoffschen Modellen 56:793–800
– leittechnische Systeme 56:700–708
Zwischenüberhitzer, Absicherung durch Sicherheitsventile 56:671–676
– Druckhaltung 56:671–676
– Druckabsenkung 56:671–676
– Konservierung 56:535–537

Persönliches

Anschütz, Otto, 80 Jahre 56:519
Behnke, Karl, 25 Jahre bei der Gustav F. Gerdts KG 56:279
Birkhofer, Adolf, Otto-Hahn-Preis 56:279
Börnke, Fritz, 25 Jahre Leiter der Bauabteilung des RWE 56:135
Börnke, Fritz, Verdienste um die Unfallverhütung 56:190
Cautius, Werner, im Ruhestand 56:279
Egenolf, Walter, 60 Jahre 56:647
Elsässer, Helmut, 75 Jahre 56:472
Engel, Walter M., aus der Geschäftsführung EVT ausgeschieden 56:58
Engel, Walter M., 65 Jahre 56:723
Eyndhoven, van, F.H.M., 50 Jahre 56:647
Eyndhoven, van, F.H.M., zum Vorsitzenden des Vorstandes ernannt 56:519
Frank, Berthold, Vorsitzender der VDI-Gesellschaft 56:190
Frank, Berthold, Vorsitzender des wissenschaftlichen VGB-Beirates 56:647
Gärtner, Erwin, im Ruhestand 56:472
Gauf, Josef, gestorben 56:135
Gilson, Wilhelm, 60 Jahre 56:190
Günther, Rudolf, 65 Jahre 56:190
Hansen, 25 Jahre bei Dansk Kedelforening 56:472
Hawkins, Arthur, zum Ritter geschlagen 56:580
Heitzer, Hans, Vorstandsvorsitzender der Bayernwerk AG 56:190
Held, H.D., 50 Jahre 56:519
Hilderath, Friedrich, im Ruhestand 56:472
Hoffmann, Kurt, gestorben 56:418
Jansen, Cornelis, gestorben 56:519
Jauernick, Rolf, 65 Jahre 56:418
Just, Karl-Heinz, 60 Jahre 56:135
Kahle, Paul, 85 Jahre 56:418
Keller, Wolfgang, im KWU-Vorstand 56:472
Kets, Jacob, gestorben 56:472
Keysselitz, Günther, gestorben 56:190
Klein, Paul, 80 Jahre 56:418
Klump, Walter, 65 Jahre 56:418
Krämer, Karl, gestorben 56:135
Kußmaul, Karl, löst Wellinger, Karl, ab 56:519
Lenhartz, Rudolf, Vorstandsvorsitzender der Saarbergwerke AG 56:472
Loew, Heinz, 50 Jahre 56:519
Lorscheider, Gotthard, 65 Jahre 56:279
Maikranz, Franz, im Ruhestand 56:190
Mandel, Heinrich, Vorsitzender des Exekutivrates der Weltenergiekonferenz 56:723
Mennen, Josef, Neuer DVS-Präsident 56:647
Meysenburg, Helmut, Großes Verdienstkreuz des Verdienstordens 56:190
Mörgen, Günther, 50 Jahre 56:279
Neubauer, R., 65 Jahre 56:58
Niehage, Günther, 60 Jahre 56:519
Orglmeister, Hanns, 50 Jahre 56:723
Reihlen, Helmut, Direktor des DIN 56:723
Resch, Gerhard, 50 Jahre 56:418
Reuther, Carl, 70 Jahre 56:279
Riedel, Hanns Joachim, Großes Verdienstkreuz des Verdienstordens 56:519
Sahl, Wilhelm, leitet „Reaktorsicherheit und Strahlenschutz" 56:647
Snel, A., 50 Jahre 56:519
Spähn, Heinz, 50 Jahre 56:190
Speich, Peter, im Vorstand von Rheinbraun 56:472
Schäff, Karl, 75 Jahre 56:418
Schelberger, Herbert, zum Professor ernannt 56:418
Scheubel, Franz Nikolaus, gestorben 56:580
Schluppkotten, Kurt, gestorben 56:647
Schoch, Wilhelm, Mitglied der Reaktorsicherheitskommission 56:647
Schwarz, Karl, 70 Jahre 56:647
Stenner, Moritz, 80 Jahre 56:278
Stinshoff, Richard, im Ruhestand 56:647
Stuchtey, Rudolf, gestorben 56:278
Tanner, Erich, 70 Jahre 56:723
Theisen, Paul, gestorben 56:190
Wagner, Helmut, gestorben 56:190
Weckesser, August, im Ruhestand 56:135
Wellinger, Karl, gestorben 56:723
Werner, Erich, im Ruhestand 56:418
Wiegand, Heinrich, 70 Jahre 56:190
Wiese, Wilhelm, gestorben 56:580
Williams, Leonard, Chef der EG-Generaldirektion „Energie" 56:135
Zerna, Wolfgang, 60 Jahre 56:723

Buchbesprechungen

A general review of closed-cycle gas turbines using fossil, nuclear and solar energy 56:284
Analyse der Metalle Band 3 „Probenahme" 56:191
Brennstoff und Dampf in deiner Hand 56:580
Bundes-Immissionsschutzgesetz mit Durchführungsverordnungen sowie TA Luft und TA Lärm 56:62
Dampfkesselbestimmungen 56:806
Der Schutzgasschweißer 56:806
Die Analyse der organischen Verunreinigungen in Trink-, Brauch- und Abwässern 56:62
Die Bahnen des RWE 56:192
Die Verfahren der Schweißtechnik 56:62
Electrical Engineering Reader 56:63
Festigkeitsnachweise mit Zahlenbeispielen aus der Praxis 56:283
Grundnormen für die mechanische Technik DIN Taschenbuch 1 56:62
Handbuch des Lärmschutzes und der Luftreinhaltung (Immissionsschutz) HdL 56:724
Jahrbuch für Bergbau, Energie, Mineralöl und Chemie 1975 56:283
Mesy — Ein Programmsystem zur Untersuchung von Tragwerken 56:63
Möglichkeiten und Folgen der Einführung von Rauchgas-Entschwefelungs-Verfahren 56:723
Neuere Erkenntnisse über Schwingungen von Bauwerken im Wind 56:724
Planung, Bau und Betrieb von Abwasser- und abfalltechnischen Anlagen 56:191
Prozeßrechner 56:62
Rohrleitungstechnik in der chemischen Industrie 56:284
Sicherheitstechnische Bauteilbegutachtung 56:191
Sicherheitstechnik 56:580, 806
Silos und Bunker für die Schüttgutspeicherung 56:62
Schriftenreihe Umweltschutz 56:724
Schweißen von Behältern und Rohrleitungen 56:581
Schweißen nichtrostender Stähle 56:806
Stand und Entwicklungstendenzen der Herstellung und Prüfung von Kupfer-Nickel-Chrom-Überzügen auf Metallen und Kunststoffen 56:191
Taschenbuch der Abwasser-Behandlung für die Metallverarbeitende Industrie 56:724
Taschenbuch für den kathodischen Korrosionsschutz 56:62
Technische Wärmelehre 56:723
The control of high temperature fireside corrosion 56:191
Über kanonische Zustandsgleichungen und ihre Anwendungsmöglichkeiten in der Technik, VDI-Forschungsheft 57 56:283, 581
Überlegungen zur künftigen Entwicklung der elektrischen Wohnbeheizung — Heft 44 Elektrowärme-praxis 56:191
Wärmeleitung in Strömungen 56:580
Weighing and proportioning of bulk solids 56:424, 580
Wettbewerbliche und strukturelle Aspekte einer Zusammenfassung von Unternehmen im Energiebereich (VEBA/Gelsenberg) 56:284, 581
WLD Handbuch Umwelttechnik 76/77 56:806
Zur Theorie und Technik räumlicher Verteilung von Energieversorgungsanlagen 56:63

VGB KRAFTWERKSTECHNIK

MITTEILUNGEN DER VGB TECHNISCHE VEREINIGUNG DER GROSSKRAFTWERKSBETREIBER

57. JAHRGANG (1977) ● HEFTE 1–12

INTERNATIONALE FACHZEITSCHRIFT FÜR TECHNIK IN WÄRMEKRAFTWERKEN

HERAUSGEBER

VGB TECHNISCHE VEREINIGUNG DER GROSSKRAFTWERKSBETREIBER E.V.

Vorsitzender: Direktor Professor Dr.-Ing. K. Knizia, Dortmund;
Geschäftsführer: Direktor Dr.-Ing. O. Schwarz, Essen.

REDAKTION

Abteilungsdirektor Ing. (grad.) H. Kaes, Essen;
Oberingenieur Dipl.-Ing. A. Kantner, Essen;
Abteilungsdirektor Professor Dr. rer. nat. H. Kirsch, Essen;
Oberingenieur Dr. rer. nat. H. Kittel, Essen;
Abteilungsdirektor Dipl.-Ing. K. Plate, Essen;
Oberingenieur Dipl.-Ing. G. Welten, Essen.

CHEFREDAKTEUR

Oberingenieur Ing. (grad.) H. Bleßmann, Essen.

ANSCHRIFT

VGB TECHNISCHE VEREINIGUNG DER GROSSKRAFTWERKSBETREIBER E.V.
Klinkestraße 27/31, Postfach 1791, 4300 Essen,
Fernruf 198-1, Fernschreiber 0857507 vgb d.

Für den sachlichen Inhalt der Beiträge ist der jeweilige Autor verantwortlich.
Briefe und Manuskripte bitte nur an die Redaktion,
nicht an einzelne Sachbearbeiter.
Für unverlangte Einsendungen übernehmen wir keine Haftung.

WISSENSCHAFTLICHER REDAKTIONSBEIRAT

Professor Dr.-Ing. F. Brandt, Darmstadt;
Professor Dr. techn. D. Johnson, Trondheim;
Professor Ir. J.J.C. van Lier, Delft;
Professor Dipl.-Ing. Dr. techn. W. Linzer, Wien;
Professor Dr. techn. O.I. Martynova, Moskau;
Professor Dr.-Ing. P. Profos, Zürich;
Professor Dr.-Ing. R. Quack, Stuttgart;
Professor Dr. phil. H. Rögener, Hannover;
Professor Dr. rer. nat. R. Schulten, Aachen;
Professor Dipl.-Ing. I.D. Stancescu, Bukarest.

TECHNISCHER REDAKTIONSBEIRAT

Oberingenieur H. Berggren, Malmö;
Direktor Professor Dr.-Ing. H. Brüderlin, Stuttgart;
Direktor Dr. K. Hansen, Kopenhagen;
Direktor Dr.-Ing. H. Krolewski, Dortmund;
Direktor Dr.-Ing. G. Noetzlin, Marl;
Direktor Dr.-Ing. H. Novak, Nürnberg;
Direktor F. Scheurer, Paris;
Direktor Dr.-Ing. E.h. Dipl.-Ing. W. Schoch, Mannheim;
Oberingenieur Ir. G.J. Schoppert, Nijmegen.

VERTRIEB UND ANZEIGENVERWALTUNG

VGB-KRAFTWERKSTECHNIK GMBH, Klinkestraße 27–31, Postfach 1791,
4300 Essen, Fernruf 198-242, Fernschreiber 0857507 vgb d.
Verantwortlich für Vertrieb und Anzeigenteil: R. Rätz.
Anzeigentarif Nr. 19 vom 1. Januar 1977.

ERSCHEINUNGSWEISE

monatlich, außerdem erscheint zeitlich verschoben
eine englische Fassung dieses Heftes

Inhaltsverzeichnis 1977

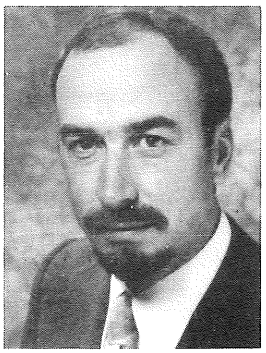
DIE FOTOS DER VERFASSER FINDEN SIE AUF DEN SEITEN II BIS X

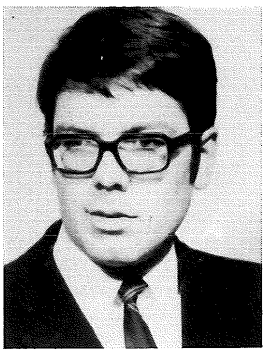

G. Volland, Neu Isenburg


H. Wagner, Wiesbaden


K. Wangnick, Bremen


J. Wehr, Essen


U. Weicht, Mannheim

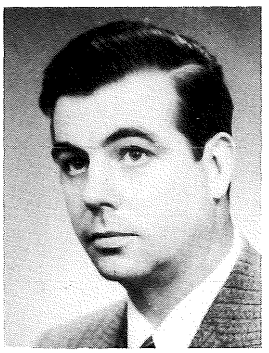

H. Weiler, Wilhelmshaven


O. Weimann, Darmstadt


H. Wille, Erlangen


E. Wittchow, Erlangen


H. Wydler,
Winterthur/Schweiz


H. Zilling, Nürnberg


K. Zinke, Dortmund

IN DEN ZWÖLF HEFTEN DES JAHRGANGES 57 SIND ENTHALTEN:

Heft	1	2	3	4	5	6
Seiten	1–76	77–144	145–220	221–296	297–368	369–452

Heft	7	8	9	10	11	12
Seiten	453–508	509–572	573–644	645–716	717–788	789–852

Verfasserverzeichnis 1977

Ackermann, W., und Reumont, G.A. von, Erfahrungen bei der Verarbeitung des Stahles 13 MnNiMo 5 4 zu warmgehenden Druckbehältern 57:361–366

Adamsky, F.-J., und Teichmann, H.D., Betriebserfahrungen mit Speisewasserbehältern 57:759–773

Bald, A., und Wittchow, E., Planung fossil gefeuerter Kraftwerke unter dem Gesichtspunkt der heutigen Brennstoffsituation 57:735–742

Baumann, K., und Gramberg, U., 260 000 Stunden einer Löffler-Kesselanlage mit 130 bar und 510°C 57:699–706

Berlenbach, N., siehe Hagel, G. von

Beuerle, H.J., und Stoll, A., Das Standardbetriebshandbuch für Kernkraftwerke 57:145–151

Bosselmann, W., und Weiler, H., Erste Betriebserfahrungen mit der Rauchgasentschwefelungsanlage im Kraftwerk Wilhelmshaven 57:603–610

Braun, W.M., Korrosionsschutz im Inneren hoher Schornsteine 57:126–130

Braune, B., und Lewerentz, U., Licht und Sicht um Ecken und Kurven 57:410–413

Brosche, D., und Eßmann, J., Aspekte bei der Stilllegung von Kernkraftwerken 57:598–603

Büttner, G., Einfluß von Brennstoffbasis und Betriebsbedingungen auf die Planung von 660-MW-Steinkohlenstaubfeuerungen 57:668–673

Burgbacher, G., und Kattoll, F.W., Schäden an Rohrleitungen und Formstücken in Heißdampfanlagen 57:434–441

Bursik, A., und Richter, R., Möglichkeiten der Stillstandskonservierung von Kraftwerksblöcken 57:255–259

Busse, L., BBC-Lebensdauerzähler – eine Möglichkeit zur Langzeitüberwachung von Dampfturbinen 57:156–159

Chastelet, L. van, Korrosionen in Schornsteinen und Maßnahmen zur Schadensbehebung 57:184–194

Crome, R., Die Wirbelstromprüfung am Beispiel hochwertiger, kontinuierlich schmelzgeschweißter Rohre 57:57–61

Dettloff, K., Zukünftige Konzepte der Prozeßrechnertechnik in Kraftwerken 57:89–95

Dibelius, G., et al., Erfahrungen mit der Bestimmung der Dampffeuchte bei den Abnahmeversuchen im Kernkraftwerk Biblis 57:610–619

Dörling, R., Liner-Konstruktion und Ausführung beim THTR und die Sicherheitsumschließung beim KKW Gundremmingen II 57:81–88

Dörr, A., siehe Dibelius, G.

Dreßen, K.H., und Kümmel, H.J., Heißwasserkessel für große Leistungen 57:664–668

Ederhof, A., siehe Dibelius, G.

Effertz, P.-H., und Resch, G., Kombinierte Konditionierung von Wasser-Dampfkreisläufen mit Wasserstoffperoxid und Ammoniak 57:70/71

Effertz, P.-H., und Fichte, W., Die Eisensulfat-Dosierung in Kühlsystemen – Grundlagen und Anwendung 57:116–121

Ehlert Knudsen, J., Der Stromausfall in New York 1977 aus europäischer Sicht 57:573–579

Ekberg, G., Kernkraft in Schweden – Politik und Wirklichkeit 57:725–729

Elbek, B., Die Welt der Physik 57:655–664

Erdmann, W., Erfahrungen beim Bau des Seilnetz-Kühlturmes Schmehausen 57:206–215

Eßmann, J., siehe Brosche, D.

Fejes, P., Wasserchemie in schwedischen Siedewasserreaktoren – Betriebserfahrungen 57:112–116

Fichte, W., siehe Effertz, P.-H.

Fischer, K., Deutsch-dänische Zusammenarbeit bei Bau und Betrieb der 600-MW-kohlegefeuerten Anlage „Enstedværket", Block 3 57:808–813

Förster, S., und Hewing, G., Die Kühlung von Kernkraftwerken, ausgerüstet mit Hochtemperaturreaktor und Heliumturbinenkreislauf 57:95–106

Forck, B., Chemie der Rauchgas-Entschwefelung 57:194–199

Friedrich, K., und Weicht, U., Regelkonzept und Lastfolgeverhalten des THTR-300-Kernkraftwerkes Uentrop 57:306–315

Fröhlich, P., und Reidick, H., Überlegungen zu Dampferzeugeranlagen mit Kohlenstaubfeuerung für kombinierte Gas-Dampfturbinen-Anlagen 57:302–306

Gabrysch, G., Einsatz von Wanderrostfeuerungen bei schnell wechselnder Brennstoffversorgung 57:820–824

Gerking, E., und Hamann, H., Einfluß des Kühlturmbetriebes auf die Schwadenlänge 57:326–333

Gramberg, U., siehe Baumann, K.

Grimm, H., Erfahrungen mit der Rauchgaswaschanlage in der MVA Kiel 57:121–126

Gutowski, H., Angewandte Verfahren und zukünftiger Entwicklungstrend für Abgasreinigungsanlagen von Leichtwasserreaktoren 57:460–463

Hagel, G. von, Berlenbach, N., und Klegraf, K., Ein neues Verfahren der Aufbereitung von Kühlturmzusatzwasser durch Langsamentcarbonisierung 57:45–49

Halzl, J., siehe Innocente, G.

Hamann, H., siehe Gerking, E.

Hein, D., Keil, H., und Köhler, W., Die Benson-Versuchsstrecke 57:369–374

Henssler, H.-D., Neue Axialventilatoren ohne instabilen Betriebsbereich 57:159—165
Hewing, G., siehe Förster, S.
Hirschfelder, G., Entwicklung und Entwicklungstendenzen von Kernkraftwerken mit Hochtemperaturreaktoren 57:8—16
Holighaus, R., Aufgaben und Ergebnisse des Forschungsgebietes „Kohletechnologien" 57:832—839
Holling, H.P., Einfluß der Konzentrationen von Wasser/Heizöl S Emulsionen auf den Gesamtfeststoffauswurf von Ölfeuerungen 57:400—403
Holzhüter, E., Migod, A., und Siekmann, H., Einfluß von Bauwerk und Zulaufbedingungen auf die Kühlwasserpumpen und die verschiedenen Kühlwasserpumpenbauarten für Kühltürme 57:414—423
Hosenfeld, H.-G., siehe Schwerdtner, O.A.
Huppmann, H., und Löbert, P., Möglichkeiten und Grenzen der Endoskopie bei Großrevisionen 57:580—590
Husemann, R.U., Rißbildung in der Wärmeeinflußzone eines geschweißten Formstückes aus dem warmfesten austenitischen Stahl X 8 CrNiNb 16 13 57:483—485

Innocente, G., Wydler, H., und Halzl, J., Heliumerhitzer für Heliumturbinenanlagen der EVO 57:375—380

Jaerschky, R., Reifenhäuser, R., und Schlicht, K., Betriebsbewährung der Automatisierung 57:241—246
Jensen, S.Aa., Verwendungsmöglichkeiten für Kraftwerksasche 57:845—848
Jørgensen, E.S., Langzeit-stabiles Meßsystem zur kontinuierlichen Fernmessung und Fernüberwachung von Werkstoffdeformationen bei Temperaturen bis 750°C 57:463—467

Kahlert, W., Das Kraftwerk Westfalen 57:743—746
Kaiseršot, K., Auswirkungen von Abwärmeeinleitungen eines Kraftwerkes in die Oberelbe 57:747—753
Karnowski, K., und Mayer, E.W., Prüfung von Großkesselanlagen durch den TÜV-Sachverständigen — Aufgabenstellung, Prüfbefunde, Prüffristen 57:478—483
Kattoll, F.W., siehe Burgbacher, G.
Kaucher, W., Sicherheit der Kompensatoren 57:246—249
Kauffeld, W., Die Manövrierfähigkeit konventioneller Kraftwerksblöcke im Netzbetrieb aus der Sicht des praktischen Betriebes 57:380—392
Kautz, K., siehe Kirsch, H.
Kautz, H.R,, und Marci, G., Berichte über die Konferenz „Zerstörungsfreie Prüfung" 57:629—633
Keil, H., siehe Hein, D.
Keysselitz, H., siehe Schöddert, G.
Kirsch, H., Reichel, H.H., und Kautz, K., Moderne Untersuchungsmethoden zur Schadensaufklärung 57:200—205
Kirsch, H., und Reichel, H., Zur Rolle der Oxidschichten bei rauchgasseitigen Hochtemperaturkorrosionen 57:567—571
Kittel, H., und Schlizio, H., Neuere Untersuchungsergebnisse aus Wasseraufbereitungsanlagen und Wasser-Dampfkreisläufen 57:684—696
Kleczka, L., Schneider, H.E., und Wahl, B., Kritische Betrachtung zur Energieeinsparung und -sicherung im Rahmen der öffentlichen Energieversorgung 57:318—321
Klegraf, K., siehe Hagel, G. von
Knizia, K., Kraftwerkstechnologie — Wandel der Aufgaben und Probleme 57:717—721
Koch, H., und Telöken, R., Kohlehandhabung und Verbrennung bei der Stromerzeugung in Großkraftwerken in der Bundesrepublik Deutschland 57:789—799
Köhler, W., siehe Hein, D.
Kooij, J., van der, Einfluß der Brennstoffart auf die Stickoxidbildung in Kesselfeuerungen 57:679—684
Koziorowski, K., siehe Dibelius, G.
Krägeloh, E., Auswirkungen der Fließcharakteristik auf die Festigkeitsberechnung 57:130—134
Krägeloh, E., und Sturm, D., Mehrachsiger Spannungszustand und Verformungsvermögen 57:633—641
Krätzig, W.B., Tragverhalten von Naturzugkühltürmen unter besonderer Berücksichtigung bergbaulicher Einwirkungen 57:287—290
Kretzer, R., und Schluck, K., Erfahrungen bei der Kombination von Verfahrensschritten zur Aufbereitung von Kühlturmzusatzwasser 57:34—45
Krolewski, H., Die Kühlwassersituation in der Bundesrepublik Deutschland 1976 57:16—23
Krolewski, H., Der Kraftwerksstandort Schmehausen und seine Bauten 57:259—269
Krüger, F.K., Vollmechanisches Wolfram-Inertgas-Schweißen von Kesselrohren bei der Montage des Kraftwerkes Wilhelmshaven 57:453—460
Kühne, G., und Martinola, F., Ionenaustauscher — ihre Beständigkeit gegen chemische und physikalische Einwirkungen 57:173—184
Kümmel, H.J., siehe Dreßen, K.H.

Lasogga, H., Erfahrungen mit ungeschützten Stahlblechschornsteinen an Gasturbinenanlagen und Maßnahmen zur Verminderung von Korrosionen 57:473—477
Leonhardt, F., Umweltbewußtsein und Bauen 57:355—361
Lewerentz, U., siehe Braune, B.
Lindner, H., Berechnung des Erschöpfungsgrades von Kesselteilen mit Hilfe statistischer Auswertungsmethoden 57:62—70
Lindner, H., Praktische Erfahrungen bei der Erfassung von Meßdaten für die Langzeitüberwachung von Kesselteilen 57:696—699
Löbert, P., siehe Huppmann, H.
Lösel, G., und Schmücker, H., Temperaturverhalten der Flugasche am Brennkammeraustritt und der Einfluß auf die Brennkammerauslegung 57:839—844
Loreck, R., Das DZ-Gerät — eine Möglichkeit zur Langzeitüberwachung von Dampfturbinen 57:151—155
Luchsinger, P., siehe Stein, H.

Marci, G., Beurteilung der durch Schweißverfahren eventuell verursachten Risse in der Wärmeeinflußzone 57:781—785
Marci, G., siehe Kautz, H.R.
Martin, H., Der Einfluß der Betriebsbedingungen auf die Konstruktion moderner Membranwandkessel 57:297—302
Martinola, F., siehe Kühne, G.
Mathias, G., Zur Simulation der Wirkleistungsdynamik parallelgeschalteter elektrischer Energieversorgungsnetze 57:467—473
Mayer, E.W., siehe Karnowski, K.
Meier, F., siehe Dibelius, G.
Meier, W., Wirbelstromprüfungen an Dampferzeugerrohren in Kernkraftwerken — neue Erfahrungen aus den Messungen in Stade und Obrigheim 1975 57:540—545
Migod, A., siehe Holzhüter, E.
Mika, H., Bewährung des Kraftwerksmeisters in der Praxis 57:624—629
Million, A., und Reumont, G.A. von, Wasserstoffbeeinflußte Querrisse in Schweißverbindungen höherfester, schweißgeeigneter Feinkorn-Baustähle, Erscheinungsformen, Ursachen und Abhilfe 57:490—499

Natusch, K., siehe Dibelius, G.
Noack, J., Untersuchungen über Struktur, Ausrüstung und Organisation des für Inspektions-, Wartungs- und Reparaturarbeiten im Kontrollbereich von Kernkraftwerken eingesetzten Personals 57:315—318

Ossendorf, E., siehe Dibelius, G.

Pass, F., und Schwarz, F., Verfeuerung flüssiger Brennstoffe — überschwere Heizöle 57:753—756
Pilhofer, K.H., Prüfverfahren in der Praxis — Praktische Erfahrungen mit Neutronenfluß-Detektoren 57:23—34
Plür, R., Aufbau und Betriebserfahrungen des mit Gas und Leichtöl gefeuerten Heizkraftwerkes Danziger Straße der Energie-Versorgung Oberhausen AG 57:519—526
Podhorsky, M., Durch lose Ringe ausgesteifte dünnwandige Zylinderschale unter Außendruckbelastung 57:485—490
Podhorsky, M., und Stüben, H., Die Berechnung der Verformung und der Beanspruchung von Flanschen und ihre Optimierung 57:706—713
Prenzlow, W., siehe Stein, H.

Reichel, H.H., siehe Kirsch, H.
Reidick, H., siehe Fröhlich, P.
Reifenhäuser, R., siehe Jaerschky, R.
Reinhardt, K.H., und Smith, I.J., Gase und Korrosionsprodukte im Primärkreislauf der NS „Otto Hahn" 57:165—173
Resch, G., und Zinke, K., Zusammenhang zwischen Wasserqualität, Konstruktion und Korrosion in wasserberührten Anlagen 57:424—430
Resch, G., siehe Effertz, P.-H.
Reumont, G.A. von, siehe Ackermann, W.
Reumont, G.A. von, siehe Million, A.
Richter, R., siehe Bursik, A.
Richter, E., Auskleidung von Stahlbetonbecken und Behältern 57:283—287

Siekmann, H., siehe Holzhüter, E.
Smith, I.J., siehe Reinhardt, K.H.
Sperling, E., Die rauchgasseitige Reinigung von ölgefeuerten Dampferzeugern im Kraftwerk Harburg 57:392—399
Süry, P., Untersuchungen zur Korngrenzenanfälligkeit und zur Spannungsrißkorrosion rostfreier Stahlplattierungen in Druckwasser 57:441—445

Schenk, H., Problemlösungen im Kernkraftwerk Obrigheim 57:221—227
Schermann, W., siehe Dibelius, G.
Schiffers, A., Kondensatreinigung des Wasser-Dampfkreislaufs in Kernkraftwerken mit Druckwasserreaktoren 57:500—502
Schlicht, K., siehe Jaerschky, R.
Schlizio, H., siehe Kittel, H. 57:684—696
Schlotmann, W., Erste Erfahrungen mit der gemeinsamen Verbrennung von Müll und Klärschlamm in zwei Anlagen 57:552—558
Schluck, K., siehe Kretzer, R. 57:34—45
Schmücker, H., siehe Lösel, G.
Schneider, H.E., siehe Kleczka, L.
Schöddert, G., und Keysselitz, J., Erfahrungen mit HD-Sicherheitsumleitstationen bei großen Dampferzeugern 57:530—535
Schröder, B., Lagerüberwachung mit SPM-Stoßimpulsmethode — Dauerüberwachung oder Messung in regelmäßigen Intervallen? 57:535—540
Schroeder, H.J., Überwachung von Emissionen und Immissionen aus Kernkraftwerken 57:106—111
Schwerdtner, O.A., und Hosenfeld, H.-G., Entwicklungen zur Vermeidung von Schaufelerosionen 57:227—235
Schwarz, F., siehe Pass, F.
Schwarz, O., Kurzbericht über die Tätigkeit der VGB 1976/1977 57:509—519
Schwarz, O., 20 Jahre Kraftwerksmeister-Ausbildung 57:620—624
Schwarz, O., Technisch-wirtschaftliche Maßnahmen zur Verminderung von SO_2-Emissionen bei der Elektrizitätserzeugung 57:722—725
Schüler, U., Tendenzen der Entwicklung von Kohlemühlen 57:825—832
Schuhmann, H., Planung und Bau des Kernkraftwerks Brunsbüttel 57:729—735

Stahlberg, R., Die Bedeutung der Wasserdruckprüfung von Reaktordruckbehältern aus der Sicht der Bruchmechanik 57:559—566
Stahlberg, R., Fehlerlokalisierung und -beschreibung in Bauteilen der Kerntechnik mit Hilfe zerstörungsfreier Prüfverfahren 57:773—781
Steger, H., Erfahrungen und Überlegungen zur Trockenluftkonservierung von Kraftwerkskomponenten 57:403—410
Stein, H., und Luchsinger, P., Betriebserfahrungen mit Feuerfestmaterialien an Drehrohröfen für die Sondermüllverbrennung 57:249—255

Stein, H., und Prenzlow, W., Anwendungstechnik von Feuerfestmaterialien in der Feuerung einer kommunalen Müllverbrennungsanlage 57:341–344
Stellbrink, B., Inbetriebnahme und einjähriger Betrieb des 670-MW-Blockes Wilhelmshaven 57:798–808
Stoll, A., siehe Beuerle, H.J.
Stoy, B., Nicht nukleare, nicht fossile Energiequellen 57:1–8
Struwe, W., Messung der Ausbreitung von SO_2-Emissionen mittels Korrelationsspektrometer und Flammenphotometer 57:756–759
Stüben, H., siehe Podhorsky, M.
Sturm, D., siehe Krägeloh, E.

Täubert, U., Die Entsorgung der Kraftwerke von Wasser und Abfall 57:345–355
Teichmann, H.D., siehe Adamsky, F.-J.
Thelen, F., Einfluß der Feuerraumgestaltung auf das Betriebsverhalten trockengefeuerter Dampferzeuger 57:813–820
Thiel, P., Umstellung von Dampferzeuger-Feuerungen im Kraftwerk Kassel 57:333–340
Tomica, H., Ausführung, Montage, Wartung und Betrieb der Heliumumwälzverdichter für den THTR in Schmehausen 57:526–530

Ulmer, W.T., Wirkung von SO_2 in der Atemluft 57:545–552

Volland, G., Kleinheizkraftwerk mit Gasturbinen als integriertes System 57:235–241

Wagner, H., Atomrechtliches Genehmigungsverfahren 57:77–80
Wahl, B., siehe Kleczka, L.
Wangnick, K., und Weise, A., Meerwasserentsalzungsanlagen – Eine Alternative für die Flußwasseraufbereitung 57:50–56
Wehr, J., Stahlkonstruktionen in konventionellen Wärme-Kraftwerken und in Kernkraftwerken 57:269–283
Weicht, U., siehe Friedrich, K.
Weiler, H., siehe Bosselmann, W.
Weimann, O., Konstruktive Gestaltung von Ölbehältern im Hinblick auf die Verbesserung der Luftabscheidung 57:321–325
Weise, A., siehe Wangnick, K.
Wille, H., Anlagentechnische Erfahrungen mit Primärwasserreinigungsanlagen in Kernkraftwerken mit Druck- und Siedewasserreaktoren 57:673–679
Wittchow, E., siehe Bald, A.
Wydler, H., siehe Innocente, G.

Zerna, W., Konstruktive Probleme beim Bau von Naturzugkühltürmen 57:430–434
Zilling, H., Weiterentwicklung der Spindelabdichtung an Reaktorarmaturen und Entwicklungen zur Erhöhung der Service-Freundlichkeit – Erste Ergebnisse des Förderungsvorhabens des BMFT 57:591–598
Zinke, K., siehe Resch, G.

Sachverzeichnis 1977

Abfahr- und Lastbetrieb 57:799–808
Abgasreinigungsanlage
– Abgassammlung 57:460–463
– Abgasspeicherung 57:460–463
– Adsorptive Verzögerung 57:460–463
– Angewandte Verfahren 57:460–463
– Kältetrocknung 57:460–463
– Zukünftiger Entwicklungstrend 57:460–463
Abschaltversuche 57:799–808
Abwärmeeinleitungen in die Oberelbe
– Auswirkungen 57:747–753
– Modellrechnungen 57:747–753
Abwasser aus Kernkraftwerken 57:108
– Überwachung 57:106–111
AD-Merkblätter 57:449, 57:641
Änderungen des AD-Regelwerkes 57:449, 57:641
Alkalisierung mit Lithiumhydroxid 57:684–696
Ammoniak, in Kombination mit Wasserstoffperoxid zur Konditionierung von Wasser-Dampfkreisläufen 57:70/71
Analyse, energiedispersive, zur Schadensaufklärung 57:200–205
Armaturen, Service-Freundlichkeit 57:591–598
Asphaltene 57:754
Ascheanfall und -verwertung 57:794/795ff
Atemluft, Wirkung von SO_2 in der 57:545–552
Atomgesetz 57:77–80
Atomkernmodelle 57:658–660
Atomkern-Partikeln 57:661
Atomrechtliches Genehmigungsverfahren 57:77–80
Aufgaben der Kraftwerkstechnologie 57:717–721
Ausbildung von Betriebspersonal 57:624–629, 57:620–624
Ausbreitung von Luftschadstoffen im alpinen Bereich 57:759
Ausbreitung von SO_2-Emissionen 57:756–759
Ausfallstatistik von Automatisierungseinrichtungen 57:245/246
Auskleidung, Stahlbetonbecken und Behälter 57:283–287
Auslegungsdaten von 630/720-MW-Blöcken 57:736
Außendruckbelastung, zyl. Mantel 57:485–490
Austenitischer Stahl, Risse 57:483–485
Aussteifung, zyl. Mantel 57:485–490
Automatisierung
– Aufbau der – des KW Irsching 57:242/243
– Betriebsbewährung der 57:242–246
– Betriebserfahrungen 57:242/243
Axialventilatoren ohne instabilen Bereich 57:159–165

Ballastgehalt von Steinkohlen 57:668–673
Ballastkohleverbrennung, Rostfeuerung 57:820–824
Baukosten 57:729–735
Baulinie 69 57:729–735
Baustopp 57:725–729
Bauteilfließkurve 57:130–134
Bauteilsicherheit 57:478–483
Bauteilüberwachung 57:151–155
Begutachtungsumfang 57:729–735
Behördenauflagen Kraftwerk Enstedværket 3 57:808–813
Benson Versuchsstrecke
– Beschreibung der 57:369–374
– Beispiel zweier Versuchsvorhaben 57:369–374
Berechnung 57:130–134, 57:62–70
–von Flanschen 57:706–713
– Zylinderschale 57:485–490
Betonherstellung mit Flugasche 57:845–848
Betriebserfahrungen Kraftwerk Wilhelmshaven 57:799–808
Betriebshandbuch
– Standardausführung, Kernkraftwerke 57:145–151
– ergonomische, arbeitstechnische Fragen 57:145–151
Betriebsverhalten von Steinkohlenfeuerungen 57:813–820
Beulen, zylindr. Mantel 57:485–490
Bischoff-Verfahren zur Rauchgasentschwefelung 57:603–605
Blockheizkraftwerk mit Gasturbinen als integriertes System 57:235–241
Braunkohlen-Abrieb, Verfeuerung von 57:337
Brennelementreparatur 57:221–227
Brennkammer, Auslegung 57:813–820, 57:839–844
Brennstoffbasis
– Kraftwerk Wilhelmshaven 57:799–808
– Wechsel 57:668–673, 57:820–824
Brennstoffpreise, Entwicklung und Prognose 57:736
Brennstoffstickstoff 57:679–684
Brennstoffverbrauch, spez.
Entwicklung im Bereich der öffentlichen Stromerzeugung bei verschiedenen Strategien 57:320
Brennstoffvorwärmung bei überschwerem Heizöl 57:755
Bronchitis, chronische 57:550
Bruchmechanik 57:559–566
– allgemein 57:629–633
– Beurteilung von Rissen 57:781–785
Bruchmechanische Untersuchungen 57:773–781
Bürgerinitiativen 57:77–80

Chemische Vorgänge bei der Rauchgas-Entschwefelung 57:194–199
Chess-Studie 57:546
Chrom-Nickel-Stähle, Plattierungen 57:441–445
CT-Probe 57:633–641

Dänemark, Stromversorgung 57:808–813
Dampferzeuger 57:221–227
– THTR 300 57:308–310
Dampferzeugerleckagen 57:221–227
Dampferzeugerrohre, Prüfung 57:540–545
Dampfnässemessungen 57:610–619
DDA-Auslegungen 57:291–294
Dehnungsmessung
– bei hohen Temperaturen 57:463–467
Dehnungswechselermüdung 57:151–155
Deponie
– für Rauchgasentschwefelungs-Rückstände 57:605/606
– von Rückständen 57:845–848
Diagnosegeräte für Lagerüberwachung 57:535–540
Druckbehälter aus 13 MnNiMo 5 4 57:361–366
Druckwasserreaktor
– Kondensatreinigung 57:500–502
– der NS „Otto Hahn", Gase und Korrosionsprodutke im Primärkreislauf 57:165–173
Dünnschichtverdampfer für Klärschlamm 57:552–558
Dynamik des Inselnetzes 57:468–471
Dynamisches Verhalten konventioneller Kraftwerke 57:380–392

Eigenbedarf 57:340
Eisensulfat, Dosierung in Kühlsystemen 57:116–121
Elbe, hydrologische Werte 57:747–749
Emissionen aus Kernkraftwerken, Überwachung 57:106–111
Emissionen von Kohlenstaubfeuerungen 57:789–799
Emissionsminderung NO_x 57:679–684
Endlagerung
– abgebrannter Brennelemente 57:725–729
– radioaktiver Abfälle 57:725–729
Endoskopie 57:410–413, 57:580–590
– Anwendung 57:412/413
– Bildleiter 57:411
– Fotodokumentation 57:412
– Lichtleiter 57:411
– Theorie 57:411
Energieeinsparung und -sicherung, kritische Betrachtungen 57:318–321
Energieforschungsprogramm 57:832–839
Energiepolitik 57:725–729
Energiequellen
– nicht nukleare, nicht fossile 57:1–8
– regenerative 57:1–8
Energiesysteme, zukünftige 57:717–721
Energieversorgungsnetz, Wirkleistungsdynamik 57:467–473
Energieversorgung, technische Möglichkeiten 57:717–721
Entcarbonisierung zur Aufbereitung von Kühlturm-zusatzwasser 57:34–45, 57:45–49
Entgaser 57:759–773
Entsalzung von Wasser nach verschiedenen Verfahren 57:50–56
Entschwefelung von Rauchgasen, chemische Grundlagen 57:194–199
Entsorgung der Kraftwerke von Wasser und Abfall 57:345–361

Entspannungsverdampfung zur Wasseraufbereitung 57:50–56
Erdboden als regenerative Energiequelle 57:1/2
Erdmaterie 57:656/657
Erfahrung mit der Rauchgaswaschanlage in der MVA Kiel 57:121–126
Erkrankungshäufigkeit durch Luftverschmutzung 57:548
Erosionsminderung an ND-Endstufenschaufeln 57:227–235
Erschöpfungsgrad 57:62–70
Erweichungstemperatur von Flugasche 57:839–844

Faltenbälge an Armaturen 57:591–598
Feinkornbaustähle
– Verarbeitung 57:361–366
– Verwendung bei Speisewasserbehältern 57:759–773
– Wasserstoffrisse 57:490–499
Fernmessung von Werkstoffdeformationen 57:463–467
Festigkeitsberechnung 57:130–134
Feuerfestmaterialien
– an Drehrohröfen 57:249–255
– in MVA 57:249–255
– in kommunalen MVA 57:341–344
Feuerraumauskleidung, System Didier 57:341–344
Feuerraum-Austrittstemperatur 57:814 ff, 57:839–844
Feuerraumgestaltung 57:813–820
Fiberskop 57:411–413
Flammenphotometer 57:756
Flanschdichtungen 57:706–713
Flansche, Berechnung 57:706–713
Fließcharakteristik 57:130–134
Flockungs-Fällverfahren zur Kühlwasseraufbereitung 57:34–45, 57:45–49
Flockungshilfsmittel 57:605–607
Flockungsmittel, Anwendung zur Kühlwasser-Aufbereitung 57:34–45, 57:45–49
Flugasche 57:845–848
– Eigenschaften 57:839–844
– Temperatur 57:839–844
Formänderung 57:633–641
Formstücke
– aus austenitischem Stahl, Risse 57:483–485
– Schäden 57:434–441
Fortgeschrittene Reaktorlinien
– Schneller Brüter 57:8–16
– Hochtemperaturreaktor 57:8–16
Fortluft aus Kernkraftwerken 57:107
– Überwachung 57:106–111
Frequenzstützung mit Primärregelung 57:387–389
Frischdampfdruck
– Erhöhung bei 630/720-MW-Blöcken 57:737–742
– Auswirkung auf die Komponenten 57:737–742
– Wirtschaftlichkeit 57:737–742
Funktionsgruppen, Bewährung 57:243/244

Gase im Primärkreislauf der NS „Otto Hahn" 57:165–173
Gasgekühlte Reaktoren 57:8–16
Gas-Transportreaktionen in rauchgasseitigen Ablagerungen 57:567–571
Gasturbinen im Kleinheizwerk als integriertes System 57:235–241
Gebläse
– axial, ohne instabilen Bereich 57:159–165
– THTR Schmehausen 57:526–530
Gemischtfeuerungs-Betrieb 57:336, 338
Gesicherter Einschluß von KKW 57:598–603
Glasfaseroptik 57:411
Grafikbilder auf Sichtgeräten 57:93–95
Grundwasser als regenerative Energiequelle 57:1/2

Hadronen 57:660–662
Heißluftturbinenanlage, Heizkraftwerk EVO 57:519–526
Heißwasserkessel für große Leistungen
– Auslegung 57:664–668
– Heizflächenschaltungen 57:664–668
– Konstruktion und Fertigung 57:664–668
– Systeme 57:664–668
Heizflächen, Auslegung 57:813–820
Heizflächenreinigung bei Ölkesseln
– Beseitigung der Rückstände 57:392–399
– rauchgasseitige 57:392–399
Heizkraftwerk mit Gasturbinen als integriertes System 57:235–241
Heizkraftwerk der Energieversorgung Oberhausen
– Aufbau 57:519–526
– Betriebserfahrungen 57:519–526
– Fernwärmeversorgung 57:519–526
– Heißluftturbinenanlage 57:519–526
Heizöle, überschwere 57:753–756
Heliumerhitzer für Heliumturbinenanlage 57:375–380
Heliumturbinenanlage
– Auslegung des Heliumerhitzers 57:375–380
– Fertigung und Montage eines Heliumerhitzers 57:375–380
– Heliumerhitzer 57:375–380
– Konstruktionsmerkmale 57:375–380
– Schaltschema des Heliumerhitzers 57:375–380
– Werkstoffe für Heliumerhitzer 57:375–380
Heliumumwälzverdichter für THTR Schmehausen 57:526–530
Hessische Rohbraunkohle, Verfeuerung von 57:335
Höherfester Stahl 13 MnNiMo 5 4 57:361–366
Hochdruck-Sicherheitsumleitstationen 57:530–535
Hochtemperaturkorrosionen, rauchgasseitige 57:567–571
Hochtemperaturreaktor
– Brennelementbeschickung 57:8–16
– Brennelementwechsel 57:8–16
– Brennstoffkreislauf 57:8–16
– Entwicklung und Entwicklungstendenzen 57:8–16
– HHT-Programm 57:8–16
– HTR-Zweikreisanlage 57:8–16
– Kühlkreisläufe 57:95–106
– Kühlung 57:95–106
– Kugelhaufencore 57:8–16

Immissionen aus Kernkraftwerken, Überwachung 57:106–111, 57:109

Immissionsänderungen durch Kohlefeuerungen 57:789–799
Ionenaustauscher
– Beständigkeit gegen chemische und physikalische Einwirkungen 57:173–184
– Reinigung bei Verschmutzung 57:173–184
Ionenschlupf in Vollentsalzungsanlagen 57:684–696
Inbetriebnahme Kraftwerk Wilhelmshaven 57:799–808
Inspektion mit Endoskopen 57:580–590
Interkristalline Risse
– austenitischer Stahl 57:483–485
– Wasserstoff 57:490–499
Interne Axialpumpe 57:729–735
Inversion 57:758

Jahreshauptversammlung VGB 57:646–655
Justierfehler 57:57–61

Kapazitive Dehnungsmessung 57:463–467
Kernenergie in Schweden 57:725–729
Kernkraftwerk Obrigheim 57:221–227
Kernkraftwerk Uentrop 57:306–315
Kernkraftwerke 57:77–80
– Kondensatreinigung bei Druckwasserreaktoren 57:500–502
– mit Hochtemperaturreaktor, Kühlung 57:95–106
– Standardbetriebshandbuch 57:145–151
– Überwachung von Emissionen und Immissionen 57:106–111
– Wasserchemie in schwedischen Siedewasserreaktoren 57:112–116
Kernkraftwerks-Simulator 57:620–624
Kernreaktor, Chemie im Primärkreislauf der NS „Otto Hahn" 57:165–173
Kerntechnisches Regelwerk 57:77–80
Kessel, Stillstandskonservierung 57:255–259
Kesselteile, Langzeitüberwachung von 57:696–699
Kesseltrommel aus 13 MnNiMo 5 4 57:361–366
Kesselwasser, Alkalisierung mit Lithiumhydroxid 57:684–696
Kernkraftwerk
– Brunsbüttel 57:729–735
– Hamm 57:743–746
– in der politischen Wertung 57:725–729
Klärschlammverbrennung 57:552–558
– Trockner, Dünnschichtverdampfer 57:552–558
Kohleaufbereitung 57:789–799
Kohlehydrierung 57:832–839
Kohlelagerung 57:789–799
Kohlemühlen, Entwicklungstendenzen 57:825–832
Kohlenstaubfeuerungen
– Auslegung 57:668–673
– Dampferzeuger beim Kombi-Block 57:302–306
Kohlenstaubmühlen 57:668–673
Kohlenstaub-Öl-Brenner 57:668–673
Kohlenstoffäquivalent, Risse 57:496
Kohletechnologien 57:832–839
Kohletransport 57:789–799
Kohleumwandlungsverfahren 57:835/836 ff
Kohlevergasungsverfahren 57:832–839
Kombinierte Gas-Dampfturbinen-Anlagen
– Auslegungsfragen beim Einsatz von Kohlenstaubfeuerungen 57:302–306
– Dampferzeuger mit Kohlenstaubfeuerungen 57:302–306
– Kurze Betriebserfahrungen bei Verwendung von Kohlenstaubfeuerungen 57:306
Kompensatoren
– Einbau 57:246–249
– Konstruktion 57:246–249
– Sicherheit 57:246–249
– Werkstoffwahl 57:246–249
Kondensationskammerverstärkung 57:729–735
Kondensatoren
– Einfluß von Wasserqualität und Konstruktion auf die Korrosion 57:424–430
– Korrosionsschutz durch Eisensulfat-Dosierung 57:116–121
Kondensatordruck
– Verbesserung des bei 630/720-MW-Blöcken 57:735–742
– Auswirkungen auf die Komponenten 57:735–742
– Wirtschaftlichkeit 57:735–742
Kondensatreinigung
– in Kernkraftwerken mit Druckwasserreaktoren 57:500–502
– in schwedischen Siedewasserreaktoren 57:112–116
Konditionierung von Wasser-Dampfkreisläufen mit Ammoniak und Wasserstoffperoxid 57:70/71
Konservierung stillstehender Kraftwerksblöcke 57:255–259
Konstruktion
– von Membranwandkesseln, Einfluß der Betriebsbedingungen 57:297–302
– wasserberührter Anlagen, Einfluß auf die Korrosionsanfälligkeit 57:424–430
Kontrollbereich 57:315–318
Korngrenzenanfälligkeit 57:441–445
Korrelationsspektrometer 57:756
Korrosion
– in Schornsteinen und Maßnahmen zur Schadensbehebung 57:184–194
– in wasserberührten Anlagen, Einfluß von Wasserqualität und Konstruktion 57:424–430
Korrosionsprodukte
– im Primärkreislauf der NS „Otto Hahn" 57:165–173
– Untersuchung mit modernen Methoden 57:200–205
Korrosionsproduktpegel in schwedischen Siedewasserreaktoren 57:112–116
Korrosionsschutz
– an Kondensatorrohren durch Eisensulfat-Dosierung 57:116–121
– im Inneren hoher Schornsteine 57:126–130
Kraftwerke 1977 57:646–655
Kraftwerk
– Enstedværket 3 57:808–813
– Harburg, rauchgasseitige Reinigung 57:392–399
– Kassel 57:333–340
– Mehrum 57:668–673
– Wilhelmshaven 57:603–610, 57:799–808
Kraftwerksnebenprodukte 57:845–848
KRAFTWERKSSCHULE E.V. 57:620–629
Kühlkapazität eines Gewässers 57:747

Kühlsysteme, Grundlagen und Anwendung der Eisensulfat-Dosierung 57:116–121
Kühlturmpumpen, Bauarten 57:414–423
Kühlturmzusatzwasser
- Aufbereitung durch Langsamentcarbonisierung 57:45–49
- Aufbereitung in kombinierten Verfahrensschritten 57:34–45
Kühlung des Hochtemperaturreaktors 57:95–106
Kühlwasser
- Aufbereitung 57:34–45, 57:45–49
- Korrosion in Nebenkühlsystemen und im Kondensator 57:424–430
Kühlwasserpumpen für Kühltürme
- Einlaufbauwerke 57:414–423
- Regelverfahren 57:414–423
- Zulaufbedingungen 57:414–423
Kühlwassernutzungen
- gewandelte Erkenntnisse 57:16–23
- erforderliche Grenzwerte 57:16–23
Kühlwassersituation in der Bundesrepublik Deutschland 1976 57:16–23
Kupferlegierungen, Korrosion durch Ammoniak 57:424–430
Kraftwerk Westfalen 57:743–746
Kraftwerk Wilhelmshaven
- Abfahr- und Lastbetrieb 57:799–808
- Abschaltversuche 57:799–808
- Auslegung 57:799–808
- Betriebserfahrungen 57:799–808
- Inbetriebnahme 57:799–808
- Rauchgasentschwefelungsanlage (Bischoff-Verfahren) 57:799–808
- Schwachlastschema 57:799–808
- 670-MW-Block mit Steinkohle- und Ölfeuerung 57:799–808

Lagerüberwachung mit SPM-Stoßimpuls-methode 57:535–540
Längsnahtgeschweißte Rohre 57:57–61
Lamellenseparatoren zur Hochleistungssedimentation 57:45–49
Langzeitüberwachung
- Methoden zur Meßwerterfassung 57:696–699
- Erfassung von Meßdaten an Kesselteilen 57:696–699
Lastfolgeverhalten THTR 300 57:306–315
Laufwasser als regenerative Energiequelle 57:2/3
LAWA-Arbeitsgruppe „Wärmebelastung der Gewässer" 57:16–23
Lebensdauerberechnung 57:62–70
Lebensdauerzähler 57:156–159
Leitradabsaugung 57:227–235
Leitradbeheizung 57:227–235
Liner
- Konstruktion und Ausführung beim THTR 57:81–88
- Sicherheitsumschließung KKW Gundremmingen II 57:81–88
Lithiumhydroxid zur Alkalisierung in konventionellen Kraftwerken 57:684–696
Löffler-Kesselanlage 57:699–706
Luftabscheidung 57:321–325
Luftentfeuchter
- Adsorptions-Trockner 57:403–410
- Stillstandskonservierung von Kraftwerkskomponenten 57:403–410

Manipulator, Wirbelstromprüfung 57:543/544
Manövrierfähigkeit konventioneller Kraftwerke 57:380–392
Mechanische Beständigkeit von Ionenaustauschern 57:173–184
Meerwasserentsalzung, Verfahren 57:50–56
Mehrachsiger Spannungszustand 57:633–641
Mehrstufen-Verdampfung bei der Wasseraufbereitung 57:50–56
Membranwandkessel
- Beeinflussung der Konstruktion durch Betriebsbedingungen 57:297–302
- Konstruktionsmerkmale 57:297–302
Meßdatenerfassung für die Langzeitüberwachung von Kesselteilen 57:696–699
Meßverfahren für Lagerüberwachung 57:535–540
Mitteilungen des Deutschen Dampfkesselausschusses 57:291–294
Modellrechnung
- Grenzschichtströmung 57:839–844
- Mahltrocknungsprozeß 57:827 ff
- Wärmeübertragung am Einzelkorn 57:839–844
Mühlenluftvorwärmung 57:672 ff
Mühlenregelung 57:825–832
Müllverbrennung
- Feuerfestmaterialien 57:249–255, 57:341–344
- Verbrennung von Klärschlamm 57:552–558
Müllverbrennungsanlage
- Geiselbullach, Klärschlammverbrennung 57:552–558
- Kiel 57:121–126
- Krefeld, Klärschlammverbrennung 57:552–558
- Rauchgaswäsche in 57:121–126
- Solingen, Auskleidung System Didier 57:341–344

Naturzugkühler
- Konstruktive Probleme beim Bau 57:430–434
- Tragverhalten unter besonderer Berücksichtigung bergbaulicher Einwirkungen 57:287–290
Naßkonservierung von Kesseln 57:255–259
Netzbetrieb konventioneller Kraftwerke 57:380–392
Notstromversorgung 57:221–227
NO_x-Bildung 57:679–684
NS „Otto Hahn", Gase und Korrosionsprodukte im Primärkreislauf 57:165–173

Ölbehälterkonstruktion 57:321–325
Ölfeuerung
- Feststoffauswurf, Verminderung des 57:400–403
- rauchgasseitige Reinigung 57:392–399
- Wasser/Heizöl S-Emulsionen 57:400–403
Organische Substanzen, Rückhaltung bei der Wasseraufbereitung 57:684–696
Osmose, umgekehrte, zur Wasseraufbereitung 57:50–56

Oxidationsbeständigkeit von Ionenaustauschern 57:173–184
Oxidschichten 57:567–571

Packungsstopfbuchsen an Armaturen 57:591–598
Personalbedarf für Jahresrevision im KKW 57:316–318
– Prognose 57:317/318
Plattierungen 57:441–445
Probleme der Kraftwerkstechnologie 57:717–721
Prozeßrechnereinsatz 57:743–746
Prozeßrechnersoftware 57:92–95
Prozeßrechnertechnik, Konzepte 57:89–95
Prüfbefunde von Großkesselanlagen 57:478–483
Prüffristen von Großkesselanlagen 57:478–483
Prüfung von Großkesselanlagen 57:478–483

Quarks 57:662
Quellverhalten von Ionenaustauschern 57:173–184
Querrisse, wasserstoffbeeinflußt 57:490–499

Radioaktivität, Einwirkung auf Ionenaustauscher 57:173–184
Radionuklide, Untersuchungen am Primärkreislauf der NS „Otto Hahn" 57:165–173
Rasterelektronenmikroskopie zur Schadensaufklärung 57:200–205
Rauchgase, Korrosion an Schornsteinen 57:184–194
Rauchgasentschwefelung
– Auslegung 57:789–799
– Betrieb 57:807 ff
– Betriebserfahrungen 57:603–610
– chemische Grundlagen 57:194–199
Rauchgasentschwefelungsanlage (Bischoff-Verfahren) im KW Wilhelmshaven 57:799–808
Rauchgasrezirkulation 57:681ff
Rauchgasseitige Kesselkonservierung 57:255–259
Rauchgaswäscher, Korrosionen 57:121–126
Rauchgaswaschanlage der MVA Kiel 57:121–126
Reaktorarmaturen, Weiterentwicklung 57:591–598
Reaktordruckbehälter, Druckprüfung 57:559–566
Reaktorkern THTR 300 57:307/308
Reaktorsicherheitskommission 57:77–80
Reaktorwasserreinigung in schwedischen Siedewasserreaktoren 57:112–116
Rechnertypen, Beschreibung und Aufgaben 57:89–91
Regel- und Steuersystem bei Umleitstationen 57:530–535
Regelfähigkeit von Dampferzeugern 57:389–391
Regelkonzept THTR 300 57:306–315
Regenerative Energiequellen 57:1–8
Relaxationsbruch 57:494
Relaxationsrisse 57:781–785
Restlebensdauer 57:699–706
Risse 57:434–441
– in Formstück (austenitischer Stahl) 57:483–485
Rißprüfungen an Speisewasserbehältern 57:759–773
Rißwachstum 57:773–781, 57:781–785
– Bruchmechanik 57:559–566
Röntgenfeinstrukturanalyse zur Schadensaufklärung 57:200–205
Röntgenprüfung, allgemein 57:629–633
Rohrleitungen, Schäden 57:434–441
Rohrrundschweißnähte, WIG 57:453–460
Rostabdeckung 57:820–824
Rostfeuerung, kombinierte 57:820–824
Roststabtemperatur 57:820–824
RSK-Leitlinien 57:77–80

Sedimentation bei der Aufbereitung von Kühlturmzusatzwasser 57:45–49
Seilnetzkühlturm, Erfahrungen beim Bau Schmehausen 57:206–215
Sicherheitseinspeisepumpen 57:221–227
Sicherheitskriterium 2.10 57:598–603
Sicherheitstechnische Richtlinien (SR-Öl) 57:291–294
Sicherheitsumleitstationen, Erfahrungen bei großen Dampferzeugern 57:530–535
Sichtgeräte, Einsatz und Konzeption 57:91–93
Siedewasserreaktor 57:729–735
– wasserchemische Betriebserfahrungen in Schweden 57:112–116
Simulation der Wirkleistungsdynamik 57:467–473
Simulator 57:620–624
Solvent Refined Coal 57:839 ff
Sondermüllverbrennungsanlage Nyborg 57:249–255
Sonnenenergie 57:4–7
SO_2, Ausbreitung von – Emissionen 57:756–759
– Wirkung in der Atemluft 57:545–552
Spannungsrißkorrosion 57:441–445
Speisewasser, Gegenüberstellung verschiedener Aufbereitungsverfahren 57:112–116
Speisewasserbehälter, Betriebserfahrungen 57:759–773
Spindelabdichtung an Reaktorarmaturen 57:591–598
Sulfidspinelle in Oxidschichten 57:567–571

Schadensaufklärung mit modernen Untersuchungsmethoden 57:200–205
Schäden an Rohrleitungen und Formstücken 57:434–441
Schallemission, allgemein 57:629–633
Schallemissionsanalyse 57:773–781
Schaufelerosion 57:227–235
Schmehausen, Kraftwerksstandort und seine Bauten 57:259–269

Schornsteine, Korrosion und Maßnahmen zur Schadensbehebung 57:184–194
Schwefeloxide, chemische Vorgänge bei der Entfernung aus Rauchgasen 57:194–199
Schweißen von Feinkornbaustählen 57:490–499
Schweißen, WIG, vollmechanisch 57:453–460
Schweißzusatzwerkstoffe, Risse 57:496/497

Stahlblechschornsteine, Erfahrungen mit ungeschützter Bauart an Gasturbinenanlagen und Maßnahmen zur Verminderung von Korrosionen 57:473–477
Stahlkonstruktionen, in konventionellen Wärme- und in Kernkraftwerken 57:269–283
Standardbetriebshandbuch für Kernkraftwerke
– ergonomische, arbeitstechnische Fragen 57:145–151
Statistische Auswertung 57:62–70
Steinkohlefeuerungen 57:668–673, 57:792–794
Steinkohlemühlen 57:825–832
Steinkohlen mit niedrigem Gasgehalt, Verfeuerung von 57:335, 338
Steinkohlenstaubfeuerungen, Planung von 57:668–673
Stickoxidbildung 57:679–684
Stillegung von Kernkraftwerken 57:598–603
Stillstandskonservierung von Kraftwerksblöcken 57:255–259
Strahlenbelastung
– Fremd- und Eigenpersonal 57:316
– jährlich 57:316/317
– während Jahresrevision 57:316/317
Strahlenschutz 57:221–227, 57:317
Strahlenschutzkommission 57:77–80
Straßenbau mit Flugasche 57:845–848
Streulichtmeßsonde 57:610–619
Strömungswiderstand in den Atemwegen 57:549
Stromausfall New York 1977 57:573–579
Stützringe für Speisewasserbehälter 57:759–773
Stufenverbrennung 57:681ff

Tätigkeit der VGB 1976/1977 57:509–519
Teilbeseitigung mit gesichertem Resteinschluß von KKW 57:598–603
Temperatur, Einwirkung auf Ionenaustauscher 57:173–184
Testfehler 57:57–61
– Wirbelstromprüfung 57:540–545
Thermisches NO_x 57:679–684
Thorium-Hochtemperatur-Reaktor 57:743–746
Tragelemente an Membranwänden, Ermittlung der Randbedingungen 57:369–374
Transmissionsmessungen 57:757–759
TRD 57:291–294
Trockenfeuerung für Steinkohlen 57:813–820
Trockenkonservierung von Kraftwerkskomponenten
– Betriebserfahrungen 57:403–410
– Stillstandskonservierungsmaßnahmen 57:403–410
– Konservierungskosten 57:403–410
– Korrosionsvorgänge 57:403–410
– Luftfeuchte-Prinzip 57:403–410
Trockenkonservierung von Kesseln, Turbinen und Kondensatoren 57:255–259
Trockenkühlturm 57:743–746
– für Hochtemperaturreaktor 57:95–106
TTS-Diagramm 57:441–445
TÜV, Aufgaben des Sachverständigen 57:478–483
Turbinen, Stillstandskonservierung 57:255–259

Überhitzercharakteristik 57:813–820
Überwachung von Emissionen und Immissionen aus Kernkraftwerken 57:106–111
Ultraschall-Oberflächenwellen-Technik 57:773–781
Ultraschallprüfung, allgemein 57:629–633
Umgebungsluft als regenerative Energiequelle 57:3/4
Umkehrosmose zur Flußwasseraufbereitung 57:50–56
Umleitstationen
– Anordnung 57:530–535
– Aufgabe 57:530–535
– Bewährung 57:530–535
– Entwicklung 57:530–535
– Schäden 57:530–535
Umstellung von Dampferzeugerfeuerungen 57:333–340
Umwälzverdichter für THTR Schmehausen 57:526–530
Umweltbewußtsein und Bauen 57:355–361
Untersuchungsmethoden zur Schadensaufklärung 57:200–205
UV-Spektrometrie zur Ermittlung organischer Substanzen in Wasseraufbereitungsanlagen und Wasser-Dampfkreisläufen 57:684–696

Verarbeiten von Feinkornbaustählen 57:490–499
Verbrennung
– Kohle 57:789–799
– nichtstöchiometrisch 57:681ff
– Wasser/Heizöl S-Emulsionen 57:400–403
Verbrennungsrückstände 57:789–799, 57:845–848
Verbrennungsverlauf in Kohlenstaubflammen 57:671ff
Verbundnetz, Zusammenschaltung von Inselnetzen 57:471/472
Verdichter für THTR Schmehausen
– Ausführung 57:526–530
– Betrieb 57:526–530
– Montage 57:526–530
– Wartung 57:526–530
Verdunstungskühlung, Aufbereitung von Zusatzwasser 57:34–45, 57:45–49
Verformung 57:130–134
Verformungsvermögen 57:633–641
Verfügbarkeit 57:340
Verschmutzung von ölgefeuerten Kesseln 57:392–399
Verstärkungsringe 57:485–490

Verwendungsmöglichkeiten für Kraftwerksasche 57:845–848
Ventilatoren, axial, ohne instabilen Bereich
– Eigenschaften 57:159–165
– Einsatzmöglichkeiten 57:159–165
– Kennlinien 57:159–165
– Maßnahmen 57:159–165
– Prüfstandeinrichtungen 57:159–165
– Stabilisierungseinrichtungen 57:159–165
Ventilatoren für THTR Schmehausen 57:526–530
Ventilatormühlen 57:825–832
VGB-Kongreß 1977 57:646–655
VGB-Tätigkeit 1976/1977 57:509–519
Viskosität/Temperaturverhalten 57:754
Vollentsalzung, anorganischer Schlupf und Rückhaltung organischer Substanzen 57:684–696
Vollmechanisches WIG-Schweißen 57:453–460
Vorschweißflansche, Berechnung 57:706–713

Wälzlagerüberwachung 57:535–540
Wärmeeinflußzone, Risse 57:483–485, 57:490–499, 57:781–785
Wärmetauscher aus 13 MnNiMo 5 4 57:361–366
Wärmeverbrauchsverbesserung
– Auswirkungen auf die Komponenten 57:736–742
– Möglichkeiten 57:736–742
– Wirtschaftlichkeit 57:736–742
Wanderrostfeuerungen 57:820–824
Wandtemperatur einer Kesselheizfläche
– maximal auftretende 57:369–374
Wasserabscheider 57:221–227
Wasseraufbereitung
– Entfernung organischer Substanzen 57:684–696
– Entspannungsverdampfung, Hyperfiltration, Umkehrosmose 57:50–56
– Kühlkreisläufe, Verfahrenskombinationen 57:34–45
– Langsamentcarbonisierung 57:45–49
Wasserchemie in schwedischen Siedewasserreaktoren 57:112–116
Wasser-Dampfkreislauf, kombinierte Konditionierung mit Wasserstoffperoxid und Ammoniak 57:70/71
Wasserdruckprüfung, Reaktordruckbehälter 57:559–566
Wasserstoffbeeinflußte Risse 57:490–499
Wasserstoffmessungen in Wasser-Dampfkreisläufen 57:684–696
Wasserstoffperoxid, in Kombination mit Ammoniak zur Konditionierung von Wasser-Dampfkreisläufen 57:70–71
Werkstoffdeformationen, Fernmessung und Fernüberwachung von 57:463–467
Werkstoffermüdung 57:156–159
Werkstoffkennwert 57:130–134
Werkstoffuntersuchungen, Plattierungen 57:441–445
Wiederaufheizung entschwefelter Rauchgase 57:604
WIG-Schweißen, vollmechanisch 57:453–460
Wirbelschichtfeuerung 57:833/834 ff
Wirbelstromprüfung 57:57–61, 57:221–227, 57:540–545, 57:629–633
Wirkleistungsdynamik 57:467–473
Wirkung von SO_2 in der Atemluft 57:545–552

Zeitstandermüdung 57:151–155
Zeitstandfestigkeit 57:699–706
Zeitstandschäden 57:434–441
Zementherstellung mit Flugasche 57:845–848
Zerstörungsfreie Prüfung 57:57–61
– allgemein 57:629–633
– an Bauteilen der Kerntechnik 57:773–781
– Rohre 57:540–545
Zusammenarbeit, internationale 57:808–813
Zusatzwasserbedarf bei Kühltürmen, Deckung des 57:21/22
Zyklonfeuerung 57:336
Zylinderschale, Berechnung 57:485–490

Persönliches

Baumgarte, Hans, 60 Jahre 57:786
Bayer, Otto, 75 Jahre 57:786
Beyerle, Konrad, Krupp-Energiepreis 57:850
Bronner, Heinrich, 60 Jahre 57:850
Cammann, Hermann, Kammerehrenzeichen 57:572
Cech, Franz, 50 Jahre 57:76
– zum Werksleiter ernannt 57:850
Cohen, Karl, Krupp-Energiepreis 57:850
Cronemeyer, Theodor, 80 Jahre 57:367
Debelius, Jörg, Geschäftsführer der GdT 57:786
Dümmler, Friedrich, 65 Jahre 57:643
– im Ruhestand 57:850
Ellmer, Martin, 25 Jahre beim RWE 57:140
England, G., Vorsitzender der CEGB 57:76
Fichtner, Kurt, 60 Jahre 57:572
Graf, Harald, gestorben 57:451
Gräfen, Hubert, zum Professor ernannt 57:714
Grau, Adolf, 50 Jahre 57:572
Hanneforth, Günter, Kohle-Geschäftsleitung 57:451
Harteck, Paul, Krupp-Energiepreis 57:850
Hawkins, Arthur, Sir, im Ruhestand 57:572
Henney, Karl-Alfred, VDI-Ehrenmitglied 57:572
– 70 Jahre 57:572
Hegener, Walter, Kammerehrenzeichen 57:572
Hermann, Bodo, 50 Jahre 57:643
Hoffmann, Werner, Direktorium CEOC 57:451

Holstein, Kurt, 65 Jahre 57:572
Ipfelkofer, Josef, 70 Jahre 57:217
Jähne, Norbert, im Ruhestand 57:76
Jakobsen, Erik L., 60 Jahre 57:139
Janitschek, Friedrich, 50 Jahre 57:139
Jonas, Michael, Vorstandsvorsitzender Stadtwerke Düsseldorf AG 57:713
Kallenbach, Reinhard, 60 Jahre 57:572
Keller, W., Vorsitzender des KTA 57:76
Keltsch, Erhard, 65 Jahre 57:217
— bei PREAG ausgeschieden 57:713
Kiesling, Josef, 60 Jahre 57:217
Kneissl, Hannes, Vorstandsvorsitzender der Wasag AG 57:714
Knizia, Klaus, 50 Jahre 57:368
Koch, Hans, Sprecher bei VKR 57:786
Kolar, Jörgen, Professur 57:850
Kostenmaker, Jacob, Krupp-Energiepreis 57:850
Krüger, Norbert, Geschäftsführer der EVT 57:572
Kuhlmann, Albert, 25 Jahre beim TÜV Rheinland 57:368
Landwehr, Heinz-Peter, zum Leiter der Kraftwerkstechnik bei BKB ernannt 57:76
Lehmhaus, Friedrich, im Ruhestand 57:850
Leiste, Hasso, 70 Jahre 57:786
Lenkewitz, Heinz, 40 Jahre bei Rheinbraun 57:643
Leuchs, Hans, 60 Jahre 57:368
Lilienfein, Heinz, 60 Jahre 57:217
Ludewig, Walter, 70 Jahre 57:139
— VDI-Ehrenmitgleidschaft 57:572
Mandel, Heinrich, "Doctor of Engineering" 57:451
Martin, Hans, Krupp-Energiepreis 57:850
Mauer, Walter, 60 Jahre 57:76
Melick, van F.A.W.H., im Ruhestand 57:140
Meyer, Fred, 25 Jahre beim RWE 57:714
Miller, Rudolf, von, Großes Verdienstkreuz 57:218
Mönch, Reinhold, gestorben 57:451
Müller, Johannes, 65 Jahre 57:786
Muschelknautz, Edgar, Professor 57:714
Nerlich, Wilhelm, 70 Jahre 57:368
Nowak, Franz, im Ruhestand 57:217
Oehler, Werner, im Ruhestand 57:217
Pfender, Max, 70 Jahre 57:643
Puhr-Westerheide, Hans, VDI-Ehrenmünze 57:140
— 65 Jahre 57:786
Rademacher, Fritz, im Ruhestand 57:786
Reuther, Fritz L., Großes Verdienstkreuz 57:218
Reuther, Hans J., 65 Jahre 57:139
Riedel, Hanns-Joachim, aus dem Vorstand der VKR ausgeschieden 57:76
Riemerschmid, Anton, im Ruhestand 57:572
Rosahl, Otto, 70 Jahre 57:217
Rost, Joachim, Präsident der europäischen Armaturenindustrie 57:451
Sack, Max, 70 Jahre 57:643
Salmuth, Hans-Lothar, von, Vorstandsmitglied 57:368
Sauerbruch, Peter, im Ruhestand 57:368
Seifert, Erich, Kahle-Geschäftsleitung 57:451
Smidt, Otto, 75 Jahre 57:786
Spähn, Heinz, Erich-Siebel-Gedenkmünze 57:786
Sundberg, Liisa, 50 Jahre 57:217
Scharenberg, Gustav, 80 Jahre 57:367
Schenk, Paul, 65 Jahre 57:217
Schieferstein, Udo, gestorben 57:217
Schlachter, Hans, 25 Jahre bei Hoechst 57:876
Schmidt, Hans F., gestorben 57:217
Schoch, Wilhelm, Bundesverdienstkreuz 57:140
— weiterhin VdTÜV-Vorsitzender 57:451
Schöllhammer, Franz, im Ruhestand 57:368
Schöllmann, Wolfgang, gestorben 57:642
Steenbeck, Max, Krupp-Energiepreis 57:850
Stönner, Alfred, Geschäftsführung 57:140
Tegethoff, Wilm, 50 Jahre 57:139
Vogels, Hanns Arnt, Vorsitzender VIK 57:786
Wagner, O., 50 Jahre 57:217
Wehrberger, Franz, 65 Jahre 57:139
Wellner, Adolf, 65 Jahre 57:451
Wengler, Josef, gestorben 57:850
Weyer, Theodor, 70 Jahre 57:850
Whitley, Stanley, Krupp-Energiepreis 57:850
Wiehage, Walter, 70 Jahre 57:139
Wolf, Herbert, Präsident 57:451
Wolf, Leonhard, 80 Jahre 57:451
Zerna, W., Emil Mörsch-Gedenkmünze 57:451
Ziemann, Wolfgang, RWE-Vorstand 57:217
Zikesch, C. Herbert, 80 Jahre 57:217
Zippe, Gernot, Krupp-Energiepreis 57:850
Zlokarnik, M., Professor 57:368

Buchbesprechungen

AD-Merkblätter
Taschenbuch-Ausgabe 1977 57:452
Allianz-Handbuch der Schadenverhütung 57:144
Arbeitsstoffverordnung 57:218
Anwendung elektronenmikroskopischer und rasterelektronenmikroskopischer Verfahren: Schwerpunkt Werkstoffkunde 57:296
Bruchuntersuchungen und Schadenklärung 57:144
Dechema-Monographien: Abgas, Abwasser, Abfall, Recycling, Lärm 57:715
DIN
— Taschenbuch 1 57:143
— Taschenbuch 10 57:142
— Taschenbuch 19 57:143
— Taschenbuch 55 57:142
— Taschenbuch 56 57:143
Einführungsbeitrag zur Vornorm DIN 25 408 57:296

Entwicklungsstand und Anwendungsmöglichkeiten neuzeitlicher Schweiß-, Löt- und Prüftechnologien 57:142
Fachbuch 44: „Das Verhalten der Stähle beim Schweißen", Teil III: Anwendung 57:508
Fachbuchreihe Schweißtechnik Band 63/IV 57:296
Feuerfeste Baustoffe in modernen Ofenanlagen 57:143
Feuerschutzprogramm im Industriebetrieb 57:218
Feuerungsanlagen und Brennstofflagerung 57:452
Fortschritte bei der Anwendung technischer Gase in der Metallurgie 57:715
Gasversorgung und Gas als Ware 57:218
Grundlagen der Wärmebehandlung von Stahl 57:508
Handbuch des Schutzgasschweißens 57:142
Handbuch für Brandschutz und Feuersicherheit im Industriebetrieb 57:144
Handbuch „Technische Temperaturmessung" 57:144
Herstellung von Rohren 57:143
Hochfeste Werkstoffe 57:452
Industrielle Dampferzeuger — aktuell 57:716
Informationsschrift Sonderabfälle 57:143
Jahrbuch „Bautechnik im Kraftwerksbau" 57:142
Jahrbuch der Dampferzeugertechnik 57:142
Jahrbuch für Bergbau, Energie, Mineralöl und Chemie 1976/77 57:296
Kerbspannungen an Ausschnitten und Einschlüssen 57:788
Konstruktionslehre, Handbuch für Studium und Praxis 57:716
Korrosionen und Korrosionsschutz metallischer Werkstoffe im Hoch- und Ingenieurbau 57:368
Kühlturm und Umwelt 57:368
MAG-Schweißen 57:143
Methoden der Regelungstechnik, Band 13, Regelung mit dem Prozeßrechner (DDC) 57:715
Neue Verfahren zur Vergasung fester Brennstoffe 57:508
Nichtrostende Stähle 57:716
Rationeller Einsatz von Gas in der Industrie 57:144
Sicherheitstechnik 57:296, 57:508, 57:716
Schalltechnisches Taschenbuch 57:218
Schornsteine in Massivbauweise 57:144
Schweißtechnischer Bildungsführer 1977 57:452
Standortbereitstellung für Energieanlagen 57:716
— in der Bundesrepublik Deutschland unter besonderer Berücksichtigung des Landes Nordrhein-Westfalen 57:788
Stellungnahmen zu offenen Problemen der Kernenergienutzung 57:788
Taschenbuch DVS-Richtlinien, DVS-Merkblätter 57:143
Taschenbuch 8 Schweißtechnik 1 57:452
Technische Begriffe Wasser 57:218
Thermodynamische Tabellen 57:452
Umwandlung der Stähle 57:788
Wärmeübertragung im Gegenstrom, Gleichstrom und Kreuzstrom 57:144, 57:508
Wärmeübertragungsanlagen 57:452
Werkstoffkunde für das Schweißen von Stahl und Eisen 57:218
Winddruckproblem bei Bauwerken 57:716

VGB KRAFTWERKSTECHNIK

MITTEILUNGEN DER VGB TECHNISCHE VEREINIGUNG DER GROSSKRAFTWERKSBETREIBER

58. JAHRGANG (1978) ● HEFTE 1–12

INTERNATIONALE FACHZEITSCHRIFT FÜR TECHNIK IN WÄRMEKRAFTWERKEN

HERAUSGEBER

VGB TECHNISCHE VEREINIGUNG DER GROSSKRAFTWERKSBETREIBER E.V.

Vorsitzender: Direktor Professor Dr.-Ing. K. Knizia, Dortmund;
Geschäftsführer: Direktor Dr.-Ing. O. Schwarz, Essen.

REDAKTION

Abteilungsdirektor Ing. (grad.) H. Kaes, Essen;
Oberingenieur Dipl.-Ing. A. Kantner, Essen;
Abteilungsdirektor Professor Dr. rer. nat. H. Kirsch, Essen;
Oberingenieur Dr. rer. nat. H. Kittel, Essen;
Abteilungsdirektor Dipl.-Ing. K. Plate, Essen;
Oberingenieur Dipl.-Ing. G. Welten, Essen.

CHEFREDAKTEUR

Oberingenieur Ing. (grad.) H. Bleßmann, Essen.

ANSCHRIFT

VGB TECHNISCHE VEREINIGUNG DER GROSSKRAFTWERKSBETREIBER E.V.
Klinkestraße 27-31, Postfach 1791, 4300 Essen,
Fernruf 198-1, Fernschreiber 0857507 vgb d.

Für den sachlichen Inhalt der Beiträge ist der jeweilige Autor verantwortlich.
Briefe und Manuskripte bitte nur an die Redaktion,
nicht an einzelne Sachbearbeiter.
Für unverlangte Einsendungen übernehmen wir keine Haftung.

WISSENSCHAFTLICHER REDAKTIONSBEIRAT

Professor Dr.-Ing. F. Brandt, Darmstadt;
Professor Dr. techn. D. Johnson, Trondheim;
Professor Ir. J.J.C. van Lier, Delft;
Professor Dipl.-Ing. Dr. techn. W. Linzer, Wien;
Professor Dr. techn. O.I. Martynova, Moskau;
Professor Dr.-Ing. P. Profos, Zürich;
Professor Dr.-Ing. R. Quack, Stuttgart;
Professor Dr. phil. H. Rögener, Hannover;
Professor Dr. rer. nat. R. Schulten, Aachen;
Professor Dipl.-Ing. I.D. Stancescu, Bukarest.

TECHNISCHER REDAKTIONSBEIRAT

Oberingenieur H. Berggren, Malmö;
Direktor Professor Dr.-Ing. H. Brüderlin, Stuttgart;
Direktor Dr. K. Hansen, Kopenhagen;
Direktor Dr.-Ing. H. Krolewski, Dortmund;
Direktor Dr.-Ing. G. Noetzlin, Marl;
Direktor Dr.-Ing. H. Novak, Nürnberg;
Direktor F. Scheurer, Paris;
Direktor Dr.-Ing. E.h. Dipl.-Ing. W. Schoch, Mannheim;
Oberingenieur Ir. G.J. Schoppert, Nijmegen.

VERTRIEB UND ANZEIGENVERWALTUNG

VGB-KRAFTWERKSTECHNIK GMBH, Klinkestraße 27–31, Postfach 1791,
4300 Essen, Fernruf 198-242, Fernschreiber 0857507 vgb d.
Verantwortlich für Vertrieb und Anzeigenteil: R. Rätz.
Anzeigentarif Nr. 19 vom 1. Januar 1977.

ERSCHEINUNGSWEISE

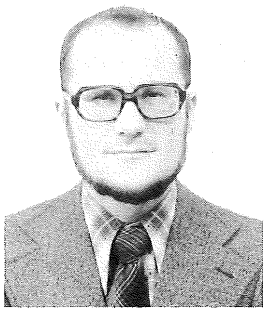
monatlich, außerdem erscheint zeitlich verschoben
eine englische Fassung

Inhaltsverzeichnis 1978

DIE FOTOS DER VERFASSER FINDEN SIE AUF DEN SEITEN II BIS XIII



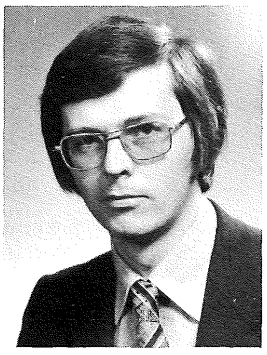
J. Wolff, München



M. Wolfs,
Rhode-St.-Genèse/Belgien



M. Wolter, Voerde



H. Zimmermann, Mannheim

IN DEN ZWÖLF HEFTEN DES JAHRGANGES 58 SIND ENTHALTEN:

Heft	1	2	3	4	5	6
Seiten	1—72	73—156	157—236	237—316	317—396	397—468

Heft	7	8	9	10	11	12
Seiten	469—544	545—616	617—688	689—772	773—852	853—940

Verfasserverzeichnis 1978

Abadzic, E., und Süßmann, W.: Speisewasservorwärmer in gewickelter Ausführung — Gegenüberstellung mit anderen Bauarten, Auslegung, Betriebserfahrungen 58:570—574

Ahrnborn, L.: Schwedische Erfahrungen mit organischen epitaxieverhindernden Ablagerungsinhibitoren in der Speisewassertechnologie 58:378—381

Andersen, Sv.: Betriebserfahrungen mit den Schnellstart-Mittellasteinheiten 21 und 22 im Kraftwerk Kyndby 58:809—812

Baumann, K., Schulte, J., und Waltenberger, G.: Betriebserfahrungen mit Hochtemperaturanlagen im Hinblick auf die Lebensdauererwartung 58:760—764

Baumüller, F., Lettow, W. und Seybold, M.: Ermittlung der zulässigen Anfahrgeschwindigkeit eines Schnellstartkessels mit Hilfe eines Berechnungsverfahrens zur Ermittlung von zeitlichen Temperaturverläufen in dickwandigen Bauteilen 58:298—303

Beetz, E., siehe Effertz, P.-H.

Beising, R.: Bauweise und Schwadenbeobachtung an einer Trocken-/Naßversuchszelle im Kraftwerk Marbach III 58:458—460

Bender, H.: Regelarmaturen für Flüssigkeiten bei mittleren und hohen Differenzdrücken 58:652—661

Berg, D.: Reduzierung der Strahlenbelastung in Leichtwasser-Kernkraftwerken durch Planungsmaßnahmen 58:256—261

Berge, H., und Orgis, K.: Die Rauchgasentschwefelung aus biologischer Sicht 58:108—110

Bieller, U., und Borchardt, H.P.: Die Verwendung von Flußsäure bei der chemisch-technischen Reinigung von Anlagen 58:927—930

Blum, R., siehe Klitgaard, J.

Bösken, W., und Scheele, K.: Netzkennlinienregelung bei den HEW 58:247—256

Bohnsack, G.: Spezielle Korrosivität aufgrund der Verteilungsverhältnisse im Zweiphasengebiet bei der Kondensation 58:373—378 58:752—759

van den Boomen, M., und Wiemer, W.: Die Tellerbrause für den Stork-Babcock-Entgaser 58:261—267

Borchardt, H.P., siehe Bieller, U.

Borsi, L., Hofmeister, W., Falgenhauer, G., und Reichel, H.: Untersuchung über Dynamik und Regelverhalten von Benson-Dampferzeugern 58:240—246

Borsi, L., und Kallina, G.: Entkopplungsregelung — Entwicklung und Erprobung eines neuen Regelkonzepts für Kraftwerksblöcke 58:561—565

Borst, A., und Wöhrle, G.: Eigenbedarfs- und Notstromversorgung sowie Netzbetrieb des 1300-MW-Standard-Kernkraftwerksblockes in der Bundesrepublik Deutschland 58:267—275

Brackenhammer, J.: Betriebserfahrungen mit Axialpumpen im Hauptkühlmittelkreislauf des Gemeinschaftskernkraftwerkes Neckarwestheim 58:478—484

Breuers, M., siehe Thömen, K.-H.

Bröker, G.: Trockene Rauchgasentschwefelung bei Braunkohlekraftwerken 58:305—308

Buch, A.: Betrachtungen zur Wirtschaftlichkeit der Stromerzeugung in Großkraftwerken unter Berücksichtigung von Zweistoff-Prozessen 58:474—478

Burgmann, F., Grünschläger, E., und Resch, G.: Versuche zur Kapazität von Kationenaustauschern in der Ammonium-Form 58:141—145

Burgmann, F., Bursik, A., Flunkert, F., van den Hoven, A.F., und Nieder, R.: Vermeidung schwerwiegender Fremstoffeinbrüche in Wasser-Dampfkreisläufe 58:221—228

Burgmann, F., siehe Effertz, P.-H.

Burgmann, F., siehe Grünschläger, E.

Bursik, A., siehe Burgmann, F.

Bursik, A., siehe Heimsch, R.

Buser, N., und Ghysels, J.P.: Erfahrungen mit Primärwasserreinigungs- und Abwasseraufbereitungs-Anlagen in Kernkraftwerken mit Druck- und Siedewasserreaktoren — Neue Entwicklungen auf diesem Gebiet 58:825—828

Buzina, M., Petro, E., und Janssen, H.J.: Versuche zur Verminderung der Stickoxid-Emission bei Ölfeuerungen 58:819—825

Canonico, D.A., Engel, J., und Kautz, H.R.: Berstversuchsserien an mittelgroßen Druckbehältern im Rahmen des amerikanischen HSST-Programmes 58:449—455

Capek, K.: Erste Erfahrungen mit der neuen Verbrennungsanlage einschließlich Rauchgaswäsche der BAYER AG 58:279—281

Chudzienski, E.: Inbetriebnahme und erste Betriebserfahrungen des Kernkraftwerkes Brunsbüttel 58:1—7

Cech, F.: Derzeitige und künftige Primärenergieversorgung Österreichs 58:16—19

Coates, A., siehe Ray, N.J.

Diekmann, E., siehe Döring, H.

Döring, H, und Diekmann, E: Aufbau und Betrieb des Untertagespeichers Eschenfelden 58:793—798

Doležal, R., Klug, M., und Plackmeyer, J.: Planung der beim Speisepumpenausfall eingreifenden Funktions-Gruppen mit Hilfe eines nichtlinearen Blockmodells 58:485—492

Doležal, R. und v.d. Kammer, G.: Experimentelle Überprüfung des Rechenmodells zur Simulation des Anfahrvorgangs beim Dampferzeuger 58:707—714

Dreßen, K., siehe Wiese, D.

Ecabert, R., und Miszak, P.: Vergleich zwischen Zwangdurchlaufkesseln mit vertikaler oder mit schraubenförmiger Berohrung der Brennkammerwände 58:877—883

Edwin, K.W., und Nachtkamp, J.: Zur Frage der zuverlässigen Auslegung der elektrischen Anlagen großer Kraftwerksblöcke 58:857—861

Effertz, P.-H., Fichte, W., Szenker, B., Resch, G., Burgmann, F., Grünschläger, E., und Beetz, E.: Kombinierte Konditionierung von Wasser-Dampfkreisläufen in Blockanlagen mit Durchlaufkesseln durch Sauerstoff und Ammoniak 58:585—596

Egerborg, B., Söderqvist, S., und Westerberg, G.: Geräuschbildung an Schornsteinen 58:748—752

Eggers, H.J., siehe Kübler, D.

Engel, J., siehe Canonico, D.A.

Ewald, J., siehe Kußmaul, K.

Ewald, J., siehe Schoch, W.

Eydam, H.: Betriebsbewährung und Aussichten der doppelten Zwischenüberhitzung 58:884—889

Falgenhauer, G., siehe Borsi, L.

Fichte, W., siehe Effertz, P.-H.

Fichtel, K.: Ablagerung von Rückständen aus der Müllverbrennung 58:499—505

Flad, J.: Das kombinierte Gas/Dampfturbinen-Heizkraftwerk der Stadtwerke Saarbrücken AG 58:157—166

Flunkert, F., siehe Burgmann, F.

Fraß, F.: Entmischung von Zweiphasen-Gemischen in Abzweigstücken 58:729—734

Freier, R.K., und Sauerwald, R.: Anfahrpraxis bei einem Kernkraftwerk mit Siedewasserreaktor 58:53—54

Ghysels, J.P., siehe Buser, N.

Glahe, E., Jesper, H., und Resch, G.: Eindringen von Natronlauge in einen Wasser-Dampfkreislauf 58:111—117

Gratzki, V., Stöckler, H.P., und Zimmermann, H.: Digitales, dezentrales Kraftwerksleitsystem mit BUS-Übertragung — eine neue Systemlösung 58:407—413

Grünschläger, E., und Burgmann, F.: Betriebserfahrungen mit Doppelstrom-Mischbettfiltern 58:232—233

Grünschläger, E., siehe Burgmann, F.

Grünschläger, E., siehe Effertz, P.-H.

Gutmann, G., Müller, G., und Oellrich, K.: Ultraschall-Wiederholungsprüfung an Reaktordruckbehältern 58:722—728

Häfele, W.: Bedingungen und Perspektiven für die Evolution künftiger Energiesysteme 58:700—706

Haussmann, R.: Stand und Entwicklungstendenzen des Ausbaus von Wärmekraftwerken in Österreich 58:166—170

Hegele, E., siehe Heimsch, R.

Heimsch, R., Hegele, E., Pfau, B., Bursik, A., Richter, R., und Welter, H.: Beobachtungen über den Einfluß von Massenstrom, Geschwindigkeit und mechanischer Beanspruchung auf das Schichtwachstum in Heißwasser 58:117—126

Hochmüller, K., und Wandelt, E.: Entfernung organischer Substanzen bei der Aufbereitung von Flußwasser zu Kesselspeisewasser 58:126—140

Hofmeister, W., siehe Borsi, L.

Holzer, R., und Stehle, H.: Das Rampenverhalten von Brennelementen 58:646—652

van den Hoven, A.F., siehe Burgmann, F.

Jacobs, J.: Verwertung von Verbrennungsrückständen aus Kraftwerksfeuerungen 58:342—353

Jacobs, J.: Fortschritte der Feuerungstechnik 58:848—851

Jacobs, J., siehe Michelfelder, S.

Jacobs, J., siehe Riedlinger, R.A.

Janssen, H.J., siehe Buzina, M.

Jenkins, M.A., siehe Ray, N.J.

Jesper, H., siehe Glahe, E.

Jirouš, F.: Analytische Methode der Berechnung des Naturumlaufes bei Dampferzeugern 58:366—372

Kallina, G., siehe Borsi, L.

Kalwa, G., und Schnabel, E.: Wärmebehandlung und Eigenschaften dickwandiger Bauteile aus warmfesten Röhrenstählen 58:604—613

v.d. Kammer, G., siehe Doležal, R.

Kassebohm, B.: Umsetzung des verfahrenstechnischen Konzeptes in die Leittechnik beim Kombi-Block des Kraftwerkes Lausward 58:275—279

Kastl, H.: Das 80/100-MW-Gasturbinen-Kraftwerk Leopoldau der Wiener Stadtwerke — Elektrizitätswerke 58:317—323

Kautz, H.R., siehe Canonico, D.A.

Kempkes, B.: Konstant- und Federhänger Betriebserfahrungen — Meßergebnisse — Qualitätsanforderungen 58:813—818

Kirsch, H.: Die Verteilung von Schwefel in Halb- und Restkoksen 58:828—834

Klitgaard, J., und Blum, R.: Warnung vor unkritischem Gebrauch von Inhibitoren auf Thioharnstoff-Basis 58:303—305

Klug, M., siehe Doležal, R.

Knizia, K.: Forschung in der Kraftwerkstechnik — Kritische Betrachtung aus der Sicht der Kraftwerksbetreiber 58:86—90

Knoblauch, H., siehe Richter, H.

Knoche, K.F.: Stand und Chancen der Wasserstofftechnologie 58:90—94

Knoerzer, G., und Rieser, R.: Kernkraftwerk Isar — in der Inbetriebnahme 58:546—554

Knoll, H.: Einsatz von Großspeichern in der kommunalen Gasversorgung 58:798—802

Kokott, D.: Erste Betriebserfahrungen mit einem Naß-/Trockenversuchskühlturm in der BASF 58:282—289 58:492—499

Kolar, J.: Analyse der Nürnberger Immissionen 58:894—904

Krägeloh, E., siehe Schoch, W.

Krolewski, H., und Täubert, U.: Neueste Entwicklung zur Wärmeeinleitung in Gewässer 58:103—108

Krone, S.: Überwachung und Schutz von Kraftwerks-Hilfseinrichtungen 58:735—743

Krüger, F.K.: Reparatur von Kesseltrommeln, Anfahrflaschen, Sammlern, Einspritzkühlern usw. vor Ort während der Revision von Dampfkesselanlagen 58:596—604

Kübler, D., und Eggers, H.J.: 740-MW-Steinkohleblock Scholven F — Einflußnahme des Bestellers auf die Konstruktion an den Beispielen „Dampferzeuger" und „Rauchgasentschwefelung" 58:861—866

Kußmaul, K., Ewald, J., Maier, G., und Schellhammer, W.: Maßnahmen und Prüfkonzepte zur weiteren Verbesserung der Qualität von Reaktordruckbehältern für Leichtwasserkernkraftwerke 58:439—448

Kußmaul, K., und Stoppler, W.: Temperaturführung bei und nach dem Schweißen 58:835—847

Leiber, W.: Grundlagen und Technik der viskohydraulischen Regelkupplung sowie Anforderungen in verschiedenen Anwendungsgebieten 58:574—581

Lettow, W., siehe Baumüller, F.

Lühr, H.P.: Anforderungen an Kraftwerksnebenprodukte bei der Verwendung im Bauwesen 58:354—358

Mäule, R.: Entwicklungs- und Konstruktionsauftrag für einen kombinierten Naß-Trocken-Kühlturm großer Leistung 58:455—457

Mäule, R.: Bauarten von Naß-Trocken-Kühlturmzellen 58:565—570

Maghon, H.: Betriebserfahrungen mit großen KWU-Gasturbinen 58:323—330

Maier, G., siehe Kußmaul, K.

Martinola, F., Wasserstoffperoxid und Ionenaustauscher im Kraftwerksbetrieb 58:436—439

Mathias, G.: Netzlastzuschaltungen auf Kraftwerksturbosätze nach einem Netzzusammenbruch 58:397—403

Matthes, Th.: Feuerraumauskleidung mittels luftgekühlter Stahlgußplatten in der Müllverbrennungsanlage Bremen 58:430—435

Matthews, R.R.: CEGB-Erfahrungen mit der Öffentlichkeitsarbeit bei Bau und Betrieb von Kernenergieanlagen 58:100—103

Mayer, K.-H., Meyer, H.-J., und Riess, W.: Betriebsbeanspruchungen der Wellen moderner Dampfturbinen bestimmen die Anforderungen an die Schmiedestücke 58:529—541

McLachlan, D.: Die Kohlenfeuerungsanlage im 600-MW-Block Enstedværket 58:30—33

Merz, J., und Schürholz, G.: Die konstruktive Lösung für den Einbau von Mittelwänden in Feuerräumen 58:634—640

Meyer, H.-J., siehe Mayer, K.-H.

Michael, I.: Experimentelle Untersuchungen zum Stofftransport in Druckwasser 58:46—52

Michelfelder, S., und Jacobs, J.: 20 Jahre Kohlenstaubfeuerungs-Forschung der IFRF/DVV und aktuelle Versuchsergebnisse von Kohlenstaubflammen 58:904—915

Miszak, P., siehe Ecabert, R.

Mittelbach, G., Petersen, H., und Telöken, R.: Der Einfluß moderner Steinkohlekraftwerke auf die Immissionen 58:867—873

Müller, A.: Leichtbau-Gasturbinen in Containeraggregaten für Notstrom, Spitzenstrom und Total Energy 58:403—407

Müller, G., siehe Gutmann, G.

Nachtkamp, J., siehe Edwin, K.W.

Neukirchen, B: Die Rauchgaswaschanlage in der Sondermüllverbrennungsanlage in Ebenhausen 58:358—360

Nieder, R., siehe Burgmann, F.

Nitsch, D., und Schmitz, H.: Arbeitsverfügbarkeit und Arbeitsausnutzung von Blockanlagen 1976 58:62—67

Novak, H.: Die Wärmekraftwerke beim süddeutsch-österreichischen Netzzusammenbruch von 1976 58:773—775

Oellrich, K., siehe Gutmann, G.

Orgis, K., siehe Berge, H.

Overmann, L.J., siehe Venderbosch, H.W.

Petersen, H., siehe Mittelbach, G.

Petro, E., siehe Buzina, M.

Pfau, B., siehe Heimsch, R.

Plackmeyer, J., siehe Doležal, R.

Plog, C.: Einsatz Grenzflächen-Physikalischer Verfahren bei der Dünnschichtanalyse 58:41—45

Plür, R., und Weinsheimer, P.: Fünf Jahre Betriebserfahrungen aus der Gemeinschafts-Müll-Verbrennungsanlage Niederrhein 58:419—430

Plutka, G., und Schlumberger, H.: Planung, Errichtung und Inbetriebsetzung des kombinierten Gasturbinen-/Dampfkraftwerkes der Kraftwerke Mainz-Wiesbaden AG (KMW) 58:73—86

Pollmann, S.: Tieftemperaturkorrosion an Luftvorwärmern durch chloridhaltige Kohlenaschen 58:921—926

Ray, N.J., Jenkins, M.A., und Coates, A.: Die Aufbereitung von Flußwasser durch umgekehrte Osmose 58:213—220

Reiche, E.: Fossile Energierohstoffe — ihre Erkundung und ihre Sicherung, dargestellt am Beispiel der Bundesrepublik Deutschland 58:11—16

Reichel, H., siehe Borsi, L.

Reidick, H., und Reifenhäuser, R.: Katalytische SO_3-Bildung in Abhängigkeit von der Kesselverschmutzung 58:915—921

Reifenhäuser, R., siehe Reidick, H.

Resch, G., siehe Burgmann, F.

Resch, G., siehe Effertz, P.-H.

Resch, G., siehe Glahe, E.

Richter, H., und Knoblauch, H.: Erfahrungen mit HD-Sicherheitsüberströmventilen — Werkstoffe, Schweißverbindung, Funktion und Regelung 58:413—418

Richter, R., siehe Heimsch, R.

Riedlinger, R.A.: Umbau einer Kondensationsturbine für die Fernheizung 58:237—240

Riedlinger, R.A., und Jacobs, J.: Tendenzen auf dem Gebiet der Lärmminderung 58:889—894

Rieser, R., siehe Knoerzer, G.

Riess, W., siehe Mayer, K.-H.

Roggenkamp, H.E.: Auslegungsgrundlagen für einen Seewasser-Naturzugkühlturm 58:670—674

Roofthooft, R.: Chemische Betriebserfahrungen in den belgischen Kernkraftwerken Doel und Tihange 58:33—41

Roofthooft, R.: Dekontamination in leichtwassergekühlten Kernkraftwerken 58:684—685

Rosselet, A., siehe Walser, B.

Rühl, H.: Konvergente Gestaltung der Kühlturmkrone großer Rundkühltürme im Zusammenwirken mit einer aufwärtssprühenden Wasserverteilung 58:289—297

Rydell, N.: Aufbereitung und endgültige Lagerung radioaktiver Abfälle in stabilen Bergformationen 58:94—99

Sauerwald, R., siehe Freier, R.K.

Seifert, W.: Einrichtungen insbesondere für Ultraschall-Prüfungen in Kernkraftwerken — Entwicklungsstand, Einsatz und Betriebserfahrungen 58:506—511

Seybold, M., siehe Baumüller, F.

Sielhorst, W.: Verlängerung der Laufzeit bei Kondensatreinigungsanlagen 58:145—146

Snel, A., siehe Venderbosch, H.W.

Spähn, H.: Druckgefäße 58:511—528

Spalthoff, F.-J.: Ein integriertes Instandhaltungssystem für Kraftwerke — Einführung und Bewährung 58:802—809

Speich, P.: Verbund von Kohle und Kernenergie zur Sicherung der Rohstoff- und Energieversorgung 58:628—634

Söderqvist, S., siehe Egerborg, B.

Süßmann, W., siehe Abadzic, E.

Szenker, B., siehe Effertz, P.-H.

van Schaik, T.: Reparaturmöglichkeiten an Heißteilen von Gasturbinen 58:330–336

Scheele, K., siehe Bösken, W.

Schellhammer, W., siehe Kußmaul, K.

Scheuten, G.H.: Entsorgung für Kernkraftwerke in der Bundesrepublik Deutschland 58:8–11

Schieferstein, U., und Schmitz, F.: Korrosions-Zeitschwingfestigkeit von Turbinenwerkstoffen unter betriebsähnlichen Beanspruchungen 58:193–200

Schlumberger, H., siehe Plutka, G.

Schmitz, F., siehe Schieferstein, U.

Schmitz, H., siehe Nitsch, D.

Schmole, Chr.: Erfahrungen mit Braunkohlenfeuerungen im Kraftwerk Schwandorf 58:170–176

Schnabel, E., siehe Kalwa, G.

Schneider, A.: Betriebserfahrungen und zukünftige Aussichten von Hochtemperatur-Dampferzeugern und Kraftanlagen 58:182–193

Schoch, W., Krägeloh, E., und Ewald, J.: Versagen durch einsinnig stufenweise Verformung – Ursache und Erscheinung 58:54–61

Schöllhammer, F.: Erfahrungen mit dem außergewöhnlichen Betriebsverhalten eines Hochdruck-Mitteldruck-Turbinenläufers 58:20–29

Schürholz, G., siehe Merz, J.

Schubert, J., Aufhängungen und Unterstützungen für Rohrleitungen – Standsicherheitsnachweis der Halterungen, Einfluß der Kennwerte auf die Beanspruchung von Rohrleitungen 58:743–747

Schulte, J., siehe Baumann, K.

Schulze, P., siehe Wegner, A.

Schwarz, O.: Die VGB-FORSCHUNGSSTIFTUNG – Entstehung, Aufgaben und Ziele 58:308–313

Schwarz, O.: Kurzbericht über die Tätigkeit der VGB 1977/1978 58:617–627

Steckel, H.: Naßkühltürme und Rückhaltespeicher, eine Alternative zu Trockenkühltürmen 58:873–877

Steger, H.: Rauchgasseitige Kesselkonservierung 58:582–584

Stöckler, H.P., siehe Gratzki, V.

Stehle, H., siehe Holzer, R.

Stoppler, W., siehe Kußmaul, K.

Stubbe-Leroy, J., und Wolfs, M.: Verhalten von unrunden Kesselrohren unter Innendruck 58:674–684

Täubert, U. ,siehe Krolweski, H.

Telöken, R., siehe Mittelbach, G.

Thömen, K.-H., Tillmann, A., und Breuers, M.: Einsatz von feuerfestem SiC-Material in der MVA Düsseldorf 58:661–669

Tillmann, A., siehe Thömen, K.-H.

Timm, M.: Das Netzverhalten von Kernkraftwerken 58:640–646

Trenkler, H.: Entwicklungstendenzen der Kraft- und Wärmewirtschaft 58:786–793

Venderbosch, H.W., Overmann, L.J., und Snel, A.: Ionenschlupf von Mischbettaustauschern in Kondensataufbereitungsanlagen – Theorie und Versuchsergebnisse 58:228–232

VGB -ad-hoc-Arbeitsgruppe: Die notwendigen Kenntnisse der in Kernkraftwerken „sonst tätigen Personen" 58:764–768

Vodicka, V.: Derzeitige Erkenntnisse über physikalische Zusammenhänge beim Tropfenauswurf von Naßkühltürmen und bisher angewendete Meßverfahren zur Bestimmung der Tropfengröße 58:337–342

Walser, B., und Rosselet, A.: Bestimmung der Restlebensdauer betriebsbeanspruchter Heißdampfleitungen mit Zeitstandversuchen und Gefügeuntersuchungen 58:361–366

Waltenberger, G., siehe Baumann, K.

Wandelt, E., siehe Hochmüller, K.

Wegner, A., und Schulze, P.: Betriebserfahrungen mit den den Gasturbinen der Kraftwerke Charlottenburg und Wilmersdorf nachgeschalteten Abhitzewärmetauschern 58:715–721

Weinsheimer, P., siehe Plür, P.

Weise, H.-D.: Schweißverbindungen in hochwarmfesten austenitischen Chrom-Nickel-Stahl-Bauteilen 58:930–935

Welter, H., siehe Heimsch, R.

Westerberg, G., siehe Egerborg, B.

Wied, E.: Dampferzeuger mit Wirbelschichtfeuerung unter atmosphärischen und Überdruckbedingungen 58:554–561

Wiemer, W., siehe van den Boomen, M.

Wiese, D., und Dreßen, K.: Heizflächenverschmutzung und Feststoffauswurf ölgefeuerter Dampfkessel 58:177–182

Wöhrle, G., siehe Börst, A.

Wolff, J.: Technische Regelwerke für thermische Kraftwerke in internationaler Sicht 58:776–786

Wolfs, M., siehe Stubbe-Leroy, J.

Wolter, M.: Wirtschaftliche Anfahrmethoden von Kraftwerksblöcken – Zwischenergebnisse von Versuchsfahrten 58:469–474

Zimmermann, H., siehe Gratzki, V.

Sachverzeichnis 1978

Aachen-Erkelenzer Revier 58:13

Abfallverbrennungsanlage der BAYER AG 58:279–282

Abkühlgeschwindigkeit, Einfluß auf das Gefüge 58:604–613

Abwasseraufbereitung in Kernkraftwerken 58:825–828

Abzehrungsgeschwindigkeit austenitischer Werkstoffe im Dampferzeuger 58:182–193

Ähnlichkeitsgesetze 58:904–915

Ammoniak
- in Kombination mit Sauerstoff zur Konditionierung von Wasser-Dampfkreisläufen 58:585–596
- Verteilungsverhältnisse bei der Kondensation von Dampf 58:373–378, 58:752–759

Anergie, Entwicklung von 1972 bis 2000 58:474–478

Anfahrbegrenzendes Bauteil 58:302

Anfahrgeschwindigkeit, Berechnung 58:298–303

Anforderungen an Kraftwerksnebenprodukte 58:354–358

Anlaufkupplungen bei Kohlenmühlen 58:171/172

Anlaßversprödung 58:522

Anlaßversprödungsfaktor 58:524

Arbeitsablaufplanung für Instandhaltung 58:806

Arbeitsausnutzung von Kraftwerksanlagen für 1976 und 1970 bis 1976 58:62–67

Arbeitsgemeinschaft Industrieller Forschungsvereinigungen (AIF) 58:310

Arbeitsplätze, ständige 58:889–894

Arbeitsverfügbarkeit von Kraftwerksanlagen für 1976 und 1970 bis 1976 58:62–67

Arzberg, Kraftwerk mit Rückhaltespeicher 58:873–877

Aschedeponierung 58:342–353

Ascheverwertung 58:342–353

Aufhängungen und Unterstützungen für Rohrleitungen
- Zweck und Anwendungsbereich 58:743–747
- Standsicherheitsnachweis 58:743–747
- Werkstoffe 58:743–747
- Gesamtsicherheitsbeiwert 58:743–747

Augerelektronen-Spektroskopie (AES) zur Dünnschichtanalyse 58:41–45

Ausbildung von Kraftwerkspersonal 58:201–212

Ausbreitungsrechnung, -theorie, Ergebnisse 58:108–110 58:867–873 58:894–904

Auslaugung von Rückständen der Verbrennung 58:499–505

Ausnutzung von Kraftwerksanlagen für 1976 und 1970 bis 1976 58:62–67

Austenitische Bauteile im Dampferzeuger und Turbosatz
- Konstruktionshinweise 58:182–193
- Entwicklungsnotwendigkeiten 58:182–193

Austenitischer Werkstoff im Dampferzeuger
- Rohrabzehrung 58:182–193
- Dehnungsverhalten 58:182–193
- Schweißbarkeit 58:182–193

AVR – 10 Jahre Stromerzeugung 58:147–153

Axialpumpen im Hauptkühlmittelkreis Neckarwestheim 58:478–484

Ballastkohleverbrennung 58:848–857 58:904–915

Barwerte der spezifischen Stromerzeugungskosten (Preisstand 1985) 58:786–793

BASF-Schierenbeck-Wickelverfahren 58:519/520

Baukosten, spez., Index 1950 bis 1977 58:786–793

Bayerisches Revier 58:14

Berechnung, zulässige Anfahrgeschwindigkeit 58:298–303

Berechnungsmethode für Naturumlauf bei Dampferzeugern 58:366–372

Berechnungsverfahren zur Ermittlung des zeit- und ortsabhängigen Temperaturverlaufes in rotationssymmetrischen Bauteilen 58:302

Berstversuche an Druckbehältern 58:449–455 58:521

β-FeOOH, Entstehung und Vorkommen 58:924–926

Betonzusatzstoff 58:354–358

Betriebshandbuch, Anforderungen 58:315

Betriebskunde, Kenntnisse der sonst tätigen Personen
- Brandschutz 58:764–768
- Strahlenschutz 58:764–768
- Arbeitsschutz 58:764–768

Betriebspersonal, Kenntnisse 58:764–768

Blockleistungsregler 58:248/249

Braunkohle, wasserlösliche Anteile 58:924/925

Braunkohlenaschen, Chloridgehalte 58:921–926

Braunkohlenfeuerung im Kraftwerk Schwandorf 58:170–176

Braunkohlenreviere in der Bundesrepublik Deutschland 58:14/15

Brennelemente
- Bestrahlungsversuche 58:646–652
- Verhalten bei Betriebsrampen 58:646–652

Brennkammer-Berohrung, vertikale oder schraubenförmige Rohrwicklung 58:877–883

Brennstab-Rechenmodelle 58:646–652

Brennstab-Hüllrohr-Wechselwirkung 58:646–652

Brennstoffpreise, Index 1952 bis 1977 58:786–793

Bruchdehnung 22 NiMoCr 3 7 und 20 MnMoNi 5 5 58:442–447

Bruchmechanik, linearelastische LEBM 58:452

Bruchzähigkeit
- 22 NiMoCr 3 7 58:441
- N-A-XTRA 70 58:521
- 12 CrMo 9 10 58:522/523

Bunkerbrände in MVA 58:419—430
BUS-Übertragung
— Kraftwerksleitsystem mit 58:407—413
— Prinzip und Komponenten der 58:409—413

CEGB — Öffentlichkeitsarbeit 58:100—103
Charpy-V-Übergangstemperatur 12 CrMo 9 10 58:523/524
Chemie in belgischen Kernkraftwerken mit Druckwasserreaktoren 58:33—41
Chemikalien, Einbrüche in den Wasser-Dampfkreislauf 58:221—228
Chloridhaltige Braunkohlenaschen 58:921—926

Dampf, Verteilung der Inhaltsstoffe bei der Kondensation 58:373—378 58:752—759
Dampferzeuger
— konstruktive Lösung für Feuerraum-Mittelwände 58:634—640
— rauchgasseitige Konservierung 58:582—584
— Rechenmodell zur Simulation des Anfahrvorganges 58:707—714
— Rohrwerkstoffe, Korrosionsverhalten in Druckwasser 58:46—52
— Scholven F 58:861—866
— Zweiphasen-Gemische in Abzweigstücken 58:729—734
Dampfturbinen
— außergewöhnliches Betriebsverhalten 58:20—29
— Fernheizung 58:237—240
— Läuferverkrümmung 58:20—29
— Lagerschaden durch Schwingungen 58:20—29
— Schwingungsverhalten 58:20—29
— Umbau einer Kondensationsturbine für die Fernheizung 58:237—240
Dauerschwingversuche 58:195
Dehnung; Berstversuche an Druckbehältern 58:453
Dehnungsschädigung, Nachweis, 22 NiMoCr 3 7 und 20 MnMoNi 5 5 58:444—446
Dekontamination in LWR-Kernkraftwerken, Methoden und Erfahrungen 58:684/685
Deutsche Gesellschaft für Wiederaufarbeitung von Kernbrennstoffen mbH 58:8—11
Dezentrales Kraftwerksleitsystem 58:407—413
Dickwandige Bauteile aus warmfesten Röhrenstählen, Wärmebehandlung und Eigenschaften 58:604—613
Digitales Kraftwerksleitsystem 58:407—413
Doppelstrom-Mischbettfilter zur Kondensataufbereitung 58:232/233
Doppelte Zwischenüberhitzung
— Anordnung der Heizflächen 58:884—889
— Aussichten der 58:884—889
— Betriebsbewährung 58:884—889
— Differenz der Investitionskosten 58:884—889
Doppelte ZÜ, Dampfkraftanlagen mit
— Temperaturregelung der Zwischenüberhitzer 58:884—889
— Wirkungsgradverbesserung 58:884—889
— Wirtschaftlichkeit 58:884—889
— Zeitverfügbarkeit der spezifischen Komponenten 58:884—889
Dünnschichtanalyse mit grenzflächenphysikalischen Verfahren 58:41—45
Durchlaufkessel
— Einflüsse auf das Schutzschichtwachstum 58:117—126
— kombinierte Konditionierung des Wasser-Dampfkreislaufes 58:585—596
Druckbehälter
— Beanspruchungsarten 58:512
— Berstversuche 58:449—455 58:521
— Wasserstoffangriff (Korrosion) 58:526/527
Druckgefäße, Werkstoffprobleme, Schweiß- und Prüftechnik, Korrosionsschutz und Betriebserfahrungen 58:511—528
Druckwasserreaktoren
— chemische Betriebserfahrungen in belgischen Kernkraftwerken 58:33—41
— Stofftransport und Primärkreiskontamination 58:46—52
Druckwasserkorrosion, Untersuchung mit grenzflächenphysikalischen Verfahren 58:41—45

Echodynamik 58:537
Eigenbedarfssysteme, Zuverlässigkeitsuntersuchung 58:857—861
Eigenbedarfsversorgung des 1300 MW Standard-Kernkraftwerkes 58:267—275
Electric Power Research Institute (EPRI) 58:311
Electric Research Council (ERC) 58:311
Elektrolyse, Wärmebedarf und Kosten 58:91/92
Elektroschlackeumschmelzverfahren (ESU-Verfahren) 58:514
Emissionen, verschiedene Stoffe in Luft 58:867—873 58:894—904
Emissionsgrenzwert für SO_2 58:867—873 58:305—308
Emissionsindex 58:894—904
Endlagerung radioaktiver Abfälle 58:94—99
Energiebedarfsszenarien für das Jahr 2030 58:700—706
Energiesysteme, zukünftige Evolution der 58:700—706
Energie- und Rohstoffversorgung
Sicherung der — durch Verbund von Kohle und Kernenergie 58:628—634
Energieverbrauch
— Entwicklung des — in Österreich 58:16—19
— pro Kopf in der Welt 1975 58:700—706
— spezifischer für verschiedene Industriegruppen 1955 bis 1976 58:786—793
Energieversorgung
— Optionen 58:700—706
— zukünftige Entwicklung 58:87/88
Enstedvaerket, die Kohlenfeuerungsanlage des 600-MW-Blockes 58:30—33
Entgaser, Tellerbrause für den Sprühentgaser 58:261—267
Entkopplungsregelung
— Entwicklung und Erprobung eines neuen Regelkonzeptes 58:561—565
— Synthese 58:562—564
Entschwefelungsanlage Scholven F 58:861—866

Entsorgung von Kernkraftwerken 58:8–11
Erdgaswirtschaft Österreichs 1975 bis 1990 58:16–19
Ermüdungsriß 58:55
Eschenfelden, Untertage-Gasspeicher 58:793–798

Feinkornstähle für Druckbehälter 58:521/522
Feststoffauswurf bei Ölkesseln 58:177–182
Feuerfeste Auskleidung von Müllkesseln 58:661–669
Feuerraumauskleidung von Müllkesseln 58:430–435
Feuerungstechnik 58:848–851
Filterdüsen, Verstopfung in Doppelstrom-Mischbettfiltern 58:232/233
Finite-Elemente-Methode 58:199 58:679–682
Flammenstabilität 58:819–825
Flammenüberwachung 58:848–851
Flammenuntersuchungen 58:848–851 58:904–915
Flickenschweißung 58:599
Flugascheanalysen 58:354–358
Flugascheanfall 58:342–353
Flußsäure zur Kesselreinigung 58:927–930
Forschung in der Kraftwerkstechnik 58:86–90 58:308–313
Forschungsstiftung, VGB- 58:308–313
Fossile Energierohstoffe in der Bundesrepublik Deutschland 58:11–16
Frequenzstützung der Kernkraftwerke 58:641/642
Fugenformen für Stumpfstoßnähte in austenitischen Rohren 58:930/931

Gasqualität, Umstellung von Gasspeichern 58:796
Gasspeicher 58:793–798 58:798–802
Gasversorgung, Gasspeicher 58:798–802
Gasturbinen
- Abhitzewärmeaustauscher 58:715–721
- Anfahreinrichtung 58:317–323
- Betriebserfahrungen 58:323–330
- Containeraggregat 58:403–407
- Gewebekompensatoren 58:715–721
- Korrosionen an Rauchgasklappen 58:715–721
- Kraftwerk Leopoldau 58:317–323
- Leichtbau-Gasturbinen 58:403–407
- Notstromaggregat 58:403–407
- Planungsgrundlagen 58:317–323
- Reparaturmöglichkeiten an Heißteilen von Gasturbinen 58:330–336
- Schaufel-/Läuferkühlung 58:323–330
- Schaufelreparaturen durch Schweißen 58:330–336
- Schaufelschäden 58:323–330
- Schaufelschadensarten 58:330–336
- Schaufelwerkstoffe 58:330–336
- Schwarzstartmöglichkeiten bei Netzausfällen 58:317–323

Gebläsemühlen im Kraftwerk Schwandorf 58:171–173
Gefügeuntersuchung zur Bestimmung der Restlebensdauer 58:361–366
Gemeinschaftsforschung 58:312/313
Genehmigung und Qualitätssicherung bei Kernkraftwerken in der Bundesrepublik Deutschland 58:776–786
Genehmigungsverfahren, Ablauf in verschiedenen Ländern 58:776–786
Geräuschbildung 58:748–752
Geräuschemissionen von Kraftwerksanlagen 58:889–894
Gestaltänderungshypothese 58:56
Gestaltfestigkeit 58:199
Granulatanfall 58:342–353
Grenzflächenphysikalische Verfahren zur Dünnschichtanalyse 58:41–45
Gütesicherung von austenitischen Schweißverbindungen 58:932

Hauptkühlmittelpumpen in Neckarwestheim
- Betriebserfahrungen 58:478–484
- Konstruktion 58:478–484
- Störfälle 58:478–484

Heizflächenreinigung 58:177–182
Heizflächenverschmutzung 58:177–182
Helmstedter Revier 58:14
Hessisches Revier 58:15
Heißdampfleitungen, Bestimmung der Restlebensdauer 58:361–366
Heißrissigkeit, mikro 58:441
Hochtemperaturanlagen
- Aussichten 58:182–193
- Betriebserfahrungen 58:182–193 58:760–764
- Verfügbarkeit 58:182–193
- Wirtschaftlichkeit 58:182–193

Hochtemperaturreaktor 58:88/89
Hochtemperatur-Winkler-Vergasung, Reaktorschema 58:628–634
Hosenstücke, Berechnung der Anfahrgeschwindigkeit 58:299
HSST-Programm 58:449–455
Hybridverfahren zur Wasserstoffgewinnung 58:93/94
Hydraulische Regelkupplung (viskohydraulisch)
- Betriebsverhalten und Verschleiß 58:574–581
- Konstruktiver Aufbau 58:574–581
- Regelung 58:574–581
- Wirkungsgrad 58:574–581
- Wirkungsweise 58:574–581

Ibbenbürener Revier 58:13
Immissionen
- moderne Steinkohlenkraftwerke 58:867–873
- Anteile verschiedener Verursacher 58:894–904
- verschiedene Stoffe in der Luft 58:867–873 58:894–904

Immissionsprognose 58:867–873 58:894–904
Immissionsrichtwerte 58:889–894
Inbetriebnahme Kernkraftwerk Brunsbüttel 58:1–7
Incremental collapse (schrittweise Zunahme von plastischer Verformung) 58:54–61
Inhibitor auf Basis Thioharnstoff, schädliche Nebenwirkungen 58:303–305
Instandhaltungsstatistik 58:808
Instandhaltungssystem 58:802–809

Integriertes Rohstoff- und Energieversorgungssystem 58:628–634
Interne Axialpumpen 58:1–7
Ionenaustauscher, Verhalten gegenüber Wasserstoffperoxid 58:436–439
Ionenschlupf von Mischbettaustauschern 58:228–232
Irsching, 330-MW-Block mit Ölfeuerung 58:916

Jahresbelastungsdiagramm, Steinkohlenkraftwerk 58:867–873

Kabelübertragung, leittechnische Anlage mit 58:409
Kaltrißbildung, wasserstoffbeeinflußte 58:441
Kapazität von Kationenaustauschern in der Ammonium-Form 58:141–145
Kapazitätsplanung für Instandhaltung 58:806
Katalytische SO_3-Bildung 58:915–921
Kationenaustauscher in der Ammonium-Form, Kapazität 58:141–145
Kerbschlagzähigkeit X 20 CrMo V 12 1 58:538
Kernbrennstoffkreislauf 58:89
Kernenergieanlagen, Öffentlichkeitsarbeit der CEGB 58:100–103
Kernkraftwerk Isar 58:545–554
Kernkraftwerke
- Anfahrpraxis bei einem Siedewasserreaktor 58:53/54
- chemische Betriebserfahrungen in Belgien 58:33–41
- Dekontamination chemisch 58:684/685
- Dekontamination mechanisch 58:684/685

Kenntnisse der sonst tätigen Personen 58:764–768
- Netzverhalten 58:640–646

Kernkraftwerksmodell, Anwendung bei Planung und Reparaturarbeiten 58:256–261
Kernkraftwerk-Simulator-Zentrum 58:201–212
Kerntechnisches Regelwerk
- Anforderungen an das Betriebshandbuch (KTA 1201) 58:315
- Behandlung von kontaminiertem Wasser (KTA 3603 – Entwurf) 58:36
- Hebezeuge in kerntechnischen Anlagen (KTA 3902 – Änderungsentwurf) 58:315
- Messung und Überwachung radioaktiver Ableitungen (KTA 1503.1 – Entwurf) 58:315
- Reaktorsicherheitsbehälter (KTA 3401.3 – Entwurf) 58:935
- Schleusen (KTA 3409 – Entwurf) 58:935/936

Kernzonen-Umschmelzverfahren (MHKW-Verfahren) 58:514
Kerzenfilter zur Kondensatreinigung, Betriebserfahrungen 58:145/146
Kesselhaus, Stahlkonstruktion Scholven F 58:861–866
Kesselreinigung, chemische 58:927–930
Kesselrohre, unrunde unter Innendruck 58:674–683
Kesselspeisewasser, Aufbereitung aus organisch verschmutztem Flußwasser 58:126–140
Kesselverschmutzung 58:915–921
- bei Müllkesseln 58:419–430

Kohlenfeuerungsanlage im 600-MW-Block Enstedvaerket 58:30–33
Kohlenmonoxid, Emissionen und Immissionen 58:894–904
Kohlensäure, Verteilungsverhältnisse bei der Kondensation von Dampf 58:373–378
Kohlenstaubfeuerung 58:904–915
Kohleumwandlungstechnologien 58:88/89
Koksartige Substanzen, Schwefelgehalt 58:828–834
Kombi-Prozeß mit Wirbelschichtbrennkammer 58:559
Kombinierte Gas-Dampfturbinenanlage der Stadtwerke Saarbrücken, Planung, technische Daten, Betrieb 58:157–166
Kombinierte Konditionierung von Wasser-Dampfkreisläufen 58:585–596
Kondensat, Verschmutzung durch Fremdstoffe 58:221–228
Kondensation von Dampf, Verteilung der Inhaltsstoffe 58:373–378 58:752–759
Kondensatreinigung
- Ionenschlupf von Mischbettaustauschern 58:228–232
- mit Doppelstrom-Mischbettfiltern 58:232/233
- mit Mischbettfiltern in der NH_4/OH-Form 58:141–145
- Verhalten der Ionenaustauscher bei H_2O_2-Konditionierung 58:436–439

Kondensatreinigungsanlagen, Verlängerung der Laufzeit 58:145/146
Kondensatorreinigung, chemische 58:303–305
Kondensatorrohre, Korrosion durch Ammoniak 58:752–759
Konservierung, rauchgasseitige 58:582–584
Konstant- und Federhänger 58:743–747 58:813–818
Kontamination im Primärkreislauf von Druckwasserreaktoren 58:46–52
Konvertierung von SO_2 zu SO_3 58:916
Korrosion
- Untersuchung mit grenzflächenphysikalischen Verfahren 58:41–45
- an Kondensatorrohren durch Ammoniak 58:752–759
- und Stofftransport in Druckwasser 58:46–52

Korrosionen in Müllkesseln 58:419–430
Korrosionsbeanspruchungen, Druckbehälter 58:525–527
Korrosionsproduktpegel beim Anfahren eines Siedewasserreaktors 58:53/54
Korrosions-Zeitschwingfestigkeit von Turbinenwerkstoffen 58:193–200
Kosten
- spezifische der REA 58:867–873
- der Entsorgung von Kernkraftwerken 58:8–11

Kostenplanung für Instandhaltung 58:807
Kraftwerk Irsching 58:915–921
Kraftwerke 1978, VGB-Kongreß 58:689–700

Kraftwerke Mainz Wiesbaden,
kombinierter Gas-Dampfturbinenblock — Planung, Errichtung, Inbetriebnahme, technische Daten 58:73—86
Kraftwerksblock, mathematisches Modell 58:562/563
Kraftwerksleitsystem, digitales, dezentrales mit BUS-Übertragung 58:407—413
Kraftwerksnebenprodukte 58:342—353 58:354—358
KRAFTWERKSSCHULE E.V. 58:201—212
Kraft- und Wärmewirtschaft, Entwicklungstendenzen 58:786—793
Kriechgeschwindigkeit 58:57
Kriechverformung 58:364
Kühlturm
— aufwärtssprühende Wasserverteilung 58:289—297
— Auslegungsgrundlagen für einen Seewasser-Naturzugkühlturm 58:670—674
— Bauarten von Naß-/Trocken-Kühlturmzellen 58:565—570
— Bauweise einer Naß-/Trockenversuchszelle 58:458—460
— Erfahrungen mit einem Naß-/Trockenversuchskühlturm 58:282—289
— Entwicklungs- und Konstruktionsauftrag für einen Naß-/Trockenkühlturm 58:455—457
— konvergente Gestaltung der Krone 58:289—297
— Meßverfahren zur Bestimmung der Tropfengröße 58:337—342
— Naß-/Trockenversuchszelle im GKN 58:565—570
— Schwadenbeobachtung an einer Naß-/Trockenversuchszelle 58:458—460
— Schwadenbeseitigung an einem Naß-/Trockenversuchskühlturm 58:282—289
— thermodynamische Untersuchungen an einem Naß-/Trockenkühlturm 58:492—499
— Tropfenauswurf von Naßkühltürmen 58:337—342
— Tropfenspektrum 58:337—342
Kühlzeit-Temperatur-Umwandlungs-(KTU-)Schaubild 58:605—612
Kühlwasser, Aufbereitung und Konditionierung, VGB-Richtlinie 58:854—856
Kühlwasserspeicher und Naßkühlturm, eine Alternative zu 58:873—877
Kugelhaufen-Hochtemperaturreaktor 58:147—153
Kyndby, Schnellstartanlagen
— Anfahrdiagramm 58:809—812
— Erfahrungen 58:809—812
— technische Daten 58:809—812
— Wärmeschaltbild 58:809—812

Lärmminderung 58:748—752 58:889—894
Läpp-Verfahren zur Dekontamination in leichtwassergekühlten Kernkraftwerken 58:684/685
Lastfolgebetrieb der KKW 58:640/641
Laständerungsgeschwindigkeit 58:298
Lebensdauererwartung von Hochtemperaturanlagen 58:760—764
Leichtwasserkernkraftwerke, Reaktordruckbehälter 58:439—448
Leistungsänderungseigenschaften der Kernkraftwerke 58:643/644
Leistungsregeleigenschaften von KKW, Begrenzung durch Materialgrenzen 58:644/645
Leittechnik
— im Kombi-Block 58:275—279
— für Kraftwerks-Hilfseinrichtungen 58:735—743
Luftvorwärmer
— Anordnung 58:861—866
— Kostenvergleich 58:861—866
— Korrosionen 58:921—926

Mahlanlage
— Kraftwerk Schwandorf 58:171—173
— 600-MW-Block Enstedvaerket 58:30/31
Mainz-Wiesbaden, Kraftwerk mit kombiniertem Gas-Dampfturbinenblock
— Errichtung 58:73—86
— Inbetriebnahme 58:73—86
— Planung 58:73—86
— technische Daten 58:73—86
Manipulator, Ultraschallprüfung 58:506—511 58:722—728
Mathematisches Modell eines Kraftwerksblockes 58:562/563
Mauerwerksschäden 58:419—430
Mehrlagen-Druckbehälter 58:518—521
Mehrstoffbrenner 58:848—851
Methanolprozeß 58:92/93
Mineralölwirtschaft Österreichs 1975 58:16—19
Mischbettaustauscher
— Ionenschlupf und Regeneriertechnik 58:228—232
— Laufzeitverlängerung durch Umlagern der Harzfüllung 58:145/146
Mischbettfilter in Doppelstrom-Bauweise, Betriebserfahrungen 58:232/233
Mitteilungen des Deutschen Dampfkesselausschusses (DDA) 58:381—385 58:851/852
Mittelwände, Konstruktionslösungen für den Einbau in Feuerräume 58:634—640
Mittelwand-Konstruktionen für Feuerräume 58:634—640
Modellversuche 58:904—915
Müllbunker 58:419—430
Müllverbrennung
— Ablagerung von Rückständen 58:499—505
— Auslaugung von Rückständen 58:499—505
— Feuerraumauskleidung durch Stahlgußplatten 58:430—435
— Rauchgaswäsche 58:279—282
— Rauchgaswaschanlage in der MVA Ebenhausen 58:358—360
— SiC-Material 58:661—669
Müllverbrennungsanlage
— Betriebserfahrungen 58:419—430
— Bremen 58:430—435
— Düsseldorf 58:661—669
— Niederrhein 58:419—430

Naß-/Trockenkühlturm
- Betriebserfahrungen an einer Versuchsanlage 58:282–289 58:492–499
- Entwicklungs- und Konstruktionsauftrag 58:455–457
- Schwadenbeobachtung an einer Naß-/Trockenkühlturmzelle 58:565–570
- thermodynamische Untersuchungen 58:282–289 58:492–499
- Versuchszelle im Kraftwerk Marbach III 58:458–460

Natriumschlupf bei Mischbettfiltern mit Kationenaustauscher in der Ammonium-Form 58:141–145

Natronlauge-Einbruch in einen Kraftwerksblock, Ursachen und Folgen 58:111–117

Naturumlauf- Dampferzeuger, Berechnung des Naturumlaufes 58:366–372

Netzanforderungen
- begrenzende Kriterien 58:642–645
- Kernkraftwerke 58:640–642

Netzbetrieb des 1300-MW-Standard-Kernkraftwerkes 58:267–275

Netzkennlinienregelung 58:247–256

Netzregelung
- Betriebserfahrungen 58:254/255
- Inbetriebnahme und Bedienung 58:250/251

Netzregler in der Lastverteilung 58:249/250

Netzstörungen, Verhalten des Standardblockes 58:273/274

Netzverhalten der Kernkraftwerke 58:640–646

Netzzusammenbruch
- Analyse des Störungsablaufes 58:773–775
- Maßnahmen zur Erhöhung der Zuschaltsicherheit von Turbosätzen 58:398–403
- Schlußfolgerungen 58:773–775
- Verhalten der Wärmekraftwerke 58:773–775
- Wiederzuschalten von Turbosätzen 58:398–403

Niobcarbidausscheidungen 58:933

Notstromversorgung des 1300-MW-Standard-Kernkraftwerkes 58:267–275

NO_x-Minderung 58:819–825

Nürnberg, sozioökonomische Struktur, Endenergiebilanz 58:894–904

Öffentliche Stromversorgung, Organisation 58:776–786

Öffentlichkeitsarbeit der CEGB 58:100–103

Ölfeuerung 58:819–825
- Heizflächenreinigung 58:177–182
- Heizflächenverschmutzung 58:177–182
- SO_3-Bildung 58:915–921

Ölschiefer-Verbrennung 58:904–915

Österreich, Stand und Entwicklungstendenzen des Ausbaues von Wärmekraftwerken 58:166–170

Organische Substanzen
- Entfernung aus Wasser mittels Umkehrosmose 58:213–220
- Entfernung bei der Wasseraufbereitung 58:126–140

Organischer Schwefel, thermisches Verhalten 58:830/831

Osmose, umgekehrte, zur Wasseraufbereitung 58:213–220

Pellet Cladding – Interaction 58:646–652

Photoelektronen-Spektroskopie (XPS) zur Dünnschichtanalyse 58:41–45

Polyacrylate zur Speisewasserkonditionierung 58:378–381

Primärenergieanteile in der Bundesrepublik Deutschland 1975 bis 1985 58:700–706

Primärenergieträger, Statistik in den USA 58:700–706

Primärenergieversorgung Österreichs, Entwicklung 58:16–19

Primärwasser-Reinigungsanlagen in Kernkraftwerken 58:825–828

Procontrol k, Kraftwerksleitsystem 58:409–413

Projektträgerschaft für Forschungs- und Entwicklungsvorhaben 58:311/312

Pyrit-Zersetzung, thermische 58:830

Qualitätssicherung bei Kernkraftwerken, verfahrenstechnische Regelung 58:776–786

Radioaktive Abfälle
- Aufbereitung 58:94–99
- Endlagerung 58:94–99

Radiochemie in belgischen Kernkraftwerken 58:33–41

Rauchgasentschwefelung
- biologische Sicht 58:108–110
- Braunkohlekraftwerke, Trockenverfahren 58:305–308
- (REA), Einsatz, Modellbetrachtung 58:867–873

Rauchgasentschwefelungsanlage Scholven F 58:861–866

Rauchgasrückführung 58:819–825

Rauchgaswäsche bei Müllverbrennung 58:279–282

Rauchgaswaschanlagen in MVA 58:358–360

REA (Rauchgasentschwefelung) 58:108–110 58:305–308 58:867–873

Reaktordruckbehälter
- HSST-Programm 58:449–455
- Prüfkonzepte zur Verbesserung der Qualität 58:439–448
- Ultraschall-Wiederholungsprüfung 58:722–728

Rechenmodell zur Simulation des Dampferzeuger-Anfahrvorganges 58:707–714

Recycling 58:342–353

Regelkonzept (Entkopplungsregelung) Entwicklung und Erprobung eines neuen 58:561–565

Regelkupplung 58:574–581

Regelwerke, technische, Hierarchie
- für konventionelle Kraftwerke 58:776–786
- für Kernkraftwerke 58:776–786

Regenerierverfahren für Mischbettaustauscher 58:228–232

Regelarmaturen für Flüssigkeiten
- Drosselvorgang 58:652–661
- Kavitation 58:652–661
- Schallpegelbrechung 58:652–661
- Verschleiß 58:652–661
- Werkstoffe 58:652–661

Reinigung von Dampferzeugungsanlagen mit Säure 58:927–930

Relaxationsrißbildung 22 NiMoCr 3 7 58:439 58:450 58:516

Relaxationsversprödung 22 NiMoCr 3 7 58:439

Reparatur von Kesseltrommeln, Anfahrflaschen, Sammlern, Einspritzkühlern usw. vor Ort 58:596–604

Reparaturarbeiten, Planung anhand von Modellen 58:256–261

Restlebensdauer von Heißdampfleitungen, Bestimmung 58:361–366

Restspannungen in Rohrbögen 58:678

Rheinisches Revier 58:14

Richtwirkung 58:748–752

Riffelrauhigkeit von Schutzschichten, Entstehung 58:117–126

Rißbildung, künstliche 58:451

Rißempfindlichkeit 22 NiMoCr 3 7 und 20 MnMoNi 5 5 58:442

Rißfördernde Elemente 58:441

Rißgeometrie bei Berstversuchen an Druckbehältern 58:450/451

Rißöffnung, Veränderung (COD) 58:453/454

Rohrleitungshänger 58:743–747 58:813–818

Rohrleitungsunterstützungen
- Betriebserfahrungen 58:813–818
- Meßergebnisse 58:813–818
- Qualitätsanforderungen 58:813–818

Rohrwicklung, Vergleich vertikaler und schraubenförmiger Berohrung der Brennkammer 58:877–883

Rohstoff- und Energieversorgung, Sicherung durch Verbund von Kohle und Kernenergie 58:628–634

Rückhaltespeicher und Naßkühltürme, eine Alternative zu Trockenkühltürmen 58:873–877

Ruhrrevier 58:12

Saarrevier 58:12

Säurereinigung
- Dampferzeugungsanlagen 58:927–930
- Kondensatoren 58:303–305

Salzsäure-Taupunkte 58:926

Sauerstoff, in Kombination mit Ammoniak zur Konditionierung von Wasser-Dampfkreisläufen 58:585–596

Seewasser-Naturzugkühlturm, Auslegungsgrundlagen 58:670–674

Seigerungen 58:513/514

Sekundärionen-Massenspektroskopie (SIMS) zur Dünnschichtanalyse 58:41–45

SiC-Steine in Müllkesseln 58:661–669

Sicherheitsüberströmventile
- Erfahrungen 58:413–418
- Funktion 58:413–418
- Regelung 58:413–418
- Schweißverbindungen 58:413–418
- Versuche 58:413–418
- Werkstoffe 58:413–418

Siedewasserreaktor, Anfahrpraxis mit Voroxidation 58:53/54

Siliciumcarbid, Oxidation 58:661–669

Simulator 58:201–212

SO_2-Emissionen 1970 bis 1977 58:786–793

SO_2-Immissionsentwicklung 1960 bis 1977 58:786–793

SO_3-Bildung, Beeinflussung durch Kesselverschmutzung 58:915–921

Sondermüllverbrennungsanlage in Ebenhausen 58:358–360

Spannungsexponent als Maß für den Gefügezustand 58:365

Speichertechnik für Gas 58:796

Speisepumpen, Planung des Funktionsgruppen-Eingriffs bei Pumpenausfall durch Blockmodell 58:485–492

Speisepumpenausfall, Planung des Eingriffs mit Hilfe eines Blockmodells 58:485–492

Speisewasser
- Konditionierung mit Ammoniak und Sauerstoff 58:585–596
- Konditionierung mit Polyacrylaten 58:378–381

Speisewasservorwärmer in gewickelter Ausführung
- Betriebserfahrungen 58:570–574
- Gegenüberstellung mit anderen Bauarten 58:570–574
- Konstruktion 58:570–574
- thermodynamische Auslegung 58:570–574

Sprödbruchanalyse 58:538–541

Sprödbruch-Analysendiagramm 12 CrMo 9 10 58:524

Sprödbruchauslösende Fehlergröße, Turbinenwellen 58:539/540

Sprühentgaser, Prinzip und Funktion der Tellerbrause 58:261–267

Sulfideinschlüsse, Einfluß auf Kennwerte des Stahls 58:515

Schaden durch Natronlauge-Einbruch in einen Kraftwerksblock 58:111–117

Schäden im Wasser-Dampfkreislauf durch Fremdstoffeinbrüche 58:221–228

Schallausbreitung 58:748–752

Schalleistung 58:889–894

Schaufelstähle, Dampfturbinen 58:194

Schaufelbelag 58:194

Schmalspaltschweißung, Gefüge 58:843/844

Schmiedestücke
- Druckgefäße 58:513
- Turbinenwellen 58:529–541

Schnellstartanlage Kyndby
- Anfahrdiagramm 58:809–812
- Erfahrungen 58:809–812
- technische Daten 58:809–812
- Wärmeschaltbild 58:809–812

Schnellstartkessel, Berechnung der Anfahrgeschwindigkeit 58:298–303

Scholven F 58:867–873

Schornsteingeräuschabstrahlung 58:748–752

Schwandorf, Erfahrungen mit Braunkohlenfeuerungen 58:170–176

Schweißdaten und Nahtformen, Reaktordruckbehälter und Sicherheitsbehälter 58:836/837

Schwefel in Halb- und Restkoksen 58:828–834

Schwefeldioxid
- Emissionen und Immissionen 58:108–110 58:867–873 58:894–904
- Wirkung auf Pflanzen 58:108–110

Schweißen
- dicker Querschnitte 58:515–518
- Temperaturführung 58:835–847

Schweißplan Reaktordruckbehälter 58:835

Schweißverbindung zwischen einem ferritischen und einem austenitischen Rohr 58:932

Schweißverbindungen in hochwarmfesten austenitischen Chrom-Nickel-Stahl-Bauteilen 58:930–934

Schwingungsrißkorrosion 58:193
- an Turbinenschaufeln 58:373–378

Schutzeinrichtungen 58:735–743

Schutzschichten
- Untersuchung mit grenzflächenphysikalischen Verfahren 58:41–45
- Wachstum unter verschiedenen Einflüssen 58:117–126

Stadtwerke Saarbrücken, Gas/Dampfturbinen-Heizkraftwerk – Planung, technische Daten, Betrieb 58:157–166

Stahlkonstruktion Kesselhaus Scholven F 58:861–866

Standard-Kernkraftwerk 1300 MW
- Eigenbedarfsversorgung 58:267–275
- Netzbetrieb 58:267–275
- Notstromversorgung 58:267–275

Starkstromtechnik, Standardisierung im KKW 58:268–272

Staubemissionsentwicklung 1955 bis 1976 58:786–793

Steinkohlenreviere in der Bundesrepublik Deutschland 58:11–14

Stickoxide, Emissionen und Immissionen 58:819–825 58:867–873 58:894–904

Störgrößenaufschaltung bei der Entkopplungsregelung 58:564

Strahlenbelastung des Personals in Kernkraftwerken 58:256–261

Strombedarf Österreichs, Deckungsmöglichkeit 58:16–19

Stromverbrauch, spez., verschiedener Industriegruppen 58:786–793

Stutzen, Prüfung 58:518

TA Lärm 58:889–894

Tangentialschliff-Technik 58:440

Taupunkte, System HCl/H_2O 58:926

Tellerbrause für Entgaser
- Dimensionierung 58:261–267
- Konstruktion 58:261–267
- Materialauswahl 58:261–267
- Prinzip 58:261–267
- Versuchsergebnisse 58:261–267

Temperaturführung bei und nach dem Schweißen 58:835–847

Temperaturmeßstellen 58:301

Technische Regeln für Dampfkessel (TRD), Änderungen und Ergänzungen 58:381–385 58:851/852

Terminplanung für Instandhaltung 58:806

Terrassenbruch (lamellar tearing) 58:515

Thermischer Wirkungsgrad, Maßnahmen zur Verbesserung 58:474/478

Thermoschock 58:58

Thioharnstoff-Inhibitoren, schädliche Nebenwirkungen 58:303–305

Tieftemperaturkorrosionen an Luftvorwärmern 58:921–926

Tietz-Verbinder 58:933

Transportkosten für Energie (300 km Weg) 58:786–793

Trockenluftkonservierung (von Kesseln) 58:582–584

Tropfenauswurf, physikalische Zusammenhänge beim Tropfenauswurf von Naßkühltürmen 58:337–342

Turbine
- Schaufeln 58:193–198
- Schwingungsrißkorrosion 58:373–378
- Wellen 58:198–200 58:529–541
- Werkstoffe 58:193–200

Turbosätze, Maßnahmen zur Stärkung der Wiederzuschaltsicherheit nach Netzzusammenbrüchen 58:398–403

Überwachung und Schutz für Kraftwerks-Hilfseinrichtungen
- Anwendungsbeispiele 58:735–743
- Auswahl 58:735–743
- Redundanz 58:735–743
- Zuverlässigkeit 58:735–743

Ultraschallprüfung, Turbinenwellen 58:536–538

Ultraschall-Prüfeinrichtungen für Kernkraftwerke
- Aufgabenstellung 58:506–511
- Betriebserfahrungen 58:506–511
- Einsatz 58:506–511
- Entwicklungsstand 58:506–511

Ultraschall-Wiederholungsprüfung an Reaktordruckbehältern 58:722–728

Umkehrosmose zur Flußwasseraufbereitung 58:213–220

Unterstützungen für Rohrleitungen 58:743–747 58:813–818
Untertagespeicher 58:793–798 58:798–802

Ventile zur Flüssigkeitsregelung 58:652–661
Verbundnetz
- Betrieb des 1300 MW Standard-Kernkraftwerkes 58:272–274
- Forderungen an den 1300-MW-Standard-Kernkraftwerksblock 58:272–274

Verbrennungsforschung 58:848–851 58:904–915
Verbrennungsrückstände 58:342–353
Verdunstungskühlung, VGB-Kühlwasserrichtlinie, 3. Teilentwurf 58:854–856
Verformung, einsinnig stufenweise; plastische 58:54–61
Verfügbarkeit, Arbeitsverfügbarkeit von Kraftwerksanlagen 1976 und 1970 bis 1976 58:62–67
Vergasungsverfahren für Kohle 58:628–634
Vergütungslagen 58:598 58:838
Versprödung
- dehnungsinduzierte (DIV) 58:444
- temperaturinduzierte (TIV) 58:443
- verschiedene Ursachen 58:845–847

Verwertung von Verbrennungsrückständen 58:342–353 58:354–358
VGB-FORSCHUNGSSTIFTUNG, Entstehung, Aufgaben und Ziele 58:308–313
VGB-Kongreß „Kraftwerke 1978" 58:689–700
VGB-Kurzbericht 1977/1978 58:617–627
Viskohydraulische Regelkupplung 58:574–581
Voroxidation beim Anfahren eines Siedewasserreaktors 58:53/54
Vorwärmer in gewickelter Ausführung 58:570–574

Wärmeaufnahme von Heizflächen im Wirbelbett 58:556/557
Wärmebehandlung und Eigenschaften dickwandiger Bauteile aus warmfesten Röhrenstählen 58:604–613
Wärmebehandlung von hochwarmfesten austenitischen Chrom-Nickel-Stählen 58:931
Wärmekraftwerke in Österreich, Stand und Entwicklungstendenzen des Ausbaus 58:166–170
Wärmespannungen, Turbinenwellen 58:532
Wärmeverbrauch, spez., Entwicklung von 1950 bis 1976 58:786–793
Waschen von Ölkesseln 58:177–182
Wasseraufbereitung
- Entfernung organischer Substanzen 58:126–140
- für Kühlkreisläufe, VGB-Kühlwasserrichtlinie 58:854–856
- umgekehrte Osmose 58:213–220

Wasser-Dampfkreislauf
- kombinierte Konditionierung mit Ammoniak und Sauerstoff 58:585–596
- Konditionierung mit Polyacrylaten 58:378–381
- Möglichkeit und Vermeidung von Fremdstoffeinbrüchen 58:221–228
- Ursachen und Folgen eines Natronlauge-Einbruches 58:111–117

Wasserstoffperoxid, Verhalten gegenüber Ionenaustauschern 58:436–439
Wasserstofftechnologie, Stand und Chancen 58:90–94
Wasserzersetzung, thermochemische 58:92–94
Wechselbeanspruchung 58:193
Wechselverformung, plastische 58:55
Wellrohrkompensatoren 58:59
Wirbelbrenner 58:904–915
Wirbelschichtfeuerung für Dampferzeuger 58:554–561
Wirtschaftliche Anfahrmethoden von Dampferzeugern 58:469–474

Zeitstandbelastung 58:57
Zeitstandfestigkeit hochwarmfester, austenitischer Werkstoffe 58:182–193
Zeitstandversuche, 14 MoV 6 3 58:361–366
Zugschwellversuche 58:196
Zuverlässigkeitskenngrößen 58:857–861
Zuverlässigkeitskennwerte thermischer Kraftwerksblöcke 58:857–861
Zuverlässigkeitsuntersuchung elektrischer Eigenbedarfssysteme 58:857–861
Zwangdurchlauf-Dampferzeuger
- Dynamik und Regelverhalten 58:240–246
- Modell zur Untersuchung des Regelverhaltens 58:240–246
- Temperatur- und Druckverhältnisse bei Laständerungen 58:240–246
- Versuchsergebnisse beim Anfahren 58:469–474
- Vergleich vertikaler und schraubenförmiger Brennkammer-Berohrung 58:877–883
- wirtschaftliche Anfahrmethoden 58:469–474

Zweiphasen-Gemische, Entmischungen in Abzweigstücken 58:729–734
Zweistoffprozeß, Kreislaufschema, Wirtschaftlichkeit, Auswahl des Zweitstoffes 58:474–478

Persönliches

Ahlfänger, Wilfried, 50 Jahre 58:616
Bachmair, Anton, 80 Jahre 58:616
Becker,Gerhard Wilhelm, Präsident des VDI 58:155
Beenhakker, A.H., 60 Jahre 58:616
Beitz, Berthold, 65 Jahre 58:770
Benke, Robert, 70 Jahre 58:852
Bertling, Andreas, im Ruhestand 58:235
Bierich, Marcus, Ehrendoktor der Ruhr-Universität 58:70
Boeck, Hartmut, neuer Vorsitzender der VDEW 58:155 58:544
Böker, Hermann, 25 Jahre bei BAYER 58:392
Börnke, Fritz, 65 Jahre 58:616
— vom Vorsitz des VGB-Hauptausschusses „Bauwesen" zurückgetreten 58:770
Bottenbruch, Hermann, 50 Jahre 58:770
Braatz, Ulrich, vertritt VDEW in Brüssel 58:616
Brandhauer, Herbert, Präsident des VEÖ 58:939
Brocke, Werner, Mitglied des Vorstandes der Saarbergwerke AG 58:70
— im VGB-Vorstand 58:770
Brocke, Wolfgang, 65 Jahre 58:69
— aus VGB-Vorstand ausgeschieden 58:770
Brüderlin, Heinz, 50 Jahre 58:235
Budde, Hans-Jürgen, im VGB-Vorstand 58:770
Burchardt, Hans, 70 Jahre 58:69
Clausnizer, Gunter, stellvertr. Vorstandsmitglied bei HEW 58:939
Dangl, Kurt, 70 Jahre 58:463
Deuster, Gerhard, Vorsitzender der Arbeitsgemeinschaft Fernwärme bei VDEW 58:463
Ellwanger, Erich, gestorben 58:616
Erbacher, Wilhelm, gestorben 58:852
Eyndhoven, F.M.H. van, 25 Jahre bei Provinciaal Electriciteitsbedrijf von Noord-Holland 58:70
Frank, Berthold, 65 Jahre 58:463
— aus VGB-Vorstand ausgeschieden 58:770
Förg, Franz, im Ruhestand 58:235 58:392
Gassert, Herbert, zusätzliche Aufgaben bei BBC 58:616
Gieske, Friedhelm, 25 Jahre beim RWE 58:70
Gruber, Martin, Hauptgeschäftsführer der Joh. A. Benckiser GmbH 58:616
Guck, Rudolf, Präsident von Foratom 58:616
Hasenaecker, Heinz, 65 Jahre 58:69
Haussmann, Raimund, 65 Jahre 58:315
Höfgen, Willi, 50 Jahre 58:69
Holzhey, Fritz, 70 Jahre 58:154
Hübner, Martin, 70 Jahre 58:235
Jaroschek, Kurt, 80 Jahre 58:770
Kantner, Armin, 50 Jahre 58:235
Keltsch, Erhard, aus Vorstand der Preußischen Elektrizitäts-AG ausgeschieden 58:70
Klees, Alfred, 60 Jahre 58:392
Klinger, Heinz, Mitglied des Vorstandes der Isar-Amperwerke AG 58:235 58:392
Klotz, Hermann, Vorsitzender des VGB-Hauptausschusses „Bauwesen" 58:770
Kneissel, Hannes, aus Vorstand der Saarbergwerke AG ausgeschieden 58:70
— aus VGB-Vorstand ausgeschieden 58:770
Koch, Hans, im VEBA-Vorstand 58:463
— Vorstandsvorsitzender bei VKR 58:852
Kritzler, Arthur, gestorben 58:69
Krolewski, Harry, 50 Jahre 58:155
— stellvertr. Vorsitzender des VGB-Hauptausschusses „Bauwesen" 58:770
Krüger, Georg, 70 Jahre 58:314
Künzel, Karlheinz, 50 Jahre 58:315
Landwehr, Hans-Peter, 60 Jahre 58:69
Lehmann, Friedrich, 70 Jahre 58:154
Löhle, Herbert, Bundesverdienstkreuz 58:770
Löhr, Albert, Ehrenmitglied des DNK 58:939
Loske, Wolfgang, aus Vorstand der Preußischen Elektrizitäts-AG ausgeschieden 58:70
Magerl, Horst, im VGB-Vorstand 58:770
Maygatt, Werner, gestorben 58:770
Meisel, Hans, im Ruhestand 58:544
Meysenburg, Helmut, Ehrenmitglied des DNK 58:939
Möller, Walter, gestorben 58:69
Nenning, Franz Joseph, 65 Jahre 58:616
Noetzlin, Günther, 60 Jahre 58:154
Oberländer, Rolf, 60 Jahre 58:770
Oermann, Ernst, 50 Jahre 58:69
Overbeck, Egon, 60 Jahre 58:69
Panzer, Herbert, stellvertr. Vorstandsmitglied bei HEW 58:939
Rau, Fritz-Heinz, im Ruhestand 58:770
Reichert, Günter, im Vorstand der STEAG 58:70
Reimann, Albert, 80 Jahre 58:616
Reuther, Fritz, 70 Jahre 58:939
Richter, Robert, Betriebsdirektor und Prokurist bei der Grosskraftwerk Mannheim AG 58:770
Riederer, Josef von, stellvertr. Vorstandsmitglied der Thyssen Handelsunion AG 58:155
Rögener, Heinz, 65 Jahre 58:616
Rühl, Heinz, 60 Jahre 58:315
Rummel, K., 75 Jahre 58:463
Rupf, Hugo, 70 Jahre 58:616
Sanner, Heinrich, gestorben 58:463
Segatz, Ulrich, im VEBA-Vorstand 58:463
Spalthoff, Franz-Joseph, Generalvollmacht bei RWE AG Essen für Ressort „Kraftwerksbetrieb" 58:70
Sunkel, Kurt, Vorstandssprecher der Wuppertaler Stadtwerke AG 58:70
Schackmann, Heinrich, 70 Jahre 58:544
Schelberger, Herbert, 70 Jahre 58:392
Schenk, Herbert, 50 Jahre 58:69
Schenk, Paul, im Ruhestand 58:70
Schoch, Wilhelm, Vorsitzender des Sachverständigenkreises „Werkstoffe und Festigkeit" und berufen in die Reaktor-Sicherheitskommission 58:155

Schöning, Werner, gestorben 58:616
Schreckenberg, Friedrich, 25 Jahre bei der Wirtschaftsvereinigung Bauindustrie 58:70
Schröder, Karl, 80 Jahre 58:314

Tegethoff, Wilm, aus VGB-Vorstand ausgeschieden 58:770
Tegtmeyer, Hermann, im Ruhestand 58:315
Tietz, Hans, 80 Jahre 58:852

Wetjen, August, im VGB-Vorstand 58:770
Wieting, Rolf, kaufm. Vorstandsmitglied der Stadtwerke Hannover AG 58:315
Willers, Hans Georg, Vorsitzender des Vorstandes der Thyssen Handelsunion AG 58:155
Westhäusser, Robert, Leiter des Direktionsbereichs 1 des TÜV Bayern e.V. 58:235
Wöll, Erwin, Leiter des Dampfkraftwerkes Höchst 58:544

Buchbesprechungen

Abfallbeseitigungsrecht für die betriebliche Praxis 58:468
Abgaswäsche bei Müllverbrennungsanlagen 58:686
Baustoffe für die Wärmedämmung im Industrieofen- und Anlagenbau 58:940
Bundes-Immissionsschutzrecht 58:466
DIN
— Taschenbuch 10 58:155
— Taschenbuch 55 58:155
DVS
— Bericht 41 58:156
— Bericht 46 58:393
— Bericht 47 58:393
Eigenschaften und Verarbeitung von Sondermetallen 58:316
Einheiten 58:156
Elektronik 58:392
Energie und Umwelt 58:468
Entwicklungsstand und Anwendungsmöglichkeiten neuzeitlicher Schweiß-, Löt- und Prüftechnologien 58:315
Erdöl 58:685
Explosionsgeschützte elektrische Betriebsmittel und ihr Einsatz 58:468
Festigkeitsberechnung, 58:393
Feuerfesttechnik, Wärme- und Schallschutz, Anstriche 58:156
Feuerschutzprogramm für den modernen Industriebetrieb 58:467
Handbuch des Schutzgasschweißens 58:156
Immissionsschutz-Wegweiser 58:687
Integrierte Netzplantechnik 58:939
Jahrbuch „Bautechnik im Kraftwerksbau" 58:316
Jahrbuch der Dampferzeugertechnik 58:155
Jahrbuch für Bergbau, Energie, Mineralöl und Chemie 58:156
Konvektiver Wärmeübergang bei Verbrennung in der Grenzschicht 58:685
Korrosionsschutz von Stahl 58:316
Kühlturm-Symposium 1977 58:940
Laplace- und Fourier-Transformatoren 58:686
Metall + Wasser 58:940
NKe Abkürzungen aus der Kerntechnik 58:316
Ordnungspolitische Überlegungen zur leitungsgebundenen Energieversorgung 58:940
Presse-Taschenbuch Energiewirtschaft 1978 58:939
Probabilistische Methoden im konstruktiven Ingenieurbau 58:394
Rohrleitungstechnik in der chemischen Industrie 58:393
Sicherheitstechnik 58:394 58:686
Sixteenth Symposium (International) on Combustion 58:686
Solid-Liquid Flow 58:316
Sonderabfallbeseitigung 58:467
Schrumpfungen, Spannungen und Risse beim Schweißen 58:468
Schweissen und Löten von Aluminiumwerkstoffen 58:394
Stacking, Blending, Reclaiming of Bulk Materials 58:316
Stahlrohr-Handbuch 58:940
Strahlenschutzverordnung 58:468
TA Lärm 58:393
Taschenbuch der Stahl-Eisen-Werkstoffblätter 58:467
Taschenbuch „Industrielle Wärmetechnik" 58:156
Technische Anleitung zum Schutz gegen Lärm (TA Lärm) 58:939
Technische Anleitung zur Reinhaltung der Luft (TA Luft) 58:466
Technische Durchflußmessung 58:940
Technische Sorptionsverfahren zur Reinhaltung der Luft 58:70
Technische Verfahren zur Entschwefelung von Abgasen und Brennstoffen 58:70
Technologie der Maschinenbaustoffe Werkstoffkunde — Werkstoffprüfung — Werkstoffverarbeitung 58:467
Technologie des Umweltschutzes — Stand und zukünftige Entwicklung 58:393
Theorie dynamischer Systeme 58:686
Thermische Turbomaschinen 58:467
Traglasten ebener Stabwerke 58:394
TRD — Technische Regeln für Dampfkessel Taschenbuch-Ausgabe 58:467
VDI
— Berichte 270 58:686
— Berichte 286 58:71
Vorgänge beim Anfahren eines Dampferzeugers 58:394
Vorlesungen über Massivbau 58:467
Werkstoffkunde der gebräuchlichen Stähle 58:71

VGB KRAFTWERKSTECHNIK

MITTEILUNGEN DER VGB TECHNISCHE VEREINIGUNG DER GROSSKRAFTWERKSBETREIBER

59. JAHRGANG (1979) • HEFTE 1—12

INTERNATIONALE FACHZEITSCHRIFT FÜR TECHNIK IN WÄRMEKRAFTWERKEN

HERAUSGEBER

VGB TECHNISCHE VEREINIGUNG DER GROSSKRAFTWERKSBETREIBER E.V.

Vorsitzender: Direktor Professor Dr.-Ing. K. Knizia, Dortmund;
Geschäftsführer: Direktor Dr.-Ing. O. Schwarz, Essen.

REDAKTION

Abteilungsdirektor Ing. (grad.) H. Kaes, Essen;
Oberingenieur Dipl.-Ing. A. Kantner, Essen;
Abteilungsdirektor Professor Dr. rer. nat. H. Kirsch, Essen;
Oberingenieur Dr. rer. nat. H. Kittel, Essen;
Abteilungsdirektor Dipl.-Ing. K. Plate, Essen;
Oberingenieur Dipl.-Ing. G. Welten, Essen.

CHEFREDAKTEUR

Oberingenieur Ing. (grad.) H. Bleßmann, Essen.

ANSCHRIFT

VGB TECHNISCHE VEREINIGUNG DER GROSSKRAFTWERKSBETREIBER E.V.
Klinkestraße 27—31, Postfach 103932, 4300 Essen,
Fernruf 198-1, Fernschreiber 0857507 vgb d.

Für den sachlichen Inhalt der Beiträge ist der jeweilige Autor verantwortlich.
Briefe und Manuskripte bitte nur an die Redaktion,
nicht an einzelne Sachbearbeiter.
Für unverlangte Einsendungen übernehmen wir keine Haftung.

WISSENSCHAFTLICHER REDAKTIONSBEIRAT

Professor Dr.-Ing. F. Brandt, Darmstadt;
Professor Dr. techn. D. Johnson, Trondheim/Norwegen;
Professor Ir. J.J.C. van Lier, Delft/Niederlande;
Professor Dipl.-Ing. Dr. techn. W. Linzer, Wien/Österreich;
Professor Dr. techn. O.I. Martynova, Moskau/UdSSR;
Professor Dr.-Ing. P. Profos, Zürich/Schweiz;
Professor Dr.-Ing. R. Quack, Stuttgart;
Professor Dr. phil. H. Rögener, Hannover;
Professor Dr. rer. nat. R. Schulten, Aachen;
Professor Dipl.-Ing. I.D. Stancescu, Bukarest/Rumänien.

TECHNISCHER REDAKTIONSBEIRAT

Oberingenieur H. Berggren, Malmö/Schweden;
Direktor Professor Dr.-Ing. H. Brüderlin, Stuttgart;
Direktor Dr.-Ing. H. Krolewski, Dortmund;
Direktor Dr.-Ing. G. Noetzlin, Marl;
Direktor Dr.-Ing. H. Novak, Nürnberg;
Dipl.-Ing. J. Pettersen, Haslev/Dänemark;
Direktor F. Scheurer, Paris/Frankreich;
Direktor Dr.-Ing. E.h. Dipl.-Ing. W. Schoch, Mannheim;
Oberingenieur Ir. G.J. Schoppert, Nijmegen/Niederlande.

VERTRIEB UND ANZEIGENVERWALTUNG

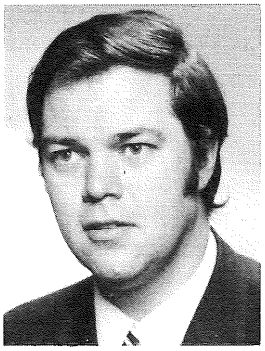
VGB-KRAFTWERKSTECHNIK GMBH, Klinkestraße 27—31, Postfach 103932,
4300 Essen, Fernruf 198-242, Fernschreiber 0857507 vgb d.
Verantwortlich für Vertrieb und Anzeigenteil: R. Rätz.
Anzeigentarif Nr. 20 vom 1. Januar 1979.

ERSCHEINUNGSWEISE

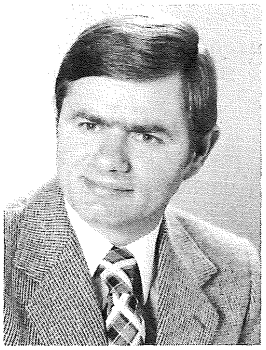
monatlich, außerdem erscheint zeitlich verschoben
eine englische Fassung

Inhaltsverzeichnis 1979

DIE FOTOS DER VERFASSER FINDEN SIE AUF DEN SEITEN II BIS XIII



G. Woldert, Mannheim



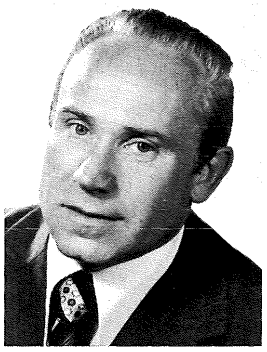
G. Ziffermeyer, Baden/Schweiz



K. Zinke, Dortmund



A. Zischka, Pollensa/Spanien



W. Zörner, Erlangen

IN DEN ZWÖLF HEFTEN DES JAHRGANGES 59 SIND ENTHALTEN:

1	2	3	4	5	6
1—92	93—194	195—270	271—362	363—450	451—530

7	8	9	10	11	12
531—618	619—678	679—758	759—834	835—910	911—1002

Verfasserverzeichnis 1979

Adlhoch, W., siehe Franke, F.H.

Adrian, F.: Vergleich von Strahl- und Wirbelbrennern für große steinkohlegefeuerte Dampferzeuger 59:546—552

Allan, F., und Perenboom, J.M.: Umbaumaßnahmen an von niederflüchtiger auf hochflüchtige Steinkohle umgestellten Kesseln nach zwischenzeitlichem Erdgasbetrieb — Betriebserfahrungen 59:415—419

Ambros, R., und Schroeder, H.J.: Radioaktive Abfälle im Kernkraftwerk Biblis 59:990—994

Angenend, F.J., und Schulte-Wieschen, U.: Ein Beitrag zur Bestimmung von Polycarbonsäuren in Kühlwässern und Abwässern von Kraftwerken 59:995—997

Apel, W., und Weisser, H.: Neuer Laugenverbrennungskessel in Lenzing aus der Sicht des Energiebetriebes 59:316—326

Arav, F., de Pater, C., und Spiering, R.M.E.J.: Wärmespannungen in Flossenrohrwänden mit stufenförmigem quergerichtetem Temperaturgradienten 59:455—461

Arnswald, W., Blum, R., Neubauer, B., und Poulsen, K.E.: Einsatz von Oberflächengefügeuntersuchungen für die Prüfung zeitstandbeanspruchter Kraftwerksbauteile 59:581—593

Bahro, W., siehe Goldschmidt, K.

Bald, A., und Zörner, W.: Vorteile und Bewährung von Baureihen für Dampfturbosätze zur Stromerzeugung 59:109—114

Bargstedt, W.: Sauberhalten von Kesselheizflächen durch Schallreinigung 59:648—652

Barschdorff, D., Hensle, W., und Stühlen, B.: Neue Ergebnisse der akustischen Überwachung von Betriebsdampfturbinen 59:462—466

Bazin, J., siehe Dollé, L.

Beck, J.: Überwachung der gasförmigen Ableitungen in Kernkraftwerken 59:984—989

Benkwitz, H.: Möglichkeiten und Grenzen der optischen Flammenüberwachung 59:709—713

Berkenbusch, J.: Der Aufschluß des Braunkohlen-Tagebaues Hambach und seine bauliche Infrastruktur 59:889—893

Bereiter, R., und Nüesch, P.: Verhütung von Verschmutzungen in müllgefeuerten Kesseln 59:662—664

Berent, M., siehe Kautz, K.

Bernier, A., und Brandel, A.: Ausbildung des Personals für Kernkraftwerke bei der Electricité de France 59:16—19

Bethe, W.-P.: Rohkohlenvergleichmäßigung — ein Verfahren zur Verbesserung von Betriebsabläufen der Kohlenaufbereitung 59:129—135

Bieber, K.-H.: Einsatz und Bereitschaft von Reservekraftwerken 59:531—539

Birkhofer, A.: Die deutsche Risikostudie 59:911—916

Blum, R., siehe Arnswald, W.

Bökenbrink, D., Hlubek, W., Scheffler, J., und Skiba, W.: Betriebserfahrung und Instandhaltungskonzept in Kraftwerken 59:405—414

Börnke, F.: Zukunftsplanung — Utopie? 59:608—612

Bohnsack, G.: Neutralisation von Regenerierabwässern mit schwachsauren Kationenaustauschern 59:64—68

Bongwald, W., siehe Fehndrich, W.

Borris, B., siehe Freier, R.K.

Bosselmann, W., und Brunner, R.: Leitfähigkeit von Phosphatlösungen 59:175—178

Brandel, A.: Das „Triobed-System" für Mischbettfilter 59:256—257

Brandel, A., siehe Bernier, A.

Brockhausen, P., und Schwarz, H.G.: Betrachtungen zu Ausfällen leittechnischer Komponenten in Kraftwerken 59:790—793

Brunnemann, Chr.: Brandschutz am Beispiel einer großen Gasturbine 59:878—884

Brunner, R., siehe Bosselmann, W.

Buchholz, E.: Sanierung eines brandgeschädigten Schwerbaus 59:731—733

Bujak, W., Dorra, M., und Held, H.-D.: Erfahrungen mit Vollentsalzungsanlagen 59:58—63

Bursik, A., siehe Buseck, S.

Buseck, S., und Bursik, A.: Zum Einfluß des pH-Wertes auf die Abgaberaten von Kupferlegierungen in salzfreiem Wasser in Gegenwart von Sauerstoff 59:720—724

Canonico, D.A.: Die Bedeutung von Relaxationsrissen für die Integrität von Leichtwasser-Reaktordruckgefäßen 59:336—348

Chen, Y.N.: Rauchgasseitige Schwingungen in Dampferzeugern — Verbrennungsinstabilität und Wärmeaustauscherschwingungen 59:420—433

Deuster, D., siehe Goldschmidt, K.

Diehl, H., siehe Kloos, K.H.

Diehl, Kh.: Konstruktiver Aufbau und Einsatzmöglichkeiten von Dampfturbinen kleiner Leistung 59:872—878

Dirks, E.: Die Hochtemperaturpyrolyse-Anlage Frankfurt am Main 59:657—662

Doležal, R.: Einfluß der Wärmeabstrahlung auf die Temperatur von Tragnasen innerhalb des Rohrbündels eines konvektiven Überhitzers 59:625—626

Doležal, R., und v.d. Kammer, G.: Rechnerische und experimentelle Analyse des Anfahrvorganges bei einem der 400-MW-Kombi-Blöcke des Kraftwerkes Gersteinwerk 59:777—783

Dollé, L., und Bazin, J.: Wichtige Ergebnisse der Tritiumbilanz in Leichtwasserreaktoren 59:171—175

Dorra, M., siehe Bujak, W.

Durcak, H.: Kondensatreinigung in Kernkraftwerken mit Siedewasserreaktor 59:199—202

Effertz, P.-H., Fichte, W., und Szenker, B.: Erfassung von Minileckagen an Turbinenkondensatoren 59:76—81

Effertz, P.-H., und Wiume, D.: Mechanismen und Schadenformen der Hochtemperaturkorrosion an Überhitzerrohren steinkohlegefeuerter Großkessel 59:595—608

Eitelberg, E., siehe Franke, J.

Engelhard, J., Hein, K., Glaser, W., und Rüter, B.: Untersuchungen zum Zünd-, Verbrennungs- und Verschmutzungsverhalten von Braunkohlenkoksen 59:703—709

Euringer, M.: Speicherprogrammierbare, sicherheitsgerichtete SIMATIC-Steuerungssysteme für den Einsatz bei Feuerungsanlagen 59:540—546

Fabritius, H.: Einfluß von Wärmebehandlung und Kaltverformung auf das Langzeitverhalten des Stahles 14 MoV 6 3 bei 550 °C 59:799—806

Falk, H.: Umrüstung einer Kondensatorberohrung von Werkstoff CuNi 10 auf Titanberohrung 59:376—380

Fehndrich, W., und Bongwald, W.: Das Gichtgas-/Erdgaskraftwerk Huckingen des RWE 59:759—777

Fichte, W., siehe Effertz, P.-H.

Finkbeiner, F.: Abluft- und Abfallgasverbrennung in den Kraftwerken der BASF 59:783—788

Fork, K., siehe Kindermann, W.

Franke, J., Eitelberg, E., Kallina, G., Weber, H., und Witte, U.: Vorausberechnung des dynamischen Verhaltens eines Kraftwerksblockes 59:124—128

Franke, F.H., Pattas, E., Klöcker, K.-J., und Adlhoch, W.: Die Rheinbraun-Hochtemperatur-Winkler(HTW)-Anlage Frechen 59:697—702

Franz, B., siehe Schäch, R.

Freier, R.K., und Borris, B.: Minimierung des Kupfergehaltes im Speisewasser durch Wasserstoffperoxid 59:240—245

Galster, H.: pH-Messung in vollentsalztem Wasser 59:885—889

Gehrke, B.: Neuere Erkenntnisse über Kohlenmühlen für große Kraftwerksblöcke 59:283—291

Gelsdorf, G., siehe Stein, H.

Generlich, H., siehe Hepp, H.

Glaser, W., siehe Engelhard, J.

Glover, G.M., Kallend, A.S., Marsh, A.R.W., und Webb, A.H.: Die Rolle des Schwefels im sauren Regen und Oberflächenwasser 59:20—25

Göhlich, D.: Über die Bewährung des Kernkraftwerk-Simulator-Zentrums der KWS aus der Sicht eines KKW-Betreibers 59:14—16

Goldschmidt, K., Deuster, D., und Bahro, W.: Flugaschezement 59:33—36

Grimm, H.: Einfluß einer Rauchgaswäsche auf die HCl-Immission im Nachbarschaftsbereich einer Müllverbrennungsanlage 59:490—496

Hadrill, H.F.J.: Betriebserfahrungen im kohlegefeuerten 2000-MW-Kraftwerk Ratcliffe der CEGB, besonders hinsichtlich der trocken entaschten Feuerungen 59:273—283

Hammacher, P.: Übertragbarkeit des „baulichen Brandschutzes im Industriebau" auf Kraftwerke 59:664—669

van Heek, K.H.: Wasserdampfvergasung von Kohle unter Einkopplung nuklearer Prozeßwärme aus Hochtemperatur-Kernreaktoren 59:641—648

Hein, K.: Beeinflußbarkeit rauchgasseitiger Heizflächenverschmutzung in Braunkohlefeuerungen 59:433—439

Hein, K.: Chemische und mineralogische Aspekte der Heizflächenverschmutzung in braunkohlegefeuerten Kesseln 59:576—581

Hein, K., siehe Engelhard, J.

Helbing, F., Karnowski, K., und Schweizer, Susanne: Untersuchungen an Schweißverbindungen aus Werkstoff 15 NiCuMoNb 5 und aus Werkstoff 17 MnMoV 6 4 59:222—230

Held, H.-D., siehe Bujak, W.

Hennecke, H., Stellbrink, B., und Thelen, F.: Große steinkohlengefeuerte Dampferzeuger mit trockener Entaschung für ein breites Brennstoffband 59:95—105

Hensle, W., siehe Barschdorff, D.

Hepp, H., Generlich, H., und Jaensch, E.: Wasserchemische Betriebserfahrungen im SWR-Kernkraftwerk Würgassen 59:158—170

Herrmann, W., siehe Leithner, R.

Hlubek, W., und Keysselitz, J.: Revisionsstrategien und Revisionen bei großen Turbosätzen 59:964—967

Hlubek, W., siehe Bökenbrink, D.

Hoch, G.: Vorbereitung einer Großreparatur mit Geräten zum halbautomatischen bzw. automatischen Arbeiten an Rohrleitungen im Bereich hoher Strahlendosis in Kernkraftwerken 59:691—697

Hochmüller, K., und Wandelt, E.: Konzept und Ausführung der Deionat-Spitzenbedarfsdeckung durch einen Speicher 59:72—75

Höxtermann, E.: Schaufelschäden an Dampfturbinen 59:952—964

Houzer, H.G.: Ausfallerfassung leittechnischer Kraftwerkskomponenten 59:297—304

Hupa, M.: Ascheprobleme bei der Verbrennung von Holzrinde mit Öl 59:568—576

Jaensch, E., siehe Hepp, H.

Jaerschky, R., siehe Steinrück, K.

Janitschek, F.: Stand und Aussichten unkonventioneller Stromerzeugungstechniken (ohne Fusion) 59:916—922

Jüntgen, H.: Theoretische Grundlagen von Vergasungsprozessen 59:557—564

Junkers, G., und Schroeder, H.: Ungenauigkeiten bei der Ermittlung der in Steinkohlekraftwerken anfallenden Aschemengen und entsprechende Korrekturmöglichkeiten 59:788—789

Kallend, A.S., siehe Glover, G.M.

Kallina, G., siehe Franke, J.

v.d. Kammer, G., siehe Doležal, R.

Karnowski, K., siehe Helbing, E.

Kautz, K., und Berent, M.: Zum Verhalten Nb-stabilisierter und unstabilisierter austenitischer Stähle gegenüber Hochtemperaturkorrosionen in öl- und müllgefeuerten Anlagen 59:349—353

Keysselitz, J., siehe Hlubek, W.

Kindermann, W., und Fork, K.: Verhalten der Dampfturbinen-Leistungsregelung großer Kraftwerksblöcke bei Netzkurzschlüssen 59:467—472

Kirsch, H., und Schwarz, G.: Über den Aussagewert chemischer Analysen von emittierten Kraftwerksstäuben 59:202—206

Kisters, T.: Ein Sorptionsverfahren zur Abscheidung von gasförmigen Schadstoffen aus Abfallverbrennungsanlagen 59:714—720

Kleinschmidt, H.: Brandgefahren und Brandverhütung in Müllverbrennungsanlagen 59:972—977

Klitzing, R., siehe Koch, W.

Klöcker, K.-J., siehe Franke, F.H.

Kloos, K.H., und Diehl, H.: Zum Einfluß von Querschnittsgröße, Kerbform und Wärmebehandlung auf die Zeitstandfestigkeit eines 1-%-CrMoV-Stahles 59:724—731

Kneissl, P.: Die Lagerung von trockener Kraftwerkflugasche in einer Lagerhalle 59:473—476

Knizia, K.: Zukunftsaussichten und -aufgaben der Kohlevergasung in der Energietechnik 59:451—454

Knizia, K.: Technik als Vorbedingung der Humanität unserer Zeit 59:621—624

Knizia, K.: Energieversorgung der Welt — Herausforderung und Schicksal 59:847—853

Knoerzer, G., siehe Steinrück, K.

Knoll, H.: Behandlung und Beseitigung von Haus- und Sondermüll 59:145—149

Knopf, E.: Beanspruchungen von Schornsteinfuttern für konventionelle Kraftwerke 59:519—524

Koch, E.H.: Grundzüge der erdbebensicheren Auslegung von Kernkraftwerken 59:36—45

Koch, W., Klitzing, R., Pietzonka, R., und Wehr, J.: Verformungsverhalten von Turbinenfundamenten 59:819—833

Kordina, K., und Schneider, U.: Baulicher Brandschutz im Industriebau — Stand der Erkenntnisse 59:178—192

Krips, H., siehe Podhorsky, M.

Laine, P., siehe Numminen, K.

Langley, B.A.P.: Wirtschaftliche Überlegungen zum Einsatz von Kondensatorrohren aus Titan in Kraftwerken im Gezeitenbereich von Flußmündungen 59:389—393

Leithner, R., Herrmann, W., und Trautmann, G.: Rauchgasdruckschwingungen im Dampferzeuger bei Ausfall der Feuerung 59:305—316

Ludwig, I., und Schulz, G.: Planung von Entstaubern hinter öl- und gasgefeuerten Dampfkesseln und erste Betriebserfahrungen mit Elektroentstaubern hinter den Dampferzeugern eines petrochemischen Betriebes 59:652—657

Marsh, A.R.W., siehe Glover, G.M.

Martin, P.: Einige Gedanken zur Wechselwirkung von Netz und Kraftwerk 59:394—404

Masbaum, C.: Bekohlungsanlagen des HKW Hafen der Stadtwerke Münster GmbH 59:929—937

Mathias, G.: Regelungsaufgaben an Dampfturbinen — eine struktursystematische Untersuchung 59:119—124

Maier, V.: Erfahrungen bei der Fertigung und Prüfung eines Reaktorsicherheitsbehälters 59:503—510

Meyer, A., siehe Rossbach, M.

Meyer, T.R.: Arbeitsstättenverordnung und Arbeitsstätten-Richtlinien 59:894—898

Meyer, U.: Auswirkungen einer Lastabsenkung auf das Zulaufsystem der Speisepumpe 59:552—556

Meyer, W.: Ein Kombi-Block auf Steinkohlenbasis mit Wirbelschichtfeuerung 59:105—109

Młynarski, F., und Taler, J.: Analytische Untersuchung der Temperatur- und Spannungsverteilung in strahlungsbeheizten Kesselrohren unter der Berücksichtigung der wasserseitigen Ablagerungen 59:440—447

Müller, K.-H., siehe Wilken, H.

Neubauer, B., siehe Arnswald, W.

Nüesch, P., siehe Bereiter, R.

Numminen, K., und Laine, P.: Erfahrungen bei Planung, Bau und Inbetriebnahme des KKW Loviisa/Finnland 59:8—14

Öpik, I., und Ots, A.: Ascheablagerungen, Hochtemperaturkorrosion und Heizflächenverschleiß an Dampferzeugern mit Brennschieferfeuerung 59:977—983

Ots, A., siehe Öpik, I.

Pater, C., de, siehe Arav, F.

Patient, B.C.: Betriebserfahrungen mit titanberohrten Dampfturbinen-Kondensatoren in Großbritannien 59:380—388

Pattas, E., siehe Franke, F.H.

Perenboom, J.M., siehe Allan, F.

Pich, R.: Wärmespannungen in druckführenden Bauteilen und deren meßtechnische Überwachung 59:510—519

Pietzonka, R., siehe Koch, W.

Plür, R.: Betriebserfahrungen mit dem Fernwärmenetz der Energieversorgung Oberhausen AG 59:251—255

Podhorsky, M., und Krips, H.: Hydraulisches Aufweiten von Rohren 59:81—87

Pohle, R.: Abfalltechnik der Stadt Nürnberg 59:136—145

Poulsen, K.E., siehe Arnswald, W.

Prawy, M.: Österreich — Land der Musik; eine Stimme im Konzert der Nationen 59:840—846

Quack, R.: Zschornewitz, Leuna und Niedersachswerfen 59:737—740

Raask, E.: Erosion durch Aschepartikeln in kohlegefeuerten Kesselanlagen 59:496—502

Reeh, D.: Explosionsgefährlichkeit von Kohlenstäuben 59:326—332

Rentz, O.: Betriebswirtschaftliche Fragen im Zusammenhang mit der Rauchgasentschwefelung 59:25—33

Resch, G., und Zinke, K.: Verhalten von Stellit bei der Konditionierung von Wasser-Dampfkreisläufen mit Oxidationsmitteln 59:212—216

Richter, E.: Die Arbeitsstättenrichtlinien — Auswirkungen auf den Kraftwerksbau 59:733—737

Rossbach, M., Meyer, A., und Spieß, W.: Die Saarberg-Otto-Anlage in Völklingen/Fürstenhausen 59:564—568

Rüter, B., siehe Engelhard, J.

Seipp, H.-G.: Das Korrosionsverhalten von Kupfer in wassergekühlten Generatorwicklungen 59:245—248

Specht, R.: Stand der Technik von Kabelabschottungen und Prüfanforderungen 59:793—798

Spiering, R.M.E.J., siehe Arav, F.

Spieß, W., siehe Rossbach, M.

Skiba, W., siehe Bökenbrink, D.

Svoboda, R., Ziffermayer, G., und Schmied, H.: Verteilung von Konditionierungsmitteln und Verunreinigungen im Dampf-Wasserkreislauf von Sattdampf-Turbinenanlagen 59:150—157

Szenker, B., siehe Effertz, P.-H.

Schäch, R., und Franz, B.: Erweiterung des Kraftwerkes Süd-München um eine Gas-/Dampfturbinen-Heizkraftanlage 59:857—872

Scheffler, J., siehe Bökenbrink, D.

Schilling, H.-D., und Schreckenberg, H.: Entwicklung eines Kombi-Prozesses auf der Basis der Wirbelschichtfeuerung 59:634—640

Schimmelpfennig, K., siehe Schnellenbach, G.

Schleithoff, K.: Rohre für Dampfturbinen-Kondensatoren 59:368—376

Schlizio, H.: Entkupferung und Passivierung von Dampferzeugungsanlagen mit Wasserstoffperoxid nach einer Säurebehandlung 59:249—250

Schmied, H., siehe Svoboda, R.

Schneider, U., siehe Kordina, K.

Schnellenbach, G., und Stangenberg, F.: Neue Entwicklungen bei der Auslegung von Kernkraftwerken gegen Flugzeugabsturz 59:46—53

Schnellenbach, G., und Schimmelpfennig, K.: Hohe Temperaturbeanspruchungen bei Stahlbetonkonstruktionen 59:807—819

Schoop, U.: Versuche zur Beeinflussung der Staubemission älterer Kesselanlagen durch Einsatz unterschiedlicher Kohlensorten 59:477—483

Schreckenberg, H., siehe Schilling, H.-D.

Schroeder, H., siehe Junkers, G.

Schroeder, H.J.: Betriebserfahrungen mit dampfberührten Anlagenteilen von Druckwasserreaktoren aus chemischer Sicht 59:195—199

Schroeder, H.J., siehe Ambros, R.

Schulte-Wieschen, U., siehe Angenend, F.J.

Schulz, G., siehe Ludwig, I.

Schwalb, M., siehe Stein, H.

Schwarz, G., siehe Kirsch, H.

Schwarz, H.G., siehe Brockhausen, P.

Schwarz, O.: Zum 100. Geburtstag von Max Guilleaume, dem Gründer der VGB 59:363—367

Schwarz, O.: Kurzbericht über die Tätigkeit der VGB 1978/1979 59:679—691

Schweizer, Susanne, siehe Helbing, F.

Staden, J. von: Betriebserfahrungen mit einer Schwebebett-Vollentsalzungsanlage 59:69—71

Stangenberg, F., siehe Schnellenbach, G.

Stein, H., Gelsdorf, G., und Schwalb, M.: Keramische Auskleidung bestifteter Rohrflächen in Müllverbrennungsanlagen 59:332—335

Steinrisser, F.: Das Alarmline-Detektorkabel, ein neues Brandmeldesystem zur Erkennung von Brandschäden und Überhitzungen an Kabelwegen, Förderanlagen und großflächigen Objekten 59:967—971

Steinrück, K., Knoerzer, G., und Jaerschky, R.: Erste Betriebserfahrungen im Kernkraftwerk Isar 59:1—7

Stellbrink, B., siehe Hennecke, H.

Stemke, G.: Erste Betriebserfahrungen mit der Rauchgaswaschanlage in der MVA Bremerhaven 59:593—594

Stickley, M.: Status der Fusionstechnologie mit Trägheitseinschluß in den USA 59:922—929

Stodieck, W., und Strätz, A.: Zwei 850-MW-Turbinen im täglichen An- und Abfahrbetrieb, Auslegung und Betriebserfahrungen 59:115—119

Strätz, A., siehe Stodieck, W.

Stühlen, B., siehe Barschdorff, D.

Sturla, P.: Bedeutung von Redoxpotentialmessungen beim Betrieb von Hochdruckkreisläufen 59:231—239

Taler, J., siehe Młynarski, F.

Thelen, F., siehe Hennecke, H.

Tinapp, J.: Betriebserfahrungen mit 600-MW-Dampfturbogruppen 59:291—296

Trautmann, G., siehe Leithner, R.

Uhlmann, D., und Woldert, G.: Dokumentationssystem im Kraftwerk — Leittechnik 59:626—633

Umland, F.: Einfluß von Brennstoffverunreinigungen auf die Hochtemperaturkorrosion metallischer Werkstoffe 59:206—211

Veser, K.: Regenerativ-Luftvorwärmer an ölgefeuerten Kesseln 59:53—58

Vlačić, J.: Ablagerungsprobleme an einem kohlegefeuerten Kessel der Termoelektrana Plomin 59:484—490

Wandelt, E., siehe Hochmüller, K.

Webb, A.H., siehe Glover, G.M.

Weber, H., siehe Franke, J.

Wehr, J., siehe Koch, W.

Weisser, H., siehe Apel, W.

Wiemann, W.: Anforderungen an Schmiedestücke für Turbinen- und Generatorläufer 59:937—951

Wilken, H., und Müller, K.-H.: Report über einen in einem 250 m hohen Kraftwerksschornstein installierten Personen- und Lastenaufzug nach 10jähriger Betriebszeit 59:898—900

Wimmer, O.: Erfahrungen bei der zerstörungsfreien Wiederholungs-Prüfung in Kernkraftwerken 59:217—221

Witte, U., siehe Franke, J.

Wiume, D., siehe Effertz, P.-H.

Woldert, G., siehe Uhlmann, D.

Ziffermayer, G., siehe Svoboda, R.

Zinke, K., siehe Resch, G.

Zischka, A.: Das Menschenrecht auf Energie 59:854—857

Zörner, W., siehe Bald, A.

Sachverzeichnis 1979

Abfallmischgasverbrennung 59:783

Abfälle, radioaktive, im KKW Biblis 59:990—994

Ablagerungsprobleme an einem kohlegefeuerten Kessel 59:484—490

Abluft- und Abfallgasverbrennung 59:783

Abschaltreaktivität 59:901—903

Abscheidung von HCl, HF und SO_2 59:714

Abwasser
- — Bestimmung von Polycarbonsäuren 59:995—997
- — Neutralisation mit schwachsauren Kationenaustauschern 59:64—68
- — radioaktives; Entsorgung 59:990—994

Additiv Kryda 59:488—489

AGW-Gasturbinenanlage 59:634—640

Akustische Turbinenüberwachung 59:462—466

Alarmline-Detektorkabel 59:967—971

Alkalieisensulfatbildung an Überhitzerrohren 59:595—608

Anfahren 59:101

An- und Abfahrbetrieb mit großen Dampfturbinen 59:115—119

Anforderungen an Kabelabdichtungen 59:798

Ansatzbildung an Heizflächen
- — Braunkohlefeuerungen 59:433—439 59:576—581
- — Holzrindeverbrennung 59:569—575

Anschwemmfiltration in der Kondensatreinigung 59:199—202

Arbeitsstättenrichtlinien, Auswirkungen auf den Kraftwerksbau 59:733—737

Arbeitsstättenverordnung, Konzept, Stand, Fortführung und Erfahrungen bei der Anwendung der Arbeitsstättenrichtlinien 59:894—898

Armgasverfeuerung 59:783

Arsenverbindungen, korrosionsfördernde Wirkung 59:597

Aschemengen in Steinkohlenkraftwerken, Ungenauigkeiten bei der Ermittlung und Korrekturmöglichkeiten 59:788—789

Ascheprobleme bei der Verbrennung von Holzrinde mit Öl 59:568—576

Aschezusammensetzung
- — Baumrinde 59:570
- — Brennschiefer 59:977

Aufbereitung von Rohkohle 59:129—130

Aufzüge im Kraftwerksschornstein, Erfahrungen 59:898—900

Aufklärung von leittechnischen Fehlern 59:790

Ausbildung 59:14—16 59:16—19

Ausfälle leittechnischer Komponenten 59:790—793

Ausfallerfassung 59:297—304

Ausfallerfassungsformular, Leittechnik 59:300—303

Ausfallraten der Leittechnik 59:791—792

Ausfallursachen, Klassifizierung 59:298

Automatisches Rohrbearbeitungsgerät 59:695—696

Automatische Rohrsäge 59:692—693

Automatische Vorrichtungen für Rohrreparaturen 59:691—697

V/O Atomenergoexport (AEE) 59:8—14

Baugruppenausfallstatistik 59:297—304

Baulinie 69 59:1—7

Baureihen für Dampfturbinen 59:109—114

Bekohlungsanlage des HKW Hafen der Stadtwerke Münster 59:929—937

Berechnung
- — Rohrbefestigung in Rohrplatte 59:81—87
- — Temperatur- und Spannungsverteilung 59:440—447
- — Wärmespannungen in druckführenden Bauteilen 59:510—519
- — Wärmespannungen in Flossenwänden 59:455—461

Betriebserfahrungen
- — Dampfturbinen von 850 MW 59:115—119
- — 600-MW-Dampfturbogruppen 59:291—296

Bilanzierung radioaktiver Ableitungen in die Luft 59:986

Biotsche Zahl Bi 59:446

Blockausfälle durch Leittechnik 59:790—792

Blockverfügbarkeit 59:406—407

Boxerfeuerung 59:546—552

Brandgefährdete Bereiche einer Gasturbine 59:879—880

Brandgefahren in MVA 59:972—977

Brandmeldesystem 59:967—971

Brandschaden, Brand im Unterbau eines Schornsteins und Sanierung 59:731—733

Brandschutz
- — Gasturbinen 59:878—884
- — baulicher Brandschutz im Industriebau 59:178—192
- — in Tunnels und Kanälen 59:971
- — Übertragbarkeit des baulichen Brandschutzes im Industriebau auf Kraftwerke 59:664—669

Brandüberwachung von Kohleförderanlagen 59:970—971

Brandversuche mit Kabeln 59:793—796

Braunkohlenanalyse 59:577
- — Grube Fortuna-Garsdorf 59:434

Braunkohlenfeuerungen, rauchgasseitige Heizflächenverschmutzung 59:433—439 59:576—581
Braunkohlenkokse, Zünd-, Verbrennungs- und Verschmutzungsverhalten 59:703—709
Braunkohlenstaub als Zusatzbrennstoff bei Steinkohle 59:477—483
Braunkohlentagebau, Aufschluß und bauliche Infrastruktur in Hambach 59:889—893
Braunkohlevergasung 59:697—702
Brennersteuerungen, Steuerungsaufgaben 59:540—541
Brennkammer für Steinkohlen-Trockenfeuerung 59:99—101 59:546—552
Brennschieferfeuerung 59:977—983
Brennstoff-Verunreinigungen 59:569

Cadmiumemissionen 59:206
Chemische Staubanalysen 59:202—206
Chloridemissionen 59:206
Chloridkorrosion 59:349—353
— rauchgasseitige 59:208—209
Chrom-Carbidausscheidungen 59:351

Dampfturbinen
— akustische Überwachung 59:462—466
— Anforderungen an Schmiedestücke 59:937—951
— Baureihen 59:109—114
— mit 600 MW 59:291—296
— mit 850 MW 59:115—119
— Kondensatoren 59:380—388
— Kondensatoren mit Titanrohren 59:376—380
— Konstruktionen für kleine Leistungen 59:872—878
— Leistungsregelung 59:467—472
— Regelung 59:119—124
— Schaufelschäden 59:952—964
DDA-Mitteilungen 59:258—260
Deionatspeicher, erforderliches Volumen und technische Ausführung 59:72—75
Deutsche Risikostudie 59:911—916
Dokumentationssystem, Leittechnik 59:626—633
Dokumentations-Vorgaben 59:628—629
Drallbrenner, siehe Wirbelbrenner
Druckabsenkung, Speisepumpenzulauf 59:552—556
Druckprobe, Reaktorsicherheitsbehälter 59:508—510
Druckschwingungen 59:305—316
Druckvergasung 59:564—568
Druckwasserreaktoren
— analytische Kriterien zur Überwachung der Phosphatfahrweise 59:175—178
— Ergebnisse der Tritiumbilanz 59:171—175
— Erosionskorrosion im Sekundärkreislauf 59:195—199
Dynamik der Rauchgasströmung 59:305—316
Dynamisches Verhalten eines Kraftwerksblocks, Vorausberechnung 59:124—128

Eckenfeuerung 59:546—552
Einordnung von leittechnischen Fehlern 59:790—792
Eisen- und Kupfergehalte in Fernheizwasser 59:251—255
Eisenoxide, Abscheide- und Auflöseverhalten im Wasser-Dampfkreislauf 59:231—239
Elektrofilter
— bei Öl- und Gaskesseln 59:652
— Hochtemperatur-Druck 59:634—640
Energie
— das Menschenrecht auf 59:854—857
— menschliches Leistungsvermögen 59:854—857
Energiebedarf der Welt 59:847—853
Energieerzeugung, neue Technologien 59:619—620
Energieversorgung 59:847—853
— künftige 59:619—620
Energievorräte 59:619
Entkupferung mit Wasserstoffperoxid nach der Säurebehandlung von Dampferzeugungsanlagen 59:249—250
Entsorgung radioaktiver Abfälle im KKW Biblis 59:990—994
Entstaubung von Rauchgasen 59:652
Erdbeben, Grundzüge der erdbebensicheren Auslegung von Kernkraftwerken 59:36—45
Erdgas/Gichtgas-Kraftwerk Huckingen, Kraftwerksbeschreibung 59:759—777
Erdwärmekraftwerke 59:916—922
Erkennung von Bränden 59:884
Erosion durch Aschepartikeln 59:496—502
Erosionskorrosion im Sekundärkreislauf von Druckwasserreaktoren 59:195—199
Erosionsverschleiß 59:496—502
Explosionsfähigkeit, Ermittlung 59:327—329
Explosionsgefährlichkeit von Kohlenstäuben 59:326—332

Federrollenmühlen 59:287
Feinkornbaustahl WStE 51 (Reaktorsicherheitsbehälter) 59:503—510
Feinkornbaustähle 15 NiCuMoNb 5 und 17 MnMoV 6 4 59:222—230
Fernwärme, wasserchemische Betriebserfahrungen 59:251—255
Fernwärmenetz München 59:857—872
Finnland 59:8—14
Flammenüberwachung, optisch 59:709
Flockungshilfsmittel, analytische Bestimmung von Polycarbonsäuren 59:995—997
Flossenwände, Wärmespannungen 59:455—461
Flugaschezement 59:33—36
Flugstaub
— trockene Lagerung 59:473—476
— von Steinkohlen 59:202—206
Flugzeugabsturz, neue Entwicklungen bei der Auslegung von Kernkraftwerken gegen Flugzeugabsturz 59:46—53
Fusionskraftwerk 59:922—929

Gas- und Aerosolableitungen 59:260—261
Gaserzeugung 59:451—454
Gas-/Dampfturbinen-Heizkraftanlage München-Süd, Erweiterung 59:857—872
Gasförmige Ableitungen in Kernkraftwerken 59:984
Gasturbine 59:107
Genehmigungspraxis für Kabelabschottungen 59:797—798
Generatorläufer, Anforderungen an Schmiedestücke 59:937—951
Generatorkühlung mit Wasser, Korrosionsverhalten von Kupfer 59:245—248
Gewichtsverlust der Asche bei Erhitzung 59:788—789
Gichtgas-/Erdgas-Kraftwerk Huckingen, Kraftwerksbeschreibung 59:759—777
Guilleaume, Max, 100. Geburtstag 59:363—367 59:737—740

Haldenbunker 59:133
Halle für trockene Lagerung von Flugstaub 59:473—476
Hämatitschutzschicht 59:596
Hausmüll, Behandlungsverfahren 59:145—149
HCl-Immission durch die MVA Kiel 59:490—496
HCl-Immissionsmessungen bei der MVA Kiel 59:490—496
Heizflächen in MVA, Bestiftung und Bekleidung 59:332—335
Heizflächenreinigung durch Schall 59:648—652
Heizflächenverschmutzung bei Braunkohlenfeuerungen 59:433—439 59:576—581
Heizkraftanlage München-Süd, Erweiterung 59:857—872
Heizkraftwerk Hafen der Stadtwerke Münster 59:929—937
Heizungsenergie 59:451—454
Hochflüchtige Steinkohle 59:415—419
Hochtemperatur-Flugstromvergasung 59:564—568
Hochtemperatur-Kernreaktor 59:641—648
Hochtemperaturkorrosionen 59:206—211
— bei Brennschieferfeuerung 59:977—983
— Verhalten Nb-stabilisierter und unstabilisierter Stähle 59:349—353
— an Überhitzerrohren 59:595—608
Hochtemperaturpyrolyse-Anlage Frankfurt 59:657
Hohlraumdichte bei Gefügeuntersuchungen 59:588—589
Holzrindeverbrennung zusammen mit Schweröl 59:568—576
Holographie 59:221
HSST-Programm 59:336—348
Huckingen, Kraftwerksbeschreibung, Hauptdaten 59:759—777
Hydraulisches Aufweiten von Rohren 59:81—87

Imatran Voima (IVO) 59:8—14
Industriedampfturbinen 59:872—878
Instandhaltungskonzept 59:405—414
Instandhaltungsstrategie 59:409—412
Integrale Leckratenprüfung 59:260—261
Integrierte Instandhaltung 59:966—967
Ionenaustauscher
— Einsatz im Schwebebett 59:69—71
— Verhalten in Vollentsalzungsanlagen 59:58—63
Iskamatit F 59:544—545

Kabelabschottungen 59:793—798
Kaltverformung 14 MoV 63 59:799—806
Karmann-Wirbel 59:420
Kationenaustauscher zur Neutralisation von Regenerierabwässern 59:64—68
Keramische Auskleidung in MVA 59:332—335
Kerbschlagbiegeproben aus 15 NiCuMoNb 5 und 17 MnMoV 6 4 59:225—230
Kernenergierisiko 59:911—916
Kernfusion durch Trägheitseinschluß 59:922—929
Kernkraftwerk Isar 59:1—7
Kernkraftwerk Loviisa 59:8—14
Kernkraftwerke
— Erosionskorrosion im Sekundärkreislauf von Druckwasserreaktoren 59:195—199
— Kondensatreinigung bei Siedewasserreaktoren 59:199—202
— gasförmige Ableitungen 59:984
— radioaktive Abfälle im KKW Biblis 59:990—994
— Tritiumbilanz in Leichtwasserreaktoren 59:171—175
— Verteilung von Konditionierungsmitteln und Verunreinigungen im Wasser-Dampfkreislauf 59:150—157
— Wasserchemie im SWR-Kernkraftwerk Würgassen 59:158—170
Kernschmelzunfall 59:911—916
Kerntechnischer Ausschuß (KTA) 59:260—261 59:669—670 59:901—903
— KTA 1503.1 59:260—261
— KTA 3104 59:901—903
— KTA 3201.1 59:260—261
— KTA 3201.3 59:901—903
— KTA 3401.3 59:901—903
— KTA 3405 59:260—261
— KTA 3409 59:669—670
Kernverschmelzung 59:922—929
Kesselrohre, analytische Untersuchung der Temperatur- und Spannungsverteilung 59:440—447
Kleines Leck im Primärkreislauf — Störfall 59:4
Körnungskurven des Rohgasstaubes 59:479—483
Körperschallmessungen an Dampfturbinen 59:462—466
Kohlenaufgabe und Kohlenentnahme, Ablaufplan 59:934
Kohlenbunker des HKW Hafen der Stadtwerke Münster 59:929—937
Kohlenmonoxid/Sauerstoff-Funktion im Rauchgas 59:282
Kohlenmühlen für große Kraftwerksblöcke 59:283—291

Kohlensorten, Beeinflussung der Staubemission 59:477—483
Kohlenstäube, Explosionsgefährlichkeit 59:326—332
Kohlenstaubbrenner, Wirbelbrenner 59:98—99 59:275—276 59:546—552
Kohlenstaubmahlanlagen 59:277
Kohlenstaubmühlen, MPS-Mühle 59:97—98
Kohletemperatur bei der Lagerung 59:936
Kohleumwandlungsverfahren (KUV) 59:451—454
Kohlevergasung 59:451—454 59:557—564 59:564—568 59:641—648 59:697—702
Kombi-Block mit Wirbelschichtfeuerung 59:105—109
Kombi-Prozeß
— Kohledruckvergasung 59:564—568
— Wirbelschichtfeuerung 59:634—640
Kondensat, analytische Erfassung von Mineleckagen 59:76—81
Kondensatorrohre
— aus Titan 59:376—380 59:380—388 59:389—393
— Werkstoffe 59:368—376
Kondensatreinigung
— mit Anschwemmfiltern im KKW Würgassen 59:158—170
— mit Ionenaustauschern in Hochschichtfiltern 59:58—63
— in Kernkraftwerken mit Siedewasserreaktor 59:199—202
— mit Mischbettfiltern im Triobed-System 59:256—257
Konditionierungsmittel, Verteilung im Wasser-Dampfkreislauf 59:150—157
Konservierung von Reservekraftwerken 59:531—539
Konstruktion
— 600-MW-Dampfturbinen 59:291—296
— 850-MW-Dampfturbinen 59:115—119
— große Dampfturbinen 59:109—114
— Industriedampfturbinen 59:872—878
Korrosion
— an Stellit durch Wasserstoffperoxid 59:212—216
— Minimierung der, von Kupferwerkstoffen durch Wasserstoffperoxid 59:240—245
— Überhitzerrohre 59:595—608
— Überwachung in Fernwärmenetzen 59:251—255
— Verhalten von Kupfer in wassergekühlten Generatoren 59:245—248
— von Kupferwerkstoffen in Abhängigkeit vom pH-Wert und Elektrolytgehalt 59:720—724
Korrosionsdaten von Luvos 59:53—58
Korrosion und Erosion im Sekundärkreislauf von DWR 59:195—199
Kostenrechnung für die Rauchgasentschwefelung 59:26
Kraftwerk
— Gelderland Zuid der PGEM 59:415—419
— Huckingen, Kraftwerksbeschreibung 59:759—777
— Plomin der Termoelektrana Plomin 59:484—490
— Ratcliffe der CEGB 59:273—281
— Riedersbach der OKA 59:473—476
— Süd-München, Erweiterung des Kraftwerkes um eine Gas-/Dampfturbinen-Heizkraftanlage 59:857—872
— Wilhelmshaven 59:95—105
Kraftwerksblock, Vorausberechnung des dynamischen Verhaltens 59:124—128
Kraftwerksnebenprodukte 59:33—36
Kraftwerksschornstein, Erfahrungen mit Aufzügen 59:898—900
Kühlmittelverlust-Störfall 59:911—916
Kühlwasser
— Bestimmung von Polycarbonsäuren 59:995—997
— für Generatorwicklungen, Korrosionsverhalten von Kupfer 59:245—248
— Unterdrückung der Kupferauflösung in Nebenkühlsystemen 59:720—724
Kupfer, Korrosionsverhalten in wassergekühlten Generatoren 59:245—248
Kupfer- und Eisengehalte in Fernheizwasser 59:251—255
Kupferwerkstoffe
— Korrosionsverhalten bei neutraler Fahrweise 59:240—245
— Korrosionsverhalten in salzfreiem Wasser 59:720—724

Lärmbelästigung bei Schallreinigung von Heizflächen 59:649
Lagerung von Flugstaub in einer Lagerhalle 59:473—476
Langzeitverhalten 14 MoV 6 3 59:799—806
Laserverwendung für Kernfusion 59:922—929
Lastabschaltung von Dampfturbinen 59:467—472
Lastabsenkung, Speisepumpenzulauf 59:552—556
Laständerungsversuche 59:101—104
Lasten- und Personenaufzug im Kraftwerksschornstein 59:898—900
Laugenverbrennungskessel
— Brennkammergestaltung 59:316—326
— Betriebserfahrungen 59:316—326
— Chemikalienkreislauf 59:316—326
— konstruktive Gestaltung 59:316—326
— Reinigungseinrichtungen und Verschlackungsprobleme 59:316—326
— wärmetechnische Auslegung 59:316—326
Leckagen an Turbinenkondensatoren, analytische Erfassung 59:76—81
Leichtwasser-Reaktordruckgefäße, Relaxationsrisse 59:336—348
Leistungsregelung von Dampfturbinen 59:467—472
Leitfähigkeit von Natriumphosphatlösungen 59:175—178
Leitfähigkeits- und Natriummessung zur Überwachung von Turbinenkondensat 59:76—81
Leitstand der Bekohlungsanlage im HKW Hafen der Stadtwerke Münster 59:932
Löslichkeit von Magnetit in wäßrigen Lösungen 59:231—239
Lösungsglühen 14 MoV 6 3 59:799—806
Luftvorwärmer, Verschmutzung und Korrosion 59:53—58

Magnetit, Löslichkeitsverhalten im Wasser-Dampfkreislauf 59:231—239
Mandel, Heinrich, Erinnerung an 59:621—624
Materialschleusen 59:669—670
Maßnahmen zur Verhütung von Bränden 59:880—884
Max Guilleaume, 100. Geburtstag 59:363—367 59:737—740
Mechanisierte Ultraschall- und Wirbelstromprüfung 59:219—221
Mehrkanalige Steuerungen 59:543—546
Mindestzündenergie von Kohlenstaub 59:330—331
Mischbettfilter, Triobed-System 59:256—257
Mischlager für Rohkohle 59:132—133
Modellkraftwerk Völklingen 59:105—109
Modulationsflammenwächter 59:709
Mühlenbeurteilung 59:286
Müllbeseitigung
— Entwicklung bis 1990 59:145—149
— in Nürnberg 59:136—145
Müllpyrolyse in Frankfurt 59:657
Müllverbrennungsanlage, Hochtemperaturkorrosion 59:349—353
München-Süd, Erweiterung um eine Gas-/Dampfturbinen-Heizkraftanlage 59:857—872

Natrium- und Leitfähigkeitsmessung zur Überwachung von Turbinenkondensat 59:76—81
Netzanforderungen an den Turbinenbetrieb 59:398—399
Netzkurzschlüsse, Verhalten der Dampfturbine 59:467—472
Netzstörungen, Simulation 59:399—403
Neutrale Fahrweise, Verhalten von Stellit 59:212—216
Neutralisation von Regenerierabwässern 59:64—68
Niederflüchtige Steinkohle 59:415—419
Nukleare Inbetriebnahme 59:1—7
Nuklear-Prozeßwärme 59:641—648

Oberflächengefügeuntersuchungen 59:581—593
Ölsubstitution 59:451—454 59:847—853
Organisation der Dokumentation 59:631—632
Orthotrope Platte (Flossenwand) 59:455—461

Passivierung gereinigter Dampferzeugungsanlagen mit Wasserstoffperoxid 59:249—250
Personal 59:14—16 59:16—19
Personen- und Lastenaufzug im Kraftwerksschornstein 59:898—900
Philosophische Grundlagen der Technik 59:621—624
Phosphat, Leitfähigkeit und pH-Wert wäßriger Lösungen 59:175—178
pH-Wert
— Messung in vollentsalztem Wasser 59:885—889
— von Natriumphosphatlösungen 59:175—178
Polycarbonsäuren, Bestimmung in Kühlwässern und Abwässern 59:995—997
Prallverschleiß 59:498—499
Primärkreiskomponenten 59:260—261 59:901—903
Primärenergieversorgung 59:451—454
Professorengutachten zur Energieversorgung 59:619—620
Projektabwicklung, Dokumentation 59:627—628
Prozeßwärmeeinkopplung 59:641—648
Prüfmanipulator 59:696—697
Prüfrichtlinien für Kabelabschottungen 59:796—797
Prüfung von Schmiedestücken 59:937—951
Pyrolyseanlage zur Müllverwertung in Frankfurt 59:657

Radioaktive Abfälle im Kernkraftwerk Biblis 59:990—994
Radioaktive Substanzen, Ableitungen in die Luft 59:984
Rasmussen-Studie 59:911—916
Rasterelektronenmikroskopische Untersuchungen von Gefügeabdrücken 59:586—593
Rauchgasdichtemessung, Kalibrierkurven 59:478—481
Rauchgasdruckschwingungen 59:305—316
Rauchgasentschwefelung
— betriebswirtschaftliche Fragen 59:25
— Parameter für die Verfahrensauswahl 59:31
Rauchgasreinigung bei MVA 59:714
Rauchgasseitige Heizflächenverschmutzung bei Braunkohlenfeuerungen 59:433—439
Rauchgasseitige Kesselreinigung 59:489
Rauchgasrezirkulation 59:485—489
Rauchgasschwingungen 59:420
Rauchgaswäsche
— MVA Bremen 59:593
— MVA Kiel 59:490—496
— Saarberg-Hölter-Verfahren 59:108
Reaktionsgeschwindigkeit, Kohlevergasung 59:557—564
Reaktorsicherheitsbehälter 59:901—903
— Fertigung und Prüfung 59:503—510
Recycling 59:33—36
Redoxpotential, Messung in Hochdruck-Kreisläufen 59:231—239
Regeneration von Mischbettfiltern, Verbesserung durch das Triobed-System 59:256—257
Regenerativ-Luftvorwärmer 59:53—58
Regenerierabwasser, Neutralisation mit schwachsauren Kationenaustauschern 59:64—68
Regelungsaufgaben an Dampfturbinen 59:119—124
Reingasstäube, Phasenbestand 59:204
Reinigung von Dampferzeugungsanlagen, Entkupferung und Passivierung 59:249—250
Reinigung von Luftvorwärmern 59:53—58
Reinkohle 59:130
— behandelte Kohle 59:274

Relaxationsrisse, Leichtwasser-Reaktordruckgefäß 59:336—348
Reservekraftwerke, Einsatz und Bereitschaft 59:531—539
Restlebensdauer 59:581—593
Restschwefelemission, Kosten, Abhängigkeit 59:28
Revisionsarten 59:412 59:965
Revisionsplanung 59:966—967
Revisionsstrategie 59:410—412 59:965
Revisionszeitpunkt 59:412—413 59:965
Rohkohle 59:129—130
— unbehandelte Kohle 59:274
Rohre
— für Dampfturbinenkondensatoren 59:368—376
— hydraulisches Aufweiten 59:81—87
Rohrmühlen 59:285—287
Rohrplatte, Verbindung Rohr — Rohrplatte 59:81—87
Rohrverkleidung in MVA 59:332—335
Rückladegerät 59:133
Rußbläseranordnung 59:279—280

Saarberg-Otto-Verfahren 59:564—568
Satelliten-Sonnenkraftwerke 59:916—922
Selbstentzündung 59:331
SiC-Schmelzkammermassen, Qualitätsauswahl 59:332—335
Sicherheitsbehälter-Versagen 59:911—916
Sicherheitstechnik bei KKW TMI-2 59:353—359
Sicherheitstechnische Regeln 59:260—261 59:669—670 59:901—903
Siedewasserreaktor 59:1—7
— Ergebnisse der Tritiumbilanz 59:171—175
— Kondensatreinigung 59:199—202
— wasserchemische Betriebserfahrungen im KKW Würgassen 59:158—170
Simatic
— HS-S31 59:543—544
— S5-110 59:545—546
Simulator 59:14—16 59:16—19
Solarzellen 59:916—922
Sondermüll, Behandlungsverfahren 59:145—149
Sonnenkraftwerke 59:916—922
Spannungsfeld in strahlungsbeheizten Kesselrohren 59:444—447
Speicherprogrammierbare Steuerungen 59:540—546
Speicherung von Deionat 59:72—75
Speisepumpe
— Berechnung der Druckabsenkungsgeschwindigkeit 59:552—556
— Mindestzulaufhöhe 59:552—556
Speisewasser, Minimierung des Kupfergehaltes durch Wasserstoffperoxid 59:240—245
Speisewassersystem bei KKW TMI-2 59:353—359
Spurenelementgehalte in Flugstäuben und Böden 59:205
Sulfidoxid-Korrosion, rauchgasseitig 59:206—208
Synthesegas 59:697—702

Schadensschwerpunkte an Turbinen 59:408—409
Schäden an Kondensatorrohren 59:380—388
Schallreinigung von Heizflächen 59:648—652
Schaufelschäden an Dampfturbinen 59:952—964
Schlackenbad-Vergaser 59:564—568
Schlagradmühle 59:290—291
Schmiedestücke für Turbinen- und Generatorläufer 59:937—951
Schneidverschleiß 59:496—497
Schornsteinfutter, Beanspruchung von Schornsteinfutter für konventionelle Kraftwerke 59:519—524
Schüsselmühlen 59:287
Schwebebettverfahren zur Vollentsalzung 59:69—71
Schwefel, siehe Rauchgasentschwefelung
Schweißen von Reaktordruckgefäßen, Relaxationsrisse 59:336—348
Schweißmaschine 59:693—695
Schweißverbindungen aus 15 NiCuMoNb 5 und 17 MnMoV 6 4 59:222—230
Schwingungsverhalten von Kanälen und Bandagen 59:305—316

Staubanalysen, Aussagewert 59:202—206
Staubanfall, globaler 59:205
Staubemission älterer Kesselanlagen, Beeinflussung durch unterschiedliche Kohlensorten 59:477—483
Stellit, Verhalten bei der Speisewasser-Konditionierung mit Oxidationsmitteln 59:212—216
Steuerungsbaugruppen, Ausfallerfassung 59:297—298
Störungen an Dampfturbinenregelungen 59:119—124
Strahlbrenner für Kohlenstaub 59:546—552
Strahlenbelastung des Personals 59:694—697
Streubreite von Kohleneigenschaften 59:133
Strömungserregte Schwingungen 59:420
Strömungsverhältnisse im Feuerraum 59:549—552
Strömungsversuche bei Müllkesseln 59:662

Tangentialfeuerung 59:546—552
Target, Kernverschmelzung durch Laser
Technik und Humanität 59:621—624
Temperaturbeanspruchung bei Stahlbeton-Konstruktionen 59:807—819
Temperaturfeld in strahlungsbeheizten Kesselrohren 59:441—443
Theoretische Grundlagen von Vergasungsprozessen 59:557—564
Three Mile Island — Störfall 59:353—359
Titanrohre für Dampfturbinenkondensatoren 59:368—376 59:376—380 59:380—388 59:389—393
TMI 2 59:353—359
Tragnasen im konvektiven Überhitzer, Temperatur infolge Wärmeabstrahlung 59:625—626

TRD (DDA-Mitteilungen) 59:258—260
Triobed-System für Mischbettfilter 59:256—257
Tritium, Bilanz in Leichtwasserreaktoren 59:171—175
Trockene Entaschung 59:95—105 59:279—280
Trockenkonservierung von Reservekraftwerken 59:531—539
Trockenverfahren zur Rauchgasreinigung bei MVA 59:714
Trommel-Rückladegerät 59:133
Turbinenfundamente, Verformungsverhalten 59:819—833
Turbinenrevision 59:964—967
— Zeitpunkt 59:412—413 59:965
Turbinenüberwachung 59:413—414 59:966

Übergabeleistungsregelung 59:398—399
Überhitzer, konvektiver, Temperatur der Tragnasen 59:625—626
Überhitzerrohre, Hochtemperaturkorrosion 59:595—608
Überwachung
— von Dampfturbinen mit Hilfe akustischer Signale 59:462—466
— von Vollentsalzungsanlagen 59:58—63
— radioaktiver Ableitungen in die Luft, Meßwertverarbeitung 59:984
Umbaumaßnahmen an steinkohlegefeuerten Kesseln 59:415—419
Ursachen für Schaufelschäden an Dampfturbinen 59:952—964
UV-Flammenüberwachung 59:709

Vanadat-Korrosionen 59:209—210
Ventilatormühlen 59:288—291
Verbrennungsrückstände, Verwertung 59:33—36
Verbrennungsverhalten von Braunkohlenkoksen 59:703—709
Verbundnetz, Struktur 59:394—395
Verformungsverschleiß 59:496—497
Verfügbarkeit von Turbinen 59:407—409
Vergabe, nicht schlüsselfertige 59:8—14
Vergasungsprozesse 59:557—564
Vergleichmäßigung von Rohkohle 59:129—135
Verschlackungsverhalten 59:273
Verschleiß
— Brennschieferfeuerung 59:981—983
— Kesselrohre 59:496—502
Verschmutzung
— Heizflächen bei Braunkohlenfeuerungen 59:433—439
— Heizflächen bei Holzrindeverbrennung 59:569—575
— Müllkessel 59:662
Verschmutzungsprobleme an einem kohlegefeuerten Kessel 59:484—490
Verschmutzungsverhalten von Braunkohlenkoksen 59:703—709
Versuchs-Verbrennungsanlage für Braunkohle 59:704
Verteilung von Kohlenstaub 59:277 59:418
Verunreinigungen, Verteilung im Wasser-Dampfkreislauf 59:150—157
VGB
— Bericht über die Tätigkeit 1978/1979 59:679—691
— 100. Geburtstag des Gründers 59:363—367
— Jahreshauptversammlung 1979 59:835—846
— Kongreß „Kraftwerke 1979" 59:835—846
Vollentsalztes Wasser, pH-Messung 59:885—889
Vollentsalzung
— Erfahrungen mit technischen Anlagen 59:58—63
— Neutralisation der Regenerierabwässer 59:64—68
— Schwebebettverfahren 59:69—71
Vorwärmer aus Kupferwerkstoffen, Korrosionsverhalten 59:240—245

Wärmeabstrahlung, Einfluß auf die Temperatur von Tragnasen im konvektiven Überhitzer 59:625—626
Wärmebehandlung 14 MoV 6 3 59:799—806
Wärmefluß in strahlungsbeheizten Rohren 59:441
Wärmeleitfähigkeit von SiC-Schmelzkammermassen 59:332—335
Wärmespannungen
— druckführende Bauteile 59:510—519
— Flossenwände 59:455—561
Wärmepumpen 59:451—454
Walzenschüsselmühlen 59:287
Warmfestigkeit 14 MoV 6 3 59:799—806
Warmzugversuch 1 % CrMoV-Stahl 59:724—731
Wasseraufbereitung
— Deionat-Spitzenbedarfsdeckung durch Speicherung 59:72—75
— Ionenaustauscher 59:58—63
— und -konditionierung für Fernwärmesysteme 59:251—255
— Neutralisation von Regenerierabwässern 59:64—68
— Schwebebett-Vollentsalzungsanlage 59:69—71
Wasserchemie, Betriebserfahrungen im SWR-Kernkraftwerk Würgassen 59:158—170
Wasser-Dampfkreislauf
— Druckwasserreaktoren, Erosionskorrosion 59:195—199
— Erfassung minimaler Kühlwassereinbrüche 59:76—81
— Minimierung der Kupferauflösung durch Wasserstoffperoxid 59:240—245
— Redoxpotentiale und Magnetitlöslichkeit 59:231—239
— Verhalten von Stellit gegenüber Oxidationsmitteln 59:212—216
— Verteilung von Konditionierungsmitteln und Verunreinigungen 59:150—157
Wasserdampfvergasung 59:557—564 59:641—648
Wasserseitige Ablagerungen 59:440—447

Wasserstoffperoxid
— Auswirkungen auf den Kupfergehalt im Speisewasser 59:240—245
— Auswirkungen auf Stellit 59:212—216
— zur Entkupferung und Passivierung gereinigter Dampferzeugungsanlagen 59:249—250
Weltenergieverbrauch 59:847—853
Weltprimärenergieerzeugung 59:847—853
Werkstoffe
— Dampfturbinenkondensatoren 59:368—376
— Dampfturbinenschaufeln 59:952—964
— 15 NiCuMoNb 5 und 17 MnMoV 6 4 59:222—230
— Reaktordruckbehälter 59:336—348
Werkstoffkennwert 59:512—519
Weltinnenpolitik 59:622
Wiederholungsprüfungen in Kernkraftwerken 59:217—221
Windkraftwerke 59:916—922
Wirbelbett-Vergasung
— Druck- 59:641—648
— drucklos 59:697—702
Wirbelbildung in Rauchgasen 59:420
Wirbelbrenner 59:98—99
— Kohlenstaub 59:546—552
Wirbelschichtfeuerung 59:105—109
— Entwicklungspotential 59:634—640
Wirtschaftlichkeit von Titanrohren in Dampfturbinenkondensatoren 59:389—393

Zähigkeitseigenschaften der Werkstoffe 15 NiCuMoNb 5 und 17 MnMoV 6 4 59:225—230
Zähigkeitsverhalten 14 MoV 6 3 59:799—806
Zeitstandbeanspruchte Kraftwerksbauteile; Oberflächengefügeuntersuchungen 59:581—593
Zeitstandfestigkeit
— 1% CrMoV-Stahl 59:724—731
— 14 MoV 6 3 59:799—806
Zeitstandkerbfestigkeit 1% CrMoV-Stahl 59:724—731
Zeitstandriß 59:604
Zeitstandschäden 59:581—593
Zeitverhalten des Netzes 59:395—397
Zementherstellung 59:33—36
Zerstörungsfreie Wiederholungsprüfungen in Kernkraftwerken 59:217—221
Zündpunkt von Kohlenstaub 59:330
Zündverhalten
— Braunkohlenkoks 59:703—709
— Kohlenstaub 59:329
Zukunftsplanung, Probleme der Zukunftsplanung im Fortschritt der Technik — eine Utopie? 59:608—612
Zusammensetzung von Rohkohle 59:130

Persönliches

Anderheggen, Erwin, 70 Jahre 59:89
Bachl, Herbert, gestorben 59:616
Bammert, Karl, 70 Jahre 59:193
Bauer, Carl-Otto, 50 Jahre 59:671
Baumann, Konrad, 60 Jahre 59:749
Bergmann, Burckhard, Vorstandsmitglied der Ruhrgas 59:997
Bergmann, Friedrich, ord. VKR-Vorstandsmitglied 59:528
Bers, Konstantin, 50 Jahre 59:89
Berson, Alfred, im VKR-Vorstand 59:528
Börnke, Fritz, im Ruhestand 59:671
Brandel, Aaron, 60 Jahre 59:616
Breidenbach, Heribert, Ehrenplakette des VDI 59:362
Breuer, Wolfram, Bundesverdienstkreuz 59:749
gestorben 59:997
Brockmeier, Hans-Otto, Mitglied der Geschäftsführung der MAK 59:90
Brunner, Romuald, 50 Jahre 59:89
Bursik, Albert, Privatdozent an der Universität Stuttgart 59:749
Cautius, Werner, 80 Jahre 59:193
Clausnitzer, Gunter, ordentliches HEW-Vorstandsmitglied 59:671
Degenhardt, Ulrich, Mitglied der Geschäftsführung der MAK 59:90
Deuster, Gerhard, 50 Jahre 59:900
Dreher, Arno, im Ruhestand 59:834
Edinger, Berthold, 40 Jahre bei BAYER 59:749
Eliasmöller, Hans, 50 Jahre 59:749
Enmark, Nils Erik Olof, Vorstandsvorsitzender der AEG-Telefunken Energie- und Industrietechnik AG 59:616
Fischer, Dietrich, Vorsitzender der Geschäftsleitung der Krupp Industrie- und Stahlbau 59:671
Freier, R.K., im Ruhestand 59:616
von Freyend, Ernst John, aus Geschäftsführung der AIF e.V. ausgeschieden 59:90
70 Jahre 59:362
Gärtner, Erwin, gestorben 59:671
Gärtner, Karl, als Vorsitzender der Geschäftsleitung der Krupp Industrie- und Stahlbau ausgeschieden 59:671
Garbers, Helmut, aus Vorstand der AEG-Telefunken ausgeschieden 59:90
Gentner, W., erhielt Otto-Hahn-Preis 59:362
Goldstern, W., Ehrenmedaille des VDI 59:834
Guck, Rudolf, Präsident der CIGRE 59:193
Präsident des Deutschen Atomforums 59:362
Gutperle, Georg, 70 Jahre 59:362
Haager, Karlheinz, 70 Jahre 59:528
Haier, Ulrich, neuer DIN-Präsident 59:901
Haussmann, Raimund, gestorben 59:997
Heesemann, Sigfried, 75 Jahre 59:671

Held, Hans-Dietrich, gestorben 59:900
Henseler, Klaus, Mitglied der Geschäftsführung der J.M. Voith GmbH 59:362
Hinsche, Franz, gestorben 59:89
Hirschfelder, Günter, 50 Jahre 59:901
Hlubek, Werner, Leiter des RWE-Kraftwerksbetriebes 59:528
Horn, Heinz, Großes Bundesverdienstkreuz mit Stern 59:616
Hünlich, W.H.F., 60 Jahre 59:749
Humann, Otto, 50 Jahre 59:901
Janitschek, Friedrich, 50 Jahre 59:193
Just, Karlheinz, 25 Jahre bei BAYER 59:449
Kastl, Helmut, zum technischen Vizedirektor der Wiener Stadtwerke (E-Werke) ernannt 59:90
Kaun, Heinrich, gestorben 59:616
Kegel, Helmut, 65 Jahre 59:671
im Ruhestand 59:997
Keltsch, Erhard, als Vorstandsmitglied der NWK ausgeschieden — im Aufsichtsrat der NWK 59:90
im Ruhestand 59:616
Kempa, Josef, im Ruhestand 59:90
Kirsch, Helmut, 60 Jahre 59:193
erhielt Georg-Agricola-Medaille 59:749
Klein, Hans, Hauptgeschäftsführer der AIF e.V. 59:90
Knizia, Klaus, Präsident des DNK — mit dem Ehrenzeichen des VDI ausgezeichnet 59:528
Sachverständiger in der Enquete-Kommission „Zukünftige Kernenergiepolitik" 59:616
Koch, Hans, 60 Jahre 59:834
Köhle, Herbert, 70 Jahre 59:89
Krämer, Hermann, stellvertretendes Vorstandsmitglied der NWK 59:90
Kretschmann, Willy, gestorben 59:900
Kuhlmann, Albert, Verdienstkreuz 59:749
Lautenbach, Alexander, aus Vorstand der AEG-Telefunken ausgeschieden 59:90
Lehmann, F.W., großes Verdienstkreuz 59:834
Lenz, W., im Ruhestand 59:834
Liebrucks, Manfred, gestorben 59:528
Lindackers, K.H., Honorarprofessor an der TH Aachen 59:749
Mandel, Heinrich, gestorben 59:94
Meister, Rudolf, als Vorstandssprecher der HEW ausgeschieden — aus VGB-Vorstand ausgeschieden 59:90
65 Jahre 59:900
Michaelis, Hans, 65 Jahre 59:671
großes Bundesverdienstkreuz 59:749
Mika, Heinz, 60 Jahre 59:616
von Miller, Rudolf, 80 Jahre 59:997
Mutke, Reinhold, Vorstandsvorsitzender des FDBR 59:616
Noetzlin, Günther, Bundesverdienstkreuz 59:616
Oberlack, Werner, Sprecher des Vorstandes der HEW 59:90
Freiherr von der Osten-Sacken, Joachim, aus Vorstand der AEG-Telefunken ausgeschieden 59:90
Panzer, Herbert, ordentliches HEW-Vorstandsmitglied 59:671
Paul, Herbert, 75 Jahre 59:193
Petry, Heinz, 60 Jahre 59:89
Potthast, Günther, 50 Jahre 59:997
Potthoff, Erich, im Ruhestand 59:749
Rinke, Werner, Vorsitzender des Aufsichtsrats der DWK 59:362
Risse, Fritz, 25 Jahre bei VEW 59:997
Rüter, Klaus, gestorben 59:900
Quack, Rudolf, 70 Jahre 59:528
Sieverding, Franz, im Mannesmann-Vorstand 59:997
Smidt, Dieter, Bundesverdienstkreuz 59:193
Spalthoff, Franz-Joseph, im RWE-Vorstand 59:362
Bundesverdienstkreuz 59:997
Spiegelberg, Friedrich, erhielt Karl-Winnacker-Preis 59:90
Szoldaties, Edith, goldenes Ehrenzeichen 59:193
Schausbreitner, Hans, 50 Jahre 59:671
Schoch, Wilhelm, weiterhin VdTÜV-Vorsitzender 59:528
Schrader, Karl, gestorben 59:749
Stange, Erich, 75 Jahre 59:89
Stevens, Franz, 40 Jahre bei AEG 59:362
Stoy, Bernd, Robert-Mayer-Preis der VDI-Gesellschaft Energietechnik 59:998
Tietz, Hans, gestorben 59:272
Trumpfheller, Rudolf, Dr.-Ing. Ehren halber 59:749
Vetter, Heinz, im Ruhestand 59:528
Vetter, Heinz, Ehrenmedaille des VDI 59:834
Völling, Johannes, Aufsichtsratsvorsitzender der Saarbergwerke AG 59:449
Vogt, Friedrich, 70 Jahre 59:834
Voigt, Karl, 25 Jahre beim RWE 59:901
Vorkauf, Heinrich, 75 Jahre 59:997
Wahl, Hans, erhielt Karl-Wellinger-Ehrenmedaille des VDI 59:362
Wawer, Günter, Geschäftsführer des TÜV Berlin 59:362
Wein, Werner, stellv. Vorstandsmitglied der Stadtwerke Duisburg AG 59:362
Werner, Erich, 75 Jahre 59:449
Wesly, W., gestorben 59:193
Wetjen, Karl August, Aufsichtsratsvorsitzender der Gewerkschaft Auguste Victoria 59:193
im VdTÜV-Vorstand 59:528
Honorarprofessor 59:998
Wild, Martin, Ehrenplakette des VDI 59:362
Wittmann, Gerhard, geschäftsführender Direktor des TÜV Bayern e.V. 59:193
Wolf, Herbert, als Geschäftsführer des TÜV Berlin ausgeschieden — Geschäftsführer des TÜV Baden 59:362
Wolff, Josef, im Ruhestand 59:193
Zaoralek, Johann, 70 Jahre 59:362
Zenz, Rolf, Mitglied der LURGI-Hauptgeschäftsführung 59:90
Ziemann, W., ordentliches Vorstandsmitglied beim RWE 59:362
Zikesch, Carl Herbert, gestorben 59:193

Buchbesprechungen

Adsorptionsverfahren bei der Gas- und Wasserreinigung 59:676
Ausfallwahrscheinlichkeit von Heißdampfbauteilen 59:755
Baustein Sonnenkollektor 59:754
Boiler Fuel Additives for Pollution Reduction and Energy Saving 59:906
Dämmarbeiten an Dampferzeugern 59:529
Dampfkesselbestimmungen 59:90 59:906
Definitionen technischer Begriffe nach DIN 59:450
Deutsches Bundes-Adreßbuch 59:756
DIN English Translation of German Standards 59:270
DIN
— Taschenbuch 4 59:449
— Taschenbuch 10 59:529
— Taschenbuch 28 59:754
— Taschenbuch 2 59:755
Druckverhalten von Großkesselanlagen bei Lastabwurf 59:753
DVS-Berichte Band 51 59:755
Elektrische Kraftwerkstechnik 59:906
Energiehandbuch 59:906
Entkopplung 59:677
Entwicklungen zur Festigkeitssteigerung der Stähle unter besonderer Berücksichtigung der unlegierten und mikrolegierten Baustähle 59:450
Explosionen — Ablauf und Schutzmaßnahmen 59:754
Fachwörter der Kraftwerkstechnik 59:756
Fernheizungen 59:754
Feuerfest-Siliciumcarbid 59:270
Handbook of Industrial Noise Management 59:450
Handbuch für Blitzschutz und Erdung 59:675
Handbuch für Immissionsschutzbeauftragte 59:90 59:756
Hilfsbuch der Elektrotechnik 59:906
Immissionsschutz-Wegweiser 59:753 59:906
Industriefeuerungen 59:676
Informationsschrift Abfallarten 59:617
Jahrbuch der Atomwirtschaft 1978 59:270
Jahrbuch der Wärmerückgewinnung 59:91
Jahrbuch für Bergbau, Energie, Mineralöl und Chemie 1978/79 59:753
Kathodischer Innenschutz von Behältern und Anlagen 59:755
Kernenergie und Risiko 59:529
Kohlevergasung und -hydrierung 59:675
Künftige Entwicklung der Energienachfrage in der Bundesrepublik Deutschland bis zum Jahre 1985 und deren Deckung — Perspektiven bis zum Jahre 2000 59:450
Lexikon der Gastechnik 59:906
Lichtbogenschweißer 59:753
Maschinenschaden 59:906
Materialien zum Immissionsschutzbericht 1977 der Bundesregierung an den Deutschen Bundestag 59:908
Mathematische Methoden der Strömungsmechanik 59:270
Moderne Unfallverhütung, Heft 23 59:754
Möglichkeiten zur Gestaltung umweltfreundlicher Kohlenenergieerzeugungsanlagen 59:529
Naßkühltürme 59:270
Naturwissenschaftliche und ingenieurwissenschaftliche Aspekte der weitergehenden Abwasserreinigung 59:676
Öl- und Gasfeuerungstechnik 59:906
Qualität von Kernkraftwerken aus amerikanischer und deutscher Sicht 59:754
Rohrleitungen in Kraftwerken 59:756
Rohstoff Kohle — Eigenschaften, Gewinnung, Veredelung 59:908
Rückzahlbare Umweltabgabe im Abfallwirtschaftsbereich 59:617 59:906
Sicherheitsbehälter von Kernkraftwerken 59:906
Sicherheitstechnik 59:91 59:753 59:906
Sonnenenergie in Theorie und Praxis 59:754
Schadensfälle 59:450
Stahl-Eisen-Liste 59:449
Stahleisen-Wörterbuch 59:450 59:675
Taschenbuch betrieblicher Immissionsschutz 59:906
Technische Thermodynamik — Grundlagen und Anwendungen 59:752
Untersuchung der Kraftwerksreserve im Verbundsystem 59:908
Untersuchungen über die transsonische Strömung durch Turbinen-Schaufelgitter 59:675
Veredelung von Metalloberflächen 59:617
Verhalten einer geschlossenen Gasturbine bei zeitlich veränderlichen Betriebszuständen 59:755
VDI-Bericht 288 59:270
Wärme-Kraft-Kälte-Kopplung 59:529
Wärmepumpen, Grundlagen und Praxis 59:676
Wärmerückgewinnung und Abwärmeverwertung in der Industrie 59:755
Wege zur Energieversorgung 59:617
Werkstoffkunde der gebräuchlichen Stähle 59:450
Wirbelschichtfeuerung 59:908
Zahlen aus Natur und Technik 59:755

VGB KRAFTWERKSTECHNIK

MITTEILUNGEN DER VGB TECHNISCHE VEREINIGUNG DER GROSSKRAFTWERKSBETREIBER

60. JAHRGANG (1980) • HEFTE 1—12

INTERNATIONALE FACHZEITSCHRIFT FÜR TECHNIK IN WÄRMEKRAFTWERKEN

HERAUSGEBER

VGB TECHNISCHE VEREINIGUNG DER GROSSKRAFTWERKSBETREIBER E.V.

Vorsitzender: Direktor Dipl.-Ing. F.J. Spalthoff, Essen;
Geschäftsführer: Direktor Dr.-Ing. O. Schwarz, Essen.

REDAKTION

Abteilungsdirektor Ing. (grad.) H. Kaes, Essen;
Oberingenieur Dipl.-Ing. A. Kantner, Essen;
Abteilungsdirektor Professor Dr. rer. nat. H. Kirsch, Essen;
Oberingenieur Dr. rer. nat. H. Kittel, Essen;
Abteilungsdirektor Dipl.-Ing. K. Plate, Essen;
Oberingenieur Dipl.-Ing. G. Welten, Essen.

CHEFREDAKTEUR

Oberingenieur Ing. (grad.) H. Bleßmann, Essen.

ANSCHRIFT

VGB TECHNISCHE VEREINIGUNG DER GROSSKRAFTWERKSBETREIBER E.V.
Klinkestraße 27—31, Postfach 103932, 4300 Essen,
Fernruf 198-1, Fernschreiber 0857507 vgb d.

Für den sachlichen Inhalt der Beiträge ist der jeweilige Autor verantwortlich.
Briefe und Manuskripte bitte nur an die Redaktion,
nicht an einzelne Sachbearbeiter.
Für unverlangte Einsendungen übernehmen wir keine Haftung.

WISSENSCHAFTLICHER REDAKTIONSBEIRAT

Professor Dr.-Ing. F. Brandt, Darmstadt;
Professor Dr. techn. D. Johnson, Trondheim;
Professor Ir. J.J.C. van Lier, Delft;
Professor Dipl.-Ing. Dr. techn. W. Linzer, Wien;
Professor Dr. techn. O.I. Martynova, Moskau;
Professor Dr.-Ing. P. Profos, Zürich;
Professor Dr.-Ing. R. Quack, Stuttgart;
Professor Dr. phil. H. Rögener, Hannover;
Professor Dr. rer. nat. R. Schulten, Aachen;
Professor Dipl.-Ing. I.D. Stancescu, Bukarest.

TECHNISCHER REDAKTIONSBEIRAT

Oberingenieur H. Berggren, Malmö;
Direktor Professor Dr.-Ing. H. Brüderlin, Stuttgart;
Direktor Dr.-Ing. H. Krolewski, Dortmund;
Direktor Dr.-Ing. G. Noetzlin, Marl;
Direktor Dr.-Ing. H. Novak, Nürnberg;
Dipl.-Ing. J. Pettersen, Haslev;
Direktor F. Scheurer, Paris;
Direktor Dr.-Ing. E.h. Dipl.-Ing. W. Schoch, Mannheim;
Oberingenieur Ir. G.J. Schoppert, Nijmegen.

VERTRIEB UND ANZEIGENVERWALTUNG

VGB-KRAFTWERKSTECHNIK GMBH, Klinkestraße 27—31, Postfach 103932,
4300 Essen, Fernruf 198-242, Fernschreiber 0857507 vgb d.
Verantwortlich für Vertrieb und Anzeigenteil: R. Rätz.
Anzeigentarif Nr. 20 vom 1. Januar 1979.

ERSCHEINUNGSWEISE

monatlich, außerdem erscheint zeitlich verschoben
eine englische Fassung dieses Heftes

Inhaltsverzeichnis 1980

DIE FOTOS DER VERFASSER FINDEN SIE AUF DEN SEITEN II BIS XIII



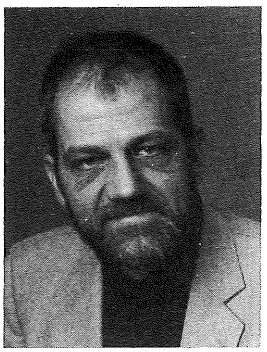
R. Winkel, Eschweiler



J.J. Wolf, Essen



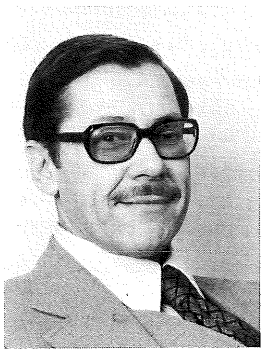
H. Womann,
Ludwigshafen/Rhein



S. Wrage, Bochum



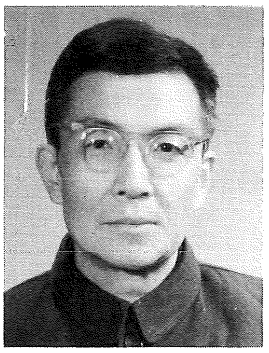
D. Wurz, Karlsruhe



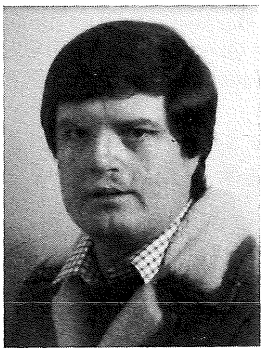
E.L. Zebroski
Palo Alto, Kalifornien/USA



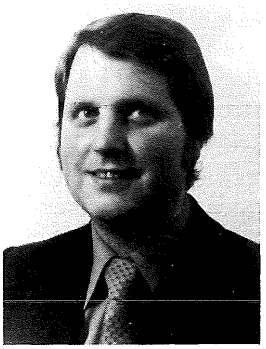
J.L. Zeman, Wien/Österreich



Zhou Qingchang,
Peking/Volksrepublik China



W. Zimmermann, Offenbach



K. Zinke, Dortmund

In den zwölf Heften des Jahrganges 60 sind enthalten:

1	2	3	4	5	6
1—72	73—152	153—248	249—332	333—414	415—506

7	8	9	10	11	12
507—576	577—652	653—732	733—828	829—912	913—1002

Verfasserverzeichnis 1980

Aggernaes, E., siehe Bursik, A.

Albrecht, W., und Pollmann, S.: Neuere Beiträge zum Verschlackungsmechanismus in trockenentaschten Steinkohlefeuerungen 60:90—97

Ambros, R., siehe Paffrath, G.

Andreasen, J.: Rauchgasreinigung durch Sprühabsorption 60:202—208

Asmudis, C. de, Bauch, R., Brovelli, M., Mazzocchi, N., Plog, C., und Weisgerber, P.: Die Korrosion von austenitischem Stahl in fließendem Hochtemperaturwasser 60:214—222

Baer, E., Ernst, G., und Wurz, D.: Einfluß des Windes auf die Strömung im Kamin eines Naturzugkühlturmes 60:875—881

Bagley, R., Powell, B., und Weeks, R.: Planung, Inbetriebsetzung und Betrieb der drei steinkohlegefeuerten 660-MW-Dampferzeuger im Kraftwerk Drax 60:82—90

Barbian, O.A., siehe Schmitz, V.

Barho, W.: Entkohlung und Einschmelzung von Flugstaub 60:970—972

Basby, E.: Pflege und Sauberhaltung meerwassergekühlter, messingberohrter Turbinenkondensatoren 60:138—140

Bauch, R., siehe Asmudis, C. de

Baumann, W., siehe Wallner, F.

Berg, P. von, Krausch, L., und Zimmermann, W.: Ersteinsatz eines freiprogrammierbaren Steuerungssystems bei wiederkehrenden Prüfungen von Reaktorschutzteilsystemen 60:348—358

Berger, C., Ewald, J., Keienburg, K.-H., und Mayer, K.-H.: Sprödbruchsicherheit warmfester Schraubenwerkstoffe 60:321—324

Bitterlich, E.: Die Wirbelschicht-Technologie als Prozeß zur umweltfreundlichen Energie-Erzeugung 60:366—376

Bökemeier, V.: Berechnung von Druckstößen in Dampfleitungen 60:862—866

Bonnell, J.A., Dale, G.C., und Wheatley, B.M.: Folgerungen aus neueren Empfehlungen der ICRP für den Betrieb von Kernkraftwerken 60:526—530

Bosselmann, W., Kittel, H., und Schroeder, H.J.: Die Abhängigkeit zwischen pH-Wert, Lithiumhydroxid- und Borsäure-Konzentration im Primärkreislauf von Druckwasserreaktoren 60:995—999

Braunton, P.N., Flatley, T., Longster, M.J., Middleton, W.R., und Streatfield, R.E.: Neuere Erfahrungen des CEGB mit der Stillstandskonservierung von Kraftwerksanlagen durch Steuerung der chemischen Umgebungseinflüsse 60:47—52

Brost, H.R., und Martinola, F.: Austauschvorgänge in Mischbettfiltern 60:53—62

Brovelli, M., siehe Asmudis, C. de

Brückner, H., siehe Bundgaard, J.

Brunner, G.: Die Energiesituation der Europäischen Gemeinschaft 60:849—851

Buchmüller, H.A.: Feuerraumentaschung für Schmelz- und Trockenfeuerung 60:507—522

Bürgi, R., siehe Tauscher, W.

Bundgaard, J., und Brückner, H.: Umbau von Dampferzeugern großer Leistung von Ölfeuerung auf Kohlefeuerung 60:389

Burgmann, F., Grünschläger, E., und Fichte, W.: Bestimmung sehr kleiner Korrosionsproduktkonzentrationen nach Anreicherung 60:208—213

Bursik, A., Aggernaes, E., Hermann, B., Overmann, L.J., Pflug, H., und Resch, G.: Chemische Gesichtspunkte beim intermittierenden Kraftwerksbetrieb — Hinweise für Planung und Betrieb 60:486—493

Bursik, A., und Richter, R.: Hinweise für die Praxis der Stillstandskonservierung von Dampferzeugern 60:714—718

Bursik, A., und Buseck, S.: Untersuchungen über das Verhalten von Ölaschebestandteilen bei der rauchgasseitigen Reinigung von ölbefeuerten Kesseln 60:780—787

Bursik, A., siehe Spindler, K.

Buseck, S., siehe Bursik, A.

Couture, J.: Die Wiederaufarbeitung von Brennelementen aus Leichtwasserreaktoren in der Anlage La Hague 60:264—266

Czermak, H., siehe Pöhnl, H.

Dale, G.C., siehe Bonnell, J.A.

Deutsch, J., siehe Kautz, K.

Diekmann, H., und Saß, J.: Beitrag zur weiteren Optimierung der Dampfumformtechnik 60:604—609

Dieterich, L.: Maßnahmen zur Störfallverhinderung 60:423—428

Dittrich, H., Ernst, G., und Wurz, D.: Modelle zur Berechnung des Betriebsverhaltens und der Emission von Naturzug-Naßkühltürmen 60:788—793

Dörich, J., und Junkers, G.: Straßenbau mit hydraulisch gebundener Tragschicht auf Flugstaubbasis 60:384—389

Dörr, A., siehe Schroeder, H.J.

Drucks, G.: Rechnerische Simulation des dynamischen Verhaltens eines Kraftwerksblockes nach Turbinenschnellschluß 60:23—27

Edye, E.: Primärenergie für morgen — eine Herausforderung für uns alle? 60:917—920

Eiermann, A.: Die Gasturbine Typ 13 — Ergebnisse eines vielseitigen industriellen Einsatzes 60:358—366

Elend, U.: Experimentelle Untersuchungen über das Ausbreitungsverhalten von Rauchgasen am BEWAG-Kraftwerk Lichterfelde 60:541—545

Ernst, G., siehe Baer, E.

Ernst, G., siehe Dittrich, H.

Ewald, J., siehe Berger, C.

Falgenhauer, G.: Beitragsmöglichkeiten der Speisewasser-, Kondensat- und Anzapfdampfströme zur schnellen Leistungsänderung fossil befeuerter Kraftwerksblöcke 60:18—23

Fichte, W., siehe Burgmann, F.

Fischer, P., siehe Spindler, K.

Flatley, T., siehe Braunton, P.N.

Florjancic, D.: Mindestzulaufhöhe für Speisepumpen 60:952—958

Friedewald, W., siehe Rick, E.

Gabrysch, G.: Planung und Betrieb des 25-MW-Gasturbinenblockes im Heizkraftwerk Bielefeld 60:475—486

Gaessler, H.: Transport von Kohle und Verbrennungsrückständen durch Rohrleitungen 60:684—695

Gaßner, K.-H., und Haußmann, H.: Das Kernkraftwerk Gundremmingen (KRB II), Block B und Block C 60:1—11

Gawande, H.: Das Kernkraftwerk Unterweser 60:938—952

Gebhardt, W., siehe Schmitz, V.

Gersdorff, B. von: Kraftwerke in Berlin 1920 bis 1980 — Elektrizität und Wärme im Energieverbund 60:842—848

Glahe, E.: Betriebserfahrungen mit Schmelzfeuerungen 60:777—780

Gocht, D.: siehe Kern, J.

Goossens, W., und Grabenhorst, U.: Einsatz eines Schlauchfilters hinter einem Schmelzkammerkessel 60:12—18

Grabenhorst, U., siehe Goossens, W.

Grünschläger, E., siehe Burgmann, F.

Gutberlet, H., siehe Mittelbach, G.

Gysel, W., siehe Mayer, K.-H.

Häusermann, R., siehe Schaub, Th.

Hardung von Hardung, H.: Methodik zur Verbesserung der Arbeitsverfügbarkeit 60:170—174

Harries, R.R., und Ray, N.J.: Der Mischvorgang in Ionenaustausch-Mischbetten 60:718—723

Hauser, H., Kopp, L., und Spähn, H.: Ist der gegenwärtige Stand der Technischen Regeln für druckführende Bauteile unzulänglich? 60:153—163

Haußmann, H., siehe Gaßner, K.-H.

Hebel, G., und Roeder, A.: Dampfturbinen der 80er Jahre 60:856—861

Heimerdinger, H.: Eine neue Bauweise für das Kesselgerüst beim Kraftwerk Mehrum 3 60:562—569

Hempelmann, R., siehe Rentz, O.

Henning, Th.: Kann die Kraftwerksplanung mit Hilfe der Systemtechnik verbessert werden? 60:163—170

Herbst, H.-Chr., und Maaß, P.: Das 290-MW-Luftspeicher-Gasturbinenkraftwerk Huntorf 60:174—187

Hermann, B., siehe Bursik, A.

Hirschfelder, G.: Stand der Entwicklung des Hochtemperaturreaktors 60:459—466

Hirschfelder, G.: Probleme der Systemkopplung bei der Integration der Kohlevergasung in das Kraftwerk 60:530—535

Hlubek, W.: Betriebserfahrungen mit Leichtwasser-Kernkraftwerken 60:253—258

Hochmüller, K., und Wandelt, E.: Erhaltung der Deionatqualität in Vorratsbehältern 60:227—229

Höller, P., siehe Schmitz, V.

Horn, W., Buss, E., und Probst, W.: Neue Aspekte der Kühlwasserpflege im Hinblick auf den Einfluß und die Kontrolle von Systemverschmutzungen 60:140—145

Huybregts, W.M.M., siehe Osch, G.A.A. van

Jacobs, J., siehe Lewandowski, R.

Junkers, G., siehe Dörich, J.

Kakl, J., siehe Schröfelbauer, H.

Kalwa, G.: Schweiß- und Bruchmechanikversuche an Proben und Bauteilen aus Werkstoff X 20 CrMoV 12 1 bei Wanddicken bis 270 mm 60:319—321

Kandel, J., siehe Leblond, M.

Kantner, A.: Trocken- oder Schmelzfeuerung für Steinkohle? 60:98—105

Kautz, K., Pe'er, A., und Deutsch, J.: Erfahrungen bei der Inbetriebnahme einer Kühlwasserfilter- und Kondensator-Reinigungsanlage unter Brackwasserbedingungen 60:801—805

Keienburg, K.-H., siehe Berger, C.

Keller, W.: Neue Wege bei Planung und Begutachtung von Kernkraftwerken 60:417—422

Kelp, F.: Planung und Untersuchungsergebnisse einer indirekten Trockenkühlung für 1200-MW-DWR-Kernkraftwerke 60:114—120

Kern, J., und Gocht, D.: Wärmerohre zur Rauchgaswiederaufwärmung hinter Naßentschwefelungsanlagen von Großkraftwerken 60:867—875

Kirsch, H., Schirmer, U., und Schwarz, G.: Die Herkunft der Spurenelemente Zink, Cadmium und Vanadium in Steinkohlen und ihr Verhalten bei der Verbrennung 60:814—824

Kittel, H., siehe Bosselmann, W.

Kittel, H., siehe Renn, R.

Klein, G.: Bauunterbrechungen bei Kernkraftwerken und ihre Folgen im Bausektor 60:493—499

Kley, H., und Roser, G.: Das Konzept der Basissicherheit für Kernkraftwerke 60:933—937

Klijn, A.J.: Betriebserfahrungen mit hoch wirtschaftlichen Gasturbinen in Gasfernleitungssystemen 60:763—767

Kluge, M.: Mechanische und hydraulische Stoßbremsen 60:622—628

Kneissl, P., und Obermayer, H.: Flugascheverwertung in Österreich 60:629—633

Knizia, K.: Zum Abschluß der 11. Weltenergiekonferenz in München 60:676—679

Knizia, K.: Tagesfragen der Kraftwerkstechnik 60:751—756

Kopp, L., siehe Hauser, H.

Kowalczyk, U., und Tichatschke, J.: Praktische Versuche zur Ausfällung gelöster Schwermetalle aus Abwässern von Müllverbrennungsanlagen 60:723—726

Krämer, H.: Projekt eines schwimmenden Gasturbinenkraftwerks 60:920—924

Krausch, L., siehe Berg, P. von

Kretzer, R., und Schluck, K.: Verbesserung der Abwasserqualität durch technische und/oder chemische Maßnahmen 60:230—234

Krolewski, H., und Täubert, U.: Aktuelle Fragen zu Abwasser und Abfall bei der Kraftwerksplanung 60:405—410

Kußmaul, K., und Blind, D.: Schweiß- und Bruchmechanikversuche an Proben und Bauteilen aus Werkstoff X 20 CrMoV 12 1 bei Wanddicken bis 270 mm 60:305—319

Kußmaul, K.: Aufgaben, Ziele und erste Ergebnisse des Forschungsprogramms Komponentensicherheit 60:438—449

Leblond, M., und Kandel, J.: Die Inbetriebnahme des Kernkraftwerkes Fessenheim 60:249—253

Lehmann, H.: Betriebsüberwachung und Revisionen von Kohlenmühlen 60:377—384

Leikert, K., siehe Michelfelder, S.

Lewandowski, R., und Jacobs, J.: Erweiterung der Verwertungsmöglichkeiten von Verbrennungsrückständen 60:972—985

Lier, J.J.C. van, und Paassen, C.A.A. van: Überblick über die Forschungsarbeit „Einspritzkühlung" an der Technischen Universität Delft 60:958—969

Longster, M.J., siehe Braunton, P.N.

Maaß, P., siehe Herbst, H.-Chr.

Majoor, E.B.M.: Betriebsverhalten der ersten drei Nachladungen (125 Standard-Brennelemente) und 29 Sonder-Brennelemente im Siedewasserreaktor Dodewaard 60:523—526

Manea, D., siehe Pop, M.

Marnet, Chr.: Dampferzeugerschaden am AVR-Kraftwerk mit Hochtemperaturreaktor 60:345—348

Marquardt, K.: Praktische Erfahrungen mit Umkehrosmose-Anlagen 60:222—227

Martinola, F., siehe Brost, H.R.

Mayer, K.-H., Gysel, W., Trautwein, A., und Tremmel, D.: Die Anwendung des warmfesten Stahlgusses im Dampfturbinenbau — seine Anforderungen und Eigenschaften 60:398—405

Mayer, K.-H., siehe Berger, C.

Mayr, A.: Besonderheiten des Betriebes von Kernkraftwerken im Vergleich zu konventionellen thermischen Kraftwerken 60:928—933

Mazzocchi, N., siehe Asmudis, C. de

Michelfelder, S., und Leikert, K.: Der Stufenmischbrenner und Betriebsergebnisse mit Kohlenstaubbrennern für niedrige NO_x-Emissionen 60:105—113

Middleton, W.R., siehe Braunton, P.N.

Mittelbach, G., und Gutberlet, H.: Die Rauchgasentschwefelung im Kraftwerk Scholven F — Inbetriebnahme und erste Erfahrungen 60:193—202

Müller, D., siehe Spindler, K.

Mutke, R.: Perspektiven der konventionellen und nuklearen Dampferzeugung 60:851—856

Nitsch, D., und Schmitz, H.: Verfügbarkeit von Wärmekraftwerken 60:571—574

Noetzlin, G.: Staat und Wirtschaft bei der technischen Regelsetzung — Das Beispiel: Der Deutsche Dampfkesselausschuß 60:837—842

Obermayer, H., siehe Kneissl, P.

Osch, G.A.A. van, und Huybregts, W.M.M.: Eine Referenzelektrode für Potentialmessungen in Hochtemperatur- und Hochdruckwasser 60:280—283

Oschmann, W.: Probleme in Kühlsystemen wassergekühlter Generatoren 60:65/66

Overman, L.J., siehe Bursik, A.

Paassen, C.A.A. van, siehe Lier, J.J.C. van

Paffrath, G., und Ambros, R.: Aktivierungsprodukte und Dosisleistung am Beispiel des Kernkraftwerkes Biblis, Block A 60:121—124

Paffrath, G., siehe Schroeder, H.J.

Peché, D.: Physische und psychische Eignungskriterien für Kraftwerkspersonal 60:297—299

Pe'er, A., siehe Kautz, K.

Pessel, K.: Die Zerkleinerung von Abfällen vor der Müllverbrennung 60:882—886

Pflaumbaum, H.J.: Neuere Versuchsergebnisse zur Lärmbekämpfung bei Naßkühltürmen unter Anwendung von Primärmaßnahmen 60:284—290

Pflug, H., siehe Bursik, A.

Plog, C., siehe Asmudis, C. de

Podhorsky, M.: Ein Beitrag zur Ermittlung der instationären Wärmespannungen in Rohrplatten 60:617—622

Pöhnl, H., und Czermak, H.: Höchste Ausnutzung von Erdgas in einem modernen Gasturbinen-Abhitzeprozeß 60:188—193

Pollmann, S., siehe Albrecht, W.

Pop, M., Manea, D., und Ursu, E.: Sicherheitsgesichtspunkte bei der Auslegungslebensdauer von Dampferzeugern bezüglich verschiedener Betriebsereignisse 60:891—895

Powell,B., siehe Bagley, R.

Qingchang, Zhou: Energieindustrie in der Volksrepublik China 60:925—928

Ray, N.J., siehe Harries, R.R.

Reidick, H.: Untersuchungen an Flammenüberwachungen für Kohlenstaubfeuerungen 60:536—541

Renn, R., Kittel, H., und Schlizio, H.: Umstellung der Speisewasserversorgung in einem österreichischen Industriekraftwerk — Veranlassung und Ausführung 60:555—562

Rentz, O., und Hempelmann, R.: NO_x-Minderungstechnologien im Kostenvergleich 60:985—995

Resch, G., und Zinke, K.: Untersuchungen über den Einfluß des pH-Wertes auf die Korrosion von Messing 60:62—64

Resch, G., siehe Bursik, A.

Rick, E., Friedewald, W., und Zillich, H.: Systematische Planung von Kraftwerkswarten 60:767—777

Ringeis, W.: Stand der Entwicklung des Schnellen Brutreaktors (SNR 300) 60:449—459

Richter, R., siehe Bursik, A.

Roeder, A., siehe Hebel, G.

Roofthooft, R.: Die Behandlung von radioaktivem Abwasser in Kernkraftwerken 60:124—126

Roser, G., siehe Kley, H.

Ruscheweyh, H., und Vodicka, V.: Systeme zur Mischung der Teilluftströme in einem Naß-/Trockenkühlturm 60:709—714

Sachsse, H.: Der Streit um die Technik 60:743—749

Saß, J., siehe Diekmann, H.

Sharan, H.N., und Vasudevan, R.: Forschungsergebnisse über Kohleverwendung in Kraftwerken 60:266—276

Spähn, H., siehe Hauser, H.

Spalthoff, F.J.: Ausblick in die Kraftwerkstechnik der 80er Jahre 60:756—759

Spalthoff, F.J.: Energiewirtschaft — Aufgabe und Herausforderung für den Ingenieur 60:913—917

Spangenberg, W.: Die Müllverbrennungsanlage Hameln 60:633—644

Spiegelberg, F.: Das sechste Jahrzehnt der VGB 60:653—658

Spindler, K., Bursik, A., Fischer, P., und Müller, D.: Verhalten und Analytik von 2,6-Di-tert.-butyl-4-methylphenol, eines der Alterungsinhibitoren in Turbinenöl 60:41—47

Schaub, Th., und Häusermann, R.: Projekt zur Abwärmenutzung für Intensivkulturen 60:35—41

Schiffers, A.: Ein Beitrag zum Einsatz von Doppelstromfiltern für die Kondensatreinigung 60:552—555

Schilling, R.: Möglichkeiten zur wirtschaftlichen Optimierung von Kraftwerksteilsystemen mit Hilfe von Zuverlässigkeitsuntersuchungen 60:695—705

Schirmer, U., siehe Kirsch, H.

Schlizio, H., siehe Renn, R.

Schloßhauer, H.: Betriebserfahrungen mit einem kohlenstaubbefeuerten 100-t/h-Dampfkessel 60:680—683

Schluck, K., siehe Kretzer, R.

Schmitz, V., Barbian, O.A., Gebhardt, W., und Höller, P.: Ultraschallprüfung schwerer Komponenten 60:612—617

Schmitz, H., siehe Nitsch, D.

Schnellenbach, G., und Wrage, S.: Verankerungstechnik im Kraftwerksbau 60:895—902

Schöpplein, W.: Hydrodynamische Gleitringdichtungen 60:706—709

Schroeder, H.J., Dörr, A., und Paffrath, G.: Chemie im Kernkraftwerk Biblis — Betriebserfahrungen 60:126—137

Schroeder, H.J., siehe Bosselmann, W.

Schröfelbauer, H., und Kakl, J.: Probleme bei braunkohlegefeuerten Dampferzeugern durch ungleichmäßige Temperaturverteilung in Endüberhitzern und Zwischenüberhitzern — Ursache und Abhilfe 60:28—35

Schüller, K.-H.: Beiträge zur Kraft-Wärme-Kopplung 60:276—279

Schuëller, G.I.: Risikoanalyse und Akzeptanz von Großkraftwerken durch die Öffentlichkeit 60:805—813

Schumacher, H.: Das Kernkraftwerk Leibstadt 60:333—344

Schwarz, G., siehe Kirsch, H.

Schwarz, O.: Forschung und Entwicklung auf dem Gebiet der Kraftwerkstechnik im Rahmen der VGB-Arbeit 60:578—584

Schwarz, O.: Kurzbericht über die Tätigkeit der VGB 1979/1980 60:659—675

Schwarz, O.: 60 Jahre VGB — Gedanken zur Gemeinschaftsarbeit 60:829—836

Stäbler, K.: Einführung in die Basissicherheit 60:428—437

Streatfield, R.E., siehe Braunton, P.N.

Streiff, F., siehe Tauscher, W.

Täubert, U., siehe Krolewski, H.

Tauscher, W., Streiff, F., und Bürgi, R.: Statisches Mischen von Gasströmen in großen Leitungen 60:290—296

Tichatschke, J., siehe Kowalczyk, U.

Tönnies, U.: Immissionsprognosen — praktische Anwendung bei Kraftwerken 60:644—649

Trautwein, A., siehe Mayer, K.-H.

Tremmel, D., siehe Mayer, K.-H.

Trojanowskij, B.M.: Dampfturbinen in der Sowjetunion und Bilanz ihres Betriebsverhaltens 60:585—603

Unseld, H.: Erfahrungen mit der Naßreinigung von Gasturbinen 60:760—763

Ursu, E., siehe Pop, M.

Vasudevan, R., siehe Sharan, H.N.

Vodicka, V., siehe Ruscheweyh, H.

Wallner, F., und Baumann, W.: Metallurgische Problemlösung bei der Fertigung von Kraftwerks-Komponenten 60:300—305

Wandelt, E., siehe Hochmüller, K.

Weeks, R., siehe Bagley, R.

Weisgerber, P., siehe Asmudis, C. de

Weisser, H.: Betriebserfahrungen mit dem neuen Laugeverbrennungskessel in Lenzing mit Hinweisen auf die ebenfalls neue MgO-SO_2-Rückgewinnungsanlage 60:73—81

Wheatley, B.M., siehe Bonnell, J.A.

Winkel, R.: Rohrleitungen, Behälter und Pumpengehäuse aus glasfaserverstärktem Kunststoff (GFK) 60:609—612

Wolf, J.J.: Die neuen Gasturbinen der AEG-Kanis vom Typ 6001 B und 9001 E 60:466—475

Womann, H.: Die neue Rückstandsverbrennungsanlage der BASF 60:886—890

Wurz, D., siehe Baer, E.

Wurz, D., siehe Dittrich, H.

Zebroski, E.L.: Der Unfall von Three Mile Island 60:259—264

Zeman, J.L.: Beurteilung von Spannungsanalysen 60:569—571

Zillich, H., siehe Rick, E.

Zimmermann, W., siehe Berg, P. von

Zinke, K., siehe Resch, G.

Sachverzeichnis 1980

Abfallbeseitigungsgesetz 60:405

Abgasreinigung, NO_x 60:985—995

Abhitzekessel 60:475—486

Abhitzeprozeß mit Gasturbine, Block Korneuburg B 60:188—193

Ablagerung aus der Atmosphäre 60:546

Absetzgeschwindigkeit bei Fällungen 60:726

Abwärmenutzung für Intensivkulturen 60:35—41

Abwasser, 60:405—410
- radioaktives, Behandlung 60:124—126
- und Schlammabhandlung bei Rauchgaswäscher 60:890
- Verbesserung durch technische und/oder chemische Maßnahmen 60:230—234

Abwasserabgabengesetz 60:405—410

Aktivierungsprodukte in einem DWR-Kernkraftwerk (Biblis, Block A) 60:121—124

Alkalische Fahrweise
- bei wassergekühlten Generatoren 60:65/66
- im Primärkreislauf von Druckwasserreaktoren 60:995—999

Allgemein anerkannte Regeln der Technik (nach WHG) 60:406

Alterung von Turbinenöl, Inhibition 60:41—47

Ammoniak, Einfluß auf die Korrosion von Messing 60:62—64

Amplituden — Laufzeit — Ortskurven 60:612—617

Anbackungen 60:197

Anforderungen der Netzseite für das Betriebsverhalten von konventionellen Kraftwerksblöcken 60:18—23

Anlagenbeschreibung
- Korneuburg B 60:188—193
- Kernkraftwerk Leibstadt 60:333—348
- Gundremmingen KRB II B und C 60:1—11
- Kernkraftwerk Unterweser 60:939—952

Anordnung von Bedienelementen in der Warte 60:773—775

Arbeitsausnutzung von Wärmekraftwerken 1979 60:571—574

Arbeitssicherheit im Kraftwerk 60:837—842

Arbeitsverfügbarkeit
- von Kraftwerken, Methodik zur Verbesserung 60:170—174
- von Wärmekraftwerken 1979 60:571—574

Asche, Erosion durch 60:266—276

Ascheanalysen 60:93—97 60:629

Aschefließverhalten 60:778

Ascheumlauf bei Steinkohlenfeuerungen 60:509

ATV-Regelwerk 60:723
Aufbereitung von Kühlturmzusatzwasser 60:409
Aufgabe der Technik 60:743—749
Ausbildung 60:653—658
Ausbreitung von Rauchgasen 60:541—545 60:545—548 60:644—649
Ausbreitungsklassen 60:644 60:544
Ausbreitungsrechnung 60:542 60:545 60:644
Auslegungslebensdauer 60:891—895
Austenitischer Stahl, Korrosion in Hochtemperaturwasser 60:214—222
AVR-Kraftwerk — Dampferzeugerschaden 60:345—348
Axiale Gleitringdichtungen 60:706—709

Basissicherheit 60:428—437 60:933—937
Berechnung
— von Druckstößen in Dampfleitungen 60:862—866
— von Rohrplatten 60:617—622
Berliner Kraftwerke 1920 — 1980, Elektrizität und Wärme im Verbund 60:842—848
Beschickungseinrichtungen bei der Rückstandsverbrennung 60:886
Betonherstellung mit Flugasche 60:630—633
Betonzusatzstoff 60:972—985
Betrieb von Kernkraftwerken — Besonderheiten des Betriebes im Vergleich zu konventionellen Kraftwerken 60:928—933
Betriebsbeauftragte für Abfall 60:409
Betriebserfahrungen
— bei der Wiederaufarbeitung in La Hague 60:264—266
— mit Leichtwasserreaktoren 60:253—258
Betriebsüberwachung von Kohlenmühlen 60:377—384
Betriebsverhalten
— der Brennelementnachladungen 60:523—526
— von Schmelz- und Trockenfeuerung im Vergleich 60:101—103
BEWAG-Kraftwerke 60:842—848
Bezugselektrode für Potentialmessungen 60:280—283
Blockregelung, schnelle, durch Speisewasser-, Kondensat- und Anzapfdampfstrombeeinflussung 60:18—23
Braunkohlebefeuerte Dampferzeuger 60:28—34
— Rohrschäden durch ungleichmäßige Temperaturverteilung 60:28—35
— Rohrschäden: Ursache und Abhilfemaßnahmen 60:28—35
— Temperaturverteilung in Endüberhitzern und Zwischenüberhitzern 60:28—35
Brennelemente
— SWR 60:523—526
— Wiederaufarbeitung in La Hague 60:264—266
Brennkammern für Steinkohlenfeuerungen, Bemessungskriterien 60:91/92
Brennstoffeigenschaften von Steinkohle, Einfluß auf die Wahl von Schmelz- oder Trockenfeuerung 60:100/101
Brennstoffeinsparung bei Fernwärmeauskopplung aus einem Kondensationskraftwerk 60:276—279
Brennstoffkreislauf von Schnellen Brütern 60:449—459
Brennstoff-Stickstoffgehalt von Saarkohle 60:109
Brennstoffversorgung für einen 100-t/h-Dampfkessel mit Kohlenstaubfeuerung 60:680—683
Bruchmechanikversuche X 20 CrMoV 12 1 60:305—324

Cadmium in Steinkohlen 60:814—824
Calciumsulfit 60:193
Charakteristikenverfahren für Druckstoßberechnungen 60:862—866
Chemie, Betriebserfahrungen im Kernkraftwerk Biblis 60:126—137
Chemiefaser Lenzing AG
— Laugeverbrennungskessel 60:73—81
— MgO-SO_2-Rückgewinnungsanlage 60:73—81
Chemische Bestandteile von Ölaschen 60:780—788
CO-Konzentration im Feuerraum bei Stufenmischbrenner 60:111
Conservation Commission 60:913—917

Dampf, VGB-Richtlinien (Ausgabe Oktober 1980) 60:793—800
Dampferzeuger
— Auslegungslebensdauer 60:891—895
— Perspektiven der konventionellen und nuklearen Dampferzeugung 60:851—856
— Stillstandskonservierung 60:714—718
Dampfkesselausschuß 60:837—842
Dampfkesselverordnung 60:837—842
Dampfturbinen
— Bauteile 60:585—603 60:856—861
— Betriebserfahrungen 60:585—603
— Einheitenleistung 60:856—861
— Entwicklungsziele 60:856—861
— in der UdSSR 60:585—603
— Schäden 60:585—603
— Wirkungsgradverbesserung 60:856—861
— Wirtschaftlichkeit 60:585—603
Dampfturbinenbau, Stahlguß 60:398—405
Dampfumformtechnik 60:604—609
Dampfumformventil-Versuche 60:604—609
DDA-Mitteilungen 60:235—239
Dehnung, Dampferzeuger 60:891—895
Dehnungswechselverhalten von Stahlguß 60:398—405
Deionat, Qualitätserhaltung beim Speichern 60:227—229
Deposition siehe Ablagerung
Differenzenverfahren für Druckstoßberechnungen 60:862—866
Diffusions-(Dispersions-)Experimente 60:542

Doppelstrom-Mischbettfilter zur Kondensatreinigung 60:552—555

Dosisleistung durch Aktivierungsprodukte in einem DWR-Kernkraftwerk 60:121—124

Drehrohrofen zur Rückstandsverbrennung 60:887

Drosselkalorimeter 60:201

Druckfestigkeit, Beton 60:972—985

Druckführende Umschließung im Kernkraftwerk 60:438—449

Druckstöße in Dampfleitungen, Berechnung 60:862—866

Druckwasserreaktoren
— Aktivierungsprodukte und Dosisleistung in Biblis, Block A 60:121—124
— Chemie im Kernkraftwerk Biblis 60:126—137
— chemische Fahrweise des Primärkreislaufes 60:995—999

Druckverlust von Gewebefiltern 60:17

Durchsatzleistung von Müllzerkleinerungsanlagen 60:882—886

Dynamisches Verhalten eines Kraftwerksblockes nach Turbinenschnellschluß, Simulation 60:23—27

Eignungskriterien, physisch und psychisch 60:297—299

Einleitungsstandards (b. Abwässern) 60:406

Einschmelzzyklon 60:970—972

Einspritzkühlung
— Forschungsarbeit 60:958—969
— Einspritzung 60:958—969
— Verdampfung 60:958—969
— Mischung 60:958—969

Eisen, Bestimmung sehr kleiner Konzentrationen 60:208—213

Eisen- und Kupfergehalte bei intermittierendem Betrieb 60:486—493

Eisensulfat, Dosierung bei Meerwasserkühlung 60:138—140

Emissionen
— bei Müllzerkleinerungsanlagen 60:882—886
— bei der Wirbelschichtfeuerung 60:370/371
— von Schmelz- und Trockenfeuerungen 60:104

Endprodukt der Rauchgasentschwefelung 60:207

Energiequellen 60:913—917

Energiesituation der Europäischen Gemeinschaft 60:849—851

Energieversorgung 60:676—679

Energiewirtschaft 60:913—917

Entaschungssysteme 60:511—522

Entschwefelungsgrad 60:199

Entwicklungstendenzen
— der Kraftwerkstechnik in den 80er Jahren 60:756—759
— Stand der Energieindustrie in der Volksrepublik China 60:925—928

EPOS — Electric Power on Sea 60:920—924

Erdgas, Ausnutzung von in einem modernen Gasturbinen-Abhitzeprozeß 60:188—193

Erosionswerte von Feuerraumtrichterasche 60:507/508

Ersteinsatz eines freiprogrammierbaren Steuerungssystems bei wiederkehrenden Prüfungen von Reaktorschutzteilsystemen 60:348—358

Europäische Gemeinschaft, Energiesituation 60:849—851

Evakuierungstrocknung des Primärkreises beim AVR 60:345—348

Fehlentwicklungen in der Kraftwerkstechnik der 80er Jahre 60:759

Fehler im Stahlguß 60:398—405

Feinkornbaustähle 60:300—305

Ferntransport in der Atmosphäre 60:545—548

Fernwärmeauskoppelung aus Kondensations-Blockeinheiten 60:276—279

Fessenheim — Inbetriebnahme des Kernkraftwerkes 60:249—253

Feuerraumentaschung 60:507—522

Feuerungstechnik
— Kohle 60:266—276
— NO_x-Minderung 60:985—995

Flammenüberwachung an Kohlenstaubfeuerungen, Untersuchungen 60:536—541

Flockungs-Fällungsverfahren
— Behandlung von radioaktivem Abwasser 60:124—126
— bei der Abwasserbehandlung 60:230—234

Flugstaub
— Einschmelzen von 60:970—972
— Gehalte an Zn, V, Cd 60:814—824
— Verwendung 60:384—389 60:629—633 60:631—633

Flugtriebwerke für stationäre Gasturbinen 60:763—767

Fokussierende Prüfköpfe 60:612—617

Forschung, Kraftwerkstechnik 60:266—276 60:578—584

Freilandheizung durch Abwärme 60:35—41

Gaschromatographie zur Untersuchung von Turbinenöl 60:41—47

Gasmischer von Sulzer 60:290—296

Gasströme, Mischen 60:290—296

Gasturbinen
— Abhitzeprozeß 60:188—193 60:475—486
— Bauteile 60:466—475 60:475—486
— Betriebserfahrungen 60:358—366 60:475—486
— Entwicklung 60:466—475
— in Gasfernleitungen 60:763—767
— HKW Bielefeld 60:475—486
— Kombi-Prozeß 60:530—535

— Konstruktion 60:358—366
— Luftspeicherkraftwerk 60:174—187
— Projekte 60:466—475
— Prozeßschaltung 60:475—486
— schwimmendes Kraftwerk 60:920—924
— Squeezefilm-Lager 60:763—767
— Typ 13 60:358—366
— Typ 6001 B und 9001 E 60:466—475
— Verdichterreinigung 60:760—763

Gasturbinenanlagen, Zeit-, Arbeitsverfügbarkeit und Ereigniszuverlässigkeit 1979 60:571—574

Gauß-Verteilungen (bei Ausbreitungsrechnungen) 60:543 60:546

Gemeinschaftsarbeit 60:829—836

Genauigkeitsuntersuchungen nach DIN 18 723 60:902—905

Genehmigungsgesichtspunkte freiprogrammierbarer Systeme 60:357/358

Genehmigungsverfahren für das Kernkraftwerk Unterweser 60:939—952

Generatorkühlung mit Wasser 60:65/66

Gewächshausheizung der Abwärme 60:35—41

Gewässerschutz-Beauftragte 60:407

Gewässerstandards 60:406

Gewebefilter hinter einem Schmelzkammerkessel 60:12—18

Gips 60:193—202

Glasfaserverstärkter Kunststoff (GFK) für Rohrleitungen und Behälter 60:609—612

Gleitringdichtungen, hydrodynamisch 60:706—709

Glühverlust 60:972—985

Granulat aus Trockenfeuerungen 60:970—972

Grenzwerte im ATV Regelwerk 60:723

Gundremmingen, Kernkraftwerk, Block B und C 60:1—11

Hauptkühlmittelpumpen, Dosisleistung durch Aktivierungsprodukte in Biblis, Block A 60:121—124

Heat pipes siehe Wärmerohre

Heizflächenbelastungen von öl- und kohlegefeuerten Dampferzeugern 60:394—397

Heizkraftwerk in Zusammenwirkung mit Wärmepumpen 60:276—279

Hochtemperaturreaktor
— Stand der Entwicklung und weitere Aussichten 60:459—466
— Kraftwerk AVR, Dampferzeugerschaden 60:345—348

Hochtemperaturwasser, Korrosion von austenitischem Stahl 60:214—222

Hydraulische Stoßbremsen 60:622—628

Hydrodynamische Gleitringdichtungen 60:706—709

ICRP 60:526—530

Immissionsprognosen 60:644—649 60:541—545 60:545—548

Inbetriebnahme des Kernkraftwerkes Fessenheim 60:249—253

Incoloy 800, Polarisationskurven 60:280—283

Inhibitor gegen Alterung von Turbinenöl 60:41—47

Intensivkulturen, Abwärmenutzung 60:35—41

Intermittierender Kraftwerksbetrieb, Auswirkungen auf die Speisewasserqualität 60:486—493

Investitionskosten
— Gewebefilter und Elektrofilter 60:18
— NO_x-Minderung 60:985—995

Ionenaustauscher,
— Austauschvorgänge und -gleichgewichte 60:53—62
— Mischvorgang in Mischbetten 60:718—723
— Papierfilter für die Wasseranalyse 60:208—213

Ionenschlupf an Mischbettaustauschern 60:718—723

Jahresmittelwerte der Immission 60:645

Karbonatisierung, Beton 60:972—985

Kavitation bei Pumpen 60:952—958

Kerbschlagbiegeversuch X 20 CrMoV 12 1 60:305—324

Kerbschlagzähigkeits-Übergangstemperatur; Feinkornbaustähle 60:300—305

Kernkraftwerk
— Fessenheim — Inbetriebnahme 60:249—253
— Gundremmingen Block B und C 60:1—11
— Kalkar (SNR 300) 60:449—459
— Leibstadt 60:333—348
— Unterweser 60:938—952

Kernkraftwerke
— Aktivierungsprodukte und Dosisleistung in Biblis, Block A 60:121—124
— Arbeitsverfügbarkeit und Arbeitsausnutzung 1979 60:571—574
— Bauunterbrechungen 60:493—499
— Begrenzung der Strahlendosis 60:526—530
— Behandlung von radioaktivem Abwasser 60:124—126
— Betriebserfahrungen mit LWR 60:253—258
— Chemie im DWR-Kernkraftwerk Biblis 60:126—137
— chemische Fahrweise des Primärkreislaufes von Druckwasserreaktoren 60:995—999
— Komponentensicherheit 60:438—449
— Maßnahmen zur Störfallverhinderung 60:423—428
— Planung und Begutachtung 60:417—422

Kerntechnik 60:653—658
— Basissicherheit 60:428—437
— Störfallverhinderung 60:423—428

Kesselgerüst; neue Kesselgerüstbauweise beim Kraftwerk Mehrum 3 60:562—569

Kesselkonstruktion bei Schmelz- und Trockenfeuerung 60:103

Kesselwasser, VGB-Richtlinien (Ausgabe Oktober 1980) 60:793—806

Klärung von Abwasser 60:230—234

Kohlenmühlen, Betriebsüberwaehung und Revision 60:377—384

Kohlenstaubfeuerung für einen 100-t/h-Dampfkessel 60:680—683

Kohlevergasung 60:266—276 60:530—535

Kohleverwendung 60:266—276

Kohletransport durch Rohrleitungen 60:684—695

Kombi-Prozeß
— Kohlevergasung 60:530—535
— Teillastverhalten 60:530—535

Kommunikationsmittel in der Warte 60:770—775

Komponentensicherheit, Aufgaben, Ziele und erste Ergebnisse des Forschungsprogramms 60:438—449

Kondensatoren
— Einfluß von Verschmutzungen auf den Wärmedurchgang 60:140—145
— Kühlung mit Meerwasser 60:138—140

Kondensatorreinigung, chemische 60:138—140

Kondensatreinigung
— Einsatz von Doppelstromfiltern 60:552—555
— intermittierender Betrieb 60:486—493
— Schwebebettverfahren 60:555—562

Konservierung
— gegen Stillstandskorrosion, CEGB-Erfahrungen 60:47—52
— von Dampferzeugern 60:714—718

Konventionelle und nukleare Dampferzeugung, Perspektiven 60:851—856

Korneuburg B, Anlagenbeschreibung 60:188—193

Korngrößenverteilung von Flugstaub 60:15

Korrosion
— austenitischer Stahl in Hochtemperaturwasser 60:214—222
— bei Rauchgasentschwefelung 60:872
— bei Schmelzfeuerungen 60:102 60:778—780
— Einfluß des pH-Wertes bei Messung 60:62—64
— (Lochfraß) 60:197
— meerwassergekühlte Kondensatoren 60:138—140
— Untersuchung durch Potentialmessungen 60:280—283

Korrosionsprodukte, Bestimmung sehr kleiner Konzentrationen 60:208—213

Kosten
— NO_x-Minderung 60:985—995
— Rauchgasentschwefelung 60:207 60:870

Kraft-Wärme-Kopplung 60:276—279
— in Berlin 60:842—848

Kraftwerk
— Asnæsværket 60:394—397
— Drax, steinkohlenbefeuerte 660-MW-Dampferzeuger 60:82—90
— Fynsværket 60:390—394
— Lichterfelde der BEWAG 60:541—545
— Scholven F der VKR 60:194
— Westfalen 60:777—780

Kraftwerke
— Arbeitsverfügbarkeit und Arbeitsausnutzung 1979 60:571—574
— der BEWAG 60:842—848
— Methodik zur Verbesserung der Arbeitsverfügbarkeit 60:170—174

Kraftwerksbau, Verankerungstechnik im Kraftwerksbau 60:895—902

Kraftwerksnebenprodukte 60:970—972 60:972—985

Kraftwerkspersonal 60:297—299

Kraftwerksplanung, Verbesserungsmöglichkeiten durch Anwendung der Systemtechnik 60:163—170

Kraftwerkstechnik 60:751—756 60:756—759

Kraftwerkswarten 60:767—777

Kratzer-Naßentascher 60:512—519

KRB II, Kernkraftwerk Gundremmingen, Anlagenbeschreibung 60:1—11

Kühlkreislauf im Kernkraftwerk, Integrität 60:438—449

Kühlstrecke bei Einspritzkühlung 60:958—969

Kühlsysteme,
— Einfluß von Ablagerungen und Verschmutzungen 60:140—145
— wassergekühlte Generatoren 60:65/66

Kühlwasser
— chemische Konditionierung 60:140—145
— Erfahrungen mit der Meerwasserkühlung 60:138—140
— Konditionierung bei wassergekühlten Generatoren 60:65/66

Kupfer, Bestimmung sehr kleiner Konzentrationen 60:208—213

Kupferwerkstoffe, Einfluß des pH-Wertes auf die Korrosion 60:62—64

Lärmbekämpfung bei Naßkühltürmen 60:284—290

Lagerung von Flugstaub 60:630/631

Landeswassergesetz NW 60:405

Laugeverbrennungskessel Lenzing, Betriebserfahrungen 60:73—81

Lebensdauer
— Dampferzeuger 60:891—895
— Speisepumpenlaufrad 60:952—958
— Überhitzerrohre 60:28—34

Lecksuche am Dampferzeuger des AVR 60:345—348

Lehren aus der Inbetriebnahmephase des Kernkraftwerkes Fessenheim 60:249—253

Leibstadt, das Kernkraftwerk 60:333—348

Leichtwasser-Kernkraftwerke, Bewertung der Betriebserfahrungen 60:253—258

Leistungsänderungsmöglichkeiten durch Beeinflussung der Speisewasser-, Kondensat- und Anzapfdampfströme 60:18—23

Leitstände 60:767—777

Lithiumhydroxid zur Konditionierung des Primärkreislaufes von Druckwasserreaktoren 60:995—999

Lochdrosselkörper in Dampfumformventilen 60:604—609

Löslichkeit von Schwermetallen 60:207ff 60:724ff
Luftspeicher-Gasturbinenkraftwerk 60:174—187
Luftspeicherkraftwerk, Betriebserfahrungen 60:174—187

Magnetit, Temperaturkoeffizient der Löslichkeit 60:995—999
Manipulator, Ultraschallprüfung 60:612—617
Massenspektrometrie zur Untersuchung von Turbinenöl 60:41—47
Mechanische Stoßbremse 60:622—628
Membranfilter zur Bestimmung von Korrosionsprodukten 60:208—213
Messing, Einfluß des pH-Wertes auf die Korrosion 60:62—64
Meteorologische Parameter 60:542
MgO-SO_2-Rückgewinnungsanlage Lenzing, Hinweise 60:73—81
MHD-Anlage Tiruchy, Indien 60:266—276
Mikrobiologie, Auswirkung auf Kühlsysteme 60:140—145
Mindestanforderungen nach § 7a WHG 60:405
Mindestzulaufhöhe für Speisepumpen 60:952—958
Mischbettfilter
— Ablauf des Mischvorganges 60:718—723
— Austauschvorgänge und Systeme 60:53—62
— Doppelstromfilter zur Kondensatreinigung 60:552—555
Mischen, statisches, von Gasströmen in großen Leitungen 60:290—296
Mitsubishi HI 60:193
Müllverbrennungsanlage Hamlen, Aufbau und Betriebserfahrungen 60:633—644

Naßentascher
— Kratzer-Naßentascher 60:512—519
— Plattenband-Naßentascher 60:519—522
Naßkonservierung von Kesseln 60:47—52 60:714—718
Naßkühltürme
— Einfluß des Windes 60:875—881
— Lärmbekämpfung durch Primärmaßnahmen 60:284—290
Naßreinigung
— von Gasturbinen 60:760—763
— von Ölkesseln 60:783—787
Naß-/Trockenkühlturm, Systeme zur Mischung der Teilluftströme 60:709—714
Neutrale Fahrweise bei wassergekühlten Generatoren 60:65/66
Neutralisation von Abwässern 60:723
NO_x-Emission 60:105—113
NO_x-Minderung 60:985—995

Ölasche, Verhalten bei der Kesselreinigung 60:780—788
Ölfeuerung, Umbau großer Dampferzeuger 60:389—398
Ölgefeuerte und kohlegefeuerte Dampferzeuger im Vergleich 60:390—397
Organische Substanzen, Rückhaltung bei der Wasseraufbereitung 60:555—562
Osmose, umgekehrte, praktische Erfahrungen 60:222—227

pH-Wert, Einfluß auf die Korrosion von Messing 60:62—64
Planung und Begutachtung von Kernkraftwerken 60:417—422
Plattenband-Naßentascher 60:519—522
Potentialmessungen an C-Stahl, X 20 Cr 13 und Incoloy 800 60:280—283
Primärsystemchemie im Kernkraftwerk Biblis 60:126—137
Probleme bei der Inbetriebnahme des Kernkraftwerkes Fessenheim 60:249—253
Projektabwicklung, Dokumentation für KKW 60:417—422
Prüfprinzipien für Reaktorschutzsysteme 60:350—353
Prüfzeichen, Flugstaub 60:972—985
Pumpstationen für Rohrleitungstransport von Feststoffen 60:691/692
Pyrit, Spurenelementgehalt 60:814—824

RADAX 60:869
Radialspannung, Rohrplatte 60:617—622
Radioaktives Abwasser, Behandlung 60:124—126
Radiochemie, Betriebserfahrungen im Kernkraftwerk Biblis 60:126—137
Raffinerie-Richtlinie NW 60:544 60:644
Rauchgasaufwärmung hinter Rauchgaswäscher 60:890
Rauchgasentschwefelung
— naß 60:193—202
— trocken 60:202—208
— (naß) 60:867—875
Rauchgasreinigung hinter einer Rückstandsverbrennungsanlage 60:889—890
Reaktionsmechanismus der Rauchgasentschwefelung 60:199
Reaktordruckbehälter, Integrität 60:438—449
Reaktorschutzsteuerung 60:349—353
Reaktorsicherheitskonzept 60:423—428
Reaktortechnik
— Basissicherheit 60:428—437
— SNR 300 60:449—459
Recycling von Abfall 60:409
Regelung des pH-Wertes 60:200

Regeneration, Verfahren und erreichbare Regeneriergrade 60:53—62

Reinheitsgrad, Einfluß auf Brucheinschnürung und Kerbschlagzähigkeit 60:300—305

Revision von Kohlenmühlen 60:377—384

Richtlinien der VGB für Kesselspeisewasser, Kesselwasser und Dampf 60:793—800

Risikoanalyse und Akzeptanz von Großkraftwerken 60:805—813

Rißwachstum X 20 CrMoV 12 1 60:305—324

Rohrleitungen für Feststofftransport 60:688—691

Rohrplatten, Ermittlung der instationären Wärmespannungen 60:617—622

Rohrschäden, im Überhitzer und Zwischenüberhitzer durch ungleichmäßige Temperaturverteilung 60:28—35

Rolls-Royce-Gasturbinen 60:763—767

Rotorscheren 60:884/885

Rückstandsverbrennungsanlage der BASF 60:886—890

Säurereinigung von Kondensatoren 60:138—140

Sammlerböden, Schäden durch Überhitzung 60:30—32

Saugfähigkeitsverhalten bei Pumpen 60:952—958

60 Jahre VGB 60:653—658 60:829—836

Sedimentationsversuche bei Abwässern 60:725

Sicherheit in der Kerntechnik 60:428—437 60:438—449

Sicherheitstechnische Richtlinien (SR) 60:239

Siedewasserreaktor Dodewaard, Vergleich: Standard-Brennelemente der Nachladungen mit Sonder-Brennelementen 60:523—526

Siedewasser-Reaktor-Anlage Gundremmingen II 60:1—11

Simulation, rechnerische, dynamisches Verhalten eines Kraftwerksblockes nach Turbinenschnellschluß 60:23—27

Simulationsmethode zur wirtschaftlichen Optimierung von Kraftwerksteilsystemen 60:695—705

Simultanabscheidung SO_x und NO_x 60:985—995

SO_2-Abscheidegrad 60:196 60:205

SO_2-Emissionsgrenzwert 60:193

Spannungsanalyse, Beurteilung 60:569—571

Speicherprogrammierte Systeme 60:348—358

Speicherung von Deionat, Maßnahmen zur Qualitätserhaltung 60:227—229

Speisepumpen, Mindestzulaufhöhe 60:952—958

Speisewasser, VGB-Richtlinien (Ausgabe Oktober 1980) 60:793—800

Sperrgutscheren zur Müllzerkleinerung 60:882/883

Sperrgutshredder 60:883/884

Spezifisches Gewicht von Feuerraumasche und Flugstaub 60:508/509

Sprühabsorption 60:203

Spülkammerentaschungen 60:511/512

Spurenelemente in Steinkohlen 60:814—824

Sulzer-Gasmischer 60:290—296

Systematische Planung von Kraftwerkswarten 60:767/777

Systemkopplung, Kohlevergasung, Kraftwerk 60:530—535

Systemtechnik, Anwendung bei der Kraftwerksplanung 60:163—170

Schadensfälle, Analyse 60:153—163

Schäden an Überhitzerrohren 60:28—34

Schlacken, Gehalte an Zn, V, Cd 60:814—824

Schlägermühle, Babcock 60:378/379

Schlagradmühle, KSG 60:377/378

Schlauchfilter hinter einem Schmelzkammerkessel 60:12—18

Schmelzfeuerung
— Bauarten 60:99
— Betriebserfahrungen 60:777—780
— Feuerraumentaschung 60:507—522

Schmelz- oder Trockenfeuerung für Steinkohle? 60:98—105

Schmelzverhalten von Steinkohlenasche 60:94

Schneller Brüter (SNR 300), Funktionsweise, Stand der Entwicklung und der Erfahrungen 60:449—459

Schraubenwerkstoffe
— aus 12% CrMoV-Stählen 60:321—324
— Sprödbruchsicherheit 60:321—324

Schüttgewicht von Feuerraumasche und Flugstaub 65:507—509

Schwebebett in Vollentsalzungs- und Kondensatreinigungsanlagen 60:555—562

Schwefelgehalt, Einfluß auf Kerbschlagzähigkeit 60:300—305

Schwefelhexafluorid als Tracer 60:541—545

Schweißversuche X 20 CrMoV 12 1 60:305—324

Schwermetalle in Abwässern 60:723 60:207

Schwimmendes Gasturbinenkraftwerk 60:920—924

Schwingungs- und Stoßdämpfer 60:622—628

Stabilisat 60:207

Stahl, austenitischer, Korrosion in Hochtemperaturwasser 60:214—222

Stahlguß, Anforderungen und Eigenschaften 60:398—405

Stand und Entwicklungstendenzen der Energieindustrie in der Volksrepublik China 60:925—928

Staubbrände im Mahlsystem, Maßnahmen zur Verhinderung 60:682/683

Steinkohle, Mineralzusammensetzung und -verteilung 60:92—94

Steinkohlebefeuerte 660-MW-Dampferzeuger im Kraftwerk Drax, Planung, Inbetriebsetzung, Betrieb 60:82—90

Stickoxidemissionen 60:985—995

Stickstoffoxid, siehe NO_x

Stillstandskonservierung
— von Dampferzeugern 60:714—718
— Erfahrungen des CEGB 60:47—52
— Hinweise für die Praxis 60:714—718
— intermittierender Betrieb 60:486—493

Störfall, Maßnahmen zur Verhinderung 60:423—428

Stoßbremsen, mechanisch und hydraulisch wirkend 60:622—628

Stoß- und Schwingungsdämpfer 60:622—628

Strahlenbelastung durch Kernkraftwerke, Folgerungen aus neueren Empfehlungen der ICRP 60:526—530

Straßenbau und Flugstaub 60:384—389

Streckgrenze, Feinkornbaustähle 60:300—305

Stufenmischbrenner für Kohlenstaubfeuerung 60:105—113

Technik-Streit 60:743—749

Temperaturverteilung in Endüberhitzern und Zwischenüberhitzern 60:28—34

Thermische Beanspruchung von Stahlguß 60:398—405

Three Mile Island-Störfall, Stellungnahme der Industrie 60:259—264

TM 2 60:259—264

Tonminerale, Spurenelementgehalt 60:814—824

Transienten, Dampferzeuger 60:891—895

Transport von Kohle und Verbrennungsrückständen durch Rohrleitungen 60:684—695

Transportkosten, spezifische, für Kohle in Rohrleitungen 60:694

TRD, Änderungen und Ergänzungen 60:235—239

Trinkwasserstandards der USA 60:207

Trocken- oder Schmelzfeuerung für Steinkohle? 60:98—105

Trockenfeuerung
— Feuerraumentaschung 60:507—522
— für Steinkohle, 100-t/h-Dampfkessel 60:680—683
— Stufenmischbrenner 60:105—113
— Untersuchungen an Flammenwächtern 60:536—541
— Verschlackungsmechanismus 60:90—97

Trockenkonservierung von Dampferzeugern 60:47—52 60:714—718

Trockenkühlturm 60:653—658

Trockenkühlung, indirekt, für 1200-MW-DWR-Kernkraftwerke, Planung, Untersuchungsergebnisse 60:114—120

Trockenreinigung von Ölkesseln 60:782/783

Tropfenabscheider, Messung der Wirksamkeit 60:201

Tropfengröße bei Einspritzkühlung 60:958—969

Turbinenöl, Verhalten von Alterungsinhibitoren 60:41—47

Turbinenschnellschluß, dynamisches Verhalten des Kraftwerksblockes nach Simulation der Vorgänge 60:23—27

Überhitzer-, Zwischenüberhitzer-Rohrschäden 60:28—35

Überkritische Entspannung in Dampfumformventilen 60:604—609

Überwachung der Funktion von Kohlezuteilern 60:381/382

Ultraschallholographie 60/612—617

Ultraschallprüfung schwerer Komponenten 60:612—617

Umbau von Öl- auf Kohlefeuerung 60:389—398

Umfangsspannung, Rohrplatte 60:617—622

Umkehrosmose, praktische Erfahrungen 60:222—227

Umwandlung in der Atmosphäre 60:545—548

Untersuchungen über das Verhalten von Ölaschebestandteilen bei der rauchgasseitigen Reinigung von ölbefeuerten Kesseln 60:780—788

Unterweser, Kernkraftwerk 60:938—952

Unverbranntes im Flugstaub bei Trockenfeuerung für Steinkohle 60:111

UV-Spektrometrie zur Ermittlung organischer Substanzen in Wasseraufbereitungsanlagen und Wasser-Dampfkreisläufen 60:555—562

Vanadium in Steinkohlen 60:814—824

Verbrennungsrückstände 60:972—985
— bei Schmelz- und Trockenfeuerung 60:103/104
— im Straßenbau 60:384—389
— Rohrleitungstransport 60:684—695

Verbrennungsvorgang bei der Wirbelschichtfeuerung 60:368—370

Verbund von Elektrizität und Wärme in den Kraftwerken von Berlin 60:842—848

Verdichterverschmutzung 60:760—763

Verfügbarkeit
— von Kraftwerken, Methodik zur Verbesserung 60:170—174
— von Wärmekraftwerken 1979, VGB-Auswertung 60:571—574

Verfügbarkeitskennwerte 60:571—574

Vergleich des Betriebes von Kernkraftwerken mit konventionellen Kraftwerken 60:928—933

Verschlackungsmechanismus in trockenentaschten Steinkohlenfeuerungen 60:90—97

Verschleiß
— von Kohlenmühlen 60:377—384
— und Wartung von Müllzerkleinerungsanlagen 60:882—886

Verschmutzung
— bei Schmelzfeuerungen 60:778
— in trockenentaschten Steinkohlenfeuerungen 60:90—97

Versuchsschweißung X 20 CrMoV 12 1 60:305—324

Verwertung
— von Flugasche in Österreich 60:629—633
— von Flugstaub 60:384—389 60:972—985

VGB
— Arbeit 60:578—584
— FORSCHUNGSSTIFTUNG 60:578—584 60:653—658 60:659—675
— Kongreß „Kraftwerke 1980" 60:734—743
— Schrifttum 60:659—675
— Tätigkeit 60:659—675
— Veranstaltungen 60:659—675
— Vorstand 60:659—675

Viskosität von Steinkohlenasche 60:94—96

Volksrepublik China, Energieindustrie — heutiger Stand 60:925—928

Vollentsalztes Wasser, Qualitätserhaltung beim Speichern 60:227—229

Vollentsalzung nach dem Schwebebettverfahren 60:555—562

Vorwärmer, Wärmespannungen in Rohrplatten 60:617—622

Wärmeeinflußzone, Kerbschlagzähigkeit 60:300—305

Wärmeführung, X 20 CrMoV 12 1 60:305—324

Wärme-Kraft-Kopplung, Beiträge zur 60:276—279

Wärmepumpen-Heizwerk 60:279

Wärmerohre 60:867—875

Wärmetauscher, Wärmespannungen in Rohrplatten 60:617—622

Walzenmühle, Loesche 60:378—380

Warten-Entwürfe 60:775—777

Wasseraufbereitung
— Austauschvorgänge in Mischbettfiltern 60:53—62
— Entfernung organischer Substanzen 60:555—562
— durch umgekehrte Osmose 60:222—227
— Qualitätserhaltung von Deionat bei der Speicherung 60:227—229

Wasser-Dampfkreislauf
— Bestimmung sehr kleiner Korrosionsproduktkonzentrationen 60:208—213
— Einfluß intermittierenden Betriebes 60:486—493
— im Kernkraftwerk Biblis 60:126—137

Wasserhaushaltsgesetz (WHG) 60:405 60:723

Wasserstoffinduzierte Kaltrisse 60:304/305

Weltenergiekonferenz 60:577/578 60:676—679 60:751—756

Weltkohlemarkt 60:676—679 60:751—756

Werkstoff X 20 CrMoV 12 1, Schweiß- und Bruchmechanikversuche 60:305—324

Werkstoffe 60:653—658
— Forschungsprogramm, Komponentensicherheit 60:438—449
— für Wärmerohre 60:868

Wiederaufarbeitung von Brennelementen, Betriebserfahrungen in La Hague 60:264—266

Wiederaufheizung bei Rauchgasentschwefelung 60:867—875

Wirbelschichtfeuerung 60:266—276
— aufgeladen 60:374—376
— Schema eines Dampferzeugers 60:368/369
— stationär 60:372—376
— zirkulierend 60:373/374

Wirbelschicht-Technologie 60:366—376

Zähigkeitseigenschaften X 20 CrMoV 12 1 60:305—324

Zeitstandfestigkeit, Überhitzerrohre 60:28—34

Zeitstandverhalten von Stahlguß 60:398—405

Zementproduktion unter Verwendung von Flugasche 60:629

Zentrifugalzerstäuber 60:202

Zerstäubung bei Einspritzkühlung 60:958—969

Zerstörungsfreie Prüfung von Stahlguß 60:398—405

Zink in Steinkohlen 60:814—824

Zündgaserzeuger, Kohlefeuerung 60:266—276

Zündung, Lichtbogen-Zündung für Kohlefeuerung 60:266—276

Zuverlässigkeitsanalyse, Grundlagen 60:695—705

Zuverlässigkeitsuntersuchungen, Möglichkeiten zur wirtschaftlichen Optimierung von Kraftwerksteilsystemen 60:695—705

Zwölfhundert-MW-DWR-Kernkraftwerke, indirekte Trockenkühlung 60:114—120

Persönliches

Baumann, Michael, im Vorstand der GKM 60:146

Bendfeldt, Hans, gestorben 60:825

Bitterlich, Eberhard, Dr.-Ing. E.h. 60:147

Böger, Georg, gestorben 60:907

Börner, Paul, VDI-Ehrenmedaille 60:147
gestorben 60:240

Börnke, Fritz, VGB-Ehrenurkunde 60:750

Borris, Bodo, 60 Jahre 60:907

Bosselmann, Wilhelm, 50 Jahre 60:908

Brandt, Herbert, 75 Jahre 60:825

Buhr, Wilhelm, 90 Jahre 60:1002

Cech, Franz, Werksdirektor der Raffinerie der Österreichischen Mineralöl-Verwaltung AG 60:146

Class, Immanuel, 80 Jahre 60:325

Clausnizer, Gunther, Vorsitzender der HEA 60:240

Dürr, Heinz, Vorstandsvorsitzender der AEG 60:146

Duhme, Rolf, 25 Jahre bei BASF 60:67
Effertz, Paul-Heinz, 50 Jahre 60:575
Eichhorn, Gerd, Mitglied des Vorstandes der Mobil Oil AG 60:146
Eickhoff, Alfred, 70 Jahre 60:650
Erythropel, Hermann, 70 Jahre 60:410
Fink, Peter Jelinek, 50 Jahre 60:67
Fischer, Alfred, gestorben 60:66
Flurschütz, Erwin, 60 Jahre 60:908
Forck, Bernhard, 50 Jahre 60:908
Freier, R.K., 60 Jahre 60:499
Gassert, Herbert, Vorstandsvorsitzender bei BBC 60:67
Gersdorff, Bernhard von, 50 Jahre 60:240
Grätz, Günter, gestorben 60:907
Gramatke, Hans-Joachim, 60 Jahre 60:325
Guck, Rudolf, Honorarprofessor 60:908
Häfele, Wolf, Ehrenmitglied der Kerntechnischen Gesellschaft 60:67
Harig, Hans-Dieter, im STEAG-Vorstand 60:1002
Hartmann, Georg, 65 Jahre 60:575
Heidinger, Peter, Vorstandsvorsitzender bei EVS 60:825
Heller, Làszlo, gestorben 60:1002
Hermes, Paul, im Ruhestand 60:147
Hirtz, Joachim, gestorben 60:240
Hölter, Heinz, 50 Jahre 60:67
Hoffmann, Werner, gestorben 60:66
Jünger, Heinz, gestorben 60:1002
Jüntgen, Hans, 25 Jahre bei der Bergbau-Forschung 60:240
Kaes, Heinz, 25 Jahre bei VGB 60:1002
Kersting, Wilhelm, 65 Jahre 60:650
Knizia, Klaus, Dr.-Ing. E.h. 60:575
Guilleaume-Gedenkmünze 60:733
Komo, Gottlieb, 60 Jahre 60:325
Krämer, Hermann, im NWK-Vorstand 60:825
Kümmel, Winfrid, 50 Jahre 60:729
Kurapkat, H., 50 Jahre 60:146
Laborenz, Karl, 65 Jahre 60:410
Langeneke, Bernd, promoviert 60:729
Ledinegg, Max, 75 Jahre 60:240
Lindackers, Karlheinz, Vorsitzender der TÜV-Leitstelle Kerntechnik 60:146
Lindemann, Josef, 50 Jahre 60:499
Lippmann, Horst, Geschäftsführer der Felix Schuh + Co. GmbH 60:146
Löhle, Herbert, 60 Jahre 60:1002
Ludewig, Max, 25 Jahre bei KWU 60:908
Ludwig, Nikolaus, gestorben 60:146
Magerl, Horst, Hauptgeschäftsführer der VDEW 60:908
Mahnke, Horst, 25 Jahre bei Rheinhold + Mahla 60:650
Mattick, Wolfgang, 60 Jahre 60:650
Menger, Reinhard, zum 60. Geburtstag das Bundesverdienstkreuz 60:825
Meyer, Manfred, Geschäftsführer der Felix Schuh + Co. GmbH 60:146
Müller von Blumencron, Hubertus, im DWK-Vorstand 60:908
Nickel, Hubertus, weiterhin RSK-Vorsitzender 60:325
Novak, Heinrich, 60 Jahre 60:410
Philipps, Walter, 60 Jahre 60:410
Philipsen, Hans, 25 Jahre bei Voith 60:240
Plettner, Bernhard, Aufsichtsratsvorsitzender der KWU 60:908
Rau, Günter, 50 Jahre 60:499
Ravoth, Rolf, im Ruhestand 60:1002
Reerink, Wilhelm, 75 Jahre 60:146
Resch, G., VGB-Ehrenurkunde 60:750
Rese, Hans, 40 Jahre beim RWE 60:240
Reuther, Carl, gestorben 60:146
Riedel, Hanns-Joachim, 70 Jahre 60:325
Riedlinger, Rudolf A., 50 Jahre 60:1002
Rühl, Heinz, gestorben 60:410
Seidl, Herbert, 70 Jahre 60:66
Siemens, Peter von, Präsident der Weltenergiekonferenz 60:825
Sieverding, Franz, Vorsitzender der VdTÜV 60:499
Sims, Byron E., Mitglied des Vorstandes der Mobil Oil AG 60:146
Spähn, Heinz, Frank-Newman-Speller-Auszeichnung 60:240
VGB-Ehrenurkunde 60:750
Bundesverdienstkreuz 60:1002
Spalthoff, F.J., Vorsitzender des VGB-Vorstandes 60:743
Spillner, F., 70 Jahre 60:66
Suchanek, Walter, 60 Jahre 60:146
Schäch, Rudolf, gestorben 60:650
Schelberger, Herbert, gestorben 60:907
Schlösser, Wilhelm, 65 Jahre 60:66
Schmitt, Otto, 80 Jahre 60:499
Schneider, August, 60 Jahre 60:325
VGB-Ehrenurkunde 60:750
Schnell, Peter, 25 Jahre bei EVS 60:147
Schoch, Wilhelm, 60 Jahre 60:146
Bundesverdienstkreuz 60:1002
Schwarz, Ottmar, VDI-Ehrenmedaille 60:147
Mitglied des Vorstandes der VDI-Kommission „Reinhaltung der Luft" 60:729
Staudinger, Hans, gestorben 60:240
Thoenes, Hans Willi, Bundesverdienstkreuz 60:67
Thuß, Werner, 65 Jahre 60:650
Tisborn, Benno, 50 Jahre 60:410
Tumm, G.W., Vorstandsmitglied bei AEG-Telefunken 60:825
Unruh, Helmut von, 60 Jahre 60:67
Wachter, Jakob, 60 Jahre 60:67
Wehn, Wilhelm, 60 Jahre 60:66
Weihe, Alfred von, 75 Jahre 60:729
Wein, Werner, im Vorstand der Stadtwerke Duisburg AG 60:650
Wilhelms, Helmut, gestorben 60:825
Winkens, Hans Peter, Vorstandsmitglied der Stadtwerke Mannheim AG 60:146
Zeschky, Emil, 75 Jahre 60:240

Buchbesprechungen

Abkürzungen der Kernkraftwerkstechnik Englisch-Deutsch; Deutsch-Englisch 60:69
AD-Merkblätter 60:413
Anlagentechnik in der Stahlindustrie 60:827
Arbeitsstoffverordnung 60:413
atw-Kernenergie-Adreßbuch 60:329

Betrieblicher Brandschutz — vorbeugender Brandschutz 60:827
Bundesrepublik Deutschland 60:149
Coal Conversion Technology 60:414
Deutsche Risikostudie Kernkraftwerke 60:827
Deutsches Atomgesetz und Strahlenschutzrecht 60:70
DGMK-Compendium 78/79 60:576
DIN
— Taschenbuch 56 60:329
— Taschenbuch 145 60:909
— Taschenbuch 1 60:910
DVS-Berichte, Band 59 60:413
Elektrisch heizen und klimatisieren 60:730
Elektrostahlerzeugung 60:329
Energietaschenbuch 60:730
Energieversorgung 60:506
Energy from Fossil Fuels and Geothermal Energy 60:414
E-Wärmepumpen '79 60:731
Festigkeitsberechnung im Dampfkessel-, Behälter und Rohrleitungsbau 60:69
Fluidelastische Schwingungen von Einzelrohren in querangeströmten Rohrbündeln 60:576
Fluidized Bed Combustion of Coal and Waste Materials 60:414
Fluidmechanik 60:827
Geräuschemissionsmessungen 60:328
Graphitische Werkstoffe für den Einsatz in Kernreaktoren 60:69
Grundlagen der elektrischen Energietechnik 60:731
Handbuch des Lärmschutzes und der Luftreinhaltung 60:731
Handbuch des Umweltschutzes 60:328
Handbuch des Unterpulverschweißens 60:70
Höhere Mathematik für den Praktiker 60:71
Immissionsschutz 60:328
Jahrbuch für Bergbau, Energie, Mineralöl und Chemie 1979/80 60:328
Kalibrieren von schweren Profilen 60:70
Kunststoffrohr-Handbuch 60:827
Lärm-Wirkung und Bekämpfung 60:71
Lexikon der Abwassertechnik 60:69
Maschinenschaden 60:576
Meßtechnik für den Immissionsschutz 60:414
Nuclear Power — Option for the World 60:910
Oil from Coal 60:414
Operationsverstärker — Eigenschaften und Anwendungen in linearen und nichtlinearen Schaltungen 60:910
Personalorganisation und -qualifikation bei Errichtung und Betrieb von Kernkraftwerken 60:910
Properties of Water and Steam in SI-Units 60:650
Pulverised Coal Combustion and Gasification 60:414
Pumpspeicherwerk Wehr der Schluchseewerk AG 60:651
Reaktorsicherheitstechnik 1979 60:328
Refractory Materials 60:414
Seventh Symposium (intern.) on Combustion 60:414
Sicherheitsinformation — Technische Arbeitsmittel 60:827
Sicherheitstechnik 60:413 60:826
Synthetic Oils and Additives for Lubricants 60:828
Schallschutz im Bauwesen 60:71
Schweißen in der Kerntechnik 60:70
Schweißen und Schneiden 1978 — Fortschritt und Qualität 60:70
Schwingungen in Feuerräumen 60:70 60:149
Standard Terms of the Energy Economy 60:414
Tagungsband mit den 16 Vorträgen der Essener Wärmerückgewinnungstagung vom 30./31. Mai 1978 60:329
Taschenbuch für die Stahlindustrie 1980, Stahleisen-Kalender 60:731
Technische Strömungslehre 60:70
Toxic Metals-Pollution Control and Worker Protection 60:414
TRD — Technische Regeln für Dampfkessel 60:650
Turbinen für Atomkraftwerke 60:414
Untersuchungen der Kraftwerksreserve im Verbundsystem 60:506

VDI
— Bericht 338 60:651
— Bericht 344 60:651
— Bericht 314 60:730
— Bericht 346 60:730
— Bericht 345 60:828
— Bericht 361 60:909
Verhalten von Stahl bei schwingender Beanspruchung 60:329
Wärmepumpen in Gewerbe und Industrie 60:329
Wärmerückgewinnung und Abwärmeverwertung in der Industrie 60:69
Werkstoffe — Aufbau und Eigenschaften von Keramik, Metallen, Kunststoffen und Verbundwerkstoffen 60:730
Wöhlerlinienkatalog für Schweißverbindungen aus Baustählen 60:576

VGB KRAFTWERKSTECHNIK

MITTEILUNGEN DER VGB TECHNISCHE VEREINIGUNG DER GROSSKRAFTWERKSBETREIBER

61. JAHRGANG (1981) • HEFTE 1—12

INTERNATIONALE FACHZEITSCHRIFT FÜR TECHNIK IN WÄRMEKRAFTWERKEN

HERAUSGEBER

VGB TECHNISCHE VEREINIGUNG DER GROSSKRAFTWERKSBETREIBER E.V.

Vorsitzender: Direktor Dipl.-Ing. F.J. Spalthoff, Essen;
Geschäftsführer: Direktor Dr.-Ing. O. Schwarz, Essen.

REDAKTION

Abteilungsdirektor Ing. (grad.) H. Kaes, Essen;
Oberingenieur Dipl.-Ing. A. Kantner, Essen;
Abteilungsdirektor Professor Dr. rer. nat. H. Kirsch†, Essen;
Oberingenieur Dr. rer. nat. H. Kittel, Essen;
Abteilungsdirektor Dipl.-Ing. K. Plate, Essen;
Oberingenieur Dipl.-Ing. G. Welten, Essen.

CHEFREDAKTEUR

Oberingenieur Ing. (grad.) H. Bleßmann, Essen.

ANSCHRIFT

VGB TECHNISCHE VEREINIGUNG DER GROSSKRAFTWERKSBETREIBER E.V.
Klinkestraße 27—31, Postfach 103932, 4300 Essen,
Fernruf 198-1, Fernschreiber 0857507 vgb d.

Für den sachlichen Inhalt der Beiträge ist der jeweilige Autor verantwortlich.
Briefe und Manuskripte bitte nur an die Redaktion,
nicht an einzelne Sachbearbeiter.
Für unverlangte Einsendungen übernehmen wir keine Haftung.

WISSENSCHAFTLICHER REDAKTIONSBEIRAT

Professor Dr.-Ing. F. Brandt, Darmstadt;
Professor Dr. techn. D. Johnson, Trondheim;
Professor Ir. J.J.C. van Lier, Delft;
Professor Dipl.-Ing. Dr. techn. W. Linzer, Wien;
Professor Dr. techn. O.I. Martynova, Moskau;
Professor Dr.-Ing. P. Profos, Zürich;
Professor Dr.-Ing. R. Quack, Stuttgart;
Professor Dr. phil. H. Rögener, Hannover;
Professor Dr. rer. nat. R. Schulten, Aachen;
Professor Dipl.-Ing. I.D. Stancescu, Bukarest.

TECHNISCHER REDAKTIONSBEIRAT

Oberingenieur H. Berggren, Malmö;
Direktor Professor Dr.-Ing. H. Brüderlin, Stuttgart;
Direktor Dr.-Ing. H. Krolewski, Dortmund;
Direktor Dr.-Ing. G. Noetzlin, Marl;
Direktor Dr.-Ing. H. Novak, Nürnberg;
Dipl.-Ing. J. Pettersen, Haslev;
Direktor F. Scheurer, Paris;
Direktor Dr.-Ing. E.h. Dipl.-Ing. W. Schoch, Mannheim;
Oberingenieur Ir. G.J. Schoppert, Nijmegen.

VERTRIEB UND ANZEIGENVERWALTUNG

VGB-KRAFTWERKSTECHNIK GMBH, Klinkestraße 27—31, Postfach 103932,
4300 Essen, Fernruf 198-242, Fernschreiber 0857507 vgb d.
Verantwortlich für Vertrieb und Anzeigenteil: R. Rätz.

ERSCHEINUNGSWEISE

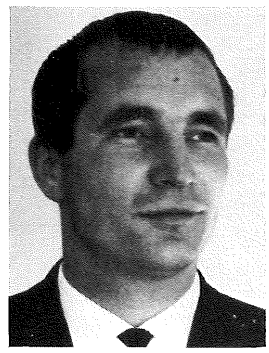
monatlich, außerdem erscheint zeitlich verschoben
eine englische Fassung dieses Heftes

Inhaltsverzeichnis 1981

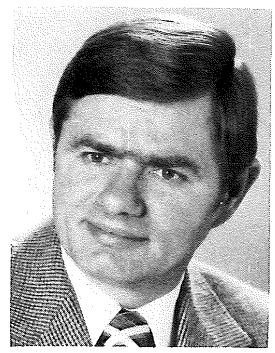
DIE FOTOS DER VERFASSER FINDEN SIE AUF DEN SEITEN II BIS XIV



H. Zapletal, Wien/Österreich



M. Ziemann, Aachen



G. Ziffermeier, Baden/Schweiz

In den zwölf Heften des Jahrganges 61 sind enthalten:

1	2	3	4	5	6
1—74	75—170	171—278	279—356	357—436	437—536
7	8	9	10	11	12
537—624	625—704	705—800	801—888	889—970	971—1060

Verfasserverzeichnis 1981

Albers, H.: Zuverlässigkeit ist das überzeugendste Argument für die Kernenergie 61:640/641

Alex, K.-H., und Portmann, F.: Die Rekrutierung, Ausbildung und Motivierung des Kraftwerkspersonals 61:659—662

Alex, K.-H., siehe Portmann, F.

Andersen, E.J., siehe Sur, G.N.

Angenend, F.J.: Korrosion von Kondensatorrohren als Folge eines gestörten Deckschichtaufbaus 61:561—568

Bacher, P., Gery, A., und Capel, R.: Maßnahmen der Electricité de France nach dem Störfall von Three Mile Island 61:8—12

Bäumel, A.: Wasserstoffinduzierte Risse in der Wärmeeinflußzone hochfester Feinkornbaustähle durch die Einwirkung von Kesselspeisewasser 61:155—167

Bannister, R.L., siehe Bennett, S.B.

Bartknecht, W.: Explosionsversuche in einer Babcock-HS-Schlägermühle mit Zentrifugalsichter und Rohkohlezuteiler 61:1001—1013

Baschek, H., und Schreiber, A.: Nachrüsten (Back-Fitting) in den Kernkraftwerken Beznau und Mühleberg 61:665/666

Bates, J.C., siehe Sadler, M.A.

Bauer, R., und Reichel, P.: Konstruktion und Wirkungsweise einer leistungsfähigen Chlorungsanlage für großvolumige Kühlkreisläufe 61:239—241

Beck, W., siehe Fichtel, K.

Becker, D.E., und Grassl, P.: Erfahrungen und Konsequenzen aus der Anwendung der „Allgemeinen Berechnungsgrundlage" bei der Ermittlung radioökologischer Auswirkungen veröffentlicht im Sammelband „Kraftwerk und Umwelt 1981"

Beetz, E., und Borris, B.: Neuere Aspekte zur Beschaffenheit von Wasser für Fernwärmesysteme 61:236—239

Beier, K.: Stahlkompensatoren für konventionelle und nukleare Kraftwerke 61:98—104

Bennett, S.B., Bannister, R.L., Silvestri, G.J., und Parkes, J.B.: Heutige Praxis bei der Planung und beim Betrieb von fossilbefeuerten Kraftwerken in den USA 61:196—204

Bensimon, A., und Wegelin, R.: Dezentralisierte Regelung am Beispiel einer Kraftanlage in einem Großprojekt 61:37—45

Bers, K.: Umweltschutzmaßnahmen in Kraftwerken und andere Versorgungseinrichtungen eines EVU in städtischen Ballungsgebieten 61:205—209

Bieber, K.-H., und Resch, G.: Vorstellung und Erläuterung der neuen VGB-Richtlinien „Konservierung von Kraftwerksanlagen" 61:587—593

Biniaris, S., und Schiffers, A.: Ausbreitungsfragen für großflächige Emittenten veröffentlicht im Sammelband „Kraftwerk und Umwelt 1981"

Blanck, D.: Die wirtschaftliche Auslegung des „Kalten Endes" am Beispiel großer konventioneller und nuklearer Kraftwerke 61:837—841

Blöchl, H., und Bursik, A.: Kondensatfiltration bei hoher Temperatur über Metallfaservlies-Filterkerzen 61:143—147

Bloss, W.: Entsorgung von Rauchgasentschwefelungsanlagen (außer bisher bekannter Gipsverwertung) veröffentlicht im Sammelband „Kraftwerk und Umwelt 1981"

Böhm, W., Hofstötter, P., Rasche, N., und Weichsel, J.: Praktischer Einsatz gekapselter Hochtemperatur-Dehnungsmeßstreifen bis 315 °C 61:502—509

Borris, B., siehe Beetz, E.

Bosselmann, W., Hegemann, K.-R., und Leimkühler, J.: Weitere Betriebserfahrungen mit einer Rauchgasentschwefelung in Wilhelmshaven und deren Übertragung auf die Anlagenerweiterung 61:938—944

Brandenstein, H., Burgmann, F., und Hennecke, W.: Erfahrungen bei der Umstellung von chloridhaltiger auf chloridfreie Steuerflüssigkeit an zwei Dampfturbinen 61:452—455

Branger, J.: Arbeitsvorbereitung und Planung von Abstellungen im Kernkraftwerk Mühleberg 61:690—692

Broß, T.: Erfahrungen mit Wanderrost- und Schüttelrostfeuerungen für Steinkohle 61:841—844

Brundiek, H.: Aufbau, Funktion und neue Betriebserfahrungen mit Walzen-Kohlenmühlen 61:328—333

Brunner, R.: Abwasserreinigung mit einem Zentrifugaldekanter 61:130—133

Bucher, H., siehe Bursik, A.

Bucher, T.: Die Behandlung radioaktiver Abwässer mittels chemischer Fällung und Zentrifugierung im Kernkraftwerk Beznau 61:677—680

Buhrdorf, J., siehe Heese, W.

Burgmann, F., siehe Brandenstein, H.

Burgmann, F., siehe Resch, G.

Bursik, A., und Resch, G.: Kraftwerkschemie — heutiger Stand und Entwicklung in den 80er Jahren 61:285—293

Bursik, A.: 1300 Anfahrten eines 300-MW-Spitzenlastkessels — Betriebserfahrungen aus chemischer Sicht 61:493—500

Bursik, A., und Bucher, H.: Umgekehrte Osmose als Bestandteil der Zusatzwasseraufbereitung veröffentlicht im Sammelband „Kraftwerk und Umwelt 1981"

Bursik, A., siehe Blöchl, H.

Busch, H.P., siehe Oschmann, W.

Capel, R., siehe Gery, A.

Chardonnet, E., und Dupont, D.: Die Bauzeiten für Kernkraftwerke in Frankreich 61:349—355

Claeys, J.: Der Beitrag der Kernenergie zur Diversifizierung der Elektrizitätserzeugung in Belgien 61:889—893

Dalton, N.F.: Die Ausführung von Dampferzeugern für australische Braunkohlen 61:82—88

Dibelius, G.: Abnahmeversuche an Gasturbinen 61:32—36

Dibelius, G., Pitt, R., und Ziemann, M.: Die Gasturbine im Wandel technologischer und wirtschaftlicher Entwicklungen 61:75—82

Dibelius, G., und Ederhof, A.: Weitere Erkenntnisse über den Windeinfluß auf die Kühlleistung von Naturzugkühltürmen 61:465—467

Di-Crescenzo, M.: Erfahrungen mit Kühlwasserleitungen aus Stahlbeton bei Kraftwerken in Frankreich 61:405—408

Dörich, J., und Junkers, G.: Erfahrungen mit einer Mischanlage für hydraulisch gebundenes Material auf Flugstaubbasis zur Herstellung von Tragschichten im Straßenbau 61:218—220

Dupont, D., siehe Chardonnet, E.

Ederhof, A., siehe Dibelius, G.

Egyptien, H.H., siehe Steyrer, H.

Elend, U., Fiedler, H., Giese, K., und Lentz, A.: Modelluntersuchungen des Störeinflusses benachbarter Baukörper auf die Ausbreitung der Abgasfahne eines Kraftwerkes veröffentlicht im Sammelband „Kraftwerk und Umwelt 1981"

Emmerich, V.: Untersuchungen des Strahlungsverhaltens rußhaltiger Flammengase nach der Traversierungsmethode 61:209—214

Erpers Royaards, R. van: Zusammenwirken der Institutionen bei Planung, Bau und Betrieb von Kraftwerksunternehmen in den Niederlanden 61:893/894

Eue, H.-J.: Die Sanierung einer Kohlenbandbrücke im Kraftwerk Frimmersdorf nach einem Brand 61:257—264

Eyndhoven, F.H.M. van: Die Elektrizitätsversorgung der Niederlande 61:826—834

Fabritius, H.: Beitrag zum Einfluß des Gefügezustandes auf das Zeitstandverhalten von 13 CrMo 4 4 61:873—882

Fechner, J.B.: Systemergonomische Optimierung des Mensch-Maschine-Systems Kernkraftwerke 61:568—571

Fichtel, K., Richter, H., und Beck, W.: Ergebnisse der Versuche zur trockenen Heißreinigung von Abgasen aus der Sondermüllverbrennungsanlage der GSB in Ebenhausen 61:955—963

Fichtner, K.: Kohlevergasung, Übersicht über die Verfahrenstechnik und Bewertung der grundlegenden Verfahren 61:92—98

Fiedler, H., siehe Elend, U.

Fischer, K.: Das Kraftwerk Enstedværk 3 61:917

Föller, W.: Aufbau, Wirkungsweise und Betriebserfahrungen mit Entwässerungs- und Regelventilen 61:46—50

Forck, B.: Stand der Verfahren zur Rauchgasentschwefelung, Trend der Entwicklung veröffentlicht im Sammelband „Kraftwerk und Umwelt 1981"

Freese, H.D.: Schwingungen an vertikalen Pumpen 61:110—116

Frei, P.: Blockregelung des Braunkohle-Kraftwerks Kosovo B (Jugoslawien) 61:334—340

Frielinghaus, R.: Die Ultraschallprüfung austenitischer Werkstoffe auf innere Ungänzen 61:105—108

Gabrysch, G.: Maßnahmen zur Lärmminderung in einem älteren Heizkraftwerk veröffentlicht im Sammelband „Kraftwerk und Umwelt 1981"

Gery, A., siehe Bacher, P.

Gewehr, K., und Goin, P.: Ermittlung von Personendosen bei Instandhaltungsarbeiten im Kernkraftwerk Beznau mit dem Ziel der Dosisreduzierung 61:669—671

Giese, K., siehe Elend, U.

Gilg, J., und Nicolai, W.: Luftreinhaltung — auch ein schalltechnisches Problem: E-Filter als Schallquelle veröffentlicht im Sammelband „Kraftwerk und Umwelt 1981"

Goin, P., siehe Gewehr, K.

Granacher, J., siehe Krause, M.

Grassl, P., siehe Becker, D.E.

Gratzki, V., siehe Junker, R.

Grosstück, W.: Betriebserfahrungen aus den Müllverbrennungsanlagen Hamburg-Stellinger Moor und Hamburg-Stapelfeld 61:751—756

Guggenberger, J.: Zum Stand der registrierenden Emissionsüberwachung gasförmiger Schadstoffe veröffentlicht im Sammelband „Kraftwerk und Umwelt 1981"

Gutberlet, H., und Stappert, S.: Chemische Probleme, Inbetriebnahme und Erfahrungen mit der 625 000 m³/h Rauchgasentschwefelungsanlage 61:849—856

Haase, M.: Ausbildung und Fortbildung von Kraftwerksbetriebspersonal am Beispiel der Bewag 61:297—302

Häßler, G., und Reuter, D.: Bericht über Messungen an großen Naturzug-Naßkühltürmen am Kernkraftwerk Philippsburg veröffentlicht im Sammelband „Kraftwerk und Umwelt 1981"

Haller, M., siehe Svoboda, R.

Hamm, H., siehe Wirsching, F.

Heese, W., Reiter, K., und Buhrdorf, J.: Ermittlung und Vergleich der Transportkosten verschiedener Energieträger durch Rohrleitungen 61:571—579

Hegemann, K.-R., siehe Bosselmann, W.

Heins, L., und Schlizio, H.: Erfahrungen mit der Anwendung der VGB-Speisewasserrichtlinien bei Spaltgasöfen 61:147—155

Hennecke, W., siehe Brandenstein, H.

Herbsleb, G., und Schwaab, P.: Rißbildung und Ausscheidungsverfahren in Verbindungsschweißungen von Entlüftungsleitungen aus hochwarmfesten austenitischen Chrom-Nickel-Stählen nach Langzeitbeanspruchung bei 550 °C 61:307—312

Herbst, H.Chr.: Zusammenarbeit zwischen den Partnern bei Projektabwicklung und Betrieb 61:918—920

Herzog, W., siehe Jonas, H.

Hippauf, K.: Sanierung, Verstärkung und Sicherheit von Stahlkonstruktionen 61:253—257

Hölscher, W., siehe Ortner, G.

Hofstötter, P., siehe Böhm, W.

Hübner, F.W.: Einflußgrößen bei der Berechnung der Erschöpfung unter einer Zeitstandbeanspruchung 61:246—253

Hüller, R., siehe Wirsching, F.

Huijbregts, W.M.M.: Bestimmung der Korrosionsanfälligkeit von Verdampferrohren 61:773—782

Hvelplund, R.: Brennersteuerungssystem 61:1027—1029

Iten, W., Muralt, R., und Walz, E.: Instandhaltung im konventionellen Anlagenbereich der Kernkraftwerke Beznau und Mühleberg 61:653—656

Jacobs, J.: Erfolge und Ziele bei der Entwicklung einer NO_x-Minderungstechnologie für Kraftwerksfeuerungen 61:214—217

Jahn, E.: Temperaturwechselversuche an Schweißverbindungen zwischen ferritischen und austenitischen Stählen 61:509—512

Janitschek, F.: Kraftwerkstechnik heute — und morgen? 61:625—631

Jansen, H.J., siehe Lappoehn, K.

Jesper, H., und Meyer, H.: Zeitstandschaden in Verbindungsschweißungen von Entlüftungsleitungen aus hochwarmfesten austenitischen Chrom-Nickel-Stählen 61:312—317

Jonas, H., und Herzog, W.: Zur Rohrbrucherkennung durch Luftschallüberwachung 61:868—873

Junker, R., Salm, M., und Gratzki, V.: Grenzen der Automatisierung? 61:975—980

Junkers, G., und Laufhütte, D.-W.†: Erfahrungen der SBW mit der Rauchgaskonditionierung mit SO_3 zur Verbesserung des Abscheideverhaltens von E-Filtern 61:945—949

Junkers, G., siehe Dörich, J.

Kahlert, W., und Resch, G.: Zur Frage der periodischen Reinigung von Dampfkesseln 61:500—502

Kahn, R., siehe Kolar, J.

Kallina, G.: Optimierungsrechner für Sammelschienenkraftwerke 61:88—91

Kammer, G.v.d.: Optimierung des Anfahrverhaltens der gasbefeuerten 400-MW-Kombi-Blöcke des Kraftwerkes Gersteinwerk 61:555—561

Kassebohm, B.: Beispiel für das Zusammenspiel verschiedener Genehmigungsverfahren für ein Kraftwerk veröffentlicht im Sammelband „Kraftwerk und Umwelt 1981"

Keienburg, K.-H., siehe Krause, M.

Kiener, W.: Verbesserungen des Prozeßrechnereinsatzes im Kernkraftwerk Beznau 61:674—677

Kirsch, H.†, Rehme, H.-J., Reichel, H.-H., und Schwarz, G.: Zum Verhalten der anorganischen Substanzen bei der Verbrennung von Steinkohlen in Wirbelschichtfeuerungen 61:482—492

Knizia, K.: Energie — Entropie — Humanität 61:171—178

Kolar, J., und Kahn, R.: Gestaltung des Kamins des Heizkraftwerkes Sandreuth der EWAG Energie- und Wasserversorgung AG Nürnberg unter ausbreitungstheoretischen und architektonischen Gesichtspunkten 61:765—772

Krabbe, H.-J.: Einsatz der Gaschromatographie im Kraftwerkslabor 61:50—54

Krägeloh, E.: Bruchmechanik — Werkstoffmechanik betrachtet 61:782—799

Krause, M., Granacher, J., Keienburg, K.-H., und Mayer, K.-H.: Dreißig Jahre Arbeitsgemeinschaft für warmfeste Stähle 61:19—25

Küffer, K., und Weyermann, P.: Stand der Kernenergie in der Schweiz 61:641—643

Küffer, K., und Weyermann, P.: Übersicht über die Anlagen und das Betriebsgeschehen der Kernkraftwerke Beznau und Mühleberg 61:643—651

Kühn, K., und Proske, R.: Die sichere Endlagerung radioaktiver Abfälle in geologischen Salzformationen veröffentlicht im Sammelband „Kraftwerk und Umwelt 1981"

Küper, G., und Werker, E.: Elektroakustische Meßeinrichtung zur Früherkennung von Rohrschäden im beheizten Teil fossilbefeuerter Dampferzeuger 61:719—724

Kunze, B.: Kombi-Kraftwerke — die Zukunft? 61:980—986

Kutsch, K.: Gesichtspunkte für die Auswahl von Deponien zur Ablagerung von Rückständen aus konventionellen Kraftwerken 61:120—123

Lange, H., siehe Pings, F.

Lappoehn, K., und Jansen, H.J.: Verminderung des Feststoffauswurfes bei Ölfeuerungsanlagen 61:1039—1041

Larsen, J.A.: Rauchgasentstaubung 61:1035—1039

Lauer, H.: Schlammverbrennung in Wirbelschichtöfen — Erfahrungen der BASF AG, Ludwigshafen 61:844—849

Laufhütte, D.-W.†, siehe Junkers, G.

Leimkühler, J., siehe Bosselmann, W.

Leutz, A., siehe Elend, U.

Libutti, B.L., und Reisinger, W.E.: Ein transportables Meßgerät zur Kontrolle von Ablagerungen und Korrosion in industriellen Kühlwassersystemen 61:233—236

Lier, J.J.C. van, und Miedema, J.A.: Wärme-Kraft-Kopplung im Zusammenhang mit industrieller und öffentlicher Energieversorgung 61:895—902

Liersch, G.: Planung und Bau des Kernkraftwerkes Gundremmingen 61:25—31

Löblich, H.-J.: Ein überregionales, fortschreibbares Kataster der Emissionsursachen, Emissionen und Immissionen für SO_2, NO_x und Staub veröffentlicht im Sammelband „Kraftwerk und Umwelt 1981"

Lomer, D.R.: Sicherstellung der Stromversorgung in Großbritannien in den 80er Jahren 61:1—7

Lorenz, K.H.: Beiträge zur Planung von Bekohlungsanlagen für Großkraftwerke mit Steinkohlefeuerung 61:391—398

Madsen, A.G.: Details der Schaltung und Auslegung der Blockanlage 61:1013—1020

Madsen, A.G.: Inbetriebnahme der Anlage und dabei aufgetretene Probleme 61:1030—1032

Magerl, H.: Erfordernisse einer zweckgerichteten Umweltschutzgesetzgebung bei sicherer und wirtschaftlicher Stromversorgung 61:543—547

Manea, D., siehe Pop, M.G.M.

Martin, H.: Die Untersuchung schraubenförmig berohrter Verdampferwände 61:368—374

Martin, P., und Tremmel, D.: Vergleich verschiedener Methoden des Anfahrens von Kraftwerksturbinen 61:437—451

Martinola, F., siehe Siegers, G.

Martynova, O.I., und Timofeew, Ju.I.: Chemische Fahrweise von überkritischen Kraftwerken in der UdSSR unter besonderer Berücksichtigung der Konditionierung mit Oxidationsmitteln 61:54—58

Mayer, K.-H., siehe Krause, M.

Menke-Glückert, M.: Vorhaben der Bundesregierung zur Umweltschutz-Gesetzgebung im Hinblick auf die Energiewirtschaft 61:540—542

Meyer, H., siehe Jesper, H.

Miedema, J.A., siehe Lier, J.J.C. van

Millat, H., siehe Sandona, E.

Mills, E.R., siehe Sadler, M.A.

Møller-Jensen, B.: Erfahrungen beim Betrieb der Anlage 61:1032—1034

Morsten, G., und Perrinjaquet, M.: Strahlenbelastung im Sekundärteil des KKW Mühleberg — Maßnahmen zur Reduktion bei neueren SWR-Anlagen 61:686—689

Mühlhäuser, H.J.: Heizturbinen — ein Beitrag zur besseren Ausnutzung der Primärenergie 61:374—380

Müller, L., und Wegemann, E.: Nutzung von Kraftwerksabwärme zur Heizung veröffentlicht im Sammelband „Kraftwerk und Umwelt 1981"

Muralt, R., siehe Iten, W.

Naula, M.: Auswechseln der Speisewasserverteilringe im Kraftwerk Mühleberg 61:693—695

Naula, M., siehe Plüss, P.

Nicolai, W., siehe Gilg, J.

Nielsen, J.K.: Allgemeine Auslegung der Blockanlage einschließlich der Brennstoff- und Kühlwasserversorgung 61:920—922

Niemi, S.: Dieselheizkraftwerk für die Fernwärmeversorgung der Stadt Marienhamm 61:380—383

Nitsch, D., und Schmitz, H.: Verfügbarkeit von Wärmekraftwerken — Vorabauswertung für das Jahr 1980 — 61:467—471

Ortner, G. und Hölscher, W.: Planung von Wasseraufbereitung und Abwasserbehandlung im Hinblick auf § 7a WHG und Abw. Abg. G veröffentlicht im Sammelband „Kraftwerk und Umwelt 1981"

Oschmannn, W., Schiffers, A., und Busch, H.P.: Analytische Probleme bei Feuerungsanlagen unter Umweltschutzaspekten veröffentlicht im Sammelband „Kraftwerk und Umwelt 1981"

Overman, L.J., und Venderbosch, H.W. : Verhalten von organischen Substanzen in Polyacrylat- und Polystyrol-Anionenaustauschern 61:62/63

Parkes, J.B., siehe Bennett, S.B.

Perrinjaquet, M., siehe Morsten, G.

Petersen, H.: Immissionen durch Abgase großer Steinkohlen-Kraftwerke und Maßnahmen zu ihrer Minderung bei Altanlagen veröffentlicht im Sammelband „Kraftwerk und Umwelt 1981"

Pich, R.: Betrachtungen über Werkstoff-Kennwerte, die bei der Berechnung von Wärmespannungen benötigt werden 61:593—610

Pings, F., und Lange, H.: Verbesserte Stampfmassen für Rohrverkleidungen in Müllkesseln 61:403—405

Pitt, R., siehe Dibelius, G.

Plüss, P., und Naula, M.: Inservice Inspection 61:656—658

Pop, M.G.M., Ursu, E., und Manea, D.: Der Einfluß der Art der Blasreinigung auf die Lebensdauer der Sammler der Mittelstrahlungszone bei den Dampfkesseln vom Typ P-55 61:909—916

Portmann, F., und Alex, K.-H.: Die Aufgaben und Stellung des Pikettingenieurs in der Kraftwerksorganisation 61:663/664

Portmann, F., siehe Alex, K.-H.

Proske, R., siehe Kühn, K.

Rasche, N., siehe Böhm, W.

Rehme, H.-J., siehe Kirsch†, H.

Reichel, H.-H., siehe Kirsch†, H.

Reichel, P., siehe Bauer, R.

Reidick, H.: NO_x-arme Verbrennung bei Kohlenstaub-Tangentialfeuerungen 61:747—750

Reimer, H.: Rohmüllaufbereitung für die Verbrennung — umwelttechnische und wirtschaftliche Bedeutung 61:477—482

Reisinger, W.E., siehe Libutti, B.L.

Reiter, K., siehe Heese, W.

Resch, G., und Burgmann, F.: Untersuchungen zur Eluierbarkeit von Flug- und Feuerraumaschen unter Berücksichtigung einiger Metalle und Halbmetalle veröffentlicht im Sammelband „Kraftwerk und Umwelt 1981"

Resch, G., siehe Bieber, K.-H.

Resch, G., siehe Bursik, A.

Resch, G., siehe Kahlert, W.

Reuter, D., siehe Häßler, G.

Reznicek, E.K.J.: Neues über Rembrandt 61:812—822

Richter, H., siehe Fichtel, K.

Richter, R., Straßer, P., und Schweinfurth, J.: Betriebserfahrungen bei mehr als 1000 Starts der 300-MW-Spitzen-Kraftanlage des GKM 61:279—284

Richter, W.: Kühlwasserbedarf und seine Deckung — Bericht aus der Arbeit der LAWA Arbeitsgruppe — veröffentlicht im Sammelband „Kraftwerk und Umwelt 1981"

Rieß, R.: Dekontamination in Kernkraftwerken 61:124—130

Röttges, H.: Betriebserfahrungen mit internen Axialpumpen im Kernkraftwerk Isar 61:302—307

Roozendaal, G., und Stibbe, F.: Der neue 600-MW-Block mit Kohle-/Ölfeuerung im Kraftwerk Gelderland 61:986—1001

Roth, E.: Die Ergebnisse der Enquête-Kommission „Zukünftige Kernenergiepolitik" — Versuch einer kritischen Würdigung 61:631—639

Sadler, M.A., Bates, J.C., und Mills, E.R.: Anwendung einer „Triobett"-Kondensatreinigungsanlage im Kraftwerk Fawley einschließlich des Betriebes in der Ammonium-Form 61:221—233

Salm, M., siehe Junker, R.

Samuel, T.: 10 Jahre Chemie im Kernkraftwerk Beznau 61:63—67

Samuel, T., und Sandona, E.: Das Verhalten der Dampferzeuger und die zur Erhaltung der Betriebstüchtigkeit getroffenen Maßnahmen im Kernkraftwerk Beznau 61:680—683

Sandbrink, J., und Stegemann, D.: Untersuchungen zum dynamischen Verhalten von Rippenrohrwärmetauschern 61:741—746

Sandona, E., und Millat, H.: Arbeitsvorbereitung, Planung von Abstellungen, vorbeugende Instandhaltung in der Primäranlage des Kernkraftwerkes Beznau 61:671—674

Sandona, E., siehe Samuel, T.

Siegers, G., und Martinola, F.: Neue Verfahrenstechnik beim Ionenaustausch 61:586/587

Sierig, G.: Verbrennen von Abfällen aus dem medizinischen Bereich 61:117—120

Silvestri, G.J., siehe Bennett, S.B.

Smidt, D.: Menschliches Fehlverhalten: Ein Kernproblem der Kernkraftwerke? 61:471—477

Sonnenschein, H.: Eine modulare Kraftwerkskreislauf-Berechnungsmethode zur Optimierung von Energiebilanz und Anlagenwirkungsgrad 61:547—554

Spalthoff, F.J.: Tagesfragen der Kraftwerkstechnik 61:822—825

Speicher, K.: Zum Brandschutz bei Dampfturbosätzen 61:834—837

Speidel, M.O.: Nichtmagnetisierbare Stähle für Generator-Kappenringe, ihr Widerstand gegen Spannungsrißkorrosion und Wasserstoffversprödung 61:417—427

Speidel, M.O.: Nichtmagnetisiergare Stähle für Generator-Kappenringe, ihr Widerstand gegen Korrosionsermüdung 61:1048—1053

Sur, G.N., und Andersen, E.J.: Beschreibung der Kesselanlage 61:922—924

Svoboda, R., Ziffermayer, G., Wasserfallen, K., und Haller, M.: Kondensatreinigung mit Pulverharz-Anschwemmfiltern am Beispiel einer Siedewasserreaktoranlage 61:133—143

Schaefer, H.: Energieversorgung — Gesellschaft — Umwelt 61:924—929

Schepler, C.F.: Beschreibung der Blockleittechnik 61:1025—1027

Schiffers, A., siehe Biniaris, S.

Schiffers, A., siehe Oschmann, W.

Schiffers, A., siehe Willmes, O.

Schikarski, W.: Auswirkungen großer Naturzug-Naßkühltürme auf die Umgebung veröffentlicht im Sammelband „Kraftwerk und Umwelt 1981"

Schinn, R.: Zur Entwicklung der Homogenität und Homogenitätsprüfung sowie der Zähigkeit von Generator-und Turbinenwellen auf dem europäischen Kontinent 61:800

Schleithoff, K., und Schmitz, F.: Kondensatorrohre aus nichtrostenden Stählen 61:730—741

Schlizio, H., siehe Heins, L.

Schmidt, W.: Aufbereitung und Weiterverarbeitung von Steinkohlen-Flugasche einschließlich Sinterung zu Leichtbau-Zuschlagstoffen veröffentlicht im Sammelband „Kraftwerk und Umwelt 1981"

Schmitz, F., siehe Schleithoff, K.

Schmitz, H., siehe Nitsch, D.

Schneemann, H.: Ersatzmaterialien für Asbest bei der Wärmeisolierung von Kraftwerksanlagen 61:108—110

Schöner, W.: Betriebliche Bewährung schwerbrennbarer Steuer- und Schmierflüssigkeit in zwei Heizkraftturbosätzen 61:455—459

Schreiber, A., siehe Baschek, H.

Schultz, M.: Kunststoff-Füllkörper aus Folien, Wirtschaftlichkeit, Einsatzmöglichkeiten und Grenzen der Verwendbarkeit 61:950—955

Schwarz, G., und Kirsch†, H.

Schwarz, O.: Kurzbericht über die Tätigkeit der VGB 1980/1981 61:705—718

Schweinfurth, J., siehe Richter, R.

Stahl, E.: Kraftwerk und Umwelt — zukünftige Forschungsziele und -notwendigkeiten 61:537—540

Stappert, S., siehe Gutberlet, H.

Stegemann, D., siehe Sandbrink, J.

Stein, N.: Neuere Erkenntnisse und Perspektiven zum Problem CO_2 und Klima unter besonderer Berücksichtigung der Biosphäre 61:929—937

Stephan, Ph.: Rohrgehäusepumpen mit Führungslagern aus Hartmetall 61:459—464

Steyrer, H., und Egyptien, H.H.: Unfallverhütung im Kraftwerk 61:293—297

Stibbe, F., siehe Roozendaal, G.

Stief-Tauch, H.P.: Umweltschutz als EG-Gemeinschaftsaufgabe und seine Bezeichnungen zu nationalen Umweltschutz-Politiken veröffentlicht im Sammelband „Kraftwerk und Umwelt 1981"

Straßer, P., siehe Richter, R.

Strauß, U.: Entwicklungen auf dem Gebiet der Kohlenstaubfeuerungen 61:971—975

Strunz, D.: Schallsanierung eines Industrie-Kraftwerks veröffentlicht im Sammelband „Kraftwerk und Umwelt 1981"

Struwe, W.: Erfahrungen mit der Ausbreitung luftfremder Stoffe in Österreich veröffentlicht im Sammelband „Kraftwerk und Umwelt 1981"

Stubbe, W.: Beschreibung des Hauptturbosatzes und der Speisepumpenantriebsturbine 61:1021—1025

Sturla, P.: Aufgaben und Ergebnisse internationaler Zusammenarbeit auf dem Gebiet der Kraftwerks-Chemie 61:241—246

Tesche, W.: Inversionen — Häufigkeit und Einflüsse auf natürlich belüftete Kühltürme 61:611—618

Thelen, F.: Strömungsstabilität in Verdampfern von Zwangdurchlaufdampferzeugern 61:357—367

Thomas, H.-J.: Zur Überwachung der Turbomaschinen durch Wellenschwingungsmessungen 61:725—730

Thomas, P.: Betriebserfahrungen mit der katalytischen Reduktion von Sauerstoff in Wasser 61:59—61

Timofeew, Ju.I., siehe Martynova, O.I.

Tremmel, D., siehe Martin, P.

Trenkler, H.: Neue Einflüsse der Energiewirtschaft auf die Kraft- und Wärmewirtschaft 61:902—909

Tscherning, E.: ECONEX — ein bewährtes Gegenstromverfahren in der Ionenaustauschtechnik 61:340—348

Ulrich, E.: Über die Existenz kármánerregter stehender Wellen in Dampferzeugern 61:412—417

Ursu, E., siehe Pop, M.G.M.

Venderbosch, H.W., siehe Overman, L.J.

Veser, K.: Ausführungsmöglichkeiten von Regenerativ-Luftvorwärmern für die getrennte Aufheizung von Primär- und Sekundärluft 61:579—586

Waag, O.: Moderne Entwicklungen in der Kerntechnik bei Müllverbrennungsanlagen 61:399—402

Walz, E., siehe Iten, W.

Wasserfallen, K., siehe Svoboda, R.

Watzel, G.: Stillegung von Kernkraftwerken aus der Sicht der Betreiber veröffentlicht im Sammelband „Kraftwerk und Umwelt 1981"

Wegelin, R., siehe Bensimon, A.

Wegemann, E., siehe Müller, L.

Wehr, J.: Die Sanierung tragender Bauteile im Kraftwerk Huckingen nach Beschädigung durch die Explosion eines Hochdruckvorwärmers 61:327—327

Weichsel, J., siehe Böhm, W.

Weigel, C.H.: Das Brennstoffverhalten und seine Auswirkungen auf die Betriebsführung im Kernkraftwerk Mühleberg 61:695—699

Weinländer, W.: So wird die Sicherheit der Wiederaufarbeitung von Kernbrennstoffen gewährleistet veröffentlicht im Sammelband „Kraftwerk und Umwelt 1981"

Welfonder, E.: Perspektiven der Leittechnik in den 80er Jahren 61:178—195

Werker, E., siehe Küper, G.

Weyermann, P., und Küffer, K.: Gründe für die überdurchschnittlichen Betriebsergebnisse 61:651/652

Weyermann, P., siehe Küffer, K.

Willach, R.: Die thermische Nutzung von Ölschiefer zur Erzeugung elektrischer Energie in konventionellen Kraftwerken 61:13—18

Willmes, O., und Schiffers, A.: Untersuchung zur Umweltbeeinflussung durch Braunkohlenasche-Deponien veröffentlicht im Sammelband „Kraftwerk und Umwelt 1981"

Winkens, H.P.: Der Einsatz von Wärmepumpen beim Wärmetransport veröffentlicht im Sammelband „Kraftwerk und Umwelt 1981"

Wirsching, F., Hamm, H., und Hüller, R.: Technische und wirtschaftliche Möglichkeiten bei der Verwertung von Gips aus der Rauchgasentschwefelung veröffentlicht im Sammelband „Kraftwerk und Umwelt 1981"

Wittich, R.: Normallastpläne als eine der Grundlagen zur Lebensdauerermittlung 61:383—391

Zak, M.: Fortschritte der Ingenieur-Vermessung bei Kraftwerken 61:408—412

Zapletal, H.: Achtzehn Jahre Betriebserfahrungen mit der Müllverbrennungsanlage I in Wien 61:757—764

Ziemann, M., siehe Dibelius, G.

Ziffermayer, G., siehe Svoboda, R.

Sachverzeichnis 1981

Abfallverbrennungsanlagen 61:955

Abgasbehandlung, Verbrennung von Klinikmüll 61:119

Abgasreinigung, NO_x 61:214—217

Ablagerungen in Kühlsystemen, Kontrolle 61:233—236

Ablösewirbel 61:412

Abnahmeversuche an Gasturbinen 61:32—36

Abscheideleistung von E-Filtern 61:945

Abstellungen
- Personaleinsatz und Organisation 61:690—692
- Planung 61:690—692
- Vorbereitung 61:690—692

Abwärme 61:273 61:925

Abwärmebilanz der Bundesrepublik Deutschland 61:925

Abwärmekommission 61:927

Abwasser
- Behandlung 61:273
- Rauchgasentschwefelung 61:270
- Reinigung mit einem Zentrifugaldekanter 61:130—133

Abwasserabgabengesetz (AbwAG) 61:273

Akzeptanz, Technik 61:540—542

Allgemeine Berechnungsgrundlage 61:275

Analytik von Kohlen 61:482

Anbackungen bei Rauchgasentschwefelung 61:850

Anfahrmethoden für Dampfturbinen 61:437—451

Anfahrverhalten, Optimierung bei gasbefeuerten Blöcken 61:555—561

Anionenaustauscher
- Adsorptions- und Desorptionsverhalten gegenüber organischen Substanzen 61:62/63
- als Träger bei der katalytischen Reduktion von Sauerstoff 61:59—61
- Anlagekosten 61:904

Anschwemmfiltration zur Kondensatreinigung 61:133—143

Antivibrationsbleche 61:412

Arbeitsgemeinschaft für warmfeste Stähle 61:19—25

Arbeitsverfügbarkeit und Arbeitsausnutzung von Wärmekraftwerken 1980 61:467—471

Arbeitsvorbereitung 61:671—674

Asbest zur Wärmeisolierung 61:108

Aschedeponie 61:123

Atmosphäre 61:930

Atomgesetz 61:275

Aufwärmspanne 61:360

Aufweitung, Bruchmechanik 61:786—799

Ausbildung 61:297 61:822—825
Ausbreitung 61:275
— Bedingungen 61:1043
— Klassen 61:1041
— von Rauchgasfahnen 61:271
Ausbreitungsrechnung 61:271 61:274
Ausdehnungskoeffizient 61:503 61:597
Auslegungsparameter eines Kühlturmes 61:274
Ausscheidungsverhalten, hochwarmfeste Austenite 61:307—312
Austenitische Werkstoffe
— Rißbildung 61:307—312 61:312—317
— Ultraschallprüfung 61:105—108
Australische Braunkohle 61:82—88
Automatik
— Aufgaben 61:976/977
— bei Müllkränen 61:401
Automatisierung
— Definition 61:975/976
— Grenzen 61:975—980
Axialkompensatoren 61:98—104

Back-Fitting 61:665/666
Balg-Rohrverbindung, Kompensatoren 61:100
Ballungsgebiete 61:205
Bauausführung
— Baudichte bei französischen Kernkraftwerken 61:349—355
— Personaleinsatz auf französischen Baustellen 61:349—355
— Terminüberlappung zwischen Bau- und Montagephase in Frankreich 61:349—355
Baubeschädigungen
— Bewertung der Tragsicherheit der Bauteile 61:317—327
— Deformation in Querrichtung der Dachbinder 61:317—327
— Minderung der Tragfähigkeit 61:317—327
— Reaktionskräfte und Stoßbelastung infolge Störereignissen 61:317—327
— Resttragfähigkeit von Bauteilen 61:317—327
— Wirkung von Berstdruckwellen 61:317—327
Baugruben, Bauzeit — Grundwasserabsenkung 61:25—31
Bau-Hilfsmaßnahmen, vorübergehende Unterstützung und Abfangung 61:317—327
Baumassen bei Kernkraftwerken, Zusammenstellung 61:25—31
Bauplanung
— atomrechtliches, baurechtliches und raumordnerisches Genehmigungsverfahren 61:25—31
— Doppelblockanlage mit zwei Siedewasserreaktoren 61:25—31
— Geländeaufschüttung über höchstes Hochwasser 61:25—31
Bausanierung, Witterungsschutz für das Maschinenhaus 61:317—327
Bauteilbeschädigungen, Sanierung tragender Bauteile 61:317—327
Bauteilsanierung
— nachträgliche Anbetonierung 61:317—327
— Verstärkung nach Eintritt klaffender Risse 61:317—327
— Verstärkung von Betonstützen 61:317—327
Bauzeit für Kernkraftwerke in Frankreich 61:349—355
Begehungskonzept, Maschinenhaus 61:686—689
Begrenzung der SO_2-Emissionen 61:849
Beheizungsprofil, Verdampfer 61:361
Bekohlungsanlagen für Großkraftwerke mit Steinkohlenfeuerung 61:391—398
Bekohlungsbrücke, Brandschaden 61:253—255
Belade- und Umsetzschema 61:695—699
Belgien — Diversifizierung der Elektrizitätserzeugung 61:889—893
Berechnung
— typische Anfahrvorgänge 61:437—451
— Ausbreitung luftfremder Stoffe 61:1041
— Erschöpfung unter Zeitstandbeanspruchung 61:246—253
— Kompensatoren 61:99
— Verdampfer 61:357—367
— Wärmespannungen 61:593—610
Berufsgenossenschaft 61:293
Betriebserfahrungen
— interne Axialpumpen 61:302
— Rauchgasentschwefelung 61:938—944
Betriebsorganisation 61:651/652
Betriebsstunden-Korrekturfaktor 61:250—253
Beurteilungspegel 61:206
Biosphäre 61:930
Bischoff-Verfahren 61:938
Blasreinigung, Einfluß auf die Lebensdauer von Sammlern 61:909—916
Blockregelung 61:191—194 61:334—340
Bodeninversion bei Naturzugkühltürmen 61:611—618
Brandereignis
— Ausbreitung in der Übergabestation von Bekohlungsbrücken 61:257—264
— Beseitigung von Einsturzgefahren 61:257—264
— Sanierung von Fachwerken durch Austausch von Füllstäben 61:257—264
— Verformung von Fachwerkhaupträgern von Bekohlungsbrücken 61:257—264
Brandschaden
— bauliche Anlagen 61:257—264
— Stahlbau 61:253—257
Brandschutz
— Dampfturbosätze 61:834—837
— Schmierölsysteme 61:835—837
Braunkohle, australische 61:82—88
Brennstoff
— Ausnutzung 61:209
— Einsatzplanung 61:695—699
— Kosten 61:902—909
— Verhalten 61:695—699
— Versorgung 61:822—834
— Schonprogramm 61:695—699
Bruchlastspielzahl, Kompensatoren 61:99

Bruchmechanik 61:782—799

Busübertragung, zur Blocküberwachung, -führung und -automatisierung 61:181—184

Chemie, Betriebserfahrungen im Kernkraftwerk Beznau 61:63—67

Chemie im Kraftwerk
— Aufgaben und Ergebnisse internationaler Zusammenarbeit 61:241—246
— heutiger Stand und Entwicklung in den 80er Jahren 61:285—293

Chemische Betriebserfahrungen bei intermittierendem Kesselbetrieb 61:493—500

Chemische Fahrweise überkritischer Kraftwerke in der UdSSR 61:54—58

Chlor, Anwendung als Biocid 61:239—241

Chlorung von Kühlwasser 61:239—241

Chlorwasserstoff im Abgas 61:959

Chlorwasserstoff-Abscheidung 61:960

Chromkarbide 61:309—312

Containment
— Durchdringungskonstruktionen für Schleusen und Rohrdurchführungen 61:25—31
— Spannbetonbauweise 61:25—31

CO_2 und Klima 61:929—937

Dachkonstruktion bei Kernkraftwerken, Fertigteilbinder 61:25—31

Dampferzeuger
— chemische Aspekte von Schäden 61:680—683
— elektroakustische Messungen 61:719—724
— Heizrohrschäden 61:680—683
— kármánerregte Wellen 61:412—417
— periodische chemische Reinigung 61:500—502
— Prüfung der Berohrung 61:680—683
— Reparatur der Rohre 61:680—683
— Verhalten 61:680—683

Dampfturbinen
— Anfahren 61:437—451
— Anlageneinsatzvorschau 61:383—391
— Betriebsartenmöglichkeit 61:383—391
— Einsatz schwerbrennbarer Steuerflüssigkeit 61:452—455
— für Fernheizung 61:374—380
— Lebensdauerermittlung 61:383—391
— Normallastpläne 61:383—391
— schwerbrennbare Flüssigkeit 61:455—459
— Überwachung durch Wellenschwingungsmessung 61:725—730

Dampfturbosatz, Brandschutz 61:834—837

DDA
— Auslegungen 61:430/431
— Mitteilungen 61:427—431

Dehnung, Bruchmechanik 61:784

Dehnungsaufnahme, Kompensator 61:98

Dehnungsmeßstreifen 61:502—509

Dehnwechselversuche 61:23

Dekanter zur Wasser- und Abwasserreinigung 61:130—133

Dekontamination in Kernkraftwerken 61:124—130 61:677—680

Dendriten 61:310

Deponie 61:120—123
— für Braunkohleasche 61:272

Desorption organischer Substanzen bei der Regeneration von Anionenaustauschern 61:62/63

Dezentralisierte Regelung 61:37—45

Dieselheizkraftwerk 61:380—383

Digital gesteuerte Prozeßautomatisierung 61:37—45

Digitale Leittechnik
— Einsatzmöglichkeit im Kraftwerk 61:180/181
— Gegenüberstellung verschiedener Konzepte 61:181—184
— prinzipieller Aufbau 61:179/180
— Signalverarbeitung 61:184—188
— Schnittstellen-Standardisierung 61:187/188
— Störanfälligkeit 61:179/180
— Verbesserung der Kraftwerksautomatisierung 61:189—194
— wirtschaftliche Vorteile 61:188/189

Diversifizierung der Elektrizitätserzeugung in Belgien 61:889—893

Dosisleistung, Verringerung durch Dekontamination 61:130—133

Drosselorgane 61:46—50

Druckamplitude 61:415

Druckentlastung von Staubexplosionen 61:1005

Druckstoßfestigkeit von HS-Kohlenmahlanlagen 61:1011/1012

Druckverlustkennlinie, Verdampfer 61:357—367

Druckwasserreaktoren, Chemie im Kernkraftwerk Beznau 61:63—67

Düsenböden für Wirbelschichtfeuerung 61:848

Eckenfeuerung: siehe Tangentialfeuerung

ECONEX-Gegenstromverfahren in der Ionenaustauschtechnik 61:340—348

EdF-Maßnahmen nach dem Störfall Three Mile Island 61:8—12

Eigenfrequenz einer Vertikalpumpenwelle 61:114

Einflüsse der Energiewirtschaft auf die Kraft- und Wärmewirtschaft 61:902—909

Eindampfung von Abwässern 61:756

Eindicker 61:940

Elastizitätsmodul 61:594

Elektrizitätserzeugung
— aus Anlagen der öffentlichen EVU 61:906
— Diversifizierung in Belgien 61:889—893
— in den USA, Hauptenergiequellen 61:196

Elektrizitätskosten 61:902—909

Elektrizitätsplan, Niederlande 61:826—834

Elektrizitätsversorgung
— Bundesrepublik Deutschland 61:902—909
— Niederlande 61:826—834

Elektroakustische Messungen an Dampferzeugern 61:719—724
Elektrofilter 61:205
— als Schallquelle 61:274
— Wirkungsgrad 61:945
Emulsion Öl-Wasser, Verminderung des Feststoffauswurfes bei der Verbrennung 61:1039—1041
Emission und Immission von Luftschadstoffen 61:268
Emissionsmessungen
— Reingas 61:959
— Rohgas 61:958
Emissionsüberwachung kontinuierlich registrierend 61:271
Endenergieverbrauch der Bundesrepublik Deutschland 61:926
Endlagerung radioaktiver Abfälle 61:275
Energiebedarf bei Walzenmühlen 61:332
Energieformen 61:171—178
Energiepolitik der 80er Jahre 61:631—639
Energiesysteme, Bewertung 61:631—639
Energietransport durch Rohrleitungen 61:571—579
Energieversorgung 61:801—811 61:822—825
Energieversorgungsverbund 61:539
Energiewirtschaft 61:902—909
Enquête-Kommission, zukünftige Energiepolitik 61:631—639
Enstedværk 3, 600-MW-Steinkohleblock
— Anlagenbeschreibung 61:917—924 61:1013—1041
— Auslegung der Blockanlage 61:920—922
— Betriebserfahrungen 61:1032—1034
— Brennersteuerung 61:1027—1029
— Hauptdaten, Auslegung, Schaltung der Blockanlage 61:1013—1020
— Inbetriebnahmeerfahrungen 61:1030—1032
— Kesselanlage 61:922—924
— Leittechnik 61:1025—1027
— Rauchgasentstaubung 61:1035—1039
— Turbosatz 61:1021—1025
— Vorplanung, beteiligte Partner 61:917
— Zusammenarbeit der Partner 61:918—920
Enthalpie 61:357—367
Entropie 61:171—178
Entsalzung von Wasser, Liftbett- und Rinsebett-Verfahren 61:586/587
Entsorgung 61:272 61:539
Entschwefelungsanlage 61:849
Entschwefelungsgrad 61:852
Entwässerungsventile 61:46—50
Erdgas, Untersuchung mit der Gaschromatographie 61:50—54
Erdverlegte 110-kV-Kabel 61:208
Ergonomie 61:471
Ermüdungsrisse 61:1050
Erschöpfungsberechnung, Zeitstandfestigkeit 61:246—253
Erschöpfungsgrad, Kompensator 61:99
Erschütterungsschutz, Abfangung der Komponentenunterstützung mit Federkörpern 61:25—31
Exergie 61:171—178
Existenzdiagramm stehender Wellen 61:414—416
Explosionskennzahlen brennbarer Stäube 61:1005/1006
Explosionsversuche an einer HS-Schlägermühle 61:1001—1013

Feinkornbaustähle, wasserstoffinduzierte Risse 61:155—167
Ferntransport von SO_2 61:541
Fernwärme 61:547
— neuere Aspekte zur Wasserbeschaffenheit 61:236—239
Fernwärmeversorgung 61:206 61:380—383 61:538
Feuerfestmaterial für Müllkessel 61:403
Feuerraumauskleidung bei Müllkesseln 61:403
Feuerungssysteme für Ölschiefer 61:17
Feuerungstechnik, NO_x-Minderung 61:214—217
Feststoffauswurf bei Ölfeuerung, Verminderung 61:1039—1041
Filterkerzen aus Metallfaservlies zur Kondensatfiltration bei hoher Temperatur 61:143—147
Filtration von Kondensat bei hoher Temperatur 61:143—147
Fließkurve 61:783
Flug- und Feuerraumaschen, Eluierbarkeit 61:272
Flugstaub, Verbrennliches in Abhängigkeit vom Luftüberschuß 61:750
Fossilbefeuerte Kraftwerke in den USA, Planung und Betrieb 61:196—204
Forschung und Entwicklung 61:822—825
Forschungsziele: Kraftwerk und Umwelt 61:537—540
Fortbildung 61:297
Fortwärme 61:925
Freileitungen 61:208
Fusionstechnologie — erreichte und geplante Parameter 61:629

Gaschromatographie, Einsatz im Kraftwerkslabor 61:50—54
Gaserzeugung aus Steinkohle 61:539
Gasstrahlung 61:210
Gasturbinen
— Abnahmeversuche 61:32—36
— Entwicklung 61:75—82
— kombinierte Prozesse 61:75—82
— mit Abhitzeverwertung 61:206
— Wirkungsgrad und Einheitenleistung 61:75—82
— Zeit-, Arbeitsverfügbarkeit und Ereigniszuverlässigkeit 1980 61:467—471
Gauß-Verteilung von Emissionen 61:1041
Gefüge 13 CrMo 4 4 61:873—882

Gefügeauflockerungen 61:315
Gefügerauschen 61:105
Gelderland
— 600-MW-Block mit Kohle/Ölfeuerung 61:986—996
— Umweltschutzmaßnahmen 61:996—1001
Gelenkkompensatoren 61:102—104
Genehmigungsverfahren für ein Kraftwerk 61:269
Generator-Kappenringe, Schäden 61:417—427 61:1048—1053
Geodätische Deformationsmessungen 61:408
Geräuschmeßsonde 61:719—724
Geräuschpegel 61:206
Gerbergelenk 61:258
Gesellschaft — Umwelt 61:924—929
Gips 61:270
Gips aus Rauchgasentschwefelung 61:272 61:850 61:942
Gleitringdichtungen an internen Axialpumpen 61:302
Global 2000 61:822—825
Greifersysteme bei Müllkränen 61:399
Grenzwerte, Kühlwassereinleitung im Gewässer 61:839
Großbritannien, Stromversorgung in den 80er Jahren 61:2—7
Guilleaume-Gedenkmünze 61:801—811

Halbfrequenzwirbel der Pumpenwelle in ihren Lagern 61:113
Härteverlauf, Feinkornbaustähle 61:157
Hartmetallager (wassergeschmiert) in Kühlwasserpumpen 61:459
Haupteinflußgrößen, Ausbreitungsrechnung 61:1043
Heinrich-Mandel-Preis 61:801—811
Heißreinigung von Abgasen 61:955—963
Heißwasserbereiter, Schäden 61:158
Heizkraftwerk 61:205 61:274 61:374—383
— Beeinflussung der öffentlichen Stromversorgung durch 61:895—902
— Essen-Innenstadt 61:841—844
— Gelsenkirchen 61:844
Heizturbinen 61:374—380
Hochtemperatur-Dehnungsmeßstreifen 61:502—509
Höheninversion bei Naturzugkühltürmen 61:611—618
Hölter-Verfahren 61:957
Homogenitätsprüfung, Generator- und Turbinenwellen 61:800
Humanität in der Technik 61:171—178
Hydraulik von internen Axialpumpen 61:302

Immissionen, Minderung 61:269
Immissionskonzentrationen
— aus Emissionen einer Quelle 61:1044
— aus Emissionen mehrerer Quellen 61:1044
Immissionsprognose 61:207 61:271
Ikonologie 61:812—822
Industriekraftwerk 61:274
Industrielle und öffentliche Energieversorgung im Zusammenhang mit Wärme-Kraftkopplung 61:539
Ingenieurvermessung, Generalplan im Terrain 61:408—412
Inspektion 61:656—658
Instandhaltung 61:653—656
Instandhaltungsstrategie 61:671—674
Institutionen bei Planung, Bau und Betrieb von Kraftwerken in den Niederlanden 61:893/894
Intermittierender Kraftwerksbetrieb, chemische Betriebserfahrungen 61:493—500
Interne Axialpumpen
— Betriebserfahrungen 61:302
— Aufbau 61:302
— Hilfssysteme 61:302
Inversionen
— Einfluß auf Naturzugkühltürme 61:611—618
— Häufigkeit von 61:611—618
— Temperaturgradienten bei 61:611—618
Ionenaustausch im Liftbett- und Rinsebett-Verfahren 61:586/587
Ionenaustauscher
— Regeneration im Gegenstromverfahren 61:340—348
— Rückhaltevermögen für organische Substanzen 61:856—867

Kaltes Ende — wirtschaftliche Auslegung 61:837—841
Kaltverformung 13 CrMo 4 4 61:874
Kataster der Emissionsursachen 61:268
Kernenergie
— in Belgien 61:889—893
— in der Schweiz 61:640—643
— Zuverlässigkeit 61:640/641
Kernkraftwerk, Abwasserreinigung 61:130—133
Kernkraftwerk Beznau 61:666—669
— Anlage und Betriebsgeschehen 61:643—651
— Arbeitsausnutzung 61:643—651
— Instandhaltung 61:653—656
Kernkraftwerk Mühleberg 61:683—686
— Anlage und Betriebsgeschehen 61:643—651
— Arbeitsausnutzung 61:643—651
— Instandhaltung 61:653—656
Kernkraftwerke
— Chemie im DWR-Kernkraftwerk Beznau 61:63—67
— Dekontamination 61:124—130
— Kondensatreinigung beim SWR 61:133—143
— Mensch-Maschine-System 61:568—571
Kernkraftwerkspersonal
— Ausbildung 61:659—662
— Auswahl 61:659—662
— Motivation 61:659—662
— Schichtpersonal 61:659—662
— Wiederholungsschulung 61:659—662

Kessel, Korrosionsanfälligkeit der Verdampferrohre 61:773—782
Kesselreinigung in periodischen Abständen? 61:500—502
Kesselwasser, Nachweis UV-absorbierender organischer Substanzen 61:856—867
Klimaänderungen durch CO_2 61:929
Körnungsaufbau des Gipses 61:855
Kohärenzfunktion 61:743
Kohlebandbrücken, Sanierung nach Brandereignis 61:257—264
Kohlenmahlanlage, HS-Mühle, Explosionsversuche 61:1001—1013
Kohlenmühlen, Walzenmühle 61:328—333
Kohlenstaubbrenner mit integriertem Zündbrenner für Kohlenstaub 61:973/974
Kohlenstaubexplosionen bei HS-Kohlenmühlen 61:1001—1013
Kohlenstaubfeuerungen, Entwicklungen 61:971—975
Kohlenstaub-Tangentialfeuerungen, NO_x-arme Verbrennung 61:747—750
Kohlenstaubzündfeuerung-Versuchsanlage 61:971—975
Kohlenstoffhaushalt der Erde 61:930
Kohlevergasung 61:92—98
Kohlevorkommen in Australien 61:83
Kombi-Kraftwerke — die Zukunft? 61:980—986
Kombi-Prozesse 61:75—82
— Kohlevergasung 61:92—98
Kompaktanlage zur SO_2-Gewinnung 61:946
Kompensatoren 61:98—104
Kondensat, Filtration bei hoher Temperatur 61:143—147
Kondensatreinigung
— mit Pulverharz-Anschwemmfiltern 61:133—143
— mit Trennschicht-Mischbetten 61:221—233
Kondensatorrohre
— Korrosion 61:561—568
— nichtrostende Stähle 61:730—741
Konditionierung
— mit Oxidationsmitteln in UdSSR-Kraftwerken 61:54—58
— von Fernheizwasser 61:236—239
Konservierung von Kraftwerksanlagen 61:587—593
Konzept-Standardisierung
— Abstufung der Blockgrößen in Frankreich 61:349—355
— Bemessung für bautechnische Auslegungskriterien 61:349—355
— Projektierung und Bauausführung 61:349—355
Korrosion 61:308—312 61:1048—1053
— Kondensatorrohre 61:561—568
— Kühlsysteme 61:233—236
— Verdampferrohre 61:773—782
Korrosionsschäden, Kondensatoren 61:736
Korrosionsschutz
— in Fernwärmesystemen 61:236—239
— in Rauchgasentschwefelungsanlagen 61:854
Kosten
— Nachrüstung 61:205
— Rauchgasentschwefelung 61:944
Kosten-Nutzen-Analyse bei Steinkohlenlagerung 61:397—398
Kostenoptimierung 61:88—91
Kraft- und Wärmewirtschaft 61:902—909
Kraft/Verlängerungskurve 61:794
Kraft-Wärme-Kopplung 61:209 61:273 61:547
Kraftwerke
— Arbeitsverfügbarkeit und Arbeitsausnutzung 1980 61:467—471
— Investitionskosten 61:902—909
— Investitionskostenvergleich 61:92—98
— Niederlande 61:826—834
— USA, Planung und Betrieb 61:196—204
Kraftwerker 61:297
Kraftwerksabwärme 61:273
Kraftwerksbetriebspersonal 61:297
Kraftwerksbrennstoffe 61:902—909
— Preisentwicklung 61:903—905
Kraftwerkschemie
— heutiger Stand und Entwicklung 61:285—293
— internationale Zusammenarbeit 61:241—246
Kraftwerksmeister 61:297
Kraftwerksneubau 61:801—811
Kraftwerksschule 61:297
Kraftwerkstechnik 61:822—825
Kraftwerkswarte 61:471
Krankenhausabfälle 61:117
Krantechnik bei Müllverbrennungsanlagen 61:399
Kreislauf-Berechnungsmethode — modulare, für Kraftwerke 61:547—554
Kristallisationsgeschwindigkeit des Calciumsulfatdihydrates (Gips) 61:851
KTA
— 1201: Anforderungen an das Betriebshandbuch 61:531
— 3202.3: Auslegung der Reaktorkerne von gasgekühlten Hochtemperaturreaktoren, Teil 3: Reinigungsdruckverlust in Kugelhaufen 61:531
— 3401.4: Reaktorsicherheitsbehälter aus Stahl, Teil: Wiederkehrende Prüfungen 61:531
— 3901: Kommunikationsmittel für Kernkraftwerke 61:531
Kühlsysteme, Kontrolle von Ablagerungen und Korrosion 61:233—236
Kühltürme 61:206
— Einbauten aus Kunststoff 61:950—955
— Filmeinbauten aus Kunststoff-Folien 61:950—955
Kühlwasser
— Bedarf 61:273
— Chlorung 61:239—241
— Einfluß auf den Deckschichtaufbau an Kondensatorrohren 61:561—568
— Großrohrelemente aus Spannbetonfertigteilen 61:25—31
— Großrohre aus Stahlbeton 61:405—408
— Stahlbetonrohre mit Blecheinlage 61:405—408
— vorfabrizierte Fertigteilrohre 61:405—408

Kühlwassereinleitung im Gewässer 61:839
Kühlwasserpumpen 61:459
Kugelmühle bei MVA 61:479
Kunststoff-Füllkörper für Kühltürme 61:950—955
Kunsttechnologie 61:812—822
Kunsttheorie 61:812—822

Länderarbeitsgemeinschaft Wasser (LAWA) 61:273
Lärmminderung 61:274
Lager aus Hartmetall 61:459
Lagerplatzausrüstung (Steinkohle) 61:395
Landschaftsschutz, harmonische Einbindung der Anlage 61:25—31
Langzeitbeanspruchung, hochwarmfeste Austenite 61:307—312
Langzeitprüfungen an Simulations- und Schweißproben 61:165
Laves-Phase 61:309
Lebensdauer von Sammlern 61:909—916
Lebensdauerfunktion 61:246—253
Leittechnik
— Perspektiven 61:178—195
— Rauchgasentschwefelung 61:941
Liftbett-Verfahren 61:586/587
Ljungström-Luftvorwärmer 61:579—586
Lochfraß 61:1052
Lochkorrosion 61:735
Luftabscheidevermögen (LAV) 61:455—459
Luftschallüberwachung 61:868—873
Luftüberschuß, Einfluß auf Verbrennliches im Flugstaub 61:750
Luftvorwärmer 61:579—586
Luftvorwärmung bei Wirbelschichtfeuerung 61:847

Magnetit, Beeinflussung des Wachstums 61:773—782
Magnetit-Oktaeder-Belag 61:156
Magnetitschutzschicht 61:373
Mahlsysteme für Ölschiefer 61:15/16
Malerei, niederländische 61:812—822
Maschinenhaus, Strahlenfeld 61:686—689
Maßeinheiten, Liste der empfohlenen ... für den Kraftwerksbereich 61:513—530
Massendichte 61:601
Massenstromdichte 61:368
Materialuntersuchungen, Rauchgasentschwefelung 61:940
Medizinische Abfälle 61:117
Mehrbedarf, spezifischer, an Primärenergie bei kombinierter Erzeugung von Strom und Wärme 61:895—902
Membranwände 61:369
Mensch-Maschinen-System 61:471 61:568—571
Menschliches Fehlverhalten 61:471
Meßgerät zur Kontrolle von Ablagerungen und Korrosion in industriellen Kühlsystemen 61:233—236
Messing, gestörter Deckschichtaufbau an Kondensatorrohren 61:561—568
Metallfaservlies-Filterkerzen zur Kondensatfiltration 61:143—147
Mikrobiologie in Kühlwasser, Bekämpfung durch Chlorung 61:239—241
Mikrorisse 61:315
Mindestanforderungen nach WHG 61:273
Mindestmengenregelventil 61:49
Mineralfaser zur Wärmedämmung an Turbinen 61:108
Mineralsubstanz von Kohle 61:482
Mischbettfilter
— Betrieb in der NH_4-/OH-Form 61:221—233
— mit Trennschichtharz zur Kondensatreinigung 61:221—233
Mitsubishi Heavy Industries 61:849
Modellkraftwerk Völklingen 61:538
Modulare Berechnungsmethode zur Optimierung von Energiebilanz und Anlagenwirkungsgrad 61:547—554
Mühlenluftvorwärmer 61:581
Müllaufbereitung 61:477
Müllhomogenisierung 61:478
Müll-Klärschlamm-Gemisch 61:478
Müllverbrennung, Betriebsergebnisse 61:762
MVA
— Bielefeld-Herford 61:477
— Hamburg II (Stellinger Moor) 61:751
— Hamburg III (Stapelfeld) 61:754
— Wien I 61:757

Nachrüsten 61:665/666
Nachrüstung zum Umweltschutz 61:205—209
Naßkonservierung von Kesseln 61:587—593
Nationale Genossenschaft für Lagerung radioaktiver Abfälle (NAGRA) 61:641—643
Naturzug-Naßkühlturm 61:274
Naturzugkühltürme
— Bodeninversion 61:611—618
— Einfluß von Inversionen 61:611—618
— Höheninversion 61:611—618
— Windeinfluß auf die Kühlleistung 61:465—467
— Windeinfluß am Lufteintritt 61:465—467
— Windeinfluß an der Kühlturmkrone 61:465—467
NDT-Temperatur 61:785
Negentropie 61:171—178
Netzfrequenz-Rauschen, Unterdrückung bei der Primär-Regelung 61:193
Neutrale Fahrweise, Erfahrungen in der UdSSR 61:54—58
Nichtverfügbarkeit, Analyse 61:643—651
Niederlande
— Elektrizitätsversorgung 61:826—834
— Malerei 61:812—822
Niobcarbonitrid 61:309

NO_x-arme Brenner 61:214—217
NO_x-arme Verbrennung bei Tangentialfeuerungen 61:747—750
NO_x-Bildung bei Tangentialfeuerungen, Untersuchungen und Messung 61:749
NO_x-Emissionen, Grenzwerte für Kohlenstaubfeuerungen 61:747
NO_x-Minderung 61:214—217

Ökologie 61:545
Ökologische Wirkungen 61:541 61:927
Ökosysteme, terrestrisch 61:931
Ölfeuerung, Verminderung des Feststoffauswurfs 61:1039—1041
Ölschiefer 61:13—18
Öl-Wasser-Emulsion, Verminderung des Feststoffauswurfes 61:1039—1041
Optimierung von Energiebilanz und Kraftwerkswirkungsgrad 61:547—554
Optimierungsrechner für Sammelschienenkraftwerke 61:88—91
Ordnungssysteme 61:171—178
Organische Substanzen
— Adsorption und Desorption an Anionenaustauschern 61:62/63
— Nachweis in Wasser mit der UV-Spektroskopie 61:856—867
Ovalrohre für Wärmetauscher 61:741—746

Personal, Qualifikation und Ausbildung 61:651/652
Personaleinsatz in Kernkraftwerken 61:643—651
Personendosis 61:669—671
Personendosisreduzierung 61:669—671
Phasenwinkelmessungen 61:725—730
pH-Wertmessung, Rauchgasentschwefelung 61:941
Piezokeramiken 61:105
Pikettingenieur 61:659—662
— Aufgaben 61:663/664
— Ausbildung 61:663/664
— Erfahrungen 61:663—665
Planung, Bau und Betrieb von Kraftwerken 61:893/894
Planung von Abstellungen 61:671—674
Preisentwicklung für Kraftwerksbrennstoffe 61:903—905
Primärenergieverbrauch der Bundesrepublik Deutschland 61:926
Problemabfälle 61:118
Prognosen im Bereich der Energieerzeugung 61:625/626
Prozeßmodelle, Blocküberwachung 61:189—191
Prozeßrechnereinsatz 61:674—677
Prozeßuntersuchungen, Rauchgasentschwefelung 61:941
Pulverharz-Anschwemmfilter zur Kondensatreinigung 61:133—143

Qualitätssicherung bei Instandhaltungsarbeiten 61:671—674
Quartsektor-Luftvorwärmer 61:583
Querkontraktionszahl 61:595

Radialstufendüse 61:46—50
Radioaktive Abwässer
— Behandlung 61:677—680
— chemische Fällung 61:677—680
— Zentrifugierung 61:677—680
Radioökologische Auswirkungen 61:275
Raffinerie-Richtlinien, Ausbreitungsrechnung 61:1042
Rauchgasentschwefelung 61:206
— Stand und Trend der Entwicklung 61:269
Rauchgasentschwefelungsanlage 61:849—856
— Scholven F 61:849
— Wilhelmshaven 61:938
Rauchgaskonditionierung vor E-Filter 61:945—949
Rauchgasreinigung bei MVA 61:760
Rauchgasseitige Kesselkonservierung 61:587—593
Rauchgaswäsche
— in MVA, Vergleich Trocken- und Naß-Verfahren 61:751
— Naßverfahren 61:755
— Trockenverfahren 61:753
Rauchgaswiederaufwärmung 61:756
Reaktor-Entwicklung 61:822—825
Regelkreise, Optimierung der 61:44/45
Regelung
— an Dampfturbinen 61:834—837
— für Wanderrostfeuerung 61:843
Regelventile 61:46—50
Regeneration von Anionenaustauschern 61:62/63
Regenerativ-Luftvorwärmer 61:579—586
Reingasstaub 61:271
Reinigung von Dampfkesseln 61:500—502
Relaxationsrißbildung 61:317
Rembrandt-Forschung 61:812—822
Resonanz durch vertikale Pumpe und Fundament 61:110
Resonanzdiagramm 61:413
Restrisiko 61:541
Revisionsplanung 61:653—656
Reynoldszahl 61:415
Rieseleinbauten 61:852
Rinsebett-Verfahren 61:586/587
Rippenrohrwärmetauscher, dynamisches Verhalten 61:741—746
Risse
— Bruchmechanik 61:782—799
— Feinkornbaustähle 61:155—167
— in Verbindungsschweißungen aus hochwarmfesten Austeniten 61:307—312 61:312—317
Rißfortschritt, Spannungsrißkorrosion 61:420
Rohrbrucherkennung durch Luftschallüberwachung 61:868—873

Rohre, längsnahtgeschweißt 61:732—741
Rohrgehäusepumpen mit Hartmetallagern 61:455
Rohrleitungstransport verschiedener Energieträger, Transportkosten 61:571—579
Rohrschäden, Früherkennung 61:719—724
Rohrverbindungen, Großrohre aus Stahlbeton für Kühlwasser 61:405—408
Rohrverkleidung in Müllkesseln 61:403
Rohrwerkstoffe, hochwarmfeste Austenite 61:307—312
Rückstände aus konventionellen Kraftwerken, Deponie 61:120—123
Rückstandsverwertung von Bettaschen 61:482
Rußhaltige Flammengase, Strahlungsverhalten 61:209—214
Rußstrahlung 61:210

Salzformationen 61:275
Sammler, Lebensdauer 61:909—916
Sammlung, Zwischenlagerung, Transport bei Klinikmüll 61:118
Sauerstoff in Wasser, katalytische Reduktion 61:59—61
Saurer Regen 61:541
Sekundärteile, Strahlenbelastung 61:686—689
Sensibilitätsbetrachtung 61:1041
Setzung des Baugrundes 61:25—31
Sicherheitsanalyse 61:275
Sicherheitsreserven im Stahlbau 61:257
Sicherheitstechnische Richtlinien (SR) 61:430
SiC-Massen bei MVA 61:403
Sichter bei Walzenmühlen 61:331
Siedewasserreaktoren, Kondensatreinigung mit Pulverharz-Anschwemmfiltern 61:133—143
Signalverarbeitung bei digitaler Leittechnik 61:184—188
„slope", mounted bzw. unmounted 61:504
Sondermüllverbrennungsanlage 61:955
SO_2-Messung im Reingas 61:941
SO_3-Eindüsung 61:946
Spaltgaskühler, Erfahrungen mit der Anwendung der VGB-Speisewasserrichtlinien 61:147—155
Spaltkorrosion 61:1052
Spannungsintensitätsfaktor 61:421
Spannungsrißkorrosion
— Feinkornbaustähle 61:155—167
— Generator-Kappenringe 61:417—427 61:1048—1053
Speisewasser für Spaltgassysteme 61:147—155
Speisewasserbehälter, Schäden 61:155—167
Speisewasserverteilerring
— Auswechseln 61:693—695
— Dosis beim Auswechseln 61:693—695
Spitzenlastanlage des GKM für 300 MW
— Automatisierung 61:279—284
— Erfahrungen nach 1000 Starts 61:279—284
— Kesselschaltschema 61:279—284
Spitzenlastkessel, Betriebserfahrungen aus chemischer Sicht 61:493—500
Splitterschutz, Betonabschirmung für die Blechauskleidung 61:25—31
Sprödbruch, Kesseltrommel 61:793
Spurenelemente 61:272
— im Reingasstaub 61:271
— Verhalten bei der Wirbelschichtfeuerung 61:482
Substitution von Öl 61:822—825
Systembewußtsein 61:471
Systemergonomie im Kernkraftwerk 61:568—571

Schadstoffe im Reingas von MVA 61:961
Schäden an Generator-Kappenringen 61:417—427
Schallabstrahlung 61:274
Schallausbreitung bei austenitischen Schweißnähten 61:106
Schalldämpfer 61:206
Schallfeld, Rohrbruch 61:869—873
Schallpegelverlauf eines Stellventils 61:50
Schallschutz 61:274
Schalltechnische Planung 61:205
Schaltanlage 61:208
Schikorr-Reaktion 61:156
Schlammentwässerung mit einem Zentrifugaldekanter 61:130—133
Schlammverbrennung 61:844
Schmelzfeuerungen, NO_x 61:214—217
Schmiedestücke, Generator- und Turbinenwellen 61:800
Schmierölsystem, brandschutzgünstig gestaltet 61:835—837
Scholven F, Rauchgasentschwefelung 61:849
Schornsteinbau
— bildhafte Erscheinungsform von Industriebauten 61:765—772
— dynamisch bedingte Überhöhung 61:765—772
— Kamingestaltung unter ausbreitungstheoretischen und architektonischen Gesichtspunkten 61:765—772
— Korrosionsschutz für den Betonschaft 61:765—772
— optimale Geschwindigkeit bei Kraftwerksschornsteinen 61:765—772
— thermische Aufstiegshöhe 61:765—772
— Vergleich zwischen ein- und mehrzügiger Ausführung 61:765—772
— Vermeidung des „Downwash"-Effektes 61:765—772
Schubmodul 61:595
Schüttelrostfeuerungen für Steinkohle 61:841—844
Schütthöhe und Verdichtung bei Steinkohlenlagerung 61:396/397

Schutzschichten
— an Kondensatorrohren, gestörter Aufbau 61:561—568
— Beeinflussung des Magnetit-Wachstums 61:773—782
Schwefeldioxid 61:482
Schwefeldioxid im Abgas 61:959
Schwefeldioxid-Abscheidung 61:961
Schweißverbindungen austenit-ferrit 61:509—512
Schweißzusatzwerkstoff, Ni-Basislegierung 61:509—512
Schweiz: Stand der Kernenergie 61:641—643
Schwerbrennbare Steuerflüssigkeit für Dampfturbinen 61:452—459
Schwingungen
— an vertikalen Pumpen 61:110
— bei Walzenmühlen 61:331

Stabilisierung 61:272
Stabilitätsfaktor, Verdampfer 61:359
Stahlbauten, Umbau 61:255—257
Stahlkompensatoren 61:98—104
Stahlkonstruktion, Brandschaden 61:253—255
Standortplanung, Anbindung an das Fernleitungsnetz 61:25—31
Steinmüller-Verfahren 61:957
Steuerung bei Müllkränen 61:400
Stickoxide, siehe NO_x 61:214—217 61:538
— Bildungsmechanismen und Haupteinflußgrößen 61:747/748
— Emissionen 61:214—217
Stillegung von Kernkraftwerken 61:275
Stillstandskonservierung von Kraftwerksanlagen 61:587—593
Störfall Three Mile Island, Maßnahmen der EdF 61:8—12
Stoffkennwert 61:605
Stofftrennung im Kraftwerkslabor durch Gaschromatographie 61:50—54
Stoffwertprodukt 61:606
Strahlenschutzmaßnahmen im Maschinenhaus 61:686—689
Strahlungsverhalten rußhaltiger Flammengase 61:209—214
Strategisches Fehlverhalten 61:471
Strömungsstabilität in Verdampfern 61:357—367
Stromerzeugungskosten
— Kernkraftwerke 61:902—909
— Steinkohlekraftwerke 61:902—909
Stromverbrauch 61:902—909
Stromversorgung in Großbritannien 61:2—7
Strouhalzahl 61:415
Studie zur Personendosisreduzierung 61:669—671

Tachymeter, elektronische 61:409
Taktisches Fehlverhalten 61:471
Takt-Maximal-Verfahren der TA Lärm 61:274
TA Lärm 61:207
TA Luft 61:207 61:269
— Entwurf, Ausbreitungsrechnung 61:1042
— Novellierung 61:542 61:545
Tandemkolben 61:47
Tangentialfeuerungen für Kohlenstaub, NO_x-arme Verbrennung 61:747—750
Technische Regeln für Dampfkessel 61:427—431
Temperaturgang, Dehnungsmeßstreifen 61:505
Temperaturleitzahl 61:604
Temperaturwechselversuche an Schweißverbindungen austenit-ferrit 61:509—512
Terminplanung, Gegenüberstellung für standardisierte Kernkraftwerksblöcke in Frankreich 61:349—355
Thermodynamik, Hauptsätze 61:171—178
Three-Mile-Island-Störfall, Maßnahmen der EdF 61:8—12
Thyssen Engineering 61:849
Topfkolben 61:48
Transformatorenöl, Untersuchung mit der Gaschromatographie 61:50—54
Transportkosten verschiedener Energieträger durch Rohrleitungen 61:571—579
Trennschicht-Mischbettfilter zur Kondensatreinigung 61:221—233
Trisektor-Luftvorwärmer 61:583
Trockenkonservierung von Kraftwerksanlagen 61:587—593
Tropfenabscheider 61:940

UdSSR, chemische Fahrweise überkritischer Kraftwerke 61:54—58
Ultraschallprüfung austenitischer Werkstoffe 61:105—108
Umgekehrte Osmose 61:269
Umspannwerke 61:208
Umweltbewußtsein 61:540
Umweltschutz 61:269 61:537 61:541 61:544
— Aufwand und Nutzen 61:545
Umweltschutzgesetzgebung und Stromversorgung 61:543—547
Umweltschutzmaßnahmen 61:205
— im 600-MW-Kohle-/Ölblock Gelderland 61:996—1001
Umweltverträglichkeitsprüfung 61:269
Unfallverhütung im Kraftwerk 61:293—297
UNIPEDE, Zusammenarbeit auf dem Gebiet der Kraftwerks-Chemie 61:241—246
Unterhaltungsplanung 61:542 61:651

Unterschiedliche Ausbreitungsbedingungen, Vergleich 61:1046

UV-Spektroskopie zum Nachweis organischer Substanzen in Wasser 61:856—867

Ventilcharakteristik 61:47

Verbrennliches im Flugstaub in Abhängigkeit vom Luftüberschuß 61:750

Verbrennungsbeeinflussung 61:214—217

Verbrennungsrückstände 61:272

Verdampfer, Strömungsstabilität 61:357—367

Verdampferaufhängung 61:371

Verdampferkennlinien 61:357

Verdampferwände, schraubenförmig 61:368—374

Verfestigung der Reaktionsprodukte der Heißgasreinigung 61:962

Verfügbarkeit
— einer REA 61:850
— fossilbefeuerter Blöcke in USA 61:200—203
— von Kombi-Kraftwerken 61:980—986
— von Wärmekraftwerken 1980, VGB-Auswertung 61:467—471

Vergasung, Kohle 61:92—98

Vermessung, Kraftwerk 61:408—412

Vermessungswesen
— Erfassen von Entfernungsänderungen, Höhenunterschieden, Abweichungen bezüglich einer Bezugsgeraden 61:408—412
— geodätische Deformationsmessungen 61:408—412
— Ingenieurvermessung bei Kraftwerken 61:408—412
— Meßmethoden zum Erfassen von Lageänderungen 61:408—412
— Neigungsmessung durch Inklinatoren 61:408—412
— Vermessungsarbeiten bei der Montage von Kraftwerkskomponenten 61:408—412

Verordnung über Großfeuerungsanlagen 61:542

Verschleiß
— bei Walzenmühlen 61:332
— von Mühlengehäuse-Panzerungen 61:85

Verschmutzungseigenschaften von Braunkohle, Versuchseinrichtung 61:86

Versetzungsdichte 61:874

Vertikale Kreiselpumpen, Schwingungen 61:110

Verursacherprinzip 61:269 61:541

VGB-Beirat 61:705—718

VGB-Forschungsprojekte 61:705—718

VGB-FORSCHUNGSSTIFTUNG 61:705—718

VGB-Gremien 61:705—718

VGB-Kongreß „Kraftwerke 1981" 61:801—811

VGB-Mitgliederstatistik 61:705—718

VGB-Richtlinie „Konservierung von Kraftwerksanlagen", Erläuterungen 61:587—593

VGB-Speisewasserrichtlinien, Anwendung bei Spaltgassystemen 61:147—155

VGB-Tätigkeit 61:705—718

VGB-Vorstand 61:705—718

Volkswirtschaft und Umweltschutz 61:545

Vollentsalzung, ECONEX-Gegenstromverfahren 61:340—348

Vorbeugende Instandhaltung 61:671—674

Vordrosselung 61:364

Vorschriften für betriebliche Überwachung 61:656—658

Wabenbruch 61:783

Wäge-Einrichtungen bei Müllkränen 61:400

Wärmebehandlung
— 13 CrMo 4 4 61:873—882
— Einfluß auf Zeitstandfestigkeit 61:25

Wärmebelastung von Gewässern 61:273

Wärmedämmung an Turbinen 61:108

Wärmedehnung, Kompensator 61:98

Wärme-Einsatzkosten im Vergleich 61:971—975

Wärmeisolierung durch Asbestersatz 61:108

Wärmekapazität, spezifische 61:602

Wärme-Kraft-Kopplung 61:539

Wärmeleitfähigkeit 61:601

Wärmepumpen 61:273

Wärmespannungen
— an dickwandigen Bauteilen, On-Line-Berechnung 61:190/191
— Berechnung 61:593—610

Wärmeübergangskoeffizient, Rippenrohre 61:741—746

Waggonentladung (Steinkohle) 61:393

Walzen-Kohlenmühlen 61:328—333

Wanderrostfeuerungen für Steinkohle 61:841—844

Wartengestaltung im Industrie-Kraftwerk 61:42/43

Wasseraufbereitung 61:273
— ECONEX-Gegenstromverfahren für Ionenaustauscher 61:340—348
— Entfernung und Nachweis organischer Substanzen 61:856—867
— katalytische Sauerstoff-Entfernung 61:59—61
— Liftbett- und Rinsebett-Verfahren 61:586/587
— Verhalten von organischen Substanzen in Anionenaustauschern 61:62/63

Wasser-Dampfkreislauf
— bei Spaltgassystemen 61:147—155
— Einfluß intermittierenden Betriebes 61:493—500

Wasserdurchlässigkeit 61:272

Wassereindüsung vor E-Filter 61:945

Wasser für Fernwärmesysteme 61:236—239

Wasserhaushaltsgesetz 61:273

Wasserhydraulische Regelung 61:834—837

Wasserrechtliche Vorschriften 61:207

Wasserstoff zur katalytischen Reduktion von Sauerstoff in Wasser 61:59—61

Wasserstoffversprödung, nichtmagnetisierbare Stähle 61:417—427
Wechselfestigkeit 61:1049
Wellenschwingungsmessung an Dampfturbinen 61:725—730
Werkstoff 13 CrMo 4 4 61:873—882
Werkstoffe
— für Kompensatoren 61:98—104
— für Kondensatorrohre 61:730—741
— nichtmagnetisierbare Stähle, Spannungsrißkorrosion 61:417—427
Werkstoffkennwerte, Berechnung von Wärmespannungen 61:593—610
Wiederaufheizung von Rauchgas 61:940
Wiedererwärmung des wasserdampfgesättigten Abgases 61:956
Wiederholungsprüfung 61:656—658
— akkumulierte Dosis 61:656—658
— Personaleinsatz 61:656—658
Windeinfluß bei Naturzugkühltürmen
— auf die Kühlleistung 61:465—467
— auf die Schwadengeschwindigkeit 61:465—467
Wirbelschichtfeuerung 61:75—82 61:538
— Reaktionen der Mineralsubstanz 61:482
Wirbelschichtöfen zur Schlammverbrennung 61:844
Wirkungsgrad
— E-Filter 61:945
— einer Heizturbine 61:374—380
— von Kombi-Kraftwerken 61:980—986

Zähigkeit von Generator- und Turbinenwellen 61:800
Zeitstandfestigkeit, Einfluß der Legierungselemente 61:19—25
Zeitstandproben 61:510
Zeitstandschäden 61:307—317
Zeitstandverhalten 13 CrMo 4 4 61:873—882
Zentralkolben 61:48
Zündfeuerung für den Einsatz von Kohlenstaub 61:971—975
Zündverhalten australischer Braunkohle 61:84/85
Zugbänder 61:370
Zukünftige Energiepolitik, Ergebnisse der Enquête-Kommission 61:631—639
Zusatzwasseraufbereitung 61:269
Zustellung von Müllkesseln 61:403
Zwangdurchlaufkessel 61:357—374

Persönliches

Bergmann, Burckhard, ordentliches Vorstandsmitglied der Ruhrgas AG 61:532
Blümel, Martin, gestorben 61:432
Böhnke, Bodo, in den Sachverständigenrat für Umweltfragen berufen 61:700
Böker, Hermann, 60 Jahre 61:1054
Bosselmann, Wilhelm, 50 Jahre 61:72
Brandt, Herbert, gestorben 61:532
Braun, Rudolf, in den Sachverständigenrat für Umweltfragen berufen 61:700
Brecht, Christoph, 60 Jahre 61:1054
Carl, Theodor E., Vorsitzender der J.M. Voith GmbH 61:532
Deublein, Otmar, 60 Jahre 61:355
Durcak, Herbert, 40 Jahre beim RWE 61:883
Egenolf, Walter, 65 Jahre 61:799
Eickhoff, Alfred, gestorben 61:532
Eliasmöller, Hans, Bundesverdienstkreuz 61:1054
Ellerhorst, Horst, 50 Jahre 61:264
Ellmer, Martin, 60 Jahre 61:623
Elsässer, Helmut, 80 Jahre 61:532
Firgau, Werner, 60 Jahre 61:72
Grünert, Werner, gestorben 61:623
Grünewald, Herbert, 25 Jahre bei Bayer 61:623
Haase, Martin, 60 Jahre 61:432
Haber, Wolfgang, in den Sachverständigenrat für Umweltfragen berufen 61:700
Hecker, Gerhard, neuer Vorstand bei VDEW 61:532
Hefter, Peter, zum kaufmännischen Vorstand bei Elektromark ernannt 61:1054
Heidinger, Peter F., im Vorstand der EVS 61:883
Heigl, Friedrich, zum stellvertretenden Geschäftsführer der Lahmeyer International bestellt 61:623
Hennies, Hans-Henning, Vorsitzender der Kerntechnischen Gesellschaft 61:265
Henseler, Hilger, 25 Jahre bei Babcock 61:623
Henschler, Dietrich, in den Sachverständigenrat für Umweltfragen berufen 61:700
Hilberath, Friedrich, 70 Jahre 61:623
Hirschmann, Hans, 25 Jahre bei KWU 61:532
Hottinger, Karl, 70 Jahre 61:532
Jaeschke, Lothar, neuer Uhde-Chef 61:355
Jakobsen, Erik L., 61:966
Jansen, Gerd, in den Sachverständigenrat für Umweltfragen berufen 61:700
Jochum, Friedrich, 60 Jahre 61:623
Just, Karl-Heinz, 65 Jahre 61:72
Kiekenberg, Hermann, 80 Jahre 61:532
Kirchner, Helmut, 50 Jahre 61:355
Kirsch, Helmut, gestorben 61:432
Klein, Günter, zum Professor ernannt 61:799
Klemmer, Paul, in den Sachverständigenrat für Umweltfragen berufen 61:700
Kneller, Christian, gestorben 61:700
Knizia, Klaus, Ehrenpromotion 61:265—268
Knizia, Klaus, Bundesverdienstkreuz 61:799
Knoerzer, Gerhard, 60 Jahre 61:623
Knoll, Helmut, 60 Jahre 61:264
Koch, Hans, Bundesverdienstkreuz 61:799
Krämer, Hermann, NWK-Vorstandssprecher 61:1054
Krüger, Waldemar, gestorben 61:966

Kuhlmann, Albert, in den Sachverständigenrat für Umweltfragen berufen 61:700
Kußmaul, Karl, Bundesverdienstkreuz 61:1054
Laue, Oskar, 93 Jahre 61:799
Laufhütte, Dietrich Wilhelm, gestorben 61:966
Lehmann, Friedrich Wilhelm, VDI-Ehrenmitglieder 61:800
Lilienfein, Heinz, im Ruhestand 61:883
Lühr, Wilhelm, 85 Jahre 61:623
Lupberger, Bernd, 25 Jahre bei der Bayernwerk AG 61:170
Märzendorfer, Hans, zum Vorstandsvorsitzenden und Generaldirektor der Steirische Wasserkraft- und Elektrizitäts-AG ernannt 61:623
Mauer, Walter, im Ruhestand 61:72
Meysenburg, Helmut, 75 Jahre 61:170
Mühlberg, Heinz-Joachim, 60 Jahre 61:264
Müller, Hans, gestorben 61:623
Müller, Paul, in den Sachverständigenrat für Umweltfragen berufen 61:700
Neumann, Willy, gestorben 61:623
Noetzlin, Günther, im Ruhestand 61:623
Noetzlin, Günther, Guilleaume-Gedenkmünze 61:801
Paetz, Hans, 65 Jahre 61:355
Papenfuss, Horst, zum stellvertretenden Geschäftsführer der Lahmeyer International bestellt 61:623
Passavant, Udo, 60 Jahre 61:170
Peters, Werner, 60 Jahre 61:883
Pfender, Max, Grashof-Gedenkmünze 61:800
Plettner, Bernhard, Grashof-Gedenkmünze 61:800
Quack, Rudolf, VDI-Ehrenmitglied 61:800
Rupprecht, Michel, 75 Jahre 61:966
Spieker, Wolfgang, Vorstandsmitglied der Buckau-Walther AG 61:883
Spiller, Kurt, Vorsitzender der Geschäftsleitung Krupp Industrie- und Stahlbau 61:1054
Smidt, Dieter, Vorsitzender der RSK 61:265
Snel, Art, 25 Jahre bei KEMA 61:170
Süthoff, Theodor, 60 Jahre 61:72
Süthoff, Theodor, 25 Jahre bei Klöckner 61:532
Svenson, J.G., 50 Jahre 61:170
Schäff, Karl, 80 Jahre 61:355
Scharpf, Fritz, in den Sachverständigenrat für Umweltfragen berufen 61:700
Schenk, Herbert, 25jähriges Dienstjubiläum 61:355
Schiffers, Ansgar, 50 Jahre 61:1054
Schinn, Rudolf, 70 Jahre 61:264
Schubert, Harald, 60 Jahre 61:883
Schur, Johannes, 60 Jahre 61:170
Schwarz, Ferdinand, zum Technischen Rat ernannt 61:966
Schwarz, Karl, 75 Jahre 61:799
Schwarz, Karl, Bundesverdienstkreuz 61:966
Schwarz, Ottmar, 60 Jahre 61:799
Steinhauer, Otto, 50 Jahre 61:883
Stöltzing, Hans-Georg, 60 Jahre 61:725
Trenkler, Harro, 60 Jahre 61:623
Wangenheim, von, Hans Ulrich, gestorben 61:170
Weber, Ekkehard, in den Sachverständigenrat für Umweltfragen berufen 61:700
Wehrberger, Franz, 70 Jahre 61:966
Wenzl, Erwin, Präsident der VÖE 61:700
Wiehn, Helmut, 25 Jahre bei Babcock 61:72
Witte, Friedrich, gestorben 61:264
Zerna, Wolfgang, 65 Jahre 61:799
Zimmermann, Horst, in den Sachverständigenrat für Umweltfragen berufen 61:700

Buchbesprechungen

AD-Merkblätter 61:966
Air Pollution 61:968
Apparate- und Anlagentechnik 61:73
Bautechnik, Wörterbuch 61:703
Berechnung von verankerten Stahlauskleidungen (Linern) für Betonbehälter 61:434
Chemie der Nuklearen Entsorgung — Teil III 61:967
Dampfkesselbestimmungen 61:1057
Dampfturbinen 61:967
DIN
— Taschenbuch 141 61:435
— Taschenbuch 142 61:435
— Taschenbuch 57 61:704
Energielexikon — Das kleine 61:276
Explosionsschutz elektrischer Anlagen 61:276
Fluidmechanik 61:1057
Freiformschmieden 61:1058
Gespräche zur Zeit 61:703
Gesundheitsschädliche Arbeitsstoffe 61:1057
Handbuch
— Brandschutz 61:968
— der Energieforschung und -entwicklung in der Bundesrepublik Deutschland 61:966
— des Lärmschutzes und der Luftreinhaltung 61:275 61:968
— der Qualitätssicherung 61:967
— SI-Einheiten 61:624
Herstellung und Verwendung von Grobblech 61:435
Immissionsschutz 61:275
Immissionsschutz-Wegweiser 61:170 61:275 61:624
Jahrbuch der Dampferzeugungstechnik 61:276
Kesselbetriebstechnik 61:1058
Kohleveredlung 61:1058
Korrosion und Korrosionsschutz erdverlegter Rohrleitungen und Behälter 61:434
Kunststoffe in der Elektrotechnik 61:624
Kunststoffrohr im Trinkwasser- und Kanalsektor sowie in der Gasversorgung 61:434
Lexikon der industriellen Meßtechnik 61:1057
Lönholdt's Patent-Feuer-Closett 61:624
Messen, Steuern, Regeln, Automatisieren in der Anwendungstechnik 61:968
Optimale Netzführung unter Berücksichtigung von Sicherheitsbedingungen 61:1058

Praxis der Messung und Berechnung von Schallpegeln 61:967
Rechte und Pflichten der Stromkunden 61:1058
Recycling Berlin '79 61:703
Sicherheitstechnik 61:276 61:435
Small and Micro Hydroelectric Power Plants 61:624
Schutzgasschweißer, Teil I: WIG/Plasmaschweißen 61:967
Strömungsmaschinen — Aufbau und Wirkungsweise 61:967
Taschenbuch
— der Stahl-Eisen-Werkstoffblätter 61:1058
— DVS-Merkblätter Widerstandsschweißtechnik 61:967
— für die Stahlindustrie 1981 61:1057
Technische Akademie Wuppertal — Berichte 61:170
Technisch-Wirtschaftliche Zusammenhänge bei der Entstaubung, dargestellt an ausgewählten Industriebranchen 61:170
Technische Regeln für Dampfkessel 61:703
Turbinen, Pumpen und Verdichter 61:1057
Überwachungsbedürftige Anlagen 61:434
Umweltverträglichkeitserklärung 61:968
VDI
— Bericht 377 61:276
— Kommission Reinhaltung der Luft (Hrg) 61:276
Verhalten der Stähle beim Schweißen, Teil I: Grundlagen 61:968
VKS-Atlas Abfalltechnik — Städtereinigung — Straßenwinterdienst 61:967
Vom Atomkern zum Kernkraftwerk 61:1057
Windenergie 61:73

VGB KRAFTWERKSTECHNIK

MITTEILUNGEN DER VGB TECHNISCHE VEREINIGUNG DER GROSSKRAFTWERKSBETREIBER

62. JAHRGANG (1982) • HEFTE 1—12

INTERNATIONALE FACHZEITSCHRIFT FÜR TECHNIK IN WÄRMEKRAFTWERKEN

Herausgeber

VGB TECHNISCHE VEREINIGUNG DER GROSSKRAFTWERKSBETREIBER E.V.

Vorsitzender: Direktor Dipl.-Ing. F.J. Spalthoff, Essen;
Geschäftsführer: Direktor Dr.-Ing. O. Schwarz, Essen.

Anschrift

VGB TECHNISCHE VEREINIGUNG DER GROSSKRAFTWERKSBETREIBER E.V.
Klinkestraße 27—31, Postfach 103932, D-4300 Essen,
Fernruf 198290, Fernschreiber 857507 vgb d.

Chefredakteur

Oberingenieur Dipl.-Ing. H. Bleßmann, Essen.

Redaktion

Oberingenieur Dr. rer. nat. B. Forck, Essen;
Oberingenieur Dr.-Ing. J. Jacobs, Essen;
Abteilungsdirektor Dipl.-Ing. H. Kaes, Essen;
Oberingenieur Dipl.-Ing. A. Kantner, Essen;
Oberingenieur Dr. rer. nat. H. Kittel, Essen;
Abteilungsdirektor Dipl.-Ing. K. Plate, Essen;
Abteilungsdirektor Dr.-Ing. G. Schlegel, Essen;
Oberingenieur Dipl.-Ing. G. Welten, Essen.

Wissenschaftlicher Redaktionsbeirat

Professor Dr. J. Beér, Cambridge/Massachusetts;
Professor Dr.-Ing. F. Brandt, Darmstadt;
Professor Dr. techn. D. Johnson, Trondheim;
Professor Ir. J.J.C. van Lier, Delft;
Professor Dipl.-Ing. Dr. techn. W. Linzer, Wien;
Professor Dr. techn. O.I. Martynova, Moskau;
Professor (em.) Dr.-Ing. P. Profos, Zürich;
Professor (em.) Dr.-Ing. R. Quack, Stuttgart;
Professor (em.) Dr. phil. H. Rögener, Hannover;
Professor Dr. rer. nat. R. Schulten, Aachen;
Professor Dipl.-Ing. I.D. Stancescu, Bukarest.

Technischer Redaktionsbeirat

Oberingenieur H. Berggren, Malmö;
Direktor Professor Dr.-Ing. H. Brüderlin, Stuttgart;
Direktor Dr.-Ing. H. Krolewski, Dortmund;
Direktor Dr.-Ing. G. Noetzlin, Marl;
Direktor Dr.-Ing. H. Novak, Nürnberg;
Dipl.-Ing. J. Pettersen, Lyngby;
Direktor F. Scheurer, Paris;
Direktor Dr.-Ing. E.h. Dipl.-Ing. W. Schoch, Mannheim.

Vertrieb und Anzeigenverwaltung

VGB-KRAFTWERKSTECHNIK GMBH, Klinkestraße 27—31, Postfach 103932,
D-4300 Essen, Fernruf 198242, Fernschreiber 857507 vgb d.
Verantwortlich für Vertrieb und Anzeigenteil: R. Rätz.

Erscheinungsweise

monatlich, außerdem erscheint zeitlich verschoben
eine englische Fassung dieses Heftes

Inhaltsverzeichnis 1982

DIE FOTOS DER VERFASSER FINDEN SIE AUF DEN SEITEN II BIS XIII

In den zwölf Heften des Jahrganges 62 sind enthalten:

1	2	3	4	5	6
1—72	73—160	161—248	249—336	337—434	435—530

7	8	9	10	11	12
531—632	633—736	737—816	817—904	905—1006	1007—1112

Verfasserverzeichnis 1982

Aarnink, H.J., Hochartz, H.A., und Schrieken, J.: Die Optimierung des Speisepumpensystems 62:283—288

Aarnink, H.J., Hochartz, H.A., und Schrieken, J.: Kesselspeisepumpe und Antriebsturbine mit Kondensationsanlage als ein Gesamtsystem 62:608—613

Ambros, R., siehe Paffrath, G.

Armor, A.F., siehe Giovanni, D.V.

Arens-Fischer, F., siehe Mai, E.

Banga, U.H., und Tiktak, A.: Betriebserfahrungen aus dem Kernkraftwerk Borssele 62:337—339

Balthesen, E.: Die HTR-Weiterentwicklung in Japan, in der Sowjetunion und in anderen Ländern 62:1015—1018

Baran, M., und Pronobis, M.: Konvektiver Wärmeübergang bei querangeströmten Membranrohren 62:633—641

Bates, B.T., und Townsend, R.D: Bewertung der Lebensdauer unter Kriechbelastung — Fach- und verwaltungstechnische Aspekte 62:480—486

Baust, E.: Strom und Prozeßdampf aus einem 500-MW-Hochtemperaturreaktor 62:1018—1024

Bechler, E.: Rohrleitungstechnik — ein Ingenieurberuf am Beispiel der konventionellen Kraftwerkstechnik 62:665—676

Becker, N., und Renz, U.: Der Einfluß der Rippenrohranordnung auf die Abmessungen von Naturzug-Trockenkühltürmen 62:113—119

v. Berg, W.: Flugasche als Betonzusatzstoff nach DIN 1045 — Anforderungen, Eigenschaften und Auswirkungen auf den Beton 62:967—977

Beste, A., Friedl, K.-H., Mayer, K.-H., und Wiemann, W.: Ermittlung der Betriebsfestigkeit von Turbogeneratorwellen infolge elektrischer Störfälle 62:613—626

Bilger, H., siehe Stäbler, K.

Biniaris, S.: Chemische Umwandlung von gasförmigen Emissionen in Abgasfahnen von Kraftwerken am Beispiel der Umwandlung des NO zu NO_2 62:500—505

Biniaris, S.: Staubausbreitung in Abgasfahnen von Kraftwerken 62:1085—1091

Bittner, H.: Neue Kabel- und Rohrschottsysteme 62:949—955

Bökenbrink, D., Tripp, H., Mucha, R., und Wittenzellner, N.: Ein EDV-gestütztes System zur Strahlenschutzüberwachung in Kernkraftwerken 62:191—198

Braun, B.O.: Probleme und deren Lösung bei der Umrüstung öl-/gasbefeuerter Dampferzeuger auf Kohle 62:94—102

Braunstein, L., Hochmüller, K., und Spengler, K.: Die Bestimmung kolloidaler Kieselsäure im Wasser unter Einsatz eines hydrothermalen Druckaufschlußverfahrens 62:789—791

Breckwoldt, E., siehe Cerjak, H.

Buchholz, E., und Temelli, S.: Optimierung der Verbrennung in einem Müllkessel 62:781—785

Bursik, A.: Vergleichende Untersuchungen zur Konditionierung von Kesselspeisewasser 62:36—41

Buss, E., Freedman, A.J., und Probst, W.: Neue Konditionierungsverfahren zum Korrosionsschutz in Umlaufkühlsystemen bei Einsatz kalkentcarbonisierten Zusatzwassers 62:123—126

Camarinopoulus, L., Schallopp, B., und Vaudrey, P.: Zuverlässigkeit von Turbinenschutzsystemen 62:646—651

Carr, R.C., siehe Giovanni, D.V.

Cerjak, H., Breckwoldt, E., Löhberg, R., Schmidt, J., und Papouschek, F.: Kaltrisse beim Schweißen niedriglegierter Stähle — Erscheinungsbilder, Ursachen, Abhilfen 62:318—324

Chi, H.-W., siehe Simon, W.A.

Dewald, D.: Neue Schalldämpfer für Rauchgase 62:602—608

Dirks, E.: Unfallverhütung in Abfallverbrennungsanlagen 62:198—204

Dittmar, H., Doležal, R., und Rolf, A.: Aufgaben und Beschreibung des VEW-Anfahrprogramms 62:567—577

Doležal, R., siehe Dittmar, H.

Dörr, A., und Paffrath, G.: Erfahrungen mit dem Betrieb wassergekühlter Generatoren im Kernkraftwerk Biblis 62:220—223

Dürrfeld, R., siehe Wijlhuizen, H.

Effertz, P.-H., Forchhammer, P., und Hickling, J.: Spannungsrißkorrosionsschäden an Bauteilen in Kraftwerken — Mechanismen und Beispiele 62:390—408

Edding, Fr.: Praxis macht den Meister — Das Bildungswesen der Wirtschaft vor neuen Aufgaben 62:548—552

Eichhorn, G., siehe Florjancic, D.

Eiden, H., und Mai, E.: Rohrleitungen in Kraftwerken, Bewährung und Schwachstellen 62:409—416

Elshout, A.J.: Luftverunreinigungsprobleme und Messungen aus Flugzeugen 62:295—303

Engelmann, P.: Hochtemperatur-Prozeßwärme für die Nukleare Fernenergie 62:1027—1030

Ewald, J., Hübner, H., Kraemer, H., Niel, K., und Schmitz, A.W.: Nicht magnetisierbare Stähle für Generator-Kappenringe, Teil 1 62:891—896

Ewald, J., Hübner, H., Kraemer, H., Niel, K., und Schmitz, A.W.: Nicht magnetisierbare Stähle für Generator-Kappenringe — Herstellung, mechanische Prüfung und Anforderungen, Teil II 62:988—999

Felix, P.C.: Korrosionsschutz in modernen Gasturbinen — Stand der Entwicklungen 62:652—656

Flittner, W., siehe Simon, U.

Florjancic, D., Eichhorn, G., und Frei, A.: 50 Jahre Entwicklung von Sulzer-Kesselspeisepumpen 62:861—873

Forchhammer, P., siehe Effertz, P.-H.

Franke, H.-J.: Kesselumwälzpumpen 62:676—680

Freedman, A.J., siehe Buss, E.

Frei, A., siehe Florjancic, D.

Friedl, K.-H., siehe Beste, A.

Freymeyer, Ph., und Scherschmidt, F.: Neues leittechnisches Konzept für das automatische konventionelle Dampfkraftwerk 62:268—275

Fürtges, K.: Turbinenölpflege mittels Coalisieranlagen im Nebenstrom 62:761—767

Geis, H.: Planung und Bau eines geschlossenen Kohlelagers für das Heizkraftwerk Sandreuth der EWAG Energie- und Wasserversorgung AG 62:455—459

Gerlach, H.D., Lüdeke, M., und Schröter, H.-J.: Auslegung, Konstruktion und Berechnung von druckführender Umschließung und Reaktorsicherheitsbehälter von Leichtwasserreaktoren 62:722—730

Giglberger, J.: Behandlung von Rückständen aus Müllverbrennungsanlagen 62:786—789

Giovanni, D.V., und Carr, R.C.: Umweltschutzmaßnahmen für Kohlekraftwerke in den USA 62:460—472

Giovanni, D.V., und Armor, A.F.: Die Verbesserung des thermischen Wirkungsgrades konventioneller Kraftwerke 62:78—89

Gneuss, G.: Sonnenenergie in Kleinkraftwerken am Beispiel der Solar-Turmanlage in Almeria/Spanien 62:1079—1085

Götzen, W.: Das Kraftwerk Voerde 62:855—861

Grotloh, Kh. und Hubler, P.: Funktionsnachweis von Ventilen und Antrieben für Kernkraftwerke aus der Sicht des Herstellers 62:275—283

Grünschläger, E., siehe Resch, G.

Haneke, R., Hillermann, B.-A., und Röbig, W.: Berechnung von Braunkohlegebläse-Schlägermühlen mit Hilfe der Methode der Finiten Elemente 62:691—699

Hamacher, V., Meyer, E., und de La Riva, C.: Auswertung kontinuierlicher Emissionsmessungen 62:877—881

Heibrock, W.: Organisatorische Sofortmaßnahmen nach einem Brand und Sanierungsmöglichkeiten an Gebäuden, maschinellen und elektronischen Einrichtungen 62:775—781

Heikamp, M.J.: Betriebserfahrungen 62:19—22

Heitmann, H.-G., und Kastner, W.: Erosionskorrosion in Wasser-Dampfkreisläufen — Ursachen und Gegenmaßnahmen 62:211—219

Helske, J., und Järnström, R.: Erfahrungen im Kernkraftwerk Loviisa mit der Dekontamination von Dampferzeugern und Primärkreiskomponenten 62:223—227

Hermans, J.A.M.: Entwurf und Konstruktion des Kraftwerkes 62:5—8

Hickling, J., siehe Effertz, P.-H.

Hillermann, B.-A., siehe Haneke, R.

Hirschfelder, G.: Das 300-MW-THTR-Kernkraftwerk — Baufortschritt, Termine und Kosten 62:1007—1010

Hoch, L.A.: Verfügbarkeits- und Zuverlässigkeitsergebnisse — Methoden und Strategien 62:289—294

Hochartz, H.A., siehe Aarnink, H.J.

Hochmüller, K., siehe Braunstein, L.

Hoekstra, J., siehe Woldringh, S.H.

Hoffmann, K.: Moderne Werkstoff- und Umformkonzeption für große standortgefertigte Druckbehälter 62:233—237

Hosser, D., und Schneider, U.: Bestandsaufnahme des Brandschutzes in Kernkraftwerken 62:487—495

Hubler, P., siehe Grotloh, Kh.

Huijskens, B.J.M.M.: Die Struktur der niederländischen Elektrizitätsversorgung 62:1/2

Hübner, F.-W., Kerkhoff, H., und Schuhmacher, J.: Schnelle Wiederinbetriebnahme einer schadhaft gewordenen Kesseltrommel 62:715—722

Hübner, H., siehe Ewald, J.

Ibing, H.-P.: Eignung von Halon-Löschanlagen für den Einsatz in Kraftwerken 62:680—684

Ide, G.: Betriebserfahrungen mit dem Naturzug-Naßkühlturmbetrieb bei starkem Frost im Kraftwerk Arzberg der BELG 62:26—36

Jacobs, J.: Einsatz von Flugstaub aus Steinkohlenfeuerungen im Betonbau 62:1099—1106

Järnsröm, R., siehe Helske, J.

Jaerschky, R., siehe Rieser, R.

Johnson, D.G.: Möglichkeiten der Kombi-Kraftwerke mit Hochtemperatur-Gasturbinen 62:167—173

Junkers, G.: Erfahrungen mit Federelementen zur Stabilisierung von Niederschlagselektroden in Elektrofiltern 62:699—701

Jürgens, D.: Erfahrungen mit der Langzeitüberwachung von Kesselbauteilen und Rohrleitungen 62:473—480

Kaspar, K.: Ältere Dampfturbinen im Kraftwerksbetrieb aus der Sicht des Maschinenversicherers 62:249—256

Kastner, W., siehe Heitmann, H.-G.

Kassebohm, B., und Westphal, B.W.: Korrosionsmindernde Maßnahme beim Bau der 6. Verbrennungseinheit für die Müllverbrennungsanlage Flingern 62:702—710

Kautz, K.: Zur Bedeutung des Mazeralbestandes im Rahmen der Eigenschaften von Steinkohlen weltweiter Herkunft und deren Einflüsse auf die Feuerraumauslegung großer Trockenfeuerungen 62:205—210

Kerkhoff, H., siehe Hübner, F.-W.

Kienböck, M.: Schwingungsverhalten niedrigberippter Rippenrohre 62:584—593

Kirtley, W.F., siehe Weeks, R.J.

Knirsch, H.: Rekuperatoren für Gasturbinen 62:495—499

Knizia, K.: Das Marktpotential des Hochtemperaturreaktors 62:1032—1036

Knoche, K.F.: Hochtemperatur-Prozeßwärme zur thermochemischen Wasserspaltung 62:1030/1031

Knoerzer, G., siehe Rieser, R.

Koch, H.: Entstehung und Verhütung von Emissionen in der Kraftwirtschaft 62:873—876

Kolar, J.: Grundsätzliches zur Planung und Errichtung des örtlichen Heizkraftwerkes Sandreuth der EWAD Energie und Wasserversorgung AG, Nürnberg 62:440—454

Kowalczyk, U., und Tichatschke, J.: Behandlung von Abwässern aus Müllverbrennungsanlagen 62:882—887

Kraemer, H., siehe Ewald, J.

Krischke, H.G., und Langhoff, J.: Die atmosphärischen Wirbelschichtanlagen der Ruhrkohle AG, Flingern und König Ludwig — Aufbau und bisherige Betriebserfahrungen 62:119—122

Krieges, H.: Das Konvoi-Konzept für Kernkraftwerke 62:753—761

Krolewski, H.: Bauwesen in der Kraftwerkstechnik 62:1092—1099

Krupp, H.: Technische Innovation und industrieller Strukturwandel 62:828—840

Kußmaul, K.: Der Integritätsnachweis für strahlenversprödete Reaktordruckbehälter 62:1060—1076

Langhoff, J., siehe Krischke, H.G.

Laymann, H.-J., siehe Nagel, A.

Litaudon, J.: Berufsweg und Ausbildung des Betriebspersonals für Kraftwerke in Frankreich 62:73—78

Lottermoser, H.: Kühlwasserpumpen in Betonbauweise 62:767—772

Löhberg, R., Wesseling, U., und Tenckhoff, E.: Metallographische und fraktographische Untersuchungen an Bauteilen (Abdrucktechniken und Schiffchenentnahme) 62:519—524

Löhberg, R., siehe Cerjak, H.

Lüdeke, M., siehe Gerlach, H.D.

Mai, E., siehe Eiden, H.

Mai, E., und Arens-Fischer, F.: Untersuchungen über die Zuverlässigkeit von gesteuerten Sicherheitsventilen 62:934—939

Maile, K., und Tanabe, T.: Beitrag zum Nachweis der Dehnungsalterung bei warmfesten Stählen 62:792—802

Maghon, H.: Die Gasturbine im Grundlasteinsatz 62:256—263

Mangold, K., Resch, G., Zinke, K., und Stücker, G.: Zerfall von Wasserstoffperoxid in wäßriger Lösung 62:710—714

Marci, G.: Kritische Betrachtung des „Failure-assessment"-Diagramms als generelles Auslegungskriterium 62:324—331

Martinola, F.: Betriebserfahrungen mit einem neuen starkbasischen Anionenaustauscher 62:887—890

Maushagen, H.K.: On-stream-Abdichten undichter Flanschverbindungen mit dem Compound-Abdichtverfahren 62:435—440

Mayer, K.-H., siehe Beste, A.

Meyer, E., siehe Hamacher, V.

Morlock, D.: Dichtschließende Absperrklappen in Rauchgaskanälen — Konstruktionsmerkmale und Betriebserfahrungen 62:593—602

Mucha, R., siehe Bökenbrink, D.

Müller, A.: Rußbläseranlagen in großen Kraftwerken — Betrieb, Steuerung und Bewertung des Schalldruckes 62:945—949

Müller, E.: Umrüstung von Kesseln von Steinkohle und Öl auf Trocken-Braunkohlenstaub 62:578—584

Nagel, A., Weiß, A., und Laymann, H.-J.: Eignungsprüfung von Rohrleitungs-Unterstützungselementen in Kraftwerken 62:416—423

Niel, K., siehe Ewald, J.

Nix, N.: Überwachung von Umkehrosmose-Anlagen mit der automatischen Messung des Verblockungs-Index 62:133—135

Ool, H.G.A. van: Leittechnik 62:9—12

Oschmann, W., Schiffers, A., und Trümper, V.: Neue Aspekte zur Kondensatreinigung 62:49—53

Paul, G.: Umstellung von Asbest-Stopfbuchspackungen auf Reingrafit bei HD/MD-Ventilen und -Schiebern, Betriebserfahrungen 62:772—774

Paffrath, G., und Ambros, R.: Scanner-Sipping-Verfahren 62:313—317

Paffrath, G., siehe Dörr, A.

Papouschek, F., siehe Cerjak, H.

Peters, W.: Hochtemperaturreaktor-Prozeßwärme zur thermochemischen Wasserspaltung 62:1024—1026

Potthast, U., und Strauß, K.: Erfahrungen aus Auslegung und Betrieb eines steinkohlebefeuerten 2200-t/h-Dampferzeugers 62:356—365

Plür, R.: Neuere Ergebnisse der Fernheizwasserbehandlung bei der Energieversorgung Oberhausen AG 62:54—57

Probst, W., siehe Buss, E.

Profos, P.: Untersuchung stabilitätsgefährdeter technischer Prozesse 62:144—150

Pronobis, M., siehe Baran, M.

Reichenbach, K.: Die Leistungsfähigkeit der Industrievermessung 62:1106—1108

Resch, G., und Grünschläger, E.: Die Ionenchromatographie — ein analytisches Verfahren zur Untersuchung von Wasser und Abwasser 62:127—132

Resch, G., siehe Mangold, K.

Renz, U., siehe Becker, N.

Renze, H.: Neues Konzept einer Blockregelung mit Frequenzstützung bei der Betriebsart „Natürlicher Gleitdruck" für Zwangdurchlaufkessel 62:656—665

Richter, W.: Anwendung von Berechnungsmodellen für Feuerräume 62:845—852

Rietjens, L.H.Th.: Gründe für die Weiterentwicklung des MHD-Verfahrens 62:22—26

Rieser, R., Knoerzer, G., Jaerschky, R., Steinrück, K., und Roettges, H.: Kernkraftwerk Isar 1 — Betriebserfahrungen, Vorbereitung und Durchführung der Umrüstung 62:914—926

Risse, F.: Arbeiten unter Hitzeeinfluß — aus arbeitssicherheitstechnischer Sicht 62:109—113

de La Riva, C., siehe Hamacher, V.

Roettges, H., siehe Rieser, R.

Rolf, A., siehe Dittmar, H.

Romeyke, N., und Stoff, H.: Vereisung an Gasturbinen-Verdichtern und die betrieblichen Auswirkungen 62:552—560

Röbig, W., siehe Haneke, R.

Ruppelt, F.: Berechnung von Dämmdicken für den Wärmeschutz von Kraftwerken unter besonderer Berücksichtigung steigender Primärenergiepreise 62:685—691

Sandström, R., und Kondyr, A.: Kriechverformung, Anhäufung von Zeitstandschädigungen und Voraussage der Restlebensdauer für drei Mo- und CrMo-Stähle 62:802—813

Siegers, G., und Wutte, G.: Liftbett- und Rinsebett-Verfahren, neuartige Ionenaustauscher-Technologien 62:42—48

Simon, U., Flittner, W., und Werner, K.-D.: Untersuchungen zur Schichtströmung 62:641—645

Sillekens, C.J.: Die Automatisierung der Clauscentrale 62:12—18

Simon, W.A., und Chi, H.-W.: Gegenwart und Zukunft des Hochtemperaturreaktors in den USA 62:1011—1014

Sneek, E.J., und Snel, A.: Untersuchungen über Erosionskorrosionsvorgänge im Eintrittsbereich von Kondensatorrohren 62:227—232

Snel, A., siehe Sneek, E.J.

Sneek, E.J., siehe Zoestbergen, P.

Spalthoff, F.J.: Tagesfragen der Kraftwerkstechnik 62:840—844

Spähn, H., und Steinhoff, U.: Bemerkungen zur zerstörungsfreien Prüfung von standortgefertigten Kugeldruckbehältern 62:61—66

Speidel, M.O.: Nichtmagnetisierbare Stähle für Generator-Kappenringe, ihr Widerstand gegen Gewaltbruch und Versprödung 62:424—428

Spengler, K., siehe Braunstein, L.

Schabacher, W.: Vorschriften über Hydrazin als Arbeitsstoff 62:139—144

Schallopp, B., siehe Camarinopoulus, L.

Schenkel, W.: Recycling statt Deponie — eine öffentliche Aufgabe 62:963—967

Scherschmidt, F., siehe Freymeyer, Ph.

Schiemichen, P.Ch.: Wirtschaftliche und technische Gesichtspunkte mobiler Offshore-Kraftwerksanlagen bei kurzen Standzeiten 62:174—178

Schiffers, A., siehe Oschmann, W.

Schlaich, J.: Aufwindkraftwerke 62:926—929

Schlotmann, W.: Müll- und Klärschlamm-Verbrennungsanlage Bamberg — Aufbau und Betriebserfahrungen 62:956—962

Schmidt, J., siehe Cerjak, H.

Schmidt, M.: Eigenschaften und Aufbereitung von Rückstandsöl als Gasturbinen-Brennstoff 62:561—566

Schmitz, A.W., siehe Ewald, J.

Schneider, U., siehe Hosser, D.

Schrieken, J., siehe Aarnink, H.J.

Schroeder, H.J., Bosselmann, W., und Kittel, H.: Probleme der DWR-Sekundärwasserchemie — Schwerpunkte, Ziele, Lösungswege 62:309—312

Schröter, H.-J., siehe Gerlach, H.D.

Schumacher, J., siehe Hübner, F.-W.

Schwarz, O.: 25 Jahre KRAFTWERKSSCHULE E.V. 62:542—548

Schwarz, O.: Kurzbericht über die Tätigkeit der VGB 62:737—753

Schwirten, D., und von Freier, H.: Aktuelles zu Luftreinhaltevorschriften 62:1076—1079

Stäbler, K., und Bilger, H.: Erfahrungen bei der Umrüstung des Kernkraftwerks Philippsburg, Block 1 62:339—346

Steinhoff, D.: Zur Toxikologie des Hydrazins 62:135—139

Steinhoff, U., siehe Spähn, H.

Steinrück, K., siehe Rieser, R.

Stelling, H.: Gummi-Kompensatoren — Stand der Entwicklung und Betriebserfahrungen 62:939—945

Sterff, J.: Die Mensch-Prozeß-Beziehung bei der Führung moderner Kraftwerksprozesse 62:263—267

Stoff, H., siehe Romeyke, N.

Strauß, K., siehe Potthast, U.

Strücker, G., siehe Mangold, K.

Sturmath, R.: Überlagerungsgetriebe DURUVAR zum Antrieb von Kesselspeisepumpen 62:930—934

Taelemans, G.: Inbetrieb-Prüfung von Kondensatorrohren mit Hilfe elektrochemischer Verfahren 62:57—60

Täubert, U.: Reststoffe aus Kohlekraftwerken für die Bautechnik — Verwendung von Flugstaub im Straßenbau 62:977—988

Temelli, S., siehe Buchholz, E.

de Temple, B.E.R.J., und Gottwald, W.: Die Probleme des Weichstoffkompensators 62:1049—1060

Tenckhoff, E., siehe Löhberg, R.

Tiktak, A., siehe Banga, U.H.

Toussaint, A.: Verwertung von Verbrennungsrückständen aus Müllverbrennungsanlagen im Straßen- und Wegebau 62:303—308

Townsend, R.D., siehe Bates, B.T.

Tripp, H., siehe Bökenbrink, D.

Trümper, V., siehe Oschmann, W.

Vaudrey, P., siehe Camarinopoulus, L.

Wein, W.: Verbrauchsnahe Energieerzeugung durch ein Heizkraftwerk mit der umweltfreundlichen „Zirkulierenden, atmosphärischen Wirbelschichtfeuerung" 62:185—190

Weinzierl, K.: Kohlevergasung zur Wirkungsgradverbesserung im Kraftwerk 62:365—379, 852—854

Weiß, A., siehe Nagel, A.

Weiß, H.: Reingrafit-Dichtungen — Problemlösungen für die Kraftwerkstechnik 62:506—511

Weeks, R.J., und Kirtley, W.F.: Zur Optimierung des sicheren und rationellen Betriebes von kohlenstaubbefeuerten Anlagen 62:89—94

Wengefeld, P., und Wied, E.: Konzept für ein umweltfreundliches Heizkraftwerk mit aufgeladener Wirbelschichtfeuerung 62:102—109

Werner, K.-D., siehe Simon, U.

Wesseling, U., siehe Löhberg, R.

Westphal, B.W., siehe Kassebohm, B.

Wetzl, R.: Heutige Leittechnik — Konzepte — Notwendigkeit oder Komfort? 62:1036—1048

Wied, E., siehe Wengefeld, P.

Wiemann, W., siehe Beste, A.

Wijlhuizen, H., und Dürrfeld, R.: Kohlevergasung mit integrierter Elektrizitätserzeugung 62:179—185

Wittchow, E.: Trommelkessel oder Durchlaufkessel: Einfluß des Verdampfersystems auf die Auslegung und das Betriebsverhalten der Anlage 62:346—356

Wittenzellner, N., siehe Bökenbrink, D.

Woldringh, S.H., und Hoekstra, J.: Zwölfeinhalb Jahre sicherer Betrieb des Kernkraftwerkes Dodewaard 62:161—167

Wutte, G., siehe Siegers, G.

Zanten, J. van: Die Gesamtplanung des Kraftwerkes Clauscentrale 62:3—5

Zimmermann, C.: Stand und Tendenzen in der Technik und der Anwendung der Kühlteich-/Sprühkühlteichtechnologie 62:512—519

Zimmermann, H.: Leistungsregelung im Verbundnetz 62:379—383

Zinke, K., siehe Mangold, K.

Zoestbergen, P., und Sneek, E.J.: Erfahrungen in der Eemscentrale mit Umberohrung des Kondensators von Sondermessing 76 auf Titan 62:383—390

Sachverzeichnis 1982

Abbrandverhalten der Mazerale 61:206—209
Abdichten von Flanschverbindungen 62:435—440
Abdruckverfahren 62:519—524
Abfälle, Beseitigung bzw. Wiederverwendung, USA 62:460—473
Abfallstoffe, Verwertung 62:963
Abfallverarbeitungsanlage 62:166
Absolventen mit dem Abschluß „Kraftwerksmeister" und „Kraftwerker" 62:546
Absorptions-Schalldämpfer für Rauchgase 62:602
Absperrklappen in Rauchgaskanälen
— Konstruktion 62:593
— Betriebserfahrungen 62:593
Abwärme, Kohlekraftwerke, USA 62:460—473
Abwasser
— Kohlekraftwerke, USA 60:460—473
— Müllverbrennungsanlagen 62:882, 960
Abwasseranalyse mit Ionenchromatographie 62:127—132
Acrylharz-Anionenaustauscher 62:887—890
Alkalische Fahrweise von Wasser-Dampfkreisläufen 62:36—41
Altanlagenregelung 62:1076—1079
Analyse
— von Wasser und Abwasser mit Ionenchromatographie 62:127—132
— von Wasser auf kolloidale Kieselsäure 62:789—791
Anfahrvorgang einer Wirbelschichtfeuerung 62:122
Anionenaustauscher, neuer starkbasischer Typ 62:887—890
Anisotropie, Generator-Kappenringe 62:988
Anlagenbegriff 62:873—876, 1076—1079
Anlagen- und Aggregateschutz, heutige Konzepte 62:1040—1041
Anrißlastspielzahl 62:621
Antrieb
— von Speisewasserpumpen 62:930
— für Großarmaturen in Kernkraftwerken, Funktionsnachweis 62:275
— von Klappen und Schiebern in Rauchgaskanälen 62:593
Antriebsturbine und Speisepumpe als Gesamtsystem 62:608
Arbeitsausnutzung von Braunkohleblöcken 62:289—294
Arbeitsstoffverordnung, Einstufung von Hydrazin 62:139—144
Armaturengehäuse, Schäden 62:411
Asche, Beseitigung, USA 62:460—473
Atmosphärische Wirbelschichtfeuerung 62:119—122
Aufbereitung
— von Abwässern aus MVA 62:884
— von Rückstandsöl für Gasturbinen 82:561
Aufgeladene Wirbelschichtfeuerung 62:102—107
Aufschlußverfahren zur Bestimmung kolloidaler Kieselsäure 62:789—791
Auftragsdosimetrie, EDV-gestütztes System 62:191—198
Aufwindkraftwerk 62:1092—1099
— Prototyp in Manzanares/Spanien 62:926
— Perspektiven wirtschaftlich und technisch 62:928
— Turbine — thermischer Speicher — Foliendach 62:927
Ausbildung
— von Kraftwerkspersonal 62:91/92
— an der KRAFTWERKSSCHULE E.V. 62:542—548
— des Betriebspersonals in Frankreich 62:73
Ausbildungsanforderungen der EdF 62:73
Ausbildungszentren der EdF 62:76
Ausbreitung 62:500—505
— von Rauchgasfahnen 62:295—303
Ausbreitungsrechnung 62:500—505
Ausfallstatistik der Automatisierung im Kraftwerk Clauscentrale 62:16—18
Auslegung von Feuerräumen 62:95/96
Axialschubausgleich an Speisepumpen 62:861

Bamberg, Müll- und Klärschlammverbrennung 62:956
Basissicherheit 62:917
Bauleitplanung 62:1092—1099
Baumusterprüfung, Rohrhalterungen 62:423
Bauschinger-Effekt 62:235
Baustoffe 62:967 62:1099
— Kraftwerksnebenprodukte 62:963
— aus Verbrennungsrückständen 62:303
Bebauungsplan 62:1092—1099
Behandlung von Abwässern aus Müllverbrennungsanlagen 62:786—789, 882—887, 960

Belästigungsgesetz 62:161
Berechnung, Reaktorsicherheitsbehälter 62:722—730
Beschaffenheit der Abwässer bei MVA 62:883
Beschichtungen, Generator-Kappenringe 62:896
Bestrahlungsüberwachungsprogramm 62:1065
Betonbau, Gehäuse für Kühlwasserpumpen 62:767
Betontechnologie 62:967, 1097, 1099
Betonzusatzstoff 62:967
Betriebsbewährung von korrosionsmindernden Maßnahmen bei einer MVA 62:709
Betriebserfahrungen
— im Kraftwerk Clauscentrale 62:19—22
— mit Reingrafit-Stopfbuchspackungen 62:572
Betriebsfestigkeitsversuche, Turbogeneratorwellen 62:613—627
Betriebspersonal, Anforderungen 62:842
Betriebsverhalten von Gasturbinen 62:256
Betriebszuverlässigkeit von Braunkohleblöcken, Methoden und Strategien zur Verbesserung 62:289—294
Beurteilungsflächen, Verkleinerung von 62:1076—1079
Beurteilungszeitraum 62:877—881
Bildungswesen der Wirtschaft 62:548—552
Bindemittel, Flugasche 62:967
Biotzahlen 62:637/638
Bodenverfestigung
— mit Müllverbrennungsaschen 62:308
— mit Flugasche 62:977
Brandschutz
— Halon-Löschanlagen 62:680—684
— in Kernkraftwerken 62:487—495
— neue Kabel- und Rohrschottsysteme 62:949—955
— organische Sofortmaßnahmen nach einem Brand 62:775—781
Braunkohle-Gebläse-Schlägermühlen, Spannungsanalyse 62:691—699
Braunkohlenstaub, brennfertiger 62:579
Brennelemente, Dichtheitsprüfung mit dem Scanner-Sipping-Verfahren 62:313—317
Brenner für Öl und Kohlenstaub 62:100, 583
Brennergürtelbelastung 62:95/96
Brennkammern bei Gasturbinen 62:262
Brennprofile verschiedener Kohlearten 62:209
Brennstoffaufbereitung für Gasturbinen 62:561
Brennstoffhandhabung 62:164
Brennstoff-Versorgung bei der Wirbelschichtfeuerung 62:104, 121
Bruchflächenabdruck 62:522
Bruchmechanik 62:1064
Bruchzähigkeit
— Kappenringstähle 62:424—428
— Reaktordruckbehälter 62:1066
Bundes-Immissionsschutz-Gesetz, Änderung der Großfeuerungsanlagen-Verordnung 62:1076—1079
Bypassventil, Funktionsnachweis 62:275

CEGB-Betriebserfahrungen 62:481—486
Clauscentrale
— Automatisierung 62:12—18
— Betriebserfahrungen 62:19—22
— Entwurf und Konstruktion 62:5—8
— Gesamtplanung 62:3—5
— Leittechnik 62:9—12
Coalisieranlage 62:761
Compound-Abdichtverfahren 62:435—440

Dämmdicken, Berechnung 62:685—691
Dammschüttungen mit Müllverbrennungsaschen 62:305
Dampferzeuger
— Abnahmeversuche 62:356—365
— Anfahrdiagramm 62:346—356
— Anfahrprogramm VEW-Gersteinwerk 62:567—577
— Anfahrprogramm-Simulation 62:567—577
— Auslegung, Planung 62:356—365
— Betriebserfahrungen 62:356—365
— Brennkammerauslegung 62:346—356
— Brennkammerendtemperatur 62:356—365
— Druckwasserreaktor 62:238
— in Druckwasserreaktoren, Dekontamination 62:223—227
— Heizflächenwärmeaufnahme 62:356—365
— Kesselbauhöhe 62:356—365
— Korrosionen, rauchgasseitig 62:356—365
— Laständerungen 62:346—356
— Minimierung der Anfahrkosten 62:567—577
— Nettowärmeverbrauch 62:346—356
— Optimierung des Anfahrvorganges 62:567—577
— Regelung 62:346—356
— Simulation des Anfahrvorganges 62:567—577
— Verdampfersysteme 62:346—356
— Verdampfungsendpunkt, fest/variabel 62:346—356
— Versuche zur Sekundärwasserchemie in DWR 62:238
Dampfturbinenkondensator, Umberohrung auf Titan 62:383
Dampfturbinen-Statistik 62:249
DDA-Mitteilungen 62:150—153
Deformationsmessungen 62:1106—1108
Dehnungsalterung, warmfeste Stähle 62:792—802
Dehnungsgeschwindigkeit 62:805
Dehnungsmessung an Kesseltrommeln 62:719
Dehnungsmeßstreifen, Hochtemperatur 62:437—440
Dehnungswechselvorbeanspruchung 62:793
Dekontamination, Erfahrungen im Kernkraftwerk Loviisa 62:223—227
Deponie von Rückständen aus der Müllverbrennung 62:786
Deposition 62:295—303
Dichteunterschiede 62:641
Dienst voor het Stroomwezen 62:337
Dichtungen aus Reingrafit 62:507, 772
Drag-Kennzahl 62:644
Druckbehälter, Werkstoffe 62:233—237

druckbetriebene Wirbelschichtfeuerung 62:102—107
Druckwasserreaktor
— Dampferzeugerversuche 62:238
— Dekontamination von Dampferzeugern und Primärkreiskomponenten 62:223—227
— Probleme der Sekundärwasserchemie 62:309—312
— Untersuchungen zur Sekundärwasserchemie 62:238
Dynamischer Reaktorschutz (RS) 62:916

Eigenschaften von Verbrennungsrückständen 62:303
Eisensulfat, Dosierung gegen Erosionskorrosion an Kondensatorrohren 62:227—232
Eiswarnsystem bei Gasturbinenanlagen 62:552
Elektrizitätsversorgung — Niederlande 62:1/2
Elektrofilter
— Federelemente 62:699—701
— Niederschlagselektroden 62:699—701
— Resonanzschwingungen 62:699—701
— USA 62:460—473
Emissionsgrenzwerte 62:1076—1079
— USA 62:460—473
Emissionsmessungen, Auswertung kontinuierlicher 62:877—881
Emissionsminderung 62:873—876
Emissionsspitzen 62:877—881
Energieforschung 62:841
Energiepolitik 62:840
Energieversorgung, Umstrukturierung 62:844
Entaschung bei der Wirbelschichtfeuerung 62:105, 121
Entrostungschemikalien, Wirkungsweise, Einsatzgrenzen, Verwendung 62:778/779
Entschwefelung 62:873—876
Entsorgungsproblem 62:842
Entwurf und Konstruktion des Kraftwerkes Clauscentrale 62:5—8
EPRI-Studie zur Verbesserung des thermischen Wirkungsgrades bei konventionellen Kraftwerken 62:78—89
Erosionskorrosion
— an Kondensatorrohren, Inbetriebprüfung 62:57—60
— an Kondensatorrohren, Untersuchungen 62:227—232
— in Wasser-Dampfkreisläufen 62:211—219
Erschöpfungsgrad 62:475
Exinit 62:206

Federhänger, Eignungsprüfung 62:416
Feierstunde zum 25jährigen Bestehen der KRAFTWERKSSCHULE E.V. 62:531
Feinkornbaustahl, zerstörungsfreie Prüfung 62:61—66
Feldversuche mit Rückständen aus der Müllverbrennung 62:767
Fernwärme
— wasserchemische Betriebserfahrungen 62:54—57
— Kosten 62:873—876
Festigkeitsverhältnisse 62:341
Festvortrag anläßlich des 25jährigen Bestehens der KRAFTWERKSSCHULE E.V. 62:548—552
Feuerraum-Auslegung 62:95/96
— Einflüsse der Eigenschaften von Steinkohle 62:210
Feuerraumberechnung 62:845—852
Feuerraumgestaltung einer MVA 62:781
Finite Elemente-Methode für die Berechnung der Gebläse-Schlägermühlen 62:691—699
Flächennutzungsplan 62:1092—1099
Flanschverbindungen, Abdichtung 62:435—440
Flugasche 62:963, 967, 977, 1092—1099
Flugstaub (s. Flugasche) 62:1099
Formstücke
— Langzeitüberwachung 62:473—480
— Schäden 62:411
Forschungsvorhaben Komponentensicherheit (FKS) 62:1070
Fort St. Vrain — HTGR 62:1011
Fraktographische Untersuchung an Bauteilen 62:521
Frontalfeuerung, Feuerraumberechnung 62:847—849
Funktionsdiagramm, Konstanthänger 62:418
Funktionsprüfungen an Sicherheitsventilen 62:934

Gasförmige Emissionen von Kraftwerken 62:500—505
Gasreinigung 62:184
Gasreinigungsprozesse 62:373
Gasturbinen 62:167, 256, 552, 652
— Brennstoffe 62:561
— Rekuperatoren 62:495
— Schaufelwerkstoffe 62:652
— Vereisung 62:552
Gebäudeeinmessung 62:1106—1108
Gebläse-Schlägermühlen, Spannungsanalyse 62:691—699
Gefügeuntersuchung am Bauteil 62:519—524
Genehmigungsverfahren 62:1007, 1092—1099
General-Atomic Prozeß 62:1030
Generation Operation Memorandum (GOM — Anlagentriebsmerkblatt) 62:483
Generator-Kappenringe, Werkstoffe 62:424—428, 891—897, 988—999
Generatorkühlung mit Wasser 62:220—223
Geodätentag 62:1106—1108
Gerätetechnik innerhalb der Leittechnik 62:1047/1048
geschlossenes Kohlenlager 62:455—459
Gesellschaft 62:828
Getriebe, regelbar für Speisewasserpumpen 62:930
Gewaltbruch, Generatorkappenringe 62:424—428
Gewebekompensatoren mit Konvektorkühlung 62:1049
GKN (Gemeenschappelijke Kernenergiecentrale Nederland) 62:161
Grafitdichtungen für Pumpen und Armaturen 62:507, 772
Grenzwerte, Messung und Beurteilung 62:1076—1079
Grenzwerteinhaltung 62:877—881

Großfeuerungsanlagenverordnung 62:877—881
Grußworte zum 25jährigen Bestehen der KRAFTWERKS-SCHULE E.V. 62:531—537
Grundwasseruntersuchungen bei Weiterverwendung von Müllaschen 62:788
Gummi-Kompensatoren 62:939

Häufigkeitsverteilung 62:877—881
Halon-Löschanlagen im Kraftwerk 62:680—684
Halogensäurebeaufschlagung 62:777
Heinrich-Mandel-Preis 62:827, 845, 852
Heizflächenreinigung bei einer MVA 62:707
Heizkraftwerk Sandreuth
— Brennstoffwahl 62:442/443
— Kohlenlager 62:455—459
— Randbedingungen für die Planung 62:441
— thermodynamische Auslegung 62:444
Heizwert von Müll 62:702, 781
Hilfsdampfleitung 62:918
Hitzearbeiten
— Erholzeit 62:112
— Klima 62:109/110
— Klimasummenmaß 62:110/111
— im Kraftwerk 62:109—111
— Richtlinie G 30 — Hitzearbeiten/Berufsgenossenschaft 62:110
— Toleranzzeit/max. Arbeitszeit 62:112
Hochdruck-Vorwärmer 62:914
Hochfester Feinkorn-Baustahl (WB 35) 62:340, 917
Hochspannungs-Gleichstrom-Übertragung 62:174—178
Hochtemperaturkorrosion bei Gasturbinen 62:167, 561, 652
Hochtemperatur-Prozeßwärme 62:1025, 1027, 1030
Hochtemperaturreaktor 62:1018
— Markteinführung 62:1032
HTGR
— Kombi-Anlage 62:1011
— Programm 62:1011
HTR
— Entwicklung 62:1015
— Folgeprojekt 62:1032
— 500, Einsatzmöglichkeit 62:1018
— 500, Wirtschaftlichkeit 62:1018
Hydrationswärme 62:967
Hydrazin
— Arbeitsvorschriften 62:139—144
— Toxikologie 62:135—139

Industrievermessung 62:1106—1108
Inertinit 62:206
Ingenieurstundenaufwand, Kernkraftwerke 62:753
Ionenaustausch
— Liftbett- und Rinsebettverfahren 62:42—48
— neuer starkbasischer Anionenaustauscher 62:42—48
Ionenchromatographie zur Wasser- und Abwasseruntersuchung 62:127—132
Isolationskondensator 62:162
Isolierventil, Funktionsnachweis 62:275

Japan, HTR-Entwicklung 62:1015
Jubiläum der KRAFTWERKSSCHULE E.V. 62:531—541

Kabelschottsysteme 62:949—955
— Anforderungen 62:950
Kaltrisse, niedriglegierte Stähle 62:318—324
Kaltstart einer Kohlenstaubfeuerung 62:91
Kaltumformen, Feinkornstähle 62:233—237
Kaltverformung, Generator-Kappenringe 62:892
Kanzerogene, Einstufung des Hydrazins 62:135—139
Karbonatisierungsgeschwindigkeit 62:967, 1099
Katasterwesen 62:1106—1108
Kationen-/Anionenaustauscher zur Kondensatreinigung anstatt Mischbettfilter 62:49—53
Kavitation bei Speisepumpen 62:861
Keramische Auskleidung einer MVA 62:707
Kernkraftwerke
— Brandschutz 62:487—495
— Brennelement-Dichtheitsprüfung nach dem Scanner-Sipping-Verfahren 62:313—317
— Konvoi-Konzept 62:753
— Probleme der DWR-Sekundärwasserchemie 62:309—312
— Untersuchungen zur DWR-Sekundärwasserchemie 62:238
Kernkraftwerk Biblis C 62:753
— Erfahrungen mit der Generatorkühlung 62:220—223
Kernkraftwerk Borssele
— Betriebserfahrungen 62:337
— Einweg-Beton-B-Container 62:339
— ERBVC (Sicherheitskommission) 62:337
— Kernfysische Dienst 62:337
Kernkraftwerk Dodewaard
— KEMA-Suspensionsprüfreaktor (KSTR) 62:161
Kernkraftwerk Emsland 62:753
Kernkraftwerk Isar 2 62:753
Kernkraftwerk Loviisa, Erfahrungen mit der Dekontamination 62:223—227
Kernkraftwerk Neckarwestheim 2 62:753
Kernkraftwerk Phillipsburg 1, Einbauplanung 62:343
Kesseltrommeln, Schäden 62:715—722
Kesselspeisewasser-Konditionierung, vergleichende Untersuchungen 62:36—41
Kesselumwälzpumpen
— Aufgabenstellung 62:676
— Entwicklung 62:676
— Gestaltung 62:676
Klärschlamm, chemische Analyse 62:959
Kieselsäure, kolloidale, analytische Bestimmung 62:789—791
Kohlevergasung 62:184, 853, 1025
— Flugstaubvergaser 62:366
Kohlelager, geschlossen 62:455—459

Kohlemühlen 62:90/91
Kohlenstaubfeuerung 62:89
Kohlenstaubvergasung 62:179
Kohlenwasserstoffstahl 62:338
Kohlevergasung
— Wirkungsgradeinflüsse 62:374
— Wirkungsgradverbesserung 62:854
Kohleversorgung des Heizkraftwerkes Sandreuth 62:455—459
Kombi-Kraftwerke 62:167
Kombi-Prozeß für Kohle 62:365—379
Kombinierte Konditionierung von Wasser-Dampfkreisläufen 62:36—41
Kombinierte Öl-Kohlebrenner 62:583
Kompensatoren aus Gewebeweichstoff
— Werkstoff 62:1049
— Montage und Wartung 62:1049
— Schwingbeständigkeit 62:1049
— Berechnung 62:1049
Kompensatoren aus Gummi
— Aufbau 62:939
— Herstellung 62:939
— Anwendung 62:939
— Betriebserfahrungen 62:939
Kondensator für Dampfturbinen 62:383
Kondensatreinigung, neue Aspekte 62:49—53
Kondensatorrohre
— Erosionskorrosionsversuche 62:227—232
— Inbetriebprüfung 62:57—60
Konditionierung
— von Fernheizwasser 62:54—57
— von Kesselspeisewasser, vergleichende Untersuchungen 62:36—41
Konstanthänger, Eignungsprüfung 62:416
Konvoi-Konzept 62:753, 756, 1092—1099
Korrosion
— Schäden in Kraftwerken durch Spannungs- und Schwingungsrißkorrosion 62:390—408
— Überwachung in Fernwärmenetzen 62:54—57
— in wassergekühlten Generatoren 62:220—223
Korrosion und Erosion
— bei einer MVA 62:781
— Kondensatorrohre, Inbetrieb-Prüfung 62:57—60
— Kondensatorrohre, Untersuchungen 62:227—232
Korrosionsmindernde Maßnahmen beim Bau der 6. Verbrennungseinheit für die MVA Flingern 62:702—710
Korrosionsschutz
— in Gasturbinen 62:652
— in Kühlsystemen 62:123—126
Korrosionsuntersuchungen 62:704
Kosteneskalation 62:841
Kostenvergleich verschiedener Kühlsysteme 62:518
Kraft-Wärme-Kopplung 62:873—876
Kraftwerk Clauscentrale
— Betriebserfahrungen 62:19—22
— Entwurf und Konstruktion 62:5—8
— Gesamtplanung 62:3—5
— Leittechnik 62:9—12
Kraftwerk Lahti 62:97—102
Kraftwerk Voerde
— Blöcke A und B 62:855
— Gründungsverhältnisse, Kühlturm, Schornstein 62:858
— Kühlbetrieb, Rauchgasentschwefelung, bergbauliche Einwirkung 62:856
Kraftwerke 1982, VGB-Kongreß 62:818—828
Kraftwerke, Schäden durch Spannungs- und Schwingungsrißkorrosion 62:390—408
Kraftwerksgebäude, Sanierung nach Brand 62:777/778
Kraftwerksnebenprodukte 62:963, 967, 1099
Kraftwerksreststoffe 62:1092—1099
Kraftwerkstechnik, Tagesfragen 62:840—844
Kriechgeschwindigkeit 62:807
Kriechverformung, warmfeste Stähle 62:802—813
Kritische Rißtiefe 62:65
KTA
— 1301.2: Berücksichtigung des Strahlenschutzes der Arbeitskräfte bei Auslegung und Betrieb von Kernkraftwerken, Teil 2: Betrieb 62:627
— 2207: Schutz von Kernkraftwerken gegen Hochwasser 62:627
— 3205.1: Komponentenstützkonstruktionen mit nichtintegralen Anschlüssen, Teil 1: Komponentenstützkonstruktionen mit nichtintegralen Anschlüssen für Primärkreiskomponenten 62:627
— 3201.4: Komponenten des Primärkreises von Leichtwasserreaktoren, Teil 4: Wiederkehrende Prüfungen und Betriebsüberwachung 62:627
— 3503: Typprüfung von elektrischen Baugruppen des Reaktorschutzsystems 62:627
— 3602: Lagerung und Handhabung von Brennelementen, Steuerelementen und Neutronenquellen in Kernkraftwerken mit Leichtwasserreaktoren 62:627
— 3701.2: Übergeordnete Anforderungen an die elektrische Energieversorgung des Sicherheitssystems in Kernkraftwerken, Teil 2: Kernkraft-Mehrblockanlagen 62:627

Kühlsysteme
— Konditionierungsverfahren zum Korrosionsschutz 62:123—126
— Kostenvergleich 62:518
Kühlteich-/Sprühkühlteichtechnologie 62:512—519
Kühlwasser
— Konditionierung bei wassergekühlten Generatoren 62:220—223
— Korrosionsschutz durch Konditionierung 62:123—126
— USA 62:460—473
Kühlwasserpumpen, Betonbauweise 62:767
Kugelbehälter 62:233—237
Kugeldruckbehälter 62:61—66
Kugelringmühlen 62:90
Kupferlegierte Rohrwerkstoffe für Dampfturbinenkondensatoren 62:383
Kurzschlußringe 62:891
KWS, 25 Jahre 62:531

Landesvermessung 62:1106—1108
Langzeitüberwachung, Erfahrung 62:473—480
Lebensdauerbewertung unter Kriechbelastung 62:481—486
Lebensdauerrechnung, Turbogeneratorwellen 62:617
Leistungsregelung
— bei MVA 62:782—784
— im Verbundnetz 62:379—383
Leittechnik 62:268—275 62:656—665 62:1036—1048
— Kraftwerk Clauscentrale 62:9—12
Liftbett-Verfahren für die Wasseraufbereitung 62:42—48
Luftreinhaltevorschriften 62:1076—1079
Luftreinhaltung, USA 62:460—473
Luftverunreinigungen, Messungen aus Flugzeugen 62:295—303

Magerkohle 62:578
Magnetit, Beständigkeit gegen Erosionskorrosion 62:211—219
Markt 62:830
Materialversuche bei einer MVA 62:705
Mazeralzusammensetzung von Steinkohle 62:205—210
Mehrlagenmantel 62:920
Membrankühlturm 62:1092—1099
Mensch-Prozeß-Beziehung 62:263—267
Meßwerte 62:877—881
Metallographische Untersuchungen an Bauteilen 62:519—524
MHD
— Kreislauf, technische Durchführbarkeit 62:22—26
— Verfahren, Gründe für die Weiterentwicklung 62:22—26
Mindestmenge bei Speisewasserpumpen 62:861
Mindestzementgehalt 62:1097
Mitgliederzahl der KRAFTWERKSSCHULE E.V. 62:547
Mittelungszeitraum 62:877—881
Mittelwerte, gleitende 62:877—881
Mischbettfilter zur Kondensatreinigung 62:49—53
Modellversuche bei einer Müllfeuerung 62:705
Montagefolge 62:343
Müll- und Klärschlamm-Verbrennungsanlage Bamberg 62:956
Müllverbrennungsaschen 62:303—308

Nachrüstung von Altanlagen 62:1076—1079
Naturzug-Naßkühlturm
— Betriebserfahrungen bei Frost 62:26—36
— Bypassleitung 62:26—36
— Eisbildung 62:26—36
— Kernabschaltung 62:26—36
— Winterbetrieb 62:26—36
— Winterleistung 62:26—36
Naturzug-Trockenkühlturm
— Anordnung der Wärmeaustauscher 62:113—119
— Ausführung der Kühlelemente 62:113—119
— Höhenreduzierung 62:113—119
— Strömungsverhältnisse 62:113—119
Neutrale Fahrweise von Wasser-Dampfkreisläufen 62:36—41
Neutronenversprödung 62:1072
Nichtmagnetisierbare Stähle für Generator-Kappenringe 62:424—428, 891—897, 988—999
Niederländische Elektrizitätsversorgung, Struktur 62:1/2
Niedriglegierte Stähle, Kaltrisse 62:318—324
NO_x, siehe Stickoxide 62:460—473
— chemische Umwandlung 62:500—505
— Halbwertszeit 62:500—505
— Werte bei Gasturbinenanlagen 62:261
NO/NO_x-Oxidation 62:500—505
Nukleare Fernenergie 62:1027
Nukleares Entsorgungsproblem 62:842
Nukleare Kohlevergasung 62—1025

Offshore-Kraftwerksanlagen
— Energiebasis 62:175
— EPOS-Projekt 62:174—176
— Feldentwicklungskosten 62:177/178
— Kostenstruktur 62:177
— Wirtschaftlichkeit 62:174—178
Optimierung
— des Speisewasserpumpensystems 62:283
— der Verbrennung in einem Müllkessel 62:781—785
Osmose, umgekehrte, zur Wasseraufbereitung 62:133—135
Ozon in Rauchgasfahnen 62:295—303

Personendosimetrie 62:191—198
Personenrettung im Müllbunker 62:200
Perzentil 62:877—881
Phosphatfahrweise, Wasserchemie 62:238
Pilzverschluß an Kesseltrommel 62:717
Planung eines geschlossenen Kohlelagers 62:455—459
Plattierung, Kaltrisse 62:318—324
Politik, Probleme 62:839
Praxis in der Ausbildung 62:548—552
Prozeßrechner, heutige Konzepte 62:1041—1043
Pumpen für Kesselumwälzung 62:676

Qualität der Abwässer bei MVA 62:883
Querschnittsbelastung von Feuerräumen 62:95/96

Rauchgas, neue Schalldämpfer 62:602
Rauchgasanalyse bei MVA 62:782
Rauchgasentschwefelung 62:1076—1079
— USA 62:460—473

Rauchgaskanäle, Absperrklappen 62:593
Rauchgastemperaturen und -geschwindigkeiten bei einer MVA 62:708
Raumverhältnisse 62:343
Reaktordruckbehälter 62:1060—1076
Reaktorsicherheitsbehälter, Auslegung, Konstruktion, Berechnung 62:722—730
Rechtsanwender 62:910
Rechtsordnung 62:905—913
Recycling 62:963
Regelung, heutige Konzepte 62:1039/1040
Regelungstechnische Untersuchung stabilitätsgefährdeter technischer Prozesse 62:144—150
Reingas bei MVA, chemische Analyse 63:959
Reingrafit-Dichtungen für Pumpen und Armaturen 62:507, 772
Relaxation, Rohrhalterungen 62:419
Rekuperatoren für Gasturbinen 62:495
Reparaturschweißung an Kesseltrommel 62:715—722
Replica-Technik 62:520
Resonator-Schalldämpfer für Rauchgase 62:602
Restlebensdauer 62:483—486, 802—813
Reststoffe aus der Müllverbrennung, Deponie und Weiterverwendung 62:786
Rettungskorb für Müllbunker 62:201
Rinsebett-Verfahren für die Wasseraufbereitung 62:42—48
Rippenrohre, niedrigberippte, Schwingungsverhalten 62:584—593
Riß an Kesseltrommel 62:715—722
Risse, Feinkornstähle 62:61—66
Rohrgehäuse aus Beton für Kühlwasserpumpen 62:767
Rohrhalterungen
— Eignungsprüfung 62:416—423
— Schäden 62:412
Rohrleitungen
— Langzeitüberwachung 62:473—480
— Schäden 62:409—416
Rohrleitungsplanung und Abwicklung 62:665
Rohrleitungstechnik, ein Ingenieurberuf 62:665
Rohrmühlen 62:90
Rohrschottsysteme 62:949—955, 953—955
Rotordynamik bei Speisepumpen 62:861
Rückstandsöl als Gasturbinen-Brennstoff 82:561
Rußbläseranlagen
— Aufbau 62:945—949
— Blasmittel 62:945—949
— Betrieb 62:945—949
— Schalldruckbewertung 62:945—949
— Steuerung 62:945—949

Sammler, Langzeitüberwachung 62:473—480
Sanierungsmöglichkeiten an Gebäuden, maschinellen sowie elektrotechnischen Einrichtungen 62:775—781
Saurer Regen 62:295—303
Scanner-Sipping-Verfahren 62:313—317
Seilnetzkühlturm 62:1092—1099
Seismische Tests an Antrieben für Armaturen 62:275
Sekundärkreislauf, Wasserchemie 62:238
Sekundärwasserchemie in DWR
— Probleme 62:309—312
— Untersuchungen 62:238
Sicherheit bei der Handhabung von Trocken-Braunkohlenstaub 62:579/580
Sicherheitsanforderungen 62:906
Sicherheitsventile, Zuverlässigkeitsuntersuchungen 62:934
Simulatoren der EdF 62:76/77
Sipping-Test 62:313—317
Sonnenenergie in Kleinkraftwerken
— Anlagenwirkungsgrad 62:1084
— Dampfkraftanlagen, Regelung 62:1082
— Dampfmotor mit fünfstufiger Expansion 62:1080
— Einrohrdampferzeuger, natriumbeheizt 62:1081
— Farmkonzept 62:1080
— Turmanlage 62:1080
Sowjetunion, HTR-Entwicklung 62:1015
SO_2, siehe Entschwefelung, Rauchgasentschwefelung 62:460—473
Spannungsanalyse einer DGS-Mühle 62:691—699
Spannungsbewertung 62:341
Spannungsfeld Schule — Praxis 62:548—552
Spannungsrißkorrosion 62:390—408
— Generator-Kappenringe 62:426 62:893 62:988
Speisepumpe mit Antriebsturbine als Gesamtsystem 62:608
Speisewasserleitung 62:642
Speisewasser-Konditionierung, vergleichende Untersuchungen 62:36—41
Speisewasserpumpen
— Antrieb, Regelgetriebe 62:930
— Entwicklung 62:861
— System, Optimierung 62:283
Speisewasserverteiler 62:641
Spindeldichtungen aus Reingrafit 62:507, 772
Spiralgehäue aus Beton für Kühlwasserpumpen 62:767
Sprühkühlteich-/Kühlteichtechnologie, Stand — Tendenzen 62:512—519
SR (Sicherheitstechnische Richtlinien) 62:152/153
Substitution von Rohstoffen 62:963

Schäden
— an Dampfturbinen 82:249
— an Generator-Kappenringen 62:988
— an Kesseltrommeln 62:715—722
— an Rohrleitungen 62:409—416
Schadensstatistik bei Dampfturbinen 82:249
Schadenverhütung bei Dampfturbinen 82:249

Schalldämpfer für Rauchgase
— Auswahl 62:602
— Einbaubeispiele 62:602
— Kostenvergleich 62:602
— Wirkungsweise 62:602
Schallemissionsanalyse 62:66
Schaufelkühlung bei Gasturbinen 62:167, 259
Schaufelwerkstoffe bei Gasturbinen 62:652
Schiffchenentnahme an Bauteilen 62:519—524
Schlägermühlen 62:90
Schlauchfilter, USA 62:460—473
Schnellabschaltbehälter 62:914
Schnellabschaltsystem 62:341
Schutzmantelkonstruktion 62:918
Schutzsysteme an Dampfturbinen 62:646
Schweißautomaten 62:924
Schweißnahtprüfung, Kugelbehälter 62:61—66
Schwerkraft 62:641
Schwingungen an Speisepumpen 62:861
Schwingungsrißkorrosion an Bauteilen in Kraftwerken 62:390—408
Schwingungsverhalten niedrigberippter Rippenrohre 62:584—593

Stabilitätskriterien technischer Prozesse 62:144—150
Stand der Technik 62:900—913
Standard 62:905
Standortbedingungen im Rahmen des Konvoi-Konzepts 62:756
Staub, Korngrößenverteilung 62:460—473
Steinkohle-Eigenschaften 62:205—210
Steinkohlen-Flugäsche 62:967, 1099
Stickoxide 62:1076—1079
— Emissionsminderung in USA 62:460—473
Störfälle, Turbogeneratorwellen 62:613—627
Stopfbuchsenabdichtung mit Reingrafit 62:507, 772
Stoßbremsen, Eignungsprüfung 62:419
Strahlenschutzüberwachung, Einsatz von EDV-Anlagen 62:191—198
Strahlungsaustauschrechnung in Feuerräumen 62:846/847
Straßenbau 62:1092—1099
Strömungsgeschwindigkeit, Einfluß auf die Erosionskorrosion 62:211—219
Strömungsgleichungen 62:641
Strömungstechnische Maßnahmen gegen Korrosion bei MVA 62:782
Stromkennzahlen 62:448
Strukturwandel 62:828 62:832

TA Luft 62:500—505 62:849—851
Tangentialfeuerung, Feuerraum-Berechnung 62:849—851
Technik, Stand in der Rechtsordnung 62:905—913
Technik/Technologie 62:828—840
Technische Innovation 62:828—840
Technische Richtkonzentration für Hydrazin 62:135—139, 139—144
Technologiepolitik des Landes Nordrhein-Westfalen 62:538—541
Tertiärluftbalken bei MVA 62:782
Thermischer Wirkungsgrad, Verbesserung bei konventionellen Kraftwerken 62:78—89
Thermoschockrisse 62:409—416
Thermoschockversuche an dickwandigen Hohlzylindern 62:1074
THTR
— Finanzierung 62:1007
— Kernkraftwerk 62:1007
— Terminsituation 62:1007
Titanrohre für Dampfturbinenkondensatoren 62:383
Torsion, Turbogeneratorwellen 62:613—627
Toxikologie des Hydrazins 62:135—139
Turbinenölpflege 62:761
Turbinenschutzsysteme, Zuverlässigkeit 62:646
Turbogeneratorwellen, Störfälle 62:613—627
Tragschichten ohne Bindemittel aus Müllverbrennungsaschen 62:306
TRD-Änderungen 62:150—152

Übergangsstück (safe-ends) 62:163
Überlagerungsgetriebe, Antrieb von Speisewasserpumpen 62:930
Überwachung, heutige Konzepte 62:1038/1039
Überwachungsmessungen 62:1106—1108
Umformen, Feinkornstähle 62:233—237
Umkehrosmose, Messung des Verblockungs-Index 62:133—135
Umlaufkühlung, Korrosionsschutz durch Konditionierung 62:123—126
Umrüstung 62:340
— öl-/gasbefeuerter Dampferzeuger auf Kohle 62:94—102
— steinkohle-/ölbefeuerter Dampferzeuger auf Trocken-Braunkohlenstaub 62:578—584
Umwandlung in Rauchgasfahnen 62:295—303
Umweltaspekte 62:184
— bei Kühlteich- und Sprühkühlteich 62:512—519
Umweltschutz 62:460—473 62:873—876
— Augenmaß 62:843
— Rechtssicherheit 62:844
— Maßnahmen bei Kohlekraftwerken in den USA 62:460—473
Unfallschwerpunkte in Abfallverbrennungsanlagen 62:201
Unfallstatistik bei Abfallverbrennungsanlagen 62:201
Unfallverhütung in Abfallverbrennungsanlagen 62:198—204

Unternahtriß, niedriglegierter Stahl 62:318—324
Untersuchung stabilitätsgefährdeter technischer Prozesse 62:144—150

Ventile in Kernkraftwerken, Funktionsnachweis 62:275
Verarbeitbarkeit, Beton 62:1099
Verblockungs-Index zur Überwachung von Umkehrosmose-Anlagen 62:133—135
Verbrennungsrückstände 62:933, 958, 963, 967, 977, 1099
Verdichtervereisung 62:552
Vereisung an Gasturbinenverdichtern 62:552
Verfügbarkeitsergebnisse, Methoden und Strategien 62:289—294
Vergasungsverfahren (Shell/Koppers/Texaco) 62:181
Vergleichsspannungen 62:726
Verspannungsgrad eines Bauteils 62:323
Versprödung, Generatorkappenringe 62:424—428
Versuchsstraße 62:1092—1099
Vertikale Vibration 62:338
Verwertung von Verbrennungsrückständen 62:303—308, 959—963, 1099
Verzweigungsturbine 62:448
VEW
— Kohleumwandlungsverfahren 62:370, 852
— Versuchsanlage 10 t/h 62:853
VGB-Forschungsprogramm 62:238 62:753 62:877
VGB-Forschungsvorhaben 35 „Dampferzeuger-Versuche"
— Untersuchungen an Versuchs-Dampferzeugern zur Sekundär-Wasserchemie in Druckwasserreaktoren 62:238
VGB-Kongreß „Kraftwerke 1982" 62:818—828
VGB-Kurzbericht über die Tätigkeit 1981/1982 62:737—753
VGB-Mitglieder 62:739
VGB-Organisationsschema 62:740
VGB-Vorstand 62:741
Vitrinit 62:206
Volltresorlösung Hilfsanlagengebäude 62:753
Volumenbelastung von Feuerräumen 62:95/96

Wachstum, Probleme 62:834
Wärmebehandlung, Generator-Kappenringe 62:896, 998
Wärmebelastung in Feuerräumen 62:96
Wärme-Kraft-Kopplung mit Rekuperatoren 62:497
Wärmeschutz von Kraftwerken, Berechnung der Dämmdicken 62:685—691
Wärmeübergang
— Einfluß der Rohrverteilung 62:640
— Membranrohrschlangen 62:633
— Sherwoodzahl 62:634
— Stoffübergangszahlen 62:635
— Wärmeübergangskoeffizienten in Membranrohrbündeln 62:635
Warmfeste Stähle, Dehnungsalterung 62:792—802
Warte, heutige Konzepte 62:1043—1046
Wasser
— für Fernwärmesysteme 62:54—57
— Untersuchung auf kolloidale Kieselsäure 62:789—791
Wasseranalyse mit Ionenchromatographie 62:127—132
Wasseraufbereitung
— im Liftbett- und Rinsebett-Verfahren 62:42—48
— neuer starkbasischer Anionenaustauscher 62:887—890
— Überwachung von Umkehrosmose-Anlagen 62:133—135
Wasserchemie
— DE-Versuche 62:238
— Einfluß auf die Erosionskorrosion 62:211—219
Wasserdampfkraftwerk mit MHD 62:22—26
Wasser-Dampfkreislauf
— Druckwasserreaktor 62:309—312
— Kondensatreinigung 62:49—53
— Ursachen der Erosionskorrosion und Gegenmaßnahmen 62:211—219
— Vergleich von Konditionierungsverfahren 62:36—41
Wasserdruckprüfung, Kugelbehälter 62:63—66
Wasserreinhaltung, USA 62:460—473
Wasserspaltung
— thermische 62:1032
— thermochemische 62:1030
Wasserstoffabbausystem 62:921
Wasserstoffinduzierte Risse 62:318—324
Wasserstoffperoxid
— analytische Bestimmung 62:710—714
— Zerfall in wäßriger Lösung 62:710—714
Wegebau mit Müllaschen 62:787
Weichstoffkompensatoren mit Konvektorkühlung 62:1049
Wellendichtungen
— Reingrafit 62:507
— an Speisepumpen 62:861
Werkstoffe
— Druckbehälter 62:233—237
— Generator-Kappenringe 62:424—428
— Reaktordruckbehälter 62:1063
— für Rohre in Dampfturbinenkondensatoren 62:383
Werkstoffkennwerte, Kappenringe 62:895 62:990
Wet Globe Bulb Temperature-Index (WBGT-Index) 62:111
Wiedermontagearbeiten 62:344
Windrad 62:1092—1099
Wirbelbrenner für Öl und Kohlenstaub 62:100
Wirbelschichtfeuerung 62:102—107 62:119—122 62:260
— Emissionen 62:187
— Schütt- und Wirbelschichtsysteme 62:185/186
— Winkler-Generator 62:185

Wirkungsgrad
— Optimierung des Speisewasserpumpensystems 62:283
— Verbesserung bei konventionellen Kraftwerken 62:78—89
Wirtschaftliche Dämmschichtdicken im Kraftwerk 62:685—691

Zähe Werkstoffe 62:340 62:916
Zeitausnutzung von Braunkohleblöcken 62:289—294
Zeitstandkurven 62:806
Zeitstandschäden 62:802—813
Zerstörungsfreie Prüfung
— Kaltrisse 62:321
— Kugeldruckbehälter 62:61—66
Zonenmodelle für die Feuerraum-Berechnung 62:846/847
Zuverlässigkeit von Turbinenschutzsystemen 62:646
Zuverlässigkeitsergebnisse, Methoden und Strategien 62:289—294
Zwischenüberhitzer in Kernkraftwerken 62:584—593 62:914

Persönliches

Abel, Gerhart, im Vorstand der HEW 62:631
Ahrens, Karl, weiterhin im Präsidium des VKU 62:631
Arens-Fischer, Franz, 25 Jahre beim RWTÜV 62:331
Armbruster, Günter, Geschäftsführer der J.M. Voith GmbH 62:71
Balke, Siegfried, 80 Jahre 62:428
Bauer, Carl-Otto, Ehrendoktorwürde 62:631
Brandt, Hans-Lothar, 60 Jahre 62:814
Braun, Heinz, 60 Jahre 62:238
Brecht, Christoph, Präsident des Weltgasverbandes 62:525
Breitschwerdt, Werner, Rheinlandpreis für Umweltschutz 62:153
Claßen, Rolf, 60 Jahre 62:897
Deublein, Ottmar, aus der Geschäftsführung KWL ausgeschieden 62:897
Döttinger, Karlheinz, neuer Geschäftsführer des TÜV Stuttgart e.V. 62:733
Drewes, Wilhelm, 70 Jahre 62:238
Dümmler, Friedrich, 70 Jahre 62:428
Eiden, Herbert, 25 Jahre beim TÜV Rheinland 62:897
Eitemeyer, Helmut, im Vorstand der Elektromark 62:428
Elsässer, Helmut, gestorben 62:630
Endell, Norbert, im Ruhestand 62:897
Erle, Gerhard, im Ruhestand 62:1108
Fichtner, Kurt, 65 Jahre 62:814
Fischer, Erich, gestorben 62:630
Flegler, Eugen, gestorben 62:70
Flurschütz, Erwin, Bundesverdienstkreuz 62:153
Garleff, Jürgen, Leiter der Hauptabteilung Kraftwerke der HEW 62:631
Greiner, Hermann, im Ruhestand 62:733
v. Gronau, Hans-Albrecht, im Ruhestand 62-631
Hartwich, Günter, 25 Jahre bei VW 62:238
Hausner, Otto, weiterhin Vorstandsvorsitzender der ARE 62:428
Heine, Klaus-Henning, im Saarberg-Vorstand 62:1000
Heinrich, Helmut E.A., 25 Jahre bei Krupp 62:71
Henney, Karl Alfred, 75 Jahre 62:428
Ipfelkofer, Josef, 75 Jahre 62:153
Imhoff, Hans-Dieter, Vorstandsmitglied bei VEW 62:153
Jähne, Norbert, 70 Jahre 62:70
Jakobsen, Erik L., VGB-Ehrennadel in Gold 62:71
Kallenbach, Reinhard, 65 Jahre 62:630
Kallenbach, Reinhard, im Ruhestand 62:1108
Kastl, Helmut, zum Direktor der Wiener Stadtwerke ernannt 62:429
Keltsch, Erhardt, 70 Jahre 62:153
Kiwit, Wilhelm, Mitglied des VEW-Vorstandes 62:153
Klotz, Herrmann, im Ruhestand 62:428
Knauf, Alfons, gestorben 62:1000
Krost, Helmut, gestorben 62:70
Kühn, Reiner, 50 Jahre 62:238
Langehenke, Franz, in die Uhde-Geschäftsführung berufen 62:71
Lorenzen, Ingrid, Robert-Mayer-Preis 1981 62:153
Löhle, Herbert, Bundesverdienstkreuz 1. Klasse 62:897
Ludewig, Walter, 75 Jahre 62:70
Maihöfer, Alfred, 50 Jahre 62:71
Mennen, Josef, Ehrendoktorwürde 62:428
Müller, Leonhard, zum Honorarprofessor ernannt 62:898
Müller, Leonard, Bundesverdienstkreuz 62:525
Müller, Werner, gestorben 62:525
Neumann, Franz, 60 Jahre 62:733
Niehage, Günther, im Ruhestand 62:71
Noetzlin, Günther, stellvertretender Vorsitzender der VDI-GET 62:238
Nuber, Karl, gestorben 62:428
Pahl, Gerhard, Dechema-Medaille 62:631
Pahlke, Gerhard, 60 Jahre 62:814
Peters, Hans Ludolf, zum Professor berufen 62:1108
Puhr-Westerheide, Hans, 70 Jahre 62:1000
Richter, Robert, 40 Jahre beim Großkraftwerk Mannheim 62:428
Resch, Gerhard, 25 Jahre bei der VEW 62:331
Roggendorf, Alexander, gestorben 62:897
Rost, Joachim, stellvertretender Vorsitzender der Fachgemeinschaft Armaturen 62:525
Rosanowski, Herbert, gestorben 62:814
Rudolph, Franz, 60 Jahre 62:70
Siepmann, Walter, Vorsitzender der Fachgemeinschaft Armaturen 62:525
Sutholt, Wolfram, gestorben 62:630
v. Swietochowski, Olivier, gestorben 62:238
Spähn, Heinz, ACHEMA-Plakette in Titan 62:525
Schiffauer, Kurt, im Ruhestand 62:71
Schoeller, Klaus, 60 Jahre 62:428
Schöttle, Werner, 65 Jahre 62:630

Schlachter, Hans, zum Honorarprofessor ernannt 62:631
Schroeder, Heinrich J., 50 Jahre 62:71
Schwarz, Ottmar, neuer Vorsitzender der VDI-Kommission Reinhaltung der Luft 62:631
Schwarz, Ottmar, Bundesverdienstkreuz 62:898
Schwarzbach, Kurt, Sprecher des Vorstandes der Mannesmann Anlagenbau 62:429
Schuhmann, Horst, Bundesverdienstkreuz 62:1000
Stüper, Karl-Heinz, Bundesverdienstkreuz 62:525
Tichatschke, Josef, 60 Jahre 62:331
Trumpfheller, Rudolf, Bundesverdienstkreuz 62:71
Unseld, Horst, 50 Jahre 62:153
Vetter, Heinz, Vorsitzender der VDI-GET 62:238
Wassenaar, Klaas, gestorben 62:733
Weber, Rudolf, erhielt Robert-Mayer-Preis 1981 62:153
Wegener, Armin, 50 Jahre 62:1108
Westphal, Wilhelm, 80 Jahre 62:331
Wiehage, Walter, 75 Jahre 62:70
Wissel, Rudolf, 80 Jahre 62:525
Zankl, Wilhelm, im Ruhestand 62:153
Ziegler, Albert, aus der Reaktorsicherheitskommission (RSK) ausgetreten 62:71

Buchbesprechungen

Aktuelle Probleme des Kokereiwesens und Kokereitechnik 62:335
82 Arbeitsregeln für das Schutzgasschweißen 62:1002
Automation des Dampfkesselbetriebes 62:734
BMFT-FB-T 81-004-Abschlußbericht zu „Wärme- und strömungstechnische Untersuchungen an Kunststoffwärmeaustauschern für Trockenkühltürme" 62:1003
BMFT-FB-T 81-005-Abschlußbericht zu „Untersuchungen an einer Laboranlage zur Wiederaufheizung von Rauchgasen aus Rauchgasreinigungsanlagen mit Hilfe von Wärmeaustauschern" 62:1003
BMFT-FB-T 81-011-Abschlußbericht zur Systemanalyse „Steinkohleeinsatz im Wärmemarkt" 62:1003
Brennstoffe und Verbrennungsrechnung 62:1002
Chemie der nuklearen Entsorgung — Teil II 62:902
Combined Heat, and Heat Pumps 62:1111
Combustion stability 62:72
Das Nach-Öl-Zeitalter (Wandel und Wachstum durch neue Energien) 62:433
Dampfkesselbestimmungen — Ergänzungslieferung 62:433
Dampfturbinen 62:157
DVS-Bericht 56 62:433
DVS-Gefügerichtreihe Stahl 62:72
Einführung in die Kernreaktor- und Kernkraftwerkstechnik, Teil 1 62:1111
Einführung in die Sicherheitswissenschaft 62:157
Eingeführte technische Verbesserungen am Leichtwasserreaktor und ihre Auswirkungen 62:1111
Energie — Umwelt — Gesellschaft 62:901
Energiemodelle für die Bundesrepublik Deutschland 62:158
Fachwörterbuch Bergbau
— Teil I English-German / Englisch-Deutsch 62:1003
— Teil II Deutsch-Englisch / German-English 62:1003
Gebäudeaerodynamik 62:157
Geowissenschaftliche Gesichtspunkte zur Endlagerung radioaktiver Abfallstoffe 62:72
Handbuch
— Brandschutz 62:1111
— der Dämmtechnik 62:335
— der Forschungs- und Innovationsförderung 62:335
Hart- und Hochtemperaturlöten und Diffusionsschweißen 62:1002
Herausforderung Ölkrise 62:1003
Informationsschrift „Abfallarten" 62:529
Jahrbuch
— Bautechnik im Kraftwerksbau 62:734
— der Atomwirtschaft 1981 62:158
— für Bergbau, Energie, Mineralöl und Chemie 1981/82 62:1002/1003
Kohleveredlung 62:158
Kryo-Vakuumtechnik 62:157
Lexikon der modernen Elektronik 62:158
Lexique Technique 62:433
Oberflächenbeeinflussung durch Fertigungsprozesse 62:335
Planung von Gaswärmepumpen-Anlagen 62:335
Praxis der Messung und Berechnung von Schallpegeln 62:158
Rationelle Energieverwendung im Industriebetrieb 62:433
Reaktorhandbuch 62:901/902 62:1111
Sicherheitstechnik 62:72 62:158 62:335 62:1003
Systemforschung im Umweltschutz 62:902
Schweißtechnik, Band 11, Richtlinien für schweißtechnische Lehrgänge 62:335
Strahlenrisiko 62:72
Stahl-Eisen-Liste 62:529
Technische Eigenüberwachung in der Chemie 62:1112
Thermoelement-Praxis 62:157
Verbrennung und Gasgewinnung bei Festbrennstoffen 62:734
Verdampfung von Brennstofftropfen und Brennstoffilmen in Motoren, Turbinen und Feuerungen 62:1002
Verordnung über elektrische Anlagen in explosionsgefährdeten Räumen (Elex V) 62:72
Wärmetechnische Arbeitsmappe 62:158
Werksoffkunde für Ingenieure 62:529
Widerstandsschweißtechnik 62:1002
Wöhlerlinienkatalog für Schweißverbindungen an Baustählen 62:1112
Zentrale Versorgung von Betrieben mit technischen Gasen zum Schweißen, Schneiden und für verwandte Arbeitsverfahren 62:1002

VGB KRAFTWERKSTECHNIK

MITTEILUNGEN DER VGB TECHNISCHEN VEREINIGUNG DER GROSSKRAFTWERKSBETREIBER

63. JAHRGANG (1983) • HEFTE 1—12

INTERNATIONALE FACHZEITSCHRIFT FÜR TECHNIK IN WÄRMEKRAFTWERKEN

Herausgeber

VGB TECHNISCHE VEREINIGUNG DER GROSSKRAFTWERKSBETREIBER E.V.

Vorsitzender: Direktor Dipl.-Ing. F.J. Spalthoff, Essen;
Geschäftsführer: Direktor Dr.-Ing. O. Schwarz, Essen.

Anschrift

VGB TECHNISCHE VEREINIGUNG DER GROSSKRAFTWERKSBETREIBER E.V.
Klinkestraße 27—31, Postfach 103932, D-4300 Essen,
Fernruf 8128290, Fernschreiber 857507 vgb d.

Chefredakteur

Oberingenieur Dipl.-Ing. H. Bleßmann, Essen.

Redaktion

Oberingenieur Dr. rer. nat. B. Forck, Essen;
Oberingenieur Dr.-Ing. J. Jacobs, Essen;
Abteilungsdirektor Dipl.-Ing. H. Kaes, Essen;
Oberingenieur Dipl.-Ing. A. Kantner, Essen;
Oberingenieur Dr. rer. nat. H. Kittel, Essen;
Abteilungsdirektor Dipl.-Ing. K. Plate, Essen;
Abteilungsdirektor Dr.-Ing. G. Schlegel, Essen;
Oberingenieur Dipl.-Ing. G. Welten, Essen.

Wissenschaftlicher Redaktionsbeirat

Professor Dr. J. Beér, Cambridge/Massachusetts;
Professor Dr.-Ing. F. Brandt, Darmstadt;
Professor Dr. techn. D. Johnson, Trondheim;
Professor Ir. J.J.C. van Lier, Delft;
Professor Dipl.-Ing. Dr. techn. W. Linzer, Wien;
Professor Dr. techn. O.I. Martynova, Moskau;
Professor (em.) Dr.-Ing. P. Profos, Zürich;
Professor (em.) Dr.-Ing. R. Quack, Stuttgart;
Professor (em.) Dr. phil. H. Rögener, Hannover;
Professor Dr. rer. nat. R. Schulten, Aachen;
Professor Dipl.-Ing. I.D. Stancescu, Bukarest.

Technischer Redaktionsbeirat

Oberingenieur H. Berggren, Malmö;
Direktor Professor Dr.-Ing. H. Brüderlin, Stuttgart;
Direktor Dr.-Ing. H. Krolewski, Dortmund;
Direktor Dr.-Ing. G. Noetzlin, Marl;
Direktor Dr.-Ing. H. Novak, Nürnberg;
Dipl.-Ing. J. Pettersen, Lyngby;
Direktor F. Scheurer, Paris;
Direktor Dr.-Ing. E.h. Dipl.-Ing. W. Schoch, Mannheim.

Vertrieb und Anzeigenverwaltung

VGB-KRAFTWERKSTECHNIK GMBH, Klinkestraße 27—31, Postfach 103932,
D-4300 Essen, Fernruf 8128242, Fernschreiber 857507 vgb d.
Verantwortlich für Vertrieb und Anzeigenteil: R. Rätz.

Erscheinungsweise

monatlich, außerdem erscheint zeitlich verschoben
eine englische Fassung dieses Heftes

Inhaltsverzeichnis 1983

DIE FOTOS DER VERFASSER FINDEN SIE AUF DEN SEITEN III BIS XV

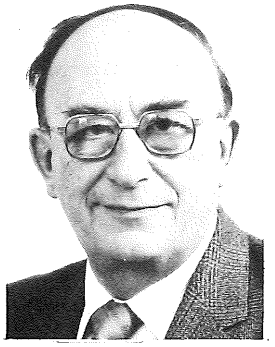
In den zwölf Heften des Jahrganges 63 sind enthalten:

1	2	3	4	5	6
1—104	105—194	195—274	275—380	381—476	477—552

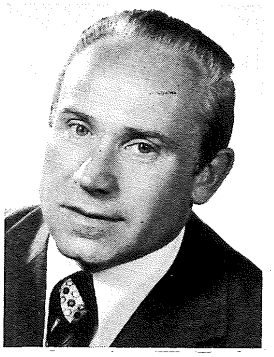
7	8	9	10	11	12
553—652	653—742	743—854	855—934	935—1018	1019—1114



H. Wolf, Mannheim



G. Wronski,
London/Großbritannien



W. Zörner, Erlangen

Verfasserverzeichnis 1983

Albert, O.: Die Unfallverhütungsvorschrift „Wärmekraftwerke" und ihre Auswirkungen für die Praxis 63:323—327

Allan, F., und Tweehuysen, C.G.: Modernisierung und Vergrößerung des Kohlenlagers für das Kraftwerk Gelderland 63:668—675

Ambros, R., siehe Paffrath, G.

Andreae, K.H.: Anfahrbedingungen großer konventioneller Dampfturbosätze 63:477—486

Andres, G., siehe Keysselitz, J.

Angenend, F.-J., Bursik, A., Dannöhl, R., Heinke, A., Kowalczyk, U., und Schirmer, U.: Abwässer aus Müllverbrennungsanlagen 63:907—912

Arens-Fischer, F., siehe Neubauer, B.

Armor, A.F., und Hoover, R.M.: Lärmminderung bei Wärmekraftwerken: Eine Abschätzung von Kosten und Nutzen für die Industrie 63:380 Sammelband Kraftwerk und Umwelt 1983

Backfisch, W., Clauß, W., Dittemer, E., und Klaiber, E.: Erfahrungen beim Bau eines Reaktor-Sicherheitsbehälters aus 15 MnNi 6 3 63:532—537

Bald, A., Wittchow, E., und Charlier, J.: Steinkohlebefeuerte Kraftwerke — Heutiger Stand und zukünftige Möglichkeiten der Auslegung 63:7—18

Bambauer, H.U., siehe Maury, H.D.

Bartoniček, J., Krägeloh, E., und Ciprian, J.: Auswirkung von Temperatur und Temperaturdifferenzen auf Flanschverbindungen 63:1098—1108

Bauer, M., siehe Dietl, R.

Baumüller, F., und Richter, R.: Sind Sammelschienenkraftwerke noch zeitgemäß? 63:381—388

Beising, R.: Auswertung der mehrjährigen Immissionsmessungen für das Kraftwerk Heilbronn nach neuer und alter TA Luft 63:375 + Sammelband Kraftwerk und Umwelt 1983

Beisswenger, H., siehe Plass, L.

Bense, W., und Wöhler, C.-H.: Auslegung und Betriebserfahrungen des 700-MW-Blockes des Kraftwerkes Mehrum GmbH 63:943—951

Berger, C., siehe Ewald, J.

Berkhahn, W., und Wiedeking, E.: Die IR-spektroskopische HCl-Messung im Rauchgas mit dem HCl-Meßsystem 677 IR 63:801—806

Bernhardt, S.: Abschätzung der Ursachen für die Schädigung der Wärmetauscherrohre in den Dampferzeugern vom GKN 1 und vorgesehene Abhilfemaßnahmen 63:779—786

Bers, K.: Kraftwerk und Umwelt 1983 63:373 + Sammelband Kraftwerk und Umwelt 1983

Bewerunge, J., siehe Kassebohm, B.

Biniaris, S.: Neuere Erkenntnisse auf dem Gebiet der Ausbreitung luftfremder Stoffe in der Atmosphäre (Staub, NO_x) 63:974—983

Böhm, E., Jacobs, J., Kunz, P., und Pietrzeniuk, H.J.: Stand der Verwertung von Rückständen aus Kohlekraftwerken 63:344—350

Boguschewski, G., und Schommer, A.: Lärmschutz bei stadtnahen Kraftwerken am Beispiel des 475-MW-Blockes des GKM 63:379 + Sammelband Kraftwerk und Umwelt 1983

Bohnsack, G.: Redoxpotentialmessung im Kraftwerk? 63:69—73

Bohnsack, G., und Bursik, A.: Anforderungen an die Qualität von Wasser zur Dampferzeugung — Gedanken zur künftigen Form der VGB-Richtlinien 63:1081—1084

Bosselmann, W., und Stellbrink, B.: Betriebserfahrungen mit der Rauchgasentschwefelungsanlage 2 und der Rauchgaswiederaufheizung im Kraftwerk Wilhelmshaven 63:661—667

Braunstein, L., Gropp, K., und Hochmüller, K.: Automatische Kapazitätsbestimmung von Ionenaustauschern 63:985—989

Breidenbach, H., und Howe, G.: Kraftwerk Voerde STEAG-RWE OHG — Erfahrungen mit der ersten Ausbaustufe 63:1019—1030

Breucker, H., und Stadie, L.: Steinkohlebefeuerte Dampferzeuger für Kraftwerke mit hohen Dampfzuständen 63:29—37

Brockel, D., und Steinmetz, P.: Gegenüberstellung von Simulation und Messung dynamischer Vorgänge am Beispiel eines 700-MW-Dampferzeugers 63:692—700

Brosche, D., und Sill, U.: Rechnerische Untersuchungen von Brandauswirkungen 63:592—594

Bugla, N., und Steczek, M.: Zwei 35-MW-Gasturbinen im Kombinationsbetrieb 63:491—497

Burgmann, F., und Schwarz, G.: Bestimmung von Spurenelementen in Elektrofilterstäuben mittels Atomabsorptionsspektrometrie 63:248—254

Bursik, A.: Fischtest mit Regenerierabwässern von Wasseraufbereitungsanlagen 63:87—90

Bursik, A., Reitz, H., und Spindler, K.: Zusatzwasser-Aufbereitungsanlage mit integrierter Umkehrosmose — erste Betriebserfahrungen 63:525—531

Bursik, A., siehe Angenend, F.-J.

Bursik, A., siehe Bohnsack, G.

Caddedu, M.: Die Sicherheit des Eigenbedarfs großer Wärmekraftwerke bei Großstörungen im Netz 63:203—208

Carr, R.C., und Smith, W.B.: Tuchfilter für kohlebefeuerte Dampferzeuger 63:379 + Sammelband Kraftwerk und Umwelt 1983

Cerjak, H., Pellkofer, D., und Schmidt, J.: Entwicklung des mechanisierten WIG-Impulsschweißens zur Anwendung an Rohrleitungen im Kernreaktorbau 63:714—720

Charlier, J., siehe Bald, A.

Clauß, W., siehe Backfisch, W.

Dalton, T.M., siehe Morasky, T.M.

Dannecker, W.: Schadstoffmessungen bei Müllverbrennungsanlagen 63:237—243

Dannöhl, R., siehe Angenend, F.-J.

Daradimos, G., siehe Plass, L.

D'ham, R.: Wuchttechnik an Turbosätzen 63:951—957

Dibelius, G., Michelfelder, S., Pitt, R., Reinartz, A., Renz, U., und Steven, H.: Planungskonzept und Auslegung des aufgeladenen Wirbelschicht-Dampferzeugers für das Heizkraftwerk der RWTH Aachen 63:874—879

Dieterle, E., siehe Dietl, R.

Dietl, R., Bauer, M., und Dieterle, E.: Abwassersanierung in einem Braunkohlekraftwerk und Betriebserfahrungen mit der installierten Abwasser-Aufbereitungsanlage 63:175—179

van Dijk, G.M.: Ultraschallprüfung an dickwandigen Behältern 63:807—815

Dittemer, E., siehe Backfisch, W.

Dittmar, H., siehe Doležal, R.

Doležal, R., Dittmar, H., Klug, M., und Rolf, A.: Merkmale der für Kraftwerksbetreiber entwickelten Rechenprogramme zur Simulation des Blockbetriebes 63:122—133

Eggers, H.-J., und Remberg, H.-W.: Erste Erfahrungen mit neuem statischem Gasmischer in einer Rauchgasentschwefelungsanlage 63:675—678

Erlmann, K., siehe Pich, R.

Ewald, J., Berger, C., und Schmitz, F.: Eigenschaften eines neuen unmagnetischen Werkstoffes X 8 CrMnN 18 18 K für Generator-Kappenringe 63:143—153

Ewald, J., Berger, C., von Hofe, D., Röttger, G., und Staif, F.: Überlegungen zur Prüfung und Beurteilung von Fehlern in Stahlguß von Sattdampfturbinen 63:1085—1098

Fonné, C.: Impaktstudien für Kohlekraftwerke in Frankreich 63:374 + Sammelband Kraftwerk und Umwelt 1983

Fortak, H.: Ausbreitung von entschwefelten Rauchgasen mit und ohne Wiederaufheizung 63:376 + Sammelband Kraftwerk und Umwelt 1983

Frauenfeld, M.: Ljungström-Gasvorwärmer zur Wiederaufheizung naßentschwefelter Reingase — Technische Lösungsmöglichkeiten zur Verminderung von Leckage, Verschmutzung und Korrosion 63:229—232

von Freier, H., und Schwirten, D.: Tagesfragen zu neuen Luftreinhaltevorschriften 63:373 + Sammelband Kraftwerk und Umwelt 1983

Fuchs, P., Rau, G., und Häßler, G.: Grenzwerte für den Entschwefelungsgrad von Rauchgasentschwefelungsanlagen unter dem Gesichtspunkt des sparsameren Einsatzes von Primärenergie 63:520—524

Gamer, M., Jäger, E., und Wöhrle, G.: Das Wartenmodell für den 1300-MW-Block 2 des Kernkraftwerks Philippsburg 63:586—592

Gebhard, G., Meixler, H.-H., und Rieß, R.: Untersuchungen an Versuchs-Dampferzeugern zur Sekundärwasserchemie in Druckwasserreaktoren 63:166—175

Gillot, R., siehe Jax, P.

Greiner, G.: Stoßbetrieb von Flockern 63:180—183

Gropp, K., siehe Braunstein, L.

Groß, G.: Ausführung von Rohrleitungsfestpunkten beim Thorium-Hochtemperaturreaktor (THTR) 63:786—794

Gutberlet, H.: Chemische Reinigung eines messingberohrten Turbinenkondensators nach fünfjährigem Betrieb mit Eisensulfat-Dosierung 63:183—190

Gutberlet, H.: Gips aus der Rauchgasentschwefelung 63:335—344

Gutberlet, H.: Aufbereitung des Abwassers aus der REA des Kraftwerkes Scholven 63:378 + Sammelband Kraftwerk und Umwelt 1983

Gutberlet, H.: Zum Leistungsvermögen der nassen Rauchgasentschwefelung für Steinkohlefeuerungen 63:1073—1077

Gulič, M.: Einwirkung der Schlagradmühlengröße auf Trocknungs-, Mahl- und Verschleißprozesse 63:302—306

Häßler, G., siehe Fuchs, P.

Häßler, G., siehe Schweizer, G.

Häusermann, A., und Rölli, F.: Studien zu Großdampfturbinen für die USA mit zweifacher Zwischenüberhitzung, höheren Dampfzuständen und einer Leistung bis 1600 MW 63:46—53

Haller, K.H.: Große kohlenstaubbefeuerte Dampferzeuger — Entwicklungen und Erfahrungen 63:19—28

Hamm, D., siehe Herrmann, G.

Hebel, G.: Konstruktive Gestaltung moderner Dampfturbinen großer Leistung 63:394—401

Heiberger, D., Klepper, H., Loitzl, W., und Reinhard, K.: Konsequenzen aus der Lebensdauerüberwachung sowie Nachrüstungsmaßnahmen bei älteren Dampfturbinen 63:402—408

Hein, K.: Derzeitiger Kenntnisstand über rauchgasseitige Verschmutzung 63:350—356

Hein, K., siehe Hlubek, W.

Heinke, A., siehe Angenend, F.-J.

Heinrich, M.: Emissionsbedingungen bei Rauchgaswaschanlagen 63:376 + Sammelband Kraftwerk und Umwelt 1983

Herrmann, G., und Hamm, D.: Kraftwerksleittechnik mit BUS-System — Aufbau und erste Betriebserfahrungen 63:217—222

Heyn, K., Voss, V., und Bertram, J.: Inbetriebnahme und Betriebserfahrungen mit den Rauchgasentschwefelungsanlagen Bergkamen und Voerde 63:377 + Sammelband Kraftwerk und Umwelt 1983

Hilsheimer, H.: 15 Jahre Müllverbrennung in Mannheim 63:138—143

Hlubek, W., und Hein, K.: SO_2-Emissionsminderung bei Braunkohlefeuerungen — ein Beitrag zum Umweltschutz 63:327—331

Hochmüller, K., siehe Braunstein, L.

Hoepner, A.E.: Die neue Leittechnik-Generation aus Betreibersicht — Kritik und Anforderungen 63:685—691

Høstgaard-Jensen, P.: Verbesserung der Druckverlust- und Temperaturverhältnisse in zwei Durchlaufkesseln nach Umstellung der Speisewasserkonditionierung auf kombinierte Anwendung von Ammoniak und Sauerstoff 63:75—85

Höxtermann, E.: 100 Jahre Dampfturbinen — 1883 bis 1983 63:569—576

von Hofe, D., siehe Ewald, J.

Hoffmann, J.: Rohrleitungen für Kraftwerke mit hohen Dampfzuständen 63:53—57

Holfelder, M.A.: Erfahrungen mit Umleitstationen — Neue Konstruktionen 63:223—229

Hoover, R.M., siehe Armor, A.F.

Howe, G., siehe Breidenbach, H.

Irmer, V., siehe Tegeder, K.

Jacobs, J., siehe Böhm, E.

Jäger, E., siehe Gamer, M.

Jax, P., Gillot, R., und Spöhrer, H.-J.: Innendruck-Schwellversuche an einem Behälter in Zwischengröße (ZB 1) 63:996—1002

Johansson, R.: Vorstellung eines Modells zur Abschätzung der Umweltbelastung für ein Kohlekraftwerk an der schwedischen Ostküste 63:374 + Sammelband Kraftwerk und Umwelt 1983

Johnson, D.G.: Dampfturbinenprozesse von Kombi-Kraftwerken 63:427—436

Junkers, G.: Zweieinhalbjährige Betriebserfahrung mit einer Anlage zur SO_3-Rauchgaskonditionierung an einem 150-MW-Block 63:599—606

Kaes, H., siehe Spähn, H.

Kallend, A.S., und Soriven, R.A.: Neue Verfahren zur Fern- und Flugzeugmessung der Bestandteile von Kraftwerks-Rauchfahnen 63:375 + Sammelband Kraftwerk und Umwelt 1983

Kalwa, G.: Entwicklungstendenzen der warmfesten Stähle für nahtlose Rohre im Kraftwerksbau 63:356—365

Kassebohm, B., und Bewerunge, J.: Betriebsbewährung der trockenen Rauchgasreinigung „System Düsseldorf" hinter Müllverbrennungsanlagen 63:378 + Kraftwerk und Umwelt 1983

Kauffeld, W.: Gedanken zur Verbesserung der Leittechnik-Dokumentation insbesondere im Hinblick auf die neuen Leittechnik-Systeme 63:443—457

Kautz, K., Reichel, H.-H., und Schwarz, G.: Zum Zusammenhang zwischen Kohleeigenschaften und dem Auftreten von Verschlackungen, Verschmutzungen und Korrosionen in Wanderrostkesseln 63:701—706

Kautz, K., siehe Maury, H.D.

Keysselitz, J., Meyer, G., und Andres, G.: Schaufelschaden an einer 300-MW-HD-Teilturbine infolge unzureichenden Dampfdurchsatzes im Leerlaufbetrieb — Ereignis, Untersuchung, Konsequenzen 63:769—779

Klaiber, E., siehe Backfisch, W.

Klepper, H., siehe Heiberger, D.

Klug, M., siehe Doležal, R.

Kirsch, H.†, siehe Maury, H.-D.

Knopf, E.: Gründung für konventionelle Kraftwerke — vom Konzept zum Projekt 63:837—841

Knüppel, R.: Die Hanse — Ausdruck europäischen Denkens und Handelns 63:861—865

Koch, W., siehe Plass, L.

Kojetinsky, A., siehe Rieser, R.

Kokott, D.: Betriebserfahrungen mit einem Naß-/Trockenkühlturm bei der BASF für 150 MW thermische Leistung 63:1055—1062

van der Kooij, J.: Konsequenzen der Verfeuerung von umweltfreundlichen Brennstoffen in E-Werken in den Niederlanden während Perioden größerer Luftverunreinigung 63:374 + Sammelband Kraftwerk und Umwelt 1983

Korpela, T.: Analyse der Dampfprozesse nach der Leistungsfaktormethode 63:323

Kowalczyk, U., siehe Angenend, F.-J.

Kraemer, W., siehe Urban, U.

Krämer, H.: 10 Jahre Bewährung von Kernkraftwerken 63:939—943

Kuhn, R.: Verbrennung von Kohlenmischungen 63:508—513

Kunz, P., siehe Böhm, E.

Kußmaul, K., und Navab-Motlagh, M.: Verhalten der Magnetitschutzschicht unter Kesselbedingungen 63:153—162

Landhäußer, O.: Energieeinsparung in einem Industriebetrieb 63:133—138

Leikert, K.: Überlegungen zur Verfeuerung niederflüchtiger Kohlen und Ausführungsbeispiele in Schmelz- und Trockenfeuerungen 63:794—801

Leithner, R.: Vergleich zwischen Zwangdurchlaufdampferzeuger, Zwangdurchlaufdampferzeuger mit Vollastumwälzung und Naturumlaufdampferzeuger 63:553—568

Lohmann, F.W.: Ursache, Ablauf und Folgerungen des Brandes im HKW Zugweg der GEW, Köln 63:497—503

Loitzl, W., siehe Heiberger, D.

Loquenz, H., und Orgler, A.: Erfahrungsbericht über die neue MgO-SO_2-Rückgewinnungsanlage der Chemiefaser Lenzing AG 63:376/377 + Sammelband Kraftwerk und Umwelt 1983

Lotz, H., Rößler, W., und Weigel, H.-G.: Erste Betriebserfahrungen mit der Steinkohlen-Schmelzfeuerung des 300-MW-Blockes im Kraftwerk Elverlingsen der Elektromark 63:1030—1039

Märzendorfer, H., und Schaller, W.: Naßentschwefelung mit Wiederaufheizung der Rauchgase durch Heißluft 63:332/333

Märzendorfer, H.: Der Wärmehaushalt der Rauchgase bei den Rauchgasentschwefelungsverfahren 63:969—973

Maier, H., siehe Schröfelbauer, H.

Martin, H.: Auslegung und Konstruktion großer steinkohlebefeuerter Dampferzeuger mit hohen Dampfzuständen 63:413—421

Maury, H.-D., Bambauer, H.U., Kautz, K., und Kirsch, H.†: Abschlußbericht zum VGB-Forschungsprojekt 34: Zur Mobilisierung von Haupt- und Spurenelementen durch Oberflächen- und Grundwasser in Flugaschedeponien aus steinkohlebefeuerten Kraftwerken 63:606—613

Meixler, H.-H., siehe Gebhard, G.

Meyer, G., siehe Keysselitz, J.

Michelfelder, S., siehe Dibelius, G.

Möhring, U.: Erdgasentspannungsturbinen zur Energierückgewinnung für erdgasbefeuerte Großkraftwerke 63:388—394

Morasky, T.M., Dalton, S.M., und Preston, G.T.: Rauchgasentschwefelung — Kosten und Zuverlässigkeitsauswirkungen in den USA 63:377 + Sammelband Kraftwerk und Umwelt 1983

Müller, H., und Wegmann, M.: Das Steinkohlenkraftwerk Ibbenbüren, Block B 63:275—286

Multer, I.: Erfahrungen mit Titan-berohrten Kondensatoren in schwedischen Kraftwerken 63:487—490

Navab-Motlagh, M., siehe Kußmaul, K.

Neise, W.: Turbulenz und Geräuschminderung bei Ventilatoren 63:957—969

Neubauer, B., und Arens-Fischer, F.: Bestimmung der Restlebensdauer kriechbeanspruchter Kraftwerkskomponenten 63:637—646

Neubauer, N., siehe Plür, R.

Neumann, M., siehe Strohmeier, K.

Nürnberg, H.W.: Moderne voltammetrische Methode zur Analyse von Spurenmetallen und Spurenstoffen in verschiedenen Wassertypen 63:896—906

Odar, S.: Bildung von Wasserstoff im Sicherheitsbehälter von DWR-Kernkraftwerken und seine Überwachung 63:162—166

Ortner, G., und Schluck, W.: Erste Erfahrungen mit dem Abwasserabgabengesetz (AbwAG) 63:378 + Sammelband Kraftwerk und Umwelt 1983

Orgler, A., siehe Loquenz, H.

Paffrath, G., Ambros, R., und Schroeder, H.J.: Wasser-Dampfkreislauf von Druckwasserreaktoren und Radioaktivität 63:91—98

Pahl, G., und Rüblinger, W.: Festschmierung in Wälzlagern für nichtatmosphärische Einsatzbedingungen 63:212—217

Paludan, P.: Architektonische Entwicklung der dänischen Kraftwerke seit 1950 63:374/375 + Sammelband Kraftwerk und Umwelt 1983

Patzelt, A.: Zum Abscheideverhalten von Jod aus der Abluft nuklearer Hilfssysteme bei einem Siedewasserreaktor 63:1078—1080

Pellkofer, D., siehe Cerjak, H.

von Petery, C.: Aufstellungsplan unter Beachtung der TA Lärm und der Arbeitsstättenverordnung 63:503—508

Plass, L., Daradimos, G., Beisswenger, H., Koch, W., Wargalla, G., und Schmitz, G.: Die zirkulierende Wirbelschichtfeuerung — Eine Umsetzung von Entwicklungsergebnissen in die Praxis 63:880—887

Plür, R., und Neubauer, N.: Die Fernwärmeverteilungsstationen der Energieversorgung Oberhausen AG 63:287—294

Pich, R., und Erlmann, K.: Automatische Überwachung der rechnerischen Lebensdauererschöpfung druckführender Bauteile 63:537—544

Pich, R.: Näherungsgleichungen zur Abschätzung der instationären Wärmespannungen in krümmungsbehinderten Platten, Hohlzylindern und Hohlkugeln bei linear veränderter Leittemperatur 63:915—924

Piehl, K.H.: Werkstoffe für Kugeldruck- und Reaktorsicherheitsbehälter 63:989—996

Pietrzeniuk, H.J., siehe Böhm, E.

Pitt, R., siehe Dibelius, G.

Preston, G.T., siehe Morasky, T.M.

Pries, W.: Auswahlkriterien für Dampfturbogruppen kleiner und mittlerer Heizkraftwerke 63:887—891

Quack, R.: Hochschulforschung im Bereich der Kraftwerkstechnik 63:865—874

Rau, P., siehe Fuchs, P.

Reichel, H.-H., siehe Kautz, K.

Reinartz, A., siehe Dibelius, G.

Reinhard, K., siehe Heiberger, D.

Reinicke, W.: Abschlußbericht zum VGB-Forschungsprojekt 49: Schalleistungsermittlung durch Schallintensitätsmessungen an Maschinen unter Betriebsbedingungen 63:891—896

Reißmann, M.: Neues Konzept der Brennstoff-Versorgung für Kohlekraftwerke 63:232—237

Reitz, H., siehe Bursik, A.

Remberg, H.-W., siehe Eggers, H.-J.

Renz, U., siehe Dibelius, G.

Richter, F.: Proben- und schmelzbedingte Streuung in den physikalischen Eigenschaften am Beispiel der beiden warmfesten Stähle 10 CrMo 9 10 und 13 CrMo 4 4; Mitteilung aus dem Forschungsinstitut der Mannesmann AG 63:815—829

Richter, R., siehe Baumüller, F.

Rieser, R., und Kojetinsky, A.: Kernkraftwerk Isar 2 — Modellanlage des „Konvois" 63:1039—1047

Rieß, R., siehe Gebhard, G.

Roeder, A., und Rölli, F.: Die Zuverlässigkeit der Berechnungsgrundlagen für Dampfturbogruppen und ihre Bestätigung durch Abnahmemessungen 63:1047—1055

Rölli, F., siehe Häusermann, A.

Rölli, F., siehe Roeder, A.

Röttger, G., siehe Ewald, J.

Rößler, W., siehe Lotz, H.

Rolf, A., siehe Doležal, R.

Roofthooft, R.: Behandlung von Reaktorwasser mit Kationenaustauscherharzen in Kernkraftwerken mit Druckwasserreaktoren (DWR) 63:983/984

Rüblinger, W., siehe Pahl, G.

Säring, A., siehe Szczepanek, R.

Sandner, Th.: Verfahren zur Berechnung von thermodynamischen Kreisprozessen in Dampfkraftanlagen 63:1—7

Scriven, R.A., siehe Kallend, S.A.

Seipp, H.-G.: Betriebserfahrungen mit wassergekühlten Generatorwicklungen 63:408—413

Sielhorst, W.: Betriebserfahrungen mit Kerzenfiltern in Kondensatreinigungsanlagen 63:85—87

Sill, U., siehe Brosche, D.

Smith, W.B., siehe Carr, R.C.

Spähn, H., Schoch, W., und Kaes, H.: Werkstoff- und schweißtechnische Fragen beim Bau und Betrieb fossilbefeuerter Kraftwerke 63:436—443

Spalthoff, F.J.: Tagesfragen der Kraftwerkstechnik 63:935—938

Spindler, K., siehe Bursik, A.

Spliethoff, H., und Weber, E.: Heißgasfilter zur Abgasreinigung — Anforderung und Versuchsergebnisse 63:379 + Sammelband Kraftwerk und Umwelt 1983

Spöhrer, H.-J., siehe Jax, P.

Szczepanek, R., Säring, A., und Strohmeier, K.: Spannungsermittlung an Flanschen mittels Finiter-Element-Methode 63:1003—1006

Schaller, W., siehe Märzendorfer, H.

Schiemichen, P.H.: Bauaufgaben und ihre Lösungen im Zusammenhang mit der Energiegewinnung im Offshore-Bereich 63:830—837

Schinn, R.: Chronologie bedeutender Entwicklungen für Wellen-Schmiedestücke 63:912—914

Schirmer, U., siehe Angenend, F.-J.

Schlövogt, T.: Luftreinhaltemaßnahmen — Auswirkungen in einem Reinluftgebiet 63:375 + Sammelband Kraftwerk und Umwelt 1983

Schlövogt, T., siehe Schweizer, G.

Schluck, W., siehe Ortner, G.

Schmidt, J., siehe Cerjak, H.

Schmitz, F., siehe Ewald, J.

Schmitz, G., siehe Plass, L.

Schnurnberger, W., Sternfeld, H.J., und Woijkowsky, H.: Ermittlung von Kosten zur Stromerzeugung aus Brennstoffzellen-Kraftwerken auf Wasserstoffbasis 63:208—212

Schoch, W.: 100 Jahre Kraftwerkstechnik unter besonderer Berücksichtigung der Werkstofftechnologie 63:614—637

Schoch, W., siehe Spähn, H.

Schönbucher, B., und Dieterle, E.: Verfahren zur Behandlung von Abwasser aus Rauchgasentschwefelungsanlagen 63:377 + Sammelband Kraftwerk und Umwelt 1983

Scholtholt, A., und Thelen, F.: Erste Betriebserfahrungen mit dem steinkohlebefeuerten 747-MW-Block im STEAG-/VEW-Gemeinschaftskraftwerk Bergkamen A 63:195—203

Schommer, A., siehe Boguschewski, G.

Schranner, M.: Das Genehmigungsverfahren für den Block 5 des Kraftwerks Zolling 63:765—769

Schreiber, J.: Erprobung einer Graphitdichtung für Hochdruck-Speisewasservorwärmer 63:924/925

Schroeder, H.J.: Betrachtungen über den Zusammenhang zwischen Primärkühlmittelchemie und Dosisleistung in Druckwasserreaktoren 63:712/713

Schroeder, H.J., siehe Paffrath, G.

Schröfelbauer, H., und Maier, H.: Rauchgasentschwefelung bei Braunkohle im Kraftwerk Voitsberg (A) 63:378 + Sammelband Kraftwerk und Umwelt 1983

Schub, P., und Seifert, K.-G.: Erfahrungen mit einer Anlage zur Aufbereitung von Kühlturm-Zusatzwasser 63:243—245

Schwarz, G., siehe Burgmann, F.

Schwarz, G., siehe Kautz, K.

Schwarz, O.: Kurzbericht über die Tätigkeit der VGB TECHNISCHEN VEREINIGUNG DER GROSSKRAFTWERKSBETREIBER E.V. 1982/1983 63:743—760

Schweizer, G., Schlövogt, T., und Häßler, G.: Ausbreitungsbedingungen für verschiedene Standorte im Oberrheintal 63:458—464

Schwirten, D., siehe von Freier, H.

Stadie, L., siehe Breucker, H.

Staif, F., siehe Ewald, J.

Steczek, M., siehe Bugla, N.

Stegemann, D., siehe Valero, M.

Steinbiß, E.: Einsatz der Kohlenstaubfeuerung in der Zementindustrie 63:514—519

Steinmetz, P., siehe Brockel, D.

Stellbrink, B., siehe Bosselmann, W.

Sternfeld, W., siehe Schnurnberger, W.

Steven, H., siehe Dibelius, G.

Strohmeier, K., und Neumann, M.: Berechnung von Zylinderschalen mit senkrechtem Abzweig auf Wechselbeanspruchung durch schwellende Innendruck- und Temperaturänderungen nach TRD 301, Anlage 1 63:254—262

Strohmeier, K., siehe Szczepanek, R.

Täubert, U.: Verwendung von Flugasche im Straßenbau 63:380 + Sammelband Kraftwerk und Umwelt 1983

Tegeder, K., und Irmer, V.: Schallschutz in Müllverbrennungsanlagen 63:379/380 + Sammelband Kraftwerk und Umwelt 1983

Thelen, F., siehe Scholtholt, A.

Tönnies, U.: Erhöhung der Effektivität von Vorbelastungsmessungen 63:375 + Sammelband Kraftwerk und Umwelt 1983

Traupe, A.: Grundsätze der Arbeitssicherheit 63:594—599

Trenkler, H.: Ökologie und Umweltschutz — ein naturwissenschaftlich-politisches Problem 63:761—765

Trojanowskij, B.M.: Betrieb von Wärmekraftwerken, insbesondere deren Dampfturbinen, in der UdSSR 63:111—121

Tweehuysen, C.G., siehe Allan, F.

Urban, U., Wickström, B., und Kraemer, W.: Die Entwicklung eines kombinierten Gas-/Dampfturbinen-Prozesses mit druckbetriebener Wirbelschichtfeuerung 63:422—427

Valero, M., und Stegemann, D.: Anwendung der Korrelationsanalyse zur Schadensdiagnose in Turbomaschinen 63:294—301

Waldner, W.: Zur Bestimmung der Betriebsdaten für die Feststellung von Rauchgasemissionen 63:1068—1073

Waltenberger, G.: 30 Jahre Betrieb der ersten 600 °C-Hochtemperatur-Dampfkesselanlage 63:653—660

Walter, K.-H.: Primärkühlmittelreinigung über Ionenaustauscher — Erfahrungen aus dem Betrieb von Kernkraftwerken mit Druckwasserreaktoren 63:706—712

Wargalla, G., siehe Plass, L.

Weber, E., siehe Spliethoff, H.

Wegmann, M., siehe Müller, H.

Weigel, H.-G., siehe Lotz, H.

Weiler, H., und Hamm, H.: Aufbereitung von feuchten, feinteiligen Rauchgasgipsen 63:378/379 + Sammelband Kraftwerk und Umwelt 1983

Wein, W.: Auslegung und Disposition des Heizkraftwerkes I der Stadtwerke Duisburg AG mit „Zirkulierender Atmosphärischer Wirbelschichtfeuerung (ZAWSF)" 63:678—684

Wetzl, R.: Erste Erfahrungen mit den elektrotechnischen und leittechnischen Anlagen des Kraftwerkes Bergkamen 63:306—315

Wetzold, P.W.: Betriebliche Verbesserung bei kohlebefeuerten Kraftwerkskesseln durch chemische Schlackenmodifizierung 63:245—247

Wickström, B., siehe Urban, U.

Wiedeking, E., siehe Berkhahn, W.

Wierig, H.-J.: Zum Verhalten von Beton gegenüber physikalischen, chemischen und biologischen Angriffen 63:721—728

Winkens, H.P.: Fernwärmeversorgung am Beispiel der Stadt Mannheim 63:58—68

Wittchow, E., siehe Bald, A.

Wöhler, C.-H., siehe Bense, W.

Wöhrle, G., siehe Gamer, M.

Woijkowski, H., siehe Schnurnberger, W.

Wolf, A.: Erfahrungen mit dem deutschen Dampfkessel-Regelwerk 63:105—110

Wollny, S.: Deponie-Basisabdichtung aus Kraftwerksreststoffen 63:380 + Sammelband Kraftwerk und Umwelt 1983

Wróblewska, V.: Einige Probleme der Kohlenstaubbrennerauslegung 63:1063—1068

Wronski, G.: Ausrichtung von großen Dampfturbosätzen 63:576—586

Wünsch, A.: Notwendigkeit, Möglichkeit, Durchführung, Kosten der Nachrüstung mit einer Rauchgasentschwefelung 63:377 + Sammelband Kraftwerk und Umwelt 1983

Zörner, W., Ewald, J., und Haase, H.: Dampfturbinen für Kraftwerke mit hohen Dampfzuständen 63:37—45

Sachverzeichnis 1983

Abhitze-Dampferzeuger 63:491

Abscheidung von Jod aus der Abluft nuklearer Hilfssysteme bei Siedewasserreaktoren 63:1078—1080

Abwasser
— Aufbereitung in einem Braunkohle-Kraftwerk 63:175—179
— Ionenaustauscher-Regeneration, Fischtest 63:87—90

Additive
— Beeinflussung des Schmelzverhaltens von Kohlenasche 63:245—247
— Verminderung der Kohleverschlackungsneigung 63:355

Aktivkohle, Abscheideverhalten von Jod aus der Abluft nuklearer Hilfssysteme bei Siedewasserreaktoren 63:1078—1080

Analyse
— von Elektrofilterstäuben 63:248—254
— von Ionenaustauschern, automatisierte Kapazitätsbestimmung 63:984—989
— von Wasser, Voltammetrie 63:896—906

Anfahren von Dampfturbinen 63:477 63:576 63:769

Anrißlastwechselzahl; TRD 301, Anlage 1 63:254—262

Ansatzbildung, Entstehungsmechanismen 63:351/352

Anfahrzeiten von Kraftwerksblöcken 63:15 63:419 63:565 63:1038/1039

Anwärmen von Dampfturbinen 63:477

Arbeitsstätten-Verordnung, Lärmrichtwerte 63:503

Asche
— Schmelzpunkt, Beeinflussung durch Additive 63:245—247
— Zusammensetzung von Kohlen 63:1064

Atomabsorptionsspektrometrie zur Bestimmung von Spurenelementen im Elektrofilterstaub 63:248—254

Aufschlußverfahren für die Analyse von Elektrofilterstaub 63:248—254

Aufstellungsplanung von Maschinen 63:503 63:957

Ausbreitung von Kühlturmschwaden 63:458—464

Ausrichtung von Dampfturbinen 63:576

Austenitische Stähle; Verarbeitung 63:361—365

Auswuchten, Dampfturbosätze 63:951

Automatisierung der Kapazitätsbestimmung von Ionenaustauschern 63:984—989

Ballast-Brennstoffe und Ansatzbildung an Heizflächen 63:350—356

Bauaufgaben bei Energiegewinnung im Offshore-Bereich
— Plattformtypen 63:830—837
— Entwurfskriterien 63:830—837
— Bemessungsschritte 63:830—837

Baustoffe, Hochschulforschung 63:865

Berechnung; TRD 301, Anlage 1 63:254—262

Berechnung
— von Flanschverbindungen 63:1105
— von Rohrleitungsfestpunkten
  — bei Sammlerquerbruch 63:786—794
  — bei Sammlerlängsbruch 63:786—794
— von Wärmespannungen 63:915—924

Berechnungsgrundlagen, Dampfturbogruppen 63:1047

Beschaufelung, Dampfturbinen 63:1047

Bestimmung der Energie zur Wiederaufheizung 63:520—524

Betriebskosten (spezifische) bei der Anwendung von niederflüchtigen Kohlemischungen 63:512

Betriebsstoffe, Hochschulforschung 63:865

Betriebswerte in der Kraftwerks-Chemie (Begriffserklärung) 63:1006—1008

Biegewechselversuche; Magnetitschutzschicht 63:154—158

Bindemittel von Ansätzen 63:354

Blockbetrieb, Simulation 63:122—133

Boiler-Turbine Matching 63:477

Brand im HKW Zugweg, Ursache, Ablauf, Folgerungen 63:497

Brandauswirkungen, rechnerische Untersuchungen von 63:592

Brandschutzmaßnahmen in einem HKW nach einem Brand 63:501

Braun- und Steinkohle, kalorische und kinetische Eigenschaften 63:1063

Brennbares (Feuerungsverlust) im Flugstaub aus nieder- bzw. hochflüchtigen Kohlemischungen 63:510

Brennerausführung und Flammenführung in der Zementindustrie 63:518/519

Brennergürtelbelastung kohlenstaubbefeuerter Dampfkessel 63:24

Brennkammerberohrung, Ausführungsformen 63:26

Brennstoffbrand, Definition 63:1071

Brennstoffe, Hochschulforschung 63:865

Brennstoffmengen, rechnerische Einteilung 63:1069

Brennstoffverbrauch (prozentuale Anteile) in der deutschen Zementindustrie 63:515

Bruchzähigkeit; Kappenringe 63:151

BUS-Systeme
— Entwicklung in der Leittechnik 63:685
— erste Betriebserfahrungen 63:222
— Kraftwerksleittechnik mit 63:217
— sinnvoller Einsatz 63:690

Calciumsulfit 63:335—344

Chemie im Primärkreis von Druckwasserreaktoren, Zusammenhang mit der Dosisleistung 63:712/713

Chemische Reinigung eines Turbinenkondensators 63:183—190

Chemische Umsetzung 63:974—983

Chrom-Mangan-Austenit 63:144

Citronensäure, Einsatz zur chemischen Reinigung eines Turbinenkondensators 63:183—190

Dampferzeuger
— Anfahrdiagramm einer Steinkohlenschmelzfeuerung 63:1038/1039
— Anfahren und Laständerungen 63:419
— Auslegung von Hochtemperaturanlagen 63:544
— Betriebserfahrungen mit Hochtemperaturanlagen 63:655
— Betriebserfahrungen mit Steinkohlenschmelzfeuerung 63:1035
— Betriebsverhalten 63:35 63:197
— in Druckwasserreaktoren, Aktivitätsemission bei kleinen Leckagen 63:91—98
— Heizflächenschaltungen 63:34
— Hochtemperaturanlagen 63:653—660
— Hochtemperaturkorrosionen 63:32 63:416
— Inbetriebnahme einer Steinkohlenschmelzfeuerung 63:1033
— Prozeßmodell 63:692
— Schadensursachen 63:779
— Schäden an Rohren 63:779
— Simulation dynamischer Vorgänge 63:694
— Vergleich der Systeme 63:554—568
— Vergleich von Simulation und Messung 63:692—701
— Versuche zur Sekundärwasserchemie in DWR 63:166—175
— Werkstoffzustand bei Hochtemperaturanlagen 63:657

Dampfkessel-Regelwerk; Erfahrungen 63:105—110

Dampfturbinen 63:37 63:46 63:111 63:395 63:477 63:576
— Ausrichtung 63:576
— Auswuchten 63:951
— doppelte ZÜ 63:37 63:46
— Gehäuse 63:395
— Heizkraftwerke 63:887
— für hohe Drücke 63:37 63:46
— 100 Jahre 63:569
— Kondensator 63:487
— Lager 63:576
— Läufer 63:395
— Läuferkühlung 63:37
— Lebensdauerüberwachung 63:403
— Schaufelschaden 63:769
— in der UdSSR 63:111

Dampfturbinenprozesse, Kombi-Kraftwerke 63:427 63:491

Dampfturbogruppen, Berechnungsgrundlagen 63:1047

Dampfzustände von steinkohlebefeuerten Dampferzeugern 63:29—37 63:195—203 63:413—421

DDA-Auslegungen 63:265/266

DDA-Mitteilungen 63:263—266

Dehnungsschwingbreite 63:156—162

Dehnungswechselverhalten; Kappenringwerkstoffe 63:150

Deutscher Dampfkesselausschuß; Zusammensetzung 63:106 und 107

Dichte; 10 CrMo 9 10 und 13 CrMo 4 4 63:818/819

Dichtungen; Flanschverbindungen 63:1098—1108

Dilatometerkurve; X 20 CrMoV 12 1 63:360

DIN 17 245: Anwendung 63:1085—1098

Dokumentation der Leittechnik 63:443

Dosisleistung, Zusammenhang mit der Primärkühlmittelchemie bei Druckwasserreaktoren 63:712/713

Druckbetriebene Wirbelschichtfeuerung, Entwicklung eines kombinierten Gas-/Dampfturbinenprozesses 63:422—427

Druckverlustanstieg in Durchlaufkesseln und Speisewasserkonditionierung 63:74—85

Druckwasserreaktor
— Behandlung von Reaktorwasser mit Kationenaustauscherharz 63:983/984
— Dampferzeuger als Aktivitätsbarriere zwischen Primär- und Sekundärkreislauf 63:91—98
— Mechanismen der Wasserstoff-Freisetzung beim Kühlmittelverluststörfall 63:162—166
— Primärkühlmittelreinigung mit Ionenaustauschern 63:706—712
— Untersuchungen zur Sekundärwasserchemie 63:166—175
— Zusammenhang zwischen Primärkühlmittelchemie und Dosisleistung 63:712/713

Durchlaufkessel, Einfluß der Speisewasserkonditionierung auf den Druckverlustanstieg 63:74—85

EDTA zur Reinigung von Hohlleitern in wassergekühlten Generatoren 63:408—413

EGKS-Programm 63:815—829

Eigenbedarfsnetz, Sicherheit des bei Großstörungen im Netz 63:203—208

Einbindung 63:606—613

Elastizitätsmodul; 10 CrMo 9 10 und 13 CrMo 4 4 63:821

Elektrofilterstaub, Bestimmung von Spurenelementen 63:248—254

Emission, mögliche Pfade bei kleinen Leckagen im Druckwasserreaktor 63:91—98

Emissions-Grenzwerte (USA) 63:23

Energierückgewinnung 63:389

Energieverbrauch (spezifisch) bei der Zementherstellung 63:514

Entschwefelung, Wirbelschichtfeuerung 63:678 63:874

Entschwefelungsgrad 63:661—668

Entschwefelungsrückstände, Verwertung 63:344

Entsorgung 63:344

Epitaktische Magnetitschicht 63:153

Erdgasentspannungsturbinen 63:389

Ergonomie in der Warte 63:589

Erschöpfungsberechnung 63:638

Erschöpfungsgrad 63:538

Explosionsschutz in der Zementindustrie 63:516

FACOS (Fatigue Control System) 63:538—544

Fernwärme-Auskoppelung bei steinkohlebefeuerten Kraftwerken 63:7—18

Fertigungstechnik, Hochschulforschung 63:865

Festigkeitslehre, Hochschulforschung 63:865

Feuerraumgrößen für verschiedene Kohlenarten und Leistungsgrößen 63:24/25

Feuerungssysteme in der Zementindustrie 63:516

Filterdaten und Betriebsweise von Kerzenfiltern 63:85—87

Filterspülwasser, Aufbereitung im Schlammkontaktflocker 63:180—183

Finite-Element-Methode 63:1003—1006

Fischtest mit Regenerierabwässern 63:87—90

Flansche; Spannungsermittlung 63:1003—1006

Flanschverbindungen; Auswirkung von Temperatur 63:1098—1108

Flockung
— bei der Abwasseraufbereitung 63:175—179
— bei der Aufbereitung von Filterspülwasser 63:180—183
— bei der Aufbereitung von Kühlturm-Zusatzwasser 63:243—245
— bei der Aufbereitung von Zusatzspeisewasser 63:525—531

Flüchtige Bestandteile, Zusammensetzung 63:1063

Flugasche, Verwertung 63:344

Flugaschedeponie 63:606—613

Flugstaub (siehe Flugasche) 63:344

Fremdgeräusch 63:891

Gasturbine 63:491
— Kombi-Kraftwerk 63:427 63:491

Gavo, siehe Wiederaufheizung

Gefüge; 10 CrMo 9 10 und 13 CrMo 4 4 63:823

Gefügeabdrücke 63:639—641

Genehmigungsverfahren 63:765—769

Generatorkühlung mit Wasser 63:408—413

Generator-Kappenringe; Werkstoff 63:143—153

Geschichte der Dampfturbinen 63:569

Gips, Gipskristalle 63:335—344

Gips, Kristallisation 63:1073—1077

GKN 1, Dampferzeugerschäden 63:779

Granulat, Verwertung 63:344

Graphitdichtung für HD-Speisewasservorwärmer 63:924/925

Grenzwerte in der Kraftwerkschemie (Begriffserklärung) 63:1006—1008

Großfeuerungsanlagenverordnung; Auswirkungen 63:936/937

Großstörungen im Netz; Sicherheit des Eigenbedarfsnetzes von Wärmekraftwerken 63:203—208

Gründung für konventionelle Kraftwerke
— Aufgabenverteilung 63:837—841
— Bodengutachten 63:837—841
— Baugrund 63:837—841
— Bodenmechanik 63:837—841
— Grundbau 63:837—841
— Setzungen 63:837—841
— Wirtschaftlichkeit 63:837—841

Grüne Welle 63:762

Häufigkeitsverteilung der Ausbreitungsklassen 63:458—464

Hanse 63:861

Haupt- und Spurenelemente 63:606—613

HCl-Messung im Rauchgas 63:239 63:801

HD-Umleitstationen
— Aufbau 63:223—229
— Werkstoffe 63:223—229
— Prüfungen 63:223—229
— Ergebnisse von Revisionen 63:223—229

HD-Speisewasservorwärmer, Erprobung einer Graphitdichtung 63:924/925

Heißrisse in austenitischen Stählen 63:363

Heißstart von Dampfturbinen 63:477

Heizflächenansätze, Veränderungen während des Betriebes 63:353

Heizflächenschaltungen 63:34

Heizflächenverschmutzung bei Kohlefeuerung 63:350—356

Heizkraftwerk
— Auswahl der Dampfturbogruppen 63:887
— Wirbelschichtfeuerung 63:678 63:874

Heizturbogruppen 63:887

Hersteller großer Dampfturbinen 63:569

Hochschulforschung 63:865

Hochtemperatur-Dampferzeuger 63:653—660

Hochtemperatur-Korrosionen 63:32 63:416

Immissionsverbesserung 63:520—524

Informationsverdichtung in der Warte 63:591

Infrarot-Messung im Rauchgas 63:239 63:801

Inkohlung — Kohlestrukturumwandlung, Änderung der inneren Oberfläche, summarische Beschreibung 63:796

Innendruck-Schwellversuche 63:996—1002

Inselbetrieb auf Eigenbedarf mit Zwangdurchlauf- und Trommelkesseln 63:203—208

Ionenaustauscher
— automatisierte Kapazitätsbestimmung 63:984—989
— Behandlung von Reaktorwasser in Druckwasserreaktoren mit Kationenaustauscherharz 63:983/984
— Einsatz zur Primärkühlmittelreinigung im Druckwasserreaktor 63:706—712

Ionenchromatogramm von Rauchgas 63:1073—1077

IR-Rauchgasmessung bei MVA 63:239 63:801

i,t-Diagramm für Rauchgas nach Luvo 63:969—973

Jod, Abscheidung aus der Abluft nuklearer Hilfssysteme bei Siedewasserreaktoren 63:1078—1080

Kalkbedarf, Wirbelschichtfeuerung 63:874 63:880

Kalkwaschverfahren, Endprodukt 63:335—344

Kaltstart von Dampfturbinen 63:477

Kapazität von Ionenaustauschern, automatische Bestimmung 63:984—989

Kationenaustauscherharz in Druckwasserreaktoren, Behandlung von Reaktorwasser 63:983/984

Kerbschlagzähigkeit; Einflüsse 63:356—365 63:991—993

Kerbschlagarbeits-Temperatur-Verlauf; Kappenringwerkstoffe 63:147

Kernenergiesituation in der Bundesrepublik Deutschland 63:936

Kernkraftwerk Neckarwestheim, Dampferzeugerschäden 63:779

Kernkraftwerk Philippsburg, Block 2, Wartenmodell 63:586

Kernkraftwerke
— Abscheideverhalten von Jod aus der Abluft nuklearer Hilfssysteme von Siedewasserreaktoren 63:1078—1080
— Behandlung von Reaktorwasser in Druckwasserreaktoren mit Kationenaustauscherharz 63:983/984
— Betriebsbewährung 63:939
— Folgen kleiner Dampferzeugerleckagen beim Druckwasserreaktor 63:91—98
— Modellrechnungen zur Wasserstoff-Freisetzung bei Primärkühlmittelverlust im Druckwasserreaktor 63:162—166
— Primärkühlmittelreinigung beim Druckwasserreaktor mit Ionenaustauschern 63:706—712
— Untersuchungen zur DWR-Sekundärwasserchemie 63:166—175
— Zukunft 63:939
— Zusammenhang zwischen Primärkühlmittelchemie und Dosisleistung in Druckwasserreaktoren 63:712/713

Kerntechnischer Ausschuß (KTA)
— Auslegung gasgekühlter Reaktorkerne 63:646
— Handhabung radioaktiver Stoffe 63:646
— innerbetrieblicher Transport 63:646
— Lagerung radioaktiver Stoffe 63:646
— Wärmeübergang in Kugelhaufen 63:646

Kerzenfilter zur Kondensatreinigung 63:85—87

Kesselspeisewasser
— Art der Konditionierung und Druckverlustanstieg 63:74—85
— Möglichkeiten der Überwachung durch Redoxpotentialmessungen 63:69—73
— Qualitätsanforderungen 63:1081—1084

Kinetische Eigenschaften einiger Braunkohlen 63:1063

Koerzitivfeldstärke; 10 CrMo 9 10 und 13 CrMo 4 4 63:822

Kohleaufbereitung für die Zementindustrie 63:515

Kohledaten
— Badenwerk-Rheinhafen 63:800
— Ibbenbüren 63:798

Kohleentladebrücken 63:671/672
— Schiffsentlader 63:232/233 63:235/236

Kohlefeuerung und Heizflächenverschmutzung 63:350—356

Kohlelager
— Auslegungsdaten 63:668 63:670
— Betriebserfahrungen 63:675
— elektrische Versorgung und Steuerung 63:673/674
— Einrichtungen 63:233—237 63:668—671
— Transportsysteme 63:233—235 63:674

Kohlemischungen, Verbrennung 63:508—513

Kohlemühlen
— Betriebserfahrungen (MPS) 63:26
— Einfluß der Mühlgröße auf Trocknungs-, Mahl- und Verschleißprozesse 63:302—306
— Größenvergleich für verschiedene Durchsätze 63:26
— spezifischer Energiebedarf bei Kohlemischungen unterschiedlicher Mahlbarkeit 63:511
— spezifischer Verschleiß der Mahlteile 63:511

Kohlenasche, Schmelzverhalten mit und ohne Additive 63:245—247

Kohlenstaubbrenner
— Auslegung 63:1063—1068
— NO_x-armer Wirbelstufenbrenner 63:1035

Kohlenstaubbefeuerte Dampferzeuger in den USA 63:19—28

Kohlenstaubentladestation 63:236

Kohlenstaubsilo 63:235

Kohlenstaubtransportwagen 63:236

Kohleversorgung für Kraftwerke, neue Konzepte 63:233—237

Kohlezündungsverhalten — Zündtemperaturen, Zündmechanismus 63:796/797

Kombi-Kraftwerke 63:427 63:491

Kombinierte Konditionierung des Speisewassers und Minderung von Druckverlustanstieg 63:74—85

Kombinierter Gas-/Dampfturbinenprozeß mit druckbetriebener Wirbelschichtfeuerung — Entwicklung 63:422—427

Kompressor, Schalleistung 63:891

Kondensatreinigung
— Erfahrungen mit Kerzenfiltern 63:85—87
— Fischtest mit Regenerierabwasser 63:87—90

Kondensatorreinigung, chemisch mit Citronensäure 63:183—190

Kondensatorrohre aus Titan 63:487

Konditionierung von Speise- und Kesselwasser 63:1081—1084

Korngrößenverteilung von Gips 63:335—344

Korrelationsanalyse 63:295

Korrosion
— Magnetitschutzschicht 63:153—162
— Verhalten von Kupfer in wassergekühlten Generatoren 63:408—413

Korrosionseigenschaften; Generator-Kappenringe 63:143—153

Korrosionsprodukte, Einfluß auf Redoxpotentialmessungen in Speisewasser 63:69—73

Kosten der Wiederaufheizung 63:520—524

Kraftwerk
— Bergkamen, 747-MW-Block A 63:195—203
— Elverlingsen, 300-MW-Block 63:1030—1039
— Gavin (USA) 63:19/20
— Gelderland (Niederlande) 63:668—675
— Ibbenbüren, 700-MW-Dampferzeuger 63:798/799
— Laramie River (USA) 63:20—22
— Voerde 63:1019—1030
— Wilhelmshaven, Rauchgasentschwefelung REA 2 63:661—668

— Zolling, Genehmigungsverfahren Block 5, Raumordnungsverfahren, immissionsrechtliches Verfahren 63:765—769

Kraftwerke, steinkohlebefeuert
— Anfahrzeiten 63:15
— Einsatzbereich 63:8
— Fernwärme-Auskoppelung 63:10
— Wirtschaftlichkeit 63:16

Kraftwerkschemie
— Begriffe Richtwert/Grenzwert/Betriebswert 63:1006—1008
— Hochschulforschung 63:865

Kraftwerksleittechnik mit BUS-System 63:217

Kraftwerkstechnik
— Forschung 63:759 63:865
— Tagesfragen 63:935—938

KRAFTWERKSSCHULE E.V. 63:842

Kriechrisse 63:640—643

Kühlmittelverluststörfall bei Druckwasserreaktoren 63:162—166

Kühlwasser für Generatorwicklungen 63:408—413

Kühlturm-Zusatzwasser, Aufbereitung durch Flockung 63:243—245

Kugeldruckbehälter; Werkstoffe 63:989—996

Kupfer, Korrosionsverhalten in wassergekühlten Generatoren 63:408—413

Kupplungen, Dampfturbinen 63:395

Lärmminderung 63:503 63:891 63:957

Lärmsanierung 63:765—769

Läuferkühlung, Dampfturbinen 63:37

Lager von Dampfturbinen 63:394 63:576

Lamellenabscheider und -eindicker zur Wasseraufbereitung 63:180—183

Lamellenflocker zur Abwasseraufbereitung 63:175—179

Lamellenseparator zur Aufbereitung von Kühlturm-Zusatzwasser 63:243—245

Langzeitdehnverhalten; Werkstoffe für Kappenringe 63:152

Lebensdauererschöpfung druckführender Bauteile 63:537—544

Lebensdauerüberwachung an Dampfturbinenbauteilen 63:403

Leckageüberwachung im Druckwasserreaktor 63:91—98

Leittechnik
— Dokumentation, Gedanken zur Verbesserung 63:443
— erste Erfahrungen im Kraftwerk Bergkamen 63:306—315
— Hochschulforschung 63:865
— neue Generation 63:685—690

Leittemperatur 63:915—924

Ljungström-Gasvorwärmer 63:229—232
— Abdichtungskonzept 63:229
— Korrosionsschutzkonzept 63:230
— Reinigungskonzept 63:230

Luftüberschuß, rechnerische Bestimmung 63:1071

Lunker; Stahlguß 63:1085—1098

Magnetitschutzschicht 63:153—162

Mahlbarkeit
— von Kohlenmischungen 63:509
— von Steinkohlen 63:797

Mahlfeinheit des Kohlenstaubes in der Zementindustrie 63:516

Mahlprozesse in Schlagradmühlen 63:303/304

Malmö, Testanlage für eine druckbetriebene Wirbelschichtfeuerung mit kombiniertem Gas-/Dampfturbinenprozeß 63:422—427

Maschinentechnik, Hochschulforschung 63:865

Membranspannung 63:257—262

Meteorologische Messungen am Mast 63:458—464

Meßtechnik
— Hochschulforschung 63:865
— Schalleistung 63:891

Meßsonde für HCl im Rauchgas 63:803

Mischbettfilter
— kontinuierlich 63:525—531
— Primärkühlmittelreinigung bei Druckwasserreaktoren 63:706—712

Mobilisation 63:606—613

Modellversuche, REA-Gasmischer 63:675

Müllverbrennung
— Mannheim 63:138
— Schadensstatistik 63:138

Müllverbrennungsleistung 63:141

Müllverbrennungsschlacke 63:143

Naturumlauf-Dampferzeuger 63:554—568

Naßentschwefelung 63:662—668

Naß-/Trockenkühltürme
— Auslegung und konstruktiver Aufbau 63:1058—1060
— Betriebserfahrungen 63:1060
— Energiebedarf 63:1061
— 150 MW thermische Leistung 63:1055—1062
— Schallauflagen 63:1062
— Versuchsergebnisse mit Pilotanlagen 63:1056

Niederflüchtige Kohle 63:513 63:795

NO_x, siehe Stickoxide 63:874

NO_x-Emissionen, Erfahrungen mit Fett- und Magerkohle in den USA 63:26

Oberflächengefügeuntersuchung 63:639—641

Ökologie und Umweltschutz 63:761

Ökologie-Bewegung 63:762

Optimierung der Additivauswahl 63:327—331

Orbitalschweißkopf 63:716/717

Palladiumkontakt zur katalytischen Reduktion von Sauerstoff 63:525—531

Parallelplattenabscheider in der Wasseraufbereitung 63:525—531

Physikalische Eigenschaften warmfester Stähle 63:815—829

Primärkühlmittelchemie und Dosisleistung in Druckwasserreaktoren 63:712/713

Primärkühlmittelreinigung bei Druckwasserreaktoren mit Ionenaustauschern 63:706—712

Pulsator zur Wasseraufbereitung 63:180—183

Querkontraktionszahl; 10 CrMo 9 10 und 13 CrMo 4 4 63:821/822

Radiosondenmessungen 63:458—464

Rauchgasemissionen, Bestimmung von Betriebsdaten 63:1068

Rauchgasentschwefelung
— Gips 63:335—344
— Modellversuche 63:675
— Restemissionen 63:1073—1077
— statisches Gas-Mischsystem 63:675
— Wiederaufheizung durch Heißluft 63:332—334 63:969—973

Rauchgasentschwefelungsanlage 63:1019—1030 63:1073
— Auslegungsdaten 63:520—524
— Betriebserfahrung 63:661—668
— Energieeinsparung 63:661—668
— Entschwefelungsgrad 63:520—524
— Gasmischer 63:675
— Regelung 63:661—668

Rauchgasgips, chemische Zusammensetzung 63:335—344

Rauchgasmengen, Ermittlung 63:1071

Reaktorsicherheitsbehälter
— Werkstoffe 63:989—996
— Werkstoff 15 MnNi 6 3 63:532—537

Reaktorwasser in Druckwasserreaktoren, Behandlung mit Kationenaustauscherharz 63:983/984

Rechenprogramme für Blockbetrieb 63:122—133

Reckgrad 63:145

Redoxpotentialmessung, Bedeutung für den Kraftwerksbetrieb 63:69—73

Reduzierstation 63:503

Regelung der Rauchgaskonditionierung 63:599—606

Regeltechnik, Hochschulforschung 63:865

Regenerierabwasser, Fischtest 63:87—90

Regressionskoeffizienten; 10 CrMo 9 10 und 13 CrMo 4 4 63:825/826

Reingasstäube bei MVA 63:241

Reinigung
— eines Turbinenkondensators mit Citronensäure 63:183—190
— von Hohlleitern wassergekühlter Generatoren mit EDTA 63:408—413

Relaxationsverhalten; Kappenringwerkstoffe 63:151

Resonator-Schalldämpfer 63:957

Restlebensdauerbestimmung 63:637—644

Rheinische Braunkohle 63:327—331

Richtfest, Simulator-Zentrum II 63:842

Richtwerte in der Kraftwerkschemie (Begriffserklärung) 63:1006—1008

Risse in Kesselteilen 63:808—815

Rißwachstum
— Innendruck-Schwellversuch 63:999
— Kappenringwerkstoffe 63:151

Rohrleitungsfestpunkte
— Aufgabenstellung 63:786—794
— Ausführung 63:786—794
— Berechnung beim THTR 63:786—794

Rohrleitungen für hohe Dampfzustände
— Armaturen 63:53—58
— Planung 63:53—58
— Schaltungen 63:53—58
— Werkstoffe und Abmessungen 63:53—58

RPS-Reaktor zur Wasseraufbereitung 63:525—531

Rückstände aus der Müllverbrennung 63:143

Rückstandsverwertung von Feuerungen 63:344

Säurekondensation in Düsenstöcken 63:599—606

Sauerstoff
— Einfluß auf Redoxpotentialmessungen in Speisewasser 63:69—73
— in Wasser, katalytische Reduktion 63:525—531

Sanierung nach einem Brand in einem HKW 63:500

Sedimat-Flocker zur Wasseraufbereitung 63:180—183

Sedipac-Lamellenflocker zur Abwasseraufbereitung 63:175—179

Sekundärkreislauf von Druckwasserreaktoren, Aktivitätsemission kleiner Dampferzeugerleckagen 63:91—98

Sekundärwasserchemie in DWR, Untersuchungen 63:166—175

Sicherheits-Umleitventile 63:223—229

Siedewasserreaktor, Abscheideverhalten von Jod aus der Abluft nuklearer Hilfssysteme 63:1078—1080

Simulation des Blockbetriebes 63:122—133

Simulationstechnik für Dampferzeuger 63:692—701

Simulator-Zentrum II 63:842

Simulator
— fossilbefeuerte Kraftwerke 63:844
— Kernkraftwerk Mülheim-Kärlich 63:844

Sonde zur HCl-Messung im Rauchgas 63:803

SO_2-Emissionsminderung bei Braunkohlefeuerungen 63:327—331

SO_3-Leitungssystem 63:599—606

SO_3-Rauchgaskonditionierung 63:599—606

Spannungsamplitude; TRD 301, Anlage 1 63:254—262

Spannungsrißkorrosion
— X 20 CrMoV 12 1 63:361
— Austenit 63:364
— Kappenringwerkstoffe 63:148

Spezifischer elektrischer Widerstand; 10 CrMo 9 10 und 13 CrMo 4 4 63:819

Spülgebläse 63:599—606

Spurenelemente
— in Elektrofilterstaub, Bestimmung 63:248—254
— in Wasser, Bestimmung mit voltammetrischen Methoden 63:896—906

Schadensdiagnose in Turbomaschinen 63:295

Schadstoffausbreitung 63:458—464
— für gasförmige Stoffe 63:974—983

Schadstoffmessungen bei MVA 63:237
Schallauflagen bei Naß-/Trockenkühltürmen 63:1062
Schalleistung 63:891
Schallemissionsmessungen 63:999—1002
Schallintensitätsmessung 63:891
Schallisolierung 63:503
Schallquelle Kaminöffnung 63:765—769
Schaufeln für Dampfturbinen 63:37 63:46 63:111 63:395 63:576 63:769
Schaufeldrehklang 63:295
Schaufelschaden
— Dampfturbine 63:769
— Erfassung 63:295
Schlackenmodifizierung durch Additive bei kohlebefeuerten Kesseln 63:245—247
Schlagradmühlen 63:302—306
Schlammbehandlung
— bei der Abwasseraufbereitung 63:175—179
— bei der Wasseraufbereitung 63:180—183 63:243—245
Schmelzfeuerung 700 MW Ibbenbüren 63:798
Schmelzpunkte von Verbindungen unterschiedlicher Aschekomponenten in verschlackungsartigen Ansätzen 63:354—356
Schmelzverhalten von Kohlenasche, Beeinflussung durch Additive 63:245—247
Schmiedestücke; Entwicklung 63:912—914
Schwefeleinbindung in Calcium 63:327—331
Schwefelgehalt; Einfluß auf Kerbschlagarbeit 63:357—360 63:439
Schweißen von Kesselbauwerkstoffen 63:436—443
Schwermetalle, Bestimmung in Wasser 63:896—906
Schutzschichten, Einfluß der Speisewasserkonditionierung auf Riffelrauhigkeit 63:74—85

Stahlguß; Fehler 63:1085—1098
Staubausbreitung 63:974—983
Staubbrenner, Schmelzfeuerung Ibbenbüren 63:799
Staubfeuerungen in der Zementindustrie 63:514
Staubniederschlag 63:974—983
Steinkohle 63:606—613
— Bedeutung in der Stromerzeugung 63:935/936
— Eigenschaften 63:701—706
Stickoxide, Wirbelschichtfeuerung 63:874
Strahlbrenner für Kohlenstaub, aerodynamische Modelluntersuchungen und Optimierung 63:1066/1067
Straußtest 63:148
Streckgrenzenverhältnis; Kappenringwerkstoff 63:146
Streuung in den physikalischen Eigenschaften 63:815—829
Strömungs- und Wärmelehre, Hochschulforschung 63:865
Stromkennzahl 63:887

TA Lärm 63:503
TA Luft 1983 63:974—983
Teillastverhalten 63:520—524
Temperaturänderungsgeschwindigkeit; TRD 301, Anlage 1 63:255—262
Temperaturdifferenzmessung 63:539/540
Thorium-Hochtemperaturreaktor, Rohrleitungsfestpunkte 63:786—794
Titanberohrte Kondensatoren 63:487
Topotaktische Magnetitschicht 63:153
Transkristalline Spannungsrißkorrosion 63:364
TRD; Änderungen und Ergänzungen 63:263—265
TRD 301, Anlage 1 63:254—262
Trocken-Additiv-Verfahren 63:327—331
Trockenfeuerung 550-MW-Block Kraftwerk Rheinhafen-Dampfkraftwerk 63:799 63:801
Trocknungsprozesse in Schlagradmühlen 63:302/303
Turbinenkondensator, chemische Reinigung 63:183—190
Turbinenwellen; Entwicklung 63:912—914
Turbogenerator, Schalleistung 63:891
Turbolader, Wirbelschichtfeuerung 63:874
Turbulenz, Geräusche 63:957

Überwachung der Wasserstoff-Konzentration im Druckwasserreaktor-Sicherheitsbehälter 63:162—166
Ultraschallprüfung an dickwandigen Behältern 63:807—815
Umgebungsüberwachung 63:458—464
Umleitstationen, Erfahrungen 63:223—229
Umweltschutz
— Ökologie und Ökonomie 63:762
— ökologische Bewertung 63:763
— Waldpfennig 63:938
Umwelttechnik, Hochschulforschung 63:865
Untersuchungsmethoden der Verschlackung (Übersicht) 63:351

Ventilator-Lärm 63:957
Verbrennungsrückstände 63:344
Verformungsfähigkeit; Kesselwerkstoffe 63:436—443
Verhalten von Beton
— biologischer Angriff 63:721—728
— chemischer Angriff 63:721—728
— physikalischer Angriff 63:721—728
Verschlackung
— Verschmutzung (rauchgasseitige) 63:351—356
— bei kohlebefeuerten Kesseln, Beeinflussung durch Additive 63:245—247
— von Heizflächen kohlebefeuerter Kessel 63:350—356
— Verschmutzungen, Korrosionen 63:701—706
Verschlackungsneigung von Kohlen 63:1064
Verschleißprozesse in Schlagradmühlen 63:304/305
Verschmutzung von Heizflächen kohlebefeuerter Kessel 63:350—356
Verspannungsschaubild; Flansche 63:1102
Versprödung; 10 CrMo 9 10 63:438
Verwertung von Verbrennungsrückständen 63:344

VGB
— Festvortrag „Kraftwerke 1983" 63:861
— Forschungsprojekte 63:760
— Heinrich-Mandel-Preis 1983 63:859
— Institute 63:758
— Kongreß „Kraftwerke 1983" 63:855
— Organisationsschema 63:746
— Tätigkeit 1982/83

VGB-FORSCHUNGSSTIFTUNG 63:344 63:606 63:759 63:865 63:891

VGB-Speisewasserrichtlinien, Gedanken zur künftigen Form 63:1081—1084

Vollentsalzung, Fischtest mit Regenerierabwasser 63:87—90

Voltammetrie zur Spurenanalyse in Wasser 63:896—906

Vorkonvoi-/Konvoi-Simulator 63:844

Wälzlager, Feststoffschmierung 63:212—217

Wärmebilanz, Rauchgas nach Luvo 63:332—334 63:969—973

Wärmeleitfähigkeit; 10 CrMo 9 10 und 13 CrMo 4 4 63:820

Wärmespannungen; Berechnung 63:915—924

Wanderrostkessel 63:701—706

Wärmeübergang, Wirbelschicht-Heizflächen 63:874

Wärmeverbrauch, Dampfturbinen 63:46 63:1047

Waldpfennig, Umweltschutz 63:939

Warmfeste Stähle für nahtlose Rohre 63:356—365

Warmriß; Stahlguß 63:1090

Wartenmodell für ein 1300-MW-Kernkraftwerk 63:586

Wartengestaltung 63:587

Wasser zur Dampferzeugung, Qualitätsanforderungen 63:1081—1084

Wasseranalyse mit voltammetrischen Methoden 63:896—906

Wasseraufbereitung
— automatisierte Kapazitätsbestimmung von Ionenaustauschern 63:984—989
— durch Flockung 63:180—183 63:243—245
— durch Flockung und Umkehrosmose 63:525—531
— katalytische Sauerstoff-Entfernung 63:525—531

Wasser-Dampfkreislauf, Konditionierung und Druckverlustanstieg 63:74—85

Wassergekühlte Generatoren 63:408

Wasserstoff, Freisetzung bei Kühlmittelverluststörfall von Druckwasserreaktoren 63:162—166

Wasserstoffmessung im Sicherheitsbehälter von Druckwasserreaktoren 63:162—166

Wechselbeanspruchung; Berechnung 63:254—262

Wechselfestigkeitsdiagramm; Kappenringwerkstoffe 63:150

Werkstoffe; Entwicklung 63:614—637

Weiterverarbeitung von Gips 63:335—344

Werkstoff
— für Dampfturbinen 63:37 63:403
— für Generator-Kappenringe 63:143—153
— Hochschulforschung 63:865
— für Kugeldruck- und Reaktorsicherheitsbehälter 63:989—996
— für nahtlose Rohre 63:356—365
— 10 CrMo 9 10; physikalische Eigenschaften 63:815—829
— 13 CrMo 4 4; physikalische Eigenschaften 63:815—829
— 15 MnNi 6 3; Verarbeitung 63:532—537
— 15 MnNi 6 3; Eigenschaften 63:991—993
— 20 CrMoV 12 1; Verarbeitung 63:359—361 63:441

Wiederaufheizungssysteme 63:520—524

WIG-Impulsschweißen; mechanisch 63:714—720

Wirbelschichtfeuerung
— druckzirkulierende 63:678 63:874 63:880
— kombinierter Gas-/Dampfturbinenprozeß 63:422—427
— Verbrennungsversuche 63:874 63:880
— zirkulierende, atmosphärische, Auslegung des Heizkraftwerkes I der Stadtwerke Duisburg 63:678—684

Wirbelschichtkühler 63:880

Wirtschaftlichkeit steinkohlebefeuerter Kraftwerke 63:7—18

Wuchttechnik an Dampfturbosätzen 63:951

Zähigkeit
— Abhängigkeit vom Schwefelgehalt 63:357
— Kesselwerkstoffe 63:436—443

Zeitstandisothermen 63:645

Zeitstandbruchverformung 63:440

Zeitstandschäden 63:637—646

Zerstörungsfreie Prüfung von Stahlguß 63:1085—1098

Zirkulierende, atmosphärische Wirbelschichtfeuerung 63:678—684

ZTU-Schaubild von 15 MnNi 6 3 63:535

ZÜ-Dampfturbinen 63:37 63:46 63:111

Zündverhalten von Kohlemischungen 63:509

Zwangdurchlauf-Dampferzeuger 63:554—568
— mit Vollastumwälzung 63:554—568

Zylinderschalen; Berechnung 63:254—262

Persönliches

Aggernæs, Erik, 60 Jahre 63:99
Allgeier, Albrecht, in der Heitkamp-Geschäftsführung 63:366
Bachmair, Anton, 85 Jahre 63:728
Beck, Peter, im M.A.N.-Vorstand 63:267
Beitz, Berthold, 70 Jahre 63:927
Benke, Robert, 75 Jahre 63:1010
Bergmann, Friedrich, gestorben 63:728
Bernhardt, Wilhelm, gestorben 63:98
Birgerson, Sture, 60 Jahre 63:1109
Birkhofer, Adolph, Dr.-Ing. Ehren halber 63:648
Börnke, Fritz, 70 Jahre 63:728
Brandt, Fritz, 60 Jahre 63:465
Brocke, Wolfgang, 70 Jahre 63:98
Brünecke, Erhardt, 75 Jahre 63:266
Bub, Heinrich, gestorben 63:266
Buhr, Wilhelm, gestorben 63:465
Burchardt, Hans, 75 Jahre 63:191
Busch, Heinz, 60 Jahre 63:1109
Busschen ten, Albert, 25 Jahre im Dienst 63:192
Clausnizer, Gunter, 25jähriges Dienstjubiläum 63:648
Cramer, Heinz, im NWK-Vorstand 63:1010
Dangl, Kurt, 75 Jahre 63:465
Dibelius, Günther, 60 Jahre 63:98
Didion, Elmar, 60 Jahre 63:729
Ebeling, Friedrich G.W., im Mobil-Vorstand 63:729
Ebersold, Wilhelm, 60 Jahre 63:191
Eitz, August Wilhelm, 50 Jahre 63:850
Ettemeyer, Reinhardt, 25 Jahre beim RWE 63:927
Frank, Berthold, 70 Jahre 63:647
Fremuth, Walter, Präsident des Verbandes der Österreichischen Elektrizitätswerke AG 63:648
Friedring, Günter, gestorben 63:545
Funke, Werner, im Ruhestand 63:465
Gassert, Herbert, zum Ehrensenator ernannt 63:1109
Glahe, Erwin, 60 Jahre 63:465
Guck, Rudolf, 60 Jahre 63:729
Gutberlet, H., Heinrich-Mandel-Preis 1983 63:859
Haase, M., VGB-Ehrenurkunde 63:859
Hartel, Werner, Geschäftsführer des Kernkraftwerks Krümmel 63:850
Hartmann, Peter, im Ruhestand 63:191
Hein, K., Heinrich-Mandel-Preis 1983 63:859
Heitmann, Hans-Günter, 60 Jahre 63:191
Henning, Theodor, zum Honorarprofessor ernannt 63:545
Herbsleb, Günter, 50 Jahre 63:99
Hilker, Helmut F., Robert-Mayer-Preis 1983 63:1109
Hirschfelder, Günter, im VKR-Vorstand 63:465
Hlubek, Werner, zum Direktor ernannt 63:99
Hoche, Konrad, 25 Jahre bei Samson 63:192
Hoffmann, Hartmut, 60 Jahre 63:1010
Hoffmann, Werner, 25 Jahre im Dienst 63:192
Holzhey, Fritz, 75 Jahre 63:191
Hübner, Martin, 75 Jahre 63:266
Jaroschek, Kurt, 85 Jahre 63:927
Jung, Karl, gestorben 63:191
Kaiser, Walter, 60 Jahre 63:850
Keinhorst, Helmut, neuer Vizepräsident des Umweltbundesamtes 63:192
Klotz, Burchard, gestorben 63:366
Krull, Fritz, im Ruhestand 63:366
Kuttenkeuler, Hans-Peter, im Ruhestand 63:192
Landwehr, Heinz-Peter, 65 Jahre 63:191
Lenze, Helmut M., 50 Jahre 63:191
Leuschner, Hans-Joachim, Ehrendoktor 63:267
Lindhorst, Annemarie, 60 Jahre 63:98
Loos, Carlo, gestorben 63:849
Marcus, Heinz, im Ruhestand 63:99
Marnet, Chrysanth, 60 Jahre 63:267
Marnet, Chrysanth, Bundesverdienstkreuz 63:545
Martinola, Friedrich, 60 Jahre 63:1109
Meister, Rudolf, gestorben 63:98
Meurer, Peter, in die Uhde-Geschäftsführung berufen 63:1109
Meurer, Siegfried, 75 Jahre 63:465
Moll, Hans Heinrich, 70 Jahre 63:465
Müller, Leonhard, im Vorstand des Überlandwerkes Unterfranken AG 63:192
Noetzlin, Günther, 65 Jahre 63:191
Noll, Jörn-Peter, Geschäftsführer des Kernkraftwerks Brunsbüttel 63:850
Peddinghaus, Günter, 75 Jahre 63:850
Philipsen, Hans, 60 Jahre 63:729
Philipsen, Hans, Sprecher der Voith-Geschäftsführung 63:1010
Preuss, Ernst Joachim, Vorstandsmitglied der Neckarwerke ab 1985 63:1109
Puth, Wolfgang, Nachfolger von Theodor Reibold 63:1010
Rese, Hans, im Ruhestand 63:648
Reuther, Fritz L., gestorben 63:849
Reuter, Gerhard, im Vorstand der KA Heidelberg 63:99
Richter, Eugen, gestorben 63:191
Rögener, Heinz, 70 Jahre 63:729
Rolshoven, Hubertus, 70 Jahre 63:191
Rummel, Karl, 80 Jahre 63:465
Rupf, Hugo, 75 Jahre 63:728
Sommer, Albrecht, in der Heitkamp-Geschäftsführung 63:366
Spalthoff, Franz Joseph, 60 Jahre 63:647
Spennemann, Ludwig, 85 Jahre 63:98
Spilling, Heinz, gestorben 63:849
Schiele, Otto, Präsident des VDMA 63:927
Schmidhuber, Paul M., 60 Jahre 63:729
Schröder, Karl, 85 Jahre 63:266
Schürrle, Wolfgang, im Vorstand der Varta AG 63:99
Schwarz, Georg, 60 Jahre 63:927
Stange, Erich, 80 Jahre 63:850
Stoffregen, Ulrich, Ehrendoktorwürde 63:465
Strasser, Bernd, in die Uhde-Geschäftsführung berufen 63:1109
Strenger, Hermann-Josef, übernimmt Vorstandsvorsitz der BAYER AG 63:850
Thoenes, Hans Willi, 60 Jahre 63:927
Thoenes, Hans Willi, Bundesverdienstkreuz 1. Klasse 63:927
Timm, Manfred, im Preußenelektra-Vorstand 63:850
Uetz, Herbert, erhielt Karl-Wellinger-Ehrenmedaille 63:267
Wagner, Erwin, 50 Jahre 63:545
Weise, Hans-Dietrich, gestorben 63:366
Wiehn, Helmut, Nachfolger von Hans L. Ewaldsen 63:729
Wilhelm, Friedrich, 75 Jahre 63:191
Winnacker, Karl, 80 Jahre 63:849
Wittmann, Gerhard, gestorben 63:98
Wittchow, Eberhard, 25 Jahre bei der Kraftwerk Union AG 63:729
Wolf, Leonhard, gestorben 63:266
Zierke, Günter, 60 Jahre 63:850

Buchbesprechungen

Atomkraft, ja bitte! 63:931
Ausbreitung von Schadstoffen in der Atmosphäre 63:1012
Battelle Schriftenreihe Energie, Band 2 „Fernwärme" 63:737
Blockheizkraftwerke, Beurteilungskriterien für Verbrennungsmotoren und Gasturbinen, FTA-Fachbericht, Bd. 6 63:852
Blockheizkraftwerke, Bd. 2 63:272
Bruchmechanik metallischer Werkstoffe 63:737/738
Chemie und Technologie der Kohle 63:736
Das Energiehandbuch 63:1015
Das Teillastverhalten konventioneller Dampfkraftwerksblöcke 63:1015
Das Jahrbuch der Bautechnik 63:102
Das neue Wasserrecht für die betriebliche Praxis 63:271
Das Energiesparprogramm für den Industriebetrieb 63:931
Die Gasmotor-Wärmepumpe als energiesparende Kühl- und Heizanlage in klimatisierten Gebäuden 63:1013
Die Schweißtechnische Praxis
— Band 1: Die Gasschweißer 63:652
— Band 2: Der Lichtbogenschweißer 63:652
— Band 12: Der Schutzgasschweißer — Teil II: MIG/MAG-Schweißen 63:853
Der Energieverbrauch in der Bundesrepublik Deutschland und seine Deckung bis zum Jahre 1995 63:930
Der Heizratgeber 63:102
Der Weg zum blauen Himmel über der Ruhr 63:1012
Druckbehälterverordnung — Kommentar 63:194 63:1013
Dubbel — Taschenbuch für den Maschinenbau 63:1013
Dynamische Simulation elektrischer Energieversorgungssysteme 63:737
Einsatz und Betriebserfahrungen stationärer Gasturbinen 63:552
Elektrochemische Energietechnik 63:472
Energietransport, -speicherung und -verteilung (Handbuchreihe Energie, Band 11) 63:852
Entsorgung von Kernkraftwerken 63:102
Ergebnisse der Energieforschung 63:737
Existenzfrage: Energie — Die Antwort: Kernenergie 63:929
Explosionen — Ablauf und Schutzmaßnahmen 63:738
Fachbuchreihe Schweißtechnik, Schweißen nichtrostender Stähle 63:852
Fachwörterbuch zur Energiewirtschaft; Nukleare und nichtnukleare Energieträger
— Band 1 Deutsch/Englisch, Englisch/Deutsch 63:271
— Band 2 Deutsch/Französisch, Französisch/Deutsch 63:271
— Band 3 Deutsch/Spanisch, Spanisch/Deutsch 63:271
Feuerfeste Baustoffe in Rücksaugschäden 63:737
Festigkeist- und Bruchverhalten bei höheren Temperaturen, Band 1 und Band 2 63:737
Fluid-Feststoff-Strömungen, Strömungsverhalten feststoffbeladener Fluide und kohäsiver Schüttgüter 63:1112
Gefahr für unser Klima — Wege aus der CO_2-Bedrohung durch sinnvollen Energieeinsatz 63:472
Grundlagen des Strahlenschutzes 63:1012
Handbuch
— der Dämmtechnik 63:1015
— der Fernwärmepraxis 63:1112
— der Kernenergie 63:1015
— der Kesselbetriebstechnik 63:272
— der Schweißtechnik 63:1014
— der SO_2-Luftreinhaltepolitik 63:652
— des Lärmschutzes und der Luftreinhaltung (Immissionsschutz) 63:1014
— für Immissionsschutzbeauftragte, Teil 2 63:1012
Handbuchreihe Energie
— Band 1, Grundlagen der Energie- und Kraftwerkstechnik 63:853
— Band 15, Energierecht 63:853
Heterogene Gleichgewichte, Grundlagen und Anwendungen 63:473
Hydrospeicher als Energiespeicher 63:931
Interdisziplinäre Technikforschung; Beiträge zur Bewertung und Steuerung der technischen Entwicklung 63:852
Jahrbuch
— der Wärmerückgewinnung, 4. Ausgabe 1981/82 63:930
— für Bergbau, Energie, Mineralöl und Chemie 1982/83 63:102
Kohlevergasung — Grundlagen und technische Anwendung 63:194
Kraftwerksbau und Dampfkesseltechnik 63:931
Kühlregie bei Wärmekraftwerken, Bericht 80-1 der Abwärmekommission 63:929
Multistage decision-making under fuzziness 63:853
New Energy Conservation Technologies and their Commercialization 63:652
Radioökologie und Strahlenschutz 63:1113
Rohrleitungstechnik, Jahrbuch, 1. Ausgabe 1982/83 63:1113
Säurehaltige Niederschläge — Entstehung und Wirkungen auf terrestrische Ökosysteme 63:1113
Schadstoffe am Arbeitsplatz: Schutzrechte zur Schadstoffbeseitigung 63:472
Schweiß- und Schneidtechnik 63:1013
Schweißen und Schneiden 1982 63:736
Sicherheitstechnik 63:1014
Stahlrohr-Handbuch 63:473
Taschenbuch
— für Bergingenieure 1983, Steinkohle — Erze — Salze 63:652
— für die Stahlindustrie 63:852
Technische Strömungslehre, Band 2: Anwendungen 63:1013
Technische Wärmelehre — Grundlagen für Maschinenbau-Ingenieure 63:1014
Techno-Ökonomie der Wirbelschichtfeuerung, Umweltwirkungen und Kosten im Vergleich zu konventionellen Feuerungen 63:852
Thermische Turbomaschinen, Band 2 63:1014
Umwelt-Terminologie, Heft B 9 63:1014
VKS-Atlas Abfalltechnik — Städtereinigung; Straßenwinterdienst, Daten und Zahlen der kommunalen Betriebe 63:473
Von der Sonderabfallbeseitigung zur Sonderabfallwirtschaft — Probleme — Lösungen — Aufgaben — Aufgabenträger — Organisationen 63:1113
Wärmeableitungen in die Atmosphäre und deren Auswirkungen; Berichtsband zum Workshop der Arbeitsgruppe II 63:930
Wärmerückgewinnung und Abwärmeverwertung durch Elektrowärmepumpen in Gewerbe und Industrie 63:473
Wärmetechnische Arbeitsmappe 63:852
Wasserdampftafeln 63:1112
Werkstoffe, Fertigung und Prüfung drucktragender Komponenten von Hochleistungsdampfkraftwerken 63:1013
Wirbelschichtfeuerung 63:738
Wörterbuch der Werkstoffprüfung; Deutsch/Englisch/Französisch 63:102

VGB KRAFTWERKSTECHNIK

MITTEILUNGEN DER VGB TECHNISCHEN VEREINIGUNG DER GROSSKRAFTWERKSBETREIBER

64. JAHRGANG (1984) • HEFTE 1—12

INTERNATIONALE FACHZEITSCHRIFT FÜR TECHNIK IN WÄRMEKRAFTWERKEN

Herausgeber

VGB TECHNISCHE VEREINIGUNG DER GROSSKRAFTWERKSBETREIBER E.V.

Vorsitzender: Direktor Dipl.-Ing. Dr.-Ing. E.h. F.J. Spalthoff, Essen;
Geschäftsführer: Direktor Dr.-Ing. O. Schwarz, Essen.

Anschrift

VGB TECHNISCHE VEREINIGUNG DER GROSSKRAFTWERKSBETREIBER E.V.
Klinkestraße 27—31, Postfach 103932, D-4300 Essen,
Fernruf 4355-686/687, Fernschreiber 857507 vgb d.

Chefredakteur

Oberingenieur Dipl.-Ing. H. Bleßmann, Essen.

Redaktion

Oberingenieur Dr. rer. nat. B. Forck, Essen;
Oberingenieur Dr.-Ing. J. Jacobs, Essen;
Abteilungsdirektor Dipl.-Ing. H. Kaes, Essen;
Oberingenieur Dipl.-Ing. A. Kantner, Essen;
Oberingenieur Dr. rer. nat. H. Kittel, Essen;
Abteilungsdirektor Dipl.-Ing. K. Plate, Essen;
Abteilungsdirektor Dr.-Ing. G. Schlegel, Essen;
Oberingenieur Dipl.-Ing. G. Welten, Essen.

Wissenschaftlicher Redaktionsbeirat

Professor Dr. J. Beér, Cambridge/Massachusetts;
Professor Dr.-Ing. F. Brandt, Darmstadt;
Professor Dr. techn. D. Johnson, Trondheim;
Professor Ir. J.J.C. van Lier, Delft;
Professor Dipl.-Ing. Dr. techn. W. Linzer, Wien;
Professor Dr. techn. O.I. Martynova, Moskau;
Professor (em.) Dr.-Ing. P. Profos, Zürich;
Professor (em.) Dr.-Ing. R. Quack, Stuttgart;
Professor (em.) Dr. phil. H. Rögener, Hannover;
Professor Dr. rer. nat. R. Schulten, Aachen;
Professor Dipl.-Ing. I.D. Stancescu, München.

Technischer Redaktionsbeirat

Direktor H. Berggren, Malmö;
Direktor Professor Dr.-Ing. H. Brüderlin, Stuttgart;
Direktor Dr.-Ing. H. Krolewski, Dortmund;
Direktor Dr.-Ing. G. Noetzlin, Marl;
Direktor Dr.-Ing. H. Novak, Nürnberg;
Dipl.-Ing. J. Pettersen, Lyngby;
Direktor F. Scheurer, Paris;
Direktor Dr.-Ing. E.h. Dipl.-Ing. W. Schoch, Mannheim.

Vertrieb und Anzeigenverwaltung

VGB-KRAFTWERKSTECHNIK GMBH, Klinkestraße 27—31, Postfach 103932,
D-4300 Essen, Fernruf 4355-680/681/683, Fernschreiber 857507 vgb d.
Verantwortlich für Vertrieb und Anzeigenteil: R. Rätz.

Erscheinungsweise

monatlich, außerdem erscheint zeitlich verschoben
eine englische Fassung dieses Heftes

Inhaltsverzeichnis 1984

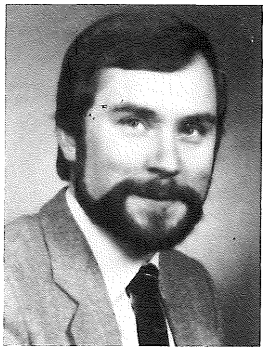
DIE FOTOS DER VERFASSER FINDEN SIE AUF DEN SEITEN II BIS XIV



E. Wittchow, Erlangen



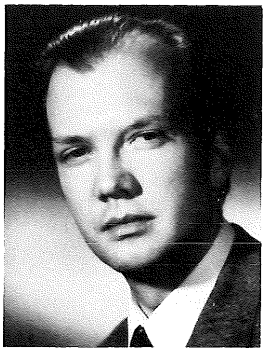
R. Wittmann, Erlangen



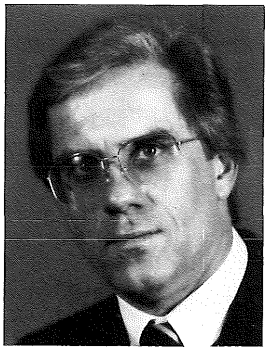
M. Wölki, Barsinghausen



D. Wurz, Karlsruhe



P. Wutsdorff, Mannheim



H. Zaudtke,
Ritterhude/Bremen



J. Zelkowski, Essen



J. Zschetke,
Bergisch Gladbach



H.E.D. Zürn,
Frankfurt (Main)

In den zwölf Heften des Jahrganges 64 sind enthalten:

1	2	3	4	5	6
1—82	83—186	187—266	267—376	377—480	481—576

7	8	9	10	11	12
577—674	675—772	773—865	867—962	963—1050	1051—1138

Verfasserverzeichnis 1984

Absenger, A., siehe Bertram, W.

Afgan, N., und Jovanovic, Lj.: Bildung von Ascheablagerungen bei der Verfeuerung jugoslawischer Braunkohle 64:1036 + Sammelband VGB-Konferenz „Verschlackungen, Verschmutzungen und Korrosionen in Wärmekraftwerken" (1984)

Albers, K., siehe Schwade, H.

Anderson, B., Ottrey, A.L., und Thillaimuthu, J.S.: Langzeit-Verschmutzungstests mit Latrobe-Valley-Kohle 64:1036/1037 + Sammelband VGB-Konferenz „Verschlackungen, Verschmutzungen und Korrosionen in Wärmekraftwerken" (1984)

Apelquist, G.: Kernenergie — Forschungs- und Entwicklungsprogramm der Staatlichen Schwedischen Energiebehörde 64:542—546

Arens-Fischer, F.: Sicherheitstechnische Anforderungen an die Auslegung und Bemessung von Kesselspeisepumpen für Dampferzeuger 64:732—735

Arens-Fischer, F., und Bung, W.: Prüfung von Sicherheitsventilen in der Anlage — Prüfmöglichkeiten, Prüfschaltungen, Hilfseinrichtungen, praktische Hinweise 64:665 + Sammelband VGB-Konferenz „Kraftwerkskomponenten 1984"

Arens-Fischer, F., und Neubauer, B.: Prüfungen für den sicheren Weiterbetrieb zeitstandbeanspruchter Bauteile 64:569 + Sammelband VGB-Sondertagung „Beurteilung von Bauteilen nach Betriebsbeanspruchung im Kriechbereich" (1984)

Arnswald, W.: Restlebensdauer von Kraftwerksrohrleitungen — Theorie und Praxis 64:569 + Sammelband VGB-Sondertagung „Beurteilung von Bauteilen nach Betriebsbeanspruchung im Kriechbereich" (1984)

Aslanidis, D., siehe Kounelakis, K.

Atrops, H.: Betriebserfahrungen mit heißdampfführenden Rohrleitungen in den Kraftwerken der Chemischen Werke Hüls AG 64:367—370

Backmann, R., siehe Hupa, M.

Barraclough, D.R., und Cane, B.J.: Gesichtspunkte zur Bewertung der Anlagen-Restlebensdauer im CEGB (Großbritannien) 64:560—565

Barth, H., siehe Kloos, K.H.

Barth, H., Granacher, J., Kooy, A., und Richter, M.: Zeitstandverhalten warmfester Stähle unter zeitlich gestufter Beanspruchung 64:567 + Sammelband VGB-Sondertagung „Beurteilung von Bauteilen nach Betriebsbeanspruchung im Kriechbereich" (1984)

Bartolazzi, K., siehe Bock, H.W.

Basler, B., siehe Korosi, A.

Bauer, K., siehe Pfau, B.

Baumgarte, E.A., siehe Schirmer, U.

Becker, B., siehe Maghon, H.

Becker, B.: Die Heißluft-Turbinenanlage 64:511—515

Becker, W.: Elektrische Antriebe für stufenlose Drehzahlverstellung von Kreiselpumpen 64:668 + Sammelband VGB-Konferenz „Kraftwerkskomponenten 1984"

Beilke, S., siehe Elshout, A.J.

Bell, J.B., und Waring, P.T.: Zunahme der Verschmutzungen bei neueren Kesseln, befeuert mit Yallourn-Braunkohle 64:1035 + Sammelband VGB-Konferenz „Verschlackungen, Verschmutzungen und Korrosionen in Wärmekraftwerken" (1984)

Bendick, W., und Weber, H.: Bedeutung von Verformungsvorgängen und Werkstoffreaktionen unter Zeitstandbeanspruchung als Grundlage zur Beurteilung von Bauteilen 64:565/566 + Sammelband VGB-Sondertagung „Beurteilung von Bauteilen nach Betriebsbeanspruchung im Kriechbereich" (1984)

Bengtsson, M.: Verschlackungs- und Verschmutzungsverhalten zweier verschiedener Kohlesorten in einem 10-MW-Kessel mit Steinkohlebefeuerung 64:1037 + Sammelband VGB-Konferenz „Verschlackungen, Verschmutzungen und Korrosionen in Wärmekraftwerken" (1984)

vom Berg, W.: Zum Einfluß von Flugasche auf die Qualitätsstreuungen von Beton 64:1131 + Sammelband VGB-Sondertagung „25 Jahre Beton mit Flugasche" (1984)

vom Berg, W., und Bolt, N.: Flugascheverwertung in der Bundesrepublik Deutschland und in den Niederlanden 64:1092—1096

Bertram, W., Bonsels, W., und Absenger, A.: Verhalten von Turbinenwerkstoffen in Geothermaldampf 64:1110—1115

Bettenworth, H., Pflug, H., Dieterle, E., und Wölki, W.: Untersuchungen zum biologischen Abbau von Ameisensäure im Abwasser von Rauchgasentschwefelungsanlagen 64:993—999

Bieniussa, K., und Schulz, H.: Bewertung der Betriebserfahrungen von Leichtwasserreaktoren im Hinblick auf die Absicherung gegen Ermüdungsschäden 64:666/667 + Sammelband VGB-Konferenz „Kraftwerkskomponenten 1984"

Bisanz, R., siehe Schmidt, F.

Bischof, H., Scheer, D., und Willmes, O.: Praxisnahe Verschleißversuche an Werkstoffen für wasserführende Hochdruck-Regelarmaturen im Kraftwerksbereich 64:248—253

Blank, L.W.: Der Einfluß von Abwärmeemissionen des Kraftwerkes Staudinger auf die Sauerstoffbilanz des Mains 64:546—550

Blaschke, R.: Zur Einbindung der Flugasche in den Bindemittelstein 64:1131 + Sammelband VGB-Sondertagung „25 Jahre Beton mit Flugasche" (1984)

Blind, D., siehe Kußmaul, K.

Blind, D., und Kautz, H.R.: Erfahrungen bei der Abnahme von Erzeugnisformen und Komponenten für konventionelle Großdampferzeuger 64:932—952

Blöchl, H., siehe Bursik, A.

Bloedner, C.D., und Reimann, D.O.: Cadmium-, Blei- und Quecksilberuntersuchungen im Blutserum von Beschäftigten eines Müllheizkraftwerkes 64:924—927

Bock, H.W., Bortolazzi, K., und Rubbel, F.E.: Inbetriebsetzungsergebnisse im Kernkraftwerk Grafenrheinfeld auf dem Gebiet der Reaktor-Leittechnik 64:190/191

Böhm, R., Finnemann, H., und Roth-Seefrid, H.: Zyklusübergreifende Analyse von Störfällen im DWR mit unterstelltem Wiederkritischwerden des Reaktorkerns 64:94—100

Bohnsack, G.: Chlorid-Hochtemperaturkorrosion am austenitischen Überhitzer eines braunkohlebefeuerten Dampferzeugers 64:1040 + Sammelband VGB-Konferenz „Verschlackungen, Verschmutzungen und Korrosionen in Wärmekraftwerken" (1984)

Bolt, N., siehe vom Berg, W.

Bonsels, W., siehe Bertram, W.

Brandt, F., und Trost, R.: Ionenchromatographie der Anionen im Primär- und Sekundärkreislauf 64:74—77

Braun, D., siehe Heitmann, H.-G.

Braunstein, L., Hochmüller, K., und Schmidt, M.: Flugstaubanalyse mit Nulldrucksonde und Silbermembranfilter 64:847—854

Breucker, H., und Swoboda, E.: Probleme bei der Verfeuerung salzhaltiger Braunkohle — Verschlackung, Verschmutzung, Korrosion, Verschleiß 64:1035/1036 + Sammelband VGB-Konferenz „Verschlackungen, Verschmutzungen und Korrosionen in Wärmekraftwerken" (1984)

O'Brien, J.C.: Praktische Erfahrungen mit der Anwendung einer Magnesium-Oxid-Suspension in einem ölbefeuerten 250-MW-Kessel 64:1041 + Sammelband VGB-Konferenz „Verschlackungen, Verschmutzungen und Korrosionen in Wärmekraftwerken" (1984)

Brobeck, H., siehe Möller, U.

Brocke, W.: Das Anliegen der Betreiber beim Bauen mit Kraftwerksflugasche 64:1130 + Sammelband VGB-Sondertagung „25 Jahre Beton mit Flugasche" (1984)

Brockel, D.: Der Dreifachdampfprozeß — Ein Konzept zur Wirkungsgradverbesserung von Großkraftwerken 64:201—210

Brockel, D., und Graf, R.: Ein numerisches, mathematisch-physikalisches Lösungsverfahren zur Bestimmung instationärer Temperaturfelder zwecks Ermittlung von Temperaturdifferenzen mittels einer Meßstelle 64:801—815

Bruckmann, W., und Kienböck, M.: Wasserabscheider — Zwischenüberhitzer 64:302—312

Brückner, H.: Wasser-Dampfkreislauf des Kraftwerkes 64:488—491

Brühl, F., Kalwa, G., und Weber, H.: Bruchverhalten von Bauteilen unter Zeitstandbeanspruchung 64:568 + Sammelband VGB-Sondertagung „Beurteilung von Bauteilen nach Betriebsbeanspruchung im Kriechbereich" (1984)

Brützel, O.: Das versorgungsgerechte Verhalten der thermischen Kraftwerke 64:419—422

Bryers, R.W., und Walchuk, O.R.: Zum Einfluß von Pyrit auf die Verschlackung von Feuerräumen 64:1037 + Sammelband VGB-Konferenz „Verschlackungen, Verschmutzungen und Korrosionen in Wärmekraftwerken" (1984)

Büttner, W.: Versuche mit Mg-haltigen Additiven und Schallreinigern bei ölbefeuerten Kesseln 64:1004—1015

Bung, W., siehe Arens-Fischer, F.

Bursik, A., siehe Straubert, K.

Bursik, A., Spindler, K., und Blöchl, H.: Kondensatreinigung in Monobett- und Gegenstromtechnik 64:55—58

Buxmann, J., und Günther, R.: Verschlackungs- und Verschmutzungseigenschaften spanischer Braunkohle 64:1036 + Sammelband VGB-Konferenz „Verschlackungen, Verschmutzungen und Korrosionen in Wärmekraftwerken" (1984)

Camsey, G.T.B.: Strategie der CEGB zur Erhöhung der Lebensdauer von Kraftwerken 64:1—5

Cane, B.J., siehe Barraclough, D.R.

Carlsson, R.: Wirtschaftliche Betrachtungen zur Qualität der Dampfkesselkohle, wenn der ganze Kohlebedarf importiert werden muß 64:629—633

Ceelen, D.: Marktchancen für Heizkraftwerke mit Kältemittel-Wärmepumpen 64:195—201

Chudzienski, E., und Mitschel, H.: Grundlagen der HEW-Fernwärmeversorgung in Hamburg und ihre Anpassung an die künftige Entwicklung 64:100—107

Claassen, C.D.: Begleitheizung im Kraftwerksbau durch selbstregelnde Heizbänder 64:667 + Sammelband VGB-Konferenz „Kraftwerkskomponenten 1984"

von Cleve, H.-H.: Die luftgekühlte Kondensationsanlage des 4000-MW-Kraftwerkes Matimba/Südafrika 64:318—322

Daberkow, H., und Pietzonka, R.: Entwicklung und Interpretation von Verformungsmessungen an Turbinenfundamenten 64:172—178

Damodaran, M., siehe Saptharishi, L.R.

Dernedde, R.: Pumpen für deutsche Druckwasserreaktoren 64:735—739

Dickson, A.J., siehe Ham, A.J.

Diehl, H.: Förderung der Kraftwerkstechnik durch das BMFT 64:481—483

Dieterle, E., siehe Bettenworth, H.

Dieterle, E., siehe Schönbucher, B.

van Dijk, G.M.: Inconel-Schweißnähte von Hochdruckventilatoren — Erfahrungen und Entwicklung eines ZfP-Ultraschallprüfverfahrens 64:665 + Sammelband VGB-Konferenz „Kraftwerkskomponenten 1984"

Dirksen, A., und Groß, R.: Kondensatoraustausch im Kernkraftwerk Unterweser 64:791—800

Dittmer, H.J., Schneider, A., und Unseld, H.: Eine Blockanlage zur industriellen Versorgung mit überkritischer und Hochtemperatur-Auslegung 64:27—35

Ebersold, W., und Schlizio, H.: Zeitgewinn bei der Beizung eines Großkessels durch Nutzung der Kühlturmtasse als Deionatspeicher 64:151—154

Eckel, H.: Aufbau und Funktionen der in den Kühlturm integrierten Rauchgasentschwefelungsanlage mit Rauchgasabfuhr und Kühlwasserrückkühlung im Modellkraftwerk Völklingen 64:516—520

Eickelpasch, N., und Lasch, M.: Neuere Erfahrungen zur elektrochemischen Dekontamination 64:240—243

Eiden, H.: Konzeption und Bewertung der rechnerischen Lebensdauerermittlung 64:567 + Sammelband VGB-Sondertagung „Beurteilung von Bauteilen nach Betriebsbeanspruchung im Kriechbereich" (1984)

Ekambaran, A., siehe Saptharishi, L.R.

Elanchezhian, P.K., siehe Saptharishi, L.R.

Elsässer, R.-F., siehe Henne, K.-H.

Elshout, A.J., und Beilke, S.: Die Oxidation von NO zu NO_2 in Abgasfahnen von Kraftwerken 64:648—654

Elsing, R., siehe Knotek, O.

Erbach, G.: Hessische Industrie-Müll-Beseitigungsanlage (HIM) 64:1015—1019

Erbacher, F., siehe Wiehr, K.

Erdmann, W.: Baubeginn für ein Kernkraftwerk — Technische Praxis und gesellschaftliche Aspekte 64:5—13

Ernst, G., Niehsen, R., und Wurz, D.: Meßmethoden und Meßgeräte zur Untersuchung des emittierten Schwadens 64:831—835

Ernst, G., siehe Navarrete, P.

van Eysinga, N.P.H.J. Nico: Wohnen im Wasser — Bauen mit Erde 64:1051—1065

Fabritius, H., und Weber, H.: Eigenschaftsänderungen in warmfesten Stählen durch eine Betriebsbeanspruchung mit Folgerungen für die Lebensdaueranalyse 64:566 + Sammelband VGB-Sondertagung „Beurteilung von Bauteilen nach Betriebsbeanspruchung im Kriechbereich" (1984)

Fink, H.: Schaltversuche mit den elektrischen Vakuumschaltern — multiple Wiederzündungen 64:539—542

Finnemann, H., siehe Böhm, R.

Folsom, A.S., siehe Heap, M.P.

Franke, J., Wittchow, E., und Lausterer, G.K.: Das Dampferzeuger-Dynamikmodell der KWU und sein Einsatz in Planung und Betrieb von fossilbefeuerten Kraftwerken 64:598—604

Fricke, D., siehe Schemmer, M.

Fuhlrott, H., Kaiser, E., Kunst, A., und Litzkendorf, M.: Ursachen und Bewertung von Rissen in Dampfspeichertrommeln 64:709—715

Fuhlrott, H., siehe Schulze, H.-D.

Gabler, B.: Entwicklung von Pumpen hoher Verfügbarkeit für Sekundärkreisläufe in Kernkraftwerken 64:667 + Sammelband VGB-Konferenz „Kraftwerkskomponenten 1984"

Gabrysch, G.: Bewertungskriterien für den Einsatz von Rost- oder Staubfeuerungen in kohlebefeuerten Industrie- und Heizkraftwerken 64:442—448

Gaessler, H., und Sawitzki, M.: Festigkeits- und Verformungsnachweis an einem Reduzierstück mit Mischschweißnaht 64:567—578 + Sammelband VGB-Sondertagung „Beurteilung von Bauteilen nach Betriebsbeanspruchung im Kriechbereich" (1984)

Gallus, M., siehe Heitmann, H.

Giertz, F., siehe Kern, J.

Gillessen, R., siehe Rohler, K.

Glaze, F.: Verbesserte Kondensatorleistung und Erhöhung der Kühlrohr-Lebensdauer durch Überwachung des Kondensators 64:422—428

Goertz, G.: Instandsetzung von leittechnischen Geräten in der Zentralwerkstatt der HEW 64:622—624

Göstenkors, Th., und Resch, G.: Kombinierte Konditionierung von Wasser-Dampfkreisläufen mit verminderter Sauerstoffkonzentration 64:254—256

Götz, H., und Reiter, H.: Lüftungstechnische Anlagen in Kraftwerken 64:665 + Sammelband VGB-Konferenz „Kraftwerkskomponenten 1984"

Graf, R., siehe Brockel, D.

Granacher, J., siehe Kloos, K.H.

Granacher, J., siehe Barth, H.

Greiner, G., und Knosala, P.: Quasi-kontinuierlicher Ionenaustausch nach dem CCS-Verfahren — Erfahrungen und Zukunftsaussichten 64:952—956

Groß, R., siehe Dirksen, A.

Günther, R., siehe Buxmann, J.

Gulič, M.: Antriebsleistung von Schlagradmühlen und ihre anteilige Zusammensetzung 64:835—839

Gutberlet, H.: Aufbereitung des Abwassers aus der Rauchgasentschwefelungsanlage des Kraftwerkes Scholven 64:41—49

Gutberlet, H.: Eigenüberwachung an Flugasche als Qualitätssicherungsmaßnahme 64:1130 + Sammelband VGB-Sondertagung „25 Jahre Beton mit Flugasche" (1984)

Hackenberg, P., siehe Soetebeer, W.B.

Häberer, J., siehe Schemmer, M.

Hagenbruch, D.: Erste Betriebserfahrungen mit einer neuen Schaufelholmlagerung bei laufschaufelgeregelten Axialventilatoren 64:843—847 + Sammelband VGB-Konferenz „Kraftwerkskomponenten 1984"

Hagn, L., und Schüller, H.-J.: Erfahrungen mit Kurzzeitverfahren bei der Beurteilung von Heißdampfleitungen 64:567 + Sammelband VGB-Sondertagung „Beurteilung von Bauteilen nach Betriebsbeanspruchung im Kriechbereich" (1984)

Ham, A.J., und Dickson, A.J.: Feuergeometrie und -verschlackung — eine südafrikanische Erfahrung 64:1038 + Sammelband VGB-Konferenz „Verschlackung, Verschmutzungen und Korrosionen in Wärmekraftwerken" (1984)

Hassanzadah, G.S., siehe Hofmann, H.

Heap, M.P., Pohl, J., Folsom, A.S., und Mehta, A.K.: Die Bedeutung der Kohlequalität und der daraus resultierenden Ascheablagerungen für die Kosten des Kraftwerksbetriebes 64:1039 + Sammelband VGB-Konferenz „Verschlackungen, Verschmutzungen und Korrosionen in Wärmekraftwerken" (1984)

Hegener, W., und Stake, W.: Erfahrungen bei der Verarbeitung von hochwarmfesten Materialien 64:698—708

Hein, K.R.G.: Rauchgasseitige Probleme bei der Verfeuerung niedrigkalorischer Kohlen 64:1035 + Sammelband VGB-Konferenz „Verschlackungen, Verschmutzungen und Korrosionen in Wärmekraftwerken" (1984)

Heinrich, M.: Flüssigkeitsring-Vakuumpumpen für die Entlüftung von Dampfturbinen-Kondensatoren — Vorschriften, Auswahl, Auslegung, besondere Schaltungen 64:906—913 + Sammelband VGB-Konferenz „Kraftwerkskomponenten 1984"

Heitmann, H.-G., Schub, P., Seifert, K., und Braun, D.: Chemie des Sekundärkreislaufes von Kernkraftwerken mit Druckwasserreaktoren 64:63—74

Heitmann, H., und Gallus, M.: Erfahrungen mit Verschlackungen und Verschmutzungen bei der Verbrennung von Steinkohle weltweiter Herkunft im NWK-Kraftwerk Wilhelmshaven 64:1038 + Sammelband VGB-Konferenz „Verschlackungen, Verschmutzungen und Korrosionen in Wärmekraftwerken" (1984)

Heitmüller, W., siehe Kern, J.

Helske, J.: Erfahrungen mit der Rekontamination im Kernkraftwerk Loviisa 64:1104/1105

Henne, K.-H., und Elsässer, R.-F.: Vergleich technischer Maßnahmen zur Emissionsminderung in konventionellen Kraftwerken 64:1087—1092

Henning, K., Schulz, W., und Müller, M.: Aufbau und Eigenschaften von Reinigungsmedien für routinemäßige Dekontaminationsarbeiten 64:146—151

Herbsleb, G.: Spannungsrißkorrosion von sensibilisiertem austenitischem Chrom-Nickel-Stahl X 5 CrNi 18 9 in Reinwasser bei erhöhten Temperaturen 64:138—145

Herzog, W., und Wilde, H.R.: Kontinuierliche Analyse von Steinkohle 64:348—355

Hillemeier, B.: Erfahrungen mit Flugaschebeton beim Bauen 64:1132 + Sammelband VGB-Sondertagung „25 Jahre Beton mit Flugasche" (1984)

Hilsheimer, H.: 15 Jahre Betriebserfahrungen in der MVA Mannheim 64:133—137

Himsl, L., und Reichel, P.: Einsatz von Additiven bei der Verfeuerung von schweren Raffinerie-Rückstandsbrennstoffen 64:1041 + Sammelband VGB-Konferenz „Verschlackungen, Verschmutzungen und Korrosionen in Wärmekraftwerken" (1984)

Hintergräber, M., und Wittmann, R.: Auswirkungen von Schadensbeben auf Kraftwerkskomponenten 64:13—17

Hochmüller, K., siehe Braunstein, L.

Hofmann, H., Hassanzadah, G.S., und Langer, G.: Einsatz von Dichtverbindungen in Kraftwerken 64:668/669 + Sammelband VGB-Konferenz „Kraftwerkskomponenten 1984"

van Hoek, G.A.L.: Die niederländische Elektrizitätsversorgung und die Problematik der Brennstoffdiversifikation 64:974—977

Hofstätter, P.: Methoden zur Erfassung von Formänderungen im Bereich hoher Temperaturen 64:569/570 + Sammelband VGB-Sondertagung „Beurteilung von Bauteilen nach Betriebsbeanspruchung im Kriechbereich" (1984)

Honekamp, H., und Katzmann, A.: Zur Auslegung der Wasserverteilung bei Großkühltürmen 64:35—40

Hupa, M., Backmann, R., und Sundberg, L.: Untersuchungen zur Verschmutzung und Verschlackung in kohlebefeuerten Kesseln anhand luftgekühlter Ablagerungs-Probesonden 64:1037 + Sammelband VGB-Konferenz „Verschlackungen, Verschmutzungen und Korrosionen in Wärmekraftwerken" (1984)

Huschauer, H., und Seefeldt, K.-F.: Auslegung und Konstruktion der atmosphärisch betriebenen Wirbelschichtfeuerungsanlage des Modellkraftwerkes Völklingen 64:502—510

Ivens, G., siehe Nieder, R.

Jackson, P., und Jones, A.R.: Kontrollierende Untersuchungen über die Bildung von Ascheablagerungen 64:1038/1039 + Sammelband VGB-Konferenz „Verschlackungen, Verschmutzungen und Korrosionen in Wärmekraftwerken" (1984)

Jäckel, K., siehe Welfonder, E.

Jäger, G.: Betriebswirtschaftliche Aspekte der Lebensdauerverfolgung 64:570 + Sammelband VGB-Sondertagung „Beurteilung von Bauteilen nach Betriebsbeanspruchung im Kriechbereich" (1984)

Jansky, J., siehe Kußmaul, K.

Jauer, H., und Maaß, P.: Einsatz von GFK-Leitungen NW 500 im Luftspeicher-Gasturbinenkraftwerk Huntorf der Nordwestdeutschen Kraftwerke AG 64:720—723

Jesper, H., und Kaes, H.: Werkstoffprobleme beim Bau und Betrieb von fossilbefeuerten Dampferzeugern und Rohrleitungen 64:688/689

Jesper, H., Meyer, H., und Remmert, H.: Lage, Aussehen und Auffinden von Zeitstandschäden an Rohrleitungen nach längerer Betriebsdauer 64:568/569 + Sammelband VGB-Sondertagung „Beurteilung von Bauteilen nach Betriebsbeanspruchung im Kriechbereich" (1984)

Jochem, R., und Wilhelm, H.: Hohe Funktionsqualität von Regelung und Steuerung durch Einsatz verteilter Prozeßleitsysteme 64:577—589

Jones, A.R., siehe Jackson, P.

Jones, M.L., und Miller, B.G.: Einfluß der Größe der Kohlepartikeln auf das Verschmutzungspotential einer Braunkohle mit hohem Natriumgehalt aus Nord-Dakota 64:1036 + Sammelband VGB-Konferenz „Verschlackungen, Verschmutzungen und Korrosionen in Wärmekraftwerken" (1984)

Jovanovic, Lj., siehe Afgan, N.

Jung, M.: Die speicherprogrammierbare Steuerung 64:529—531

Juzi, H., Salem, A., und Stocker, W.: Zwangdurchlaufkessel für Gleitdruckbetrieb mit vertikaler Brennkammerberohrung 64:292—302

Kaes, H., siehe Jesper, H.

Kaiser, E., siehe Fuhlrott, H.

Kalwa, G., siehe Brühl, F.

von der Kammer, G., Rettemeier, W., Weihers, H., und Winkler, W.: Sicherheitstechnische Bedeutung und betrieblicher Nutzen von vollautomatischen Lebensdauer-Überwachungssystemen 64:663 + Sammelband VGB-Konferenz „Kraftwerkskomponenten 1984"

Kassebohm, B., siehe Marnet, Chr.

Kastner, W., Riedle, K., und Tratz, H.: Experimentelle Untersuchungen zum Materialabtrag durch Erosionskorrosion 64:452—465

Katzmann, A., siehe Honekamp, H.

Kaufmann, H.R., siehe Schlegel, D.

Kaulitz, J., Küster, D., und Wahl, D.J.: Verbesserungen an Schmelzkammerfeuerungen 64:1038 + Sammelband VGB-Konferenz „Verschlackungen, Verschmutzungen und Korrosionen in Wärmekraftwerken" (1984)

Kautz, H.R., siehe Blind, D.

Kautz, H.R., und Zürn, H.E.D.: Rohrleitungen im Zeitstandsbereich 64:815—825

Kautz, K.: Zum Einsatz von Additiven 64:1041 + Sammelband VGB-Konferenz „Verschlackungen, Verschmutzungen und Korrosionen in Wärmekraftwerken" (1984)

Kautz, K., und Żelkowski, J.: Verschlackungs-, Verschmutzungs- und Korrosionsprobleme bei der Verbrennung von Steinkohle weltweiter Herkunft 64:1037 + Sammelband VGB-Konferenz „Verschlackungen, Verschmutzungen und Korrosionen in Wärmekraftwerken (1984)

Kautz, K., und Zobel, W.: Zur Frage der Abhängigkeit der Flugascheeigenschaften von Kohle- und Feuerungsart 64:1131 + Sammelband VGB-Sondertagung „25 Jahre Beton mit Flugasche" (1984)

Kern, J., Giertz, F., und Heitmüller, W.: Aschereicher Anthrazit als vollwertiger Brennstoff in trockenentaschten Großdampferzeugern 64:336—343

Kienböck, M., siehe Bruckmann, W.

Kistenmacher, G., siehe Rohler, K.

Kittel, H., und Schlizio, H.: Optimierung der Drainage-Konstruktion in Mischbettfiltern von Kondensatreinigungsanlagen 64:59—61

Kloos, K.H., Granacher, J., Rieth, P., und Barth, H.: Hochtemperaturverhalten warmfester Stähle unter zeitlich veränderter Beanspruchung 64:1020—1034

Klostermeyer, D., und Pahl, M.: Die Regelungstechnik im Modellkraftwerk Völklingen 64:531—538

Knizia, K.: Innovationen und das Zusammenspiel zwischen Technik und Wissenschaft 64:377—382

Knosala, P., siehe Greiner, G.

Knotek, O., und Elsing, R.: Restlebensdauer von Bauteilen nach Betriebsbeanspruchung im Kriechbereich 64:566 + Sammelband VGB-Sondertagung „Beurteilung von Bauteilen nach Betriebsbeanspruchung im Kriechbereich" (1984)

Koch, H.: Auswirkungen von Umweltschutzmaßnahmen auf Konzept, Betrieb und Kosten konventioneller Wärmekraftwerke 64:1065—1076

Kooy, A., siehe Barth, H.

Korosi, A., Basler, B., und Pepper, M.W.: Verbrennung von Schieferöl, Kohleflüssigkeits- und Pyrolyseölrückständen in einer stationären Gasturbine 64:323—335

Kounelakis, K., und Aslanidis, D.: Verschlackungen, Ablagerungen und Korrosionen in Öl- und Kohlekraftwerken in Griechenland, Teil 1: Braunkohlekraftwerke 64:1036 + Sammelband VGB-Konferenz „Verschlackungen, Verschmutzungen und Korrosionen in Wärmekraftwerken" (1984)

Kounelakis, K., und Aslanidis, D.: Verschlackungen, Ablagerungen und Korrosionen in Öl- und Kohlekraftwerken in Griechenland, Teil 2: Ölkraftwerke 64:1041 + Sammelband VGB-Konferenz „Verschlackungen, Verschmutzungen und Korrosionen in Wärmekraftwerken" (1984)

Krabbe, H.-J.: Bestimmung von Kohledaten 64:158—164

Krabbe, H.-J., und Kurzawa, G.: Importkohlen — Entscheidungsprobleme für den Kohleeinkauf und Betriebserfahrungen 64:1038 + Sammelband VGB-Konferenz „Verschlackungen, Verschmutzungen und Korrosionen in Wärmekraftwerken" (1984)

Kranert, W., siehe Meyer, W.

Kratzer, A.: Entwicklungsstand der Pumpen für REA-Anlagen, insbesondere im Hinblick auf Werkstoffe und Wellendichtungen 64:913—917 + Sammelband VGB-Konferenz „Kraftwerkskomponenten 1984"

Krips, H., und Podhorsky, M.: Neue Konstruktionswege im Apparatebau mit Hilfe des hydraulischen Aufweitens 64:435—441

Krone, S.: Auswirkungen von Blitzschlägen auf leittechnische Einrichtungen und mögliche Schutzmaßnahmen 64:893—899

Küster, D., siehe Kaulitz, J.

Kuhn, N.: Einsatz von Axialventilatoren mit Laufschaufelregelung auf der Naßgasseite in REA-Anlagen 64:900—906 + Sammelband VGB-Konferenz „Kraftwerkskomponenten 1984"

Kummer, H.-J.: Fortschrittliche Konzeption von HD-Speisewasservorwärmern für konventionelle Kraftwerke 64:739—746

Kunst, A., siehe Fuhlrott, H.

Kußmaul, K., Blind, D., und Jansky, J.: Rißbildungen in Speisewasserleitungen von Leichtwasserreaktoren 64:1115—1129

Kußmaul, K., und Roos, E.: Bruchmechanische Berechnung von Behältern an Oberflächenrissen 64:465—470

Kurzawa, G., siehe Krabbe, H.-J.

Läubli, F., Leithner, R., und Trautmann, G.: Probleme bei der Speisewasserregelung von Zwangdurchlaufdampferzeugern und deren Lösung 64:279—291

Langer, G., siehe Hofmann, H.

Larsson, L., und Lindholm, O.: Umbau des Kessels im Kraftwerk Kymijärvi von Öl auf Kohle — Betriebserfahrungen 64:868—877

Lasch, M., siehe Eickelpasch, N.

Lauer, H., Römer, R., Schwarz, M., und Weindel, K.: Verschmutzungs- und korrosionsbedingte Werkstoffschädigungen an austenitischen Luftvorwärmern in Wirbelschichtöfen zur Klärschlammverbrennung 64:1040 + Sammelband VGB-Konferenz „Verschlackungen, Verschmutzungen und Korrosionen in Wärmekraftwerken" (1984)

Launhardt, M.: Bericht über Schäden an Armaturen und Sammlern im Zeitstandsbereich 64:715—719

Lausterer, G.K., siehe Franke, J.

Laymann, H.-J., und Schubert, J.: Eignungsnachweis für Standardhalterungen von Rohrleitungen unter Berücksichtigung der KTA-Forderungen 64:724—731

Lehmann, H.: Erfahrungen mit Flugasche als Betonzusatzstoff an den Bauwerken westdeutscher Kanäle 64:1132 + Sammelband VGB-Sondertagung „25 Jahre Beton mit Flugasche" (1984)

Leikert, K., und Michelfelder, S.: Konstruktive Maßnahmen zur Verminderung von Verschlackungen und Verschmutzungen in Feuerräumen steinkohlebefeuerter Kessel 64:1037 + Sammelband VGB-Konferenz „Verschlackungen, Verschmutzungen und Korrosionen in Wärmekraftwerken" (1984)

Leithner, R., siehe Läubli, F.

Lielups, L.: Zur Berücksichtigung der Eigenschaften von Flugaschebeton bei der Berechnung und Konstruktion 64:1131 + Sammelband VGB-Sondertagung „25 Jahre Beton mit Flugasche" (1984)

Litzkendorf, M., siehe Fuhlrott, H.

Lüdemann, J., und Mühlhäuser, H.: Gleit- und Festdruckbetrieb in konventionellen Dampfkraftwerken mit Zwischenüberhitzung 64:604—617

Lühr, H.P., und Thiele, E.: Anforderungen an Flugaschen und Erfahrungen aus der Fremdüberwachung 64:1130 + Sammelband VGB-Sondertagung „25 Jahre Beton mit Flugasche" (1984)

Maaß, P., siehe Jauer, H.

Maghon, H., und Becker, B.: Schadstoffarme Verbrennung von Kohlegas in GuD-Anlagen 64:999—1004

Marnet, Chr., und Kassebohm, B.: Sanierung eines Kraftwerksstandortes durch Wirbelschichtfeuerung 64:107—112

Martensen, J.: Kreislaufberechnungen und die Graphentheorie 64:878—884

Martinola, F., und Thomas, P.: Ein starkbasischer Anionenaustauscher mit zwei Funktionen 64:61—63

Marx, B.: Möglichkeiten und Grenzen des Rohrverschlusses durch Kälte 64:667 + Sammelband VGB-Konferenz „Kraftwerkskomponenten 1984"

Mathias, G.: Neue VDI/VDE-Richtlinien für Abnahme und Untersuchungen der Regelungen von Dampfturbinen 64:618—621

Mayr, F.: Auslegung und Konstruktion der kohlebefeuerten Dampferzeugeranlage unter Berücksichtigung der angekoppelten Gasturbine und der Wirbelschichtfeuerung 64:497—502

Meder, G., und Nguyen-Tuong, B.: Strukturdynamische Methoden der Druckstoßberechnung von Rohrleitungen 64:119—132

Mehta, A.K., siehe Heap, M.P.

Meier, W., Scherschmidt, F., Schmidt, R., und Weber, R.: Steuerungssystem ISKAMATIC B — eine Zwischenbilanz 64:675—679

Meyer, H., siehe Jesper, H.

Meyer, W., und Kranert, W.: Entwicklung einer optimalen Keilplatten-Garnitur für Absperrschieber unter besonderer Berücksichtigung der Betätigungskräfte 64:666 + Sammelband VGB-Konferenz „Kraftwerkskomponenten 1984"

Michelfelder, S., siehe Leikert, K.

Miller, C.W., und Pflaumbaum, H.-J.: Rinnen für größere Kühltürme 64:829—831

Miller, C.W.: Heutiger Stand der Auslegung von Vorwärmern 64:982—989 + Sammelband VGB-Konferenz „Kraftwerkskomponenten 1984"

Miller, B.G., siehe Jones, M.L.

Mitschel, H., siehe Chudzienski, E.

Möller, U., und Brobeck, H.: Erste Erfahrungen mit der Einführung von RAPAS 64:112—119

Mühlhäuser, H., siehe Lüdemann, J.

Müller, I., siehe Popa, T.

Müller, L.: Stand des Baus laufschaufelgeregelter Axialventilatoren — Instrumentierung, Ventilatorschutz, Betriebserfahrungen, insbesondere auf der Rauchgasseite 64:664 + Sammelband VGB-Konferenz „Kraftwerkskomponenten 1984"

Müller, M., siehe Henning, K.

Müller, R.: Kohleveredelung als Alternative zu Umweltschutzmaßnahmen im Kraftwerk 64:1081—1086

Navarrete, P., Schnabel, G., und Ernst, G.: Hybridkühlturm — Betriebsverhalten und Schwadenausbreitung 64:918—923

Neubauer, B., siehe Arens-Fischer, F.

Neukirchen, B.: Energie aus Abfall: Inbetriebnahme der beiden Verbrennungsanlagen für Hausmüll und Industrieabfälle im RZR, Herten 64:448—452

Nguyen-Tuong, B., siehe Meder, G.

Nieder, R., siehe Zschetke, J.

Nieder, R., Vey, K., und Ivens, G.: Kombinierte Konditionierung beim AVR-Hochtemperaturreaktor Jülich 64:245—248

Niehsen, R., siehe Ernst, G.

Nienhaus, G.: Erfahrungen mit Flugaschebeton in Fertigteilwerken 64:1132 + Sammelband VGB-Sondertagung „25 Jahre Beton mit Flugasche" (1984)

Niss, J.: Umstellen eines Heizkraftwerks-Blockes von Öl- auf Kohlefeuerung 64:624—629

Ohlgart, F., siehe Freese, D.

Ohlgart, F., und Freese, D.: Ergebnisse der Gütekontrolle im Bereich der Transportbetonindustrie 64:1131/1132 + Sammelband VGB-Sondertagung „25 Jahre Beton mit Flugasche" (1984)

Ottrey, A.L., siehe Anderson, B.

Pahl, M., siehe Klostermeyer, D.

Pepper, M.W., siehe Korosi, A.

Peters, H.L.: Bautechnische Besonderheiten des Naturzugkühlturms Völklingen 64:520—524

Petzel, H.-K.: Wesentliche Gesichtspunkte der Gesamtplanung des Modellkraftwerkes Völklingen 64:484—488

Petzel, H.-K.: Erfahrungen aus der Bauzeit, der Inbetriebnahme und der ersten Betriebszeit des Modellkraftwerkes Völklingen 64:524—529

Pfau, B., Welter, H., und Bauer, K.: Schwingungen in der Sicherheitseinrichtung gegen Drucküberschreitung des überkritisch betriebenen Kraftwerksblockes 7 im Großkraftwerk Mannheim (GKM) 64:752—758 + Sammelband VGB-Konferenz „Kraftwerkskomponenten 1984"

Pfau, B., siehe Welter, H.

Pflaumbaum, H.-J., siehe Miller, C.W.

Pflug, H., siehe Bettenworth, H.

Pietzonka, R., siehe Daberkow, H.

Pletschen, W.: Entwicklung im Kraftwerks-Rohrleitungsbau — CAD, eine Herausforderung für den Rohrleitungskonstrukteur 64:663 + Sammelband VGB-Konferenz „Kraftwerkskomponenten 1984"

Podhorsky, M., siehe Krips, H.

Podhorsky, M.: Die rechnerischen Schwerpunkte bei der Konstruktion und der festigkeitsmäßigen Auslegung einer Vorwärmerstrecke 64:49—55

Podhorsky, M., und Vu, T.: Vorschlag eines Berechnungsverfahrens für die Flanschdimensionierung 64:655—662

Pohl, J., siehe Heap, M.P.

Pollmann, S., und Rau, U.: Verschmutzungen des Elektrofilters einer Industrieabfall-Verbrennungsanlage durch Zink- und Alkaliverbindungen 64:1040 + Sammelband VGB-Konferenz „Verschlackungen, Verschmutzungen und Korrosionen in Wärmekraftwerken" (1984)

Popa, T., Totolo, Chr., und Müller, I.: Verfeuerungsversuche mit aschereicher Braunkohle 64:343—348

Raask, E.: Die Bildung von Ablagerungen in kohlebefeuerten Kesseln und Abhilfemaßnahmen 64:1039 + Sammelband VGB-Konferenz „Verschlackungen, Verschmutzungen und Korrosionen in Wärmekraftwerken" (1984)

Rau, U., siehe Pollmann, S.

Reichel, P., siehe Himsl, L.

Reidick, H., und Schumacher, D.: Verschmutzungsverhalten bei der Verfeuerung von Braunkohlen 64:1035 + Sammelband VGB-Konferenz „Verschlackungen, Verschmutzungen und Korrosionen in Wärmekraftwerken" (1984)

Reimann, D.O., siehe Bloedner, C.D.

Reimann, D.O.: Reinigung von Rauchgaswaschwässern im MHKW Bamberg mit Schwerpunkt auf der Quecksilbereliminierung durch TMT-15-Zugabe 64:230—235

Reiter, H., siehe Götz, H.

Remmert, H., siehe Jesper, H.

Resch, G., siehe Göstenkors, Th.

Rettemeier, W., siehe von der Kammer, G.

Richter, M., siehe Barth, H.

Ridell, B., siehe Wersel, M.

Riedle, K., siehe Kastner, W.

Rieth, P., siehe Kloos, K.H.

Römer, R., siehe Lauer, H.

Rohler, K., Gillessen, R., und Kistenmacher, G.: Pauschalnachweis für die Verlegung von Kleinrohrleitungen unter Berücksichtigung dynamischer Zusatzlasten 64:666 + Sammelband VGB-Konferenz „Kraftwerkskomponenten 1984"

Rolland, P.: Betriebserfahrungen mit Kernkraftwerken in Frankreich 64:187—189

Roth-Seefrid, H., siehe Böhm, R.

Rubbel, F.E., siehe Bock, H.W.

Rümmer, P., siehe Strohmeier, K.

Ruppelt, F.: Die Bewertung von Auslegungsparametern in Industrie-Heizkraftwerken 64:192—195

Rylander, L.: Skandinavische Erfahrungen beim Betrieb von Siedewasserreaktoren 64:267—275

Salem, A., siehe Juzi, H.

Saptharishi, L.R., Elanchezhian, P.K., Damodaran, M., und Ekambaran, A.: Untersuchungsbericht über Verschlackungen in einem indirektbefeuerten 60-MW-Kessel 64:1038 + Sammelband VGB-Konferenz „Verschlackungen, Verschmutzungen und Korrosionen in Wärmekraftwerken" (1984)

Sawitzki, M., siehe Gaessler, H.

Seefeldt, K.-F., siehe Huschauer, H.

Seifert, K., siehe Heitmann, H.-G.

Sindelar, R.: Ein Konzept für die Leistungsregelung eines kohlebefeuerten Kraftwerksblockes 64:589—598

Skinner, M.: Die Rolle der „On-line-Modellierung" bei der Erkennung und Beherrschung von Kesselverschmutzungen 64:1039 + Sammelband VGB-Konferenz „Verschlackungen, Verschmutzungen und Korrosionen in Wärmekraftwerken" (1984)

Soetebeer, W.B., und Hackenberg, P.: Entwicklungsstand der Pumpen in Kunststoffausführung für REA-Anlagen 64:989—993 + Sammelband VGB-Konferenz „Kraftwerkskomponenten 1984"

Spalthoff, F.J.: Tagesfragen der Kraftwerkstechnik 64:970—974

Spindler, K., siehe Bursik, A.

Sundberg, L., siehe Hupa, M.

Sunder, R., siehe Wach, D.

Swoboda, E., siehe Breucker, H.

Schade, K.: Schäden an zwei Kraftwerksschornsteinen in Berlin und deren Sanierung 64:634—642

Scheer, D., siehe Bischof, H.

Scheler, K.: Schutzprüfung ohne Risiko bei Schwingungsmeßeinrichtungen 64:316—318

Schemmer, M., Fricke, D., und Häberer, J.: Kappenringschäden durch Korrosion — Maßnahmen zur Vermeidung 64:855—859

Scherschmidt, F., siehe Meier, W.

Schirmer, U., Baumgarte, E.A., und Schröder, M.: Die neue MVA Bielefeld-Herford — ein überraschender Korrosionsfall 64:839—843

Schirmer, U., und Thömen, H.J.: Korrosionen und Verschmutzungen in Müllverbrennungsanlagen — Ursachen, Wirkungen, Gegenmaßnahmen 64:1040 + Sammelband VGB-Konferenz „Verschlackungen, Verschmutzungen und Korrosionen in Wärmekraftwerken" (1984)

Schlegel, D., und Kaufmann, H.R.: Bewertung betriebsbeanspruchter Bauteile durch Gefügeuntersuchungen und Zeitstandversuche 64:566 + Sammelband VGB-Sondertagung „Beurteilung von Bauteilen nach Betriebsbeanspruchung im Kriechbereich" (1984)

Schlizio, H., siehe Ebersold, W.

Schlizio, H., siehe Kittel, H.

Schmidt, E.W.: Erfahrungen mit Flugaschebeton bei Becken und Behältern 64:1131 + Sammelband VGB-Sondertagung „25 Jahre Beton mit Flugasche" (1984)

Schmidt, F., und Bisanz, R.: Kann der Kernschmelzunfall beherrscht werden? 64:1097—1104

Schmidt, M., siehe Braunstein, L.

Schmidt, R., siehe Meier, W.

Schmitt, M.: Schwingungsdämpfer für Sicherheitsventile 64:746—752

Schnabel, G., siehe Navarrete, P.

Schneider, A., siehe Dittmer, H.J.

Schönbucher, B., und Dieterle, E.: Abwasser aus Rauchgasentschwefelungsanlagen 64:679—688

Scholl, G.: Aufbau der Starkstromtechnik und der Leittechnik 64:492—496

Schott, M.: Problematik bei der Messung von Stickoxiden in Gasen 64:164—171

Schröder, M., siehe Schirmer, U.

Schub, P., siehe Heitmann, H.-G.

Schubert, J., siehe Laymann, H.-J.

Schüller, H.-J., siehe Hagn, L.

Schulz, H., siehe Bieniussa, K.

Schulz, W., siehe Henning, K.

Schulze, H.-D., Fuhlrott, H., und Wittwer-Hardt, B.: Bewertung von Fehlern in zeitstandbeanspruchten Bauteilen 64:568 + Sammelband VGB-Sondertagung „Beurteilung von Bauteilen nach Betriebsbeanspruchung im Kriechbereich" (1984)

Schumacher, D., siehe Reidick, H.

Schwade, H., und Albers, K.: Neue Entwicklungen in der Heizflächenreinigung mit Rußbläsern, Kugelregen, Klopf- und Rüttelwerken und Schallreinigern 64:1039 + Sammelband VGB-Konferenz „Verschlackungen, Verschmutzungen und Korrosionen in Wärmekraftwerken" (1984)

Schwarz, O.: Kurzbericht über die Tätigkeit der VGB TECHNISCHEN VEREINIGUNG DER GROSSKRAFTWERKSBETREIBER E.V. 64:773—790

Schwarz, M., siehe Lauer, H.

Schwarzbach, K.: Rohrleitungen im Kraftwerksbau 64:17—27

Stäbler, K.: Umweltfreundlicher Kraftwerksbetrieb 64:1076—1081

Stake, W., siehe Hegener, W.

Stellbrink, B.: Betriebserfahrungen und Entwicklungstendenzen in der Rauchgasreinigung 64:355—362

Stocker, W., siehe Juzi, H.

Straubert, K., und Bursik, A.: Untersuchungen zur Löslichkeit von Oxidschichten auf Stahl in Heißwasser 64:758—765

Strohmeier, K., Rümmer, P., und Wiedemann, G.: Spannungsberechnung im Mantel und in fest eingespannten Rohrplatten von Wärmeaustauschern 64:927—932

Sturm, W.: Hydraulische Förderung von Elektrofilterasche in Kunststoffrohren 64:363—367

Täubert, U.: Flugasche im Beton bei Bauwerken der Energieversorgungsunternehmen 64:1132 + Sammelband VGB-Sondertagung „25 Jahre Beton mit Flugasche" (1984)

Tesche, W.: Untersuchungen zur optimalen Schalenkontur großer Naturzugkühltürme 64:825—829

Thiele, E., siehe Lühr, H.P.

Thielen, H.: Entstehung von Druckstößen in Kraftwerksrohrleitungen — Auswirkungen und Sicherheitsvorkehrungen 64:801—808 + Sammelband VGB-Konferenz „Kraftwerkskomponenten 1984"

Thillaimuthu, J.S., siehe Anderson, B.

Thömen, H.J., siehe Schirmer, U.

Thömen, K.-H.: Planung, Bau und Betrieb des 6. Kessels der Müllverbrennungsanlage Düsseldorf 64:643—648

Thomas, P., siehe Martinola, F.

Totolo, Chr., siehe Popa, T.

Tratz, H., siehe Kastner, W.

Trautmann, G., siehe Läubli, F.

Trost, R., siehe Brandt, F.

Unseld, H., siehe Dittmer, H.J.

Vey, K., siehe Nieder, R.

VGB-Fachausschuß „Austausch von Betriebserfahrungen" (ABE) — Betriebserfahrungen mit Kernkraftanlagen in der Bundesrepublik Deutschland 64:382—418

Vollrath, R.: Nachrüstungsmaßnahmen im Kernkraftwerk Brunsbüttel vorzeitig abgeschlossen 64:276—279

Voß, W.: Spezielle Betriebserfahrungen und Konstruktionen bei Anlagen mit Wirbelschichtfeuerungen — Verschmutzungen beim Einsatz verschiedener Brennstoffe 64:1039 + Sammelband VGB-Konferenz „Verschlackungen, Verschmutzungen und Korrosionen in Wärmekraftwerken" (1984)

Vu, T., siehe Podhorsky, M.

Wach, D., Sunder, R., und Weingarten, J.: Überwachungssysteme und Diagnosetechniken zur Schadenfrüherkennung in Kernkraftwerken 64:83—93

Wahl, D.J., siehe Kaulitz, J.

Walchuk, O.R., siehe Bryers, R.W.

Wang, J.-H.: Phasenwinkelmessungen zur Überwachung der Unwuchtänderungen in Turbomaschinen 64:428—435

Waring, P.T., siehe Bell, J.B.

Weber, H., siehe Bendick, W.

Weber, H., siehe Brühl, F.

Weber, H., siehe Fabritius, H.

Weber, R., siehe Meier, W.

Weihers, H., siehe von der Kammer, G.

Weindel, K., siehe Lauer, H.

Weingarten, H., siehe Wach, D.

Weißer, H.: Schäden an Bauteilen von Kesselspeisepumpen 64:664 + Sammelband VGB-Konferenz „Kraftwerkskomponenten 1984"

Welfonder, E., und Jäckel, K.: Abschätzung der Zuverlässigkeit unterschiedlicher Leittechnik-Systemstrukturen unter Berücksichtigung von Reparaturmaßnahmen 64:211—229

Welter, H., siehe Pfau, B.

Welter, H., und Pfau, B.: Verlagerungen von Heißdampfrohrleitungen — Ursachen, Auswirkungen, Konsequenzen 64:884—892 + Sammelband VGB-Konferenz „Kraftwerkskomponenten 1984"

Wersel, M., und Ridell, B.: Plattenwärmetauscher in der Kraftwerksindustrie 64:669 + Sammelband VGB-Konferenz „Kraftwerkskomponenten 1984"

Wesche, K.: Zur Anrechenbarkeit von Flugasche auf den Bindemittelgehalt des Betons 64:1131 + Sammelband VGB-Sondertagung „25 Jahre Beton mit Flugasche" (1984)

Wiedemann, G., siehe Strohmeier, K.

Wiehr, K., und Erbacher, F.: Einfluß der Durchströmungsrichtung im Reaktorkern auf die Hüllrohrverformung während eines Kühlmittelverluststörfalles 64:978—981

Wierig, H.-J.: Karbonatisierung von flugaschehaltigem Beton 64:1130 + Sammelband VGB-Sondertagung „25 Jahre Beton mit Flugasche" (1984)

Wilde, H.R., siehe Herzog, W.

Wilhelm, H., siehe Jochem, R.

Willmes, O., siehe Bischof, H.

Winkler, W., siehe von der Kammer, G.

Wittchow, E., siehe Franke, J.

Wittmann, R., siehe Hintergräber, M.

Wittwer-Hardt, B., siehe Schulze, H.-D.

Wölki, M., siehe Bettenworth, H.

Wurz, D., siehe Ernst, G.

Wutsdorff, P.: Messung und Auswertung von Torsionsschwingungen an großen Dampfturbogruppen bei transienten Betriebszuständen 64:312—316

Zaudtke, H.: Anwendungsmöglichkeiten von Allplas-Schwimmkugeln im Kraftwerksbetrieb 64:155—158

Żelkowski, J., Reaktionsfähigkeit von Kohle — eine normalerweise nicht kontrollierte Kohleeigenschaft 64:550—559

Żelkowski, J., siehe Kautz, K.

Zobel, W., siehe Kautz, K.

Zschetke, J., und Nieder, R.: Gaschromatographische Messungen in Wasser-Dampfkreisläufen 64:235—239

Zürn, H.E.D., siehe Kautz, H.R.

Sachverzeichnis 1984

ABE-Jahresbericht 1983, Betriebserfahrungen mit Kernkraftwerken in Bundesrepublik Deutschland 64:382—418

Abgasfahne 64:648—654

Abwärmeemissionen
— Kraftwerk Staudinger 64:546
— Sauerstoff und Gewässerzustand 64:546
— Sauerstoffangebot des Kühlwassers 64:547
— Temperaturanstieg durch Kühlwasser 64:549

Abwasser
— biologischer Abbau von Ameisensäure 64:994
— Einfluß chemischer Dekontaminationsmedien bei der Aufbereitung 64:146—151
— MVA Bamberg 64:230—235

Abwasseraufbereitung 64:41

Abwasserbehandlung nach REA 64:679—688

Abwasserlose Rauchgaswäsche 64:1017

Abwasservolumenstrom nach REA 64:679—688

Abwasserzusammensetzung nach REA 64:679—688

Additive für ölbefeuerte Kessel 64:1004

Analyse
— nichtkondensierbarer Gase im Wasser-Dampfkreislauf mit Gaschromatographie 64:235—239
— von Anionen mit Ionenchromatographie 64:74—77
— von Flugstaub 64:847—854
— von Heizöl „S" 64:1005
— von Kohlen 64:158—164
— von Stickoxiden in Gasen 64:164—171
— von Störfällen — zyklusübergreifende bei DWR 64:94—100

Analyseneinschränkung, VGB-Empfehlung 64:936

Anfahrtransienten 64:695

Anforderungen an Speisepumpen 64:732

Anionen-Analyse mit der Ionenchromatographie 64:74—77

Anionenaustauscher zur katalytischen O_2-Reduktion und zum Ionenaustausch 64:61—63

Anrißlastwechselzahl, Hochdrucksammler 64:53

Anwendungsfeld Beton, Straßenbau, Bausteine, Landschaft 64:1093

Archimedes-Zahl 64:826

Armaturen, 15 MoV 6 3, Zeitstandschäden 64:715—719

Armaturenkatalog nach RAPAS 64:114

ASEA-Atom-Merkmale der SWR-Konstruktion 64:267—275

AtG-Verfahren einschließlich BImSchG 64:6

Auftragsabwicklung im Rohrleitungsbau 64:17

Ausbreitung 64:648—654

Auslegung von Speisepumpen, sicherheitstechnisch 64:732

Ausrichtzustand 64:176

Austausch von Rohrleitungen im Kernkraftwerk Brunsbüttel 64:276

AVR-Reaktor Jülich, Umstellung auf kombinierte Speisewasser-Konditionierung 64:243—248

Axialventilatoren, Betriebserfahrungen 64:843 64:900

Bauleitplanung 64:6

Baustellen-Sicherungsanlage 64:9

Baurecht 64:6

Bauwesen 64:782

Behälter, bruchmechanische Berechnung 64:465—470

Beizung eines Großkessels unter Nutzung der Kühlturmtasse als Deionatspeicher 64:151—154

Berechnung
— bruchmechanische 64:465—470
— Flansche 64:655—662
— hydraulische Aufweitung 64:435—441
— Wärmetauscher 64:927—932

Beton, Auslaugeversuche mit Deionat 64:151—154

Betonfestigkeitsüberprüfung 64:635

Betriebserfahrungen
— mit Axialventilatoren 64:843 64:900
— mit glasfaserverstärkten Rohrleitungen 64:720
— mit Rohrleitungsanlagen 64:367 64:884
— mit REA-Pumpen 64:913 64:989
— mit Schwingungsdämpfern an Sicherheitsventilen 64:746

Betriebsergebnisse der deutschen Kernkraftwerke 1983 64:382—418

Betriebsstillstandszeiten 64:642

Blockanlage, überkritisch
— Auslegung 64:27—32
— bei den Chemischen Werken Hüls AG (CWH) 64:27
— Hochtemperatur-Auslegung 64:27
— Komponenten 64:27—32
— Werkstoffe 64:27—32
— Standortbesonderheiten 64:27—32
— zur industriellen Versorgung 64:27

Bohrkernproben 64:635

Braunkohle
— für Rost- und Staubfeuerungen — Kennwerte 64:445
— Rovinari/Südwestrumänien 64:343—348
— Verfeuerungsversuche 64:343—348

Brennstoffkosten
— USA 64:334
— Vergleich 64:442

Brennstoffdiversifikation für die niederländische Elektrizitätsversorgung 64:974—977

CAD-Technik im Rohrleitungsbau 64:17

Cadmium-, Blei- und Quecksilberuntersuchungen im Blutserum von Beschäftigten eines Müllheizkraftwerkes 64:924—927

CEGB-Strategie zur Erhöhung der Lebensdauer von Kraftwerken 64:1—5

Chemie 64:780

Chemilumineszenzverfahren zur Messung von Stickoxiden 64:164—171

Chemischer Sauerstoffbedarf (CSB) 64:42

Chlorid-Hochtemperatur-Korrosion 64:839—843

Chlorid-Ionen, Einfluß auf die Spannungsrißkorrosion 64:143

Dampferzeuger
— Erfahrungen bei der Abnahme 64:932—952
— kohlebefeuerter im Modellkraftwerk Völklingen 64:497—502

Dampferzeuger in DWR
— Einflüsse der Sekundärwasserchemie 64:63—74
— Rekontamination in Loviisa 64:1104/1105

Dampferzeuger-Dynamikmodell, Einsatz in Planung und Betrieb 64:598—604

Dampfmaschinen-Pumpwerke 64:1058

Dampfspeichertrommeln, Risse 64:709—715

Dampfturbinen
— Kondensatoraustausch 64:791
— Regelung 64:618

Dampfturbogruppen, Torsionsschwingungen 64:312

DDA-Auslegungen 64:258

DDA-Mitteilungen 64:256—258

Dehnungswechselbeanspruchung 64:1020

Deichbau 64:1054

Deionat, Speicherung in der Kühlturmtasse für eine Kesselbeizung 64:151—154

Dekontamination
— Aufbau und Eigenschaften von Reinigungsmedien zur routinemäßigen ... 64:146—151
— elektrochemisch, in Kernkraftwerken 64:240—243

Deltaplan 64:1062

Diagnosetechniken und Überwachungssysteme zur Schadensfrüherkennung in Kernkraftwerken 64:83—93

Diffusion, Abdeckung von Wasseroberflächen mit Schwimmkugeln gegen ... 64:155—158

Drainage-Konstruktion für Mischbettfilter 64:59—61

Dreifachdampfprozeß
— Kaliumdampferzeuger 64:201
— Schaltung des Kaliumkreislaufes 64:201
— Treble Rankine Cycle (TRC) 64:201
— Wirkungsgradverbesserung 64:201
— Wirtschaftlichkeit und Umweltbelastung 64:201

Drittes Verstromungsgesetz 64:1073

Druckentnahmeleitungen für Sicherheitsventile, Schwingungen 64:752

Druckwasserreaktoren
— Anionen-Analyse im Primär- und Sekundärkreislauf mit Ionenchromatographie 64:74—77
— Entwicklungen der Sekundärwasserchemie 64:63—74
— Rekontamination dekontaminierter Dampferzeuger 64:1104/1105

Druckstöße in Kraftwerksrohrleitungen, Maßnahmen 64:801

Druckstoßberechnung von Rohrleitungen, strukturdynamische Methoden 64:119

Duplex-Vorwärmer 64:440

Dynamische Methoden der Druckstoßberechnung von Rohrleitungen 64:119

Eignungsnachweis für Rohrleitungshalterungen, KTA-Forderungen 64:724—731

Einsatzbereich 64:1093

Elektrizitätsproduktion
— in Schweden 64:629
— in den USA 64:334

Elektrizitätsversorgung, niederländische 64:974/975

ELMO-Wasserringpumpen 64:906

Emissionen 64:779
— aus GuD-Kraftwerken 64:1003
— Grenzwerte für Stäube und NO_x/SO_x in Schweden 64:630/631
— Messung von Stickoxiden 64:164—171

Emissionsminderung durch Rauchgaswäsche 64:1019

Emissionsminderungsmaßnahmen 64:1087—1092

Emissionswerte bei MVA 64:231 64:450 64:1017

Energietechnik 64:377

Engspalt-Nähte, Babcock-Hitachi-Verfahren (MIG-Impuls) 64:702

Entgasung der Kohle in der Kohlenstaubflamme, Kohlepyrolyse 64:552

Entsalzung von Wasser im kontinuierlichen Ionenaustausch 64:952—956

Entsorgungsmarkt 64:1096

Entsorgungssituation 64:1092

Entschwefelung, Investitionskosten 64:1065—1071

Entschwefelungsverfahren
— Investitionskosten 64:1087—1092
— Vergleich 64:1087—1092

Entwässerung von Heißdampfrohrleitungen 64:884

Erdbebenauslegung von Kernkraftwerkskomponenten 64:13

Erfahrungen
— im Modellkraftwerk Völklingen 64:524—529
— mit SWR in Skandinavien 64:267—275

Erosionskorrosion
— Kondensatorrohre 64:791
— Wasser-Dampfkreisläufe 64:452—465

Ertüchtigung der Betonkonstruktion 64:638

Erzeugnisformen, Erfahrungen bei der Abnahme 64:932—952

Feinkornbaustähle, Behälter 64:465—470

Fernwärmeversorgung durch HEW in Hamburg 64:100—107

Fertigteilrahmenelemente 64:640

Feuerfeste Zustellung bei MVA 64:644

Feuerführung, automatische bei MVA 64:645

Feuerungen 64:778

Flanschberechnung 64:655—662

Flossenrohre, Schäden 64:949

Flüssigkeitsring-Vakuumpumpen 64:906

Flugasche, hydraulische Förderung 64:363—367

Flugasche-Verwertung in der Bundesrepublik Deutschland und in den Niederlanden 64:1092—1097

Flugstaubanalyse, Probennahme 64:847—854

Foliasfaktor 64:468

Forschungsinstitute der VGB 64:783

Forschungsstiftung der VGB 64:784

Frankreich, Betriebserfahrungen mit Kernkraftwerken 64:187—189

Gaschromatographie zur Bestimmung nichtkondensierbarer Gase im Wasser-Dampfkreislauf 64:235—239

Gas-Gas-Vorwärmer 64:357

Gas- und Dampfturbinenkraftwerk 64:999 64:1083

Gasreinigung für Kombi-Prozesse mit Kohlevergasung 64:1084

Gasturbine, BBC, Typ 9 64:330

Gasturbinenkraftwerke (USA) 64:334

Gasturbinentreibstoffe 64:323—335

Gasverbrennung in GuD-Anlagen 64:1002

Gebäudesetzungen 64:173

Gebläse
— Schaufelholmlagerung 64:843 64:900
— für Rauchgasentschwefelung 64:360

Gegenstromregeneration bei der Kondensatreinigung 64:55—58

Geländebewegungen 64:172

Genehmigungsverfahren 64:6

Geothermaldampf, Verhalten von Turbinenwerkstoffen 64:1110—1115

Gesamtplanung des Modellkraftwerkes Völklingen 64:484—488

Gips aus Rauchgasentschwefelungsanlagen 64:41 64:359

Gipskristallisation 64:46

Glasfaserverstärkte Rohrleitungen 64:720

Gleichstromfeuerung bei MVA 64:644

Gleit- und Festdruckbetrieb
— Blockregelung 64:607
— Dampferzeugerauslegung 64:610
— Lastfolgeverhalten 64:611
— Turbinenbeanspruchung 64:609
— Turbinenkonstruktion 64:608
— Wärmeverbrauch 64:612

Graphentheorie
— datenmäßige Aufbereitung 64:879
— Grundregeln 64:879
— m-dimensionale Knotenmatrix 64:879

Großfeuerungsanlagenverordnung 64:357

Großkühlerbau 64:825

Grundlagen-Meßkonzept 64:172

Guilleaume-Gedenkmünze 64:969

Haarlemmer Meer 64:1058

Haftdruck, hydraulisches Aufweiten 64:436

Hamburg — Fernwärmeversorgung durch HEW 64:100—107

Halterungen, Rohrleitung, KTA-Forderungen 64:724—731

Hauptkühlmittelpumpen für DWR 64:735

HD-Speisewasservorwärmer
— Bauteilsicherheit 64:743
— Heißdampfeinleitung 64:740
— Heizflächenoptimierung 64:740
— Konstruktion und Fertigung 64:744
— Konzeption 64:739
— Lastwechsel und Transientenbedingungen 64:740
— Temperaturfeldermittlung und Spannungsbrechung 64:742

Heißdampfrohrleitungen, Verlagerung: Ursachen, Auswirkungen, Konsequenzen 64:884

Heißluft-Turbinenanlage im Modellkraftwerk Völklingen 64:511—515

Heizkraftwerk Hafen (HEW), Fernwärmeversorgung 64:626

Heizöl-Additive 64:1004

Heizöl-Analysen 64:1005

Hessische Industrie-Müll-Beseitigungsanlage 64:1019

HEW Fernwärmeversorgung in Hamburg 64:100—107

Hochwarmfeste Materialien, Verarbeitung 64:698—706

Hüllrohrverformung bei Kühlmittelverluststörfällen 64:978

Hybridkühlturm
— Auslegungsdaten 64:919
— Betriebsverhalten 64:918
— Schwadenausbreitung 64:918

Hydraulische Förderung der Flugasche in Kunststoffrohren 64:363—367

Hydraulisches Aufweiten von Rohren 64:435—441

Hydrierung
— von Kohle 64:324—326
— von Schieferölrückständen 64:324—326

Immission
— natürliche 64:1076—1081
— zivilisatorische 64:1076—1081

Immissionsschaden 64:1076—1081

Immissionsschutzkonzept 64:1076—1081

Impulsleitungen für Sicherheitsventile 64:752

Industrie-Heizkraftwerke
— Bewertung von Auslegungsparametern 64:192
— Investitionsäquivalente 64:194
— Kapitalrückflußzeit 64:193
— Kostenbilanz 64:192
— Wärmeschema 64:194

Industriekraftwerk
— Brennstoffpreisrelation 64:1072
— Investitionen 64:1073
— Kesselauslegung 64:1074
— Planung, Bau, Betrieb 64:1072

Industriemüllverbrennung 64:448 64:1015

Innovation 64:377

Ionenaustausch
— im quasi-kontinuierlichen Verfahren 64:952—956
— und katalytische Sauerstoff-Entfernung mit einem Anionenaustauscher 64:61—63

Ionenchromatographie zur Anionen-Analyse in DWR 64:74—77

Instandsetzung von leittechnischen Geräten 64:622—624

Instationäre Temperaturfelder
— Berechnungsverfahren 64:808
— mathematisch-physikalisches Modell 64:811

Juristischer Zaun 64:10

Kalk, Spurenelemente 64:42

Kaltlufteinbrüche 64:826

Kammerfilterpresse 64:49

Kappenringe, Schäden durch Korrosion 64:855—859

Kategorischer Imperativ 64:381

Kationen-/Anionenaustauscher-Schaltung für die Kondensatreinigung 64:55—58

Kavitationsschläge mit Druckstoßfolgen 64:801

Kernenergiesituation in den USA 1984 64:971/972

Kernkraftwerk Gösgen-Däniken
— Umstellung des Sekundärkreislaufes auf AVT-Fahrweise 64:63—74
— Anionen-Analyse mit Ionenchromatographie 64:74—77

Kernkraftwerk Grafenrheinfeld, AVT-Fahrweise des Sekundärkreislaufes 64:63—74

Kernkraftwerk Gundremmingen, Erfahrungen mit elektrochemischer Dekontamination 64:240—243

Kernkraftwerk Loviisa, Erfahrungen mit der Rekontamination 64:1104/1105

Kernkraftwerke
— Baubeginn 64:5—13
— Betriebsergebnisse in der Bundesrepublik Deutschland 1983 64:382—418
— elektrochemische Dekontamination 64:240—243
— Entwicklungen der DWR-Sekundärwasserchemie 64:63—74
— in Frankreich — Betriebserfahrungen 64:187—189
— in Schweden und Finnland 64:267/268
— Reinigungsmedien für routinemäßige Dekontaminationsarbeiten 64:146—151

Kernkraftwerks-Rohrleitungen, Auftragsabwicklung 64:17

Kernschmelzunfall — Beherrschung möglich? 64:1097—1104

Kesselspeisepumpen, sicherheitstechnische Anforderungen an Auslegung und Bemessung 64:732

Körperschallüberwachung 64:84—86

Kohle
— Energieverbrauch für die Zerkleinerung in Schlagradmühlen 64:835—839
— Preisentwicklung in Finnland 64:868
— Qualitätsuntersuchung in Schweden 64:629—633
— Reaktionsfähigkeit 64:550—559

Kohlefeuerungen
— Mahl- und Feuerungssysteme für Braunkohle 64:343—348
— Mahl- und Feuerungssysteme für eine Mager-(Stein-)Kohle 64:337—341
— Umstellen von Öl auf Kohle 64:624—629 64:868—877

Kohleflüssigkeitsverbrennung in Gasturbinen 64:323—335

Kohlemühlen
— MPS-Mühle mit rotierenden Flügelsichtern 64:337
— RKG-Rohrkugelmühle 64:337
— Schlagradmühlen, Antriebsleistung und ihre anteilige Zusammensetzung; theoretische Analyse 64:835—839
— Schlagradmühlen unterschiedlicher Lieferfirmen, Vergleich 64:837

Kohlenanalytik, kritische Betrachtung der Untersuchungsmethoden 64:158—164

Kohlensäure-Aufnahme von Wasser, Unterbindung durch Abdecken der Oberfläche 64:155—158

Kohlenstaubbrenner
— Drallbrenner mit verdrallter und unverdrallter Sekundärluft für eine Anthrazitkohle 64:337/338
— kombinierter Kohle/Öl-Drallbrenner 64:871
— kombinierter Strahlbrenner für ballastreiche Braunkohle 64:348
— Strahlbrenner, Brenneranordnung im Steinkohlekessel, Kraftwerk Hafen 64:628
— Vermischung, Flammenentstehung 64:558

Kohlenstoffgehalt, Einfluß auf die Spannungsrißkorrosion 64:141

Kohleverbrennungskinetik, Theorie 64:555—558

Kohleverbrennungsversuche
— Anthrazit 64:340—342
— rumänische Braunkohle 64:343—348

Kohleveredlung 64:1081

Kombinierte Konditionierung
— AVR-Reaktor 64:243—248
— Wasser-Dampfkreisläufe 64:254—256
— Verschleißverhalten von Regelarmaturen 64:248—253

Kompakt-Rauchgasentschwefelungsanlage 64:360

Komponenten für Dampferzeuger, Erfahrungen bei der Abnahme 64:932—952

Kondensator
— Eisensulfatdosierung 64:425
— Erosionskorrosion 64:422
— Korrosionen 64:423
— Kühlrohr-Lebensdauerverbesserung durch Überwachung 64:422
— Leistungsverbesserung 64:422
— Optimierung 64:427
— Reinigungsmethoden 64:426
— Rohrverstopfungen 64:423
— Werkstoffe 64:422

Kondensatoraustausch, Dampfturbinen 64:791

Kondensatorentlüftung mit Wasserringpumpen 64:906

Kondensatorrohre, Erosionskorrosion 64:791

Kondensatreinigung
— in Kationen-/Anionenaustauscher-Schaltung nach dem Schwebebettverfahren 64:55—58
— Konstruktion der Mischbett-Drainage 64:59—61
— DWR 64:63—74

Kondensatstau, Auswirkungen bei Heißdampfrohrleitungen 64:884

Konditionierung, Einfluß auf die Löslichkeit von Oxidschichten 64:758—765

Konstruktion
— Apparatebau 64:435—441
— Vorwärmerstrecke 64:49—55
— Drainage in Mischbettfiltern 64:59—61

Kontinuierlicher Ionenaustausch, Betriebserfahrungen 64:952—956

Konturführung; divergent, zylindrisch, konvergent 64:827

Konverterkessel, Risse in Dampfspeichertrommeln 64:709—715

Korrosion
— MVA 64:839—843
— Turbinenwerkstoffe 64:1110—1115
— Ventilatoren; Schutzmaßnahmen 64:900

Korrosionsmindernde Konstruktion bei MVA 64:643—661 64:839—843

Korrosionsschutz durch Abdecken von Wasseroberflächen mit Schwimmkugeln 64:155—158

Kosten für Rauchgasentschwefelung 64:360

Kosten-/Nutzenanalyse von RAPAS 64:118

Kostenvergleich von Umweltschutzmaßnahmen 64:1085

Kraftwerk
— Hafen (HEW): Umstellen von Öl auf Kohle 64:624—629
— Kymijärvi (Finnland): Umstellen von Öl auf Kohle 64:868—877
— Narcea I (Nordspanien), Block 63 MW 64:339
— Schwandorf, Flugascheanfall 64:363—367
— Wilhelmshaven, Betriebserfahrungen und Entwicklungstendenzen 64:355

Kraftwerke
— Erhöhung der Lebensdauer — Strategie der CEGB 64:1—5
— Schäden durch Erdbeben 64:13
— versorgungsgerechtes Verhalten 64:419—422

Kraftwerksabwässer 64:41

KRAFTWERKSSCHULE E.V. 64:784

Kraftwerkstechnik
— Tagesfragen 1984 64:970—974
— Förderung durch das BMFT 64:481—483

Krankenhausmüllverbrennung 64:450

Kreisprozeßrechnung, Iterationsfähigkeit des Rechenprogramms 64:878

Kriechverformung 64:178

Kriechverhalten, warmfeste Stähle 64:1022

KTA-Forderungen, Rohrleitungshalterungen 64:724—731

Kunststoffpumpen für REA 64:989

Kunststoffrohre für hydraulische Ascheförderung 64:363—367

Kühlleistungskriterien 64:827

Kühlturm mit Naturzug und Einführung der Rauchgase im Modellkraftwerk Völklingen 64:516—520

Kühltürme
— Auffangrinnen als Wassersammler 64:829
— Auslegung der Wasserverteilung 64:35
— Doppelkalorimeter 64:833
— Hybridkühlturm 64:918
— Meßmethoden zur Schwadenuntersuchung 64:831
— Meßgeräte zur Schwadenuntersuchung 64:831
— Pump- und Ventilatorarbeit 64:829
— Tropfenimpaktor 64:834
— Zyklonabscheider 64:833

Kühlturmtasse als Deionatspeicher bei einer Kesselbeizung 64:151—154

Landgewinnung 64:1051

Langzeitversprödung 64:699

Lastfolgebetrieb mit SWR-Anlage in Forsmark 1 64:273

Lebensdauer von Kraftwerken — Erhöhung der ... bei CEGB 64:1—5

Lebensdauerberechnungen für Rohrleitungsanlagen 64:367

Leichtwasserreaktoren, Risse in Speisewasserleitungen 64:1115—1129

Leistungsregelung, Konzept für einen kohlebefeuerten Block 64:589—598

Leittechnik
— Abschätzung und Zuverlässigkeit unterschiedlicher Strukturen 64:211—229
— Auswirkung von Blitzschlägen und Schutzmaßnahmen 64:893—899
— und Starkstromtechnik im Modellkraftwerk Völklingen 64:492—496

Lochfraßkorrosion, Kappenringe 64:855—859

Löslichkeit von Oxidschichten in Heißwasser 64:758—765

Logistik im Rohrleitungsbau 64:17

Luftgekühlte Kondensationsanlage
— Auslegungsgesichtspunkte 64:318
— Beispiele für Gewährleistungswerte 64:321
— GEA-Prototyp 64:322
— Kraftwerk Matimba/Südafrika 64:318
— Querschnitt und Aufstellung 64:322

Luftspeicher-Gasturbinenkraftwerk Huntorf, GFK-Leitungen 64:720

Magnetit, Beständigkeit gegen Erosionskorrosion 64:452—465

Magnetitlöslichkeit in Heißwasser 64:758—765

Medizinische Untersuchungen bei Beschäftigten einer MVA 64:924—927

Membranfilter für die Flugstaubanalyse 64:847—854

Messung von Temperaturfeldern, methodische Fehler 64:809

Meßmethoden der Kohleverbrennungsgeschwindigkeit 64:552—554

Meßpunkte 64:174

MgO-Additiv in Ölkesseln 64:1004

Mikroporen, 14 MoV 6 3 64:561 64:716 64:819

Mischbettfilter in Kondensatreinigungsanlagen, Drainage-Konstruktion 64:59—61

Modellkraftwerk Völklingen 64:483—541

Müllverbrennung Bamberg 64:230—235 64:924—927

Müllverbrennung Biebesheim 64:1015

Müllverbrennung Bielefeld 64:839—843

Müllverbrennung Düsseldorf 64:643—648

Müllverbrennung Herten 64:448

Müllverbrennung Mannheim 64:133—137

Nachrüstung mit Abgasreinigungsanlagen 64:1076—1081

Nachrüstungen von Rohrleitungen im KKW Brunsbüttel 64:276

Naturzugkühler-Schale 64:825

Naturzugkühlturm im Modellkraftwerk Völklingen 64:520—524

Neigungsmessung 64:176

NO_x-Bildung 64:632

NO_x-Problematik 1984 64:973

NO_x und andere gasförmige Schadstoffe 64:331—334

NO-Umwandlung
— Messung 64:648—654
— Modellberechnung 64:648—654

Nulldrucksonde zur Probennahme von Flugstaub 64:847—854

Öl, Preisentwicklung in Finnland 64:868

Ölfeuerung 64:1004
— Umstellen auf Kohle 64:624—629 64:868—877

Optimale Schalenkontur großer Naturzugkühltürme 64:825—829

Organisationsschema der VGB 64:774

Ordnungssysteme 64:377

Oxidschichten, Löslichkeit in Heißwasser 64:758—765

Ozon 64:648—654

Pathologische Abfälle 64:450

Phasenwinkelmessungen, Unwuchtänderungen 64:428

Polderbau 64:1060

Primärkühlmittel in DWR, Anionen-Analyse mit Ionenchromatographie 64:74—77

Probennahme
— Flugstaub 64:847—854
— Gase zur Stickoxidmessung 64:164—171
— Kohle 64:158—164

Prompte (Neutronen) Aktivierungsanalyse (PNAA) von Steinkohle 64:348—355

Proportionalsicherheitsventil 64:746

Pumpen
— für DWR 64:735
— für REA; Werkstoffe, Wellendichtungen, Betriebserfahrungen 64:913 64:989

Pumpwerke 64:1058

Quecksilberfällung im Abwasser 64:230—235

Rauchgasabfuhr durch den Kühlturm im Modellkraftwerk Völklingen 64:516—524

Rauchgas-Additive für Ölfeuerungen 64:1004

Rauchgasentschwefelung
— Abwasseraufbereitung 64:41
— Betriebserfahrungen und Entwicklungstendenzen 64:355
— Kosten 64:631
— Stand der ... 1984 64:972/973

Rauchgasentschwefelungsanlagen
— Abwasser 64:679—688 64:993
— biologischer Abbau von Ameisensäure 64:994
— Modellkraftwerk Völklingen 64:516—520

Rauchgaswäsche
— Abwasserbehandlung 64:230—235
— mehrstufig 64:1017

REA-Pumpen; Werkstoffe, Wellendichtungen, Betriebserfahrungen 64:913 64:989

REA-Ventilatoren auf der Naßgasseite 64:900

Reaktionsfähigkeit von Kohle 64:550—559

Reaktorkern, Verhalten bei schweren Störfällen 64:1097—1104

Reaktorleittechnik, Inbetriebsetzungsergebnisse im Kernkraftwerk Grafenrheinfeld 64:190

Reaktorpumpen; Hauptkühlmittelpumpen, Speisepumpen 64:735

REBEKA-Versuchsanlage 64:978

Rechenmodell, Wärmetauscher 64:927—932

Rechnergestütztes Anordnungs-Planungs-System (RAPAS) 64:112

Reduzierter Mengengraph, Darstellung 64:882

Reflexionszeit bei Druckstoß 64:801

Regelarmaturen, Verschleißverhalten bei verschiedener Speisewasser-Konditionierung 64:248—253

Regelung
— von Dampfturbinen, Richtlinien 64:618
— Funktionsfähigkeit durch verteilte Prozeßleitsysteme 64:577—589

Regelungstechnik im Modellkraftwerk Völklingen 64:531—538

Regenerativ-Wärmetauscher 64:357

Reibschweißen 64:707

Reingasgebläse 64:360

Reingasventilator 64:900

Rekontamination im Kernkraftwerk Loviisa 64:1104/1105

Reparaturvorschläge 64:639

Restlebensdauer, Bewertung im CEGB 64:560—565

Risikostudie, deutsche — Phase B, Untersuchungen zum Kernverhalten 64:1097—1104

Risse
— Bruchmechanik 64:465—470
— Dampfspeichertrommeln 64:709—715
— Speisewasserleitungen 64:1115—1129

Rißwiderstandskurve 64:466

Rohrbündelwärmetauscher, Spannungsberechnung 64:927—932

Rohre für hydraulische Ascheförderung 64:367

Rohrleitungen
— Auftragsabwicklung 64:17
— Entstehung von Druckstößen, Maßnahmen 64:801
— glasfaserverstärkt im Kraftwerk Huntorf 64:720
— Halterungen, KTA-Forderungen 64:724—731
— Nachrüstungen im KKW-Brunsbüttel 64:276
— Schäden 64:367 64:884
— strukturdynamische Methoden der Druckstoßberechnung 64:119

Rohrplatte, Vorwärmer 64:52 64:435—441

Rostfeuerungen
— Auslegungsdaten, Betriebskosten 64:446
— für Industrie- und Heizkraftwerke 64:443—448

Sammler, 14 MoV 6 3, Zeitstandschäden 64:715—719

Sanierung von Kraftwerksschornsteinen 64:634—642

Sauerstoff in Wasser, katalytische Reduktion unter gleichzeitigem Anionenaustausch 64:61—63

Sauerstoff zur kombinierten Konditionierung von Speisewasser 64:254—256

Sauerstoffbilanz des Mains (Kraftwerk Staudinger) 64:546

Sauerstoffgehalt, Einfluß auf die Spannungsrißkorrosion 64:138—145

Sauerstoffmessung im Wasser-Dampfkreislauf mit der Gaschromatographie 64:235—239

Seillinie 64:176

Sekundärwasserchemie in DWR
— Anionen-Analyse mit Ionenchromatographie 64:74—77
— Betriebserfahrungen und Entwicklungen 64:63—74

Sensibilisierung, Einfluß auf die Spannungsrißkorrosion 64:141

Siebschneckenzentrifuge 64:359

Siedewasserreaktoren, Erfahrungen mit, in Skandinavien 64:267—275

Sicherheitsbetrachtung 64:636

Sicherheitskriterien 64:827

Sicherheitstechnische Anforderungen an Speisepumpen 64:732

Sicherheitsventile
— Schwingungen 64:752
— Schwingungsdämpfer 64:746

Sicherungszaun 64:10

Simulation von Temperaturfeldern (SITE) 64:811

SO_2-Emissionen 64:360

Spannungsrißkorrosion 64:138—145
— wasserstoffinduzierte 64:692

Speisepumpen
— Anforderungen an Auslegung und Bemessung 64:732
— für Kernkraftwerke 64:735

Speisewasser
— kombinierte Konditionierung beim AVR-Reaktor 64:243—248
— kombinierte Konditionierung mit verminderter Sauerstoffkonzentration 64:254—256

Speisewasserbehälter 64:984

Speisewasser-Konditionierung und Verschleißverhalten von Regelarmaturen 64:248—253

Speisewasserleitungen, Risse 64:1115—1129

Speisewasservorwärmer
— Auslegung und Fertigung 64:982
— HD-Vorwärmer 64:985
— ND-Vorwärmer 64:982
— Sammlerbauweise/Rohrplattenbauwerke 64:986

Spektroskopie prompter Gammastrahlung als Meßverfahren für Kohlenanalyse 64:348—355

Spurenelemente (REA) 64:48

„Step-cooling" 64:700

Schäden an Rohrleitungen 64:367 64:815—825

Schadensfrüherkennung durch Überwachung und Diagnose in Kernkraftwerken 64:83—93

Schadensstatistik bei MVA 64:134

Schadstoffarme Verbrennung in GuD-Anlagen 64:999 64:1081

Schalenformen/Turmgeometrie 64:826

Schallreiniger 64:1004

Schaltversuche mit elektrischen Vakuumschaltern im Modellkraftwerk Völklingen 64:539—541

Schaufelholmlagerung, Axialventilatoren 64:843

Schemelrahmen 64:641

Schieferöl-Rückstände 64:323—335

Schieferölverbrennung in Gasturbinen 64:323—335

Schlammentwässerung 64:49

Schließzeit bei Druckstoß 64:801

Schutzprüfung bei Schwingungsmeßeinrichtungen 64:316

Schutzschichten, Löslichkeit in Heißwasser 64:758—765

Schwebebett in Kondensatreinigungsanlagen 64:55—58

Schweden, Kernenergie-Forschungs- und Entwicklungsprogramm 64:542

Schwere Störfälle — Verhalten des Reaktorkerns bei 64:1097—1104

Schwermetallbelastung der Beschäftigten einer MVA 64:924—927

Schwermetalle, Bestimmung in Flugstaub 64:847—854

Schwermetallfällung im Abwasser 64:230—235

Schwingungen
— Sicherheitsventile 64:752
— Wärmetauscher 64:54

Schwingungsdämpfer für Sicherheitsventile 64:746

Schwingungsmeßeinrichtungen 64:316

Schwingungsüberwachung an Druckwasserreaktoren 64:86—92

Schwimmkugeln zur Abdeckung von Wasseroberflächen 64:155—158

Stadtheiznetz Hamburg 64:100—107

Standsicherheitsuntersuchung 64:636

Starkstrom- und Leittechnik im Modellkraftwerk Völklingen 64:492—496

Staubabscheidung, Vergleich Gewebe-/E-Filter 64:1087—1092

Staubfeuerungen, Auslegungsdaten, Betriebskosten 64:446

Steinkohle
— Rost- und Staubfeuerungen, Kennwerte 64:445
— kontinuierliche Analyse 64:348—355

Steinkohlebergbau und Elektrizitätswirtschaft — Zusammenarbeit 1984 64:971

Steuerung, speicherprogrammierbare, im Modellkraftwerk Völklingen 64:529—531

Steuerungssystem Iskamatic B 64:675—679

Störfälle
— Analyse bei DWR 64:94—100
— Verhalten des Reaktorkerns 64:1097—1104

Stickoxide 64:648—654
— in Gasen, Problematik bei der Messung 64:164—171

Stickoxidminderung, Investitionskosten 64:1065—1071

Stickoxidminderungsverfahren
— spezifische Jahreskosten 64:1087—1092
— Vergleich 64:1087—1092

Strömungsgeschwindigkeit, Einfluß auf die Erosionskorrosion 64:452—465

Stromerzeugungskosten 64:1065—1071

Sturmflutsicherungen 64:1062

TA-Luft-Grenzwerte 64:1076—1081

Technik und Wissenschaft 64:377

Teillastverhalten von GuD-Anlagen 64:1003

Temperatur, Einfluß auf die Erosionskorrosion 64:452—465

Temperaturmessung 64:176
— Heißdampfrohrleitungen 64:884

Temperaturschieflage, Einfluß auf Temperaturfelder 64:810

Terminablaufplanung 64:12

Terminkritischer Bereich 64:13

Thermodynamische Grundgesetze 64:377

Thermodynamischer Vergleich 64:828

Thermoelementmantel 64:809

Thermosleeve-Stutzen 64:711

Time-History-Methode, Druckstoßberechnung von Rohrleitungen 64:119

Tonerdeschmelzzement 64:635

Torsionsschwingungen an Dampfturbogruppen 64:312

TRD, Änderungen und Ergänzungen 64:256—258

Tritium, Meßergebnisse im Wasser-Dampfkreislauf des AVR-Reaktors bei kombinierter Konditionierung 64:243—248

Trommeln, Konverterkessel 64:709—715

Tropfenabscheider 64:357 64:359

Turbinenmeßprogramm 64:175

Turbinenwerkstoffe, Verhalten in Geothermaldampf 64:1110—1115

Turbomaschinen, Unwuchtänderungen 64:428

Überhitzer, Sonderkonstruktion für MVA 64:645

Überhitzerkorrosion bei MVA 64:839—843

Umleitstation, Schwingungen 64:752

Umweltschutzmaßnahmen
— Auswirkungen auf Wärmekraftwerke 64:1065—1071
— Kapital- und Betriebskosten 64:1065—1071

Umweltschutzprogramm 64:1076—1081

Unterbelagskorrosion 64:839—843

Unwuchtänderungen, Phasenwinkelmessungen 64:428

Vakuumpumpen (ELMO) für Kondensatoren 64:906

Vakuumschalter — elektrische Schaltversuche im Modellkraftwerk Völklingen 64:539—541

VDI/VDE-Richtlinien, Regelung von Dampfturbinen 64:618

Ventilatoren; Schaufelholmlagerung, Schutzmaßnahmen 64:843 64:900

Verbrennung
— Anthrazit 64:336—343
— Schieferöl, Kohlenflüssigkeits- und Pyrolyseölrückstände in einer Gasturbine 64:323—335

Verbrennungsgeschwindigkeit des Kohlenstaubes 64:552—554

Verformungsberechnung 64:176

Verformungsmessungen an Turbinenfundamenten 64:172—178

Verfügbarkeit
— deutsche Kernkraftwerke 1983 64:382—418
— MVA 64:136
— Reaktoranlagen 64:271—273

Vergasungsverfahren 64:1082

Vergleich der Emissionen von Kohlekraftwerken und GuD-Anlagen 64:1000

Verhalten von Kernkraftwerken bei Erdbeben 64:13

Verlagerungsmessungen an Rohrleitungen 64:884

Verschleiß in hydraulischen Ascheförderungssystemen 64:363—367

Versorgungsgerechtes Verhalten der thermischen Kraftwerke 64:419—422

VGB-Kongreß „KRAFTWERKE 1984" 64:963

VGB-Tätigkeitsbericht 64:773

Völklingen — Modellkraftwerk 64:483—541

Vollhubsicherheitsventil 64:746

Vorwärmerstrecke, Konstruktion und Auslegung 64:49—55

Vorwäscher (REA) 64:42

Wärmekraftwerke 64:776

Wärmeleitungsgleichung, nichtlineare Randbedingungen 64:810

Wärmepumpenanlage, Brennstoffeinsparung 64:197

Wärmepumpen-Heizwerke
— Anlagenbeschreibung 64:194—202
— Wirtschaftlichkeitsvergleich 64:198

Wärmepumpen-Heizkraftwerke, Anlagenkonzepte 64:195

Wärmepumpenprozeß
— Kennziffern 64:196
— Kraft-Wärme-Kopplung 64:197

Wärmetauscher
— He/He 64:701—708
— Spannungsberechnung 64:927—932

Warmfeste Stähle, Hochtemperaturverhalten 64:1020—1034

Wasseraufbereitung
— katalytische Sauerstoff-Entfernung und Ionenaustausch im gleichen Anionenaustauscher 64:61—63
— kontinuierlicher Ionenaustausch 64:952—956

Wasserchemie, Einfluß auf die Erosionskorrosion 64:452—465

Wasser-Dampfkreislauf
— chemische Fahrweise und Verschleißverhalten von Regelarmaturen 64:248—253
— gaschromatographische Messung nichtkondensierbarer Gase 64:235—239
— eines Hochtemperaturreaktors, kombinierte Konditionierung des Speisewassers 64:243—248
— kombinierte Konditionierung mit verminderter Sauerstoffkonzentration 64:254—256
— Löslichkeit von Oxidschichten 64:758—765
— Modellkraftwerk Völklingen 64:488—491
— Ursachen der Erosionskorrosion 64:452—465

Wasserkammer, Vorwärmer 64:51

Wasseroberflächen, Abdeckung mit Schwimmkugeln 64:155—158

Wasserrecht 64:6

Wasserring-Vakuumpumpen 64:906

Wasserseitige REA-Schaltung 64:679—688

Wasserstoffmessung im Wasser-Dampfkreislauf mit der Gaschromatographie 64:235—239

Wellendichtungen für REA-Pumpen 64:913 64:989

Werkstoff
— CuNi 52 Mo, Trommeln 64:709—715
— Inconel 617, Verarbeitung 64:698—706
— 10 CrMo 9 10 64:944—947
— 10 CrMo 12 10, Verarbeitung 64:698—706
— 13 CrMo 4 4, Zeitstandschäden 64:690
— 14 MoV 6 3, Restlebensdauer 64:560—565
— Zeitstandschäden 64:690 64:715—719
— 15 NiCuMoNb 5 64:709—715 64:940—944 64:1123
— 17 MnMoV 6 4 64:1115—1129
— 20 MnMoNi 5 5 64:465—470
— 22 NiMoCr 3 7 64:465—470 64:1115—1129
— X 5 CrNi 18 9, Spannungsrißkorrosion 64:138—145
— X 8 CrNiNb 16 13, Schaden 64:689
— X 20 CrMoV 12 1 64:688—698 64:938—940

Werkstoffe 64:782
— Bewährung für Bau und Betrieb 64:688—698
— Kesselbau 64:936
— REA-Pumpen 64:913 64:989
— Rohrleitungsbau 64:815—825
— Turbinenbau 64:1110—1115

Wiederkehrende Prüfungen an Rohrleitungsanlagen 64:367

Wiederaufheizung 64:357

WIG-Impuls-Verfahren, Inbore-Schweißung 64:705

Windenergie 64:1057

Wirbelschichtfeuerung 64:1087—1092
— Kesselschnittbild 64:107—112
— Kraftwerk Flingern der Stadtwerke Düsseldorf AG 64:107
— Kraftwerksgrundriß 64:107—112
— Lastregelung 64:107—112
— Sanierung eines Kraftwerkstandortes 64:107

Wirbelschichtfeuerungsanlage — atmosphärische im Modellkraftwerk Völklingen 64:502—510

Wirtschaftlichkeitsvergleich 64:827

Wirtschaftswert 64:1096

Zähbruchmechanik 64:466

Zeitstandbeanspruchung 64:1020

Zeitstand-Dehnungskurven, 14 MoV 6 3 64:561

Zeitstandschäden
— Rohrleitungen 64:367 64:815—825
— 14 MoV 6 3 64:715—719

Zeitstandschädigungen 64:690

Zwangdurchlaufdampferzeuger
— Anfahr- und Schwachlastsysteme 64:279
— Druckabfall im Verdampfer 64:301
— EVT/Sulzer-Speisewasserregelkonzept 64:287
— Gleitdruckbetrieb 64:292
— innengerillte Verdampferrohre 64:293
— Simulationen und Betriebserfahrungen 64:289
— Speisewasserregelungskonzepte 64:279
— Temperaturdifferenzen in Umfassungswänden 64:297
— Wärmespannungen in den Umfassungswänden 64:301
— vertikale Brennkammerberohrung 64:292
— Zwangdurchlauf- und Umwälzbetrieb 64:279

Zündverhalten
— Anthrazitflamme 64:340—342
— Braunkohlenflamme 64:343—348

Zündtemperatur der Kohle, Temperatur der ersten Entgasungsaktivität 64:553

Zuiderzee 64:1059

6
2D-/3D-Datenbank-Zeichnungsprogramm 64:115/116

2D-/3D-Modell nach RAPAS 64:113

Zwei-Kriterien-Verfahren 64:467

Persönliches

Abel, Gerhart, 60 Jahre 64:1043
Armbruster, Günter, Geschäftsführer bei Voith 64:79
Arnswald, Werner, 50 Jahre 64:1043
Balke, Siegfried, gestorben 64:671
Bammert, Karl, 75 Jahre 64:79
Barthelt, Klaus, Dr.-Ing., Ehren halber 64:671
Bechthold, Horst, Berufung in den Walter & Cie.-Vorstand 64:470
Beyer, Rolf, Berufung in den Ruhrgas-Vorstand 64:470
Böllert, Winfrid, im Ruhestand 64:181
Bohnsack, Gerhard, 60 Jahre 64:180
Brandel, Aron, 65 Jahre 64:570
Brandt, Joachim, 50 Jahre 64:570
Bruchhaus, Reinhard, neuer Leiter des Hauptbereiches Maschinentechnik der VEW 64:180
Brüderlin, Heinz, wieder in den VDEW-Vorstand gewählt 64:470
Brüderlin, H., neuer Vorsitzender des Wissenschaftlichen Beirates der VGB 64:1043
Bürk, Erhard, 60 Jahre 64:79
Bursik, Albert, 50 Jahre 64:958
Caudius, Werner, 85 Jahre 64:180
Christensen, J. Vagn, 65 Jahre 64:570
Ebinger, Kurt, 40 Jahre bei VAG 64:260
Eitz, August Wilhelm, zum Honorarprofessor ernannt 64:769
Ewaldsen, Hans L., Vorsitz im Babcock-Aufsichtsrat 64:470
Eydam, Heinz, Nachfolger von Heinrich Novak im Vorstand des Großkraftwerkes Franken AG 64:1134
Fehndrich, Walter, 25 Jahre beim RWE 64:1043
Frank, Berthold, Vorsitz im Wissenschaftlichen Beirat der VGB niedergelegt 64:1043
Friedrich, Rudolf, 75 Jahre 64:769
Garleff, Jürgen, Vorsitzender des VGB-Hauptausschusses „Wärmekraftwerke" 64:571
Gassert, Herbert, Ehrensenator der Universität Stuttgart 64:79
Gerber, Peter, ab 1986 neuer Direktor des VDI 64:769
Greiner, Günter, 60 Jahre 64:260
Günther, Hans, 25 Jahre bei der BASF 64:571
Gutperle, Georg, 75 Jahre 64:260
Häfele, Carl Heinz, 70 Jahre 64:1134
Hartmann, Georg, 70 Jahre 64:671
Hecker, Gerhard, wieder in den VDEW-Vorstand gewählt 64:470
Hochmüller, Kurt, 60 Jahre 64:570
Hochmüller, Kurt, DIN-Ehrennadel 64:958
Höxtermann, Ernst, 50 Jahre 64:260
Jaeschke, Lothar, Honorarprofessor 64:371
Johnson, Dag G., 75 Jahre 64:671
Jürgens, Dietrich, 50 Jahre 64:671
Kaes, Heinz, 60 Jahre 64:371
Kahlert, Werner, 60 Jahre 64:260
Klätte, Günther, wieder in den VDEW-Vorstand gewählt 64:470
Klaus, Franz, 75 Jahre 64:570
Knauf, Karl, 75 Jahre 64:260
Knauf, Karl, gestorben 64:671
Koch, Hans, Guilleaume-Gedenkmünze 64:867
Koch, Hans, 65 Jahre 64:958
Köhle, Herbert, 75 Jahre 64:79

Krämer, Hermann, Mitglied des Vorstandes der Preußenelektra 64:570
Kraus, Willibald, gestorben 64:180
Kretzer, Richard, 60 Jahre 64:79
Kritzler, Gerhard, 50 Jahre 64:769
Lang, Walter, neuer Leiter des Büros Dortmund 64:181
Lenhartz, Rudolf, Dr.-Ing. Ehren halber 64:1043
Ludewig, Max, 60 Jahre 64:1134
Marnet, Chrysanth, VDI-Ehrenmedaille 64:671
Marquardt, Kurt, 40 Jahre bei Hager + Elsässer 64:1043
Mennen, Josef, Verdienstkreuz 1. Klasse 64:1043
Michelfelder, Sigfrid, Geschäftsführer der L. & C. Steinmüller GmbH 64:180
Middelschulte, Achim, in den Vorstand der Ruhrgas AG berufen 64:1043
Müller, Leonhard, im BEWAG-Vorstand 64:181
Müller, Wolfgang D., im Ruhestand 64:1134
Neuhaus, Julius, 75 Jahre 64:570
Niefer, Werner, Nachfolger von Hans L. Merkle im Aufsichtsrat der J.M. Voith GmbH 64:1134
Oberlack, Hans Werner, verläßt die HEW 64:671
Paul, Herbert, 80 Jahre 64:180
Peter, Franz, 60 Jahre 64:79
Pfisterer, Hans, gestorben 64:1134
Plate, Klaus, 50 Jahre 64:769
Poll, Jürgen, Nachfolger von Heinz Berge im TWS-Vorstand 64:79
Quack, Rudolf, 75 Jahre 64:570
Richter, Robert, 60 Jahre 64:671
Segatz, Ulrich, Vorsitzender im Vorstand der Preußenelektra 64:570
Selbach, Alfred, 60 Jahre 64:180
Sossenheimer, Heinz, 25 Jahre beim DVS 64:79
Saplthoff, Franz Josef, Dr.-Ing. Ehren halber 64:571
Spalthoff, Franz Josef, Verdienstkreuz 1. Klasse 64:571
Spalthoff, Franz Josef, 25 Jahre beim RWE 64:769
Schinn, Rudolf, gestorben 64:671
Schlachter, Hans, 60 Jahre 64:470
Schröder, Harald J., Mitglied des Vorstandes der Fried. Krupp GmbH 64:671
Schwanz, Wolfgang, 25 Jahre bei Hof 64:260
Schwarz, Karl, gestorben 64:1134
Stadelmann, Siegfried, im Ruhestand 64:181
Starck, Dietrich, 75 Jahre 64:1134
Tanner, Erich, gestorben 64:1043
Tegethoff, Wilm, Sprecher des BEWAG-Vorstandes 64:79
Thoenes, Hans Willi, Vorsitzender der Leitstelle Kerntechnik 64:79
Traast, F.S., 60 Jahre 64:260
Vetter, Heinz, 60 Jahre 64:570
Völcker, Helmut, 50 Jahre 64:180
Vogt, Friedrich, 75 Jahre 64:958
Vorkauf, Heinrich, gestorben 64:671
Werner, Erich, 80 Jahre 64:470
Żelkowski, Jacek, 50 Jahre 64:769
Zerna, Wolfgang, VDI-Ehrenzeichen 64:571

Buchbesprechungen

Abwärme — Auswirkungen, Verminderung, Nutzung 64:1048
AD-Merkblätter, Taschenbuchausgabe 1982 64:373
Arbeitnehmerschutz in Elektrizitätsunternehmen 64:480
Betrieb; Arbeitsunterlage für Techniker im EVU 64:863
Bildschirme in der Prozeßwarte 64:181
Blockheizkraftwerke — Planung und Betriebserfahrungen 64:262/263
Dampfkesselbestimmungen 64:263
— 14. und 15. Ergänzungslieferung 64:962
Das kleine Energielexikon 64:81
Die Genehmigungsverfahren nach dem Bundes-Immissionsschutzgesetz 64:1048
Die neue TA Luft 64:1047
DIN-Taschenbuch 180: Kerntechnische Normen 64:480
DVS-Berichte
— Band 3: Werkstoffschlüssel der Schweißtechnik, Grundwerkstoffe — Schweißzusätze — Erzeugnisformen 64:263
— Band 73: Vollmechanisches Schweißen und Schweißen mit Industrie-Robotern 64:372
— Band 79: Sicherung der Güte von Schweißverbindungen im Hoch- und Brückenbau 64:480
Eine Auslegungssystematik für den baulichen Brandschutz 64:863
Einfache Modelle kontinuierlicher Prozesse 64:1046
Einführung in die Wärmelehre 64:574
Empfehlungen für den maschinentechnischen Generatorschutz 64:575
Energie- und Rohstoffpolitik — Probleme, Trends und Perspektiven in einer sich wandelnden Weltwirtschaft 64:183
Energie- und wasserwirtschaftliche Aspekte der saisonalen Kühlregie 64:263
Energieversorgung — Ressourcen, Technologien, Perspektiven 64:674
Entwicklung eines Verfahrens zur Ermittlung der Erschöpfung wechselbeanspruchter Bauteile gemäß TRD 508 64:373
Ermittlung der Restlebensdauer von Kraftwerkskomponenten 64:863
Fachbibliographie Schweißtechnik, Band 29: Korrosionserscheinungen an Schweißverbindungen aus Stahl 64:480
Feuerfeste Baustoffe in Rücksaugschächten 64:863
Fortschritte bei Elektronenröhren und Displays, Elektronenröhren 64:1046
Große technische Gefahrenpotentiale — Risikoanalysen und Sicherheitsfragen 64:772
Handbuch Brandschutz 64:575
Handbuch des Deutschen Wasserrechts 64:863
Handbuch der Kesselbetriebstechnik 64:373
Hazardous solid waste testing: First conference 64:183/184
Heidelberger Taschenbücher, Band 209: Strom aus Wind 64:263
Hochhäuser 64:962
Immissionsschutzrecht, Rechts- und Verwaltungsvorschriften des Bundes und des Landes Nordrhein-Westfalen 64:772

Immissionsschutz-Wegweiser 64:575
Ingenieurkonstruktionen — Beiträge aus Forschung und Praxis 64:263
Internationaler Vergleich von Standard-Werkstoffen — Stahl und Gußeisen 64:374
Jahrbuch für Bergbau, Energie, Mineralöl und Chemie 1983/1984 64:674
Kalibrierung von Hochtemperatur-Dehnungsmeßstreifen, Erprobung eines Verfahrens zur Kalibrierung von statischen Hochtemperatur-Dehnungsmessungen als Voraussetzung zur Erfassung von Schnittkräften an Rohrleitungen 64:1046
Kernenergie und Wirtschaftlichkeit 64:574
Lagerung und Transport wassergefährdender Stoffe, 7. und 8. Ergänzungslieferung 64:674
Lexikon der Gastechnik 64:1047
Luftqualitätskriterien für Benzol 64:373
Luftreinhaltung '81, Entwicklung — Stand — Tendenzen 64:184
Materialien 1/83 64:184
Moderne Unfallverhütung 64:1046/1047
Nuclear Technologies in a Substainable Energy System 64:374
Ölbuch, Teil 1: Schmierstoffe und Steuerflüssigkeiten im Kraftwerksbetrieb 64:480
Primary Energy 64:183
Reaktorinstrumentierung — Prozeßmeßtechnik und Leistungsregelung im Kernkraftwerk 64:1046
Regelungstechnik in der Versorgungstechnik 64:373
Reinhaltung der Luft im Wandel der Zeit 64:81
Risikoorientierte Analyse zum SNR 300 64:1047
Rohrleitungen in Chemie- und Verfahrenstechnik 64:1047
Sicherheitstechnik (74. bis 77. Lieferung) 64:81
Schmatz/Nöthlichs: Sicherheitstechnik 64:374
Schmatz/Nöthlichs: Sicherheitstechnik 64:574
Sicherheitstechnik 64:1046
Solarthermische Kraftwerke 64:264
Systematische Beurteilung technischer Schadensfälle 64:1047/1048
Schweißen von Behältern und Rohrleitungen 1982 64:183
Schweißtechnische Probleme und ihre metallkundlich-technologische Analyse 64:372
Stahlfaserbeton und stahlfaserverstärkter Stahlbeton 64:183
Stahlschlüssel 64:263
Strömungslehre und Strömungsmaschinen 64:374
TA-Luft-Kommentar 64:962
Theasaurus „Zerstörungsfreie Prüfung" 64:480
Thermische Strömungsmaschinen '83, VDI-Berichte 487 64:962
TRD Technische Regeln für Dampfkessel 64:262
Umwelt und Energie — Handbuch für die betriebliche Praxis 64:373
Unterhalt, Revisionen und Erneuerung von Turbinen-Generatoren-Einheiten von Wasserkraftanlagen 64:574
Untersuchungen zum Reibungsverhalten zwischen Gleitschuh und Gleitring von schnellaufenden Radialkolbenmaschinen 64:674
Wirtschaftswissenschaftliche Aspekte des Begriffes „wirtschaftliche Vertretbarkeit" nach dem Bundes-Immissionsschutzgesetz 64:575
Wörterbuch technischer Begriffe mit 4300 Definitionen nach DIN — Deutsch und Englisch 64:373/374
Zweites Programm Energieforschung und Energietechnologien 64:264

VGB KRAFTWERKSTECHNIK

MITTEILUNGEN DER VGB TECHNISCHEN VEREINIGUNG DER GROSSKRAFTWERKSBETREIBER

65. JAHRGANG (1985) • HEFTE 1—12

INTERNATIONALE FACHZEITSCHRIFT FÜR TECHNIK IN WÄRMEKRAFTWERKEN

Herausgeber

VGB TECHNISCHE VEREINIGUNG DER GROSSKRAFTWERKSBETREIBER E.V.

Vorsitzender: Direktor Dipl.-Ing. Dr.-Ing. E.h. F.J. Spalthoff, Essen;
Geschäftsführer: Direktor Dr.-Ing. O. Schwarz, Essen.

Anschrift

VGB TECHNISCHE VEREINIGUNG DER GROSSKRAFTWERKSBETREIBER E.V.
Klinkestraße 27—31, Postfach 103932, D-4300 Essen,
Fernruf 4862-686/687, Fernschreiber 857507 vgb d.

Chefredakteur

Oberingenieur Dipl.-Ing. H. Bleßmann, Essen.

Redaktion

Oberingenieur Dr. rer. nat. B. Forck, Essen;
Oberingenieur Dr.-Ing. J. Jacobs, Essen;
Abteilungsdirektor Dipl.-Ing. H. Kaes, Essen;
Oberingenieur Dipl.-Ing. A. Kantner, Essen;
Oberingenieur Dr. rer. nat. H. Kittel, Essen;
Abteilungsdirektor Dipl.-Ing. K. Plate, Essen;
Abteilungsdirektor Dr.-Ing. G. Schlegel, Essen;
Oberingenieur Dipl.-Ing. G. Welten, Essen.

Wissenschaftlicher Redaktionsbeirat

Professor Dr. J. Beér, Cambridge/Massachusetts;
Professor Dr.-Ing. F. Brandt, Darmstadt;
Professor Dr. techn. D. Johnson, Trondheim;
Professor Ir. J.J.C. van Lier, Delft;
Professor Dipl.-Ing. Dr. techn. W. Linzer, Wien;
Professor Dr. techn. O.I. Martynova, Moskau;
Professor (em.) Dr.-Ing. P. Profos, Zürich;
Professor (em.) Dr.-Ing. R. Quack, Stuttgart;
Professor (em.) Dr. phil. H. Rögener, Hannover;
Professor Dr. rer. nat. R. Schulten, Aachen;
Professor Dipl.-Ing. I.D. Stancescu, München.

Technischer Redaktionsbeirat

Direktor H. Berggren, Malmö;
Direktor Professor Dr.-Ing. H. Brüderlin, Stuttgart;
Direktor Dr.-Ing. H. Krolewski, Dortmund;
Direktor Dr.-Ing. G. Noetzlin, Marl;
Direktor Dr.-Ing. H. Novak, Nürnberg;
Dipl.-Ing. J. Pettersen, Lyngby;
Direktor F. Scheurer, Paris;
Direktor Dr.-Ing. E.h. Dipl.-Ing. W. Schoch, Mannheim.

Vertrieb und Anzeigenverwaltung

VGB-KRAFTWERKSTECHNIK GMBH, Klinkestraße 27—31, Postfach 103932,
D-4300 Essen, Fernruf 4862-680/681/683, Fernschreiber 857507 vgb d.
Verantwortlich für Vertrieb und Anzeigenteil: R. Rätz.

Erscheinungsweise

monatlich, außerdem erscheint zeitlich verschoben
eine englische Fassung dieses Heftes

Inhaltsverzeichnis 1985

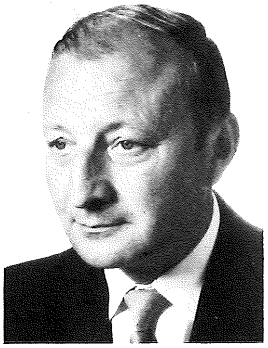
DIE FOTOS DER VERFASSER FINDEN SIE AUF DEN SEITEN II BIS XVI



H. Wiehn, Oberhausen



J. Wiesenberger, Wien/Österreich



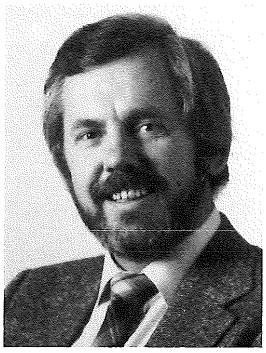
R. Winkler, Dresden/DDR



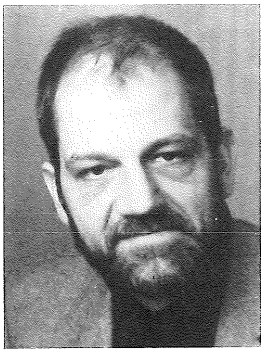
J. Winter, München



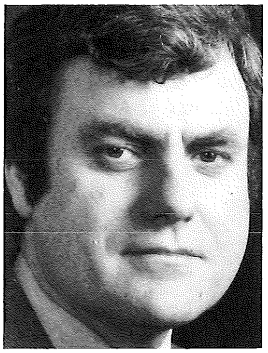
E. Wittchow, Erlangen



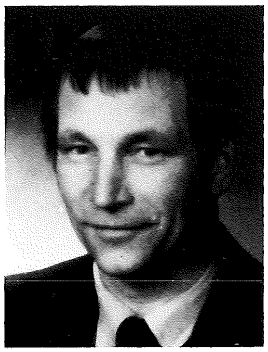
R. Wohlrab, Mannheim



S. Wrage, Bochum



G. Wutte, Dormagen



M. Ziemann, Aachen



H.E.D. Zürn, Frankfurt (Main)

In den zwölf Heften des Jahrganges 65 sind enthalten:

1	2	3	4	5	6
1—86	87—194	195—298	299—442	443—544	545—638

7	8	9	10	11	12
639—706	707—788	789—886	887—986	987—1092	1093—1184

Verfasserverzeichnis 1985

Abröll, G., siehe Spliethoff, H.

Allan, J., und Kaiser, G.: Entsorgungskonzept für HTR-Brennelemente 65:1085/1086 + Sammelband VGB-Sondertagung „Kohleumwandlung und Hochtemperaturreaktor — Bausteine neuer Energiekonzepte (1985)"

Allgaier, W., siehe Kunze, E.

Andreae, B.: Unterwasser-Archäologie im Golf von Neapel 65:529—533

Anton, P.: Vergleich von Wirbelschichtfeuerungen und Kohlenfeuerungen mit Rauchgasentschwefelungsanlage 65:18—21

Aochi, T.: Stand der VHTR-Entwicklung in Japan 65:1087 + Sammelband VGB-Sondertagung „Kohleumwandlung und Hochtemperaturreaktor — Bausteine neuer Energiekonzepte (1985)"

Arnswald, W., und Kaes, H.: Verwendung des Stahles 14 MoV 6 3 für Rohrleitungen Sammelband VGB-Konferenz „Werkstoffe und Schweißtechnik im Kraftwerk 1985"

Bald, A., Charlier, J., und Wittchow, E.: Überlegungen zur Auslegung des „Kalten Endes" auf der Rauchgas- und auf der Dampfseite steinkohlebefeuerter Kraftwerke" 65:217—223

Ball, M., und Moore, W.: Kombinierte Speisewasserkonditionierung mit Sauerstoff, Hydrazin und Ammoniak bei einem Durchlaufkessel 65:849—855

Baltzinger, D., und Rieul, M.: Inbetriebnahme der ersten 1300-MW-Einheit in Frankreich 65:461—467

Baumüller, F., Richter, R., und Straßer, P.: Überkritischer 475-MW-Heizkraftwerksblock mit REA im Großkraftwerk Mannheim 65:208—217

Baust, E.: Die technische Konzeption und Auslegung des HTR 500 65:1082 + Sammelband VGB-Sondertagung „Kohleumwandlung und Hochtemperaturreaktor — Bausteine neuer Energiekonzepte (1985)"

Beck, W., siehe Dietl, R.

Beckmann, F.: Qualitätsveränderung bei der Lagerung von Steinkohlen 65:22—26

Beér, J.M., Farmayan, W.F., Monroe, L.S., Srinivasachar, S., und Teare, J.D.: Das Verhalten von konzentrierten Kohlenwasserschlämmen hinsichtlich Verbrennung, Wärmeübertragung, Schadstoffemissionen und Ascheablagerung 65:939—956

von Beeren, E., und Fischer, L.: Umstellung eines gas-/ölbefeuerten Bensonkessels in einem Industriekraftwerk auf Steinkohle-Schmelzfeuerungsbetrieb 65:368—372

Beetz, E., und Winter, J.: Störung im Elektrofilter einer Müllverbrennungsanlage durch Kohlenstoffasern 65:1077/1078

Behrsing, V., Grimm, W., und Wittrowsky, G.: Untersuchungen zur Konditionierung von kalkentcarbonisiertem Kühlturm-Zusatzwasser bei Verwendung als Nebenkühlwasser 65:159—162

Bergbauer, A.K., und Hinterwälder, J.: Rückinformationssystem 65:644—648

Berge, K.: Kohleversorgung und Kohlelagerung 65:144—151

Berggren, H., und Olesen, C.: Druckwirbelschichtfeuerung (DWSF) 65:46—49

Bermes, K.: Brandschutzmaßnahmen im Modellkraftwerk Völklingen (MKV) 65:610—614

Bertram, J., Hein, K., und Thelen, F.: Anwendungsmöglichkeiten feuerungstechnischer Maßnahmen zur NO_x-Minderung bei bestehenden Kohlenstaubfeuerungen 65:537 + Sammelband VGB-Konferenz „Kraftwerk und Umwelt 1985"

Birgerson, S., siehe Schlizio, H.

Blind, D., Kaes, H., und Weber, H.: Eigenschaften von betriebsbeanspruchten Schweißverbindungen zwischen den warmfesten Stählen X 20 CrMoV 12 1 und 10 CrMo 9 10 Sammelband VGB-Konferenz „Werkstoffe und Schweißtechnik 1985"

Blöchl, H., siehe Spindler, K.

Blume, H., Bredenbruch, K., und Kalwa, G.: Induktiv gebogene Rohre für den Kraftwerksbau Sammelband VGB-Konferenz „Werkstoffe und Schweißtechnik im Kraftwerk 1985"

Bobik, M., Yaldez, P., und Ondratscheck, K.: SO_2- und NO_x-Minderung durch Wirbelschichtfeuerung in einem Kraftwerk der Papier- und Zellstoff-Industrie in Österreich 65:536/537 + Sammelband VGB-Konferenz „Kraftwerk und Umwelt 1985"

Böhm, A., Gilg, J., Hofmann, M., Reinicke, W., Riedel, E., und Stürzlmayer, H.: Die Entwicklung der Schallschutzplanung bei Rauchgasentschwefelungsanlagen seit 1975; Probleme bei der Nachrüstung bestehender Anlagen 65:541 + Sammelband VGB-Konferenz „Kraftwerk und Umwelt 1985"

Bohnsack, G., und Greiner, G.: Konsequenzen aus dem § 7a WHG für den Betrieb von Umlauf-Kühlsystemen aus der Sicht der Kraftwerkschemie 65:74—78

Bottenbruch, H.: Kraftwerksschornsteine, Betriebserfahrungen, Inspektionen und Wartung 65:763—771

Bredenbruch, K., siehe Blume, H.

Breidenbach, H., und Höhmann, P.: Die Bewährung von Rauchgasentschwefelungsanlagen auf der Basis von Kalkwäschen hinter 700-MW-Steinkohleblöcken nach einer Betriebszeit von 3 bis 4 Jahren 65:535 + Sammelband VGB-Konferenz „Kraftwerk und Umwelt 1985"

Breucker, H., und Swoboda, E.: Probleme bei der Verfeuerung salzhaltiger Braunkohlen 65:487—497

Brink, B.: Neue Brandschutztechnik in Decken und Wänden 65:140—144

Briquet, J., siehe Cigna, R.

Brockel, D.: Prozeßführungsrechner für Kraftwerksdampferzeuger 65:578—583

Brosche, D.: Das atomrechtliche Genehmigungsverfahren für das Kernkraftwerk Isar 2 65:450—455

Brouwers, M.W.P., siehe van Liere, J.

Bruchhaus, R.: Auslegung und Konstruktion des kohlebefeuerten Dampferzeugers unter Berücksichtigung der vorgeschalteten Gasturbine 65:1078 + Sammelband VGB-Sondertagung „Kohleumwandlung und Hochtemperaturreaktor — Bausteine neuer Energiekonzepte (1985)"

Bruchhaus, R., und Rautenberg, J.: Erfahrungen bei der Inbetriebnahme und erste Betriebserfahrungen des THTR 65:1081/1082 + Sammelband VGB-Sondertagung „Kohleumwandlung und Hochtemperaturreaktor — Bausteine neuer Energiekonzepte (1985)"

Brüggemann, K., siehe Rolf, A.

Brühl, F., Kalwa, G., und Weber, H.: Bruchverhalten von Bauteilen unter Zeitstandbeanspruchung 65:1059—1068

Brunar, H.: Die neue 1500-MW-Turbine „Arabelle" für Kernkraftwerke 65:467—472

Bucher, H., und Schönbucher, B.: Gesamtkonzept der Wasser- und Abwasseraufbereitung in einem modernen Kraftwerk 65:540 + Sammelband VGB-Konferenz „Kraftwerk und Umwelt 1985"

Burgsmüller, P., siehe Keintzel, G.

Bursik, A.: Historischer Abriß über den Einsatz der Ionenaustauschertechnologie im Großkraftwerk Mannheim 65:426—436

Bursik, A., siehe Spindler, K.

Busse, L., Heiberger, D., und Wohlrab, R.: Wellendynamik großer Turbogruppen 65:481—487

Carpenter, E.W.: Erfahrungsbericht über CO_2-gekühlte Reaktoren 65:1082 + Sammelband VGB-Sondertagung „Kohleumwandlung und Hochtemperaturreaktor — Bausteine neuer Energiekonzepte (1985)"

Charlier, J., siehe Bald, A.

Cigna, R., Gusmano, G., Taelemans, G., und Briquet, J.: Untersuchungen über Vorsorgemaßnahmen gegen die Korrosion mit verschmutztem Brackwasser gekühlter Kondensatorrohre aus Messing 65:740—745

de Clercq, A.S., und Holtus, A.G.R.: Die 3 × 25-MW-GuD-Einheit im Kraftwerk Den Haag 65:373—376

Culph, L., Hocking, G., und Hoch, L.: Kommerzielle Nutzung des ersten 500-MW-Blockes mit Braunkohlenfeuerung im Kraftwerk Loy Yang 65:707—712

Czeratzki, A., Heiberger, D., und Hoffelner, W.: Lebensdauerbeurteilung von Gehäusen und Rohrleitungen im Turbinenbereich Sammelband VGB-Konferenz „Werkstoffe und Schweißtechnik im Kraftwerk 1985"

Czeratzki, A., Kordel, P., und Mayer, K.-H.: Vorstellung der wesentlichen Turbinenbauteile einschließlich der lebensdauerbegrenzenden Kriterien Sammelband VGB-Konferenz „Werkstoffe und Schweißtechnik im Kraftwerk 1985"

Deggim, D.: Die 10-t/h-Versuchsanlage zum VEW-Kohleumwandlungsverfahren 65:1079 + Sammelband VGB-Sondertagung „Kohleumwandlung und Hochtemperaturreaktor — Bausteine neuer Energiekonzepte (1985)"

Deimling, H.J.†, siehe Seipp, H.G.

Deriaz, J.: Verbundbetrieb von thermischen und Wasserkraftwerken in der Schweiz 65:49—54

Deroubaix, P., siehe Ratti, L.

Dibelius, G., Kail, H.J., und Ziemann, M.: Regelmöglichkeiten für Gasturbinen-Kraft-Wärmewerke zur Variation des Strom-Wärme-Verhältnisses 65:133—139

Dieckmann, A., siehe Gutberlet, H.

Dietl, R., Kleffner, W., und Beck, W.: Hinweise zur analytischen Erfassung von SO_3 und NH_3 bei der Selektiv-Katalytischen Reduktion (SCR) von Stickoxiden im Kraftwerksbereich 65:615—617

Dobias, J., Schütze, R., und Stahl, M.: Betriebswasser-Aufbereitung unter Anwendung der Umkehrosmosetechnik 65:959—964

Dobrozemsky, J.: Wirbelschichtfeuerung für minderwertige und schwefelreiche Brennstoffe 65:672—677

Doetsch, H., siehe Lemiesz, D.

Doležal, R., Hönig, O., v.d. Kammer, G., und Rettemeier, W.: Simulation des Anfahrverhaltens eines überkritischen Dampferzeugers mit doppelter Zwischenüberhitzung im Planungsstadium 65:1011—1019

Eckel, H., und Ortner, G.: Ableitung entschwefelter Rauchgase über Kühltürme 65:541 + Sammelband VGB-Konferenz „Kraftwerk und Umwelt 1985"

Ellul, W.M., Norman, J.A., und McIntosh, M.J.: Messungen in den Brennerstrahlen großer braunkohlebefeuerter Kessel 65:152—159

Elter, C.: Weiterentwicklung der Reaktorkomponenten des HTR 65:1085 + Sammelband VGB-Sondertagung „Kohleumwandlung und Hochtemperaturreaktor — Bausteine neuer Energiekonzepte (1985)"

Engelhard, J., und Herold, H.: Braunkohlenstaub-Einsatz in einem Dampferzeuger: Erfahrungen über Betrieb und Trockenentschwefelung 65:536 + Sammelband VGB-Konferenz „Kraftwerk und Umwelt 1985"

Engels, H., siehe Knoche, K.F.

Eriksen, P.F.: Die Entschwefelung von Flugasche und von Rückständen aus der Rauchgasentschwefelung unter besonderer Berücksichtigung der Folgen für die Grundwasserqualität 65:539 + Sammelband VGB-Konferenz „Kraftwerk und Umwelt 1985"

Evers, B., siehe Rieß, W.

Ewald, J., Keienburg, K.-H., und Wiemann, W.: Untersuchungen zum Festigkeits- und Zähigkeitsverhalten warmfester Wellenstähle nach langzeitiger Beanspruchung im Kriechbereich zur Lebensdauerbeurteilung Sammelband VGB-Konferenz „Werkstoffe und Schweißtechnik im Kraftwerk 1985"

Exner, R.: Hochtemperaturwärmetauscher in U-Rohr-Bauweise 65:1084/1085 + Sammelband VGB-Sondertagung „Kohleumwandlung und Hochtemperaturreaktor — Bausteine neuer Energiekonzepte (1985)"

Fabritius, H., Haarmann, K., Müsch, H., und Schneemann, K.: Anwendung des austenitischen Stahles X 3 CrNiMoN 17 13 im Kraftwerksbau 65:1167—1179 + Sammelband VGB-Konferenz „Werkstoffe und Schweißtechnik im Kraftwerk 1985"

Falgenhauer, G., und Kürten, H.: Zweckmäßigkeit von Maßnahmen zur schnellen Leistungssteigerung in Dampfkraftwerken 65:362—368

Farmayan, W.F., siehe Beér, J.M.

Felwor, P., siehe Wein, W.

Fiedler, S., siehe Hemming, H.

Filipot, H., siehe Schröfelbauer, H.

Fischer, H.: Moderne Heizwasseraufbereitung im Fernheizkraftwerk Mittelrain 65:1166/1167

Fischer, L., siehe von Beeren, E.

Flockenhaus, C., und Kainer, H.: Zum Stand der Entwicklung des DEDW-Verfahrens zur Minderung des Stickoxidgehaltes von Kraftwerksabgasen 65:537/538 + Sammelband VGB-Konferenz „Kraftwerk und Umwelt 1985"

Förderer, A.A., und Johnson, C.A.: Herstellung von deponierbaren oder verwertbaren Produkten durch Fixierung und Stabilisierung von Calciumsulfit-/Sulfat-Schlamm aus Kalkstein-Rauchgaswäschen 65:540 + Sammelband VGB-Konferenz „Kraftwerk und Umwelt 1985"

Fogelholm, C.-J.: Optimale Auslegung von Turbinenanlagen für Industriekraftwerke 65:595—599

Franke, J., siehe Lausterer, G.

Frischenschlager, F., Stroick, B., und Weber, H.: Das rechnergestützte Kommunikationssystem im Block 7 des Großkraftwerkes Mannheim AG 65:820—828

Fuchs, H.: Rauchgasreinigung — Versuch einer Zwischenbilanz 65:538/539 + Sammelband VGB-Konferenz „Kraftwerk und Umwelt 1985"

Funke, O.: Dezentrale Stromerzeugung 65:926—929

Gammon, K.M.: Die Auswirkungen der Kraftwerksentwicklung in lokaler, sozialer und wirtschaftlicher Hinsicht 65:534 + Sammelband VGB-Konferenz „Kraftwerk und Umwelt 1985"

Garczorz, R., siehe Maus, R.

Garleff, J.: Auswirkungen der Großfeuerungsanlagenverordnung auf die Kraftwerke der Hamburgischen Electricitäts-Werke 65:113—119

Geis, H., und Herrmann, W.: Betriebserfahrungen mit modernen Dampferzeugern in neuen Heizkraftwerken 65:815—820

Gelleri, E., siehe Krug, M.

Gerhard, L., Kautz, K., Pickhardt, W., Scholz, A., und Zimmermeyer, G.: Untersuchungen der Spurenelementverteilung bei der Verbrennung von Steinkohle in drei Kraftwerken 65:753—763

Gerz, H.-B.: Die Trockengasreinigung 65:1080 + Sammelband VGB-Sondertagung „Kohleumwandlung und Hochtemperaturreaktor — Bausteine neuer Energiekonzepte (1985)"

Gilg, J., siehe Böhm, A.

Glatzel, D., Michel, B., und Roller, W.: Kalkeinblasung bei Steinkohlenfeuerungen in Hamburg und Ulm 65:535/536 + Sammelband VGB-Konferenz „Kraftwerk und Umwelt 1985"

Greiner, G., siehe Bohnsack, G.

Greiner, G., siehe Nix, N.

Grimm, W., siehe Behrsing, V.

Gusmano, G., siehe Cigna, R.

Gutberlet, H., Dieckmann, A., und Neuhaus, S.: Messung einer Schwermetallabscheidung einer Rauchgasentschwefelungsanlage nach dem Kalkwaschverfahren 65:536 + Sammelband VGB-Konferenz „Kraftwerk und Umwelt 1985"

Haarmann, K., siehe Fabritius, H.

Hackstein, K.-G., und Huschka, H.: Entwicklung der Brennelemente 65:1085 + Sammelband VGB-Sondertagung „Kohleumwandlung und Hochtemperaturreaktor — Bausteine neuer Energiekonzepte (1985)"

Häusermann, A.: Nachrüstung und Modernisierung von älteren Turbogruppen 65:223—230

Hallström, B., und Schlizio, H.: Effektivitätssteigerung bei der Behandlung von Anionenaustauschern mit alkalischer Kochsalzlösung durch Nachbehandlung mit Salzsäure 65:745—748

Haneke, R., siehe Mair, R.

Hansen, J.-U.: Auslegung, Schaltung und Aufbau des Kraftwerksblockes 65:1078 + Sammelband VGB-Sondertagung „Kohleumwandlung und Hochtemperaturreaktor — Bausteine neuer Energiekonzepte (1985)"

Hebgen, H., und Hüren, H.: Errichtung eines elektrischen Reserve-Netzanschlusses für die beiden Kernkraftwerksblöcke Biblis A und B 65:413—416

Heiberger, D., siehe Busse, L.

Heiberger, D., siehe Czeratzki, A.

Heiberger, D., Röttger, G., und Tremmel, D.: Festigkeitstechnische Auslegung und Lebensdauerberechnungen der Dampfturbinenbauteile Sammelband VGB-Konferenz „Werkstoffe und Schweißtechnik im Kraftwerk 1985"

Hein, K., siehe Bertram, J.

Heitmann, H.G., Schneider, V., und Redmann, E.: Hochtemperaturfiltration von Speisewasser zur Minderung des Korrosionsprodukteintrages in Dampferzeugern 65:693—699

Hellmer, L.: Erfahrungen aus Inbetriebnahme und Versuchsbetrieb 65:1080/1081 + Sammelband VGB-Sondertagung „Kohleumwandlung und Hochtemperaturreaktor — Bausteine neuer Energiekonzepte (1985)"

Hemming, H., Fiedler, S., und Lorey, H.: Möglichkeiten zur Wiederaufheizung naßentschwefelter Rauchgase 65:541 + Sammelband VGB-Konferenz „Kraftwerk und Umwelt 1985"

Henry, G.: Carlingen 6: Ein 600-MW-Block zur Verfeuerung von Rückständen aus der Kohlenwäsche und für den Einsatz im Spitzenlastbetrieb 65:567—577

Hepp, H., und Jacobi, G.: Entsorgung von Hydrazinlösungen höherer Konzentration durch chemische Zersetzung 65:163—171

Herold, H., siehe Engelhard, J.

Herrmann, W., siehe Geis, H.

Herzog, M.: Die Novellen zu Bundes-Immissionsschutz-, Abfallbeseitigungs-, Wasserhaushalts- und Abwasserabgabengesetz 65:540 + Sammelband VGB-Konferenz „Kraftwerk und Umwelt 1985"

Hesselmann, K., siehe Knoche, K.F.

High, M.D., und Mears, D: Bewertung des HTR-Moduls aus der Sicht des Betreibers 65:1084 + Sammelband VGB-Sondertagung „Kohleumwandlung und Hochtemperaturreaktor — Bausteine neuer Energiekonzepte (1985)"

Hilgedieck, R., siehe Nieder, R.

Hinterwälder, J., siehe Bergbauer, A.K.

Hlubek, W.: Die Durchführung der Großfeuerungsanlagenverordnung in den Braunkohlekraftwerken des RWE 65:793—800

Hlubek, W.: Lebensdauerverlängerung von Kraftwerksanlagen 65:912—916

Hlubek, W., und Jäger, G.: Betriebswirtschaftliche Aspekte der Lebensdauerverfolgung 65:473—480

Hlubek, W., und Knoerzer, G.: Erfahrungen beim Bau und Betrieb des Versuchsatomkraftwerks Kahl 65:1116—1125

Hoch, L., siehe Culph, L.

Hochmüller, K., und Wandelt, E.: Konzept und Betriebsergebnisse einer Vollentsalzungsanlage zur Aufbereitung von Rheinwasser unter besonderer Berücksichtigung kesselschädlicher Organica 65:1051—1058

Hocking, G., siehe Culph, L.

Höhmann, P., siehe Breidenbach, H.

Hönig, O., siehe Doležal, R.

Hoffelner, W., siehe Czeratzki, A.

Hoffmann, K.: Sicherheitstechnische Grundsatzfragen des HTR 500 65:1082/1083 + Sammelband VGB-Sondertagung „Kohleumwandlung und Hochtemperaturreaktor — Bausteine neuer Energiekonzepte (1985)"

Hofmann, M., siehe Böhm, A.

von Holleuffer-Kypke, R., Hübschmann, W.G., und Thomas, P.: Abschlußbericht zum VGB-Forschungsprojekt Nr. 47: Langzeit-Test eines Doppler-SODAR als meteorologische Meßstation für Kernkraftwerke

Teil 1: Doppler-SODAR-R 65:657—662

Teil 2: Doppler-SODAR-R 65:1026—1030

Holtus, A.G.R., siehe de Clercq, A.S.

Honekamp, H., und Richter, A.: Gestaltung der Bypass-Bauwerke im Kühlturm eines 1300-MW-Kernkraftwerkes 65:772—780

Hoppe, W., und Krope, H.: Erweiterung von Kraftwerkseigenbedarfsanlagen durch Nachrüstung zur Rauchgasreinigung 65:406—413

Horgan, G., siehe Schlizio, H.

Hübschmann, W.G., siehe von Holleuffer-Kypke, R.

Hüren, H., siehe Hebgen, H.

Huschka, H., siehe Hackstein, K.-G.

Isken, H.: Erfahrungen beim Austausch von Dampferzeugern im Kernkraftwerk Obrigheim aus der Sicht der technischen Überwachung 65:443—449

Jacobi, G., siehe Hepp, H.

Jäger, G., siehe Hlubek, W.

Jahn, E.: 25jährige Betriebserfahrung mit ungeglühten Schweißverbindungen an Rohren begrenzter Abmessungen der CrMo-Stähle 13 CrMo 4 4 und 10 CrMo 9 10 65:524—528

Jakobeit, W., Keienburg, K.-H., und Meyer, K.-H.: Ermittlung von betriebsrelevanten Werkstoffkennwerten für Turbinenbauteile in Gemeinschaftsarbeit Sammelband VGB-Konferenz „Werkstoffe und Schweißtechnik im Kraftwerk 1985"

Jesper, H., und Kautz, H.-R.: Eigenschaften, Verarbeitung und Bewährung des Stahles X 20 CrMo(W)V 12 1 im Kraftwerk Sammelband VGB-Konferenz „Werkstoffe und Schweißtechnik im Kraftwerk 1985"

Jesper, H., Meyer, H., und Remmert, H.: Zeitstandschäden an Rohrleitungen nach langer Betriebsdauer 65:178—186

Johnson, C.A., siehe Földerer, A.A.

Junior, A.: Die Dampfstrahl-Vakuumpumpe als Wärmepumpe bei der Evakuierung eines Dampfturbinenkondensators 65:829—835

Kabelitz, P.M.: Beschichtungen von Leit- und Laufschaufeln in heutigen Gasturbinen 65:239—243

Kaes, H., siehe Arnswald, W.

Kaes, H., siehe Blind, D.

Kahlert, W.: Erfahrungen während der Bauzeit, der Inbetriebnahme und der ersten Betriebsphase 65:1078/1079 + Sammelband VGB-Sondertagung „Kohleumwandlung und Hochtemperaturreaktor — Bausteine neuer Energiekonzepte (1985)"

Kail, H.J., siehe Dibelius, G.

Kainer, H., siehe Flockenhaus, C.

Kaiser, G., siehe Allan, J.

Kalwa, G., siehe Blume, H.

Kalwa, G., siehe Brühl, F.

v.d. Kammer, G., siehe Doležal, R.

Karger, R.: Die Vorwäsche und die Eindampfungsanlage 65:1080 + Sammelband VGB-Sondertagung „Kohleumwandlung und Hochtemperaturreaktor — Bausteine neuer Energiekonzepte (1985)"

Karger, R., und Poller, J.: Anforderungen an die Gasreinigung einer Kohlevergasung in Verbindung mit dem Kraftwerk 65:1080 + Sammelband VGB-Sondertagung „Kohleumwandlung und Hochtemperaturreaktor — Bausteine neue Energiekonzepte (1985)"

Kassebohm, B., siehe Marnet, Chr.

Kasten, P.R.: Status und zukünftige Entwicklung der HTR-Forschung in den USA 65:1086/1087 + Sammelband VGB-Sondertagung „Kohleumwandlung und Hochtemperaturreaktor — Bausteine neuer Energiekonzepte (1985)"

Kaulitz, J., siehe Küster, D.

Kautz, H.-R., siehe Jesper, H.

Kautz, H.R., und Zürn, H.E.D.: Beispielhafte Schäden und Lehren aus der Kraftwerkstechnik 65:264—281

Kautz, K., siehe Gerhard, L.

Kautz, K., Oberheuser, G., Sajo, I., und Zobel, W.: Zur Bestimmung der Aktivität von Steinkohlenflugasche mit AKTIMET oder über Mörteldruckfestigkeiten 65:1044—1051

Keienburg, K.-H., siehe Ewald, J.

Keienburg, K.-H., siehe Jakobeit, W.

Keienburg, K.-H., König, H., und Schneider, K.: Experimentelle Methoden zur Bestimmung des betriebsbeanspruchten Werkstoffzustandes Sammelband VGB-Konferenz „Werkstoffe und Schweißtechnik im Kraftwerk 1985"

Keienburg, K.-H., siehe Jakobeit, W.

Keintzel, G., Panknin, W., und Burgsmüller, P.: Röhrenspaltofen und Zwischenwärmetauscher in Helix-Bauweise 65:1084 + Sammelband VGB-Sondertagung „Kohleumwandlung und Hochtemperaturreaktor — Bausteine neuer Energiekonzepte (1985)"

Kiehne, H., siehe Schmidt, H.

Kleffner, W., siehe Dietl, R.

Klofat, H.J.: Das Fernmeldetransportsystem zum Müllkraftwerk Schwandorf 65:1144—1150

Knizia, K.: Von der Mechanik zur Energietechnik: 200 Jahre Dampftechnik in Deutschland 65:1103—1110

Knizia, K.: Zur Entwicklung kombinierter Gasturbinen-Dampfturbinenprozesse für unterschiedliche Primärenergien 65:545—557

Knizia, K., und Schwarz, D.: Der HTR 500 als nächster Hochtemperaturreaktor 65:195—207

Knoche, K.F., Engels, H., und Hesselmann, K.: Wasserspaltung mit dem HTR 65:1086 + Sammelband VGB-Sondertagung „Kohleumwandlung und Hochtemperaturreaktor — Bausteine neuer Energiekonzepte (1985)"

Knoerzer, G., siehe Hlubek, W.

Knorr, R., siehe Schlizio, H.

Koch, H., siehe Marnet, Chr.

König, H., Mayer, K.-H., und Prestel, W.: Untersuchungen an hochbeanspruchten warmfesten Schrauben und zerstörungsfreie Prüfung an Turbinenbauteilen nach betrieblichem Einsatz Sammelband VGB-Konferenz „Werkstoffe und Schweißtechnik im Kraftwerk 1985"

König, H., siehe Keienburg, K.-H.

Kok, A.: Gasseitige Untersuchung der Selbsterwärmung und der Lagerungsverluste in Steinkohlenhalden 65:503—507

Kolar, J.: NO_x-Abscheidetechnologie in Japan — Auswertung von Reiseberichten 65:537 + Sammelband VGB-Konferenz „Kraftwerk und Umwelt 1985"

Kordel, P., siehe Czeratzki, A.

Krägeloh, E.: Verfestigung von Stählen bei kleinen Verformungsgraden und ihre Auswirkung auf den Festigkeitskennwert
Teil 1 65:858—868
Teil 2 65:976—983

Kraft, E., siehe Kritzler, G.

Kral, R., siehe Veiga, E.

Krieger, P.: Ersatz von drei Drehwippkranen durch eine Schiffsentladebrücke 65:35—40

Kritzler, G., und Kraft, E.: Beitrag zum Entwicklungsstand großer Regenerativ-Luftvorwärmer mit feststehender Heizfläche (Bauart Rothemühle) 65:677—683

Krolewski, H.: Maßnahmen zur Luftreinhaltung bei Kraftwerken und ihre Auswirkungen auf Wasser und Abfall 65:801—806

Krope, H., siehe Hoppe, W.

Krug, M., und Gelleri, E.: Der Turbinenleitrechner 65:733—737

Kühnen, G.: Zentrales Emissions-Überwachungs-System (ZEUS) 65:1156—1159

Kürten, H., siehe Falgenhauer, G.

Küster, D., Kaulitz, J., und Wahl, D.J.: Verbesserungen an Schmelzkammerfeuerungen 65:497—503

Kullendorf, A.: NO_x- und SO_2-Minderung durch zirkulierende Wirbelschichtfeuerung — Darstellung der Möglichkeiten und der erzielten Ergebnisse an ausgeführten Anlagen 65:537 + Sammelband VGB-Konferenz „Kraftwerk und Umwelt 1985"

Kunze, E., und Allgaier, W.: Erosionskorrosion in Naßdampf 65:64—70

Kupitz, J.: Zukunftsperspektiven für kleine Reaktoren in Ländern der Dritten Welt 65:1087 + Sammelband VGB-Sondertagung „Kohleumwandlung und Hochtemperaturreaktor — Bausteine neuer Energiekonzepte (1985)"

Kußmaul, K., und Sinz, R.: Die Eigenschaften der Wärmeeinflußzone stabilisierter austenitischer Chrom-Nickel-Stähle, ermittelt in Schweißsimulationsversuchen 65:968—976

Labat, P., Leroy, C., und Prouillac, C.: Das N4-DWR-Projekt in Chooz B1 65:557—562

Lau, A.: Brandursache, Verlauf und Bekämpfung des Trafo-Brandes im Modellkraftwerk Völklingen 65:249—252

Lauer, H.: Schlammverbrennung 65:738—740

Lausterer, G., und Franke, J.: Temperatur oder Enthalpie als Hauptregelgröße für Benson-Dampferzeuger 65:26—34

Lehmann, H., siehe Winkler, R.

Lehmkämper, O., und Busch, D.: Neue Untersuchungen in der Verankerungstechnik 65:617—623

Lehr, G.: Neuere, von der Bundesregierung geförderte Entwicklungen bei der Kraftwerks- und Feuerungstechnik 65:722—725

Lemiesz, D., Thomas, L., Doetsch, H., und Sturm, W.: NO_x-Reduktion am Molekularsieb-Katalysator 65:538 + Sammelband VGB-Konferenz „Kraftwerk und Umwelt 1985"

Leroy, C., siehe Labat, P.

Lev-Er, J., Porat, Y., und Nacht, R.: Technische und wirtschaftliche Studien der Umstellung von Öl- auf Kohlefeuerung 65:55—60

Lewandowski, R.: Der Anwendungsbereich von Steinkohleflugaschen im Betonbau 65:875—883

Lexy, H., siehe Wutte, G.

van Liere, J., und Brouwers, M.W.P.: Reparatur von erodierten Niederdrucklaufschaufeln einer 340-MW-Turbine durch Aufschweißen 65:230—233

Linzer, W., und Wiesenberger, J.: Ermittlung der Temperaturverteilung in beheizten Bauteilen mit Hilfe von Ähnlichkeitsbetrachtungen 65:584—586

Lorey, H., siehe Hemming, H.

Lüthy, R.M.: Gemeinsame Verbrennung von alternativen Brennstoffen und Hausmüll in Müllheizkraftwerken 65:956—959

Maier, H., siehe Schröfelbauer, H.

Mair, R., und Haneke, R.: Die Berechnung der Vergleichsspannung nach der Gestaltänderungsenergie-Hypothese an Standardbauteilen 65:437—441

Marnet, Chr., Kassebohm, B., Koch, H., und Sponholz, H.-J.: NO_x-Minderung im kombinierten Gas-/Dampfkraftwerk Lausward 65:109—113

Marnet, Chr., und Ziermann, E.: Erfahrungen beim Betrieb des AVR-Versuchskernkraftwerkes 65:1082 + Sammelband VGB-Sondertagung „Kohleumwandlung und Hochtemperaturreaktor — Bausteine neuer Energiekonzepte (1985)"

Martin, H., siehe Wiehn, H.

Martin, J., siehe Schetter, G.

Matthes, Th.: Die Novellierung der TA Luft — Stellungnahme zu den für Abfallverbrennungsanlagen beabsichtigten Änderungen 65:807—809

Maus, R., und Garczorz, R.: Kreiselpumpen in Rauchgasentschwefelungsanlagen 65:400—406

Mayer, K.-H., siehe Jakobeit, W.

Mayer, K.-H., siehe König, H.

McIntosh, M.J., siehe Ellul, W.M.

McRae, J.C.M., und Messerschmidt, L.J.: Das Betriebsverhalten der kohlebefeuerten Großkraftwerke von ESCOM 65:87—93

Mears, D., siehe High, M.D.

Messerschmidt, L.J., siehe McRae, J.C.M.

Meyer, E., siehe de La Riva, C.

Meyer, H., siehe Jesper, H.

Michel, B., siehe Glatzel, D.

Milonakis, A., und Vlachos, S.: Niederdruckläufer einer 300-MW-Turbine des Kraftwerkes Lavrion 65:916—922

Monroe, L.S., siehe Beér, J.M.

Moore, W., siehe Ball, M.

Mosch, H.: Entscheidungskriterien für die Auswahl eines Rauchgasreinigungssystems für Müllverbrennungsanlagen 65:1151—1155

Müller, L.: Stand des Baus laufschaufelgeregelter Axialventilatoren 65:387—399

Müller, R., siehe Seipp, H.G.

Müsch, H., siehe Fabritius, H.

Multer, I.: Verbesserung des Wärmedurchgangs an Titanberohrten Kondensatoren durch Einsatz von Granulatkugeln 65:1133—1136

Nacht, R., siehe Lev-Er, J.

Narjes, K.-H.: Europa im technologischen Aufbruch 65:1111—1115

Natusch, K.: Wärmetechnische Betriebsüberwachung moderner Kraftwerksblöcke 65:243—248

Nerz, M.: Das 3,5-MW-Gegendruckkraftwerk der Molkerei Dahlenburg 65:377—382

Neuhaus, S., siehe Gutberlet, H.

Nickel, H., und Schubert, F.: Stand der Qualifizierung von Werkstoffen für den HTR 65:1084 + Sammelband VGB-Sondertagung „Kohleumwandlung und Hochtemperaturreaktor — Bausteine neuer Energiekonzepte (1985)"

Nieder, R., Hilgedieck, R., und Vey, K.: Das Verhalten der radioaktiven Edelgase im Primärkreislauf eines Hochtemperaturreaktors 65:124—126

Nix, N., und Greiner, G.: Ausschluß der Atmosphäre bei der Speicherung von Deionat 65:523

Norman, B.: Betriebserfahrungen mit einem Kohlekessel für Fernwärmeerzeugung mit Rauchgasentschwefelung 65:713—717

Norman, J.A., siehe Ellul, W.M.

Northup, T.E.: Sicherheitstechnische Aspekte bei der Auslegung des amerikanischen HTR-Moduls 65:1083 + Sammelband VGB-Sondertagung „Kohleumwandlung und Hochtemperaturreaktor — Bausteine neuer Energiekonzepte (1985)"

Nußbaumer, H.: Kesseltragegerüste mit Spannbetonkopftragwerk 65:281—291

Oberheuser, G., siehe Kautz, K.

Olesen, C., siehe Berggren, H.

Ondratscheck, K., siehe Bobik, M.

Oppenberg, R.: Neue Wege im Öl- und Gasbrenner zur Minderung der NO_x-Entstehung 65:538 + Sammelband VGB-Konferenz „Kraftwerk und Umwelt 1985"

Ortner, G., siehe Eckel, H.

Pache, W., und Schneider, W.: Untersuchungen zum Verhalten von Hauptkühlmittelpumpen in Druckwasserreaktoren unter Störfallbedingungen (Naturumlaufbetrieb) 65:233—237

Panknin, W., siehe Keintzel, G.

Papamantellos, D.: Untersuchungen zur Mischverbrennung verschiedener Kohlearten 65:1030—1033

Philipps, W.D., siehe Schade, R.K.

Pich, R.: Der Einfluß von Heißdampftemperaturschwankungen auf die rechnerische Lebensdauererschöpfung druckführender Bauteile 65:748—753

Pickhardt, W., siehe Gerhard, L.

Pöltner, R., siehe Schlizio, H.

Poller, J., siehe Karger, R.

Poller, J., und Premel, U.: Die Gaserzeugung der Versuchsanlage 65:1079 + Sammelband VGB-Sondertagung „Kohleumwandlung und Hochtemperaturreaktor — Bausteine neuer Energiekonzepte (1985)"

Porat, Y., siehe Lev-Er, J.

Premel, U., siehe Poller, J.

Prestel, W., siehe König, H.

Preuß, W., und Reinartz, G.: Auswirkungen des Schichtbetriebes in Theorie und Praxis 65:100—104

Prinz, B.: Waldschäden in den USA und in der Bundesrepublik Deutschland — Betrachtungen und Ursachen 65:930—938

Prouillac, C., siehe Labat, P.

Pütz, M.: Durchführung der Großfeuerungsanlagenverordnung in Nordrhein-Westfalen 65:789—793

Quittek, Ch., siehe Schönbucher, B.

Ratti, L., und Deroubaix, P.: Französische DWR-Kernkraftwerke im Frequenzregelungs- und Lastfolgebetrieb 65:639—643

Rautenberg, J., siehe Bruchhaus, R.

Redmann, E., siehe Heitmann, H.G.

Reichel, H.-H., siehe Süthoff, Th.

Reidick, H.: Primärmaßnahmen zur NO_x-Minderung bei Neu- und Altanlagen als Voraussetzung für optimale Sekundärmaßnahmen 65:537 + Sammelband VGB-Konferenz „Kraftwerk und Umwelt 1985"

Reimann, D.O.: Erfassung, Transport und Behandlung von Flugstäuben — Bamberger Modell 65:683—687

Reimann, H., siehe Schmidt, H.

Reinartz, G., siehe Preuß, W.

Reinicke, W., siehe Böhm, A.

Remmert, H., siehe Jesper, H.

Resch, G.: Möglichkeiten und Grenzen der Wasseraufbereitungstechnik im Zusammenhang mit Werkstoffschäden 65:605—610

Rettemeier, W., siehe Doležal, R.

Richter, A., siehe Honekamp, H.

Richter, R., siehe Baumüller, F.

Richter, R., siehe Straßer, P.

Richter, W.: Erfahrungen im Bauteil bei der Verwirklichung des Konvoi-Konzeptes für Kernkraftwerke 65:964—968

Riedel, E., siehe Böhm, A.

Rieß, W., und Evers, B.: Die Strömung in mehrstufigen Turbinen mit langen Schaufeln bei Schwachlast- und Leerlaufbetrieb 65:1020—1026

Rieul, M., siehe Baltzinger, D.

de La Riva, C., und Meyer, E.: Auswirkungen von Emissionsspitzen auf die Immission 65:61—64

Roberts, J.A., und Steffenhagen, R.: Die Zukunft der leichten Gasturbine in kommunaler und industrieller Energieerzeugung 65:41—46

Röttger, G., siehe Heiberger, D.

Rolf, A., und Brüggemann, K.: Versuche zur Reduzierung der Schwefeldioxidemission durch Kalkeinblasen an einer Wanderrostfeuerung 65:810—815

Roller, W., siehe Glatzel, D.

Rommel, K.: Verfahren zur Leitfähigkeitsmessung hochreiner Wässer 65:417—421

Rühle, W.: Spurenerfassung von Kobalt, Nickel und Kupfer in SWR-Kreisläufen mittels voltammetrischer Methoden 65:252—259

Sajo, I., siehe Kautz, K.

Sarlos, G.: Überblick über die Arbeiten in der Schweiz 65:1087 + Sammelband VGB-Sondertagung „Kohleumwandlung und Hochtemperaturreaktor — Bausteine neuer Energiekonzepte (1985)"

Seidl, I.: Wiederholungsprüfungen von Rohrleitungsschweißnähten in Kernkraftwerken unter besonderer Berücksichtigung der Durchstrahlungstechnik 65:868—875

Seipp, H.G., Deimling, H.J., und Müller, R.: Prüfung des Korrosionsverhaltens rostbeständiger Wärmeaustauscherrohre für den Kraftwerksbau und Betriebserfahrungen 65:514—522

Sinz, R., siehe Kußmaul, K.

Spähn, H.: Werkstofftechnik in der chemischen Industrie und ihr Beitrag zur Sicherheit und Verfügbarkeit von Anlagen 65:172—178

Spindler, K., Blöchl, H., und Bursik, A.: Flockung und Entcarbonisierung von Wasser in einem Hochleistungsklärer 65:600—605

Spliethoff, H., und Abröll, G.: Das 750-MW-Steinkohlekraftwerk Bexbach 65:346—362

Sponholz, H.-J., siehe Marnet, Chr.

Srinivasachar, S., siehe Beér, J.M.

Süthoff, Th., und Reichel, H.-H.: Abschlußbericht zum VGB-Forschungsprojekt 20: Vergleichende Korrosionsversuche an Trockenkühlelementen für Trockenkühltürme 65:835—844

Swoboda, E., siehe Breucker, H.

Schade, R.K., und Philipps, W.D.: Verbesserung der Brandschutzmaßnahmen durch Einsatz einer schwerbrennbaren Flüssigkeit im Steuer- und Schmierkreislauf einer 10-MW-Gegendruckturbine 65:922—925

Schetter, G., und Martin, J.: Gemeinsame Verbrennung von Müll und Schlamm auf dem Rückschubrost 65:1038—1044

Schlegel, G., siehe Schwarz, O.

Schleßing, J., siehe Straßer, P.

Schleßing, J., und Straßer, P.: Erfahrungen bei der Inbetriebnahme und beim Betrieb des überkritischen Dampferzeugers Kessel 18 im Großkraftwerk Mannheim 65:1000—1011

Schlizio, H., siehe Hallström, B.

Schlizio, H., Birgerson, S., Horgan, G., Knorr, R., und Pöltner, R.: Wasserstoffmessung und Belagsmengenbestimmung an HD- und ZÜ-Endstufen aus Werkstoff 10 CrMo 9 10 65:687—693

Schmidt, H., Reimann, H., und Kiehne, H.: Ein neues Verfahren für die Füllstandsmessung im Reaktordruckbehälter von Druckwasserreaktoren 65:648—656

Schmitz, A.W., und Schönefeld, R.: Beispiele für den Einsatz einiger Meß- und Untersuchungsverfahren bei der Schadensanalyse an Dampfturbinen 65:587—595

Schneemann, K., siehe Fabritius, H.

Schneider, K., siehe Keienburg, K.-H.

Schneider, V., siehe Heitmann, H.G.

Schneider, W., siehe Pache, W.

Schnellenbach, G., und Wrage, S.: Qualitätssicherung bei baulichen Anlagen von Kernkraftwerken 65:455—460

Schönbucher, B., siehe Bucher, H.

Schönbucher, B., und Quittek, Ch.: Nachrüstung von DENOX-Anlagen in bestehende Kraftwerksanlagen 65:538 + Sammelband VGB-Konferenz „Kraftwerk und Umwelt 1985"

Schönefeld, R., siehe Schmitz, A.W.

Schöning, J., und Schwarz, D.: Die HTR-Baulinie und ihre Einsatzmöglichkeiten 65:11—17

Scholz, A., siehe Gerhard, L.

Schroeder, H.J.: Chemische Probleme beim Lastwechselbetrieb von Kernkraftwerken mit Druckwasserreaktoren 65:1160—1165

Schröfelbauer, H., Filipot, H., Tauschitz, J., und Maier, H.: Betriebserfahrungen mit der TAV-Rauchgasentschwefelung beim 330-MW-Block Voitsberg/Österreich und Versuchsergebnisse mit einer 15 000 m³/h Schlauchfilteranlage zur simultanen SO_2- und Staubabscheidung 65:536 + Sammelband VGB-Konferenz „Kraftwerk und Umwelt 1985"

Schub, P.: Überlegungen zur Aktivitätskonzentration im Primärkreislauf des Kernkraftwerkes Grafenrheinfeld 65:259—264

Schubert, F., siehe Nickel, H.

Schütze, R., siehe Dobias, J.

Schulenburg, M.: Die wirtschaftliche Situation der industriellen Kraftwirtschaft 65:725—732

Schulten, R.: Gelöste und noch zu lösende Probleme bei der Entwicklung von Hochtemperaturreaktoren und von Verfahren zur Nutzung der HTR-Wärme 65:1081 + Sammelband VGB-Sondertagung „Kohleumwandlung und Hochtemperaturreaktor — Bausteine neuer Energiekonzepte (1985)"

Schumacher, E.: Inbetriebnahmeerfahrungen mit leittechnischen Einrichtungen auf Basis serieller Micro-Computer-Systeme 65:667—672

Schuster, H., siehe Wiehn, H.

Schwarz, D.: Bewertung des HTR 500 aus der Sicht der Betreiber 65:1082/1083 + Sammelband VGB-Sondertagung „Kohleumwandlung und Hochtemepraturreaktor — Bausteine neuer Energiekonzepte (1985)"

Schwarz, D., siehe Knizia, K.

Schwarz, D., siehe Schöning, J.

Schwarz, O.: Kurzbericht über die Tätigkeit der VGB TECHNISCHEN VEREINIGUNG DER GROSSKRAFTWERKS-BETREIBER E.V. 1984/1985 65:887—912

Schwarz, O., und Schlegel, G.: Ausbildung von Kraftwerkspersonal für fossilbefeuerte Kraftwerke an Simulatoren 65:104—109

Stade, K.-Ch., und Zschetke, J.: Betriebserfahrungen mit alkalischer und kombinierter Fahrweise am Versuchs-Kernkraftwerk KNK 65:844—849

Stahl, M., siehe Dobias, J.

Steffenhagen, R., siehe Roberts, J.A.

Steffens, W.: Bau einer Gasturbinenanlage im Chemieunternehmen — Berücksichtigung der Umwelt 65:382—387

Stein, G.: Generator-Kappenringe aus nichtmagnetisierbaren Stählen — ihre mechanisch-technologischen Werkstoffkennwerte und ihr Widerstand gegen Korrosion 65:1069—1076

Stein, R.: Brandschutzmaßnahmen an elektrischen Betriebsmitteln mit Askarel-Isolierflüssigkeiten 65:507—513

Stöckert, H., und Trummer, K.-H.: Phosphor-32- und Schwefel-35-Radioaktivität in Leichtwasserreaktoren 65:562—566

Straßer, P., siehe Baumüller, F.

Straßer, P., Richter, R., und Schleßing, J.: Inbetriebnahme und Bewährung einer Rauchgasentschwefelungsanlage — Ammoniakverfahren — in einem neuen Kraftwerksblock 65:535 + Sammelband VGB-Konferenz „Kraftwerk und Umwelt 1985"

Straßer, P., siehe Schleßing, J.

Stroick, B., siehe Frischenschlager, F.

Stürzlmayer, H., siehe Böhm, A.

Stumpf, H.: Planung und Neubau des Müllheizkraftwerks Würzburg 65:1033—1038

Sturm, W., siehe Lemiesz, D.

Taelemans, G., siehe Cigna, R.

Täubert, U.: Wasserversorgung und Abwasserbehandlung im Kraftwerk Werne 65:540 + Sammelband „Kraftwerk und Umwelt 1985"

Tanz, H.: Die H_2-Wäsche und die Clausanlage 65:1080 + Sammelband VGB-Sondertagung „Kohleumwandlung und Hochtemperaturreaktor — Bausteine neuer Energiekonzepte (1985)"

Tauschitz, J., siehe Schröfelbauer, H.

Teare, J.D., siehe Beér, J.M.

Thelen, F., siehe Bertram, J.

Thomas, L., siehe Lemiesz, D.

Thomas, P., siehe von Holleuffer-Kypke, R.

Tiktak, A.: Zehn Jahre Betrieb des Kernkraftwerkes Borssele 65:1—6

Tremmel, D., siehe Heiberger, D.

Trummer, K.-H., siehe Stöckert, H.

Ueberhorst, D.: Stand der Generatortechnik und Möglichkeiten zur Steigerung der Verfügbarkeit 65:93—99

Unseld, H.: Leittechnik im Block 5 der Hüls AG 65:1136—1144

Veiga, E., und Kral, R.: Umstellung der Dampfkraftwerke der Fuerzas Electricas de Cataluna S.A. auf Mittellast- und Spitzenlastbetrieb 65:6—10

Vergniol, G., siehe Vidal, J.

Vey, K., siehe Nieder, R.

VGB-Arbeitsgruppe: Auswertung von Angeboten für eine DENOX-Anlage zu einem 750-MW-Kohleblock 65:539 + Sammelband VGB-Konferenz „Kraftwerk und Umwelt 1985"

VGB: Betriebserfahrungen mit Kernkraftwerken 1984 65:299—346

Vidal, J., und Vergniol, G.: Neue Entwicklungen bei kohlebefeuerten Industriekesseln 65:717—721

Vlachos, S., siehe Milonakis, A.

Wahl, D.J., siehe Küster, D.

Waltenberger, G.: Erfahrungen mit Revisionen an Industrie-Dampfturbinen 65:662—667

Wandelt, E., siehe Hochmüller, K.

Weber, H., siehe Blind, D.

Weber, H., siehe Brühl, F.

Weber, H., siehe Frischenschlager, F.

Wein, W.: Strömungstechnische Grundlagen der atmosphärischen Wirbelschichtfeuerungen und ihre Auswirkungen auf Schwefeleinbindung und Stickoxidunterdrückung 65:119—123

Wein, W., und Felwor, P.: Auslegung und Konstruktion eines heißgehenden Elektrofilters zur Entstaubung von entschwefelten Rauchgasen hinter einer Zirkulierenden Atmosphärischen Wirbelschichtfeuerung „ZAWSF" 65:536 + Sammelband VGB-Konferenz „Kraftwerk und Umwelt 1985"

Weinzierl, K.: VEW-Kohleumwandlungsverfahren als Baustein für Steinkohle-Kombi-Blöcke 65:1079 + Sammelband VGB-Sondertagung „Kohleumwandlung und Hochtemperaturreaktor — Bausteine neuer Energiekonzepte (1985)"

Weisbrodt, I.A.: Übersicht über das „Projekt Nukleare Prozeßwärme" (PNP) 65:1086 + Sammelband VGB-Sondertagung „Kohleumwandlung und Hochtemperaturreaktor — Bausteine neuer Energiekonzepte (1985)"

Westenberg, J.: Pneumatische Förderung von Flugstäuben in Müllverbrennungsanlagen 65:855—857

Wicki, A.: Eine neue Gasturbine mittlerer Leistung 65:129—132

Wiehn, H., Martin, H., und Schuster, H.: Trends und Lösungen im internationalen Dampferzeugerbau 65:1126—1132

Wiemann, W., siehe Ewald, J.

Wiesenberger, J.: Bestimmung der Winkelverhältnisse für Flossenwände mit vorgelagerten Schutzrohren 65:127—129

Wiesenberger, J., siehe Linzer, W.

Wilcox, L.: Zukunftsperspektiven der HTR-Entwicklung in den USA 65:1081 + Sammelband VGB-Sondertagung „Kohleumwandlung und Hochtemperaturreaktor — Bausteine neuer Energiekonzepte (1985)"

Willmes, O., und Winter, K.: Untersuchungen zum Deponieverhalten von Rückständen aus Verbrennung und Rauchgasentschwefelung bei rheinischer Braunkohle 65:539 + Sammelband VGB-Konferenz „Kraftwerk und Umwelt 1985"

Winkler, R., und Lehmann, H.: Zur Qualitätsbewertung oxidischer Korrosionsschutzschichten 65:421—426

Winter, J., siehe Beetz, E.

Winter, K., siehe Willmes, O.

Wittchow, E., siehe Bald, A.

Wittrowsky, G., siehe Behrsing, V.

Wohlrab, R., siehe Busse, L.

Wollny, S.: Genehmigung und Bau einer Deponie für Kraftwerksrückstände 65:539 + Sammelband VGB-Konferenz „Kraftwerk und Umwelt 1985"

Wrage, S., siehe Schnellenbach, G.

Wutte, G., und Lexy, H.: Kühlwasserkonditionierung unter besonderer Berücksichtigung der Mindestanforderungen an Abwässer aus Kühlsystemen 65:71—74

Yaldez, P., siehe Bobik, M.

Ziemann, M., siehe Dibelius, G.

Ziermann, E., siehe Marnet, Chr.

Zimmermeyer, G., siehe Gerhard, L.

Zobel, W., siehe Kautz, K.

Zschetke, J., siehe Stade, K.-Ch.

Zürn, H.E.D., siehe Kautz, H.R.

Sachverzeichnis 1985

Abgasfahnenausbreitung — Rechenmodell 65:61

Abwasser, chemische Zersetzung von Hydrazin 65:163—171

Abwasseranfall aus Rauchgasentschwefelungsanlagen 65:803

Abwassergesetzgebung
— Auswirkungen auf die Konditionierung von Kühlwasser 65:71—74
— Entstehung und Konsequenzen für den Betrieb von Kühlsystemen 65:74—78

Additiv-Energie 65:1100

Additive, trockene, zur Entschwefelung im Feuerraum 65:810

Ähnlichkeitsbetrachtungen 65:584

Aktivkohle, Einsatz innerhalb einer Vollentsalzungsanlage 65:1051—1058

Aktive Kühlgasverunreinigungen im AVR-Reaktor 65:125

Aktivität 65:1048

Aktivitätskonzentration, Zusammenhang mit der Primärkühlmittelchemie in Druckwasserreaktoren 65:259—264

Akzeptanz 65:1103 65:1111

Alkalische Fahrweise am Versuchs-Kernkraftwerk KNK 65:844—849

Altanlagenregelung 65:726

Alternative Brennstoffe in MVA 65:956

Analyse von Wasser
— Leitfähigkeitsmessung 65:417—421
— Voltammetrie 65:252—259

An- und Abfahren einer Wirbelschichtfeuerung 65:675/676

Anfahr-Diagramm der Komponenten-Testanlage für Druckwirbelschichtfeuerung 65:48

Anfahrzeit, Minimierung 65:7

Anforderungen an Emissionsminderungsanlagen 65:801

Anionenaustauscher, Desorption organischer Substanzen durch Sonderbehandlung 65:745—748

Archäologie, Unterwasserforschung im Golf von Neapel 65:529

Armgasverfeuerung in einem Kessel mit Schmelzfeuerung 65:370/371

Ascheablagerungen bei Verbrennung von Kohlenwasserschlämmen 65:949—953

Askarel-Isolierflüssigkeiten, Brandschutzmaßnahmen 65:507—513

Atomrechtliches Genehmigungsverfahren, Beschleunigung 65:450

Aufbereitungsverfahren für Kohle im Kraftwerk 65:493/494

Ausbildungssimulator, Kraftwerk Loy Yang 65:712

Ausbreitungsklassen-Bestimmung 65:657 65:1026

Austausch von Dampferzeugern 65:443

Austenitische Chrom-Nickel-Stähle, Eigenschaften der Wärmeeinflußzone 65:968—976

Austenitischer Stahl X 3 CrNiMoN 17 13, Anwendung 65:1167—1179

AVT-Kurve, warmfeste Stähle 65:859

Axialventilatoren
— Betriebserfahrungen 65:387
— Instrumentierung 65:387
— Schutz 65:387
— Stand des Baus 65:387

Bamberger Modell 64:683

Bauwesen 65:903

Behandlung des Abwassers aus Rauchgasentschwefelungsanlagen 65:805

Bekohlungsanlage, 750-MW-Block 65:350

Belagsmengenbestimmung und Wasserstoffmessungen an Überhitzer-Endstufen aus 10 CrMo 9 10 65:687—693

Berechnung
— Gestaltänderungsenergie-Hypothese 65:437—441
— Lebensdauererschöpfung 65:748—753

Beschaffenheit des Abwassers aus Rauchgasentschwefelungsanlagen 65:804

Besonderheiten des Dampferzeugeraustausches 65:446

Betonzusatzstoff 65:1044

Betriebliche Emissionsminderungsmaßnahmen 65:116

Betriebserfahrungen
— mit Axialventilatoren 65:387
— mit einem Spitzenlastblock und aschereichem Brennstoff 65:567
— VAK 65:1116

Betriebsführungssystem (PMS), Kraftwerk Loy Yang 65:710

Betriebsüberwachung, wärmetechnische, moderner Kraftwerksblöcke 65:243—248

Blockgrößenentwicklung 65:892

Brandschutz
— Abschottungsmaßnahmen im Trafobereich 65:613
— Brandursache, Verlauf und Bekämpfung des Trafo-Brandes im MKV Völklingen 65:249—252
— Elektroinstallation an Trafos 65:612/613
— Konzept 65:613/614

— Mörtelschott 65:140—144
— Ölauffanggruben 65:611/612
— Rohrschottung 65:142
— Sprühwasserlöschanlagen 65:612

Brandschutzmaßnahmen
— an Turbinen 65:922—925
— im MKV Völklingen 65:610—614

Brandschutztechnik in Decken und Wänden 65:140—144

Braunkohle, Verbrennung mit Steinkohlezumischung 65:1032/1033

Braunkohlefeuerungen 65:152—159
— für salzhaltige Braunkohle 65:487—497

Braunkohlekraftwerk, 500-MW-Block, Australien 65:707

Braunkohlevorkommen, Analysendaten salzhaltiger Braunkohlen 65:488

Brennelement des HTR 65:11 65:125

Brennelemente-Erprobung im VAK 65:1121

Brenner für Braunkohlefeuerungen 65:152—159

Brennergürtelbelastung für Braunkohlefeuerungen 65:494

Brennkammerschäden bei Schmelzkammerfeuerungen 65:501—503

Brennstoffdaten für Steinkohle 65:801

Brennstoffe 65:1096

Bunkerauslaufschwierigkeiten bei Abzug mit Schüttelrinnen 65:39

Bunkerentleerung, Verbesserung des Auslaufverhaltens durch Umbau 65:371

Carnot 65:1103

Chemie 65:901

Chemie im Primärkreis von Druckwasserreaktoren und Aktivitätskonzentration 65:259—264

Clausius 65:1108

Clausius-Gedenkmünze 65:987

Containersystem für Müll-Ferntransport 65:1144

Dampferzeuger
— Betriebserfahrungen mit Kohlekesseln für Fernwärmeerzeugung 65:713
— Betriebserfahrungen mit Rauchgasentschwefelung 65:713
— Flossenwände mit Schutzrohren 65:127—129
— für Fernwärmeerzeugung 65:815
— für neue Heizkraftwerke 65:815
— graphische Ermittlung des Winkelverhältnisses eines Flossenrohres 65:127
— Inbetriebnahme- und Betriebserfahrungen mit überkritischer Anlage 65:1000
— internationale Trends und Lösungen 65:1126
— Minderung des Korrosionsprodukteintrages durch Filtration des Speisewassers 65:693—699
— Prozeßführung am Beispiel der Feuerungsdynamik 65:581
— Prozeßführungsrechner 65:578—583
— Strukturbild eines Simulationsmodells für Prozeßführungsrechner 65:582
— weltweite Entwicklung der Kesselleistung 65:1126
— Winkelverhältnisse für Flossenwände 65:127—129

Dampferzeuger, überkritisch
— Anfahren 65:1000—1011
— Auslegungsdaten 65:1000—1011
— Betriebsverhalten 65:1000—1011
— NO_x-Emissionen 65:1000—1011
— Simulation des Anfahrverhaltens 65:1011—1019

Dampfgehalt, spezifischer, Einfluß auf die Erosionskorrosion durch Naßdampf 65:64—70

Dampfkraftwerke, schnelle Leistungssteigerung 65:362—368

Dampfmaschine 65:1103

Dampfstrahl-Vakuumpumpe 65:829—835

Dampfturbinen
— Auslegung Industriedampfkraftwerke 65:595—599
— Evakuierungseinrichtung 65:829—835
— Kondensatoren mit Ti-Rohren 65:1133—1136
— Modernisierung 65:223—230
— ND-Läuferschaden 65:916—922
— Revision 65:662—667
— Schadensanalysen 65:587—595
— Strömung in ND-Stufen 65:1020—1026
— thermische Überwachung 65:733—737
— Wellendynamik 65:481—487

Dampfturbinen-Laufschaufeln, Reparatur 65:230—233

Dampfturbosatz, Dreiwellenanordnung 65:212

DDA-Auslegungen 65:626

DDA-Mitteilungen 65:624—626

Deionat
— Leitfähigkeitsmessung 65:417—421
— Qualitätserhaltung beim Speichern durch Luftausschluß 65:523

DENOX-Demonstrationsanlage 65:615

Deponierung von Kraftwerksreststoffen 65:804

Desintegration 65:1048

Dezentrale Leittechnik 65:1136—1144

Dezentrale Stromerzeugung
— verschiedene Ansätze 65:926
— Umweltbelastung 65:926

Dichtungseinstellung, automatisch, bei Regenerativ-Luftvorwärmern 65:680/681

Doppler-SODAR 65:657 65:1026

Drehwippkrane, Ersatz durch eine Schiffsentladebrücke 65:34—40

Drucksollwertführung, automatisch 65:8

Druckwasserreaktoren
— Aktivitätskonzentration im Primärkreislauf 65:259—264
— chemische Probleme beim Lastwechselbetrieb 65:1160—1165
— Hauptkühlmittelpumpen-Versuche 65:233

Druckwirbelschichtfeuerung, Komponenten-Testanlage in Malmö 65:46—49

Dübel, dynamische Tragfähigkeit 65:617

Durchstrahlungsprüfung 65:868—875

DWSF-Anlage (Druckwirbelschichtfeuerung), Komponenten-Testanlage in Malmö 65:46—49

E-Filterstaub aus MVA 65:684

Eigenbedarf von Rost-, Staub- und Wirbelschichtfeuerungen 65:19

Eisenbahn 65:1103

Eisensulfat, Dosierung gegen Korrosion an Kondensatorrohren 65:740—745

Elektrische Betriebsmittel mit Askarel-Isolierflüssigkeiten, Brandschutzmaßnahmen 65:507—513

Elektrofilter, Störungen durch Kohlenstoffasern 65:1077

Elektrofilteraschen, Qualitätsmerkmale nach Kalkeinblasung 65:814

Eluate aus MVA-Rückständen 65:683

Emissionen 65:761 65:899

Emissionen aus MVA 65:807

Emissionen bei Verbrennung von sortierten Müll-Alternativ-Brennstoffen 65:956

Emissionsgrenzwerte 65:1099
— der Großfeuerungsanlagenverordnung (13. BImSchV) 65:113

Emissionsminderungsplan Nordrhein-Westfalen 65:790

Emissionsspitzen 65:61

Emissionsüberwachung 65:1156—1159
— Hardware 65:1156
— Software 65:1156
— Unterstationen 65:1156
— zentraler Rechner 65:1156

Energieforschung 65:987 65:1111

Energieimporte 65:1101

Energiepolitik 65:1100

Energietechnik 65:1103

Entcarbonisierung und Flockung von Wasser in einem Hochleistungsklärer 65:600—605

Entschwefelung (direkte) der Rauchgase im Kessel 65:810

Entschwefelungsgrad in der Wirbelschichtfeuerung für verschiedene Kalksteinsorten 65:673

Entsorgung 65:1098
— abgebrannter HTR-Brennelemente 65:195
— höher konzentrierter Hydrazinlösungen 65:163—171

Entstaubung, Verbesserung beim Kesselumbau 65:369

Entwicklung von Rauchgasreinigungsverfahren 65:722

Entwicklung zum Dampferzeugeraustausch 65:443

Erfahrungsrückfluß, systematisierter 65:644

Erfassung, Transport und Behandlung von Flugstäuben aus MVA 65:683

Erklärung gemäß 13. BImSchV für HEW-Kraftwerke 65:114

Erosionskorrosion in dampfberührten Anlagenteilen 65:64—70

ESCOM, 600-MW-Block 65:90

ESPRIT 65:1111

Europa 65:1111

Fahrweise, Optimierung 65:9

FECSA, Spanien, Struktur der Stromerzeugung 65:6

Fernheizwerk Mittelrain, moderne Heizwasseraufbereitung 65:1166/1167

Fernwärmeerzeugung 65:1099
— Betriebserfahrungen mit Kohlekesseln mit Rauchgasentschwefelung 65:713
— mit modernen Dampferzeugern 65:815

Feststoffpumpen 65:400

Feuerungen 65:898

Feuerungseinstellung bei Schmelzkammerfeuerungen 65:499—501

Filterstäube aus MVA 65:855

Filtration von Speisewasser bei hoher Temperatur 65:693—699

Finanzielle Aufwendungen für den Umweltschutz 65:118

Flammenstabilität bei Verbrennung von Kohlenwasserschlämmen 65:942—954

Fließkurve 65:867

Flockung als Vorreinigungsstufe vor der Vollentsalzung 65:1051—1058

Flockung und Entcarbonisierung von Wasser in einem Hochleistungsklärer 65:600—605

Flossenrohr
— Laborversuch 65:586
— Temperaturverlauf 65:586

Flossenrohrmodell, beheizt 65:586

Flossenwände, Winkelverhältnisse 65:127—129

Flugasche, siehe Steinkohlenflugasche 65:875

Flugascheaufbereitung 65:1048

Flugaschen 65:756 65:759

Flugstäube aus MVA 65:683

Formänderungsvermögen 65:862

Forschung und Entwicklung 65:1111

Fortschritt 65:1111

Frachtraten für Kohletransporte 65:150

Frankreich, 1300-MW-Druckwasserreaktoren 65:461

Füllstandsmessung
— im Reaktordruckbehälter von Druckwasserreaktoren 65:648—656
— qualitätssichernde Maßnahmen 65:653/654

Gaserzeugung mit HTR-Prozeßwärme 65:195

Gasfreisetzung aus HTR-Brennelement 65:125

Gasturbinen
— Energieerzeugung 65:41—46 65:373—376
— Kohlevergasung 65:41—46
— Konstruktion 65:129—132
— Kraft-Wärme-Kopplung 65:133—139 65:373—376
— leichte Bauweise 65:41—46
— mittlere Leistung 65:129—132 65:373—376
— Regelmöglichkeiten in Kraft-Wärmewerken 65:133—139

— Schaufelbeschichtungen 65:230—233
— Technik 65:41—46 65:129—132
— Umweltaspekte 65:382—387

Gebläse, laufschaufelgeregelt 65:387

Gegendruckkraftwerk
— Energiekostenvergleich 65:380
— Molkerei Dahlenburg 65:377—382
— Wärmebilanz 65:381

Gegendruckturbine, Brandschutzmaßnahmen 65:922—925

Genehmigungsverfahren, Gasturbinen 65:382—387

Generatoren
— Dampfturbosätze 65:93—99
— Stand der Technik 65:93—99
— verfügbarkeitssteigernde Möglichkeiten 65:93—99

Generator-Kappenringe 65:1069—1076

Gestaltänderungsenergie-Hypothese 65:437 65:866

Gewebefilter bei MVA 65:1037

Gleitringdichtungen für REA-Pumpen 65:400

Grenzdehnung 65:866

Großfeuerungsanlagenverordnung 65:61 65:113 65:788 65:793 65:987 65:1156

Großkraftwerk Mannheim
— Einsatz der Ionenaustauschertechnologie 65:426—436
— neuer überkritischer Dampferzeuger 65:1000
— Simulation des Anfahrverhaltens des neuen überkritischen Dampferzeugers 65:1011—1019

Guilleaume-Gedenkmünze 65:987

Härte an ungeglühten Rohrschweißnähten 10 CrMo 9 10 und 13 CrMo 4 4 65:526

Härtestabilisierung
— in entcarbonisiertem Nebenkühlwasser 65:159—162
— in Kühlsystemen unter Berücksichtigung der Abwassergesetzgebung 65:71—74

Hauptkühlmittelpumpen, Untersuchung zum Verhalten unter Störfallbedingungen 65:233

Hauptregelgröße, Enthalpie oder Temperatur bei Zwangdurchlaufdampferzeugern 65:26—34

Heinrich-Mandel-Preis 65:987

Heißdampftemperatur, Einfluß auf Lebensdauererschöpfung 65:748—753

Heißrißbildung 65:969

Heißzugversuch 65:969

Heizkraftwerk
— Betriebserfahrungen mit modernen Dampferzeugern 65:815
— moderne Dampferzeuger 65:815

Heizkraftwerksblock, 475 MW 65:208

Heizsysteme, verschiedene, Bewertung 65:928

Heizwasser, Aufbereitung und Konditionierung 65:1166/1167

Heizwertabnahme bei der Kohlelagerung 65:24/25

Hilfsdampferzeuger 65:357

Hochleistungsklärer zur Flockung und Entcarbonisierung von Wasser 65:600—605

Hochtemperaturkesselanlage mit austenitischem Stahl 65:1167—1179

Hochtemperaturreaktor 65:11 65:987 65:1097

HTR 500 65:11 65:195

Hydrazin
— Entsorgung höher konzentrierter Lösungen 65:163—171
— Sauerstoff und Ammoniak zur kombinierten Speisewasser-Konditionierung 65:849—855

Immissionsschutz 65:61

Inbetriebnahme Kernkraftwerk Paluel 65:461

Inbetriebnahmeerfahrungen leittechnischer Einrichtungen 65:667—672

Induktivbiegungen, Werkstoff X 3 CrNiMoN 17 13 65:1172

Industriedampfkraftwerke
— Auslegung 65:595—599
— Turbinenrevision 65:662—667

Industrielle Kraftwirtschaft
— Energieverbrauch 65:725
— Struktur 65:725
— Umweltschutz 65:725
— wirtschaftliche Situation 65:725

Industriekessel
— neue Entwicklungen bei Kohlefeuerungen 65:717—721
— Wanderrostfeuerung mit Wurfbeschickung 65:717—721

Informationssystem, Kraftwerk Loy Yang 65:711

Investitionskosten verschiedener Kraftwerkstypen 65:1126

Ionenaustausch und Umkehrosmose, Gegenüberstellung 65:959—964

Ionenaustauscher, Einsatz im Großkraftwerk Mannheim, historischer Abriß 65:426—436

Isotop Yb 169 65:870—875

Kahl, Versuchsatomkraftwerk, Erfahrungen 65:1116

Kalksteinverbrauch von Wirbelschichtfeuerungen und Kohlefeuerungen mit Rauchgasentschwefelung 65:18/19

Kaltstart von Regenerativ-Luftvorwärmern 65:678

Kernenergie 65:987 65:1096

Kernkraftwerk Borssele 65:1

Kernkraftwerk Chooz 65:557

Kernkraftwerk Grafenrheinfeld, Aktivitätskonzentration im Primärkreislauf 65:259—264

Kernkraftwerk Isar 2 65:450
— atomrechtliches Genehmigungsverfahren 65:450

Kernkraftwerk KNK, Betriebserfahrungen mit alkalischer und kombinierter Fahrweise 65:844—849

Kernkraftwerk Paluel 65:461

Kernkraftwerke
— Bautechnik beim Konvoi-Konzept 65:964
— bautechnische Abwicklung 65:964
— chemische Probleme beim Lastwechselbetrieb von Druckwasserreaktoren 65:1160—1165
— Frequenzregelungsbetrieb 65:639
— Lastfolgebetrieb 65:639
— Rückinformationssystem 65:644
— Vergleich bautechnischer Aufwendungen 65:964

Kesselgerüst
— Ausführungsplanung Betonbauweise 65:281
— Betonpylonen 65:281
— Konzeptstudien für Tragwerke 65:281
— Spannbetonkopftragwerk 65:281

Klärschlammverbrennung 65:738 65:1038

Kobalt, Spurenanalytik mit Voltammetrie 65:252—259

Kohleblock 600 MW, Betriebsverhalten 65:90

Kohleblock 750 MW, bauliche Anordnung 65:348

Kohleexporte der Lieferländer 65:146—149

Kohleförderung der wesentlichen Förderländer 65:147

Kohlehalden, gasseitige Untersuchung der Selbsterwärmung und der Lagerungsverluste 65:503—507

Kohlehandel, international 65:148

Kohlelagerung 65:150/151
— Lagerungsverluste 65:503—507
— Qualitätsveränderung von Steinkohle 65:22—26

Kohlenmischungen, Verbrennung 65:1030—1033

Kohlenstaubfeuerung
— mit Rauchgasentschwefelung, Vergleich mit Wirbelschichtfeuerungen 65:18—21
— Vergleich der Komponentengrößen mit der Druckwirbelschichtfeuerung 65:48

Kohlenstaubverteilung auf die einzelnen Brenner 65:499

Kohlenstoffasern, Störungen in MVA 65:1077

Kohlenwäsche, Verfeuerung von Rückständen 65:567

Kohlenwasserschlämme, Verhalten hinsichtlich Verbrennung, Wärmeübertragung, Schadstoffemission und Ascheablagerung 65:939—956

Kohle-Öl-Gemisch 65:56

Kohletransporte, weltweit 65:149/150

Kohleversorgung in Dänemark 65:144—151

Kohleverstromung 65:1096

Kohlevorkommen und -reserven der Welt 65:146/147

Kombi-Anlage mit Druckwirbelschichtfeuerung 65:46—49

Kombi-Block, NO_x-Minderung
— Dampfzugabe 65:109
— lastabhängiger O_2-Bezugswert 65:109
— Vormischbrennkammer 65:109

Kombinierte Konditionierung
— am Versuchskernkraftwerk KNK 65:844—849
— mit Sauerstoff, Hydrazin und Ammoniak 65:849—855

Kommunikationssystem im Block 7 des GKM 65:820—828

Komponenten des nuklearen Dampferzeugersystems 65:557

Kondensator
— Evakuierungseinrichtung 65:829—835
— Wärmedurchgangszahl bei Ti-Rohren 65:1133—1136

Kondensatorrohre, Vorsorgemaßnahmen gegen Korrosion 65:740—745

Konditionierung
— von Fernheizwasser 65:1166/1167
— von Kühlwasser unter Berücksichtigung der Abwassergesetzgebung 65:71—74
— von Nebenkühlwasser 65:159—162

Kopfbolzen, dynamische Tragfähigkeit 65:617

Konvoi-Konzept 65:450

Kontrast, Durchstrahlung 65:870

Kornzerfall in Abhängigkeit vom Wärmebehandlungszustand 65:974

Korrosion
— Abhängigkeiten bei der Erosionskorrosion durch Naßdampf 65:64—70
— metallischer Werkstoffe, Beeinflussung durch die Wasserqualität 65:605—610
— rauchgasseitig, bei Verfeuerung salzhaltiger Braunkohle 65:491/492
— Vorsorgemaßnahmen an Kondensatorrohren 65:740—745
— Werkstoffe für Trockenkühlelemente 65:835

Korrosionsbeständigkeit austenitischer Chrom-Nickel-Stähle 65:968—976

Korrosionsprodukte, Entfernung aus Speisewasser durch Hochtemperaturfiltration 65:693—699

Korrosionsschutz
— für ein Nebenkühlsystem 65:159—162
— in Kühlsystemen unter Berücksichtigung der Abwassergesetzgebung 65:71—74

Korrosionsschutzschichten, Qualitätsbewertung 65:421—426

Korrosionsverhalten rostbeständiger Wärmeaustauscherrohre, Prüfung 65:514—522

Kosten
— des HTR 500 65:195
— spezifische Gesamtkosten für Dampferzeuger mit Kohlenfeuerungen, Rauchgasentschwefelung und Wirbelschichtfeuerung 65:20

Kosten-Nutzen-Analyse der Umstellung von Öl- auf Kohlefeuerung 65:59/60

Kostenvergleich der Wärmeerzeugung, Ölkessel, verschiedene Fernwärmekonzepte 65:926

Kraft-Wärme-Kopplung 65:926
— Gasturbinen 65:133—139 65:373—376

Kraft-Verlängerungs-Kurven 65:860—864 65:977—979

Kraftwerk Aliveri der Public Power Corporation, Griechenland 65:1030—1033

Kraftwerk Eshkol der Israel Electric Corp. 65:55—57

Kraftwerk Gustav Knepper, Block C der VKR 65:497—503

Kraftwerk Kardia der Public Power Corporation, Griechenland 65:1030—1033

Kraftwerk N 230 der Bayer AG, Werk Uerdingen, Krefeld 65:368—372

Kraftwerk Ptolemais der Public Power Corporation, Griechenland 65:1030—1033

Kraftwerk Wedel der HEW, Beschreibung 65:35

Kraftwerk Westerholt der VKR 65:497—503

Kraftwerk Yallourn W der State Electricity Commission of Victoria (SECV) 65:152—159

Kraftwerksanlagen, Lebensdauerverlängerung 65:913

Kraftwerksentwicklung seit 1920 65:887

Kraftwerksforschung 65:987 65:1100

Kraftwerksjubiläum 65:887 65:987

Kraftwerksleittechnik, busorientiert 65:820—825

Kriechrißwachstum 65:1067

Kühlsysteme, Konsequenzen für den Betrieb aufgrund der Abwassergesetzgebung 65:74—78

Kühlturmableitung gereinigter Rauchgase 65:793

Kühlturm-Zusatzwasser, Konditionierung der Verwendung als Nebenkühlwasser 65:159—162

Kühlwasser
— Entcarbonisierung und Konditionierung vor Verwendung als Nebenkühlwasser 65:159—162
— Konditionierung unter Berücksichtigung der Abwassergesetzgebung 65:71—74

Kupfer, Spurenanalytik mit Voltammetrie 65:252—259

Läuferschaden, ND-Dampfturbine 65:916—922

Lagerung von Steinkohlen, Qualitätsveränderung 65:22—26

Lagerungsverluste bei der Kohlelagerung 65:503—507

Laständerungsgeschwindigkeit von Kohlemühlen 65:9

Laufschaufelverstellung, Laufschaufellagerung von Axialventilatoren 65:387

Lebensdauer, Einflüsse 65:474

Lebensdauererschöpfung 65:748—753

Lebensdauerverfolgung, betriebswirtschaftliche Aspekte 65:473

Leistungssteigerung, Dampfkraftwerke 65:362—368

Leitfähigkeit, Messung in hochreinen Wässern 65:417—421

Leitrechner, Dampfturbinen 65:733—737

Leittechnik
— Ausbildung 65:672
— Bedienungs- und Beobachtungstechnik 65:669/670
— Betriebserfahrungen 65:671/672
— Betriebssicherheit und Redundanz 65:669
— Erneuerung bei Umstellung einer Gas/Öl-Feuerung auf Steinkohle-Schmelzfeuerung 65:371/372
— Fortschritte 65:1137

Leittechnische Einrichtungen, Inbetriebnahmeerfahrungen 65:667—672

Leitwarte, Anordnung 65:821/822

Löschgarantie, Wahl in Abhängigkeit von den Frachtraten 65:40

Lochkorrosion bei rostbeständigen Wärmeaustauscherrohren 65:514—522

Logistik der Brennstoffversorgung für MVA 65:1144

Loy Yang, Organisationsstruktur 65:709

Luftvorwärmer, Regenerativ-Bauart mit feststehender Heizfläche 65:677—683

Magnetit, Qualitätsbewertung von Korrosionsschutzschichten 65:421—426

Magnetitbildung auf 10 CrMo 9 10 bei höheren Temperaturen 65:687—693

Mahlfeinheit von DGS-Mühlen 65:494

Materialverhalten bei Laständerungen von Kernkraftwerken 65:639

Mechanik 65:1103

Mechanische Eigenschaften
— warmfeste Stähle 65:858—868 65:976—983
— X 3 CrNiMoN 17 13 65:1172

Mehrstrombauart von regenerativen Luftvorwärmern, Betriebserfahrungen 65:682

Membranverfahren zur Wasseraufbereitung, Umkehrosmose 65:959—964

Mehrlagen-Druckbehälter 65:175

Meßeinrichtungen und -verfahren zur Untersuchung des Verbrennungsablaufes 65:153/154

Meteorologische Daten, SODAR-Meßverfahren 65:657 65:1026

Mikro-Computer-Systeme, serielle 65:667—672

Mikroporen 65:1062

Mikrorisse 65:1062

Minderung
— der NO_x-Emission in Hamburg 65:118
— der SO_2-Emission in Hamburg 65:118
— der Staubemission in Hamburg 65:117

Mischverbrennung verschiedener Kohlearten 65:1030—1033

Mittellastblock, 750 MW 65:354

Mittellast- und Spitzenlastbetrieb, Umstellung bei älteren Kraftwerken 65:6

Modernisierung, ältere Dampfturbogruppen 65:223—230

Mörteldruckfestigkeiten 65:1047

Müllheizkraftwerk Würzburg 65:1033

Müll- und Klärschlammverbrennung 65:1038

Müllverbrennung, alternative Brennstoffe 65:956

Müllverbrennungsanlage Bamberg 65:683

Müllverbrennungsanlage Schwandorf, Transportsystem 65:1144

MVA-Rauchgasreinigung, Entscheidungskriterien 65:1151

Nachschaltturbine, 200 MW 65:208

Nebenkühlwasser, Härtestabilisierung und Korrosionsschutz 65:159—162

Neutralisationsschlamm aus MVA-Rauchgaswäsche, chemische Analyse 65:685

NH_3, analytische Erfassung 65:615

Nichtrostende Stähle für Wärmeaustauscher, Prüfung des Korrosionsverhaltens 65:514—522

Nichtverfügbarkeit, ESCOM 65:90

Nickel, Spurenanalytik mit Voltammetrie 65:252—259

Niederflüchtige Kohle, Verfeuerung als Kohlenmischung in einer Schmelzfeuerung 65:372 65:500

NO_x-arme Steinkohle-Trockenfeuerungen 65:1130

NO_x-Emissionsbegrenzung beim Kombi-Block 65:109

NO_x-Emissionsminderung 65:791

NO_x-Emissionswerte 65:730

NO_x-Minderung
— durch Dampfzugabe (Gasturbine) 65:109
— durch Vormischbrennkammer (Gasturbine) 65:109

NO_x-Minderung bei Braunkohlekraftwerken
— Primärmaßnahmen 65:793
— Versuchsanlagen für Sekundärmaßnahmen 65:793

NO_x-Minderungskosten 65:731

N4-Druckwasserreaktor 65:557

Oberflächengefügeuntersuchung 65:181

Ölauffanggruben, Brandschutz 65:611/612

Organische Substanzen
— Desorption durch Sonderbehandlung von Anionenaustauschern 65:745—748
— Entfernung bei der Wasseraufbereitung 65:1051—1058

Osmose, umgekehrte, zur Betriebswasseraufbereitung 65:959—964

Oxidationsfähigkeit von Kohle bei der Lagerung 65:23/24

Papin 65:1103

Passivierung von Kondensatorrohren aus Messing 65:740—745

Pneumatische Staubförderung 65:855

Polarisationswiderstand
— Messung zur Korrosionsüberwachung an Kondensatorrohren 65:740—745
— Messung zur Qualitätsbewertung von Korrosionsschutzschichten 65:421—426

Primärenergien 65:1097

Primärkühlmittelchemie, Beeinflussung durch Lastwechselbetrieb von Druckwasserreaktoren 65:1160—1165

Primärkühlmittelchemie und Aktivitätskonzentration in Druckwasserreaktoren 65:259—264

Produzierte Energie und ihre Kosten 65:1

Prozeßführungsrechner für Kraftwerksdampferzeuger 65:578—583

Prozeßrechensystem PRAUT 65:823/824

Prozeßrechner 65:360

Prozeßwärme aus dem Hochtemperaturreaktor 65:195

Pumpen für Hauptkühlmittel von Druckwasserreaktoren, Untersuchung 65:233

Pumpen in REA
— Auslegung 65:400
— konstruktiver Aufbau 65:400
— Verschleißminderung 65:400
— Wellendichtungen 65:400
— Werkstoffe 65:400

Puzzolanische Reaktion 65:1045

Qualitätskontrolle von Kohlelieferungen 65:150

Rauchgasentschwefelung 65:759
— Betriebserfahrungen mit Kohlekesseln für Fernwärmeerzeugung 65:713
— Walther-Verfahren 65:213

Rauchgasentschwefelungsanlagen, Pumpen 65:400

Rauchgasreinigung bei MVA, Entscheidungskriterien 65:1151

Rauchgasrücksaugung, Einfluß auf die Feuerraumtemperatur 65:493—495

RDB-Füllstandssonde, KWU 65:648

Reaktordruckbehälter, Füllstandsmessung 65:648—656

REA-Nachrüstung bei Braunkohlekraftwerken 65:793

Rechnergestütztes Kommunikationssystem im Block 7 des GKM 65:820—828

Regelmöglichkeiten, Gasturbinen für Kraft-Wärme-Kopplung 65:133—139

Regeneration von Anionenaustauschern zur Desorption organischer Substanzen 65:745—748

Regenerativ-Luftvorwärmer mit feststehender Heizfläche, Entwicklungsstand 65:677—683

Reingas 65:756 65:759

Reingasstaub 65:756

Restlebensdauer, Ermittlung der optimalen 65:475

Restlebensdaueranpassung, dynamische 65:913

Reststoffentsorgung bei Emissionsminderung 65:791

Revision, Industrie-Dampfturbinen 65:662—667

Rheinwasser-Aufbereitung durch Vollentsalzung 65:1051—1058

Richtwerte für die Wasserreinheit, Einflußnahme auf die Korrosion metallischer Werkstoffe 65:605—610

Rißwachstumsgeschwindigkeit 65:173 65:1075

Rohrleitungen, Zeitstandschäden 65:178—186

Rostasche, Schwefeleinbindung 65:812

Rostfeuerung mit Rauchgasentschwefelung, Vergleich mit Wirbelschichtfeuerungen 65:18—21

Rückinformationssystem für Kernkraftwerke 65:644

Rückschubrost bei MVA, Versuche 65:1038

Rückstände aus der Kohlenwäsche, Verfeuerung 65:567

Rußblasen bei Regenerativ-Luftvorwärmern 65:678

Salzgehalt von Kohlen, Veränderung bei der Lagerung 65:22/23

Salzhaltige Braunkohle 65:487—497

Seilzug-Schiffsentlader 65:39

Selbsterwärmung von Steinkohle bei der Lagerung 65:23/24 65:503—507

Sekundärwasserchemie in DWR, Beeinflussung durch Lastwechselbetrieb 65:1160—1165

Sicherheitstechnische Aspekte des HTR 500 65:195

Sichtung 65:1048

Siedewasserreaktoren, Spurenerfassung von Co, Ni und Cu mit Voltammetrie 65:252—259

Simulation des Anfahrverhaltens eines überkritischen Dampferzeugers 65:1011—1019

Simulatorausbildung, KWS-Simulator für fossilbefeuerte Kraftwerke 65:100

Sortierung von Brennstoffen aus Müll 65:956

SO_2-Emissionsminderung 65:790

SO_2-Minderungskosten 65:728

SO_3, analytische Erfassung im Rauchgas 65:615

Spaltkorrosion bei rostbeständigen Wärmeaustauscherrohren 65:514—522

Spannungsrißkorrosion, Generator-Kappenringe 65:1073

Speisewasser
— Hochtemperaturfiltration 65:693—699
— kombinierte Konditionierung beim Versuchs-Kernkraftwerk KNK 65:844—849
— kombinierte Konditionierung mit Sauerstoff, Hydrazin und Ammoniak 65:849—855

Spitzenlastblock mit Verbrennung von Rückständen aus der Kohlenwäsche 65:567

Spitzenlast- und Mittellastbetrieb, Umstellung bei älteren Kraftwerken 65:6

Spurenanalyse mit Voltammetrie 65:252—259

Spurenelemente 65:755

Schadensanalysen, Dampfturbinen 65:587—595

Schäden
— aus der Kraftwerkstechnik 65:264—281
— in Schweißverbindungen, an Formstücken und Rohrbögen 65:1064

Schaufelbeschichtungen, Gasturbinen 65:230—233

Schaufelreparatur, Dampfturbinen 65:230—233

Schichtarbeit in Kernkraftwerken, Theorie und Praxis 65:100

Schiffsentladung, Ersatz von drei Drehwippkranen durch eine Schiffsladebrücke 65:35—40

Schlacken 65:756 65:758

Schlammverbrennung 65:738

Schlauchfilter bei MVA 65:1037

Schmelzkammerfeuerung
— Umbaumaßnahmen 65:370/371
— Verbesserungen 65:497—503

Schneller Brüter 65:987 65:1096

Schornsteinbauhöhe 65:61

Schornsteine
— Bauweisen und Betriebserfahrungen 65:763
— Inspektionsschema 65:763
— Schadensfälle 65:763
— Wartung und Reparatur 65:763

Schwefelbestimmung in Steinkohle und Rauchgas (Gegenüberstellung) 65:812

Schwefeldioxidemissionen, Reduzierung durch Kalkeinblasung an einer Wanderrostfeuerung 65:810—815

Schweißnähte in Kernkraftwerken, Wiederholungsprüfungen 65:868—875

Schweißverbindungen, ungeglüht, Stähle 10 CrMo 9 10 und 13 CrMo 4 4 65:524

Schwerbrennbare Flüssigkeiten im Steuer- und Schmierölkreislauf von Dampfturbinen 65:922—955

Stauberosion bei Regenerativ-Luftvorwärmern 65:679

Staubförderer in MVA 65:855

Steinkohle 65:755

Steinkohlekraftwerk, 750-MW-Klasse 65:346

Stein- und Braunkohle-Mischverbrennung 65:1032/1033

Steinkohleflugaschen 65:1044
— Anwendung als Betonzusatzstoff 65:875
— Anwendung für Außenbauteile 65:875
— Einfluß auf Betoneigenschaften 65:875
— Referenzbauwerke 65:875

Stickoxide, selektiv-katalytische Reduktion 65:615

Stillstandszeit, Dampferzeuger 65:91/92

Störfallbedingungen für Hauptkühlmittelpumpen 65:233

Störungen durch Kohlenstoffasern in MVA 65:1077

Strahlbrenner für Braunkohle 65:152—159

Strahlenschutz beim Dampferzeugeraustausch 65:445

Strahlungskessel, Entschwefelung einer Wanderrostfeuerung 65:811

Strömung in Dampfturbinen 65:1020—1026

Stromdichte-Potential-Messungen
— zur Prüfung des Korrosionsverhaltens rostbeständiger Stähle 65:514—522
— zur Qualitätsbewertung von Korrosionsschutzschichten 65:421—426

Stromerzeugung, dezentrale 65:926

Stromgestehungskosten beim HTR 500 65:195

Stützziffer 65:866

TA Luft (1983) 65:729 65:807

Technische Erfahrungen 65:2

Technologie-Entwicklung 65:1111

Thermodynamik 65:1103

THTR 300 65:11

Trafo-Brand im Modellkraftwerk Völklingen 65:249—252

Transportsystem für Müll 65:1144

TRD, Änderungen und Ergänzungen 65:624—626

Trockenadditivverfahren bei MVA 65:1037

Trockene Rauchgasreinigung bei MVA 65:1037

Trockenkühlelemente
— Korrosionsversuche 65:835
— Leistung nach Korrosionsbeanspruchung 65:835

Turbinen-Abnahmesystem 65:245/246

Turbinenleitrechner 65:733—737

Turbinenstillstand, ESCOM 65:91

Turbogruppen, Modernisierung 65:223—230

Überhitzer-Endstufen aus 10 CrMo 9 10, Wasserstoffmessung und Belagsmengenbestimmung 65:687—693

Überhitzer-Werkstoffe bei Verfeuerung salzhaltiger Braunkohle 65:492—494

Umkehrosmose, Anwendung zur Betriebswasser-Aufbereitung 65:959—964

Umkehrosmose und Ionenaustausch, Gegenüberstellung 65:959—964

Umlaufkühlung
— Konsequenzen für den Betrieb aufgrund der Abwassergesetzgebung 65:74—78
— Kühlwasserbehandlung unter Berücksichtigung der Abwassergesetzgebung 65:71—74

Umstellung eines gas-/ölbefeuerten Benson-Kessels auf Steinkohle-Schmelzfeuerung 65:368—372

Umstellung von Öl- auf Kohlefeuerung, technische und wirtschaftliche Studien 65:55—60

Umweltauswirkung verschiedener Heizsysteme 65:928

Umweltbelastung durch dezentrale Stromerzeugung 65:927

Umweltpolitik 65:987

Umweltschutz 65:722
— Entstickungsverfahren 65:1129—1131
— Verfahren zur Abgasentschwefelung 65:1129—1131

Umweltschutzkosten bei Braunkohlekraftwerken 65:793

Umweltschutztechniken 65:987 65:1096

VAK-Bestrahlungsprogramm für Werkstoffe 65:1121

Vakuumpumpe, Dampfturbinenkondensator 65:829—835

Ventilatoren, laufschaufelgeregelt 65:387

Verankerung
— Dübeltragfähigkeit 65:617
— dynamische Tragfähigkeit 65:617
— Kopfbolzenplatten 65:617

Verbrennung von Alternativ-Brennstoffen 65:956

Verbrennungsablauf in Braunkohlefeuerungen 65:152—159

Verbrennungsverhalten von Kohlenwasserschlämmen 65:939—949

Verbrennungsversuche Müll/Klärschlamm 65:1038

Verdampferrohrleckagen, Ursachen 65:91

Verdichtung von Kohle bei der Lagerung 65:24

Verfahren der Rauchgasentschwefelung 65:802

Verfestigungsbeiwerte C, warmfeste Stähle 65:859 65:982

Verfügbarkeit, chemische Industrie 65:172—178

Verfügbarkeitserhöhung, Maßnahmen 65:92

Vergleichsspannung 65:437—441

Verschlackung bei der Verfeuerung salzhaltiger Braunkohle 65:489—491

Verschleißminderung an REA-Pumpen 65:400

Versuchsatomkraftwerk Kahl, Erfahrungen 65:1116

Verwertung von Gips aus Rauchgasentschwefelungsanlagen 65:803

VGB-Auszeichnungen seit 1950 65:896

VGB-FORSCHUNGSSTIFTUNG 65:906

VGB-Institute 65:904

VGB-Vorsitzende seit 1920 65:894

VGB-Zeittafel seit 1920 65:895

Vollentsalztes Wasser, Qualitätserhaltung beim Speichern 65:523

Vollentsalzung unter besonderer Berücksichtigung kesselschädlicher Organica 65:1051—1058

Voltammetrie zur Spurenerfassung von Co, Ni und Cu 65:252—259

Vorschaltturbine, 200 MW 65:208

Wärmeaustauscherrohre, Prüfung des Korrosionsverhaltens 65:514—522

Wärmebehandlung, 10 CrMo 9 10 und 13 CrMo 4 4 65:524—528

Wärmedurchgangszahl, Ti-berohrte Kondensatoren 65:1133—1136

Wärmeeinflußzone stabilisierter austenitischer Chrom-Nickel-Stähle 65:968—976

Wärmeerzeugungskosten, vergleichende Bewertung für verschiedene Heizsysteme 65:928

Wärmekraftkapazitäten 65:895

Wärmekraftwerke 65:896

Wärmetechnische Messung an Dampfturbinen 65:246—248

Waldschäden, neuartige 65:930—938
— Phänomenologie 65:930—937
— Ursachen 65:933—937
— Waldschadenserhebung (1983 und 1984) 65:933/934

Waldschädenforschung 65:987

Wanderrost, Wurffeuerung 65:717

Wanderrostfeuerung, Entschwefelung durch Kalkeinblasung 65:810—815

Warteninstrumentierung 65:822/823

Wasseranalyse, Leitfähigkeitsmessung 65:417—421

Wasseraufbereitung
— Desorption organischer Substanzen von Anionenaustauschern durch Sonderbehandlung 65:745—748

— Flockung und Entcarbonisierung in einem Hochleistungsklärer 65:600—605
— Qualitätserhaltung von Deionat bei der Speicherung 65:523

Wasseraufbereitung mit Ionenaustauschern im Großkraftwerk Mannheim, historischer Abriß 65:426—436

Wasseraufbereitung unter Anwendung der Umkehrosmose 65:959—964

Wasseraufbereitung unter besonderer Berücksichtigung kesselschädlicher Organica 65:1051—1058

Wasseraufbereitung und -konditionierung, Einflußnahme auf Werkstoffschäden 65:605—610

Wasseraufbereitung und -konditionierung für Fernwärmesysteme 65:1166/1167

Wasser-Dampfkreislauf
— Erosionskorrosion in dampfberührten Anlagenteilen 65:64—70
— kombinierte Konditionierung am Versuchs-Kernkraftwerk KNK 65:844—849
— kombinierte Konditionierung mit Sauerstoff, Hydrazin und Ammoniak 65:849—855
— Korrosionsverhalten von Überhitzer-Endstufen aus 10 CrMo 9 10 65:687—693
— Qualitätsbewertung von Korrosionsschutzschichten 65:421—426

Wasser-Dampfkreislauf in Druckwassereaktoren, Beeinflussung durch Lastwechselbetrieb 65:1160—1165

Wasserhaushaltsgesetz, Konsequenzen aus der Abwassergesetzgebung für den Betrieb von Kühlsystemen 65:74—78

Wasserspaltung mit HTR-Prozeßwärme 65:195

Wasserstoffmessung und Belagsmengenbestimmung an Überhitzer-Endstufen aus 10 CrMo 9 10 65:687—693

Wasserstoffrißbildung 65:173

Wellendynamik, Dampfturbinen 65:481—487

Werkstoff
— Aluminium, Eignung für Trockenkühlelemente 65:835
— nichtrostender Stahl, Eignung für Trockenkühlelemente 65:835
— verzinkter Stahl, Eignung für Trockenkühlelemente 65:835
— X 3 CrNiMoN 17 13 65:1167—1179

Werkstoff-Bestrahlungsprogramm im VAK 65:1121

Werkstoffe und Beanspruchungen 65:902

Werkstoffe
— für Generator-Kappenringe 65:1069—1076
— für REA-Pumpen 65:400
— Schäden 65:264—282
— warmfeste Stähle 65:858—868 65:976—983
— 10 CrMo 9 10 und 13 CrMo 4 4 65:524

Werkstoffkennwerte
— Kappenringwerkstoffe 65:1071
— warmfeste Stähle 65:859 65:980

Werkstoffqualität und Anfälligkeit gegen Erosionskorrosion durch Naßdampf 65:64—70

Werkstoffschäden, Zusammenhänge mit der Wasserqualität 65:605—610

Werkstofftechnik, chemische Industrie 65:172—178

WIG-Impuls-Orbitalschweißen 65:448

Winkelverhältnisse für Flossenwände mit vorgelagerten Schutzrohren 65:127—129

Wirbelschichtfeuerungen 65:987 65:1130—1132
— Druckwirbelschichtfeuerung 65:46—49
— für minderwertige und schwefelreiche Brennstoffe 65:672—677
— Vergleich mit Kohlefeuerungen mit Rauchgasentschwefelungsanlage 65:18—21

Wirkungsgrade verschiedener Kraftwerkstypen 65:1126

Wirtschaftliche Studien zur Umstellung von Öl- auf Kohlefeuerung 65:55—60

Wirtschaftlichkeit des HTR 65:11

Wirtschaftlichkeitsbetrachtungen zur Optimierung der Restlebensdauer 65:477

Wurffeuerung in Verbindung mit Wanderrost 65:717

Zeitstandbeanspruchung, Bruchverhalten von Bauteilen 65:1059—1068

Zeitstandfestigkeit
— X 3 CrNiMoN 17 13 65:1169
— 10 CrMo 9 10 und 13 CrMo 4 4, ungeglühte Schweißverbindungen 65:525

Zeitstandproben von warmfesten Stählen 65:1059

Zeitstandschäden
— an Rohrleitungen 65:178—186
— an warmfesten Stählen 65:1060

Zentrales Emissions-Überwachungs-System (ZEUS) 65:1156—1159

Zerstäubung von Kohlenwasserschlämmen 65:943/944

Zündung und Flammenstabilität bei der Verbrennung von Kohlenwasserschlämmen 65:942—954

Zuverlässigkeit, automatische Steuer- und Regelsysteme 65:92

Zwangdurchlaufdampferzeuger
— Anordnung der Enthalpiemeßstelle 65:32
— Dynamik der Enthalpiemessung 65:27
— Enthalpiedynamik bei einer Beheizungsstörung 65:31
— Temperatur oder Enthalpie als Hauptregelgröße 65:26—34

Zwischenüberhitzung, zweifache 65:208 65:211

Zusatzimmission 65:61

Persönliches

Abel, Gerhart, im Ruhestand 65:1080
Adrian, Fritz, Nachfolger von Reinhold Mutke im FDBR-Vorstand 65:782
Arndt, Heinrich, gestorben 65:193
Barthelt, Klaus, Präsident des DNK 65:782
Bauer, Hans, Verdienstorden der Bundesrepublik Deutschland 65:82
Baumann, Helmut, 60 Jahre 65:884
von Bennigsen-Foerder, Rudolf, Vorsitzender im BEWAG-Aufsichtsrat 65:82
Bieber, Karl-Heinz, 25 Jahre beim Bayernwerk 65:884
Biehl, Hans-Reiner, Mitglied des Saarberg-Vorstandes 65:700
Boeck, Hartmut, 60 Jahre 65:985
Breuer, Matthias, 65 Jahre 65:81
Budde, Hans-Jürgen, 50 Jahre 65:700
Bundschuh, Erwin, 60 Jahre 65:543
Class, Immanuell, 85 Jahre 65:441
Cramer, Heinz, in den VGB-Vorstand gewählt 65:1089
Dalebout, M.D., aus dem Vorstand der PZEM ausgeschieden 65:82
Dengler, Norbert, 60 Jahre 65:193
Deuster, Gerhard, UNICHAL-Präsidenten 65:700
Ebeling, Hans-Jürgen, Vorstandsmitglied der Stadtwerke Hannover AG 65:543
Ehret, Adolf, 60 Jahre 65:884
Eilers, Fritz, gestorben 65:782
Endhoven, Dirk, 60 Jahre 65:884
Erythropel, Hermann, 75 Jahre 65:543
Eydam, Hans, in den VGB-Vorstand gewählt 65:1089
Flurschütz, Erwin, 65 Jahre 65:1089
Frank, Gernot, 25 Jahre bei SAMSON 65:293
von Gersdorff, Bernhardt, aus dem VGB-Vorstand ausgeschieden 65:1089
Gräfen, Hubert, Karl-Wellinger-Ehrenmedaille 65:82
Gramatke, Hans-Joachim, 65 Jahre 65:441
Grohe, Rainer, im BBC-Vorstand 65:543
Guck, Rudolf W., UNIPEDE-Präsident 65:782
Guck, Rudolf, weiterhin DAtF-Präsident 65:1080
Hartmann, Georg, 70 Jahre 65:627
Heitzer, Hans, 60 Jahre 65:81
Heitzer, Hans, Bundesverdienstkreuz 65:543
Henze, Eduard, 60 Jahre 65:293
Hiller, Heinz, Doktoringenieur Ehren halber 65:543
Hirschfelder, Günter, Nachfolger von Hans Koch im VKR-Vorstand 65:627
Hirschfelder, Günter, in den KWS-Vorstand gewählt 65:1089
Hirschfelder, Günter, in den VGB-Vorstand gewählt 65:1089
Hirschfelder, Walter, GRS-Geschäftsführer 65:985
Huppmann, Heinz, 50 Jahre 65:441
Ide, Günter, 50 Jahre 65:82
Ipfelkofer, Josef, gestorben 65:81
Jentzsch, Wolfgang, gestorben 65:700
Junkers, Gerd, 60 Jahre 65:1089
Just, Karlheinz, gestorben 65:781
Kallenbach, Reinhard, Verdienstkreuz 1. Klasse 65:782
Kannekens, A.M., im Vorstand der PZEM 65:82
Kautz, Karl, 50 Jahre 65:1089
Kersting, Wilhelm, 70 Jahre 65:884
Knoerzer, Gerhard, Bundesverdienstkreuz 65:293
Koch, Hans, Ehrendoktorwürde 65:293
Koch, Hans, im Ruhestand 65:627
Koch, Hans, aus dem KWS-Vorstand ausgeschieden 65:1089
Koch, Hans, aus dem VGB-Vorstand ausgeschieden 65:1089
Koch, Reinhard, 65 Jahre 65:700
Komo, Gottlieb, 65 Jahre 65:441
Komo, Gottlieb, im Ruhestand 65:1080
Krämer, Hermann, 50 Jahre 65:193
Krämer, Hermann, aus dem KWS-Vorstand ausgeschieden 65:1089
Kurtze, Günter, in den VGB-Vorstand gewählt 65:1089
Laborenz, Karl, 70 Jahre 65:543
Ledinegg, Maximilian, gestorben 65:293
Lehmann, Heinz, 65 Jahre 65:81
Leibfried, Werner, in den VGB-Vorstand gewählt 65:1089
Lenhartz, Rudolf, 60 Jahre 65:193
Löhle, H., Guilleaume-Gedenkmünze 65:1095
Loew, Heinz, Honorarprofessor 65:194
Lühr, Wilhelm, gestorben 65:1088
Mäule, Reinhold, Nachfolger von Herbert Löhle im Vorstand der Neckarwerke 65:543
Marnet, Chrysanth, VDE-Vorsitzender 65:82
Mayer, Gerhard, 25 Jahre bei EVS 65:1089
Mayr, Fritz, in der Geschäftsführung des TÜV Bayern 65:193
Menger, Reinhard, Großes Bundesverdienstkreuz 65:627
Middelschulte, Achim, Mitglied des Vorstandes der Ruhrgas 65:700
Möller, Hans-Günter, gestorben 65:781
Müller, Leonhard, in den VGB-Vorstand gewählt 65:1089
Mutke, Reinhold, aus dem FDBR-Vorstand ausgeschieden 65:782
Novak, Heinrich, 65 Jahre 65:543
Novak, Heinrich, aus dem VGB-Vorstand ausgeschieden 65:1089
Oetjen, Georg-Wilhelm, 65 Jahre 65:1089
Paul, Herbert, gestorben 65:1088
Petersen, Carl Heinrich, 65 Jahre 65:81
Pörner, Friedrich, gestorben 65:1088
Rieber, Heinz, im Aufsichtsrat der Keramchemie GmbH 65:194
Riedel, Hanns-Joachim, 75 Jahre 65:441
Riedel, Hanns-Joachim, gestorben 65:782
Rinke, Werner, 60 Jahre 65:293
von Salmuth, Hans-Lothar, im Ruhestand 65:700
Sattelmacher, Georg, gestorben 65:293
Sisouw de Ziva, L.G., im Vorstand der PZEM 65:82
Sixtus, Ernst-Hermann, 25 Jahre bei HEW 65:700
Spiegelberg, Friedrich, gestorben 65:700
Suchanek, Walter, 65 Jahre 65:193
Suchanek, Walter, aus dem VGB-Vorstand ausgeschieden 65:1089
Schad, Albert, gestorben 65:543
Schäff, Karl, gestorben 65:81
Schlizio, Herbert, 50 Jahre 65:627

Schmiedeknecht, Hajo, aus dem Aufsichtsrat der Keramchemie ausgeschieden 65:194
Schmitt, Otto, 60 Jahre 65:627
Schneider, August, 65 Jahre 65:441
Schoch, Wilhelm, 65 Jahre 65:193
Schoch, Wilhelm, Professor und Ehrensenator 65:1080
Schoch, Wilhelm, aus dem VGB-Vorstand ausgeschieden 65:1089
Scholz, Hans, Verdienstkreuz am Bande 65:1089
Schoop, Kurt, Großes Bundesverdienstkreuz mit Stern 65:627
Schröder, K., Verleihung der Clausius-Gedenkmünze 65:1094
Schüler, Hans, 65 Jahre 65:193
Schulz, W., Heinrich-Mandel-Preis 1985 65:998
Schumacher, Adolf, 50 Jahre 65:1089
Schuster, Manfred, Geschäftsführer bei Tandberg 65:82
Schwaigerer, Siegfried, gestorben 65:543
Schwarz, Ottmar, weiterhin Vorsitzender der VDI-Kommission „Reinhaltung der Luft" 65:194
Stäbler, Karl, in den KWS-Vorstand gewählt 65:1089
Tiktak, A., Vorsitzender des PZEM-Vorstandes 65:82
Trassl, Werner, 60 Jahre 65:81
Wachter, Jacob, 65 Jahre 65:81
Weber, Ekkehard, 60 Jahre 65:543
von Weihe, Alfred, 80 Jahre 65:985
Welten, Gerhard, 50 Jahre 65:193
Werner, Erich, gestorben 65:81
Westphal, Wilhelm, gestorben 65:781
Wetjen, Karl-August, 60 Jahre 65:81
Wetjen, Karl-August, Verdienstkreuz 1. Klasse 65:700
Wissel, Rudolf, gestorben 65:781
Witte, J.H.E., im Vorstand der PZEM 65:82
Zeschky, Emil, 80 Jahre 65:441

Buchbesprechungen

Abfall und Energie 65:703
AD-Merkblätter, Taschenbuchausgabe 1983 65:297
Auswertung von Betriebserfahrungen in Kernkraftwerken 65:785
Betriebstaschenbuch Wärme 65:785
Blitzschutzanlagen, Erläuterungen zu DIN 57 185/VDE 0185 65:86
Brandschutz in Arbeitsstätten und am Arbeitsplatz 65:704
Brennschneiden 65:704
Chemische Technologie, Band 3: Anorganische Technologie II 65:704
Dampfkesselbestimmungen, 16. — 19. Ergänzungslieferung 65:784
Das Bergbau-Handbuch 65:297
Das Recht der öffentlichen Energieversorgung 65:784
Die Bundesrepublik Deutschland, Staatshandbuch, Landesausgabe Land Nordrhein-Westfalen, Ausgabe 1983 65:635
Die Praxis der Brandlastermittlung in Industriegebäuden 65:297
Druckbehälter-Verordnung, Band II — Technische Regeln Druckbehälter (TRB) 65:886
DVS-Bericht, Band 83, Schweißen und Schneiden '83/Welding and Cutting '83 65:703
Einführung in DIN 57 100/VDE 0100, Errichtung von Starkstromanlagen bis 1000 V 65:634
Energie und Stadtplanung 65:85
English Translation of German Standards 1983 65:86
Gewölbte Böden mit Stutzen im Krempenbereich (VdTÜV-Forschungsbericht) 65:703
Grundlagen der Gastechnik, Gasbeschaffung, Gasverteilung, Gasverwendung 65:86
Grundlagen der Gestaltung geschweißter Stahlkonstruktionen 65:704
Handbuch Atemschutz 65:86
Handbuch der Dämmtechnik, Teil 3 „Arbeitssicherheit, Abwicklungen" 65:86
Handbuch des Umweltschutzes 65:785
Heat Transfer in Energy Problems 65:633—644
Industriefeuerungen 1983 65:633
Jahrbuch für Bergbau, Energie und Chemie 1984/85 65:885
Jugend und Technik 65:704
Kernenergie — Grundlagen, Technologie, Risiken 65:86
Lehrbuch der Reaktortechnik, Band 1: Reaktortheorie 65:634
Meßtechnik — Regelungstechnik — Automatik 65:86
Numerical Properties and Methodologies in Heat Transfer 65:785
Ölbuch, Teil 2: Isolierflüssigkeiten 65:886
Prozeßnahes Messen 65:635
Quantities and Units of Measurement 65:704
Risikoanalyse und politische Entscheidungsprozesse — Standortbestimmungen von Flüssiggasanlagen in vier Ländern 65:634
Ruhrkohlen-Handbuch 65:885
Saure Niederschläge — Ursachen und Wirkungen 65:634/635
Sicherheitstechnik 65:85
Solartechnik, Grenzen und Möglichkeiten 65:297
Schweißen und Prüfen im Anlagenbau 65:297
Statistisches Jahrbuch für die Bundesrepublik Deutschland 65:297
Strahlenschutz geht alle an 65:297
Studies in Environmental 21 „Air Pollution by Nitrogen Oxides" 65:85
Taschenbuch Dampferzeugertechnik 65:703
VDI 3784 1 (Entwurf), Ausbreitung von Emissionen aus Naturzug-Naßkühltürmen, Beurteilung von Kühlturmauswirkungen 65:634
Werkstoffkunde für Ingenieure 65:635
Wörterbuch der Dampferzeugungstechnik unter besonderer Berücksichtigung der Kernenergie 65:85

VGB KRAFTWERKSTECHNIK

MITTEILUNGEN DER VGB TECHNISCHEN VEREINIGUNG DER GROSSKRAFTWERKSBETREIBER

66. JAHRGANG (1986) • HEFTE 1—12

INTERNATIONALE FACHZEITSCHRIFT FÜR TECHNIK IN WÄRMEKRAFTWERKEN

Herausgeber

VGB TECHNISCHE VEREINIGUNG DER GROSSKRAFTWERKSBETREIBER E.V.

Vorsitzender: Direktor Dipl.-Ing. Dr.-Ing. E.h. F.J. Spalthoff, Essen;
Geschäftsführer: Direktor Dr.-Ing. O. Schwarz, Essen.

Anschrift

VGB TECHNISCHE VEREINIGUNG DER GROSSKRAFTWERKSBETREIBER E.V.
Klinkestraße 27—31, Postfach 10 39 32, D-4300 Essen,
Fernruf (02 01) 48 62-6 86/6 87, Fernschreiber 857 507 vgb d.

Chefredakteur

Oberingenieur Dipl.-Ing. H. Bleßmann, Essen.

Redaktion

Oberingenieur Dr. rer. nat. B. Forck, Essen;
Oberingenieur Dr.-Ing. J. Jacobs, Essen;
Abteilungsdirektor Dipl.-Ing. H. Kaes, Essen;
Oberingenieur Dipl.-Ing. A. Kantner, Essen;
Oberingenieur Dr. rer. nat. H. Kittel, Essen;
Abteilungsdirektor Dipl.-Ing. K. Plate, Essen;
Abteilungsdirektor Dr.-Ing. G. Schlegel, Essen;
Oberingenieur Dipl.-Ing. G. Welten, Essen.

Wissenschaftlicher Redaktionsbeirat

Professor Dr. J. Beér, Cambridge/Massachusetts;
Professor Dr.-Ing. F. Brandt, Darmstadt;
Professor Dr. techn. D. Johnson, Trondheim;
Professor Ir. J.J.C. van Lier, Delft;
Professor Dipl.-Ing. Dr. techn. W. Linzer, Wien;
Professor Dr. techn. O.I. Martynova, Moskau;
Professor (em.) Dr.-Ing. P. Profos, Zürich;
Professor (em.) Dr.-Ing. R. Quack, Stuttgart;
Professor (em.) Dr. phil. H. Rögener, Hannover;
Professor Dr. rer. nat. R. Schulten, Aachen;
Professor Dipl.-Ing. I.D. Stancescu, München.

Technischer Redaktionsbeirat

Direktor H. Berggren, Malmö;
Direktor Professor Dr.-Ing. H. Brüderlin, Stuttgart;
Direktor Dr.-Ing. H. Krolewski, Dortmund;
Direktor Dr.-Ing. G. Noetzlin, Marl;
Direktor Dr.-Ing. H. Novak, Nürnberg;
Dipl.-Ing. J. Pettersen, Lyngby;
Direktor F. Scheurer, Paris;
Direktor Dr.-Ing. E.h. Dipl.-Ing. W. Schoch, Mannheim.

Vertrieb und Anzeigenverwaltung

VGB-KRAFTWERKSTECHNIK GMBH, Klinkestraße 27—31, Postfach 10 39 32,
D-4300 Essen, Fernruf (02 01) 48 62-6 80/6 81/6 83, Fernschreiber 857 507 vgb d.
Verantwortlich für Vertrieb und Anzeigenteil: R. Rätz.

Erscheinungsweise

monatlich, außerdem erscheint zeitlich verschoben
eine englische Fassung dieses Heftes

Inhaltsverzeichnis 1986

DIE FOTOS DER VERFASSER FINDEN SIE AUF DEN SEITEN II BIS XV

Verfasserverzeichnis 1986

Akasoy, S.: Betriebsverhalten von Rohrhalterungen und die Auswirkungen auf Komponentenanschlüsse 66:503 + Sammelband VGB-Konferenz „Kraftwerkskomponenten 1986"

Alt, W.: Auslegung und Betrieb von Hybridkühltürmen 66:502 und 67 (1987)

Andres, O., und Hampel, G.: Anlagentechnische Lösungen zur Einleitung entschwefelter Rauchgase in Naturzug-Naßkühltürme von Braunkohlekraftwerksblöcken 66:922—928

Angleys, M., und Schroth, G.: Entwicklung auf dem Gebiet der Rostfeuerungen 66:728—732

Asmuth, P.: Einfluß unterschiedlicher NO_x-Minderungsmaßnahmen auf den Verbrennungsablauf und die Rauchgasatmosphäre einer Zyklonfeuerung 66:637—645

Assmann, H.G., siehe Stalder, P.G.

Bacher, P., und Falgarone, F.: Künftige Entwicklungen des Kraftwerksbauprogramms der Electricité de France 66:204—208

Bals, M., siehe Hein, K.R.G.

Baruch, S.B., siehe Dooley, B.

Baumberger, H., und Küffer, K.: Perspektiven des weiteren Ausbaus der Stromversorgung in der Schweiz 66:1104—1107

Beisswenger, H., siehe Plass, L.

Bendick, W., und Weber, H.: Beurteilung von Bauteilen nach langer Zeitstandbeanspruchung — Teil 1 66:63—72

Bendick, W., und Weber, H.: Beurteilung von Bauteilen nach langer Zeitstandbeanspruchung — Teil 2 66:170—177

Bennert, J., Ceelen, D., und Schemenau, W.: Umrüstung öl- und erdgasbefeuerter Kombi-Kraftwerke auf Kohlebrennstoff 66:620—625

Berge, Ph., und Fiquet, J.M.: Erfahrungen mit der Sekundärwasserchemie in Druckwasserreaktor-Kernkraftwerken der EdF 66:1072—1076

Berndt, G., siehe Doležal, R.

Bertholdt, H.O., siehe Morell, W.

Bertram, J.: Übersicht über Erfahrungen und Stand feuerungstechnischer NO_x-Minderungsmaßnahmen bei Steinkohlenstaubfeuerungen mit flüssigem Ascheabzug 66:1150—1159

Berwein, H.-J.: Niedertemperaturschwelung: Betriebserfahrungen mit der Demonstrationsanlage Goldshöfe/Aalen 66:472—476

Beyer, W., Stellwag, B., und Wieling, N.: Einfluß der Speisewasserkonditionierung auf das Korrosionsverhalten von Dampferzeuger-Rohrwerkstoffen in Druckwasserreaktoren 66:977—982

Bieber, K.-H.: Vergleich zweier Steinkohlen-Schmelzfeuerungen im Hinblick auf die NO_x-Bildung 66:743—749

Bieber, K.-H.: Erfolgreiche Primärmaßnahmen zur NO_x-Reduzierung an einer Steinkohlen-Schmelzfeuerung 66:835—843

Biesta, D.J.G.: Die Neubewertung der Komponenten beim Umbau von zwei 540-MW-Einheiten im Kraftwerk Maasvlakte von Öl/Gas auf Kohle 66:529—534

Birgerson, St., siehe Kurt, W.

Blanck, D.: Erfahrungen beim Winterbetrieb von Naßkühltürmen bei unterschiedlicher Konzeption des Hauptkühlsystems 66:130—132

Blaser, B.W., Müller, R.O., Scholz, A., Scheidegger, R., und Fichte, W.: Lochkorrosion an Kondensatrohren aus Messing bei Umlaufkühlung mit Kühlturm 66:502/503 + Sammelband VGB-Konferenz „Kraftwerkskomponenten 1986"

Blume, H., siehe Kalwa, G.

Boddenberg, G., siehe Brosche, D.

Boehnert, J.: Oberflächenbeschichtung mit Weichgummi bei Großprojekten 66:505 und 67 (1987)

Bohnsack, G.: Moderne Kühlwasserbehandlung — Zum Mechanismus der Filminhibierung der Stahlkorrosion 66:48—53

Bohnsack, G., siehe Hepp, H.

von Braunmühl, H.: Abwicklung von Großprojekten im Kraftwerksbau bei internationaler Beteiligung 66:16—22

Bredenbruch, K., siehe Kalwa, G.

Breidenbach, H., siehe Reichert, G.

Broda, S., Dietl, R., und Herpertz, M.: ECOGAVO und ECONOX als Alternativen zum REGAVO — Vorteile im Umweltverhalten, Ausführungsplanungen für 100-MW- und 300-MW-Blöcke, Ergebnisse aus den Erfahrungen verschiedener Pilot-Anlagen 66:503/504 und 67 (1987)

van den Broeke, W.F., siehe Lefers, J.B.

Brosche, D., und Boddenberg, G.: Brandschutz in Kernkraftwerken 66:949—956

Brost, H.-R., siehe Martinola, F.

Brüderlin, H.: Die Rolle der Wissenschaft beim Zusammenwirken von Forschung, Kraftwerksplanung und Kraftwerksbetrieb 66:97—102

Brunner, R.E.: Nutzung von Kreislauf-Kühlwasser zur Deionat-Gewinnung mittels kombinierter Membran- und Ionenaustauschtechnologie 66:573—579

Bühne, K.W., und Jockel, W.: Zum Stand der kontinuierlichen Emissionsüberwachung von Müllverbrennungsanlagen unter Berücksichtigung der Anforderungen der TA Luft 66:960—969

Burgmann, F.: Betriebserfahrungen mit der Abwasseraufbereitung hinter einer Rauchgasreinigungsanlage 66:886—871

Bursik, A.: Chemie im Kraftwerk — Entwicklung in 60 Jahren seit Gründung des VGB-Speisewasserausschusses 66:148—153

Bursik, A., siehe Straubert, K.

Busch, D.: Bautechnische Umrüstung großer Naturzugkühltürme für die Ableitung von gereinigten Rauchgasen 66:933—940

Cech, F.: Das Zusammenwirken von Forschung und Betrieb in der Wasserchemie 66:105—107

Ceelen, D., siehe Bennert, J.

Chester, P.F.: Alternativen zur Rauchgasentschwefelung 66:550—555

Clausen, C.P., und Zwahr, H.: Die Rauchgasreinigungsanlage für das Kraftwerk Hafen, Block 2 66:27—32

Conrad, W., siehe Traeger, K.

Cossmann, R., und Vodicka, V.: Mischeinrichtungen zum Vermischen von Reingasen und Schwaden in Naturzug-Naßkühltürmen 66:239—242

Cramer, H.: Grundlegende Untersuchungen über die Emission von Spurenstoffen bei der Verbrennung von Kohle 66:750—753

Daradimos, G., siehe Plass, L.

Deblon, B., siehe Schmoch, O.

Derichs, W., siehe Knoche, K.F.

Deutz, W., siehe Knoche, K.F.

Dibelius, G., und Gebhardt, A.: Untersuchung von großen, schnellen Laständerungen in konventionellen Dampfkraftwerksblöcken 66:433—439

Dibelius, G., und Schulte, M.: Zerstörungsfreies Messen der Wirksamkeit von Korrosionsschutzschichten auf Schaufeln stationärer Gasturbinen 66:940—945

Diederich, H.: Erfahrungen mit Speisepumpen großer Leistung 66:1119—1122

Diehl, H.: Die Entwicklung des Beitrags der Primärenergieträger zur Erzeugung von Strom und Wärme 66:102—105

Dietl, R., und Schmole, Ch.: Verwertung von Kraftwerksnebenprodukten (Flugasche und Gips) im Kraftwerk Schwandorf 66:650—655

Dietl, R., siehe Broda, S.

Dörr, A., Odar, S., und Schub, P.: Entwicklungsstufen der Sekundärwasserchemie in Druckwasserreaktoren 66:1059—1071

Doležal, R., und Berndt, G.: Mathematische Störfallsimulation und Messungen an einem Naturumlaufkessel mittlerer Leistung 66:113—119

Dooley, B., Baruch, S.B., und Miller, M.J.: Trends in der Umweltschutzgesetzgebung der USA und Konsequenzen für die Kraftwerksplanung 66:477—481

Düchting, W., und Span, R.: Erste Erfahrungen mit Kanalradpumpen aus Stahl 66:507 + Sammelband VGB-Konferenz „Kraftwerkskomponenten 1986"

Effertz, P.-H., und Mohr, G.: pH-Wert-geregelte Feststoffalkalisierung des Kesselwassers von Naturumlauf-Dampferzeugern 66:157—159

Eickelpasch, N., und Lasch, M.: Untersuchungen zum Korrosionsprodukttransport in der 2 × 1300-MW-SWR-Doppelblockanlage Gundremmingen 66:659—663

Erbach, G., Schöner, P., und Maurer, P.G.: Schwermetallgehalte im Rauchgas hinter der sauren Wäsche 66:40—46

Erdmann, W.: Die bautechnische Verwirklichung des Konvoi-Programms bei Kernkraftwerken von 1982 bis 1985 66:1089—1093

Falgarone, F., siehe Bacher, P.

Fejes, P.: Beeinflussung der Wasserchemie in Siedewasserreaktoren durch Wasserstoffdosierung 66:1162—1167

Fichte, W., siehe Blaser, B.W.

Finger, E.: Praxiserprobte wiederkehrende Prüfungen an Sicherheits- und Entlastungsventilen von Siedewasserreaktoren — Prüfkonzepte, Erfahrungen 66:506 + Sammelband VGB-Konferenz „Kraftwerkskomponenten 1986"

Fiquet, J.M., siehe Berge, Ph.

Fleischer, F.: Schalldämpfer für größere Kraftwerksventilatoren, Bauformen, Dimensionierungskriterien und Betriebserfahrungen 66:508 + Sammelband VGB-Konferenz „Kraftwerkskomponenten 1986"

Franzen, F.L.: Vergleich nationaler Sicherheitskonzepte für Kernkraftwerke 66:710—716

Franzke, K.-H.: Röhrenwärmetauscher aus metallischen und nichtmetallischen Werkstoffen zur Wiederaufheizung von Rauchgasen in der Rauchgasreinigung 66:504 + Sammelband VGB-Konferenz „Kraftwerkskomponenten 1986"

Frewer, H.: Strukturwandel in der Technik fossilbeheizter Kraftwerke in der Bundesrepublik Deutschland 66:303—326

Friedrich, R.: Die Anfänge der heutigen Gasturbine 66:439—448

Fritz, K.R., siehe Riedel, E.

Fröhlich, K., siehe Morell, W.

Frühauf, P., siehe Grimm, D.

Gajewski, W., siehe Hein, D.

Gebhardt, A., siehe Dibelius, G.

Gillessen, R., siehe Koschel, P.

Glahe, E., siehe Kahlert, W.

Görner, K.: Strömungsvorgänge in Feuerräumen von Dampferzeugern — Mathematisches Modell und Simulation 66:224—233

Gottschalk-Gaudig, H., siehe Schneider, W.

Grams, J.: Der Einfluß der Armaturen auf Druckstöße in Rohrleitungen 66:506 und 67 (1987)

Greiner, G.: Membranverfahren für die Kesselspeisewasser-Bereitung — Stand der Entwicklung 66:395—399

Greuel, G., und Pieper, B.: Abwasserreinigung im Rahmen des Umweltschutzes bei Kraftwerken 66:1052—1059

Grimm, D., Kreuels, K., und Frühauf, P.: Zusammenhänge zwischen Kaltdruckfestigkeit und Heißabriebbeständigkeit feuerfester Baustoffe 66:280—284

Grosser, A.: Die Bundesrepublik Deutschland und Frankreich in der Europa- und Weltpolitik 66:898—902

Grosstück, W.: Die Müllverbrennung — Wirtschafts- und Umweltfaktor 66:385—388

Haag, J., siehe Schroeder, H.J.

Haarmann, K., und Kalwa, G.: Fünf Jahrzehnte warmfeste Kupfer-Nickel-(Molybdän-)Stähle 66:588—598

Hagenmaier, H.: Messung und Bewertung von polychlorierten Dibenzodioxinen und Dibenzofuranen in Müllverbrennungsanlagen 66:141—148

Hagn, L.: Kritische Oberflächenkerben in hochbeanspruchten Bereichen und Wellen 66:507 + Sammelband VGB-Konferenz „Kraftwerkskomponenten 1986"

Hahn, R., siehe Kurt, W.

Hampel, G., siehe Andres, O.

Haneke, R.: Berechnung des zulässigen zeitabhängigen Druck- und Temperaturverlaufes in Bauteilen von Dampferzeugern 66:1178—1190

Hansen, S., Laursen, N., und Schmidt, G.: Neuartige Konzepte in dänischen Heizkraftwerken 66:915—921

Hardtke, H., und Laymann, H.J.: Stand der Entwicklung bei standardisierten Rohrhalterungen aus der Sicht eines Herstellers und eines Betreibers 66:503 und 67:43—48 (1987)

Harrer, M., siehe Welfonder, E.

Hedden, K.: Kohlevergasungsanlagen als Kraftwerkskomponenten 66:208—213

Hedström, M., und Stenberg, T.: Erosionsschäden an Turbinenteilen unter Einwirkung von Dampf mit hoher Nässe 66:127—129

Hegemann, K.-R., siehe Stellbrink, B.

Hein, D., und Gajewski, W.: Entwicklung des DENOX-Katalysators bei der Kraftwerk Union 66:504 und 67 (1987)

Hein, K.R.G., König, J., und Bals, M.: Problematik des Ammoniakschlupfes bei Anlagen zur NO_x-Minderung 66:861—866

Hein, K.R.G., Rüsenberg, D., und Menzel, K.R.G.: Untersuchungen zur feuerungsseitigen Minderung der Stickoxide bei Braunkohlefeuerungen 66:956—959

Hein, K.R.G., siehe Knoche, K.F.

Heinrich, M.: Tropfenabscheider hinter Rauchgaswaschanlagen 66:1160—1162

Hell, E., siehe Langner, H.

Hennies, H.-H.: Ablauf, Konsequenzen und Bewertung des Reaktorunfalls in Tschernobyl 66:902—909

Hepp, H., Rühle, W., und Bohnsack, G.: Überlegungen zum Aktivitätsaufbau durch Kobalt 60 in Kernkraftwerken mit Siedewasserreaktor 66:268—273

Herpertz, M., siehe Broda, S.

Hillenbrand, J., Musset, G., und Schlicht, K.: Planung, Bau und Inbetriebnahme einer 4 × 25-MW-Gasturbine 66:1041—1046

Hirschfelder, G.: Zukunftsweisende Techniken im Kraftwerksbau 66:1—6

Hoff, P., Steinmann, D., und Valentin, H.: Armaturen in Rauchgasentschwefelungsanlagen — Konstruktive Gesichtspunkte und Werkstofffragen 66:823—835

Honekamp, H., und Katzmann, A.: Kühlturmeinbauten aus Keramik 66:449/450

Horch, K.: Rauchgasreinigung für die Müllverbrennungsanlage München-Nord 66:251—256

van den Hoven, A.F.: Erosionskorrosion im Wasser-Dampfkreislauf 66:762—767

Hvelplund, R.: Inbetriebsetzungserfahrungen im Kraftwerk Studstrup 66:217—224

Jaerschky, B.: Ein Schritt zum umweltfreundlichen Kohlekraftwerk 66:373—376

Janich, H.J., siehe Starke, W.

Jockel, W., siehe Bühne, K.W.

John, R., siehe Koschel, P.

Jüngst, H., und Lutz, W.: Möglichkeiten des EDV-Einsatzes für Vermessungsaufgaben 66:882—885

Kaempffer, M.: Erfahrungen mit Beschichtungssystemen in REA 66:505 und 67 (1987)

Kaes, H., Kopp, L., und Schwarz, M.: Metallographische Untersuchung verschiedener Austenit-Ferrit-Verbinder nach langer Betriebszeit 66:292—296

Kahlert, W., und Glahe, E.: Erste Betriebserfahrungen des THTR 300 und Folgerungen für die Zukunft 66:1021—1028

Kakl, J., siehe Schröfelbauer, H.

Kalhammer, F.R., und Yau, T.S.: Energiespeicherung und -management bei Stromversorgungssystemen 66:108—113

Kallmeyer, D., siehe Petzel, H.-K.

Kalwa, G., Bredenbruch, K., Blume, H., und Speth, W.E.: Induktiv gebogene Rohre für den Kraftwerksbau 66:58—62

Kalwa, G., siehe Haarmann, K.

Kandel, J.: Französische Erfahrungen aus dem Betrieb von Kernkraftwerken mit Druckwasserreaktoren 66:1108—1115

Kantner, A.: Stand der Technik von Kohlenbunkern für günstiges Auslaufverhalten und Betriebserfahrungen 66:133—140

Kassebohm, B., siehe Koch, H.

Kastner, K., und Riedle, K.: Empirisches Modell zur Berechnung von Materialabträgen durch Erosionskorrosion 66:1171—1178

Katzmann, A., siehe Honekamp, H.

Kaulitz, J., siehe Küster, D.

Kaulitz, J., siehe Schallert, B.

Kautz, H.R., siehe Schoch, W.

Kautz, K., Korstick, A., Prause, B., und Zobel, W.: Untersuchungen zur Reaktivität von Steinkohlenflugaschen im Zementmörtel 66:772—776

Kautz, K., und Prause, B.: Mineralogisch-chemische und technologische Eigenschaften von Steinkohlenflugaschen aus unterschiedlichen Feuerungen 66:1194—1199

Kettelarij, A., siehe Lefers, J.B.

Kinn, Th., und Pleesz, R.: Erfahrungen mit der Teleperm-M-Leittechnik sowie mit dem Bildschirm-Bedien- und Beobachtungssystem OS 254 E 66:814—823

Kittel, H., Rieß, R., und Schroeder, H.J.: Untersuchungen an Versuchs-Dampferzeugern zur Sekundärwasserchemie in Druckwasserreaktoren 66:969—976

Kneissl, P.J., siehe Künzel, J.

Knoblauch, K., siehe Weyand, M.

Knobloch, W.: Zuschuß- und Genehmigungsfragen für das neue Müllheizkraftwerk Essen-Karnap 66:738—743

Knoche, K.F., Hein, K.R.G., Derichs, W., und Deutz, W.: Zum Säuretaupunkt in Feuerungsabgasen 66:848—851

Knyrim, W., siehe Schröfelbauer, H.

Koch, H., und Kassebohm, B.: Weitere Ergebnisse zur Stickoxidminderung am Kombi-Block Lausward 66:858—861

Koch, H.-J., siehe Schmidt, W.

König, G., und Traut, W.: Ermittlung des Schließverhaltens von eigenmediumbestätigten Großarmaturen — eine Kombination aus Rechnung und Versuch 66:506 + Sammelband VGB-Konferenz „Kraftwerkskomponenten 1986"

König, G., und Wörner, J.D.: Realistische Beschreibung des Komponentenverhaltens bei Erdbeben und vergleichbaren hohen dynamischen Beanspruchungen 66:672—682

König, J., siehe Hein, K.R.G.

Kopp, L., siehe Kaes, H.

Korstick, A., siehe Kautz, K.

Koschel, P., Gillessen, R., John, R., und Steegmanns, G.: Konzept zur Lebensdauerüberwachung und Ertüchtigung von Kraftwerksrohrleitungen im Zeitstandbereich 66:983—999

Krabbe, H.-J.: Chemische Probleme in Rauchgasreinigungsanlagen 66:754—759

Kreuels, K., siehe Grimm, D.

Küffer, K., siehe Baumberger, H.

Künzel, J., und Kneissl, P.: Korrosionsfeste Wärmeaustauscher aus Graphit für die Kühlung und Wiederaufheizung von Rauchgasen in Rauchgasentschwefelungsanlagen 66:945—949

Küster, D., und Kaulitz, J.: Beeinflussung der NO_x-Bildung in Schmelzfeuerungen durch Feuerungseinstellungen 66:1046—1052

Kurt, W., Birgerson, St., und Hahn, R.: Umbau des Heizkraftwerkes Västerås auf Kohlenfeuerung 66:556—559

Kußmaul, K., Maile, K., und Zili Li: Beitrag zur Quantifizierung von Kriechschädigung und Kriechrißwachstum an warmfesten Stählen 66:875—881

Kuttruf, H., und Lemke, W.: Das Glasmodell des Kernkraftwerkes Mülheim-Kärlich 66:527/528

Langner, H., und Hell, E.: Untersuchungen an Abscheidevorrichtungen in Dampftrommeln 66:1036—1041

Lasch, M., siehe Eickelpasch, N.

Laursen, N., siehe Hansen, S.

Laymann, H.J., siehe Hardtke, H.

Leclercq, J.: Die Rolle der Elektrizität in Frankreich in den nächsten 20 Jahren 66:1010—1015

Ledger, F., siehe Wooley, J.I.

Lefers, J.B., van den Broeke, W.F., Venderbosch, H.W., de Niet, J., und Kettelarij, A.: Abscheidung von Schwermetallen aus dem Abwasser von Kalk(stein)-Gips-Rauchgasentschwefelungsanlagen 66:871—875

Leikert, K., und Rennert, K.D.: Aktueller Stand primärseitiger Maßnahmen zur Minderung der NO_x-Emission an konventionellen Feuerungen 66:631—637

Lemke, W., siehe Kuttruf, H.

Lenhard, M.: Gegenüberstellung von Ganzmetallpumpen mit auswechselbaren Elastomerschalen als Umwälzpumpe von Kalksteinsuspension in Rauchgasentschwefelungsanlagen 66:507 + Sammelband VGB-Konferenz „Kraftwerkskomponenten 1986"

Lenz, E., und Wieling, N.: Mediumseitige Einflußgrößen bei der dehnungsinduzierten Rißkorrosion und Beispiele für anwendungsbezogene Fälle 66:481—485

Leopold, J.: Die Gasturbine in der heutigen Kraftwerkstechnik aus der Sicht des Sachversicherers 66:616—620

Liemersdorf, H., und Wittmann, R.: Brandschutz in Kernkraftwerken — Gemeinsamkeiten und Abweichungen, dargestellt im Vergleich zwischen den USA und der Bundesrepublik Deutschland 66:604—610

Lienhard, H., siehe Plass, L.

Linzer, W., und Scheffknecht, G.: Berechnung von Wärmespannungen in Rohrböden 66:1107

Löffler, H.: Großtechnische Anwendung der Umkehrosmose zur Wasserentsalzung in Kraftwerken und Industriebetrieben der DDR 66:569—573

Löhle, H.: Der technische Erfahrungsaustausch: Ein Selbstverständnis der Kraftwerksbetreiber vor dem Hintergrund der Energiewirtschafts-, Sicherheits- und Umweltschutzgesetzgebung 66:7—10

Lutz, W., siehe Jüngst, H.

Maile, K., siehe Kußmaul, K.

Martinola, F., und Brost, H.-R.: Verfahrenstechnik der Feinreinigung von Wasser und Ionenaustausch 66:159—170

Martynova, O.I., und Paschewitch, W.I.: Chemie im Primärkreislauf von Druckwasserreaktoren unter besonderer Berücksichtigung der Alkalisierung mit Kaliumhydroxid (Betriebserfahrungen mit der WWER-Baulinie) 66:54—58

Mattern, U., siehe Weyand, M..

Maurer, P.G., siehe Erbach, G.

McCoy, C.K.: Bewertung von Vorkommnissen in Kernkraftwerken im Zeitraum 1985/86 66:1116—1119

Menzel, K., siehe Hein, K.R.G.

Miller, M.J., siehe Baruch, S.B.

Mohr, G., siehe Effertz, P.-H.

Mokka, R.: Leistungserhöhung der Siedewasserreaktoren TVO I und TVO II in Finnland 66:603/604

Morell, W., Bertholdt, H.O., Operschall, H., und Fröhlich, K.: Dekontamination — Stand der Technik und aktuelle Entwicklungsziele 66:579—588

Mosch, H., und Pfeiffer, K.-D.: Trockene Rauchgasreinigung in Müllverbrennungsanlagen 66:645—649

Mouritzen, J.: Erfahrungen mit einer Flammenüberwachung nach dem Kreuzkorrelationsprinzip an kohlebefeuerten Kraftwerkskesseln 66:626—630

Müller, R.O., siehe Blaser, B.W.

Musset, G., siehe Hillenbrand, J.

Neeb, K.H.: Auswirkungen chemischer Reaktionen auf das Verhalten des Spaltiods bei hypothetischen Ereignissen im Leichtwasserreaktor 66:389—394

Nieder, R., und Sträter, W.: Radiolysevorgänge im Wasser-Dampfkreislauf des AVR-Reaktors Jülich 66:1167—1171

de Niet, H.W., siehe Lefers, J.B.

Nowak, K., und Wolf, H.: Notfallschutz und KKW-Fernüberwachung 66:910—915

Odar, S., siehe Dörr, A.

Oestreich, H.-P.: Anwendung und Verhalten von Kunststoffen in Rauchgasentschwefelungsanlagen — Möglichkeiten und Grenzen ihrer Verwendung 66:767—771

Olma, B., siehe Weingarten, J.

Operschall, H., siehe Morell, W.

von Oppel, Ch.: Wasserentsalzung mit elektrochemischen Membranverfahren 66:655—659

Oschmann, W.: Überlegungen zur chemischen Überwachung von Rauchgasreinigungsanlagen 66:759—762

Paffrath, G., siehe Schroeder, H.J.

Paschewitch, W.I., siehe Martynova, O.I.

Pastoors, J.T.W.: Schäden an Speisewasser-Entgasern und -Behältern in niederländischen Kraftwerken 66:502 + Sammelband VGB-Konferenz „Kraftwerkskomponenten 1986"

Pate, Z.T.: Fortschritte der Kerntechnik in den USA: Aufgaben und Lösungen 66:194—197

Petzel, H.-K., und Kallmeyer, D.: Messungen zur Ableitung von REA-Abgasen über Kühltürme 66:928—932

Pfeiffer, K.-D., siehe Mosch, H.

Pieper, B., siehe Greuel, G.

Plass, L., Daradimos, G., Beisswenger, H., und Lienhard, H.: Anlagenkonzeption und Betriebserfahrungen von Kraftwerken mit Zirkulierender Wirbelschichtfeuerung (ZWS) 66:801—807

Pleesz, R., siehe Kinn, Th.

Podhorsky, M.: Die rechnerische Absicherung eines U-Rohr-Kompaktwärmetauschers für Gastemperatur von 950 °C 66:285—291

Potemans, M.: Spezifische Erfahrungen bei der Stromversorgung mit hohem Kernenergieanteil 66:1015—1021

Prause, B., siehe Kautz, K.

Pronobis, M.: Einfluß der Verschmutzung auf den Wärmeaustausch in konvektiven Kesselrohrbündeln 66:120—127

Reichert, G., und Breidenbach, H.: Hilfe zur Selbsthilfe bei Planung, Bau und Betrieb von Kraftwerken in Entwicklungsländern 66:23—27

Reinicke, W.: Intensimetrische Schalleistungsermittlung bei Dampfturbosätzen 66:610—615

Rennert, K.D., siehe Leikert, K.

Riedel, E., und Fritz, K.R.: Geräuschabstrahlung und Schalldämmung von Rohrleitungsanlagen 66:508 + Sammelband VGB-Konferenz „Kraftwerkskomponenten 1986"

Riedle, K., siehe Kastner, K.

Rieß, R., siehe Kittel, H.

Rimmelspacher, J.: DENOX-Anlagen hinter Dampferzeugern — Probleme im Schwachlastbereich werden durch neues Verfahren besser gelöst 66:630/631

Roesmer, J.: Zusammensetzung des Kühlmittels eines Druckwasserreaktors nahe der Betriebstemperatur 66:486—491

Rost, M.: Betriebserfahrungen mit Rohrleitungen und Armaturen im 750-MW-Kraftwerksblock Bexbach 66:505 und 67 (1987)

Rubo, E., und de Temple, B.: Anwendung und Entwicklung von Weichstoff-Kompensatoren, insbesondere für Kanäle von Rauchgasentschwefelungsanlagen 66:504/505 + Sammelband VGB-Konferenz „Kraftwerkskomponenten 1986"

Rühle, W., siehe Hepp, H.

Rümmer, P., und Strohmeier, K.: Rechnergestützte Dimensionierung von Rohrbündel-Wärmeaustauschern 66:1080—1088

Rüsenberg, D., siehe Hein, K.R.G.

Seibold, E.: Internationale Kooperation in der Forschung 66:214—217

Spalthoff, F.J.: Tagesfragen der Kraftwerkstechnik 66:1007—1010

Span, R., siehe Düchting, W.

Speth, W.E., siehe Kalwa, G.

Suhari, L., und Wahl, G.: Effizienzverbesserung der hydrodynamischen Regelkupplung — Mehrkreisregelantrieb als neue Entwicklung 66:507/508 und 67 (1987)

Sylla, D.: Leittechnik für Rauchgasentschwefelungsanlagen 66:242—251

Schallert, B., und Kaulitz, J.: Betriebserfahrungen mit SCR-DENOX-Versuchsanlagen unter verschiedenen Einsatzbedingungen 66:852—858

Scheffknecht, G., siehe Linzer, W.

Scheidegger, R., siehe Blaser, B.W.

Schemenau, W., siehe Bennert, J.

Schlicht, K., siehe Hillenbrand, J.

Schmidt, G., siehe Hansen, S.

Schmidt, W., und Koch, H.-J.: Herstellung von Flugaschezement-Gemischen im Homogenisierungssilo 66:1000—1003

Schmitt-Tegge, J.: Zukunftsperspektiven der Müllverbrennung im Rahmen der Entwicklung der Abfallwirtschaft 66:564—569

Schmoch, O., und Deblon, B.: Die Gasturbine V94 zehn Jahre im Einsatz 66:722—728

Schmole, Ch., siehe Dietl, R.

Schneider, W., Gottschalk-Gaudig, H., und Sturm, D.: Wellendichtungen an Hauptkühlmittelpumpen für Siedewasserreaktoren mit verbesserten Standzeiten 66:506/507 + Sammelband VGB-Konferenz „Kraftwerkskomponenten 1986"

Schoch, W., Kautz, H.R., und Zürn, H.E.D.: Konstruktionswerkstoffe der Kraftwerkstechnik 66:663—672

Schöner, P., siehe Erbach, G.

Scholz, A., siehe Blaser, B.W.

Schoop, U.: Praktische Erprobung einiger Maßnahmen zur Verbrennung von niederflüchtigen Kohlen zur Minderung der NO_x-Bildung in Zyklonfeuerungen 66:234—239

Schroeder, H.J.: Schwerpunkte der Chemie in Leichtwasserreaktoren 66:46—48

Schroeder, H.J., siehe Kittel, H.

Schroeder, H.J., Paffrath, G., und Haag, J.: Primärkreischemie im Kernkraftwerk Biblis 66:257—268

Schröfelbauer, H., Kakl, J., Tauschitz, J., und Knyrim, W.: Umbau der Kesselfeuerung von Braunkohle im Dampfkraftwerk Zeltweg 66:462—472

Schroth, G., siehe Angleys, M.

Schub, P., siehe Dörr, A.

Schulitz, B.: Arbeitsmittel für ORC-Anlagen — Nachschaltkreisläufe zur Abwärmenutzung 66:419—426

Schulte, M., siehe Dibelius, G.

Schulz, W.: Bildung von Stickstoffoxiden in Kohlenstaubfeuerungen und deren Unterdrückung 66:541—550

Schwarz, D.: Bericht über die 8. internationale Hochtemperaturreaktor-Tagung in San Diego, Kalifornien/USA 66:1029—1036

Schwarz, M., siehe Kaes, H.

Schwarz, O.: Kurzbericht über die Tätigkeit der VGB TECHNISCHEN VEREINIGUNG DER GROSSKRAFTWERKSBETREIBER E.V. 1985/1986 66:689—709

Stalder, P.G., und Assmann, H.G.: Erfahrungen bei der Inbetriebsetzung des Kernkraftwerks Leibstadt 66:427—432

Stangenberg, F.: Temperaturzwängungen in Stahlbetonkonstruktionen kerntechnischer Anlagen 66:492—497

Starke, W., und Janich, H.J.: Dichtschließende Absperreinrichtungen für Rauchgase von Kohlefeuerungen 66:1130—1141

Staudt, U.: Rechnergestützte Erfassung und Auswertung von Analysendaten im Kraftwerk 66:153—157

Steegmanns, G., siehe Koschel, P.

Steinmann, D., siehe Hoff, P.

Stellbrink, B., und Hegemann, K.-R.: Maßnahmen zur Vereinfachung und Erhöhung der Effektivität der Rauchgasentschwefelung im Kraftwerk Wilhelmshaven 66:367—372

Stellwag, B., siehe Beyer, W.

Stenberg, T., siehe Hedström, M.

Sternfeld, H.J., und Wolfmüller, Kh.: Wasserstoff/Sauerstoff-Momentanreserveanlage — ein Einstieg in die wirtschaftliche Stromerzeugung aus Wasserstoff 66:793—801

Sträter, W., siehe Nieder, R.

Straubert, K., und Bursik, A.: Schichtbildung und Metallauflösung in heißwasserdurchströmten Stahlrohren 66:1077—1080

Strauß, K.: Betriebliche Konsequenzen bei primärseitiger NO_x-Minderung in Kohlenstaubfeuerungen 66:843—848

Strohmeier, K., siehe Rümmer, P.

Sturm, D., siehe Schneider, W.

Tauschitz, J., siehe Schröfelbauer, H.

de Temple, B., siehe Rubo, E.

Thielen, W.: Praktische Anwendung von Feuerraum-Berechnungsmodellen am Beispiel des 700-MW-Blocks Mehrum 66:515—522

Thoenes, H.W.: Perspektiven der Risiken und der erforderlichen Vorsorge in der Kraftwerkstechnik 66:10—15

Traeger, K., und Conrad, W.: Maßnahmen zur Geräusch- und Körperschalldämpfung an Dampfumformventilen 66:506 und 67 (1987)

Traut, W., siehe König, G.

Trenkler, H.: Neue Einflüsse auf die Entwicklung der Kraft- und Wärmewirtschaft 66:87—97

Valentin, H., siehe Hoff, P.

Venderbosch, H.W., siehe Lefers, J.B.

Veser, K.: Regenerativ-Wärmetauscher in der Umweltpolitik, Betriebserfahrungen mit dem Gasvorwärmer an Naßentschwefelungsanlagen, mit Pilot-Anlagen denoxgerechter Luft- und Gasvorwärmer an Entstickungsanlagen und Anordnungskriterien für solche; Entwicklungsstand des DENOX-Luvo/DENOX-Gavo 66:1123—1130

VGB: Betriebserfahrungen mit Kernkraftwerken 1985 66:326—366

VGB/VDEW/Verband der Gipsindustrie: Verwertungskonzept für die Reststoffe aus Kohlekraftwerken — Gips aus der Rauchgasentschwefelung 66:377—385

Vodicka, V., siehe Cossmann, R.

Vogl, H.: Ergebnisse aus einer Kondensatreinigungsanlage mit variabler Anlagenkonzeption und Prozeßführung 66:274—279

Vogt, M.: Dampferzeuger mit integrierter Wirbelschichtfeuerung in einem Industriekraftwerk 66:458—462

Voigt, K.: Braunkohlenzündsystem — Entwicklung und Betriebserfahrungen 66:559—563

Wagner, G.H.: Zu der durch anodische Metallauflösung geförderten Rißbildung niederfester Werkstoffe — Hypothesen, Gemeinsamkeiten und Unterschiede der Erscheinungsbilder bei Spannungs- und Spannungsrißkorrosion 66:399—409

Wahl, G., siehe Suhari, L.

Waldner, W.: Verschiedene Methoden zur Bestimmung der Rauchgasmenge 66:534—541

Weber, H., siehe Bendick, W.

Weingarten, J., und Olma, B.: Akustische Überwachung des Ent- und Beladens von Brennelementen 66:523—526

Welfonder, E., und Harrer, M.: Bildschirmanwendung in Kraftwerkswarten 66:32—40

Wenzel, H.G.: Arbeiten unter Hitzeeinwirkung im Kraftwerk 66:1142—1150

Wetzl, A.: NO_x-Maßnahmen — Auswirkungen auf die Auslegung der Leittechnik 66:451—458

Weyand, M., Knoblauch, K., und Mattern, U.: Funktionsstörungen in Sicherheitseinrichtungen — Einfluß der Materialwahl und Oberflächenbehandlung 66:506 und 67 (1987)

Wieling, N., siehe Beyer, W.

Wieling, N., siehe Lenz, E.

Witte, U.: Die Anwendung der DIN 1942 „Abnahmeversuche an Dampferzeugern" auf Müllverbrennungsanlagen mit Dampferzeugern 66:808—813

Wittmann, R., siehe Liemersdorf, H.

Wörner, J.D., siehe König, G.

Wolf, H., siehe Nowak, K.

Wolff, U.: Kontinuität in der Brüterentwicklung — das Projekt SNR 2 66:716—722

Wolfmüller, Kh., siehe Sternfeld, H.J.

Wooley, J.I., und Ledger, F.: Maßnahmen des CEGB als Reaktion auf Änderungen in der Brennstoffwirtschaft 66:198—203

Yau, T.S., siehe Kalhammer, F.R.

Żelkowski, J.: NO_x-Bildung bei der Kohleverbrennung und NO_x-Emissionen aus Schmelzfeuerungen — Bericht aus der Tätigkeit des VGB-Arbeitskreises „NO_x-Bildung in Kohlenfeuerungen" 66:733—738

Zili Li, siehe Kußmaul, K.

Zobel, W., siehe Kautz, K.

Zürn, H.E.D., siehe Schoch, W.

Zwahr, H., siehe Clausen, C.P.

Sachverzeichnis 1986

Abkühlzeiten nach Arbeiten unter Hitzeeinwirkung 66:1146

Ablagerungen durch Ammoniakschlupf hinter Anlagen zur NO_x-Minderung 66:861—866

Abscheidevorrichtungen in Trommeln 66:1036—1041

Absperreinrichtungen für Rauchgase 66:1130

Abwasser
— Anforderungen durch das Abwasserabgabengesetz 66:1057
— aus Kraftwerken 66:1052
— aus Rauchgasentschwefelung 66:374 66:759—762 66:866—871

Abwasserabgabengesetz, Anforderungen an das Abwasser 66:1057

Abwasserreinigung
— bei Kraftwerken 66:1052
— im Kraftwerk Neurath 66:1054

Änderungen in der Brennstoffwirtschaft 66:198

Aktivitätsaufbau durch Co-60 in SWR-Anlagen 66:268—273

Aktivkoksverfahren 66:777

Alkalisierung
— des Primärkreislaufes von DWR mit KOH 66:54—58
— von Kesselwasser, pH-Wert-geregelt 66:157—159

Ammoniak, Abtrennung aus Kraftwerksaschen 66:861—866

Ammoniakfreisetzung 66:861

Ammoniakkorrosion 66:861

Ammoniakschlupf
— (NH_3) 66:852 66:861
— bei Anlagen zur NO_x-Minderung 66:754—759 66:861—866
— Verteilung 66:861

Ammoniumhydrogensulfatbildung 66:861

Ammoniumsulfatbildung 66:861

Analyse
— chemische, rechnergestützte Erfassung und Auswertung 66:153—157
— chemische Überwachung von Rauchgasreinigungsanlagen 66:759—762
— von Störfällen 66:1116

Analysenschema für die Bestimmung von Spurenstoffen bei der Kohleverbrennung 66:752

Analysenverfahren für Dioxine 66:142

Anfahren eines 1000-t/h-Benson-Kessels mit Öl- und Staubzündfeuer 66:563

Anheben der Speisewasserendvorwärmung für SCR High-dust 66:630

Anlagenbeurteilung 66:194

Anlagenkosten 66:89

Anodische Metallauflösung, Rißbildung 66:399—409

Armaturen in Rauchgasentschwefelungsanlagen 66:823—835

Ausbrand der Kohle in der Zirkulierenden Wirbelschichtfeuerung 66:803

Ausmahlung von Kohle für unterschiedliche Horizontal-Zyklonfeuerungen 66:236

Ausnutzung, Zeit- und Arbeitsausnutzung von Kernkraftwerken 1985 66:327

Austenit-Ferrit-Verbinder, Metallographische Untersuchung 66:292—296

Automatisierungssysteme für REA 66:246

AVT-Fahrweise, Korrosionsverhalten von DE-Rohren 66:977—982

Axialgebläse 66:369

Berechnung
— Druck und Temperaturverlauf in Bauteilen von Dampferzeugern 66:1178—1190
— von Rohrbündelwärmetauschern 66:1080—1088
— Wärmespannungen in Rohrböden 66:1190—1194
— Wärmetauscher für eine Gastemperatur von 950 °C 66:285—291

Beschichtungen in Rauchgasentschwefelungsanlagen 66:771

Betrieb von Gasturbinen 66:722

Betriebserfahrungen
— Gasturbinen 66:1041
— Rauchgasentschwefelung 66:371

Betriebsergebnisse der Kernkraftwerke 1985 66:326—366

Bilddarstellungs- und Bedienkonzept 66:33

Bildschirmanwendung in Kraftwerkswarten 66:32

Bildschirm-Bedien- und Beobachtungssystem 66:814

Bildschirmdarstellung 66:38
— mit variabler Informationsdichte 66:36

Brandereignisse in deutschen Kernkraftwerken 66:954

Brandschutz in Kernkraftwerken 66:604 66:949
— Anwendungsbeispiele, USA 66:607
— Forschung/Entwicklung 66:609
— Genehmigungsverfahren 66:609

Brandschutzmaßnahmen in Kernkraftwerken
— anlagentechnische Maßnahmen 66:953
— bauliche Maßnahmen 66:951
— betriebliche Maßnahmen 66:953

Braunkohle, bosnische, Brennstoffdaten 66:463

Braunkohle, Fohnsdorfer, Brennstoffdaten 66:463

Braunkohlenstaub (TBK 10), technische Daten 66:560

Braunkohlenstaubfeuerungen, Maßnahmen zur NO_x-Minderung 66:956—959

Brennelemente, Überwachung des Ent- und Beladens 66:523

Brennstoffstufung bei der Kohlenstaubfeuerung 66:538—550 66:639

Brennstoffumwandlungsverfahren 66:2

Brennstoffwirtschaft, Änderungen 66:198

Brüterentwicklung 66:716

BÜS, Brennelement Be- und Entlade-Überwachungs-System 66:523

Bunkerauslaufverhalten 66:133—140

Chemie im Kraftwerk
— Entwicklung in 60 Jahren seit Gründung des VGB-Speisewasserausschusses 66:148—153
— Zusammenwirken von Wissenschaft und Praxis innerhalb der VGB 66:105—107

Dampfbeheizter Vorwärmer für SCR nach REA 66:27

Dampferzeuger
— Abscheidegrad 66:1036—1041
— Abscheidevorrichtung 66:1036—1041
— Berechnung 66:1178—1190
— Dampfreinheit 66:1036—1041
— für H_2/O_2 66:796
— Einfluß der Sekundärwasserchemie auf das Korrosionsverhalten von DE-Rohren 66:977—982
— Rechenmodell für
  — Feuerraumaustrittstemperaturen 66:515—522
  — Feuerraumauslegung 66:515—522
  — Vergleich Rechen-/Meßdaten 66:515—522
  — Wärmestromdichteverteilung 66:515—522
— Salzgehalt im Sattdampf 66:1036—1041
— Versuche zur Sekundärwasserchemie in DWR 66:969—976
— Zyklonabscheider 66:1036—1041

Dampfkraftwerksblöcke, Laständerungen 66:433

Dampfturbinen
— Erosionsschäden 66:127
— Laständerungen 66:433

Dampfturbosatz, Schallmessungen am 66:610

Dauerstandfestigkeit von Röhrenstählen 66:667

DDA-Mitteilungen 66:498—501

Dehnungsinduzierte Rißkorrosion 66:481—485

Deionat, Gewinnung aus Kühlwasser mittels Membranverfahren und Ionenaustausch 66:573—579

Dekontamination in Kernkraftwerken, Stand der Technik und Entwicklungsziele 66:579—588

DENOX
— Betriebserfahrungen 66:852
— Demonstrations- und Großanlagenliste 66:777
— Einfluß auf Kraftwerksnebenprodukte 66:654
— Einsatzbedingungen 66:852
— GAVO, LUVO 66:1123
— Versuchsanlagen 66:852

Deponie von Kraftwerksnebenprodukten 66:653

DIABON, kunstharzimprägnierter Elektrographit 66:945—949

Dioxine und Furane in MVA 66:141

Dissertationen, Kraftwerkstechnik 66:782

Doppelabsperrklappen für Rauchgase 66:1130

Dosisleistung
— Minimierung durch technische und organisatorische Maßnahmen 66:257—268
— in SWR-Anlagen, Beitrag der Korrosionsprodukte 66:659—663

Dosisleistungsaufbau in Leichtwasserreaktoren 66:46—48

Drallbrenner, Einflußgrößen auf die NO_x-Bildung 66:848

Druckwasserreaktoren 66:1108
— Alkalisierung des Primärkreislaufes mit KOH 66:54—58
— Einfluß der Sekundärwasserchemie auf das Korrosionsverhalten 66:977—982
— Erfahrungen der EdF mit der Sekundärwasserchemie 66:1072—1076
— Primärkreischemie im Kernkraftwerk Biblis 66:257—268
— Primärkühlmittelzusammensetzung nahe der Betriebstemperatur 66:486—491
— Untersuchungen zur Sekundärwasserchemie 66:969—976 66:1059—1071

Druckwirbelschichtfeuerung 66:3

Durchmischungsflügel bei Abgaseinleitung in Naturzug-Naßkühltürme 66:928

EdF, künftige Entwicklung des Kraftwerksbauprogramms 66:204

Eignungsgeprüfte Auswertesysteme für Emissionsüberwachung bei MVA 66:962

Eignungsgeprüfte Emissionsmeßsysteme für MVA 66:961

EKasic (Siliciumcarbid), Werkstoff für Armaturen 66:831

EKasin (Siliciumnitrid), Werkstoff für Armaturen 66:827—830

Elastomere in Rauchgasentschwefelungsanlagen 66:769—771

Electric Power Research Institute (EPRI) 66:477

Elektrizitätserzeugung in Frankreich 66:1011

Elektrodialyse, Anwendung zur Wasserentsalzung 66:395—399

Elektronenstrahlverfahren 66:777

Emissionen
— Frankreich 66:1011
— Spurenstoffe bei der Verbrennung von Kohle 66:750—753
— Zirkulierende Wirbelschichtfeuerung 66:803

Emissionsüberwachung bei MVA 66:960

Energieforschung 66:97 66:204 66:782

Energiemanagement und Energiespeicherung bei Stromversorgungsunternehmen 66:108

Energiepolitische Situation 66:898 66:1008

Energiepreisentwicklung von 1973 bis 1984 66:560

Energiespeicherung 66:112

Entschwefelung mit Kalkstein, Mechanismus 66:802

Entwicklung der Technik fossilbeheizter Kraftwerke 66:303

Environmental Protection Agency (EPA) 66:477

Erdbeben, Komponentenverhalten bei vergleichbaren hohen dynamischen Beanspruchungen 66:672—682

Erosion 66:550

Erosionskorrosion
— Dampfturbinen 66:127
— empirisches Modell zur Berechnung von Materialabträgen 66:1171—1178
— Mechanismus, Einflußparameter, Abhilfemaßnahmen 66:762—767
— wasser-/dampfberührte Systeme von DWR-Anlagen der EdF 66:1072—1076

Ertüchtigung von Rohrleitungen im Zeitstandbereich 66:983—999

Feuerfeste Baustoffe, Zusammenhänge zwischen Kaltdruckfestigkeit und Heißabriebbeständigkeit 66:280—284

Feuerraumberechnungsmodell, angewendet am 700-MW-Block Mehrum 66:515—522

Feuerungsabgase, Säuretaupunkt 66:848—851

Feuerungsschema der von Braunkohle auf Steinkohle umgebauten Feuerungsanlage 66:464/465

Finite Elemente, Berechnung von Rohrbündelwärmetauschern 66:1084—1086

Flammenionisationsdetektoren zur kontinuierlichen Emissionsüberwachung in MVA 66:965

Flammenüberwachung in Kohlenstaubfeuerungen 66:626—630

Flugaschezement, Homogenisierung 66:1000—1003

Frankreich
— Elektrizitätsversorgung 66:1010
— zukünftiges Kraftwerksbauprogramm 66:204

Fremdgeräusch 66:610

Forschung 66:97 66:204 66:214 66:782 66:886

Gasfeuerung, Maßnahmen zur Minderung der NO_x-Bildung 66:636

Gasturbinen
— Betriebserfahrungen 66:722
— Grundlasteinsatz 66:722
— historische Entwicklung 66:439
— Hochtemperaturkorrosion 66:940
— Planung, Bau und Inbetriebnahme 66: 1041
— Sachversicherung 66:616
— Schadensstatistik 66:616
— Schäden an Schaufeln 66:616
— Schutzschichten für Schaufeln 66:940
— Typ V 94 66:722

Gasturbinenschaufeln, Reparaturmöglichkeiten 66:616

Gasvorwärmer 66:369
— Betriebserfahrungen 66:1123

GAVO 66:27 66:369 66:374 66:1123

Gebläse, naß 66:369

Gefügeänderungen durch Zeitstandbeanspruchung 66:71

Gefügeauflockerungen beim Induktivbiegen 66:59

Gemeinschaftsforschung 66:100

Gesamtkohlenstoffmessung im Rauchgas von MVA 66:965

Getriebe, Schallmessungen am 66:610

Gewebefilter bei MVA 66:646

Gips aus der Rauchgasentschwefelung 66:368 66:374 66:377

Gipswerke, Standorte 66:379

Glasmodell 66:527

Gradrohrdampferzeuger, Modell 66:527

Großkraftwerke der CEGB 66:200

Großprojekte im Kraftwerksbau 66:16

Gußwerkstoffe für Pumpen und Ventile in Rauchgasentschwefelungsanlagen 66:834/835

Härtestabilisierung in Kühlsystemen 66:48—53

Haftneigung von Kohle 66:139

Heizkraftwerke
— Brennstoffausnutzung 66:921
— Betriebslastdiagramm 66:915—921
— Blockschema 66:915—921
— neue Konzepte 66:915—921
— Stromausfallkennziffer 66:915—921
— Wasser-Dampfkreislaufschema 66:915—921
— Zwischenkühlkreislauf 66:915—921

Heizwert 66:534

Hitzeeinwirkung in Kesselräumen 66:1142

Hitzeerträglichkeit, Einfluß von Übergewicht 66:1149

Hitzeexposition
— alternierend 66:1145
— Auswirkung auf den Menschen 66:1144

Hochschulinstitute, Kraftwerkstechnik 66:97 66:784

Hochtemperaturgasreinigung 66:212

Hochtemperaturreaktor, AVR Jülich, Radiolysevorgänge im Wasser-Dampfkreislauf 66:1167—1171

Hüllflächenverfahren 66:610

Hydraulische Aufweitanlage HYTEX 66:289

Inbetriebsetzung 66:427

Induktiv gebogene Rohre 66:58—62

Inertisierung der Mühlenluft zur NO_x-Minderung 66:1051

INPO, Institute of Nuclear Power Operations 66:194

Integrierter Umweltschutz 66:477

Iod, Auswirkung chemischer Reaktionen auf das Verhalten des Spaltiods bei Störfällen 66:389—394

Ionenaustausch zur Feinreinigung von Wasser 66:159—170

Ionenschlupf in Kondensatreinigungsanlagen 66:274—279

Jalousieklappen für Rauchgase 66:1130

Kaliumhydroxid als Alkalisierungsmittel im Primärkreislauf von DWR 66:54—58

Kalkstein
— Gips REA 66:27
— zur Entschwefelung, Mechanismus 66:802
— zur Verbesserung des Schmelzflusses bei Schmelzfeuerung 66:838/839

Kationen-/Anionenaustauscherschaltung für die Kondensatreinigung 66:274—279

Kavitationsverschleiß an Speisepumpen 66:1119

Keramische Kühleinbauten in Kühltürmen 66:449/450

Keramische Werkstoffe für Armaturen 66:827—833

Kernenergieausbau in Frankreich 66:895 66:1010

Kernenergiedebatte 66:1007

Kernkraftwerk
— AVR Jülich, Radiolysevorgänge im Wasser-Dampfkreislauf 66:1167—1171
— Biblis, Primärkreischemie 66:257—268
— Biblis, Sekundärwasserchemie 66:1059—1071
— Leibstadt, Daten 66:427
— Inbetriebsetzung 66:427
— Mülheim-Kärlich 66:527
— Gundremmingen, Untersuchungen zum Korrosionsprodukttransport 66:659—663

Kernkraftwerke
— Aktivitätsaufbau in SWR-Anlagen 66:268—273
— Ausbildung und Lizenzierung von Personal 66:194
— Beeinflussung der Wasserchemie in SWR durch H_2-Dosierung 66:1162—1167
— Betriebserfahrungen 66:1108
— Betriebserfahrungen 1985 66:326—366
— Bewertung von Vorkommnissen 66:1116
— Brandschutz 66:949 66:604
— Dekontamination 66:579—588
— Einfluß chemischer Reaktionen auf Spaltiod bei Störfällen 66:389—394
— Ereignisanalyse 66:194
— Fernüberwachung 66:910
— Frankreich 66:1108
— Konvoi-Programm, bautechnische Verwirklichung von 1982 bis 1985 66:1089—1093
— Korrosionsverhalten von DE-Werkstoffen 66:977—982
— Notfallschutz 66:910
— Primärkühlmittelzusammensetzung 66:486—491
— Schwerpunkte der Chemie 66:46—48
— Sekundärwasserchemie in DWR-Anlagen 66:1059—1071 66:1072—1076
— Sicherheitskonzepte 66:710
— Untersuchungen zur DWR-Sekundärwasserchemie 66:969—976

Kesselspeisewasser
— Aufbereitung durch Umkehrosmose und Vollentsalzung 66:569—573
— Aufbereitung mittels Membranverfahren 66:395—399

Kesseltrommeln aus Kupfer-Nickel-(Molybdän-)Stählen 66:588—598

Kesselwasser, pH-Wert-geregelte Feststoffalkalisierung 66:157—159

Klappen für Rauchgase 66:1130

Klimasummenmaß, WBGT 66:1144

Kobalt 60
— Beitrag zum Aktivitätsaufbau 66:268—273
— Beitrag zum Dosisleistungsaufbau 66:46—48

Körperschallüberwachung 66:523

Kohäsionsneigung von Kohle 66:139

Kohlefallschacht, Verstopfungen 66:466/467

Kohlefluß zur Mühle im Dampfkraftwerk Zeltweg 66:466/467

Kohlenbunker
— Abzugseinrichtungen 66:135—137
— Auslaufverhalten 66:133—140
— Kernfluß 66:134
— Massenfluß 66:133
— Zubehör 66:138

Kohlenstaubfeuerungen
— Bildung von Stickstoffoxiden 66:542—550
— Flammenüberwachung 66:626—630
— Maßnahmen zur Minderung der NO_x-Bildung 66:632—635
— Primärmaßnahmen zur NO_x-Minderung 66:843—848

Kohlereinigungstechnik 66:550

Kohlevergasung 66:550

Kohlevergasungsanlagen 66:208

Kohle-Wasser-Gemisch 66:550

Kombi-Prozesse, integrierte Vergasung 66:211

Komponenten, Neubewertung 66:529

Kondensat, Feinreinigung durch Ionenaustausch 66:159—170

Kondensatreinigung, Versuche an Anlagenkonzepten mit und ohne Mischbett 66:274—279

Konvertierung von Kohlenstickstoff zu NO 66:735

Korrosion
— Ammoniakschlupf hinter Anlagen zur NO_x-Minderung 66:861—866
— Berechnung von Materialabträgen durch Erosionskorrosion 66:1171—1178
— DE-Rohre in Druckwasserreaktoren, Einfluß der Sekundärwasserchemie 66:969—976

— Einfluß der Sekundärwasserchemie auf DE-Rohre in DWR-Anlagen 66:977—982
— Einflußgrößen für Anfälligkeit gegen dehnungsinduzierte Rißkorrosion 66:481—485
— Stahl in Kühlsystemen, Filminhibierung 66:48—53

Korrosionsinhibierung in Kühlsystemen 66:48—53

Korrosionsprodukte
— Beitrag zum Dosisleistungsaufbau in SWR-Anlagen 66:659—663
— Transport im Primärkühlmittel von DWR-Anlagen 66:486—491

Korrosionsrißbildung 66:399—409 66:481—485

Korrosionsschutzschichten, Gasturbinenschaufeln 66:940

Kosten der Emissionsüberwachung in MVA 66:968

Kosten für den Umbau auf Kohlefeuerung im Heizkraftwerk Västerås 66:558

Kraft- und Wärmewirtschaft, Einflüsse auf die Entwicklung 66:87

Kraftwerk Aschaffenburg 66:743—749 66:835—843

Kraftwerk Bergkamen 66:846

Kraftwerk Cuno, NO_x-Minderung 66:1157

Kraftwerk Elverlingsen, NO_x-Minderung 66:1154/1155

Gemeinschaftskraftwerk West 66:847

Kraftwerk Hafen, Block 2 66:27

Kraftwerk Gustav Knepper 66:1046—1052

Kraftwerk Lausward 66:234—239 66:637—645 66:858—861

Kraftwerk Lippe-Werk der Vereinigten Aluminium-Werke AG, Lünen 66:804

Kraftwerk Maasvlakte, Umbau von Öl/Gas auf Kohle 66:529

Kraftwerk Niederaußem des RWE 66:559—563

Kraftwerk Schwandorf 66:650

Heizkraftwerk I der Stadtwerke Duisburg AG mit Zirkulierender Wirbelschichtfeuerung 66:804—807

Kraftwerk der Stadtwerke Flensburg 66:805

Kraftwerk Stigsnæs der Sydøstjællands Electricitets A/S (SEAS) 66:626—630

Kraftwerk Studstrup, Inbetriebsetzungserfahrungen 66:217

Heizkraftwerk Västerås der Västerås Stads Kraftvärmeverk AB 66:556—559

Kraftwerk Voerde 66:846

Kraftwerk Werne, Rauchgasentschwefelung und Abwasseraufbereitung 66:866—871

Kraftwerk Westerholt der VKR 66:1046—1052

Kraftwerk Westfalen der VEW, Block A, NO_x-Minderung 66:1155/1156

Dampfkraftwerk Zeltweg der ÖDK 66:462—472

Kraftwerke
— Entwicklungsphasen ab 1950 in der Bundesrepublik Deutschland 66:305
— Strukturwandel 66:303
— Zirkulierende Wirbelschichtfeuerung 66:804—807

Kraftwerksausbau
— Prognosen Frankreich 66:204 66:1010
— Prognosen Schweiz 66:1104

Kraftwerksbauprogramm der EdF 66:204

Kraftwerkschemie
— Einsatz von Rechnern zur Erfassung und Auswertung von Analysendaten 66:153—157
— Entwicklung seit Gründung des VGB-Speisewasserausschusses 66:148—153
— Zusammenwirken von Wissenschaft und Praxis innerhalb der VGB 66:105—107

Kraftwerksforschung 66:97 66:204 66:782 66:886 66:1005 66:1096 66:1200

Kraftwerksnebenprodukte
— Aufbereitung 66:654
— Beeinflussung durch DENOX 66:654
— Deponierung 66:653
— Verwertung 66:650

KRAFTWERKSSCHULE E.V. 66:705

Kraftwerkstechnik, Tagesfragen 1986 66:1007

Kraftwerkswarten, Bildschirmanwendung 66:32

Kreuzkorrelationsprinzip bei der Flammenüberwachung 66:626—630

Kriechberechnung einer Rohr-Plattenverbindung 66:288—290

Kriechrißwachstum an warmfesten Stählen 66:875—881

Kriechschädigung an warmfesten Stählen 66:875—881

Kühltürme
— anlagentechnisches Konzept der Reingaseinleitung 66:922—928
— Ausbreitungsvorgänge bei der Reingaseinleitung 66:928—932
— Auslegungsdaten bei Keramikeinsatz 66:449/450
— Betriebsverhalten bei der Reingaseinleitung 66:928—932
— Drallerzeuger 66:239—242
— Einbauhöhe bei Keramikeinsatz 66:449/450
— Emissionen bei der Reingaseinleitung 66:928—932
— Keramikeigenschaften 66:449/450
— Keramikkühleinbauten 66:449/450
— Kunststoffrohre 66:922—928
— Meßkampagne MKV Völklingen 66:928—932
— Modelluntersuchungen 66:239—242
— Rauchgaskonzentrationsprofile 66:239—242
— Rauchgas-/Schwaden-Mischeinrichtung 66:239—242
— Reingaseinleitung 66:922—928
— Winterbetrieb
  — Betriebsdiagramm 66:130—132
  — Bypasseinsatz 66:130—132
  — Frostschutzleitung 66:130—132
  — Hauptkühlsystem 66:130—132
  — Kernabschaltung 66:130—132

Kühlwasserbehandlung 66:48—53

Kunststoffe, Anwendung und Verhalten in Rauchgasentschwefelungsanlagen 66:767—771

Laständerungen, Kraftwerksblöcke 66:433

Lebensdauerüberwachung von Rohrleitungen im Zeitstandbereich 66:983—999

Leichtwasserreaktoren
— Schwerpunkte der Chemie 66:46—48
— Verhalten von Spaltiod bei Störfällen 66:389—394

Leiningerwerk 66:373

Leistungserhöhung, Anlagenmodifikation 66:603

Leitstandanbindung der REA 66:249

Leittechnik
— Erfahrungen mit Teleperm M 66:814
— NO_x-Minderungsmaßnahmen, Auswirkungen auf die 66:451
— Rauchgasentschwefelungsanlagen 66:242

Lenkhebelklappe für Rauchgase 66:1130

Ljungström-GAVO an REA 66:1123

Lochfraß in Gußwerkstoffen für Pumpen und Ventile 66:834

Luftstufung bei der Kohlenstaubfeuerung 66:546—548

Luftüberschuß 66:534

Luftverteilung bei der Rostfeuerung 66:730

Magnetit
— Löslichkeitsverhalten in Abhängigkeit von Temperatur und pH-Wert 66:762—767
— Modell zur Berechnung der Schichtbildung und Metallauflösung 66:1077—1080

Mahl- und Feuerungsanlage, Schema für Zyklonfeuerung 66:235

Mannesmann-Verbinder Austenit-Ferrit 66:292—296

Mehrfachstufenmischbrenner 66:633/634

Membranverfahren
— Deionatgewinnung aus Kühlwasser 66:573—579
— Kesselspeisewasserbereitung 66:395—399
— Wasseraufbereitung, Umkehrelektrodialyse 66:655—659
— Wasseraufbereitung, Umkehrosmose 66:569—573

Meßpunktdichte 66:610

Meßwerterfassung, Auswertung und Darstellung mittels Rechnern 66:153—157

Metallographische Untersuchung von Austenit-Ferrit-Verbindern 66:292—296

Methoden der Energiespeicherung 66:109

Mikrofiltration bei der Wasseraufbereitung 66:395—399

Minderung der NO_x-Bildung
— bei Rostfeuerungen 66:732
— bei Schmelzfeuerungen 66:744—749 66:835—843

Mischeinrichtung, Rauchgas-/Schwaden in Naturzug-Naßkühltürmen 66:239—242

Momentanreserve für Wasserstoff/Sauerstoff 66:793

Müllverbrennung
— Abfallwirtschaftsfaktor 66:385
— Anwendung im internationalen Vergleich 66:565
— Emissionsfaktoren und Grenzwerte im Vergleich 66:566
— saure Wäsche 66:40
— Substitutionspotentiale 66:565

MVA München-Nord 66:251

Nachschaltkreisläufe zur Abwärmenutzung 66:419

Natronlauge zur Kesselwasseralkalisierung, pH-Wert-geregelte Dosierung 66:157—159

Naturumlauf-Dampferzeuger, pH-Wert-geregelte Feststoffalkalisierung 66:157—159

Naturzugkühltürme, bautechnische Umrüstung für REA 66:933—940

Niederflüchtige Kohle, Erprobung von Maßnahmen zur Verbrennung 66:234—239

NO_x-Bildung 66:550 66:642—644 66:733—738 66:1151
— Abhängigkeit von der Luftzahl, Einfluß der Kohleart, der Rauchgasrückführung und der Brennstoffstufung 66:643/644
— Beeinflussung durch Luftüberschuß, Luftstufung, Wandtemperatur, Kohleart und Brennstoffstufung 66:468—470 66:543—550 66:632/633
— Einfluß des Brennerdralls und der Oberluftmenge 66:839/840
— Einfluß der Kohleprovenienz und der Zahl der Betriebsmühlen 66:745—747
— Einfluß des Staubeinblasesystems, der Brennerbauart, der Kohle, der flüchtigen Bestandteile und der Luftverhältniszahl 66:736/737
— Erprobung von Maßnahmen zur Minderung 66:234—239
— in Kohlenstaubfeuerungen 66:541—550 66:631—637
— bei Schmelzfeuerungen 66:733—738 66:743—749 66:1046—1052

NO_x-Emission bei Rostfeuerungen 66:731/732

NO_x-Minderung 66:374 66:453 66:754—759 66:1123
— Änderung von Luftüberschuß, Rauchgasrezirkulation, Luftstufung und Brennstoffstufung 66:1150—1159
— Braunkohlenstaubfeuerungen 66:956—959
— in Kohlenstaubfeuerungen, betriebliche Konsequenzen 66:843—848
— Kombi-Block 66:858—861
— SCR-Anlage im Schwachlastbereich 66:630
— Steinkohleschmelzfeuerung 66:835—843 66:1150—1159
— Versuchs- und Großanlagen 66:777 66:1127

NO_x-Minderungsmaßnahmen, Auswirkungen auf die Leittechnik 66:451

Oberluftzugabe zur NO_x-Minderung bei Braunkohlenstaubfeuerung 66:957/958

Ölfeuerung, Maßnahmen zur Minderung der NO_x-Bildung 66:635/636

Öl-/Gasbrenner, zweiflutig, für Kombi-Betrieb 66:860

Organic-Rankine-Kreislaufanlagen 66:419

Osmose, umgekehrte
— Deionatgewinnung aus Kühlwasser 66:573—579
— großtechnische Anwendung zur Wasserentsalzung 66:569—573
— Speisewasseraufbereitung 66:395—399

Otto-Hahn-Preis 1986 66:187

Oxidation von Stahl 66:762—767

Oxidschichten, Modell zur Berechnung der Schichtbildung und Metallauflösung 66:1077—1080

Ozonverfahren (O_3) 66:777

Planaufstellung vor dem Genehmigungsverfahren bei einer MVA 66:740

Planung, Bau und Betrieb von Kraftwerken in Entwicklungsländern 66:23

Planung und Bau eines Gasturbinenkraftwerkes 66:1041

Platzverhältnisse 66:27

Phasengleichgewicht Schwefelsäure/Wasser 66:849

Phosphatfahrweise, Korrosionsverhalten von DE-Rohren 66:977—982

Phosphono-butan-tricarbonsäure zur Filminhibierung der Stahlkorrosion in Kühlsystemen 66:48—53

Preisentwicklung der Brennstoffe 66:88

Primärenergieträger 66:102

Primärenergieverbrauch in Frankreich 66:1011

Primärkühlmittelchemie
— DWR-Anlage Biblis 66:257—268
— DWR-Anlagen, Alkalisierung mit KOH 66:54—58
— kombinierte Li/B-Fahrweise 66:486—491

Primärmaßnahmen zur Minderung der NO_x-Bildung 66:631—637

Primärmaßnahmen zur NO_x-Minderung
— Braunkohlenstaubfeuerungen 66:956—959
— Kohlenstaubfeuerungen, betriebliche Konsequenzen 66:843—848
— Steinkohleschmelzfeuerungen 66:743—749 66:835—843 66:1046—1052
— Zyklonfeuerungen 66:237/238

Prozeßführung für REA 66:248

Pyrolyse 66:472
— Analysen der Schadstoffströme 66:475

Radioaktive Abgaben der Kernkraftwerke 1985 66:328

Radiolyse im Wasser-Dampfkreislauf des AVR-Reaktors Jülich 66:1167—1171

Rahmenbedingungen zur Müllverbrennung 66:387

Rauchgasentschwefelung 66:1123 66:1160
— Alternative zur 66:550
— RWE-Braunkohlekraftwerke, chemische Überwachung 66:759—762
— Verfahrensübersicht 66:754—759
— Wilhelmshaven 66:367
— Zolling 66:373
— Zusammensetzung und Aufbereitung des Abwassers 66:866—871

Rauchgasentschwefelungsanlagen
— Abwasser 66:866—871
— Anwendung und Verhalten von Kunststoffen 66:767—771
— Armaturen 66:823—835
— Leittechnik 66:242
— Leittechnik, Anlagenkosten 66:250
— Leittechnikkonzept 66:245
— Wärmetauscher aus Graphit 66:945—949

Rauchgasklappen, Weiterentwicklungen und Betriebserfahrungen 66:1130

Rauchgasmenge
— Berechnung 66:534
— Netzmessung 66:534
— Punktmessung 66:534

Rauchgasmessungen bei MVA 66:40 66:254 66:645

Rauchgasreinigung
— chemische Probleme 66:754—759
— chemische Überwachung 66:759—762
— Naßverfahren für MVA 66:40
— Quasi-Trockensorption 66:251 66:645
— Trockensorption 66:645

Rauchgasreinigungsanlage 66:27

Rauchgasrückführung bei Zyklonfeuerung 66:639

RBMK-1000, Reaktorunfall 66:902

REA siehe Rauchgasentschwefelung

Reaktorunfall Tschernobyl, Übertragbarkeit 66:902

Rechnereinsatz zur Meßwerterfassung und -verarbeitung im chemischen Kraftwerkslabor 66:153—157

Reduzierung von NO 66:542—544

Regenerativwärmetauscher in der Umwelttechnik 66:1123

Rehabilitation von Kraftwerken in Entwicklungsländern 66:26

Reingaseinleitung in Naturzug-Naßkühltürme 66:922—928

Rekontamination nach Dekontamination von Anlagenteilen in Kernkraftwerken 66:579—588

Restduktilität 66:171

Risiken und Vorsorge in der Kraftwerkstechnik 66:10

Rißkorrosion, dehnungsinduzierte; Begriffsbestimmung, Einflußgrößen, Beispiele 66:481—485

Rohrböden, Berechnung 66:1190—1194

Rohrbündelwärmetauscher; rechnergestützte Dimensionierung 66:1080—1088

Rohrleitungen, Korrosionsschäden 66:481—485

Rohrleitungen im Zeitstandbereich, Lebensdauerüberwachung 66:983—999

Rostfeuerungen, Entwicklungen 66:728—732

Säuretaupunkt in Feuerungsabgasen 66:848—851

Sattdampfturbinen, Erosionskorrosion 66:127

Sauerstoff, Einfluß auf dehnungsinduzierte Rißkorrosion in Hochtemperaturwasser 66:481—485

SCR-Plattenkatalysator 66:852

SCR-Verfahren 66:777 66:861
— hinter REA bei Trockenfeuerung 66:27
— hinter Schmelzfeuerung 66:852
— hinter Trockenfeuerung 66:852

SCR-Wabenkatalysator 66:852

Sekundärwasserchemie, Einfluß auf das Korrosionsverhalten von DE-Rohren 66:977—982

Sekundärwasserchemie in DWR
— Entwicklungsstufen 66:1059—1071
— Erfahrungen der EdF 66:1072—1076
— Untersuchungen 66:969—976

Sicherheitskonzepte von Kernkraftwerken 66:710

Sicherheitskriterien für Kernkraftwerke 66:710

Siedewasserreaktor
— Aktivitätsaufbau durch Co-60 66:268—273
— Beeinflussung der Wasserchemie durch H_2-Dosierung 66:1162—1167
— Korrosionsprodukttransport 66:659—663
— Leistungserhöhung 66:603

Siliciumcarbid (EKasic), Werkstoff für Armaturen 66:831

Siliciumnitrid (EKasin), Werkstoff für Armaturen 66:827—833

SNCR-Verfahren 66:777 66:861

SNR 2 66:716

Sondermüllverbrennung, Rauchgasreinigung 66:40

SO_2-Emission bei Rostfeuerungen 66:731

SO_2-SO_3-Konversion 66:852

Spaltiod, Einfluß chemischer Reaktionen bei Störfällen in Leichtwasserreaktoren 66:389—394

Spannungsrißkorrosion 66:399—409

Speisepumpen
— Erfahrungen mit Pumpen großer Leistung 66:1119
— Schallmessungen 66:610

Speisewasser, Korrosionsprodukttransport in der 2 × 1300-MW-SWR-Anlage Gundremmingen 66:659—663

Sprühsorption zur Rauchgasreinigung bei MVA 66:251 66:645

Spurenstoffe bei der Verbrennung von Kohle 66:750—753

Schadgaskomponenten, kontinuierliche Emissionsüberwachung in MVA 66:960

Schäden an Gasturbinen 66:616

Schalldruckmessung 66:610

Schalleistungsermittlung 66:610

Schallintensitätsmessung 66:610

Schieber zur Absperrung von Rauchgasen 66:1130

Schmelzfeuerung, NO_x-Bildung 66:733—738

Schmelzfeuerungen, Minderung der NO_x-Bildung 66:743—749 66:835—843 66:845—847

Schnelle Brüter 66:716

Schwefeleinbindung 66:550

Schwefelsäurekonzentration, Messung in Feuerungsabgasen 66:850

Schwefelsäure/Wasser, Phasengleichgewicht 66:849

Schwenkflügelklappen für Rauchgase 66:1130

Schwermetallabscheidung 66:40 66:255 66:645

Schwingungsrißkorrosion 66:399—409

Schutzschichten
— Gasturbinenschaufeln 66:940
— Modell zur Berechnung 66:1077—1080

Stahlbeton, Temperaturzwängungen in kerntechnischen Anlagen 66:492—497

Staubmessung, kontinuierliche, in MVA 66:962

Steinkohleflugasche
— mineralogische und technologische Eigenschaften 66:1194—1199
— Untersuchungen zur Reaktivität im Zementmörtel 66:772—776

Stickoxide, Verfahren zur Ausscheidung 66:4

Stickoxidminderung siehe NO_x-Minderung

Stickoxidreduktion, verschiedene Verfahren 66:1123

Stickstoffanteil der Kohle, Einfluß auf NO_x-Bildung 66:541—546

Störfallsimulation an einem Naturumlaufkessel 66:113

Stolze, Gasturbinen 66:440

Strömungsvorgänge in Feuerräumen 66:224

Stromerzeugung aus Wasserstoff 66:793—801

Stromerzeugungskosten 66:90

Stromversorgung in der Schweiz 66:1104

Stufenmischbrenner 66:632

Stufenverbrennung 66:631—637

Stufenverbrennung von Kohlenstaub 66:546—548 66:735

Stufenverbrennung zur NO_x-Minderung 66:1049—1051

Taupunkt in Feuerungsabgasen 66:848—851

TAV-Flugasche 66:650

Technik, zukünftige, im Kraftwerksbau 66:1

Teleperm-M-Leittechnik, Erfahrungen 66:814

Thermohydraulische Berechnung, Wärmetauscher 66:285—291

Toleranzzeiten bei hoher Hitzebelastung 66:1144

Topfgehäusepumpen, Erfahrungen mit Pumpen großer Leistung 66:1119

Transmembrandestillation, Anwendung zur Wasserentsalzung 66:395—399

TRD, Änderungen und Ergänzungen 66:498—501

TRD 301 Anlage 1, Auslegung von Dampferzeugern 66:1178—1190

Trocken-Additiv-Entschwefelung bei Rostfeuerungen 66:731

Trockenfeuerung, NO_x-Minderung 66:845—847

Trockensorption zur Rauchgasreinigung bei MVA 66:645

Tröpfchenmessung 66:1161

Tropfenabscheider 66:1160

Tschernobyl, Reaktorunfall 66:902

TVO, Teollisuuden Voima Oy 66:603

Ultrafiltration bei der Wasseraufbereitung 66:395—399 66:573—579

Umbau der Kesselfeuerung von Braunkohle auf Steinkohle 66:462—472

Umbau des Heizkraftwerkes Västerås von Öl- auf Kohlefeuerung 66:556—559

Umbau von zwei 540-MW-Einheiten im Kraftwerk Maasvlakte von Öl/Gas auf Kohle 66:529

Umkehrelektrodialyse, Anwendung zur Wasserentsalzung 66:573—579 66:655—659

Umkehrosmose
- — Deionatgewinnung aus Kühlwasser 66:573—579
- — großtechnische Anwendung zur Wasserentsalzung in der DDR 66:569—573
- — Speisewasseraufbereitung 66:395—399

Umlaufkühlung, Korrosionsinhibierung und Härtestabilisierung 66:48—53

Umrüstungsmöglichkeiten auf Kohlebrennstoff 66:620

Umweltschutz, Abwasserreinigung bei Kraftwerken 66:1052

Umweltschutzgesetzgebung der USA 66:477

Umweltschutzmaßnahmen, kohlebefeuerte Kraftwerke 66:305

Umweltschutzsituation 66:1009

Unverbranntes in der Flugasche, Zusammenhang mit NO_x-Bildung 66:469

U-Rohr-Kompaktwärmetauscher, Berechnung 66:285—291

US-Verbinder Austenit-Ferrit 66:292—296

Verbrennung von Kohle auf dem Rost 66:728—732

Verbrennung von Kohle, Emission von Spurenstoffen 66:750—753

Verbrennung von Kohle auf dem Rost 66:728—732

Verbrennungsablauf und Rauchgasatmosphäre einer Zyklonfeuerung bei NO_x-Minderungsmaßnahmen 66:637—645

Verbrennungsrechnung für MVA 66:809

Verfügbarkeit, Zeit- und Arbeitsverfügbarkeit von Kernkraftwerken 1985 66:327

Vergasungsgase 66:210

Vermeidung von Ammonsalzbildung 66:630

Vermessungsaufgaben, EDV-Einsatz 66:882—885

Verschmutzung in konvektiven Kesselrohrbündeln 66:120

Verteilungsgleichgewicht von suspendierten Metalloxiden im Wasser-Dampfkreislauf 66:268—273

Verwertung von Kraftwerksnebenprodukten 66:650

Verwertungskonzept für REA-Gips 66:377

VGB-Auszeichnungen 66:896

VGB-Forschungsprogramm 66:32 66:97 66:523 66:610 66:704 66:772 66:940 66:969 66:1077 66:1194

VGB-FORSCHUNGSSTIFTUNG 66:97 66:703 66:897

VGB-Kongreß „Kraftwerke 1986" 66:893

VGB-Speisewasserausschuß, Gründung vor 60 Jahren 66:148—153

VGB-Tätigkeitsbericht, Ausblick 66:690

Wärmebehandlung; Einfluß auf Zeitstandfestigkeit 66:65—72

Wärmebehandlung induktiv gebogener Rohre 66:59

Wärmebilanz des menschlichen Körpers 66:1143

Wärmespannungen in Rohrböden, Berechnung 66:1190—1194

Wärmetauscher aus Graphit 66:945—949

Wärmetauscher, Berechnung 66:285—291

Wärmetauscher für Rauchgase 66:1123

Wärmeverbrauch
- — Abhängigkeit von der Frischdampfmenge 66:534
- — Abhängigkeit von der Generatorleistung 66:534
- — Abhängigkeit von der Nettoleistung 66:534

Warmfeste Kupfer-Nickel-(Molydbän-)Stähle 66:588—598

Warmfeste Stähle, Kriechschädigung 66:875—881

Wartentechnik für REA 66:249

Wasseraufbereitung
- — Deionatgewinnung aus Kühlwasser 66:573—579
- — Feinreinigung von Wasser durch Ionenaustausch 66:159—170
- — Membranverfahren 66:395—399
- — umgekehrte Osmose 66:569—573
- — Umkehrelektrodialyse und Ionenaustausch 66:655—659

Wasserchemie
— Einfluß auf die Erosionskorrosion 66:762—767
— schwedische SWR-Anlagen 66:1162—1167
— Zusammenwirken von Forschung und Betrieb in der VGB 66:105—107

Wasser-Dampfkreislauf
— AVR-Reaktor Jülich, Radiolysevorgänge 66:1167—1171
— Berechnung von Materialabträgen durch Erosionskorrosion 66:1171—1178
— Modell zur Berechnung von Schutzschichtbildung und Metallauflösung 66:1077—1080
— Ursachen der Erosionskorrosion 66:762—767
— Verteilung von suspendierten Metalloxiden 66:268—273

Wasserstoff, Dosierung in schwedischen SWR-Anlagen 66:1162—1167

Wellendichtungen großer Speisepumpen 66:1119

Wellmann-Lord-Verfahren 66:1126

Werkstoffe
— Armaturen in Rauchgasentschwefelungsanlagen 66:823—835
— Rohrleitungen im Zeitstandbereich 66:983—999
— warmfeste Kupfer-Nickel-(Molybdän-)Stähle 66:588—598
— 10 CrMo 9 10, Zeitstandbeanspruchung 66:63—72
— 13 CrMo 4 4, Zeitstandbeanspruchung 66:63—72 66:170—177
— 15 NiCuMoNb 5, Warmfestigkeitseigenschaften von induktiv gebogenen Rohren 66:60
  — fünf Jahrzehnte Entwicklung 66:588—598
— X 20 CrMoV 12 1, Zeitstandbeanspruchung 66:170—177

Werkstoffe im Kraftwerksbau, Entwicklung 66:663—672

Werkstoffeigenschaften nach Betriebsbeanspruchung 66:63—72 66:170—177

Winkelfehler 66:610

Winterbetrieb von Naturzug-Naßkühltürmen 66:130—132

Wirbelschichtfeuerung 66:550
— zirkulierende 66:801—807

Wirbelschichtfeuerung (stationär)
— Aufbau und Auslegung 66:458—462
— Betriebserfahrungen 66:458—462
— Betriebsweise 66:458—462
— für Industriekraftwerke 66:458—462
— Regelverhalten 66:458—462
— Verfügbarkeit 66:458—462

Wirtschaftliche Auslegung von Kreisprozessen 66:1

Wirtschaftlichkeit von Investitionen zur Verbesserung des Wärmeverbrauchs 66:306

Wirtschaftlichkeitsbetrachtung für Zündfeuerung 66:562

Zähigkeitseigenschaften von induktiv gebogenen Rohren 66:60

Zementwerke, Standorte 66:380

Zeitstandbeanspruchung 66:63—72 66:170—177

Zeitstandfestigkeit nach Betriebsbeanspruchung 66:63—72 66:170—177

Zirkulierende Wirbelschichtfeuerung (ZWS) 66:801—807

Zündbrenner für Braunkohlenstaub 66:562

Zündfeuerung für Braunkohlenstaub 66:559—563

Zusammenarbeit, internationale 66:214 66:895 66:898

Zuschüsse zum Bau eines Müllheizkraftwerkes 66:738

Zyklonabscheider für Dampferzeuger 66:1036—1041

Zyklonfeuerung, Verbrennung niederflüchtiger Kohle und Maßnahmen zur Minderung der NO_x-Bildung 66:234—239

Zyklonfeuerung, Verbrennungsablauf und Rauchgasatmosphäre bei NO_x-Minderungsmaßnahmen 66:637—645

Persönliches

Abel, Gerhart, aus dem VGB-Vorstand ausgeschieden 66:887
Barthelt, Klaus, 60 Jahre 66:297
Bechtold, Klaus, Nachfolger von Gerhard Hecker im Elektromark-Vorstand 66:787
Becker, Karl Eugen, weiterhin Präsident des VDI 66:77
von Bennigsen-Foerder, Rudolf, Ehrendoktorwürde der Universität Essen 66:1098
Bieber, Karl-Heinz, 60 Jahre 66:509
Biehl, Hans-Reiner, 50 Jahre 66:1202
Bochmann, Hans-Peter, gestorben 66:297
Böker, Hermann, aus dem VGB-Vorstand ausgeschieden 66:887
Brecht, Christoph, 65 Jahre 66:1202
Brudermüller, Gerhard, in KWO-Geschäftsführung 66:77
Brüderlin, Heinz, Vorstandsvorsitzender bei TWS 66:599
Bursik, Albert, zum Professor ernannt 66:509
Cautius, Werner, gestorben 66:1098
Cronemeyer, Theodor, gestorben 66:1098
Detharding, Herbert, neuer Vorsitzender des Vorstandes der Mobil Oil AG 66:297
Doležal, Richard, 65 Jahre 66:508
Dräger, Heinrich, gestorben 66:684
Eisele, Hubert, Nachfolger von Heinz G. Fendler 66:179
Ellmer, Martin, 65 Jahre 66:787
Ertle, Hans Jürgen, aus der Geschäftsführung der Saarberg-Interplan ausgeschieden 66:509
van Eyndhoven, Frans H.M., 60 Jahre 66:1005
Fendler, Heinz G., im Ruhestand 66:179
Fiala, Ernst, Ehrendoktorwürde 66:1005
Fosshag, Wolfgang, in die Geschäftsführung der Saarberg-Interplan berufen 66:509
Galinski, Hans, Wechsel im Präsidium des Vereins Deutscher Ingenieure (VDI) 66:1202
Gerber, Peter, ab 1986 neuer Direktor des VDI 66:77
Gräfen, Edmund, 65 Jahre 66:886
Grawe, Joachim, neuer Hauptgeschäftsführer der VDEW 66:684
Günther, Rudolf, 75 Jahre 66:411
Günther, Willibald, 75 Jahre 66:297
Haase, Martin, 65 Jahre 66:508
Hahn, Carl Horst, 60 Jahre 66:684
Hartung, Horst, 60 Jahre 66:179
Hausner, Otto, weiterhin Vorstandsvorsitzender der ARE 66:600
Heck, Heinz, Robert-Mayer-Preis des VDI 66:78
Hecker, Gerhard, 60 Jahre 66:77
Hecker, Gerhard, Ehrensenator der Technischen Universität München 66:78
Heidinger, Peter F., neuer VDEW-Vorsitzender 66:684
Heitmann, Wilhelm, neuer Geschäftsführer bei EVT 66:787
Hess, Wolfgang, Robert-Mayer-Preis des VDI 66:78
Hiller, Heinz, im Ruhestand 66:411
Jähne, Norbert, gestorben 66:410
Jakobsen, Erik L., 70 Jahre 66:1202
Kammholz, Günter, 60 Jahre 66:787
Kaun, Ulrich, weiterhin Vorsitzender der TÜV-Leitstelle Kerntechnik 66:77
Kiekenberg, Hermann, 85 Jahre 66:508
Kiwit, Wilhelm, 60 Jahre 66:1202
Klätte, Günther, 60 Jahre 66:1202
Klätte, Günther, Ehrendoktorwürde 66:684
Kleiß, Werner, 50 Jahre 66:179
Klump, Walter, 75 Jahre 66:411
Knizia, Klaus, Otto-Hahn-Preis 66:78 66:187—193
Koch, Hans, Großes Bundesverdienstkreuz 66:78
Komo, Gottlieb, gestorben 66:179
Krämer, Hermann, Vorsitzender des PreussenElektra-Vorstandes 66:77
Künzel, Karlheinz, neuer Vorsitzender des Informationskreises Kernenergie 66:179
Kurtze, Günther, gestorben 66:410
Kußmaul, Karl, Bundesverdienstkreuz 1. Klasse 66:600
Landré, Heinz F., neuer Präsident des DVS 66:1098
Lewinsky, Herbert C, aus Vorstand der Mobil Oil AG ausgeschieden 66:297
Löhle, Herbert, 65 Jahre 66:77
Löhle, Herbert, Vorsitz des Technischen VGB-Beirates niedergelegt 66:179
Löhle, Herbert, im Ruhestand 66:684
Löhle, Herbert, aus dem VGB- und KWS-Vorstand ausgeschieden 66:887
Loew, Heinz, 60 Jahre 66:886
Mäule, Reinhold, in den VGB-Vorstand gewählt 66:887
Magerl, Horst, im Vorstand der TWS 66:600
Marnet, Chrysanth, Vorsitzender des Technischen VGB-Beirates 66:179
Mayer, Gerhard, neuer Kraftwerksdirektor bei EVS 66:297
Mayr, Anton, Nachfolger von Hans-Georg Stöltzing 66:297
Meyer, Fred, 60 Jahre 66:508
Meysenburg, Helmut, 80 Jahre 66:77
Mörgen, Günther, 60 Jahre 66:509
Morell, Frank W., neuer Leiter der VDI-Fachgliederungen 66:411
Mühlberg, Heinz J., 65 Jahre 66:411
Müller, Erwin, 70 Jahre 66:1005
Nürnberg, Klaus, Vizepräsident des DVS 66:1098
Osenroth, Klaus, Erster Werkleiter der Stadtwerke Solingen 66:787
Pahl, Gerhard, VDI-Ehrenzeichen 66:684
Peters, Werner, aus der Geschäftsführung der Bergbau-Forschung ausgeschieden 66:179
Pich, Rudolf, 60 Jahre 66:599
Pich, Rudolf, zum Honorarprofessor ernannt 66:179
Piechota, Helmut, in den VGB-Vorstand gewählt 66:887
Potthast, Günther, 25 Jahre bei der BASF 66:297
Potthast, Ulrich, im Vorsitz des Deutschen Dampfkesselausschusses 66:1202
Reh, Lothar, zum ordentlichen Professor gewählt 66:684
Resch, Gerhard, 60 Jahre 66:509
Risse, Fritz, 60 Jahre 66:411
Roeder, Karl-Paul, 65 Jahre 66:411
Rost, Manfred, VDI-Ehrenring 66:684
Ruckdeschel, Walter, neuer Präsident beim Bayerischen Landesamt für Umweltschutz 66:887
Sandvoss, Hans-Dieter, 25 Jahre bei SAMSON 66:77

Sinn, Hansjörg, Mitglied des Wissenschaftsrates 66:509
Snel, Art, 60 Jahre 66:787
Spähn, Heinz, 60 Jahre 66:411
Speich, Peter, Bundesverdienstkreuz 1. Klasse 66:600
Süthoff, Theodor, 65 Jahre 66:179
Schaefer, Helmut, 60 Jahre 66:411
Schenk, Herbert, aus der KWO-Geschäftsführung ausgeschieden 66:77
Scherrer, Edmund, 60 Jahre 66:599
Schilling, Hans-Dieter, zum Honorarprofessor ernannt 66:509
Schlichting, Bernd, stellvertretender Vorsitzender des Vorstandes der Mobil Oil AG 66:297
Schmitt, Wilhelm, in den VGB-Vorstand gewählt 66:887
Schnell, Peter, 60 Jahre 66:297
Schoeneberg, Thomas, im PreussenElektra-Vorstand 66:411
Schreckenberg, Friedrich, 60 Jahre 66:411
Schreckenberg, Friedrich, Verdienstmedaille 66:509
Schub, Peter, 50 Jahre 66:509
Schulte, Richard, gestorben 66:1005
Schwarz, Ottmar, 65 Jahre 66:1005
Stäbler, Karl, neuer Vorsitzender des KWS-Vorstandes 66:887
Stancescu, Ioan D., 75 Jahre 66:1005
Stiegler, Friedrich, gestorben 66:297
Stöltzing, Hans-Georg, im Ruhestand 66:297
Strauß, Karl, 60 Jahre 66:887
Stürmer, Wilfried, Geschäftsführer der Schoppe & Faeser GmbH 66:179
Thoenes, Hans-Willi, weiterhin Vorsitzender der TÜV-Leitstelle Kerntechnik 66:77
Tiktak, Albert, Vorsitzender des PZEM-Vorstandes 66:411
Timm, Manfred, im Vorstand der HEW 66:179
Timm, Manfred, in den VGB- und KWS-Vorstand gewählt 66:887
Tisborn, Benno, 25 Jahre bei der VGB 66:600
Trenkler, Harro, 65 Jahre 66:787
Tusk, Heinz, 50 Jahre 66:179
Unden, Alois Walther, gestorben 66:411
Vogt, Friedrich, gestorben 66:179
Wachter, Jakob, gestorben 66:297
Wehrberger, Franz, 75 Jahre 66:1202
Wein, Werner, in den KWS-Vorstand gewählt 66:887
Weisenburger, Siegfried, Günter-Wirths-Preis 1986 66:411
Wölk, Rudolf, neuer Geschäftsführer bei EVT 66:77
Zerna, Wolfgang, 70 Jahre 66:886
Ziegler, Alois, Nachfolger von Werner Peters 66:179

Buchbesprechungen

AD-Merkblätter — Taschenbuch-Ausgabe 1984 66:889
AD-Merkblätter — Taschenbuch-Ausgabe 1985 66:416
Arbeitssicherheit, Leitfaden in Frage und Antwortform 66:890
Aseismischer Anlagenbau — Grundlagen und Anwendungen 66:80
Aufbau und Wirkungsweise von Kernkraftwerken 66:416
Basiswissen Elektronik 66:1006
Beton-Handbuch, Leitsätze für Bauüberwachung und Bauausführung 66:890
Betrieb und Umwelt 66:183
Betrieb von Wärmekraftwerken, Teil 1 66:890/891
Brandschutz und Feuersicherheit in Arbeitsstätten 66:513
Das Verhalten der Stähle beim Schweißen, Teil II: Anwendung 66:417
Der Unfall im Kernkraftwerk Tschernobyl, GRS-S-39 (Juni 1986) 66:687
Die Beseitigung von Sondermüll 66:184
Die Großfeuerungsanlagenverordnung — Technischer Kommentar 66:889/890
Die Planfeststellung für Anlagen zur Endlagerung radioaktiver Abfälle — Verfahrensrechtliche Überlegungen zum Endlagerbergwerk im Salzstock Gorleben 66:512
Digitaltechnik 66:513
Drehzahlgeregelte Drehstromantriebe — Wirkungsweise und Einfluß auf das Versorgungsnetz 66:512
DVS-Bericht, Band 90 — Schweißen und Schneiden 84 66:789
Einflußgrößen der Zeitsicherheit bei technischen Anlagen 66:1207
Elektrische Starkstromanlagen — Stromsysteme, Netze, Leitungen, Kurzschlußschutz 66:511
Elektronische Bauelemente und Schaltungen der Energietechnik — von der µP-Technik bis zur Leistungselektronik 66:789
Energetische Verfahrenstechnik 66:511
Energy and Economy — Global Interdependences 66:891
Entwicklung und Anwendung eines Kühlturmschwadenmodells 66:1006
Fachbibliographie Schweißtechnik, Band 31 66:182/183
Fachbuchreihe Schweißtechnik, Band 8 66:789
Fachbuchreihe Schweißtechnik, Band 80/Teil 1, Schweißtechnisches Handbuch für Konstrukteure, Teil 1: Grundlagen, Tragfähigkeit, Gestaltung 66:1208
Feuerlöschmittel 66:302
Formziffern an Ausschnitten in dickwandigen Zylindern (VdTÜV-Forschungsbericht) 66:789
Forschung in der Kerntechnik — die Rolle der Großforschung 66:688
Fortschritt durch digitale Meß- und Automatisierungstechnik — INTERKAMA-Kongreß 1983 — 66:183
Funktionsfähigkeit von Grenzwertgebern — Untersuchungen über besondere Einflüsse auf die Funktionsfähigkeit von Grenzwertgebern 66:1208
Gasturbinenkraftwerke, Kombi-Kraftwerke, Heizkraftwerke und Industriekraftwerke 66:301
Gesundheitsschädliche Arbeitsstoffe, toxikologisch-arbeitsmedizinische Begründung von MAK-Werten 66:416
Glasschmelzöfen — Konstruktion und Betriebsverhalten 66:183
Große Naturzugkühltürme — Bauwerke der Energie- und Umwelttechnik 66:511
Grundgebiete der Elektrotechnik, Band 1: Stationäre Vorgänge 66:300/301

Handbuch des Deutschen Wasserrechts (HDW) 66:184 66:513
Handbuch der industriellen Meßtechnik 66:301
Handbuch der Schweißverfahren, Teil I: Lichtbogenschweißen 66:416
Handbuch des Unterpulverschweißens, Fachbuchreihe Schweißtechnik, Band 63 66:512
Heat and Mass Transfer in Rotating Machinery 66:80
Heat Flow Through Extented Surface Heat Exchangers 66:183

Immissionsschutz 66:183
Immissionsschutz-Wegweiser 66:183/184

Jahrbuch der Dampferzeugungstechnik 66:1208
Jahrbuch Elektrotechnik 1984 66:301
Jahrbuch 1985/86 Bergbau, Öl und Gas, Elektrizität, Chemie 66:301/302

Lagerung und Transport wassergefährdender Stoffe 66:1207/1208
Lagerung von staubförmigen Schüttgütern in Bunkern und Silos unter sicherheitstechnischen Gesichtspunkten 66:513
Lehrbuch der angewandten Mechanik 66:80
Leitwartengestaltung bei neuen Automatisierungsstrukturen 66:688
Lexikon der Elektrotechnik, Definitionen des VDE-Vorschriftenwerkes 66:891
Low Reynolds Number Flow Heat Exchanger 66:182
Luftreinhaltung — Leitfaden zur kontinuierlichen Emissionsüberwachung 66:512

Mathematische Verfahren der Regelungstechnik, Numerische Verfahren gezeigt mit dem HP 14 66:416
Maximale Immissionswerte zum Schutz des Menschen und maximale Immissions-Konzentrationen für Stickstoffoxid 66:688
Metallographische Anleitung zum Farbätzen nach dem Tauchverfahren: Teil I: Farbätzen nach Klemm, Teil II: Farbätzmittel nach Beraha und ihre Abwandlungen 66:512

Neue Aspekte der Energieforschungspolitik 66:300
Neue Möglichkeiten in der konstruktiven Gestaltung von Bauwerken 66:511
Notes and Radiation Effects on Materials 66:1208

Perturbation Methods in Heat Transfer 66:790/791
Programm Energieforschung und Energietechnologien 66:184

Recht der Energieversorgung 66:182
Recycling-Handbuch 66:300
Reinhaltung der Luft in großen Städten 66:417
Riß- und Brucherscheinungen bei metallischen Werkstoffen 66:300
Rohrleitungstechnik 66:789/790
Sichere Handhabung brennbarer Stäube 66:688
Sicherheitsanalyse nach der Störfall-Verordnung 66:416
Sicherheitstechnik 66:184
Schutzgasschweißen 66:513
Schweißkonstruktion und Betriebsfestigkeit in der Praxis 66:512
Schweißtechnisches Handbuch für Konstrukteure, Teil 2: Stahl-, Kessel- und Rohrleitungsbau 66:301
Stabiles Rißwachstum unter konstanter Belastung 66:890
Stahl im Hochbau 66:790
Strahlenschutzfibel für beruflich strahlenexponierte Personen 66:890
Strömungstechnik — Grundlagen, Maschinen, Anwendungen 66:80
Taschenbuch für Bergingenieure 1984, Steinkohle, Erze, Salze 66:416/417
Technische Anleitung zur Reinhaltung der Luft und Verordnung über Großfeuerungsanlagen 66:889
Thermal Energy Storage 66:184
Trace Elements in Coal, Volume I and II 66:417
TRD — Technische Regeln für Dampfkessel — Taschenbuch-Ausgabe 1984 66:790
TRD — Technische Regeln für Dampfkessel — Taschenbuch-Ausgabe 1985 66:511
Ultraschallmessung des Reinheitsgrades metallischer Werkstoffe 66:889
VDE-Schriftenreihe, Band 1, Sachverzeichnis zum VDE-Vorschriftenwerk — Stand 8/84 66:889
VDI-Bericht 495, Emissionsminderung bei Feuerungsanlagen SO_2 — NO_x — Staub 66:790
Verordnung über Großfeuerungsanlagen 66:889
Wärmemengenmessung 66:417
Wasserdampftafeln 66:790
Weltenergieausblick 66:687/688

VGB KRAFTWERKSTECHNIK

MITTEILUNGEN DER VGB TECHNISCHEN VEREINIGUNG DER GROSSKRAFTWERKSBETREIBER

67. JAHRGANG (1987) • HEFTE 1—12

INTERNATIONALE FACHZEITSCHRIFT FÜR TECHNIK IN WÄRMEKRAFTWERKEN

Herausgeber

VGB TECHNISCHE VEREINIGUNG DER GROSSKRAFTWERKSBETREIBER E.V.

Vorsitzender: Direktor Dipl.-Ing. Dr.-Ing. E.h. F.J. Spalthoff, Essen;
Geschäftsführer: Direktor Senator E.h. Dr.-Ing. O. Schwarz, Essen;
Direktor Professor Dr. rer. nat. H.-D. Schilling, Essen.

Anschrift der Redaktion

VGB TECHNISCHE VEREINIGUNG DER GROSSKRAFTWERKSBETREIBER E.V.
Klinkestraße 27—31, Postfach 10 39 32, D-4300 Essen,
Fernruf (02 01) 48 62-6 86/6 87, Fernschreiber 857 507 vgb d.

Chefredaktion

Chefredakteur: Oberingenieur Dipl.-Ing. H. Bleßmann, Essen;
Redaktionsassistentin: Rita Maria Wilke, Essen.

Redaktion

Oberingenieur Dr. rer. nat. B. Forck, Essen;
Oberingenieur Dr.-Ing. J. Jacobs, Essen;
Abteilungsdirektor Dipl.-Ing. H. Kaes, Essen;
Oberingenieur Dr. rer. nat. H. Kittel, Essen;
Abteilungsdirektor Dipl.-Ing. K. Plate, Essen;
Abteilungsdirektor Dr.-Ing. G. Schlegel, Essen;
Oberingenieur Dipl.-Ing. G. Welten, Essen.

Wissenschaftlicher Redaktionsbeirat

Professor Dr. J. Beér, Cambridge, Massachusetts/USA;
Professor Dr. techn. Th. Bohn, Essen;
Professor Dr.-Ing. F. Brandt, Darmstadt;
Professor Dr.-Ing. H. Brüderlin, Stuttgart;
Professor Dr.-Ing. J. Buxmann, Hamburg;
Professor Dr.-Ing. G. Dibelius, Aachen;
Professor Dr.-Ing. H. Kremer, Bochum;
Professor Ir. J.J.C. van Lier, Delft/Niederlande;
Professor Dipl.-Ing. Dr. techn. W. Linzer, Wien/Österreich;
Professor Dr. techn. O.I. Martynova, Moskau/UdSSR;
Professor Dr. rer. nat. R. Schulten, Aachen.

Technischer Redaktionsbeirat

Dipl.-Ing. R. Aarni, Helsinki/Finnland;
Betriebsdirektor Dipl.-Ing. K. Bers, Berlin;
Dipl.-Ing. J. Garleff, Hamburg;
Direktor Dr.-Ing. W. Hlubek, Essen;
Dipl.-Ing. Dr. techn. F. Janitschek, Klagenfurt/Österreich;
Direktor Dr.-Ing. H. Krolewski, Dortmund;
Direktor Dipl.-Ing. ETH K. Küffer, Baden/Schweiz;
Direktor Dr. rer. nat. C. Marnet, Düsseldorf;
Dipl.-Ing. J. Pettersen, Lyngby/Dänemark;
Oberingenieur Dr. rer. nat. G. Resch, Dortmund;
Direktor Dipl.-Ing. J. Schulte, Leverkusen.

Vertrieb und Anzeigenverwaltung

VGB-KRAFTWERKSTECHNIK GMBH, Klinkestraße 27—31, Postfach 10 39 32,
D-4300 Essen, Fernruf (02 01) 48 62-6 80/6 81/6 83, Fernschreiber 857 507 vgb d.
Verantwortlich für Vertrieb und Anzeigenteil: R. Rätz.

Erscheinungsweise

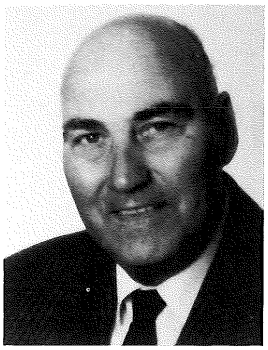
monatlich, außerdem erscheint zeitlich verschoben
eine englische Fassung dieses Heftes.

Inhaltsverzeichnis 1987

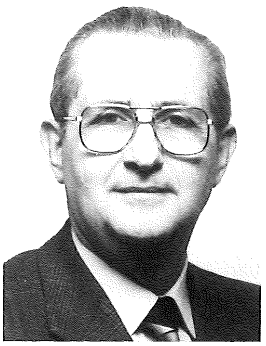
DIE FOTOS DER VERFASSER FINDEN SIE AUF DEN SEITEN II BIS XIX



G. Wilde, Bonn-Godorf



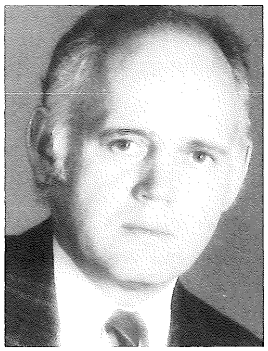
R. Willach, Oberhausen



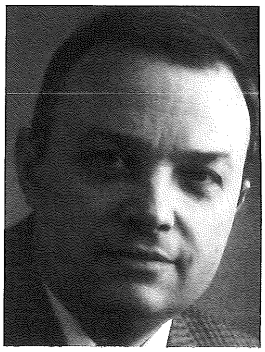
W. Witte, Hattingen



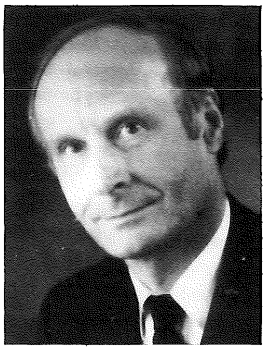
G. Wöhrle, Stuttgart



H. Wolf, Düsseldorf



M. Wolf, Essen



J. Żelkowski,
Osterode am Harz



H. Zillich, Karlsruhe

In den zwölf Heften des Jahrganges 67 sind enthalten:

1	2	3	4	5	6
1 — 90	91 — 208	209 — 312	313 — 432	433 — 542	543 — 636

7	8	9	10	11	12
637 — 744	745 — 834	835 — 922	923 — 1022	1023 — 1128	1129 — 1234

Verfasserverzeichnis 1987

ABE-Ausschuß der VGB: Betriebserfahrungen mit Kernkraftwerken 1986 67:313—354

Acket, C., siehe Barberger, M.

Aerni, A., Kehlhofer R., und Kotschenreuther, H.: Steigerung der Wirtschaftlichkeit von konventionellen Dampfkraftwerken durch Umbau zu Kombi-Anlagen 67:209—215

Albrecht, W., und Torkuhl, A.: Vermessung, Bestandsplanerstellung und Bauabrechnung mit Hilfe der Datenverarbeitung beim Bau des Kernkraftwerkes Emsland 67:622—626

Alt, M., und Alt, W.: Aufbau, Wirkungsweise und Betriebserfahrungen des Naß-/Trockenkühlturms 67:388—392

Alt, W.: Auslegung und Betrieb von Hybridkühltürmen 67:37—43

Alt, W., siehe Alt, M.

Alt, W., und Mäule, R.: Hybridkühltürme im wirtschaftlichen Vergleich zu Naß- und Trockenkühltürmen 67:763—768

Ambros, R., siehe Hillmer, R.

Ambros, R., Geflitter, I., Jung, P., Kelber, G., Pöschl, A., und Schwarz, W.: Zur Praxis der Dosimetrie in Kernkraftwerken 67:546—549

Arens-Fischer, F., und Bung, W.: Schutzmaßnahmen bei Kohlenstaubmahlanlagen gegen Verpuffung 67:594—599

Armor, A.F., Touchton, G.L., Jaffee, R.I., und Takahashi, M.: Steigerung von Wirkungsgrad und Verfügbarkeit bei gleichzeitiger Senkung der Investitionen für neue Kohlekraftwerke 67:95—100

Auchter, E., siehe Hasenkopf, O.

Balmor, Y., siehe Kovacs, S.

Bandini, C., siehe Barberger, M.

Barberger, M., Casini, R., Plessa, A., Acket, C., und Bandini, C.: Bau und Inbetriebnahme des Schnellbrüter-Kernkraftwerkes Creys-Malville 67:854—858

Baumgartner, F., siehe Strauß, K.

Baumüller, F., Schlessing, J., und Strasser, P.: Primärmaßnahmen zur NO_x-Minderung in erdgas-, öl- und steinkohlebefeuerten Dampferzeugern im Großkraftwerk Mannheim 67:498—505

Becker, J., siehe Necker, P.

Beelmann, R., siehe Heitmüller, W.

Beißwenger, H., siehe Plass, L.

Bennat, E., und Waller, H.: Auswertung der Abnahmeversuche am 1300-MW-Block des Kernkraftwerkes Philippsburg (KKP-2) 67:103—109

Berger, C., Foth, J., Mayer, K.H., Oberparleiter, W., und Scarlin, R.B.: Einfluß von natürlichen Fehlstellen auf die Gebrauchseigenschaften der großen Schmiedestücke von Turbomaschinen 67:177—190

Bergström, R., und Gustafsson, A.: Die Abfallbehandlung in Schweden 67:1176—1184

Bilger, H., Funke, O., Hofmann, R., Horvath, L., und Meeners, H.: Überblick über Aufbau, Schaltung und wesentliche Merkmale des Blockes 7 mit Fernwärmeauskopplung einschließlich der Erfahrungen bei der Inbetriebnahme 67:232—239

Blairon, J.M., siehe Germeau, J.P.

Blind, D., siehe Schick, M.

Blöchl, H., siehe Spindler, K.

Boehnert, J.: Oberflächenbeschichtung mit Weichgummi bei Großprojekten 67:271—274

Brandt, F.C.J., Thomann, K., und Trost, R.: Automatisierung der ionenchromatographischen Anionenbestimmung im Kraftwerk 67:286—288

Brenner, R.: Langzeiterfahrungen mit der Umkehrosmose bei der Wasseraufbereitung 67:1091—1094

Brice, H., Manhaval, R., und Vandycke, M.: Erste Ergebnisse der Direktentschwefelung in der Feuerung des 600-MW-Kraftwerkes Provence (Block 5) 67:717—723

Brinkmann, C., siehe Langner, H.

Brocke, W.: Erfahrungen mit der Umwelttechnik in der Bundesrepublik Deutschland 67:1192—1194

Broda, S., Dietl, R., und Herpertz, M.: GEA-Ecogavo- und GEA-Econex-Systeme als Alternativen zu Regavo-Anlagen 67:109—117

Brooks, W.J.D., Burdett, N.A., Clarke, F., und Foley, G.: Minderung der NO_x-Emissionen aus Dampferzeugern mit Tangentialfeuerungen 67:705—709

Brüggemann, A., siehe Joseph, H.

Bruyère, M., Vallée, A., und Collette, C.: Verlängerung der Kernbrennstoffzyklusdauer 67:433—435

Bublitz, D.: Fernwärmeausbau in Berlin — eine Aufgabe mit besonderen bautechnischen Lösungen 67:524—527

Büdenbender, U.: Führungsverantwortung und rechtliche Konsequenzen im Bereich der Arbeitssicherheit 67:1167—1175

Bühler, H.-E., siehe Kainer, H.

Bugl, J.: Technikfolgenabschätzung — Ein Instrument für Chancenmanagement in Wirtschaft und Politik 67:5/6

Bujak, W., und Gutberlet, H.: Untersuchungen zum Eintrag von NH_3 aus DENOX-Anlagen in REA-Abwasser 67:876—883

Bung, W., siehe Arens-Fischer, F.

Bunthoff, D., und Meier, H.J.: Umweltfreundliches Kraftwerk mit Druckwirbelschichtfeuerung 67:751—757

Burdett, N.A., siehe Brooks, W.J.D.

Bursik, A., siehe Buseck, S.

Buseck, S., Bursik, A., Enkler, G., und Rühle, W.: Kraftwerksspezifische Anwendung der Atomemissionsspektrometrie mit induktiv gekoppeltem Plasma 67:724—728

Byron, J.D., siehe Dooley, R.B.

Casini, R, siehe Barberger, M.

Christmann, A., und Horch, K.: Emissionsminderung bei Müllverbrennungsanlagen durch Primärmaßnahmen 67:396—402

Clarke, F., siehe Brooks, W.J.D.

Cleve, U.: Kohlenstoffhaltige Adsorbentien als Katalysatoren zur NO_x-Reduktion und Rauchgasreinigung — Petersen-ACCR-Technik 67:1074—1081

Coers, H., Hader, W., und Kissner, O.: Bautechnik und Montage des Heizkraftwerkes I der Stadtwerke Duisburg AG 67:553/554

Collette, C., siehe Bruyère, M.

Conrad, W., siehe Traeger, K.

Cook, P.J., und Jacobs, T.E.B.: Die Einführung des KKS in den Kraftwerken der ESCOM 67:773—776

Cramer, H.: Kraftwerksneubau oder Umweltschutz-Ertüchtigung bestehender Kraftwerke 67:7—11

Dahle, H., und Stange, K.: Technische Einrichtungen zur Langzeitlagerung von Flugstaub 67:122—128

Daradimos, G., siehe Plass, L.

Daradimos, G., und Dreher, I.: Inbetriebsetzung und Betriebsverhalten der Wirbelschichtfeuerung 67:555/556

Daradimos, G., Frank, W., Koch, P., und Heinrich, W.: Auslegung, Konstruktion und sicherheitstechnische Anforderungen der Zirkulierenden Wirbelschicht 67:450—456

Dengler, H., siehe Marquardt, K.

Detampel, V.: Anwendung der Kriechbruchmechanik auf die Röhrenstähle 14 MoV 6 3 und 10 CrMo 9 10 67:1097—1105

Deuster, G., siehe Kußmaul, K.

Dibelius, G., siehe Renz, U.

Dibelius, G., und Reimann, U.: Eine neue Wirbelschichtsonde zur Qualitätskontrolle frisch beschichteter Gasturbinenschaufeln 67:580—586

Dieckmann, A., Gutberlet, H., und Schallert, B.: Aktivitätsbestimmung von DENOX-Katalysatoren in einer Labormeßapparatur 67:1204—1213

Dietl, R., siehe Broda, S.

Doležal, R., und Riemenschneider, G.: Störfallanalyse des 750-MW-Kombi-Blockes im Kraftwerk Gersteinwerk 67:777—786

Dooley, R.B., und Byron, J.D.: Lebensdauerverlängerung von fossilbefeuerten Kraftwerken 67:815—819

Dreher, I., siehe Daradimos, G.

Dreher, I., siehe Meier-Kortwig, F.W.

Dular, J.: Betriebserfahrungen im Kernkraftwerk Krško 67:745/746

Dunse, H., siehe Hartmann, W.

Ebeling, H.-J.: Planung und Genehmigung eines großen Heizkraftwerkes mit Steinkohlenfeuerung 67:17—21

Eckmann, F., siehe Fabinski, W.

Eisele, H.: Wesentliche Erfahrungen aus der Begutachtung und der begleitenden Kontrolle für Kernkraftwerke 67:612—622

Emmert, H., siehe Stöckert, H.

Enkler, G., siehe Buseck, S.

Ernst, J., und Resch, G.: Von der Speisewasseraufbereitung zu neuen Aufgaben der Kraftwerkschemie 67:155—160

Euchenhofer, G.: Dampferzeugerkonzept mit Frontfeuerung einschließlich der NO_x-mindernden Primärmaßnahmen an der Feuerung 67:362—367

Fabinski, W., und Eckmann, F.: Optimierung der Feuerung eines Industriekessels für öl- und gasförmige Brennstoffe durch zyklische CO-Einzelbrennereinstellung 67:143—149

Fäßler, K.: Spannungsrißkorrosion an Lagerbehältern für flüssiges Ammoniak 67:747—751

Fahlenkamp, H., siehe Schönbucher, B.

Faust, G., siehe Wöhrle, G.

Felwor, P.: Auslegung und Betriebsergebnisse des Heißgaselektrofilters 67:549—553

Felwor, P., siehe Wein, W.

Flockenhaus, C., siehe Kainer, H.

Foley, G., siehe Brooks, W.J.D.

Forch, K., siehe Schick, M.

Foth, J., siehe Berger, C.

Frank, W., siehe Daradimos, G.

Franke, J.: Strömungsoszillationen in Verdampferheizflächen 67:30—36

Fritz, P., siehe Schönbucher, B.

Funke, O., siehe Bilger, H.

Gajewski, W., siehe Hein, D.

Geflitter, I., siehe Ambros, R.

Gehrke, B., und Reidick, H.: Einfluß der primären NO_x-Minderung bei Kohlenstaubfeuerungen auf die Mahl- und Feuerungsanlage 67:49—55

Gericke, B., siehe Wiese, D.

Germann, R., siehe Marshall, A.

Germeau, J.P., Blairon, J.M., und Zillich, H.: Prozeßleitsysteme für Betrieb ohne Beaufsichtigung eines Kraftwerkes zur Energierückgewinnung auf Basis der Müllverbrennung 67:477—486

Gethmann, C.F.: Ethische Aspekte des Handelns unter Risiko 67:1130—1135

Götzen, W.: Ertüchtigung vorhandener Schornsteine für die Ableitung gewaschener Rauchgase 67:418—424

Grams, J.: Der Einfluß von Armaturen auf die Druckstöße in Rohrleitungen 67:862—865

Greil, C., siehe Kehlhofer, R.

Grünsfelder, K.: Anlagenkonzept und thermodynamische Auslegung des Heizkraftwerkes I mit Zirkulierender Atmosphärischer Wirbelschichtfeuerung (ZAWSF) 67:443—446

Gulič, M., und Radaković, N.: Feuerraumwärmeberechnung für Staubfeuerungen mit teilweiser Brüdentrennung 67:700—705

Gustafsson, A., siehe Bergström, R.

Gutberlet, H., siehe Bujak, W.

Gutberlet, H., siehe Dieckmann, A.

Haag, G.: Die Bautechnik bei der Integration von DENOX-Anlagen in bestehenden Kraftwerken 67:820—824

Haag, G., und Richter, M.: Das architektonische Gesamtkonzept und Besonderheiten der Bautechnik des Kohlekraftwerkes Heilbronn 67:267—271

Hader, W., siehe Coers, H.

Häselhoff, H., und Süwer, W.: Leittechnische Planung und Ausführung 67:463—466

Häusler, F., Kemnitz, R., Rösel, G.-St., und Schneidereit, J.: INROL — Ein Programmpaket zur Simulation instationärer Zustandsänderungen in Dampfleitungen 67:757—762

Hagenmaier, H., siehe Hasenkopf, O.

Haneke, R., und Speitkamp, L.: Optimierung dickwandiger Kesselbauteile im Hinblick auf kurze An- und Abfahrzeiten 67:858—862

Hannah, I.W.: Einsturz des Kühlturmes im Kraftwerk Fiddlers Ferry 67:769—773

Hardtke, H., und Laymann, H.J.: Stand der Entwicklung bei standardisierten Rohrhalterungen aus der Sicht eines Herstellers und eines Gutachters 67:43—48

Hartmann, W., und Dunse, H.: Brandursache, Verlauf und Folgerungen des Brandes am Maschinentransformator im Kraftwerk Landesbergen der PreussenElektra AG 67:948—953

Harz, K., und Schlumberger, H.: Planung, Errichtung und Inbetriebsetzung eines Industriekraftwerkes mit zirkulierender Wirbelschichtfeuerung 67:1036—1046

Hasenkopf, O., Nonnenmacher, A., Auchter, E., Hagenmaier, H., und Kraft, M.: Wirksamkeit von Primär- und Sekundärmaßnahmen zur Dioxinminderung in Müllverbrennungsanlagen 67:1069—1073

Hasted, F.: Erfahrungen mit der Erweiterung eines vorhandenen Kraftwerksparks durch Windkraftanlagen 67:216—218

Hauck, W., siehe Hillmer, R.

Haußmann, O.: Umweltgerechte Planung kleinerer Kraftwerksblöcke 67:467—470

Hein,, D., und Gajewski, W.: Entwicklung eines DENOX-Katalysators bei KWU 67:118—122

Hein, K., siehe Rüsenberg, D.

Hein, K., Bals, M., und Rüsenberg, D.: Untersuchungen an Verdampferrohren aus Braunkohlekesseln bei Anwendung feuerungsseitiger Maßnahmen zur NO_x-Minderung 67:983—989

Heinrich, W., siehe Daradimos, G.

Heitmann, H.-G., siehe Schneider, V.

Heitmüller, W., Beelmann, R., und Willach,, R.: Steinkohle-Feinvermahlung für den Einsatz bei NO_x-armen Feuerungen 67:491—498

Heitmüller, W., Strauß, K., und Thelen, F.: Rohrkugelmühlen für eine Steinkohlenstaubfeuerung mit direkter Einblasung 67:1185—1192

Hemming, H., siehe Maier, R.

Hepp, H.: Entsorgung radioaktiver Abfälle 67:161—176

Herpertz, M., siehe Broda, S.

Herrmann, E.A., und Weidling, H.: Umbau von 125-MW-Kondensationsturbinen zur Auskopplung von maximal 2 × 150 MW Fernwärmeleistung 67:1057—1061

Herzog, M.: Die deutsche Umweltschutzgesetzgebung im Licht der EG-Richtlinie zur Umweltverträglichkeitsprüfung 67:966—969

Herzog, R., und Läubli, F.: „Beobachter-Regelung" für Überhitzerschaltungen mit weniger Einspritzstellen 67:670—678

Hillmer, R., Hauck, W., Ambros, R., Schroeder, H.J., und Roesch, R.: Planung und Durchführung von Arbeiten in Kernkraftwerken auf der Grundlage der IWRS II 67:637—651

Hoffmann, H., siehe Marquardt, K.

Hofmann, R., siehe Bilger, H.

Hoppe, V., siehe Rüsenberg, D.

Horch, K., siehe Christmann, A.

Horvath, L., siehe Bilger, H.

McIntosh, M.J., siehe Jeremiejczyk, J.P.

Jacobi, G., und Rühle, W.: Erfahrungen im Chemiebereich aus dem ersten Betriebszyklus der Kernkraftwerke Grohnde und Philippsburg 2 67:58—63

Jacobs, J., und Żelkowski, J.: Perspektiven für NO_x-arme Kraftwerksfeuerungen 67:803—810

Jacobs, T.E.B., siehe Cook, P.J.

Jaffee, R.I., siehe Armor, A.F.

Janssen, H.J., Junkermann, H., und Wilde, G.: Feuerungstechnische NO_x-Maßnahmen — Neuer NO_x-armer Industriebrenner für Öl- und Gasfeuerungen 67:872—876

Jeremiejczyk, J.P., McIntosh, M.J., und Ottrey, A.L.: Niedrige NO_x-Emissionen von Feuerungen für Latrobe-Valley-Braunkohle 67:710—716

Jonas, O.: Gegenwärtiger Kenntnisstand über die Bildung von Ablagerungen in Dampfturbinen 67:974—983

Joseph, H., Klein, V., und Brüggemann, A.: Bautechnische Besonderheiten im Umfeld des THTR 67:1003—1010

Jung, P., siehe Ambros, R.

Junkermann, H., siehe Janssen, H.J.

Kahlstatt, P., und Sgarz, G.: Stretch-out-Betrieb 1985/86 im Gemeinschaftskernkraftwerk Grohnde 67:1—4

Kainer, H., Bühler, H.-E., und Flockenhaus, C.: Der Didier-Katalysator zur selektiven Rauchgasstickoxidminderung (DENOX) 67:892—897

Karschner, M., Roller, W., und Swoboda, E.: Feuerungstechnische Maßnahmen zur Minderung der NO_x-Bildung im Kessel 3 des Heizkraftwerkes Heilbronn 67:138—142

Kastl, H.: Die Versorgung Wiens mit Kraft und Wärme 67:1141—1146

Katzenmeier, G., siehe Kußmaul, K.

Kehlhofer, R., siehe Aerni, A.

Kehlhofer, R., Thompson, B.H., Greil, C., und Vierrath, H.: Kombi-Kraftwerke mit vorgeschalteter Kohledruckvergasung — ein umweltfreundlicher Weg der Kohleverstromung 67:661—666

Kelber, G., siehe Ambros, R.

Kemnitz, R., siehe Häusler, F.

Kinn, T., siehe Schlövogt, T.

Kissner, O., siehe Coers, H.

Klein, V., siehe Joseph, H.

Knoblauch, H., siehe Weyand, M.

Koch, P., siehe Daradimos, G.

Köhler, S.: Erosionskorrosion an Hochdruckvorwärmern 67:64—66

Körner, H., und Mersch, H.: Die Frischluftversorgung der Kesselanlage im Kraftwerk Werne 67:942—947

Korpela, T., siehe Numminen, K.

Koschatzky, W.: Wien — Stadt der Kunst 67:1023—1029

Kotschenreuther, H., siehe Aerni, A.

Kovacs, S., und Balmor, Y.: Betrieb intermittierender SO_2-Minderung 67:600—605

Krabbe, H.-J.: Die Bestimmung von Chlor, Fluor und Stickstoff in festen Brennstoffen 67:813/814

Krätzig, W.B.: Standsicherheit und mechanische Dauerhaftigkeit von Kühlturmschalen 67:824—829

Krätzig, W.B., und Sanal, Z.: Ermittlung von wirklichkeitsnahen Resonanzfaktoren zur Erhöhung der Standsicherheit und Dauerhaftigkeit von Naturzugkühltürmen 67:80—82

Kraft, M., siehe Hasenkopf, O.

Krass, F.: Auslegung und Ultraschalldehnungsmessung von Verbindungsschrauben 67:67—77

Krolewski, H.: Aktuelle Aufgaben des Bauwesens in der Kraftwerkstechnik 67:191—197

Krolop, S., siehe Kußmaul, K.

Kürner, A.: Turbosatz und Heizzentrale des Heizkraftwerkes I der Stadtwerke Duisburg AG 67:456—460

Kußmaul, K., Krolop, S., Stegmeyer, R., Katzenmeier, G., und Deuster, G.: Entstehung und Erweiterung von Rissen in Druckbehältern und ihre Detektion 67:728—736

Läubli, F., siehe Herzog, R.

Landgraf, E., siehe Maier, R.

Langner, H., und Brinkmann, C.: Auslegung und Konstruktion des Dampferzeugers der ZAWSF der Stadtwerke Duisburg AG 67:446—449

Laymann, H.J., siehe Hardtke, H.

Ledger, F.: Britische Kraftwerke für das nächste Jahrzehnt 67:1135—1141

Lehmann, H.: Ertüchtigungsmaßnahmen an einer 100-MW-Turbine, Baujahr 1961 67:936—942

Leithner, R., Müller, H., und Menke, Ch.: Wirtschaftlichkeitsanalyse der Reduzierung von Schadstoffemissionen eines Heizkraftwerkes 67:883—892

Leitmeir, E., siehe Schetter, G.

Lexy, H., siehe Shannon, J.E.

Lichý, J., siehe Podhorsky, M.

Löffler, H.: Einsatz leistungsfähiger Großfilter zur Kühlwasseraufbereitung für Kraftwerke sowie zur Filtration von Trink- und Brauchwasser 67:605—608

Loers, G., und Stiller, W.: Bautechnische Realisierung von Schalendurchbrüchen und Festpunktkonstruktionen an bestehenden Naturzugkühltürmen 67:1114—1120

Lohrer, F., siehe Wiedemann, G.

Loibnegger, F., siehe Salzmann, F.

Loibnegger, F., siehe Varga, T.

Märzendorfer, H.: Bau umweltgerechter Kraftwerke in Österreich 67:1194—1197

Mäule, R.: Planungsvorgaben und Genehmigungsanforderungen für den Block 5, Kraftwerk Altbach/Deizisau 67:355/356

Mäule, R., siehe Alt, W.

Al-Mahmoud, M., siehe Paulmann, G.

Maier, R., Necker, P., Strauß, J., Hemming, H., und Landgraf, E.: Aufbau und Funktion der Rauchgasentschwefelungsanlage des Kraftwerkes Altbach/Deizisau, Block 5 67:378—383

Maintok, K.-H., und Winklhöfer, P.: Inbetriebsetzung und erste Betriebsergebnisse des Dampferzeugers mit ZAWSF 67:556—559

Manhaval, R., siehe Brice, H.

Marquardt, K., Dengler, H., und Hoffmann, H.: 10 Jahre Betriebserfahrung bei der Herstellung von vollentsalztem Wasser mit dem Umkehrosmose-Verfahren 67:1095/1096

Marshall, A., und Germann, R.: Umweltverträgliche Methoden der Kühlwasserkonditionierung 67:969—973

Mattern, U., siehe Weyand, M.

Mayer, K.H., siehe Berger, C.

Meeners, H., siehe Bilger, H.

Meier, H.J., siehe Bunthoff, D.

Meier-Kortwig, F.W., Dreher, I., und Winklhöfer, P.: Erste Betriebsergebnisse, Betriebs- und Regelverhalten, Entsorgung 67:559—566

Menke, Ch., siehe Leithner, R.

Menner, W., und Rünz, G.: Untersuchung von Eigenschwingungen von Bühnen und Gerüsten in einem Kraftwerk 67:917—920

Mersch, H., siehe Körner, H.

Merz, J., siehe Roller, W.

Meyer zu Schwabedissen, Ch., siehe Stöckert, H.

Mies, H.-P., Stang, W., Watzel, G.V.P., Schacky, W., und Rittscher, D.: Die Stillegung des Kernkraftwerkes Gundremmingen, Block A, und die Rezyklierung von Stahlschrott 67:543—546

Müh, H., siehe Stäbler, K.

Müller, H., siehe Leithner, R.

Necker, P., siehe Maier, R.

Necker, P., und Becker, J.: Auslegung, Anordnung und Funktion der DENOX-Anlage, Kraftwerk Altbach/Deizisau, Block 5, einschließlich Betriebserfahrungen 67:368—377

Neft, N., siehe Stetter, H.

Neumann, P., und Sauerwald, R.: Abfallverminderung durch Optimierung von Pulverharz-Kondensatreinigungsanlagen in Kernkraftwerken mit Siedewasserreaktoren 67:408—412

Nonnenmacher, A., siehe Hasenkopf, O.

Numminen, K., und Korpela, T.: Motivation zur Anwendung der Kraft-Wärme-Kopplung in Skandinavien 67:91—95

Oberparleiter, W., siehe Berger, C.

Ottrey, A.L., siehe Jeremiejczyk, J.P.

Palmgren, A.: Möglichkeiten zur internationalen Zusammenarbeit bei der Planung von Kraftwerken und -komponenten 67:852/853

Panzer, J.: Brandursache, Verlauf und Folgerungen des Kabelbrandes im Kraftwerk Schwandorf des Bayernwerks AG 67:1062—1064

Paradiž, B.: Probleme des Umweltschutzes in Jugoslawien 67:959—962

Paulmann, G., und Al-Mahmoud, M.: Untersuchungen an Verfestigungen von Steinkohlenflugaschen mit hydraulischen Bindemitteln 67:77—80

Pelzer, H.: Aktuelle Kapitel aus der Industrievermessung 67:737—741

Peter, U., und Vykoupil, P.: Körperschallmessungen an Turbomaschinen 67:506—514

Pfäffle, H.: Braunkohlenstaubverpuffung — Ursache, Verlauf und Folgerungen im Kraftwerk Lausward 67:1163—1167

Plass, L., Daradimos, G., und Beißwenger, H.: Die Entwicklung der Zirkulierenden Atmosphärischen Wirbelschicht zur umweltfreundlichen Feuerungstechnik 67:437—443

Plessa, A., siehe Barberger, M.

Podhorsky, M., Řiha, Z., und Lichý, L.: Lebensdauererfahrungen mit Rohrplattenverbindungen 67:1106—1113

Poensgen, Th., siehe Schönbucher, B.

Pöschl, A., siehe Ambros, R.

Prodanović, M., und Sterniša, J.: Die Entwicklung der Wärmekraftwirtschaft in Jugoslawien 67:218—225

Pronobis, M.: Verteilung der lokalen Werte des konvektiven Wärmeübergangskoeffizienten in Schottenüberhitzern 67:100—103

Proske, M., und Seifert, P.: Einsatz eines Trockenverfahrens zur Rauchgasentschwefelung eines Heizkraftwerkes 67:149—155

Radaković, N., siehe Gulič, M.

Rau, G.: Die Architektur des Kraftwerkes Altbach/Deizisau, Block 5 67:383—388

Rau, G., und Zaiss, W.: Der Bau des Kernkraftwerkes GKN II 67:1219—1229

Rehfeldt, H., siehe Schneider, V.

Reidick, H., siehe Gehrke, B.

Reimann, U., siehe Dibelius, G.

Renz, U., und Dibelius, G.: Betriebserfahrungen mit der druckaufgeladenen Wirbelschicht-Dampferzeugeranlage der RWTH Aachen 67:574—580

Resch, G., siehe Ernst, J.

Richter, M., siehe Haag, G.

Riemenschneider, G., siehe Doležal, R.

Řiha, Z., siehe Podhorsky, M.

Risse, F., und Żelkowski, J.: Anfall und Verwertung von Asche aus Steinkohlekraftwerken in den Jahren 1981 bis 1985 in der Bundesrepublik Deutschland 67:1065—1069

Rittscher, D., siehe Mies, H.-P.

Roesch, R., siehe Hillmer, R.

Rösel, G.-St., siehe Häusler, F.

Roller, W., siehe Karschner, M.

Roller, W., und Merz, J.: Dampferzeugerkonzept mit Tangentialfeuerung 67:239—245

Rost, M.: Betriebserfahrungen mit Rohrleitungen und Armaturen im 750-MW-Kraftwerksblock Bexbach 67:786—803

Rudolph, F.: Zur Bewährung von Hochtemperaturanlagen in mit fossilen und mineralstoffhaltigen Brennstoffen betriebenen Wärmekraftwerken, insbesondere der Dampferzeuger im Gemeinschaftskraftwerk Hattingen (GWH) 67:666—670

Rühle, W., siehe Buseck, S.

Rühle, W., siehe Jacobi, G.

Rünz, G., siehe Menner, W.

Rüsenberg, D., siehe Hein, K.

Rüsenberg, D., Hein, K., und Hoppe, V.: Feuerungsseitige Maßnahmen zur Minderung der NO_x-Emission 67:275—279

Salzmann, F., siehe Varga, T.

Salzmann, F., Loibnegger, F., Varga, T., Wolf, M., und Teichmann, H.: Kennwerte eines nicht optimierten Druckbehälterstahles 22 NiMoCr 3 7 in Temperaturabhängigkeit 67:416—418

Salzmann, F., Loibnegger, F., Varga, T., Wolf, M., und Teichmann, H.: Bruchmechanische Kennwerte eines nicht optimierten Druckbehälterstahles 22 NiMoCr 3 7 in Abhängigkeit von Temperatur und Belastungsgeschwindigkeit 67:518—523

Salzmann, F., Loibnegger, F., Wolf, M., Teichmann, H., und Varga, T.: Anwendung von Kleinproben zur Ermittlung bruchmechanischer Kennwerte 67:608—611

Sanal, Z., siehe Krätzig, W.B.

Sauerwald, R., siehe Neumann, P.

Scarlin, R.B., siehe Berger, C.

Seifert, K., siehe Stöckert, H.

Seifert, P., siehe Proske, M.

Sgarz, G., siehe Kahlstatt, P.

Shannon, J.E., und Lexy, H.: Kühlwasser-Konditionierung unter dem Aspekt erhöhter Eindickung und Wiederverwendung der Abflut 67:897—901

Sinz, R., siehe Schick, M.

van der Sloot, H.A., und Weijers, E.G.: Physikalische und chemische Kenndaten von 50 Kohlenstaubaschen mit Blick auf die Verwendung von Betonzusatzstoff 67:527—534

Spalthoff, F.J.: Tagesfragen der Kraftwerkstechnik 67:1030—1032

Spangenberg, K.-H.: Arbeitssicherheit in Kernkraftwerken 67:954—959

Speitkamp, L., siehe Haneke, R.

Spindler, K., und Blöchl, H.: Permeat-Vollentsalzung in einer quasikontinuierlichen Mischbettfilteranlage mit freiprogrammierbarer Steuerung 67:55—58

Süwer, W., siehe Häselhoff, H.

Suhari, L., siehe Wahl, G.

Swoboda, E., siehe Karschner, M.

Schacky, W., siehe Mies, H.-P.

Schäfer, K.H.: Überblick über Aufbau, Schaltung und wesentliche Merkmale des Blockes 5 mit Fernwärme-Auskopplung einschließlich der Erfahrungen aus der Inbetriebnahmephase 67:356—362

Schallert, B., siehe Dieckmann, A.

Scheepbouwer, J.: Erfahrungen bei der Inbetriebnahme der Feuerungsanlage für Block 13 im Kraftwerk Gelderland, Nijmegen/Niederlande 67:392—396

Schetter, G., und Leitmeir, E.: Umweltverträglichkeit der thermischen Abfallverwertung 67:128—138

Schick, M., Sinz, R., Blind, D., Forch, K., und Witte, W.: Beitrag zur Beurteilung der Zähigkeit und schweißtechnischen Verarbeitungssicherheit des Stahles 15 NiCuMoNb 5 67:901—916

Schlessing, J., siehe Baumüller, F.

Schlövogt, T., und Kinn, T.: Emissionsüberwachung in einem Steinkohlekraftwerk 67:403—408

Schlumberger, H., siehe Harz, K.

Schneider, V., Heitmann, H.-G., und Rehfeldt, H.: Versuchsergebnisse mit dem Hochleistungs-Elektromagnetfilter und deren generelle Bedeutung für die Korrosionsproduktion in Kraftwerken 67:514—518

Schneidereit, J., siehe Häusler, F.

Schnellenbach, G.: Praxisbezogene Anwendungsbedingungen für Dübelkonstruktionen 67:300—304

Schönbucher, B., und Fritz, P.: Auslegung, Anordnung und Funktion der DENOX-Anlage für Block 7 im Kraftwerk Heilbronn 67:245—252

Schönbucher, B., Poensgen, Th., und Fahlenkamp, H.: Aufbau und Funktion der Rauchgasentschwefelungsanlage für Block 7 im Kraftwerk Heilbronn 67:253—262

Schönfelder, L.: Betriebserfahrungen mit einem modernen Wanderrostkessel von Braunkohlenbriketts und Steinkohle 67:279—286

Schorling, M., siehe Wolf, H.

Schroeder, H.J., siehe Hillmer, R.

Schubert, J.: Nachweis, Fertigung und Montage von Abgasleitungen für die Entschwefelungsanlagen im Kraftwerk Niederaußem 67:990—998

Schuhmann, H.: Ermittlung der Restlebensdauer von Kraftwerkskomponenten und deren Verlängerung durch Instandhaltung und Revision 67:698—700

Schumacher, A.: Neuzeitliche Dampferzeugerkonzepte für Industrie- und Großkraftwerke 67:1047—1056

Schwarz, O.: Kurzbericht über die Tätigkeit der VGB TECHNISCHEN VEREINIGUNG DER GROSSKRAFTWERKSBETREIBER E.V. 1986/1987 67:835—851

Schwarz, O.: Umsetzung der Umweltschutzgesetzgebung in der Bundesrepublik Deutschland durch die Kraftwerksbetreiber 67:963—966

Schwarz, W., siehe Ambros, R.

Stäbler, K., und Müh, H.: Die Errichtung des Blockes Heilbronn 7 im Wandel der Umweltschutzdiskussion 67:229—232

Stang, W., siehe Mies, H.-P.

Stange, K., siehe Dahle, H.

Stegmeyer, R., siehe Kußmaul, K.

Sterniša, J., siehe Prodanović, M.

Stetter, H., und Neft, N.: Umsetzung von Forschungs- und Entwicklungserkenntnissen in die praktische Dampfturbinentechnik 67:470—477

Stiller, W., siehe Loers, G.

Stöckert, H., Emmert, H., Meyer zu Schwabedissen, Ch., und Seifert, K.: Entfernung von Antimon aus dem Primärkreis von DWR-Anlagen und Ergebnisse aus der Durchführung beim Kernkraftwerk Philippsburg 2 67:288—290

Stoffregen, U.: Umrüstung großer Naturzugkühltürme für die Ableitung gewaschener Rauchgase 67:197—203

Stoy, B.: Stromerzeugung durch Windenergie- und Photovoltaikanlagen — Machbarkeit, Grenzen, Umwelteinflüsse 67:1082—1090

Strätz, A.: Betrieb von Dampfturbinen über die konstruktionsmäßig vorgesehene Betriebszeit hinaus 67:862—865

Strätz, A.: Anpassen von Altanlagen an neue Betriebsverhältnisse 67:1158—1163

Strasser, P., siehe Baumüller, F.

Strauß, J., siehe Maier, R.

Strauß, K., siehe Heitmüller, W.

Strauß, K., und Baumgartner, F.: Auswirkung neuerer Regelungskonzepte auf Auslegung, Konstruktion und Betrieb von Dampferzeugern 67:931—936

Strohmeier, K., siehe Troidl, H.

Strohmeier, K., siehe Wiedemann, G.

Täubert, U.: Das Speicherbecken Geeste — Wasserwirtschaft für Großkraftwerke an kleinen Flüssen 67:684—692

Takahashi, M., siehe Armor, A.F.

Teichmann, H., siehe Salzmann, F.

Teichmann, H., siehe Varga, T.

Thelen, F., siehe Heitmüller, W.

Thomann, K., siehe Brandt, F.C.J.

Thompson, B.H., siehe Kehlhofer, R.

Tigges, K.-D.: Betriebserfahrungen mit einer atmosphärischen Wirbelschichtfeuerung 67:569—573

Töpfer, L.: Elektrotechnische Planung und Ausrüstung 67:460—463

Torkuhl, A., siehe Albrecht, W.

Touchton, G.L., siehe Armor, A.F.

Traeger, K., und Conrad, W.: Maßnahmen zur Geräusch- und Körperschallreduzierung an Dampfumformventilen 67:486—490

Troidl, H., und Strohmeier, K.: Strömungsinduzierte Schwingungen querangeströmter Rohrfelder aus der Sicht des Konstrukteurs 67:291—300

Trost, R., siehe Brandt, F.C.J.

Vallée, A., siehe Bruyère, M.

Vandycke, M., siehe Brice, H.

Varga, T., siehe Salzmann, F.

Varga, T., Loibnegger, F., Salzmann, F., und Teichmann, H.: Untersuchungen an Stählen für Kohlemühlen-Schlagradplatten 67:998—1002

VGB: Bericht über Eröffnungs-Veranstaltung VGB-Kongreß „Kraftwerke 1987" 67:924—931

VGB-Arbeitsgruppe: Bestellhinweise für Federkörper mit Schraubenfedern für Turbosatz-Fundamente 67:82—85

VGB-Forschungsprojekt 69: Untersuchungen über das Auftreten von Klimaabvnormitäten im Zeitraum 1880 bis 1984 nach klimatologischen Gesichtspunkten 67:811—813

Vierrath, H., siehe Kehlhofer, R.

Vykoupil, P., siehe Peter, U.

Wahl, D.-J.: Neueste Erfahrungen mit den Entstickungsanlagen der VKR 67:1198—1203

Wahl, G., und Suhari, L.: Effizienzverbesserung der hydrodynamischen Regelkupplung 67:678—683

Waller, H., siehe Bennat, E.

Walter, K.-H.: Verbesserung der Primärkühlmittelreinigung in Druckwasserreaktoren durch mechanische Filtration 67:412—415

Watzel, G.V.P., siehe Mies, H.-P.

Weidling, H., siehe Herrmann, E.A.

Weigert, E.: 80 Jahre Kraftwerkstechnik für 16⅔-Hz-Einphasen-Bahnstromerzeugung 67:22—30

Weijers, E.G., siehe von den Sloot, H.A.

Wein, W.: Grundlagen und Zielsetzung beim Bau des Heizkraftwerkes I 67:435—437

Wein, W.: Zukunftserwartungen der Wirbelschichttechnik 67:566—568

Wein, W., und Felwor, P.: Einfluß der Wirbelschichtfeuerungssysteme auf die Kraftwerkstechnik 67:11—16

Welch, R.: Auslegungskriterien und Konstruktionsvorgaben für Hochdruckvorwärmeranlagen und Speisewasserbehälter 67:692—698

Wenzl, E.: Stromversorgung und Kraftwerkstechnik in Österreich 67:1033—1035

Weyand, M., Knoblauch, H., und Mattern, U.: Funktionsstörungen an Sicherheits- und Steuerventilen 67:587—594

Wiedemann, G., Lohrer, F., und Strohmeier, K.: Spannungsanalyse von Stutzen-Zylinder-Verbindungen unter Innendruckbelastung 67:1213—1219

Wiese, D., und Gericke, B.: An- und Abfahrproblematik bei Dampferzeugern mit Wirbelschichtfeuerung 67:1147—1158

Wilde, G., siehe Janssen, H.J.

Willach, R., siehe Heitmüller, W.

Winklhöfer, P., siehe Maintok, K.-H.

Winklhöfer, P., siehe Meier-Kortwig, F.W.

Witte, W., siehe Schick, M.

Wöhrle, G., und Faust, G.: Digitales Leitsystem mit Signalübertragung über Bus 67:262—267

Wolf, H., und Schorling, M.: SODAR-Messungen und Lagrange-Ausbreitungsmodellierung für Belastungsprognosen 67:651—660

Wolf, M., siehe Salzmann, F.

Zaiss, W., siehe Rau, G.

Żelkowski, J., siehe Jacobs, J.

Żelkowski, J., siehe Risse, F.

Zillich, H., siehe Germeau, J.P.

Sachverzeichnis 1987

Abbranderhöhung 67:433

ABE-Jahresbericht 1986 67:313—354

Abfallbehandlung in Schweden 67:1176

Abgasleitungen für Entschwefelungsanlagen 67:990—998

Ablagerungen in Dampfturbinen, Herkunft und Zusammensetzung 67:974—983

Abnahmeverpflichtung für Steinkohle 67:150

Abnahmeversuche, Block 2 in Philippsburg 67:103—109

Abschirmung, Schutz der Beschäftigten 67:954

Abwasser, Wiederverwendung als Kühlwasser 67:897—901

Aktiv-Koks-Verfahren 67:1074

ALOK, Automatisiertes US-Amplituden-Laufzeit-Ortskurvenverfahren 67:735

Alternativplanung 67:966

Ammoniaklagerbehälter; Spannungsrißkorrosion 67:747—751

Analyse von Anionen mit Ionenchromatographie 67:286—288

Analyse von Kohlen auf Chlor, Fluor und Stickstoff 67:813/814

Anionen-Analyse mit der Ionenchromatographie 67:286—288

Anpassung an neue Betriebsverhältnisse, Dampfturbinen 67:1158

An- und Abfahrzeiten (dickwandige Kesselbauteile) 67:858—862

Antimon, Entfernung aus dem Primärkreis von DWR-Anlagen 67:288—290

Arbeiten in Kernkraftwerken
— Anforderungen an die Instandhaltung 67:637—651
— Anforderungen an den Strahlenschutz 67:637—651

Arbeitssicherheit
— Auslegung der Vorschriften 67:1169
— Ziel der sozialpolitischen Forderungen 67:1168

Arbeitssicherheitspraxis
— in Kernkraftwerken 67:954
— UVV „Kernkraftwerke" (VBG 30) 67:954

Arbeitssicherheitsrecht
— Dualismus im Vorschriftenwerk 67:1168
— Grundlagen 67:1168

Arbeitsverfügbarkeit
— Ausnutzung von Kernkraftwerken 1986 67:314
— Nichtverfügbarkeit 67:314

Armaturen und Rohrleitungen, Betriebserfahrungen 67:786

Atomemissionsspektrometrie mit induktiv gekoppeltem Plasma, kraftwerksspezifische Anwendung 67:724—728

Ausbreitungsmodellierung und SODAR-Messungen für Belastungsprognosen bei Kraftwerken 67:651—660

Auslegung hochbeanspruchter Bauteile 67:858—862

Auswerteeinheit 67:403

Automatisierung der ionenchromatographischen Anionenbestimmung 67:286—288

Bahnnetz auf Einphasenbasis, Besonderheiten und Vorteile 67:28—30

Bahnstromerzeugung, Kraftwerkstechnik für 16 ⅔-Hz-Einphasenstrom 67:22—30

Basissicherheit 67:615

Bauabrechnung
— Leistungsverzeichnis 67:625
— Mengenermittlung 67:625

Bau des Kernkraftwerkes GKN II
— allgemeine Planungsgrundlagen 67:1219
— bautechnische Problemlösungen 67:1226
— bisherige Errichtungsarbeiten 67:1223
— Einzelheiten zum Drainagesystem 67:1222
— flächenhafter Einbau der Sondergründung 67:1222
— Pfahlwand mit Ankerreihen 67:1223
— Sondergründungsmaßnahmen 67:1221
— standortspezifische Randbedingungen 67:1224
— terminlicher Ablauf 67:1228
— zwangsbelüfteter Hybridkühlturm 67:1225

Bautechnik
— Anordnung der Entstickungsanlage 67:820
— Bauplanung 67:820

— Gründung mit Großbohrpfählen 67:822
— Integration von DENOX-Anlagen 67:820
— konventioneller Stahlskelettbau 67:822
— Katalysatorengebäude 67:822
— Montage 67:823
— Tragwerksplanung 67:822
— Vorteile des Turmdrehkrans 67:823

Bautechnische Besonderheiten am THTR
— Gebäude für Speisewasserbehälter 67:1004
— zusätzliche Montageplattform 67:1003

Bauwesen
— Errichtung von DENOX-Anlagen 67:193
— Umrüstung großer Naturzugkühltürme 67:193

Begutachtung und begleitende Kontrolle für Kernkraftwerke 67:612—622

Belastungsprognosen bei Kraftwerken, SODAR-Meßverfahren und Ausbreitungsmodellierung 67:651—660

Berechnung von Druckstößen, Rohrleitungen 67:865

Beschaufelung, Dampfturbinen 67:470

Beschaufelung von Gasturbinen, Kontrolle der Beschichtung 67:580

Beschichtung von Gasturbinenschaufeln, Prüfung 67:580

Betrieb
— Einfluß auf die Restlebensdauer 67:699
— Temperaturgradienten 67:699

Betriebserfahrungen
— mit Kernkraftwerken 1986 67:313—354
— mit Rohrleitungen und Armaturen 67:786

Betriebsparameter, Einfluß auf NO_x-Emissionen 67:712

Brand
— am Maschinentransformator, Ursache, Verlauf, Folgerungen 67:948
— im Kabelkanal, Ursache, Verlauf, Folgerungen 67:1062

Braunkohle, australische, Eigenschaften 67:710

Braunkohlekessel, Rohruntersuchungen nach Anwendung feuerungsseitiger NO_x-Minderungsmaßnahmen 67:983—989

Braunkohlenstaubbunker, Inertisierung 67:1166

Braunkohlenstaubverpuffung, Ursache, Verlauf, Folgerungen 67:1163

Bremsen, Rohrhalterungen 67:43

Brennelement-Standzeit 67:433

Brennerumbau zur NO_x-Minderung 67:500—505

Brennstäube, Körnungskennlinien 67:53/54

Brennstoffanalyse, Bestimmung von Chlor, Fluor und Stickstoff in Kohlen 67:813/814

Brennstoffreicher Feuerball, NO_x-armes System 67:706

Bruchmechanische Beurteilung von Fehlern in Schmiedestücken 67:183

Bruchmechanische Kennwerte 22 NiMoCr 3 7 67:518—523 67:608—611

Brüdenabscheider 67:711

Brüdentrennung bei Staubfeuerungen 67:700—705

Bundes-Immissionsschutzgesetz 67:966

Ca/S-Verhältnis 67:718

Central Electricity Generating Board (CEGB) 67:705

Chemie im Kraftwerk, neue Aufgaben 67:155—160

Chlor, Bestimmung in Kohlen 67:813/814

Chromkorrosion an Sicherheitsventilen 67:587

CO-Bildung bei feuerungsseitiger NO_x-Minderung 67:276—278

CO-Einzelbrennereinstellung bei Öl- und Gasfeuerung 67:143—149

Creys-Malville, Schnell-Brüter-Kernkraftwerk, Bau und Inbetriebnahme 67:854—858

Dänemark, Windkraftanlagen 67:216—218

Dämpfungseinrichtungen an Armaturen, Druckstoß 67:865

Dampf, Verunreinigungen und Turbinenablagerungen 67:974—983

Dampferzeuger
— Brennstoffstufung 67:1049
— Dampfdruck 67:1052/1053
— Dampftemperatur 67:1052/1053
— doppelte Zwischenüberhitzung 67:1052/1053
— Feuerungstechnik 67:1047
— Kaskadenregelung 67:932
— Kombi-Prozeß mit Kohlevergasung 67:1053
— Lastverhalten bei Zwangdurchlauf 67:1050
— Lebensdauer-Überwachung hochbeanspruchter Bauteile 67:1050
— Mahl- und Feuerungssysteme 67:1048
— Materialeinsatzdiagramm 67:935
— Mikroprozessortechnik 67:631
— neuzeitliche Konzepte 67:1047—1056
— Regelungskonzepte 67:931—936
— Schäden 67:291—300
— Überhitzer-Temperaturregelung 67:932
— Zustandsregelung 67:932

Dampfgasvorwärmer 67:154

Dampfkesselemissionsgesetz (DKEG) 67:1194

Dampfturbinen
— Anpassung an neue Betriebsverhältnisse 67:1158
— Auskoppelung Fernwärmeleistung 67:1057
— Ertüchtigungsmaßnahmen 67:936 67:1158
— Gehäuserisse 67:936
— Körperschallmessungen 67:506
— Verlängerung der Einsatzzeit 67:862 67:936 67:1158

Dampfturbinenschaufeln 67:470
— Erosion 67:936

Dampfturbinentechnik, Entwicklungserkenntnisse 67:470

Dampfumformventile, Schallminderung 67:486

Dehnschrauben, Vorspannung 67:67—77

Dehnungsbehinderung, Vorwärmeranlagen 67:692

Dehnungsmessung mit Ultraschall 67:67—77

Dehnungswechselerschöpfung 67:858—862

Dekontamination, Verringerung der Dosisbelastung 67:957

DENOX-Anlage
— FWK Buer 67:1198
— Knepper C 67:1198

DENOX-Katalysatoren 67:118 67:1204
— Aktivitätsbestimmung 67:1204—1213

DENOX-Meßtechnik 67:118

DENOX-Versuchsanlagen 67:892 67:1074

Deponie für Kraftwerksreststoffe 67:965

Didier-Katalysator 67:892

Dioxinemissionen bei MVA 67:134 67:1070

Dioxinminderung bei MVA 67:1069

Dioxinzersetzung in Flugstäuben 67:1072

Direktentschwefelung in der Feuerung 67:717

Dissertationen, Kraftwerkstechnik 67:1014

Dosisverringerung durch Öffnen mit Spannvorrichtungen 67:957

Drehzahlregelung, Wirkungsgradverbesserung und Kostenvergleich 67:678

Druckbehälter, Entstehung und Erweiterung von Rissen 67:728—736

Druckbehälterstahl 22 NiMoCr 3 7, Kennwerte 67:416—418 67:518—523 67:608—611

Druckstoßberechnung, Rohrleitungen 67:865

Druckwasserreaktoren
— Entfernung von Antimon aus dem Primärkreis 67:288—290
— Erfahrungen im Chemiebereich aus dem 1. Betriebszyklus in Grohnde und Philippsburg II 67:58—63
— Verbesserung der Primärkreisreinigung durch Einsatz eines mechanischen Filters 67:412—415

Druckwirbelschichtfeuerung
— Druckabhängigkeit der Bettfläche und der Querschnittsflächenbelastung 67:751—757
— Größenvergleich von Dampferzeugern mit Staubfeuerung 67:751—757
— Größenvergleich von Kraftwerken 67:751—757
— umweltfreundliches Kraftwerk mit 67:751—757

Dübelkonstruktionen
— Bauteilversuche 67:304
— Dübeltragfähigkeiten 67:301
— Erweiterung des Anwendungsgebietes 67:304
— Gebrauchslastfall 67:301
— kraftkontrolliert spreizende Metalldübel 67:301
— praxisbezogene Anwendungsbedingungen 67:300
— Randbedingungen 67:301
— Rechenverfahren 67:302
— Sonderlastbeanspruchungen 67:301

Dynamisierungsklausel für NO_x 67:964

Eigenschwingungen von Bühnen
— dynamische Entkopplung 67:917
— Frequenzanalyse einer Bühnenschwingung 67:920
— Kraftimpulsanregung durch Schlagen 67:918
— Registrierung der Bauteilschwingungen 67:918
— Schwingungsanregung 67:917
— unterste Eigenfrequenzen, experimentell 67:917
— Unwuchtanregung 67:917

Einphasenkraftwerke und -generatoren in der Bundesrepublik Deutschland, Zusammenstellung 67:28

Einphasenmaschinen, Besonderheiten 67:24

Eisenoxid-Chromoxid-Katalysator 67:892

Electricité de France (EdF) 67:717

Elektromagnetfilter für die Korrosionsproduktfiltration in Kraftwerken 67:514—518

Emissionen bei Müllverbrennungsanlage 67:128

Emissionsbeeinflussung, feuerungstechnische Maßnahmen bei MVA 67:131 67:336

Emissionsgrenzwerte 67:150 67:1193 67:1195

Emissionsminderung
— deutsche Kraftwerke 67:964
— Müllverbrennungsanlage 67:396
— österreichische Kraftwerke 67:1197

Emissionsüberwachung 67:403

Energie-Forschung 67:30 67:216 67:470 67:1082

Energieverteilungsschaubild, Schrauben 67:74—77

Entschwefelungsanlagen, Abgasleitungen 67:990—998

Entsorgung, radioaktive Abfälle aus Kernkraftwerken 67:161—176

Entwicklungserkenntnisse, Dampfturbinen 67:470

Erosion, Dampfturbinen-Endstufenschaufeln 67:936

Erosionskorrosion, Vorwärmeranlagen 67:64 67:692

Ertüchtigungsmaßnahmen
— Dampfturbinen 67:936
— Umweltschutz 67:7—11

Explosionsschutz bei Kohlenstaubmahlanlagen 67:594—599

Federhänger 67:43

Federkörper
— Auslegung der Federn 67:84
— Bestellhinweise 67:82
— -gehäuse 67:85
— Federkonstanten 67:84
— Federwege 67:83
— Lastannahmen 67:83
— mit Schraubenfedern 67:83

Federnde Unterstützungen, Einfluß auf die Restlebensdauer 67:699

Fehler in großen Schmiedestücken 67:177—190

Feinmahlung bei Kohlenmühlen 67:53—55 67:491—498 67:1185—1192

Fernheizkraftwerk Mellach 67:1195

Fernwärmeausbau in Berlin
— besondere bautechnische Lösungen 67:524
— Fernwärmetransporttunnel 67:526
— Notwendigkeit von Tunnelstrecken 67:525
— Schachtbauwerk 67:525
— Schachtbauwerk als Caisson 67:526
— Schildvortrieb mit Teilschnittmaschine 67:525
— unterirdische Pumpstation 67:527

Fernwärmeauskopplung, Dampfturbinen 67:1057

Feuerraumkonzeption bei MVA 67:131 67:398

Feuerraum-Wärmeberechnung für Staubfeuerungen 67:700—705

Feuerungsoptimierung bei Öl- und Gasfeuerung 67:143—149

Feuerungsregelung bei MVA 67:132

Filtration von Speisewasser und Kondensat mit dem H-EMF 67:514—518

Filtration von Wasser, Leistungsvergleich verschiedener Großfiltertypen 67:605—608

Finite-Elemente-Methode, Anwendung für Spannungsanalyse von Stutzen-Zylinder-Verbindungen 67:1213—1219

Flugasche 67:1193
— Langzeitlagerung 67:122—128

Fluidkraft, Druckstoß 67:865

Fluor, Bestimmung in Kohlen 67:813/814

Form-Aktivkoks 67:1074

Forschungserkenntnisse, Dampfturbinen 67:470

Frischluftversorgung, Leittechnik 67:942

Führungskräfte, Übertragung von Unternehmerpflichten 67:1170

Führungsverantwortung
— für Fachkräfte für Arbeitssicherheit 67:1170
— Nichteinhaltung arbeitsschutzrechtlicher Verpflichtungen 67:1171
— rechtliche Kompetenzen 67:1167

Gasentnahmelanze 67:403

Gasturbinen, Qualitätskontrolle beschichteter GT-Schaufeln 67:580

Gasturbinenschaufeln, Kontrolle der Beschichtung 67:580

Gehäuserisse, Dampfturbinen 67:936

Gemeinschaftsforschung 67:77 67:80 67:300 67:811 67:824 67:848

Gemeinschaftskraftwerk Hannover, Planung und Genehmigung 67:17—21

Gemeinschaftskraftwerk Hattingen, Bewährung von Hochtemperaturanlagen 67:666—670

Genehmigung und Planung eines großen Heizkraftwerkes mit Steinkohlefeuerung 67:17—21

Genehmigungsverfahren 67:966

Geräuschminderung, Dampfumformventile 67:486

Gewässerverschmutzung, Jugoslawien 67:956

GFAVO 67:1193

Gips aus REA 67:965

Grenzwerte
— israelische, für SO_2 in der Luft 67:601
— Regelwerk 67:699

Grobkornascheabscheider 67:1198

Großbritannien
— Betriebsart bestehender Großanlagen 67:1137
— Kraftwerke für das nächste Jahrzehnt 67:1135—1141

Gummi als Oberflächenbeschichtung 67:271

Gundremmingen, Block A, Rezyklierung von Stahlschrott 67:543—546

Härtestabilisierung in Kühlsystemen 67:897—901 67:969—973

Haftung
— arbeitsrechtliche 67:1172
— strafrechtliche 67:1172
— zivilrechtliche 67:1172

Halterungen für Rohrleitungen 67:43

Handeln unter Risiko, ethische Aspekte 67:1130—1135

Heizkraftwerk
— mit Steinkohlenfeuerung, Planung und Genehmigung 67:17—21
— Wirtschaftlichkeitsanalyse zur Reduzierung von Schadstoffemissionen 67:883—892

Heizkraftwerk Afferde/Hameln 67:569—573

Heizkraftwerk Bielefeld 67:149

Heizkraftwerk Herne, Block III 67:1185—1192

Heizkraftwerk RWTH Aachen 67:574—580

Herdofenkoks 67:1074

Hochdruckvorwärmer, Erosionskorrosion 67:64—66

Hochleistungs-Elektromagnetfilter für die Korrosionsproduktfiltration in Kraftwerken 67:514—518

Hochschulinstitute, Kraftwerkstechnik 67:1012

Hochtemperaturanlagen, Bewährung im Gemeinschaftskraftwerk Hattingen 67:666—670

Hochtemperatur-Dampferzeuger >600 °C in der Bundesrepublik Deutschland 67:669

Hybridkühlturm
— Auslegung 67:37—43
— Betrieb 67:37—43
— h,x-Diagramm, Kühlluftzustände 67:38
— Konstruktion 67:37
— Kühlsystem 67:765
— Naßbetrieb 67:40
— schematische Darstellung 67:38
— siehe auch Naß-/Trockenkühlturm 67:37—41
— Trockenbetrieb 67:41
— Wirtschaftlichkeitsvergleich zu Naß- und Trockenkühltürmen 67:763—768

Hydraulisches Aufweitverfahren HYTEX 67:1106—1113

Hydraulisches Simultanspannen 67:67—77

Hydrodynamische Regelkupplung 67:678

Inbetriebnahme, Erfahrungen bei der Kohlenstaubfeuerung 67:392—396

Industrievermessung
— geodätische Überwachungsmessungen 67:737
— Gesamtheit aller Vermessungsarbeiten 67:737
— Kalman-Filtertechnik 67:740
— kinematische Modelle 67:740
— meßtechnische Entwicklungen 67:738
— polares Vermessungssystem GEOROBOT 67:739
— satellitengestützte Positionierung 67:741

Inhomogenitäten in Schmiedestücken, Einfluß auf die Gebrauchseigenschaften 67:177—190

Instationäre Zustandsänderungen in Dampfleitungen, Simulation 67:757—762

Intermittent Control System (ICS) 67:600

Intermittierendes SO_2-Minderungssystem 67:600

Internationale Zusammenarbeit bei der Planung von Kernkraftwerken und -komponenten 67:852/853

Investitionen, Wirkungsgrad, Verfügbarkeit, Möglichkeiten bei neuen Kohlekraftwerken 67:95—100

Ionenchromatographie zur Anionen-Analyse in DWR 67:286—288

Isolierung, Einfluß auf die Restlebensdauer 67:699

Israel Electric Corporation (IEC) 67:600

Jugoslawien, Wärmekraftwirtschaft 67:218—225

Kabelbrand, Brandursache, Verlauf und Folgerungen 67:1062

Kalibrierautomatik 67:403

Katalysator
— Aktivitätsbestimmung 67:1204—1213
— Erosionsschäden 67:1198
— Labormessungen 67:1204
— Standzeit 67:892
— Testofen 67:1204

Katastrophen, Risikodiskussion 67:1134

Kerbschlagarbeit-Temperaturkurven 15 NiCuMoNb 5 67:906—911

Kernbrennstoffzyklus, Verlängerung 67:433

Kernenergiesituation 67:1031

Kernkraftwerke
— Abfallminimierung durch Optimierung der Pulverharz-Kondensatreinigungsanlage in SWR 67:408—416
— Arbeiten auf der Grundlage der IWRS II (Instandhaltungs- und Wartungsrichtlinie Strahlenschutz) 67:636—651
— Betriebserfahrungen 1986 67:313—354
— Begutachtung und begleitende Kontrolle 67:612—622
— Creys-Malville, Bau und Inbetriebnahme 67:854—858
— Entfernung von Antimon aus dem Primärkreis von DWR-Anlagen 67:288—290
— Entsorgung radioaktiver Abfälle 67:161—176
— Erfahrungen im Chemiebereich aus dem 1. Betriebszyklus in Grohnde und Philippsburg II 67:58—63
— Gösgen-Däniken, Anionen-Analyse mit Ionenchromatographie 67:286—288
— Krško 67:745/746
— Philipsburg, Block 2, Auswertung der Abnahmeversuche 67:103—109
— Stillegung des Kernkraftwerkes Gundremmingen, Block A 67:543—546
— Verbesserung der Primärkreisreinigung in DWR durch Einsatz eines mechanischen Filters 67:412—415

Kesselbauteile, Optimierung 67:858—862

Kleinproben, Anwendung 67:608—611

Klimaabnormitäten 1880 bis 1984 67:811

Klimatologie 67:811

Körperschallmessungen, Dampfturbinen 67:506

Kohledruckvergasung mit nachgeschaltetem Kombi-Kraftwerk 67:661—666

Kohlekraftwerke, neue
— Bundesrepublik Deutschland 67:17 67:206 67:226 67:355 67:539 67:540
— CEGB 67:1138
— Jugoslawien 67:218
— Österreich 67:1194
— Steigerung von Wirkungsgrad und Verfügbarkeit 67:95—100
— USA 67:95

Kohlemühlen
— Flügelsichter 67:492—494
— Kreiselsichter 67:53/54
— Untersuchung an Stählen für Schlagradplatten 67:998—1002

Kohlenanalytik, Bestimmung von Chlor, Fluor und Stickstoff 67:813/814

Kohlenasche, Untersuchung mittels AES-ICP 67:724—728

Kohlenstaub, Schutzmaßnahmen gegen Verpuffung 67:595—599

Kohlenstaubfeuerung
— Einfluß der primären NO_x-Minderung auf die Mahl- und Feuerungsanlage 67:49—55
— mit trockener Entaschung, Erfahrungen bei der Inbetriebnahme 67:392—396
— NO_x-Minderung bei Schmelzfeuerung 67:138—142

Kohlenstaubmahlanlagen, Schutzmaßnahmen gegen Verpuffung 67:594—599

Kohlevergasung 67:89 67:661 67:1053

Kohleverstromung 67:1030
— umweltfreundliche, durch Kombi-Kraftwerke 67:661—666

Kombi-Anlagen, Umbau von Dampfturbinen 67:209—215

Kombi-Block, 750-MW, Gersteinwerk 67:777—786

Kondensatreinigung, Optimierung der Anlage zur Abfallverminderung in SWR 67:408—416

Konditionierung von Kühlwasser 67:897—901 67:969—973

Konstanthänger 67:43

Kontinuierlicher Ionenaustausch, Mischbett zur Permeat-Vollentsalzung 67:55—58

Konvektive Wärmeübergangs-Koeffizienten in Schottenüberhitzern 67:100—103

Konvoi-Anlage
— baurechtliche „Zustimmungen im Einzelfall" 67:192
— Bewehrung im Stahlbeton 67:192
— Verankerungstechnik 67:192
— Verbesserungen am Konvoi-Konzept 67:191

Korrosion
— durch feuerungsseitige NO_x-Minderungsmaßnahmen an Braunkohlekesseln? 67:983—989
— und Ablagerungen in Dampfturbinen 67:974—983

Korrosionsinhibierung in Kühlsystemen 67:897—901 67:969—973

Korrosionsprodukte, Entfernung durch Filtration mit dem H-EMF 67:514—518

Korrosionsschutz durch Weichgummi 67:271

Kosten
— Investition für REA, für DENOX 67:964
— Investition für Trocken-REA 67:155
— Jahreskosten für Trocken-REA 67:155

Kostenvergleich von unterschiedlichen Kühlsystemen 67:766—768

Kraft-Wärme-Kopplung 67:91—95 67:149 67:1195

Kraftwerk Altbach/Deizisau, Block 5 67:355—392
— An- und Abfahren der DENOX-Anlage 67:371
— Anfahren des Dampferzeugers 67:367
— Auslegung und Konstruktion des Naß-/Trockenkühlturms 67:389/390
— Architektur 67:383—388
— Betrieb der DENOX-Anlage 67:369
— Betriebserfahrungen mit dem Naß-/Trockenkühlturm 67:391
— Blockkonzept 67:356
— Dampferzeugerauslegung 67:362
— Dampferzeugerkonstruktion 67:362
— Dampferzeuger mit Frontfeuerung 67:364
— DENOX-Anlage 67:368—377
— Entschwefelungskosten 67:383
— Ergebnisse der REA 67:381
— Fassadengestaltung und Farbkonzept 67:387
— Fernwärmeauskopplung 67:359
— Gebäudeplanung und Einbindung der Nebenanlagen 67:384/385
— Genehmigungsanforderungen 67:355
— Gipsaufbereitung 67:380
— Hybridkühlturm, Betriebserfahrungen 67:391
— Inbetriebnahme 67:361
— Katalysator, Aktivität 67:376
— Kosten der DENOX-Anlage 67:369
— Landschaftsplanungsziele 67:383 67:388
— Leittechnik 67:361 67:366
— Mischeinrichtung des Naß-/Trockenkühlturms 67:390
— Naß-/Trockenkühlturm, Wirkungsweise 67:388—392
— NO_x-mindernde Primärmaßnahmen 67:364
— NO_x-Profile und NO_x-Schlupf 67:373—375
— Planungsvorgaben 67:355
— Rauchgasentschwefelungsanlage (REA) 67:378—383
— REA-Abwasseraufbereitung 67:380
— REA-Prozeßdaten 67:378
— REA-Verfahrensbeschreibung 67:379
— Regelschema DENOX-Anlage 67:371
— Ventilatorkennfelder 67:360
— Wärmeschaltbild 67:358
— Wasser-/Dampfkreislauf 67:362

Kraftwerk Ensdorf, Wasseraufbereitung durch Umkehrosmose 67:1091—1094

Kraftwerk Fiddlers Ferry, England 67:705

Kraftwerk Gelderland, Block 13, Erfahrungen bei der Inbetriebnahme 67:392—396

Kraftwerk Gersteinwerk, 750-MW-Kombi-Block, Störfallanalyse 67:777—786

Kraftwerk GKM
— kontinuierliches Mischbett zur Zusatzwasseraufbereitung 67:55—58
— Wasseraufbereitung durch Umkehrosmose 67:1091—1094

Kraftwerk Heilbronn, Block 7 67:226—271
— Ammoniakeindüsung 67:247
— Ammoniaklagerung 67:246
— Anfahren des Dampferzeugers 67:243
— Architektur und Bautechnik 67:267—271
— Auslegungsdaten des Blockes 67:233
— Automatisierungskonzept 67:264
— Bautechnische Gestaltung 67:267
— Betriebserfahrungen mit der Leittechnik 67:267
— Dampferzeuger, Betriebserfahrungen 67:243
— Dampferzeuger, Konstruktion 67:239/240
— Dampferzeuger, Tangentialfeuerung 67:241
— DENOX-Anlage 67:245—252
— digitales Leitsystem 67:262—267
— Entschwefelungskosten 67:261
— Fassadengestaltung und Farbkonzept 67:268—270
— Fernwärmeauskopplung 67:235
— Gebäudeplanung mit Detaillösungen 67:268/269
— Gipsaufbereitung 67:258
— Inbetriebnahme 67:237
— Kalksteinmahlanlage für REA 67:253
— Katalysatormodule 67:249
— Kosten für die Entstickung 67:251
— Kühlwassersystem 67:235
— Landschaftsplanungsziele 67:267
— leittechnische Rückdokumentation 67:266
— Mahlanlage 67:241
— Meßergebnisse der DENOX-Anlage 67:252
— NO_x-mindernde Primärmaßnahmen 67:242
— Rauchgasentschwefelungsanlage (REA) 67:253—262
— Rauchgasreinigung 67:229
— Rauchgaswiederaufheizung 67:259
— REA-Absorber 67:256
— REA-Abwasseraufbereitung 67:260
— REA-Prozeßdaten 67:257
— SCR-Reaktor 67:248
— Signalübertragung Bus-System 67:262—267
— Terminplan 67:237
— Wasseraufbereitung 67:236
— Wasser-/Dampfkreislauf 67:234

Kraftwerk Provence, Frankreich 67:717

Kraftwerk Staudinger, Korrosionsproduktfiltration mit dem H-EMF 67:514—518

Kraftwerk-Kennzeichensystem (KKS), Einführung in den Kraftwerken der ESCOM 67:773—776

Kraftwerke
— für das nächste Jahrzehnt in Großbritannien 67:1135—1141
— Lebensdauerverlängerung 67:815—819

Kraftwerksausbau 67:1032 67:1034 67:1135

Kraftwerksblöcke, kleine, umweltgerechte Planung 67:467—470

Kraftwerkschemie
— Einsatz der Atomemissionsspektrometrie 67:724—728
— neue Aufgaben 67:155—160

Kraftwerkskomponenten, Verlängerung der Restlebensdauer durch Instandhaltung 67:698

Kraftwerksnebenprodukte 67:122 67:196 67:527

Kraftwerksstandorte für Bahnstromerzeugung und elektrifiziertes Streckennetz der DB 67:23

Kraftwerkstechnik
— Beeinflussung durch Wirbelschichtfeuerungssysteme 67:11—17
— Österreich 67:1033
— 16 ⅔-Hz-Einphasen-Bahnstromerzeugung 67:22—30
— Tagesfragen 67:1030

Kriechbruchmechanik, Anwendung auf die Röhrenstähle 14 MoV 6 3 und 10 CrMo 9 10 67:1097—1105

Kühlturm
— Charakteristiken 67:767
— Stromkosten-Wasserkosten-Relation 67:768
— Verdunstungsverluste 67:768

Kühlturmeinsturz
— Einstürze großer Kühltürme 67:769
— Fehler in der ausgeführten Wandform 67:771
— hyperbolische Schale 67:771
— Phasen der Turmüberprüfung 67:772
— radiale Toleranzen 67:769
— Ringverstärkungen 67:771
— Trümmeranordnung 67:769
— Unterschätzung der Windlast 67:769

Kühlturmschalen
— Betonkorrosion von Naturzugkühltürmen 67:824
— Betonüberdeckung 67:828
— Einbau von Ringversteifungen 67:827
— hohe Ringbiegemomente 67:827
— mechanische Dauerhaftigkeit 67:824
— Oberflächenschutz durch Beschichtungen 67:828
— Schwingungsdämpfungsmaßnahmen 67:825
— sichtbare Schädigungsindikatoren 67:825
— Standsicherheit 67:824
— wirkliche dynamische Beanspruchung 67:825

Kühlwasser
— Aufbereitung durch Filtration mit Großfiltern 67:605—608
— chemische Konditionierung 67:897—901 67:969—973

Kühlzeit-Temperatur-Umwandlungsschaubild 15 NiCuMoNb 5 67:901—916

Kugelringmühlen, Erfahrungen bei der Inbetriebnahme 67:392—396

Kunststoff-Wärmetauscher 67:109

Kurzzeitstandversuch 15 NiCuMoNb 5 67:910—915

KTA-Regelwerk, Änderungen 67:304

Lärmminderung, Dampfumformventile 67:486

Lagerung von Flugasche 67:122—128

Langzeitlagerung von Flugasche 67:122—128

Lebensdauererschöpfung, HD-Rohrleitungen 67:786

Lebensdauerverbrauch, wiederkehrende Prüfungen 67:700

Lebensdauerverlängerung
— Einfluß durch Inspektion und Wartung 67:699
— fossilbefeuerter Kraftwerke 67:815—819

Leittechnik für Frischluftversorgung 67:942

Lochkorrosion an Turbinenschaufeln durch Ablagerungen 67:974—983

Löslichkeit von Natriumhydroxid und Natriumchlorid in Dampf 67:974—983

Luftüberschuß, Einfluß auf den NO_x-Gehalt 67:51 67:141 67:492

Luftverschmutzung, Jugoslawien 67:959

Luftversorgung im Kraftwerk, Auslegung der Leittechnik 67:942

Mahlfeinheit
— Klappen- und Flügelsichter 67:495—497
— Rohrkugelmühlen mit Klappensichter 67:1189

Maschinentransformator, Brand an einem 67:948

Maßkontrolle, Rohrleitungsanlagen 67:786

Membranverfahren zur Wasseraufbereitung, Umkehrosmose 67:1091—1094 67:1095/1096

Mehrkreisregelantrieb, Drehzahlregelung 67:678

Minderung der NO_x-Bildung bei
— Müllfeuerungen 67:401
— Öl- und Gasfeuerungen 67:498 67:805
— Rostfeuerungen 67:806
— Staubfeuerungen 67:49 67:138 67:275 67:242 67:498 67:807
— Wirbelschichtfeuerungen 67:806

Mindestanforderungen § 7a WHG 67:965

Mischbettfilter, quasi-kontinuierlich, zur Permeat-Vollentsalzung 67:55—58

Müllheizkraftwerk Stockholm Högdalen 67:1108

Multizyklon 67:1198

Nachrüstung 67:964 67:1192 67:1194
— Dampfturbinen 67:862 67:936

Naß-REA
— mit DENOX-Anlage 67:109
— ohne DENOX-Anlage 67:109
— Schaltung 67:109

Naturzugkühlturm
— dynamische Überhöhungsfaktoren 67:80
— konstruktive Einzelheiten 67:198
— Lochrandverstärkung 67:199
— modale Analyse 67:81
— Quervorspannung 67:199
— Reingasrohröffnungen 67:198
— Resonanzdiagramm 67:82
— Stützenfachwerk 67:199
— Temperaturbeanspruchung der Kühlerschale 67:81
— Umrüstung 67:197

Naturzug-Naßkühlturm, Kühlsystem 67:763

Naturzug-Trockenkühlturm, Kühlsystem 67:784

NDIR-Verfahren 67:403

neuartige Waldschäden 67:811

Neutronendosimetrie 67:546

NH_3-Entfernung aus REA-Abwasser 67:876
— durch biologischen Abbau 67:876
— durch Oxidation mit Chlor 67:876

NH_3-Konzentration 67:876
— in Abwasser 67:876
— in Flugasche 67:876

NH_3-Schlupf 67:876 67:892

NO_x, Aktivitätsbestimmung von DENOX-Katalysatoren 67:1204—1213

NO_x-arme Verbrennung 67:874

NO_x-Bildung 67:492 67:803

NO_x-Emissionen, Braunkohle 67:710

NO_x-Gehalt als Funktion der Last 67:502—505

NO_x-Minderung 67:705
— Braunkohlefeuerung 67:275—279 67:983—989
— Kohlenstaubfeuerungen 67:49—55 67:491—498
— Maßnahmen bei Öl- und Gasfeuerung 67:872—876
— Primärmaßnahmen 67:498—505
— Schmelzfeuerung 67:138—142

NO_x-Reduktion 67:1074

Oberflächenbeschichtung mit Weichgummi 67:271

Ölbrandbekämpfung am Transformator 67:950

Öl- und Gasfeuerung, NO_x-arme Verbrennung 67:872—876

Optimierung
— der Feuerung, NO_x-Minderung 67:504
— Öl- und Gasfeuerungseinstellung 67:143—149

Organische Inhibierung zur Kühlwasserbehandlung 67:897—901 67:969—973

Osmose, umgekehrte, zur Wasseraufbereitung 67:1091—1094 67:1095/1096

Personendosimetrie im Kernkraftwerk 67:546

Petersen-ACCR-Technik 67:1074

Phosphonocarbonsäure zur Kühlwasserbehandlung 67:969—973

Photovoltaik 67:1082
— Flächenbedarf 67:1082
— Stromerzeugungskosten 67:1082

Planung kleinerer Kraftwerksblöcke, umweltgerecht 67:467—470

Planung von Kernkraftwerken, Möglichkeiten zur internationalen Zusammenarbeit 67:852/853

Plattenkatalysator 67:892 67:1024

Popcornbildung 67:1074

Porengröße 67:118

Potentialsondenmessungen, Rißwachstum Druckbehälter 67:733

Primärenergieverbrauch je kWh 67:963

Primärkühlmittelchemie, Erfahrungen aus dem 1. Betriebszyklus in Grohnde und Philippsburg II 67:58—63

Primärkühlmittel in DWR, Anionen-Analyse mit Ionenchromatographie 67:286—288

Primärkühlmittelreinigung
— Entfernung von Antimon in DWR-Anlagen 67:288—290
— Steigerung der Effektivität durch Einsatz eines mechanischen Filters 67:412—415

Primärmaßnahmen zur NO_x-Minderung 67:275 67:498 67:705 67:710 67:803 67:872 67:1049
— Braunkohlefeuerung 67:275—279
— Kohlenstaubfeuerung 67:49—55
— Schmelzfeuerung 67:138—142

Programmpaket zur Simulation instationärer Zustandsänderungen in Dampfleitungen 67:757—762

Provence-Steinkohle, Eigenschaften 67:717

Radioaktive Abgaben der Kernkraftwerke 1986 67:314

Rauchgasendreinigung 67:1074

Rauchgaskanäle, Entschwefelungsanlagen 67:990—998

Rauchgaskondensation 67:1183

Rauchgasprobenahme 67:403

Rauchgasreinigung
— Aktivitätsbestimmung von DENOX-Katalysatoren 67:1204—1213
— im MHKW Stockholm Högdalen 67:1181

Rauchgasreinigungsanlage 67:151
— spez. Kapitalbedarf, Basis 1985 67:7

Raumgeschwindigkeit 67:118

REA-Abwasser 67:876

Realisierung von Schalendurchbrüchen
— Aufbringen der Vorspannung 67:1119
— Einfluß, Kriechen und Schwinden 67:1117
— Herstellen der Stahlbetontische 67:1114
— Herstellung der Stahlbeton-Verstärkungsringe 67:1118
— Lastverformungsdiagramm des Spannankers 67:1117
— neuartige Spannanker mit Tellerfedern 67:1116
— Stahlbeton-Verstärkungsring auf Kühlerschalen 67:1115
— Versuchsdurchführung 67:1117

Reduktionsbrennstoffzugabe zur NO_x-Minderung 67:278

Reduktionsmittelzugabe zur NO_x-Minderung 67:53

Reduzierung von Schadstoffemissionen eines Heizkraftwerkes, Wirtschaftlichkeitsanalyse 67:883—892

Regelung der Frischluftversorgung 67:942

Regelungen für Überhitzerschaltungen 67:670

Regelungsverfahren mit Zustandsrückführung 67:671

Relaxationsrißempfindlichkeit 15 NiCuMoNb 5 67:916

Reststoff-Verwertungskonzept
— Flugasche im Straßenbau 67:196
— Verwertungskonzept für Gips 67:196

Rezyklierung von Stahlschrott aus dem Kernkraftwerk Gundremmingen, Block A, nach der Stillegung 67:544—546

Risiko
— ethische Aspekte des Handelns 67:1130—1135
— Handeln unter 67:1130

Risiko-Akzeptanz 67:5 67:1132

Rißwachstum
— Druckbehälter 67:728—736
— Röhrenstähle 14 MoV 6 3 und 10 CrMo 9 10 67:1097—1105
— Schmiedestücke 67:177—190

Rohrhalterungen, Stand der Technik 67:43

Rohrkugelmühlen
— direkte Kohlenstaub-Einblasung 67:1185—1192
— Feinvermahlung 67:493/494

Rohrleitungen, Druckstoßberechnung 67:865

Rohrleitungen und Armaturen, Betriebserfahrungen 67:786

Rohr-Rohrplattenverbindung, Lebensdauererfahrung 67:1106—1113

Rückstand der REA 67:153

Sauerstoffmessung 67:403

SCR-DENOX-Anlage 67:876

SCR-„High-dust"-Verfahren 67:1198

SCR-Verfahren 67:118 67:892

Segmentbögen, Rauchgaskanäle 67:993

Sekundärwasserchemie in DWR
— Anionen-Analyse mit Ionenchromatographie 67:286—288
— Erfahrungen aus dem 1. Betriebszyklus in Grohnde und Philippsburg II 67:58—63

Sicherheits- und Steuerventile, Funktionsstörungen 67:587

Siedewasserreaktoren, Abfallverminderung durch Optimierung der Pulverharz-Kondensatreinigungsanlage 67:408—412

Silo-Lagerung von Flugasche 67:122—128

Skandinavien, Kraftwärmekopplung 67:91—95

Spannungsanalyse von Stutzen-Zylinder-Verbindungen 67:1213—1219

Spannungs-Dehnungs-Diagramm, Schrauben 67:67—77

Spannungsrißkorrosion
— an Dampfturbinen durch Ablagerungen 67:974—983
— an Lagerbehältern für Ammoniak 67:747—751

Speicherbecken Geeste
— Akzeptanz in der Bevölkerung 67:688
— Größe des Nutzvolumens 67:687
— Konzeption der Gesamtanlage 67:689
— Optimierung der Speichergröße 67:688
— planerische Grundlagen 67:687

Speisepumpen, Drehzahlregelung 67:678

Speisewasserbehälter, Auslegung und Konstruktion 67:692

Spurenelemente, analytische Erfassung mittels AES-ICP 67:724—728

Schadstoffemissionen eines Heizkraftwerkes, Reduzierung, Wirtschaftlichkeitsanalyse 67:883—892

Schäden
— Vorwärmer 67:692
— Wärmetauscher 67:291—300

Schallemissionsmessungen, Rißwachstum Druckbehälter 67:734

Schallminderung, Dampfumformventile 67:486

Schlagradplatten, Untersuchung an Stählen 67:998—1002

Schmelzfeuerung, NO_x-Minderung 67:138—142

Schmiedestücke, Einfluß von Fehlern 67:177—190

Schornsteinertüchtigung
— Ableitung gewaschener Rauchgase 67:418
— Anpassung des Schornsteinmündungsbereiches 67:420
— Baustoffe für Schornsteinausrüstungen 67:421
— Befahrungsbericht 67:419
— Behandlung der Schornsteinmündung 67:419
— Fluorkautschukkompensator 67:423
— Schaft, Mauerwerk mit Innenrohr 67:422
— verschiedene Schornsteinkonzeptionen 67:421

Schottenüberhitzer, konvektive Wärmeübergangskoeffizienten 67:100—103

Schrauben, Dehnungsmessung mit Ultraschall 67:67—77

Schutzschichtbildung in HD-Vorwärmern 67:64—66

Schutzschichten, Qualitätskriterien 67:64—66

Schwefelarmes Öl, Einsatz 67:604

Schweißtechnische Verarbeitungssicherheit 15 NiCuMoNb 5 67:901—916

Schwingungen an Kohlenmühlen und Gebläsen 67:393

Schwingungen in Wärmetauschern und Dampferzeugern 67:291—300

Schwingungsrißkorrosion an Turbinenschaufeln durch Ablagerungen 67:974—983

Stähle für Kohlemühlen-Schlagradplatten 67:998—1002

Stadtwerke Duisburg, Wirbelschichtfeuerung Teil 1, 67:435—466 Teil 2, 67:549—568

State Electricity Commission of Victoria (SECV) 67:710

Staubabscheidung
— E-Filter 67:151
— Tuchfilter 67:151

Staubverpuffung, Braunkohlen, Ursachen, Verlauf, Folgerungen 67:1163

Staubverteilung bei Walzenschüsselmühlen mit Flügelsichter 67:496

Steinkohle, Verstromung und Verwertung von Verbrennungsrückständen 67:1065—1069

Steinkohlenflugasche 67:122 67:527 67:633 67:1065
— alleiniger Beitrag der Flugasche 67:532
— Asche-Korngrößenverteilung 67:530
— Betonzusatzstoff 67:527
— chemische Eigenschaften 67:527
— Druckfestigkeitszuwachs 67:531
— Feinheit der Asche 67:533
— Konsistenz von Flugasche-Zement-Mörtel 67:530
— Mörteleigenschaften 67:528
— Parameter für Flugaschen 67:528
— physikalische Kenndaten 67:527
— Umbau einer Schmelzfeuerung 67:1185—1192

STEWEAG 67:1196

Stickoxid-Bildung, siehe NO_x-Bildung

Stickstoff, Bestimmung in Kohlen 67:813/814

Stickstoffgehalt der Braunkohle, Einfluß auf NO_x-Bildung 67:275

Stickstoffoxide, Aktivitätsbestimmung von DENOX-Katalysatoren 67:1204—1213

Strahlbrenner für Tangentialfeuerung 67:51

Strahlenbelastung, Beispiele für Verringerung 67:954

Strahlenschutz, Verordnung und Sicherheitsfragen 67:954

Straßenbau
— Biegezugfestigkeit 67:79
— Druckfestigkeit 67:78
— dynamische Biegezugversuche 67:79
— Frostbeständigkeit 67:79
— hydraulische Bindemittel 67:77

— optimaler Wassergehalt 67:78
— Proctorversuch 67:78
— Verdichtungseigenschaften 67:78
— Verfestigung 67:77 67:80

Streckbetrieb 67:1

Stretch-out-Betrieb 67:1

Stromdichte-Potential-Messungen für Kühlwasserversuche 67:969—973

Stufenluft zur NO_x-Minderung 67:140—142 67:275/276 67:492

Stutzen-Zylinder-Verbindungen, Spannungsanalyse 67:1213—1219

Tangentialfeuerung
— NO_x-Minderung 67:51—53
— Steinkohle 67:705

Technikfolgenabschätzung 67:5

Thermoschockversuche an Druckbehältern 67:728—736

Training am Modell, Verringerung der Dosisbelastung 67:956

Transformatorbrand 67:948

Trockenverfahren zur Rauchgasentschwefelung 67:149

Turbinenbeläge, Entstehung und Zusammensetzung 67:974—983

Turbinenöl, Untersuchung mittels AES-ICP 67:724—728

Überhitzerschaltungen, Regelungen 67:670

Ultraschalldehnungsmessung von Verbindungsschrauben 67:67—77

Umbau von Dampfturbinen-Kraftwerken zu Kombi-Anlagen 67:209—215

Umkehrosmose zur Wasseraufbereitung 67:1091—1094 67:1095/1096

Umweltfreundliche Kohleverstromung durch Kombi-Kraftwerke mit vorgeschalteter Kohledruckvergasung 67:661—666

Umweltschutz 67:963 67:959 67:1031 67:1035
— Jugoslawien 67:959

Umweltschutzertüchtigung oder Kraftwerksneubau 67:7—11

Umweltschutz-Gesetzgebung
— Bundesrepublik Deutschland 67:963
— Österreich 67:1194

Umwelttechnik in der Bundesrepublik Deutschland 67:1192

Umweltverträglichkeitsprüfung 67:966

Unverbranntes im Flugstaub, Beeinflussung durch Mahlfeinheit 67:497

UV-Spektrometrie zur NO-Bestimmung 67:1204—1213

Vegetationsperioden 67:811

Verbacken von Kegel und Sitz, Sicherheitsventile 67:587

Verbrennungsrückstände, Anfall und Verwertung in der Bundesrepublik Deutschland 1981—1985 67:1065—1069

Verdampferheizflächen, Strömungsoszillationen 67:30—36

Verfügbarkeit, Arbeits-, Zeit-, von Kernkraftwerken 1986 67:314

Verfügbarkeit, Wirkungsgrad, Investitionen 67:85—100

Verluste bei Öl- und Gasfeuerung in Abhängigkeit vom Brennstoff-Luft-Verhältnis 67:144

Vermessung
— Ablauf der Baustelle 67:624
— Baustellenbestandsplan 67:193 67:624
— Einsatz moderner DV-Hardware 67:623
— Entfernungsvermessung 67:624
— Kraftwerksbaustelle 67:193
— Planausschnitte 67:624
— vermessungstechnische Ingenieurleistungen 67:622
— zentrale Bauvermessung 67:622

Verpuffung, Braunkohlenstaub 67:1163

Verschleiß an Kohlenmühlen und Zuteilern 67:395

Versorgung Wiens mit Kraft und Wärme 67:1141—1146

Verstromung von Steinkohle in der Bundesrepublik Deutschland 67:1065

Versuche, Sicherheitsventile 67:587

Verwertung von Verbrennungsrückständen in der Bundesrepublik Deutschland 67:1065—1069

Verzögerte Verbrennung 67:499/500

VGB-Auszeichnungen 67:847 67:923 67:930

VGB-Forschungsprogramm 67:77 67:80 67:300 67:811 67:824 67:848

VGB-FORSCHUNGSSTIFTUNG 67:847

VGB-Kongreß „Kraftwerke 1987" 67:924 67:1023

Vollentsalzung mit Umkehrosmose und quasi-kontinuierlichem Mischbett 67:55—58

Vorgespannte Schraubenbolzen 67:67—77

Vorsorge 67:1192

Vorsteuerventile, Funktionsstörungen 67:587

Vorwärmer, Auslegung und Konstruktion 67:692

Wabenkatalysator 67:1204

Wärmeberechnung für Feuerräume von Staubfeuerungen 67:700—705

Wärmebehandlung 15 NiCuMoNb 5 67:901—916

Wärmekraftwerk Šoštanj 67:959

Wärmekraftwerk Trbovlje 67:959

Wärmekraftwirtschaft in Jugoslawien 67:218—225

Wärmetauscher 67:109
— Rohr-Rohrplattenverbindung 67:1106—1113

Wärmetauscherrohre, Schäden 67:291—300

Wärmeübergangskoeffizienten, konvektive, in Schottenüberhitzern 67:100—103

Wärmeübertragung an Eintauchheizflächen bei Wirbelschichtfeuerung 67:577—579

Wärmeverschiebungssysteme 67:109

Waldschäden 67:959

Walzenschüsselmühle
— Feinvermahlung 67:492/493
— Schutzmaßnahmen gegen Verpuffung 67:595—599

Wanderrostkessel
— Bekohlungsanlage 67:279
— Betriebserfahrungen 67:279—285
— Kesselschnittbild 67:281
— Kornverteilung 67:281
— Leitstand 67:284/285
— Trocken-Additiv-Verfahren 67:282—284

Wartungsintervall für Konstanthänger 67:699

Wasseranalyse mit der Atomemissionsspektrometrie 67:724—728

Wasseraufbereitung
— Leistungsvergleich verschiedener Großfiltertypen 67:605—608
— Umkehrosmose 67:55—58 67:1091—1094 67:1095/1096

Wasser-Dampfkreislauf
— Korrosionsproduktfiltration mit dem H-EMF 67:514—518
— Verunreinigungen als Ursache für Turbinenablagerungen 67:974—983

Wasserwirtschaft
— Abdeckung von Verdunstungsverlusten 67:686
— Großkraftwerke 67:684
— Kreislaufkühlung mit Naßkühltürmen 67:684
— Kühlwasserversorgung durch Speicherung 67:685

Wasserwirtschaftliche Baumaßnahmen am THTR
— Aushub des Sohlgrabens 67:1008
— Betriebswasserleitung 67:1005
— eingeschwommene Rohrleitung 67:1008
— Einleitungsbauwerk 67:1005
— Gewässer-Meßstation 67:1009
— Überwachung des Betriebswassers 67:1009

Weichgummi als Oberflächenbeschichtung 67:271

Werkstoff
— 10 CrMo 9 10, 14 MoV 6 3 67:1097—1105
— 15 NiCuMoNb 5 67:901—916
— 22 NiMoCr 3 7 67:416—418 67:518—523 67:608—611

Werkstoffe für Schlagradplatten 67:998—1002

Wien
— Energieflußbild der Stadt im Jahre 1985 67:1141—1146
— Reduzierung der SO_2- und NO_x-Emissionen der Kraftwerke 67:1141—1146
— Versorgung mit Kraft und Wärme 67:1141—1146

Windenergieanlagen
— Anwendungssituation 67:1082
— Entwicklungsstand 67:1082
— Umwelteinflüsse 67:1082

Windkraftanlagen, Erfahrungen 67:216—218

Wirbelschichtfeuerung
— An- und Abfahren 67:562 67:1045 67:1147—1158
— Anlagenkonzept 67:443
— Aschebilanz 67:564
— atmosphärisch stationär 67:569—573
— Aufheizung des Bettmaterials 67:1151—1157
— Ausbrand 67:571/572
— Auslegungsdaten 67:1038
— Bautechnik 67:553/554
— Bekohlungsanlage 67:1040
— Betriebserfahrungen 67:555 67:557/558 67:559—561
— Dampferzeugerauslegung 67:557
— Dampferzeugerwerkstoffe 67:447
— Dichteverteilung in der Brennkammer 67:439 67:555
— druckaufgeladen 67:574—580
— Druckgefäßförderung für Asche 67:570/571
— Druckteilauslegung 67:447 67:450/451
— Druck-WSF 67:11 67:574 67:751 67:1054
— Düsenboden 67:454
— E-Filterauslegung 67:550
— E-Filterbetriebsergebnisse 67:552
— E-Filterkonstruktion 67:551
— E-Filterwerkstoffe 67:552
— Eigenbedarf 67:562
— Eigenbedarfsversorgung 67:456
— Einsatzbereich 67:11—17
— Einsatzdiagramm 67:446
— Eintauchheizflächen 67:577—579
— elektrotechnische Ausnutzung 67:460
— Emissionen 67:440 67:452 67:561/562
— Entsorgung der Asche 67:565
— Entwicklung des Verfahrens 67:438
— Erosionsschutz 67:558
— Feuerungspatente 67:438
— Feuerungssysteme 67:437
— Feuerungswirkungsgrad 67:572
— Fließbettkühler 67:448 67:555
— Fließbild 67:441
— Flugaschesystem 67:1043
— Flugstaubrückführung 67:571—573
— Genehmigungsverfahren 67:1039
— Gerätetechnik 67:464
— Größenvergleich gegenüber konventionellen Dampferzeugern 67:567
— Grundlagen für Neuanlage 67:435—437
— Heißgaselektrofilter 67:549—553
— Heizflächenschaltung 67:447
— Heizturbine 67:457
— Inbetriebnahme 67:555/556
— Kannlasten 67:556
— Kombi-Prozesse mit druckaufgeladener Wirbelschicht 67:1054
— Konstruktionsdetails 67:447 67:453
— Konstruktionsmerkmale 67:1040
— Kraftwerkstechnik 67:11—17
— Leistungsbereich der Systeme 67:567
— Leittechnik 67:463—466 67:1043
— Lieferliste für Europa 67:568
— Montageablauf 67:554
— Nachschaltheizflächen 67:449
— nicht zirkulierend 67:11 67:569 67:1125 67:1147 67:1233

— Planungsgrundlagen 67:1036
— Regelung 67:465 67:563
— Regelung des Fernwärmenetzes 67:459
— Sankey-Diagramm 67:557
— Sicherheitstechnik 67:455
— Stadtwerke Duisburg Teil 1, 67:435—466
Teil 2, 67:549—568
— Stromversorgungsplan für MSR-Anlagen 67:463
— thermodynamische Auslegung 67:444
— Turbosatz 67:456
— Umwelteigenschaften 67:445
— Verfahrensschema 67:1042
— Verfahrensvorteile 67:441
— Wärmeschaltbild 67:456
— Wärmeübertragung an Eintauchheizflächen 67:1147—1150
— Wasser-/Dampfsystem 67:557
— Wirtschaftlichkeit 67:446
— Zielsetzung bei Neuanlagen 67:435—437
— zirkulierend 67:11 67:435 67:549 67:1036 67:1147 67:1233
— Zukunftserwartungen 67:566—568
— Zustandsdiagramm (nach *L. Reh*) 67:451

Wirkungsgrad, Drehzahlregelung 67:678

Witterungsperioden 67:811

Zähigkeit, 15 NiCuMoNb 5 67:901—916

Zeitverfügbarkeit, -ausnutzung, von Kernkraftwerken 1986 67:314

Zündstabilisierung 67:499—501

Zusammenarbeit, internationale, bei der Planung von Kernkraftwerken und -komponenten 67:852/853

Zustandsregelung, Prinzip 67:671

Persönliches

Adrian, Fritz, in der Geschäftsführung der L. & C. Steinmüller GmbH 67:921
Barschkett, Siegfried, ordentliches Vorstandsmitglied der Klöckner-Humboldt-Deutz AG 67:1231
Barthelt, Klaus, Großes Verdienstkreuz 67:744
Bayer, Alfred, Vorsitzender des Vorstandes 67:537
Bayer, Alfred, neuer Vorstandsvorsitzender der Isar-Amperwerke 67:1011
Bechtold, Klaus, neuer technischer Vorstand der Elektromark 67:88/89
Berggren, Hans, gestorben 67:628
Biehl, Hans-Reiner, Vorsitzender des Saarberg-Vorstandes 67:1231
Birhofer, Adolf, Verdienstkreuz 1. Klasse 67:744
Böker, Hermann, 65 Jahre 67:88
Brachetti, Hans Elmar, 60 Jahre 67:628
Braun, Heinz, 65 Jahre 67:427
Brecht, Christoph, Großes Verdienstkreuz 67:307
Brüderlin, Heinz, Vorstandsvorsitzender der TWS 67:205
Brüderlin, Heinz, 1. Stellvertretender Vorsitzender des VDEW-Vorstandes 67:628
Capitaine, Detlef, im Ruhestand 67:427
Cech, Franz, 60 Jahre 67:88
Detzer, Hans, neu im VGB-Vorstand 67:1011
Deuster, Gerhard, zum Honorarprofessor ernannt 67:205
Dreyhaupt, Franz Joseph, im Ruhestand 67:307
Duhme, Rolf, 60 Jahre 67:537
Erle, Gerhard, gestorben 67:306
Franke, Joachim, Heinrich-Mandel-Preis 67:930
Freitag, Lothar G., in der Geschäftsführung der Steinmüller Verwaltung-GmbH und der L. & C. Steinmüller GmbH 67:921
Gassberger, Arthur, gestorben 67:628
Giesen, Kurt, gestorben 67:306
Gieske, Friedhelm, Sprecher des RWE-Vorstandes 67:1231
Göstenkors, Theo, 60 Jahre 67:1010
Gräfen, Edmund, im Ruhestand 67:88
Haase, Martin, Bundesverdienstkreuz 67:537
Harig, Hans-Dieter, stellvertretender Vorstandsvorsitzender bei VKR 67:1120
Hausner, Otto, im Ruhestand 67:537
Hautzenberg, Hans, im Ruhestand 67:744
Hecker, Gerhard, im Ruhestand 67:88/89
Hecker, Gerhard, Ehrenmitglied der VDEW 67:628
Hedden, Kurt, 60 Jahre 67:205
Heidinger, Peter F., Bundesverdienstkreuz 67:537
Heidinger, Peter F., Großes Bundesverdienstkreuz 67:1120
Heidinger, Peter F., Vorsitzender des VDEW-Vorstandes 67:628
Henning, Theodor, 65 Jahre 67:427
Heutling, Dieter, in der Geschäftsführung der Steinmüller-Verwaltungs-GmbH 67:921
Hlubek, Werner, stellvertretendes Vorstandsmitglied 67:1231
Holzhey sen., Fritz, gestorben 67:628
Kallenbach, Reinhard, 70 Jahre 67:831
Keltsch, Erhard, 75 Jahre 67:427
Kittel, Horst, 60 Jahre 67:1230
Klätte, Günther, Sprecher des RWE-Vorstandes 67:1231
Knizia, Klaus, 60 Jahre 67:537
Korn, Norbert, zum Honorarprofessor ernannt 67:1120
Lenhartz, Rudolf, gestorben 67:921
Lennertz, Horst, ordentliches Vorstandsmitglied bei PreussenElektra 67:1231
Liebe, Bodo, im Ruhestand 67:1231
Löhle, Herbert, Großes Verdienstkreuz 67:307
Ludewig, Walter, 80 Jahre 67:205
Magerl, Horst, im Vorstand der TWS 67:205
Marnet, Chrysanth, Präsident der EUREL 67:307
Michelfelder, Sigfrid, in der Geschäftsführung der L. & C. Steinmüller GmbH 67:921
Münch, Erwin, Leiter der Öffentlichkeitsarbeit beim RWE 67:1120
Musset, Gerhard, 60 Jahre 67:537
Neukirchen, Kajo, Vorsitzender des Vorstandes der Klöckner-Humboldt-Deutz AG 67:1231
Otto, Gerhard, im Ruhestand 67:537
Potthast, Ulrich, 50 Jahre 67:1120
Preuss, Ernst Joachim, in den VDE-Vorstand gewählt 67:1231

Puhr-Westerheide, Hans, 75 Jahre 67:1230
Reeder, Wolfgang, neuer Vorstandsvorsitzender von Krupp Polysius 67:88
Rossberg, Jürgen, stellvertretendes Mitglied des Vorstandes der Fried. Krupp GmbH 67:88
Rudolph, Franz, 65 Jahre 67:88
Seifert, Erich, neuer Vorsitzender des Verwaltungsrates des TÜV Rheinland 67:628
Sircoulomb, Peter, in der Geschäftsführung der L. & C. Steinmüller GmbH 67:921
Soltwisch, Alfred, im Ruhestand 67:205
Sossenheimer, Heinz, Dr.-Ing. Ehren halber 67:307
Spähn, Heinz, Bundesverdienstkreuz 1. Klasse 67:89
Speich, Peter, 65 Jahre 67:1010
Spliethoff, Heinz, 60 Jahre 67:427
Spönemann, Kurt, 65 Jahre 67:306
Süthoff, Theodor, gestorben 67:1120
Sundberg, Liisa, 60 Jahre 67:205
Schiele, Otto Helmut, 65 Jahre 67:744
Schilling, Hans-Dieter, in der VGB-Geschäftsführung 67:831
Schmeller, Theodor, gestorben 67:88
Schmitt, Otto, gestorben 67:1010
Schoeneberg, Thomas, ordentliches Vorstandsmitglied bei PreussenElektra 67:1231
Schröfelbauer, Herbert, Technisches Vorstandsmitglied 67:744
Schubert, Johannes, gestorben 67:88
Schwarz, Ottmar, Bundesverdienstkreuz 1. Klasse 67:1011
Schwarz, Ottmar, Guilleaume-Gedenkmünze 67:923—930
Schwarz, Ottmar, Senator Ehren halber 67:307
Stech, Jürgen, im Ruhestand 67:205
Steinborn, Bruno, Verdienstkreuz am Bande 67:628
Tegethoff, Wilm, 60 Jahre 67:307
Trockels, Friedrich, gestorben 67:744
Umland, Fritz, 65 Jahre 67:88
Vogt, Andreas, im Ruhestand 67:89
von Wartenberg, Klaus-Dietrich, im Ruhestand 67:628
Weber, Herbert, 80 Jahre 67:1010
Wiehage, Walther, 80 Jahre 67:306
Worm, Norbert, 2. Stellvertretender Vorsitzender des VDEW-Vorstandes 67:628
Zürn, Herbert, Honorarprofessor an der TH Darmstadt 67:921

Buchbesprechungen

Ausscheidungsatlas der Stähle 67:632
Behandlung von Industrieabwässern 67:1128
Chemie für Ökologen 67:1128
Coal Quality and Ash Characteristics 67:633/634
Dampferzeugung — Verbrennung, Feuerung, Dampferzeuger 67:541
Dampfkesselbestimmungen 67:311
Das neue Abwasserabgabengesetz 67:541
Das Recht der öffentlichen Energieversorgung 67:207
Deposition von Luftverunreinigungen in der Bundesrepublik Deutschland — Erste Bestandsaufnahme, Stand Mitte 1984 67:1233
Der grenzüberschreitende Stromverbund in Europa 67:834
Der Mehrzweckforschungsreaktor Atomkernenergie Kerntechnik 67:1127
Dichtungen in der Verfahrenstechnik 67:1022
Dictionary of Pressure and Piping Technology 67:1022
Die Einwirkung von Luftverunreinigungen auf ausgewählte Kunstwerke mittelalterlicher Glasmalerei 67:834
Die Industriegeschichte des Wassers 67:1234
DIN-Taschenbücher 143 und 168 „Korrosionsschutz von Stahl durch Beschichtung und Überzüge (Leistungsbereich DIN 55 928)", 2. Auflage 67:634
Dioxine, Entstehung — Wirkungen — Beseitigung 67:922
DVS-Berichte, Band 101: Kostengünstiges Konstruieren und Schweißen 67:1234
Einführung in das VDE-Vorschriftenwerk 67:634
Electricity in IEA Countries — Issues and Outlook 67:834
Energie und Leben 67:431
Fachwörterbuch der Gasindustrie 67:1234
FDBR Richtlinien „Berechnung von Kraftwerksrohrleitungen" 67:1022
Fernwärmeversorgung durch Heizreaktoren 67:205
Feuerungstechnik und Umweltschutz 67:311
Fibel zur ionenselektiven Meßtechnik — Einführung in die Potentiometrie 67:834
Gestaltung und Berechnung von Schweißkonstruktionen, Ermüdungsfestigung 67:632
Halterungen für Rohrleitungen 67:205
Handbuch Atemschutz 67:633
Handbuch des Deutschen Wasserrechts 67:205 67:632 67:1126
Holz im Kühlturmbau 67:541
Industrial Firing 67:1126
Jahrbuch Schweißtechnik 87 67:207
Jahrbuch zum VDE-Vorschriftenwerk 1983/84, Band 1 67:834
Kokereitechnik 67:1021
Konzeption und Aufbau von Dampfkraftwerken 67:430
KWK Elektrisches Potential und Wirtschaftlichkeit der gekoppelten Kraft- und Wärmewirtschaft in Industrie und Gewerbe 67:834
Lagerung und Transport wassergefährdender Stoffe 67:430 67:431 67:1127
Lehrbuch der Reaktortechnik,
Band 2: Reaktortechnik 67:431
Band 3: Kernkraftwerkstechnik 67:1127/1128
Lehr- und Handbuch der Abwassertechnik 67:1126
Lexikon der Elektrotechnik — Definition des VDE-Vorschriftenwerkes 67:633
Measurements Techniques in Heat and Mass Transfer 67:1127
Mechanisierung, Automatisierung und Einsatz von Industrierobotern beim Lichtbogenschweißen 67:431
Natural Draught Cooling Towers 67:541
Neue Techniken der Energierückgewinnung 67:1022
Ölkrise: 10 Jahre danach 67:311
Rauschdiagnostik 67:633
Regelungs- und Kontrolldichte im Atomrecht 67:1128

Risikountersuchungen als Entscheidungsinstrument 67:311
Rohrleitungen im Bereich hoher Temperaturen 67:1234
Sachstand Dioxine 67:1021/1022
Sicherheitstechnik 67:311
Schriftenreihe der VDI-Kommission „Reinhaltung der Luft", Band 1 „Die Waldschadensituation in der Bundesrepublik Deutschland" 67:1234
Schweißeigenspannungen und Formänderungen an stabartigen Bauteilen — Berechnung und Bewertung 67:633
Schweißen und Schneiden '85 67:922
Schweißkennwerte für das MAG-Schweißen 67:632
Schweißtechnische Forschungsberichte 67:1128
Stahlrohr-Handbuch 67:1126/1127
Stahlschlüssel 67:1128
Steinkohle — Technikfolgenabschätzung ihres verstärkten Einsatzes in der Bundesrepublik Deutschland 67:634
Strahltechnik 67:1022
Strategisches Energiemanagement 67:311
Struktur und Wandel der Energiewirtschaft in der Bundesrepublik Deutschland 67:922
The Clean Use of Coal 67:542
Thermische Kraftanlagen — Grundlagen, Technik, Probleme 67:1127
Thermoprozeß und Abfalltechnik 67:1234
VDE 100 und die Praxis 67:634
VKS-Atlas 67:541
Wärmeübertragung in Dampferzeugern und Wärmeaustauschern (Band 2) 67:633
Was wir über das Waldsterben wissen 67:1021
Wirbelschichtfeuerung, Bilanz — Konzepte — Perspektiven 67:1233/1234
Wöhlerlinienkatalog für Schweißverbindungen aus Baustählen 67:1128
Zustandsregelung — Theoretische Grundlagen und anwendungsorientierte Regelungskonzepte 67:1021
Zuverlässigkeit elektrotechnischer Anlagen 67:205

VGB KRAFTWERKSTECHNIK

MITTEILUNGEN DER VGB TECHNISCHEN VEREINIGUNG DER GROSSKRAFTWERKSBETREIBER

68. JAHRGANG (1988) • HEFTE 1—12

INTERNATIONALE FACHZEITSCHRIFT FÜR TECHNIK IN WÄRMEKRAFTWERKEN

Herausgeber

VGB TECHNISCHE VEREINIGUNG DER GROSSKRAFTWERKSBETREIBER E.V.

Vorsitzender: Direktor Dipl.-Ing. Dr.-Ing. E.h. F.J. Spalthoff, Essen;
Geschäftsführer: Direktor Professor Dr. rer. nat. H.-D. Schilling, Essen.

Anschrift der Redaktion

VGB TECHNISCHE VEREINIGUNG DER GROSSKRAFTWERKSBETREIBER E.V.
Klinkestraße 27—31, Postfach 10 39 32, D-4300 Essen,
Fernruf (02 01) 48 62-6 86/6 87, Fernschreiber 857 507 vgb d,
Telefax (02 01) 48 62-6 88.

Chefredaktion

Chefredakteur: Oberingenieur Dipl.-Ing. H. Bleßmann, Essen;
Redaktionsassistentin: Rita Maria Wilke, Essen.

Redaktion

Oberingenieur Dr. rer. nat. B. Forck, Essen;
Oberingenieur Dr.-Ing. J. Jacobs, Essen;
Abteilungsdirektor Dipl.-Ing. H. Kaes, Essen;
Oberingenieur Dr. rer. nat. H. Kittel, Essen;
Abteilungsdirektor Dipl.-Ing. K. Plate, Essen;
Abteilungsdirektor Dr.-Ing. G. Schlegel, Essen;
Oberingenieur Dr.-Ing. E. Tolksdorf, Essen;
Oberingenieur Dipl.-Ing. G. Welten, Essen.

Wissenschaftlicher Redaktionsbeirat

Professor Dr. J. Béer, Cambridge, Massachusetts/USA;
Professor Dr. techn. Th. Bohn, Essen;
Professor Dr.-Ing. F. Brandt, Darmstadt;
Professor Dr.-Ing. H. Brüderlin, Stuttgart;
Professor Dr.-Ing. J. Buxmann, Hamburg;
Professor Dr.-Ing. G. Dibelius, Aachen;
Professor Dr.-Ing. H. Kremer, Bochum;
Professor Ir. J.J.C. van Lier, Delft/Niederlande;
Professor Dipl.-Ing. Dr. techn. W. Linzer, Wien/Österreich;
Professor Dr. techn. O.I. Martynova, Moskau/UdSSR;
Professor Dr. rer. nat. R. Schulten, Aachen.

Technischer Redaktionsbeirat

Dipl.-Ing. R. Aarni, Helsinki/Finnland;
Betriebsdirektor Dipl.-Ing. K. Bers, Berlin;
Dipl.-Ing. J. Garleff, Hamburg;
Direktor Dr.-Ing. W. Hlubek, Essen;
Dipl.-Ing. Dr. techn. F. Janitschek, Klagenfurt/Österreich;
Direktor Dr.-Ing. H. Krolewski, Dortmund;
Direktor Dipl.-Ing. ETH K. Küffer, Baden/Schweiz;
Direktor Dr. rer. nat. Chr. Marnet, Düsseldorf;
Dipl.-Ing. J. Pettersen, Lyngby/Dänemark;
Oberingenieur Dr. rer. nat. G. Resch, Dortmund;
Direktor Dipl.-Ing. J. Schulte, Leverkusen.

Vertrieb und Anzeigenverwaltung

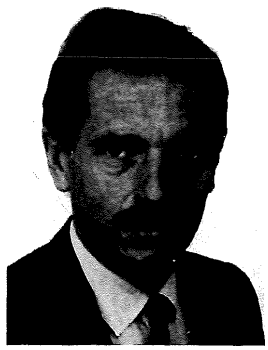
VGB-KRAFTWERKSTECHNIK GMBH, Klinkestraße 27—31, Postfach 10 39 32,
D-4300 Essen, Fernruf (02 01) 48 62-6 80/6 81/6 83, Fernschreiber 857 507 vgb d,
Telefax (02 01) 48 62-6 88.
Verantwortlich für Vertrieb und Anzeigenteil: R. Rätz.

Erscheinungsweise

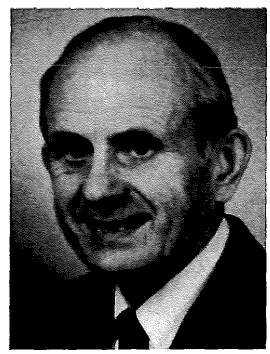
monatlich, außerdem erscheint zeitlich verschoben
eine englische Fassung dieses Heftes.

Inhaltsverzeichnis 1988

DIE FOTOS DER VERFASSER FINDEN SIE AUF DEN SEITEN II BIS XX



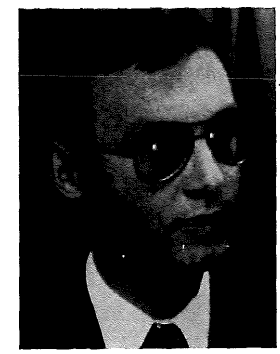
D. Winje, Berlin



F. Wirsching, Iphofen



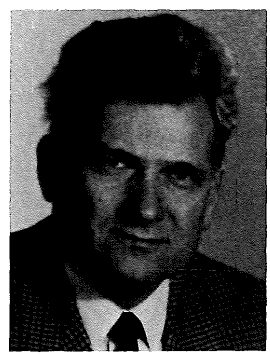
E. Wittchow, Erlangen



S. Wittig, Karlsruhe



G. Wöhrle, Stuttgart



H. Zaunschirm,
Graz/Österreich



P. Zenker, Oberhausen



E.L. Ziermann, Jülich

In den zwölf Heften des Jahrganges 68 sind enthalten:

1	2	3	4	5	6
1 — 102	103 — 212	213 — 316	317 — 452	453 — 568	569 — 664

7	8	9	10	11	12
665 — 782	783 — 882	883 — 974	975 — 1080	1081 — 1206	1207 — 1316

Verfasserverzeichnis 1988

Adrian, F.: Forschung im Umfeld der Kohlenstaubverbrennung 68:1243—1249

Ahlfänger, W., siehe Schuster, E.

Ahlfänger, W., und Schuster, E.: Überlegungen zur Verringerung der Primärkreiskontamination in Druckwasserreaktoren 68:1043—1047

Allersmeier, B.: Maßnahmen zur Wirkungsgradverbesserung und Leistungserhöhung älterer Dampfturbinenanlagen 68:27—31

Althoff, T., Linsenbarth, O., und Balzersen, E.A.: Neue Leittechnik-Konfiguration im Einsatz bei DENOX-Anlagen 68:803—808

Arnswald, W., und Heppelmann, G.: REA-Rohrleitungen — Neue Techniken im Kraftwerksrohrleitungsbau — 68:1131—1141

Bade, H., Schellenberg, K.D., Plass, L., Loeffler, J.C., und Mehrling, P.: Kombi-Block mit Kohledruckvergasung in zirkulierender Wirbelschicht 68:831—837

Bäro, G., Ehlers, K., Hoffmann, H., und Stindt, W.: Betriebserfahrungen mit der Brennelement-Reparaturstation im Kernkraftwerk Mülheim-Kärlich 68:386—389

Balzersen, E.A., siehe Althoff, T.

Bartsch, H.: Maßnahmen zur Begrenzung der Auswirkungen von Kernschmelzunfällen 68:694—698

Becker, H., Haag, J., und Paffrath, G.: Dampferzeugerreinigung in DWR-Anlagen durch Rohrbodenspülung 68:1180—1183

Beckjord, E., siehe Winje, D.

Berger, R., Houzer, H.G., und Schnelle, W.: Ergebnisse der VGB-Ausfallstatistik für leittechnische Kraftwerkskomponenten 68:495—500

Bers, K., und Wünsch, A.: Die Modernisierung des Kraftwerksparks der BEWAG unter Umweltschutzaspekten 68:268—274

Bertram, J., Mohn, U., und Kubisa, R.: Anpassung einer Rauchgasentschwefelungsanlage (REA) hinter einer mit Gasturbinen-Abgas betriebenen Steinkohlefeuerung an die gesetzlichen und technischen Anforderungen 68:743—749

Besold, D., siehe Eimer, K.

Bilger, H., siehe Stäbler, K.

Boddenberg, G., siehe Höxtermann, E.

Böcker, D., siehe Schwirten, D.

Bönker, H.-D.: Schornsteinabbruch mit der „hydraulischen Krake" 68:1191—1195

Bonatz, M.: Die Erde im Wandel — Ziele und Möglichkeiten der Erfassung zeitabhängiger Vorgänge 68:197—205

Bongwald, W., siehe Cron, M.

Branch, G.D.: Die Vorstellungen des CEGB zur Verlängerung der Anlagenlebensdauer 68:571—575

Brandt, F.C.J., Braun, D., und Tännler, Ch.: Umstellung der DWR-Sekundärwasserchemie von Phosphat-Fahrweise auf Hoch-AVT 68:73—76

Braumüller, K., Zaunschirm, H., Gasteiger, G., und Gottlieb, W.: Österreichische Beiträge zur Dampferzeuger- und Umwelttechnik 68:468—479

Braun, D., siehe Brandt, F.C.J.

Breidenbach, H., Strauß, K., und Thelen, F.: Umstellung der Schmelzfeuerung eines Dampferzeugers von hochflüchtiger ballastreicher Steinkohle auf niederflüchtige Kohle 68:409—416

Breucker, H., siehe Lisowsky, R.

Breucker, H., siehe Petzel, H.-K.

Breuer, A.: Einsatz von großen Schwenkflügelklappen in Rauchgaskanälen 68:403—409

Brinkmann, C., Langner, H., und Rafael, A.: Konstruktion großer Dampferzeuger für Spitzenlastbetrieb 68:794—799

Brinkmann, C., Schanz, R., und Klein, M.: Auswirkungen primärseitiger NO_x-Maßnahmen auf den Verdampfer 68:991—995

Bruchhaus, R., Weinzierl, K., Croonenbrock, R., und Thielen, W.: Modifizierte Wirbelschichtfeuerung als Baustein von Kombi-Prozessen mit integrierter Kohlevergasung 68:1259—1263

Brücher, K., Wenz, W., und Wittchow, W.: Ein Heizkraftwerk mit Anthrazitkohlenstaubfeuerung kleiner Leistung 68:505—511

Brückner, H., siehe Petzel, H.-K.

Bühler, H.-E., Grimm, D., Jeschke, P., Kainer, H., und Streuber, Ch.: Zum katalytischen Verhalten von Eisenoxid-Chromoxid-Katalysatoren bei der Stickoxidminderung von Schmelzkammerfeuerungen in Kohlekraftwerken 68:417—425

Bujak, W., und Gutberlet, H.: Diskontinuierliche Ermittlung des NH_3-Schlupfes durch Untersuchung des Flugstaubes 68:1294—1300

Burgmann, F., Forck, B., und Wilhelm, M.: Mindesteinleitungsbedingungen nach § 7a des WHG: Abwasser aus Rauchgasentschwefelungsanlagen (47. Abwasser-VwV) 68:548—552

Bursik, A.: Die ersten allgemeinen Richtlinien für die Chemie des Wasser-Dampfkreislaufes in den USA 68:1184—1191

Carle, R.: Neue Konzepte und verbesserte Schutzmaßnahmen der französischen Kernkraftwerke 68:1216—1221

Christensen, V., Noppenau, H., und Uhlir, Th.: Umbaumaßnahmen am Block 1 im Kraftwerk Asnæs zur Verbesserung der Wirtschaftlichkeit 68:13—17

Christmann, A., siehe Vogg, H.

Claverie, J., siehe Voute, A.

Cron, M., und Bongwald, W.: Das neue Müllheizkraftwerk Essen-Karnap — Anlagenkonzept und Ablauf der Inbetriebnahme 68:1011—1017

Croonenbrock, R., siehe Bruchhaus, R.

DDA: Mitteilungen des Deutschen Dampfkesselausschusses 68:1198—1200

Dibelius, G., siehe Jäger, G.

Dibelius, G.: Optimierung von Gasturbinen für Kombi-Kraftwerke 68:248—253

Dibelius, G.: Die Bedeutung der Universitätsforschung für die Kraftwerkstechnik 68:1249—1252

Dieckmann, A., siehe Neuhaus, S.

Dirksen, A., siehe Müller, K.-H.

Dooley, R.B., siehe Garleff, J.

Drosdziok, A., siehe Müller, K.-H.

Dymek, T., siehe Gebhardt, A.

von Dziembowski, H., siehe Müller, K.-H.

Eaves, P.S.K., und Hage, F.G.: Überlegungen in technischer und administrativer Hinsicht bei der Auswahl von Rauchgasentschwefelungsanlagen 68:1039—1043

Ehlers, K., siehe Bäro, G.

Eichele, G.: Aktuelle Überlegungen zur thermischen Abfallbehandlung und -verwertung 68:46—50

Eickelpasch, N., und Lasch, M.: Maßnahmen zur Minimierung der Kobalt-60-Freisetzung beim Abschalten eines Siedewasserreaktors 68:948—953

Eimer, K., und Besold, D.: Leistungsverluste von Kraftwerken durch „biologische Verschmutzung" der Kühlwassersysteme und umweltfreundliche Gegenmaßnahmen 68:610—616

Eitz, A.W., Kasper, K., und Hein, K.R.G.: Konzept zur Einführung von GuD-Kombi-Kraftwerken mit integrierter Kohlevergasung auf Basis rheinischer Braunkohle 68:922—926

Engel, J., siehe Ziermann, E.L.

Engels, H., Flötgen, B., und Voß, W.: Der neue Kombi-Block bei der Firma Kali & Salz AG, Wintershall 68:665—674

Enoch, G.D., Tigchelaar, P., Lefers, J.B., Overman, L.J., und Venderbosch, H.W.: Versuche mit der Umkehr-Elektrodialyse für die Aufbereitung von Rheinwasser zu Kesselspeisewasser 68:536—543

Erken, A.M.: Übersicht und Erfahrungen hinsichtlich neuerer Entwicklungen bei der kontinuierlichen NH_3-Schlupfmessung hinter DENOX-Anlagen 68:1286—1294

Ermeling, K.: PFPD — ein DV-System für die Erstellung von Prüffolgeplänen und Dokumentation von Bauprüfungen für Rohrleitungen 68:294—297

Ernst, J.: Anforderungen an chemische Messungen im Kraftwerksbereich 68:175—181

Fessler, P., siehe Lindberg, G.

Flötgen, B., siehe Engels, H.

Förster, K., und Ruloff, G.: Flüssigmetalle als Wärmeübertragungsmittel 68:455—460

Fonné, C.: Kernkraftwerk Cattenom — Hauptmerkmale, Bauweise, erste Betriebserfahrungen mit dem Block 1 68:225—232

Forck, B., siehe Burgmann, F.

Forster, K., und Fuchs, M.: Solarenergie und Wasserstoff 68:108—113

Fricke, D., siehe Schemmer, M.

Frigge, J.: Lysimeteruntersuchungen zur Beurteilung des Deponieverhaltens von Kraftwerksnebenprodukten 68:143—150

Fritz, G., Hoffmann, H., und Seidelmann, K.: „Wet-Sipping"-Verfahren nach dem Umwälzprinzip 68:9—13

Fuchs, M., siehe Forster, K.

Gajewski, W.: Neue Entwicklung an DENOX-Anlagen 68:632—637

Garleff, J., Dooley, R.B., Kautz, H.R., van Liere, J., und Plate, K.: Lebensdauerverlängerung — ein komplexes Planungsziel 68:1232—1238

Gasteiger, G., siehe Braumüller, K.

Gebhard, G., und Uerpmann, E.P.: Gips-Kornform und Gips-Korngröße — Beeinflussung durch die Betriebsweise der Rauchgasentschwefelung 68:843—853

Gebhardt, A., Schumacher, U., und Dymek, T.: Aussagen, Genauigkeit und Aufwand von instationären Simulationsmodellen für Kraftwerksprozesse 68:23—27

Gilli, P.G., siehe Praxmarer, G.

Golay, M.W., siehe Winje, D.

Gottlieb, W., siehe Braumüller, K.

Greil, C., siehe Kehlhofer, R.

Grimm, D., siehe Bühler, H.-E.

Grümm, H.: Die Kernenergie nach Tschernobyl 68:4—7

Guck, R.: Aufgaben der Kernforschung aus der Sicht der Energieversorgungsunternehmen 68:988—991

Guck, R.W.: Aspekte eines Verzichts auf Kernenergie 68:1097—1102

Gustafsson, L.: Betriebserfahrungen mit Kernkraftwerken in Skandinavien 68:581—586

Gutberlet, H., siehe Bujak, W.

Gutberlet, H., siehe Neuhaus, S.

Gutberlet, H.: Einfluß der Feuerungsart auf die Vergiftung von DENOX-Katalysatoren durch Arsen 68:287—293

Gyftopoulos, E.P., siehe Winje, D.

Haag, J., siehe Becker, H.

Häfele, W.: Energiesysteme im Übergang unter den Bedingungen der Versorgung und Entsorgung 68:1089—1097

Häßler, G., May, H., Schikarski, W., Voos, H., und Wittig, S.: Rauchgasreinigung nach dem Elektronenstrahlverfahren 68:425—432

Hage, F.G., siehe Eaves, P.S.K.

Ham, A.J., und West, L.A.: ESKOMS Fortschritte in der Trockenkühlung 68:912—917

Hansen, K.F., siehe Winje, D.

Hebel, G., und Weirich, P.-H.: Kohlekraftwerke der nächsten Generation 68:103—107

van Heek, K.H., siehe Rost, M.

Hein, K.R.G., siehe Eitz, A.W.

Hein, K.R.G., siehe Jacobs, J.

Heinrich, D., siehe Prestel, W.

Heinrich, F.: Versuche zur Müllverbrennung in der Wirbelschicht 68:1152—1160

Heitmüller, W., siehe Swoboda, E.

Hengstler, N., siehe Jaerschky, R.

Henkelmann, R., siehe Schuster, E.

Hennies, H.-H.: Ergebnisse des Reaktorsicherheitsprogramms des Kernforschungszentrums (KfK) 68:378—385

Henning, K., Kettrup, A., und Ohrbach, K.-H.: Dekontaminationsmittel für den Einsatz in Kernkraftwerken 68:857—862

Heppelmann, G., siehe Arnswald, W.

Herzing, R., Langen, B., und Strehl, U.: Computerunterstützte, optimierende Betriebsführung für ein Industriekraftwerk 68:687—694

Hess, B.: Ordnung und Chaos — neue Dimensionen in den Naturwissenschaften 68:1208—1216

Heyn, K.: Erfahrungen mit der Abwasseraufbereitung hinter Rauchgasentschwefelungsanlagen 68:528—536

Hiebler, G., siehe Maier, H.

Hilger, C.: Grenzen bei der Nutzung regenerativer Energie am Beispiel der Windkraft 68:569—571

Himsl, L., und Reichel, P.: Regenerative Rauchgasentschwefelung nach dem Wellman-Lord-Verfahren in einem Industriekraftwerk 68:56—60

Hlubek, W., und Vetter, H.: Neue Entwicklungslinien der Kraftwerkstechnik in der Bundesrepublik Deutschland 68:213—219

van Hoek, G.A.L.: Umstrukturierung der Elektrizitätsversorgung in den Niederlanden 68:1—4

Hönig, J., siehe Reuter, F.D.

Höxtermann, E., und Boddenberg, G.: Turbinen und deren Brandschutzmaßnahmen 68:480—489

Hoffmann, H., siehe Bäro, G.

Hoffmann, H., siehe Fritz, G.

Holzapfel, Th.: Trägersubstanzen von Spurenelementen in Reingasstäuben von kohle- und müllbefeuerten Kraftwerken 68:1047—1057

Horgan, G., und Leavy, K.: Abschätzung des Kriechverhaltens von Überhitzern und Zwischenüberhitzern in modernen Dampferzeugern mit Hilfe eines Computers 68:760—768

Houzer, H.G., siehe Berger, G.

Hübner, K., Pavone, D., Schmidt, D., und Weber, E.: Möglichkeiten der Gasreinigung im Temperaturbereich oberhalb von 1000 °C 68:931—935

Hünlich, H.-W.: Erfahrungen mit dem staubtechnischen Bereich von abwasserlos arbeitenden Rauchgasreinigungsanlagen 68:262—268

Jacobs, J., siehe Schwarz, O.

Jacobs, J., und Hein, K.R.G.: Bedeutung des N_2O innerhalb der Stickoxidminderung 68:841—843

Jäger, G., und Dibelius, G.: Automatisierte Zustandsdiagnose zur optimalen Instandhaltung von Dampfturbosätzen 68:1239—1243

Järnström, R.T., siehe Schuster, E.

Jaerschky, R., und Hengstler, N.: Die Explosion des Schmelzkammer-Dampferzeugers „Leiningerwerk Block 3" 68:237—244

Janich, H.J.: Schwenkklappen und Gasweichen zur Absperrung und Umsteuerung von Rauchgasströmen 68:1111—1119

Jeschke, P., siehe Bühler, H.-E.

Jucker, B., siehe Lindberg, G.

Jüssen, P., siehe Schwirten, D.

Jung, J.: Investitionsaufwand für die SO_2- und NO_x-Minderung in der deutschen Kraftwerksindustrie 68:154—157

Kainer, H., siehe Bühler, H.-E.

Kallmeyer, D.H., siehe Lenkewitz, H.

v.d. Kammer, G., siehe Michelfelder, S.

Kasper, K., siehe Eitz, A.W.

Kautz, H.R., siehe Garleff, J.

Kautz, K., siehe Prause, B.

Kehlhofer, R., Greil, C., Vierrath, H., und Thompson, B.H.: Kombi-Kraftwerk mit BGL-Kohlevergasung für die Mittellast im Vergleich zu konventionellen Kohlekraftwerken 68:1264—1268

Keller, J., siehe Teggers, H.

Kempkes, B.: Betriebserfahrungen mit kriechbeanspruchten Rohrsystemen 68:953—958

Kepplinger, H.M.: Der Weg in die publizistische Krise der Kernenergie 68:1221—1227

Kettrup, A., siehe Henning, K.

Kindermann, W., Scheurlen, J., und Schwarz, H.G.: Dampfturbinenregelung mit neuen elektrohydraulischen Ventilantrieben im Kraftwerk Heyden 68:124—132

Klein, M., siehe Brinkmann, C.

Klug, M., siehe Schmitt-Wittrock, P.

Kneissl, P.J., siehe Praxmarer, G.

Knizia, K.: Energieversorgung — Utopie und Wirklichkeit 68:1081—1089

Knop, K., siehe Rost, M.

Knorth, H., siehe Köhne, V.

Koch, H.-J.: Disposition und Lagerung von REA-Gips 68:869—877

Köhler, S., siehe Langner, A.

Köhne, V., Knorth, H., und Pötsch, H.-D.: Zur Haltbarkeit feuerfester Werkstoffe in kommunalen Müllverbrennungsanlagen 68:1279—1286

Krabbe, H.-J., und Wiesemes, K.-D.: Bestimmung von PCB in Alt- und Frischölen 68:172—175

Kraft, M., siehe Wöhrle, G.

Kratzer, A.: Betriebserfahrungen mit Wäscherpumpen aus metallischen Werkstoffen in REA-Anlagen nach Kalkwaschverfahren auf Kalksteinbasis 68:1119—1125

Kröger, D.G.: Untersuchung von Trockenkühlsystemen 68:1008—1011

Krone, S., siehe Seibel, G.

Kubisa, R., siehe Bertram, J.

Kuhmonen, S.: Technik und Betriebserfahrungen von Großkraftwerken mit Torffeuerung 68:576—581

Kuhnke, K., siehe Walter, K.-H.

Kurz, M., siehe Wierig, H.-J.

Lambertz, J., siehe Teggers, H.

Landahl, H., siehe Schnier, W.

Langen, B., siehe Herzing, R.

Langhardt, W., und Wellnitz, G.: Zukunftsorientierte Technologien in der Vorfertigung von Rohrleitungen 68:297—304

Langner, A., Pflugbeil, K., und Köhler, S.: Grundlagen der Reinigung von Dampferzeugern mit organischen Komplexbildnern 68:945—947

Langner, H., siehe Brinkmann, C.

Langner, H., siehe von Lojewski, D.

Lasch, M., siehe Eickelpasch, N.

Leavy, K., siehe Horgan, G.

Lefers, J.B., siehe Enoch, G.D.

Lefers, J.B., siehe Lodder, P.

Leikert, K., siehe Michelfelder, S.

Lenkewitz, H., und Kallmeyer, D.H.: Erfahrungen aus der gleichzeitigen Nachrüstung von 37 Rauchgasentschwefelungsanlagen für vier Braunkohlekraftwerke (9300 MW) 68:51—55

Lester, R.K., siehe Winje, D.

van Liere, J., siehe Garleff, J.

Lindberg, G., Fessler, P., und Jucker, B.: Kontinuierliche diagnostische Zustandsüberwachung von Turbogruppen 68:592—597

Linsenbarth, O., siehe Althoff, T.

Lisakowski, W.: Leittechnik für die REA-Nachrüstung in den Kraftwerken Herne, Lünen und West 68:717—725

Lisowsky, R., Breucker, H., und Vollmer, W.: Verfeuerung einer unerprobten, schwierigen Braunkohle im Kraftwerk Buschhaus 68:500—505

Liu, K.M.: Laufende Überwachung der Standzeit von Dampfturbinenläufern 68:704—709

Lodder, P., und Lefers, J.B.: Kontinuierliche On-line-NH_3-Analyse in Rauchgasen aus katalytischen DENOX-Anlagen 68:1301—1305

Loeffler, J.C., siehe Bade, H.

von Lojewski, D., Langner, H., und Thelen, F.: Messung der Beheizungsverteilung im Feuerraum eines 700-MW-Dampferzeugers 68:17—23

Loth, M., siehe Schwirten, D.

Lundberg, L.: Zukunftsaspekte der Elektrizitätsversorgung Schwedens 68:453—455

Maghon, H.: Eine wirtschaftliche Lösung des NO_x-Problems bei Gasturbinen 68:799—803

Magin, W., siehe Schemmer, M.

Maier, H., siehe Schröfelbauer, H.

Maier, H., und Hiebler, G.: Ringversuche zur Gesamtschwefelbestimmung in Kohle- und Fichtennadelproben 68:627—632

Martin, H.: Steigerung des Prozeßwirkungsgrades kohlebefeuerter Kraftwerke 68:219—225

Martin, P.: Einige Gedanken zur Koordination der Betriebskennlinien von Turbine und Kondensator 68:597—603

May, H., siehe Häßler, G.

Mayer, K.H., siehe Prestel, W.

Mehrling, P., siehe Bade, H.

Meyer, H.-J.: Erfahrungen mit Kohlebunkern und Kohlezuteilern 68:150—154

Michelfelder, S., v.d. Kammer, G., und Leikert, K.: Planung von Dampferzeugern für südafrikanische Verhältnisse und einheimische Kohlen 68:1102—1110

Mikyška, L.: Leistungsversuche an Kühltürmen 68:39—45

Mohn, U., siehe Bertram, J.

Moraw, G., und Wagner, E.: Realisierung und Erfahrungen aus der Kupplung zwischen verschiedenen Kraftwerksnetzen in Dürnrohr 68:113—118

Müller, K.-H., von Dziembowski, H., Dirksen, A., und Drosdziok, A.: Leistungsverbesserung an bestehenden Dampfturbinen 68:132—139

Müller, R., und Schiffers, U.: Kohledruckvergasung für den Kombi-Prozeß — Stand, Wirkungsgrad und Entwicklungsziele 68:1022—1030

Musset, G.: Erfahrungen bei der Simulatorausbildung der Betriebsmannschaft für ein Kohlekraftwerk 68:608—610

Neeb, K.H., siehe Schuster, E.

Neuhaus, S., Dieckmann, A., und Gutberlet, H.: Probenahmetechnik und Meßverfahren für die Bilanzierung flüchtiger Spurenelemente in Kohlefeuerungen 68:281—287

Nieder, R., und Sträter, W.: Langzeitverhalten von Verunreinigungen in einem HTR-Primärkreislauf 68:749—754

Nitsch, D., siehe Schwarz, O.

Njo, D.H., siehe Varga, T.

Noppenau, H., siehe Christensen, V.

Novak, M., siehe Raffelsberger, N.

Ohrbach, K.-H., siehe Henning, K.

Overman, L.J., siehe Enoch, G.D.

Paffrath, G., siehe Becker, H.

Pavone, D., siehe Hübner, K.

Peters, F., und Wilhelm, M.: Die Entwicklung der Waldschäden und der Luftqualität in der Bundesrepublik Deutschland 68:1161—1171

Petzel, H.-K., Brückner, H., Stadie, L., und Breucker, H.: Betriebserfahrungen mit dem Benson-Dampferzeuger mit Mehrstufen-Feuerungssystem für Ballastkohle im Modellkraftwerk Völklingen 68:232—237

Pflugbeil, K., siehe Langner, A.

Pitt, R.U., und Steven, H.: Betriebserfahrungen mit dem Rauchgasfilter der Druckwirbelschichtanlage im Heizkraftwerk der RWTH Aachen 68:1030—1039

Plass, L., siehe Bade, H.

Plate, K., siehe Garleff, J.

Pötsch, H.-D., siehe Köhne, V.

Prause, B., und Kautz, K.: Die granulometrische Aufnahme von Elektrofilterstäuben aus Kohlekraftwerken mit dem Retsch-Präzisions-Kaskadenimpaktor PI 1 68:958—963

Praxmarer, G., Gilli, P.G., und Kneissl, P.J.: Braunkohle-Steinkohle-Mischfeuerung im Kraftwerk Riedersbach II und Verwertung von Flugasche und REA-Gips 68:726—735

Prestel, W., Heinrich, D., und Mayer, K.H.: Stand der Ultraschallprüfung von Turbinenwellen und Turbinengehäusen 68:862—868

Preußer, P., und Spindler, K.: Kohlenstaubdruckfeuerung — Stand, Wirkungsgrad und Entwicklungsziele — 68:917—921

Rafael, A., siehe Brinkmann, C.

Raffelsberger, N., und Novak, M.: Planung und Betrieb der Abgasreinigungsanlagen im Kraftwerk Dürnrohr 68:519—527

Reichel, H.-H.: Rauchgasseitige Korrosion in fossilbefeuerten deutschen Kraftwerken 68:186—197

Reichel, P., siehe Himsl, L.

Reichert, G., Thelen, F., Schmidt, D., und Weber, E.: Untersuchung an Druckkohlenstaubfeuerungen 68:1017—1021

Reifenhäuser, R., und Wiese, D.: Erfahrungen mit der primären NO_x-Minderung bei gas- und ölbefeuerten Kraftwerken am Beispiel des 440-MW-Blockes des Kraftwerkes Irsching der Isar-Amperwerke AG 68:926—930

Reimann, D.O.: Prallmatten zum Schutz gegen Rutschflächenverschleiß 68:255—258

Reimann, D.O.: Schwermetalle und anorganische Schadstoffe im Hausmüll mit ihrer Verteilung auf die feste und gasförmige Phase 68:837—841

Reinhardt, H., siehe Sievert, J.

Reinicke, W.L.: Schallemission von Rauchgasentstickungsanlagen in Großfeuerungsanlagen 68:167—172

Renze, H.: Neue Blockregelkonzepte für die optimale Anpassung an entsprechende Aufgaben 68:32—39

Resch, G., siehe Vey, K.

Resch, G.: Überlegungen zur Beherrschung der Korrosion in Kühlsystemen unter Verzicht auf chemische Konditionierung 68:622—626

Reuter, A., und Schirmer, U.: Versuche zur Deponie von Filterstäuben aus der Müllverbrennung 68:511—519

Reuter, F.D., und Hönig, J.: Beeinflussung der Kesselauslegung durch Einbau einer SCR-Anlage 68:118—124

Richter, F.: Schmelzen- und probenbedingte Streuungen in den physikalischen Eigenschaften der beiden austenitischen Cr-Ni-Stähle X 10 CrNiMoTi 18 10 (1.4571) und X 10 NiCrMoTiB 15 15 (1.4970) 68:1061—1072

Röger, R.: Erfassung und Überwachung der Emissionen von 11 Kesselanlagen durch einen Emissionsrechner 68:907—912

Roofthooft, R.: Dekontamination von Hauptkühlmittelpumpen 68:854—856

Rost, M., van Heek, K.H., und Knop, K.: Umweltfreundliche Stromerzeugung durch Einsatz der allothermen Kohlevergasung nach dem MBG-Verfahren 68:461—468

Ruloff, G., siehe Förster, K.

Seibel, G., und Krone, S.: Verfahrens- und Leittechnik eines Fernheizkraftwerkes 68:709—717

Seidelmann, K., siehe Fritz, G.

Sievert, J., und Reinhardt, H.: Möglichkeiten und Zuluftfiltration für Gasturbinen 68:489—494

Šindelař, R.: Experimentelle Untersuchungen zur Blockleistungsaktivierung durch den abschaltbaren ND-Vorwärmerstrang 68:139—143

Smit, K.: Voraussetzungen und Möglichkeiten für die Anwendung der zustandsabhängigen Instandhaltung 68:1142—1145

Smith, R.E.: Sicherheits- und Notsysteme nach Tschernobyl 68:374—378

Spalthoff, F.J.: Tagesfragen der Kraftwerkstechnik 68:984—987

Speitkamp, L.: Bestimmung von Temperaturdifferenzen in dicken Druckbehälterwänden aus der zeitlichen Folge von Temperaturmeßwerten an der isolierten Wandaußenseite 68:182—186

Spindler, K., siehe Preußer, P.

Srinivasan, M.R., und Rajagopal, S.: Die Bedeutung der Kernenergie für die Länder der dritten Welt 68:7—9

Sudhaus, W.: Planerische Randbedingungen und Inbetriebsetzungserfahrungen mit REA-Pumpen aus der Betreibersicht 68:1125—1130

Swoboda, E., und Heitmüller, W.: Feuerungen für Braunkohle mit hohem Ballastanteil 68:603—608

Schallert, B.: Erfahrungen mit einem zweijährigen Versuchsbetrieb mit DENOX-Pilot-Anlagen 68:432—440

Schallwig, K.: Auslegungskriterien für Flugaschesilos 68:963—969

Schanz, R., siehe Brinkmann, C.

Schellenberg, K.D., siehe Bade, H.

Schemmer, M., Magin, W., und Fricke, D.: Schwingungsrißkorrosion und Rißwachstum beim Generator-Kappenringwerkstoff „P900" 68:76—88

Scheurlen, J., siehe Kindermann, W.

Schiffers, U., siehe Müller, R.

Schikarski, W., siehe Häßler, G.

Schilling, H.-D.: Druckwirbelschichtfeuerung — Stand, Wirkungsgrad, Entwicklungsziele 68:826—830

Schilling, H.-D.: Kurzbericht über die Tätigkeit der VGB TECHNISCHEN VEREINIGUNG DER GROSSKRAFTWERKSBETREIBER E.V. 1987/1988 68:883—900

Schirmer, U., siehe Reuter, A.

Schlicht, K.: Die Realisierung sehr niedriger Schwachlast bei einem Gas-/Öl-Block und bei einem Steinkohleblock 68:586—592

Schmidt, D., siehe Hübner, K.

Schmidt, D., siehe Reichert, G.

Schmittroth, W.: Umbau und Modernisierung von älteren Industrie-Dampfturbinen 68:390—396

Schmitt-Wittrock, P., Schulz, W., und Klug, M.: Maßnahmen zur NO_x-Minderung an gasbefeuerten Kombi-Blöcken 68:995—1002

Schnelle, W., siehe Berger, R.

Schnier, W., und Landahl, H.: Besonderheiten bei der Planung und Ausführung des neuen 200 m hohen Schornsteins im VEW-Kraftwerk Westfalen 68:638—645

Schönbucher, B., siehe Stäbler, K.

Schröfelbauer, H., Tauschitz, J., und Maier, H.: Betriebserfahrungen mit Luftreinhaltemaßnahmen bei braunkohlebefeuerten Dampfkraftwerken 68:274—281

Schub, P., siehe Stellwag, B.

Schub, P.: Primärkreischemie im Kernkraftwerk Grafenrheinfeld 68:544—548

Schulz, W., siehe Schmitt-Wittrock, P.

Schumacher, U., siehe Gebhardt, A.

Schuster, E., siehe Ahlfänger, W.

Schuster, E., Neeb, K.H., Ahlfänger, W., Henkelmann, R., und Järnström, R.T.: Analyse primärseitiger Oxidschichten von Dampferzeuger-Heizrohren aus DWR-Anlagen und radiochemische Aussagen zur Primärkreiskontamination 68:441—447

Schwarz, H.G., siehe Kindermann, W.

Schwarz, O., Nitsch, D., und Jacobs, J.: Verfügbarkeit von Wärmekraftwerken 68:820—826

Schwirten, D., Böcker, D., und Jüssen, P.: Versuche zur Entschwefelung von braunkohlebefeuerten Industriekesseln nach dem Trocken-Additiv-Verfahren (TAV) 68:935—939

Schwirten, D., Wessel, B., und Loth, M.: 300 000 Stunden Dampferzeugung — Die Geschichte der Kessel 6 und 10 des Kraftwerkes Wachtberg der Rheinischen Braunkohlenwerke AG 68:675—687

Stadie, L., siehe Petzel, H.-K.

Stäbler, K., Schönbucher, B., und Bilger, H.: NO_x-Minderung aus Sekundärmaßnahmen 68:735—743

Stellwag, B., und Schub, P.: Auswirkungen von Kupferablagerungen auf das Korrosionsverhalten von DWR-Dampferzeugerrohren 68:1058—1060

Steven, H., siehe Pitt, R.U.

Stindt, W., siehe Bäro, G.

Sträter, W., siehe Nieder, R.

Strauß, K., siehe Breidenbach, H.

Strehl, U., siehe Herzing, R.

Streuber, Ch., siehe Bühler, H.-E.

Stürz, U.: Einsatz digitaler Leittechnik beim Umbau einer Altanlage auf NO_x-arme Verbrennung von Magerkohle 68:1002—1008

Tännler, Ch., siehe Brandt, F.C.J.

Täubert, U.: Entsorgung von Steinkohlekraftwerken 68:157—166

Tauschitz, J., siehe Schröfelbauer, H.

Teggers, H., Lambertz, J., und Keller, J.: Das Hochtemperatur-Winkler-Vergasungsverfahren zur Erzeugung von Synthesegas und Brenngas 68:1146—1152

Thelen, F., siehe Breidenbach, H.

Thelen, F., siehe von Lojewski, D.

Thelen, F., siehe Reichert, G.

Thielen, W., siehe Bruchhaus, R.

Thompson, B.H., siehe Kehlhofer, R.

Tigchelaar, P., siehe Enoch, G.D.

Traßl, W.: Dampfturbinen für die Zukunft 68:783—794

Traupe, A.: Gesichtspunkte der Arbeitssicherheit bei Planung und Betrieb von DENOX-Anlagen 68:814—819

Truppat, R.: Zur Durchführung und Auswertung von Ringversuchen in der chemischen Analytik 68:69—72

Turner, C.R.: Studien zur Luftbelastung durch Kraftwerke in Südafrika 68:940—944

Uerpmann, E.P., siehe Gebhard, G.

Uhlir, Th., siehe Christensen, V.

Varga, T., und Njo, D.H.: Vergleich der Leck-vor-Bruch-Betrachtungen in der Bundesrepublik Deutschland und den USA 68:552—556

VDEW/VGB: Verwertungskonzept für Reststoffe aus Kohlekraftwerken; Teil II: Aschen — Rückstände aus der Verbrennung 68:1172—1179

Venderbosch, H.W., siehe Enoch, G.D.

Vetter, H., siehe Hlubek, W.

Vey, K., und Resch, G.: Erste Erfahrungen mit dem Betrieb des THTR 300 aus der Sicht der Kraftwerk-Chemie 68:749—755

VGB: Bericht über Eröffnungs-Veranstaltung VGB-Kongreß „Kraftwerke 1988" 68:975—983

VGB: Richtlinien für Kesselspeisewasser, Kesselwasser und Dampf von Dampferzeugern über 68 bar zulässigem Betriebsüberdruck 68:1312

VGB: Richtlinie für das Wasser in Kernkraftwerken mit Leichtwasserreaktoren 68:1312

VGB-Arbeitsgruppe: Prüfung von Fe-CuNi-Thermoelementen für Abnahme- und Kontrolluntersuchungen (VGB-Ringversuch) 68:253—255

VGB-Geschäftsstelle: Betriebserfahrungen mit Kernkraftwerken 1987 (ABE-Bericht) 68:317—368

VGB-Geschäftsstelle: Stand der Stickoxidminderung durch Sekundärmaßnahmen 68:60—68

Vierrath, H., siehe Kehlhofer, R.

Viheriävaara, H.: Perspektiven der Elektrizitätswirtschaft in Finnland 68:369—373

Vogg, H., Christmann, A., und Wiese, K.: Das 3R-Verfahren, ein Baustein zur Schadstoffminderung bei der Müllverbrennung 68:258—261

Vollmer, W., siehe Lisowsky, R.

Voos, H., siehe Häßler, G.

Voß, W., siehe Engels, H.

Voute, A., und Claverie, J.: Hauptkühlwassersysteme bei konventionellen und Kernkraftwerken 68:617—622

Wagner, E., siehe Moraw, G.

Waltenberger, G.: Betriebskosten von Industrie-Dampfturbinen und Möglichkeiten zu deren Beeinflussung 68:244—248

Walter, K.-H., und Kuhnke, K.: Dampferzeugerreinigung in DWR-Anlagen mit NTA bzw. EDA 68:1305—1309

Weber, E., siehe Hübner, K.

Weber, E., siehe Reichert, G.

Wein, W.: Stand und zukünftige Entwicklung der Wirbelschichtsysteme 68:1252—1258

Weinzierl, K., siehe Bruchhaus, R.

Weinzierl, K.: Thermodynamische Auslegung von Kombi-Prozessen zur Steinkohleverstromung 68:901—907

Weirich, P.-H., siehe Hebel, G.

Weißflog, E., siehe Wirsching, F.

Wellnitz, G., siehe Langhardt, W.

Wenz, W., siehe Brücher, K.

Wessel, B., siehe Schwirten, D.

West, L.A., siehe Ham, A.J.

Wierig, H.-J., und Kurz, M.: Einfluß von kurzen Nachbehandlungszeiten und von Nachbehandlungsmitteln auf den Carbonatisierungsfortschritt im Beton 68:89—94

Wiese, D., siehe Reifenhäuser, R.

Wiese, K., siehe Vogg, H.

Wiesemes, K.D., siehe Krabbe, H.-J.

Wilhelm, M., siehe Burgmann, F.

Wilhelm, M., siehe Peters, F.

Winje, D., Hansen, K.F., Beckjord, E., Gyftopoulos, E.P., Golay, M.W., und Lester, R.K.: Ursachen unterschiedlicher Verfügbarkeiten von Leichtwasserreaktoren in ausgewählten Industrieländern 68:1227—1232

Wirsching, F., und Weißflog, E.: Umweltfreundliche Entsorgung von Reststoffen steinkohlebefeuerter Kraftwerke 68:1269—1278

Wittchow, E., siehe Brücher, K.

Wittig, S., siehe Häßler, G.

Wöhrle, G., und Kraft, M.: Zukunftsorientiertes Rechnerinformationssystem für die Kraftwerksprozeßführung als Pilot-Projekt im Kernkraftwerk Philippsburg 68:397—402

Wünsch, A., siehe Bers, K.

Zaunschirm, H., siehe Braumüller, K.

Zenker, P.: 10 Jahre Betriebserfahrung mit der Heliumturbinenanlage Oberhausen 68:698—704

Ziermann, E.L., und Engel, J.: 20 Jahre hervorragende Betriebserfahrungen mit den Kühlgasgebläsen des AVR in Jülich 68:809—814

Sachverzeichnis 1988

Abbrandzeit, Kohle 68:1105

Abfälle, Definition 68:161

Abfallbehandlung und -verwertung 68:46

Abgasreinigung, Wirbelschichtfeuerung 68:1033

Abhitzekessel, Gasturbinen 68:248

Abnahmeuntersuchungen,
Prüfung von Fe-CuNi-Thermoelementen 68:253

Abnahmeversuche an Naßkühltürmen 68:39

Absperrarmaturen,
Einsatz in Rauchgaskanälen 68:403 68:1111

Abwasser
— aus der Rauchgasentschwefelung 68:157
— aus REA, Mindesteinleitungsbedingungen 68:548—552
— Kühlwasser 68:157

Abwasseraufbereitung hinter REA
— Anlagenkonzept 68:528—536
— Betriebserfahrungen 68:528—536

Abwasserbehandlung bei MVA 68:1014

Abwasserentsorgung 68:157

Abwassergesetzgebung, Auswirkungen auf den analytischen Überwachungsaufwand 68:175—181

Accident-Management
— für Kernkraftwerke in Frankreich 68:1216
— Maßnahmen 68:694

Änderungen in Kernkraftwerken in Großbritannien nach dem Unfall in Tschernobyl 68:374

Allotherme Kohlevergasung 68:461

Alterungseinfluß von Thermoelementen für Abnahme- und Kontrolluntersuchungen 68:255

Ammoniak
— Brandgefahr 68:815
— Verhalten und Erfassung bei der Rauchgasanalyse 68:632—637

Ammoniaklagerung
— sicherheitstechnische Anforderungen 68:815
— verkehrssicherungstechnische Anforderungen 68:817

Analyse
— chemische, Durchführung und Auswertung von Ringversuchen 68:69—72
— flüchtiger Spurenelemente in Rauchgasen 68:281—287
— von Kohle- und Fichtennadelproben auf Gesamtschwefel 68:627—632
— von PCB in Alt- und Frischölen 68:172—175
— von Rauchgasen 68:632—637
— von Reingasstäuben aus Kohlekraftwerken und MVA 68:1047—1057

Analysenverfahren
— Absicherung durch Ringversuche 68:69—72
— Anforderungen für den Kraftwerksbetrieb 68:175—181

Anfall von Verbrennungsrückständen 68:1172

Anlagenlebensdauer, Verlängerung, Vorstellungen des CEGB 68:571

Anthrazitkohlenstaubfeuerung
für kleine Leistungen 68:505

Arbeitsausnutzung konventioneller Kraftwerke 68:820—826

Arbeitsverfügbarkeit konventioneller Kraftwerke 68:820—826

Armaturen
— in Rauchgaskanälen 68:403 68:1111
— mit Keramikauskleidung in REA 68:1131

Arsen
— Bestimmung in den Stoffströmen einer Feuerung 68:281—287
— Vergiftung von DENOX-Katalysatoren 68:287—293
— Verhalten in Feuerungsanlagen und Bilanzierung 68:281—287

Asche
— Dreistoffdiagramm 68:1106
— Fließtemperatur 68:931—935

Aschen 68:1172
— anfallende Mengen 68:1177
— Anforderung für die Verwertung 68:1175
— Entstehung und Eigenschaften 68:1172
— Notwendigkeit der Ablagerung 68:1178
— Verwertung 68:161
— Verwertungskonzept 68:1172—1179

Ascheviskosität 68:931—935

Ausbildung 68:608—610

Auslauf aus Kohlebunkern 68:151—154

Austenitische Cr-Ni-Stähle, Streuungen in physikalischen Eigenschaften 68:1061—1072

AVR
— Betriebserfahrungen 1987 68:317
— Kühlgebläse 68:809

AVT-Fahrweise
— Umstellung von Phosphatfahrweise in einer DWR-Anlage 68:73—75

Bauwesen 68:895

BE-Reparatur 68:386

Befahren von Brennkammern 68:889

Beheizungsverteilung im Feuerraum eines 700-MW-Dampferzeugers 68:17

Berechnung, Überhitzer/Zwischenüberhitzer (Lebensdauer) 68:760—768

Beton-Schmelze-Wechselwirkung 68:378

Betontechnologie, Betonzusammensetzung mit und ohne Flugasche, Meßergebnisse 68:89

Betriebserfahrungen mit REA-Rohrleitungen 68:1131

Betriebskosten, Industriedampfturbinen 68:244

Betriebspersonal 68:608—610

BEWAG
— Kraftwerks-Modernisierung 68:268
— REA-Nachrüstung 68:270

Beznau, Betriebserfahrungen 1987 68:366

Biblis, Betriebserfahrungen 1987 68:327

Bilanzierung von Schadstoffen im Müll 68:837

Blockleistungsaktivierung
— Blockleistungsregelung 68:139
— durch ND-Vorwärmerabschaltung 68:139
— experimentelle Untersuchungen 68:139
— Kondensatstopp 68:139
— Turbinenleistungserhöhung 68:139

Blockregelkonzepte, neue 68:32

Brandschutz, Dampfturbinen 68:480

Braunkohle
— mit hohem Alkaligehalt 68:500—505
— mit hohem Ballastanteil 68:603—608

Braunkohle-Steinkohle-Mischfeuerung 68:726—735

Braunkohlevergasung 68:833 68:1146

Brennelementverhalten bei Störfällen 68:378

Brenner für Braunkohlenstaub
— als Wirbelbrenner 68:502
— mit getrennter Brüdeneinblasung 68:605—607

Brennerspiegel für Braun- und Steinkohle-Mischfeuerung 68:730

Brennstoffanalyse zur Gesamtschwefelbestimmung und Emissionsabschätzung 68:627—632

Brennstoffanteile von Kohle und Erdgas bei verschiedenen Kombi-Prozessen 68:1085

Brennstoffeinsparung für verschiedene Prozesse gegenüber konventionellem Dampfprozeß 68:224

Brennstoffkreislauf 68:990

Brokdorf, Betriebserfahrungen 1987 68:354

Brüdenabtrennung bei Braunkohlenstaubfeuerung 68:605—607

Brunsbüttel, Betriebserfahrungen 1987 68:334

Bunkerabzugsorgane, Auswahl der Systeme 68:150/151

Bunkerdimensionierung 68:151—154

Cattenom
— Aufbau des Kernkraftwerkes 68:255
— erste Betriebserfahrungen 68:225

CEGB, Vorstellungen zur Verlängerung der Anlagen-lebensdauer 68:571

Chaos, naturwissenschaftliche Definition 68:1208

Chemie im Kraftwerk 68:893

Chemische Reinigung von Dampferzeugern mit organischen Komplexbildnern 68:945—947

Containmentsprühsystem mit mobilen Pumpen 68:694

CO_2-Emission 68:885 68:890 68:981
— relative, bei gleicher eingesetzter Kohlemenge 68:1088

Dampf
— Richtlinien in den USA (EPRI) 68:1184—1191
— VGB-Richtlinie, Ausgabe 1988 68:1312

Dampferzeuger
— Anfahr- und Bypass-Systeme 68:1102
— Anfahren einer Anthrazitfeuerung 68:505
— Anwärm- und Schwachlaststation 68:586
— Auswirkungen primärseitiger NO_x-Maßnahmen auf den Verdampfer 68:991
— Auswirkungen von NO_x-Primärmaßnahmen 68:991
— Auswirkungen von sekundärseitigen Kupfer-ablagerungen auf Dampferzeugerrohre in DWR-Anlagen 68:1058—1060
— Bauteilerschöpfung 68:794
— Beeinflussung der Auslegung bei SCR-Anlagen 68:118
— Betriebserfahrungen bei Torffeuerung 68:576
— Brennerauswahl 68:1102
— Brennerkonstruktion für Anthrazitstaub 68:505
— Brennkammer-Beheizungsprofile 68:17
— Brennstoffkreisläufe für Torf 68:576
— Druckteilmaßnahmen 68:991
— Einbau einer SCR-Anlage 68:118
— Ein-Mühlen-Betrieb 68:586
— Einzelrohrverfolgung im Verdampfer 68:991
— Erschöpfungsgrad 68:794
— Feuerungs- und Mühlenauslegung 68:1102
— Frischdampfsammler 68:794
— für extrem niedrige Schwachlast (Steinkohle, Gas/Öl) 68:586
— Gastemperaturprofil am Feuerraumaustritt 68:1102
— HD-Einspritz-Teillastregelventile 68:586
— Kenndaten 68:1102
— Kohlenstaubzünd- und Schwachlastfeuerung 68:586
— Konstruktion 68:794
— Lebensdauer 68:794
— Meßeinrichtung zur Beheizungserfassung 68:17
— Messen der Feuerraumbeheizung 68:17
— Meßergebnisse, Brennkammerwärmeaufnahme 68:17
— mit Anthrazitkohlenstaubfeuerung 68:505
— mit Torffeuerung 68:576
— Ölschwachlastbrenner 68:586
— Optimieren der Verdampferschaltung 68:991
— Planung und Auslegung für südafrikanische Kohle 68:1102
— Probebetrieb und erste Betriebserfahrungen bei Troffeuerung 68:576
— Reinigung durch Komplexierung mittels NTA bzw. EDA 68:1305—1309
— Reinigung durch Rohrbodenspülung in DWR-Anlagen 68:1180—1184
— Reinigung mit organischen Komplexbildnern 68:945—947
— Schaltschema bei Anthraziteinsatz 68:505
— Schaltungen bei SCR-Anlagen 68:118
— Schwachlast-Betriebserfahrungen 68:586
— Spitzenlastbetrieb 68:794
— Umstellung der Fahrweise von Phosphat auf Hoch-AVT 68:73—75

— Verfügbarkeit 68:1102
— Versuchsprogramm Brennkammerbeheizung 68:17
— Versuchsstand für Anthrazitstaub 68:505
— Vorbehandlung des Torfs 68:576
— Wasser-Dampf-Trenngefäß 68:794
— Zusammensetzung primärseitiger Oxidschichten auf Dampferzeuger-Heizrohren in DWR-Anlagen 68:441—447

Dampferzeuger, Kombi-Block der Kali & Salz AG 68:665

Dampferzeuger, Kraftwerk IAW-Leiningerwerk
— Hypothesen für Schmelzkammerexplosion 68:237
— Schmelzkammerexplosion 68:237
— Ursachenforschung bei Schmelzkammerexplosion 68:237

Dampferzeuger, Kraftwerk Wachtberg
— Ausnutzungsgrad 68:675
— Heizflächenschaltungen 68:675
— Lebensläufe 68:675
— Reisezeit 68:675
— Verschmutzungsprobleme 68:675
— Werkstoffprobleme 68:675

Dampferzeuger, Modellkraftwerk Völklingen
— Anlagenbeschreibung 68:232
— Automatik-Umschaltprogramm 68:232
— Betriebserfahrungen 68:232
— Blockwirkungsgrad 68:232
— Fahrweise 68:232
— Mehrstufen-Feuerungssystem 68:232

Dampferzeugerauslegung
— Beeinflussung durch SCR-Anlagen 68:118
— Verfeuerung von Salzbraunkohle 68:502—505

Dampferzeugertechnik, Beiträge Österreichs 68:468

Dampfkraftwerk St. Andrä 68:274—281

Dampfkraftwerk Voitsberg 68:274—281

Dampfturbinen
— Baureihen-Blocksystem 68:783
— Betriebskennlinien von Turbine und Kondensator 68:597
— Betriebskosten 68:244
— Brandbekämpfung 68:480
— Brandschutz 68:480
— Endstufen 68:597
— Kompaktantriebe 68:124
— Kondensatorauslegung 68:597
— Lebensdauerüberwachung 68:704
— Lebensdauerverlängerung 68:132 68:390
— Leistungserhöhung 68:27 68:132
— Nachrüstung 68:27
— neue Konstruktionen 68:783
— Profile und Beschaufelung 68:783
— Regelungsarten 68:783
— Schwingungsüberwachung 68:592
— Umbau und Modernisierung 68:132 68:247 68:390
— Wirkungsgradverbesserung 68:27
— Zustandsüberwachung 68:592

Dampfturbosätze
— automatisierte Zustandsdiagnose 68:1239
— Diagnosesysteme 68:1242

Definitionen, Verfügbarkeits- 68:820—826

Dehnungswechselerschöpfung, Berechnung (Druckbehälter) 68:182—186

Dekontamination
— Einsatz von Waschmitteln in Kernkraftwerken, Untersuchungen zur Stabilität 68:857—862
— von Hauptkühlmittelpumpen in belgischen DWR-Anlagen 68:854—856

DEMONA-Experimente zum Aerosolverhalten 68:378

DENOX-Anlagen 68:60—68 68:979
— dynamisches Verhalten 68:735—743
— Handhabung der Katalysatoren 68:818
— Leittechnik 68:803
— neue Rauchgasanalysetechniken 68:632—637
— schalltechnische Planung 68:167—172

DENOX-Bypassklappe 68:403

DENOX-Großanlagen 68:735—743

DENOX-Katalysatoren
— Arsen- und Bleiresistenz 68:417—425
— Arsenaufnahme 68:432—440
— Eisenoxid-Chromoxid-Basis 68:417—425
— Vergiftung durch Arsen 68:287—293

DENOX-Pilot-Anlagen 68:432—440

DENOX-Verfahren 68:60—68

DENOX-Versuchsanlagen 68:60—68 68:735—743

Deponieverhalten
— Laboruntersuchungen 68:143
— MVA-Rückstände 68:511

Diagnosesysteme an Dampfturbosätzen 68:1242

Dickstromfeuerung 68:1259

Diffusionsbrenner in Gasturbinen-Brennkammern 68:996—998

Dioxine 68:49 68:258

Distickstoff-Monoxid 68:841

DORA (Filterstaubbehandlung) 68:258

Druckbefeuerte Schmelzkammer, Kombi-Kraftwerk 68:223

Druckbehälter, dickwandig; Bestimmung von Temperaturdifferenzen 68:182—186

Druckentlastung des Containments 68:694

Druckfeuerung für Kohlenstaub 68:917 68:1017

Druckkammer, Überflutung der unteren 68:694

Druckwasserreaktoren
— Auswirkungen von sekundärseitigen Kupfer-Ablagerungen auf Dampferzeugerrohre 68:1058—1060
— Dampferzeugerreinigung durch Rohrbodenspülung 68:1180—1184
— Dampferzeugerreinigung mit NTA bzw. EDA 68:1305—1309
— Dampferzeugerreinigung mit organischen Komplexbildnern 68:945—947
— Dekontamination von Hauptkühlmittelpumpen in belgische Anlagen 68:854—856
— grundsätzliche Überlegungen zum Kobalt-Inventar 68:1043—1047
— Primärkreischemie in der DWR-Anlage Grafenrheinfeld 68:544—548
— Umstellung des Sekundärkreislaufes auf Hoch-AVT 68:73—75
— VGB-Wasserrichtlinie, zweite Ausgabe 1988 68:1312
— Zusammenstellung primärseitiger Oxidschichten von Dampferzeuger-Heizrohren 68:441—447

Druckwirbelschichtfeuerung 68:826 68:1030 68:1252
— RWTH-Aachen 68:1030—1039

Dürnrohr, Kupplungsstelle zwischen verschiedenen Kraftwerksnetzen 68:113

EDTA zur Dampferzeugerreinigung und Speisewasserkonditionierung 68:945—947

Elektrizitätsversorgung
— in der Bundesrepublik Deutschland, Handlungsspielräume für die Zukunft 68:986
— in Finnland, Perspektiven 68:369
— in den Niederlanden, Umstrukturierung 68:1
— in Schweden, Zukunftsaspekte 68:453

Elektrodialyse und Umkehr-Elektrodialyse zur Wasserentsalzung 68:536—543

Elektronenstrahlverfahren (EVS) 68:425
— Betriebserfahrungen, Pilot-Anlage 68:427
— Kosten 68:431

Elutionsversuche 68:145 68:511

Emissionen 68:885 68:889
— Messung an DENOX-Anlagen 68:632—637

Emissionsdaten
— Bildschirmdarstellung 68:907—912
— Zentralisierung und Verarbeitung 68:907—912

Emissionsgrenzwerte für Kohlekraftwerke, Entwicklung in der Bundesrepublik Deutschland 68:214/215

Emissionsmessung und Auswertung 68:907—912

Emissionsrechner 68:907—912

Emissionsüberwachung durch Rechner 68:907—912

Energiedispersive Analyse zur Untersuchung von Reingasstäuben 68:1047—1057

Energieversorgung, Langfristperspektiven (100 Jahre und mehr) 68:1095

Entkupferung von Dampferzeugerrohren mit organischen Komplexbildnern 68:945—947

Entschwefelungsanlagen 68:979

Entsorgung von Abfällen 68:46

Entsorgung von Steinkohlekraftwerken 68:157—166 68:1269—1278

Entwicklungslinien der Kraftwerkstechnik in der Bundesrepublik Deutschland 68:214

EPRI Richtlinien für die Chemie des Wasser-Dampfkreislaufes 68:1184—1191

Erdöl, Erdgas; Weltproduktion und Weltbedarf 68:1092

Ergebnisse der VGB-Ausfallstatistik für leittechnische Kraftwerkskomponenten 68:495

Erosion in REA-Pumpen 68:1119

ESKOM, Programm zur Reinhaltung der Luft 68:940—944

EVN/VKG Kraftwerk Dürnrohr 68:519

Explosion einer Dampferzeuger-Schmelzkammer im IAW-Leiningerwerk 68:237

Fe-CuNi-Thermoelemente, Prüfung 68:253

Feinstaub nach quasitrockener REA 68:262—268

Feuerraumauskleidung für MVA 68:1279

Feuerraumschwingungen bei Gasfeuerungen 68:929

Feuerraumtemperatur bei Braunkohlenstaubfeuerung 68:607

Feuerungen 68:888
— Einfluß auf die Vergiftung von DENOX-Katalysatoren 68:287—293

Feuerungsauslegung für salzhaltige Braunkohle 68:500—505

Feuerungssysteme 68:1254
— für ballastreiche Braunkohlen 68:603/604

Filtermaterial, Metall-Sintervlies 68:1030—1039

Filternde Entstaubung 68:1030—1039

Filterstaubbehandlung bei Müllverbrennung 68:258

Filterstaubentsorgung 68:262—268

Filterstaubnachbehandlung 68:262—268

Filterversuche 68:1030—1039

Finnland, Perspektiven der Elektrizitätswirtschaft 68:369

Flammenüberwachung bei Steinkohle-Schmelzfeuerung, Optimierung 68:415/416

Flanschverbindungen an gummierten REA-Rohrleitungen 68:1131

Flügelklappen, Einsatz in Rauchgaskanälen 68:403

Flüssige Staubabscheidung bei T > 1300 °C 68:931—935

Flugasche
— Anforderungen nach Ö-Normen B 3319 und B 3320 68:733
— Fraktionierung 68:958
— Silolagerung 68:963
— Verdichtung im Silo 68:966

Flugstaub, NH_3-Anlagerung 68:735—743

Förderstromabfall, Inbetriebsetzungserfahrungen mit REA-Pumpen 68:1125

Forschung 68:896 68:988

Forschung in der Kraftwerkstechnik 68:1243 68:1249
— Gemeinschaftsforschung 68:1249
— Universitätsforschung für die Kraftwerkstechnik 68:1249

Fortgeschrittene Reaktorsysteme 68:989

Gaschromatographie zur PCB-Bestimmung in Ölen 68:172—175

Gas-/Dampfturbinenkraftwerke (GuD) 68:829 68:918 68:922 68:1017 68:1022

Gas-/Dampfturbinenkraftwerke mit Kohlevergasung (GDK) 68:463 68:831 68:922 68:1022 68:1259 68:1264

Gaserzeuger, Modulbauweise 68:465

Gas-/Öl-Block, Schwachlastbetrieb 68:586

Gasreinigung über 1000 °C 68:931—935

Gasturbinen
— Abhitzekessel 68:248
— Betriebserfahrungen, Heliumturbine 68:698
— Hybridbrenner 68:801
— Kombi-Kraftwerke 68:248
— Luftfilter 68:489
— Optimierung 68:248
— NO_x-arme Brenner 68:799
— NO_x-mindernde Maßnahmen 68:799
— 10 Jahre Heliumturbinenanlage 68:698

Gasweichen, Einsatz in Rauchgaskanälen 68:1111

Gehäuserisse, Inbetriebsetzungserfahrungen mit REA-Pumpen 68:1125

Generation, nächste, von Kohlekraftwerken 68:103

Generator, Zustandsüberwachung 68:592

Gewährleistungsversuche an Naßkühltürmen 68:39

Gewerkschaft Sophia-Jacoba, Heizwerk mit Anthrazitkohlenstaubfeuerung 68:505

Gips
— Kraftwerksnebenprodukt, Qualitätsanforderungen 68:734
— Kraftwerksreststoffe, Zwischenlager 68:872
— Verarbeitung, Produktion, Baustoffmarkt 68:874
— Verwertung 68:164

Gipsbedarf und REA-Gipsanfall in der Bundesrepublik Deutschland 68:215

GKN, Betriebserfahrungen 1987 68:330

Gleichstrom-Hochspannungs-Kurzkupplung in Dürnrohr 68:115

Gleitringdichtungen in REA-Pumpen 68:1119 68:1125

Gösgen-Däniken, Betriebserfahrungen 1987 68:368

Grafenrheinfeld, Betriebserfahrungen 1987 68:343

Grohnde, Betriebserfahrungen 1987 68:349

Großkraftwerk mit Torffeuerung — Neue Technologien 68:576

Großlysimeter 68:144 68:511

GuD-Kombi-Block
— Basis rheinische Braunkohle 68:922
— GuD mit integrierter Kohlevergasung 68:922
— Konzept 68:922
— Technische und wirtschaftliche Merkmale 68:922

Gummi-Schlauchleitungen in REA-Anlagen 68:1131

Gummierte Stahlrohrleitungen in der REA 68:1131

Gundremingen, Betriebserfahrungen 1987 68:346

H-Verfahren 68:1216

Hauptkühlmittelpumpen, Dekontamination in belgischen DWR-Anlagen 68:854—856

Heißgasreinigung 68:836 68:921
— Einfluß auf den thermodynamischen Prozeß von Kombi-Kraftwerken zur Steinkohleverstromung 68:905
— Wirbelschicht 68:836

Heizkraftwerk, Anthrazitkohlenstaubfeuerung 68:505

Heizkraftwerk Herne 68:409—416

Heizwert, flüchtige Kohlebestandteile 68:1104

Herenox-Verfahren zur NO_x-Minderung 68:927

Hochtemperaturfilter 68:1030—1039

Hochtemperaturreaktoren
— erste Betriebserfahrungen am THTR 300 aus chemischer Sicht 68:749—754
— Verunreinigungen im Primärkreislauf 68:755—760

Hochtemperaturvergasung 68:461 68:1022 68:1146

Hydraulische Auslegung von REA-Pumpen 68:1125

Immissionen von Schwefeloxiden, Rauchschäden in forstlichen Bereichen 68:627—632

Induktionsbiegungen, Rohrleitungen 68:298

Instandhaltung
— Dampfturbosätze, automatisierte Zustandsdiagnose 68:1239
— Regelkreis 68:1239
— zustandsabhängig 68:1142 68:1240

Instandhaltungsstrategie
— erweiterte, Nachrüstmaßnahmen zum Umweltschutz 68:216
— Klassifikation 68:1143

Instationäre Simulationsmodelle für Kraftwerksprozesse, Aussagen, Genauigkeit und Aufwand 68:23

Integrierte Kohlevergasung im GuD-Kombi-Kraftwerk (Braunkohle) 68:922

Ionenselektive Membranen für die Umkehr-Elektrodialyse 68:536—543

Kali & Salz AG, Kombi-Block 68:665

Kappenringwerkstoff „P 900" 68:76—88

Katalysatoralterung 68:417—425

Katalysatoren für DENOX-Anlagen, Vergiftung durch Arsen 68:287—293

Katalysatorformationszeit 68:417—425

Kationen-/Anionenaustauschermembranen 68:536—543

Kenndaten
— der Gesamtschwefelbestimmung in Kohle- und Fichtennadelproben 68:627—632
— von Analyseverfahren 68:69—72

Keramikauskleidungen in REA-Armaturen 68:1131

Keramische Auskleidung von Feuerräumen 68:1279

Kernenergie
— Akzeptanz 68:1221
— Darstellung in den Medien 68:1221
— in der dritten Welt 68:7

Kernforschung 68:988

Kernfusion 68:990

Kernkraftwerk
— Isar, Betriebserfahrungen 1987 68:336
— Krümmel, Betriebserfahrungen 1987 68:345
— Mülheim-Kärlich, Betriebserfahrungen 1987 68:353
— Obrigheim, Betriebserfahrungen 1987 68:322
— Olkiluoto (TVO), Betriebserfahrungen 1987 68:356
— Oskarshamn, Betriebserfahrungen 1987 68:358
— Philippsburg, Betriebserfahrungen 1987 68:338
— Ringhals, Betriebserfahrungen 1987 68:361
— Stade, Betriebserfahrungen 1987 68:324
— Unterweser, Betriebserfahrungen 1987 68:337
— Würgassen, Betriebserfahrungen 1987 68:326

Kernkraftwerke
— Auswirkungen von Kupfer auf Dampferzeugerrohre 68:1058—1060
— Betriebserfahrungen 68:317
— chemische Erfahrungen am THTR 300 68:749—754
— Dampferzeugerreinigung in DWR-Anlagen 68:1180—1184

— Dampferzeugerreinigung in DWR-Anlagen mit NTA bzw. EDA 68:1305—1309
— Dekontamination von Hauptkühlmittelpumpen in belgischen Anlagen 68:854—856
— Einsatz von Waschmitteln zu Dekontaminationszwecken 68:857—862
— grundlegende Betrachtungen zum Kobalt-Inventar einer DWR-Anlage 68:1043—1047
— in Skandinavien 68:581
— Minimierung der Kobalt-60-Freisetzung beim Abfahren von SWR-Anlagen 68:948—953
— Primärkreischemie in einer DWR-Anlage 68:544—548
— Umstellung des Sekundärkreislaufes auf Hoch-AVT 68:73—75
— Verunreinigungen in einem HTR-Primärkreislauf 68:755—760
— VGB-Wasserrichtlinie, zweite Ausgabe 1988 68:1312
— Zusammensetzung primärseitiger Oxidschichten von Dampferzeuger-Heizrohren in DWR-Anlagen 68:441—447

Kesselreinigung mit organischen Komplexbildnern 68:945—947

Kesselspeisewasser
— Aufbereitung durch Umkehr-Elektrodialyse 68:536—543
— Konditionierung mit organischen Komplexbildnern 68:945—947
— Richtlinien in den USA (EPRI) 68:1184—1191
— VGB-Richtlinie, Ausgabe 1988 68:1312

Kesselwasser
— Richtlinien in den USA (EPRI) 68:1184—1191
— VGB-Richtlinie, Ausgabe 1988 68:1312

Klappen, Einsatz in Rauchgaskanälen 68:403 68:1111

Kobalt 60, Minimierung der Freisetzung beim Abfahren von SWR-Anlagen 68:948—953

Kohle, südafrikanische 68:1103

Kohlebefeuerte Kraftwerke, Steigerung ihres Prozeßwirkungsgrades 68:219

Kohledruckvergasung 68:461 68:831 68:925 68:1022 68:1146

Kohleeigenschaften 68:1103 68:1247

Kohlekraftwerke, Anforderungen 68:980

Kohlenbunker, Erfahrungen 68:150—154

Kohlenstaubüberdruckfeuerung 68:917 68:1017

Kohlevergasung 68:461 68:831 68:925 68:1022 68:1024 68:1146 68:1151 68:1259 68:1264
— Brenngasentschwefelung 68:1264
— Wirbelschicht 68:1252

Kohlezuteiler, Erfahrungen 68:150—154

Kombi-Block
— Betriebsweise 68:665
— Dampferzeuger 68:665
— Gasturbinenkanäle 68:665
— Kali & Salz AG 68:665
— wärmetechnische Auslegung 68:665
— Wirkungsgrad 68:665

Kombi-Block mit Gasfeuerung, NO_x-Emissionen 68:999

Kombi-Kraftwerke 68:829 68:886 68:919 68:922 68:1017 68:1022
— Gasturbinen 68:248
— REA 68:746

Kombi-Prozesse 68:463 68:831 68:922 68:1022 68:1259 68:1264 68:1267
— Lastregelung 68:1267
— Steinkohleverstromung, thermodynamische Auslegung 68:901
— Wirkungsgrade in Abhängigkeit der Gasturbineneintrittstemperatur 68:223

Kompaktantriebe, Dampfturbinen 68:124

Kompakte, natriumgekühlte Kernreaktoranlage — Betriebserfahrungen 68:320

Komplexbildner, organische, zur Reinigung von Dampferzeugern 68:945—947

Kondensator
— Betriebskennlinien 68:597
— Leistungserhöhung 68:137
— Schwachlastbetrieb 68:597

Konditionierung von Speise- und Kesselwasser mit organischen Komplexbildnern 68:945—947

Konsequenzen für die Kernenergie durch den Unfall in Tschernobyl 68:4

Kontamination
— des Primärkreises durch Kobalt 60, grundlegende Betrachtungen 68:1043—1047
— radiochemische Aussagen aus der Zusammensetzung primärseitiger Oxidschichten von Dampferzeugerheizrohren in DWR-Anlagen 68:441—447

Kontrolluntersuchungen, Prüfung von Fe-CuNi-Thermoelementen 68:253

Korrosion
— fossilbefeuerte Kessel 68:186
— Generator-Kappenringe 68:76—88
— in Kühlsystemen, Abhängigkeit vom Zusatzwasseraufbereitungsverfahren 68:622—626
— rauchgasseitige Einflußgrößen 68:186
— REA-Pumpen 68:1119

Korrosionsgeschwindigkeit, Einflußgrößen 68:186

Korrosionsprodukte, Entfernung mittels NTA bzw. EDA aus Dampferzeugern in DWR-Anlagen 68:1305—1309

Korrosionsverhalten von Stahl in Kühlwässern mit unterschiedlichem $K_{S\,4,3}$-Wert 68:622—626

Kraftwerk Afsin-Elbistan 68:606—608

Kraftwerk Asnæs, 125-MW-Block
— Betriebserfahrungen 68:13
— Lebensdauerverlängerung 68:13
— Umbaumaßnahmen 68:13
— Wirtschaftlichkeit 68:13

Kraftwerk Buschhaus 68:500—505

Kraftwerk Emsland, Kombi-Block 68:995—1002

Kraftwerk Gersteinwerk/Werne, Erfahrungen mit entcarbonisiertem Kühlturm-Zusatzwasser 68:622—626

Kraftwerk Irsching 68:926—930

Kraftwerk Megalopolis 68:606

Kraftwerk Riedersbach II 68:726—735

Kraftwerk Wachtberg, Rheinische Braunkohlenwerke AG, 300 000 Stunden Dampferzeugung 68:675

Kraftwerk Zolling, Schmelzkammerexplosion 68:237

Kraftwerksnebenprodukte, Flugasche und Gips 68:733/734

Kraftwerksnetze, Kupplung verschiedener, in Dürnrohr 68:113

Kraftwerksprozesse, instationäre Simulationsmodelle 68:23

Kraftwerksreststoffe, Flugaschen/Kornfeinheit 68:958

KRAFTWERKSSCHULE 68:899

Kraftwerkstechnik
— Entwicklungslinien in der Bundesrepublik Deutschland 68:214
— Tagesfragen 68:984

Kriechverhalten, Überhitzer/Zwischenüberhitzer 68:760—768

Kühlsysteme, Korrosionsverhalten in Abhängigkeit vom Zusatzwasseraufbereitungsverfahren 68:622—626

Kühltürme
— Abnahmeversuche 68:39
— Gewährleistungsnachweis 68:39
— Leistungsversuche zur Gewährleistung 68:39
— Normen für Leistungsversuche 68:39
— Rippenrohre 68:1008
— Schwadenbilder 68:1008
— Strömungstests 68:1008
— Trockenkühlsysteme 68:1008
— Untersuchung von Trockenkühlsystemen 68:1008
— Wärmecharakteristik 68:39

Kühltürme, Trockenkühlung
— direktes Kühlsystem 68:912
— Forschungsprogramme 68:912
— Fortschritte 68:912
— indirektes Kühlsystem 68:912

Kühlturm-Zusatzwasser, Einfluß unterschiedlicher Entcarbonisierungsverfahren auf die Korrosion 68:622—626

Kühlwasser
— Antifouling-Anstrich 68:610
— biologische Verschmutzung 68:610
— Chloren 68:610
— Erhöhen der Geschwindigkeit 68:610
— Leistungsverluste von Kraftwerken durch Verschmutzung 68:610
— umweltfreundliche Maßnahmen gegen Verschmutzung 68:610
— Ursachen der Großverschmutzung 68:610
— Temperaturerhöhung 68:610
— Verschmutzungsarten 68:610

Kühlwasserfilter 68:610

Kühlwassersysteme
— Investitionskosten 68:617
— Kernkraftwerke 68:617
— Komponenten 68:617
— konventionelle Kraftwerke 68:617
— Kühlwassertemperatureinwirkung 68:617
— Leistungsfähigkeit 68:617
— Optimierungsfehler 68:617
— Simulation für optimale Komponenten 68:617

Kunststoffleitungen in REA-Anlagen 68:1131

Kupfer, Auswirkungen von sekundärseitigen Ablagerungen auf Dampferzeugerrohre in DWR-Anlagen 68:1058—1060

Kupplung verschiedener Kraftwerksnetze in Dürnrohr 68:113

KZA-Schlamm, Verwertung 68:163

Langfrist-Perspektiven (100 Jahre und mehr) der Energieversorgung 68:1095

Laser-Mikromassen-Analyse (LAMMA) zur Untersuchung von Reingasstäuben 68:1047—1057

Laufraddichtspalt, Inbetriebsetzungserfahrungen mit REA-Pumpen 68:1125

LBB-Verhalten, Rohrleitungen 68:552—556

Lebensdauerberechnung, Überhitzer, Zwischenüberhitzer 68:760—768

Lebensdauerverlängerung 68:885
— betriebswirtschaftliche Aspekte 68:1232
— Dampfturbinen 68:132 68:390
— Entwicklungsbereiche 68:1232
— Erfahrungen 68:1232
— Gründe 68:1232
— Prüfverfahren 68:1232
— Umrüsten eines 125-MW-Blockes 68:13
— Vorgehensweise 68:1232
— Ziele 68:1232

Leck-vor-Bruch-Betrachtungen, Vergleich Bundesrepublik Deutschland und USA 68:552—556

Leichtwasserreaktoren, VGB-Wasserrichtlinie, zweite Ausgabe 1988 68:1312

Leistungserhöhung, Dampfturbinen 68:132

Luftfilterung, Gasturbinen 68:489

Luftqualität, Entwicklung 68:1169

Luftreinhaltung bei Braunkohlekraftwerken 68:274—281

Luftstufung zur NO_x-Minderung bei gasbefeuertem Kombi-Block 68:1001

Mahl- und Feuerungssystem für solehaltige Braunkohle 68:502/503

Mehrflügel-Schwenkklappen 68:1111

Membranverfahren zur Wasseraufbereitung, Umkehr-Elektrodialyse 68:536—543

Mengenbilanz im Abfallverwertungskonzept 68:48

Mindesteinleitungsbedingungen für REA-Abwasser (47. AbwasserVwV) 68:548—552

Mineralbildung im Deponiekörper 68:147

Modellkraftwerk Völklingen, Dampferzeuger-Betriebserfahrungen 68:232

Modernisierung, Dampfturbinen 68:247 68:390

Müllheizkraftwerk Essen-Karnap 68:1011

Müllinhaltsstoffe 68:837

Müllverbrennung 68:889
— Wirbelschicht 68:1152

Nachrüstung von Kraftwerken 68:883

Nächste Generation von Kohlekraftwerken 68:103

Naturwissenschaften, neue Dimensionen 68:1208

ND-Vorwärmerabschaltung zur Blockleistungsaktivierung 68:139

Neue Prozesse, Problemkreise, Stand der Entwicklung 68:224

NH_3-Abscheidung im Luvo 68:1294—1300

NH_3-Adsorption an Flugasche 68:1301—1305

NH_3-ionensensitive Elektrode 68:1301—1305

NH_3-Messung hinter SCR-Pilot-Anlage 68:1301—1305

NH_3-Messung (diskontinuierlich), spektralphotometrisch 68:1301—1305

NH_3-Messung (kontinuierlich)
— Erfahrungen 68:1286—1294
— Meßprinzipien 68:1286—1294
— neuere Entwicklungen 68:1286—1294
— on line 68:1301—1305
— Problematik 68:1286—1294

NH_3-Schlupf
— Berechnung aus NH_3-Gehalt der Flugasche 68:1294—1300
— Betriebserfahrungen 68:1294—1300
— Einflußgrößen 68:1294—1300
— Entstehung und Verbleib 68:1294—1300

NH_3-Schlupfmessung
— diskontinuierlich 68:1294—1300
— kontinuierlich 68:1286—1294

Nichtverfügbarkeit, Arbeits-, konventioneller Kraftwerke 68:820—826
— Kernkraftwerke, Ursachen in verschiedenen Ländern 68:1227

Niederflüchtige Steinkohle in umgebauter Schmelzfeuerung 68:409—416

Niederlande, Struktur der Elektrizitätsversorgung 68:1

Notfallpläne, Kernkraftwerke in Frankreich 68:1216

Notfallplanung, Kernkraftwerke in Großbritannien 68:374

NO_x-arme Verbrennung, Leittechnik 68:1002

NO_x-Bildung 68:1246

NO_x-Emissionen von Druck-Kohlenstaubfeuerungen 68:1021

NO_x-Minderung
— Braun- und Steinkohle-Mischfeuerung 68:732
— gasbefeuerte Kombi-Blöcke 68:995—1002
— Gas- und Ölfeuerung 68:926—930
— Steinkohle-Schmelzfeuerung 68:415/416

NO_x-Primärmaßnahmen, Auswirkungen auf den Verdampfer 68:991

NTA zur Dampferzeugerreinigung und Speisewasserkonditionierung 68:945—947

N_2O-Anteil am NO_x im Rauchgas 68:841—843

N_2O-Bildung bei der Verbrennung 68:841—843

N_2O-Kraftwerksemissionen 68:841—843

N_2O, Lachgas 68:841—843

ÖDK: Luftreinhaltemaßnahmen 68:274

Ökologische Aspekte eines Verzichts auf Kernenergie 68:1097

Öl, Untersuchung auf PCB 68:172—175

Ölundichtigkeiten, Inbetriebsetzungserfahrungen mit REA-Pumpen 68:1125

Ordnungsprinzipien, naturwissenschaftliche 68:1208

PCB, Bestimmung in Alt- und Frischölen 68:172—175

Personalqualifikation 68:608—610

Phosphatfahrweise, Umstellung auf AVT in einer DWR-Anlage 68:73—75

Photovoltaikanlagen, Kostendegression 68:109

Physikalische Eigenschaften, austenitische Cr-Ni-Stähle 68:1061—1072

Planungsziel: Lebensdauerverlängerung 68:1232

Primärenergieverbrauch bis zum Jahre 2030 68:1091

Primärkühlmittelchemie
— in der DWR-Anlage Grafenrheinfeld 68:544—548
— Zusammensetzung pirmärseitiger Oxidschichten von Dampferzeuger-Heizrohren 68:441—447

Primärmaßnahmen zur NO_x-Minderung 68:928—930

Probenahme
— von Brennstoff, Granulat und Flugasche zur Spurenelementbestimmung 68:281—287
— von flüchtigen Schwermetallen in Rauchgasen 68:281—287
— zur Emissionsmessung an DENOX-Anlagen 68:632—637

Produktionsfaktoren, neue Definition in der Volkswirtschaft 68:1081

Projekt Nukleare Sicherheit (PNS) 68:378

Prozeßwirkungsgrad kohlebefeuerter Kraftwerke, Steigerung 68:219

Pulse-jet-Abreinigung 68:1030—1039

Pumpen
— in REA-Anlagen 68:1119
— Inbetriebsetzungserfahrungen in REA-Anlagen 68:1125

Quelltermabschätzung 68:378

Radioaktive Strahlung 68:990

Rasterelektronenmikroskopie zur Untersuchung von Reingasstäuben 68:1047—1057

Rauchgase
— Analyse zur Regelung und Überwachung von DENOX-Anlagen 68:632—637
— Bestimmung gasförmiger Spurenelemente 68:281—287

Rauchgasentschwefelung 68:51 68:56 68:154 68:270 68:274 68:425 68:520 68:743 68:843 68:935 68:1039
— Mindesteinleitungsbedingungen für REA-Abwasser 68:548—552

Rauchgasklappen, Einsatz in DENOX-Anlagen 68:403

Rauchgasreinigung
— bei MVA 68:1014
— Vergiftung von DENOX-Katalysatoren durch Arsen 68:287—293

Rauchgasrezirkulation in die Verbrennungsluft zur NO_x-Minderung 68:927

REA
— Ableitung über Kühlturm 68:53
— Abwasser 68:271
— Betriebserfahrungen 68:58 68:427 68:522 68:744 68:843 68:935 68:1119 68:1125
— Betriebsergebnisse 68:274—281
— Einsprühverfahren 68:520 68:1041
— gesetzliche Anforderungen 68:744
— Gips, Gipsbildung, Kristallgröße 68:845
— Gummierung 68:55
— hinter MVA 68:262—268
— in England 68:1039
— Kalk-Gips-Verfahren 68:51 68:743 68:843 68:1041
— Kalkyhdratdosierung 68:262—268
— Kombi-Prozeß 68:744
— Kosten 68:154 68:431
— Kostenrechnung 68:155
— Nachrüstung, Leittechnik 68:717
— Nachrüstung, RWE 68:51 68:843
— Natriumbicarbonatzusatz 68:274—281
— Projektabwicklung 68:52 68:270 68:524
— quasitrocken 68:262—268
— rheinische Braunkohle 68:51 68:845 68:935
— Rohrleitungen 68:1131
— Sprühabsorptionsverfahren 68:520 68:1041
— Trocken-Additiv-Verfahren (TAV) 68:935
— Wellman-Lord-Verfahren 68:56 68:1041
— Wirkungsgrad 68:748

REA-Abwasser, Mindesteinleitungsbedingungen (47. AbwasserVwV) 68:548—552

Reaktorsicherheit 68:989

Rechnerinformationssystem, zukunftsorientiert 68:397

Regenerative Energien, Grenzen der Nutzung bei Windkraft 68:569

Regenerative Energieträger, Abschätzung ihres Potentials für die Bundesrepublik Deutschland 68:218

Reingasstaub 68:1047
— aus Kohlekraftwerken und MVA, Zusammensetzung 68:1047—1057

Reinigung von Dampferzeugern mit organischen Komplexbildnern 68:945—947

Reststoffe
— Definition 68:161
— Dichtung von Deponien 68:1269
— Eluate 68:1274
— Entsorgung 68:1269
— Lärm- und Sichtschutzdämme 68:1269
— Wirtschaftsgut 68:1269

Rheinische Braunkohlenwerke AG, 300 000 Stunden Dampferzeugung im Kraftwerk Wachtberg 68:675

Rheinwasser, Aufbereitung durch Umkehr-Elektrodialyse 68:536—543

Richtlinien
— der VGB für das Wasser in Kernkraftwerken mit Leichtwasserreaktoren, zweite Ausgabe 1988 68:1312
— der VGB für Kesselspeisewasser, Kesselwasser und Dampf, Ausgabe 1988 68:1312
— des EPRI für die Chemie des Wasser-Dampfkreislaufes 68:1184—1191

Ringversuche
— in der chemischen Analytik, Durchführung und Auswertung 68:69—72
— zur Gesamtschwefelbestimmung in Kohle- und Fichtennadelproben 68:627—632

Rißfortschrittsexperimente, Generator-Kappenringwerkstoff 68:76—88

Röntgenpulverdiffraktometer zur Untersuchung von Reingasstäuben 68:1047—1057

Rohrkugelmühle zur Feinmahlung niederflüchtiger Steinkohle 68:410—416

Rohrleitungen
— in der REA, Betriebserfahrungen 68:1131
— kriechbeansprucht, Einflüsse aus Planung, Berechnung, Halterung und Betriebsweise 68:953—958
— Vorfertigung 68:297—304

Rückstand, Definition 68:158

RWE, REA-Nachrüstung 68:51

Salzkohle 68:500—505

Sanierung der Müllbunkerschräge 68:255

SASCHA-Experimente zur Spaltproduktfreisetzung 68:378

SCR-Anlage, Beeinflussung der Dampferzeugerauslegung 68:118

SCR-high-dust-Verfahren 68:432—440 68:735—743
— Schmelzfeuerung 68:417—425

SCR hinter REA 68:432—440

Sekundärwasserchemie in DWR
— Auswirkungen von Kupferablagerungen auf Dampferzeugerrohre 68:1058—1060
— Umstellung von Phosphat-Fahrweise auf Hoch-AVT 68:73—75

Siedewasserreaktoren
— Minimierung der Kobalt-60-Freisetzung beim Abfahren der Anlage 68:948—953
— VGB-Wasserrichtlinie, zweite Ausgabe 1988 68:1312

Siliciumcarbidmaterial für Feuerraumauskleidung 68:1279

Silo für Flugasche 68:963

Silos
— aus Spannbeton, mit nachträglichem Verbund 68:963
— aus Stahlbeton, obere Aussteifung 68:964
— Bodenaustrag und Innenturm 68:965
— für Flugasche, Lagerkapazitäten 68:963
— pneumatisch-mechanisch 68:963
— Schüttguteigenschaften von Flugasche 68:969

Simulationsmodelle für Kraftwerksprozesse, instationäre 68:23

Simulator 68:608—610

Sintervlies-Filter 68:1033

Sipping, neues Verfahren 68:9

SNCR-Verfahren 68:274—281

Spitzenlastbetrieb, Konstruktion großer Dampferzeuger 68:794

Spurenelemente
— in Kohlefeuerungen, Probenahmetechnik und Meßverfahren 68:281—287
— in REA-Abwasser 68:548—552
— in Reingasstäuben 68:1047—1057

Spurengase in der Atmosphäre 68:842

Solar-Strahlungsenergieangebot
in der Bundesrepublik Deutschland 68:108

SO_2-Immissionsbegrenzung durch hohe Schornsteine 68:940—944

Südafrika
— Luftbelastung durch Kraftwerke 68:940—944
— pH-Messungen im Niederschlag 68:940—944
— SO_2-Immissionen 68:940—944

Schadstoffe im Hausmüll 68:837

Schadstoffextraktion bei Filterstaub 68:258

Schallemission
— Rauchgasentstickungsanlagen 68:167—172
— SCR-high-dust-Anlagen 68:167—172
— SCR hinter REA 68:167—172
— SO_2-NO_x-Simultanabscheidung mit Naßverfahren 68:167—172

Schlagradmühle
— mit Brüdenabtrenner 68:605—607
— mit Schlägerstufe und Sichter 68:502

Schlamm aus dem REA-Abwasser
— Aufbereitungsanlage 68:528—536
— Schlammeindickung 68:528—536
— Schlammentwässerung 68:528—536
— Schlammstapelung 68:528—536

Schlauchfilter 68:1033

Schlauchleitungen in REA-Anlagen 68:1131

Schleißwände in REA-Pumpen 68:1119

Schmelzfeuerung
— Einbindung von Spuren- und Schwermetallelementen 68:1047—1057
— Einfluß auf die Vergiftung von DENOX-Katalysatoren 68:287—293
— Umstellung von hochflüchtiger ballastreicher auf niederflüchtige Steinkohle 68:409—416

Schmiedestücke, Ultraschallprüfung 68:862—868

Schornsteine
— Abbruch- und Beseitigungsverfahren 68:1191
— Dauerhaftigkeit des Stahlbetonschaftes 68:640
— Entsorgung der Abbruchmaterialien 68:1191
— Futtermauerwerk, Verankerung, Kompensatoren 68:643
— Mündungsausbildung 68:645
— Sammelschornstein in Massivbauart 68:638
— Schaftabbruch/Spezial-Hydraulikbagger 68:1192
— Wartung und Inspektion 68:641
— zweizügiges Futtermauerwerk 68:641

Schüttgutfluß in Bunkern 68:151—154

Schwachlastbetrieb
— beim Gas-/Öl-Block 68:586
— beim Steinkohleblock 68:586

Schweden, Zukunftsaspekte der Elektrizitätsversorgung 68:543

Schwefeloxide, Ringversuche zur Bestimmung in Kohle- und Fichtennadelproben 68:627—632

Schweißen im Rohrleitungsbau 68:300—304

Schwenkflügelklappen, Einsatz in Rauchgaskanälen 68:403

Schwenkklappen, Einsatz in Rauchgaskanälen 68:1111

Schwermetalle in Reingasstäuben 68:1047—1057

Schwermetallminderung in Flugstaub 68:258

Schwingungsrißkorrosion, Generator-Kappenringe 68:76—88

Stahlgußstücke; Ultraschallprüfung 68:865—868

Standardabweichung bei Analysenverfahren 68:69—72

Staubagglomeration 68:1030—1039

Staubanbackung über 800 °C 68:931—935

Steinkohleblock, Schwachlastbetrieb 68:586

Steinkohleverstromung, thermodynamische Auslegung von Kombi-Prozessen 68:901

Stellventile, Kompaktantriebe 68:124

Stickoxide, Emissionsminderung 68:841 68:891

Stickoxidminderung 68:154 68:271 68:279 68:425 68:523
— Betriebserfahrungen 68:526
— Katalysatoren 68:525
— Kosten 68:156 68:431
— Kostenrechnung 68:158
— Nachrüstung, BEWAG 68:270
— Sekundärmaßnahmen 68:60—68

Stillegung von Kernkraftwerken 68:990

Störabläufe 68:608—610

Strahlbrenner für Braunkohlenstaubfeuerung 68:605

Stromerzeugung in der Welt 68:1084

Stromgestehungskosten der Kohlekraftwerke der nächsten Generation 68:103

Struktur der Elektrizitätsversorgung in den Niederlanden 68:1

Stufenbrenner für Öl- und Gasfeuerung 68:927/928

TAMATA (Filterstaubbehandlung) 68:258

Taschenfilter, Gasturbinen 68:489

Technische Aspekte eines Verzichts auf Kernenergie 68:1097

Technologiephasen des Kohleeinsatzes 68:1252

Thermoelemente
— Alterungseinfluß 68:255
— Prüfung für Abnahme- und Kontrolluntersuchungen 68:253

THTR, Betriebserfahrungen 1987 68:351

Torffeuerung, Betriebserfahrungen 68:576

Transmissionselektronenmikroskopie zur Untersuchung von Reingasstäuben 68:1047—1057

Treibhauseffekt 68:841—844

Trockenfeuerung
— Einbindung von Spuren- und Schwermetallelementen 68:1047—1057
— Einfluß auf die Vergiftung von DENOX-Katalysatoren 68:287—293

Trockenkühlung, Fortschritte bei ESKOM 68:912

Trockenkühlsysteme, Untersuchungen 68:1008

Tschernobyl, Unfall im Kernkraftwerk 68:4

Turbinenschäden
— gravierende Revisionsbefunde 68:1241
— Schwerpunkte 68:1241

Turbinenwellen und Turbinengehäuse, Ultraschallprüfung 68:862—868

Turbulenzstruktur 68:1208

Übergang von Energiesystemen 68:1089

Überhitzerkorrosion, rauchgasseitig 68:186

Überwachung
— von DENOX-Anlagen 68:632—637
— von Wasser-Dampfkreisläufen, umweltrelevanten Stoffen, Betriebs-, Hilfs- und Reststoffen im Kraftwerk 68:175—181

Ultraschallprüfung von Turbinenwellen und Turbinengehäusen 68:862—868

Umkehr-Elektrodialyse, Anwendung zur Wasserentsalzung 68:536—543

Umschaltklappe, Einsatz in Rauchgaskanälen 68:403 68:1111

Umstrukturierung des Kraftwerksbestandes 68:887

Umwelttechnik, Beiträge Österreichs 68:468

Universitätsforschung 68:1249

Utopie und Wirklichkeit in der Energieversorgung 68:1081

Van-Krevelen-Diagramm 68:1104

Verbrennungsforschung 68:1243
— DVV-Forschungsprogramm 68:1243
— Kohlenstaubfeuerungsanlagen 68:1243
— Kohlenstaubmahlung 68:1243
— Kohlenstaubströmung 68:1243
— Kohlenstaubverbrennung 68:1243

Verbrennungsrückstände 68:1172
— Spurenelemente 68:1047

Verbund Kohle und Kernenergie zur Strom- und Gaserzeugung 68:1088

Verbundnetze, europäische, und ihre Verbindungen 68:114

Verdampferkorrosion, rauchgasseitig 68:186

Verfügbarkeit von Kernkraftwerken 68:1227

Verfügbarkeit von Wärmekraftwerken 68:820—826

Vergasung 68:461 68:831 68:925 68:1022 68:1024 68:1146 68:1151 68:1259 68:1264

Verlängerung der Anlagenlebensdauer, Vorstellungen des CEGB 68:571

Vermessung
— global definierte Koordinatensysteme 68:202
— kontinuierlicher Deformationsprozeß 68:203
— Überwachung von Großbauwerken 68:203
— weltraumgestützte Vermessungsverfahren 68:202

Verschleiß in REA-Pumpen 68:1119

Verschlußschutz für Müllbunker 68:255

Versorgung und Entsorgung im Wandel der Energiesysteme 68:1089

Verwertung von Verbrennungsrückständen 68:1172

Verwertungskonzept Aschen 68:1172—1179

VEW Kraftwerk Werne 68:746

VGB
— Geschäftsstelle, neue VGB-Wasserrichtlinien 68:1312
— Richtlinie für das Wasser in Kernkraftwerken mit Leichtwasserreaktoren, zweite Ausgabe 1988 68:1312
— Richtlinie für Kesselspeisewasser, Kesselwasser und Dampf von Dampferzeugern über 68 bar zulässigem Betriebsüberdruck, Ausgabe 1988 68:1312

VGB-Forschungsprogramm 68:896

VGB-FORSCHUNGSSTIFTUNG 68:896 68:1251

VGB-Institute 68:894

VGB-Kongreß „Kraftwerke 1988" 68:975

VKG/EVN Kraftwerk Dürnrohr 68:519

Wärmekraftwerke 68:887

Wärmeübertragungsmittel, Flüssigmetalle 68:455

Wäscherpumpen in REA-Anlagen 68:1119

Waldschäden
— Entwicklung 68:1161—1171
— Ursachen, Hypothesen 68:1165

Wasseraufbereitung durch Umkehr-Elektrodialyse 68:536—543

Wasser-Dampfkreislauf, Richtlinien für die Chemie in den USA 68:1184—1191

Wasserhaushalt im Deponiekörper 68:511

Wasserhaushaltsgesetz, Mindestanforderungen an REA-Abwasser (47. AbwasserVwV) 68:548—552

Wasserstoff, Investitionskosten für die Speicherung 68:112

Wasserstoff- und Solarenergie 68:108

Weltenergieverbrauch, Entwicklung 68:108

Weltproduktion und Weltbedarf von Erdgas und Erdöl (IIASA-Szenario) 68:1092

Werkstoff
— Generator-Kappenringe X 5 CrMnN 18 18k 68:76—88
— physikalische Eigenschaften
X 10 NiCrMoTiB 15 15 (1.4970) 68:1061—1072
X 10 CrNiMoTi 18 10 (1.4571) 68:1061—1072

Werkstoffe und Beanspruchungen 68:894

Windkraft, Grenzen der Nutzung 68:569

Windkraftanlagen, Hauptdaten 68:570

Wirbelbrenner für Braunkohlenstaub 68:502

Wirbelschichtfeuerung
— Druck 68:826 68:1030
— Versuch zur Müllverbrennung 68:1152

Wirbelschichtsysteme 68:826 68:831 68:1030 68:1033 68:1151 68:1252 68:1256 68:1259

Wirbelschichtvergasung, Druck 68:831 68:1151

Wirbelstufenbrenner, Luftaufteilung 68:412
Wirkungsgrade der Kraftwerke der nächsten Generation 68:106
Wirkungsgradverbesserung, Dampfturbinen 68:27

Zirkulierende Wirbel-„schicht"-Feuerung 68:1256
Zündstabilität bei Steinkohle-Schmelzfeuerung, Optimierung 68:415
Zündtemperatur, Kohle 68:1105
Zustandsabhängige Instandhaltung, Voraussetzungen für die Anwendung 68:1142
Zustandsdiagnose, automatisierte, bei Dampfturbosätzen 68:1239
Zustandsüberwachung
— Dampfturbinen, Generator 68:592
— Methoden 68:1144
Zuteiler, Auswahl der Systeme 68:150/151
Zweistoffprozesse für Kraftwerke, T,s-Diagramm und Verfahrensschema für einen Kaliumprozeß 68:220/221

Persönliches

Änderungen im Vorstand der ABB in Mannheim 68:1200
Aggernæs, Erik, 65 Jahre 68:315
Arnswald, Werner, 25 Jahre bei VKR 68:781
Bachmair, Anton, 90 Jahre 68:880
Bäumer, Rüdiger, neuer Kraftwerksdirektor 68:880
Becker, Karl Eugen, Bundesverdienstkreuz 1. Klasse 68:450
Benke, Robert, 80 Jahre 68:1311
Bilger, Walter, Ehrenmedaille des VDI 68:450
Bogen, Jochem, Robert-Mayer-Preis des VDI 68:208
Bolder, Georg, neuer technischer Direktor bei Eurotherm 68:970
Bottenbruch, Hermann, 60 Jahre 68:970
Breidenbach, Herbert, Mitglied im Technischen VGB-Beirat 68:1200/1201
Brocke, Werner, 60 Jahre 68:780
Brüderlin, Heinz, 60 Jahre 68:207
Brünecke, Ehrhardt, 80 Jahre 68:450
Carle, Rémy, in den VGB-Vorstand gewählt 68:1073
Christ, Walter, Bundesverdienstkreuz 68:120
Clausnitzer, Gunther, 60 Jahre 68:1200
Conrad, Wolfgang, 60 Jahre 68:450
Cramer, Heinz, im VGB-Vorstand bestätigt 68:1073
Davids, Peter, neuer Präsident der LIS 68:1073
Demling, Georg, stellvertretendes Vorstandsmitglied bei BBC 68:96
Ebersold, Wilhelm, 65 Jahre 68:315
Eiteneyer, Helmut, in den Vorstand von Gelsenwasser berufen 68:96
Ernst, Jörg, Mitglied im Technischen VGB-Beirat 68:1200/1201
Externbrink, Werner, im Saarberg-Vorstand 68:781
Eydam, Heinz, 60 Jahre 68:780
Eydam, Heinz, im VGB-Vorstand bestätigt 68:1073
van Eyndhoven, F.H.M., im Ruhestand 68:1200
Frank, Berthold, 75 Jahre 68:780
Freiländer, Hans, aus dem BBC-Vorstand ausgeschieden 68:96
Gassert, Herbert, im Aufsichtsrat bei BBC 68:96
Gerdes, Peter, neuer Betriebsleiter in Krümmel 68:96
Gieske, Friedhelm, 60 Jahre 68:96
Gieske, Friedhelm, Aufsichtsratsvorsitzender der Deutschen Texaco 68:781
Glahe, Erwin, im Ruhestand 68:880
Gliem, Ralf, neues Mitglied des Vorstandes der Leybold AG 68:1073
Guck, Rudolf, Bundesverdienstkreuz 68:780
Guck, Rudolf, 65 Jahre 68:880
Guck, Rudolf, aus dem VGB-Vorstand ausgeschieden und im Ruhestand 68:1073
Häfele, Carl Heinz, Große Verdienstmedaille des VDMA 68:781
Häßler, Günther, neues Vorstandsmitglied des Badenwerkes AG 68:1073
Häßler, Günther, in den VGB-Vorstand gewählt 68:1073
Hakestad, Olav, stellvertretendes Vorstandsmitglied bei BBC 68:96
Harig, Hans-Dieter, Vorsitzender des Vorstandes 68:556
Harig, Hans-Dieter, in den VGB-Vorstand gewählt 68:1073
Harms, Adolf, 60 Jahre 68:880
Heitmann, Hans-Günther, 65 Jahre 68:315
Hesse, Ulrich, Leiter der VEW-Bezirksdirektion Bochum 68:96
Hirschfelder, Günter, aus dem Vorstand ausgeschieden 68:556
Hirschfelder, Günter, aus dem VGB-Vorstand ausgeschieden 68:1073
Hlubek, Werner, aus dem Technischen VGB-Beirat ausgeschieden 68:1200/1201
Holzer, Jochen, Bundesverdienstkreuz 68:1200
Jaerschky, Rudolf, in den Technischen VGB-Beirat berufen 68:1200/1201
Jeschor, Helmut, 25 Jahre beim GKM 68:556
Jungwirth, Dieter, Ehrenmedaille des VDI 68:450
Kaes, Heinz, im Ruhestand 68:780
Kaiser, Walter, 65 Jahre 68:970
Kallmeyer, Dirk, in den Technischen VGB-Beirat berufen 68:1200/1201
Kantner, Armin, 60 Jahre 68:316
Kastl, Helmut, 50 Jahre 68:96
Klingholz, Reiner, Robert-Mayer-Preis des VDI 68:208
Köhler, Horst J., im Rheinbraun-Vorstand 68:880
Koenig, Hans-Werner, gestorben 68:450
von Koerber, Eberhard, Vorstandsvorsitzender bei BBC 68:96
Kral, Gerhard W., neuer Geschäftsführer in der Krupp Atlas Elektronik-Gruppe 68:207
Krawitz, Günther J., im RENK-Vorstand 68:1073
Kühn, Reiner, im Rheinbraun-Vorstand 68:880
Künzel, Karlheinz, 60 Jahre 68:450
Künzel, Karlheinz, im VGB-Vorstand bestätigt 68:1073
Kuhlmann, Albert, Großes Bundesverdienstkreuz 68:780
Landsberg, Ernst H., 60 Jahre 68:556
Lausterer, Gerhard, VDI-Ehrenring 68:1312
Leibfried, Werner, im VGB-Vorstand bestätigt 68:1073
Lenze, Bernhard, zum Professor ernannt 68:1073
Loew, Heinz, Bundesverdienstkreuz 68:970
Loew, Heinz, aus dem Technischen VGB-Beirat ausgeschieden 68:1200/1201
Ludewig, Walter, gestorben 68:556
Magerl, Horst, 50 Jahre 68:1200
Marnet, Chrysanth, 65 Jahre 68:315
Marnet, Chrysanth, Bundesverdienstkreuz 1. Klasse 68:780/781

Müller, Helmut, 60 Jahre 68:207
Müller, Leonhard, im VGB-Vorstand bestätigt 68:1073
Niederhausen, Hans-Peter, neuer Geschäftsführer in der Krupp Atlas Elektronik-Gruppe 68:207
Noetzlin, Günther, 70 Jahre 68:315
Numminen, Kalevi, Dr. techn. Ehren halber 68:1073
Ott, Gerhard, Vorsitzender der Weltenergiekonferenz 68:1073
Plankar, Arthur, 60 Jahre 68:316
Pöppel, Joachim, neuer Präsident des VDI 68:1311
Poggenberg, Wilhelm, VDI-Ehrenzeichen 68:1312
Rado, Ludwig, gestorben 68:315
Rausch, Heinz, neuer Vorsitzender der VDI-Gesellschaft Bautechnik 68:96
Resch, Gerhard, im Ruhestand 68:1311
Rolshoven, Hubertus, 75 Jahre 68:207
Rothenbacher, Peter, bei Voith 68:880/881
Rüdel, Wilhelm, gestorben 68:450
Samuel, Thomas, 60 Jahre 68:1200
Selbach, Alfred, aus dem BBC-Vorstand ausgeschieden 68:96
Sjökvist, Tom, stellvertretendes Vorstandsmitglied bei BBC 68:96
Spähn, Heinz, Ehrendoktor 68:880
Spalthoff, Franz Josef, 65 Jahre 68:780
Spalthoff, Franz Josef, im VGB-Vorstand bestätigt 68:1073
Speich, Peter, aus Rheinbraun-Vorstand ausgeschieden und im Ruhestand 68:880
Spennemann, Ludwig, 90 Jahre 68:96
Spethmann, Dieter, neuer Vorsitzender des Aufsichtsrats der Ruhrgas AG 68:781
Schaefer, Helmut, neuer Vorsitzender der VDI-Gesellschaft Energietechnik 68:207
Schenk, Werner, Günter-Wirths-Preis 1988 68:658
Schipper, Georg M., im Ruhestand 68:207
Schmidhuber, Paul M., 65 Jahre 68:1073
Schneider, Wilhelm, 60 Jahre 68:316
Schöllhammer, Franz, 75 Jahre 68:315
Schulten, Rudolf, 65 Jahre 68:880
Schulten, Rudolf, Werner-von-Siemens-Ring 68:1312
Schwarz, Dietrich, Honorarprofessor der Universität Dortmund 68:781
Schwarz, Georg, 65 Jahre 68:1311
Stancescu, Ioan D., gestorben 68:1311
Steuler, Norbert, 80 Jahre 68:880
Strauß, Karl, Prokura 68:450
Thoenes, Hans Willi, Großes Bundesverdienstkreuz 68:316
Thoenes, Hans Willi, Ehrenmedaille 68:1073
Timm, Manfred, 50 Jahre 68:780
Tolksdorf, Erich, neuer Leiter der Hauptabteilung „Werkstoffe und Beanspruchungen" in der VGB-Geschäftsstelle 68:1201
Völcker, Helmut, im VGB-Vorstand bestätigt 68:1073
Vogel, Walter, neuer TWF-Geschäftsführer 68:207
Wahl, Dirk Joachim, in den Technischen VGB-Beirat berufen 68:1200/1201
Westphal, Heinz, im Ruhestand — neue Aufgabenverteilung in der Geschäftsführung der Stadtwerke Kiel 68:880/881
Willach, Rudolf, gestorben 68:880
Wittwer, Wilhelm, gestorben 68:96
Witzenmann, Walter, 50 Jahre Geschäftsführer 68:96
Wolf, Bruno, kaufmännischer Geschäftsführer bei Möller 68:970
Wrede, Thilo, Vorsitzender der FESI 68:781
Zacher, Harald, aus Rheinbraun-Vorstand ausgeschieden und im Ruhestand 68:880
Zenker, Peter, Vorstandsmitglied bei EVO und STOAG 68:781
Zerna, Wolfgang, aus dem Vorsitz der VDI-Gesellschaft Bautechnik ausgeschieden 68:96

Buchbesprechungen

ASUE-Schriftenreihe — Band 9 „Nahwärme" 68:660
Atomgesetz mit Verordnungen (Textausgabe) 68:660
Bauteilschäden — Erfahrungen aus der Sachverständigentätigkeit 68:211
Das neue Wasserrecht für die betriebliche Praxis 68:661
Daten zur Nahfeldausbreitung von hohen Quellen 68:567
Die Elektrizität, ihre Erzeugung und ihre Anwendung in Industrie und Gewerbe 68:99
Die Entwicklung der Dampfmaschine 68:99
Die neue TA Luft — Aktuelle immissionsschutzrechtliche Anforderungen an den Anlagenbetreiber 68:1078
DIN-Taschenbuch 218 — Wärmebehandlung metallischer Werkstoffe 68:1077/1078
Einstellung der Empfindlichkeit bei Wirbelstromprüfung längsnahtgeschweißter austenitischer Rohre 68:661
Energie Daten — Datensammlung in der Energie 68:974
Fachbuchreihe Schweißtechnik, Band 85 68:210
Grundlagen des Schüttgut-Flusses (Originaltitel: Fundamentals of bulk solids flow) 68:211
Handbuch der Fernwärmepraxis, 3. Auflage 68:1077
Handbuch der Schweißtechnik, Band III — Konstruktive Gestaltung der Bauteile 68:567
Handbuch des Deutschen Wasserrechts — Neues Recht des Bundes und der Länder 68:210 und 68:316
Handbuch Stoffdaten zur Störfallverordnung 68:661
HDT-Heft 512 „Begutachtung, Sanierung und Umbauen freistehender Schornsteine in Massivbauart" 68:1078
Immissionsschutz 68:1078
Jahrbuch 1987/88 — Bergbau, Öl und Gas, Elektrizität, Chemie 68:316
Kommunales Abwasser 68:661
Kritikalitätssicherheit 68:316
Lagerung und Transport wassergefährdender Stoffe 68:316 und 68:661
Meteorologische Messungen für Fragen der Luftreinhaltung, Globalstrahlung, direkte Sonnenstrahlung und Strahlungsbilanz 68:1077
Modern Chemical Technology and Emission Control 68:211
Neue Mineralölanalyse, Band 1: Spektroskopie 68:212
Principles of Combustion Engineering for Boilers 68:974
Prozeßrohrleitungen 68:316
Rekultivierung von Deponien und Müllkippen — Grundlagen für die Praxis der Rekultivierungsplanung 68:211
SASCO-GUIDE '86 68:210
Sicherheitstechnik 68:211/212
Symposium „Kontaminierte Standorte und Gewässerschutz", Aachen, 1. bis 3. Oktober 1984 68:211
Stationäre Strömung von überhitztem Wasserdampf durch Rohrleitungen 68:567
Technische Anleitung zur Reinhaltung der Luft 68:567

VGB KRAFTWERKSTECHNIK

MITTEILUNGEN DER VGB TECHNISCHEN VEREINIGUNG DER GROSSKRAFTWERKSBETREIBER

69. JAHRGANG (1989) • HEFTE 1—12

INTERNATIONALE FACHZEITSCHRIFT FÜR TECHNIK IN WÄRMEKRAFTWERKEN

Herausgeber

VGB TECHNISCHE VEREINIGUNG DER GROSSKRAFTWERKSBETREIBER E.V.

Vorsitzender: Direktor Professor Dr.-Ing. Dr.-Ing. E.h. K. Knizia, Essen;
Geschäftsführer: Direktor Professor Dr. rer. nat. H.-D. Schilling, Essen.

Anschrift der Redaktion

VGB TECHNISCHE VEREINIGUNG DER GROSSKRAFTWERKSBETREIBER E.V.
Klinkestraße 27—31, Postfach 10 39 32, D-4300 Essen,
Fernruf (02 01) 48 62-6 86/6 87, Fernschreiber 857 507 vgb d,
Telefax (02 01) 48 62-6 88.

Chefredaktion

Chefredakteur: Oberingenieur Dipl.-Ing. H. Bleßmann, Essen;
Redaktionsassistentin: Rita Maria Wilke, Essen.

Redaktion

Dr.-Ing. W. vom Berg, Essen;
Oberingenieur Dr. rer. nat. B. Forck, Essen;
Oberingenieur Dr.-Ing. J. Jacobs, Essen;
Oberingenieur Dr. rer. nat. H. Kittel, Essen;
Abteilungsdirektor Dipl.-Ing. K. Plate, Essen;
Abteilungsdirektor Dr.-Ing. G. Schlegel, Essen;
Dr.-Ing. E. Tolksdorf, Essen;
Oberingenieur Dipl.-Ing. G. Welten, Essen.

Wissenschaftlicher Redaktionsbeirat

Professor Dr. J. Béer, Cambridge, Massachusetts/USA;
Professor Dr. techn. Th. Bohn, Essen;
Professor Dr.-Ing. F. Brandt, Darmstadt;
Professor Dr.-Ing. H. Brüderlin, Stuttgart;
Professor Dr.-Ing. J. Buxmann, Hamburg;
Professor Dr.-Ing. G. Dibelius, Aachen;
Professor Dr.-Ing. H. Kremer, Bochum;
Professor Ir. J.J.C. van Lier, Delft/Niederlande;
Professor Dipl.-Ing. Dr. techn. W. Linzer, Wien/Österreich;
Professor Dr. techn. O.I. Martynova, Moskau/UdSSR;
Professor Dr. rer. nat. R. Schulten, Aachen.

Technischer Redaktionsbeirat

Dipl.-Ing. R. Aarni, Helsinki/Finnland;
Betriebsdirektor Dipl.-Ing. K. Bers, Berlin;
Dr. techn. H. Breidenbach, Essen;
Dr. rer. nat. J. Ernst, Hamburg;
Dipl.-Ing. J. Garleff, Hamburg;
Direktor Professor Dr.-Ing. W. Hlubek, Essen;
Dipl.-Ing. Dr. techn. F. Janitschek, Klagenfurt/Österreich;
Direktor Dr.-Ing. H. Krolewski, Dortmund;
Direktor Dipl.-Ing. ETH K. Küffer, Baden/Schweiz;
Direktor Dr. rer. nat. Chr. Marnet, Düsseldorf;
Direktor Dipl.-Ing. J. Schulte, Leverkusen.

Vertrieb und Anzeigenverwaltung

VGB-KRAFTWERKSTECHNIK GMBH, Klinkestraße 27—31, Postfach 10 39 32,
D-4300 Essen, Fernruf (02 01) 48 62-6 80/6 81/6 83, Fernschreiber 857 507 vgb d,
Telefax (02 01) 48 62-6 88.
Verantwortlich für Vertrieb und Anzeigenteil: R. Rätz.

Erscheinungsweise

monatlich, außerdem erscheint zeitlich verschoben
eine englische Fassung der Hefte.

ISSN 0372-5715

Inhaltsverzeichnis 1989

DIE FOTOS DER VERFASSER FINDEN SIE AUF DEN SEITEN II BIS XX



J. Żelkowski, Clausthal



M. Zschau, Düsseldorf



H.E.D. Zürn, Frankfurt (Main)

In den zwölf Heften des Jahrganges 69 sind enthalten:

1	2	3	4	5	6
1 — 128	129 — 244	245 — 324	325 — 470	471 — 558	559 — 634

7	8	9	10	11	12
635 — 750	751 — 846	847 — 958	959 — 1052	1053 — 1150	1151 — 1250

Verfasserverzeichnis 1989

Aalto, P.: Endoskopie und Bildbehandlungstechnik als Hilfsmittel für die zustandsorinentierte Überwachung bei der Instandhaltung H. 2, S. 169—174

Ackermann, U., siehe Fuchs, H.V.: H. 11, S. 1102—1110

Ahlmann, B.: Revisionsphilosophie im Kernkraftwerk Barsebäck/Schweden H. 4, S. 330—334

Albrecht, J., siehe Herbertz, H.-A.: H. 10, S. 1003—1008

Aldrian, W., v. Weihe, G., und Leikert, K.: Die Schmelzfeuerung für den 770-MW-Block Ibbenbüren H. 1, S. 47—53

Ali, S., siehe Jimenez Rebagliati, R.: H. 3, S. 301—303

Ali, S.P., siehe Jimenez Rebagliati, R.: H. 10, S. 1028—1030

Ambs, E., siehe Gödecke, H.: H. 4, S. 461, und Sammelband „Kraftwerk und Umwelt 1989"

Anders, R., siehe Sauer, H.: H. 10, S. 1018—1023

Andrée, L., und Povše, R.: Leistungssteigerung von Elektrofiltern durch Ultraschallagglomeration der Flugasche in Rauchgasen H. 4, S. 465, und Sammelband „Kraftwerk und Umwelt 1989"

Asmuth, P., siehe Kassebohm, B.: H. 1, S. 88—94

Backfisch, W., und Rau, P.: Erfahrungen beim Bau und bei der Überwachung von Lagerbehältern für flüssiges Ammoniak H. 2, S. 233, und Sammelband „Werkstoffe und Schweißtechnik im Kraftwerk 1989"

Bäßler, J., siehe Steckel, H.: H. 4, S. 464, und Sammelband „Kraftwerk und Umwelt 1989"

Bäumen, J., Hemming, H., Ilg, U., und Roth, P.: Werkstoffkonzept und Betriebserfahrungen in einer Rauchgasentschwefelungsanlage aus korrosionsbeständigen Edelstählen und Nickellegierungen H. 2, S. 233, und Sammelband „Werkstoffe und Schweißtechnik im Kraftwerk 1989"

Bäumer, R.: Ausgewählte Themen aus dem Betrieb des THTR 300 H. 2, S. 158—164

Bambauer, H.U., siehe Gebhard, G.: H. 4, S. 384—392

Barnert-Wiemer, H., Vijgen, H., Karanatsios, J., Bühler, H.-E., und Kainer, H.: Zum Mechanismus der Desaktivierung von DENOX-Katalysatoren H. 4, S. 462, und Sammelband „Kraftwerk und Umwelt 1989"

Baumbach, G., siehe Hoenig, V.: H. 4, S. 464, und Sammelband „Kraftwerk unbd Umwelt 1989"

Baumgartner, K., und Neulinger, F.: Elektronische Regelung der E-Filter-Spannungsversorgung mit der Möglichkeit des Pulsbetriebes — Betriebserfahrungen im Kraftwerk H. 4, S. 464/465, und Sammelband „Kraftwerk und Umwelt 1989"

Becker, N., siehe Schultz, M.: H. 5, S. 491—495

Beckers, W., siehe Cosfeld, J.: H. 4, S. 457/458, und Sammelband „Kraftwerk und Umwelt 1989"

Beckert, J.: Vergleich von Natur- und REA-Gips H. 4, S. 467/468, und Sammelband „Kraftwerk und Umwelt 1989"

Beer, O.: Die Auswirkungen des neuen österreichischen Luftreinhaltegesetzes 1989 auf die Sanierung von Altanlagen H. 4, S. 457, und Sammelband „Kraftwerk und Umwelt 1989"

von Beeren, E., und Klöhn, K.: Umbau der Wellendichtungen einer HD-Gegendruckturbine von radialer auf axiale Bauart H. 12, S. 1166—1173

Beermann, H., siehe Stegemann, D.: H. 9, S. 896—907

Beising, R., und Böhringer, A.: Der Beitrag der Emissionsminderungsmaßnahmen zur Verringerung der Immissionen in der Umgebung eines Kohlekraftwerkes — Ergebnisse der 12jährigen Immissionsmessungen beim Heizkraftwerk Heilbronn H. 4, S. 459, und Sammelband „Kraftwerk und Umwelt 1989"

Beising, R., siehe Hagenmaier, H.: H. 10, S. 1024—1027

Bellersen, W., siehe Weisser, H.: H. 4, S. 465, und Sammelband „Kraftwerk und Umwelt 1989"

Bendick, W., und Weber, H.: Untersuchung von Zeitstandschädigung und Erschöpfung an einem Rohrbogen aus 14 MoV 6 3 H. 9, S. 936—944

Benzel, F., siehe Dibelius, G.: H. 4, S. 460, und Sammelband „Kraftwerk und Umwelt 1989"

vom Berg, W.: Internationale Vorschriften für Beton mit Flugasche H. 8, S. 829—833

Berger, C., Ewald, J., Röttger, G., und Schmitz, A.W.: Untersuchungen an einer geborstenen Niederdruckwelle H. 2, S. 235, und Sammelband „Werkstoffe und Schweißtechnik im Kraftwerk 1989"

Berger, P., siehe Krämer K.G.: H. 8, S. 751—755

Bertram, J., siehe Schulz, W.: H. 5, S. 511—522

Beurich, H., und Henke, K.-P.: Kondensatorberohrung aus Sondermessing — Anlaß zu Kühlwasserproblemen? H. 1, S. 95—99

Bieber, K.-H., und Petermann, V.: Instandhaltung und Betriebserfahrungen von naßlaufenden REA-Gebläsen H. 3 265—269

Bilger, H., und Hildebrand, M.: NO_x-Minderungskonzepte bei Kraftwerken in europäischen Ländern (UNIPEDE-Ländern) H. 4, S. 460, und Sammelband „Kraftwerk und Umwelt 1989"

Billotet, Th., und Grams, J.: Anwärm- und Warmhaltekonzept für Heißdampfrohrleitungen eines älteren 163-MW-Kraftwerksblockes H. 6, S. 579—584

Bings, H., siehe Wargalla, G.: H. 4, S. 468, und Sammelband „Kraftwerk und Umwelt 1989"

Biniaris, S.: Probleme im Zusammenhang mit dem Gaußschen Aufbereitungsmodell der TA Luft am Beispiel der Berücksichtigung von Mischungsschichthöhen in der Atmosphäre H. 4, S. 459, und Sammelband „Kraftwerk und Umwelt 1989"

Blöchl, H., und Spindler, K.: Einsatz von ND-Wickelmodulen bei der Aufbereitung von Uferfiltrat mittels Umkehrosmose H. 9, S. 930—933

Böhm, A., siehe Danner, J.: H. 4, S. 459, und Sammelband „Kraftwerk und Umwelt 1989"

Böhringer, A., siehe Beising, R.: H. 4, S. 459, und Sammelband „Kraftwerk und Umwelt 1989"

Bökenbrink, D., siehe Gebel, K.: H. 12, S. 1200—1208

Börner, C.-J., siehe Steffens, W.: H. 9, S. 879—892

Brandl, W., siehe Dauber, W.: H. 6, S. 584—591

Brandt, H., siehe Rehwinkel, H.: H. 1, S. 39—47

Brinkmann, C., Langner, H., Rullmann, H., Veen, J., Klaefker, W., und Hühne, W.: Erste Betriebserfahrungen mit dem Dampferzeuger des 800-MW-Blockes Heyden 4 H. 1, S. 1—7

Briquet, J., siehe Stubbe, J.: H. 7, S. 715—718

Brühl, F., Haarmann, K., Kalwa, G., Weber, H., und Zschau, M.: Verhalten des 9 %-Chromstahles X 10 CrMoVNb 9 1 im Kurz- und Langzeitversuch Teil 1: Grundwerkstoff H. 12, S. 1214—1224

Brühl, F., Cerjak, H., Müsch, H., Niederhoff, K., und Zschau, M.: Verhalten des 9 %-Chromstahles X 10 CrMoVNb 9 1 im Kurz- und Langzeitversuch Teil 2: Schweißverbindungen H. 12, S. 1225—1231

van der Brugghen, F.W., und Koppius-Odink, J.M.: Betriebserfahrungen mit der REA im Kraftwerk Gelderland in Nijmegen H. 4, S. 465, und Sammelband „Kraftwerk und Umwelt 1989"

Brunnhuber, L., siehe Eickelpasch, N.: H. 6, S. 605—607

Bühler, H.-E., siehe Barnert-Wiemer, H.: H. 4, S. 462, und Sammelband „Kraftwerk und Umwelt 1989"

Bühler, H.-E., siehe Kainer, H.: H. 4, S. 462, und Sammelband „Kraftwerk und Umwelt 1989"

Bülling, H., und Hantke, H.J.: Untersuchungen zur Verfügbarkeit der AVR-Brennelement-Beschickungsanlage H. 3, S. 275—281

Burmeister, H., siehe Kosiol, H.: H. 4, S. 461/462, und Sammelband „Kraftwerk und Umwelt 1989"

Bursik, A., siehe Keuerleber, R.: H. 4, S. 465, und Sammelband „Kraftwerk und Umwelt 1989"

Buschsieper, P., und Ganter, M.: Lebensdauerverlängerung von Speise- und anderen Kraftwerkspumpen H. 8, S. 789—793

Busse, L., und Šindelar, R.: Sekundenleistungsreserve und Wärmeverbrauch bei verschiedenen Betriebsarten von Dampfturbinen H. 9, S. 892—895

Cerjak, H., siehe Brühl, F.: H. 12, S. 1225—1231

Chester, P.F.: Das Umweltschutzprogramm des CEGB H. 6, S. 596—605

Christianus, D., Gysel, W., Knoblauch, H., Mayer, K.-H., Schweins, W., Siefer, W., und Ziegenhirt, P.: Heutiger Qualitätsstand von Stahlgußarmaturen für Kraftwerke H. 2, S. 235, und Sammelband „Werkstoffe und Schweißtechnik im Kraftwerk 1989"

Chwieralski, J., und Schwab, E.: Aulegung, Bau und erste Inbetriebnahmeerfahrungen mit den Rauchgaskanälen für die REA-Nachrüstung in den Braunkohlekraftwerken des RWE H. 5, S. 496—503

Clausen, J., siehe Grünewald, K.-G.: H. 4, S. 469, und Sammelband „Kraftwerk und Umwelt 1989"

Cosentino, R.E., siehe Jimenez Rebagliati, R.: H. 3, S. 301—303, H. 10, S. 1028—1030

Cosfeld, J., und Beckers, W.: Zentrale Emissionsdatenerfassung in Kraftwerken entsprechend der GFAVO H. 4, S. 457/458, und Sammelband „Kraftwerk und Umwelt 1989"

Cronin, J.A., McLoughlin, N.M.J., Fitzpatrick, M.G., und Moriarty, B.M.A.: Erste Betriebserfahrungen mit dem 3 × 300-MW-Kohlekraftwerk Moneypoint, Irland
H. 2, S. 129—137

Czeratzki, A., Lang, J., und Schmidt, J.: Ermittlung der Lebensdauer von Dampfturbinenbauteilen
H. 10, S. 979—985

Dalton, S., siehe Torrens, I.M.: H. 4, S. 457, und Sammelband „Kraftwerk und Umwelt 1989"

Danner, J., und Böhm, A.: Erfahrungen bei der Festlegung schalltechnischer Anforderungen an Kraftwerksanlagen
H. 4, S. 459, und Sammelband „Kraftwerk und Umwelt 1989"

Dauber, W., Brandl, W., Poos, B., und Tigges, K.D.: Erste Betriebserfahrungen mit der Circofluid-Dampferzeugeranlage im Heizkraftwerk Römerbrücke, Saarbrücken
H. 6, S. 584—591

DDA Mitteilungen des Deutschen Dampfkesselausschusses H. 10, S. 1047—1049

Deggim, D., siehe Poller, J.: H. 4, S. 360—365

Demmich, J., und Weißflog, E.: Zur Praxis der Entsorgung von Aschen aus der Wirbelschichtfeuerung bzw. aus der Rauchgasentschwefelung H. 4, S. 468, und Sammelband „Kraftwerk und Umwelt 1989"

Dennis, St.: Einige Entwicklungen bei der zustandsorientierten Überwachung von Kraftwerken H. 4, S. 348—355

Dettmann, P., Luther-Goldmann, K., und Otterstetter, H.: Erfahrungen mit der Eindampfung von REA-Abwasser und Weiterbehandlung der Eindampfrückstände H. 4, S. 469, und Sammelband „Kraftwerk und Umwelt 1989"

Dexheimer, G., und Schindler, H.: GFK als Werkstoff im Chemie-Anlagenbau H. 2, S. 234, und Sammelband „Werkstoffe und Schweißtechnik im Kraftwerk 1989"

Dibelius, G., und Benzel, F.: Lärmreduktion in Drosselarmaturen H. 4, S. 460, und Sammelband „Kraftwerk und Umwelt 1989"

Diderich, G., Kirpach, C., Kirsch, N., Schmit, R., und Wagner, A.: Verfestigung von Rückständen aus einer luxemburgischen Müllverbrennungsanlage
H. 11, S. 1132—1141

Dieterle, E., siehe Weiler, H.: H. 4, S. 469, und Sammelband „Kraftwerk und Umwelt 1989"

Doležal, R.: Anfahren eines auf 550 °C erhitzten Durchlauf-Abhitzekessels ohne Abgasbypass im Heizkraftwerk der Universität Stuttgart H. 12, S. 1163—1166

Domin, G.: Erfahrungen aus Errichtung und Inbetriebnahme der Konvoi-Anlagen H. 6, S. 569—573

Donslund, B., und Eriksen, P.B.: Entsorgung von Kraftwerksreststoffen — eine dänische Fallstudie H. 4, S. 468, und Sammelband „Kraftwerk und Umwelt 1989"

van Dornick, K.: Das RWE-Konzept für die neuen Bypass-Schornsteine H. 7, S. 730—734

Drucks, G.: Sicherheitseinrichtungen gegen Drucküberschreitung in Kraftwerksanlagen
H. 11, S. 1078—1086

Duvenbeck, R., siehe Leithner, R.: H. 4, S. 463, und Sammelband „Kraftwerk und Umwelt 1989"

Dworrak, G., Lindemann, J., und Vogt, G.: Die Biegewechselfestigkeit von Kondensatorrohren aus Titan
H. 7, S. 718—726

Eckel, J., siehe Thomé, M.: H. 4, S. 468, und Sammelband „Kraftwerk und Umwelt 1989"

Eickelpasch, N., Lasch, M., und Brunnhuber, L.: Landwirtschaftliche Nutzung von Kalkrückständen aus der Kühlturmzusatzwasseraufbereitung H. 6, S. 605—607

Elmiger, W., siehe Poulsen, E.R.: H. 8, S. 766—772

von Enzenberg, L.: Berechnung der Wirtschaftlichkeit der Lebensdauerverlängerung von Wärmekraftwerken
H. 9, S. 867—873

Erhard, W.-D., siehe Hasenkopf, O.: H. 3, S. 291—296

Eriksen, P.B., siehe Donslund, B.: H. 4, S. 468, und Sammelband „Kraftwerk und Umwelt 1989"

Ewald, J., siehe Berger, C.: H. 2, S. 235, und Sammelband „Werkstoffe und Schweißtechnik im Kraftwerk 1989"

Fäßler, K., und Spähn, H.: Grundlagen der Spannungsrißkorrosion unlegierter Stähle in flüssigem Ammoniak
H. 11, S. 1124—1131

Fäßler, K., und Spähn, H.: Grundlagen der Spannungsrißkorrosion unlegierter Stähle in flüssigem Ammoniak
H. 2, S. 233, und Sammelband „Werkstoffe und Schweißtechnik im Kraftwerk 1989"

Farwick, H.: Maßnahmen zur Lebensdauerverlängerung an einem 1000-t/h-Schmelzkammerkessel
H. 9, S. 873—879

Felwor, P., und Grimm, J.: Ammoniakversorgung mittels Salmiakgeist (NH_4OH) für eine Reingas-Entstickungsanlage H. 4, S. 365—369

Fitzpatrick, M.G., siehe Cronin, J.A.: H. 2, S. 129—137

Flockenhaus, C.: siehe Kainer, H.: H. 4, S. 462, und Sammelband „Kraftwerk und Umwelt 1989"

Florjancic, D., und Simon, A.: Verfügbarkeit und zweckmäßige Nachrüstmaßnahmen bei Speisepumpen
H. 2, S. 174—183

Frischenschlager, F., siehe Herbst, L.W.:
H. 6, S. 562—569

Fuchs, H.V., Ackermann, U., und Rambausek, N.: Nichtporöser Schallabsorber für den Einsatz in Rauchgasreinigungsanlagen H. 11, S. 1102—1110

Fuchs, P., siehe Häßler, G.: H. 2, S. 220—227

Gajewski, W., Lezuo, A., Nürnberg, R., Rukes, B., und Vesper, H.: Der Kalina-Prozeß — Thermodynamische Grundlagen und Realisierbarkeit H. 5, S. 477—483

Ganter, M., siehe Buschsieper, P.: H. 8, S. 789—793

Gayk, W., und Kautz, H.R.: Rißbildung in Schweißnähten von Ammoniak-Lagerbehältern aus StE 355 H. 2, S. 233, und Sammelband „Werkstoffe und Schweißtechnik im Kraftwerk 1989"

Gebel, K., Madlsperger, G., Hein, K., und Bökenbrink, D.: Entwicklung eines Kombinations-DENOX-Verfahrens unter Verwendung von feuerungstechnischen Minderungsmaßnahmen und Harnstoff-SNCR-Technik
H. 12, S. 1200—1208

Gebhard, G., Lukas, W., und Bambauer, H.U.: Stabilisierung von Rückständen aus der Braunkohleentschwefelung H. 4, S. 384—392

Gebhard, G., und Uerpmann, E.P.: Weiterentwicklung des Rauchgasentschwefelungsprozesses H. 1, S. 70—77

Gericke, B.: Dampferzeuger im kombinierten Gas- und Dampfturbinenprozeß bei der Kraft-Wärme-Kopplung unter dem Aspekt neuer Kohletechnologien H. 2, S. 148—158

Gerwinski, W., siehe Goetz, D.: H. 5, S. 504—508

Gestermann, F., Kral, R., und Stein, U.: Inbetriebnahme und erste Betriebsergebnisse des Dampferzeugers mit zirkulierender Wirbelschichtfeuerung bei Bayer AG, Leverkusen H. 7, S. 702—708

Gillessen, R., John, R., Schwarzwalder, H., und Roller, W.: Lebensdauerverlängerung durch Vermeidung und Beseitigung von Schwingungen an Rohrleitungssystemen H. 3, S. 304—314

Gloger, M., Jansen, M., und Neumann, K.: Zur Auslegung von ND-Beschaufelungen für Dampfturbinen H. 8, S. 773—780

Gödecke, H., und Ambs, E.: Anpassung eines älteren Heizkraftwerkes an die gestiegenen Umweltschutzvorstellungen H. 4, S. 461, und Sammelband „Kraftwerk und Umwelt 1989"

Göstenkors, Th., und Köster, K.: Erfahrungen und Ergebnisse eines vierjährigen Betriebes des 765-MW-Kombi-Blockes mit Steinkohlefeuerung im Kraftwerk Werne H. 5, S. 483—490

Goetz, D., und Gerwinski, W.: Beurteilung der Umweltverträglichkeit von Müllverbrennungsschlacken im Straßenbau H. 5, S. 504—508

Grams, J., siehe Billotet, Th.: H. 6, S. 579—584

Graßl, H.: Anthropogene Beeinflussung des Klimas H. 11, S. 1094—1102

Grimaux, J.M., siehe Jimenez Rebagliati, R.: H. 3, S. 301—303

Grimm, H.-H., siehe Wahl, D.-J.: H. 4, S. 466, und Sammelband „Kraftwerk und Umwelt 1989"

Grimm, J., siehe Felwor, P.: H. 4, S. 365—369

Gruber, K.H., Hammerschmid, R., Winkler, R., und Rentz, O.: Anfall und Entsorgung von Reststoffen aus der Rauchgasreinigung H. 1, S. 78—87

Grünewald, K.-G., und Clausen, J.: Abwasser aus REA: Aufbereitung von REA-Abwasser durch chemische Konditionierung, Separation, Rückschleusung, Umsalzung, Eindampfkristallisation und Wertstoffgewinnung nach dem ECL-Verfahren H. 4, S. 469, und Sammelband „Kraftwerk und Umwelt 1989"

Günther, R., siehe Maus, R.: H. 3, S. 269—275

Gysel, W., siehe Christianus, D.: H. 2, S. 235, und Sammelband „Werkstoffe und Schweißtechnik im Kraftwerk 1989"

Haarmann, K., siehe Brühl, F.: H. 12, S. 1214—1224

Häßler, G., und Fuchs, P.: Kombinierte Abgasreinigungsverfahren H. 2, S. 220—227

Haferkamp, H., siehe Kainer, H.: H. 4, S. 462, und Sammelband „Kraftwerk und Umwelt 1989"

Hagemann, M., siehe Linnemann, H.: H. 8, S. 781—788

Hagenmaier, H., und Beising, R.: Untersuchung von Kraftwerksrauchgasen auf polychlorierte Dibenzodioxine und Dibenzofurane H. 10, S. 1024—1027

Halstead, W.D., siehe Kyte, W.S.: H. 12, S. 1189—1193

Ham, A.J.: Der Wasserverbrauch von Wärmekraftwerken und seine Minimierung H. 1, S. 15—22

Hammer, H.: Wärmeauskopplung aus großen Heizkraftanlagen — Prozeßgestaltung, Einsatz, Erzeugungskosten H. 5, S. 471—476

Hammerschmid, R., siehe Gruber, K.H.: H. 1, S. 78—87

Haneke, R., siehe Skubatz, W.: H. 10, S. 1030—1033

Hannemann, H., siehe Schultz, M.: H. 5, S. 491—495

Hantke, H.J., siehe Bülling, H.: H. 3, S. 275—281

Hasenkopf, O., Erhard, W.-D., und Stützle, R.: Maßnahmen zur Kraftwerks-Standortsicherung im Stadtgebiet Stuttgart bei Immissionswertüberschreitung nach TA Luft H. 3, S. 291—296

Hein, K., siehe Gebel, K.: H. 12, S. 1200—1208

Hein, K.R.G., und Kallmeyer, D.: Stand der NO_x-Minderung bei braunkohlebefeuerten Großkesselanlagen H. 6, S. 591—596

Heinbuch, R., siehe Sunder, R.: H. 4, S. 335—340

Hemming, H., siehe Bäumen, J.: H. 2, S. 233, und Sammelband „Werkstoffe und Schweißtechnik im Kraftwerk 1989"

Henke, K.-P., siehe Beurich, H.: H. 1, S. 95—99

Hennecke, W., siehe Jesper, H.: H. 9, S. 911—917

Henschler, D.: Verhältnismäßigkeit im Umweltschutz H. 11, S. 1064—1067

Herbertz, H.-A., Vollmer, H., Albrecht, J., und Schaub, G.: Die Zirkulierende Wirbelschicht als Feuerungssystem für Brennstoffe mit hohen oder schwankenden Aschegehalten H. 10, S. 1003—1008

Herbst, L.W., und Frischenschlager, F.: Zukunftsweisende Prozeßkommunikation in Kraftwerken H. 6, S. 562—569

Hergt, P., siehe Jeske, H.-O.: H. 3, S. 260—264

Higashi, K., und Oda, N.: Neuester Entwicklungsstand der fortschrittlichen keramischen Röhrenfilter H. 4, S. 465, und Sammelband „Kraftwerk und Umwelt 1989"

Hildebrandt, M., siehe Bilger, H.: H. 4, S. 460, und Sammelband „Kraftwerk und Umwelt 1989"

Hintzen, F.J., siehe Trage, B.: H. 2, S. 183—189

Hochmüller, K., Wagner, Th., und Wandelt, E.: Möglichkeiten des kontinuierlichen Nachweises geringer Ölmengen in Wasser H. 5, S. 522—526

Hölter, H., siehe Wegner, A.: H. 11, S. 1111—1114

Hoenig, V., und Baumbach, G.: Schadstoffminderung bei Schwerölfeuerungen durch Additive: Ruß, SO_3, NO_x H. 4, S. 464, und Sammelband „Kraftwerk und Umwelt 1989"

Hofstötter, P.: Laborerprobung und praktischer Einsatz kapazitiver Dehnungsmeßstreifen zur Messung von Kriechdehnungen im Betrieb bei 530 °C H. 6, S. 613—617

Holzapfel, Th., siehe Merz, E.: H. 11, S. 1114—1118

Houzenberger, F., siehe Weisser, H.: H. 8, S. 806—817

Hühne, W., siehe Brinkmann, C.: H. 1, S. 1—7

Hüttner, F., siehe Winkler, R.: H. 5, S. 527—531

Hüvel, B.: Sicherheitsanforderungen und deren Realisierung am Beispiel eines NH_3-Flüssiglagers innerhalb eines dichtbesiedelten Gebietes H. 4, S. 458, und Sammelband „Kraftwerk und Umwelt 1989"

Hüvel, B.: Analyse eines Anstreifschadens an einem 42-MW-Heizturbosatz H. 10, S. 974—979

Hulshof, H., siehe Koppius-Odink, J.M.: H. 4, S. 460, und Sammelband „Kraftwerk und Umwelt 1989"

Husemann, R.U.: Werkstoffseitige Maßnahmen zur Reduzierung der Hochtemperaturkorrosion in kohlebefeuerten Dampferzeugern H. 1, S. 105—114

Igelbüscher, H., siehe Wegner, A.: H. 11, S. 1111—1114

Ilg, U., siehe Bäumen, J.: H. 2, S. 233, und Sammelband „Werkstoffe und Schweißtechnik im Kraftwerk 1989"

Irlbeck, J., siehe Sunder, R.: H. 4, S. 335—340

Jahn, P., und Weis, P.: Grundlagenuntersuchungen zur Verwertung von zirkulierenden Wirbelschichtaschen H. 9, S. 924—929

Jákli, Gy., und Schwab, A.: Auslegung eines 15-MW-Stromrichtermotors zum Antrieb einer Mono-Kesselspeisepumpe H. 7, S. 669—674

Jansen, M., siehe Gloger, M.: H. 8, S. 773—780

Jansing, W., siehe von Lojewski, D.: H. 2, S. 138—147

Jeske, H.-O., Krieger, P., Ochßner, W., und Hergt, P.: Theoretische und experimentelle Arbeiten bei der Entwicklung einer Pumpe mit hohem Wirkungsgrad H. 3, S. 260—264

Jesper, H., Hennecke, W., und Remmert, H.: Sanierung erosionskorrosionsgeschädigter Dampfturbinen-Endschaufeln durch Schweißen H. 9, S. 911—917

Jimenez Rebagliati, R., Ali, S.P., Liberman, S.J., Maroto, A.J.G., und Cosentino, R.E.: Verhalten des mechanischen Filters im Primärkreisreinigungssystem des Kernkraftwerkes Atucha I H. 10, S. 1028—1030

Jimenez Rebagliati, R., Ali, S., Liberman, S.J., Maroto, A.J.G., Grimaux, J.M., und Cosentino, R.E.: Wirkungsgrad der Filter für den Kühlkreislauf im Primärsystem des Kernkraftwerkes Atucha I H. 3, S. 301—303

Jockel, W.: Kontinuierliche Emissionsüberwachung an Abfallverbrennungsanlagen — verfügbare Meßtechnik und ihre Aussagefähigkeit H. 7, S. 708—714

John, R., siehe Gillessen, R.: H. 3, S. 304—314

Johnsen, F., siehe Schnier, W.: H. 5, S. 544—547

de Jong, J.J., siehe Koppius-Odink, J.M.: H. 4, S. 460, und Sammelband „Kraftwerk und Umwelt 1989"

Kämpf, F., siehe Wargalla, G.: H. 4, S. 468, und Sammelband „Kraftwerk und Umwelt 1989"

Kahlert, W., siehe Thom, P.: H. 10, S. 995—997

Kainer, H., siehe Barnert-Wiemer, H.: H. 4, S. 462, und Sammelband „Kraftwerk und Umwelt 1989"

Kainer, H., Bühler, H.-E., Vedder, B., Flockenhaus, C., Stellbrink, B., Mika, C., Haferkamp, H., und Röttger, J.: Betriebsverhalten von Eisenoxid-Katalysatoren in der DENOX-Großversuchsanlage des Kraftwerkes Staudinger H. 4, S. 462, und Sammelband „Kraftwerk und Umwelt 1989"

Kallinich, D., siehe Thom, P.: H. 10, S. 995—997

Kallmeyer, D., siehe Hein, K.R.G.: H. 6, S. 591—596

Kalwa, G., siehe Brühl, F.: H. 12, S. 1214—1224

Kalwa, G., und Schnabel †, E.: Umwandlungsverhalten und Wärmebehandlung der martensitischen Stähle mit 9 bis 12% Chrom H. 2, S. 234, und Sammelband „Werkstoffe und Schweißtechnik im Kraftwerk 1989"

Karanatsios, J., siehe Barnert-Wiemer, H.: H. 4, S. 462, und Sammelband „Kraftwerk und Umwelt 1989"

Kasper, K., und Strauß, W.: Gas-/Dampfturbinen-Kombi-Kraftwerk mit integriertem Hochtemperatur-Winkler-(HTW-) Kohlevergasungsverfahren H. 7, S. 657—662

Kassebohm, B., siehe Seipenbusch, J.: H. 4,S. 463, und Sammelband „Kraftwerk und Umwelt 1989"

Kassebohm, B., Asmuth, P., und Wolfering, G.: Möglichkeiten der weitergehenden Rauchgasreinigung hinter Müllverbrennungsanlagen H. 1, S. 88—94

Kautz, H.R., siehe Gayk, W.: H. 2, S. 233, und Sammelband „Werkstoffe und Schweißtechnik im Kraftwerk 1989"

Kautz, H.R., und Zürn, H.E.D.: Bedeutung der Instandhaltung von kriechbeanspruchten Komponenten im Hinblick auf die Erhaltumg und der Lebensdauer von Kraftwerken H. 5, S. 537—543

Kautz, K., siehe Prause, B.: H. 3, S. 314—318

Keuerleber, R., Bursik, A., und Wurz, D.: Entwicklung und Anwendung eines Kopfsondensystems zur Gewinnung repräsentativer Staubproben aus Rauchgasen H. 4, S. 465, und Sammelband „Kraftwerk und Umwelt 1989"

Keysselitz, J., und Mai, E.: Voraussetzungen für die Durchführung von Maßnahmen zur Verlängerung der Restlebensdauer von Kraftwerksanlagen H. 8, S. 761—765

Kiefer, D., siehe Musset, G.: H. 4, S. 325—330

Kienberger, K.-H., und Schmidt, K.-H.: Konzentrataufbereitung im Kernkraftwerk Isar 1 (KKI 1) H. 9, S. 933—935

Kilian, H.-J.: Untersuchungen zur Anwendung der Ultraschall-Dehnungsmessung von Verbindungsschrauben H. 6, S. 617—625

Kirpach, C., siehe Diderich, G.: H. 11, S. 1132—1141

Kirsch, N., siehe Diderich, G.: H. 11, S. 1132—1141

Klaefker, W., siehe Brinkmann, C.: H. 1, S. 1—7

Klöhn, K., siehe von Beeren, E.: H. 12, S. 1166—1173

Kmoch, G.: siehe Rehwinkel, H.: H. 1, S. 39—47

Knapp, P., siehe Maus, R.: H. 3, S. 269—275

Knoblauch, H., siehe Christianus, D.: H. 2, S. 235, und Sammelband „Werkstoffe und Schweißtechnik im Kraftwerk 1989"

Knospe, J.: Erfahrungen aus Betrieb und Instandhaltung von Rauchgasentschwefelungsanlagen H. 9, S. 917—924

König, H., siehe Strätz, A.: H. 9, S. 907—911

Köster, K., siehe Göstenkors, Th.: H. 5, S. 483—490

Koppius-Odink, J.M., Sijbring, J.R., Hulshof, H., de Jong, J.J., und Kwee, H.K.: Feuerungstechnische Maßnahmen zur NO_x-Emissionsreduzierung an kohle-, öl- und gasbefeuerten Kesseln H. 4, S. 460/461, und Sammelband „Kraftwerk und Umwelt 1989"

Koppius-Odink, J.M., siehe van der Brugghen, F.W.: H. 4, S. 465, und Sammelband „Kraftwerk und Umwelt 1989"

Kosiol, H., und Burmeister, H.: 1½ Jahre Betriebserfahrungen mit der SCR-Anlage nach REA im Kraftwerk Hafen H. 4, S. 461/462, und Sammelband „Kraftwerk und Umwelt 1989"

Krämer, H.: Perspektiven der Kernenergie in der Bundesrepublik Deutschland H. 12, S. 1152—1156

Krämer, K.G., Berger, P., und Saupe, R.: Bereitstellung schneller Frequenzregel- und Sofortreserveleistung durch Batteriespeicheranlagen H. 8, S. 751—755

Kral, R., siehe Gestermann, F.: H. 7, S. 702—708

Krampe, H., siehe Meyer, U.: H. 12, S. 1178—1183

Krieger, P., siehe Jeske, H.-O.: H. 3, S. 260—264

Krolewski, H.: Bauwesen in der Kraftwerkstechnik 1988 H. 1, S. 99—105

Kroth, K., siehe Merz, E.: H. 11, S. 1114—1118

Kühle, K., siehe Schmolling, G.: H. 8, S. 802—806

Kunzmann, K., siehe Sternfeld, H.J.: H. 7, S. 640—649

Kusterer, H., siehe Sternfeld, H.J.: H. 7, S. 640—649

Kwee, H.K., siehe Koppius-Odink, J.M.: H. 4, S. 460/461, und Sammelband „Kraftwerk und Umwelt 1989"

Kyte, W.S., und Halstead, W.D.: Verwertung und Entsorgung von Nebenprodukten und Abfallstoffen aus Umweltschutzmaßnahmen in britischen Kraftwerken H. 12, S. 1189—1193

Laibold, E., siehe Mayer-Schwinning, G.: H. 1, S. 53—59

Lang, J., siehe Czeratzki, A.: H. 10, S. 979—985

Langner, H., siehe Brinkmann, C.: H. 1, S. 1—7

Lasch, M., siehe Eickelpasch, N.: H. 6, S. 605—607

Lecog, J., siehe Vanderschaeghe, A.: H. 8, S. 817—824

Leikert, K., siehe Aldrian, W.: H. 1, S. 47—53

Leithner, R.: Einfluß unterschiedlicher Wirbelschichtfeuerungssysteme auf Auslegung, Konstruktion und Betriebsweise der Dampferzeuger H. 7, S. 675—701

Leithner, R., Vockrodt, S., Rohse, H., Rahm, J., und Duvenbeck, R.: NO_x-Minderungsversuchsergebnisse in einer 10.000-m^3/h-SNCR-Versuchsanlage mit schwefelreicher Braunkohle H. 4, S. 463, und Sammelband „Kraftwerk und Umwelt 1989"

Leitmeir, E.: Das Müllheizkraftwerk Coburg H. 11, S. 1087—1094

Lezuo, A., siehe Gajewski,W.: H. 5, S. 477—483

Liberman, S.J., siehe Jimenez Rebagliati, R.: H. 3 301—303

Liberman, S.J., siehe Jimenez Rebagliati, R.: H. 10, S. 1028—1030

Lieback, J.U.: Erfassung, Lagerung und Behandlung von Altöl und Lösungsmitteln im Kraftwerk H. 4, S. 467, und Sammelband „Kraftwerk und Umwelt 1989"

Liebe, R.: Biegeschwingungen und Stabilitätsgrenzen von Kreiselpumpenläufern H. 6, S. 573—579

Lindemann, J., siehe Dworrak, G.: H. 7, S. 718—726

Lindholm, O., und Linnanvuori, J.: Fernwärmeerzeugung durch eine Gasturbine H. 7, S. 649—657

Lindhorst, W., siehe Thom, P.: H. 10, S. 995—997

Linnanvuori, J., siehe Lindholm, O.: H. 7, S. 649—657

Linnemann, H., und Hagemann, M.: Erfahrungen mit der meßtechnischen Überwachung von Dampfturbinenfundamenten H. 8, S. 781—788

Linzer, W., und Scheffknecht, G.: Wärmespannungen in Rohrböden — Teil I: Ermittlung der Wärmespannungen an der Verbindungsstelle Rohr-Rohrbodenkonstruktion H. 4, S. 379—384

Löhberg, R., und Ullrich, W.: Stand der Überprüfung der Wellen für Hauptkühlmittelpumpen H. 2, S. 235, und Sammelband „Werkstoffe und Schweißtechnik im Kraftwerk 1989"

von Lojewski, D., und Jansing, W.: Der Zweifachdampfprozeß: ein wirtschaftliches Konzept der Zukunft? H. 2, S. 138—147

Lukas, W., siehe Gebhard, G.: H. 4, S. 384—392

Luther-Goldmann, K., siehe Dettmann, P.: H. 4, S. 469, und Sammelband „Kraftwerk und Umwelt 1989"

Madlsperger, G., siehe Gebel, K.: H. 12, S. 1200—1208

Maier, H., siehe Waltl, J.: H. 6, S. 608—613

Mai, E., siehe Keysselitz, J.: H. 8, S. 761—765

Maier, H., Schöngrundner, W., und Much, K.: Das Verhalten von Schwermetallen in einer Braunkohlefeuerung H. 8, S. 824—828

Makkinejad, N.: Berechnung des Rohrbogens unter Innendruckbeanspruchung H. 9, S. 944—949

Mann, E., siehe Reuther, D.: H. 4, S. 466, und Sammelband „Kraftwerk und Umwelt 1989"

Marnet, Chr., Schoop, U., und Ritter, G.: Die Verbrennung von Braunkohlenkoks (HOK) aus Rauchgasreinigungsanlagen H. 2, S. 199—207

Maroto, A.J.G., siehe Jimenez Rebagliati, R.: H. 3, S. 301—303 H. 10, S. 1028—1030

Maus, R., Knapp, P., und Günther, R.: Kreiselpumpen in Rauchgasentschwefelungsanlagen — insbesondere mit Innenpanzerungen H. 3, S. 269—275

Mayer, K.-H., siehe Christianus, D.: H. 2, S. 235, und Sammelband „Werkstoffe und Schweißtechnik im Kraftwerk 1989"

Mayer, K.-H., Prestel, W., Weber, D., und Weiß, M.: Ultraschallprüfung von Dampfturbinenwellen nach langjähriger Betriebsbeanspruchung H. 2, S. 236, und Sammelband „Werkstoffe und Schweißtechnik im Kraftwerk 1989"

Mayer-Schwinning, und Laibold, E.: Grundverfahren der Rauchgasreinigung bei Müllverbrennungsanlagen H. 1, S. 53—59

McLoughlin, N.M.J., siehe Cronin, J.A.: H. 2, S. 129—137

Merz, A., siehe Vogg, H.: H. 8, S. 795—802

Merz, A., und Reifenhäuser, R.: Der Turbinenschaden im Kraftwerk Irsching H. 3, S. 255—259

Merz, E., Kroth, K., Scholz, W., und Holzapfel, Th.: Radioaktivitätsmessungen an Gips aus REA und Aktivitätsbilanzierung des Rauchgasentschwefelungsprozesses eines mit rheinischer Braunkohle befeuerten Großkraftwerkes H. 11, S. 1114—1118

Meyer, U., und Krampe, H.: Versuchsergebnisse beim Einsatz von Feinkohlen in einer modifizierten Wanderrost-Kesselanlage H. 12, S. 1178—1183

Michel, F., siehe Winkler, R.: H. 5, S. 527—531

Mika, C., siehe Kainer, H.: H. 4, S. 462, und Sammelband „Kraftwerk und Umwelt 1989"

Millat, H., und Rust, H.: Einsatz eines Manipulators für die Instandsetzung der Dampferzeugerberohrung im Kernkraftwerk Beznau H. 1, S. 22—28

Mistele, J., siehe Scholl, G.: H. 3, S. 282—288

Mittelbach, G.: NO_x-Minderung an Kohle- und MVA-Kesseln mit dem Babcock-Thermo-NO_x-Verfahren — Vergleich von Untersuchungsergebnissen H. 4, S. 463, und Sammelband „Kraftwerk und Umwelt 1989"

Moriarty, B.M.A., siehe Cronin, J.A.: H. 2, S. 129—137

Much, K., siehe Maier, H.: H. 8, S. 824—828

Müller, E.: Ableitung elektrostatischer Ladungen aus staubhaltigen Rauchgasen H. 5, S. 508—511

Müsch, H., siehe Brühl, F.: H. 12, S. 1225—1231

Musset, G., Schröder, U., Swoboda, E., und Kiefer, D.: Betriebserfahrungen mit dem NO_x-armen Feuerungskonzept im Block 5 des Kraftwerkes Leiningerwerk der Isar-Amperwerke AG H. 4, S. 325—330

Neulinger, F., siehe Baumgartner, K.: H. 4, S. 464/465, und Sammelband „Kraftwerk und Umwelt 1989"

Neumann, G.: Verwertungsmöglichkeiten des Entschwefelungsproduktes aus Sprühabsorptionsverfahren H. 4, S. 467, und Sammelband „Kraftwerk und Umwelt 1989"

Neumann, K., siehe Gloger, M.: H. 8, S. 773—780

Niederhoff, K., siehe Brühl, F.: H. 12, S. 1225—1231

Nix, N., siehe Wasel-Nielen, J.: H. 4, S. 369—372

Novak, M., und Rych, H.-G.: Betriebserfahrungen mit den Entstickungsanlagen und den nachgeschalteten Einrichtungen im Kohlekraftwerk Dürnrohr H. 4, S. 462, und Sammelband „Kraftwerk und Umwelt 1989"

Nürnberg, R., siehe Gajewski, W.: H. 5, S. 477—483

Ochßner, W., siehe Jeske, H.-O.: H. 3, S. 260—264

Oda, N., siehe Higashi, K.: H. 4, S. 465, und Sammelband „Kraftwerk und Umwelt 1989"

Ølsgard, P., und Ottesen, P.: SO_2-Minderung in dänischen Kraftwerken — Hintergrund, Stand, Pläne und Umweltverträglichkeitsprüfung H. 4, S. 466, und Sammelband „Kraftwerk und Umwelt 1989"

Otterstetter, H., siehe Dettmann, P.: H. 4, S. 469, und Sammelband „Kraftwerk und Umwelt 1989"

Ottesen, P., siehe Ølsgard, P.: H. 4, S. 466, und Sammelband „Kraftwerk und Umwelt 1989"

Pastoors, J.T.W.: Betriebsmessungen im Zusammenhang mit Rißbildungen in Speisewasserentgasern H. 7, S. 726—730

Pegel, A.: 5 Jahre Rauchgasentschwefelung — Erfahrungen bei der Instandsetzung H. 2, S. 165—169

Petermann, V., siehe Bieber, K.-H.: H. 3, S. 265—269

Pflugradt, A.: Das Gefahrenpotential von Rauchgasentschwefelungsanlagen unter besonderer Berücksichtigung brandtechnischer Merkmale H. 8, S. 793/794

Pheifer, L.R.: Genehmigungsverfahren für Energieerzeugungsanlagen in den Niederlanden auf dem Gebiete des Umweltschutzes (einschließlich der Umweltverträglichkeitsprüfung) H. 4, S. 458, und Sammelband „Kraftwerk und Umwelt 1989"

Plür, R.: Meßsystem zur rauchgasseitigen Emissionsüberwachung bei der Gemeinschafts-Müll-Verbrennungsanlage Niederrhein GmbH H. 2, S. 190—199

Pohle, C., siehe Wagner, G.H.: H. 10, S. 1034—1043

Poller, J., und Deggim, D.: Fortschritte bei der Entwicklung des VEW-Kohleumwandlungsverfahrens und Betriebsergebnisse der 10-t/h-Prototypanlage H. 4, S. 360—365

Poos, B., siehe Dauber, W.: H. 6, S. 584—591

Poulsen, E.R., Uhlir, T., und Elmiger, W.: Wärmeauskopplung für fünf dänische Gemeinden nach Umbau des bestehenden Kraftwerkes Skærbækværket H. 8, S. 766—772

Povše, R., siehe Andrée, L.: H. 4, S. 465, und Sammelband „Kraftwerk und Umwelt 1989"

Prause, B., und Kautz, K.: Mikroskopische Untersuchungen an flugaschehaltigen Mörteln und Beton H. 3, S. 314—318

Prestel, W., siehe Mayer, K.-H.: H. 2, S. 236, und Sammelband „Werkstoffe und Schweißtechnik im Kraftwerk 1989"

Pronobis, M.: Weitere Erkenntnisse zum Einfluß der Verschmutzung auf den Wärmeaustausch in konvektiven Kesselrohrbündeln H. 11, S. 1067—1074

Proske, M., und Seifert, P.: Erste Betriebserfahrungen mit einem neuartigen Trockenverfahren zur Entschwefelung eines Heizkraftwerkes H. 1, S. 59—65

Rahm, J., siehe Leithner, R.: H. 4, S. 463, und Sammelband „Kraftwerk und Umwelt 1989"

Rahm, J., siehe Wahl, D.-J.: H. 4, S. 466, und Sammelband „Kraftwerk und Umwelt 1989"

Rambausek, N., siehe Fuchs, H.V.: H. 11, S. 1102—1110

Rau, P., siehe Backfisch, W.: H. 2, S. 233, und Sammelband „Werkstoffe und Schweißtechnik im Kraftwerk 1989"

Redpath, I.: Instandhaltungsmaßnahmen an Kesselbauteilen im Hochtemperaturbereich zur Lebensdauerverlängerung H. 7, S. 665—668

Rehwinkel, H., Kmoch, G., Brandt, H., und Schingnitz, M.: Die Verstromung von Salzbraunkohlen in Kombi-Kraftwerken mit GSP-Flugstromvergaser H. 1, S. 39—47

Reifenhäuser, R., siehe Merz, A.: H. 3, S. 255—259

Reimann, D.O.: Reststoffe und Reststoffbehandlung aus Rauchgasreinigungsanlagen H. 2, S. 212—220

Reimann, D.O.: Direktverbrennung von entwässertem Klärschlamm gemeinsam mit Müll H. 12, S. 1184—1188

Reimche, W., siehe Stegemann, D.: H. 9, S. 896—907

Reiplinger, E.: Antischall bei großflächigen Schallquellen H. 4, S. 460, und Sammelband „Kraftwerk und Umwelt 1989"

Reitz, H., und Welter, H.: Plastische Verformung der Frischdampfleitungen einer 180-MW-Turbogruppe H. 1, S. 32—39

Remmert, H., siehe Jesper, H.: H. 9, S. 911—917

Rennert, K.D., siehe Voigt, K.: H. 4, S. 461, und Sammelband „Kraftwerk und Umwelt 1989"

Rentz, O., siehe Gruber, K.H.: H. 1, S. 78—87

Resch, G., siehe Seipp, H.-G.: H. 12, S. 1208—1214

Reuther, D., Mann, E., und Schlüter, S.: Maßnahmen am Regenerativ-Luftvorwärmer zur Verminderung des Schwefelemissionsgrades H. 4, S. 466, und Sammelband „Kraftwerk und Umwelt 1989"

Richter, E., siehe Steckel, H.: H. 4, S. 464, und Sammelband „Kraftwerk und Umwelt 1989"

Rieß, R.: Reinigung von Dampferzeugern in DWR-Anlagen H. 2, S. 227—230

Rimanek, R.: Dichtungen und Dichtflächen gummierter Flanschverbindungen in Rauchgasreinigungs- und Chemieanlagen H. 2, S. 234, und Sammelband „Werkstoffe und Schweißtechnik im Kraftwerk 1989"

Rimmelspacher, J.: Betriebserfahrungen mit einer neuen Anwärm- und Schwachlasteinrichtung H. 11, S. 1074—1078

Ritter, G., siehe Marnet, Chr.: H. 2, S. 199—207

Röttger, G., siehe Berger, C.: H. 2, S. 235, und Sammelband „Werkstoffe und Schweißtechnik im Kraftwerk 1989"

Röttger, J., und Kainer, H.: H. 4, S. 462, und Sammelband „Kraftwerk und Umwelt 1989"

Rohse, H., siehe Leithner, R.: H. 4, S. 463, und Sammelband „Kraftwerk und Umwelt 1989"

Roller, W., siehe Gillessen, R.: H. 3 304—314

Roth, P., siehe Bäumen, J.: H. 2, S. 233, und Sammelband „Werkstoffe und Schweißtechnik im Kraftwerk 1989"

Rüsenberg, D., siehe Voigt, K.: H. 4, S. 461, und Sammelband „Kraftwerk und Umwelt 1989"

Rukes, B., siehe Gajewski, W.: H. 5, S. 477—483

Rullmann, H., siehe Brinkmann, C.: H. 1, S. 1—7

Runkel, J., und Stegemann, D.: Schwingungs- und Rauschanalysen im Primärkreis von Kernkraftwerken H. 8, S. 755—761

Rupp, J.-J.: Umweltverträglichkeitsprüfung für Kraftwerke — Umsetzung einer EG-Richtlinie in deutsches Recht — H. 3, S. 288—290

Rupp, J.-J.: Die Konsequenzen für den EVU-Bereich aus dem Gesetzentwurf für die Umweltverträglichkeitsprüfung H. 4, S. 458, und Sammelband „Kraftwerk und Umwelt 1989"

Rust, H., siehe Millat, H.: H. 1, S. 22—28

Rych, H.-G., siehe Novak, M.: H. 4, S. 462, und Sammelband „Kraftwerk und Umwelt 1989"

Salzmann, F., Varga, T., Teichmann, H.-D., und Wolf, M.: Berstversuche an einem geschweißten Behälter aus 11 NiMoV 5 3 H. 4, S. 373—379

Sauer, H., und Anders, R.: Betriebserfahrungen mit der trockenen Rauchgas-Entschwefelung (System ZWS) im Braunkohle-Kraftwerk Borken H. 10, S. 1018—1023

Saupe, R., siehe Krämer, K.G.: H. 8, S. 751—755

Savolainen, I., und Tähtinen, M.: Emissionen von SO_2, NO_x und CO_2 in Finnland — Szenarien für die Verminderung H. 4, S. 464, und Sammelband „Kraftwerk und Umwelt 1989"

Seifert, P., siehe Proske, M.: H. 1, S. 59—65

Seipenbusch, J., Kassebohm, B., und Thielen, W.: Betriebsergebnisse der Rauchgasreinigung Garath und Verfahrenskonzept der Rauchgasreinigungsanlage Lausward H. 4, S. 463, und Sammelband „Kraftwerk und Umwelt 1989"

Seipp, H.-G., und Resch, G.: Erfahrungen mit großen Kühlsystemen in Kraftwerken H. 12, S. 1208—1214

Siefer, W., siehe Christianus, D.: H. 2, S. 235, und Sammelband „Werkstoffe und Schweißtechnik im Kraftwerk 1989"

Sijbring, J.R., siehe Koppius-Odink, J.M.: H. 4, S. 460/461, und Sammelband „Kraftwerk und Umwelt 1989"

Simon, A., siehe Florjancic, D.: H. 2, S. 174—183

Šindelar, R., siehe Busse, L.: H. 9, S. 892—895

Skubatz, W., und Haneke, R.: Ermittlung der Erschöpfung von heißdampfführenden, dickwandigen Altanlagenkomponenten und daraus resultierende Maßnahmen zur Verlängerung der Lebensdauer H. 10, S. 1030—1033

Smart, D.B.: Die Entwicklung von Strategien zur Kraftwerksinstandhaltung bei der CEGB H. 7, S. 662—664

Spähn, H., und Wagner, G.H.: Kriterien für die Wahl von GFK als Konstruktionswerkstoff für REA-Waschtürme beim Welman-Lord-Verfahren H. 2, S. 234, und Sammelband „Werkstoffe und Schweißtechnik im Kraftwerk 1989"

Spähn, H., und Wagner, G.H.: Wasserstoffinduzierte Rißbildung an geschweißten Feinkorn- und Kesselbaustählen durch vollentsalztes Wasser bzw. Kesselspeisewasser H. 2, S. 236, und Sammelband „Werkstoffe und Schweißtechnik im Kraftwerk 1989"

Spähn, H., siehe Fäßler, K.: H. 11, S. 1124—1131

Spähn, H., siehe Wagner, G.H.: H. 10, S. 1034—1043

Spalthoff, F.J.: Tagesfragen der Kraftwerkstechnik H. 11, S. 1060—1063

Sperling, D.: Vermessung mit Satellitenunterstützung beim Pumpspeicherwerk Vianden H. 6, S. 625—627

Spindler, K., siehe Blöchl, H.: H. 9, S. 930—933

Spuziak-Salzenberg, D., siehe Thiemann, W.: H. 3, S. 299—301

Swoboda, E., siehe Musset, G.: H. 4. S. 325—330

Südmersen, U., siehe Stegemann, D.: H. 9, S. 896—907

Sunder, R., Wach, D., Heimbuch, R., und Irlbeck, J.: Erkennung eines HKP-Wellenanrisses im Kernkraftwerk Isar-2 durch frequenzselektive Schwingungsüberwachung H. 4, S. 335—340

Schaub, G., siehe Herbertz, H.-A.: H. 10, S. 1003—1008

Scheffknecht, G.: Wärmespannungen in Rohrböden — Teil II: Verallgemeinerte Darstellung der Wärmespannungen in Rohr-Rohrbodenkonstruktionen H. 5, S. 531—536

Scheffknecht, G., siehe Linzer, W.: H. 4, S. 379—384

Schilling, H.-D.: Kurzbericht über die Tätigkeit der VGB TECHNISCHEN VEREINIGUNG DER GROSSKRAFTWERKSBETREIBER E.V. 1988/89 H. 9, S. 847—867

Schilling, H.-D.: Umweltschutz in der Kraftwerkstechnik H. 10, S. 1009—1017

Schindler, H., siehe Dexheimer, G.: H. 2, S. 234, und Sammelband „Werkstoffe und Schweißtechnik im Kraftwerk 1989"

Schingnitz, M., siehe Rehwinkel, H.: H. 1, S. 39—47

Schippers, K., siehe Sternfeld, H.J.: H. 7, S. 640—649

Schleithoff, K., und Schmitz, F.: Kondensatorrohre aus nichtrostenden Stählen und Titan H. 1, S. 7—15

Schlüter, S., siehe Reuther, D.: H. 4, S. 466, und Sammelband „Kraftwerk und Umwelt 1989"

Schmidt, F.W.: Armaturendiagnose im Armaturen-Service-System (ASS) H. 4, S. 340—343

Schmidt, J., siehe Czeratzki, A.: H. 10, S. 979—985

Schmidt, K.-H., siehe Kienberger, K.-H.: H. 9, S. 933—935

Schmit, R., siehe Diderich, G.: H. 11, S. 1132—1141

Schmitz, A.W., siehe Berger, C.: H. 2, S. 235, und Samband „Werkstoffe und Schweißtechnik im Kraftwerk 1989"

Schmitz, F., siehe Schleithoff, K.: H. 1, S. 7—15

Schmolling, G., und Kühle, K.: Auslegungskriterien für die Entstaubung von Kraftwerken auf Basis zirkulierender Wirbelschichtfeuerung H. 8, S. 802—806

Schnabel †, E., siehe Kalwa, G.: H. 2, S. 234, und Sammelband „Werkstoffe und Schweißtechnik im Kraftwerk 1989"

Schneiders, K., siehe Steckel, H.: H. 4, S. 464, und Sammelband „Kraftwerk und Umwelt 1989"

Schneiders, K., und Zimmermann, J.: Erste Betriebserfahrungen mit dem BF/Uhde-Verfahren im Kraftwerk Arzberg H. 1, S. 66—69

Schnier, W., und Johnsen, F.: Der Bau von Windkraftwerken H. 5, S. 544—547

Schöngrundner, W., siehe Maier, H.: H. 8, S. 824—828

Scholl, G., Stoll, K.-E., Stadie, L., und Mistele, J.: Kombinierter Einsatz von Steinkohle und Brennstoff aus Abfall (Calomat) im Modellkraftwerk Völklingen der Saarbergwerke AG H. 3, S. 282—288

Scholz, W., siehe Merz, E.: H. 11, S. 1114—1118

Schoop, U., siehe Marnet, Chr.: H. 2, S. 199—207

Schreier, W., siehe Voigt, K.: H. 4, S. 461, und Sammelband „Kraftwerk und Umwelt 1989"

Schröder, H.: Die Entsorgung von Rückständen aus der thermischen Müllverwertung H. 10, S. 1043—1047

Schröder, U., siehe Musset, G.: H. 4, S. 325—330

Schultz, M., Hannemann, H., und Becker, N.: Der Einsatz von Tropfenabscheidern hoher Leistungsfähigkeit in Rauchgaswäschern H. 5, S. 491—495

Schulz, W., und Bertram, J.: NO_x-Emissionsminderung bei Kombi-Prozessen unter Berücksichtigung verschiedener Brennstoffe H. 5, S. 511—522

Schumacher, A.: Technische Rahmenbedingungen für Kraftwerke nach 1992 H. 12, S. 1156—1162

Schwab, A., siehe Jákli, Gy.: H. 7, S. 669—674

Schwab, E., siehe Chwieralski, J.: H. 5, S. 496—503

Schwahn, K.-J.: Nachweis der Reduzierung von Strukturschwingungen mittels viskoser Dämpfer H. 10, S. 986—994

Schwarz, W., und Teichmann, H.D.: Erfahrungen bei der Bau- und Montageüberwachung von Rauchgasreinigungsanlagen in Kraftwerken H. 2, S. 234, und Sammelband „Werkstoffe und Schweißtechnik im Kraftwerk 1989"

Schwarzwalder, H., siehe Gillessen, R.: H. 3, S. 304—314

Schweimler, J., siehe Vetter, H.: H. 10, S. 964—973

Schweins, W., siehe Christianus, D.: H. 2, S. 235, und Sammelband „Werkstoffe und Schweißtechnik im Kraftwerk 1989"

Stadie, L., siehe Scholl, G.: H. 3, S. 282—288

Steckel, H., Richter, E., Wünnenberg, W., Bäßler, J., und Schneiders, K.: Erfahrungen mit Aktivkoksanlagen zur SO_2/NO_x-Entfernung aus Rauchgasen H. 4, S. 464, und Sammelband „Kraftwerk und Umwelt 1989"

Steffens, W., und Börner, C.-J.: Ersatz von Altanlagen durch Dampferzeuger mit zirkulierender Wirbelschichtfeuerung in der chemischen Industrie H. 9, S. 879—892

Stegemann, D., Reimche, W., Südmersen, U., und Beermann, H.: Körperschall- und Schwingungsanalysen zur Schadenserkennung in Turbomaschinen H. 9, S. 896—907

Stegemann, D., siehe Runkel, J.: H. 8, S. 755—761

Stein, U., siehe Gestermann, F.: H. 7, S. 702—708

Stellbrink, B., siehe Kainer, H.: H. 4, S. 462, und Sammelband „Kraftwerk und Umwelt 1989"

Sternfeld, H.J., Kusterer, H., Kunzmann, K., und Schippers, K.: H_2/O_2-Direktdampferzeugung: Zusammenwirken mit Dampfturbinen und Dampfnetzen H. 7, S. 640—649

Stieglitz, L., siehe Vogg, H.: H. 8, S. 795—802

Stipp, W.A.: Montage und Service bei Kraftwerkspumpen H. 4, S. 343—348

Stoll, K.-E., siehe Scholl, G.: H. 3, S. 282—288

Strätz, A., und König, H.: Reparatur einer verkrümmten HD-Turbinenwelle nach einer Betriebsstörung H. 9, S. 907—911

Strauß, K., und Thelen, F.: Brennstoffaufbereitung als Beitrag zur NO_x-Minderung H. 2, S. 207—211

Strauß, W., siehe Kasper, K.: H. 7, S. 657—662

Streit, K.: Rechnergestütztes Dauerbetriebs-Überwachungskonzept für Wasser-Dampfkreisläufe in DWR H. 11, S. 1119—1123

Stubbe, J., und Briquet, J.: Ermittlung der Parameter für die Eisen(II)-sulfatdosierung an Wärmeaustauschern H. 7, S. 715—718

Stützle, R., siehe Hasenkopf, O.: H. 3, S. 291—296

Tähtinen, M., siehe Savolainen, I.: H. 4, S. 464, und Sammelband „Kraftwerk und Umwelt 1989"

Täubert, U.: Das Verwertungskonzept für Kraftwerksrückstände H. 4, S. 466/467, und Sammelband „Kraftwerk und Umwelt 1989"

Tauschitz, J., siehe Zellinger, G.: H. 12, S. 1194—1200

Teichmann, H.-D., siehe Salzmann, F.: H. 4, S. 373—379

Teichmann, H.D., siehe Schwarz, W.: H. 2, S. 234, und Sammelband „Werkstoffe und Schweißtechnik im Kraftwerk 1989"

Thelen, F., siehe Strauß, K.: H. 2, S. 207—211

Thielen, W., siehe Seipenbusch, J.: H. 4, S. 463, und Sammelband „Kraftwerk und Umwelt 1989"

Thiemann, W., und Spuziak-Salzenberg, D.: Eine einfache Bestimmung für Selen in Flugstaub aus Kohlefeuerungen mittels der Hydridtechnik-AAS H. 3, S. 299—301

Thom, P., Lindhorst, W., Kahlert, W., und Kallinich, D.: Entwicklung und Betriebserfahrungen mit korrosionsbeständigen Leitschaufelsystemen aus Glas in Rauchgaskanälen H. 10, S. 995—997

Thomé, M., und Eckel, J.: Erfahrungen über den Einsatz spezieller Gemische aus Flugasche und Kühlwasseraufbereitungsrückstand eines Steinkohlenkraftwerkes bei der Begrünung einer Flugaschehalde H. 4, S. 468, und Sammelband „Kraftwerk und Umwelt 1989"

Tigges, K.D., siehe Dauber, W.: H. 6, S. 584—591

Torrens, I.M., und Dalton, S.: Forschungs- und Entwicklungsarbeiten des EPRI auf dem Gebiete der modernen Feuerungstechnik für die amerikanischen EVU H. 4, S. 457, und Sammelband „Kraftwerk und Umwelt 1989"

Trage, B., und Hintzen, F.J.: Planung und Bau von Anlagen mit indirekter Trockenkühlung H. 2, S. 183—189

Uerpmann, E.P., siehe Gebhard, G.: H. 1, S. 70—77

Uhlir, T., siehe Poulsen, E.R.: H. 8, S. 766—772

Ullrich, W., siehe Löhberg, R.: H. 2, S. 235, und Sammelband „Werkstoffe und Schweißtechnik im Kraftwerk 1989"

VGB: Bericht über die Eröffnungsveranstaltung VGB-Kongreß „Kraftwerke 1989" H. 11, S. 1054—1059

VGB-Fachausschuß „Austausch von Betriebserfahrungen — ABE — (Kerntechnik)" Betriebserfahrungen mit Kernkraftwerken 1988 H. 4, S. 393—448

VGB-Geschäftsstelle: Bericht über den Weltenergiekongreß 1989 in Montreal/Kanada H. 10, S. 959—963

Vanderschaeghe, A., Lecoq, J., und Vigneron, G.: Anwendung der metallurgischen Eigenschaften auf die industrielle Entwicklung eines martensitischen Stahls mit 12 % Chrom für Rohrleitungen H. 8, S. 817—824

Varga, T., siehe Salzmann, F.: H. 4, S. 373—379

Vedder, B., siehe Kainer, H.: H. 4, S. 462, und Sammelband „Kraftwerk und Umwelt 1989"

Veen, J., siehe Brinkmann, C.: H. 1, S. 1—7

Vehlow, J., siehe Vogg, H.: H. 8, S. 795—802

Vesper, H., siehe Gajewski, W.: H. 5, S. 477—483

Vetter, H., und Schweimler, J.: Erste Turbinenrevision nach einer Betriebszeit von 15 Jahren H. 10, S. 964—973

Vielstich, W.: Einsatzmöglichkeiten und Stand der Technik von Brennstoffzellen H. 6, S. 559—562

Vigneron, G., siehe Vanderschaeghe, A.: H. 8, S. 817—824

Vijgen, H., siehe Barnert-Wiemer, H.: H. 4, S. 462, und Sammelband „Kraftwerk und Umwelt 1989"

Vockrodt, S., siehe Leithner, R.: H. 4, S. 463, und Sammelband „Kraftwerk und Umwelt 1989"

Vogg, H., Merz, A., Stieglitz, L., und Vehlow, J.: Chemisch-verfahrenstechnische Aspekte zur Dioxinreduzierung bei Abfallverbrennungsprozessen H. 8, S. 795—802

Vogt, G., siehe Dworrak, G.: H. 7, S. 718—726

Voigt, K., Rüsenberg, D., Rennert, K.D., und Schreier, W.: Ergebnisse feuerungstechnischer Maßnahmen zur Senkung der NO_x-Emission an den 600-MW-Blöcken G + H des Kraftwerkes Niederaußem und Konsequenzen für Neuplanungen H. 4, S. 461, und Sammelband „Kraftwerk und Umwelt 1989"

Vollmer, H., siehe Herbertz, H.-A.: H. 10, S. 1003—1008

Wach, D., siehe Sunder, R.: H. 4, S. 335—340

Wagner, A., siehe Diderich, G.: H. 11, S. 1132—1141

Wagner, G.H., Pohle, C., und Spähn, H.: Wasserstoffinduzierte Rißbildung an geschweißten Feinkorn- und Kesselbaustählen durch vollentsaltzes Wasser bzw. Kesselspeisewasser H. 10, S. 1034—1043

Wagner, G.H., siehe Spähn, H.: H. 2, S. 234, und Sammelband „Werkstoffe und Schweißtechnik im Kraftwerk 1989"

Wagner, G.H., siehe Spähn, H.: H. 2, S. 236, und Sammelband „Werkstoffe und Schweißtechnik im Kraftwerk 1989"

Wagner, Th., siehe Hochmüller, K.: H. 5, S. 522—526

Wahl, D.-J., Rahm, J., und Grimm, H.-H.: Erfahrung mit der Rauchgasentschwefelung nach dem Wellman-Lord-Verfahren H. 4, S. 466, und Sammelband „Kraftwerk und Umwelt 1989"

van der Wal, W.J.F.: Erfahrungen mit Metylethylketoxim zur Sauerstoffbindung in Wasser-Dampfkreisläufen H. 3, S. 296—299

Waltl, J., und Maier, H.: Der Einfluß moderner, automatischer Analysenverfahren auf die Neugestaltung einschlägiger Brennstoffnormen H. 6, S. 608—613

Wandelt, E., siehe Hochmüller, K.: H. 5, S. 522—526

Wargalla, G., Kämpf, F., und Bings, H.: Aufarbeitung von Kraftwerksreststoffen im VAW-Werk Lünen H. 4, S. 468, und Sammelband „Kraftwerk und Umwelt 1989"

Wasel-Nielen, J., und Nix, N.: Flußwasseraufbereitung durch Umkehrosmose mit ND-Wickelmodulen H. 4, S. 369—372

Weber, D., siehe Mayer, K.-H.: H. 2, S. 236, und Sammelband „Werkstoffe und Schweißtechnik im Kraftwerk 1989"

Weber, H., und Bendick, W.: H. 9, S. 936—944

Weber, H., siehe Brühl, F.: H. 12, S. 1214—1224

Wegner, A., Hölter, H., und Igelbüscher, H.: Entwicklungstendenzen von Rauchgasentschwefelungsanlagen hinter ölbefeuerten Kesseln am Beispiel des Heizkraftwerkes Lichterfelde der BEWAG H. 11, S. 1111—1114

von Weihe, G., siehe Aldrian, W.: H. 1, S. 47—53

Weiler, H., und Dieterle, E.: REA-Abwasserbehandlung an drei STEAG-Standorten unter Berücksichtigung der jeweiligen kraftwerksspezifischen Einflüsse und Einsatzstoffe H. 4, S. 469, und Sammelband „Kraftwerk und Umwelt 1989"

Weinzierl, K.: Weiterentwicklung des kombinierten Gas-/Dampfturbinenkraftwerkes (GDK) mit integrierter Kohlevergasung H. 7, S. 635—640

Weis, P., siehe Jahn, P.: H. 9, S. 924—929

Weiß, M., siehe Mayer, K.-H.: H. 2, S. 236, und Sammelband „Werkstoffe und Schweißtechnik im Kraftwerk 1989"

Weisser, H., und Bellersen, W.: Betriebserfahrungen mit Gewebefiltern H. 4, S. 465, und Sammelband „Kraftwerk und Umwelt 1989"

Weisser, H., und Houzenberger, F.: Erfahrungen nach 10 000 Betriebsstunden mit einer zirkulierenden Wirbelschichtfeuerung bei der Lenzing AG in Österreich H. 8, S. 806—817

Weißflog, E., siehe Demmich, J.: H. 4, S. 468, und Sammelband „Kraftwerk und Umwelt 1989"

Welter, H., siehe Reitz, H.: H. 1, S. 32—39

Wilhelm, M.: Der Einfluß der Witterung auf die Entwicklung der Luftqualität in der Bundesrepublik Deutschland H. 4, S. 458, und Sammelband „Kraftwerk und Umwelt 1989"

Winkler, R., siehe Gruber, K.H.: H. 1, S. 78—87

Winkler, R., Hüttner, F., und Michel, F.: Senkung der Korrosionsrate im Primärkreislauf von Druckwasserreaktoren zur Begrenzung radioaktiver Ablagerungen H. 5, S. 527—531

Winter, C.-J.: Wasserstoff aus Sonnenenergie: ein additiver Energieträger H. 3, S. 245—255

Wintrich, F.: Entwicklung und erste Betriebserfahrungen mit einem neuen Feuerleistungsregelungskonzept für Müllverbrennungsanlagen H. 10, S. 998—1003

Witt, D.: Verfahrenstechnische Betriebsüberwachung H. 1, S. 28—32

Wittmann, R.: Asbest in Bauwerken H. 12, S. 1174—1177

Wolf, M., siehe Salzmann, F.: H. 4, S. 373—379

Wolfering, G., siehe Kassebohm, B.: H. 1, S. 88—94

Wünnenberg, W., siehe Steckel, H.: H. 4, S. 464, und Sammelband „Kraftwerk und Umwelt 1989"

Wunderlich, M.: Die CSB-Problematik bei REA-Abwässern H. 4, S. 469, und Sammelband „Kraftwerk und Umwelt 1989"

Wurz, D., siehe Keuerleber, R.: H. 4, S. 465, und Sammelband „Kraftwerk und Umwelt 1989"

Zehner, P.: Erfahrungen mit NO_x-mindernden Maßnahmen an Feuerungen großer Dampferzeuger H. 4, S. 461, und Sammelband „Kraftwerk und Umwelt 1989"

Żelkowski, J.: Auslegung und Anpassung von Feuerungen an die Kohle H. 4, S. 355—360

Zellinger, G., und Tauschitz, J.: Betriebserfahrungen mit der nichtkatalytischen Stickoxidreduktion in den Dampfkraftwerken der Österreichischen Draukraftwerke AG H. 12, S. 1194—1200

Ziegenhirt, P., siehe Christianus, D.: H. 2, S. 235, und Sammelband „Werkstoffe und Schweißtechnik im Kraftwerk 1989"

Zimmermann, J., siehe Schneiders, K.: H. 1, S. 66—69

Zschau, M., siehe Brühl, F.: H. 12, S. 1214—1224

Zschau, M., siehe Brühl, F.: H. 12, S. 1225—1231

Zürn, H.E.D., siehe Kautz, H.R.: H. 5, S. 537—543

Sachverzeichnis 1989

Abblaseleitung, Sicherheitsventil 69:1079

Abbrand bei unterschiedlich reaktiven Kohlen verschiedener Korngröße 69:356

ABE-Jahresbericht 1988 69:393—448

Abfallverwertung durch Erzeugung eines Brennstoffes 69:282—288

Abgasreinigung bei MVA 69:53 69:1087
— mit Aktivkoks 69:88
— Reststoffbehandlung 69:212

Abhitzekessel
— Anfahren mit Starter ohne Abgasbypass 69:1163—1166
— für Gasturbinen 69:655
— mit Leistungsfeuerung im Kombi-Prozeß 69:148—158
— Startersystem 69:1163—1166
— Trockenstart mit Startersystem 69:1163—1166

Abhitzenutzung, Teilvergasung, nachbefeuerter Prozeß 69:636

Ablagerungen im Dampferzeuger 69:1067—1074

Ableitung elektrostatischer Ladungen 69:508

Abscheidegrad von Tropfenabscheidern 69:491

Absorption tiefer Frequenzen 69:1102

Abwasseranalyse auf geringe Ölkonzentrationen 69:522—526

Adsorber 69:66

Agglomeration von Staub 69:508

Aktivkoks 69:66
— zur Rauchgasreinigung bei MVA 69:88

Altanlagen, Ersatz von 69:879

Ammoniak 69:1194 69:1200
— Spannungsrißkorrosion 69:1124—1131

Ammoniakversorgung 69:365

Ammoniakwasser 69:365 69:1194

Ammoniakzersetzung, Kalina-Prozeß 69:480

Ammoniumsulfat 69:78

Analysenautomaten zur Brennstoffuntersuchung, Berücksichtigung bei der Normung 69:608—613

Analysenverfahren zur Brennstoffuntersuchung, Automatisierung und Normung 69:608—613

Analyse von Flugstaub, einfache Selenbestimmung 69:299—301

Analyse von geringen Ölkonzentrationen in Wasser 69:522—526

Anpassung von Feuerungen an die Kohle 69:355—360

Anwärm- und Schwachlasteinrichtung 69:1074—1078
— Betriebserfahrungen 69:1074—1078
— Kosten 69:1074—1078

Anwärmkonzept, Heißdampfrohrleitungen 69:579

Arbeitsverfügbarkeit
— Ausnutzung von Kernkraftwerken 1988 69:393
— Nichtverfügbarkeit 69:393

Armaturendiagnose 69:340

Asbest, Erfassung, Bewertung, Sanierung 69:1174
— rechtliche Regelungen 69:1174

Asbestbestimmung 69:1175

Asche aus Kohlekraftwerken (CEGB)
— Einfluß auf Umwelt 69:1190
— Entsorgungsoptionen 69:1189
— Zusammensetzung 69:1189

Atomabsorptionsspektrometrie zur einfachen Selenbestimmung in Flugstaub 69:299—301

Aufbereitung von Konzentrat in einer SWR-Anlage 69:933—935

Auffangwanne 69:365

Ausbreitung von Schadstoffen 69:598

Auslaugverhalten von Reststoffen der MVA 69:212

Auslegung von ND-Beschaufelungen, Dampfturbinen 69:773

Auslegung und Anpassung von Feuerungen an die Kohle 69:355—360

Automatisierung der Brennstoffanalyse, Normung 69:608—613

Batteriespeicheranlagen, Bereitstellung von Frequenzregel- und Sofortreserveleistung 69:751—755

Bauwerkserhaltung, zerstörungsfreie Prüfverfahren 69:101

Behälter aus 11 NiMoV 5 3, Berstversuch 69:373—379

Berechnung
— Erschöpfung 69:1030—1033
— Rohrbogen 69:944—949

Berstversuche, Behälter aus 11 NiMoV 5 3 69:373—379

Beschaufelung von Dampfturbinen 69:983

Betriebserfahrungen
— mit Kernkraftwerken 1988 69:393—448
— mit naßlaufenden REA-Ventilatoren 69—265

Betriebsüberwachung, verfahrenstechnisch 69:28—32
— , zustandsorientiert 69:348

BEWAG 69:1111

BF/Uhde-Verfahren 69:66

Biegeschwingungen von Kreiselpumpenläufern 69:573

Biegewechselfestigkeit von Kondensatorrohren aus Titan 69:718—726

Brandschutz in Rauchgasentschwefelungsanlagen 69:793

Braunkohlekraftwerk 69:1018

Braunkohlenkoks (HOK) aus Rauchgasreinigungsanlagen, Verbrennung 69:199—207

Braunkohlevergasung, Kombi-Kraftwerk, Konzepte 69:659

Brenneranordnung bei verschiedenen Kohlen 69:359

Brennkammerauslegung für verschiedene Kohlen 69:357/358

Brennstoffe
— aus Abfall (Calomat) 69:282—288
— Kohlevergasung 69:44 69:363
— Wirbelfeuerungen 69:586 69:679 69:705 69:807 69:881 69:1003

Brennstoffanalyse, Normung unter Berücksichtigung automatischer Analysenverfahren 69:608—613

Brennstoffzellen
— Grundaufbau, Typen 69:559
— Konzepte für den Bau (Bundesrepublik Deutschland) 69:561
— Leistungsdichte 69:561
— Wirkungsgrad 69:561

Britische Kraftwerke, Entsorgung, Verwertung 69:1189

Bruchmechanik 69:376—379

Brüdentrennung 69:591

Bruttosozialprodukt
— vs. Primärenergieverbrauch 69:1009
— vs. Stromverbrauch 69:1009

Bypass-Schornstein, Zugspannungen im Futtermauerwerk 69:732

Ca/S-Verhältnis 69:1018

CEGB 69:596

Chlor-Schwefel-Verhältnis 69:1024

CO- und NO_x-Emission 69:591

CO_2-Problem 69:850

Dämmung von REA-Rauchgaskanälen 69:496

Dampferzeuger
— Abminderungsfaktor bei Verschmutzung 69:1067—1074
— Betriebserfahrungen mit einem 800-MW-Block 69:1—7
— Block Heyden 4 69:1—7
— Einfluß der Verschmutzung 69:1067—1074
— Form und Eigenschaften von Ablagerungen 69:1067—1074
— Instandhaltungsstrategie zur Lebensdauerverlängerung 69:873—879
— Korrosion 69:105—114
— Mahl- und Feuerungsanlage Heyden 4 69:1—7
— Manipulatoreinsatz zum Einbau von Futterrohren 69:22
— neue Kohletechnologien im Kombi-Prozeß 69:148—158
— Terminplanung für Instandsetzung 69:873—879
— Verschmutzung von Rohrbündeln 69:1067—1074
— Wärmeaustausch bei Verschmutzung 69:1067—1074
— Wasser-/Dampfsystem Heyden 4 69:1—7
— Wiederinbetriebnahme nach Instandhaltung 69:873—879

Dampferzeuger in DWR-Anlagen, Veranlassung und Möglichkeiten der Reinigung 69:227—230

Dampferzeuger mit DENOX-Anlage, Anwärm- und Schwachlasteinrichtung 69:1074—1078

Dampferzeuger mit Schmelzfeuerung, Lebensdauerverlängerung 69:873—879

Dampferzeugerheizrohrschäden 69:22

Dampfleitungen, plastische Verformung 69:32

Dampfturbinen
— Anstreifschaden 69:974
— Auslegung von ND-Beschaufelungen 69:773
— Beschaufelung 69:983
— Endoskopie 69:169
— Endschaufelreparatur 69:911
— Lebensdauerermittlung 69:979
— Körperschall- und Schwingungsanalysen 69:896
— Kondensatorrohre 69:7
— Regelungsarten 69:895
— Reparatur verkrümmter Turbinenwelle 69:907
— Revision nach 15 Jahren 69:964
— Schaden durch Thermoschock 69:907
— Schaden Irsching 69:255
— Schaufelschäden 69:972
— Sekundenleistungsreserve 69:892
— Umbau Wellendichtungen 69:1166
— Verluste in der Turbine 69:1173
— Wärmeverbrauch 69:892

Datenerfassung, Armaturendiagnose 69:340

Deacon-Reaktion 69:1024

Dehnungsmessungen von Verbindungsschrauben mit Ultraschall 69:617—625

Dehnungsmeßstreifen zur Messung von Kriechdehnungen im Betrieb bei 530 °C 69:613—617

De-Novo-Synthese 69:1024

DENOX 69:1194 69:1200

DENOX bei MVA 69:88

DENOX-Anlage, reingasseitig 69:365

Deponie von Müllverbrennungsrückständen 69:1043

Deponierung von Braunkohlenreststoffen 69:384

Desorber 69:66

Dibenzodioxine 69:1024

Dibenzofurane 69:1024

Dioxinbildung 69:795 69:1024

Dioxinreduzierung bei Abfallverbrennung 69:795

Direkte Trockenkühlung im Kraftwerk mit luftgekühlten Kondensatoren 69:15—22

Dissertationen, Kraftwerkstechnik 69:738

Druckverlust 69:1102

Druckverlust von Rostbelag und Brennstoffschicht bei Wanderrostfeuerung 69:1180

Druckwasserreaktoren
— Betrachtungen zur Senkung der Korrosionsrate im Primärkreislauf 69:527—531
— rechnergestützte Überwachung des Sekundärkreislaufes 69:1119—1123
— Reinigung von Dampferzeugern 69:227—230

DWR-Anlagen, Fluidresonanzen 69:755

EDV-Simulation 69:1200

EG-Binnenmarkt, veränderte Bedingungen für die Stromerzeuger 69:103

EG-Harmonisierung 69:288

EG-Richtlinie zur UVP 69:288

EG-Richtlinien 69:1157

Einfügungsdämpfung 69:1102

Eisensulfat, Dosierung zum Korrosionsschutz an Wärmeaustauscherrohren 69:715—718

Elektrofilter 69:802

Elektrofilterstaub, einfache Selenbestimmung 69:299—301

Emission toxischer Schwermetalle aus einer Braunkohlefeuerung 69:824—828

Emissionserklärungsverordnung 69:1024

Emissionsmessungen 69:1024

Emissionsminderung durch Feuerungsregelung bei MVA 69:998

Emissionsüberwachung bei MVA
— Aussagefähigkeit 69:708
— Betriebserfahrungen 69:190

Endoskopie an Dampfturbinen 69:169

Energiebilanz bei Klärschlammeinsatz in MVA 69:1184

Entcarbonisierung von Kühlturmzusatzwasser, Einfluß auf Korrosionsvorgänge 69:1208—1214

Entschwefelung, Restentschwefelung mit Braunkohlenkoks 69:199/200

Entschwefelungsgrad 69:1018

Entsalzungstechnik im Wärmekraftwerk 69:15—22

Entsorgung
— britische Kraftwerke 69:1189
— feste Rückstände aus Wasserreinigungsanlagen 69:605—607
— von MVA-Rückständen 69:1043

Entstaubung 69:59
— WSE-Kraftwerke 69:802

Entstickung mit Braunkohlenkoks 69:199/200

Entwässerung von Klärschlamm 69:1184

Entwicklung der CO_2-Emissionen im Bereich der öffentlichen Elektrizitätsversorgung in der Bundesrepublik Deutschland 69:1016

Entwicklung der SO_2- und NO_x-Emissionen in der Bundesrepublik Deutschland 69:1013

Entwicklung einer Pumpe mit hohem Wirkungsgrad 69:260

Erdbebenauslegung, Kernkraftwerk 69:569

Erosions- und Korrosionsabtrag an REA-Pumpen 69:269

Erschöpfung
— dickwandige Anlagenkomponenten 69:1030—1033
— 14 MoV 6 3 69:936—944

ESKOM, Lebensdauerverlängerung in Kraftwerken 69:665—668

Europäische Normen 69:1158/1159

Extensometer 69:617—625

Feinkohle, Einsatz in einer Wanderrostfeuerung 69:1178—1183

Feinkornbaustähle, Spannungsrißkorrosion 69:1124—1131

Feinkornstähle, wasserstoffinduzierte Rißbildung 69:1034—1043

Fernwärmeerzeugung mit Gasturbinen 69:649

Feststoff-Inventar von Wirbelfeuerungen 69:703 69:1003

Feuerungen 69:852
— Wirbelschichtsysteme 69:675 69:696

Feuerleistungsregelung bei MVA 69:998 69:1087

Feuerungsseitige NO_x-Minderung 69:591

Feuerungstechnische Maßnahmen 69:1200

Filter, Wirkungsgrad im Primärkreisreinigungssystem einer DWR-Schwerwasseranlage 69:301—303 69:1028—1030

Filterstäube 69:1024

Fließpunkterniedrigung durch Kalkzugabe bei Steinkohlen-Schmelzfeuerung 69:53

Flockenaustrag 69:508

Flockenbildung, Verhinderung 69:508

Flockungs-Fällungsverfahren, landwirtschaftliche Nutzung fester Rückstände 69:605—607

Flugkoksrückführung bei Wanderrostfeuerung 69:1178—1183

Flugstaubanalyse, einfache Selenbestimmung 69:299—301

Flugstromvergasung 69:39 69:360

Forschung in der Kraftwerkstechnik 69:862
— Baustoffe 69:628
— Dampferzeugertechnik 69:550

Frequenzselektives Überwachungskonzept für HKP-Wellen 69:335

Frischdampfleitungen
— Anwärmkonzept 69:579
— lebensdauerverlängernde Maßnahmen 69:763
— plastische Verformung 69:32

Fundamentverformungen, Einsatz von automatisierten Meßsystemen 69:788

Funktionsprüfung, Sicherheitsventile 69:1079

Gasturbinen
— Abhitzekessel 69:655
— Fernwärmeerzeugung 69:649

GDK-Prozeß
— Abhitzenutzung 69:636
— Gasreinigung 69:637

Gewebefilter 69:802

Glasleitschaufeln, Rauchgaskanäle 69:995

Grenzwerte 69:288 69:1064
— Chemikalien 69:1066

Großfeuerungsanlagen-Verordnung, UMK-Beschluß für NO_x-Emissionen 69:291

Großkraftwerk Mannheim, ND-Wickelmodule zur Wasseraufbereitung durch Umkehrosmose 69:930—933

GUD-Prozeß
— integrierte Kohlevergasung 69:635
— Nachschaltprozeß 69:477

Gummierungen
— naßlaufende REA-Ventilatoren, Betriebserfahrungen 69:265
— REA-Pumpen 69:269

Handelshemmnisse, technische 69:1156

Harmonisierung technischer Anforderungen in der EG 69:1156—1162

Harnstoff 69:1194 69:1200

Hauptkühlmittelpumpen
— Schwingungen 69:755
— Schwingungsüberwachung der Wellen 69:335

HD-Vorwärmer, Wärmespannungen 69:383/384 69:535/536

Heißdampfrohrleitungen, Anwärmkonzept 69:579

Heißgaselektrofilter 69:802

Heizflächenverschmutzung 69:508

Heizkraftwerk der Universität Stuttgart, Kombi-Block mit Startersystem für Abhitzekessel 69:1163—1166

Heizkraftwerke
— Einsatzweise 69:471—476
— Erzeugungskosten 69:471—476
— Heizauslegung 69:471—476
— Prozeßgestaltung bei Wärmeauskopplung 69:471—476
— Wärmeauskopplung 69:471—476

Herdofenkoks zur Rauchgasreinigung bei MVA 69:88

Hg-Abscheidung aus MVA-Rauchgas 69:88 69:1087

Hochschul-Forschung 69:550 69:628 69:735

Hochtemperatur-Gasreinigung, Kohlevergasung 69:45 69:364

Hochtemperaturkorrosion 69:105—114

Hochtemperaturreaktor, Kugelbeschickungsanlage 69:275

Hochtemperatur-Winkler-Verfahren
— kommerzielle Einführung 69:661
— Stand der Entwicklung 69:660

Hohlkammerschalldämpfer 69:1102

H_2/O_2-Dampferzeuger, Auslegungsdaten 69:643

H_2/O_2-Dampferzeugung, Dampfeinspeisung 69:644

H_2/O_2-Direktdampferzeugung, Integration in Dampfnetze 69:640

H_2/O_2-Sofortreserve-Anlage
— Marktpotential 69:647
— Wirtschaftlichkeit 69:647

Immissionsmessungen in Stuttgart 69:291

Inbetriebnahme von REA-Rauchgaskanälen 69:496

Indirekte Trockenkühlung, Kraftwerk Kendal/ZA 69:183—189

Indizien für eine Klimaänderung 69:1101

Industriefeuerungen 69:702 69:806 69:879

Inhibitor, Wirksamkeit von Methylethylketoxim als Korrosionsinhibitor 69:296—299

Inspektion von Armaturen 69:340

Instandhaltung
— Betriebserfahrungen mit naßlaufenden REA-Ventilatoren 69:265
— Endoskopie 69:169
— kriechbeanspruchte Komponenten 69:537—545
— Qualitätssicherung 69:664
— Rationalisierungsmaßnahmen 69:663
— Strategie 69:662

Instandhaltungsmaßnahmen, Armaturen 69:340

Instandhaltungsstrategie zur Lebensdauerverlängerung eines Schmelzkammerkessels 69:873—879

Kalina-Prozeß
— Ammoniakzersetzung 69:477
— Anlagenkosten 69:480
— Betriebskosten 69:480
— Wirkungsgradvergleich 69:479

Kaliumkreislauf im Zweifachdampfprozeß 69:138—147

Kaliumturbine im Zweifachdampfprozeß 69:138—147

Kaliumverdampfer im Zweifachdampfprozeß 69:138—147

Kalium-/Wasserdampfprozeß 69:138—147

Kalkrückstände aus der Wasseraufbereitung, landwirtschaftliche Nutzung 69:605—607

Kalkzugabe zur Schmelzpunkterniedrigung bei Steinkohle 69:53

Kaltstart, Heißdampfrohrleitungen 69:579

Kernenergie, ihre Perspektiven in der Bundesrepublik Deutschland 69:1152—1156

Kernkraftwerk Doel, Anwendungsbedingungen der Eisensulfatdosierung bei Brackwasserkühlung 69:715—718

Kernkraftwerk Gundremmingen, landwirtschaftliche Nutzung fester Rückstände aus der Wasseraufbereitung 69:605—607

Kernkraftwerke
— Betriebserfahrungen 1988 69:393—448
— Betrachtungen zur Senkung der Korrosionsrate im Primärkreislauf 69:527—531
— Konzentrataufbereitung in einer SWR-Anlage 69:933—935
— rechnergestützte analytische Überwachung in DWR-Anlagen 69:1119—1123
— Revisionsphilosophie 69:331
— Verhalten der Filter im Primärkreisreinigungssystem der Schwerwasseranlage Atucha I 69:301—303 69:1028—1030

Kesselbaustähle, wasserstoffinduzierte Rißbildung 69:1034—1043

Kesselspeisepumpenantrieb, Stromrichtermotor 69:669

Kesselspeisewasser
— Aufbereitung durch Umkehrosmose mit Hohlfaser- bzw. ND-Wickelmodulen 69:930—933
— Aufbereitung durch Umkehrosmose mit ND-Wickelmodulen 69:369—372

Klärschlammentwässerung 69:1184

Klärschlammverbrennung in MVA 69:1087 69:1184

Klappen für REA-Rauchgaskanäle 69:496

Klimamodelle 69:1100

Klimasystem der Erde 69:1095

Klinikmüllbehandlung 69:1087

Körperschall- und Schwingungsanalysen, Dampfturbinen 69:896

Kohlefeuerung, Verhalten von Schwermetallen in einer Braunkohlefeuerung 69:824—828

Kohlenanalytik, Normung unter Berücksichtigung automatischer Analysenverfahren 69:608—613

Kohlevergasung
— Gaserzeugung 69:636
— GSP-Verfahren 69:39
— HTV-Verfahren 69:657
— Hochtemperatur-Winkler 69:657
— KUV-Verfahren 69:360 69:635
— Wirbelschichtfeuerung im Kombi-Prozeß 69:148—158

Koksabrieb 69:66

Koksfördersystem 69:66

Kombi-Block
— Startersystem für Abhitzekessel 69:1163—1166
— Steinkohlenfeuerung, Betriebserfahrungen 69:483—490
— Steinkohlenfeuerung, Umweltschutz 69:483—490
— Verfügbarkeit 69:483—490
— Steinkohlenfeuerung, Wirkungsgrad 69:483—490

Kombi-Prozeß
— Dampferzeuger mit neuen Kohletechnologien 69:148—158
— Kraft-Wärme-Kopplung 69:148—158
— mit Wirbelfeuerung 69:635 69:659 69:679

Kompensationskonzepte für Emissionen in die Luft 69:292

Kompensationsregelung gemäß TA Luft 1986 69:291

Kompensatoren für REA-Rauchgaskanäle 69:496

Kondensatorrohre
— Dampfturbinen 69:7
— Schadensarten 69:7
— Sondermessing, Schadensfälle 69:95—99
— Titan 69:718—726

Kondensatpumpen, Service 69:343

Konditionierung von wasser-/dampfberührten Systemen mit Methylethylketoxim 69:296—299

Kontamination, Begrenzung durch Senkung der Korrosionsrate im Primärkreislauf von DWR-Anlagen 69:527—531

Konvoi-Anlagen
— bautechnischer Ausbau 69:100
— Inbetriebnahme 69:569

Konzentrataufbereitung in einer SWR-Anlage 69:933—935

Korngrößen-Haushalt von Wirbelfeuerungen 69:703 69:1003

Kornspektrum von Feinkohle 69:1182

Korrosion
— kohlebefeuerte Dampferzeuger 69:105—114
— Kondensatorrohre aus Sondermessing 69:95—99
— Kühlsysteme, Abhängigkeit vom Zusatzwasseraufbereitungsverfahren 69:1208—1214

Korrosionsbeständigkeit 69:1102

Korrosionsrate, Einfluß auf radioaktive Ablagerungen im Primärkreislauf von DWR-Anlagen 69:527—531

Korrosionsschutz an Wärmeaustauscherrohren durch Eisensulfatdosierung 69:715—718

Kraftwerk GKM, ND-Wickelmodule zur Wasseraufbereitung durch Umkehrosmose 69:930—933

Kraftwerk Herne IV, Feuerungskonzept 69:210/211

Kraftwerk Heyden 4, erste Betriebserfahrungen 69:1—7

Kraftwerk Hoechst AG, Aufbereitung von Flußwasser mittels Umkehrosmose 69:369—372

Kraftwerk Ibbenbüren 69:47—53

Kraftwerk Kendal, Trockenkühltürme 69:183—189

Kraftwerk Lausward, Verbrennung von Braunkohlenkoks aus der REA 69:199—207

Kraftwerk Leiningerwerk 69:325—330

Kraftwerk Moneypoint
— Betriebserfahrungen 69:129
— Mühlenexplosion 1987 69:136
— Wartungsmanagementsystem 69:133 69:137

Kraftwerk Voitsberg, Verhalten von Schwermetallen in einer Braunkohlefeuerung 69:824—828

Kraftwerk Werne 69:483—490

Kraftwerk Zolling, Anwärm- und Schwachlasteinrichtung 69:1074—1078

Kraftwerke, Lebensdauerverlängerung 69:537—543

Kraftwerksanlagen, lebensdauerrelevante Bauteile 69:761

Kraftwerksnebenprodukte 69:924

Kraftwerkspumpen, Lebensdauerverlängerung 69:789

Kraftwerksschornsteine, Rauchgasableitung bei REA-Ausfall 69:731

Kraftwerksturbine, Setzungsmessungen 69:787

Krebserkrankungen, Ursachen 69:1065

Kreiselpumpen in REA-Anlagen mit Innenpanzerungen 69:269

Kriechdehnungsmessung 69:613—617

Kühlsysteme
— Anwendungsbedingungen für die Eisensulfatdosierung 69:715—718
— Zusatzwasseraufbereitungsverfahren und Korrosion 69:1208—1214

Kühlturm-Zusatzwasser
— Einfluß unterschiedlicher Entcarbonisierungsverfahren auf die Korrosion 69:1208—1214
— Versorgung durch Speicherbecken 69:104

Kühlturm-Zusatzwasseraufbereitung, landwirtschaftliche Nutzung fester Rückstände 69:605—607

Kühlwasser
— gestörter Deckschichtaufbau an Kondensatorrohren 69:95—99
— Vorschau auf die neue VGB-Kühlwasserrichtlinie 69:1208—1214

Künstliche und natürliche Spurengase in der Atmosphäre 69:1098

Kulissenschalldämpfer 69:1102

Laufradauslegung für hohen Pumpenwirkungsgrad 69:260

Lebensdauer, Dampfturbinenbauteile 69:979

Lebensdauerberechnung
— Streuung der Werkstoffkenngrößen 69:762
— Unsicherheiten 69:762

Lebensdauererhaltung von Kraftwerken 69:537—543

Lebensdauerverlängerung 69:851
— dickwandige Anlagenkomponenten 69:1030—1033
— Erschöpfungsberechnung 69:763
— Instandsetzung im Hochtemperaturbereich 69:665
— Kraftwerkspumpen 69:789
— Maßnahmen 69:763
— Rohrleitungen 69:304—314 540—543
— Schmelzkammerkessel 69:873—879
— Wirtschaftlichkeitsbetrachtung 69:765 69:867—873

Leitschaufeln aus Glas, Rauchgaskanäle 69:995

Luftstufung 69:591
— NO_x-arme Feuerungsfahrweise 69:325/326

Mahl- und Feuerungsanlage, Block Heyden 4 69:1—7

Mahlfeinheit, Verbesserung für NO_x-arme Feuerungsfahrweise 69:327

Mahlsystem für niederflüchtige Steinkohle 69:50/51

Mauerwerksschornsteine, Verstärkung durch Bandagierung 69:732/733

Membran-Absorber 69:1102

Membranverfahren zur Wasseraufbereitung
— Umkehrosmose mit Hohlfaser- bzw. Wickelmodulen 69:930—933
— Umkehrosmose mit ND-Wickelmodulen 69:369—372

Messing, gestörter Deckschichtaufbau an Kondensatorrohren 69:95—99

Meßsysteme zur Emissionsüberwachung bei MVA 69:190

Metallurgische Eigenschaften X 20 CrMoV 12 1 69:817—824

Methylethylketoxim zur Sauerstoffbindung und Metallpassivierung 69:296—299

Modellkraftwerk Völklingen, Einsatz von Brennstoff aus Abfall, kombiniert mit Steinkohle 69:282—288

Modelluntersuchungen für hohen Pumpenwirkungsgrad 69:260

Montage und Service bei Kraftwerkspumpen 69:343

Montage von REA-Rauchgaskanälen 69:496

Müllheizkraftwerk Coburg 69:1087

Müllverbrennung
— Dioxinreduzierung 69:795
— Entsorgung der Rückstände 69:1043
— Feuerleistungsregelung 69:998
— Meßtechnik 69:190 69:708
— Verfahren zur Abgasreinigung 69:53

Müllverbrennungsasche 69:1043 69:1132
— Anforderungen 69:1043

Müllverbrennungsflugaschen, Verfestigung mit Zement 69:1132

Nachrüstmaßnahmen an Speisepumpen 69:174

Naßelektrofilter 69:1087

Natürlicher und anthropogen verursachter Treibhauseffekt 69:1095

Nebenprodukte, Anfall beim CEGB 69:1189
— Entsorgung, kommerziell 69:1192
— Entsorgung, nicht kommerziell 69:1193

Netzfrequenzregelung, H_2/O_2-Sofortreserve 69:642

Neue Kraftwerkskonzepte 69:1016

Nichtrostende Stähle für Kondensatorrohre 69:7

Niederdruck-Wickelmodule zur Wasseraufbereitung durch Umkehrosmose 69:369—372 69:930—933

Niederflüchtige Steinkohle, Schmelzfeuerung, 770-MW-Block Ibbenbüren 69:47—53

Normen für die Brennstoffuntersuchung unter Berücksichtigung automatischer Analysenverfahren 69:608—613

NO_x-armes Feuerungskonzept 69:325—330

NO_x-Bildung und Unverbranntes 69:328 69:359

NO_x-Minderung 69:591 69:1194 69:1200
— Aktivkohle 69:88
— Beitrag durch Brennstoffaufbereitung 69:207—211
— Schmelzfeuerung für niederflüchtige Steinkohle 69:52

NO_2-Emissionskonzentrationen 69:292

N_2O-Bildung 69:1194

Öffentlichkeitsbeteiligung 69:288

Öl, Nachweis geringer Mengen in Wasser 69:522—526

Osmose, umgekehrte
— Erfahrungen mit Hohlfaser- und mit ND-Wickelmodulen 69:930—933
— mit ND-Wickelmodulen zur Speisewasseraufbereitung 69:369—372

Ovalrippenrohre für Trockenkühltürme 69:183—189

Passivierung von Rohren aus Kupferlegierungen durch Eisensulfatdosierung 69:715—718

Perspektiven der Kernenergie in der Bundesrepublik Deutschland 69:1152—1156

Photovoltaische Kraftwerke 69:247

Polarisationswiderstand, Messung an kühlwasserberührten Wärmeaustauscherrohren 69:715—718

Potentialmessungen an kühlwasserberührten Wärmeaustauscherrohren 69:715—718

Primärenergieeinsatz zur Stromerzeugung seit 1960 69:1011

Primärmaßnahmen 69:1194

Primärkühlmittelreinigung, Wirkungsgrad der Filter im Reinigungssystem 69:301—303 69:1028—1030

Probenahme
— Dioxin 69:795 69:1024
— Schwermetallbilanzierung an einer Braunkohlefeuerung 69:824—828

Prozeßkommunikation, zukunftsweisende 69:562—569

Pumpen
— Biegeschwingen der Welle 69:573
— Innenpanzerungen in REA-Anlagen 69:269
— Montage und Service 69:343
— Schwingungsüberwachung der Wellen von HKP 69:335

Pumpendiagnosesystem 69:789

Pumpenentwicklung für hohen Wirkungsgrad 69:260

Quellen und Senken der Treibhausgase 69:1099

Radioaktive Abgaben der Kernkraftwerke 1988 69:394

Radioaktivität
— Baumaterialien 69:1115
— Gips und Kalk 69:1116
— REA-Gips 69:1114

Radioaktivitätsbilanz einer Rauchgaswäsche 69:1116

Rahmenbedingungen, technische, für Kraftwerke nach 1992 69:1156—1162

Rauchgasentschwefelung 69:59 69:70 69:1018 69:1111
— Absperrarmaturen 69:167
— Anlage 69:60
— Beschichtung 69:62
— Betriebserfahrungen 69:61 69:165—169 69:1112
— Betriebsstörungen 69:165
— Brandschutzmaßnahmen 69:793
— Chlorideindickung 69:72
— Elektronenstrahlverfahren 69:223
— Gefahrenpotential 69:793
— Gipsbildung 69:71 69:1114
— Instandhaltungserfahrung 69:917
— Kalksilo 69:62
— Kosten 69:604
— NO_x-Abscheidung 69:74 69:220
— Schlauchfilter 69:63
— Simultanverfahren 69:66
— Staubabscheidung 69:60 69:1114
— Tropfenabscheider 69:167 69:491
— Verfahren 69:59 69:70 69:220 69:1111
— Werkstoffauswahl 69:166
— Wirkungsgrad 69:71 69:1113

Rauchgaskanäle
— Glasleitschaufeln 69:995
— REA-Nachrüstung 69:496
— Schäden an der Beschichtung 69:921
— Werkstoffauswahl 69:622

Rauchgaskühler 69:66

Rauchgasreinigung
— siehe auch Entstaubung
— siehe auch Rauchgasentschwefelung
— mit Braunkohlenkoks 69:199—207
— Kosten 69:223
— simultan 69:220

Rauchgasreinigung bei MVA 69:53 69:1087
— Aktivkoks 69:88
— Reststoffbehandlung 69:212

Rauchgasrückführung 69:591

Rauchgasrückführung bei Wanderrostfeuerung 69:1178—1183

Rauchgaswäscher mit Tropfenabscheidern 69:491

Rauchgaswiederaufheizung 69:1087

Rauchrohrkessel, Wärmespannungen 69:380—382 69:532—534

REA
— Gasvorwärmer, Betriebserfahrungen 69:923
— Optimierungsmaßnahmen 69:923
— Wäscherpumpen, Verschleiß 69:920
— Wäscherschäden 69:918

REA-Abwasser 69:384

REA-Gips 69:78 69:384
— Anforderungen 69:384
— Radioaktivität 69:1114

REA-Pumpen mit Innenpanzerungen 69:269

REA-Salze aus der Müllverbrennung 69:1132

REA-Ventilatoren, naßlaufend, Instandhaltung und Betriebserfahrungen 69:265

Reaktionszeit verschiedener Steinkohlen 69:48

Reflexionsmessung zum kontinuierlichen Nachweis geringer Ölkonzentrationen in Wasser 69:522—526

Regelungsarten, Dampfturbinen 69:895

Regenerative Energiequellen 69:1016

Reibungskraft, Sicherheitsventile 69:1079

Reinigung von Dampferzeugern in DWR-Anlagen 69:227—230

Rektifikationskolonne 69:365

Reparatur einer verkrümmten Dampfturbinenwelle 69:907

Reparatur von Dampfturbinen-Endschaufeln 69:911

Restbeladung bei Tropfenabscheidern 69:491

Revision einer Dampfturbine nach 15 Jahren 69:964

Revisionsbefund an einer Dampfturbine nach 15 Jahren 69:970

Revisionsplanung, Bereich CEGB 69:662

Revisionssystem, EDV-Steuerung 69:331

Reststoffe aus Braunkohlenkraftwerken 69:384
— Anfallmengen 69:384
— Auslaugung des Stabilisats 69:384
— Deponierung 69:384
— Reaktionen im System Asche-Gips-REA-Wasser 69:384
— Stabilisierung 69:384
— Zusammensetzung 69:384

Reststoffe aus Kohlekraftwerken 69:78 69:315 69:384 69:829 69:861 69:924
— Anfall und Verwertung in Baden-Württemberg 69:78

Reststoffe aus der thermischen Abfallverwertung 69:212 69:504 69:1043 69:1132
— Auslaugung 69:212 69:504
— Grundwasserbeeinflussung 69:504
— Verwertung und Behandlung 69:212

Ringversuche zur Brennstoffuntersuchung mit Analysenautomaten 69:608—613

Rißbildung
— Speisewasserentgaser 69:726—730
— wasserstoffinduziert 69:1034—1043

Rißwachstumsverhalten X 20 CrMoV 12 1 69:821—824

Rohrböden, Wärmespannungen 69:379—384 69:531—536

Rohrbogen, Berechnung 69:944—949

Rohrbogen aus 14 MoV 6 3, Zeitstandschädigung 69:936—944

Rohrhalterungen 69:986

Rohrkugelmühlen 69:210/211

Rohrleitungen
— Anwärmkonzept bei Heißdampf 69:579
— innengummiert 69:166
— Kriechdehnungsmessungen 69:615—617
— Lebensdauerverlängerung 69:304—314
— plastische Verformung der Frischdampfleitungen 69:32
— Viskosemedium 69:986
— Werkstoff X 20 CrMoV 12 1 69:817—824

Roststabformen bei Wanderrostfeuerungen für Feinkohle 69:1180/1181

Rußblasen, Einfluß auf Dioxinbildung 69:795

Sanierungsklausel gemäß TA Luft 1986 69:291

Satellitengestützte Vermessung (GPS), Meßprinzipien 69:627

Sauerstoff, Bindung mit Methylethylketoxim 69:296—299

Sekundärkreislauf
— Reinigung von Dampferzeugern in DWR-Anlagen 69:227—230
— rechnergestützte Überwachung in DWR-Anlagen 69:1119—1123

Sekundenleistungsreserve, Dampfturbinen 69:892

Selen, Bestimmung in Flugstaub mit Hydridtechnik-AAS 69:299—301

Service und Montage bei Kraftwerkspumpen 69:343

Sicherheitseinrichtungen gegen Drucküberschreitung 69:1079

Sicherheitskette für Dampfkessel in der Bundesrepublik Deutschland 69:1159/1160

Sicherheitsventile 69:1079

Sichterbauarten 69:208—210 69:326—330

Siedewasserreaktoren, Konzentrataufbereitung 69:933—935

SNCR mit Harnstoff 69:1194 69:1200

SNCR mit NH_3 69:1194 69:1200

SNCR-Elementarschritte 69:1200

SNCR-Temperaturfenster 69:1200

Solarthermische Kraftwerke 69:245
— PHOEBUS 69:251

Solarwasserstoff-Technologie 69:248
— Stand der Technik 69:247
— Wirkungsgrad 69:250

Spaltgaskühler, Wärmespannungen 69:382/383 69:534/535

Spannungsimpulstechnik 69:802

Spannungsrißkorrosion, Ammoniak 69:1124—1131

Speisepumpen
— Diagnosesystem 69:789
— Lebensdauerverlängerung 69:789
— Service 69:343
— Verfügbarkeit und Nachrüstmaßnahmen 69:174

Speisepumpenantrieb, Stromrichtermotor 69:669

Speisewasser, Konditionierung mit Methylethylketoxim 69:296—299

Speisewasserentgaser, Rißbildung 69:726—730

SPN-Detektoren 69:755

Sprühabsorptionsprodukt 69:78

Spurenelemente, Bilanzierung an einer Braunkohlefeuerung 69:824—828

Synchronmotor, Speisepumpenantrieb 69:669

Schaden durch Anstreifen in einer Dampfturbine 69:974
— Dampfturbine Irsching 69:255
— Rohrleitungen durch plastische Verformung 69:32
— Thermoschock, Dampfturbine 69:907

Schallabsorber in Rauchgasreinigungsanlagen 69:1102

Schaufeln von Dampfturbinen, Auslegung 69:773

Schaufelreparatur durch Schweißen, Dampfturbinen 69:911

Schaufelschäden an einer Dampfturbine 69:972 69:974

Schließdruckdifferenz, Sicherheitsventile 69:1079

Schmelzfeuerung, 770-MW-Block Ibbenbüren 69:47—53

Schmelzfeuerungen, NO_x-Werte 69:211

Schmelzkammerkessel, Lebensdauerverländerung 69:873—879

Schornsteine, Vorspannung der Futterröhre 69:733

Schrauben, Dehnungsmessungen 69:617—625

Schutzschicht
— Kondensatorrohre, gestörter Aufbau 69:95—99
— optimierter Aufbau zur Senkung der Korrosionsrate im DWR-Primärkreislauf 69:527—531

Schwefelsäureanlage 69:66

Schwermetalle, Verhalten in einer Braunkohlefeuerung 69:824—828

Schwermetallabscheidung aus MVA-Rauchgas 69:88 69:1087

Schwermetallgehalte in Klärschlamm 69:1184

Schwerwasserreaktor, Wirkungsgrad der Filter im Primärkreisreinigungssystem 69:301—303 69:1028—1030

Schwingfestigkeits-Kennwerte von Kondensatorrohren 69:718—726

Schwingungen an Rohrleitungssystemen, Vermeidung und Beseitigung 69:304—314

Schwingungen von Pumpenläufern 69:573

Schwingungsanalysen, Dampfturbinen 69:896

Schwingungsdämpfer, Viskosemedium 69:986

Schwingungsüberwachung
— Kernkraftwerkskomponenten 69:755
— Pumpen 69:354
— Turbine 69:354
— Wellen von Hauptkühlmittelpumpen 69:335

Stabilitätsberechnungen Pumpenwellen 69:573

Stadtwerke Bielefeld 69:59

Startersystem für Abhitzekessel mit Zwangdurchlauf 69:1163—1166

Staubwiderstand 69:802

Steinkohlenflugasche 69:78 69:314 69:829
— Anforderungen an Betonzusatzstoff 69:829
— Anrechenbarkeit 69:829
— ausländische Normen 69:829
— Einsatz im Straßen- und Betonbau 69:102
— puzzolanische Reaktion 69:314
— Reaktionsprodukte 69:314

Steinkohlenstaubfeuerung, Auslegung und Anpassung an die Kohle 69:355—360

Störungsursachen, Armaturendiagnose 69:340

Stoffströme in der MVA 69:212

Stoßbremsen, Rohrleitungen 69:986

Streulichtmessung zum kontinuierlichen Nachweis geringer Ölkonzentrationen in Wasser 69:522—526

Stripperanlage 69:365

Strömungsgeräusch 69:1102

Strömungsoptimierung, Rauchgaskanäle 69:995

Stromrichtermotor für Speisepumpe 69:669

Stromverbrauch pro Kopf in der Bundesrepublik Deutschland seit 1955 69:1010

Strom- und Brennstoffverbrauch in der Bundesrepublik Deutschland seit 1955 69:1010

Tankwagen 69:365

TAV-Flugasche 69:78

Technische Rahmenbedingungen für Kraftwerke nach 1992 69:1156—1162

Teillastbetrieb 69:1018

Temperaturverlauf in Heißdampfrohrleitungen 69:32

Thermische Abfallverwertung 69:212
— Rauchgasreinigung 69:212
— Reststoffe 69:212
— Schadstoffe im Rohgas 69:212

Thoriumhochtemperaturreaktor
— Betriebserfahrungen 69:158
— Kugelfließverhalten im Kern 69:158
— Strahlenexposition des Personals 69:158

Tischfundament, Ausrichtungszustand 69:782

Titan für Kondensatorrohre 69:7

Treibhauseffekt 69:603

Trocken-Additiv-Verfahren (TAV) bei Wanderrostfeuerung 69:1178—1183

Trocken- anstatt Naßentaschung zur Senkung des Wasserverbrauchs 69:15—22

Trockenfeuerungen, NO_x-Werte 69:211

des Wärmeverbrauchs 69:15—22

Trockenkühltürme
— indirektes Trockenkühlsystem 69:183—189
— Kraftwerk Kendal 69:183—189
— Optimierung der Auslegung 69:183—189
— Planung und Bau 69:183—189
— Reinigungsmethode 69:158

Trockenkühlung, direkt und indirekt zur Minimierung

Tropfenabscheider (REA) 69:491
— Abscheidegrad 69:491
— Meßverfahren 69:492
— Trenngrad 69:491

Turbine
— Druckluftsystem zum Abkühlen 69:131
— Niederfrequenzfundament 69:130
— Umbau zur Wärmeauskopplung 69:767

Turbinenbetrieb, Überwachung von Turbosatzfundamenten 69:781

Turbinenfundament, Meßwertaufnehmergruppen 69:787

Turbinenmeßprogramm, mobile und permanent installierte Meßsysteme 69:782

Turbosatz, Ausrichtung des Wellenstranges 69:781

Turbosatzfundament, reversible und nicht reversible Veränderungen 69:781

Tyristormodule, Speisepumpenantrieb 69:669

Überströmventile 69:1079

Überwachung
— chemischer Parameter im Sekundärkreislauf von DWR-Anlagen mittels Rechner 69:1119—1123
— von Wasser auf geringe Ölmengen 69:522—526

Ultraschalldehnungsmessung von Verbindungsschrauben 69:617—625

Umbau einer Wanderrostfeuerung für den Einsatz von Feinkohle 69:1178—1180

Umkehrosmose
— Erfahrungen mit Hohlfaser- und mit ND-Wickelmodulen 69:930—933
— mit ND-Wickelmodulen zur Speisewasseraufbereitung 69:369—372

Umwälzpumpen für Heißwasser, Service 69:343

Umweltregelungen, Setzen von Prioritäten 69:1066

Umweltschutz 69:596
— Kombi-Block mit Steinkohlenfeuerung 69:483—490
— Kompetenzen 69:1066
— unangemessene Lösungen 69:1064
— Verhältnismäßigkeit 69:1064

Umweltschutzanforderungen am Beispiel der Großfeuerungsanlagen in der Bundesrepublik Deutschland 69:1160—1162

Umweltverträglichkeitsprüfung (UVP) 69:288 69:854

UVP-Gesetz, Regierungsentwurf 69:288

Unsicherheiten der angenommenen Klimaänderung 69:1102

Unverbranntes bei NO_x-Minderung durch Primärmaßnahmen 69:359

Ventilatoren, naßlaufend, für REA, Betriebserfahrungen 69:265

Verbrennungsforschung 69:854

Verbrennungsrückstände
— Kohlevergasung 69:363
— Krongrößenhaushalt 69:680 69:703 69:1003
— Wirbelfeuerungen 69:809 69:883 69:924 69:1003
— Verwertung 69:924

Verbrennungsverhalten von Kohle 69:355/356

Verbrennungsversuche für Braunkohlenkoks 69:204—206

Verfügbarkeit
— Arbeits-, Zeitverfügbarkeit von Kernkraftwerken 1988 69:393
— Kombi-Block mit Steinkohlenfeuerung 69:483—490
— Nachrüstmaßnahmen an Speisepumpen 69:174
— Speisepumpen 69:789
— Stromrichtermotor 69:669

Vergasung, siehe Kohlevergasung

Verlängerung der Lebensdauer von Wärmekraftwerken, Wirtschaftlichkeit 69:867—873

Verlagerungsmessungen an Rohrleitungen 69:32

Vermessung
— Beobachtungstechniken bei fehlenden topographischen Sichtverbindungen 69:625
— Positionsbestimmung mit Satellitenverfahren 69:625
— satellitengestützt (GPS), Meßprinzipien 69:627
— Satellitenunterstützung bei großräumigen Projekten 69:100

Verschmutzung von Dampferzeuger-Rohrbündeln 69:1067—1074

Verwertung
— Entsorgung britischer Kraftwerke 69:1189
— Müllverbrennungsrückstände 69:1043

Verwertungskonzepte für Reststoffe aus Kohlekraftwerken 69:858 69:1014

VGB-Forschungsprogramm 69:863
— Veröffentlichungen 69:314 69:335 69:1024 69:1034

VGB-FORSCHUNGSSTIFTUNG 69:862

VGB-Kongreß „Kraftwerke 1989" 69:1054

VGB-Kühlwasserrichtlinie, Vorschau 69:1208—1214

VGB-Schrifttum 69:866/867

VGB-Tätigkeit 1988/89, Kurzbericht 69:847—867

Viskosedämpfer, Schwingungen 69:986

Wärmeauskopplung
— Blockregelung 69:770
— Heizkraftwerke 69:471—476
— Wärmetauscher 69:770

Wärmeaustausch bei Verschmutzungen im Dampferzeuger 69:1067—1074

Wärmeaustauscherrohre aus Kupferlegierungen, Eisensulfatdosierung 69:715—718

Wärmekraftwerke
— Minimierung des Wasserverbrauchs 69:15—22
— Wirtschaftlichkeit ihrer Lebensdauerverlängerung 69:867—873

Wärmespannungen in Rohrböden 69:379—384 69:531—536

Wärmetauscher
— Rohre aus Titan 69:718—726
— Wärmespannungen in Rohrböden 69:379—384 69:531—536

Wärmeverbrauch
— Dampfturbinen 69:892
— Kraftwerke seit 1900 69:1012

Waldschäden 69:601

Walzenschüsselmühlen mit verschiedenen Sichterbauarten 69:208—210 69:326—330

Wanderrostfeuerung für Feinkohle, Versuchsergebnisse 69:1178—1183

WANO, Gründungsversammlung 69:849

Warmstart, Heißdampfrohrleitungen 69:579

Wasser, Nachweis geringer Öllkonzentrationen 69:522—526

Wasseraufbereitung
— landwirtschaftliche Nutzung fester Rückstände 69:605—607
— umgekehrte Osmose mit Hohlfaser- bzw. ND-Wickelmodulen 69:930—933
— umgekehrte Osmose mit ND-Wickelmodulen 69:369—372

Wasser-Dampfkreislauf
— Block Heyden 4 69:1—7
— Konditionierung mit Methylethylketoxim 69:296—299
— rechnergestützte Überwachung chemischer Parameter in DWR-Anlagen 69:1119—1123

Wassersparmethode für Wärmekraftwerke 69:15—22

Wasserstoffinduzierte Rißbildung, Feinkorn- und Kesselbaustähle 69:1034—1043

Wasserstoff-/Sauerstoff-Sofortreserve 69:254

Wasserverbrauch, Minimierung im Wärmekraftwerk 69:15—22

Wellendichtungen, Umbau von radialer auf axiale Bauart 69:1166

Welleninspektion, Schwingungsüberwachung bei HKP in DWR 69:335

Wellenschwingungen
— Dampfturbinen 69:969
— Pumpenläufer 69:573

Weltenergiekongreß 1989
— Kurzbericht 69:959
— Schlußfolgerungen 69:960—963

Werkstoff 10 CrMo 9 10 69:615

Werkstoff 11 NiMoV 5 3 69:373—379

Werkstoff 13 CrMo 4 4 69:615/616

Werkstoff 14 MoV 6 3 69:616 69:936—944

Werkstoff 15 NiCuMoNb 5 69:1034—1043

Werkstoff Incoclad 671/Incoloy 800 69:105—114

Werkstoff StE 460 69:1034—1043

Werkstoff Titan 69:718—726

Werkstoff Welmonil 43 69:373—379

Werkstoff X 10 CrMoVNb 9 1 69:1225—1231

Werkstoff X 20 CrMoV 12 1 69:105—114 69:817—824 69:1034—1043

Wiederaufheizung von Rauchgas 69:1087

Windatlas, Energieerzeugungsprognosen 69:545

Windenergienutzung, topographische und meteorologische Einflußfaktoren 69:544

Windkraftanlagen, maschinentechnische Komponenten 69:545

Windkraftanwendung, Wirtschaftlichkeit — Umweltverträglichkeit 69:547

Windmühlen, betriebliche Zuverlässigkeit und Betriebsbedingungen 69:545

Wirbelfeuerung, siehe Wirbelschichtfeuerung

Wirbelschichtfeuerung 69:675
— Anlage Bayer, Leverkusen 69:702 69:879
— Anlage Lenzing 69:806
— Anlage Römerbrücke, Saarbrücken 69:584
— mit Kohlevergasung im Kombi-Prozeß 69:148—158
— tabellarische Übersicht 69:696

Wirbelschichtfeuerungsasche 69:78 69:924
— Betonzuschlag 69:924
— Eigenschaften 69:924

Wirbelschichtfeuerungsauslegung
— Betriebsverhalten 69:689
— Emissionen 69:589 69:693
— Filter 69:802
— Strömungstechnik 69:675
— thermodynamische Schaltungen 69:678
— Temperaturen 69:681
— Verweilzeiten 69:683
— Wärme- und Stofftransport 69:676

Wirbelfeuerungstechnik 69:852/853

Wirbelstufenbrenner für NO_x-arme Feuerungsfahrweise 69:325—328

Wirkungsgrad
— Gasturbinen, Dampfturbinen, Kohlevergasung 69:46 69:639 69:659
— Kombi-Block mit Steinkohlenfeuerung 69:483—490
— Pumpenentwicklung 69:260

Wirtschaftlichkeit der Lebensdauerverlängerung von Wärmekraftwerken 69:867—873

Zeitstandermüdung, Dampferzeuger, Hauptkomponenten 69:665

Zeitstandschädigung 14 MoV 6 3 69:936—944

Zeitverfügbarkeit
— Ausnutzung von Kernkraftwerken 1988 69:393
— Rauchgasentschwefelung 69:169

Zentrale Melde- und Auswertestelle (ZMA) 69:852

Zirkulierende Wirbelschicht 69:1018

Zündtemperatur verschiedener Steinkohlen 69:48

Zündwilligkeit von Kohlen 69:356

Zündzeit von Kohlen 69:356

Zustandsüberwachungssystem
— Amortisation 69:349
— Anwendungsbeispiele 69:350
— Datenauswertung 69:351
— Funktionsweise 69:349

Zuverlässigkeit von Speisepumpen 69:174

Zweifachdampfprozeß
— Gesamtkreislauf 69:138—147
— Kalium/Wasserdampf 69:138—147
— Kaliumkreislauf 69:138—147
— Kaliumturbine 69:138—147
— Kaliumverdampfer 69:138—147
— Wirtschaftlichkeit 69:138—147

Zweiphasenströmung bei Tropfenabscheidern 69:491

Persönliches

Abel, Gerhart, 65 Jahre H. 12, S. 1245
Agrenius, Bertil, in den VGB-Vorstand gewählt H. 10, S. 1052
Angenend, Franz-Josef, 60 Jahre H. 7, S. 741
Bambauer, Hans Ulrich, Océ-van der Grinten Preis H. 6, S. 631
Beer, Oskar, Nachfolger von Hans Märzendorfer H. 1, S. 118
vom Berg, Wolfgang, Leiter der neuen VGB-Hauptabteilung „Verwertung und Entsorgung" H. 1, S. 119
Bers, Konstantin, 60 Jahre H. 1, S. 118
Boddenberg, Gerd, 50 Jahre H. 7, S. 741
Bohnsack, Gerhard, 65 Jahre H. 2, S. 236
Bürger, Richard, 60 Jahre H. 1, S. 118
Capitaine, Detlef, gestorben H. 11, S. 1144
Distler, Klaus, 50 Jahre H. 3, S. 321
Ewaldsen, Hans L., Ehrendoktor der Universität Essen H. 2, S. 237
Fabian, Hans-Ulrich, im PeussenElektra-Vorstand H. 5, S. 554
Gebhard, Georg, Océ-van der Grinten Preis H. 6, S. 631
Gerner, Willi, aus dem EWAG-Vorstand ausgeschieden H. 6, S. 631
Gieske, Friedhelm, Vorsitzender des RWE-Vorstandes H. 4, S. 450
Gliem, Ralf, Vorsitzender des Vorstandes der Leybold AG H. 11, S. 1145
Greiner, Günter, 65 Jahre H. 3, S. 321
Griepentrog, Hartmut, neuer Geschäftsführer beim RWTÜV H. 1, S. 119
Grieshaber, Bruno, 70 Jahre H. 10, S. 1051
Günther, Rudolf, gestorben H. 7, S. 741
Gutjahr, Josef, im STEWEAG-Vorstand H. 1, S. 118
Haager, Karl-Heinz, 80 Jahre H. 5, S. 554
Häfele, Carl-Heinz, 75 Jahre H. 12, S. 1245
Häfele, Wolf, in sowjetische Akademie gewählt H. 1, S. 119
Hagenbruch, Detlef, Leiter des Gesamtvertriebs bei Munters H. 3, S. 321
Hauff, Alfred, aus dem Leybold-Vorstand ausgeschieden H. 11, S. 1145
Heine, Klaus-Henning, 60 Jahre H. 7, S. 741
Heinrich, Franz, Heinrich-Mandel-Preis 1989 H. 11, S. 1059
Henseler, Hilger, Franz-Weber-Preis 1989 H. 8, S. 835
Hirschfelder, Günter, 60 Jahre H. 11, S. 1144
Hlubek, Werner, Aufsichtsratsvorsitzender von WANO (Paris) H. 1, S. 119
Hlubek, Werner, zum Vorstandsmitglied des RWE bestellt H. 3, S. 321
Hlubek, Werner, zum Professor ernannt H. 8, S. 835
Hlubek, Werner, in den VGB-Vorstand gewählt H. 10, S. 1052
Hochmüller, Kurt, 65 Jahre H. 7, S. 741
Hoffmann, Hartmut, im Ruhestand H. 1, S. 118
Holzapfel, Thomas, Océ-van der Grinten Preis H. 6, S. 631
Holzer, Jochen, Vorstandsvorsitzender des Bayernwerks H. 4, S. 450
Janitschek, Friedrich, 60 Jahre H. 3, S. 321
Jelgersma, J.H.N., 60 Jahre H. 2, S. 237
Johnson, Dag G., 80 Jahre H. 7, S. 741
Kaes, Heinz, 65 Jahre H. 3, S. 321
Kahlert, Werner, 65 Jahre H. 3, S. 321
Keysselitz, Joachim, 50 Jahre H. 6, S. 631
Klätte, Günther, 30 Jahre beim RWE H. 7, S. 741
Knizia, Klaus, Vorstandsvorsitzender der VGB H. 10, S. 1052
Koch, Hans, 70 Jahre H. 11, S. 1144
Koch, Peter, in den VGB-Vorstand gewählt H. 10, S. 1052
Köhle, Herbert, 80 Jahre H. 2, S. 236
Köhle, Herbert, gestorben H. 10, S. 1051
Köhler, Joachim, Hauptgeschäftsführer des Unternehmensverbandes Saarbergbau H. 2, S. 237
Konrath, Werner, Geschäftsführer des Unternehmensverbandes Saarbergbau H. 2, S. 237
Kretzer, Richard, 65 Jahre H. 2, S. 236
Kußmaul, Karl, Doktor der technischen Wissenschaften Ehrenhalber H. 6, S. 631
Lambrecht, Dietrich, erhielt Nikola-Tesla-Preis H. 3, S. 321
Leibfried, Werner, 60 Jahre H. 7, S. 741
Linde, Jürgen, Geschäftsführer des Entsorgungsverbandes Nordrhein-Westfalen H. 11, S. 1145
Loew, Heinz, im Ruhestand H. 7, S. 741
Loew, Heinz, Silberne VGB-Ehrennadel H. 7, S. 741
Ludewig, Max, im Ruhestand H. 10, S. 1051
Märzendorfer, Hans, im Ruhestand H. 1, S. 118
Marx, Peter, 60 Jahre H. 5, S. 554
Mayr, Fritz, im Ruhestand H. 2, S. 237
Müller, Karlheinz, gestorben H. 1, S. 118
Müller, Leonhard, 60 Jahre H. 3, S. 321
Munters, Carl, gestorben H. 6, S. 631
Olejnik, Rainer, Geschäftsführer des Bundesverbandes der Gips- und Gipsbauplattenindustrie H. 11, S. 1144
Oschatz, Werner, gestorben H. 1, S. 118
Petrak, Peter, stellvertretendes Vorstandsmitglied der Kraftanlagen Heidelberg H. 7, S. 742
Pfenninger, Hans, gestorben H. 7, S. 741
Pich, Rudolf, im Ruhestand H. 7, S. 742
Pöppel, Joachim, 60 Jahre H. 11, S. 1144
Pruschek, Rudolf, 60 Jahre H. 11, S. 1144
Puhr-Westerheide, Hans, gestorben H. 2, S. 236
Quack, Rudolf, Bundesverdienstkreuz 1. Klasse H. 3, S. 321
Quack, Rudolf, 80 Jahre H. 7, S. 741
Reidick, Heinz, Franz-Weber-Preis 1989 H. 8, S. 835
Reinshagen, Karl, im Ruhestand H. 4, S. 450
Reintges, Heinz, 75 Jahre H. 6, S. 631
Reiß, Erich, 25 Jahre im Dienst H. 12, S. 1245
Röhr, Sigmar, Nachfolger von Fritz Mayr H. 2, S. 237
Schaal, Gerd E., Leiter des Geschäftsbereiches Technik bei LTG H. 1, S. 119
Schenck, Karlheinz, 50 Jahre H. 6, S. 631
Schiele, Otto H., Bundesverdienstkreuz H. 7, S. 742
Schlachter, Hans, 65 Jahre H. 5, S. 554
Schlegel, Gerhard, 50 Jahre H. 12, S. 1245
Schulten, Rudolf, Großes Bundesverdienstkreuz H. 7, S. 742
Schumacher, Adolf, 25jähriges Dienstjubiläum H. 6, S. 631
Schwab, Adolf Josef, neuer Leiter des ABB Forschungszentrums Heidelberg H. 11, S. 1145
Sklorz, Hansjürgen, 60 Jahre H. 7, S. 741
Smit, Gjald, aus Leybold-Vorstand ausgeschieden H. 11,S. 1145

Sossenheimer, Heinz, 65 Jahre H. 11, S. 1144
Spalthoff, Franz Josef, im Ruhestand H. 4, S. 450
Spalthoff, Franz Josef, aus dem VGB-Vorstand ausgeschieden H. 10, S. 1052
Spalthoff, Franz Josef, Guilleaume-Gedenkmünze H. 11, S. 1053
Spliethoff, Heinz, zum Honorar-Professor ernannt H. 11, S. 1145
Spönemann, Kurt, aus Saarberg-Vorstand ausgeschieden H. 2, S. 237
Stellbrink, Bernhard, 60 Jahre H. 5, S. 554
Strenger, Hermann J., 40 Jahre bei Bayer H. 4, S. 450
Tauber, Clemens, Heinrich-Mandel-Preis 1989 H. 11, S. 1059
Thoenes, Hans Willi, im Ruhestand H. 1, S. 119
Thorn, Matthias, im Ruhestand H. 10, S. 1051
Traßl, Werner, im Ruhestand H. 10, S. 1051
Veser, Kurt, stellvertretendes Vorstandsmitglied der Kraftanlagen Heidelberg H. 7, S. 742
Vetter, Heinz, 65 Jahre H. 8, S. 835
Volkart, Karlheinz, als Geschäftsführer ausgeschieden H. 11, S. 1144
Weinländer, Walter, Vorsitzender der Kerntechnischen Gesellschaft e.V. H. 6, S. 631
Werner, Dietmar, in den VGB-Vorstand gewählt H. 10, S. 1052
Winkens, Hans Peter, im Ruhestand H. 3, S. 321
Winter, Hansgeorg, gestorben H. 3, S. 321
Wutschig, Roland, weiterhin Vorsitzender der TÜV-Leitstelle Kerntechnik H. 12, S. 1245
Zaoralek, Johann, 80 Jahre H. 3, S. 321

Buchbesprechungen

AD-Merkblättermit TRB der Reihe 500 Taschenbuchausgabe 1986 H. 3, S. 323
Aushangpflichtige Schutzgesetze H. 2, S. 241
Dampferzeugerpraxis — Grundlagen und Betrieb H. 6, S. 634
Dampf- und Gasturbinen H. 3, S. 322
Dictonary „Welding, Cutting and Allied Processes" (Englisch/Deutsch) H. 2, S. 241
Die Verbrennung H. 2, S. 242
Die alles treibende Kraft H. 6, S. 634
Dioxine — Vorkommen, Bestimmung, Bewertung, Entsorgung H. 3, S. 323
Elektrische Anlagen auf Baustellen H. 8, S. 840
Elektro-Installation in Wohngebäuden H. 6, S. 634
Englisch für Elektrotechniker und Elektroniker H. 8, S. 841
Entsorgungs- und Versorgungsanlagen in Kohleveredlungsbetrieben H. 3, S. 323
Fachwörterbuch „Korrosion und Korrosionsschutz" (Englisch/Deutsch — Deutsch/Englisch) H. 2, S. 242
Fachwörterbuch „Schweißen, Schneiden und verwandte Verfahren" (Englisch/Deutsch) H. 2, S. 241
Fossibeheizte Dampfkraftwerke H. 2, S. 242
Gesundheitsschädliche Arbeitsstoffe H. 8, S. 842
Handbuch des Jugendarbeitsschutzrechts H. 2, S. 241
Hausinstallationen nach DIN VDE 0100 H. 6, S. 634
Immissionsschutz-Wegweiser H. 12, S. 1250
Industriearmaturen — Bauelemente der Rohrleitungstechnik H. 3, S. 322
Instandhaltungs-Praxis — Planung, Kosten, Kontrolle H. 12, S. 1249
Jahrbuch Bergbau, Öl u. Gas, Elektrizität, Chemie 1989/90 H. 12, S. 1249
Jahresverzeichnis 1988 der VDE-Prüfstelle H. 6, S. 634
Kohle und Umwelt H. 12, S. 1249
Lagerung und Transport wassergefährdender Stoffe (LTWS) H. 8, S. 841
Laser in Industrie und Technik H. 3, S. 323
Leistungselektronik, Grundlagen und Anwendung H. 8, S. 840
Lexikon und Wörterbuch der industriellen Meßtechnik H. 3, S. 324
Luftreinhaltung — Leitfaden zur kontinuierlichen Emissionsüberwachung H. 3, S. 324
Mensch und Umwelt H. 12, S. 1250
Metall in der Umwelt — Verteilung, Analytik und biologische Relevanz H. 12, S. 1250
Müllverbrennung H. 3, S. 323
Planung und Kontrolle von Instandhaltungsstrategien in Kraftwerken H. 2, S. 241
Sicherheit beim Umgang mit der Technik H. 8, S. 842
Sicherheitstechnik H. 8, S. 842
Stahleisen-Wörterbuch (Deutsch/Englisch — Englisch/Deutsch) H. 12, S. 1250
Taschenbuch Elektrotechnik und Elektronik H. 8, S. 840
Taschenbuch für den kathodischen Korrosionsschutz H. 8, S. 841
Technische Durchflußmessung H. 8, S. 841
TRD Technische Regeln für Dampfkessel Taschenbuchausgabe 1986 H. 3, S. 323
Überdrucksicherungen für Behälter und Rohrleitungen H. 3, S. 323
VDE 0100 und die Praxis H. 8, S. 840
Verdrängermaschinen, Teile I und II H. 8, S. 842
Waldschäden — Einflußfaktoren und ihre Bewertung H. 8, S. 842
Wie sicher leben wir? Risikobeurteilung und -bewältigung in unserer Gesellschaft H. 2, S. 242

VGB Kraftwerks-technik

Organ der VGB
Technischen Vereinigung der
Großkraftwerksbetreiber e.V.

Internationale Fachzeitschrift
für Technik in Kraftwerken
70. Jahrgang (1990)
Hefte 1 — 12

Herausgeber

VGB TECHNISCHE VEREINIGUNG DER GROSSKRAFTWERKSBETREIBER E.V.
Vorsitzender: Direktor Professor Dr.-Ing. Dr.-Ing. E.h. K. Knizia, Essen;
Geschäftsführer: Direktor Professor Dr. rer. nat. H.-D. Schilling, Essen.

Anschrift der Redaktion

VGB TECHNISCHE VEREINIGUNG DER GROSSKRAFTWERKSBETREIBER E.V.
Klinkestraße 27—31, Postfach 10 39 32, W-4300 Essen 1, Deutschland
Fernruf (02 01) 48 62-6 86/6 87, Fernschreiber 857 507 vgb d,
Telefax (02 01) 48 62-6 88.

Chefredaktion

Chefredakteur: Oberingenieur Dipl.-Ing. H. Bleßmann, Essen;
Redaktionsassistentin: Rita Maria Wilke, Essen.

Redaktion

Dr.-Ing. W. vom Berg, Essen;
Oberingenieur Dr. rer. nat. B. Forck, Essen;
Oberingenieur Dr.-Ing. J. Jacobs, Essen;
Oberingenieur Dr. rer. nat. H. Kittel, Essen;
Abteilungsdirektor Dipl.-Ing. K. Plate, Essen;
Abteilungsdirektor Dr.-Ing. G. Schlegel, Essen;
Dr.-Ing. E. Tolksdorf, Essen;
Oberingenieur Dipl.-Ing. G. Welten, Essen.

Wissenschaftlicher Redaktionsbeirat

Professor Dr. J. Béer, Cambridge, Massachusetts/USA;
Professor Dr. techn. Th. Bohn, Essen;
Professor Dr.-Ing. F. Brandt, Darmstadt;
Professor Dr.-Ing. H. Brüderlin, Stuttgart;
Professor Dr.-Ing. J. Buxmann, Hamburg;
Professor Dr.-Ing. G. Dibelius, Aachen;
Professor Dr.-Ing. H. Kremer, Bochum;
Professor Ir. J.J.C. van Lier, Delft/Niederlande;
Professor Dipl.-Ing. Dr. techn. W. Linzer, Wien/Österreich;
Professor Dr. techn. O.I. Martynova, Moskau/UdSSR;
Professor Dr. rer. nat. R. Schulten, Aachen.

Technischer Redaktionsbeirat

Dipl.-Ing. R. Aarni, Helsinki/Finnland;
Betriebsdirektor Dipl.-Ing. K. Bers, Berlin;
Dr. techn. H. Breidenbach, Essen;
Dr. rer. nat. J. Ernst, Hamburg;
Dipl.-Ing. J. Garleff, Hamburg;
Professor Dr.-Ing. W. Hlubek, Essen;
Dipl.-Ing. Dr. techn. F. Janitschek, Klagenfurt/Österreich;
Direktor Dr.-Ing. H. Krolewski, Dortmund;
Direktor Dipl.-Ing. ETH K. Küffer, Baden/Schweiz;
Direktor Dr. rer. nat. Chr. Marnet, Düsseldorf;
Direktor Dipl.-Ing. J. Schulte, Leverkusen.

Vertrieb und Anzeigenverwaltung

VGB-KRAFTWERKSTECHNIK GmbH, Klinkestraße 27—31, Postfach 10 39 32,
W-4300 Essen 1, Deutschland, Fernruf (02 01) 48 62-6 80/6 81/6 83, Fernschreiber 857 507 vgb d,
Telefax (02 01) 48 62-6 88.
Verantwortlich für Vertrieb und Anzeigenteil: R. Rätz.

Erscheinungsweise

monatlich, außerdem erscheint zeitlich verschoben
eine englische Fassung der Hefte.

ISSN 0372-5715

Jahresinhaltsverzeichnis 1990

Verfasserverzeichnis 1990

Adlhoch, W., Keller, J., und Herbert, P.K.: Kombi-Kraftwerk mit dem HTW-Verfahren H. 12, S. 1058

Agerholm, B., Jelsbak, K., und Sander, B.: Entwicklung einer DESOX/DENOX-Simultanabscheidung und deren Versuchsergebnisse H. 4, S. 337—341

Angenend, F.J.: Die Rauchgasreinigung im Müllheizkraftwerk Karnap H. 2, S. 126—131

Angenend, F.J., und Trondt, L.: Schadstoffinput — Schadstoffoutput. Bilanzierung bei der Müllverbrennung am Beispiel des Müllheizkraftwerkes Essen-Karnap H. 1, S. 36—42

Arnswald, W.: Revisionsplanung in konventionellen Kraftwerken vor dem Hintergrund der Lebensdauerverlängerung H. 12, S. 1013—1020

Bäumer, R.: Die Situation des THTR im Oktober 1989 H. 1, S. 8—14

Bald, A., Behle, B., und Charlier, J.: Auswirkungen von Umweltschutz und Genehmigungsverfahren auf die Planung von Kraftwerken mit Kohle- und Müllfeuerung H. 1, S. 21—26

Ballmann, P.: Möglichkeiten des Einsatzes von Müllverbrennungsasche im Straßenbau H. 5, S. 429

Barin, I., und Pook, H.: Das KHD-Cormin-Verfahren zur thermischen Behandlung von Stäuben H. 5, S. 429

Barniske, L., siehe Schenkel, W.: H. 7, S. 596—601

Bartelink, M.E.M., und Verhoeff, F.: Auswirkungen auf die Umwelt und Betriebsergebnisse einer stationären Wirbelschichtfeuerung (90 MW, thermisch) mit 9 verschiedenen Kohlearten H. 12, S. 1061

Bartetzko, J., siehe Wutte, G.: H. 11, S. 971

Bartl, M., und Gilg, J.: Schallschutz bei Planung und Betrieb von Rauchgasentschwefelungsanlagen H. 9, S. 790—793

Bartz, R., und Flunkert, F.: Herstellung, Beschaffenheit und Anwendung von Ionenaustauscherharzen einheitlicher Korngröße H. 11, S. 970

Baumgarten, M.: Gleitringdichtungen mit hohen Gleitgeschwindigkeiten im Einsatz an Ammoniak-Turboverdichtern H. 4, S. 350

Bay, M., und Fischer, B.: Elektronisches Schichtbuch als Einstieg in die DV-gestützte Instandhaltung H. 2, S. 173

Beaujean, R., und Düll, H.: Transplantation der Dampferzeuger bei einem schwedischen Kernkraftwerk H. 8, S. 716

Becker, U., siehe Hardtke, H.: H. 4, S. 351

Behle, B., siehe Bald, A.: H. 1, S. 21—26

Bell, C.-P.: Anforderungen, Konzeption und Betriebsbewährung der Bekohlungsanlage im Heizkraftwerk Herne H. 12, S. 1029—1032

Benesch, W., und Kottnik, W.: Auslegung und Erfahrungen bei der Inbetriebsetzung des Heizkraftwerkes Walsum 9 H. 7, S. 545—549

Bentzin, H., und Böse, D.: Verbrennung von Salzkohle in der stationären atmosphärischen Wirbelschicht H. 12, S. 1059

Berger, F., und Steven, H.: Auslegungs-Konstruktion und erste Betriebserfahrungen im HKW Dortmund-Derne mit Zirkulation in der Wirbelschichtfeuerung H. 12, S. 1057

Bergmann, H., siehe Kasper, K.: H. 3, S. 226—230

Bergmann, H., und Ewers, J.: Neue Kraftwerkskonzepte für Braunkohle H. 5, S. 399—405

Bergmann, M., siehe Rudolph, W.: H. 8, S. 715

Berndt, H.: Betriebserfahrungen mit Hochleistungs-Vertikalzentrifugen bei der Gipsabtrennung in REA H. 4, S. 348

Beyer, W., siehe Haag, J.: H. 3, S. 236—241

Birkhofer, A.: Neuere Entwicklungen in der Reaktorsicherheit — ein Überblick H. 11, S. 895—900

Bitter, K., siehe Hluchy, J.: H. 11, S. 974

Blaser, B., siehe Haller, M.: H. 11, S. 973

Blaser, W., siehe Loner, H.: H. 11, S. 972

Blind, D., siehe Kußmaul, K.: H. 7, S. 553—565

Boddenberg, G., siehe Schirmer, U.: H. 8, S. 670—673

de Boer, W.E.: Entwurf von Saugzugventilatoren und Erfahrungen in Kesselanlagen mit Rauchgasreinigung H. 4, S. 351

Böck, H., und Postel, G.: FT-IR-on-line-Messung von Stickoxiden in Rauchgasen H. 4, S. 342—346

Böhm, A., siehe Stürzelmayer, H.: H. 12, S. 1061

Boersma, D., und Hein, K.R.G.: Entstehung und Minimierung von Schadgasen an Druckwirbelschichtfeuerungen H. 12, S. 1055

Böse, D., siehe Bentzin, H.: H. 12, S. 1059

Bohn, Th., Huisgen, M., Josfeld, F.J., und Kalthoff, U.: Die Entwicklung der Rotafluid-Druckwirbelschichtfeuerung H. 12, S. 1057

Bohnsack, G., Buss, E., und Johnson, D.A.: Zur Demonstration der Wirksamkeit von Korrosionsschutzmaßnahmen in Kühlwasser H. 11, S. 970

Boldt, R., und Cox, W.M.: Kontinuierliche Korrosionsmessung — Meßverfahren, Anwendungsmöglichkeiten, erste Betriebserfahrungen in einem Rauchgaswäscher H. 11, S. 949—956

Bolle, H.-J.: Stand der Erkenntnisse zum Treibhauseffekt H. 5, S. 373—376

Bonn, B., siehe Richter, E.: H. 12, S. 1055

Bosholm, J., siehe Ender, V.: H. 11, S. 973

Bozetto, P., siehe Coic, P.: H. 8, S. 716

Bräsel, E., und Venz, H.: Das Verhalten von Ionenaustauscherharzen unter den Betriebsbedingungen von Druckwasserreaktoren H. 11, S. 974

Braun, A., siehe Verweyen, N.: H. 12, S. 1060

Braun, A., Renz, U., Drischel, J., und Köser, H.J.K.: N_2O- und NO_x-Emissionen einer Wirbelschichtfeuerung H. 12, S. 1056

Braun, D., und Meister, P.: Erfahrungen mit der Kühlwasseraufbereitung in einem Kernkraftwerk mit Kreislaufkühlung H. 11, S. 974

Braun, H., siehe Vehlow, J.: H. 5, S. 430

Braunstein, L., Denzer, W., Heß, K., und Schmidt, M.: Das Katalysatorgift Arsen im Rauchgas von Schmelzfeuerungen H. 11, S. 972

Briaris, D., und Junior, W.: Die Techlok-Flanschverbindung H. 4, S. 352

Brinkmann, C., Langner, H., und Skubatz, W.: Modernisierungsmaßnahmen am Dampferzeuger als wirtschaftliche Alternative zum Neubau H. 10, S. 821—826

van der Brugghen, F.W., und Koppius-Odink, J.M.: Betriebserfahrungen mit der REA im Kraftwerk Gelderland in Nijmegen H. 1, S. 47—52

Buchmayr, B., Cerjak, H., Wakonig, H., Kleemaier, R., und Nowotny , P.: Expertensystem zur Analyse von Schäden an Dampferzeugern H. 9, S. 749—753

Budin, K., siehe Gasteiger, G.: H. 6, S. 440—445

Büttner, G., siehe Danda, R.: H. 12, S. 1057

Burkardt, F.: Gewohnheiten und Einstellungen im Lernprozeß Arbeitssicherheit H. 7, S. 625

Bursik, A., und Ernst, J.: Die neue Abwassergesetzgebung, Konsequenzen für den Kraftwerksbetrieb und die chemische Überwachung H. 2, S. 132—137

Bursik, A., und Kittel, H.: Derzeitiger Stand der chemischen Konditionierung von Wasser-Dampfkreisläufen in Anlagen mit Zwangdurchlaufkesseln H. 11, S. 970

Burstedde, I.: Dokumentation unterirdischer Leitungen — Versteckspiel oder Informationssystem? H. 8, S. 715

Buss, E., siehe Bohnsack, G.: H. 11, S. 970

Byrne, E., siehe Horgan, G.: H. 12, S. 1007—1010

Camsey, G.: Die Privatisierung der Stromversorgungsindustrie in Großbritannien H. 3, S. 187—190

Capek, K.: Gemeinsame Verbrennung von Industrie-Klärschlamm und flüssigem Sonderabfall H. 1, S. 31—35

Carle, R.: Zukunft und Stand der Energietechnik in Frankreich H. 11, S. 901—905

Cerjak, H., siehe Buchmayr, B.: H. 9, S. 749—753

Charlier, J., siehe Bald, A.: H. 1, S. 21—26

Chi Trung Nguyen, siehe Leithner, R.: H. 6, S. 446—457

Choschzick, H., und Hanisch, H.-J.: Entwicklung der Kraftwerkschemie in der Energiewirtschaft der DDR und gegenwärtiger Stand H. 11, S. 969

Civin, V., siehe Rühle, W.: H. 8, S. 708—714

Coic, P., Bozetto, P., und Rouselle, H.: Bautechnische Qualitätssicherung beim Bau und Betrieb von Kühltürmen der EdF H. 8, S. 716

Comfère, W., und Schug, H.: Möglichkeiten zur Beeinflussung der Rückstände aus der Müllverbrennung H. 5, S. 428

Conlin, J.B., siehe Hitzel, H.: H. 2, S. 138—145

Cox, W.M., siehe Boldt, R.: H. 11, S. 949—956

Croonenbrock, R., siehe Michelfelder, S.: H. 12, S. 1054

Dämmig, S., siehe Millat, H.: H. 12, S. 1021—1024

Danda, R., und Büttner, G.: Betriebserfahrungen im Heizkraftwerk Merkenich mit zirkulierender Wirbelschichtfeuerung H. 12, S. 1057

Daschmann, H., siehe Eggers, H.J.: H. 4, S. 347

Daucik, K.: Korrosionsschutz im Wasser-Dampfkreislauf H. 7, S. 608—611

Davis, D.A.: Gegenwart und Zukunft der Kernenergie H. 2, S. 97—101

Demmich, J.: Art, Menge und Beschaffenheit von Rückständen aus der Müllverbrennung H. 5, S. 428

Denzer, H., siehe Kasper, K.: H. 3, S. 226—230

Denzer, W., siehe Braunstein, L.: H. 11, S. 972

Derichs, W., Menden, W., und Ebel, P.: Messungen zur Bestimmung des Säuretaupunktes und der SO_3-Konzentration im Rauchgas von Kraftwerkskesseln H. 11, S. 971

Dering, W., und Scheffknecht, G.: Betriebserfahrungen des Industrie-Kraftwerks Wachtberg mit zirkulierender Wirbelschichtfeuerung H. 12, S. 1056

Deuster, G.: Rationellere Energieverwendung durch dezentrale Energieversorgung? H. 5, S. 377—381

Dibelius, G., Krichel, H.J., und Reimann, U.: Zerstörungsfreie Messung der Korrosionseinwirkung auf Hochtemperatur-Schutzschichten H. 9, S. 762—768

Dieckmann, A., siehe Gutberlet, H.: H. 11, S. 959—968

Dörr, A., siehe Haag, J.: H. 3, S. 236—241

Döschner, Chr.: Steuerung von Wirbelschicht-Verbrennungsanlagen H. 12, S. 1060

van Dornick, K.: Moderne Kraftwerksschornsteine hinter Rauchgasreinigungsanlagen H. 2, S. 158—164

Dressler, K., siehe Klare, K.: H. 11, S. 919—921

Drischel, J., siehe Braun, A.: H. 12, S. 1056

Düll, H., siehe Beaujean, R.: H. 8, S. 716

Ebel, P., siehe Derichs, W.: H. 11, S. 971

Effertz, P.-H.: Spröde Rohrreißer in den Verdampferrohren von Naturumlaufkesseln nach ungewöhnlich intensiver Heißwasseroxidation H. 1, S. 53—59

Effertz, P.-H., und Weber, R.: Blasenbildung in Gasflake-Kunstharzbeschichtungen bei Einsatz in Rauchgasentschwefelungsanlagen H. 12, S. 1045—1049

Eggers, H.J., und Daschmann, H.: Low-dust „Kompakt-DENOX-Anlage" — Planung, Bau und Montageerfahrungen H. 4, S. 347

Ehm, H.: EG-Harmonisierung und ihre Auswirkungen auf das Bauen der Energieversorgungsunternehmen H. 8, S. 715

Elsner, B., siehe Helmers, M.: H. 12, S. 1057

Emshoff, H.-W., siehe Schleithoff, K.: H. 9, S. 794—798

Ender, V., und Bosholm, J.: Hochtemperaturfiltration und Aktivitätsaufbau im Primärkreislauf von Druckwasserreaktoren H. 11, S. 973

Engel, J., und Glass, D.: Stand der Magnetlagertechnik im Hinblick auf möglichen Einsatz in der Kraftwerkstechnik H. 4, S. 347

Erbe, G., siehe Reinartz, A.: H. 12, S. 1057

Erlmann, K., siehe Leithner, R.: H. 6, S. 446—457

Ernst, H., siehe Meyer, H.: H. 2, S. 174

Ernst, J.: Tagesfragen der Kraftwerkschemie H. 11, S. 969

Ernst, J., siehe Bursik, A.: H. 2, S. 132—137

Ewers, J., siehe Bergmann, H.: H. 5, S. 399—405

Fabian, H.-U.: Der Beitrag der Kernenergie zur CO_2-Minderung: Stand und Ausblick H. 5, S. 387—392

Fahlenkamp, H., siehe Vehlow, J.: H. 5, S. 430

Felwor, P., und Wein, W.: HKW I Duisburg — Reststoffentsorgung der zirkulierenden Wirbelschichtfeuerung H. 12, S. 1054

Fichte, W., Mohr, G., und Strohhäcker, J.: Automatische Überwachung von Wasser-Dampfkreisläufen mit Interpretation besonderer Betriebsereignisse H. 6, S. 498—501

Fichtel, K.: Behandlung von Reststoffen aus der Müllverbrennung mit dem Ziel einer Verbesserung der Deponierbarkeit H. 5, S. 429

Finger, E.: Radiolysegas in den Sicherheits- und Entlastungsventilen der Siedewasserreaktoren — ein Erfahrungsbericht H. 4, S. 352

Fischer, B., siehe Bay, M.: H. 2, S. 173

Flötgen, B., und Schepers, W.: Kraft-Wärme-Kopplung mit Gasturbine und zusatzbefeuertem Abhitzekessel mit Zusatzlüfter H. 10, S. 845—849

Flunkert, F., siehe Bartz, R.: H. 11, S. 970

Förster, K.W.: Gasturbinenkraftwerke und Kombi-Kraftwerke kleiner Leistung H. 4, S. 319—323

Franz, E.: Betriebserfahrungen an einem 380-MW-Kombi-Block bei Langzeit- und Störumschaltung der Gasturbine H. 6, S. 464—468

Freimark, M.: NO_x-Reduzierung bei Großgasturbinen durch Verfeuerung einer Öl-Wasser-Emulsion H. 10, S. 869—875

Frewer, H.: Zukunftskonzepte der Kernenergienutzung H. 7, S. 525—538

Friebe, E., siehe Knappenberger, E.: H. 8, S. 702—707

Friedrich, R.: Das Vorbild der heutigen Gasturbine H. 12, S. 995—999

Fritz, P., Schumacher, B., und Schnieder, K.: Anwendung wäßriger Ammoniaklösung bei katalytischen DENOX-Anlagen H. 2, S. 122—125

Fütter, V., Rost, M., und Kinn, Th.: Betriebserfahrungen mit dem primärgeregelten Steinkohleblock 7 des Rheinhafen-Dampfkraftwerkes Karlsruhe H. 11, S. 906—911

Gangl, H., und Kaliwoda, A.: Individuelle Instandhaltungs-Software-Lösung für das Kraftwerk H. 2, S. 173

Gasteiger, G., Budin, K., und Schobesberger, P.: Betriebserfahrung mit Naturumlauf-Dampferzeugern in GUD-Anlagen H. 6, S. 440—445

Gayk, W., und Kautz, H.R.: Rißbildung in Schweißnähten von Ammoniak-Lagerbehältern aus StE 355 H. 2, S. 151—157

Geißdörfer, G.: Müllverbrennungsrückstände für den Straßenbau H. 5, S. 428

Germann, R., und Marshall, A.: Behandlung von Kühlsystemen mit Mikrobiziden — Möglichkeiten und Grenzen H. 11, S. 970

Gernhardt, A., siehe Röder, G.: H. 12, S. 991—994

Gilg, J., siehe Bartl, M.: H. 9, S. 790—793

Girod, W.D., und Rehmann, M.: Erfahrungen mit Reingraphit als Ersatzstoff für asbesthaltiges Packungsmaterial und Dichtungen H. 2, S. 177

Glasbrenner, R., siehe Vistbacka, B.: H. 4, S. 350

Glass, D., siehe Engel, J.: H. 4, S. 347

Glatzel, W.-D., siehe Schenkel, W.: H. 7, S. 596—601

Götzen, W.: Schornsteine für Müllverbrennungsanlagen H. 8, S. 716

Gremme, Th., siehe Krabbe, H.-J.: H. 11, S. 969

ribat, A.-G.: Mineralische Rückstände aus Wirbelschichtfeuerungsanlagen — Anwendungstechnik und Vermarktung H. 12, S. 1055

rigoleit, H., siehe Kremer, H.: H. 7, S. 566—573

rimm, H.-H., siehe Wahl, D.-J.: H. 1, S. 43—46

rot, W., und Ludolph, W.: Datenverarbeitung in der Arbeitssicherheit H. 7, S. 625

runwald, W.: Umbau eines Kesselhauses für einen Dampferzeuger mit Wirbelschichtfeuerung H. 8, S. 717

utberlet, H., siehe Prenzel, H.: H. 11, S. 972

utberlet, H., siehe Schallert, B.: H. 11, S. 972

utberlet, H., Dieckmann, A., Merz, A., und Schreiber, L.: SO_2-Konversionsrate von DENOX-Katalysatoren H. 11, S. 959—968

Iaag, J., Dörr, A., Beyer, W., und Stellwag, B.: On-line-Messung von Redox- und Korrosionspotentialen in Wasser für DWR-Dampferzeuger H. 3, S. 236—241

aas, R., Krämer, G., Wellnitz, G., und Lehmann, P.: Fernbedienbare und monitorüberwachte Geräte für Inspektion und Montage von Rohrleitungen H. 2, S. 176

äusermann, R.: Anlagenleistungsüberwachung: Ein Diagnosemittel zur Früherkennung von Fehlverhalten von Komponenten und Meßketten H. 10, S. 833—836

agenmaier, H., und Mittelbach, G.: Versuche zum katalytischen NO_x-und Dioxinabbau im Abgas einer Hausmüllverbrennungsanlage H. 6, S. 491—493

aller, M., Blaser, B., und Schegk, C.-D.: Das neue Kaminabluft-Überwachungssystem im Kernkraftwerk Mühleberg H. 11, S. 973

allström, C., siehe Leckner, B.: H. 12, S. 1055

amilton, C., siehe Weiss, H.: H. 12, S. 1061

ammacher, P., siehe Wagner, K.: H. 10, S. 850—853

ndzik, K.-H.: Anforderungen an Deponien für Rückstände aus der Müllverbrennung H. 5, S. 429

nisch, H.-J., siehe Choschzick, H.: H. 11, S. 969

nnemann, H., Novak, M., Müller, H., Rompel, H.-D., und Igelbüscher, H.: Verbrennung von Haus- und Industriemüll in Wirbelschicht-Verbrennungsanlagen H. 12, S. 1059

nsen, L.K., siehe Rasmussen, I.: H. 12, S. 1059

nsen, O., siehe Tinapp, J.: H. 4, S. 313—318

rdtke, H., und Becker, U.: Einbau und Inbetriebnahme von Feder- und Konstanthängern — praktische Erfahrungen H. 4, S. 351

Hartel, W.: Kernkraftwerk Krümmel — 5 Jahre Betriebserfahrungen — H. 3, S. 191—194

Hartwig, J.: Betriebserfahrungen mit einer 5-MW-Gasturbine H. 11, S. 912—918

Hassmann, K., Jacobs, H., und Stahl, D.: Reale Nutzungsmöglichkeiten der Sonnen- und Windenergie H. 3, S. 252

Hatje, W.: Die Solar-Wasserstoff-Anlage in Neunburg vorm Wald H. 8, S. 717

Hauenschild, R., siehe Hebel, G.: H. 1, S. 15—20

Hayen, W., siehe Meyer, H.: H. 2, S. 174

Hebel, G., und Hauenschild, R.: Konsequente Investitionskostenminimierung und deren Auswirkung auf Wirtschaftlichkeit und Verfügbarkeit von Kohlekraftwerken H. 1, S. 15—20

Hebel, G., und Kotschenreuther, H.: Wirkungsgradverbessernde Maßnahmen an bestehenden Kraftwerken H. 3, S. 251

Heer, H., und Schneider, W.: 15 Jahre DV-Anwendung im Instandhaltungsbereich der Kraftwerke H. 6, S. 469—473

Hein, H.-D., siehe Hüsch, J.: H. 6, S. 494—497

Hein, K.R.G., siehe Boersma, D.: H. 12, S. 1055

Heinemann, G.: Arbeitsbedingte Belastungen aus betriebsärztlicher Sicht H. 7, S. 625

Heinrich, F., Spliethoff, H., Winske, P., und Rehwinkel, H.: Die Planung der Demonstrationsanlage DAWID-Saar H. 12, S. 1058

Heitmüller, R.J., und Kestner, D.: Umstellung eines Wirbelschicht-Dampferzeugers zur Verbrennung von Anthrazitabfällen auf das Circofluid-Verfahren H. 12, S. 1059

Helmers, M., und Elsner, B.: Betriebserfahrungen mit der ZAWSF im Heizkraftwerk der Stadtwerke Pforzheim H. 12, S. 1057

Helm, K.-H., siehe Sorke, W.: H. 10, S. 854—856

Herbert, P., siehe Woelke, M.: H. 12, S. 1058

Herbert, P.K., siehe Adlhoch, W.: H. 12, S. 1058

Heß,, K., siehe Braunstein, L.: H. 11, S. 972

Hey, W., und Pelz, W.: Entsorgungswege und Forschungsbedarf bei Verbrennungsrückständen aus Wirbelschichtfeuerungen H. 12, S. 1055

Hickey, J., und Horgan, G.: Instandsetzung eines gerissenen Austrittssammlers (ZÜ) durch Einsetzen einer gewölbten Platte H. 2, S. 176

Hilgraf, P., und Kleibs, R.: Schüttguteigenschaften und Lagerzeit als Einflußgrößen bei der Auswahl des Silierungskonzeptes von Flugaschen H. 6, S. 479—486

Hinterthan, W., und Schneider, G.: Preiswürdigkeitsprüfung bei der Vergabe von Werkverträgen in der Instandhaltung H. 2, S. 177

Hirsch, H.: Systemkonservierung während der Revision eines Kernkraftwerkes mit Siedewasserreaktor H. 11, S. 973

Hirsch, H., siehe Lasch, M.: H. 2, S. 146—150

von Hirsch, J.: Armaturengehäuse aus duktilem Grauguß GGG 40.3, verbunden mit Vorschuhenden aus Stahl durch Konstruktionsschweißung H. 4, S. 351

Hitzel, H., und Conlin, J.B.: Kondensatreinigung mit separaten Kationen- und Anionenaustauschern für das direkt luftgekühlte Kraftwerk Matimba der ESKOM H. 2, S. 138—145

Hlubek, W.: Perspektiven der Energieversorgung in den 90er Jahren H. 11, S. 890—894

Hluchy, J., und Bitter, K.: Neue Methoden zur Leckageortung in Wärmeaustauschern H. 11, S. 974

Hochdahl, O.: Betriebserfahrungen bei der Kohlenmahlung im Zementwerk H. 8, S. 659—663

Hoffmann, W., siehe Rühle, W.: H. 8, S. 708—714

Hoffmann, W., siehe Staudt, U.: H. 9, S. 799—802

Hofmann, P., siehe Kastner, W.: H. 11, S. 939—948

Holm, E.L., siehe Rasmussen, I.: H. 12, S. 1059

Horch, K., siehe Schneider, D.: H. 5, S. 430

Horgan, G., siehe Hickey, J.: H. 2, S. 176

Horgan, G., Ryan, G., und Byrne, E.: Untersuchung von schweren Rohr- und Rohrwandschäden an einem Zwangdurchlauf-Dampferzeuger H. 12, S. 1007—1010

Hüren, H.: Vorbeugende Instandhaltungsmaßnahmen und wiederkehrende Prüfungen an elektrischen Stellantrieben H. 11, S. 922—925

Hüsch, J., Rahm, J., und Hein, H.-D.: Ammoniakwassereindüsung zur SO_3-Abscheidung mit Rückgewinnung von NH_3 H. 6, S. 494—497

Hüvel, B.: Kombination einer Walther-Entschwefelung mit einer SCR-Entstickun g als Nachrüstung hinter einer Kohleschmelzfeuerung H. 7, S. 602—607

Huisgen, M., siehe Bohn, Th.: H. 12, S. 1057

Igelbüscher, H., siehe Hannemann, H.: H. 12, S. 1059

Jacobs, H., siehe Hassmann, K.: H. 3, S. 252

Jacobs, J., siehe Kremer, H.: H. 7, S. 566—573

Jacobsen, W., und Kettler, E.: Betriebserfahrungen mit der Unfallverhütungsvorschrift „Kernkraftwerke" H. 7, S. 626

Janssen, J.B., siehe Keppel, W.E.: H. 6, S. 458—463

Jansson, S.A., Madsen P., und Nordin, S.: Erfahrungen beim Bau und bei der Inbetriebnahme von drei Druckwirbelschicht-Feuerungsanlagen H. 12, S. 1056

Jaquet, L., siehe Nandjee, F.: H. 12, S. 1058

Jeiter, W.: Arbeitsschutz und Europäischer Binnenmarkt H. 10, S. 857—861

Jelsbak, K., siehe Agerholm, B.: H. 4, S. 337—341

Jochum, J., siehe Jodeit, H.: H. 5, S. 429

Jodeit, H., Jochum, J., und Wieckert, Ch.: Das ABB-Schmelzverfahren zur Behandlung von Filterstäuben aus der thermischen Abfallverwertung H. 5, S. 429

Johnke, B.: Dioxinemissionen aus Hausmüllverbrennungsanlagen H. 6, S. 487—490

Johnson, D.A., siehe Bohnsack, G.: H. 11, S. 970

Josfeld, F.J., siehe Bohn, Th.: H. 12, S. 1057

Jung, J., und Panagiotidis, T.: Untersuchungen zur Übertragbarkeit der im Labor- und Technikummaßstab bestimmten Eigenschaften von SCR-Wabenkatalysatoren auf großtechnische DENOX-Anlagen H. 11, S. 971

Junior, W., siehe Briaris, D.: H. 4, S. 352

Kaes, H.†: Bedeutung der Wärmeführung beim warmfesten martensitischen Stahl X20 CrMoV 12 1, H. 12, S. 1050—1053

Kaliwoda, A., siehe Gangl, H.: H. 2, S. 173

Kalthoff, U., siehe Bohn, Th.: H. 12, S. 1057

von der Kammer, G., und Rettemeier, W.: Kohlebefeuerte Dampferzeuger für Kombi-Blöcke — Schaltungen, Aufbau, Nachrüstung von Altanlagen H. 5, S. 412—417

Karlsson, M., siehe Leckner, B.: H. 12, S. 1055

Karlsson, R.: Erfahrungen mit dem Anfahren und der Inbetriebnahme des zirkulierenden Wirbelschicht-Dampferzeugers Örebro H. 12, S. 1056

Kasper, K., Bergmann, H., und Denzer, H.: Stand der thermischen Abfallverwertung in der Bundesrepublik Deutschland H. 3, S. 226—230

Kassebohm, B., und Wolfering, G.: Realisierung einer weitergehenden Rauchgasreinigung durch Einsatz von Koks H. 8, S. 674—680

Kassmann, H.: Sanierung eines alten Kraftwerksstandortes am Beispiel des Heizkraftwerkes Tiefstack H. 2, S. 118—121

Kastner, W., Hofmann, R., und Nopper, H.: Erosionskorrosion in Krafterksanlagen — Entscheidungshilfe für Maßnahmen zur Schadensvermeidung H. 11, S. 939—948

Kaulitz, J.: Optimierung von Dampferzeugern und Rauchgasreinigungsanlagen H. 10, S. 862—868

Kautz, H.R., siehe Gayk, W.: H. 2, S. 151—157

Kefer, V., Köhler, W., und Wittchow, E.: Wärmeübergang und Druckverlust in Dampferzeugerrohren: Forschung und Anwendung H. 10, S. 827—832

Keller, J., siehe Adlhoch, W.: H. 12, S. 1058

Keppel, W.E., und Janssen, J.B.: Erste Betriebserfahrungen mit der 600-MW-Kombi-Anlage in Amsterdam und ihrer Vorschaltgasturbine GT 13E H. 6, S. 458—463

Kestner, D., siehe Heitmüller, R.J.: H. 12, S. 1059

Kettler, E., siehe Jacobsen, W.: H. 7, S. 626

Kinn, Th., siehe Fütterer, V.: H. 11, S. 906—911

Kirchhoff, R., siehe Richter, E.: H. 12, S. 1055

Kirschstein, G., und König, C.D.: Motivationskonzepte zu sicherheitsgerechtem Verhalten H. 7, S. 625

Kittel, H., siehe Bursik, A.: H. 11, S. 970

Kjaer, S.: Kohlenstaubbefeuerte Kraftwerksblöcke mit fortgeschrittenem Wasser-Dampfprozeß H. 3, S. 201—208

Klare, K., Weiand, G., und Dressler, K.: Manipulatorsysteme für automatisierte Ultraschallprüfungen in Kernkraftwerken H. 11, S. 919—921

Kleemaier, R., siehe Buchmayr, B.: H. 9, S. 749—753

Kleibs, R., siehe Hilgraf, P.: H. 6, S. 479—486

Klein, H., und Tscheschlok, K.: Thermische Aufarbeitung von Flug- und Filterstäuben aus Müllverbrennungsanlagen durch Drehstrom-Plasmatechnik — Versuchsanlage zur Einschmelzung von 1 t/h Filterstaub H. 5, S. 430

Klepser, B., siehe Wiechers, R.: H. 7, S. 550—552

Klug, F., siehe Muschelknautz, S.: H. 12, S. 1060

Kluge, E.: Qualitätssicherung bei chemischen Betriebsmitteln in Kernkraftwerken H. 11, S. 972

Knab, H.-J.: Die Anwendung der Hochdruck-Flüssigkeitschromatographie (HPLC) zur Betriebsüberwachung von Transformatoren H. 11, S. 969

Knappenberger, E., Walter, K.H., und Friebe, E.: Methoden zur Behandlung ammoniakhaltiger Wässer (Teile I und II) H. 8, S. 702—707

Knizia, K.: Eröffnungsansprache zur VGB-Konferenz „Kraftwerkstechnik 2000 — Ressourcenschonung und CO_2-Minderung“ H. 5, S. 357—359

Knizia, K.: Schlußbetrachtung zur VGB-Konferenz „Kraftwerkstechnik 2000 — Ressourcenschonung und CO_2-Minderung“ H. 5, S. 406—408

Knizia, K., und Schwarz, D.: Die Rolle der Kernenergie im globalen Energie-Szenario des 21. Jahrhunderts H. 12, S. 983—987

Knoche, K.F., Roth, M., und Poptodorov, H.: Kohlenstoffumsetzung in der Verbrennungstechnik und in der Natur H. 8, S. 640—643

Knopf, E., und Metschl, W.: Konstruktiver Ingenieurbau bei DENOX-Anlagen H. 8, S. 717

Knosala, P.: Neue Ionenaustauschverfahren H. 11, S. 971

Koch, W.: Erste Betriebserfahrungen mit einer 25-MW-Gasturbine und nachgeschaltetem zusatzbefeuertem HD-Dampferzeuger in einem Raffineriewerk H. 8, S. 651—658

Kochan, M.: Der Aufbau eines anlagentechnischen Datenpools und die Einbindung existierender DV-gestützter Instandhaltungssysteme als Basis für ein integriertes Betriebsführungssystem H. 2, S. 173

Köhler, S.: Korrosionsprobleme im Sekundärkreislauf von Kernkraftwerken mit Reaktoren des Typs WWER-440 H. 11, S. 974

Köhler, W., siehe Kefer, V.: H. 10, S. 827—832

König, C.D., siehe Kirschstein, G.: H. 7, S. 625

Köser, H.J.K., siehe Braun, A.: H. 12, S. 1056

Köster, H.: 100 000 Stunden REA-Betrieb und keine Instandhaltung? H. 8, S. 664—669

Kohler, R.: Versuche zur Aufbereitung salzhaltiger Wässer zu Kesselspeisewasser mittels Elektrodialyse und Vollentsalzung H. 5, S. 422—427

Koppius-Odink, J.M., siehe van der Bruggen, F.W.: H. 1, S. 47—52

Korff, W.: Die Energiefrage — Entdeckung ihrer ethischen Dimension H. 11, S. 885—889

Kotschenreuther, H., siehe Hebel, G.: H. 3, S. 251

Kottnik, W., siehe Benesch, W.: H. 7, S. 545—549

Krabbe, H.-J.: Bestimmung von Ammoniak und Schwefeltrioxid in Rauchgasen fossilbefeuerter Kraftwerke H. 3, S. 242

Krabbe, H.-J., und Gremme, Th.: Die ICP-MS, ein neues Meßsystem für die Spurenanalytik im Kraftwerkslabor H. 11, S. 969

Krämer, G., siehe Haas, R. H. 2, S. 176

Kremer, H., Grigoleit, H., und Jacobs, J.: Neigung von Kraftwerkskohlen zur NO_x-Bildung H. 7, S. 566—573

Krichel, H.J., siehe Dibelius, G.: H. 9, S. 762—768

Krieger, P., und Mohn, U.: Schäden an naßlaufenden REA-Ventilatoren H. 4, S. 346

Künstle, K., Reiter, K., und Riedle, K.: Möglichkeiten und Grenzen der regenerativen Energien H. 2, S. 106—114

Kürten, H.: Einfluß von Schadstoffminderungs-Maßnahmen auf den Einsatz thermischer Kraftwerke im Netzbetrieb H. 12, S. 1000—1006

Kußmaul, K., Blind, D., Roos, E., und Sturm, D.: Leck-vor-Bruch-Verhalten von Rohrleitungen H. 7, S. 553—565

Lange, A.: Kosteneinsparungen durch verbesserten Betrieb der Kühlrohr-Reinigungsanlage, Einsatz von Kühlwasserfiltern und einer neuartigen Kondensatorüberwachung H. 8, S. 681—688

Langner, H., siehe Brinkmann, C.: H. 10, S. 821—826

Lasch, M., Stemmeler, H., und Hirsch, H.: Betriebserfahrungen mit verschiedenen Filtermaterialien zur Reinigung schwer brennbarer Steuerflüssigkeiten H. 2, S. 146—150

Leckner, B., Mjörnell, M., Karlsson, M., und Hallström, C.: Emissionen der zirkulierenden Wirbelschichtfeuerung (40 MW, thermisch) in Nyköping H. 12, S. 1055

Lehmann, P., siehe Haas, R.: H. 2, S. 176

Leithner, R., Steege, F., Pich, R., Erlmann, K., und Chi Trung Ng uyen: Vergleich verschiedener Verfahren zur Bestimmung der Temperaturdifferenz in dickwandigen Bauteilen für die Lebensdauerberechnung H. 6, S. 446—457

Leithner, R., und Wang, J.: Eindimensionales Wirbelschichtfeuerungsmodell H. 12, S. 1060

Leutner, W.: Brandschutztechnische Bewertung von Kraftwerken und daraus resultierende Ertüchtigungs- und Ersatzmaßnahmen H. 11, S. 957

Lindemann, J., und Schendler, W.: Ein neuer Fe-Ni-Cr-Werkstoff (AC66) für Komponenten in Combined-cycle-Kraftwerken sowie in modernen Müllverbrennungsanlagen H. 4, S. 347

Lindhorst, W.: Rauchgasreinigungsanlagen in Betrieb und Instandhaltung H. 7, S. 623

Lipken, H., Rieger, W., und Wagner, W.: Moderne Leittechnik für Wirbelschicht-Dampferzeuger in einem Heizkraftwerk H. 10, S. 837—844

Loch, W.: Anforderungen an Müllverbrennungsasche für den Straßenbau — Anmerkungen zur Überarbeitung des Merkblattes „Müllverbrennungsasche" der Forschungsgesellschaft für Straßen- und Verkehrswesen H. 5, S. 428

Loew, H.: Bewertung der CO_2-Minderungsmöglichkeiten in der Elektrizitätswirtschaft H. 5, S. 382—387

Loner, H., Schenker, E., und Blaser, W.: Das Verhalten von gelöstem organischen Kohlenstoff (DOC) in Siedewasserreaktoren H. 11, S. 972

Ludolph, W., siehe Grot, W.: H. 7, S. 625

Madsen, P., siehe Jansson, S.A.: H. 12, S. 1056

Maier, H.: Emissionen rauchgasflüchtiger und filtergängiger Schwermetalle aus braunkohlebefeuerten Anlagen H. 10, S. 876—881

Maier, H., siehe Schöngrundner, W.: H. 8, S. 689—693

Manns, W., Neubert, B., und Zimbelmann, R: Zum Einfluß von Flugasche auf die Dauerhaftigkeit von Beton aus Hochofenzement mit hohem Hüttensandgehalt H. 3, S. 244—248

Markgraf, B., und Truppat, R.: Qualitätssicherung im analytischen Labor H. 7, S. 612—614

Marr, R.-J., siehe Schöngrunder, W.: H. 8, S. 689—693

Marshall, A., siehe Germann, R.: H. 11, S. 970

Martin, H.: Zukünftige Entwicklung von Wirbelschichtfeuerungsanlagen H. 12, S. 1054

Mattel, K., Muser, W., Schmitt, M., und Stolte, J.: Dämpfungseinrichtungen für wasserbeaufschlagte Sicherheitsventile H. 4, S. 351

Mattern, P., siehe Waltenberger, G.: H. 1, S. 68—76

Mayer-Schwinning, G., siehe Zschocher, H.: H. 5, S. 430

Mayer-Schwinning, G., Merlet, H., Pieper, H., und Zschocher, H.: Verglasungsverfahren zur Inertisierung von Rückstandsprodukten aus der Schadgasbeseitigung bei thermischen Abfallbeseitigungsanlagen H. 4, S. 332—336

Medding, F.: Zustandserfassung unterirdischer Leitungen im Industriebereich H. 8, S. 715

Meister, P., siehe Braun, D.: H. 11, S. 974

Menden, W., siehe Derichs, W.: H. 11, S. 971

Merlet, H., siehe Mayer-Schwinning, G.: H. 4, S. 332—336

Mertens, K., siehe Schoedel, J.: H. 3, S. 195—200

Merz, A., siehe Gutberlet, H.: H. 11, S. 959—968

Merz, A., siehe Vehlow, J.: H. 5, S. 430

Metschl, W., siehe Knopf, E.: H. 8, S. 717

Meyer, H., Hayen, W., und Ernst, H.: Einführungsplanung für eine EDV-gestützte Betriebsführung in den Kraftwerken der PreussenElektra AG H. 2, S. 174

Michelfelder, S., Croonenbrock, R., und Pitt, R.U.: Einsatz von Wirbelschichttechnik in Kombi-Kraftwerken H. 12, S. 1054

Mielke, H., siehe Woelke, M.: H. 12, S. 1058

Millat, H., und Dämmig, S.: Aufbohren von Temperaturmeßstutzen in der Hauptkühlmittelleitung für den Einbau von Tauchhülsen H. 12, S. 1021—1024

Mittelbach, G., siehe Hagenmaier, H.: H. 6, S. 491—493

Mjörnell, M., siehe Leckner, B.: H. 12, S. 1055

Möller, H.: Langzeitlagerung und pneumatische Entleerung von Flugasche aus Großraumsilos H. 5, S. 418—421

Möllmann, A.: Betriebserfahrungen mit Innengummierungen und Beschichtungen in Rauchgaswäschern und Reingaskanälen H. 1, S. 77—87

Mohn, U., siehe Krieger, P.: H. 4, S. 346

Mohr, G., siehe Fichte, W.: H. 6, S. 498—501

Mohr, G., und Steinmetz, D.: Korrosionsschäden durch Rauchgaskondensate hinter quasi-trockenen REA H. 11, S. 971

Molerus, O., siehe Wirth, K.-E.: H. 12, S. 1060

Morlock, D.: Neuentwicklung von Klappen und Kompensatoren aufgrund der Betriebserfahrungen im DENOX- und REA-Bereich und für moderne GUD-Blöcke H. 4, S. 350

Müller, H., siehe Hannemann, H.: H. 12, S. 1059

Müller, H.-H., siehe Schulz, R.: H. 12, S. 1057

Müller-Odenwald, H., siehe Veser, K.: H. 3, S. 209—213

Muschelknautz, E., siehe Trefz, M.: H. 12, S. 1059

Muschelknautz, S., und Klug, F.: Propellersonde für Gas-Feststoff-Strömungen bei hohen Temperaturen H. 12, S. 1060

Muser, W., siehe Mattel, K.: H. 4, S. 351

Nandjee, F., und Jaquet, L.: Nachrüstung der ölbefeuerten EdF-250-MW-Kraftwerksblöcke mit zirkulierenden Wirbelschicht-Dampferzeugern H. 12, S. 1058

Nemzek, Th.A.: Von der Erprobung von Technologien für Kraftwerkswartungsarbeiten zur Anwendung in der Praxis H. 2, S. 175

Neubert, B., siehe Manns, W.: H. 3, S. 244—248

Neufert, R., und Zürbig, J.: Prüfung und Auslegung von SCR-DENOX-Katalysatoren auf Basis TiO_2 für Rauchgasreinigungsanlagen H. 12, S. 1042—1044

Neurohr, A., siehe Trondt, L.: H. 3, S. 231—235

Nieder, R.: Schlußfolgerungen für die HTR-Chemie aus 21 Jahren AVR-Betrieb H. 11, S. 974

Niemann, H.-J.: Beeinflussung der Windlasten durch Neubauten in Kraftwerksanlagen H. 8, S. 717

Nopper, H., siehe Kastner, W.: H. 11, S. 939—948

Nordin, S., siehe Jansson, S.A.: H. 12, S. 1056

Novak, M., siehe Hannemann, H.: H. 12, S. 1059

Nowotny, P., siehe Buchmayr, B.: H. 9, S. 749—753

Oeljeklaus, G., siehe Pruschek, R.: H. 8, S. 633—639

Ott, G.: Die Entwicklung des globalen Energiebedarfs im Spannungsfeld zwischen Nord und Süd H. 5, S. 369—372

Panagiotidis, T., siehe Jung, J.: H. 11, S. 971

Panek, N.: Persönliche Schutzmaßnahmen bei der Entsorgung von asbesthaltigen Stoffen H. 7, S. 624

Pautz, D., siehe Schenkel, W.: H. 7, S. 596—601

Pelz, W., siehe Hey, W.: H. 12, S. 1055

Peschen, N., und Plank, F.-W.: Bunkerung, Transport und Dosierung von Kalk H. 9, S. 787—789

Pich, R., siehe Leithner, R.:
H. 6, S. 446—457

Pieper, H., siehe Mayer-Schwinning, G.:
H. 4, S. 332—336

Pieper, H., siehe Zschocher, H.:
H. 5, S. 430

Pitt, R.U., siehe Michelfelder, S.:
H. 12, S. 1054

Pitt, R., siehe Reinartz, A.: H. 12, S. 1057

Plaisier, L.: Neuere Entwicklungen der Pulverharz-Anschwemmfiltration für die Kondensatreinigung in SWR-Kernkraftwerken
H. 11, S. 973

Plank, F.-W., siehe Peschen, N.:
H. 9, S. 787—789

Plass, L.: Wirbelschichttechnik für Vergasung, Verbrennung, Trocknung und Gasreinigung und ihre Anwendung in Kraftwerken
H. 12, S. 1054

Plate, M., siehe Reppekus, C.: H. 5, S. 429

Plepla, K.-H.: Betriebserfahrungen mit dem Heizkraftwerk Römerbrücke, Saarbrücken
H. 12, S. 1057

Plür, R.: Erfahrungen mit Maßnahmen zur Reduzierung von Korrosion und rauchgasseitiger Ablagerung auf den Heizflächen von Müllverbrennungskesseln
H. 8, S. 694—701

Podhorsky, M.: Entwicklungen beim hydraulischen Aufweiten von Rohren
H. 6, S. 502—504

Pötz, F., siehe Wolf, M.: H. 9, S. 778—781

Pook, H., siehe Barin, I.: H. 5, S. 429

Poptodorov, H., siehe Knoche, K.F.:
H. 8, S. 640—643

Postel, G., siehe Böck, H.:
H. 4, S. 342—346

Potthast, U.: Umweltschutz und Technisches Regelwerk H. 3, S. 181—186

Prenzel, H., und Gutberlet, H.: Arbeitsergebnisse der VGB-Arbeitsgruppe „Analytik von REA-Abwasser"
H. 11, S. 972

Pruschek, R., und Oeljeklaus, G.: Potentielle CO_2-Emissionsminderungsverfahren
H. 8, S. 633—639

Radke, M., Siekmann, H.E., und Taenzer, L.: Untersuchung kostenbestimmender Faktoren bei Kreiselpumpen in Rauchgasentschwefelungsanlagen (REA)
H. 4, S. 346

Rahm, J., siehe Hüsch, J.:
H. 6, S. 494—497

Rahm, J., siehe Wahl, D.-J.: H. 1, S. 43—46

Rasmussen, I., Holm, E.L., und Hansen, L.K.: Multi-zirkulierende Wirbelschicht-Demonstrationsanlage für Kohle und Biomasse
H. 12, S. 1059

Rauhe, H.: Musik und Energie: Ein Beitrag zur Wirkung von Musik H. 1, S. 2—7

Rehmann, M., siehe Girod, W.D.:
H. 2, S. 177

Rehwinkel, H., siehe Heinrich, F.:
H. 12, S. 1058

Reimann, U., siehe Dibelius, G.:
H. 9, S. 762—768

Reinartz, A., Pitt, R., und Erbe, G.: Betriebsergebnisse mit dem druckaufgeladenen Wirbelschicht-Dampferzeuger im Heizkraftwerk der RWTH Aachen
H. 12, S. 1057

Reinhard, R., siehe Stebel, H.:
H. 12, S. 1025—1028

Reiter, K., siehe Künstle K.:
H. 2, S. 106—114

Rensch, R., siehe Stebel, H.:
H. 12, S. 1025—1028

Renz, U., siehe Braun, A.:
H. 12, S. 1056

Renz, U., siehe Verweyen, N.:
H. 12, S. 1060

Reppekus, C., und Plate, M.: Neue Verwertungsmöglichkeitem für staubförmige Rückstände aus der Hausmüllverbrennung
H. 5, S. 429

Rettemeier, W., siehe von der Kammer, G.:
H. 5, S. 412—417

Richter, E., Bonn, B., Kirchhoff, R., und Romey, I.: Emissionsmindernde Maßnahmen an atmosphärischen Wirbelschichtfeuerungen H. 12, S. 1055

Riedle, K.: Die Erhöhung des Kraftwerkswirkungsgrades in der Vergangenheit und Zukunft H. 3, S. 250

Riedle, K., siehe Künstle, K.:
H. 2, S. 106—114

Riedlinger, R.A., und Scheemann, H.J.: Organisation des Brandschutzes in Kraftwerken unter besonderer Berücksichtigung der Kraftwerke der Stadtwerke Düsseldorf
H. 11, S. 926—931

Rieger, W., siehe Lipken, H.:
H. 10, S. 837—844

Rischmüller, H.: Tiefbohrtechnik als Schlüsselinstrument der Energietechnik
H. 8, S. 716

Risse, F.: Praktizierte Sicherheit im Fernwärmenetzbetrieb H. 11, S. 932—938

Röder, G., Weidlich, H.-G., und Gernhardt, A.: Kraftwerke, Kraftwerkstechnik und Kraftwerksplanung in der ehemaligen DDR H. 12, S. 991—994

Roesler, J.: Die Standardisierung für Kraftwerke in der DDR H. 9, S. 742—748

Romey, I., siehe Richter, E.:
H. 12, S. 1055

Rompel, H.-D., siehe Hannemann, H.:
H. 12, S. 1059

Roofthooft, R.: Umkehr-Elektrodialyse und Ionenaustausch zur Wasseraufbereitung für ein fossilbefeuertes Kraftwerk
H. 11, S. 970

Roos, E., siehe Kußmaul, K.:
H. 7, S. 553—565

Rost, M., siehe Fütter, V.:
H. 11, S. 906—911

Roth, M., siehe Knoche, K.F.:
H. 8, S. 640—643

Rouselle, H., siehe Coic, P.: H. 8, S. 716

Rozanski, K.: Stand der Technik bei kontinuierlich arbeitenden Bandfiltersystemen für die Filtration/Waschfiltration von REA-Gips — Betriebserfahrungen H. 4, S. 348

Rudloff, W., und Schulte, R.: Vertrauensbildende Maßnahmen für die Kernernegie
H. 12, S. 988—990

Rudolph, W., und Bergmann, M.: Steigerung der Dauerhaftigkeit bei Kühltürmen
H. 8, S. 715

Rühle, W., siehe Staudt, U.:
H. 9, S. 799—802

Rühle, W., Hoffmann, W., und Civin, V.: Messung von Kohlenstoffdioxid in Wasser-Dampfkreisläufen und in geschlossenen Kühlkreisläufen von DWR- und SWR-Anlagen (Teile 1 und 2) H. 8, S. 708—714

Rullik, W.: Betrieb kleiner und mittlerer Heizwerke — Probleme infolge unzure ichender Wasseraufbereitung und Betriebsweise
H. 11, S. 970

Ryan, G., siehe Horgan, G.:
H. 12, S. 1007—1010

Sacher, H.: Betriebsbegleitende Bauteilüberwachung in Kernkraftwerken
H. 9, S. 773—777

Sailer, G.: Auslegung und Konstruktion von Ventilatoren mit größerer Druckerhöhung (0,25 bar) für Wirbelschichtfeuerungen
H. 4, S. 350

Sander, B., siehe Agerholm, B.:
H. 4, S. 337—341

Schallert, B., und Gutberlet, H.: Untersuchung von DENOX-Katalysatoren mit einem Katalysatorprüfstand für ganze Elemente H. 11, S. 972

Scheemann, H.J., siehe Riedlinger, R.A.:
H. 11, S. 926—931

Scheffknecht, G., siehe Dering, W.:
H. 12, S. 1056

Schegk, C.-D., siehe Haller, M.:
H. 11, S. 973

Schellberg, W., und Wetzel, R.: Neue Erkenntnisse zur Kohledruckvergasung im Flugstrom H. 3, S. 221—225

Schendler, W., siehe Lindemann, J.:
H. 4, S. 347

Schenkel, W., Barniske, L., Pautz, D., und Glatzel, W.-D.: Müll als CO_2-neutrale Energieressource? H. 7, S. 596—601

Schenker, E., siehe Loner, H.: H. 11, S. 972

Schepers, W., siehe Flötgen, B.:
H. 10, S. 845—849

Schilling, H.-D.: Kurzbericht über die Tätigkeit der VGB 1989/90 H. 9, S. 721—741

Schirmer, U., und Boddenberg, G.: Besonderheiten des Brandschutzes in Hausmüllverbrennungsanlagen H. 8, S. 670—673

Schleithoff, K., und Emshoff, H.-W.: Optimierung der Konditionierung von Generatorkühlwasser H. 9, S. 794—798

Schlicker, W.: Erstellung einer Anlagendokumentation mit Hilfe von Fotogrammetrie und 3-D-CAD H. 12, S. 1011/1012

Schliephacke, J.: Sicherheitsingenieur im Umfeld neuer Aufgaben — Berater für Organisation und Führung in Arbeitssicherheit und Koordinator für Betriebsbeauftragte H. 7, S. 624

Schmidt, M.: siehe Braunstein, L.: H. 11, S. 972

Schmitt, H.: Betriebserfahrungen mit Gasturbinen nach 50 000 Betriebsstunden H. 7, S. 539—544

Schmitt, M., siehe Mattel, K.: H. 4, S. 351

Schneider, D., und Horch, K.: Das Babcock-Brenn-Schmelz-Verfahren H. 5, S. 430

Schneider, G., siehe Hinterthan, W.: H. 2, S. 177

Schneider, J., siehe Vehlow, J.: H. 5, S. 430

Schneider, W., siehe Heer, H.: H. 6, S. 469—473

Schnieder, K., siehe Fritz, P.: H. 2, S. 122—125

Schnier, W.: Instandsetzung von Betonoberflächen im Kopfbereich von Schornsteinen H. 6, S. 505—507

Schobesberger, P., siehe Gasteiger, G.: H. 6, S. 440—445

Schoedel, J., und Mertens, K.: Kraftwerke mit Vorschaltgasturbinen und Kohlevergasung H. 3, S. 195—200

Schöngrundner, W., Marr, R.-J., und Maier, H.: Über das Reaktionsverhalten von Kalkstein in Braunkohlen-REA H. 8, S. 689—693

Scholl, E.-W.: Brenn- und Explosionsverhalten von Kohlenstaub H. 7, S. 574—576

Schreiber, L., siehe Gutberlet, H.: H. 11, S. 959—968

Schröder, H.: Die Umsetzung von Abfallwirtschaftskonzepten und die Verwendung von Müllverbrennungsasche H. 5, S. 428

Schubenz, D.: Müllverbrennungsaschen als Baustoff für Tragschichten mit hydraulischen Bindemitteln H. 5, S. 428

Schubert, F.: Das Teillastverhalten von Kreiselpumpen — Ursachen und Auswirkungen im Betrieb H. 4, S. 349

Schubert, J., und Weigelt, K.: Konstruktive Maßnahmen an Turbogeneratoren bei Umstellungen von Grundlast- auf Spitzenlastbetrieb zwecks Vermeidung von Schäden H. 9, S. 754—761

Schüler, U.: Stand der Mahltechnik in Kraftwerken H. 7, S. 577—595

Schug, H., siehe Comfère, W.: H. 5, S. 428

Schulte, J.: Entwicklungsstand des Niedersächsischen Salzkavernenprojektes H. 5, S. 429

Schulte, R., siehe Rudloff, W.: H. 12, S. 688—690

Schulz, R., und Müller, H.-H.: Planung und Inbetriebnahmeerfahrungen im MHKW Moabit mit zirkulierender Wirbelschichtfeuerung H. 12, S. 1057

Schulze, D., und Schwedes, J.: Lagern und Fließen von Schüttgütern in Silos und Erkenntnisse für die Planung neuer Anlagen H. 9, S. 782—786

Schumacher, B., siehe Fritz, P.: H. 2, S. 122—125

Schwarz, D., siehe Knizia, K.: H. 12, S. 983—987

Schwarzer, K.H.: Stand der Technik im Rührwerksbau für die Rauchgasentschwefelung H. 4, S. 349

Schwedes, J., siehe Schulze, D.: H. 9, S. 782—786

Seiter, M., siehe Wirth, K.-E.: H. 12, S. 1060

Seitz, G.: Erfahrungen mit der Unfallverhütungsvorschrift „Kernkraftwerke" aus der Sicht der Berufsgenossenschaft H. 7, S. 626

Siekmann, H.E., siehe Radke, M.: H. 4, S. 346

Simon F., siehe Stein, U.: H. 12, S. 1057

Skubatz, W., siehe Brinkmann, C.: H. 10, S. 821—826

Sorke, W., und Helm, K.-H.: DV-gestütztes Dokumentationssystem für die Anlagenerfassung und -verwaltung bei bestehenden Anlagen H. 10, S. 854—856

Sperling, D.: Einsatz von neuen Technologien im Vermessungswesen H. 7, S. 615—618

Spliethoff, H., siehe Heinrich, F.: H. 12, S. 1058

Stahl, D., siehe Hassmann, K.: H. 3, S. 252

Starke, W.: Wartung und Instandhaltung von Rauchgasklappen und Schiebern in REA- und DENOX-Anlagen H. 2, S. 175

Staudt, U., Rühle, W., und Hoffmann, W.: Radiolysegasmessungen im Wasser-Dampfkreislauf einer SWR-Anlage H. 9, S. 799—802

Stebel, H., Reinhard, R., und Rensch, R.: DV-gestützte Dokumentation und Instandhaltung der STEAG H. 12, S. 1025—1028

Steeg, H.: Integration von Energie- und Umweltschutzpolitik aus internationaler Sicht H. 5, S. 363—368

Steege, F., siehe Leithner, R.: H. 6, S. 446—457

Stein, U., und Simon, F.: Betriebserfahrungen des Industriekraftwerkes der Bayer AG in Leverkusen mit zirkulierender Wirbelschichtfeuerung H. 12, S. 1057

Steiner, R.: Vermeidung von Stillstandskorrosion bei Kraftwerkskomponenten H. 4, S. 349

Steinmetz, D., siehe Mohr, G.: H. 11, S. 971

Stellwag, B., siehe Haag, J.: H. 3, S. 236—241

Stemmeler, H., siehe Lasch, M.: H. 2, S. 146—150

Steven, H., siehe Berger, F.: H. 12, S. 1057

Stieglitz, L., siehe Vehlow, J.: H. 5, S. 430

Stolte, J., siehe Mattel, K.: H. 4, S. 351

Stremme, J.: Einfluß von Gegendruck auf das Funktions- und Leistungsverhalten von Sicherheitsventilen H. 4, S. 352

Strobl. Th.: Derzeitige und zukünftige Nutzung der weltweiten Wasserkraftreserven im Hinblick auf Ressourcenschonung und CO_2-Vermeidung H. 3, S. 252

Strohhäcker, J., siehe Fichte, W.: H. 6, S. 498—501

Stürzelmayer, H., Böhm, A., und Wagner, H.: Schalltechnische Planung und Abnahmemessung des HKW Moabit mit zirkulierender Wirbelschichtfeuerung H. 12, S. 1061

Sturm, D., siehe Kußmaul, K.: H. 7, S. 553—565

Szabó, A.: Umgang mit Ammoniak H. 7, S. 624

Taenzer, L., siehe Radke, M.: H. 4, S. 346

Taler, J.: Messung der Wärmebelastung der gasdicht verschweißten Verdampfer-Rohrwände in Dampferzeugern H. 8, S. 644—650

Temme, H.-G.: Bauvorschriften für die Lagerung wassergefährdender Stoffe H. 9, S. 769—772

Tenckhoff, B.: Umsetzen neuer Gesetze und Vorschriften in die Betriebe am Beispiel der Gefahrstoffverordnung H. 2, S. 115—121

Tenckhoff, E., siehe Vazoukis, G.: H. 1, S. 60—67

Tinapp, J., und Hansen, O.: Das Kombi-Kraftwerk der EBR-Leiden — modernste Technik in alten Mauern H. 4, S. 313—318

Töpfer, K.: Der deutsche Beitrag zum Umweltschutz und zur Ressourcenschonung H. 5, S. 359—363

Töpsch, N.: Mechanische Förder- und Lagersysteme für REA-Gips H. 4, S. 348

Traupe, A.: Sicherheitstechnische Regelungen für Rauchgasreinigungsanlagen (RRA) H. 7, S. 623

Trefz, M., und Muschelknautz, E.: Erweiterung der Zyklontheorie für hochbeladene Strömungen in zirkulierenden Wirbelschichtfeuerungen H. 12, S. 1059

Trondt, L., siehe Angenend, F.J.: H. 1, S. 36—42

Trondt, L., und Neurohr, A.: Emissionsüberwachungstechnik, integraler Bestandteil der Abgasreinigung bei Neuanlagen H. 3, S. 231—235

Truppat, R., siehe Markgraf, B.: H. 7, S. 612—614

Tscheschlok, K., siehe Klein, H.: H. 5, S. 430

Ullmann, K.: Technische und politische Perspektiven der Erzeugung von elektrischer Energie in den USA H. 2, S. 102—105

Vazoukis, G., und Tenckhoff, E.: Erfassung auch des Übergangsbereiches zwischen der linear-elastischen Bruchmechanik (Sprödbruch) und der plastischen Grenzlast (Zähbruch) H. 1, S. 60—67

VDEW-VGB-Gemeinschaftsausschuß „Reststoffe und Abfälle": Verwertungskonzept für Reststoffe aus Kohlekraftwerken (ergänzt durch Öl-, Gas-, Kern- und Wasserkraftwerke), Teil III: Rückstände aus der Wasser- und Abwasseraufbereitung H. 12, S. 1033—1041

Vehlow, J., Braun, H., Merz, A., Schneider, J., Stieglitz, L., Vogg, H., und Fahlenkamp, H.: Das 3-R-Verfahren zur Behandlung von Stäuben aus der Müllverbrennung H. 5, S. 430

Venz, H., siehe Bräsel, E.: H. 11, S. 974

Verhoeff, F., siehe Bartelink, M.E.M.: H. 12, S. 1061

Verweyen, N., Braun, A. und Renz, U.: Modellierung der Kohleverbrennung in Wirbelschichtanlagen H. 12, S. 1060

Veser, K., und Müller-Odenwald, H.: Betriebserfahrungen mit dem Katalysator-Luvo H. 3, S. 209—213

Vetter, H.: Zuverlässigkeit von Kraftwerken am Beispiel des Kraftwerkes Neurath H. 6, S. 437—439

VGB-Fachausschuß „Austausch von Betriebserfahrungen — ABE — (Kerntechnik)": Betriebserfahrungen mit Kernkraftwerken 1989 H. 4, S. 257—312

VGB: Bericht über die Eröffnungsveranstaltung VGB-Kongreß „Kraftwerke 1990" H. 10, S. 810—820

Vistbacka, B., und Glasbrenner, R.: Hydrodynamischer Mehrkreisregelantrieb als Speisepumpenantrieb — Auslegungskriterien und Betriebserfahrungen H. 4, S. 350

Völkel, G., siehe Woelke, M.: H. 12, S. 1058

Vogg, H., siehe Vehlow, J.: H. 5, S. 430

Wagner, H., siehe Stürzelmayer, H.: H. 12, S. 1061

Wagner, H.J.: CO_2-Minderung durch rationelle Energieverwendung H. 3, S. 253

Wagner, K., und Hammacher, P.: Der Brand in der Rauchgasreinigungsanlage des Blokkes C im Kraftwerk Neurath und daraus abgeleitete Brandschutzmaßnahmen für REA-Baustellen H. 10, S. 850—853

Wagner, W., siehe Lipken, H.: H. 10, S. 837—844

Wahl, D.-J., Rahm, J., und Grimm, H.-H.: Erfahrungen mit der Rauchgasentschwefelung nach dem Wellman-Lord-Verfahren H. 1, S. 43—46

Wakonig, H., siehe Buchmayr, B.: H. 9, S. 749—753

Waltenberger, G., und Mattern, P.: Einsatz austenitischer Werkstoffe in Dampfkesseln H. 1, S. 68—76

Walter, K.H., siehe Knappenberger, E.: H. 8, S. 702—707

Wang, J., siehe Leithner, R.: H. 12, S. 1060

Wasel-Nielen, J., siehe Wutte, G.: H. 11, S. 971

Watzel, G.V.P.: Erfahrungen mit dem Abbau des Versuchsatomkraftkraftwerkes Kahl (VAK) H. 5, S. 409—411

Weber, H., und Wellnitz, G.: Zustandsbeschreibung zeitstandbeanspruchter Werkstoffe H. 2, S. 176

Weber, R., siehe Effertz, P.-H.: H. 12, S. 1045—1049

Weiand, G., siehe Klare, K.: H. 11, S. 919—921

Weidlich, H.-G., siehe Röder, G.: H. 12, S. 991—994

Weigand, G., siehe Klare, K.: H. 11, S. 919—921

Weigelt, K., siehe Schubert, J.: H. 9, S. 754—761

Wein, W., siehe Felwor, P.: H. 12, S. 1054

Weinmann, W.: Aktuelle Entwicklungen im Gefahrstoffrecht H. 7, S. 624

Weinzierl, K.: Neue Kraftwerkskonzepte für Steinkohle H. 5, S. 393—399

Weiss, H., und Hamilton, C.: Trocknung von Braunkohle in der Dampfwirbelschicht H. 12, S. 1061

Welfonder, E.: Netzregelverhalten bei fluktuierender Einspeisung und zugehörige Reservehaltung
Teil 1: H. 3, S. 214—220
Teil 2: H. 4, S. 324—331

Wellnitz, G., siehe Haas, R.: H. 2, S. 176

Wellnitz, G., siehe Weber, H.: H. 2, S. 176

Werner, H.-P.: Bewertung des Risikos durch Legionellen in technischen Einrichtungen und der Stellenwert von Kraftwerks-Kühlkreisläufen H. 11, S. 969

Wetzel, R., siehe Schellberg, W.: H. 3, S. 221—225

Wiechers, R., und Klepser, B.: Brandschutzorganisation im Gemeinschaftskernkraftwerk Neckar (GKN) H. 7, S. 550—552

Wieckert, Ch., siehe Jodeit, H.: H. 5, S. 429

Wilhelmi, J.: Asbestfreie Dichtungen und F[illegible]kungen in Energieanlagen H. 2, S. 177

Willmes, O.: Strukturuntersuchungen an betriebsbelasteten Beschichtungen und Gummierungen in Rauchgasreinigungsanlagen H. 2, S. 165—172

Winkler, R.: Chemie in Kernkraftwerken unter dem Blickwinkel von OSART H. 11, S. 972

Winske, P., siehe Heinrich, F.: H. 12, S. 1058

Wirth, K.-E.: Betriebsverhalten zirkulierender Wirbelschichtfeuerungen H. 12, S. 1060

Wirth, K.-E., Molerus, O., und Seiter, M.: Feststoffkonzentrationen und -geschwindigkeiten in wandnahen Bereichen zirkulierender Wirbelschichten H. 12, S. 1060

Wittchow, E., siehe Kefer, V.: H. 10, S. 827—832

Woelke, M., Herbert, P., Mielke, H., und Völkel, G.: Energieerzeugung aus Abfall durch zirkulierende Wirbelschichtvergasung H. 12, S. 1058

Wolf, M., und Pötz, F.: Prüfung und Austausch von Brennelement-Zentrierstiften im Kernkraftwerk Biblis A H. 9, S. 778—781

Wolfering, G., siehe Kassebohm, B.: H. 8, S. 674—680

Wollmann, H.-J.: Gefahren durch den Restkohlegehalt in heißen Flugaschen H. 6, S. 474—478

Wutte, G., Bartetzko, J., und Wasel-Nielen, J.: Einsatz von Multistepsystemen als Arbeits- oder als Feinreinigungsfilter bei der Vollentsalzung von Wasser H. 11, S. 971

Zihla, W.: Konzept und Betriebsergebnisse einer Industrie-Kesselanlage für Braunkohlen-Fertigstaub H. 1, S. 27—30

Zimbelmann, R., siehe Manns, W.: H. 3, S. 244—248

Zschocher, H., siehe Mayer-Schwinning, G.: H. 4, S. 332—336

Zschocher, H., Pieper, H., und Mayer-Schwinning, G.: Inertisierung von Reststoffen aus thermischen Abfallverwertungsanlagen durch Verglasung (Solur-Verfahren) H. 5, S. 430

Zürbig, J., siehe Neufert, R.: H. 12, S. 1042—1044

In den 12 Heften des Jahrgangs 70 (1990) sind enthalten:

1	2	3	4	5	6
1 — 96	97 — 180	181 — 256	257 — 356	357 — 436	437 — 524
7	8	9	10	11	12
525 — 632	633 — 720	721 — 808	809 — 884	885 — 980	981 — 1068

Sachverzeichnis 1990

ABE-Ausschuß, Jahresbericht 1989 70:257—312

Abfälle, Inhaltsstoffe 70:36

Abfallmengen 70:596

Abhitzekessel, GUD-Prozeß 70:440—445

Ablagerungen im Wasser-Dampfkreislauf, Herkunft und Auswirkungen 70:608—611

Abrasion, Schutzmaßnahmen 70:1016, 1017

Abwasser
- Entfernung von Ammoniak aus Abwässern von DWR-Anlagen 70:702—707
- Herkunftsbereiche, Aufbereitung, Mindestanforderungen an das Einleiten in Gewässer 70:132—137
- aus MVA 70:36, 126

Abwassergesetzgebung, Konsequenzen für den Kraftwerksbetrieb und die chemische Überwachung 70:132—137

Aerosolfilter 70:604

Akzeptanz der Technik 70:885

Alkalische Fahrweise bei wassergekühlten Generatoren 70:794—798

Ammoniak 70:122
- Bestimmung in Rauchgasen 70:242,243
- Reduzierung in Abwässern aus DWR-Anlagen 70:702—707
- Versorgung 70:122

Ammoniaklösung
- Aufbereitung 70:123
- Handhabung 70:122
- Lagerung 70:123
- technische Eigenschaften 70:122
- wäßrige 70:122

Ammoniak-Lagerbehälter, Rißbildung in Schweißnähten 70:151—157

Ammoniakwasser 70:494

Ammonsulfat 70:604

Analyse
- Qualitätssicherung bei der Auswertung chemischer Analytik 70:612—614
- Rauchgase, Bestimmung von Ammoniak und Schwefeltrioxid 70:242, 243
- Stickstoffoxide in Rauchgasen mit FT-IR-Spektroskopie 70:342—346

Anlagen, überwachungsbedürftige 70:857

Anlagenerfassung, DV-gestützt 70:854

Arbeitsschutzkleidung, Fernwärmeversorgung 70:934

Arbeitsverfügbarkeit und -Nichtverfügbarkeit von Kraftwerken 70:437—439

Auftauanlage für Waggonentladung von Kohle 70:1033

Auslaufverhalten von Flugaschesilos 70:418

Austenitische Werkstoffe in Hochtemperatur-Dampfkesselanlage 70:68—76

Austragorgane für Silos 70:784, 785

automatische Emissionsüberwachung 70:231

Automatisierung der Überwachung von Wasser-Dampfkreisläufen mit einem Meßdatenerfassungssystem 70:498—501

AVR, Betriebsergebnisse 1989 70:259

Bauteil
- Erfassung der Belastung 70:775
- Schäden durch thermische Beanspruchung 70:775

Bauteilüberwachung in Kernkraftwerken 70:773

Bekohlungsanlage im Heizkraftwerk Herne 70:1029—1032

Berechnung
- Bruchmechanik 70:63—67
- Leck-vor-Bruchverhalten von Rohrleitungen 70:555—565
- Wandtemperaturdifferenzen 70:449

Beschichtungen 70:77, 81, 165
- magnetische Permeabilität 70:764
- Rauchgasreinigungsanlagen, Blasenbildung 70:1045—1049
- Rauchgasreinigungsanlagen, Systemaufbau 70:165
- Rauchgasreinigungsanlagen, Untergrundvorbehandlung 70:165
- Probennahme, Präparation 70:167
- Strukturuntersuchungen in Rauchgasreinigungsanlagen 70:165

Beton mit Flugasche
- Carbonatisierung 70:244
- Dauerhaftigkeit 70:244
- Frostwiderstand 70:244
- Nachbehandlung 70:244
- Verschleißwiderstand 70:244

Betriebserfahrungen
- Gasturbinen 70:539, 651, 912
- Kernkraftwerk Krümmel 70:191
- Kernkraftwerke 1989 70:257
- Kombi-Anlage 70:458, 464
  - THTR 70:9

Betriebsführungssystem, Einbindung von DV-gestützten Instandhaltungssystemen 70:1026

Blasenbildung an Glasflake-Kunstharzbeschichtungen in REA 70:1045—1049

Brand
- in filternden Entstaubern 70:476, 477
- in Rauchgasreinigungsanlage 70:850

Brandschutz
- in Kraftwerken, Ertüchtigungs- und Ersatzmaßnahmen 70:957
- in MVA 70:670
- Löschwasser-Rückhalteanlagen, Sicherheitskategorien 70:771, 772

Brandschutzmaßnahmen in Rauchgasreinigungsanlagen 70:852

Brandschutzorganisation
- in Kernkraftwerken 70:550
- in konventionellen Kraftwerken 70:926

Brandschutztechnische Bewertung von Kraftwerken 70:957

Braunkohle-Kombi-Kraftwerk 70:401—405

Braunkohlen-Fertigstaub
- Betriebserfahrungen 70:29, 30
- Feuerungen, am Großwasserraumkessel 70:27—30
- Kesseltechnik und Brennerkonstruktion 70:27—29
- Tauchdosierförderer 70:28

Brennelement-Zentrierstift, Prüfung und Austausch 70:778

Brenn- und Explosionsverhalten von Kohlenstaub 70:574—576

Brennkammerrohrwände, Wärmebelastung 70:644

Brennstoffstufung bei Verbrennung 70:570

Brückenkratzer zum Ausstapeln im Kohlenlager 70:1031

Bruchmechanik 70:60—67

Bundes-Immissionsschutzgesetz, Änderungen 1989 70:184, 185

Bunkerung von Brennstoffen 70:579

Chemikaliengesetz, Auswirkungen auf den Kraftwerksbetrieb 70:115

Chemische Laboratorien, Qualitätssicherung bei der Auswertung von Analysen 70:612—614

Claus-Anlage 70:45

Chloridkonzentration, Einfluß auf Korrosionen in REA 70:949

CO_2, Abtrennung aus Rauchgasen
- Ausschleusung 70:635—639
- Entsorgung 70:635—639

CO_2-Emissionen
- mögliche Minderung in der öffentlichen Stromversorgung 70:382—387
- Senkung in der öffentlichen Stromversorgung 70:377, 382—387

CO_2-Emissionsminderungsverfahren 70:633—639

CO_2-freie/ärmere Energieträger 70:384, 385

CO_2-Minderung 70:721
- Beitrag der Kernenergie 70:387—392
- Ressourcenschonung 70:249—253

CO_2-neutrale Abfallwirtschaft 70:596

CT-Proben (ASTM E 813) 70:60—67

Dampferzeuger
- Druckverlust einer Zweiphasenströmung 70:829
- Emissionsminderung und Wirkungsgraderhöhung 70:821, 824
- Expertensystem 70:749—753
- Feuerungsoptimierung zur NO_x-Minderung 70:862—868
- Kesselschutz gegen Schäden 70:1009, 1010
- kohlebefeuert, für Kombi-Block 70:412—417
- Lebensdauerverlängerung 70:821
- Massenstromschwingungen 70:831, 832
- Messung von Redoxpotentialen während des Betriebes 70:236—241
- Modernisierungsmaßnahmen 70:821—826
- Rechenprogramm für Auslegung 70:829
- Reparaturmaßnahmen nach Verdampferschaden 70:1007, 1008
- Schaden am Verdampfer 70:1007—1010
- Schadensablauf bei einem Verdampferschaden 70:1008, 1009
- Schadensanalyse mit Expertensystem 70:749—753
- Schadensursachenbehebung 70:823
- Verfügbarkeitserhöhung 70:823
- Wärmeübergang 70:828

DDA-Mitteilungen 70:619, 620

DDR, ehemalige
- Altersstruktur der Kraftwerke 70:991—994
- Braunkohlegebiete 70:991—994
- Kraftwerke 70:991—994
- Kraftwerksplanung 70:991—994
- Kraftwerkstechnik 70:991—994
- Standardisierung für Kraftwerke 70:742—748

Deionat, Gewinnung aus Kühlwasser mittels Umkehr-Elektrodialyse und Vollentsalzung 70:422—427

Dekontamination von Manipulatoren in Kernkraftwerken 70:920

DENOX, siehe Stickoxidminderung

DENOX-Anlagen
- Bestimmung von Ammoniak und Schwefeltrioxid 70:242, 243
- SCR 70:122

DENOX-Gavo 70:209

DENOX-Katalysatoren
- Prüfung und Auslegung 70:1042—1044
- SO_2-Konversion 70:959—968

DENOX-Luvo 70:209

dezentrale Energieversorgung 70:377—381

dickwandige Bauteile, Bestimmung der Temperaturdifferenz 70:446

Diagnosemittel zur Früherkennung von Schäden
- Anlagenleistungsüberwachung 70:833—836

Dioxine 70:332, 487, 491, 678

Dioxine und Furane 70:677

Dokumentation, Erstellung einer Anlagendokumentation 70:1011, 1012

Dokumentationssystem für Anlagenerfassung und -Verwaltung 70:854

Drehmoment, Prüfung der Abschaltwerte 70:923

Druckverlust einer Zweiphasenströmung 70:829

Druckwasserreaktoren
- Behandlung ammoniakhaltiger Abwässer aus dem Sekundärkreislauf 70:702—707
- fortschrittliche (FDWR) 70:535
- Messung von Kohlenstoffdioxid im Wasser-Dampfkreislauf und in geschlossenen Kühlkreisläufen 70:708—714
- On-line-Messung von Redoxpotentialen in Dampferzeugern 70:236—241

DV-Anwendung in integrierten Instandhaltungssystemen 70:469

EG-Richtlinien, Schutzausrüstung 70:861

Einblasung von Kohlenstaub 70:579

Einspeichergerät im Kohlenlager 70:1031

Elektrizitätswirtschaft in Frankreich 70:901—905

Elektrodialyse zur Deionat-Gewinnung aus Kühlwasser 70:422—427

Eluatuntersuchungen 70:36

Emissionen
- Entwicklung der SO_2- und NO_x-Emissionen aus Großfeuerungsanlagen 70:721
- Messung von Stickstoffoxiden 70:342—346
- rauchgasflüchtige und filtergängige Schwermetalle aus einer Braunkohlefeuerung 70:876—889
- saure Partikel in Verbindung mit NO_x-Minderungsmaßnahmen 70:959—968

Emissionsgrenzwerte
- Kohlekraftwerke, Entwicklung in Deutschland 70:1000—1006
- Wärmekraftwerke in 21 Ländern 70:1000

Emissionsminderungsverfahren, potentielle für CO_2 70:633—639

Emissionsüberwachung bei MVA 70:231

Emulsion Öl-Wasser zur NO_x-Reduzierung 70:869

Endschalter, Einstellung, Funktionsprüfung von Stellantrieben 70:924

Energie- und Umweltschutzpolitik
- Integration 70:363—368
- internationale Sicht 70:363—368

Energiebedarf, Entwicklung 70:369—372

Energietechnik in Frankreich, Stand und Zukunft 70:901—905

Energieverbrauch, ethische Aspekte 70:885

Energieversorgung
- dezentral 70:377—381
- Perspektiven in den 90er Jahren 70:890—894

Energieverwendung, rationell 70:377—381

Entstickung, siehe Stickoxidminderung

Entwicklung/Forschung im Kraftwerksbereich 70:890—894

Erfahrungen mit dem Heizkraftwerk Walsum 9 aus Inbetriebsetzung 70:545—549

Erosionskorrosion in Kraftwerksanlagen 70:939

Etagenofen 70:31

Ethische Verantwortbarkeit der Energietechnik 70:885

Europäischer Binnenmarkt, Arbeitsschutz 70:857

EWG-Vertrag
- EG-Konformitätszeichen 70:859
- Maschinen-Richtlinie 70:858
- Schutzklauselverfahren 70:859

Expertensystem
- Anwendungsbeispiele 70:749—753
- Schadensanalyse bei Dampferzeugern 70:749—753

Explosionsgefahr im Feuerraum durch heiße Flugasche mit Restkohlegehalt 70:474—478

Explosionskenngrößen von Kohlenstäuben 70:576

Explosionsverhalten von Kohlenstaub 70:574—576

Fachtagung „Forschung in der Kraftwerkstechnik" 70:810

Fehlverhalten von Komponenten, Früherkennung durch Anlagenleistungsüberwachung 70:833—836

Fernwärmebetrieb, Unfälle 70:938

Fernwärmenetz
— arbeitssicherheitstechnische Vorschriften 70:933
— Schachtbefahrung 70:934
— Sicherheit im Betrieb 70:932

Fernwärmeschächte, Be- und Entlüftung 70:937

Feuerungen 70:726

Filtration, Einsatz diverser Filtermaterialien bei der Reinigung von SBF 70:146—150

Fließfunktion und Fließfaktor 70:788

Fließverhalten
— feuchte Steinkohle 70:785
— Flugasche, Kenngrößenermittlung 70:480, 481
— Schüttgüter 70:418

Flügelsichter 70:583

Flugasche
— Einfluß der Lagerzeit auf Schüttguteigenschaften 70:479—486
— Gefahren durch Restkohlegehalt 70:474—478
— Langzeitlagerung 70:418—421

Flugaschesilos, Gefahr durch Restkohlegehalt 70:477, 478

Forschung/Entwicklung im Kraftwerksbereich, Anforderung in den 90er Jahren 70:890—894

fortgeschrittener Wasser-/Dampfprozeß 70:201—208

Fourier-Transform-Infrarot-Spektroskopie zur On-line-Messung von Stickstoffoxiden in Rauchgasen 70:342—346

Frankreich
— Energietechnik, Stand und Zukunft 70:901—905
— Kernkraftwerke 70:901—905

Fremdkraftmühlen 70:579

Früherkennung von Schäden durch Anlagenleistungsüberwachung 70:833—836

Fundamentsanierung 70:313

Gas- und Dampfturbinenprozesse 70:721

Gasturbinen
— Betriebserfahrungen 70:539, 651, 912
— Entwicklung 70:995
— Geschichte 70:995
— Kombi-Kraftwerk 70:845
— Korrosion an beschichteten Schaufeln 70:765
— Luftfilterung 70:539
— NO_x-Reduzierung 70:869
— Störumschaltung 70:464

Gasturbinenkraftwerk 70:319

Gefahrstoff
— Einwirkung auf den menschlichen Körper 70:116
— Substitution, Ersatzstoffe 70:116

Gefahrstoffverordnung
— Umsetzen in den Betrieb 70:115
— Unterweisung der Mitarbeiter 70:117
— Wassergefährdungsklasse 70:771

Genehmigungsverfahren, Auswirkungen auf die Planung 70:21—26

Generatorkühlung mit Wasser, Korrosionsverhalten von Kupfer 70:794—798

geodätische Messungen, Fundamentsetzungen 70:616

Gesetze und Vorschriften, Umsetzung in den Betrieb 70:115—117

Gesundheitsschutz im Europäischen Binnenmarkt 70:857

Gewebefilter 70:337

GHH-Gasturbine 70:319

Glasflake-Kunstharzbeschichtungen in REA, Ursachen und Mechanismen der Blasenbildung 70:1045—1049

Glasschmelztechnik zur Inertisierung von Verbrennungsrückständen 70:332

Glimmtemperatur von Kohlenstaub 70:575

Granulationsverfahren 70:604

Graphitrohrwärmetauscher 70:603

Großbritannien, Privatisierung der Stromversorgung 70:187—190

Großraum-Silo für Flugasche 70:418—421

Großwasserraumkessel mit Braunkohlen-Fertigstaub-Feuerung 70:27—30

Grundlast, Spitzenlast, Umstellung auf, konstruktive Maßnahmen 70:754—761

GUD-Prozeß
— Abhitzekessel 70:440—445
— Betriebserfahrungen mit Naturumlaufkesseln 70:440—445
— Verdampfersysteme, Naturumlauf, Zwangumlauf 70:440—445
— Wasser-Dampfkreislauf des Abhitzesystems 70:440

Guilleaume-Gedenkmünze, Verleihung an *G. Hirschfelder* (VGB-Kongreß „Kraftwerke 1990") 70:809

Gummierungen 70:49, 77, 165
— Rauchgaswäscher 70:664
— Strukturuntersuchungen in Rauchgasreinigungsanlagen 70:165
— weiche, Auskleidung der Wäscher 70:169

Halogen-Kohlenwasserstoffe, Einordnung nach Gefahrstoffverordnung 70:117

Harmonisierung, technische Konzeption 70:858

Hausmüll-Entsorgung 70:226

Hausmüll-Inhaltsstoffe 70:36

Heinrich-Mandel-Preis 1989 70:736

Heißwasseroxidation in Naturumlaufkesseln, Schadensmechanismen 70:53—59

Heizflächenabzehrung bei MVA 70:694

Heizkraftwerk Herne, Bekohlungsanlage 70:1029—1932

Heizkraftwerk Walsum 9, Auslegung, Inbetriebsetzung 70:545—549

Heizreaktoren 70:526

Hitzearbeit im Fernwärmebetrieb 70:937

Hochtemperatur-Dampfkesselanlage 70:68—76

Hochtemperaturreaktor
— industrielle Prozeßwärme 70:527
— Kohlevergasung 70:530
— Prozeßwärmeerzeugung 70:982
— zukünftige Bedeutung 70:721

Hochtemperaturschutzschicht
— VGB-Forschungsbericht Nr. 54 70:762
— zerstörungsfreie Messung 70:762

HTR-Modul 70:528

HTW-Vergasungsverfahren 70:403

hydraulisches Aufweiten von Rohren 70:502—504

Hydrazin, Dosierungssteuerung durch Redox-Potentialmessung in DWR-Dampferzeugern 70:236—241

HYTEX-Aufweitverfahren 70:502—504

Immissionen saurer Partikel 70:959—968

Inbetriebsetzungserfahrung mit Heizkraftwerk Walsum 9 70:545—549

Inertisierung von Verbrennungsrückständen 70:332

Informations- und Leistungsschau der Kraftwerksindustrie im Rahmen des Kongresses „Kraftwerke 1990" 70:810

Informationssystem für die Instandhaltung 70:469

Infrarotspektroskopie zur On-line-Messung von Stickstoffoxiden in Rauchgasen 70:342—346

Ingenieur-Vermessung, Anlagenüberwachung 70:615

Inspektion von Innengummierungen von Rauchgaswäschern 70:664

Instandhaltung
— DV-Anwendung 70:469
— DV-gestützte Dokumentation 70:1025
— DV-Stützung 70:469
— DV-Systeme 70:1025
— Rauchgasentschwefelungsanlagen 70:664
— vorbeugende, wiederkehrende Prüfung 70:922

Instandhaltungsarbeiten unter Dosisbelastung 70:1024

Instandhaltungssystem
— Datenstruktur und Aufbau 70:1026
— integriertes, DV-gestütztes System 70:471
— Kriterien auf PC-Basis 70:1025
— Perspektiven der DV-Stützung 70:473

Instandsetzung
— Bohrwerkzeuge mit Fernbedienung 70:1021
— Gummierungsschäden 70:665

Instrumentierung, Erfassung von thermischen Beanspruchungen 70:776

integrierte Kohlevergasungsverfahren 70:394—399

Investitionskosten für Kohlekraftwerke in Deutschland 70:1002

Investitionskostenminimierung von Kohlekraftwerken 70:15—20

Kalk, Bunkerung, Transport und Dosierung 70:787—789

Katalysatoren für DENOX-Anlagen, Prüfung und Auslegung 70:1042—1044

katalytischer Abbau von Stickoxiden und Dioxinen 70:491

Kationen-/Anionenaustauscher-Schaltung für die Kondensatreinigung 70:138—145

Kavitation an Kesselspeisewasserleitungen 70:1014

Kavitationserosion 70:939

Kennzeichnungssystem für Anlagenerfassung und -Verwaltung 70:854

Kernenergie
- Akzeptanzprobleme 70:988
- Anwendung für Prozeßwärmeerzeugung 70:982
- Beitrag zur CO_2-Minderung 70:387—392
- Einsatz und Weiterentwicklung in den 90er Jahren 70:890—894
- Gegenwart und Zukunft 70:97—101
- Perspektiven für das 21. Jahrhundert 70:721, 982
- Rolle in der Zukunft 70:97
- Vergleich zu anderen Primärenergiequellen 70:98
- Zukunftsperspektiven 70:100

Kernfluß in Bunkern 70:787

Kernkraftwerk
- Beznau, Betriebserfahrungen 1989 70:308, 309
- Biblis, Betriebserfahrungen 1989 70:266—269
- Borssele, Betriebserfahrungen 1989 70:299, 300
- Brokdorf, Betriebserfahrungen 1989 70:290, 291
- Brunsbüttel, Betriebserfahrungen 1989 70:276, 277
- Emsland, Betriebserfahrungen 1989 70:292, 293
- GKN, Betriebserfahrungen 1989 70:269—276
- Gösgen, Betriebserfahrungen 1989 70:309, 310
- Grafenrheinfeld, Betriebserfahrungen 1989 70:285
- Grohnde, Betriebserfahrungen 1989 70:289, 290
- Gundremmingen, Betriebserfahrungen 1989 70:287—289
- Isar I, Betriebserfahrungen 1989 70:277, 278
- Isar II, Betriebserfahrungen 1989 70:278, 279
- KNK II Karlsruhe, Betriebserfahrungen 1989 70:260, 261
- Krümmel, Betriebserfahrungen 1989 70:286, 287
- Leibstadt, Betriebserfahrungen 1989 70:310
- Obrigheim, Betriebserfahrungen 1989 70:261—263
- Olkiluoto, Betriebserfahrungen 1989 70:296—298
- Oskarshamn, Betriebserfahrungen 1989 70:300—302
- Philippsburg, Betriebserfahrungen 1989 70:281—283
- Ringhals, Betriebserfahrungen 1989 70:302—308
- Stade, Betriebserfahrungen 1989 70:263, 264
- Trillo, Betriebserfahrungen 1989 70:311, 312
- Unterweser, Betriebserfahrungen 1989 70:280
- Würgassen, Betriebserfahrungen 1989 70:264—266

Kernkraftwerke
- Abbau 70:409
- anlageninterne Notfallmaßnahmen 70:895
- Bauteilüberwachung, betriebsbegleitende 70:773
- Behandlung ammoniakhaltiger Abwässer in DWR-Anlagen 70:702—707
- Erfahrungen 1989 70:257—312
- in Frankreich 70:901—905
- Informationsstrategien 70:988
- Lastfolgebetrieb 70:192
- Messung von Kohlenstoffdioxid in Wasser-Dampfkreisläufen von LWR-Kernkraftwerken 70:708—714
- On-line-Messung von Redoxpotentialen in Dampferzeugern 70:236—241
- Radiolysegasmessungen im Wasser-Dampfkreislauf einer SWR-Anlage 70:799—802
- Reinigung schwerbrennbarer Flüssigkeiten 70:146—150
- Risikoanalysen 70:895
- Sicherheitsziele 70:899
- Stillegung 70:11, 49
- Wärmequelle für Heizzwecke 70:982

Kesselspeisewasser, Aufbereitung durch Umkehr-Elektrodialyse und Vollentsalzung 70:422—427

Kesselwasser, Korrosion von Stahl in Abhängigkeit von chemischen Parametern 70:53—59

Klärschlammverbrennung 70:31, 230

Klappensichter 70:583

Klimasimulation, numerische 70:374, 375

KoBra-Demonstrationsanlage 70:403—405

Kohlefeuerung, Verhalten von Schwermetallen in einer Braunkohlefeuerung 70:876—881

Kohlekraftwerke
- Investitionskostenminimierung 70:15—20
- Verfügbarkeit 70:15—20
- Wirtschaftlichkeit 70:15—20

Kohlenlager im Heizkraftwerk Herne 70:1029—1032

Kohlenstaub, Beurteilung des Brenn- und Explosionsverhaltens 70:574

Kohlenstoffdioxid, Messung in Wasser-Dampfkreisläufen und in geschlossenen Kühlkreisläufen von LWR-Kernkraftwerken 70:708—714

Kohlenstoffhaushalt
- geochemischer 70:640—643
- geophysikalischer 70:640—643

Kohlevergasung
- Anlage Fürstenhausen 70:221
- Kraftwerke 70:195—200
- PRENFLO-Verfahren 70:221
- Umrüstung von Erdgas auf Kohlegas 70:199

Kohlevergasungsverfahren für Kombi-Prozesse 70:394—399

Koks, Kohle zur Rauchgasreinigung 70:675

Kombi-Anlage Amsterdam 70:458

Kombi-Block
- Betriebserfahrungen 70:464
- kohlebefeuerter Dampferzeuger 70:412—417
- Kohlefeuerung, Einfluß auf Rauchgasreinigungsanlage 70:416
- Steinkohlenfeuerung, Schaltung und Aufbau 70:412—415

Kombi-Kraftwerk 70:651, 845
- Betriebserfahrungen 70:912
- kleiner Leistung 70:319
- Leiden 70:313

Kombi-Prozesse
- mit Druckfeuerung 70:195—200, 224, 393—399
- mit integrierter Kohlevergasung 70:195—200, 224, 393—399

Kondensator
- direkt luftgekühltes Kraftwerk Matimba 70:138—145
- Kühlwasserfilter 70:681
- Reinigungsanlage 70:681
- Überwachung 70:681

Kondensatreinigung, Kationen-/Anionenaustauscher-Schaltung 70:138—145

Konditionierung von Generatorkühlwasser 70:794—798

Kontrollbereich, Demontage 70:410

Konversion von SO_2 an DENOX-Katalysatoren 70:959—968

Korrosion
- Einwirkung auf Hochtemperaturschutzschichten 70:762
- Kraftwerksanlagen 70:939
- MVA 70:694
- rauchgasseitig durch SO_2-Konversion 70:959—968
- Sanierungsmaßnahmen 70:1016
- Schutzmaßnahmen 70:1015
- Verdampferrohre, Mechanismen ungewöhnlich intensiver Heißwasseroxidation 70:53—59
- wassergekühlte Generatoren 70:794—798

Korrosionsmessung (kontinuierlich) in REA 70:949

Korrosionspotential, Messung in Dampferzeugern von DWR-Anlagen während des Betriebes 70:236—241

Korrosionsschutz
- Rauchgasreinigungsanlagen 70:165
- Wasser-Dampfkreislauf 70:608—611

Korrosionsschutzsystem in Rauchgaskanälen hinter REA 70:666

Kraft-Wärme-Kopplung 70:845

Kraftwerk
- Buschhaus 70:43
- Gelderland 70:47
- Leiningerwerk, SO_2-Konversion an DENOX-Katalysatoren 70:959—968
- Matimba, Kondensatreinigung 70:138—145
- Neurath, Zuverlässigkeit 70:437—439
- Offleben 70:43
- Poolbeg, Dampferzeugerschaden 70:1007—1010
- Voitsberg 70:689
- Voitsberg, Verhalten von Schwermetallen in einer Braunkohlefeuerung 70:876—881
- Walsum 9, Heizkraftwerk
  - Auslegung 70:545—549
  - Erfahrungen bei Inbetriebsetzung 70:545—549

Kraftwerkskohlen, NO_x-Bildungsneigung 70:567

Kraftwerkskonzepte
— neue für Braunkohle 70:399—405
— neue für Steinkohle 70:393—399

Kraftwerksstandort, Sanierung 70:118—121

Kraftwerkstechnik 2000, Ressourcenschonung und CO_2-Minderung 70:249—253, 357—359, 406—408

Kühlwasser
— Aufbereitung zu Kesselspeisewasser durch Umkehr-Elektrodialyse 70:422—427
— Generatorwicklungen, Korrosionsverhalten von Kupfer 70:794—798

Kühlwasserfilter 70:681

Kugelringmühlen 70:581

Kupfer, Korrosionsverhalten in wassergekühlten Generatoren 70:794—798

Kunstharzbeschichtungen in REA, Ursachen und Mechanismen der Blasenbildung 70:1045—1049

Lärmminderung bei REA 70:790

Lagerschmierung mit schwerbrennbarer Flüssigkeit 70:912

Lagerung von Gefahrstoffen, Rechtsbereiche und Verordnungen 70:769, 770

Langzeitlagerung von Flugasche 70:418—421
— Auswahl des Silierungskonzeptes 70:479—486

Lastschwankungen, Einfluß auf die Chemie des Wasser-Dampfkreislaufes 70:608—611

LEBM (linear-elastische Bruchmechanik) 70:60—67

Lebensdauer von Brennelement-Zentrierstiften 70:778

Lebenslaufakten für Anlagendatenverwaltung 70:856

Leck-vor-Bruch-Verhalten, Rohrleitungen 70:553—565

Leitfähigkeit im Wasser-Dampfkreislauf, Abhängigkeit von Lastwechseln 70:608—611

Leittechnik für Wirbelschicht-Dampferzeuger 70:837—844

Lochfraß, Korrosionsmessung in REA 70:949

Luftfilterung, Gasturbinen 70:539

Luftstufung bei Verbrennung 70:570

Mahltechnik in Kraftwerken 70:577—595

Mahltrocknung von Brennstoffen 70:577—595

MAK-Wert, Arbeitsplatzmessung 70:116

Manipulator
— Einsatz in kerntechnischen Anlagen 70:919
— Rißprüfung an Reaktorbauteilen 70:780

Manipulatorsystem, Zuverlässigkeit, Präzision 70:920

Massenfluß
— in Bunkern 70:787
— in Silos 70:782—786

Materialabtrag durch Erosionskorrosion 70:939

Membranverfahren zur Deionatgewinnung aus Kühlwasser 70:422—427

Meßdatenerfassungssystem zur analytischen Überwachung von Wasser-Dampfkreisläufen 70:498—501

Modernisierungsmaßnahmen für Dampferzeuger 70:821—826

moralische Verpflichtungen in der Energietechnik 70:885

Müllverbrennung 70:674
— CO_2-Emissionen 70:596
— Emissionsgrenzwerte 70:674
— Schadstoffbilanz 70:36
— Stand der Entwicklung 70:226

MVA Düsseldorf 70:674

MVA Essen-Karnap 70:36, 126

MVA Oberhausen 70:694

MVA-Standorte 70:226

Musik als Energieauslöser und Energieableitung 70:2

Musik, Prinzipien der populären Musik 70:2

Musiktherapie 70:2

Nachrüstungen von Altanlagen auf Kombi-Prozeß 70:313, 416, 417, 458

Naßsorption zur Rauchgasreinigung bei MVA 70:126

Naturumlauf-Dampferzeuger, Ursachen verstärkter Heißwasseroxidation 70:53—59

Netz, Regelverhalten bei fluktuierender Einspeisung und zugehörige Reservehaltung 70:214—220 (Teil 1) 70:324—331 (Teil 2)

NH_3-Rückführung 70:494

NH_3-Stripper 70:494

NO_x-Bildung 70:567

NO_x-Minderung
— Kohlenstaubverteilung und -ausmahlung 70:863
— Luftstromabgleich und -aufteilung 70:865
— Meßverfahren 70:864, 866—868
— SCR-DENOX-Anlage 70:862, 866

NO_x-On-line-Messung in Rauchgasen 70:342—346

NO_x-Reduzierung, Gasturbinen 70:869

Organisation des Brandschutzes
— Kernkraftwerke 70:550
— konventionelle Kraftwerke 70:926

Optimierungsmaßnahmen, Siedewasserreaktoranlage 70:192

PCDD, siehe Dioxine und Furane

PG (Plastische Grenzlast) 70:60—67

Photogrammetrie, Erfassung von Formänderungen 70:616, 617

Planung von Kraftwerken, Auswirkung von Umweltschutz und Genehmigungsverfahren 70:21—26

Primärenergieverbrauch, Energiekosten 70:721

Primärregelung
— Auslegung der Mahlanlage und Feuerung 70:908
— Frequenzsprung 70:910
— kombinierter Kondensatstopp 70:909
— leittechnische Realisierung 70:908
— Steinkohleblock 70:906—911

Privatisierung der Stromversorgung in Großbritannien 70:187—190

Probennahme
— automatisierte analytische Überwachung von Wasser-Dampfkreisläufen 70:498—501
— Schwermetallbilanzierung an einer Braunkohlefeuerung 70:876—881

Prozeßdampf-Auskopplung 70:313

Prüfstand, rechnergesteuert, für elektrische Stellantriebe 70:923

Prüfumfang für Kraftwerke 70:184

Qualitätssicherung
— Auswertung chemischer Analysen 70:612—614
— von DENOX-Katalysatoren 70:1042—1044

Quasitrockensorption zur Rauchgasreinigung bei MVA 70:674

Radiolysegas, Vorkommen an ausgewählten Meßpunkten im Wasser-Dampfkreislauf einer SWR-Anlage 70:799—802

Rauchgase
— Bestimmung von Ammoniak und Schwefeltrioxid 70:242, 243
— On-line-Messung von Stickstoffoxiden 70:342—346
— Säuretaupunktbestimmung 70:159, 505
— SO_2-Konversion an DENOX-Katalysatoren 70:959—968

Rauchgasentschwefelung (REA) 70:43, 47, 689
— Blasenbildung in Glasflake-Kunstharzbeschichtungen 70:1045—1049
— Reaktionsparameter 70:689
— Schwermetalleintrag durch das REA-Absorptionsmittel 70:876—889

Rauchgasentschwefelungsanlagen, Schallschutz 70:790

Rauchgasreinigung
— mit Koks 70:675
— MVA 70:126, 674
— Prüfung und Auslegung von DENOX-Katalysatoren 70:1042—1044
— Sondermüllverbrennung 70:31

Rauchgasreinigungsanlagen
— Beschichtungen und Gummierungen 70:165
— Brand in Rauchgasreinigungsanlagen 70:850
— Korrosionsschutz 70:165
— rauchgasseitige Korrosion durch SO_2-Konversion 70:959—968

Rauchgastemperatur, Korrosionsbeanspruchung 70:160, 162, 505

Rauchgaswäscher, Schäden an der Gummierung 70:664

REA
— Abwasseraufbereitung 70:49
— Beschichtungen 70:77, 81
— Betriebserfahrungen 70:45, 47, 51, 79, 165
— Gips 70:49, 51
— Gummierungen 70:49, 77, 165
— Kosten 70:49
— Störungen 70:51
— Verfügbarkeit 70:48

REA-Betrieb, Instandhaltungserfahrungen 70:664

REA-Schäden, Flanschverbindungen und Düsenlanzen 70:667

Reaktorkonzepte, passive 70:391, 392

Reaktorsicherheit 70:895

Rechnereinsatz bei der analytischen Überwachung von Wasser-Dampfkreisläufen 70:498—501

Redoxpotential, Messung in Dampferzeugern von DWR-Anlagen während des Betriebes 70:236—241

Regelwerk, technisches, und Umweltschutz 70:181—186

regenerative Energien
— Kosten 70:102—105
— Möglichkeiten und Grenzen 70:102—105

regenerative Energieträger, Entwicklungspotentiale 70:890—894

Reinigung von SBF, Einsatz diverser Filtermaterialien 70:146—150

Rekursivformel zur Berechnung von Wandtemperaturdifferenzenn 70:450

Ressourcenschonung, CO_2-Minderung 70:249—253

Ressourcenschonung und Umweltschutz, deutscher Beitrag 70:359—363

Restlebensdauer 70:75

Revisionsplanung, konventionelle Kraftwerke 70:1013

Rheinhafen-Dampfkraftwerk Karlsruhe, Betriebserfahrungen 70:906—911

Risikoanalysen, Precursor-Studien 70:897

Rißbildung in Schweißnähten von Ammoniak-Lagerbehältern 70:151—157

Rißwachstum, Rohrleitungen 70:553—565

Rohrkugelmühlen 70:585—587

Rohrleitungen
— lebensdauerverlängernde Meßnahmen 70:1018, 1019
— Leck-vor-Bruch-Verhalten 70:553—565
— Schwingungsbeseitigung 70:1017

Rohrreinigungsanlage, Kondensator 70:681

Rohrschäden bei MVA 70:694

Rollenmühlen 70:581

Rollenpresse zur Kohlenmahlung 70:592

Rückstände aus der Müllverbrennung, Analyse 70:36

Rückstandsverwertung 70:721

Salzausscheidungen im Wasser-Dampfkreislauf, Ursachen 70:608—611

Salzbraunkohle, Eigenschaften 70:43

Sammelschornsteine, Wirtschaftlichkeit 70:163, 164

Satelliten-Vermessung, Grundprinzip und Genauigkeit 70:617, 618

SBS-Verfahren, Wärmetauscher 70:502—504

SCR-Entstickung, Kohleschmelzfeuerung 70:602

SCR-Katalysator 70:209

SCR-Reaktor 70:338

SCR-Verfahren 70:209

Sekundärkreislauf
— Behandlung ammoniakhaltiger Abwässer in DWR-Anlagen 70:702—707
— Messung von Kohlenstoffdioxid in DWR-Anlagen 70:708—714
— On-line-Messung von Redoxpotentialen in Dampferzeugern 70:236—241

Selbstentzündungstemperatur von Kohlenstaub 70:575

Sicherheit, Vorgaben für Planung und Betrieb von Fernwärmenetzen 70:933

Sichterbauarten für Kohlenmühlen 70:583, 584

Siedewasserreaktoren
— anlageninterne Notfallmaßnahmen 70:194
— Betriebserfahrungen bei der Reinigung von SBF 70:146—150
— Messung von Kohlenstoffdioxid im Wasser-Dampfkreislauf und in geschlossenen Kühlkreisläufen 70:708—714
— Radiolysegasmessungen im Wasser-Dampfkreislauf 70:799—802

Simultanabscheidung 70:337

SNOX-Verfahren 70:337

Sonderabfallverbrennung 70:31, 229

Sozialverträglichkeit der Energieversorgung 70:885

SO_2-Konverter 70:337

SO_2-Reduktion zu Schwefel 70:45

SO_3-Abscheidung 70:494

Spaltkorrosion, Korrosionsmessung in REA 70:949

Spannungsrißkorrosion
— Ammoniak-Lagerbehälter 70:151—157
— Brennelement-Zentrierstifte 70:779
— Korrosionsmessung in REA 70:949

Spitzenlast, Umstellung auf, konstruktive Maßnahmen an Turbogeneratoren 70:754—761

Sprödbruch 70:60—67

Spurenelemente, Bilanzierung an einer Braunkohlefeuerung 70:876—881

Schachtbefahrung, Noteinsatz im Fernwärmebetrieb 90:935

Schachtbildung in Silos 70:782—786

Schadensvermeidung bei Erosionskorrosion 70:939

Schäden
— Brennelement-Zentrierstifte 70:778
— Glasflake-Kunstharzbeschichtungen in REA 70:1045—1049
— Verdampferrohre von Naturumlaufkesseln durch Heißwasseroxidation 70:53—59

Schadstoffbilanz bei MVA 70:36

Schadstoffminderungsmaßnahmen, Einfluß beim Einsatz in thermischen Kraftwerken 70:1000—1006

Schallquellen von REA 70:790

Schallschutz bei REA 70:790

Schlägermühlen 70:587—591

Schmelzkammerfeuerung, Explosionsgefahr durch heiße Flugasche mit Restkohlegehalt 70:474—478

Schnellbrutreaktor, europäischer 70:537

Schornsteinbühnen, Bedeutung von Durchbiegungen 70:161

Schornsteine
— Beanspruchungen durch Rauchgase 70:159, 505
— Schadensmechanismen 70:505

Schornsteininstandsetzung, Qualitätsanforderungen und Qualitätskontrollen 70:507

Schornsteinfutter
— elliptisch, Vorspannung 70:161, 163
— Temperatureinwirkung 70:160, 163

Schornsteinmündung, Konstruktionslösungen bei chemischen Beanspruchungen 70:507

Schüttgüter, Lagern und Fließen 70:782—786

Schüttguteigenschaften von Flugasche 70:418—421
— Beeinflussung durch Lagerzeit 70:479—486

Schutzschicht
— alitierte Platinschichten 70:763
— metallisch, Isopermen-Darstellung 70:766
— Substrat-Paarung 70:768

Schwachstellenanalyse, Erosionskorrosion 70:943

Schwefeloxide, SO_2-Konversion an DENOX-Katalysatoren 70:959—968

Schwefelsäure im Rauchgas hinter DENOX-Katalysatoren 70:959—968

Schwefelsäure-Kondensator 70:337

Schwefeltrioxid, Bestimmung in Rauchgasen 70:242, 243

Schweißen, X 20 CrMoV 12 1 70:1050—1053

Schweißnahtprüfung mit Systemmanipulatoren 70:920

schwerbrennbare Flüssigkeit für Lagerschmierung 70:912

Schwermetallbilanz bei MVA 70:36

Schwermetalle, Verhalten in einer Braunkohlenfeuerung 70:876—881

Schwingungsrißkorrosion, Korrosionsmessung in REA 70:949

Standardisierung für Kraftwerke in der DDR 70:742—748

Staubeinblasung 70:579

Staubexplosion, Kohlenstaub 70:574—576

Steinkohlenflugasche, Betonzusatzstoff 70:244

Stellantrieb
— elektrisch, Wartungskonzept 70:922
— Funktionsprüfung 70:924
— vorbeugende Instandhaltungsmaßnahmen 70:922

Steuerflüssigkeit, Einsatz diverser Filtermaterialien bei der Reinigung von SBF 70:146—150

Stickoxidemissionen, Abschätzung nach Kohlearten 70:573

Stickoxidminderung 70:678

Stickstoffoxide, On-line-Messung in Rauchgasen 70:342—346

Störumschaltung, Gasturbinen 70:464

Stoffbilanz bei MVA 70:36

Stolze, Gasturbinen 70:995

Strahlenexposition
— Maßnahmen zur Reduzierung 70:193
— THTR 70:9

Stromerzeugung
— in der EG 70:389
— in den USA, technische und politische Perspektiven 70:102—105

Tauchhülsen, Einbau in Hauptkühlmittelleitung 70:1021

Technisches Regelwerk und Umweltschutz 70:181—186

Temperaturdifferenzbestimmung in dickwandigen Bauteilen, Verfahren 70:446

Temperaturmeßstutzen, Aufbohren an Rohrleitungen oder Behältern ohne Späneeintrag 70:1024

thermische Abfallverwertung
— Stand der Entwicklung 70:226
— Umweltrelevanz 70:596

thermische Kraftwerke, Schadstoffminderung 70:1000—1006

Thiosulfat-Verarbeitung 70:44

THTR 70:8
— Stillegung 70:13
— wirtschaftliche Situation bei Stillegungsbeschluß 70:8

Tiefstack, Heizkraftwerk 70:118—121

TRD-Regelwerk
— Aufbau 70:182, 183
— Änderungen und Ergänzungen 70:619, 620

Treibhauseffekt
— Folgen 70:373—376
— Stand der Erkenntnisse 70:373—376

Tropfenschlagerosion 70:942

Überwachung von Abwässern, gesetzliche Auflagen 70:132—137

Überwachung von Wasser-Dampfkreisläufen, Einsatz eines Meßdatenerfassungssystems 70:498—501

Ultraschallprüfung, Manipulatorsysteme 70:919

Umkehr-Elektrodialyse zur Deionatgewinnung aus Kühlwasser 70:422—427

Umweltschutz, Auswirkungen auf die Planung von Kraftwerken 70:21—26

Umweltschutz und Ressourcenschonung, deutscher Beitrag 70:359—363

Umweltverträglichkeit der Energieversorgung 70:885

Unterwasser-Photogrammetrie, Verformungen und deren zeitliche Entwicklung 70:617

USA, Perspektiven der Stromerzeugung 70:102—105

VGB-Forschungsprogramm 70:737

VGB-FORSCHUNGSSTIFTUNG 70:736

VGB-Konferenz „Chemie im Kraftwerk 1990", Inhaltsangabe der Vorträge 70:969—974

Ventilatormühlen 70:587—591

Verbrennungstechnik, Kohlenstoffumsetzung 70:640—643

Vereinigte Kraftwerke Peitz AG 70:991—994

Verfestigung von Schüttgütern 70:481, 482

Verfügbarkeit, Arbeitsverfügbarkeit von Kraftwerken 70:437—439

Verglasung von Verbrennungsrückständen 70:332

Vermessungsmethoden, elektronische 3-D-Meßtechnik 70:615

Versuchsatomkraftwerk Kahl 70:409

Verteilungsgleichgewicht von Radiolysegas im Wasser-Dampfkreislauf einer SWR-Anlage 70:799—802

Vorschaltgasturbinen 70:458
— Kraftwerke 70:195—200
— Nachrüstung 70:195—200

Wärmebelastung
— Brennkammerrohrwände, Berechnung 70:644
— Messung 70:644

Wärmeführung X 20 CrMoV 12 1 70:1050—1053

Wärmetauscher, hydraulisches Aufweiten von Rohren 70:502—504

Wärmeübergang, Dampferzeugerrohre 70:828

Walther-Entschwefelung, Kohleschmelzfeuerung 70:602

Walzenmühlen 70:580, 581

Walzenschüsselmühlen 70:580, 581

Wandreibung von Schüttgut, Messung 70:785

Wandreibungswinkel verschiedener Schüttgüter und Werkstoffe 70:788

Waschlösungsaufbereitung 70:606

Wasseraufbereitung durch Umkehr-Elektrodialyse 70:422—427

wassergefährdende Stoffe, Lagerung, Abfüllen, Umschlagen 70:770, 772

Wassergefährdung, Störfall „Brand" 70:771, 772

Wasserhaushaltsgesetz, Konsequenzen für den Kraftwerksbetrieb und die chemische Überwachung 70:132—137

Wasser-Dampfkreislauf
— Kondensatreinigung bei erhöhter Temperatur 70:138—145
— Maßnahmen zum Korrosionsschutz 70:608—611
— Messung von Kohlenstoffdioxid in LWR-Kernkraftwerken 70:708—714
— Radiolysegasmessungen an ausgewählten Punkten einer SWR-Anlage 70:799—802
— rechnergestützte Überwachung chemischer Parameter 70:498—501

Wasser-/Dampfprozeß, fortgeschritten 70:201—208

Wellman-Lord-Verfahren 70:43

Weltenergiebedarf 70:369—372

Werksfeuerwehr im Kernkraftwerk 70:551, 552

Werkstoff
— CrNiMoNb-Stahl AN 21, Mannesmann WBI 540 (8.51) 70:68—76
— StE 355 70:151—157
— 13 CrMo 4 4 70:68—76
— 22 NiMoCr 3 7 70:60—67
— X 8 CrNiNb 16 13 70:68—76
— X 20 CrMoV 12 1 70:1050—1053

Werkzeug-Pool zum Austausch von Brennelement-Zentrierstiften 70:779

Wiederkehrende Prüfung
— kerntechnische Anlagen 70:919
— Richtlinien 70:1013

Wirbelschichtfeuerungen 70:727

Wirbelstromsonde für Schichtdickenmessung 70:768

Wirbelstromverfahren, Meßempfindlichkeit bei Schichtdickenmessung 70:768

Wirkungsforschung, musikalische 70:2

Zähbruch 70:60—67

Zündtemperatur von Kohlenstaub 70:576

Zuteilung von Brennstoffen 70:579

Zuverlässigkeit von Kraftwerken 70:437—439

Persönliches 1990

Adrian, Fritz, 60 Jahre H. 5, S. 431

Ansorge, Dieter, 60 Jahre H. 6, S. 517

Barthelt, Klaus, im Ruhestand H. 10, S. 884

Barthelt, Klaus, Ehrenmitglied der KTG H. 11, S. 977

Becker, Hans Martin, zum Honorarprofessor ernannt H. 2, S. 180

Becker, Karl Eugen, zum Honorarprofessor ernannt H. 7, S. 628

Beichter, David, 65 Jahre H. 1, S. 93

Beinhauer, Hagen, erhielt Robert-Mayer-Preis H. 1, S. 94

Bieber, Karl-Heinz, im Ruhestand H. 5, S. 431

Blank, Bernhard, gestorben H. 8, S. 719

Bohn, Dieter, Direktor des Instituts für Dampf- und Gasturbinen der RWTH Aachen H. 6, S. 517

Braun, Bruno O., neuer Vorstandsvorsitzender der Lentjes AG H. 1, S. 94

Bretthauer, Guido, in Geschäftsführung Renk Tacke GmbH berufen H. 2, S. 180

Brocke, Werner, aus dem Saarberg-Vorstand ausgeschieden H. 9, S. 804

Brocke, Werner, aus dem VGB-Vorstand ausgeschieden H. 11, S. 977

Brosch, Karl-Ernst, stellvertretendes Vorstandsmitglied bei VKR H. 5, S. 431

Brosche, Dieter, zum Geschäftsführer des KKW Isar 1/2 bestellt H. 3, S. 256

Brosche, Dieter, zum Abteilungsdirektor ernannt H. 9, S. 804

Brudermüller, Gerhard, 60 Jahre H. 1, S. 93

Bülow, Wolfgang, neuer Vorsitzender bei ABB Metrawatt H. 11, S. 977

Cammerer, Walter F., 70 Jahre H. 4, S. 352

Christensen, Valdemar, 50 Jahre H. 2, S. 180

Class, Immanuel, 90 Jahre H. 4, S. 352

Dengler, Norbert, 65 Jahre H. 3, S. 256

Elendt-Schneider, Bernd-P., erhielt den „Heidelberger Umweltpreis" H. 12, S. 1067

Ellerhorst, Horst, 25 Jahre bei der VGB H. 4, S. 352

Esser, Friedrich Hermann, zum Vorsitzenden des STEAG-Vorstandes gewählt H. 11, S. 977

Ettemeyer, Reinhardt, 60 Jahre H. 1, S. 94

Euchenhofer, Gerhard, 60 Jahre H. 6, S. 517

Externbrink, Werner, in den VGB-Vorstand gewählt H. 11, S. 977

Fischer, Klaus, erhielt den „Heidelberger Umweltpreis" H. 12, S. 1067

Flender, Alexandra, gestorben H. 5, S. 431

Flinspach, Dieter, neuer Präsident der Vereinigung Deutscher Gewässerschutz H. 11, S. 977

Freitag, Lothar G., im Vorsitz der Geschäftsführung der Steinmüller-Gruppe H. 6, S. 517

Gernert, Jürgen, erhielt den „Heidelberger Umweltpreis" H. 12, S. 1067

von Gersdorff, Bernhard, 60 Jahre H. 5, S. 431

Graup, Friedrich Carl, Vorsitzender des Vorstandes der Motoren-Werke Mannheim AG H. 12, S. 1067

Guderian, Robert, erhielt die VDI-Ehrenplakette H. 7, S. 628

Heidinger, Peter F., wieder zum VDEW-Vorsitzenden gewählt H. 8, S. 719

Heutling, Dieter, aus dem Vorsitz der Geschäftsführung der Steinmüller-Gruppe ausgeschieden H. 6, S. 517

Hirschfelder, Günter, erhielt die Guilleaume-Gedenkmünze H. 10, S. 809

Hirt, Manfred, Sprecher der Geschäftsführung der Renk Tacke GmbH H. 2, S. 180

Hoensch, Volker, beim WANO-Paris-Center H. 2, S. 180

von Hofe, Detlef, zum DVS-Hauptgeschäftsführer bestellt H. 12, S. 1067

Holterbosch, Theodor, gestorben H. 2, S. 180

Hüesker, Klaus, 60 Jahre H. 10, S. 884

Hüning, Johannes, 60 Jahre H. 11, S. 977

Kaes, Heinz, gestorben H. 4, S. 352

Kammholz, Günter, aus dem VGB-Vorstand ausgeschieden H. 11, S. 977

Kempkens, Wolfgang, erhielt den Robert-Mayer-Preis H. 1, S. 94

Kimmel, George S., Mitglied der ABB-Konzernleitung H. 1, S. 94

Knizia, Klaus, im MIEC-Präsidium H. 6, S. 517

Krämer, Hans, aus dem STEAG-Vorstand ausgeschieden H. 11, S. 977

Kreher, Peter-Jürgen, aus dem Babcock-Vorstand ausgeschieden H. 7, S. 628

Krolewski, Harry, mit dem Bundesverdienstkreuz ausgezeichnet H. 3, S. 256

Künzel, Karlheinz, aus dem VGB-Vorstand ausgeschieden H. 11, S. 977

Kurapkat, Horst, 65 Jahre H. 3, S. 256

Landré, Heinz F., 60 Jahre H. 11, S. 977

Lehmann, Heinz 70, Jahre H. 1, S. 93

Lenkewitz, Karl-Horst, Nachfolger von Heinz Vetter in Neurath H. 1, S. 94

Lewandowski, Ralf, gestorben H. 1, S. 93

Lindemann, Josef, 60 Jahre H. 6, S. 517

Linkerhägner, Wilhelm, erhielt die VDI-Ehrenmedaille H. 11, S. 977

Lippert, Axel, in den VGB-Vorstand gewählt H. 11, S. 977

Magerl, Horst, 2. stellvertretender Vorsitzender im VDEW-Vorstand H. 8, S. 719

Mayer, Gerhard, 60 Jahre H. 8, S. 719

Neumann, Hubertus, im Ruhestand H. 1, S. 94

Novak, Heinrich, 70 Jahre H. 6, S. 517

Offermann, Reinhold, in den Vorstand der PreussenElektra gewählt H. 1, S. 94

Overman, Lodewijk J., 60 Jahre H. 3, S. 256

Piltz, Klaus, Aufsichtsratsvorsitzender bei VKR und PreussenElektra AG H. 1, S. 94

Potthast, Günther, 60 Jahre H. 1, S. 94

Preuss, Ernst Joachim, neuer VDE-Vorsitzender H. 12, S. 1067

Reh, Hans-Joachim, stellvertretendes Mitglied im HEW-Vorstand H. 10, S. 844

Ringeis, Wilhelm, 60 Jahre H. 5, S. 431

Schaefer, Helmut, Ehrendoktor H. 9, S. 804

Schlachter, Hans, gestorben H. 12, S. 1067

Schleesselmann, Thorwald, stellvertretendes Mitglied im HEW-Vorstand H. 10, S. 844

Schmitt, Wilhelm, 60 Jahre H. 5, S. 431

Schneider, August, 70 Jahre H. 5, S. 431

Schoch, Wilhelm, 70 Jahre H. 3, S. 256

Schulten, Rudolf, erhielt den amerikanischen Wissenschaftspreis H. 7, S. 628

Seifert, Erich, gestorben H. 9, S. 804

Seiffert, Ulrich, erhielt Österreichisches Ehrenkreuz für Wissenschaft und Kunst H. 10, S. 884

Sklorz, Hansjürgen, gestorben H. 8, S. 719

Speich, Peter, Ehrenbürger der RWTH Aachen H. 1, S. 94

Stäbler, Karl, Ehrendoktor H. 12, S. 1067

Steuer, Wilfried, als Nachfolger von Peter F. Heidinger vorgeschlagen H. 11, S. 977

Suchanek, Walter, 70 Jahre H. 3, S. 256

Tacke, Franz, im Aufsichtsrat der Renk Tacke GmbH H. 2, S. 180

Tedmon, Craig S., Mitglied der Konzernleitung von ABB H. 12, S. 1067

Thömen, Karl-Heinz, 60 Jahre H. 6, S. 517

Torborg, H.-H., 60 Jahre H. 7, S. 628

Umland, Fritz, gestorben H. 4, S. 352

Vetter, Heinz, im Ruhestand H. 1, S. 94

Vetter, Heinz, erhielt das Ehrenzeichen des VDI H. 6, S. 517

Wallenwein, Eckhard H., beim WANO-Coordinating Centre in London H. 2, S. 180

Wedler, Frank, in den Vorstand der GEA berufen H. 10, S. 884

Weimann, Benno, als Präsident der Vereinigung Deutscher Gewässerschutz ausgeschieden H. 11, S. 977

Wein, Werner, 60 Jahre H. 3, S. 256

Wetjen, Karl-August, 65 Jahre H. 2, S. 180

Wiedmann, Josef Anselm, Nachfolger von Hubertus Neumann H. 1, S. 94

Wild, Eberhard, in den VGB-Vorstand gewählt H. 11, S. 977

Windels, Rolf, erhielt die Ehrenmedaille des VDI H. 11, S. 977

Witte, Ulrich, erhielt den Franz-Weber-Preis 1990 H. 7, S. 628

Wolfering, Gunther, erhielt den Heinrich-Mandel-Preis der VGB H. 10, S. 819

Worm, Norbert, 1. stellvertretender Vorsitzender im VDEW-Vorstand H. 8, S. 719

Wurz, Dieter, in den Babcock-Vorstand berufen H. 2, S. 180

Ziegler, Fritz, in den VEW-Vorstand berufen H. 9, S. 804

Buchbesprechungen 1990

AD-Merkblätter H. 2, S. 157, H. 6, S. 523

Auswirkungen des Reaktorunfalls in Tschernobyl auf die Bundesrepublik Deutschland H. 5, S. 435

Betonflächen und Schalungshaut, Kommentar zur DIN 18 217 H. 10, S. 844

Brandschutz elektronischer Anlagen im Elektrizitätsversorgungsunternehmen H. 8, S. 714

Chernobyl and the safety of nuclear reactors in OECD-countries H. 11, S. 925

DIN-Taschenbuch 15 H. 5, S. 435

Dampfkesselbestimmungen, Ergänzungslieferung H. 4, S. 356, H. 8, S. 707

Das Jahrtausend des Methans: Die Energie der Zukunft H. 12, S. 987

Der Reden-Berater H. 10, S. 849

Der Zeitgeist in der Hexenschaukel H. 9, S. 806

Deutsche Risikostudie Kernkraftwerke Phase B H. 7, S. 626

Die neue Druckbehälterverordnung H. 9, S. 806

Die neue Strahlenschutzverordnung — Praxiskommentar H. 7, S. 631

Die TA Luft '86 — Technischer Kommentar H. 2, S. 186

EDV-gestützte Instandhaltung H. 10, S. 849

EDV-Unterstützung in der Instandhaltung H. 9, S. 802

Einführung in die Wärmelehre H. 8, S. 707

Empfehlungen der Reaktorsicherheitskommission (RSK) 1984 bis 1986 (Band 6) H. 11, S. 925

Energieberatung/Energiemanagement H. 1, S. 96

Energieeinsparung und Umweltentlastung bei der Wärmeversorgung von Industrie und Gewerbe H. 10, S. 849

Energieprognostik auf dem Prüfstand H. 9, S. 761

Entsorgung radioaktiver Abfälle — Verwahrform hochaktiver Abfälle H. 12, S. 1020

Entsorgung von ölhaltigen Sonderabfällen nach dem Hamburger Pyrolyseverfahren H. 7, S. 544

Erfolgsorientierte Instandhaltung durch Kennzahlen H. 10, S. 849

Experimentelle Untersuchungen der LIS zur Aufklärung möglicher Ursachen der neuartigen Waldschäden H. 2, S. 101

Feuerfestbau — Stoffe — Konstruktion — Ausführung H. 3, S. 194

Grundlagen für die Beurteilung von Abwasser aus Rauchgasentschwefelungsanlagen H. 7, S. 544

Handbuch Betrieblicher Brandschutz H. 12, S. 1068

Handbuch Brandschutz, Band 1 bis 3, H. 12, S. 1024

Handbuch der Qualitätssicherung H. 8, S. 707

Handbuch der Tribologie und Schmierungstechnik — Band 2 H. 8, S. 707

Handbuch des Deutschen Wasserrechts H. 2, S. 105

Handbuchreihe Energie — Elektrische Energietechnik, Band 4 H. 4, S. 356

Handbuchreihe Energieberatung/Energiemanagement — Band IV Wärmetechnik H. 2, S. 137

Jahrbuch „Industriearmaturen" H. 9, S. 789

Kernenergie und die zukünftige Energieversorgung H. 9, S. 781

Kernkraftwerke, Radioaktivität und Strahleneinwirkung H. 9, S. 781

Klärschlammentsorgung H. 7, S. 544

Kraftwerke — wärmetechnische Berechnungen mit BASIC-Tischrechnern H. 9, S. 789

Kreiselpumpen-Handbuch H. 2, S. 137

Lärmschutz in der Praxis H. 3, S. 186

Laser Diagnostics and Modeling of Combustion H. 9, S. 806

Mechanische Brüdenkompression H. 9, S. 806

Mensch und Chip in der Kerntechnik — Techniken der Informationsverarbeitung H. 9, S. 802

Metallkunde für das Maschinenwesen H. 9, S. 781

Neue Datenblätter für gefährliche Arbeitsstoffe nach der Gefahrstoffverordnung H. 12, S. 1067

Niedrige Ölpreise — Segen oder Verhängnis? H. 3, S. 194

Normen und Schutzarten für die Elektroinstallation H. 12, S. 1020

Nukleare Entsorgung H. 9, S. 761

Nutzung regenerativer Energiequellen H. 2, S. 157, H. 6, S. 523

OECD Environmental Data Compendium 1987 H. 5, S. 435

Optimale Planung und Steuerung der Instandhaltung H. 11, S. 925

Praxiskonzepte, EDV-gestützte Instandhaltung H. 11, S. 925

Praxiswissen für Ingenieure, Industrieller Wärme- und Kälteschutz H. 12, S. 1020

Praxiswissen für das Technische Management H. 10, S. 849

Pumpen H. 5, S. 434

Reaktortechnik und Reaktorsicherheit in Frankreich H. 2, S. 105

Regenerative Energiequellen H. 9, S. 789

Reststoffe aus der Rauchgasreinigung von Abfall- und Sonderabfallverbrennungsanlagen H. 7, S. 544

Risiken der Kernenergie, Fakten und Zusammenhänge im Lichte des Tschernobyl-Unfalls H. 9, S. 802

Rohrleitungstechnik H. 7, S. 631, H. 8, S. 707

Safety of the Nuclear Fuel Cycle H. 12, S. 987

Schmierstoffe im Betrieb H. 1, S. 96

Schriftenreihe „Anlagenwirtschaft integriertes Instandhaltungssystem" H. 9, S. 789

Sensoren, Meßaufnehmer — Neue Verfahren und Produkte für die Praxis H. 12, S. 987

Sicherheitsaspekte bei der Wiederaufarbeitung von Kernbrennstoffen H. 11, S. 925

Sicherheitstechnik H. 12, S. 1024

Spaltproduktfreisetzung bei Kernschmelzen H. 12, S. 1068

Spurenelemente in Flugaschen H. 10, S. 844

Stahl-Eisen-Liste H. 7, S. 626

Stahlschlüssel H. 4, S. 356

Study of the International Energy Agency „Renewable Sources of Energy" H. 2, S. 105

Tabellenbuch für den Rohrleitungsbau H. 10, S. 844

Taschenbuch Rohrleitungstechnik H. 8, S. 714

Technik der Wärmekraftwerke H. 2, S. 157, H. 6, S. 523/524

Technische Druck- und Kraftmessung H. 9, S. 806

Technische Wärmelehre H. 7, S. 544

Thermoelementpraxis H. 9, S. 806

Umweltrecht für Energieanlagen, 2., erweiterte Auflage H. 2, S. 101

Umweltverträglichkeitsprüfung in den USA H. 3, S. 186

VDI-Berichte 634 H. 5, S. 435

VEÖ-Ringbuch „Betrieb", Band 2 H. 2, S. 137

VKS-Atlas Ausgabe 1988/1989 H. 10, S. 844

Verordnung über elektrische Anlagen in explosionsgefährdeten Räumen H. 5, S. 435

Wie finde ich technische Informationen? — Folge 1 H. 2, S. 101

Zukünftiger Strombedarf — Bedeutung von Einsparmöglichkeiten H. 8, S. 707

VGB Kraftwerkstechnik

Organ der VGB
Technischen Vereinigung der
Großkraftwerksbetreiber e.V.

Internationale Fachzeitschrift
für Technik in Kraftwerken
71. Jahrgang (1991)
Hefte 1 — 12

Herausgeber
VGB TECHNISCHE VEREINIGUNG DER GROSSKRAFTWERKSBETREIBER E.V.
Vorsitzender: Direktor Professor Dr.-Ing. Dr.-Ing. E.h. K. Knizia, Essen;
Geschäftsführer: Direktor Professor Dr. rer. nat. H.-D. Schilling, Essen.

Anschrift der Redaktion
VGB TECHNISCHE VEREINIGUNG DER GROSSKRAFTWERKSBETREIBER E.V.
Klinkestraße 27—31, Postfach 10 39 32, W-4300 Essen 1, Deutschland
Fernruf (02 01) 48 62-6 86/6 87, Fernschreiber 857 507 vgb d,
Telefax (02 01) 48 62-6 88.

Chefredaktion
Chefredakteur: Oberingenieur Dipl.-Ing. H. Bleßmann, Essen;
Redaktionsassistentin: Rita Maria Wilke, Essen.

Redaktion
Oberingenieur Dr.-Ing. W. vom Berg, Essen;
Oberingenieur Dr. rer. nat. B. Forck, Essen;
Oberingenieur Professor Dr.-Ing. J. Jacobs, Essen;
Oberingenieur Dr. rer. nat. H. Kittel, Essen;
Abteilungsdirektor Dipl.-Ing. K. Plate, Essen;
Abteilungsdirektor Dr.-Ing. G. Schlegel, Essen;
Abteilungsdirektor Dr.-Ing. E. Tolksdorf, Essen;
Oberingenieur Dipl.-Ing. G. Welten, Essen.

Wissenschaftlicher Redaktionsbeirat
Professor Dr. J. Béer, Cambridge, Massachusetts/USA;
Professor Dr. techn. Th. Bohn, Essen;
Professor Dr.-Ing. F. Brandt, Darmstadt;
Professor Dr.-Ing. J. Buxmann, Hamburg;
Professor Dr.-Ing. G. Dibelius, Aachen;
Professor Dr.-Ing. H. Kremer, Bochum;
Professor Ir. J.J.C. van Lier, Delft/Niederlande;
Professor Dipl.-Ing. Dr. techn. W. Linzer, Wien/Österreich;
Professor Dr. techn. O.I. Martynova, Moskau/UdSSR;
Professor Dr.-Ing. L. Müller, Berlin;
Professor Dr. rer. nat. R. Schulten, Aachen.

Technischer Redaktionsbeirat
Dipl.-Ing. R. Aarni, Helsinki/Finnland;
Betriebsdirektor Dipl.-Ing. K. Bers, Berlin;
Dr. techn. H. Breidenbach, Essen;
Dr. rer. nat. J. Ernst, Hamburg;
Dipl.-Ing. J. Garleff, Hamburg;
Professor Dr.-Ing. W. Hlubek, Essen;
Dipl.-Ing. Dr. techn. F. Janitschek, Klagenfurt/Österreich;
Direktor Dr.-Ing. H. Krolewski, Dortmund;
Direktor Dipl.-Ing. ETH K. Küffer, Baden/Schweiz;
Direktor Dipl.-Ing. R. Mäule, Esslingen;
Direktor Dipl.-Ing. J. Schulte, Leverkusen.

Vertrieb und Anzeigenverwaltung
VGB-KRAFTWERKSTECHNIK GmbH, Klinkestraße 27—31, Postfach 10 39 32,
W-4300 Essen 1, Deutschland, Fernruf (02 01) 48 62-6 80/6 81/6 83, Fernschreiber 857 507 vgb d,
Telefax (02 01) 48 62-6 88.
Verantwortlich für Vertrieb und Anzeigenteil: R. Rätz.

Erscheinungsweise
monatlich, außerdem erscheint zeitlich verschoben
eine englische Fassung der Hefte.

ISSN 0372-5715

Jahresinhaltsverzeichnis 1991

Verfasserverzeichnis 1991

Abröll, G., Bade, H., Bietz, K.H., und Jahn, P.: Größter Wirbelschicht-Kraftwerksblock zur Strom- und Fernwärmeversorgung für Berlin (Teil 1)
H. 11, S. 1020—1030

Abröll, G., Bade, H., Bietz, K.H., und Jahn, P.: Größter Wirbelschicht-Kraftwerksblock zur Strom- und Fernwärmeversorgung für Berlin (Teil 2)
H. 12, S. 1100—1107

Adlhoch, W., Keller, J., und Herbert, P.K.: Das Rheinbraun-HTW-Kohlevergasungsverfahren H. 6, S. 604

Agerholm, B., siehe Henken-Mellies, F.:
H. 6, S. 605

Albert, F.W.: Neuere Betriebserfahrungen aus der Müllverbrennungsanlage Mannheim
H. 8, S. 776—784

Albrecht, W., Behle, B., und Steegmanns, G.: Planung und Bau des Heizkraftwerkes München-Nord:
H. 2, S. 89—97

Alisch, S., siehe Doležal, R.:
H. 1, S. 18—23

Andreae, K.-H., siehe Zörner, W.:
H. 6, S. 547—557

Angele, H., siehe Roth, B.:
H. 4, S. 396—403

Arens-Fischer, F., siehe Schulze, H.D.:
H. 12, S. 1136—1140

Arnswald, W., siehe Schulze, H.D.:
H. 12, S. 1136—1140

Bade, H., und Jahn, P.: Umweltfreundliche und abfallfreie Energieerzeugung im Heizkraftwerk Moabit der Bewag:
H. 1, S. 14—17

Bade, H., siehe Abröll, G.:
H. 11, S. 1020—1030

Bade, H., siehe Abröll, G.:
H. 12, S. 1100—1107

Bakker, W.T., siehe van Liere, J.:
H. 6, S. 608

Baran, D.: Besonderheiten der rechnergestützten Projektierung mit dem Prozeßleitsystem ME 4012 bei der Helmut Mauell GmbH
H. 1, S. 71/72

Bartetzko, J., siehe Wutte, G.:
H. 10, S. 962—965

Bartholot, H.-D., siehe Pütz, M.:
H. 4, S. 364—367

Baumann, K., siehe Baumbach, G.:
H. 5, S. 516

Baumbach, G., und Baumann, K.: Ergebnisse mehrjähriger Luftverunreinigungsmessungen in Wäldern H. 5, S. 516

Beaujean, R., und Düll, K.: Transplantation der Dampferzeuger bei einem Kernkraftwerk H. 8, S. 788—791

Beauvais, R., Mayinger, F., und Strube, G.: Wasserstoffverbrennung im Verlauf auslegungsüberschreitender Störfälle in Kernkraftwerken H. 8, S. 755—758

Becker, B., siehe Schetter, B.:
H. 6, S. 607

Becker, U., und Schepers, H.: Zustands- und Restlebensdaueruntersuchung der Kesselanlagen und HD-Rohrleitungssysteme im Kraftwerk Kosovo A, Blöcke 1 bis 4
H. 4, S. 336—340

Becker, U., siehe Hardtke, H.:
H. 2, S. 128—133

Beckert, J., Einbrodt, H.J., und Fischer, M.: Vergleich von Naturgips und REA-Gips
H. 1, S. 48—51

Behle, B., siehe Albrecht, W.:
H. 2, S. 89—97

Beiers, H.-G., und Gebhardt, H.-J.: Optimierung der Abwasseraufbereitung einer REA durch fraktionierte Fällung
H. 5, S. 515

Bendick, W., siehe Wachter, O.:
H. 10, S. 971—979

Berens, R., siehe Schenck, K.:
H. 3, S. 180—183

vom Berg, W., siehe Bergmann, M.:
H. 12, S. 1150

vom Berg, W., siehe Risse, F.:
H. 5, S. 504—508

Berger, Christina, Mayer, K.H., und Scarlin, R.B.: Neue Turbinenstähle zur Verbesserung der Wirtschaftlichkeit von Kraftwerken H. 7, S. 686—699

Bergmann, D., Jansen, M., und Oeynhausen, H.: Maßnahmen zur Modernisierung und Lebensdauerverlängerung an Dampfturbinenkomponenten
H. 2, S. 116—122

Bergmann, M., und vom Berg, W.: Einsatz von Steinkohlenflugasche im Kraftwerksbau H. 12, S. 1150

Beysel, G., und Sommerfeld, G.: Die Luftzerlegung, eine bewährte Technologie, integriert in ein Kohlevergasungskraftwerk
H. 6, S. 607

Bietz, K.H., siehe Abröll, G.:
H. 11, S. 1020—1030

Bietz, K.H., siehe Abröll, G.:
H. 12, S. 1100—1107

Biniaris, S.: Entwicklung der kontinuierlichen Staubemissionsmessungen
H. 5, S. 490—495

Biniaris, S.: Vorschlag für ein umfassendes Ausbreitungsmodell H. 5, S. 515

Blank, H., siehe Widzgowski, R.:
H. 5, S. 514

Blaser, B., siehe Haller, M.:
H. 12, S. 1130—1135

Bobik, M., siehe Zipfel, Th.:
H. 10, S. 912—915

Bolleter, U., siehe Florjancic, D.:
H. 5, S. 431—439

Bolt, N., und Stibbe, F.: Verbrennungsrückstände in den Niederlanden
H. 3, S. 240—244

Borst, W.: Stand der Entwicklung und des Einsatzes der busfähigen Peripherie
H. 1, S. 72

Bosholm, J.: Beschreibung des Verhaltens gasförmiger Stoffe im System Wasser/Dampf im Temperaturbereich 0 bis 374 °C
H. 11, S. 1061

Bothmer, D., siehe Schenk, R.:
H. 5, S. 515

Bräsel, E.: Zur Zuverlässigkeit der pH-Wert-Ermittlung im Primärwasser von DWR-Anlagen H. 11, S. 1065

Brakhahn, W., siehe Widzgowski, R.:
H. 5, S. 514

Braunstein, L., Schausbreitner, H., Schmidt, M., und Wied, W.: Qualitätssicherung bei der Dezentralisierung der Dampferzeugung in einem chemischen Großbetrieb H. 11, S. 1062

Bridle, D.A., Brown, G.Z., und Hammacher, P.: Anwendung der Ionenchromatographie zur elementaren und radiochemischen Bestimmung von Übergangsmetallen im Kühlmittel von Druckwasserreaktoren
H. 2, S. 149—153

Brinkmann, C., siehe Schepers, H.:
H. 9, S. 830—835

Brown, G.Z., siehe Bridle, D.A.:
H. 2, S. 149—153

Brown, V.: Die Auswirkungen der Privatisierung auf die britische Kernenergie
H. 1, S. 1—3

Brückner, H., Emsperger, W., und Schiffers, U.: Einfluß verschiedener Kohlegaserzeugungssysteme auf das Konzept des GUD-Kraftwerks H. 6, S. 605

Brunner, H., siehe Fahlenkamp, H.:
H. 7, S. 671—674

Brunner, H., siehe Hagenmaier, H.:
H. 9, S. 860—864

Buch, L.: Automatisierungs- und Wartenkonzept des Kraftwerkes Avedore (AVV 1) der Elkraft A.m.b.A., Kopenhagen/Dänemark
H. 1, S. 70

Bütikofer, J., und Wieland, U.: Moderne Niederdruck-Dampfturbine
H. 4, S. 341—346

Burger, B.: Anwendung von Expertensystemen in der Kraftwerkstechnik
H. 7, S. 649—652

Burkardt, F.: Lernprozesse zur Arbeitssicherheit H. 6, S. 579—583

Bursik, A., und Kittel, H.: Derzeitiger Stand der chemischen Konditionierung von Wasser-Dampfkreisläufen in Anlagen mit Zwangdurchlaufkesseln H. 9, S. 886—889

Bursik, A., und Kittel, H.: Praxis der chemischen Konditionierung von Wasser-Dampfkreisläufen in Anlagen mit Zwangdurchlaufkesseln H. 11, S. 1061

Buschmann, K.H., und Strauß, J.H.: Erfahrungen aus Betrieb und Instandhaltung nach 26 000 Betriebsstunden — REA, Kraftwerk Altbach/Deizisau H. 5, S. 514

Buskies, U., und Ullrich, N.: Konzepte europäischer Kraftwerks-Prototypen mit PRENFLO-Kohlevergasung
H. 6, S. 607

ten Busschen, A., siehe de Winter, H.M.J.:
H. 6, S. 606

Cazacu, C., siehe Rădulescu, M.:
H. 2, S. 110—115

Choschzick, H., und Hanisch, H.-J.: Entwicklung und gegenwärtiger Stand der Kraftwerkschemie in der E nergiewirtschaft der ehemaligen DDR
H. 7, S. 680—685

Christensen, E., siehe Henken-Mellies, F.:
H. 6, S. 605

Chwieralski, J., Dembeck, H., Drefke, P., Hess, H., und Wellnitz, G.: Erfahrungen bei der Sanierung von Reingaskanälen in REA-Anlagen von Braunkohlekraftwerken mit metallischen Auskleidungen
H. 5, S. 496—503

Chwieralski, J., siehe Wellnitz, G.:
H. 5, S. 514

Clapp, R.M., King, J.L., und Macphail, J.: Entwicklung und Anwendung eines modernen NO_x-armen Kohlenstaubbrenners
H. 8, S. 765—771

Coers, H., siehe Schepers, H.:
H. 9, S. 830—835

Conlin, J.B., siehe Hitzel, H.:
H. 1, S. 58—61

Conlin, J.B., siehe Smith, S.:
H. 11, S. 1061

Cripwell, J.B., und Owens, P.: Flugasche im Beton — Ein Überblick über 30 Jahre Erfahrung in Großbritannien
H. 12, S. 1149

Croonenbrock, R., siehe Michelfelder, S.:
H. 5, S. 482—489

Dahl, P., siehe Maier, H.:
H. 11, S. 1063

Daschmann, H., siehe Eggers, H.J.:
H. 1, S. 35—41

Dassel, H.-J., siehe Pütz, M.:
H. 4, S. 364—367

Deggim, D., siehe Weinzierl, K.:
H. 6, S. 606

Degro, W., siehe Winske, P.:
H. 7, S. 700—713

Dembeck, H., siehe Chwieralski, J.:
H. 5, S. 496—503

Dembeck, H., siehe Wellnitz, G.:
H. 5, S. 514

Derichs, W., Menden, W., und Ebel, P.K.: Messungen zur Bestimmung des Säuretaupunktes und der SO_3-Konzentration im Rauchgas von Kraftwerkskesseln
H. 10, S. 966—970

Dettmann, P., Grünewald, K.-G., Faßbänder, M., und Jahn, P.: Bau- und Betriebserfahrungen mit der ersten abwasserfreien Pilot-Anlage zur REA-Abwasseraufbereitung mit Wertstoffrückgewinnung
H. 5, S. 516

Dieckmann, A., siehe Maier, H.:
H. 11, S. 1063

Dieckmann, H.-J., siehe Gutberlet, H.:
H. 6, S. 584—591

Dietl, E., siehe Kluge, E.: H. 11, S. 1064

Dizbay, A., siehe Farwick, H.:
H. 5, S. 511

Dörtelmann, D., siehe Krabbe, H.G.:
H. 1, S. 74

Doležal, R., und Alisch, S.: Engineering-/Dynamiksimulator für den Kombi-Block des Heizkraftwerkes Pfaffenwald der Universität Stuttgart H. 1, S. 18—23

Drefke, P., siehe Chwieralski, J.:
H. 5, S. 496—503

Drefke, P., siehe Wellnitz, G.:
H. 5, S. 514

Drenckhahn, W., Lezuo, A., und Reiter, K.: Technische und wirtschaftliche Aspekte des Brennstoffzelleneinsatzes in Kraft-Wärme-Kopplungsanlagen
H. 4, S. 332—335

Duda, Antje, und Koslowski, Th.: Neue Produkte aus REA-Gips
H. 11, S. 1043—1048

Düll, K., siehe Beaujean, R:
H. 8, S. 788—791

Dürrfeld, R., siehe van Liere, J.:
H. 6, S. 608

Duve, H., und Wilke, A.: Neue Verfahren zum Nachweis von organischen Substanzen in Wasser H. 1, S. 72

Ebel, P.K., siehe Derichs, W.:
H. 10, S. 966—970

Eberbach, W., siehe Mattern, E.:
H. 1, S. 73

Eckered, Th.: WANO — erfolgreiche Bilanz der ersten 18 Monate H. 2, S. 81/82

Eckerstorfer, K., siehe Staudinger, G.:
H. 10, S. 956—961

Eckert, W., siehe Kußmaul, K.:
H. 9, S. 871—876

Egener, E.G., siehe Schetter, B.:
H. 6, S. 607

Eggers, H.J., und Daschmann, H.: Low-dust-„Kompakt-DENOX-Anlage"
H. 1, S. 35—41

Einbrodt, H.J., siehe Beckert, J.:
H. 1, S. 48—51

Eitz, A.W.: Probleme der Stromerzeugung in den neuen Bundesländern
H. 12, S. 1079—1087

Emshoff, H., siehe Zörner, W.:
H. 6, S. 547—557

Emsperger, W., siehe Brückner, H.:
H. 6, S. 605

Engel, J., und Glass, D.: Stand der Magnetlagertechnik im Hinblick auf möglichen Einsatz in der Kraftwerkstechnik
H. 7, S. 658—663

Engelfried, R.: Instandsetzung und Ertüchtigung von Stahlbetonkühltürmen
H. 12, S. 1141—1146

Epstein, M., McDaniel, J., und Holt, N.A.: Kohlevergasungs-Kraftwerke: Der Weg zur künftigen Stromerzeugung aus Kohle
H. 6, S. 603

Erbe, G., siehe Reinartz, A.:
H. 11, S. 1031—1037

Eriksen, P.B.: Ein Ausbreitungsmodell für Krafterke, das die Betriebsweise der Anlage berücksichtigt H. 5, S. 515

Ernst, J.: Tagesfragen der Kraftwerkschemie
H. 3, S. 237—239

Ernst, J.: Qualitätssicherung beim Lagern von Flüssig-Ammoniak — betriebliche Maßnahmen und analytische Kontrolle
H. 11, S. 1063

Evans, J.L., Martin, P.C., und Raymant, A.P.: Kohlevergasung aus der Sicht der britischen Kraftwirtschaft H. 6, S. 603

Fahlenkamp, H., Mittelbach, G., Hagenmaier, H.P., Brunner, H., und Tichaczek, K.-H.: Katalytische Oxidation H. 7, S. 671—674

Farwick, H., Dizbay, A., Maier, D., und Hartig, S.: Erste Betriebserfahrungen einer High-dust-DENOX-Anlage mit statischen Mischern H. 5, S. 511

Faßbänder, M., siehe Dettmann, P.:
H. 5, S. 516

Fenner, J., und Schedlitzki, D.: Gummierungen als Korrosionsschutz in Rauchgasentschwefelungsanlagen
H. 10, S. 916—920

Fichtner, H., siehe Münch, S.:
H. 6, S. 562—566

Fischer, B., siehe Voje, H.-H.:
H. 10, S. 945—951

Fischer, M., siehe Beckert, J.:
H. 1, S. 48—51

Flores, A., siehe Rehwinkel, H.:
H. 6, S. 605

Florjancic, D., Bolleter, U., Simon, A., Gülich, J., und McCloskey, T.: Fortschritte der Speisepumpentechnik im Rahmen eines EPRI-Entwicklungsauftrages
H. 5, S. 431—439

Förster, K.W., und Krockow, W.: Erfahrungen mit Industrie-Dampfturbinen mit Mitteneinströmung H. 8, S. 728—731

Fontanille, D., siehe Gehrke, B.:
H. 5, S. 449—454

Frank-Fuchs, Anne, siehe Kiefer, F.:
H. 5, S. 513

Frank-Fuchs, Anne, siehe Winske, P.:
H. 7, S. 700—713

Franz, E.: Errichtung eines Kombi-Blockes mit Fernwärmeauskopplung
H. 2, S. 83—88

Frederiksen, M.B.: Ein neues, leistungsfähiges Werkzeug für die Lärmminderung
H. 5, S. 516

Fridemo, L., siehe Kelén, T.:
H. 11, S. 1065

Frings, B., und Immich, M.: Optimierung der Rauchgasführung in DENOX-Reaktoren H. 5, S. 511

Fritz, P., Lorey, H., und Stubenvoll, J.: Rauchgasreinigung und Entsorgung als integriertes Konzept bei Müllverbrennungsanlagen H. 3, S. 217—221

Fritz, P., siehe Reidick, H.: H. 5, S. 440—444

Fromm, K.-W., siehe Kußmaul, K.: H. 9, S. 871—876

Frutschi, H.U., siehe Kreitmeier, F.: H. 3, S. 192—199

Fürstenberg, E., Schaaf, R., und Langner, A.: Modifiziertes Ionenaustauschverfahren zur Enthärtung salz- und härtereicher Wässer H. 11, S. 1061

Furuya, T., Toda, H., Ishigami, S., Ishikawa, H., Hamamatsu, T., und Moritsuka, H.: Der Entwicklungsstand der integrierten Kohlevergasung in Japan H. 6, S. 603

Gate, J.J., Kelly, S.G., Laughlin, K.M., und Reed, G.P.: Entwicklung eines Druckwirbelschichtvergasers zum Einsatz in einer neuen Kohlekraftwerksgeneration H. 6, S. 605

Gebhardt, H.-J., siehe Beiers, H.-G.: H. 5, S. 516

Gehrke, B., und Fontanille, D.: Moderne Rohrmühlentechnik für direkte Feuerungssysteme H. 5, S. 449—454

Genenger, R., siehe Krell, J.: H. 12, S. 1149

Gericke, B.: Thermodynamische Auslegung, Fahrweise und Konstruktion eines GUD-Blockes mit integrierter Kohledruckvergasung (KDV) H. 7, S. 619—631

Gerstbrein, E.O.: Kommerzieller Einsatz des Texaco-Vergasungsverfahrens für die Stromerzeugung H. 6, S. 604

Gibbs, G.B., siehe Thompson, B.H.: H. 6, S. 604

Glasbrenner, R., und Vistbacka, B.: Hydrodynamischer Mehrkreisregelantrieb als Speisepumpenantrieb H. 6, S. 567—572

Glaser, W., siehe Willmes, O.: H. 11, S. 1063

Glass, D., siehe Engel, J.: H. 7, S. 658—663

Gliddon, B.J., siehe Thompson, B.H.: H. 6, S. 604

Götzen, W.: Schornsteine für Müllverbrennungsanlagen H. 2, S. 161—164

Greiß, K.H., siehe Jacobi, G.: H. 1, S. 52—57

Greulich, U., siehe Köser, H.: H. 5, S. 510

Groeneveld, L., Weier, W.L.C., Prins, W.L., Koppius-Odink, J.M., und Hulshof, H.: Ergebnisse des 65-MW-DENOX-Demonstrationsprogramms im EPON-Kraftwerk Gelderland H. 5, S. 511

Groß, M., Meisl, U., und Menzel, J.: Gas- und Abwasserbehandlung für Gas- und Dampfturbinenkraftwerke H. 6, S. 608

Großmann, J., siehe Naue, G.: H. 5, S. 513

Grünewald, B.: Umweltverträglichkeitsprüfung und Zulassungsverfahren H. 5, S. 517

Grünewald, K.-G., siehe Dettmann, P.: H. 5, S. 516

Grünschläger E., und Krabbe, H.-J.: Sulfid, Sulfit, Sulfat — ein Problem für die Analytik? Ein Überblick über die Anwendungsmöglichkeiten der Ionenchromatographie in der Kraftwerkschemie H. 11, S. 1062

Grupp, H.: Betriebsbedingte Veränderungen von schwer entflammbaren Hydraulikflüssigkeiten und deren analytischer Nachweis H. 11, S. 1063

Gudenau, H.W., siehe Pintsch, S.: H. 1, S. 42—47

Gudenau, H.W., siehe Pintsch, S.: H. 3, S. 222—228

Gudenau, H.W., siehe Pintsch, S.: H. 5, S. 469—474

Gülich, J., siehe Florjancic, D.: H. 5, S. 431—439

Gutberlet, H., Dieckmann, H.-J., und Schallert, B.: Auswirkungen von SCR-DENOX-Anlagen auf nachgeschaltete Kraftwerkskomponenten H. 6, S. 584—591

Gutberlet, H., Spiesberger, A., Kastner, F., und Tembrink, J.: Zum Verhalten des Spurenelementes Quecksilber in Steinkohlefeuerungen mit Rauchgasreinigungsanlagen H. 11, S. 1063

Gutberlet, H., siehe Prenzel, H.: H. 11, S. 1052—1056

Gutberlet, H., siehe Maier, H.: H. 11, S. 1063

Härdtl, R., siehe Schießl, P.: H. 12, S. 1148

Haferkamp, A., siehe Spliethoff, H.: H. 5, S. 512

Hagenmaier, H., und Brunner, H.: Belastung der Umwelt mit Dioxinen H. 9, S. 860—864

Hagenmaier, H., siehe Stützle, R.: H. 11, S. 1038—1042

Hagenmaier, H.P., siehe Fahlenkamp, H.: H. 7, S. 671—674

Haller, M., Blaser, B., und Schegk, C.-D.: Das neue Kaminabluft-Überwachungssystem im Kernkraftwrk Mühleberg H. 12, S. 1130—1135

Hamamatsu, T., siehe Furuya, T.: H. 6, S. 603

Hamilton, C.J., siehe Weiss, H.-J.: H. 7, S. 664—668

Hammacher, P., siehe Bridle, D.A.: H. 2, S. 149—153

Hanbaba, P.: Besonderheiten der rechnergestützten Projektierung, Dokumentation, Inbetriebsetzung und des rechnergestützten Betriebes des Kraftwerksleitsystems PROCONTROL P der ABB-Kraftwerksleittechnik GmbH H. 1, S. 71

Hanbaba, P.: Rechnergestützte Projektierunng, Dokumentation, Inbetriebsetzung und rechnergestützter Betrieb in der Kraftwerksleittechnik H. 1, S. 71

Haneda, H., siehe Kawamura, T.: H. 7, S. 637—643

Hanisch, H.-J., siehe Choschzick, H.: H. 7, S. 680—685

Hardtke, H., und Becker, U.: Einbau und Inbetriebnahme von Feder- und Konstanthängern — praktische Erfahrungen H. 2, S. 128—133

Hartig, S., siehe Farwick, H.: H. 5, S. 511

den Hartog, T.L.B., siehe van der Kooij, J.: H. 12, S. 1118—1121

Hartwig, J.: Betriebserfahrungen mit schwerbrennbarem Schmierstoff in einer 10-MW-Gegendruckturbine H. 10, S. 905—911

Hasenkopf, O., siehe Stützle, R.: H. 11, S. 1038—1042

van Heek, K.H., und Mühlen, H.-J.: Reaktionen zwischen Kohlemineralen und Kaliumverbindungen unter Vergasungsbedingungen H. 6, S. 608

Hein, K., siehe Reidick, H.: H. 5, S. 440—444

Heinrich, H.: Untersuchung zur Kriechporenbildung an fehlerhaft wärmebehandeltem X 20 CrMoV 12 1 H. 1, S. 67—69

Heinz, D., siehe Huber, H.: H. 12, S. 1148

Hengstler, N., siehe Mylonas, J.: H. 5, S. 510

Henken-Mellies, F., Christensen, E., und Agerholm, B.: 300-MW-Kohlevergasungsanlage in Aabenraa/Dänemark H. 6, S. 605

Hennecke, W., Meyer, H., Müsch, H., und Remmert, H.: 25 Jahre Kraftwerk Westfalen H. 8, S. 792—803

Hensel, E., Werschy, M., und Tscherny, S.: Gasdichte Wärmedämmwände für Heißgasräume von Dampferzeugern H. 10, S. 930—933

Henzel, N., siehe Hollwedel-Großmann, U.: H. 11, S. 1064

Herbert, P.K., siehe Adlhoch, W.: H. 6, S. 604

Herger, P., siehe Lieback, J.U.: H. 10, S. 952—955

Hess, H., siehe Chwieralski, J.: H. 5, S. 496—503

Hess, H., siehe Wellnitz, G.: H. 5, S. 514

Hibbel, J., siehe van Liere, J.: H. 6, S. 608

Hickling, J., und Reitzner, U.: Wasserchemische Gesichtspunkte bezüglich Korrosionsrißbildung am Beispiel von SWR-Anlagen H. 11, S. 1061

von Hirsch, J.: Armaturengehäuse aus duktilem Grauguß GGG 40.3, verbunden mit Vorschuhenden aus Stahl durch Konstruktionsschweißung H. 8, S. 736—740

Hitzel, H., und Conlin, J.B.: Weitere Ergebnisse der Kondensatreinigung mit separaten Kationen- und Anionenaustauschern im direkt luftgekühlten Kraftwerk Matimba der ESKOM H. 1, S. 58—61

Hollwedel-Großmann, U., und Henzel, N.: Entsorgung von Abwaser aus der chemischen Dampferzeugerreinigung in DWR-Anlagen H. 11, S. 1064

Holt, N.A., siehe Epstein, M.: H. 6, S. 603

Horvath, A., Salo, K., und Mojtahedi, W.: Die Entwicklung eines vereinfachten Gas-Dampfturbinen-Kohlevergasungsprozesses auf Basis des U-Gas-Verfahrens H. 6, S. 607

Huber, H.: Bauen mit Flugasche in Österreich H. 12, S. 1149

Huber, H., und Heinz, D.: Qualitätssicherung von Steinkohlenflugasche für Beton H. 12, S. 1148

Hüttner, F., und Winkler, R.: Kolloidale Korrosionsprodukte in Kraftwerkskreisläufen H. 11, S. 1065

Hulshof, H., siehe Groeneveld, L.: H. 5, S. 511

Immich, M., siehe Frings, B.: H. 5, S. 511

Ishigami, S., siehe Furuya, T.: H. 6, S. 603

Ishikawa, H., siehe Furuya, T.: H. 6, S. 603

Jacobi, G., Greiß, K.H., und Tscherning, E.: Erfahrungen mit der Deionaterzeugung am Beispiel des Kernkraftwerkes Grohnde H. 1, S. 52—57

Jacobs, J., siehe Risse, F.: H. 5, S. 504—508

Jacobsen, G.: Austausch eines ND-Läufers im Kernkraftwerk Unterweser während der Revision im Juli 1990 H. 8, S. 732—735

Jacquet, L., siehe Nandjee, F.: H. 6, S. 538—543

Jahn, P., siehe Bade, H.: H. 1, S. 14—17

Jahn, P., siehe Dettmann, P.: H. 5, S. 516

Jahn, P., siehe Abröll, G.: H. 11, S. 1020—1030

Jahn, P., siehe Abröll, G.: H. 12, S. 1100—1107

Jansen, G.: Auswirkungen von Lärm auf den Menschen H. 5, S. 509

Jansen, M., siehe Bergmann, D.: H. 2, S. 116—122

Janssen, F., siehe Meijer, R.: H. 11, S. 1063

Jarmuzewski, H.G., Wagner, R., und Klatt, K.: Betriebserfahrungen von Dampferzeugern mit Circofluid-Wirbelschichtfeuerung H. 6, S. 532—537

Jelich, W., siehe Schingnitz, M.: H. 6, S. 604

Jödal, M., Nielsen, C., und Möller, H.: Pilot-Versuche zur Stickoxid-Reduzierung nach dem SNCR-Verfahren mit Ammoniak und Harnstoff und mit Additiven H. 5, S. 511

Kaneko, S., siehe Kunimoto, T.: H. 3, S. 200—207

Kassebohm, B., und Wolfering, G.: Katalytische Rauchgasentstickung im niedrigen Temperaturbereich, d.h. ohne Wiederaufheizung H. 4, S. 404—408

Kastner, F., siehe Gutberlet, H.: H. 11, S. 1063

Kautz, H.R.: Zustandsorientierte Instandhaltung H. 7, S. 653—657

Kawamura, T., Toyoda, T., Kurihara, I., und Haneda, H.: Planung und Betrieb überkritischer Dampferzeuger mit 311 bar im Kraftwerk Kawagoe H. 7, S. 637—643

Kelén, T., Lundgren. K., und Fridemo, L.: Maßnahmen zur Minimierung der Strahlenfelder in SWR-Anlagen H. 11, S. 1065

Keller, H.P.: Weiterentwicklung der Potentialsonden-Meßtechnik zur Vermessung und Überwachung von Rissen im Betrieb H. 11, S. 1057—1060

Keller, J., siehe Adlhoch, W.: H. 6, S. 604

Kelly, S.G., siehe Gate, J.J.: H. 6, S. 605

Kemp, W., siehe Möllmann, A.: H. 11, S. 1064

Kern, E.: Erfahrungen mit Flugasche als Betonzusatzstoff aus der Sicht der Bauausführung H. 12, S. 1149

Kersting, M., Stiller, H.J., und Wolf, R.: Langzeiterfahrungen mit REA nach dem NOELL-NIRO-Atomizer-Sprühabsorptionsverfahren, dargestellt am Beispiel der REA der Mainkraftwerke Hoechst H. 5, S. 514

Kessel, W., siehe Reidick, H.: H. 5, S. 440—444

Kiefer, F., Frank-Fuchs, Anne, und Schneider, H.: Verhalten und Auswirkungen der Kraftwerksnebenprodukte Granulat und Flugasche in Lysimeterversuchen H. 5, S. 513

Kiefer, F., siehe Winske, P.: H. 7, S. 700—713

Kildsig, F., und Morsing, P.: N_2O-Emissionen aus Kesselanlagen H. 6, S. 592

King, J.L., siehe Clapp, R.M.: H. 8, S. 765—771

Kip, J.B.M., siehe van Liere, J.: H. 6, S. 608

Kirchhoff, H.: Emissionsnachweis in Kombi-Kraftwerken H. 1, S. 73

Kittel, H., siehe Bursik, A.: H. 9, S. 886—889

Kittel, H., siehe Bursik, A.: H. 11, S. 1061

Klanke, H.-P.: Wiederkehrende Prüfungen an Turbinenläufern H. 11, S. 1009—1012

Klatt, K., siehe Jarmuzewski, H.G.: H. 6, S. 532—537

Klein, M., siehe Köser, H.: H. 11, S. 1062

Klüber, Th., siehe Rost, M.: H. 5, S. 513

Kluge, E.: Qualitätssicherung bei chemischen Betriebsmitteln in Kernkraftwerken H. 11, S. 1049—1051

Kluge, E., und Dietl, E.: α-Spektrometrie im Routinebetrieb von Kernkraftwerken H. 11, S. 1064

Klutz, H.-J., siehe Weiss, H.-J.: H. 7, S. 664—668

Knab, H.-J.: Die Anwendung der Hochdruckflüssigkeitschromatographie (HPLC) zur Betriebsüberwachung von Transformatoren H. 6, S. 594—597

Knittel, D., und Ostertag, E.: Mathematisches Modell einer Kohlenmühle H. 12, S. 1113—1117

Knizia, K.: Tagesfragen der Kraftwerkstechnik H. 11, S. 1000—1003

Knopf, E., und Metschl, W.: Konstruktiver Ingenieurbau bei DENOX-Anlagen H. 1, S. 62—66

Knothe, P.H.: Stand der Leittechnik, leittechnische Besonderheiten in konventionellen Kraftwerken der ESKOM H. 1, S. 70

Koch, H.-J.: Herstellung, Lagerung und Lieferung von Steinkohlenflugasche für Beton H. 12, S. 1148

Köhler, K.: Derzeitiger Stand der Leittechnik in konventionellen Kraftwerken der ehemaligen DDR H. 1, S. 70

König, D., siehe Schingnitz, M.: H. 6, S. 604

Köser, H., Greulich, U., und Kubisa, R.: Zur regenerativen Abgasentschwefelung mit Hilfe von Magnesiumverbindungen H. 5, S. 510

Köser, H., und Klein, M.: Modelluntersuchungen zur chemischen Reaktivität der Stickstoffoxide an Bettaschen von Wirbelschichtfeuerungen H. 11, S. 1062

Kolar, J.: Gewebefilter zur REA-Produktentstaubung beim Heizkraftwerk Sandreuth der EWAG Energie- und Wasserversorgung AG, Nürnberg H. 3, S. 232—236

Kolar, J.: Vierjährige Betriebserfahrungen mit der atypischen Abgasreinigung sanlage des Heizkraftwerkes Sandreuth der EWAG AG, Nürnberg H. 5, S. 510

Kolar, J.: Vierjährige Betriebserfahrungen mit der atypischen Abgasreinigung sanlage des Heizkraftwerks Sandreuth der EWAG H. 10, S. 934—944

Kolb, R.: Mittel und Methoden zur Zustandsbewertung von Bauteilen des Wasser-Dampfkreislaufes, insbesondere des Druckkörpers von Dampfkesseln H. 6, S. 598—602

van der Kooij, J., den Hartog, T.L.B., und Ploumen, P.J.: Elektrizitätspläne und Emissionsminderung in den Niederlanden H. 12, S. 1118—1121

Koppius-Odink, J.M., siehe Groeneveld, L.: H. 5, S. 511

Koslowski, Th., siehe Duda, Antje: H. 11, S. 1043—1048

Krabbe, H.G., Dörtelmann, D., und Müller, F.: Die Mikrowellenspektroskopie, ein neues System für die Bestimmung von Ammoniak in Rauchgasen H. 1, S. 74

Krabbe, H.-J., siehe Grünschläger, E.: H. 11, S. 1062

Krämer, H.: Perspektiven der Stromwirtschaft in den neuen Bundesländern H. 6, S. 525—531

Krämer, H.: Perspektiven der Kernenergie in Europa H. 12, S. 1088—1090

Krätschmer, H., siehe Lieback, J.U.: H. 10, S. 952—955

KRAFTWERKSSCHULE E.V.: Zweiter Simulator für fossilbefeuerte Kraftwerke bei der KRAFTWERKSSCHULE E.V. in Betrieb genommen H. 12, S. 1098/1099

Krammer, G., siehe Staudinger, G.: H. 10, S. 956—961

Kreimes, H.: Verbesserung der Ausnutzung von Trockenadditiven zur Rauchgasreinigung H. 5, S. 514

Kreitmeier, F., und Frutschi, H.U.: Wirtschaftliche Bewertung von Methoden zur NO_x-Reduktion bei Gasturbinen H. 3, S. 192—199

Krell, J., und Genenger, R.: Technologische und wirtschaftliche Gründe für den Einsatz von Flugasche im Beton — Erfahrungen aus 200 Mill. m^3 Transportbeton mit und ohne Flugasche H. 12, S. 1149

Krieger, P., und Mohn, U.: Schäden an naßlaufenden REA-Ventilatoren H. 1, S. 30—34

Krockow, W., siehe Förster, K.W.: H. 8, S. 728—731

Kröger, D.G.: Thermische Strömung in trockengekühlten Systemen für Kraftwerke H. 11, S. 1013—1016

Krüger, H.: Stand der NO_x-Minderungstechnik bei VGB-Mitgliedern H. 4, S. 371—395

Kruse, A., siehe Lieback, J.U.: H. 10, S. 952—955

Kubisa, R., siehe Köser, H.: H. 5, S. 510

Kübler, K.: Energiepolitik zum Schutz der Erdatmosphäre: Plädoyer für ein langfristig angelegtes Gesamtkonzept H. 11, S. 1004—1008

Kunimoto, T., Yamamoto, K., Kaneko, S., und Tokuda, K.: NO_x-arme Feuerungstechnik H. 3, S. 200—207

Kurihara, I., siehe Kawamura, T.: H. 7, S. 637—643

Kurpjuhn, H.-A., und Reiche, A.: Zulässige Druck- und Temperaturänderungsgeschwindigkeiten für Dampferzeuger- und Rohrleitungsbauteile und deren graphische Darstellung im Echtzeitbetrieb H. 6, S. 544—546

Kuske, E., siehe Schellberg, W.: H. 6, S. 604

Kußmaul, K., Maile, K., Eckert, W., Möller, D., und Fromm, K.-W.: Innendruckversuche an Rohrbogen im Kriechbereich H. 9, S. 871—876

Lacy, J.A., siehe Thompson, B.H.: H. 6, S. 604/605

Langetepe, G.: Ein neues Bewertungssystem für besondere Vorkommnisse in Kernkraftwerken H. 3, S. 173—179

Langler, C.P.: Nachrüstung eines 4000-MW-Kraftwerkes mit einer Rauchgasentschwefelungsanlage H. 4, S. 355—363

Langner, A., siehe Fürstenberg, E.: H. 11, S. 1061/1062

Langner, H.: Beiträge der Energietechnik zur Reduzierung der CO_2-Emissionen H. 10, S. 897—904

Laughlin, K.M., siehe Gate, J.J.: H. 6, S. 605/606

Lauwers, G.: Erfahrung bei der Verwendung von Flugasche in Belgien H. 12, S. 1150

Lehmann, B., siehe Rost, M.: H. 5, S. 513

Lenoir, D.: Katalytische Prozesse auf Partikeloberflächen rauchgasgetragener Stäube H. 12, S. 1125/1126

Levi, H.W.: Der Reaktorunfall von Tschernobyl H. 12, S. 1091—1095

Lezuo, A., siehe Drenckhahn, W.: H. 4, S. 332—335

Lieback, J.U., Herger, P., Krätschmer, H., und Kruse, A.: Rauchgasreinigung im Kraftwerk Jänschwalde der VK-AG in Peitz H. 10, S. 952—955

van Liere, J., Kip, J.B.M., Dürrfeld, R., Hibbel, J., und Bakker, W.T.: Materialeignungsuntersuchungen in der SAR-Kohlevergasungsanlage H. 6, S. 608

Lindemann, J., und Schendler, W.: Ein neuer Fe-Ni-Cr-Werkstoff (AC 66) für Komponenten in Combined-cycle-Kraftwerken sowie in modernen Müllverbrennungsanlagen H. 8, S. 746—754

Looft, H.: Planung und Durchführung des Austauschs von Dampferzeugern im Kernkraftwerk Ringhals H. 4, S. 328—331

Lorey, H., siehe Fritz, P.: H. 3, S. 217—221

Lundgren, K., siehe Kelén, T.: H. 11, S. 1065

Macphail, J., siehe Clapp, R.M.: H. 8, S. 765—771

Maier, D., siehe Farwick, H.: H. 5, S. 511

Maier, H., Dahl, P., Gutberlet, H., und Dieckmann, A.: Schwermetalle in kohlebefeuerten Kraftwerken H. 11, S. 1063

Maile, K., siehe Kußmaul, K.: H. 9, S. 871—876

Makkinejad, N.: Reaktivitätstests zur Beurteilung von Kalksteinmehlen für den Einsatz in Rauchgasentschwefelungsanlagen H. 2, S. 154—160

Manivannan, T.: BHEL-Erfahrungen mit einer Kohlevergasungs-Kombi-Demonstrationsanlage H. 6, S. 606

Manns, W.: Anforderungen an Steinkohlenflugasche aus bauaufsichtlicher Sicht H. 12, S. 1148

Marchl, T., und Reitzner, U.: Chemische Einflüsse beim Dosisleistungsaufbau in SWR-Anlagen und deren Untersuchung mittels analytischer Methoden H. 11, S. 1065

Martin, H.: Zukünftige Entwicklung von Wirbelschichtanlagen H. 4, S. 347—354

Martin, P.C., siehe Evans, J.L.: H. 6, S. 603

Martynova, O.I.: Einfluß der chemischen Betriebsweise von Wasser-Dampfkreisläufen auf die Dampfqualität H. 11, S. 1061

Mattel, K., Muser, W., Schmitt, M., und Stolte, J.: Dämpfungseinrichtungen für wasserbeaufschlagte Sicherheitsventile H. 2, S. 123—127

Mattern, E., Eberbach, W., und Schulz, V.: Werksweites Netzwerk für die Erfassung, Verarbeitung und behördengerechte Protokollierung von Umweltwerten H. 1, S. 73

Matthes, Th.: Erfahrungen mit der Quasitrocken-Rauchgasreinigung bei der Nachrüstung der Müllverbrennungsanlage Bremen H. 10, S. 921—924

Mayer, K.H., Schneider, W., Stark, K., und Tremmel, D.: Erfahrungen mit betriebsbeanspruchten Turbinen- und Ventilgehäusen aus warmfestem Stahlguß H. 9, S. 836—841

Mayer, K.H., siehe Berger, Christina: H. 7, S. 686—699

Mayinger, F., siehe Beauvais, R.: H. 8, S. 755—758

McCloskey, T., siehe Florjancic, D.: H. 5, S. 431—439

McDaniel, J., siehe Epstein, M.: H. 6, S. 603

Meadowcroft, D.B., siehe Thompson, B.H.: H. 6, S. 604

Medding, F.: Zustandserfassungen unterirdischer Leitungen im Industriebereich H. 4, S. 409—412

Meijer, R., und Janssen, F.: Qualitätskontrolle von DENOX-Katalysatoren; Bench-Reaktor-Tests und Oberflächencharakterisierung H. 11, S. 1063

Meisl, U., siehe Groß, M.: H. 6, S. 608

Menden, W., siehe Derichs, W.: H. 10, S. 966—970

Menzel, J., siehe Groß, M.: H. 6, S. 608

Metschl, W., siehe Knopf, E.: H. 1, S. 62—66

Meyer, H., siehe Hennecke, W.: H. 8, S. 792—803

Michelfelder, S., Croonenbrock, R., und Pitt, R.U.: Einsatz der Wirbelschichttechnik in Kombi-Kraftwerken H. 5, S. 482—489

Mitchie, R.E.: Leittechnik in konventionellen Kraftwerken der PowerGen (Division of CEGB) H. 1, S. 70

Mittelbach, G., siehe Voje, H.-H.: H. 10, S. 945—951

Mittelbach, G., siehe Fahlenkamp, H.: H. 7, S. 671—674

Möller, D., siehe Kußmaul, K.: H. 9, S. 871—876

Möller, H.: Eintrag von Kalkhydrat in Feuerräume H. 3, S. 229—231

Möller, H., siehe Jödal, M.: H. 5, S. 511

Möllmann, A., und Kemp, W.: Gummierungen und Beschichtungen in Rauchgasentschwefelungsnlagen — Betriebserfahrungen und -überwachung, Schadensursachen, modifizierte Korrosionsschutzsysteme H. 11, S. 1064

Mohn, U., siehe Krieger, P.: H. 1, S. 30—34

Mojtahedi, W., siehe Horvath, A.: H. 6, S. 607

Mølbak, T.: Robuste adaptive Regelung der Überhitzertemperatur im Kraftwerk H. 6, S. 558—561

Moldenhauer, D.: Verfahren zur chemischen Reinigung und Speisewasserkonditionierung von Kesseln in fossilbefeuerten Wärmekraftwerken — bisherige Praxis in den neuen Bundesländern H. 11, S. 1062

Molerus, O., siehe Wirth, K.-E.: H. 10, S. 925—929

Moritsuka, H., siehe Furuya, T.: H. 6, S. 603

Morlock, D.: Neuentwicklung von Klappen und Kompensatoren aufgrund der Betriebserfahrungen im DENOX- und REA-Bereich und für moderne GUD-Blöcke H. 7, S. 675—679

Morsing, P., siehe Kildsig, F.: H. 6, S. 592—593

Morun, B., siehe Stumpf, Th.: H. 9, S. 849—854

Mühlen, H.-J., siehe van Heek, K.H.: H. 6, S. 608

Müller, F., siehe Krabbe, H.G.: H. 1, S. 74

Müller, H., siehe Zörner, W.: H. 6, S. 547—557

Müller, L.: Die Metropole Berlin mit veränderten Bedingungen für die Strom- und Fernwärmeversorgung H. 12, S. 1072—1078

Müller, R., und Schiffers, U.: Kombi-Kraftwerk mit Kohlevergasung — Baubarkeitsstudie für eine Prototypanlage H. 6, S. 605

Münch, S., und Fichtner, H.: Der Hybridkühlturm für das 2 × 60-MW-Heizkraftwerk West der Stadtwerke Frankfurt am Main H. 6, S. 562—566

Müsch, H., siehe Hennecke, W.: H. 8, S. 792—803

Müsch, H., siehe Wachter, O.: H. 10, S. 971—979

Munser, H., siehe Naue, G.: H. 5, S. 513

Muser, W., siehe Mattel, K.: H. 2, S. 123—127

Mußenbrock, K.: Möglichkeiten zur Nutzung von Methanol in Kraftwerksprozessen H. 8, S. 759—764

Mylonas, J., Hengstler, N., und Schreiber, L.: Umweltschutzerfolge im Heizkraftwerk Zolling — Betriebserfahrungen und -ergebnisse H. 5, S. 510

Nandjee, F., und Jacquet, L.: Nachrüstung der ölbefeuerten 250-MW-Anlagen der EdF mit Zirkulierenden Wirbelschichtkesseln H. 6, S. 538—543

Naue, G., Munser, H., und Großmann, J.: Umweltentlastung durch optimale Betriebsführung eines EVU H. 5, S. 513

Necker, P., siehe Rost, M.: H. 5, S. 513

Neubauer, H.: Neugestaltung der Kühlwasserversorgung für ein Heizkraftwerk H. 2, S. 142—148

Nicolae, S., siehe Rădulescu, M.: H. 2, S. 110—115

Nielsen, C., siehe Jödal, M.: H. 5, S. 511

Niemann, H.-J.: Beeinflussung der Windlasten durch Neubauten in Kraftwerksanlagen H. 3, S. 258—261

Nitsch, D., siehe Schenck, K.: H. 3, S. 180—183

Noordwyk, J.V., siehe Smith, S.: H. 11, S. 1061

Nowack, B.: Auslegung und Betrieb einer Industrie-Gegendruckturbine mit 13,5 MW Leistung H. 8, S. 719—727

Oeynhausen, H., siehe Bergmann, D.: H. 2, S. 116—122

Ortner, G., und Schranner, M.: Die Verantwortlichkeit im Umweltschutz und deren Organisation in den Unternehmen H. 5, S. 509

Ostertag, E., siehe Knittel, D.: H. 12, S. 1113—1117

Owens, P., siehe Cripwell, J.B.: H. 12, S. 1149

Pagger, E., siehe Wurm, G.: H. 5, S. 513

Pannenbäcker, K.: KKS-Schlüssel-Programm in PC-Version H. 11, S. 1017—1019

Perkavec, M., und Wolf, J.: Überblick über die NO_x-/CO-Reduktionstechnik bei Gasturbinen in schwerer Bauweise H. 7, S. 644—648

Petersen, J.: Niedrige Schalldruckpegel innerhalb und außerhalb von zirkulierenden Wirbelschichtfeuerungsanlagen durch den Einsatz intelligenter Schallschutztechnologie H. 5, S. 516

Pflugradt, A.: Brandschutztechnische Maßnahmen an Bekohlungsanlagen H. 1, S. 28/29

Pichugin, I.: 1000-MW-Dampfturbine für Kernkraftwerke und ihre Modernisierung H. 9, S. 842—848

Pietsch, M., siehe Werner, H.-P.: H. 8, S. 785—787

Pintsch, S., und Gudenau, H.W.: Alkalienheißgasreinigung beim GUD-Prozeß. Teil 1: Kenntnisstand in der Literatur H. 1, S. 42—47

Pintsch, S., und Gudenau, H.W.: Alkalienheißgasreinigung beim GUD-Prozeß. Teil 2: Thermodynamische Berechnungen H. 3, S. 222—228

Pintsch, S., und Gudenau, H.W.: Alkalienheißgasreinigung beim GUD-Prozeß. Teil 3: Praktische Versuche H. 5, S. 469—474

Pitt, R.U., siehe Michelfelder, S.: H. 5, S. 482—489

Plaisier, L.: Neuere Entwicklungen der Pulverharz-Anschwemmfiltration für die Kondensatreinigung in SWR-Kernkraftwerken H. 12, S. 1127—1129

Plass, L.: Wirbelschichttechnik für Vergasung, Verbrennung, Trocknung und Gasreinigung und ihre Anwendung in Kraftwerken H. 3, S. 184—191

Platthaus, D.: Umweltschutz aus der Sicht des Betriebsrates — psychologische Aspepkte H. 5, S. 517

Platzer, K.-H., siehe Roth, B.: H. 4, S. 396—403

Ploumen, P.J., siehe van der Kooij, J.: H. 12, S. 1118—1121

Poller, J., siehe Weinzierl, K.: H. 6, S. 606/607

Prenzel, H., und Gutberlet, H.: Arbeitsergebnisse der VGB-Arbeitsgruppe „Analytik von REA-Abwasser" H. 11, S. 1052—1056

Prins, S.: Flugasche — auch in Zukunft ein zuverlässiger Baustoff H. 12, S. 1149

Prins, W.L., siehe Groeneveld, L.: H. 5, S. 511

Pruschek, R.: Kohlevergasung in der Kraftwerkstechnik — eine Zukunftsperspektive mit Vergangenheit — H. 6, S. 603

Puch, K.-H., siehe Risse, F.: H. 5, S. 504—508

Pütz, M., Bartholot, H.-D., und Dassel, H.-J.: Luftreinhaltestrategie für Großfeuerungsanlagen der öffentlichen Energieversorgung in Nordrhein-Westfalen ein voller Erfolg! H. 4, S. 364—367

Radke, M., Siekmann, H.E., und Taenzer, L.: Untersuchung kostenbestimmender Faktoren bei Kreiselpumpen in Rauchgasentschwefelungsanlagen (REA) H. 5, S. 455—464

Rădulescu, M., Rosu, A., Cazacu, C., und Nicolae, S.: Betriebserfahrungen und Umbau von rumänischen Braunkohle-Großkessel-Feuerungsanlagen H. 2, S. 110—115

Raymant, A.P., siehe Evans, J.L.:
H. 6, S. 603

Raymant, A.P., siehe Thompson, B.H.:
H. 6, S. 604

Reed, G.P., siehe Gate, J.J.:
H. 6, S. 605

Rehwinkel, H., Flores, A., Sonnenschein, H., und Schmiemann, W.: Gesichtspunkte für die Bauteilauslegung eines kohlegasbefeuerten 300-MW-Kombi-Kraftwerkes H. 6, S. 605

Rehwinkel, H., siehe Schingnitz, M.:
H. 6, S. 604

Reiche, A., siehe Kurpjuhn, H.-A.:
H. 6, S. 545

Reichel, Hanne, siehe Zaviska, O.:
H. 7, S. 632—636

Reidick, H., Kessel, W., Fritz, P., und Hein, K.: Feuerungstechnische Maßnahmen zur NO_x-Minderung an ausgewählten braunkohlebefeuerten Dampferzeugern
H. 5, S. 440—444

Reinartz, A., Erbe, G., und Steven, H.: Betriebserfahrungen mit dem druckaufgeladenen Wirbelschicht-Dampferzeuger im Heizkraftwerk der Technischen Hochschule Aachen H. 11, S. 1031—1037

Reinicke, W.: Oberflächenschallintensitätsmessungen H. 5, S. 516

Reiter, K., siehe Drenckhahn, W.:
H. 4, S. 332—335

Reitzner, U., siehe Marchl, T.:
H. 11, S. 1065

Reitzner, U., siehe Hickling, J.:
H. 11, S. 1061

Remmert, H., siehe Hennecke, W.:
H. 8, S. 792—803

Renatus, H.J.: Die Entwicklung der Großarmaturen in Rauchgasreinigungsanlagen
H. 5, S. 475—481

Restorff, B., und Wierig, H.-J.: Einfluß verschiedener Steinkohlenflugaschen auf die Konsistenz und das Ansteifen von Frischbeton H. 12, S. 1148

Risse, F., Jacobs, J., vom Berg, W., und Puch, K.-H.: Nebenprodukte aus Kohlekraftwerken und Rückstände aus Müllverbrennungsanlagen in der Bundesrepublik Deutschland H. 5, S. 504—508

Rolf, A.: NO_x-arme Rostfeuerung mittels Primärmaßnahmen H. 5, S. 445—448

Ronig, H.W.: Betriebserfahrungen mit Auswerteeinheiten beim Einbinden von REA und DENOX-Anlagen H. 1, S. 73

Rost, M., Necker, P., Klüber, Th., und Lehmann, B.: Der Einsatz von Kraftwerksreststoffen als Bodensubstrat im Landschaftsbau H. 5, S. 513

Roşu, A., siehe Rădulescu, M.:
H. 2, S. 110—115

Roth, B., Angele, H., Wittig, S., Willibald, U., Platzer, K.-H., und Schäfers, W.: Pilot-Projekt Elektronenstrahlverfahren (ESV) am Rheinhafen-Dampfkraftwerk Karlsruhe des Badenwerks AG
H. 4, S. 396—403

Roth, R.: Wie genau kennen wir unser Klima? H. 9, S. 865—870

Rullik, W.: Betrieb kleiner und mittlerer Heizkraftwerke H. 9, S. 883—885

Rupp, J.J.: Reststoffe und Abfall im Bundes-Immissionsschutzgesetz und Abfallgesetz
H. 12, S. 1122—1124

Sailer, G.: Auslegung und Konstruktion von Ventilatoren mit größerer Druckerhöhung (0,25 bar) für Wirbelschichtfeuerung
H. 6, S. 573—578

Salo, K., siehe Horvath, A.:
H. 6, S. 607

Sannig, E.: Rechnergestützte Projektierung bei Siemens H. 1, S. 72

Scarlin, R.B., siehe Berger, Christina:
H. 7, S. 686—699

Schaaf, R., siehe Fürstenberg, E.:
H. 11, S. 1061

Schäfers, W., siehe Roth, B.:
H. 4, S. 396—403

Schallert, B., siehe Gutberlet, H.:
H. 6, S. 584—591

Schausbreitner, H., siehe Braunstein, L.:
H. 11, S. 1062

Schedlitzki, D., siehe Fenner, J.:
H. 10, S. 916—920

Schegk, C.-D., siehe Haller, M.:
H. 12, S. 1130—1135

Schellberg, W., und Kuske, E.: PRENFLO-Kohlevergasung im Flugstrom
H. 6, S. 604

Schenck, K., Berens, R., und Nitsch, D.: Wirtschaftlichere Kraftwerke durch Verfügbarkeitsanalysen H. 3, S. 180—183

Schendler, W., siehe Lindemann, J.:
H. 8, S. 746—754

Schenk, R., und Bothmer, D.: Berechnung der Ausbreitung von Luftschadstoffen für das Territorium von Dresden unter besonderer Berücksichtigung des Einflusses von Großemittenten H. 5, S. 515

Schepers, H., Brinkmann, C., Coers, H., und Zehner, P.: Modernisierungsmaßnahmen an den Zyklon-Dampferzeugern im Kraftwerk Staudinger, Blöcke 1 und 2,
H. 9, S. 830—835

Schepers, H., siehe Becker, U.:
H. 4, S. 336—340

Schetter, B., Becker, B., und Egener, E.G.: Schadstoffarme Kohlegasverbrennung in modernen Gasturbinen
H. 6, S. 607

Schetter, G., siehe Stützle, R.:
H. 11, S. 1039—1042

Schießl, P., und Härdtl, R.: Anrechenbarkeit von Steinkohlenflugasche im Beton nach DIN 1045 bzw. EN 206
H. 12, S. 1148

Schiffers, U., siehe Brückner, H.:
H. 6, S. 605

Schiffers, U., siehe Müller, R.:
H. 6, S. 605

Schilling, H.-D.: Kurzbericht über die Tätigkeit der VGB TECHNISCHEN VEREINIGUNG DER GROSSKRAFTWERKSBETREIBER E.V. 1990/1991
H. 9, S. 807—829

Schingnitz, M., König, D., Jelich, W., und Rehwinkel, H.: GSP-Flugstromvergasung: Entwicklungsstand, Betriebserfahrungen und Anwendungsmöglichkeiten
H. 6, S. 604

Schippers, K., und Wischnewski, R.: Kombi-Kraftwerk mit integrierter Braunkohlevergasung (KoBra) — Planung der 300-MW-Demonstrationsanlage auf dem Standort Goldenberg-Werk — H. 6, S. 606

Schlövogt, T.: Erfahrungen als Betriebsbeauftragter im Energieversorgungsunternehmen
H. 5, S. 517

Schmid, R.: Anforderungen an Bau und Betrieb von NH_3-Lägern aus der Sicht eines Versicheres H. 5, S. 510

Schmidt, M., siehe Braunstein, L.:
H. 11, S. 1062

Schmidt, P.-U., siehe Stumpf, Th.:
H. 9, S. 849—854

Schmiemann, W., siehe Rehwinkel, H.:
H. 6, S. 605

Schmitt, M., siehe Mattel, K.:
H. 2, S. 123—127

Schmitt-Tegge, J.: Stellenwert der Müllverbrennung H. 8, S. 772—775

Schneeweiß, G., und Varga, T.: Zur praktischen Bedeutung und experimentellen Ermittlung der Rißauffangzähigkeit K_{Ia}
H. 9, S. 877—882

Schneider, H., siehe Kiefer, F.:
H. 5, S. 513

Schneider, H., siehe Winske, P.:
H. 7, S. 700—713

Schneider, W., siehe Mayer, K.H.:
H. 9, S. 836—841

Schönrock, M., siehe Wachter, O.:
H. 5, S. 514

Scholz, E., und Wierig, H.-J.: Carbonatisierung von Beton mit Steinkohlenflugasche
H. 12, S. 1148

Schranner, M., siehe Ortner, G.:
H. 5, S. 509

Schreiber, L., siehe Mylonas, J.:
H. 5, S. 510

Schrijvers, F.A.M., siehe Wiegner, K.D.:
H. 6, S. 604

Schubert, F.: Das Teillastverhalten von Kreiselpumpen H. 8, S. 741—745

Schulz, V., siehe Mattern, E.:
H. 1, S. 73

Schulze, H.: Umweltstrategien in den Kraftwerken der neuen Bundesländer
H. 5, S. 509

Schulze, H.D., Arnswald, W., und Arens-Fischer, F.: Schäden an einer Mischverbindung 14 MoV 6 3/10 CrMo 9 10
H. 12 S. 1136—1140

Schwarz, D.: Internationales Interesse für den Hochtempraturreaktor
H. 12, S. 1096/1097

Seibold, J., siehe Strauß, J.-H.:
H. 5, S. 510

Seiter, M., siehe Wirth, K.-E.:
H. 10, S. 925—929

Siekmann, H.E., siehe Radke, M.:
H. 5, S. 455—464

Simon, A., siehe Florjancic, D.:
H. 5, S. 431—439

Šindelar, R.: Gewährleistung der Sekundendynamik eines Dampfkraftwerksblockes
H. 1, S. 4—13

Six, J.D.: Erfahrungen mit dem Einsatz von NH_3-Wasser in den DENOX-Anlagen des ELEKTROMARK-Kraftwerkes Elverlingsen H. 5, S. 511

Smith, S., Noordwyk, J.V., und Conlin, J.B.: Erfolgreiche Einführung der kombinierten Konditionierung mit Ammoniak und Sauerstoff in einem 3600-MW-Kraftwerk der ESKOM H. 11, S. 1061

Sommerfeld, G., siehe Beysel, G.:
H. 6, S. 607

Sonnenschein, H., siehe Rehwinkel, H.:
H. 6, S. 605

Spiesberger, A., siehe Gutberlet, H.:
H. 11, S. 1063

Spliethoff, H., und Haferkamp. A.: Einsatz von Ammoniak bei der Brennstoffstufung an einer Schmelzkammerfeuerung — Projekt „Brennstofftrennstufung (BTS)"
H. 5, S. 512

Stahl, H.: Maßnahmen zur Qualitätssicherung bei der kontinuierlichen Emissionsüberwachung H. 1, S. 73

Stark, K., siehe Mayer, K.H.:
H. 9, S. 836—841

Staudinger, G., Krammer, G., und Eckerstorfer, K.: 90 % Entschwefelung durch trockenes Kalksteinverfahren mit ARA H. 10, S. 956—961

Steegmanns, G., siehe Albrecht, W.:
H. 2, S. 89—97

Steven, H., siehe Reinartz, A.:
H. 11, S. 1031—1037

Stibbe, F., siehe Bolt, N.:
H. 3, S. 240—244

Stiller, H.J., siehe Kersting, M.:
H. 5, S. 514

Stolte, J., siehe Mattel, K.:
H. 2, S. 123—127

Strauß, J.-H., siehe Buschmann, K.H.:
H. 5, S. 514

Strauß, J.-H., und Seibold, J.: Erfahrungen mit Bau und Betrieb von NH_3-Lägern
H. 5, S. 510

Strauß, K., und Thelen, F.: Neue Dampferzeuger mit NO_x-armer Steinkohlenstaubfeuerung H. 2, S. 104—109

Stremme, J.: Einfluß von Gegendruck auf das Funktions- und Leistungsverhalten von Sicherheitsventilen H. 5, S. 465—468

Strodt, P., siehe Stumpf, Th.:
H. 9, S. 849—854

Strube, G., siehe Beauvais, R.:
H. 8, S. 755—758

Stubenvoll, J., siehe Fritz, P.:
H. 3, S. 217—221

Stützle, R., Hagenmaier, H., Hasenkopf, O., und Schetter, G.: Erste Erfahrungen mit der Demonstationsanlage in der MVA Stuttgart-Münster zum Abbau von PCDD und PCDF in Flugaschen
H. 11, S. 1038—1042

Stumpf, Th., Morun, B., Schmidt, P.-U., und Strodt, P.: Die Herausforderung 17. BImSchV, wirtschaftlich erfüllbar mit dem modifizierten, konditionierten Trokkensorptionsverfahren (MKT)
H. 9, S. 849—854

Surendorf, F.: Die Verordnung über Abfallverbrennungsanlagen H. 7, S. 669/670

Sybertz, F.: Wirkungsmechanismen von Steinkohlenflugaschen im Beton
H. 12, S. 1148

Taenzer, L., siehe Radke, M.:
H. 5, S. 455—464

Täubert, U.: Neue Entwicklungen bei der Entsorgung von Kohlekraftwerken
H. 2, S. 98—103

Täubert, U.: Das aktualisierte Verwertungskonzept für Kraftwerksreststoffe
H. 5, S. 513

Tauschitz, J., und Zellinger, G.: Stickoxidreduktion im braunkohlebefeuerten Kraftwerk Voitsberg H. 3, S. 512

Tembrink, J., siehe Gutberlet, H.:
H. 11, S. 1063

Thelen, F., siehe Strauß, K.:
H. 2, S. 104—109

Thompson, B.H., Lacy, J.A., Meadowcroft, D.B., Gibbs, G.B., Gliddon, B.J., und Raymant, A.P.: Vergasung von Kraftwerkskohle im BGL-Vergaser
H. 6, S. 604

Tichaczek, K.-H., siehe Fahlenkamp, H.:
H. 7, S. 671—674

Tijm, P.J.A., siehe Wiegner, K.D.:
H. 6, S. 604

Toda, H., siehe Furuya, T.: H. 6, S. 603

Töpsch, N.: Mechanische Förder- und Lagersysteme für REA-Gips
H. 3, S. 208—216

Tokuda, K., siehe Kunimoto, T.:
H. 3, S. 200—207

Tomaschek, M.: Nachrüsten von Brandmeldeanlagen aufgrund der VDE-0833-Vorschriften H. 2, S. 134—137

Torrens, I.M.: Anforderungen an die Elektrizitätserzeugungsunternehmen in den USA durch neue Gesetze gegen sauren Regen und Luftschadstoffe H. 5, S. 417—425

Toyoda, T., siehe Kawamura, T.:
H. 7, S. 637—643

Traupe, A.: Sicherheitstechnische Regelungen für Rauchgasreinigungsanlagen (RRA)
H. 2, S. 138—141

Tremmel, D., siehe Mayer, K.H.:
H. 9, S. 836—841

Tscherning, E., siehe Jacobi, G.:
H. 1, S. 52—57

Tscherny, S., siehe Hensel, E.:
H. 10, S. 930—933

Ullrich, N., siehe Buskies, U.:
H. 6, S. 607

Urlichs, K.: Schwingungssichere Auslegung gebundener Turbinenschaufeln
H. 12, S. 1108—1112

Vahldieck, R.: Besonderheiten der rechnergestützten Projektierung bei Hartmann & Braun H. 1, S. 72

Varga, T., siehe Schneeweiß, G.:
H. 9, S. 877—882

Venderbosch, H.W., siehe Zeijseink, A.G.L.: H. 11, S. 1063

VGB-ABE-Ausschuß: Betriebserfahrungen mit Kernkraftwerken 1990
H. 4, S. 269—327

VGB Bericht über die Eröffnungsveranstaltung VGB-Kongreß „Kraftwerke 1991"
H. 11, S. 983—991

Vincentsen, L.J.: Einsatz von Flugasche bei der Brücke über den Großen Belt
H. 12, S. 1149

Vistbacka, B., siehe Glasbrenner, R.:
H. 6, S. 567—572

Voigtländer, P.: Stand der Emissionen von Luftschadstoffen aus DDR-Krafterken
H. 4, S. 368—370

Voje, H.-H., Fischer, B., und Mittelbach, G.: Inbetriebnhme- und Betriebserfahrungen mit SNCR-Anlagen an Schmelzfeuerungskesseln H. 10, S. 945—951

Volkerts, A.†: Neue Bekohlungsanlage für die Modernisierung des Steinkohlekraftwerkes Walsum H. 9, S. 855—859

Wachter, O., Müsch, H., und Bendick, W.: Zeitstandschädigungen an Komponenten in Frischdampfleitungen aus dem Werkstoff X 20 CrMoV 12 1, H. 10 S. 971—979

Wachter, O., und Schönrock, M.: Betriebserfahrungen mit Weichgummierungen in Wäschern der REA von Steinkohlekraftwerken H. 5, S. 514

Wachter, O., und Weigel, G.: Betriebserfahrungen mit beschichteten ferritischen Turbinen- und Pumpenwellen von Wasserkraftwerken H. 3, S. 245—257

Wagner, R., siehe Jarmuzewski, H.G.:
H. 6, S. 532—537

Wagner, Th., siehe Wandelt, E.:
H. 11, S. 1062

Wandelt, E., und Wagner, Th.: Einsatz der Umkehrosmose zur Entsalzung von Rheinwasser H. 11, S. 1062

Wasel-Nielen, J., siehe Wutte, G.:
H. 10, S. 962—965

Weier, W.L.C., siehe Groeneveld. L.:
H. 5, S. 511

Weigel, G., siehe Wachter, O.:
H. 3, S. 245—257

Weinzierl, K., Deggim, D., und Poller, J.: Gas-Dampfturbinenkraftwerk mit integrierter Kohleteilvergasung (GDK) — Konzept und Entwicklungsergebnisse
H. 6, S. 606

Weiss, H.: Entwicklung eines Konzeptes für eine moderne thermische Restmüll-Verwertungsanlage H. 5, S. 515

Weiss, H.-J., Klutz, H.-J., und Hamilton, C.J.: Trocknung von Braunkohle in der Dampf-Wirbelschicht H. 7, S. 664—668

Wellnitz, G., Chwieralski, J., Dembeck, H., Drefke, P., und Hess, H.: Sanierung von Komponenten in REA mit metallischen Auskleidungen H. 5, S. 514

Wellnitz, G., siehe Chwieralski, J.: H. 5, S. 496—503

Werner, H.-P., und Pietsch, M.: Bewertung des Infektionsrisikos durch Legionellen in Kühlkreisläufen von Krafterken H. 8, S. 785—787

Werschy, M., siehe Hensel, E.: H. 10, S. 930—933

Widzgowski, R., Blank, H., und Brakhahn, W.: Optimierung der Anlagenfahrweise in den REA des Braunkohlekraftwerks Neurath, Blöcke D + E H. 5, S. 514

Wied, W., siehe Braunstein, L.: H. 11, S. 1062

Wiegner, K.D., Tijm, P.J.A., und Schrijvers, F.A.M.: Umweltfreundliche Stromerzeugung mit dem Shell-Kohlevergasungsverfahren H. 6, S. 604

Wieland, U., siehe Bütikofer, J.: H. 4, S. 341—346

Wierig, H.-J., siehe Restorff, B.: H. 12, S. 1148

Wierig, H.-J., siehe Scholz, E.: H. 12, S. 1148

Wildung, D.: Die Suche nach dem Ursprung — Wurzeln des Abendlandes — H. 11, S. 992—999

Wilhelmi, J.: Asbestfreie Dichtungen und Packungen in Energieanlagen H. 1, S. 24—27

Wilke, A., siehe Duve, H.: H. 1, S. 72

Willibald, U., siehe Roth, B.: H. 4, S. 396—403

Willmes, O., und Glaser, W.: Materialangriff an Gummierungen und Beschichtungen. Ein Vergleich von Braunkohle- und Steinkohle-Rauchgasreinigungsanlagen H. 11, S. 1063

Winkler, R., siehe Hüttner, F.: H. 11, S. 1065

Winske, P., Degro, W., Kiefer, F., Frank-Fuchs, Anne, und Schneider, H.: Verhalten, Auswirkungen, Nutzung und Vermarktung der Kraftwerksnebenprodukte Granulat und Flugasche H. 7, S. 700—713

de Winter, H.M.J., und ten Busschen, A.: Das Gas-Dampfturbinen-Kohlevergasungs-Demonstrationsprojekt in Buggenum H. 6, S. 606

Wirth, K.-E., Seiter, M., und Molerus, O.: Feststoffkonzentration und -geschwindigkeiten in wandnahen Bereichen zirkulierender Wirbelschichten H. 10, S. 925—929

Wischnewski, R., siehe Schippers, K.: H. 6, S. 606

Wittig, S., siehe Roth, B.: H. 4, S. 396—403

Wolf, J., siehe Perkavec, M.: H. 7, S. 644—648

Wolf, R., siehe Kersting, M.: H. 5, S. 514

Wolfering, G., siehe Kassebohm, B.: H. 4, S. 404—408

Wurm, G., Zefferer, H., und Pagger, E.: Einsatz von zementstabilisierter Flugasche im Fernwärmebau H. 5, S. 513

Wutsdorff, P.: Ein Expertensystem zur Zustandsdiagnose an Dampfturbinen H. 5, S. 426—430

Wutte, G., Bartetzko, J., und Wasel-Nielen, J.: Einsatz von Multistep-Systemen als Arbeits- oder Feinreinigungsfilter bei der Vollentsalzung von Wasser H. 10, S. 962—965

Wutte, G.: Erfahrungen mit einer Methode zum ablagerungsfreien Betrieb von Turbinenkondensatoren H. 11, S. 1062

Yamamoto, K., siehe Kunimoto, T.: H. 3, S. 200—207

Zaviska, O., und Reichel, Hanne: Untersuchung der dynamischen Eigenschaften einer GUD-Anlage mit Festdruckkohlevergaser mit Hilfe eines nichtlinearen Simulationsmodells H. 7, S. 632—636

Zefferer, H., siehe Wurm, G.: H. 5, S. 513

Zehner, P., siehe Schepers, H.: H. 9, S. 830—835

Zeijseink, A.G.L., und Venderbosch, H.W.: Neue Aspekte zur Eisensulfatdosierung in Kühlwasser H. 11, S. 1063

Zellinger, G., siehe Tauschitz, J.: H. 5, S. 512

Zellner, R.: Spurengase in der Atmosphäre — Chemie und Klimawirksamkeit — H. 5, S. 516

Zipfel, Th., und Bobik, M.: Korrekturfaktoren für Durchflußmessungen mit Venturi-Rohren in rechteckiger Ausführung bei verkürzten Beruhigungsstrecken H. 10, S. 912—915

Zörner, W., Andreae, K.-H., Emshoff, H., und Müller, H.: Diagnosesystem zur Betriebsüberwachung von Dampfturbinenanlagen H. 6, S. 547—557

In den 12 Heften des Jahrgangs 71 (1991) sind enthalten:

1	2	3	4	5	6
1—80	81—172	173—268	269—416	417—524	525—618
7	8	9	10	11	12
619—718	719—806	807—894	895—982	983—1070	1071—1154

Sachverzeichnis 1991

ABE-Ausschuß, Jahresbericht 71:269—327

Abend- und Morgenland 71:993

Abfall 71:1122

Abfallbegriff 71:1122

Abfallentsorgung durch atmosphärische Vergasung 71:189

Abfallgesetz 71:1122

Abfallverbrennungsanlagen 71:849

Abfallverbrennungsanlagen-verordnung 7:669

Abgase, Zusammensetzung 71:161

Abgasreinigungsanlage 71:934

Abgasrohre, Bauarten 71:162

Abluft, das neue Überwachungssystem im KKW Mühleberg 71:1130—1135

Absorptionsmittel, Rauchgasreinigung 71:154

Abwasseranalyse von REA-Abwasser 71:1052—1056

Additive zur Heißgasreinigung 71:222, 469

Änderungsgeschwindigkeiten, Dampferzeuger und Rohrleitungsbauteile 71:544—546

Aktivierung von CaO bei TAV 71:956—961

Aktiv-Koks-Technik zur NO_x-Minderung 71:371

Alkalieneinbindung
— Mechanismus 71:222
— thermodynamische Berechnung 71:222

Alkalienreinigung 71:42, 469

Alt-Ägypten 71:995

Ammoniumhydrogensulfat 71:584

Analyse von REA-Abwasser 71:1052—1056

Anfahrverhalten einer Wirbelschichtfeuerung 71:533/534

Anhydritherstellung 71:934

Anionenaustauscher, Kationen- und Anionenaustauscher separat in einem Behälter 71:962—965

Anlagenzustand, Verfahren zur Bestimmung 71:654

Ansatzbildung bei Kalkhydrat-Einblasung 71:229—231

Anschwemmfiltration, neuere Entwicklungen für die Kondensatreinigung in SWR-Anlagen 71:1127—1129

Antrieb für Speisepumpen, Mehrkreisregelung 71:567

ARA, siehe Ascherückführung und -aktivierung 71:956—961

Aramidfaser in Dichtungsmaterial 71:25

Armaturengehäuse aus Grauguß GGG 40.3 71:736

Asbest 71:24 ff.

Asbestersatz für Dichtungen und Packungen 71:25

Ascheabzug bei druckaufgeladener Wirbelschichtfeuerung 71:1034

Ascheeigenschaften bei Wirbelschichtfeuerungen 71:349

Ascherückführung und -aktivierung bei TAV (ARA) 71:956—961

Ascheverwertung für Wirbelschichtasche 71:17, 353, 1029

Ausbildung 71:1098

Ausbrandzeit von Brennstoffpartikeln in Staub- und Wirbelschichtfeuerungen 71:348

Auskleidung von Reingaskanälen 71:496—503

Austausch von Dampferzeugern im Kernkraftwerk Ringhals 71:328—331

Austauschbesuche 71:81

Bauwesen 71:822

Bedüsung von REA-Ventilatoren 71:30

Befahröffnungen an Rauchgasreinigungsanlagen 71:139

Bekohlung
— druckaufgeladene Wirbelschicht 71:1031—1033
— Wirbelschichtfeuerung 71:535/536
— ZWS 71:1027—1029

Bekohlungsanlage für das Steinkohlenkraftwerk Walsum 71:855—859

Bekohlungsanlagen, Brandschutzmaßnahmen 71:28

Berlin
— Kraftwerksstandorte 1991 71:1072
— Strom- und Wärmeversorgung 1991 71:1072—1078

Berufsgenossenschaft, Sicherheitsregeln 71:138

Beschaufelung, ND-Dampfturbinen 71:732, 842

beschichtete Turbinen- und Pumpenwellen von Wasserkraftwerken 71:245—257

Betonoberflächen, Festlegung und Ausführung der Schutzmaßnahmen 71:1144—1146

Beton-Schutzmaßnahmen, Untergrundvorbereitung 71:1144

Betreiber von NO_x-Minderungsanlagen 71:371

Betriebserfahrung 71:81
— Kraftwerk Westfalen 71:792—803

Betriebsergebnisse der Kernkraftwerke 1990 71:269

BEWAG, Versorgungssituation 1991 71:1072—1078

Bewertungssystem für besondere Vorkommnisse in Kernkraftwerken 71:173—179

Brandmeldeanlagen, Nachrüstung aufgrund VDE 0833 71:134—137

Brandschadenbeherrschung an Bekohlungsanlagen 71:29

Brandschutz, Dampfturbinen 71:905

Braunkohle
— Kenngrößen 71:110
— Trocknung mit Dampf-Wirbelschicht 71:664—668

Braunkohlenfeuerungen mit NO_x-armer Verbrennung 71:440—444

Braunkohlenmühlen, Umbaumaßnahmen 71:110—115

Braunkohlenstaubbrenner, Umbau 71:113/114

Brennkammern, Gasturbinen 71:644

Brennstoffzellen
— Arten 71:333
— Einsatz in Kraft-Wärme-Kopplungsanlagen 71:332—335

britische Kernenergie, Privatisierung 71:1—3

Brüdenbrenner bei Braunkohlenfeuerung 71:441

Bundes-Immissionsschutzgesetz 71:1122
— 17. BImSchV 71:849

Bundesländer, neue, Perspektiven der Stromwirtschaft 71:525—531

CCA-Probe 71:880—882

Chemie im Kraftwerk 71:819

chemische Betriebsmittel, Qualitätssicherung in Kernkraftwerken 71:1049—1051

chemische Fahrweise, derzeitiger Stand bei Zwangdurchlaufkesseln 71:886—889

Chevcon-Methode zur Kohlehomogenisierung 71:856/857

Circofluid-Wirbelschichtfeuerung 71:532—537

Condstop 71:4

Containment-Öffnung, Schweißarbeiten am Linerblech 71:790

CO_2-Abgabe 71:1000—1002

CO_2-Emissionen 71:1004
— Reduktionsmaßnahmen 71:897—904, 1004

CO_2-Problem 71:817

Dämpfungseinrichtungen für Sicherheitsventile 71:123

DAGAVO 71:35

Dampferzeuger
— überkritischer, im Kraftwerk Kawagoe/Japan 71:637—643
— ZWS-Feuerung 71:1029/1030

Dampferzeugeraustausch
— Ausführungsphasen der Bautechnik 71:789
— KKW Ringhals 71:328—331

Dampferzeuger-Heißgasräume, gasdichte Wärmedämmwände 71:930—933

Dampferzeuger- und Rohrleitungsbauteile, zulässige Druck- und Temperaturänderungsgeschwindigkeiten 71:544—546

Dampfturbinen
— Brandschutz 71:905
— Diagnosesystem 71:426, 547
— Lebensdauerverlängerung 71:116
— schwerbrennbare Flüssigkeit 71:905
— Werkstoffe 71:686—699

Dampfturbinen für die Industrie 71:719, 728, 905

Dampfturbinenläufer, US-Prüfung 71:1009

Dampfturbinenschaufeln
— Endstufe 71:341, 732, 842
— Schwingungsauslegung 71:1108

Dampfturbosatz im Heizkraftwerk Moabit 71:1100/1101

DDR-Energiefluß 1988 71:528

DDR-Kraftwerke, Emissionen 71:368

Deflagration 71:755

Deionat, Gewinnung mittels Multistep-System 71:962—965

Deionaterzeugung im KKW Grohnde 71:52—57

DENOX
— Kompaktanlage 71:35
— Low-dust-Anlage 71:35, 64

Detonation 71:755

Diagnosesystem, Dampfturbinen 71:426, 547

Dichtungen, asbestfrei 71:24

Dioxin
— Inhibierung 71:1125
— MVA-Filterstaub 71:1038
— Umweltbelastung 71:860

Dioxin-Abbau an MVA-Filterstäuben 71:1038

Dioxin-Eintrag, Bundesrepublik Deutschland 71:860

Dioxin-Minderung
— katalytische 71:671
— Pilot-Anlagen 71:671

Dioxine/Furane 71:852

Dissertationen zur Kraftwerkstechnik 71:414, 517, 614, 715, 805, 890, 980, 1066, 1150

Dissoziation von Methanol 71:760/761

Doppelklappen, Rauchgas 71:475, 675

Dreistufen-Diagramm bekannter Puzzolane und Wirbelschichtasche 71:16

druckaufgeladener Wirbelschichtkessel im Größenvergleich zum atmosphärischen Wirbelschichtkessel 71:352

Druck- und Temperaturänderungsgeschwindigkeiten 71:544—546

Druckpulsationen, Speisepumpen 71:431

Druckwasserreaktoren
— Deionaterzeugung im KKW Grohnde 71:52—57
— Spurenmessungen im Primärkühlmittel 71:149—153

Druckwirbelschicht-Dampferzeuger 71:1031—1037

Druckwirbelschichttechnik 71:482—489

duktiler Grauguß für Armaturengehäuse 71:736

Durchflußmessungen mit Venturi-Rohren, Korrekturfaktoren 71:912—915

Durchlaufdampferzeuger, derzeitiger Stand der chemischen Konditionierung 71:886—889

DVG-Anforderungen an die Leistungssprungantwort 71:4

Dynamiksimulator für Kombi-Block 71:18—23

dynamische Eigenschaften einer GUD-Anlage mit Festdruckkohlevergaser 71:632—636

EBAG-Versorgungssituation 1991 71:1076

Echo der Tomographie, Prüfung der Dampfturbinenläufer 71:1009

Eigenschaften, Mehrkreisregelantrieb 71:567

Elektrizitätsversorgung Berlin 1991 71:1073

Elektronenbeschleuniger 71:396

Elektronenstrahlverfahren, Pilot-Anlage 71:396

Elution
— Flugaschen 71:710
— Lysimeter 71:703
— Schmelzkammergranulat 71:707

Emissionen 71:817
— DDR 71:368
— Wirbelschichtfeuerungen 71:348/349, 533/534

Emissionsmessung hinter MVA 71:923

Emissionsmessung, Staub 71:490

Emissionsminderung durch Primärmaßnahmen bei MVA 71:776

Emissionsminderungsplan NRW 71:364

Emissionsvergleich MVA/andere Quellen 71:774

Endstufenschaufeln, Dampfturbinen 71:341, 732, 842

Energiekonsens 71:1001—1003

Energiepolitik 71:1004

Energiesteuersituation 1991 71:1000—1003

Energietechnik, Reduzierung der CO_2-Emissionen 71:897—904

Energieverbrauch von Rohrkugelmühlen 71:453

Entaschung
— bei druckaufgeladener Wirbelschichtfeuerung 71:1035
— bei ZWS 71:1029

Entaschungseinrichtungen bei Wirbelschichtfeuerung 71:535

Entsalzung von Wasser mittels Multistep-System 71:962—965

Entschwefelung durch TAV 71:956—961

Entsorgung
— Kohlekraftwerke 71:98—103
— Kohlekraftwerke und Müllverbrennungsanlagen, Schwerpunkt-Forschungsprogramm 71:826
— REA-Gips 71:361
— Schlamm aus Abwasseraufbereitung 71:361

Entsorgung, rechtliche
— genehmigungsbedürftige Anlagen 71:1123
— nicht genehmigungsbedürftige Anlagen 71:1124
— Rückstände aus Konsum und Gewerbe 71:1122

Entwurfswind, Lasterhöhung durch Interferenz 71:261

Erdatmosphäre, Schutz 71:1004

Etagenfutterstoß; Abdichtung, Wärmedämmung, Abfangung 71:163

Europa-Kernenergie-Perspektiven 1991 71:1088—1090

Expertensysteme
— Anwendung in der Kraftwerkstechnik 71:649—652
— Dampfturbinen 71:426, 547

Fanglagerprüfstand, Magnettechnik 71:658

Fangrinnenabscheider 71:488
— Wirbelschicht 71:188

Feder- und Konstanthänger 71:128

Feinstmahlung 71:204/205

Fernheizwerk, Betrieb kleiner und mittlerer Heizwerke in der ehemaligen DDR 71:883—885

Fernwärme, Wasseraufbereitung und Betriebsweise von Fernwärmenetzen in der ehemaligen DDR 71:883—885

Feststoffkonzentration in Wandnähe bei ZWS 71:925—929

Festvortrag (VGB-Kongreß „Kraftwerke 1991") 71:992

Feuerungen 71:814
— bei MVA 71:776

Feuerungssysteme und Kesseltypen im Vergleich 71:1020/1021

Feuerungstechnik, NO_x-arm 71:200—207

feuerungstechnische NO_x-Minderungsmaßnahme bei Braunkohlenfeuerungen 71:442

Filterstaub aus MVA, Dioxin-Abbau 71:1038

Filterstaubzusammensetzung (MVA) 71:217

Flachdichtung, asbestfrei 71:25

Flammengeschwindigkeit von Wasserstoff-Luft-Gemischen 71:757

Flechtpackungen, asbestfrei 71:26

Fließbettkühler bei ZWS 71:1028

Flugasche
— Anfall und Verwertung in Deutschland 71:504—508
— Anfall und Verwertung in den Niederlanden 71:240—244
— aus NO_x-armer Feuerung 71:240—244
— Lysimeterversuche 71:710
— Schwermetallauslaugungen 71:710
— Sichtung 71:240—244

Förder- und Lagersysteme für REA-Gips 71:208

Forschung/Entwicklung in der Kraftwerkstechnik 71:759, 1000

Forschungsinstitute, Übersicht 71:610

Forschungsstiftung 71:824

Fortschritt 71:992

Frischdampfleitung, X 20 CrMoV 12 1 71:971—979

Funktionsverhalten von Sicherheitsventilen 71:465

Futterrohr, Anschluß des Abgaskanals 71:164

Gasbrenner für NO_x-arme Verbrennung 71:201

Gas-/Dampfturbinen, Kombi-Anlagen 71:1118

Gas-/Feststoffsystem, Zustandsdiagramm 71:185

Gasreinigung mit Wirbelschichttechnik 71:190

Gasturbinen
— Brennkammer 71:644
— NO_x-/CO-Reduktionstechnik 71:644
— NO_x-Reduktion 71:192
— Vormischbrennkammer 71:193

Gasturbinenprozeß mit dissoziiertem Methanol 71:761/762

Gasweichen, Rauchgas 71:475

GAVO, Schwefelsäure-Kondensation 71:584

Gebläse für Wirbelschichtfeuerung 71:573

Gegendruck bei Sicherheitsventilen 71:465

Gegendruckturbine für die Industrie 71:719, 905

Gewebefilter 71:232

Grauguß GGG 40.3 für Armaturengehäuse 71:736

Gründung, bergbauliche Einwirkungen 71:64

GUD-Anlage, siehe auch Kombi-Anlage 71:42
— Festdruckkohlevergaser 71:632—636

GUD-Block mit integrierter Kohle-Druckvergasung — Auslegung, Konstruktion, Betrieb 71:619—631

GUD-Prozeß 71:42, 222, 469

Gummierungen in REA
— Anforderungen 71:916
— Eigenschaften 71:916
— Rohstoffauswahl 71:916
— Verarbeitung 71:916

Halbmühlenbetrieb bei Rohrkugelmühlen 71:451/452

Halterungen, Rohrleitungen 71:128

Heinrich-Mandel-Preis für Kraftwerkstechnik 71:404, 825, 990

Heißgaserzeuger bei ZWS 71:1028

Heißgasräume, gasdichte Wärmedämmwände 71:930—933

Heißgasreinigung 71:222, 469
— in situ 71:42
— nachgeschaltet 71:42

Heizkraftwerk Herne 4 71:106—108

Heizkraftwerk Merkenich 71:487/488

Heizkraftwerk Moabit 71:14—17, 1020—1030, 1100—1107

Heizkraftwerk München-Nord, Planung und Bau 71:89—97

Heizkraftwerk Offenbach 71:532/533

Heizkraftwerk Pfaffenwald, Kombi-Block, Engineering-/Dynamik-Simulator 71:18—23

Heizkraftwerk Römerbrücke 71:533/534
— Wirbelschichtkessel 71:349

Heizkraftwerk RWTH Aachen 71:483 1031—1037

Heizkraftwerk Walsum 9 71:104—106, 855—859

Heizkraftwerk West, Hybridkühlturm 71:562—566

Heizwasser, Wasseraufbereitung und Betriebsweise von Heizkraftwerken in der ehemaligen DDR 71:883—885

Herdofenkoks 71:404

Hersteller von NO_x-Minderungstechnologie 71:371

hochexpandierte Wirbelschicht 71:188

Hochleistungsflüssigchromatographie, Betriebsüberwachung von Transformatoren 71:594—597

Hochtemperatur-Brennstoffzellen 71:334

Hochtemperaturreaktor
— internationales Interesse 71:1096/1097
— Tagungsbericht Wien 1991 71:1096/1097

Homogenisierung von Steinkohle 71:856/857

Hybridkühlturm des HKW West, Stadtwerke Frankfurt (Main) 71:562—566

hydrodynamischer Mehrkreisregelantrieb für Speisepumpen 71:567

HTW-Prozeß 71:469

Industriedampfturbinen, Konstruktion 71:719, 728

Instandhaltung
— Planung 71:598—602
— zustandsorientiert 71:653 ff.

Instandhaltungsstrategie 71:654
— Bauteilausnutzung 71:654

Instandhaltungssystem, integriertes 71:653

Interferenzeffekte, Sicherheitsanforderungen für bauliche Anlagen 71:261

Interferenzwirkung, Gesamtwindlast und lokale Lastspitzen 71:260

Investitionskosten, REA 71:358, 365

Ionenaustauscher, Betriebserfahrungen mit separaten Kationen- und Anionenaustauschern im Kraftwerk Matimba 71:58—61

Ionenchromatographie, Einsatz in DWR-Anlagen zur Bestimmung von Übergangsmetallen im Primärkühlmittel 71:149—153

Isostreßversuch, X 20 CrMoV 12 1 71:67—69

It-Dichtungen, Ersatz 71:24

Jahresbericht des ABE-Ausschusses 71:269—327

Jalousieklappen, Rauchgas 71:475

Kalkhydrat-Einblasung in den Feuerraum 71:229—231

Kalkstein-Einblasung in den Feuerraum 71:956—961

Kalksteinmehl 71:154
— Reaktivitätstests 71:154

Kanäle, Verfahren zur Schadensbehebung 71:411

Kanalisationen, Wartung und Instandhaltung 71:412

Kanalkataster, Ordungsprinzip erdverlegter Leitungen 71:409

Kanalnetze, Inspektion und Auswertung 71:410

Kanaluntersuchung, Instandsetzung, Sanierung, Erneuerung 71:411/412

Katalysator 71:35

Katalysatorgehäuse, ungleichmäßige Erwärmung 71:65

Katalysatorgerüst, Gründung 71:63

Kathodenschutzanlagen in Wasserkraftwerken 71:254

Kationen-/Anionenaustauscher, Betriebserfahrungen mit separaten Kationen- und Anionenaustauschern im Kraftwerk Matimba 71:58—61

Kationenaustauscher, Kationen- und Anionenaustauscher separat in einem Behälter 71:962—965

Kavitation, Speisepumpen 71:431

Kennlinienstabilität, Speisepumpen 71:431, 741

Kernenergie
— britische Aspekte 71:1—3
— Perspektiven in Europa 71:1088—1090

Kernkraftwerk Ringhals, Austausch von DE 71:328—331

Kernkraftwerke
— Betriebserfahrungen 1990 71:269—327
— Bewertungssystem für besondere Vorkommnisse 71:173—179
— Deionaterzeugung im KKW Grohnde 71:52—57
— Kaminabluft-Überwachungssystem in der SWR-Anlage Mühleberg 71:1130—1135
— Kondensatreinigung in SWR-Anlagen, neuere Entwicklungen 71:1127—1129
— Qualitätssicherung bei chemischen Betriebsmitteln 71:1049—1051
— Spurenmessungen im Primärkühlmittel 71:149—153

Kernkraftwerksbetreiber 71:81

Kesselspeisepumpen, EPRI-Entwicklungsauftrag 71:431

Kesselspeisewasser, chemische Konditionierung bei Zwangdurchlaufkesseln 71:886—889

Klimageschichte 71:865

Klimamodelle 71:865

Kohleaufbereitung für Wirbelschichtfeuerung 71:541

Kohledruckvergasung, integrierte, mit GUD-Block; Auslegung, Konstruktion, Betrieb 71:619—631

Kohlefaser in Dichtungsmaterial 71:25

Kohlenmühle, mathematisches Modell 71:1113—1117

Kohlenstaubbrenner für NO_x-arme Verbrennung 71:104—109, 203—205, 765—771

Kohlenstaubfeuerungsanlagen, Schwerpunkt-Forschungsprogramm 71:826

Kohlevergaser mit Festdruck bei einer GUD-Anlage 71:632—636

Kohlevergasung 71:42, 188, 222, 469, 603, 619, 816
— Wirbelschichttechnik 71:188/189

Kohlevergasungsreaktoren, Grundtypen 71:619

Koksfilter 71:404

Kombi-Anlagen 71:42

Kombi-Block
— Fernwärmeauskopplung 71:83—88
— HKW Pfaffenwald, Engineering-/Dynamik-Simulator 71:18—23

Kombi-Kraftwerk mit Teilvergasung 71:352

Kombi-Kraftwerk mit Wirbelschichtkessel 71:352, 482—489

Kombi-Kraftwerk mit ZWS 71:189

kombinierte Konditionierung, derzeitiger Stand bei Zwangdurchlaufkesseln 71:886—889

Kombi-Prozeß mit dissoziiertem Methanol 71:762/763

Kompensatoren in REA 71:675

Kondensatreinigung
— Betriebserfahrungen mit separaten Kationen- und Anionenaustauschern im Kraftwerk Matimba 71:58—61
— SWR-Anlagen, neuere Entwicklungen 71:1127—1129

Kondensatstopp 71:4

Konditionierung, derzeitiger Stand bei Zwangdurchlaufkesseln 71:886—889

Kongreß „Kraftwerke 1991" 71:983

Konstant- und Federhänger 71:128

Korngrößenhaushalt in Wirbelschichtfeuerungen 71:184/185

Korngrößenverteilung bei Kohle für Wirbelschichtfeuerung 71:1033

Korrosion 71:584
— in Reingaskanälen von REA-Anlagen 71:496—503

Korrosionsprodukte im Primärkreislauf von DWR-Anlagen. Bestimmung mittels Ionenchromatographie 71:149—153

Korrosionsschäden
— an REA-Ventilatoren 71:30
— an Turbinen- und Pumpenwellen von Wasserkraftwerken 71:245—257

Korrosionsschutz in REA 71:916

Kraftwerk Drax 71:765

Kraftwerk Jänschwalde
— Kosten der Rauchgasreinigung 71:952
— NO_x-Minderung 71:952
— Rauchgasentschwefelung 71:952
— Reststoffe aus der Rauchgasreinigung 71:952
— Wasserbilanz 71:952

Kraftwerk Kawagoe/Japan, überkritischer Dampferzeuger 71:637—643

Kraftwerk Kosovo A, Lebensdaueruntersuchung 71:336—340

Kraftwerk Lübbenau-Vetschau, Instandhaltung 71:598—602

Kraftwerk Matimba/ESKOM, Betriebserfahrungen mit separaten Kationen- und Anionenaustauschern 71:58—61

Kraftwerk Rovinari/Rumänien 71:110—115

Kraftwerk Staudinger, Modernisierung der Zyklon-Dampferzeuger 71:830—835

Kraftwerk Timelkam 2 71:956—961

Kraftwerk Turceni/Rumänien 71:110—115

Kraftwerke
— DDR 71:368
— trockengekühlte Systeme 71:1013—1016
— Verfügbarkeit und Analyse der Nichtverfügbarkeit 71:180—183

Kraftwerk-Kennzeichensystem, KKS-Schlüssel-Programm in PC-Version 71:1017

Kraftwerksblock, Sekundendynamik 71:4—13

Kraftwerkschemie
— Entwicklung und gegenwärtiger Stand in der ehemaligen DDR 71:680—685
— Organisation des VGB-Hauptausschusses „Chemie im Kraftwerk" 71:237—239

Kraftwerksnebenprodukte
— Lysimeterversuche 71:703
— Vermarktung 71:700
— Verwertung 71:98—103, 700

KRAFTWERKSSCHULE E.V. 71:826, 1098

Kraftwerkstechnik
— Anwendung von Expertensystemen 71:649—652
— Entwicklung 71:807
— Tagesfragen 1991 71:1000—1003

Kraft-Wärme-Kopplungsanlage, Brennstoffzellen 71:332—335

Kreiselpumpen
— REA 71:455
— Teillastverhalten 71:741

Kreislagerplatz für Steinkohle 71:855—859

Kriechbereich, eingesetzte Komponenten 71:655

Kriechporenbildung, X 20 CrMoV 12 1 71:67—69

Kriechschädigung, Rohrleitung 71:871—876

Kühlsysteme, Kreislaufführung des Kühlwassers 71:142—148

Kühlturmschalen, normale Betriebsbelastung 71:1142

Kühlturmschwaden, Beanspruchung des Betons 71:1141

Kühlwasser
— Infektionsrisiko durch Legionellen 71:785—787
— Versorgung 71:142—148

Kühlwassersystem im Heizkraftwerk Moabit 71:1102/1103

Lager, Magnettechnik 71:658

Lagerhalle für Steinkohle 71:857

Lagersysteme für REA-Gips 71:208

Lagerung, Naturgips, REA-Gips 71:50

Laständerungsverhalten
— druckaufgeladene Wirbelschichtfeuerung 71:534, 1036/1037
— Heizkraftwerk Moabit 71:1105/1106

Legionellen, Infektionsrisiko beim Kühlturmbetrieb 71:785—787

Leistungssprung-Antwort, Anforderungen der DVG 71:4

Leistungsverhalten von Sicherheitsventilen 71:465

leittechnische Einrichtungen im Heizkraftwerk Moabit 71:1103/1104

Lochkorrosion, Wasserkraftwerke 71:245—257

Luftreinhaltestrategie, NRW 71:364
— Großfeuerungsanlagen 71:364

Luftschadstoffe, DDR 71:368

Luftströmung an trockengekühlten Systemen in Kraftwerken 71:1013—1016

Luvo, Schwefelsäure-Kondensation 71:584

Lysimeter für Kraftwerksnebenprodukte 71:703

MACT-Prinzip (feuerungsinternes NO_x-Minderungssystem) 71:203/204

Magnetlagertechnik, Stand der Entwicklung 71:658

Mahlfeinheit bei Rohrkugelmühlen 71:453

Mahlkugeln, Auswahl bei Rohrkugelmühlen 71:452/453

Mehrkreisregelantrieb für Speisepumpen 71:567

Methanol, Nutzungsmöglichkeiten in Kraftwerksprozessen 71:759—764

Methanolherstellung, Möglichkeiten 71:760

Mischsystem, statisches 71:355

MKT-Verfahren 71:849

Modan-Regelkonzept 71:4—12

Montageöffnung, Fugenausbildung zwischen Alt- und Neubeton 71:788

Müllverbrennung, Stellenwert 71:772

Müllverbrennungsanlagen 71:849

Müllverbrennungsrückstände, Anfall und Verwertung 71:504—508

Multistep-System für die Wasseraufbereitung 71:962—965

MVA, Ertüchtigung 71:776

MVA Bremen 71:921

MVA Mannheim 71:776

Nachrüstung, Rauchgasentschwefelung 71:355

Naturgips 71:48

Naturzugkühlturm, Ableitung gereinigter Rauchgase und Rauchgas-Schwadenbelastung 71:1141

ND-Läufer, Dampfturbinen 71:732, 842

ND-Turbine, Wirkungsgrad 71:341, 732

Netzsituation in den neuen Bundesländern 71:530

neue Bundesländer
— Perspektiven der Stromwirtschaft 71:525—531
— Probleme der Stromerzeugung, Kraftwerksstandorte 71:1079—1087

NH_3-Lufteindüsung 71:35

Nichtverfügbarkeit von Kraftwerken, Gründe und Verursacher 71:180—183

Niederlande
— nationaler Umweltpolitikplan 71:1118
— 5 % CO_2-Minderungsplan 2000 71:1118
— 50 % NO_x-Minderungsplan 71:1118
— 80 % SO_2-Minderungsplan 71:1118

Niederschlagsmessung, global 71:865

NO_x-Abscheidung 71:396

NO_x-arme
— Braunkohlenfeuerungen 71:440—444
— Feuerungstechnik 71:200—207
— Kohlenstaubbrenner 71:765—771
— Rostfeuerung 71:445—448
— Steinkohlenfeuerungen 71:104—109

NO_x-Bildungsmechanismus 71:440

NO_x-/CO-Reduktion, Gasturbinen 71:644

NO_x-Emissionen, DDR 71:368

NO_x-Minderung, Einfluß auf N_2O-Emissionen 71:364, 592

NO_x-Minderungstechnologie 71:371

NO_x-Reduktion, Gasturbinen 71:192

N_2O-Emissionen 71:592
— Wirbelschichtfeuerungen 71:349

N_2O-Meßtechnik 71:592

Ölbrenner für NO_x-arme Verbrennung 71:202

ostdeutsche Verbundunternehmen, regionale Verteilungsunternehmen 71:527/528

Oxidation, katalytische 71:671

Packungen, asbestfrei 71:24

Partnerschaft: Ost-West 71:81

PCDD/PCDF 71:852
— Emission 71:671
— Immission 71:860
— Quellen 71:860
— tägliche Aufnahme 71:860

Potentialsondenmeßtechnik 71:1057—1060

Primärkühlmittel, Anwendung der Ionenchromatographie zur Spurenmessung von Übergangsmetallen 71:149—153

Primärmaßnahmen zur NO_x-Minderung
— Braunkohlenfeuerung 71:440—444
— Rostfeuerung 71:445—448

Privatisierung der Kernenergie, britische 71:1—3

Probennahmeeinrichtungen beim Umschlag von Steinkohle 71:857

Produktabscheidung 71:396

Produktentstauber 71:232

Pulverharz, Anschwemmfiltration in SWR-Anlagen, neuere Entwicklungen 71:1127—1129

Pumpen
— REA 71:455
— Teillastverhalten 71:741

Pumpenwellen von Wasserkraftwerken, Betriebserfahrungen 71:245—257

Puzzolane im Dreistoff-Diagramm 71:16

Pyrodetektoren bei MVA-Rost 71:776

Qualitätssicherung, chemische Betriebsmittel in Kernkraftwerken 71:1049—1051

quasitrockene Rauchgasreinigung bei MVA 71:921

Quecksilberabscheidung in MVA-Rauchgas 71:782

Radioaktive Abgaben der Kernkraftwerke 1990 71:270

Radioaktivität, Naturgips, REA-Gips 71:49

Rauchgas
— Säuretaupunkt-Bestimmung 71:966—970
— SO_3-Konzentrationsbestimmung 71:966—970

Rauchgasentschwefelung 71:355
— nasse 71:154
— System Düsseldorf 71:404

Rauchgasentschwefelungsanlagen, Pumpen 71:455

Rauchgasentstaubung bei druckaufgeladener Wirbelschichtfeuerung 71:1035/1036

Rauchgasentstickung, katalytisch, hinter REA 71:404

Rauchgaskanäle 71:35

Rauchgasklappen 71:475, 675

Rauchgasreinigung bei MVA (Übersicht) 71:218, 780, 849, 921

Rauchgasreinigung, simultan 71:396, 404

Rauchgasreinigungsanlagen (RRA)
— Rechtsgrundlagen 71:138
— sicherheitstechnische Regeln 71:138 ff.

Rauchgasrezirkulation zur Primärluft bei Rostfeuerung 71:446

REA-Abwasser, Analytik der Inhaltsstoffe 71:1052—1056

REA-Anlagen; Sanierung von Reingaskanälen mit metallischen Auskleidungen 71:496—503

REA-Gips 71:48
— Anfall und Verwertung in Deutschland 71:504—508
— Calcinierung 71:240—244
— Gipsfaserplatten 71:240—244
— Gipsstaub 71:50
— Lagerung 71:50
— Radioaktivität 71:49
— Spurenelemente 71:51
— vergleichende Beurteilung 71:48

REA-Nachrüstung 71:355

REA-Prozeß und -Abwasser 71:361

REA-Schäden, Kraftwerk Westfalen 71:801

REA-Ventilatoren, Schäden 71:30

Reaktivität von Kalksteinmehl 71:154

Reaktorgebäude, Schaffung einer Montageöffnung 71:788

Reaktorunfall von Tschernobyl
— Bilanz 71:1091—1095
— Folgen 71:1091—1095

Reduzierung der CO_2-Emissionen in der Energietechnik 71:897—904

Regelung, Ventilatoren 71:573

Reibungsschwingungsdämpfer, Sicherheitsventile 71:123

Reingasstaub-Inhaltsstoffe bei MVA 71:782

Reingraphitdichtungen 71:25

Rekuperator 71:35

Restlebensdaueruntersuchung an Kesselanlagen 71:336—340

Reststöffbegriff 71:1122

Reststoffe 71:1122
— Anfall und Verwertung in Deutschland 71:504—508
— Anfall und Verwertung in den Niederlanden 71:240

Reststoffverwertung 71:365

Rezirkulationsrate bei verschiedenen Wirbelschichtsystemen 71:350

Ringhals, Austausch von DE 71:328—331

Rißauffangzähigkeit 71:877—882

Risse in der Mischverbindung 14 MoV 6 3 / 10 CrMo 9 10 71:1138—1140

Rißwachstum, Messung mit Potentialsonden 71:1057—1060

Rohrbogen
— Innendruckversuch 71:871—876
— Zeitstandschäden 71:871—876

Rohrhalterungen 71:128

Rohrkugelmühle
— direkte Feuerungssysteme 71:449—454
— RKD 500/700 71:108

Rohrleitungen, Halterungen 71:128

Rollgurtförderer für REA-Gips 71:208

Rostfeuerung mit NO_x-armer Verbrennung 71:445—448

Rostsystem bei MVA 71:776

Rotordynamik, Speisepumpen 71:431

Rückstände aus MVA 71:217

Säuretaupunkt, Messung 71:966—970

Sanierung von Reingaskanälen in REA-Anlagen 71:496—503

SAVREA-Produktaufbereitung 71:934

SCR hinter REA 71:934

SCR-DENOX-Anlage, High-dust-Anordnung 71:62

SCR-Katalysatoren zur Dioxin-Minderung 71:671

SCR-Technik zur NO_x-Minderung 71:371

SCR-Verfahren, Auswirkungen auf Kraftwerkskomponenten 71:584

Seilförderer für REA-Gips 71:208

Sekundendynamik eines Dampfkraftwerksblockes 71:4—13

Sicherheitsregeln, berufsgenossenschaftliche 71:138

Sicherheitsventile
— Dämpfungseinrichtungen 71:123
— Einfluß von Gegendruck 71:465

Sichtung bei Walzenschüsselmühlen 71:1114/1115

Siedewasserreaktoren
— Entwicklungen in der Kondensatreinigung 71:1127—1129
— Kaminabluft-Überwachungssystem in Mühleberg 71:1130—1135

Simulationsmodell, Untersuchung des dynamischen Verhaltens einer GUD-Anlage 71:632—636

Simulator 71:1098

SNCR an Schmelzfeuerungen 71:945

SNCR-Betriebserfahrung 71:945

SNCR, Einfluß betrieblicher Randbedingungen 71:945

SNCR-Technik zur NO_x-Minderung 71:371

SNCR-Verfahren 71:945

SO_2-Abscheidung 71:396
— im Filter 71:232

SO_2-Emissionen, DDR 71:368

SO_2-Minderung, NRW 71:364

SO_2/SO_3-Konversion 71:584

SO_3-Konzentration, Messung zur Bestimmung 71:966—970

Spannbeton-Containment, Bewehrung und Beton zum Schließen der Montageöffnung 71:790/791

Spannhebelklappen, Rauchgas 71:675

Spannungsrißkorrosion durch Natronlauge 71:797

Speisepumpen
— EPRI-Entwicklungsauftrag 71:431
— Mehrkreisregelantrieb 71:567

Speisewasser, chemische Konditionierung bei Zwangdurchlaufkesseln 71:886—889

Sperrluftsysteme für Rauchgasklappen 71:675

Sphäroguß für Armaturengehäuse 71:736

Sprühabsorption (SAV) 71:934

Spurenelemente, Naturgips, REA-Gips 71:51

Spurengas 71:1004

Schäden
— Kraftwerk Westfalen 71:792—803
— Wasserkraftwerke 71:245—257
— X 20 CrMoV 12 1 71:971—979

Schaufeln, Dampfturbinen 71:116, 732, 842

Schlackenzusammensetzung MVA 71:217

Schlauchfilter 71:232

Schmelzkammergranulat
— Anfall und Verwertung in Deutschland 71:504—508, 700
— Eigenschaften 71:702
— Lysimeterversuche 71:703
— Schwermetallauslaugungen 71:707

Schornsteine, Mehrzugbauweise 71:162

Schornsteinmündung, auskragende Abgasrohre 71:163/164

Schwefelsäureaerosol 71:584

Schwefelsäurebilanz 71:584

Schwefelsäurekondensation 71:584

Schweißen von Sphäroguß GGG 40.3 71:736

Schweißtechnik 71:821

Schwenkklappen, Rauchgas 71:475

schwerbrennbare Flüssigkeit, Dampfturbinen 71:905

Schwingungsauslegung, Dampfturbinenschaufeln 71:1108

Schwingungsdämpfer für Sicherheitsventile 71:123

Schwingungsrißkorrosion, Ventilatoren 71:30

Stadtwerke Frankfurt, Heizkraftwerk West, Hybridkühlturm 71:562—566

Stahlbetonkühltürme, Nutzungsänderung und verschärfte Betriebsbedingungen 71:1141

Stahlbetonschale, bauphysikalische Situation 71:1143/1144

Stahlguß, Betriebserfahrungen 71:836—841

Stahltraggerüst, Lastabtragungen und Verformungen 71:65

Stand der NO_x-Minderungsmaßnahmen 71:371

Staubemissionen, DDR 71:368

Staubemissionsmessung
— Auswertung 71:490
— Extinktionsmessung 71:490
— hinter REA 71:490
— historische Entwicklung 71:490
— Kalibrierung 71:490
— Streulichtverfahren 71:490

Störfalltraining 71:1098

Störfallursache 71:81

Stromerzeugung in den neuen Bundesländern 1991 71:1079—1087

Strom- und Wärmeversorgung Berlin 1991 71:1072—1078

Stromwirtschaft, Perspektiven in den neuen Bundesländern 71:525—531

TA Abfall 71:774

Tätigkeit der VGB, Kurzbericht 1990/91 71:807

Tandemklappen, Rauchgas 71:475

Taschengurtförderer für REA-Gips 71:208

Taupunktunterschreitung 71:584

TAV, siehe Trocken-Additiv-Verfahren 71:229—231, 956—961

Teilfugenschrauben, Spannverfahren 71:728

Teillastverhalten von Kreiselpumpen 71:741

Temperaturerhöhung bodennaher Schichten 71:897

Temperaturmittel, langjährig, global 71:865

Third Party Access 71:1000—1002

Transformatorenöl, Betriebsüberwachung von Transformatoren mittels HPLC 71:594—597

Transportvorgänge bei Walzenschüsselmühlen 71:1114

Treibhauseffekt 71:865, 1004
— natürliche Ursachen 71:898

Trocken-Additiv-Verfahren (TAV) 71:229—231, 956—961

Trockenkühlelemente für Kraftwerke, thermische Strömung 71:1013—1016

Trockensorptionsverfahren 71:849

Trocknung mit Wirbelschichttechnik 71:190

Trocknung von Braunkohle in der Dampf-Wirbelschicht 71:664—668

Trogkettenförderer für REA-Gips 71:208

Trommelreaktor zum Dioxinabbau in Filterstaub bei MVA 71:1038

Tschernobyl-Reaktorunfall
— Bilanz der Folgen 71:1091—1095
— gesundheitliche Konsequenzen 71:1091—1095

Turbinengehäuse, Betriebserfahrungen 71:836—841

Turbinenschaufeln, Endstufe 71:116, 732, 842

Turbinenstähle, Neuentwicklungen 71:686—699

Turbinenwellen von Wasserkraftwerken, Betriebserfahrungen 71:245—257

Überkritischer Dampferzeuger mit 311 bar im Kraftwerk Kawagoe/Japan 71:637—643

Überwachung der Kaminabluft im KKW Mühleberg 71:1130—1135

Umbau der Zyklondampferzeuger im Kraftwerk Staudinger 71:830—835

Umlaufkühlung, Kühlwasserversorgung 71:142—148

Umstellung ölbefeuerter Blöcke auf Wirbelschichtkessel 71:538—543

Umweltschutz 71:817

Umweltverträglichkeit 71:703
— Kraftwerksnebenprodukte 71:703

USA
— Clean Coal Technology 71:421
— Emission Trading 71:418
— EPRI-Programm 71:424
— Gesetze zur Luftreinhaltung 71:417
— Kosten, SO_2-Minderung 71:422
— SO_2-Minderungsmaßnahmen 71:417

US-Prüfung, Dampfturbinenläufer 71:1009

VEAG
— El-Netz 71:1079—1087
— Emissionsprognose 71:1079—1087
— Investitionen 71:1079—1087
— Kraftwerke ab 100 MW 71:1079—1087
— Leistungsbilanz 71:529
— Personalentwicklung 71:1079—1087

Ventilatoren
— Schäden an REA-Ventilatoren 71:30
— Wirbelschichtfeuerung 71:573

Ventilgehäuse aus Stahlguß, Betriebserfahrungen 71:836—841

Venturi-Rohre, Korrekturfaktoren bei Durchflußmessungen 71:912—915

Verbrennungsforschung 71:826

Verfügbarkeit und Nichtverfügbarkeit von Kraftwerken, Kennwerte, Ermittlungsverfahren und Analysen 71:180—183

Verlust durch Unverbranntes bei Braunkohlenstaubfeuerung 71:115

Verordnung über Abfallverbrennungsanlagen 71:669

Verschleiß in REA-Pumpen 71:455

Verweilzeit von Brennstoffpartikeln in Staub- und Wirbelschichtfeuerungen 71:348

Verwertung/Entsorgung 71:823

Verwertung von Kraftwerksnebenprodukten 71:98—103

Verwertungskonzept für Wirbelschichtaschen 71:15—17, 1029

VGB-Ehrungen 71:825, 895, 896, 990

VGB-Forschungsprogramm 71:48, 825, 871

VGB-Forschungsstiftung 71:824

VGB-Tätigkeit, Kurzbericht 71:807

VGB-Verfügbarkeitsermittlungen von Kraftwerken 71:180—183

Viskose-Schwingungsdämpfer, Sicherheitsventile 71:123

Vollentsalzung
— KKW Grohnde 71:52—57
— Multistep-System 71:962—965

Vorkommnisse in Kernkraftwerken, Bewertungssystem 71:173—179

Vormischbrennkammer, Gasturbinen 71:193

Vorspannen, Teilfugenschrauben 71:728

Vorwärmeranlage im Heizkraftwerk Moabit 71:1101/1102

Wärmedämmwände 71:930—933

Wärmekraftwerke 71:811

Wärmeversorgung/Stromversorgung in Berlin 1991 71:1072—1078

Walzenschüsselmühle, mathematisches Modell 71:1113—1117

Wanderrostfeuerung mit NO_x-armer Verbrennung 71:445—448

WANO 71:81

Wasseraufbereitung
— Heizkraftwerke in der ehemaligen DDR 71:883—885
— Multistep-System 71:962—965

Wasser-Dampfkreislauf, chemische Konditionierung bei Zwangdurchlaufkesseln 71:886—889

Wasserkraftwerke, Betriebserfahrungen 71:245—257

Wasserstoffverbrennung bei Störfällen in Kernkraftwerken 71:755—758

Weiterbildung 71:1098

Wellendichtungen in REA-Pumpen 71:455

Werkstoffe 71:821
— Kraftwerk Westfalen 71:792—803
— Turbinenbau 71:686—699
— 14 MoV 6 3 71:798—803, 871—876, 1136—1140
— X 8 CrNiNb 16 16 71:792—803
— X 20 CrMoV 12 1 71:67—69, 792—803, 871—876, 971—979

Wiederholungsschulung 71:1098

Wiege der abendländischen Kultur 71:993

Wiener Stadtwerke, Kombi-Block 71:83—88

Windlasten, Interferenzwirkung bei Gebäudegruppen 71:258

Windwirkung, statische und dynamische Lastanteile 71:259

Wirbelschicht zur Trocknung von Braunkohle 71:664—668

Wirbelschichtanlagen, zukünftige Entwicklung 71:347—354

Wirbelschichtasche 71:15—17, 1029

Wirbelschichtfeuerung 71:14, 184, 186, 188, 347, 482, 532, 538, 664, 815, 925, 1020, 1031, 1100
— Circofluid-System 71:532—537
— druckaufgeladen 71:1031—1037
— Heizkraftwerk Moabit 71:14—17, 1020—1030
— Ventilatoren 71:573

Wirbelschichttechnik
— in Kombi-Kraftwerken 71:482—489
— in Kraftwerken 71:184—191

Wirkungsgradverbesserung, Dampfturbinen 71:116, 732, 842

Wirtschaftsgut 71:1122

Wissenschaft, Dissertationen 71:614

WÜLFRAsorp 71:850

Wurfbeschickung bei Rostfeuerung 71:445—448

WWER-Reaktoren 71:81

Zeitstandschäden, Mischverbindung 14 MoV 6 3/10 CrMo 9 10 71:1136—1140

Zentrale Melde- und Auswertestelle für Kernkraftwerke (ZMA) 71:814

Zerkleinerung bei Walzenschüsselmühlen 71:1114

zerstörungsfreie Prüfung; Stahlguß 71:838

zirkulierende atmosphärische Wirbelschichtfeuerung (ZWS) 71:14—17, 186—188

zirkulierende Wirbelschichtkessel zur Umrüstung ölbefeuerter Anlagen 71:538—543

Zündgrenzen für Wasserstoff-Luft-Wasserdampf-Gemische 71:756

ZWS, siehe zirkulierende Wirbelschicht 71:14—17, 186—188

ZWS 71:1020—1030
— Entwicklung 71:15
— Feststoffkonzentration und -geschwindigkeit in Wandnähe 71:925—929
— Kombi-Kraftwerk 71:489
— Kraftwerke 71:186—189

Zyklon-Dampferzeuger im Kraftwerk Staudinger, Modernisierung 71:830—835

Persönliches 1991

Adams, Joachim, im VEW-Vorstand H. 4, S. 415

Adrian, Fritz, im Ruhestand H. 2, S. 170

August, Helmut, neuer Vorsitzender der VDI-Gesellschaft Bautechnik H. 1, S. 77

Berens, Rainer, 50 Jahre, 25jähriges Dienstjubiläum H. 4, S. 415

Boos, Kurt-Volker, zum Honorarprofessor ernannt H. 11, S. 1068

Brandt, Fritz, Franz-Weber-Preis 1991 H. 7, S. 715

Busak, Margot, 80 Jahre H. 12, S. 1151

Christiansen, Walter, 60 Jahre H. 8, S. 806

Clausnitzer, Gunther, im Ruhestand H. 1, S. 77

Deuster, Gerhard, im Ruhestand H. 2, S. 170

Ebert, Otto, gestorben H. 2, S. 170

Ettemeyer, Reinhardt, mit Bundesverdienstkreuz ausgezeichnet H. 9, S. 891

Eydam, Heinz, im Ruhestand H. 2, S. 170

FDBR-Vorstand, Änderungen 1991 H. 7, S. 715

Felsen, Leopold B., Heinrich-Hertz-Medaille 1991 H. 11, S. 1068

Freitag, Egon, im Ruhestand H. 4, S. 415

Hagenmeyer, Ernst, im EVS-Vorstand H. 5, S. 522

Heidinger, Peter F., Ehrenmitglied der VDEW H. 7, S. 715

Heitmann, Wilhelm, in die Geschäftsführung der GEC Alsthom berufen H. 8, S. 806

Hohmann, Joachim, neuer Vorsitzender der Geschäftsführung der ABB Antriebstechnik GmbH H. 4, S. 415

Hüttl, Adolf, neuer Vorstand des Bereichs Energieerzeugung (KWU) der Siemens AG H. 7, S. 716

Jacobs, Jörn, 50 Jahre/zum Honorarprofessor ernannt H. 1, S. 77

Jeschor, Helmut, 65 Jahre H. 11, S. 1068

Kattentidt, Hinrich, Ehrenmedaille des VDI H. 2, S. 170

Kiwit, Wilhelm, im Ruhestand H. 1, S. 77

Koberstein, Edgar, im Ruhestand H. 10, S. 982

Köhlertz, Fritz, im Ruhestand H. 1, S. 77

Köhlertz, Fritz, mit Bundesverdienstkreuz ausgezeichnet H. 9, S. 891

König, Gert, 55 Jahre H. 9, S. 891

Konstantinou, Georg, Änderung im Vorstand der Motoren-Werke Mannheim AG H. 7, S. 716

Kuhnt, Dietmar, neuer Vorstandsvorsitzender der RWE Energie AG H. 12, S. 1151

Lause, Karl-Heinz, Vorstandsvorsitzender der Stadtwerke Düsseldorf H. 8, S. 806

Linzer, Wladimir, 55 Jahre H. 10, S. 982

Löhle, Herbert, 70 Jahre H. 1, S. 77

Magerl, Horst, neuer Vorsitzender der VDEW H. 2, S. 170

Maly, Rudolf, im Ruhestand H. 2, S. 170

Marnet, Chrysanth, Guilleaume-Gedenkmünze für Verdienste um die Kraftwerkstechnik H. 10, S. 895

Maurer, Harald, 60 Jahre H. 8, S. 806

Mayinger, Franz, 60 Jahre H. 9, S. 891

Meyer, Fred, 65 Jahre H. 3, S. 264

Meyer, Fred, im Ruhestand H. 7, S. 715

Müller, Klaus-Norbert, tödlich verunglückt H. 8, S. 806

Multer, Ivar, gestorben H. 3, S. 264

Musset, Gerhard, im Ruhestand H. 5, S. 522

Neumann, Jürgen C., aus GEA-Vorstand ausgeschieden H. 2, S. 170

Ott, Gerhard, weiterhin Vorsitzender im World Energy Council H. 10, S. 982

Petrak, Peter, 25 Jahre bei Kraftanlagen Heidelberg H. 2, S. 170

Prescher, Günter, Leiter der Forschung-Physikalische Chemie der DEGUSSA AG H. 10, S. 982

Reichert, Günter, im Ruhestand H. 10, S. 982

Resch, Gerhard, 65 Jahre H. 5, S. 522

Riemer, Hans-Werner, stellvertretendes Vorstandsmitglied bei VEW H. 1, S. 77

Risse, Fritz, 65 Jahre H. 4, S. 415

Rössel, Theodor, im Ruhestand H. 12, S. 1151

Schaal, Gerd E., in die Geschäftsführung der LTG berufen H. 3, S. 264

Schildmann, Rolf, neu im GEA-Vorstand H. 2, S. 170

Schnell, Peter, im Ruhestand H. 5, S. 522

Scholtholt, Heinz, neu im STEAG-Vorstand H. 10, S. 982

Schwarz, Ottmar, 70 Jahre H. 10, S. 982

Spähn, Heinz, 65 Jahre H. 4, S. 415

Spähn, Heinz, Guilleaume-Gedenkmünze für Verdienste um die Kraftwerkstechnik H. 10, S. 896

Steinhauer, Otto, 60 Jahre H. 11, S. 1068

von Stryk, Horst, Robert-Mayer-Preis '91 H. 1, S. 77

Thomas, Paul, 60 Jahre H. 10, S. 982

Tolksdorf, Erich, zum Abteilungsdirektor ernannt H. 1, S. 77

VGB-Beiräte, Änderungen 1991 H. 10, S. 982

VGB-Vorstand, Änderungen 1991 H. 10, S. 982

VKR-Vorstand, Änderungen 1991 H. 11, S. 1068

Volkerts, Arno, gestorben H. 8, S. 806

Wedler, Frank, neu im GEA-Vorstand H. 2, S. 170

Zettler, Frowin, neuer Geschäftsführer bei Derustit H. 12, S. 1151

Buchbesprechungen 1991

Abfallbeseitigungsrecht für die betriebliche Praxis, Stand April 1989 H. 1, S. 61

Aktueller Praxisratgeber für den rechtssicheren Umgang mit brennbaren Flüssigkeiten H. 2, S. 167

Ausbreitungsrechnungen nach TA Luft — Anwenderhandbuch H. 2, S. 167

AVR-Experimental High-temperature Reactor H. 3, S. 268

Blindstrom-Kompensation in der Betriebspraxis H. 2, S. 122

Brennstäbe von Leichtwasserreaktoren, Auslegung und Betriebsverhalten H. 11, S. 1070

CEOC-Katalog technischer Ausdrücke für Dampfkessel und Druckbehälter H. 2, S. 148

Das Genehmigungsverfahren nach dem Bundes-Immissionsschutzgesetz, 3. Auflage H. 1, S. 80

Daten zur Umwelt 1988/89 H. 1, S. 61

Die Brennstoffe H. 2, S. 122

Die Grundlagen der Ingenieurwissenschaften H. 2, S. 122

Die veröffentlichte Umweltpolitik — Ein sozioökologisches Lehrstück H. 5, S. 524

DIN-Normen in der Verfahrenstechnik: Ein Leitfaden der technischen Regeln H. 3, S. 191

DIN Taschenbuch Nr. 8, Schweißtechnik 1, Schweißzusätze, Fertigung, Güte und Prüfung H. 3, S. 268

EMV und Blitzschutz leittechnischer Anlagen H. 12, S. 1154

FDBR-Fachwörterbuch Band 3, Englisch/Deutsch und Deutsch/Englisch H. 3, S. 267

Fragen und Antworten zur Kesselbetriebstechnik H. 6, S. 557

Geschichte der Kernenergie in der Bundesrepublik Deutschland H. 6, S. 557

Gesundheitsrisiken der Stromversorgung: Daten, Fakten und Bewertungen; Vergleiche H. 2, S. 148

Handbuch Kesselbetriebstechnik H. 12, S. 1154

Handbuch „Verdichter" H. 4, S. 354

Hochschullehrer-Verzeichnis, Band 1: Universitäten H. 2, S. 122

Immissionsschutz bei nicht genehmigungsbedürftigen Anlagen H. 1, S. 80

Industriearmaturen Handbuch H. 11, S. 1070

Industrielle Energieversorgung als betriebswirtschaftliches Planungsproblem H. 5, S. 524

Instandhaltung von Anlagen, Methoden — Organisation — Planung H. 5, S. 524

Jahrbuch Bergbau, Öl und Gas, Elektrizität, Chemie 1991 H. 5, S. 520

Jahrbuch der Dampferzeugungstechnik H. 2, S. 148

Jahrbuch der Wärmerückgewinnung, 6. Ausgabe H. 3, S. 268

Jetzt müssen wir handeln! Weltenergieversorgung — Bevölkerungsexplosion — Klimakatastrophe H. 11, S. 1070

Lagerung und Transport wassergefährdender Stoffe (LTwS) H. 2, S. 167

Leckfreie Pumpen H. 4, S. 354

Lexikon Elektronik und Mikroelektronik H. 3, S. 191

Lexikon der Gastechnik H. 4, S. 354

Luftreinhaltung '88, Tendenzen — Probleme — Lösungen H. 1, S. 66

Neue Wege für die Energiewirtschaft H. 3, S. 267

Nuclear Energy in Perspective H. 11, S. 1070

Perspektiven für Energieingenieure — Studierende und Praktiker im Dialog H. 5, S. 520

Projected Costs of Generating Electricity from Power Stations for Commissioning in the Period 1995—2000 H. 11, S. 1070

Projektmanagement in der Praxis H. 3, S. 268

Prozeßmodelle — Bilanzgleichungen in der Verfahrenstechnik und Energietechnik H. 3, S. 267

Prozeßrohrleitungen in Anlagen der Chemie-, Verfahrens-, Energietechnik H. 2, S. 167

Qualitätssicherung und aktuelle Tendenzen im Rohrleitungsbau H. 4, S. 354

Rationelle Energienutzung in den Kommunen H. 3, S. 267

Rationelle Energienutzung in der mittelständischen Wirtschaft H. 5, S. 524

Rationelle Energieverwendung in der Bundesrepublik Deutschland, der Schweiz und in Norwegen H. 2, S. 148

Rationelle Heiztechnik-Energetik und Energiewirtschaft H. 3, S. 191

Richt- und Grenzwerte Luft — Wasser — Boden — Abfall H. 11, S. 1070

Technik der Wärmekraftwerke — Beiträge zur Kraftwerksforschung H. 1, S. 66

TexTerm-Band „Kühltürme" Deutsch/Englisch und Englisch/Deutsch H. 6, S. 557

Thermo Prozeß- und Abfalltechnik H. 2, S. 148

Tschernobyl und weltweite Konsequenzen H. 1, S. 61

VDI 2263 — Staubbrände und Staubexplosionen — Gefahren — Beurteilung — Schutzmaßnahmen H. 3, S. 267

Verbundbau Brandschutz Handbuch H. 4, S. 354

Wärmetechnische Arbeitsmappe H. 1, S. 61

VGB Kraftwerks-technik

Organ der VGB
Technischen Vereinigung der
Großkraftwerksbetreiber e.V.

Internationale Fachzeitschrift
für Technik in Kraftwerken
72. Jahrgang (1992)
Hefte 1 – 12

Herausgeber

VGB TECHNISCHE VEREINIGUNG DER GROSSKRAFTWERKSBETREIBER E.V.

Vorsitzender: Professor Dr. W. Hlubek, Essen;
Geschäftsführer: Professor Dr. H.-D. Schilling, Essen.

Anschrift der Redaktion

VGB TECHNISCHE VEREINIGUNG DER GROSSKRAFTWERKSBETREIBER E.V.
Klinkestraße 27–31, Postfach 10 39 32, W-4300 Essen 1, Deutschland
Fernruf (02 01) 48 62-6 86/6 87, Fernschreiber 857 707 vgb d,
Telefax (02 01) 48 62-6 88.

Chefredaktion

Chefredakteur: Oberingenieur Dipl.-Ing. H. Bleßmann, Essen;
Redaktionsassistentin: Rita Maria Wilke, Essen.

Redaktion

Oberingenieur Dr.-Ing. W. vom Berg, Essen;
Oberingenieur Dr. rer. nat. B. Forck, Essen;
Oberingenieur Professor Dr.-Ing. J. Jacobs, Essen;
Abteilungsdirektor Dipl.-Ing. K. Plate, Essen;
Abteilungsdirektor Dr.-Ing. G. Schlegel, Essen;
Abteilungsdirektor Dr.-Ing. E. Tolksdorf, Essen;
Oberingenieur Dipl.-Ing. G. Welten, Essen.

Wissenschaftlicher Redaktionsbeirat

Professor Dr. J. Béer, Cambridge, Massachusetts/USA;
Professor Dr. techn. Th. Bohn, Aachen;
Professor Dr.-Ing. F. Brandt, Darmstadt;
Professor Dr.-Ing. J. Buxmann, Hamburg;
Professor Dr.-Ing. G. Dibelius, Aachen;
Professor Dr.-Ing. H. Kremer, Bochum;
Professor Ir. J.J.C. van Lier, Delft/Niederlande;
Professor Dipl.-Ing. Dr. techn. W. Linzer, Wien/Österreich;
Professor Dr. techn. O.I. Martynova, Moskau/Rußland;
Professor Dr.-Ing. L. Müller, Berlin;
Professor Dr. rer. nat. R. Schulten, Aachen.

Technischer Redaktionsbeirat

Dipl.-Ing. R. Aarni, Helsinki/Finnland;
Betriebsdirektor Dipl.-Ing. K. Bers, Berlin;
Dr. techn. H. Breidenbach, Essen;
Dr. rer. nat. J. Ernst, Hamburg;
Dipl.-Ing. J. Garleff, Hamburg;
Dipl.-Ing. Dr. techn. F. Janitschek, Klagenfurt/Österreich;
Direktor Dr.-Ing. D. Kallmeyer, Essen;
Direktor Dr.-Ing. H. Krolewski, Dortmund;
Direktor Dipl.-Ing. ETH K. Küffer, Baden/Schweiz;
Direktor Dr.-Ing. E.h. Dipl.-Ing. R. Mäule, Esslingen;
Direktor Dipl.-Ing. J. Schulte, Leverkusen.

Vertrieb und Anzeigenverwaltgung

VGB-KRAFTWERKSTECHNIK GmbH, Klinkestraße 27–31, Postfach 10 39 32,
W-4300 Essen 1, Deutschland, Fernruf (02 01) 48 62-6 80/6 81/6 83, Fernschreiber 857 507 vgb d,
Telefax (02 01) 48 62-6 88.
Verantwortlich für Vertrieb und Anzeigenteil: R. Rätz.

Erscheinungsweise

monatlich, außerdem erscheint zeitlich verschoben
eine englische Fassung der Hefte.

ISSN 0372-5715

Jahresinhaltsverzeichnis 1992

Verfasserverzeichnis 1992

Adamski, P., und Berenbrink, P.: Umbau- und Inbetriebsetzungserfahrungen an auf NO_x-arme Verbrennung umgerüsteten Gasturbinen H. 9, S. 761–768

Adlhoch, W., Keller, J., und Herbert, P.K.: Das Rheinbraun-HTW-Kohlevergasungsverfahren H. 4, S. 345–348

Agrenius, B.: Perspektiven der Energieversorgung in den nordischen Ländern H. 1, S. 7–10

Ahr, O.: Betriebsbewährung der zirkulierenden atmosphärischen Wirbelschichtfeuerung zur Verwertung von Kohlenschlämmen im Kraftwerk Emile Huchet H. 9, S. 835

Ahrens-Botzong, R., siehe *Redmann, E.*: H. 11, S. 1033

Albert, F., siehe *Rau, P.*: H. 5, S. 444–454

Albrecht, W.: NO_x-Emissionen aus Kohlenstaubflammen H. 7, S. 614–621

Alisch, S., siehe *Doležal, R.*: H. 9, S. 749–754

Amon, H., siehe *Stepan, G.*: H. 5, S. 476

Andersson, J., siehe *Schemenau, W.*: H. 9, S. 833

Ando, A., siehe *Sommerfeld, M.*: H. 2, S. 125–133

Angenend, F.J., siehe *Oschmann, W.*: H. 12, S. 1094–1100

Arens-Fischer, F.: Explosionsschutzmaßnahmen für Kohlenstaubfeuerungen in Kraftwerken H. 6, S. 531–535

Arthkamp, J., siehe *Braun, A.*: H. 9, S. 837

Arthkamp, J., siehe *Kremer, H.*: H. 12, S. 1130

Artinger, G., siehe *Gayh, U.*: H. 10, S. 928–929

Avramidis, J., siehe *Żelkowski, J.*: H. 12, S. 1130

Bannwarth, H., Schmelz, S., und Wilke, I.: Ökologische Nutzungsmöglichkeiten von Braunkohlenasche und Rauchgasgips (REA-Gips) H. 7, S. 646–660

Bartonicek, J., und Schöckle, F.: Dichtungskennwerte und die Dichtheit einer Flanschverbindung H. 5, S. 475–476

Bauer, E., siehe *Schlövogt, T.*: H. 4, S. 355–358

Baumann, H., siehe *Bonn, B.*: H. 9, S. 837

Baumgärtel, G., siehe *Müller, R.*: H. 5, S. 413–419

Becker, J., Niepel, H., und Thielen, W.: Verbrennung von mit Schadstoffen beladenem Aktivkoks H. 11, S. 1032

Becker, U., und Dommerque, H.: Elektronisch geregelte Unterstützungen im Kraftwerksrohrleitungsbau H. 11, S. 962–966

Beinhauer, H.: Verklärung statt Aufklärung H. 12, S. 1047–1050

Beisheim, J.: Rohrleitungen nach Druckbehälterverordnung in Kraftwerken H. 5, S. 475

Beising, R., siehe *Schlövogt, T.*: H. 4, S. 355–358

Benesch, W., Küster, D., und Schultz, H.D.: Erwartungen, Probleme und Erfolge der Feinmahlung von Kohle – Erfahrungen mit den Mahlanlagen der Kraftwerke Walsum, Herne, Knepper und Gersteinwerk H. 12, S. 1131

Berenbrink, P., siehe *Adamski, P.*: H. 9, S. 761–768

Bergmann, B.: Erdgas in Europa – Plattform und Horizont H. 12, 1059–1064

Bernstein, W., Reinhardt, W., und Ringling, G.: Betriebserfahrungen mit Gasturbinen in den neuen Bundesländern H. 7, S. 591–599

Bierbaum, K., siehe *Harms, H.-G.*: H. 9, S. 834–835

Bilger, H., siehe *Maier, H.*: H. 9, S. 796-800

Blank, H., Brakhan, W., Welp, H., und Widzgowski, R.: Optimierung der Anlagenfahrweise in den Rauchgasentschwefelungsanlagen des Braunkohlekraftwerks Neurath, Blöcke D und E H. 2, S. 156–158

Blankenburg, H.-J., und Münch, U.: Spurenelementlöslichkeit aus Braunkohlenfilteraschen H. 2, S. 176–179

Blaser, B., siehe *Loner, H.*: H. 9, S. 840

Blaser, W., siehe *Loner, H.*: H. 9, S. 840

Blaser, W., siehe *Schenker, E.*: H. 9, S. 840

Bleif, F., siehe *Scholl, G.*: H. 5, S. 427–432

Blöchl, H., siehe *Spindler, K.*: H. 9, S. 842

Blümel, W., Rummel, A., und Käferstein, P.: Messungen zum Wärmeübergang und Betriebserfahrungen im Kraftwerk Wolfsburg mit der zirkulierenden Wirbelschichtanlage H. 9, S. 836

Bobik, M., siehe *Gungl, E.*: H. 9, S. 833–834

Boemer, A., siehe *Braun, A.*: H. 9, S. 837

Boersma, D., siehe *Verloop, W.C.*: H. 9, S. 833

Bohnsack, G.: Kinetik und Reaktionsmechanismus der chemischen Passivierung durch Oxidationsmittel im Wasser-Dampfkreislauf von Kraftwerken – Teil 2: Verwendung von Wasserstoffperoxid H. 9, S. 840

Boiger, P., siehe *Weiß, T.*: H. 9, S. 744–776

Bollmann, P., siehe *Viertmann, H.*: H. 2, S. 181

Bonde, D., siehe *Kleine-Möllhoff, P.*: H. 11, S. 1030

Bonn, B., Baumann, H., und Mayer, M.: Emissionsbildung in Druckwirbelschichtfeuerungen H. 9, S. 837

Borchers, M., siehe *Thiesbrummel, J.*: H. 9, S. 785–789

Bosholm, J., siehe *Ender, V.*: H. 9, S. 840

Bouhours, J., siehe *Schlövogt, T.*: H. 4, S. 355–358

Bourcier, P, siehe *Tremmel, D.*: H. 1, S. 33–43

Brakhan, W., siehe *Blank, H.*: H. 2, S. 156–158

Braun, A., Boemer, A., Renz, U., Arthkamp, J., und Kremer, H.: Vergleichende Untersuchung der Emission von Stickstoffoxiden aus Großanlagen mit zirkulierender Wirbelschichtfeuerung H. 9, S. 837

Braunstein, L., Maihöfer, A., und Wied, W.: Die Sulfatbildung bei der Rauchgasentschwefelung nach dem Wellman-Lord-Verfahren H. 9, S. 841

Braunstein, L., Schausbreitner, H., Schmidt, M., und Wied, W.: Qualitätssicherung bei der Dezentralisierung der Dampferzeugung in eine chemischen Großbetrieb H. 8, S. 713–718

Breuer, N., Derichs, W., und Hess, F.: Einsatz akustischer Temperaturmeßsysteme an einem braunkohlebefeuerten Kraftwerkskessel H. 1, S. 44–48

Brinkmann, C., siehe *Frank, R.*: H. 1, S. 23–27

Brinkmann, C., siehe *Oppenberg, R.*: H. 2, S. 145–150

Brückner, E., Hümmeler, A., und Pellkofer, D.: Schweißtechnik im Dampferzeuger-Service H. 12, S. 1074–1077

Brummel, H.-G., Franke, J., und Wittchow, E.: Besonderheiten der wärmetechnischen Berechnung von Abhitzedampferzeugern H. 1, S. 28–32

Brundiek, H.: Mühlensichter-Konstruktionen zur Vermeidung von Grobkornaustrag und Verringerung notwendiger Mahlleistung H. 12, S. 1131–1132

Brunner, A., Schweizer, E.-L., und Wagner, G.: Erfahrungen mit ausgewählten Werkstoffen in Rauchgasreinigungsanlagen hinter Schmelzkammerfeuerungen H. 2, S. 183

Brunner, M.: Betriebserfahrungen mit Anlagen zur Einhaltung der 17. BImSchV H. 11, S. 1030

Buch, L.: Automatisierungskonzept und Warteneinrichtung für Avedøreværket, Block 1 (AVV1) H. 6, S. 505–513

Buckley, D., siehe *Schenker, E.*: H. 9, S. 840

Bulak, H., siehe *Laux, S.*: H. 9, S. 837–838

Büldt, W.: Auftragnehmerbeurteilung – Qualifizierung von Auftragnehmern im Sinne der KTA 1401 H. 9, S. 781–784

Bursik, A., und Kittel, H.: Praxis der chemischen Konditionierung von Wasser-Dampfkreisläufen in Anlagen mit Zwangdurchlaufkesseln H. 2, S. 166–170

Bursik, A., siehe *Spindler, K.*: H. 9, S. 842

Busch, M., und Rampp, F.: Verbesserung des Verbrennungs-, Ausbrands- und Emissionsverhaltens einer Abfallverbrennungsanlage mittels kamerageführter Feuerleistungsregelung H. 11, S. 1029

Buschmann, M.: Kombi-Kraftwerke für die Energieversorgung von Produktionsbetrieben H. 5, S. 389–394

Buttker, B., siehe *Rabe, W.*: H. 11, S. 103

Chercea, G., und Rădulescu, M.: Erfahrungen beim Umbau von Ventilatormühlen für rumänische Braunkohle H. 11, S. 978–984

Clausen, J. Chr., siehe *Rasmussen, I.*: H. 9, S. 834

Conlin, J.B., siehe *Smith, S.J.*: H. 3, S. 247–250

Cooper, J.R.P.: Konventionelle Energie – fossile Brennstoffe – sauberer Strom für die Zukunft H. 4, S. 340–344

Covelli, B., siehe *Loner, H.*: H. 9, S. 840–841

Croonenbrock, R., siehe *Steven, H.*: H. 9, S. 835

Dahl, A., siehe *Nordin, S.*: H. 9, S. 832

Dahl, P., siehe *Maier, H.*: H. 5, S. 439–443

Damjakob, H., Depe, T., und Vrangos, V.: Bautechnische Entwicklungen im Kraftwerkskühlturmbau H. 6, S. 556–564

Damm, U.: Erste Betriebserfahrungen mit dem Gegenstromabsorber zur Rauchgasreinigung in der Müllverbrennungsanlage Düsseldorf-Flingern H. 11, S. 1032

Deggim, D., und Weinzierl, K.: Technische, wirtschaftliche und umweltrelevante Bewertung der verschiedenen Konzepte (Schaltungsarten) des kombinierten Gas-/Dampfturbinen-Prozesses bei Einsatz von Kohle und Erdgas H. 2, S. 140–144

Dekaat, R., Heppelmann, G., Ostendorf, B., und Vogt, H.D.: Betriebserfahrungen mit Absperrklappen in Waschsuspensionsleitungen der REA in den Kraftwerken Scholven und Frimmersdorf H. 11, S. 967–972

Depe, T., siehe *Damjakob, H.*: H. 6, S. 556–564

Derichs, W., siehe *Breuer, N.*: H. 1, S. 44–48

Detsch, F., W., Dittmar, R., und Detsch, F.E.: Zu Möglichkeiten und Grenzen der Lärmminderung an Armaturen und Rohrleitungen H. 11, S. 973–977

Detsch, F.E., siehe *Detsch, F.*: H. 11, S. 973–977

Deussner, M.: Fertigmahlung von Kohle in Rollenpressen H. 12, S. 1131

Dieckmann, A., siehe *Maier, H.*: H. 5, S. 439–443

Diez, Th., und Wollny, S.: Verwertung von Rückstandskalk und Nachweis der Düngewirkung H. 5, S. 460–464

Dimaczek, G., siehe *Durst, F.*: H. 12, S. 1132–1133

Dittmar, R., siehe *Detsch, F.*: H. 11, S. 973–977

Dobers, H., siehe *Melzer, B.*: H. 7, S. 642–645

Dobrevsky, Iv., und Rühle, W.: Über die Änderung von Nuklidkonzentrationen und spezifischen Aktivitäten des Reaktorwassers von Druckwasserreaktoren beim Abfahren H. 1, S. 78–83

Dobrevsky, Iv., und Winkler, R.: Zum Hideout in Kraftwerksanlagen H. 9, S. 839–840

Doležal, R., Alisch, S., Krenz, R., und Vodička, V.: Planung und Betrieb des GUD-Blockes mit Abhitzedurchlaufkesseln im Heizkraftwerk Pfaffenwaldder Universität Stuttgart H. 9, S. 749–754

Dommerque, H., siehe *Becker, U.*: H. 11, S. 962–966

Dörtelmann, Dagmar, Krabbe, H.-J., Müller, F., und Paulus, J.: Die Mikrowellenspektroskopie, ein neues System für die Bestimmung von Ammoniak in Rauchgasen H. 1, S. 65–69

Dräger, St., und Scherf, H.E.: Top-Down-Entwurf von Steuerungen unter Verwendung von Petri-Netzen als Sprachmittel H. 8, S. 697–698

Dransfeld, P., Hunsinger, H., und Vogg, H.: Die thermische NO_x-Emissionsminderung mit Melamin und verwandten Verbindungen bei Müllverbrennungsanlagen H. 11, S. 995–1001

Drefke, P., Huwer, W., Scharnberg, W., Schwab, E., und Wellnitz, G.: Konzept einer metallischen Auskleidung von Absorbern in Rauchgasentschwefelungsanlagen H. 5, S. 472

Drefke, P., siehe *Huwer, W.*: H. 7, S. 577–590

Durst, F., Dimaczek, G., Faßbinder, H.-G., und Richter, E.: Das Coriolis-Verfahren zur Kohlenstaubmessung am Einzelbrenner – ein Beitrag zur NO_x-Minimierung H. 12, S. 1132–1133

Duve, H., und Wilke, A.: Wiederverwendung potentiell verunreinigter Kondensate als Speisewasser für Benson-Kessel H. 3, S. 227–230

Eberbach, W., siehe *Mattern, E.*: H. 2, S. 116–124

Eckert, A., siehe *Kloos, K.H.*: H. 11, S. 1021–1026

Eckert, W., siehe *Kastl, H.*: H. 12, S. 1109–1117

Edelmann, H., siehe *Fett, F.H.*: H. 9, S. 838

Effenberger, H., siehe *Grusla, St.*: H. 9, S. 834

Eichert, H., und Fischer, M.: Sicherheit der Wasserstoff-Energietechnik – Eine notwendige Voraussetzung H. 4, S. 326–329

Eiden, M., siehe *Podhorsky, M.*: H. 2. S. 151–155

Ender, V., und Bosholm, J.: Thermodynamische Grundlagen für einen kinetischen Korrosionsschutz H. 9, S. 840

Engelfried, R.: Gezielter Schutz für die Stahlbeton-Schornsteinmündung H. 5, S. 455–459

Epstein, M., siehe *Holt, N.*: H. 9, S. 755–760

Eriksen, P.B.: Ein Ausbreitungsmodell, das die Betriebsweise der Kraftwerke berücksichtigt H. 9, S. 790–795

Ernst, J., siehe *Uhlig, E.*: H. 2, S. 181

Ernst, J.: Qualitätssicherung beim Lagern von Flüssig-Ammoniak H. 9, S. 801–804

Ernst, R.: Zustandserfassung von Generatoren bei Instandhaltung und Erneuerung von Anlagen H. 7, S. 605–608

Esser-Schmittmann, W.: Spurenstoffabscheidung in der Rauchgasnachreinigung mit Aktivkoks aus rheinischer Braunkohle H. 11, S. 1032

Essers, H.: Ölpflege im Kraftwerk H. 10, S. 889–892

Evans, J.L., und Raymant, A.P.: Kohlevergasung aus der Sicht eines britischen Energieversorgungsunternehmens H. 3, S. 231–233

Faber, W., siehe *Möhlenbruch, N.*: H. 8, S. 727–729

Fahlenkamp, H., siehe *Mittelbach, G.*: H. 7, S. 626–629

Fahlke, J.: Untersuchungen zum Verhalten von Spurenelementen an Trocken- und Schmelzfeuerungen unter Berücksichtigung der Rauchgasreinigungsanlagen H. 9, S. 841

Farrier, D.A., siehe *Johnston, M.R.*: H. 1, S. 11–15

Farwick, H., Rech, G., und Schnaithmann, K.: Modernisierung der Turbinenleittechnik zur Optimierung des Betriebes H. 9, S. 769–773

Faßbinder, H.-G., siehe *Durst, F.*: H. 12, S. 1132–1133

Faulstich, M., Freudenberg, A., Köcher, P., und Kley, G.: Wertstoffgewinnung aus Müllverbrennungsrückständen mit dem RedMelt-Verfahren H. 11, S. 1031

Fellmann, H.: Darstellung der komplexen Instandhaltungsstrategie des Fernwärmenetzes Berlin-Ost unter den Bedingungen eines Zweileitersystems H. 2, S. 181–182

Fenner, J., und Schedlitzki, D.: Vinylesterharz-Flakeglas-Beschichtungen als Korrosionsschutz in Rauchgasentschwefelungsanlagen H. 6, S. 500–504

Fercher, E., siehe *Tschanun, J.*: H. 9, S. 834

Fett, F.H., Schöler, J., Edelmann, H., Peters, R., Jürgens, B., und Jahn, P.: Ein Gesamtmodell für ZWS-Dampferzeuger im Test an zwei Kohlekraftwerken H. 9, S. 838

Fischer, M., siehe *Eichert, H.*: H. 4, S. 326–329

Flores, A., siehe *Rehwinkel, H.*: H. 5, S. 420–426

Forck, B.: Behandlung gefährlicher Luftverunreinigungen: Stand der Technik H. 8, S. 735–744

Frank, R., und Brinkmann, C.: Modernisierungsmaßnahmen an Dampferzeugern in den neuen Bundesländern H. 1, S. 23–27

Franke, J., siehe *Brummel, H.-G.*: H. 1, S. 28–32

Freudenberg, A., siehe *Faulstich, M.*: H. 11, S. 1031

Fridemo, L., siehe *Kelén, T.*: H. 10, S. 903–907

Fuchs, H.V.: Lärmminderung durch Schalldämpfer H. 12, S. 1087–1093

Fujioka, Y., siehe *Nakasima, F.*: H. 9, S. 833

Furuya, T., siehe *Ishikawa, H.*: H. 5, S. 405-412

Gast, C.H., siehe *Rozendaal, C.M.*: H. 12, S. 1132

Gasteiger, G., siehe *Tschanun, J.*: H. 9, S. 834

Gayh, U., und Artinger, G.: Notfallschutzkonzept für konventionelle Kraftwerke H. 10, S. 928–929

Geiger, T., Hagenmaier, H., Hartmann, E., Römer, R., und Seifert, H.: Einfluß des Schwefels auf die Dioxin- und Furanbildung bei der Klärschlammverbrennung H. 2, S. 159–165

Gieler, R.P., siehe *Ide, G.*: H. 1, S. 49–54

Giernoth, B., siehe *Laux, S.*: H. 9, S. 837

Gierse, M.: Temperaturregelung in zirkulierenden Wirbelschichten unterschiedlicher Bauart H. 9, S. 839

Giese, U., siehe *Kamsties, K.-D.*: H. 2, S. 181

Girod, W.: Asbestersatz für Packungen und Dichtungen H. 11, S. 951–961

Glaser, W., siehe *Willmes, O.*: H. 9, S. 805–822

Glatzer, A., Haider, M., und Linzer, W.: Ein mathematisches Modell zur Berechnung der Feststoffverteilung in Anlagen mit zirkulierender Wirbelschicht H. 9, S. 838–839

Goedicke, F., und Reh, L.: Partikelinduzierter Wärmeübergang an Gas-Feststoff-Wirbelschichten H. 9, S. 839

Golkowski, G.: Reststoffentsorgung in der Industrie/Papierindustrie mit integrierter Kraft-Wärme-Kopplung H. 11, S. 1030

Görner, K.: Entsorgungskonzepte für beladenen Aktivkoks aus der Rauchgasnachreinigung unter Einbeziehung der Verschlackung von Flugasche H. 11, S. 1032–1033

Graf, R.: Halbtrockene, hocheffiziente Abgasentschwefelung in der rückströmenden, zirkulierenden Wirbelschicht H. 9, S. 838

Granacher, J., siehe *Kloos, K.H.*: H. 11, S. 1021–1026

Grigoleit, H., siehe *Kremer, H.*: H. 12, S. 1130

Großterlinden, F.W., und Trimborn, G.A.: Schaltwartenausbau am Beispiel der Warte des Heizkraftwerkes Tiefstack (Ersatz) H. 10, S. 871–877

Grünewald, K.G., Otterstetter, H., und Tuna, S.: Analytische Qualitätssicherung im chemischen Laboratorium eines Energieversorgungsunternehmens (EVU) H. 12, S. 1101–1104

Grünewald, P.: Einbindung der HF-Störspannungsüberwachung zur Schadensfrüherkennung an Hochspannungsanlagen im Kraftwerksbereich in das Turbosatzdiagnosesystem H. 2, S. 182

Grupp, H.: Betriebsbedingte Veränderungen von schwer entflammbaren Hydraulikflüssigkeiten und deren analytischer Nachweis H. 7, S. 630–635

Grupp, H., und Mohr, G.: Diffusionsverhalten verschiedener Gummiqualitäten in REA gegen Bestandteile von Rauchgasen H. 9, S. 841

Grusla, St., Effenberger, H., und Pinkert, B.: Die Verbrennung von Problembrennstoffen in einer Technikums-Wirbelschichtanlage H. 9, S. 834

Gungl, E., und Bobik, M.: Die zirkulierende atmosphärische Wirbelschichtfeuerung im Reststoffentsorgungskonzept von Industriebetrieben: Betriebserfahrungen und Planungen H. 9, S. 833–834

Gutberlet, H., siehe *Maier, H.*: H. 5, S. 439–443

Gutberlet, H., Spiesberger, A., Kastner, F., und Tembrink, J.: Zum Verhalten des Spurenelementes Quecksilber in Steinkohlefeuerungen mit Rauchgasreinigungsanlagen H. 7, S. 636–641

H*agenmaier, H.*, siehe *Geiger, T.*: H. 2, S. 159–165

Hagenmaier, H., siehe *Mittelbach, G.*: H. 7, S. 626–629

Hagenmaier, H., und Schetter, G.: Dekontamination von PCDD- und PCDF-beladenem Aktivkoks H. 6, S. 536–539

Hagmann, U., siehe *Leckner, B.*: H. 9, S. 837

Haider, M., siehe *Glatzer, A.*: H. 9, S. 838–839

Hamamatsu, T., siehe *Ishikawa, H.*: H. 5, S. 405-412

Hansmann, G., und Wefers, H.: Sicherheitstechnik bei Einsatz von Aktivkoks in der Rauchgasreinigung an Abfallverbrennungsanlagen aus der Sicht der Störfall-Verordnung H. 8, S. 706–708

Harms, H.-G., und Bierbaum, K.: Erste Betriebserfahrungen mit rohkohlebefeuerten ZAWS-Dampferzeugern im Kraftwerk Berrenrath H. 9, S. 834

Harnisch, B.: Regelbare Antriebe in neuer Kraftwerkstechnologie H. 10, S. 883–888

Hartmann, E., siehe *Geiger, T.* H. 2, S. 159–165

Hartmann, E., siehe *Mittelbach, G.*: H. 7, S. 626–629

Häßler, G.: Forschung und Entwicklung im Hause Badenwerk H. 12, S. 1051–1058

Haupt, R., siehe *Oppenberg, R.*: H. 2, S. 145–150

Hefni-Omar, M.: Abscheidung von Schadstoffen aus den Rauchgasen einer Müllverbrennungsanlage in einem zirkulierenden Wirbelschichtreaktor H. 9, S. 838

Hein, K.R.G., siehe *Rozendaal, C.M.*: H. 12, S. 1132

Hein, K.R.G., siehe *Verloop, W.C.*: H. 9, S. 833

Helmrich, A., siehe *Rau, P.*: H. 5, S. 444–454

Heppelmann, G., siehe *Dekaat, R.*: H. 11, S. 967–972

Herbert, P.K., siehe *Adlhoch, W.*: H. 4, S. 345–348

Herler, J., siehe *Regler, H.*: H. 11, S. 1032

Hess, F., siehe *Breuer, N.*: H. 1, S. 44–48

Hickling, J., und Reitzner, U.: Wasserchemische Gesichtspunkte bezüglich Korrosionsrißbildung am Beispiel von SWR-Anlagen H. 4, S. 359–367

Hirano, S., siehe *Mizuno, T.*: H. 12, S. 1105–1108

Hirsch, G.: Schwingungssicherheit sekundärer Kraftwerkskomponenten unter Berücksichtigung der Systemdynamik – Erfahrungen aus Problemfällen H. 5, S. 472

Hirschfelder, H., siehe *Trost, M.*: H. 9, S. 836

Hoffmann, Barbara, siehe *Strauß, K.*: H. 9, S. 839

Hoffmann, W., siehe *Oschmann, W.*: H. 12, S. 1094–1100

Hofstetter, E.M.: Verfahren zur thermischen Verwertung von pflanzlichen Abfallstoffen – Verfahrensbeschreibung, Einsatzmöglichkeiten, Betriebserfahrungen H. 11, S. 1030

Holt, N., und Epstein, M.: Kohlevergasungs-Kraftwerke: Der Weg zur künftigen Stromerzeugung aus Kohle H. 9, S. 755–760

Hölter, G., siehe *Kitzerow, H.-G.*: H. 11, S. 1033

Huber, N., siehe *Sommerfeld, M.*: H. 12, S. 1132

Hückel, F., siehe *Scholl, G.*: H. 5, S. 427–432

Huijbregts, W.M.M., Venderbosch, P.H., und Kokmeijer, E.: Laboruntersuchungen nach Korrosionsermüdung im Zusammenhang mit Schäden in Speisewasserentgasern H. 10, S. 908–913

Humer H., siehe *Kneissl, P.J.*: H. 11, S. 1029

Hümmeler, A., siehe *Brückner, E.*: H. 12, S. 1074–1077

Hunsinger, H., siehe *Dransfeld, P.*: H. 11, S. 995–1001

Husemann, R.U.: Korrosionserscheinungen und deren Reduzierung an Verdampfern und Überhitzerbauteilen in kommunalen Müllverbrennungsanlagen H. 10, S. 918–927

Hüttner, F., siehe *Winkler, R.* H. 6, S. 547–550

Huwer, W., siehe *Drefke, P.*: H. 5, S. 472

Huwer, W., Scharnberg, W., Schwab, E., Drefke, P., und Wellnitz, G.: Konzept einer metallischen Auskleidung von Absorbern in Rauchgasentschwefelungsanlagen H. 7, S. 577–590

I*chinose, T.*, siehe *Nakasima, F.*: H. 9, S. 833

Ide, G., Gieler, R.P., und Ströver, H.: Durchführung bautechnischer Sanierungsmaßnahmen an einem Zellen-Naßkühlturm mit saugenden Ventilatoren im Kraftwerk Arzberg der Energieversorgung Oberfranken AG H. 1, S. 49–54

Inselmann, S., siehe *Klinggaard, S.*: H. 9, S. 840

Ishigami, S., siehe *Ishikawa, H.*: H. 5, S. 405-412

Ishikawa, H., Hamamatsu, T., Moritsuka, H., Toda, H., Ishigami, S., und Furuya, T.: Der Entwicklungsstand der integrierten Kohlevergasung in Japan H. 5, S. 405–412

J*ahkola, A.*: Forschung und Entwicklung der Wirbelschichttechnik in Finnland H. 9, S. 832

Jahn, P., siehe *Fett, F.H.*: H. 9, S. 838

Jansen, G.: Auswirkungen von Lärm auf den Menschen H. 1, S. 60–64

Janssen, F., siehe *Meijer, R.*: H. 10, S. 914–917

Jax, P., und Leuker, W.: Neue Leck-Detektions- und Ortungsverfahren für Rohrleitungen und Behälter H. 6, S. 514–517

Jochem, M., siehe *Spliethoff, H.*: H. 12, S. 1131

Johnston, M.R., und Farrier, D.A.: Die Auswirkungen der Änderungen auf die technische Planungsabteilung einer elektrizitätserzeugenden Gesellschaft in Großbritannien H. 1, S. 11–15

Jung, H.: Erste Betriebserfahrungen mit dem Aktivkoksfilter hinter einer Sonderabfallverbrennungsanlage H. 11, S. 1032

Jürgens, B.: Betriebserfahrungen mit den wirbelschichtbefeuerten Dampferzeugern 1 und 2 der Bayer AG, Leverkusen H. 9, S. 836

Jürgens, B., siehe *Fett, F.H.*: H. 9, S. 838

K*aatz, M.*, siehe *Remberg, H.-W.*: H. 7, S. 600–604

Kachler, W., siehe *Tremmel, D.*: H. 1, S. 33–43

Käferstein, P., siehe *Blümel, W.*: H. 9, S. 836

Kalinowski, G., siehe *Schmeding, R.*: H. 11, S. 1028

Kamsties, K.-D., und Giese, U.: Photogrammetrie und 3D-CAD – Ein kombiniertes Verfahren zur Vorplanung von Umbauten im Anlagenbau H. 2, S. 181

Karlsson, Maria, siehe *Leckner, B.*: H. 9, S. 837

Kastl, H., Möller, D., Maile, K., und Eckert, W.: Kriechen von Rohrbogen aus warmfestem Stahl 14 MoV 6 3 unter statischer Beanspruchung aus Innendruck und Biegemoment H. 12, S. 1109–1117

Kastner, F., siehe *Gutberlet, H.*: H. 7, S. 636–641

Kautz, K.M., siehe *Schmeisky, H.*: H. 5, S. 465–470

Kelén, T., Lundgren, K., und Fridemo, L.: Maßnahmen zur Minimierung der Strahlenfelder in Siedewasserreaktoren H. 10, S. 903–907

Keller, J., siehe *Adlhoch, W.*: H. 4, S. 345–348

Kemp, W., siehe *Möllmann, A.*: H. 11, S. 1011–1020

Kempkes, B., siehe *Arnswald, W.*: H. 6, S. 518–526

Keppel, W., siehe *Lienhard, H.*: H. 3, S. 204–210

Kern, E.: Erfahrungen mit Flugasche als Betonzusatzstoff aus der Sicht der Bauausführung H. 6, S. 565–572

Kienberger, K.H.: Radiolysegasansammlungen im Dampfsystem eines SWR-Kernkraftwerks; Erkenntnisse und Maßnahmen H. 9, S. 840

Kittel, H., siehe *Bursik, A.*: H. 2, S. 166–170

Kitzelmann, H.-H., siehe *Schulz, W.*: H. 8, S. 691–696

Kitzerow, H.-G., und Hölter, G.: Stellenwert der Wirbelschichtverbrennung bei der thermischen Abfallwirtschaft H. 11, S. 1033

Klein, V.E., Schwieters, B., und Sticker, K.-P.: Rohrhalterungen im Kraftwerk H. 10, S. 878–882

Kleine-Möllhoff, P., Kürzinger, K., und Bonde, D.: NO_X- und PCDD-/PCDF-Minderung im Rauchgas von Abfallverbrennungsanlagen H. 11, S. 1030

Kley, G., siehe *Faulstich, M.*: H. 11, S. 1031

Kling, U., Ottenburger, U., und Thiel, W.: Wartengestaltung – Einflüsse und Trends bei modernen Warten H. 12, S. 1084–1086

Klinggaard, S., Inselmann, S., und Maahn, E.: Lochfraß und Spaltkorrosion an unlegierten Stählen H. 9, S. 840

Kloos, K.H., Granacher, J., und Eckert, A.: Zeitstandverhalten warmfester Kraftwerksstähle unter rechteckzyklischer Beanspruchung H. 11, S. 1021–1026

Kneissl, P.J., und Humer, H.: Planung der AVA-Wels in Österreich H. 11, S. 1029

Knizia, K.: Tagesfragen der Kraftwerkstechnik H. 12, S. 1042–1045

Knothe, P.H.: Stand der Leittechnik, leittechnische Besonderheiten in konventionellen Kraftwerken der ESKOM H. 4, S. 336–339

Köcher, P., siehe *Faulstich, M.*: H. 11, S. 1031

Kokko, A.: Konzept und erste Versuchsergebnisse an einer zirkulierenden Wirbelschichtfeuerung mit einer brennkammerintegrierten Zyklonrückführung H. 9, S. 835–836

Kokmeijer, E., siehe *Huijbregts, W.M.M.*: H. 10, S. 908–913

Kolb, R., und Lietzke, J.: Ergebnisse der betriebsbegleitenden Lebensdauerüberwachung der Hauptdampfleitungen im Kraftwerk Brieske H. 6, S. 551–555

König, W., siehe *Uhlig, E.*: H. 2, S. 181

Körner, W., siehe *Schulz, W.*: H, 8, S. 691–696

Krabbe, H.-J., siehe *Dörtelmann, Dagmar*: H. 1, S. 65–69

Krabbe, H.-J., und Werner, H.-P.: Die Kühlturmzusatzwasseraufbereitungsanlage aus chemischer und biologischer Betrachtungsweise H. 9, S. 842

Kremer, H., Arthkamp, J., und Grigoleit, H.: Die NO_X-Bildungsneigung von Kraftwerkskohlen – Möglichkeiten zur Vorausberechnung unter Berücksichtigung der Stufenverbrennung (Ergebnisse der VGB-Forschungsprojekte 89 und 114) – H. 12, S. 1130

Kremer, H., siehe *Braun, A.*: H. 9, S. 837

Krenz, R, siehe *Doležal, R.*: H. 9, S. 749–754

Krieger, P.: Spezielle Profilierung an Laufrädern von Kreiselpumpen zur Senkung von $NPSH_i$ H. 5, S. 395–389

Kruse, G.: Abrasion – Korrosion – Inkrustation, Einsatzkriterien für Prozeßrohrleitungen aus Gummi H. 5, S. 476

Kürzinger, K., siehe *Kleine-Möllhoff, P.*: H. 11, S. 1030

Kürzinger, K., und Stock, M.: Salzsäure und Gips als Recyclingstoffe bei der Rauchgasreinigung von Müllverbrennungsanlagen und Vorstellung eines Alternativverfahrens zur herkömmlichen Kochsalzgewinnung H. 11, S. 1031

Küster, D., siehe *Benesch, W.*: H. 12, S. 1131

Kysela, J., siehe *Turyna, R.*: H. 9, S. 841

L*acour, D.*, siehe *Möllmann, A.*: H. 2, S. 180

Larivaille, P., siehe *Schlövogt, T.* H. 4, S. 355–358

Laux, S., Giernoth, B., Bulak, H., und Renz, U.: Besonderheiten beim Betrieb von keramischen Heißgasfiltern mit unterschiedlichen Stäuben H. 9, S. 837

Leckner, B., Karlsson, Maria, Mjörnell, Margareta, Hagmann, U., und Ling, C.-H.: Emissionen der Wirbelschichtfeuerung eines Kraftwerks mit 165 MW Wärmeleistung H. 9, S. 837

Leithner, R.: Betriebserfahrungen und zukünftige Entwicklungen von Dampferzeugern mit Wirbelschichtfeuerung H. 9, S. 832

Lendeckel, J.: Bericht über die Sanierung von Kesseltrommeln im Heizkraftwerk Berlin-Mitte – Berichtszeitraum 1987 bis 1990 – H. 2, S. 182

Leuker, W., siehe *Jax, P.*: H. 6, S. 514–517

Lichtmann, F., und Schumacher, W.: Inertisierung von Reststoffen aus der Müllverbrennung H. 11, S. 1031

Lienhard, H., und Keppel, W.: Zeitgemäße, umweltfreundliche Kraftwerkstechnik mit Gasturbinen H. 3, S. 204–210

Lietzke, J., siehe *Kolb, R.*: H. 6, S. 551–555

Lindbauer, R.L., Wurst, F., und Prey, Th.: Brennstoffmodifikation als Head-End-Technik zur Dioxinreduktion bei der thermischen Behandlung von Abfällen H. 11, S. 1030

Ling, C.-H., siehe *Leckner, B.*: H. 9, S. 837

Linzer, W., siehe *Glatzer, A.* H. 9, S. 838–839

Linzer, W., und Wiesenberger, J.: Gestaltung von Rauchgaszügen in Müllverbrennungsanlagen H. 6, S. 527–530

Löhr, K.-P., Sturm, J., und Welker, W.: Erleichterte Prozeßführung durch den Einsatz des Prozeßinformationssystems PRISCA® in den Konvoi-Anlagen H. 4, S. 319–325

Loner, H., Blaser, B., Blaser, W., und Covelli, B.: Statistische Analyse von Verunreinigungen im Reaktorwasser von Siedewasserreaktoren H. 9, S. 840

Loner, H., siehe *Schenker, E.*: H. 9, S. 840

Lottermoser, H.: Pumpen auf dem Prüffeld H. 5, S. 399–401

Lundgren, K., siehe *Kelen, T.*: H. 10, S. 903–907

M*aahn, E.*, siehe *Klinggaard, S.* H. 9, S. 840

Magnani, G., siehe *Quadri, G.*: H. 9, S. 840

Maier, H., Bilger, H., und Mayer, G.: Betriebserfahrungen mit der SCR-Stickoxidminderungstechnik H. 9, S. 796–800

Maier, H., Dahl, P., Gutberlet, H., und Dieckmann, A.: Schwermetalle in kohlebefeuerten Kraftwerken H. 5, S. 439–443

Maihöfer, A., siehe *Braunstein, L.*: H. 9, S. 841

Maile, K., siehe *Kastl, H.*: H. 12, S. 1109–1117

Mailhammer, P., und Richter, H.: Bau und erste Betriebserfahrungen mit dem neuen Müllkraftwerk Weißenhorn H. 11, S. 1029–1030

Marchl, Theresa., Rieß, R., und Odar, S.: Möglichkeiten zur Beeinflussung der Personendosen am Beispiel neuerer Druckwasserreaktoren H. 7, S. 611–613

Marchl, Theresa, und Reitzner, U.: Chemische Einflüsse beim Dosisleistungsaufbau in SWR-Anlagen und deren Untersuchung mittels analytischer Methoden H. 8, S. 719–726

Mattern, E., Eberbach, W., und Schulz, V.: Werksweites Netzwerk für die Erfassung, Verarbeitung und behördengerechte Protokollierung von Umweltwerten H. 2, S. 116–124

Mayer, G., siehe *Maier, H.*: H. 9, S. 796-800

Mayer, H.: Betriebserfahrungen mit dem Diagnosesystem für die Gasturbine der Firma Carl Freudenberg H 10, S. 867–870

Mayer, M., siehe *Bonn, B.*: H. 9, S. 837

McCollam, W.: Die Auswirkungen der staatlichen Energiepolitik auf die Stromerzeugungsunternehmen in den USA H. 2, S. 93–95

Meier, H.-J., siehe *Rehwinkel, H.*: H. 9, S. 832

Meijer, R., und Janssen, F.: Qualitätskontrolle von DENOX-Katalysatoren H. 10, S. 914–917

Melzer, B., und Dobers, H.: Eigenschaften, Verarbeitung und Anwendung des warmfesten Stahles 15 CrMoV 5 10 für zeitstandbeanspruchte Rohrleitungen H. 7, S. 642–645

Meyer, V., siehe *Schwickert, M.*: H. 8, S. 730–734

Miller, C.L.: Wirbelschichtfeuerung: eine wichtige Option der Elektrizitätsversorgungsunternehmen für eine saubere Kohletechnologie H. 9, S. 832

Milliah, K.T.U., siehe *Rajaram, S.*: H. 9, S. 834

Mittelbach, G., Fahlenkamp, H., Hagenmaier, H., und Hartmann, E.: Dioxin- und Furanbilanzierung an Katalysatoren und Filterschichtreaktoren zur Abgasreinigung H. 7, S. 626–629

Mizuno, T., Ohta, K., Wada, H., und Hirano, S.: Probenaufbereitung und Analytik von Korrosionsprodukten im Speisewasser eines überkritischen Kessels H. 12, S. 1105–1108

Mjörnell, Margareta, siehe *Leckner, B.*: H. 9, S. 837

Möhlenbruch, N., Faber, W., und Päffgen, H.-P.: Verwendung von Braunkohlenaschen aus Brikettierkohlen des rheinischen Reviers als mineralischer Kalkdünger H. 8, S. 727–729

Mohr, G., siehe *Grupp, H.*: H. 9, S. 841

Möller, D., siehe *Kastl, H.*: H. 12, S. 1109–1117

Möllmann, A., und Kemp, W.: Gummierungen und Beschichtungen in Rauchgasentschwefelungsanlagen H. 11, S. 1011–1020

Möllmann, A., und Lacour, D.: Überwachung von organischen Korrosionsschutzsystemen in REA zur Abschätzung der Restlebensdauer H. 2, S. 180

Moritsuka, H., siehe *Ishikawa, H.*: H. 5, S. 405-412

Müller, E.: 10 Jahre Betriebserfahrungen mit einer Gas-/Dampfturbinen-Heizkraftanlage im Kraftwerk Süd der Stadtwerke München H. 8, S. 673–679

Müller, F., siehe *Dörtelmann, Dagmar*: H. 1, S. 65–69

Müller, H., und Muschelknautz, E.: Messung von Kohlenstaubkonzentrationen in Transportleitungen (Ergebnisse des VGB-Forschungsprojektes 108) H. 12, S. 1132

Müller, R., Schiffers, U., und Baumgärtel, G.: Kombi-Kraftwerk mit Kohlevergasung H. 5, S. 413–419

Müller, R., und Tanger, U.: Solarer Wasserstoff – Energieträger der Zukunft – H. 3, S. 197–203

Münch, U., siehe *Blankenburg, H.-J.*: H. 2, S. 176–179

Muschelknautz, E., siehe *Müller, H.*: H. 12, S. 1132

N*akasima, F., Shinada, O., Fujioka, Y., Tokuda, K., und Ichinose, T.*: Entwicklung einer direkten Kohlefeuerung mit druckaufgeladener Wirbelschicht für Gasturbinen H. 9, S. 833

Nater, K.A., siehe *van der Veen, A.M.H.*: H. 12, S. 1131

Neubauer, E.: Einsatz des Funkenerosionsverfahrens bei Umbau- und Instandhaltungsmaßnahmen im Primärkreislauf von Kernkraftwerken H. 7, S. 609–610

Neukirchen, B.: Erfahrungen beim Bau und bei der Inbetriebnahme eines Aktivkoksfilters H. 7, S. 622–625

Niepel, H., siehe *Becker, J.*: H. 11, S. 1032

Noakowski, P., und van Dornick, K.: Bewertung der Bausubstanz anhand der zugrunde gelegten Bemessungsvorschriften H. 3, S. 251–259

Noakowski, P., und Schäfer, H.G.: Rißbildung in Turmschäften H. 9, S. 823–831

Nordin, S., und Dahl, A.: Erfahrungen mit der PFBC-Anlage Värta nach einjährigem Betrieb H. 9, S. 832

Nowak, A.-E., siehe *Trost, M.*: H. 9, S. 836

O*dar, S.*, siehe *Marchl, T.*: H. 7, S. 611–613

Ohta, K., siehe *Mizuno, T.* H. 12, S. 1105–1108

Oppenberg, R., Brinkmann, C., Haupt, R., und Schneider, G.: Erfahrungen mit dem Umbau des 1250-t/h-Dampferzeugers Ingolstadt IV für die Verbrennung von Heizöl-S-Sonderqualität H. 2, 145–150

Ortner, G., siehe *Schlövogt, T.*: H. 4, S. 355–358

Oschmann, W., Angenend, F.J., Hoffmann, W., Schäfer, M., Schliesser, W., Stöckmann, H., und Trondt, L.: Versuche zur weiterführenden Rauchgasreinigung im Müllheizkraftwerk (MHKW) Essen-Karnap H. 12, S. 1094–1100

Ostendorf, B., siehe *Dekaat, R.*: H. 11, S. 967–972

Ottenburger, U., siehe *Kling, U.*: H. 12, S. 1084–1086

Otterstetter, H., siehe *Grünewald, K.G.*: H. 12, S. 1101–1104

Oxley, J.H., siehe *Rosenberg, H.S.*: H. 3, S. 237–246

Özdemir, M., siehe *Żelkowski, J.*: H. 12, S. 1130

P*äffgen, H.-P.*, siehe *Möhlenbruch, N.*: H. 8, S. 727–729

Pandel, F.W.: Planung und Gegenüberstellung der Wirbelschicht-Prozeßdampferzeuger im Kraftwerk Goldenberg H. 9, S. 835

Paulus, J., siehe *Dörtelmann, Dagmar*: H. 1, S. 65–69

Pedersen, J.R., siehe *Zintl, F.M.*: H. 11, S. 1002–1010

Pellkofer, D., siehe *Brückner, E.*: H. 12, S. 1074–1077

Perkavec, M.A., und Wolf, J.J.: Überwachung der Leistungsparameter der Gasturbine in Abhängigkeit vom Verschmutzungsgrad H. 6, S. 495–499

Peters, F., und vom Berg, W.: Entstehung und Eigenschaften von Kraftwerksreststoffen H. 4, S. 371–376

Peters, R., siehe *Fett, F.H.*: H. 9, S. 838

Petzel, H.-K., siehe *Scholl, G.*: H. 5, S. 427–432

Petzel, H.-K.: Betriebsbewährung und Perspektiven der Wirbelschichtfeuerung H. 1, S. 16–22

Pieper, B.: Minimierung von Verunreinigungen und Schäden im Wasser- und Dampfkreislauf und dessen Überwachung H. 6, S. 540–546

Pinkert, B., siehe *Grusla, St.*: H. 9, S. 834

Platthaus, D.: Umweltschutz aus der Sicht des Betriebsrates H. 3, S. 234–236

Podhorsky, M., und Eiden, M.: Betriebserfahrungen mit der Kompakt-DENOX-Anlage Westerholt H. 2, S. 151–155

Popp, H.: Die neue Vornorm DIN V 6779 „Kennzeichnungssystematik für technische Produkte und technische Produkt-Dokumentation" H. 12, S. 1078–1083

Poulsen, P., siehe *Rasmussen, I.*: H. 9, S. 834

Pranghofer, G.: Erfahrungen mit Gewebefiltern in der Müllverbrennung H. 11, S. 1031

Prey, Th., siehe *Lindbauer, R.L.*: H. 11, S. 1030

Pronobis, M.: Optimierung der konvektiven Kesselrohrbündel H. 2, S. 110–115

Pruschek, R.: Die Bedeutung des Wasserstoffs für die Energieversorgung H. 3, S. 191–196

Puch, K.-H., siehe *vom Berg, W.*: H. 9, S. 833

Pyykkönen, A., siehe *Tülikka, M.*: H. 9, S. 835

Quadri, G., Magnani, G., Scarano, J., und Sigon, F.: Überwachung von Oxiden in Wasser-Dampfkreisläufen H. 9, S. 840

Quapp, M., Sierhuis, W.M., und Steenhuis, H.: Die Entwicklung der Rauchgasreinigung bei Müllverbrennungsanlagen in den Niederlanden H. 8, S. 709–712

Qui, H.-H., siehe *Sommerfeld, M.*: H. 2, S. 125–133

Rabe, W., und Buttker, B.: Nutzung von Vergasungstechniken zur Verwertung von Abfall- und Reststoffen H. 11, S. 1033

Rădulescu, M., siehe *Chercea, G.*: H. 11, S. 978–984

Rajaram, S., und Milliah, K.T.U.: Stand der Wirbelschichtverbrennung von Kohle und Biomasse in Indien H. 9, S. 834

Rampp, F., siehe *Busch, M.*: H. 11, S. 1029

Rasmussen, I., Clausen, J. Chr., und Poulsen, P.: Das kohle- und strohbefeuerte ZWSF-Heizkraftwerk GrenaaH. 9, S. 834

Rau, P., Schick, M., Albert, F., und Helmrich, A.: Schaden und Reparatur an einer Kesseltrommel aus 15 NiCuMoNb 5 (WSB 62) H. 5, S. 444–454

Raymant, A.P., siehe *Evans, J.L.*: H. 3, S. 231–233

Rech, G., siehe *Farwick, H.*: H. 9, S. 769–773

Redmann, E., und Ahrens-Botzong, R.: Die thermische Behandlung von Auto-Shredder-Leichtfraktion im Siemens-Schwelbrennverfahren H. 11, S. 1033

Regler, H., und Herler, J.: Erfahrungen mit dem Flugstromverfahren zur Rauchgasreinigung bei Abfallverbrennungsanlagen H. 11, S. 1032

Reh, L., siehe *Goedicke, F.*: H. 9, S. 839

Reh, L., siehe *Tesch, M.*: H. 12, S. 1132

Rehwinkel, H., Flores, A., Sonnenschein, H., und Schmiemann, W.: Gesichtspunkte für die Bauteilauslegung eines kohlegasbefeuerten 300-MW-Kombi-Kraftwerkes H. 5, S. 420–426

Rehwinkel, H., Meier, H.-J., und von Wedel, G.: Stationäre und zirkulierende Druckwirbelschichtfeuerung: Versuchsergebnisse und Anlagenkonzepte H. 9, S. 832

Reichel, Hanne, siehe *Zaviska, O.*: H. 3, S. 211–214

Reichel, Hanne, siehe *Zaviska, O.*: H. 10, S. 893–895

Reinhardt, W., siehe *Bernstein, W.*: H. 7, S. 591–599

Reitzner, U., siehe *Hickling, J.*: H. 4, S. 359–367

Reitzner, U., siehe *Marchl, Theresa*: H. 8, S. 719–726

Remberg, H.-W., und Kaatz, M.: Statische Gasmischer in Rauchgasreinigungsanlagen H. 7, S. 600–604

Remke, S., siehe *Żelkowski, J.*: H. 12, S. 1130

Renz, U., siehe *Braun, A.*: H. 9, S. 837

Renz, U., siehe *Laux, S.*: H. 9, S. 837

Renze, H.: Regelung des Dampfdrucks von Dampferzeugern bei Kraftwerksblöcken H. 2, S. 101–109

Reuther, D., siehe *Spliethoff, H.*: H. 12, S. 1131

Reuther, D., Zanner, H., und Żelkowski, J.: Feuerungstechnische Eigenschaften einiger Steinkohlen H. 4, S. 349–354

Richter, E., siehe *Durst, F.*: H. 12, S. 1132–1133

Richter, H., siehe *Mailhammer, P.*: H. 11, S. 1029–1030

Rieß, R., siehe *Marchl, T.*: H. 7, S. 611–613

Ringling, G., siehe *Bernstein, W.*: H. 7, S. 591–599

Ritter, A.: Das Magnesiumhydrid/Magnesium-System als Speicher für Hochtemperaturwärme oder Wasserstoff H. 4, S. 330–335

Roberts, P.A., siehe *Smart, J.P.*: H. 12, S. 1130–1131

Römer, R., siehe *Geiger, T.*: H. 2, S. 159–165

Romey, R.: Dioxinabscheidung in einem Gewebefilter mit interner Adsorbensrückführung H. 11, S. 1031

Ronecker, W.: Instandhaltungskonzept für maschinentechnische Anlagenteile in Kernkraftwerken H. 5, S. 402–404

Ronig, H.-W.: Betriebserfahrungen mit Auswerteeinheiten beim Einbinden von REA- und DENOX-Anlagen H. 3, S. 215–221

Rosenberg, H.S., und Oxley, J.H.: Stand der Rauchgasentschwefelung in den Elektrizitätswerken der USA H. 3, S. 237–246

Rozendaal, C.M., Hein, K.R.G., Gast, C.H., und van Vliet, H.N.: NO_X-Emission und Ausbrand beim Einsatz von Steinkohlemischungen in niederländischen Kraftwerken H. 12, S. 1132

Rüdebusch-Thiemann, B., siehe *Sommer, K.*: H. 4, S. 377–382

Rueter, W.: Erfahrungen mit wiederkehrenden Funktionsprüfungen an DENOX-Anlagen H. 2, S. 183

Rühle, W., siehe *Dobrevsky, Iv.*: H. 1, S. 78–83

Rühle, W., siehe *Dobrevsky, Iv.*: H. 2, S. 171–175

Rummel, A., siehe *Blümel, W.*: H. 9, S. 836

Rupp, J.-J.: Rechtsfragen der Verbrennung von sonstigen brennbaren Stoffen und Abfällen H. 11, S. 1029

Scarano, J., siehe *Quadri, G.*: H. 9, S. 840

Schäfer, H.G., siehe *Noakowski, P.*: H. 9, S. 823–831

Schäfer, M., siehe *Oschmann, W.*: H. 12, S. 1094–1100

Scharf, R., siehe *Scheurlen, J.*: H. 2, S. 96–100

Scharnberg, W., siehe *Drefke, P.*: H. 5, S. 472

Scharnberg, W., siehe *Huwer, W.*: H. 7, S. 577–590

Schausbreitner, H., siehe *Braunstein, L.*: H. 8, S. 713–718

Schedlitzki, D., siehe *Fenner, J.*: H. 6, S. 500–504

Scheier, M.: Die Novellierung des Abfallgesetzes H. 11, S. 1028–1029

Schemenau, W., und Andersson, J.: Druckwirbelschichtfeuerung – betriebsbewährte Kohleverstromung mit geringen Emissionen und gutem Wirkungsgrad H. 9, S. 833

Schenker, E., Buckley, D., Loner, H., Wedda, H., und Blaser, W.: Änderungen der Wasserchemie eines Siedewasserreaktors während des Abfahrens H. 9, S. 840

Scherf, H.E., siehe *Dräger, St.* H. 8, S. 697-698

Schetter, G., siehe *Hagenmaier, H.*: H. 6, S. 536–539

Scheurlen, J., Scharf, R., und Schulz, W.: Leistungserhöhung durch Kondensatorumbau H. 2, S. 96–100

Schick, M., siehe *Rau, P.*: H. 5, S. 444–454

Schiffers, U., siehe *Müller, R.*: H. 5, S. 413–419

Schilling, H.-D.: Erfordernisse einer sicheren Energieversorgung im Lichte der Risiko- und Akzeptanzdiskussion H. 1, S. 1–6

Schilling, H.-D.: Kurzbericht über die Tätigkeit der VGB TECHNISCHEN VEREINIGUNG DER GROSSKRAFTWERKSBETREIBER E.V. 1991/1992 H. 10, S. 845–866

Schliesser, W., siehe *Oschmann, W.*: H. 12, S. 1094–1100

Schlövogt, T., Ortner, G., Beising, R., Larivaille, P., Bouhours, J., und Bauer, E.: Umweltschutzanforderungen an den Betrieb von deutschen und französischen Wärmekraftwerken H. 4, S. 355–358

Schlüter, F.: Instandhaltung von kleinen Industriekesseln H. 2, S. 182

Schmeding, R., und Kalinowski, G.: UVP zur Errichtung einer Klärschlammverbrennungsanlage in Ostdeutschland H. 11, S. 1028

Schmeisky, H., und Kautz, K.M.: Erfahrungen mit einem Wirbelschichtaschen-Dolomit-Gemisch in Gefäß- und Freilandversuchen H. 5, S. 465–470

Schmelz, S., siehe *Bannwarth, H.*: H. 7, S. 646–660

Schmidt, M., siehe *Braunstein, L.*: H. 8, S. 713–718

Schmidt-Tegge, J.: Die Situation der Hausmüll- und Sondermüllverbrennung 1992 in der Bundesrepublik Deutschland H. 11, S. 1028

Schmiemann, W., siehe *Rehwinkel, H.*: H. 5, S. 420–426

Schmoldt, J.: Kombinierte Wärme- und Schallisolierungen an großflächigen Rauchgasreinigungsanlagen H. 5, S. 473

Schnaithmann, K., siehe *Farwick, H.*: H. 9, S. 769–773

Schneider, G., siehe *Oppenberg, R.*: H. 2, S. 145–150

Schneider, W.: Zur Abschätzung des Verschlackungsverhaltens ostdeutscher Braunkohle aus der Brennstoffanalyse H. 9, S. 841

Schöckle, F., siehe *Bartonicek, J.*: H. 5, S. 475–476

Schöler, J., siehe *Fett, F.H.*: H. 9, S. 838

Scholl, G., Petzel, H.-K., Bleif, F., Stadie, L., und Hückel, F.: Das Modellkraftwerk Völklingen H. 5, S. 427–432

Schöpplein, W.: Gleitringdichtungen für Wasser H. 9, S. 777–780

Schuhmacher, K.H.: Maßnahmen zur Beherrschung von Erosionen in Wirbelschichtfeuerungen H. 9, S. 836

Schultz, H.D., siehe *Benesch, W.*: H. 12, S. 1131

Schulz, V., siehe *Mattern, E.* H. 2, S. 116–124

Schulz, W., Kitzelmann, H.-H., und Körner, W.: Ventilatoren in den Kraftwerken Werne und Westfalen H. 8, S. 691–696

Schulz, W., siehe *Scheurlen, J.* H. 2, S. 96–100

Schumacher, W., siehe *Lichtmann, F.*: H. 11, S. 1031

Schwab, E., siehe *Drefke, P.*: H. 5, S. 472

Schwab, E., siehe *Huwer, W.*: H. 7, S. 577–590

Schweizer, E.-L., siehe *Brunner, A.*: H. 2, S. 183

Schwickert, M., und Meyer, V.: Sanierung von 2 Naturzugkühltürmen im 1300-MW-Kernkraftwerk Grohnde H. 8, S. 730–734

Schwieters, B., siehe *Klein, V.E.*: H. 10, S. 878–882

Seifert, H., siehe *Geiger, T.*: H. 2, S. 159–165

Shinada, O., siehe *Nakasima, F.*: H. 9, S. 833

Sierhuis, W.M., siehe *Quapp, M.*: H. 8, S. 709–712

Sigon, F., siehe *Quadri, G.*: H. 9, S. 840

Šindelar, R., und Vogelbacher, L.: Experimentelle Ergebnisse mit dem Blockregelkonzept MODAN-1 H. 8, S. 699–705

Smart, J., siehe *Spliethoff, H.*: H. 12, S. 1131

Smart, J.P., und Roberts, P.A.: Kohleverbrennungsstudien am IFRF – Neueste Arbeiten und geplante Aufgaben im Rahmen des IEA-Kohleverbrennungs-Forschungsprogramms (Ziele des VGB-Forschungsprojektes 120) H. 12, S. 1130–1131

Smith, S.J., van Noordwyk, J., und Conlin, J.B.: Erfolgreiche Einführung der kombinierten Konditionierung mit Ammoniak und Sauerstoff in einem 3600-MW-Kraftwerk der ESKOM H. 3, S. 247–250

Sommer, K., Rüdebusch-Thiemann, B., und Spieß, A.: REA-Gips aus Braunkohlekraftwerken als Nähr- und Hilfsstoff in Mineraldüngern für die Landwirtschaft H. 4, S. 377–382

Sommerfeld, M., Huber, N., und Zivkovic, G.: Kohlenstaubtransport in Rohrleitungen: Untersuchungen für Auslegung und Nachbesserung (Ergebnisse des VGB-Forschungsprojektes 105) H. 12, S. 1132

Sommerfeld, M., Qui, H.-H., und Ando, A.: Charakterisierung der Teilchenbewegung in drallbehafteten Brennerströmungen H. 2, S. 125–133

Sonnenschein, H., siehe *Rehwinkel, H.*: H. 5, S. 420–426

Speicher, H.-J.: Kontinuierliche Feuchtemessung in aggressiven Rauchgasen H. 10, S. 896–902

Spiesberger, A., siehe *Gutberlet, H.*: H. 7, S. 636–641

Spieß, A., siehe *Sommer, K.*: H. 4, S. 377–382

Spindler, K., Blöchl, H., und Bursik, A.: 10 Jahre Zusatzwasseraufbereitung mit integrierter Umkehrosmose im Grosskraftwerk Mannheim H. 9, S. 842

Spliethoff, H., Smart, J., Jochem, M., und Reuther, D.: NO_X-arme Feuerungen und ihre Anforderungen an die Kohle-Ausmahlung (Ergebnisse der VGB-Forschungsprojekte 100 und 101) H. 12, S. 1131

Stadie, L., siehe *Scholl, G.*: H. 5, S. 427–432

Steenhuis, H., siehe *Quapp, M.*: H. 8, S. 709–712

Steinlein, H.: Die Novelle des 31. Anhangs zur Allgemeinen Rahmen-Abwasserverwaltungsvorschrift H. 9, S. 842

Stepan, G., und Amon, H.: Qualifizierung von Druckhalterarmaturen der Bauart „SEBIM" auf der Grundlage der deutschen Genehmigungsanforderungen H. 5, S. 476

Stephenson, U.: Berechnung der Schallausbreitung von Kraftwerksanlagen mit Hilfe der Schallteilchenmethode H. 1, S. 70–77

Steven, H., und Croonenbrock, R.: Betriebs- und Inbetriebnahmeerfahrungen mit den Anlagen Dortmund-Derne und Brilon H. 9, S. 835

Sticker, K.-P., siehe *Klein, V.E.*: H. 10, S. 878–882

Stiller, W.K.: Das neue 500-MW-Kraftwerk Rostock H. 12, S. 1065–1073

Stock, M., siehe *Kürzinger, K.*: H. 11, S. 1031

Stöckmann, H., siehe *Oschmann, W.*: H. 12, S. 1094–1100

Stolte, J.: Einbau und Prüfung von federbelasteten Sicherheitsventilen H. 5, S. 476

Storm, F., siehe *Uhlig, E.*: H. 2, S. 181

Strauß, K., und Hoffmann, Barbara: Partikeldispersion in zirkulierenden Wirbelschichten – Ein Ansatz zur quantitativen Beschreibung H. 9, S. 839

Ströver, H., siehe *Ide, G.*: H. 1, S. 49–54

Stubenvoll, J.: Die Müllverbrennungsanlage des Universitätsklinikums Heidelberg H. 11, S. 991–994

Sturm, J., siehe *Löhr, K.-P.*: H. 4, S. 319–325

Stürmer, M.: Nach dem kalten Krieg – wer entwirft die neue Weltordnung? H. 12, S. 1038–1041

Styrikowitch, M.A.: Klimaveränderungen: Notwendigkeit einer globalen Strategie H. 6, S. 489–494

Suhr, J.: Wärmeauskopplung aus Kraftwerksabgasen mit korrosionsfesten Wärmetauschern zur Kondensat- und Luftvorwärmung H. 8, S. 687–690

Tanger, U., siehe *Müller, R.*: H. 3, S. 197–203

Täschner, J., und Vicha, K.: Auslegung, Bau und Inbetriebsetzung einer 25-MW-Gasturbinenanlage mit Kraft-Wärme-Kopplung (KWK) für einen Industriebetrieb H. 8, S. 680–686

Tembrink, J., siehe *Gutberlet, H.*: H. 7, S. 636–641

Tesch, M., und Reh, L.: Zeitkonstantes Dosieren feiner Feststoffe H. 12, S. 1132

Tewes, R., siehe *Viertmann, H.*: H. 2, S. 181

Thiel, W., siehe *Kling, U.*: H. 12, S. 1084–1086

Thielen, W., siehe *Becker, J.*: H. 11, S. 1032

Thiesbrummel, J.: Anwendungsmöglichkeiten der Thermographie in Kraftwerken H. 2, S. 182

Thiesbrummel, J. (Teil 1), *und Borchers, M.* (Teil 2): Instandhaltung mit Thermographie im Kraftwerksbereich H. 9, S. 785–789

Thomsen, N.: Zerstörungsfreie Prüfung von Induktorklappen H. 2, S. 180

Toda, H., siehe *Ishikawa, H.*: H. 5, S. 405-412

Tokuda, K., siehe *Nakasima, F.*: H. 9, S. 833

Torringen, H.W.: Bauen auf belastetem Baugrund H. 12, S. 1118–1124

Traeger, K.: Geräuscharme Dampfumformventile und Einspritzkühler H. 11, S. 947–950

Tremmel, D., Kachler, W., und Bourcier, P.: Entwicklung einer kompakten 300-MW-Dampfturbine mit einflutigem ND-Teil und axialer Abströmung H. 1, S. 33–43

Trimborn, G.A., siehe *Großterlinden, F.W.*: H. 10, S. 871–877

Trondt, L., siehe *Oschmann, W.*: H. 12, S. 1094–1100

Trost, M., Hirschfelder, H., und Nowak, A.-E.: Betriebserfahrungen mit der Feuerfestauskleidung von drei ZWS-Dampferzeugern im Heizkraftwerk Flensburg H. 9, S. 836

Tschanun, J., Fercher, E., und Gasteiger, G.: Zirkulierende Wirbelschichtanlage System Studsvik für Braun-/Steinkohle, Öl und Abfallgas H. 9, S. 834

Tülikka, M., und Pyykkönen, A.: Inbetriebnahme und Betrieb der ZWS-Anlage im Kraftwerk Seimäjoki H. 9, S. 835

Tuna, S., siehe *Grünewald, K.G.*: H. 12, S. 1101–1104

Turyna, R., Kysela, J., et. al.: Probleme der Chemie und Korrosion in tschechoslowakischen Kernkraftwerken H. 9, S. 841

Uhlig, E., Storm, F., König, W., und Ernst, J.: Lebensdauerverlängernde Maßnahmen; Austausch von FD- und HZÜ-Rohrleitungen in einem RWE-Braunkohle-Kraftwerk H. 2, S. 181

Ullmann, K.: Signifikante Störfälle und ihre Ursachen in fossilbefeuerten nordamerikanischen Kraftwerken H. 3, S. 222–226

Van der Hagen, T.H.J.J., siehe *Verloop, W.C.*: H. 9, S. 833

van der Veen, A.M.H., und Nater, K.A.: Datenbank „Kohleeigenschaften": eine Gemeinschaftsaufgabe für Kohlelieferanten und Kohlenutzer H. 12, S. 1131

van Dornick, K., siehe *Noakowski, P.*: H. 3, S. 251–259

van Noordwyk, J., siehe *Smith, S.J.*:
H. 3, S. 247–250

van Vliet, H.N., siehe *Rozendaal, C.M.*:
H. 12, S. 1132

Venderbosch, P.H., siehe *Huijbregts, W.M.M.*:
H. 10, S. 908–913

Venz, H.: Dekontamination von Primärkreiskomponenten – Ergebnisse und Erfahrungen
H. 4, S. 368–370

Verloop, W.C., van der Hagen, T.H.J.J., Boersma, D., und Hein, K.R.G.: Messung der Gasgeschwindigkeit im Freiraum einer Druckwirbelschicht H. 9, S. 833

Vicha, K., siehe *Täschner, J.*:
H. 8, S. 680–686

Viertmann, H., Tewes, R., und Bolllmann, P.: Schweißreparatur der Niederdruckbeschaufelung einer 300-MW-Kondensationsturbine
H. 2, S. 181

Vodička, A, siehe *Doležal, R.*:
H. 9, S. 749–754

Vogelbacher, L., siehe *Šindelar, R.*:
H. 8, S. 699–705

Vogg, H., siehe *Dransfeld, P.*:
H. 11, S. 995–1001

Vogt, H.D., siehe *Dekaat, R.*:
H. 11, S. 967–972

vom Berg, siehe *Peters, F.*: H. 4, S. 371–376

vom Berg, W., und Puch, K.-H.: Verwertung von Rückständen aus Wirbelschichtfeuerungsanlagen H. 9, S. 833

von Wedel, G, siehe *Rehwinkel, H.*:
H. 9, S. 832

Voß, Petra, und Willmes, O.: Untersuchungen an Feuerungsrückständen als Beitrag zur Zustandsbewertung von Wirbelschichtanlagen
H. 9, S. 836–837

Vrangos, V., siehe *Damjakob, H.*:
H. 6, S. 556–564

W*ada, H.*, siehe *Mizuno, T.*:
H. 12, S. 1105–1108

Wagner, G., siehe *Brunner, A.*: H. 2, S. 183

Wagner, Th., siehe *Wandelt, E.*:
H. 5, S. 433–438

Wandelt, E., und Wagner, Th.: Einsatz der Umkehrosmose zur Entsalzung von Rheinwasser
H. 5, S. 433–438

Wedda, H., siehe *Schenker, E.*: H. 9, S. 840

Wefers, H., siehe *Hansmann, G.*:
H. 8, S. 706–708

Weinzierl, K., siehe *Deggim, D.*:
H. 2, S. 140–144

Weisang, C.: Wissensbasierte Informationsverarbeitung in der Prozeßführung von Kraftwerken H. 2, S. 134–139

Weiß, T., und Boiger, P.: Verlustarmer, drehzahlgeregelter Antrieb von Kesselspeisepumpen mit hydrostatischem Planetenüberlagerungsgetriebe H. 9, S. 774–776

Welker, W., siehe *Löhr, K.-P.*:
H. 4, S. 319–325

Wellnitz, G., siehe *Drefke, P.*: H. 5, S. 472

Wellnitz, G., siehe *Huwer, W.*:
H. 7, S. 577–590

Welp, H., siehe *Blank, H.*: H. 2, S. 156–158

Werner, H.-P., siehe *Krabbe, H.-J.*:
H. 9, S. 842

Widzgowski, R., siehe *Blank, H.*:
H. 2, S. 156–158

Wied, W., siehe *Braunstein, L.*:
H. 8, S. 713–718

Wied, W., siehe *Braunstein, L.*:
H. 9, S. 841

Wiesenberger, J., siehe *Linzer, W.*:
H. 6, S. 527–530

Wilke, A., siehe *Duve, H.*: H. 3, S. 227–230

Wilke, I., siehe *Bannwarth, H.*:
H. 7, S. 646–660

Willmes, O., siehe *Voß, Petra:*
H. 9, S. 836–837

Willmes, O., und Glaser, W.: Materialangriff an Gummierungen und Beschichtungen
H. 9, S. 805–822

Winkler, R., siehe *Dobrevsky, Iv.*:
H. 9, S. 839–840

Winkler, R., und Hüttner, F.: Kolloidale Korrosionsprodukte in Kraftwerkskreisläufen
H. 6, S. 547–550

Wirth, K.-E.: Strömungsmechanik zirkulierender Druckwirbelschichten H. 9, S. 833

Wittchow, E., siehe *Brummel, H.-G.*:
H. 1, S. 28–32

Wolff, J.J., siehe *Perkavec, M.A.*:
H. 6, S. 495–499

Wollny, S., siehe *Diez, Th.*: H. 5, S. 460–464

Woyciechowski, W., siehe *Żelkowski*, J.:
H. 12, S. 1130

Wülbern, K.: On-line-Messung von Rauchgasen mit einem FTIR-Spektrometer
H. 11, S. 985–990

Wurst, F., siehe *Lindbauer, R.L.*:
H. 11, S. 1030

Z*anner, H.*, siehe *Reuther, D.*:
H. 4, S. 349–354

Zaviska, O., und Reichel, Hanne: Simulationsmodelle im Kraftwerksbau
H. 3, S. 211–214

Zaviska, O., und Reichel, Hanne: Simulationsmodell eines Gasturbosatzes
H. 10, S. 893–895

Żelkowski, J., Avramidis, J., Remke, S., Özdemir, M., und Woyciechowski, W.: Kohlecharakterisierung im Hinblick auf die Verbrennung – Mahlbarkeit, Zündwilligkeit, Reaktivität, Verschlackung (Ergebnisse der VGB-Forschungsprojekte 97 und 102) H. 12, S. 1130

Żelkowski, J., siehe *Reuther, D.*:
H. 4, S. 349–354

Zellner, R.: Spurengase in der Atmosphäre – Chemie und Klimawirksamkeit –
H. 1, S. 55–59

Zintl, F.M., und Pedersen, J.R.: Zur Abscheidung von elementarem Quecksilber aus inerten oder reduzierenden Gasgemischen
H. 11, S. 1002–1010

Zivkovic, G., siehe *Sommerfeld, M.*:
H. 12, S. 1132

Zörner, W.: Diagnosesystem zur Betriebsüberwachung von Dampfturbinen H. 2, S. 182

Zwahr, H.: Eine neue thermische Abfallbehandlungsanlage für Hamburg H. 11, S. 1029

In den 12 Heften des Jahrgangs 72 (1992) sind enthalten:

1	2	3	4	5	6
1–92	93–188	189–264	265–388	389–488	489–576
7	8	9	10	11	12
577–672	673–748	749–844	845–932	933–1036	1037–1135

Sachverzeichnis 1992

ABE-Auschuß, Jahresbericht 72:265–318

Abgasfahnensteigung 72:790

Abhitzekessel, Gasturbinen 72:389

Abhitzedurchlaufkessel des HKW Pfaffenwald 72:749–754

Abschirmrechnung 72:70

Absperrklappen in REA 72:967

Aktivkoksabsorber, Sicherheitstechnik 72:707/708

akustische Temperaturmessung an einem braunkohlebefeuerten Kraftwerkskessel 72:44

Akzeptanz 72:1, 1047

Ammoniak
- Bestimmung in Rauchgasen mit Mikrowellenspektroskopie 72:65
- Qualitätssicherung beim Lagern von flüssigem Ammoniak 72:801

Ammoniakschlupf, Bestimmung mit Wellenspektroskopie 72:65

Analyse
- chemische Überwachung von Dampfnetzen 72:713
- von flüssigem Ammoniak 72:801
- Hydraulikflüssigkeiten 72:630
- von Kondensaten auf organische Substanzen 72:227
- von Korrosionsprodukten eines überhitzten Kessels 72:1105–1108
- von Rauchgasen, Bestimmung von Ammoniak mit Mikrowellenspektroskopie 72:65

Analytik, Kraftwerksnebenprodukte und Reststoffe 72:1101

Anfahren von REA-Anlagen 72:156

Anlagenbetriebspläne 72:790

Antriebe regelbar, Speisepumpen 72:774, 883

Arsen
- Bilanzierung von As, Cd, Hg und Pb in kohlebefeuerten Kraftwerken 72:439

Armaturen, Lärmminderung 72:973

Armaturen in REA 72:967

Asche-/Gips-Gemische
- Bodenchemie 72:651
- Bodenverbesserung 72:651
- ökologische Verwertung 72:651
- Pflanzenernährung 72:651

Asbestersatz für Packungen und Dichtungen 72:951

Atmosphäre, chemische Umwandlung 72:55

Auftragnehmerbeurteilung
- Lenkungsausschuß bei VGB 72:781
- Qualifizierung im Sinne KTA1401 72:781
- Qualifizierung nach KTA1401 und DIN ISO 9001 72:784

Aufweitungsmessungen an Dampfleitungen 72:552

Ausbrand 72:618

Ausbrand von Kohlekörnern 72:353, 1130

Ausbreitungsmodell 72:790

Austenitrohre für Dampfturbinen-Kondensator 72:96

Automatisierung, Konzept und Warteneinrichtung 72:505

Badenwerk, F&E 72:1051

Berechnung, Rohrbogen aus 14 MoV 6 3 72:1109–1117

Betoninstandsetzungssystem, Eigenschaften 72:51/52

Betonsanierung, Objektuntersuchung 72:51

Betriebserfahrungen
- Gasturbinen 72:591, 673, 680
- Ventilatoren 72:691

Betriebsrat, Umweltschutz 72:234

Blockheizkraftwerke, Analyse 72:1128

Blockregelkonzept MODAN-1 72:699

Bohrkerne, Kesseltrommel 72:447

Brandschutz bei A-Koksabsorbern 72:707–708

Braunkohle
- Kenngrößen 72:978
- rumänische Rovinari 72:978

Braunkohlenasche 72:646, 727
- Bodenbehandlung 72:728
- Flugasche 72:727
- Kalkdünger 72:728
- Schwermetalle 72:728
- Walddüngung 72:728

Braunkohlekraftwerke mit REA 72:156

Braunkohlenflugasche
- Auslaugbarkeit 72:176
- Korngrößenverteilung 72:177
- Spurenelemente 72:176

Brennkammer für Gasturbinen 72:762

Brennerströmung, Berechnung 72:125

Brikettierkohlen 72:727

Brüdentrennung zur NO_x-Minderung 72:620

Charakterisierung des Verbrennungsverhaltens von Kohle 72:349, 1130

chemisches Laboratorium (EVU), Qualitätssicherung 72:1101

Computermodelle für Emissionsminderung 72:743

CO_2-Emissionen 72:204, 489
- Anreichung in Atmosphäre 72:489
- Minderung 72:490

Dampferzeuger
- Austausch Ringhals II 72:1075
- Regelung des Dampfdrucks 72:101
- Sanierung von Heizrohren 72:1074
- Sleeven 72:1075

Dampf-GAVO 72:151

Dampfleitungen, Lebensdauerüberwachung 72:551–555

Dampfturbinen
- mit axialer Abströmung 72:33
- Kondensatorumbau 72:96
- Neuentwicklung 300 MW 72:33
- Titan-ND-Endstufenschaufel 72:33

Dampfumformventile 72:947

DDA-Mitteilungen 72:385–387, 664

Deaktivierung von Katalysatoren 72:914

Dekontamination im Primärkreis von WWER-Anlagen 72:368–370

Demonstrationsprojekt
- zur Kohlevergasung, Duisburg 72:417
- Nakoso 72:410

DENOX-Anlagen
- Bestimmung von Ammoniak in Rauchgasen 72:65
- Betriebserfahrung 72:151, 795
- Verhalten von Quecksilber 72:636

DENOX-Katalysator, Testanlage 72:914

DENOX-Kompaktanlage 72:151

DENOX-Reaktor, Verschmutzung 72:795

DENOX-REA
- Abfahrzeit 72:215
- Abscheidegrad 72:215
- Anfahrzeit 72:215
- Wechselwirkung 72:795

Desorption von A-Koks 72:536–539

Diagnosesystem, Gasturbinen 72:867

Dichtungen und Packungen, Asbestersatz 72:951

Diffusionsparameter 72:790

Dioxinbildung
- Einfluß des Schwefels 72:159–165
- Klärschlammverbrennung 72:159–165

Dioxingehalt von Flugasche 72:159–165

Dioxinminderung mit A-Koks 72:536–539

Dioxinminderung 72:622–625, 626–629, 707/708, 991–994, 1094–1100

Donaukalk 72:460

Doppelexenterklappen in REA 72:967

Dosisleistung
- chemische Einflüsse in SWR-Anlagen 72:719–726
- Maßnahmen zur Minimierung in SWR-Anlagen 72:903–907
- Möglichkeiten zur Reduzierung in Kernkraftwerken 72:611–613

Drallbrenner, Strömungsfeld 72:1128

Drallströmungen 72:88, 125

Drehzahlregelung, Speisepumpenbetrieb 72:774, 883

Drosselgeräte, dynamisches Verhalten 72:745

Drosselreserve 72:211

Druckwasserreaktoren
- Änderungen des Reaktorwassers beim Abfahren 72:78–83
- Hideout im Dampferzeuger 72:171–175
- Möglichkeiten zur Reduzierung von Personendosen 72:611–613
- Primärkreis-Dekontamination in WWER-An-lagen 72:368–370

DWSF, siehe Druck-Wirbelschichtfeuerung

Dynamik 72:211, 893
– von Drosselgeräten 72:745
– von Kombi-Prozessen 72:745

Ecogavo als Säurefalle 72:687

Eigenspannungsmeßverfahren 72:662

Einfügungsdämpfung 72:1087

Einsatzoptimierung von WSF-Kraftwerken 72:1129

Einsatzplanung von Kraftwerken 72:88

Einsteckkühler 72:947

elektronisch geregelte Rohrhaltungen 72:962

Emissions- und Immissions-Meßverfahren 72:741

Emissions-Auswerteeinheit 72:215

Emissionsmessung 72:985

Emslandkalk 72:462

Endstufen-Titanschaufel, Dampfturbine 72:33

Energiepolitik 72:1047
– in den USA, Auswirkungen auf EVU 72:93–95

Energiesteuer/CO_2-Steuer 72:1064

Energieversorgung 72:1, 191, 197
– in den nordischen Ländern – Perspektiven 72:7–10

England, Kombi-Kraftwerke mit Kohlevergasung 72:348

Entsorgung – Entstickung von Steinkohlekraftwerken – neue Wege im Modellkraftwerk Völklingen 72:427–432

Erdgaseinsatz in Europa 72:1059

Erosion
– Speisepumpendichtungen 72:777
– in WSF 72:20, 836

Erosions-Korrosion 72:1128

Erschöpfungsgrad, Rohrbögen 72:553

Exenterklappen in REA 72:967

Explosionsschutz für Kohlenstaubfeuerungen 72:531

Federhänger, Rohrhalterungen 72:878

Feinkornbaustähle, Zähigkeit 72:662

Feinstfilter für Schmierölsysteme 72:890

ferritische Schweißkonstruktionen 72:383

Feststoff-Konzentration in WSF 72:260, 833

Festvortrag VGB-Kongreß 1992 72:1038

Feuchtemessung in aggressiven Rauchgasen, Verfahren, Anwendungen 72:896–902

Feuchtekorrektur
– In-situ-Messungen 72:900
– Rauchgas-Volumenstrom 72:898

Feuerung für GT-Abgase 72:389

Feuerungstechnik 72:349, 851

Filmeinbau, Verschmutzungstests 72:731

Filmkondensation 72:185

Flugaschebeton
– Anwendungsbeispiele 72:565
– Dauerhaftigkeit 72:567
– Festigkeitsbeitrag 72:566
– Nachbehandlung 72:571
– Rißbildung 72:569
– Verarbeitbarkeit 72:565

Flugstrom, Vergasung von Kohle 72:413

Fluidschalldämpfung, Armaturen und Rohrleitungen 72:973

Forschung/Entwicklung in der Kraftwerkstechnik 72:405, 1051, 1130

Forschungsinstitute, Übersicht 72:477

Forschungsstiftung 72:863

fossile Brennstoffe, sauberer Strom für die Zukunft 72:340–344

Fourier-Transform-Infrarot-Spektroskopie zur Untersu-chung von Hydraulikflüssigkeiten 72:630

Frischdampfleitung, Sanierung 72:518

Funkenerosionsverfahren 72:609
– Einsatz in Kernkraftwerken 72:610

FTIR-Spektrometer 72:985

Gaschromatographie zur Untersuchung von Hydraulikflüssigkeiten 72:630

Gasmischer, statisch in REA 72:600

Gasreinigung, Heißgas 72:408, 414, 837

Gasturbinen
– Abhitzekessel 72:389
– Auslegung, Bau und Inbetriebsetzung einer 25-MW-Anlage 72:204, 680
– Betriebserfahrungen 72:591, 673, 680
– Diagnosesystem 72:867
– Entwicklungspotential 72:204
– Hybridbrenner 72:761
– Kombi-Kraftwerk 72:204, 389
– Kraftwerkstypen 72:204
– Überwachung Leistungsparameter 72:495
– Überwachung Verdichterverschmutzung 72:495
– Umbau auf NO_x-arme Verbrennung 72:680, 761
– Verdichterreinigung 72:495

Gasturbosatz, Simulation 72:893

Genehmigungsverfahren Frankreich und Deutschland 72:356

Getrieberegelkupplung, Speisepumpen 72:883

Gewässerqualität Frankreich und Deutschland 72:357

Gleichgewichtszustände, Rohrhalterungen 72:878

Gleitringdichtungen 72:777

Grenzschichtparameter 72:790

Großbritannien, Elektrizitätserzeugung nach der Privatisierung 72:11–15

Großplatten, Zugversuche 72:383

GuD-Block mit Abhitzedurchlaufkessel im HKW Pfaffenwald 72:749–754

Gummierungen in REA 72:805, 1011

Halterungskonzept, Rohrleitungen 72: 878, 962

Heizkraftwerk
– Isalnita (Rumänien), Braunkohlemühlen 72:978–984
– Pfaffenwald, GuD-Block 72:749–754

Heizrohrverschlußstopfen, ferngesteuertes Einschweißen 72:1074

Hg-Abscheidung aus Gasgemischen 72:1002–1010

Hochtemperaturreaktor
– Lufteinbruch in Core 72:383
– Nachwärmeabfuhr 72:662

Hochtemperatur-Winkler-Verfahren zur Kohlevergasung 72:260

Hybridbrenner für Gasturbinen 72:761

Hydrodynamische Drehzahlregelung, Speisepumpen 72:883

Importkohlen, Eigenschaften 72:349, 1131

Industrie-Kraftwerke mit WSF 72:20, 1129

Industrieschornsteine, Konstruktionsgrundlagen 72:252/253

Infrarotspektroskopie zur Untersuchung von Hydraulikflüssigkeiten 72:630

Instandhaltung
– zustandsabhängige 72:402
– Inspektion mit Thermographie 72:787

Instandhaltungskonzept für Kernkraftwerke 72:402

Instandhaltungsstrategie, Inspektionsmethode 72:404

instationäre Strömung kompressibler Medien 72:745

Jahresbericht des ABE-Ausschusses – Betriebserfahrungen in 1991 72:265–318

Japan, Kombi-Kraftwerke mit Kohlevergasung 72:405, 833

Kalibrierkurve 72:215

Kalibrierspektren 72:985

Kalkdünger 72:727

Kanalbrenner für GT-Abgase 72:391

katalytische Dioxinminderung 72:626–629

katalytische Rauchgas-Nachreinigung bei MVA 72:1094–1100

Kaminisolation, Fehlersuche mit Thermographie 72:788

Kavitation, Profilierung an Pumpen-Laufrädern 72:395

Kavitationserosion, Speisepumpendichtungen 72:777

Kennzeichnungssystematik, Vornorm DIN V 6779 72:663, 1078

Kernkraftwerke
- Änderungen des Reaktorwassers beim Abfahren 72:78–83
- Betriebserfahrungen im Jahre 1991 72:265–318
- chemische Einflüsse beim Dosisleistungsaufbau in SWR-Anlagen 72:719–729
- Einflüsse der Chemie auf die Korrosionsrißbildung in SWR-Anlagen 72:359–367
- Hideout in Dampferzeugern von DWR-Anlagen 72:171–175
- Minimierung der Strahlenfelder in SWR-Anlagen 72:903–907
- Möglichkeiten zur Reduzierung von Personendosen 72:611–613
- Primärkreis-Dekontamination in WWER-Anlagen 72:368–370

Kettenreaktion, erste kontrollierte Kettenreaktion am 2. Dezember 1942 (Fermi) 72:1046

Klärschlammverbrennung 72:159–165

Klappen in REA 72:967

Klima
- globale Strategie 72:489
- Veränderungen 72:489

Klimawirksamkeit atmosphärischer Spurengase 72:55

Klinikmüllverbrennung Heidelberg 72:991–994

Kohle, Charakterisierung 72:349, 1130

kohlegasbefeuerte Turbinen 72:468

Kohlegasreinigung, trocken 72:408, 414

Kohlekraftwerk, Optimierung der Gesamtplanung 72:1065/1066

Kohlemischungen
- Eigenschaften 72:349, 1131
- Verbrennung 72:619, 1130, 1132

Kohlenstaub
- Aufbereitung 72:1130
- Dosierung 72:1132
- Konzentrationsmessung 72:1132
- Transport in Rohrleitungen 72:1132

Kohlenstaub-Drallbrenner, Bewertung 72:185

Kohlenstaubexplosionen 72:532

Kohlevergasung 72:231, 345, 405, 413, 420, 755
- England 72:348
- Japan 72:833
- USA 72:755

Kohlevergasungsanlage, Nachrüstung 72:421

Kombi-Kraftwerke
- Kohlebasis (KKK) 72:231, 348, 405, 413, 420, 755
- Dynamik-Studie 72:745, 749
- mit Feuchtluft-Turbine 72:757
- Gasturbinen 72:204, 389
- mit Zusatzfeuerung 72:389

kombinierte Konditionierung, Umstellung in einer 6 X 600-MW-Anlage auf Kombi-Fahrweise 72:247–250

Kombi-Prozeß auf Kohle- und Erdgasbasis, Bewertung der verschiedenen Konzepte 72:140–144

Kondensat
- analytische Erfassung von organischen Substanzen 72:227
- chemische Überwachung von Dampfnetzen bei dezentraler Dampferzeugung 72:713

Kondensat- und Luftvorwärmung durch Wärmeauskopplung 72:687

Kondensator, Austenitberohrung 72:96

Kondensatorumbau, Dampfturbinen 72:96

Kondensatreinigung, Minimierung von Verunreinigungen und Schäden 72:540–546

Konditionierung
- Umstellung einer 6 X 600-MW-Anlage auf Kombi-Fahrweise 72:247–250
- von Wasser-Dampfkreisläufen in Anlagen mit Zwangdurchlaufkesseln 72:166–170

Konstant-Hänger, Rohrhalterungen 72:878

konventionelle Kraftwerke, Notfallschutzkonzept 72:928/929

Korrosion
- Einfluß kolloidaler Korrosionsprodukte auf lokale Korrosion 72:547–550
- in Müllverbrennungsanlagen 72:918–927
- in SWR-Anlagen unter wasserchemischen Gesichtspunkten 72:359–367
- in Speisewasserentgasern 72:908–913

Korrosionsbeanspruchung, Sanierung von Rohrleitungen 72:518

Korrosionsprodukte
- in kolloidaler Form und ihre Auswirkungen auf den Wasser-Dampfkreislauf 72:547–550
- Probenaufbereitung und Analytik 72:1105–1108

Kraft-Wärme-Kopplung 72:1128

Kraftewerk Doicesti (Rumänien) 72:978–984

Kraftwerk Neurath, Rauchgasentschwefelung 72:156

Kraftwerk Rovinari (Rumänien) Braunkohlenmühlen 72:978–984

Kraftwerke 1992 (Kongreß) 72:936

Kraftwerksabgase, Wärmeauskopplung 72:687

Kraftwerksbau, bautechnische Genehmigungsplanung 72:1067, 1069

Kraftwerksbauten, Terminplanung 72:1070/1071

Kraftwerkschemie 72:1101

Kraftwerkserrichtung, Qualitätssicherungsmaßnahmen 72:1072

Kraftwerksgebäude, Besonderheiten der Gründung 72:1067/1068

Kraftwerkskühltürme, bautechnische Entwicklungen 72:556/557

Kraftwerkslärm 72:70

Kraftwerksmodelle 72:211

Kraftwerksnebenprodukte, Reststoffe
- Analytik 72:1101
- Qualitätsanforderungen 72:1103

Kraftwerks-Rohbau, Kosten der Einzelbauwerke 72:1073

Kraftwerksrohrleitungen, Sanierung 72:518

Kraftwerksreststoffe
- Aschen 72:371
- chemische Zusammensetzung 72:372
- Eigenschaften 72:372
- Eluate 72:374
- Entstehung 72:371
- Kalkrückstände aus der Rohwasserentcarbonisierung 72:372
- REA-Gips 72:372
- SAV-Produkt 72:372
- Spurenelemente 72:373
- Wirbelschichtaschen 72:372

Kraftwerkstechnik, Fortschritte 72:847, 1042

Kreiselpumpen
- dynamisches Verhalten 72:383
- Fehlerdiagnose 72:1128
- Prüffeld 72:399
- Senkung von $NPSH_i$ 72:395

Kriechbeanschpruchung, Sanierung von Rohrleitungen 72:518

Kühleinbau, Schäden an Asbestzement- und PVC-Produkten 72:730

Kühlkamine, Leistung und Immission bei Rauchgasableitung 72:561/562

Kühlturm, Schäden an Betonbauteilen 72:50/51

Kühlturmeinbau, Umrüstung bei laufendem Betrieb 72:733/734

Kühlturminstandsetzung, Randbedingungen 72:53/54

Kühlturmschale, Möglichkeiten bei Variation der Geometrie 72:563/564

Kühlturmzellen, Instandsetzung der Betonbauteile 72:52/53

Kugelhaufenreaktor 72:383, 662

Kunststoff-Kombi-Einbau, Optimierung des Aufbaus 72:732

Kunststoff-Kühleinbau, Auflagerung und Montage 72:732/733

KTA-Regeln
- Bekanntmachungen des Kerntechnischen Ausschusses (KTA) 1992 72:747
- KTA 1401, allgmeine Anforderungen an die Qualitätssicherung 72:781

Lärmbelastung 72:60

Lärmbeurteilung 72:60

Lärmimmissionskriterien 72:60

Lärmminderung 72:1087
- an Armaturen und Rohrleitungen 72:973

Lärmwirkungen 72:60

Lärmwirkungsbereich 72:60

Lärm-Schwellenwerte 72:60

Lambert-Beersches-Gesetz 72:985

Laufstabilität von Rotorsystemen 72:260

Lebensdauer, Kraftwerksstähle 72:1021–1026

Lebensdauerüberwachung, Hauptdampfleitungen 72:551–555

Leck-Detektion, Leckortung 72:514

Leckage-Überwachungssystem FLÜS 72:514

Legierungen für REA-Auskleidungen 72:577

Luftchemie 72:55

Luftverunreinigungen durch gefährliche Stoffe 72:735

Luftvorwärmung durch Wärmeauskopplung 72:687

Mahlanlagen, Explosionsschutz 72:531

Mahlbarkeit von Kohlen 72:351, 1130

Mahlung von Kohle 72:1131

Massenmedien 72:1047

Massenspektrometrie zur Untersuchung von Hydraulikflüssigkeiten 72:630

Massenstromregelung, Ventilatoren 72:691

Mehrkreisregelantrieb, Speisepumpen 72:883

Melamin zur Stickoxidminderung 72:995–1001

Membranabsorber 72:1087

Meßbereichsumschaltung 72:215

Meßwerte, Umweltdaten 72:116

Meßwertklassierung 72:215

metallische Auskleidungen für REA 72:557

Mikrowellenspektroskopie zur Bestimmung von Ammoniak in Rauchgasen 72:65

Mischungsprinzipien, Gasmischung in REA 72:600

Modellkraftwerk Völklingen 72:427–432

Modellversuche
- mit Pumpen 72:399
- für Gasmischung in REA 72:600

Modernisierungsmaßnahmen an Dampferzeugern 72:23

Müllverbrennung
- in den Niederlanden 72:709–712
- Modelluntersuchung von Rauchgaszügen 72:527–530

Müllverbrennungsanlagen
- Essen-Karnap 72:1094–1100
- Herten 72:622–625
- Korrosion 72:918–927

Nachbildung 72:211, 893

Naßkühltürme, Emissionen 72:260

National Power, Projekte für die Zukunft 72:340–344

Naturzugkühltürme, Strukturen und Beanspruchungen 72:558/559

nordamerikanische fossilbefeuerte Kraftwerke, Störfälle 72:222–226

Nordel, Beschreibung des Verbundsystems 72:7

NO_X-arme Brenner, Gasturbinen 72:680, 761

NO_X-Bildung 72:614, 1130

NO_X-Emissionen
- Frankreich und Deutschland 72:358
- Gasturbinen 72:208, 761
- Kohlenstaubfeuerung 72:614, 842, 1130
- Wirbelschichtfeuerung 72:837, 1128

NO_X-Minderung
- Primärmaßnahmen 72:615, 1130
- bei MVA 72:622–625, 995–1001, 1094–1100

N_2O-Emissionen 72:55

On-line-Messung 72:985

OML-Modell 72:790

Oberflächengefügeuntersuchung, Rohrleitungen 72:554

Ölpflege
- Pall-1-µm-Spülkonzept 72:889
- Spülkonzept für Turbinenschmierölanlage 72:891

Optimierung von konvektiven Kesselrohrbündeln 72:110

organische Substanzen, analytische Erfassung in Kondensaten 72:227

Osmose, umgekehrte zur Entsalzung von Rheinwasser 72:433

Ozonschichtbeeinflussung 72:55

Packungen und Dichtungen, Asbestersatz 72:951

Phosphorverbindungen, organische als Hydraulikflüssigkeiten 72:630

Pilzverschlüsse, Kesseltrommel 72:453

Planetenüberwachungsgetriebe, Speisepumpenantrieb 72:774

Planung der Elektrizitätserzeugung nach der Privatisierung in Großbritannien 72:11–15

Präventivinstandhaltung, Kernkraftwerke 72:403

Primärkühlmittel, Änderungen der Nuklidkonzentrationen und spezifische Aktivitäten beim Abfahren 72:78–83

Privatisierung der Elektrizitätsversorgung in Großbritannien, Folgen für die Elektrizitätserzeuger 72:11–15

Probennahme von Korrosionsprodukten im Wasser-Dampfkreislauf eines überkritischen Kessels 72:1105–1108

Profiländerung an Pumpenlaufrädern 72:395

Prozeßführung, Einsatz von PRISCA 72:319

Prüfung von Pumpen 72:399

Prüfverfahren
- für Beschichtungen 72:503, 805
- für Gummierungen 72:820, 1011
- für metallische Auskleidungen 72:578

Pumpen
- Profilierung an Laufrädern 72:395
- auf dem Prüffeld 72:399

Pyrolyse und Verbrennung von Kohle 72:185, 931

Qualitätsanforderungen
- chemische Betriebsmittel 72:1102
- Kraftwerksnebenprodukte, Reststoffe 72:1103

Qualitätssicherung
- chemisches Laboratorium (EVU) 72:1101
- Lagern von flüssigem Ammoniak 72:801
- Dampf bei dezentraler Dampferzeugung 72:713

Quecksilberabscheidung 72:707/708
- aus Gasgemischen 72:1002–1010

Quecksilber-Emissionen 72:740

Rauchgase
- Bestimmung von Ammoniak mit Mikrowellenspektroskopie 72:65
- Verhalten von Quecksilber in Steinkohlefeuerungen 72:636

Rauchgasdruckverlauf, Ventilatoren 72:691

Rauchgasentschwefelung
- Beschichtungen 72:500, 805, 1011
- Betriebserfahrungen 72:156, 805, 1011
- Gummierungen 72:156, 805, 1011
- metallische Auskleidungen 72:577 ff.
- KRC-Verfahren 72:156
- Verfahrensverbesserungen 72:157
- Verhalten von Quecksilber 72:636

Rauchgasgips 72:646

Rauchgasnachreinigung 72:622–625, 709–712
- A-Koks 72:707/708, 991–994, 1094–1100
- Aktivkoksabsorber 72:991–994, 1094–1100
- bei MVA 72:626–629

Rauchgasreinigung, Verhalten von Quecksilber in Steinkohlefeuerungen 72:636

Rauchgasreinigungsanlagen, Gasmischer 72:600

Rauchgasspektrum 72:985

REA
- Anfahrbetrieb 72:156
- Betriebserfahrungen 72:156
- Gipsanbackungen 72:156

REA-Gips 72:646
- aus Braunkohlekraftwerken 72:377
- als Düngemittel 72:377
- als Schwefeldünger 72:379
- als Spezialdünger 72:379

rechtliche Regelungen, Umweltschutzanforderungen 72:355

Reduzierventile 72:947

Regelgetriebe, Speisepumpenantrieb 72:774

Regelkonzepte, Ventilatoren 72:691

Regelung von Dampfturbosätzen 72:88

Reingraphit, Packungen und Dichtungen 72:951

Rekuperator 72:151

Reststoffe, Kraftwerksnebenprodukte
- Analytik 72:1101
- Qualitätsanforderungen 72:1103

Reststoffe aus WSF 72:21

Rheinwasser, Entsalzung durch Umkehrosmose 72:433

Risiko 72:1

Risiko-Abschätzung für Emissionen 72:742

Rißwachstum, Korrosion 72:908–913

Rohrbogen, Kriechen (14 MoV 6 3) 72:1109–1117

Rohrbündel-Wärmeübertragung 72:930

Rohrgehäusepumpen, Prüfung 72:399

Rohrhalterungen 72:878
- elektronisch geregelt 72:962

Rohrleitungen
- Lärmminderung 72:973
- Sanierung 72:518

Rohrströmung mit Tensiden 72:260

Rotorsystem, Laufstabilität 72:260

Rückflußverhinderer 72:185

Rückstandskalk
- Deponierung 72:462
- Düngewirkung 72:460
- Rekultivierung 72:462
- Verwertung 72:460

Sanierung von Rohrleitungen im Kraftwerk 72:518

sauberer Strom für die Zukunft durch fossile Brennstoffe 72:340–344

Sauerstoff- oder Luftvergasung 72:348

SCR
- high dust 72:795
- nach REA 72:151, 795

SCR-Katalysator
- Porenvolumen 72:914
- spezifische Oberfläche 72:914
- Vergiftung 72:914
- Zusammensetzung 72:914

Sicherheit 72:1, 326

Sicherheitskonzept, Umweltdatenerfassung 72:122

Sicherheitstechnik
- bei A-Koksabsorbern 72:707/708
- von Vergasungsreaktoren 72:1129

Sicherheitsüberströmventile 72:947

Sichter von Kohlemahlanlagen 72:1131

Siedewasserreaktoren
- chemische Einflüsse beim Dosisleistungsaufbau 72:719–726
- Einfluß der Chemie auf die Korrosionsrißbildung 72:359–367
- Maßnahmen zur Minimierung der Strahlenfelder 72:903–907

Simulationsmodelle 72:211, 893

SO_2-Emissionen, Frankreich und Deutschland 72:358

Spaltmaße, Dichtungen und Packungen 72:951

Spannungsrißkorrosion in Speisewasserentgasern 72:908–913

Speisepumpen
- Antrieb 72:744, 883
- Gleitringdichtungen 72:777

Speisewasserentgaser, Schäden 72:908–913

Spurenelemente, Bilanzierung in kohlebefeuerten Kraftwerken 72:439

Schaden an Kesseltrommel 72:444–454

Schäden an Speisewasserentgasern 72:908–913

Schaftbewehrung, Mindestbewehrung innen und außen 72:826

Schaftöffnungen, Bewertung von Rissen 72:829

Schallabsorptionskulissen, Auswirkungen beim Kühlkamin 72:564

Schallausbreitung 72:70

Schallbeugung 72:70

Schallbrechung 72:70

Schalldämpferstandzeiten 72:1087

Schalldämpfer-Strömungsverluste 72:1087

Schalldämpfertechnologie 72:1087

Schallemissionsspektrum 72:1087

Schallminderung an Armaturen und Rohrleitungen 72:973

Schallpyrometrie 72:44

Schallschutzmaßnahmen 72:70

Schallteilchenmethode 72:70

Schaltungsmöglichkeiten, Ventilatoren 72:691

Schaufeländerung an Pumpenlaufrädern 72:395

Schellen, Rohrhalterungen 72:878

Schlagradmühlen für rumänische Braunkohle 72:978–984

Schmierölsysteme, Reinigung durch Ölspülen 72:890

Schornstein
- Schäden am Schaft 72:251
- Betrieb mit REA 72:253/254

Schornstein-Bewehrungsgrade, Konsequenzen von Trennrissen 72:827

Schornsteinbeschichtungen, Versagen durch Ausführungsfehler 72:458

Schornsteinbetrieb, geänderte Betriebsbedingungen und neue Vorschriften 72:256

Schornsteinfutter, Beanspruchung beim REA-Ausfall 72:254/255

Schornsteinkopf, Schadensverteilung infolge Windströmung 72:457

Schornstein-Kopfbereich, dauerhafte Schutz- und Sanierungsmaßnahmen 72:458/459

Schornsteinmündung, Schäden infolge chemischer Angriffe 72:455/456

Schornsteinschaft
- Bildung von Temperaturrissen 72:824/825
- Verstärkungsmaßnahmen 72:256/257

Schutzmaßnahmen gegen Kohlenstaub-Explosionen 72:534

Schwefelversorgung von Böden und Pflanzen 72:377

Schweißreparatur; 15 NiCuMoNb 5 72:450

Schweißungen:15 CrMoV 5 10 72:643

Schwermetalle
- Bilanzierung in kohlebefeuerten Kraftwerken 72:439
- Abscheidung an A-Koks 72:1094–1100

Staatliche Energiepolitik in den USA, Auswirkungen auf EVU 72:93–95

Stahlbeton-Schornsteine, Oberflächenschutzmaßnahmen 72:455

Stahlbetontragwerke, Ursachen von Rissen 72:823

statische Mischer 72:151

Steinkohlen-Charakterisierung 72:349

Steinkohlenflugasche, Betonzusatzstoff 72:565

Stellhänger, Rohrleitungen 72:962

Steuerungen, Entwurf 72:697

Störfälle, Ursachen in fossilbefeuerten nordamerikanischen Kraftwerken 72:222–226

Störfallverordnung: A-Koks-Anlagen bei MVA 72:707/708

Stoffdaten, thermophysikalische 72:383

Stoffwerte, Gleichungen 72:662

Stopfbuchsbeschichtungen, Asbestersatz 72:951

Strömung von Drallbrennern 72:1128

Strömungsuntersuchungen am MVA-Modell 72:527–530

Stromerzeugung in Europa nach Brennstoffen 72:1062

Stickoxide, siehe NO_x

Stickoxidminderung bei MVA 72:995–1001, 1094–1100

Tätigkeitsbericht VGB 72:845

Tagesfragen der Kraftwerkstechnik 72:1042

Taupunktüberwachung in nassen REA 72:899

TAV-Asche 72:646, 727

Teilchenbewegung 72:125

Temperaturmessung, akustische 72:44

Temperaturverteilung in Kesselfeuerungen 72:44

Tenside zur Druckverlustsenkung in Rohrleitungen 72:260, 1128

thermische Abfallverwertung 72:527–530, 536–539, 622–625, 626–629, 707/708, 709–712, 991–994, 995–1001, 1002–1010, 1094–1100

thermische Sonderabfallbehandlung 72:622–625

Thermographie 72:785
- Messungen an Niederspannungsschaltanlagen 72:787
- Werkzeug der vorbeugenden Instandhaltung 72:789

Theta-Projektionsmethode 72:1111

TPEG (Twinning Programme Engineering Group) 72:845

Tragverhalten von Schweißkonstruktionen 72:383

Treibdampfkühler 72:947

Treibhauseffekt 72:489

Treibhausgase 72:489

Turbinengehäuse, Beanspruchung 72:88

Turbinenleittechnik, Modernisierung, Optimierung 72:769

Turboregelkupplung, Speisepumpen 72:883

Turmschaft, Bemessung, Verstärkung und Instandsetzung 72:828, 830

Überlägerungsgetriebe, Speisepumpenantrieb 72:774

Überwachung
- analytische, beim Lagern von flüssigem Ammoniak 72:801
- analytische, von Dampfnetzen bei dezentraler Dampferzeugung 72:713
- von Kondensaten auf organische Substanzen 72:227
- von Wasseraufbereitungsanlagen zur Minimierung von Verunreinigungen und Schäden 72:540–546

Umkehrosmose zur Entsalzung von Rheinwasser 72:433

Umweltanalytik 72:1102

Umweltgesetze in Großbritannien 72:341/342

Umweltwerte, -daten
- Erfassung 72:116
- Netzwerk, werksweit 72:116
- Protokollierung 72:116
- Verarbeitung 72:116

Umweltschutz
- Betriebsrat 72:234
- Diskussion, allgemein 72:234
- Diskussion in Firma und Gewerkschaft 72:235
- Verantwortung, Arbeitnehmer 72:234

Umweltschutz-Gesetzgebung in den USA 72:735

Umweltschutzanforderungen
- deutsche Wärmekraftwerke 72:355
- französische Wärmekraftwerke 72:355

Unterstützungen für Rohrleitungen, elektronisch geregelt 72:962

USA
- Kombi-Kraftwerke mit Kohlevergasung 72:755
- staatliche Energiepolitik 72:93–95

Verbrennung
- Heizöl „S" in Sonderqualität 72:145
- von Wasserstoff 72:189, 191

Verbrennungsforschung 72:125, 185, 349, 842, 843, 1130

Verbrennungsrückstände 72:21, 833
- Frankreich und Deutschland 72:358

Verdichterreinigung, Gasturbinen 72:495

Verdichterverschmutzung, Gasturbinen 72:495

Vergasung von Kohle in England 72:231

Verschleißverhalten von Braunkohlemühlen 72:983

Ventilatoren in Kraftwerken 72:691

Ventilatormühlen, Umbau für rumänische Braunkohle 72:978–984

VGB-Ehrungen 72:134

VGB-Forschungsprogramm 72:349, 863, 1130

VGB-Forschungsstiftung 72:863

VGB-Kongreß 72:936

VGB-Tätigkeit, Kurzbericht 72:845

Vinylester-Flakeglas-Beschichtungen 72:500, 805, 1011

Viskosität von Wasser, Gleitringdichtungen 72:777

Völklingen, Modellkraftwerk 72:427–432

Wärmeauskopplung aus Kraftwerksabgasen 72:687

Wärmekraftwerke, Umweltschutzanforderungen 72:355

Wärmetauscher, korrosionsfest 72:687

wärmetechnische Berechnung von Abhitzedampferzeugern 72:28

Wärmeübertragung 72:839, 930
- Zweiphasenströmung 72:744

Warte, Beispiel Heizkraftwerk Tiefstack 72:871

Wasseraufbereitung, Entsalzung von Rheinwasser durch Umkehrosmose 72:433

Wasser-Dampfkreislauf
- kolloidale Korrosionsprodukte und ihre Auswirkungen 72:547–550
- Minimierung von Verunreinigungen und Schäden 72:540–546
- Praxis der chemischen Konditionierung 72:166–170
- Probenaufbereitung und Analytik von Korrosionsprodukten 72:1105–1108
- Umstellung auf Kombi-Fahrweise in einer 6 X 600-MW-Anlage 72:247–250

Wasser-Dampf-Taupunkt-Bestimmung in aggressiven Rauchgasen 72:896

Wasserstoffe 72:191, 197, 326

Wasserstoffspeicher 72:330

Wellenabdichtungen, Gleitringdichtungen 72:777

Werkstoffe
- 13 CrMo 4 4 72:551–555
- 14 MoV 6 3 72:1109–1117
- 15 CrMoV 5 10 72:642–645
- 15 NiCuMoNb 5 72:444–454
- 15 ChM 72:551–555

Werkstoffe, Zeitstandverhalten 72:1021–1026

WIG-Impuls-Schweißverfahren 72:1074

WIG-Orbital-Schweißtechnik, Engspaltschweißungen 72:1076

Windgeschwindigkeit 72:790

Wirbelschichtaschen 72:465, 646, 727

Wirbelschichtaschen-Dolomit-Gemisch 72:465
- Bodenhilfsstoff 72:466
- Bodenverbesserung 72:465
- Düngeversuche 72:466
- Waldschäden, Abhilfemaßnahmen 72:465

Wirbelschicht-Entschwefelung 72:833: 838

Wirbelschichtfeuerung 72:16, 744, 832, 892, 1128
- Anlage Berrenrath 72:834
- Anlage Brilon 72:835
- Anlage Dortmund-Derne 72:835
- Anlage Emile Huchet, Frankreich 72:835
- Anlage Flensburg 72:836
- Anlage Goldenberg 72:835
- Anlage Grenaa, Dänemark 72:834
- Anlage Leverkusen 72:836
- Anlage Oerebro, Schweden 72:837
- Anlage Rayong, Thailand 72:834
- Anlage Seinäjoki, Finnland 72:835
- Anlage Värtan, Schweden 72:833
- Anlage Wolfsburg 72:836
- brennkammerintegrierte Zyklonfeuerung 72:835
- Einsatzoptimierung 72:1129
- Modellierung 72:744, 838
- Problembrennstoffe 72:834/835
- stationäre, atmosphärische WSF 72:16
- stationäre DWSF 72:21, 832/833, 1128
- Temperaturregelung 72:839
- Verwertung von Verbrennungsrückständen 72:833
- zirkulierende, atmosphärische WSF 72:16
- zirkulierende DWSF 72:832/833

Wirbelschichttechnik 72:21, 260, 345, 832, 838

Wirbelschichtvergaser 72:260, 833, 1129

Wirbelschichtwandströmung 72:260

Wirkungsgrade von Kombi-Kraftwerken auf Kohlebasis (KKK) 72:406, 757

Wissenschaft 72:88, 185, 260, 383, 477, 662, 744, 842, 929, 930, 1128

Wissenschaft hilft Energieproblem lösen 72:929

WSF, siehe Wirbelschichtfeuerung

Zeitstandbeanspruchte Rohrleitungen 72:551–555, 642–645, 1109–1117

Zeitstandfestigkeit, 15 CrMoV 5 10 72:644

Zeitstandverhalten warmfester Kraftwerksstähle 72:1021–1026

Zellen-Naßkühlturm, Beanspruchung der Stahlbetonbauteile 72:50

ZTU-Schaubild, 15 CrMoV 5 10 72:642

Zündwilligkeit von Kohlen 72:351, 1130

Zusatzfeuerung für Abhitzekessel 72:389

Zwangdurchlaufkessel, Praxis der chemischen Konditionierung 72:166–170

Zweiphasenströmungen, Wärmeübergang 72:744, 838

ZWSF, siehe Wirbelschichtfeuerung, zirkulierend

Persönliches 1992

Apelt, Ottomar, zum Honorarprofessor berufen H. 11, S. 1034

Bachmair, Anton, gestorben H. 7, S. 664

Behrens, Dieter, gestorben H. 7, S. 665

Berson, Alfred, im Ruhestand H. 1, S. 90

Böker, Hermann, 70 Jahre H, 1, S. 90

Boos, Kurt Volker, Vorsitzender der Geschäftsführung der ABB Fläkt GmbH H. 7, S. 665

Brosch, Karl-Ernst, ordentliches Vorstandsmitglied der VKR H. 1, S. 90

Brucks, Theodor, gestorben H. 8, S. 747

Bürger, Richard, im Ruhestand H. 5, S. 484

Cech, Franz, 65 Jahre H. 2, S. 183

Christ, Walter, gestorben H. 6, S. 574

Cramer, Heinz, aus dem Vorstand der PreussenElektra AG ausgeschieden H. 2, S. 183

Czeguhn, Klaus, neuer Präsident des VDI H. 1, S. 90

Dibelius, Günther, Verleihung der VGB-Ehrenurkunde H. 11, S. 945

Erkès, Pierre, aus der SBK-Geschäftsführung ausgeschieden H. 2, S. 183

Esser, Friedrich H., 60 Jahre H. 5, S. 484

Fett, Franz, 60 Jahre H. 11, S. 1034

Funcke, Friedrich, gestorben H. 11, S. 1033

Gebhart, Adalbert, neuer technischer Geschäftsführer der UCI GmbH H. 5, S. 484

Grünling, Hermann, zum Honorarprofessor berufen H. 7, S. 665

Hald, John, Heinrich-Mandel-Preis 1992 H. 11, S. 945

Harig, Hans-Dieter, im Vorstand der PreussenElektra AG H. 2, S. 183

Hebel, Gerhard, Leiter der ABB in Malaysia H. 4, S. 387

Heidinger, Peter, im Ruhestand H. 1, S. 90

Heinemann, Willi F., im Ruhestand H. 6, S. 574

Herrmann, Heinz, neues Vorstandsmitglied der ABB Kraftwerke AG H. 5, S. 484

Hipp, Wilhelm H., neuer Geschäftsführer bei Lechler H. 5, S. 484

Hirschmann, Hans, im Ruhestand H. 11, S. 1034

Hlubek, Werner, Vorsitzender des VGB-Vorstandes H. 11, S. 937

Jochems, Alfons, neuer Geschäftsführer der MESSE ESSEN H. 5, S. 484

Kaiser, Wilfried, neues Vorstandsmitglied der Asea Brown Boveri AG und Vorsitzender des Vorstandes der ABB Henschel AG H. 11, S. 1034

Kaske, Karlheinz, als Präsident des ZVEI ausgeschieden H. 7, S. 665

Keller, Wolfgang, im Ruhestand H. 11, S. 1034

Kittel, Horst, 65 Jahre H. 12, S. 1129

Kittel, Horst, im Ruhestand H. 1, S. 90

Knizia, Klaus, Clausius-Gedenkmünze für besondere Verdienste um den Wärmekraftwerksprozeß H. 11, S. 933

Knizia, Klaus, im VDI-Präsidium H. 1, S. 90

Knizia, Klaus, aus VGB-Vorstand ausgeschieden H. 11, S. 1034

Köngeter, Ulrich, neuer Vertriebsleiter Deutschland bei Lechler H. 5, S. 484

Koop, Werner, neuer Vorsitzender der SBK-Geschäftsführung H. 2, S. 183

Koths, Daniel, neuer SBK-Geschäftsführer H. 2, S. 183

Kuhnt, Dietmar, aus der SBK-Geschäftsführung ausgeschieden H. 2, S. 183

Leuckel, Wolfgang, 60 Jahre H. 1, S. 90

Lienhard, Hubert, im Vorstand der ABB Kraftwerke AG H. 12, S. 1129

Linnebach, Klaus, neuer Vorstandsvorsitzender der ABB Kraftwerke AG H. 12, S. 1129

Linnemann, Heinz, 60 Jahre H. 7, S. 665

Loeffler, Horst, ausgeschieden H. 5, S. 484

Luberichs, Gerd, neuer Geschäftsführer der MESSE ESSEN H. 5, S. 484

Mäule, Reinhold, Ehrendoktorwürde H. 4, S. 387

Mazur, Heinz, neuer Vorsitzender der VdTÜV-Leitstelle Kerntechnik H. 3, S. 262

Müller, Werner, ordentliches Vorstandsmitglied der VKR H. 1, S. 90

Mutschler, Ulrich, neuer SBK-Geschäftsführer H. 2, S. 183

Nienheysen, Franz-Josef, im Ruhestand H. 1, S. 90

Persch, Emil, neuer Vorsitzender der Geschäftsführung der Lurgi Gas- und Mineralöltechnik GmbH H. 2, S. 183

Peukert, Peter, 60 Jahre H. 12, S. 1129

Pohr, Michael, in den Vorstand der deutschen Asea Brown Boveri AG berufen H. 12, S. 1129

Pöppel, Joachim, aus dem VDI-Präsidium ausgeschieden H. 1, S. 90

Porat, Hans, leitet W + E Umwelttechnik H. 7, S. 665

Puell, Karsten, stellvertretender Vorsitzender der VdTÜV-Leitstelle Kerntechnik H. 3, S. 262

Reichert, Günter, im Ruhestand H. 1, S. 90

Reuter, Egon, zum Professor ernannt H. 7, S. 665

Rittberger, Werner, im Ruhestand H. 5, S. 484

Rostásy, Ferdinand S., 60 Jahre H. 5, S. 484

Ruppel, Fritz, 60 Jahre H. 5, S. 484

Schlegelmilch, Hans-Günter, im Ruhestand H. 2, S. 183

Schmahl, Klaus-Henning, 60 Jahre H. 11, S. 1034

Schmitz, Heinz Ludwig, neuer Vorstandsvorsitzender der RENK AG und Vorsitzender der Geschäftsführung der RENK TACKE GmbH H. 1, S. 90

Scholl, Friedrich, im VDI-Präsidium H. 1, S. 90

Scholtholt, Heinz, Mitglied des Vorstandes der STEAG H. 1, S. 90

Schröder, Karl, gestorben H. 11, S. 1033

Schultheiß, Georg-Friedrich, neuer Geschäftsführer des FIZ H. 5, S. 484

Simon, Manfred, 60 Jahre H. 12, S. 1129

Spliethoff, Heinz, 65 Jahre H. 6, S. 574

Spliethoff, Heinz, Guilleaume-Gedenkmünze für Verdienste um die Kraftwerkstechnik H. 11, S. 934

Stangenberg, Friedhelm, 50 Jahre H. 11, S. 1034

Sternberg, Hans-Dieter, neuer technischer Leiter des Kraftwerkes Emden H. 5, S. 484

Steuer, Wilfried, neuer Vorstandsvorsitzender der EVS H. 1, S. 90

Suhr, Ludwig, neuer Chef der GEA-Forschung H. 3, S. 262

Sybertz, Franz, Heinrich-Mandel-Preis 1992 H. 11, S. 945

Tegethoff, Wilm, Ehrenmitglied der VDEW H. 6, S. 574

Theisen, Günther, aus der SBK-Geschäftsführung ausgeschieden H. 2, S. 183

Unseld, Horst, 60 Jahre H. 2, S. 183

v. Koerber, Eberhard, neuer ZVEI-Präsident H. 7, S. 665

VGB-Vorstand, Änderungen H. 11, S. 1034

Vogg, Hubert, Rheinland-Preis für Umweltschutz H. 7, S. 665

Völcker, Helmut, aus STEAG-Vorstand ausgeschieden H. 7, S. 665

Völcker, Helmut, zum Professor ernannt H. 1, S. 90

Wein, Werner, Guilleaume-Gedenkmünze für Verdienste um die Kraftwerkstechnik H. 11, S. S. 935

Weiß, Werner, Franz-Weber-Preis H. 8, S. 747

Werlé, Udo, aus ABB-Vorstand ausgeschieden H. 5, S. 484

Werlé, Udo, Leiter der Gesellschaft ABB Power Ventures Ltd. H. 5, S. 484

Wessely, Lutz, neuer VdTÜV-Hauptgeschäftsführer H. 3, S. 262

Zijl, Gerrit J.L., aus der SBK-Geschäftsführung ausgeschieden H. 2, S. 183

Zimmermann, Felix, neuer Vorstandssprecher der IZE H. 5, S. 484

Buchbesprechungen 1992

Abwasserabgabengesetz H. 3, S. 233

Abwehr betrieblicher Störfälle Brandschutz – Umweltschutz – Werkschutz, 2. Lieferung H. 2, S. 165

Abwehr betrieblicher Störfälle H. 3, S. 203

Abwehr betrieblicher Störfälle Brandschutz – Umweltschutz – Werkschutz, 4. Lieferung H. 9, S. 804

AD-Merkblätter Taschenbuchausgabe 1992 H. 8, S. 679

Betonbau beim Umgang mit wassergefährdenden Stoffen H. 3, S. 203

Betriebssysteme im Einsatz: MS-DOS 5.0 1. Auflage 1991 H. 9, S. 843

C^{++} Einführung und Leitfaden H. 5, S. 488

Dampfkesselbestimmungen 27. und 28. Ergänzungslieferung H. 6, S. 576

Daten zur Umwelt 1990/91 H. 9, S. 843

Der schnelle Brüter in Kalkar Planung, Bau, vornukleare Inbetriebnahme, Stillegung H. 8, S. 679

Entwicklung technisch-wirtschaftlich optimierter regionaler Entsorgungsalternativen H. 3, S. 236

Euromecum European Higher Education and Research Institutions H. 11, S. 961

FDBR-Fachwörterbuch, Band 1 und Band 2 H. 11, S. 961

Greenhouse gases, abatement and control: The role of coal H. 3, S. 226

Grundlagen der Gastechnik H. 12, S. 1124

Handbuch der industriellen Meßtechnik H. 8, S. 679

Handbuch der Umweltverträglichkeitsprüfung (HdUVP) H. 3, S. 236

Handbuch des Deutschen Wasserrechts H. 3, S. 233

Jahrbuch Bergbau, Öl und Gas, Elektrizität, Chemie 1992 H. 3, S. 233

Kernenergierecht zwischen Ausstiegsforderung und Europäischem Binnenmarkt H. 2, S. 133

Korrosions-Atlas H. 4, S. 388

Kreativität, Energie und Entropie H. 5, S. 488

Lagerung und Transport wassergefährdender Stoffe (LTwS) H. 3, S. 250

Lehrgang zum Erwerb der Sachkunde für Instandhaltungsarbeiten an asbesthaltigen Anlagen und Bauteilen, insbesondere in Unternehmen der Kraftwirtschaft H. 9, S. 843

Lexikon Ökotoxikologie H. 3, S. 250

Luftreinhaltung – Leitfaden zur kontinuierlichen Emissionsüberwachung H. 2, S. 133

Management of By-products from IGCC Power Generation H. 3, S. 226

Memofix – Chemie und Chemietechnik H. 12, S. 1124

Rauchgasableitung über Kühltürme H. 3, S. 250

SEIBT Umwelttechnik jetzt erschienen H. 6, S. 576

Sicherheitstechnik H. 2, S. 133

Sicherheitstechnik H. 2, S. 165

Sicherheitstechnik H. 6, S. 576

Sicherheitstechnik H. 6, S. 576

Stahlschlüssel H. 8, S. 679

Taschenbuch „Sonderabfall '92" Gesetze und Verordnungen für die Entsorgung H. 12, S. 1124

Technische Verbrennungssysteme Grundlagen, Modellbildung, Simulation H. 1, S. 87

Tendenzwende!? H. 6, S. 576

Umwelt und Verantwortung – Der energetische Imperativ H. 5, S. 488

Umweltrecht für Energieanlagen H. 11, S. 961

Viersprachiges Energiewörterbuch H. 12, S. 1124

Wärmeaustauscher H. 1, S. 87

„Wer liefert was?" – Ein Nachschlagewerk, das in keiner Einkaufsabteilung fehlen sollte! H. 5, S. 488

Werkstoff- und Beschichtungsprobleme in Rauchgasentschwefelungsanlagen H. 9, S. 804

VGB Kraftwerks-technik

Organ der VGB
Technischen Vereinigung der
Großkraftwerksbetreiber e.V.

Internationale Fachzeitschrift
für Technik in Kraftwerken
73. Jahrgang (1993)
Hefte 1 – 12

Herausgeber

VGB TECHNISCHE VEREINIGUNG DER GROSSKRAFTWERKSBETREIBER E.V.

Vorsitzender: Professor Dr. W. Hlubek, Essen;
Geschäftsführer: Professor Dr. H.-D. Schilling, Essen.

Anschrift der Redaktion

VGB TECHNISCHE VEREINIGUNG DER GROSSKRAFTWERKSBETREIBER E.V.
Klinkestraße 27–31, D-45136 Essen, Postfach 10 39 32, D-45039 Essen,
Telefon (02 01) 48 62-6 86/6 87, Telefax (02 01) 48 62-6 88, Telex 857 707 vgb d.

Chefredaktion

Chefredakteur: Oberingenieur Dipl.-Ing. H. Bleßmann, Essen;
Redaktionsassistentin: Rita Maria Wilke, Essen.

Redaktion

Oberingenieur Dr.-Ing. W. vom Berg, Essen;
Oberingenieur Dr. rer. nat. B. Forck, Essen;
Oberingenieur Professor Dr.-Ing. J. Jacobs, Essen;
Abteilungsdirektor Dipl.-Ing. K. Plate, Essen;
Abteilungsdirektor Dr.-Ing. G. Schlegel, Essen;
Abteilungsdirektor Dr.-Ing. E. Tolksdorf, Essen;
Oberingenieur Dipl.-Ing. G. Welten, Essen.

Wissenschaftlicher Redaktionsbeirat

Professor Dr. J. Béer, Cambridge, Massachusetts/USA;
Professor Dr. techn. Th. Bohn, Essen;
Professor Dr.-Ing. F. Brandt, Darmstadt;
Professor Dr.-Ing. J. Buxmann, Hamburg;
Professor Dr.-Ing. G. Dibelius, Aachen;
Professor Dr.-Ing. H. Kremer, Bochum;
Professor Ir. J.J.C. van Lier, Delft/Niederlande;
Professor Dipl.-Ing. Dr. techn. W. Linzer, Wien/Österreich;
Professor Dr. techn. O.I. Martynova, Moskau/Rußland;
Professor Dr.-Ing. L. Müller, Berlin;
Professor Dr. rer. nat. R. Schulten, Aachen.

Technischer Redaktionsbeirat

Dipl.-Ing. R. Aarni, Helsinki/Finnland;
Betriebsdirektor Dipl.-Ing. K. Bers, Berlin;
Dr. techn. H. Breidenbach, Essen;
Dr. rer. nat. J. Ernst, Hamburg;
Dipl.-Ing. J. Garleff, Hamburg;
Abteilungsdirektor Dr.-Ing. G. Haag, Stuttgart;
Dipl.-Ing. Dr. techn. F. Janitschek, Klagenfurt/Österreich;
Direktor Dr. rer. nat. D. Kallmeyer, Essen;
Direktor Dipl.-Ing. ETH K. Küffer, Baden/Schweiz;
Direktor Dr.-Ing. E.h. Dipl.-Ing. R. Mäule, Esslingen;
Direktor Dipl.-Ing. J. Schulte, Leverkusen.

Vertrieb und Anzeigenverwaltung

VGB-KRAFTWERKSTECHNIK GmbH
Klinkestraße 27–31, D-45136 Essen, Postfach 10 39 32, D-45039 Essen,
Telefon (02 01) 48 62-6 80/6 81/6 83, Telefax (02 01) 48 62-6 88, Telex 857 707 vgb d.
Verantwortlich für Vertrieb und Anzeigenteil: R. Rätz.

Erscheinungsweise

monatlich, außerdem erscheint zeitlich verschoben eine englische Fassung der Hefte.

ISSN 0372-5715

Jahresinhaltsverzeichnis 1993

Verfasserverzeichnis 1993

Aaltonen, P., siehe Mäkelä, K.:
H. 10, S. 919

Absenger, A.:
Rehabilitation von Industriekraftwerken
H. 3, S. 209–214

Adlhoch, W., und Bolt, N.:
Möglichkeiten zur Weiterentwicklung der Kombi-Kraftwerkstechnik
H. 11, S. 992

Ahr, O.:
Betriebsbewährung der zirkulierenden atmosphärischen Wirbelschichtfeuerung (ZAWSF) im Kraftwerk Emile Huchet
H. 5, S. 446–449

Ahrens-Botzong, R., siehe Redmann, E.:
H. 7, S. 626–630

Albrecht, W.:
Brand in der Rauchgasreinigungsanlage im Müllheizkraftwerk München-Nord
H. 11, S. 959–965

Amacker, siehe Henry, Ch.:
H. 6, S. 567

Ambs, E., Tolksdorf, E., Leich, K.E., Schlieben, R., und Schwarzwalder, H.:
Werkstoff P 9 1 (X 10 CrMoVNb 9 1)
H. 7, S. 634–641

Arndt, J., siehe Merzkirch, W.:
H. 2, S. 195

Arthkamp, J., Kremer, H., und Jacobs, J.:
Der Einfluß der Stufenverbrennung auf Bildung und Reduktion von N_2O
H. 2, S. 191

Baker, J.W.:
15. WEC-Kongreß 1992 „Energy and Life" – Schlußfolgerungen und Empfehlungen –
H. 1, S. 1–4

Barten, H., siehe Leferink, R.G.I.:
H. 3, S. 269–275

Bartonicek, J., und Schöckle, F.:
Dichtungskennwerte und die Dichtheit einer Flanschverbindung
H. 1, S. 48–53

Bauer, F., siehe Eitz, A.W.:
H. 2, S. 185

Bauer, F., siehe Eitz, A.W.:
H. 7, S. 573–576

Bauer, G., Lovis, M., und Märker, W.:
Das Verbundkraftwerk – eine neue Variante des kombinierten Kraftwerkes
H. 2, S. 120–124

Baumann, H., siehe Bonn, B.:
H. 2, S. 191

Baumbach, G., Pfeiffer, F., und Hoenig, V.:
NO_x-Minderung durch Harnstoffadditive
H. 2, S. 190

Beck, A., siehe Nobel, W.:
H. 5, S. 473

Becker, B., Bergmann, D., Schetter, B., und Sorgenfrei, A.:
Besonderheiten des Kombi-Prozesses einschließlich Einwellen-Turbosatz
H. 11, S. 991

Becker, D.E., siehe Mugrauer, O.:
H. 2, S. 186

Becker, J., siehe Thielen, W.:
H. 7, S. 608–613

Beckhaus, H., siehe Dernbecher, B.:
H. 10, S. 915

Beermann, H., siehe Stegemann, D.:
H. 10, S. 853–860

Beising, R.:
Die betriebliche Praxis eines Umweltschutzbeauftragten im Dickicht der Vorschriften
H. 5, S. 473

Beising, R.:
Die betriebliche Praxis eines Umweltschutzbeauftragten im Dickicht der Vorschriften
H. 12, S. 1050–1054

Benad, P., siehe Ellmer, G.:
H. 2, S. 187

Bendick W., siehe Blum, R.:
H. 6, S. 566

Bendick, W., Haarmann, K., und Richter, H.:
Die Anwendung austenitischer Rohrwerkstoffe im Kraftwerksbau
H. 6, S. 567

Bendick, W., Haarmann, K., und Richter, H.:
Die Anwendung austenitischer Rohrwerkstoffe im Kraftwerksbau
H. 12, S. 1062–1069

Bendick, W., Haarmann, K., Wellnitz, G., und Zschau, M.:
Eigenschaften der 9- bis 12-%-Chromstähle und ihr Verhalten unter Zeitstandbeanspruchung
H. 1, S. 77–84

Bendick, W., Zylla, I., Müsch, H., und Wachter, O.:
Eigenschaften des Werkstoffs X 20 CrMoV 12 1 nach Betriebsbeanspruchung und Zeitstandschädigung
H. 3, S. 261–268

Bentzin, H., siehe Reidick, H.:
H. 6, S. 485–491

Benzel, F., siehe Wagner, V.:
H. 5, S. 474

Berger, C., Mayer, K.H., und Scarlin, R.B.:
Turbinenkonstruktionen mit den neuen Stählen für hohe Dampfparameter, Teil 1 „Ergebnisse der Werkstoffentwicklung"
H. 6, S. 567

Bergmann, D., siehe Becker, B.:
H. 11, S. 991

Bergmann, H., siehe Kusterer, H.:
H. 5, S. 433–436

Bers, K., und Forck, B.:
20 Jahre VGB-Konferenz „Kraftwerk und Umwelt"
H. 5, S. 470

Biniaris, S.:
Entwicklungen auf dem Gebiet der Rechenmodelle zur Ausbreitung von Luftschadstoffen in der Atmosphäre in der Bundesrepublik Deutschland und der EG
H. 5, S. 473

Biniaris, S., siehe Hildebrandt, J.:
H. 5, S. 474

Bischoff, M., und Buxmann, J.:
Einfluß der Rohrbündelgeometrie auf den Abbau von Temperatur- und Geschwindigkeitsschieflagen in Gasen beim Durchströmen von Bündeln
H. 2, S. 193

Bjorn, I., siehe Kildsig, F.:
H. 10, S. 918

Blangetti, F., Oleas, J., Boronat, E., und Gangoiti, E.P.:
Dampfkondensatorumrüstung der Blöcke 1 und 2 des Kernkraftwerks Ascó in Spanien
H. 6, S. 509–517

Bledau, W., siehe Recker, M.:
H. 3, S. 202–208

Blind, D., siehe Läpple, V.:
H. 10, S. 920

Blöchl, H., siehe Spindler, K.:
H. 6, S. 551–554

Bloemers, D., siehe Führer, K.:
H. 1, S. 29–33

Blum, R., Bendick, W., Hald, J., Rosselet, A., und Vaillant, J.C.:
Neuentwickelte hochtemperaturbeständige ferritisch-martensitische Stähle aus den USA, Japan und Europa
H. 6, S. 566

Blum, W., siehe Straub, S.:
H. 8, S. 744–752

Boeddicker, D., siehe Pruschek, R.:
H. 2, S. 192

Boeddicker, D., siehe Pruschek, R.:
H. 7, S. 577–584

Bohn, D., Drexler, Chr., und Emunds, R.:
Experimentelle und theoretische Untersuchungen der ungleichförmigen Anströmung einer teilbeaufschlagten Turbine mit nachfolgender mehrstufiger Beschaufelung
H. 8. S. 696–704

Bohn, D., siehe Wagner, V.:
H. 5, S. 474

Bohn, P.:
Anforderungen an persönliche Schutzausrüstungen unter dem Blickwinkel der EG-Entwicklung
H. 3, S. 285

Bolt, N., siehe Adlhoch, W.:
H. 11, S. 992

Bolt, N., siehe van Liere, J.:
H. 11, S. 992

Bolte, C., und Farwick, H.:
Schäden an Rußbläsern in einer High-dust-DENOX-Anlage
H. 6, S. 496–499

Bonn, B., Baumann, H., und Pelz, G.:
Bildung und Abbau von N_2O in Wirbelschichtfeuerungen
H. 2, S. 191

Boronat, E., siehe Blangetti, F.:
H. 6, S. 509–517

Böse, D., siehe Reidick, H.:
H. 6, S. 485–491

Böse, D., siehe Schuster, H.:
H. 5, S. 472

Brand, V., siehe Pruschek, R.:
H. 2, S. 192

Brand, V., siehe Pruschek, R.:
H. 7, S. 577–584

Braun, P., siehe Dudnitzek, P.:
H. 11, S. 966/967

Braun, P., und Koch, D.:
Brandmeldeanlage mit Lichtwellenleiterübertragung im Kraftwerk Marbach der Energie-Versorgung Schwaben AG (EVS)
H. 10, S. 880/881

Braunstein, L., Gropp, K., und Schmidt, M.:
Einsatz eines Laboranalysators zur Bestimmung von Ammoniak im Rauchgas
H. 10, S. 916

Braunstein, L., Maihöfer, A., und Wied, W.:
Die Sulfatbildung bei der Rauchgasentschwefelung nach dem Wellman-Lord-Verfahren
H. 5, S. 456–462

Brausam, M., siehe Hüvel, B.:
H. 3, S. 215–218

Brenner, A.:
Zur Berechnung des Wärmeüberganges und des Druckverlustes von ein- und zweiphasigen Fluiden mit Finiten Elementen
H. 2, S. 194

Breuer, H., siehe Kehr, M.:
H. 6, S. 569

Breuer, H., siehe Kehr, M.:
H. 11, S. 941–946

Brinkmann, K., siehe Rüsenberg, D.:
H. 2, S. 188

Broda, J., siehe Haschke, M.:
H. 10, S. 916

Brodbek, H.:
Kontinuierliche Staubgehaltsbestimmung und „Besondere Überwachung der Schwermetallemissionen" nach der 17. BImSchV mit dem Staubemissionsmeßgerät LPS-E
H. 5, S. 474

Brogle, P., siehe Trippe, L.M.:
H. 9, S. 802–806

Broisch, A., siehe Vetter, H.:
H. 4, S. 362–369

Brummel, H.-G., siehe Neubronner, M.:
H. 2, S. 192

Brunner, A., Schweizer, E.-L., und Wagner, G.H.:
Erfahrungen mit ausgewählten Werkstoffen in Rauchgasreinigungsanlagen hinter Schmelzkammerfeuerungen
H. 1, S. 42–47

Brunner, M.:
Betriebserfahrungen mit Anlagen zur Einhaltung der 17. BImSchV
H. 7, S. 619–625

Bulang, S.:
10 Jahre erfolgreiche Betriebserfahrungen mit Tropfenabscheidersystemen in Rauchgasentschwefelungsanlagen
H. 5, S. 471

Bürkle, W.:
Sicherheitstechnische Anforderungen an künftige Kernkraftwerke
H. 2, S. 97–101

Bursik, A., siehe Meierer, M.:
H. 5, S. 474

Bursik, A., siehe Spindler, K.:
H. 6, S. 551–554

Bursik, A.:
Elektrische Leitfähigkeit des Betriebsmittels im Wasser-Dampfkreislauf – Möglichkeiten und Grenzen des Meßverfahrens
H. 10, S. 915

Busch, M., Rampp, F., Martin, J., und Horn, J.:
Entwicklung einer kamerageführten Feuerungsregelung zur Verbesserung des Verbrennungs-, Ausbrand- und Emissionsverhaltens einer Abfallverbrennungsanlage
H. 7, S. 614–618

Busse, L., siehe Engelke, W.:
H. 6, S. 568

Büssem, R.:
Inergen – ein neues Löschmittel
H. 6, S. 521/522

Buuck, Marion:
Runderneuerung einer 130-MW-Entnahme-Kondensations-Dampfturbine im Heizkraftwerk Wedel
H. 7, S. 591–594

Buxmann, J., siehe Bischoff, M.:
H. 2, S. 193

Cerjak, H., siehe Mayrhuber, J.:
H. 2, S. 187

Cerjak, H., siehe Prader, R.:
H. 2, S. 188

Chevroulet, G., siehe Ellmer, G.:
H. 2, S. 187

Christmann, A., Habichtsberg, L. und Schetter, G.:
Auswirkungen neuerer Verordnungen auf Konzept und Auslegung der thermischen Restmüllbehandlung
H. 8, S. 722–729

Cocos, Alice-Anca:
Aspekte der chemischen Konditionierung von Kühlwasser hoher Aggressivität und das Korrosionsverhalten von Messing aus CuZn 28 Sn 1
H. 10, S. 915

Coste, C., Rovel, J.M., und George, J.M.:
Wasseraufbereitung zwecks Abwasserfreiheit und Minimierung fester Rückstände
H. 11, S. 992

Czychon, K.-H., und Haffmann, E.:
Grundsätze und Erfahrungen beim Einsatz eines „Integrierten Betriebsführungssystems"
H. 10, S. 864–868

Czyrska-Filemonowicz, A., siehe Krautwasser, P.:
H. 6, S. 555–558

Dahl, A., siehe Nordin, S.:
H. 4, S. 384–388

Damjakob, H., Depe, T., und Tscheslog, W.:
Naturzug-Kühlturm auf Meridionalscheiben
H. 1, S. 85–92

Damjakob, H., siehe Vrangos, V.:
H. 2, S. 187

Damm, U.:
Erste Betriebserfahrungen mit dem Gegenstromadsorber zur Rauchgasreinigung in der Müllverbrennungsanlage Düsseldorf-Flingern
H. 9, S. 807–815

de Groot, A.:
Exergie-Analyse von Brennstoffzellen
H. 2, S. 192

de Ruijter, J.A.F., siehe Meiring, F.:
H. 3, S. 219–222

de Winter, H.M.J.:
Technologische Bedingungen der Demonstrationsanlage KV-STEG
H. 11, S. 991

Dechamps, P.J., und Mathieu, Ph.:
Ertüchtigung einer Kombi-Anlage durch integrierte Kohlevergasung
H. 2, S. 187

Deden, H.:
Entwicklung des Gefahrstoffrechts in der Bundesrepublik Deutschland
H. 3, S. 283

Deimel, P., siehe Läpple, V.:
H. 10, S. 920

Dejc, M.E., Döhler, S.W., und Korschunov, B.A.:
Ein neues Turbinenprofil für Schaufelgitter geringer Höhe
H. 2, S. 130–133

Depe, T., siehe Damjakob, H.:
H. 1, S. 85–92

Depe, T., siehe Vrangos, V.:
H. 2, S. 187

Dernbecher, B., Beckhaus, H., und Neder, H.:
Optimierung der Kühlwasserfahrweise im Kernkraftwerk Isar 2 durch Einsatz der TRASAR-Technik
H. 10, S. 915

Dobrevsky, Iv., und Winkler, R.:
Zum Hideout in Kraftwerksanlagen
H. 2, S. 172–179

Döhler, S.W., siehe Dejc, M.E.:
H. 2, S. 130–133

Döring, F., siehe Mylonas, J.:
H. 7, S. 585–590

Dötl, R., siehe Jericha, H.:
H. 9, S. 781–786

Drexler, Chr., siehe Bohn, D.:
H. 8, S. 696–704

Drtina, P., siehe Streiff, F.A.:
H. 5, S. 450–455

Dudnitzek, P., und Braun, P.:
Maschinentransformatorbrand im Heizkraftwerk Heilbronn
H. 11, S. 966/967

Ebi, G., siehe Schöllhorn, K.:
H. 4, S. 340–344

Eckerlebe, H., siehe Krautwasser, P.:
H. 6, S. 555–558

Eckert, G., siehe Kolar, J.:
H. 5, S. 474

Edelmann, H., siehe Fett, F.N.:
H. 3, S. 238–250

Egyptien, H.H., und Köhler, E.:
Umsetzen der Arbeitsschutzbestimmungen in den neuen Bundesländern
H. 3, S. 285

Eichholtz, A., siehe Houfar, D.:
H. 6, S. 569

Eifes, M.:
De Pont de Nemours: Verbesserung der Effektivität des Arbeitssicherheits-Managements
H. 3, S. 285

Eitz, A.W., Recker, M., und Bauer, F.:
Forschungsaufgaben der Kraftwerkstechnik in den neuen Bundesländern Deutschlands – eine Standortbestimmung –
H. 2, S. 185

Eitz, A.W., Recker, M., und Bauer, F.:
Forschungsaufgaben der Kraftwerkstechnik in den neuen Bundesländern Deutschlands
H. 7, S. 573–576

el'Kholy, A., siehe Holmgard, P.:
H. 5, S. 429–432

Ellmer, G., Sturm, A., Benad, P., und Chevroulet, G.:
Detektion von Anstreifungen bei Turbomaschinen mittels Schallemissionsanalyse
H. 2, S. 187

Emunds, R., siehe Bohn, D.:
H. 8, S. 696–704

Engelke, W., Franc, J.L., Scarlin, R.B. und Busse, L.:
Turbinenkonstruktionen mit den neuen Stählen für hohe Dampfparameter, Teil 2 „Herstellerspezifische Konstruktionsmerkmale"
H. 6, S. 567

Enkler, G., siehe Rühle, W.:
H. 10, S. 920

Epple, B., Schneider, R., Schnell, U., und Hein, K.R.G.:
Anwendungsmöglichkeiten und Entwicklungstendenzen von Modellen für die Simulation stein- und braunkohlebefeuerter industrieller Dampferzeuger
H. 2, S. 189

Evans, J., Reynolds, S., und Mathers, N.B.R.:
Auslegung und Optimierung der Rauchgasentschwefelungsanlage im Kraftwerk Ratcliffe
H. 12, S. 1044–1049

Evans, J., Reynolds, S.K., und Mathers, N.B.R.:
Auslegung und Optimierung der Rauchgasentschwefelungsanlage im Kraftwerk Ratcliffe/Großbritannien
H. 5, S. 471

Exner, Rodica, siehe Kusterer, H.:
H. 5, S. 433–436

***F**ahlke, J.:*
Untersuchungen zum Verhalten von Spurenelementen an kohlebefeuerten Dampferzeugern unter Berücksichtigung der Rauchgasreinigungsanlagen
H. 3, S. 254–256

Farwick, H., siehe Bolte, C.:
H. 6, S. 496–499

Farwick, H., und Rummenhohl, V.:
SCR-Katalysatoren
H. 5, S. 437–441

Fehndrich, B., siehe Remberg, H.-W.:
H. 5, S. 472

Feldhaus, G.:
Luftreinhaltegesetzgebung in Europa
H. 5, S. 470

Feldhaus, G.:
Luftreinhaltegesetzgebung in Europa
H. 10, S. 893–896

Fenner, J., und Schedlitzki, D.:
Gummierungen als Korrosionsschutz in Rauchgasentschwefelungsanlagen (Teil II)
H. 6, S. 544–550

Fenner, J., und Schedlitzki, D.:
Neue Gummierungskonzepte für Rauchgasentschwefelungsanlagen
H. 10, S. 917

Fett, F.N., Schöler, J., Edelmann, H., Peters, R., Jürgens, B., und Jahn, P.:
Ein Gesamtmodell für ZWS-Dampferzeuger im Test an zwei Kohlekraftwerken
H. 3, S. 238–250

Fett, F.N., siehe Heinbockel, I.:
H. 2, S. 190

Fichte, W., siehe Waltl, J.:
H. 10, S. 914

Fischoeder, R.:
Rauchgasreinigung bei einer Verbrennungsanlage für die Verwertung von Reststoffen aus dem Altpapierrecycling
H. 5, S. 472

Fischoeder, R.:
Rauchgasreinigung bei einer Verbrennungsanlage für die Verwertung von Reststoffen aus dem Altpapierrecycling
H. 11, S. 977–980

Fitchett, G., Umpleby, R.A., Jones, D.H., Keegan, M.B.T., und Pilbin, M.B.:
Eine neuartige metallische Auskleidung als Korrosionsschutz in Rauchgasentschwefelungsanlagen
H. 5, S. 471

Fleischli, M., siehe Streiff, F.A.:
H. 5, S. 450–455

Florinski, J., siehe Göhlich, V.:
H. 10, S. 919

Flörke, O.W., und Willner, Gudrun:
Charakterisierung von WSF-Aschen durch kornfraktionsaufgelöste Phasenbestands- und Korngefügeanalysen
H. 2, S. 186

Forck, B., siehe Bers, K.:
H. 5, S. 470

Franc, J.L., siehe Engelke, W.:
H. 6, S. 567

Franconville, G., siehe Neft, H.G.:
H. 5, S. 409–415

Franitza, W., siehe Reidick, H.:
H. 6, S. 485–491

Franke, J., Köhler, W., und Wittchow, E.:
Verdampferkonzepte für Benson®-Dampferzeuger
H. 4, S. 352–361

Franke, U.:
Gasturbinenkonzepte mit Wassereinsatz
H. 2, S. 125–129

Franke, U.:
Der Gasturbinenprozeß mit dem Arbeitsmedium Gas/Dampf
H. 2, S. 192

Fremuth, W., und Wagner, E.:
Elektrizitätswirtschaft Österreichs als Schnittstelle zwischen Ost und West
H. 12, S. 1015–1018

Frey, H., siehe Weiss, G.:
H. 4, S. 345–351

Führer, K., Bloemers, D., Züfle, E., und Wüthrich, C.:
Optische Überwachung von Turbinenschaufelschwingungen im Betrieb
H. 1, S. 29–33

Fushimi, T.:
Erfahrungen mit dem Kraftwerk Kawagoe der Chubu Electric Power
H. 6, S. 568

***G**affal, K.:*
Innovatives, umweltfreundliches und wirtschaftliches Speisepumpenkonzept erfolgreich erprobt
H. 3, S. 223–230

Gangoiti, E.P., siehe Blangetti, F.:
H. 6, S. 509–517

Gawlowski, L., siehe Keintzel, G.:
H. 11, S. 992

Gelbe, H., siehe Leyh, T.:
H. 2, S. 193

George, J.M., siehe Coste, C.:
H. 11, S. 992

Gibbesch, B., und Schedlitzki, D.:
Rohrleitungen aus Thermoplast-GFK-Verbundwerkstoffen
H. 12, S. 1033–1043

Giese, M., siehe Ruprecht, A.:
H. 2, S. 193

Giese, M., siehe Ruprecht, A.:
H. 9, S. 798–801

Gieske, F., und Piltz, K.:
Überlegungen zum Kernenergie-Konsens
H. 1, S. 10

Gilg, J., siehe Reinicke, W.R.:
H. 5, S. 474

Ginter, F., siehe Ruprecht, A.:
H. 2, S. 193

Ginter, F., siehe Ruprecht, A.:
H. 9, S. 798–801

Glaser, W., siehe Klug, P.:
H. 5, S. 471

Gloger, M., und Neumann, K.:
Betriebssichere ND-Beschaufelungen mit hohen Wirkungsgraden
H. 7, S. 595–601

Godik, I.B., siehe Shvarts, A.L.:
H. 6, S. 568

Gohla, M., und Neidel, W.:
Untersuchungen zur Strömungsmechanik und zum Feststoffverhalten im Freeboardbereich zirkulierender Wirbelschichten
H. 2, S. 194

Göhlich, V., und Florinski, J.:
Einsatz von angereichertem ^{10}B in Kernkraftwerken
H. 10, S. 919

Görner, K.:
Entsorgungskonzepte für beladenen Aktivkoks aus der Rauchgasnachreinigung unter Einbeziehung der Verschlackung von Flugasche
H. 11, S. 968–973

Gothsch, H.:
Einsatz elektrischer Betriebsmittel bei erhöhter elektrischer Gefährdung
H. 3, S. 285

Granser, D., siehe Merzkirch, W.:
H. 2, S. 195

Gremme, T., Krabbe, H.-J., und Wiesemes, K.:
LIMS – Ein Werkzeug zur Datenverarbeitung und Laborautomation in einem Kraftwerkszentrallabor
H. 10, S. 916

Grieger, G.:
Stand und Aussichten der Fusionsforschung
H. 1, S. 17–21

Grimm, W., siehe Lasch, M.:
H. 10, S. 920

Gropp, K., siehe Braunstein, L.:
H. 10, S. 916

Gudenau, H.W., siehe Hahn, W.:
H. 2, S. 189

Guglhör, P., siehe Mugrauer, O.:
H. 2, S. 186

Gutberlet, G., Pätsch, B., van Eldik, R., und Prinsloo, F.:
Einfluß von SN-Verbindungen auf die Oxidationskinetik von Sulfit in Rauchgasentschwefelungsanlagen
H. 10, S. 917

***H**aarmann, K., Schwenk, W., Venkateswarlu, J., und Zschau, M.:*
Hochtemperaturkorrosionsbeständigkeit des warmfesten Stahles X 10 CrMoVNb 9 1 (P 9 1/T 9 1) im Vergleich zu höher- und niedriglegierten warmfesten ferritischen Chromstählen in Wasserdampf
H. 9, S. 837–840

Haarmann, K., siehe Bendick, W.:
H. 1, S. 77–84

Haarmann, K., siehe Bendick, W.:
H. 6, S. 567

Haarmann, K., siehe Bendick, W.:
H. 12, S. 1062–1069

Haase, H., siehe Lauterbach, K.:
H. 6, S. 500–508

Habichtsberg, L., siehe Christmann, A.:
H. 8, S. 722–729

Hafers, H.:
Interdisziplinäre Zusammenarbeit von Arbeitssicherheit und Umweltschutz
H. 3, S. 284

Hafers, H.:
Interdisziplinäre Zusammenarbeit von Arbeitssicherheit und Umweltschutz
H. 10, S. 873/874

Haffmann, E., siehe Czychon, K.-H.:
H. 10, S. 864–868

Hahn, W., und Gudenau, H.W.:
Vergasung nachwachsender Rohstoffe in der zirkulierenden Wirbelschicht
H. 2, S. 189

Hald, J., siehe Blum, R.:
H. 6, S. 566

Halliger, H.-L., und Wahren, R.:
26 Jahre Betriebserfahrungen mit einer Kesseltrommel aus einem warmfesten Kupfer-Nickel-Molybdän-Stahl
H. 5, S. 463–469

Ham, A.J., und van der Riet, M.:
Eine genaue Beurteilung des Verbrennungsverhaltens von Kraftwerkskohlen
H. 4, S. 370–377

Hambsch, V., und Händel, W.:
Drehmomentüberhöhung bei stellantriebsbetätigten Armaturen
H. 2, S. 134–140

Händel, W., siehe Hambsch, V.:
H. 2, S. 134–140

Hansen, S., siehe Noppenau, H.:
H. 6, S. 569

Hantzsche, Ulrike, siehe Häußler, Kathrin:
H. 2, S. 186

Hardman, R.R., und Sorge, J.N.:
Darstellung fortgeschrittener Wand- und Tangentialfeuerungsvarianten für die Minderung von Stickoxid-(NO_x-)Emissionen aus kohlebefeuerten Kesseln
H. 6, S. 523–528

Härdtl, R., siehe Schießl, P.:
H. 2, S. 185

Härdtl, R., siehe Schießl, P.:
H. 7, S. 642–645

Härdtl, R., und Schießl, P.:
Einfluß von Steinkohlenflugasche auf den Sulfatwiderstand von Beton
H. 2, S. 186

Harig, H.-S.:
Leistungsanforderungen an die Kraftwirtschaft Europas
H. 1, S. 11–16

Häring, S., siehe Nobel, W.:
H. 5, S. 473

Hartmann, U., siehe Weiler, H.:
H. 5, S. 472

Haschke, M., Privik, M., Kowalczyk, U., und Broda, J.:
Möglichkeiten zur schnellen Elementanalyse an Abfallprofen mit der energiedispersiven Röntgenspektroskopie
H. 10, S. 916

Hauenstein, Kerstin, und Herr, W.:
Strömungsführung des Rauchgases in neuen und zu optimierenden DENOX-Reaktoren
H. 2, S. 194

Häuser, U., siehe Kotschenreuther, H.:
H. 1, S. 22–28

Häußler, Kathrin, Hantzsche, Ulrike, Schlegel, E., und Strienitz, R.:
Einsatzmöglichkeiten von Braunkohlefilteraschen bei der Herstellung von Wandbaustoffen
H. 2, S. 186

Heckmann, W., siehe Merzkirch, W.:
H. 2, S. 195

Heer, H., siehe Seyfert, N.:
H. 5, S. 472

Heiermann, G., Husemann, R.-U., Hougaard, P., Kather, A., und Knizia, M.:
Dampferzeuger für fortgeschrittene Dampfparameter
H. 8, S. 678–689

Heiermann, G., siehe Kather, A.:
H. 6, S. 567

Hein, K.R.G., siehe Epple, B.:
H. 2, S. 189

Hein, K.R.G., siehe Kicherer, A.:
H. 2, S. 189

Heinbockel, I., und Fett, F.N.:
Mathematische Modellierung einer zirkulierenden, druckaufgeladenen Wirbelschichtfeuerung
H. 2, S. 190

Hennies, H.-H.:
Die Entsorgung der Kernkraftwerke, ein realer Engpaß?
H. 3, S. 199–201

Henry, Ch., Amacker, Pietzonka, F., und Torssell, K.:
Auslegung dickwandiger Bauteile auf Basis der neuen Stähle
H. 6, S. 567

Hense, A.:
Die neuen Entwicklungen auf dem Gebiet der Klimamodellierung und -vorhersage
H. 5, S. 470

Hense, A.:
Die neuen Entwicklungen auf dem Gebiete der Klimamodellierung und -vorhersage
H. 9, S. 834–836

Henzel, N.:
Alternative Wasserchemie im Primärkreis von DWR-Anlagen
H. 10, S. 919

Herr, W., siehe Hauenstein, Kerstin:
H. 2, S. 194

Hickling, J.:
Hochtemperatur-On-line-Korrosionsüberwachung in Kraftwerken
H. 10, S. 919

Hiebler, J., siehe Schöngrundner, W.:
H. 10, S. 918

Hildebrandt, J., Biniaris, S., und Knoblauch, B.:
Ein kostengünstiges Emissionsmeßsystem in den bestehenden Braunkohlekraftwerken in den neuen Bundesländern
H. 5, S. 474

Hirschfelder, H., siehe Trost, M.:
H. 2, S. 141–146

Hlubek, W.:
Tagesfragen der Kraftwerkstechnik
H. 12, S. 1003–1005

Hoenig, V., siehe Baumbach, G.:
H. 2, S. 190

Hoffmann, Gabriele, siehe Johnke, B.:
H. 10, S. 903–906

Hofstötter, P.:
Restlebensdauervorhersage unter simulierten Betriebsbelastungen
H. 2, S. 187

Höhn, K.-U., und Lisson, G.:
UP.CO.RE., ein bewährtes Verfahren zur Gegenstromregeneration von Ionenaustauscherfestbetten
H. 10, S. 915

Holmgard, P., und el'Kholy, A.:
Biomassetechnologie in Heizkraftwerken in Dänemark
H. 5, S. 429–432

Hölscher, W., siehe Wilhelm, M.:
H. 10, S. 914

Hölscher, W., Wilhelm, M., und Langen, H.J.:
Umgang mit wassergefährdenden Stoffen im Kraftwerksbetrieb – Das Gefährdungspotential von Verwendungsanlagen (HBV-Anlagen)
H. 5, S. 474

Hoppe, J.A., siehe Miller, C.L.:
H. 2, S. 147–152

Horn, J., siehe Busch, M.:
H. 7, S. 614–618

Hölter, G., siehe Kitzerow, H.-G.:
H. 10, S. 889–892

Houfar, D., Eichholtz, A., und Kübler, D.:
Der 700-MW-Steinkohleblock der VKR in Gelsenkirchen-Heßler
H. 6, S. 569

Hougaard, P., siehe Heiermann, G.:
H. 8, S. 678–689

Hougaard, P., siehe Kather, A.:
H. 6, S. 567

Huber, D.A., siehe Miller, C.L.:
H. 2, S. 147–152

Hübner, K., siehe Weber, E.:
H. 2, S. 188

Hübner, K., siehe Weber, E.:
H. 7, S. 602–607

Huijbregts, W.M.M., siehe Leferink, R.G.I.:
H. 3, S. 269–275

Husemann, R.-U., siehe Heiermann, G.:
H. 8, S. 678–689

Husemann, R.-U., siehe Kather, A.:
H. 6, S. 567

Hüvel, B., und Brausam, M.:
Betriebsdatenerfassung in den Kraftwerken der Stadtwerke Karlsruhe
H. 3, S. 215–218

***I**llmann, W., siehe Melzer, B.:*
H. 4, S. 394–399

***J**acobs, J., siehe Arthkamp, J.:*
H. 2, S. 191

Jahkola, A.:
Forschung und Entwicklung der Wirbelschichttechnik in Finnland
H. 1, S. 70–76

Jahn, P., siehe Fett, F.N.:
H. 3, S. 238–250

Jahr, M., siehe Leyh, T.:
H. 2, S. 193

Janicka, J., und Sonnenschein, H.:
Rationelle Prozeßsimulation durch graphikgestützte Makrobildung
H. 2, S. 195

Jensen, S.A., siehe Ripka, M.:
H. 5, S. 473

Jerch, R.A., siehe Stenzel, W.C.:
H. 6, S. 569

Jericha, H., Pirker, H.P., Starzer, O., und Dötl, R.:
Weiterentwicklung des H_2/O_2-Dampfprozesses (Brennkammer und Hochtemperaturturbine)
H. 9, S. 781–786

Jericha, H., siehe Pirker, H.P.:
H. 2, S. 192

Johnke, B., und Hoffmann, Gabriele:
Verwertung von Rückständen aus der thermischen Abfallbehandlung aus der Sicht des Umweltbundesamtes
H. 10, S. 903–906

Jones, D.H., siehe Fitchett, G.:
H. 5, S. 471

Jung, H.:
Erste Betriebserfahrungen mit dem Aktivkoksfilter hinter einer Sonderabfall-Verbrennungsanlage
H. 8, S. 734–737

Jung, P., siehe Rühle, W.:
H. 10, S. 920

Jürgens, B., siehe Fett, F.N.:
H. 3, S. 238–250

Kahl, D., siehe Recker, M.:
H. 3, S. 202–208

Kahnt, G.:
Probleme bei der radiometrischen Bestimmung des Gehaltes an Asche von Braunkohle
H. 10, S. 915

Kakaras, E.K., siehe Papageorgiou, N.G.:
H. 2, S. 189

Karlsen, T.M., und Vitanza, C.:
Der Versuchsreaktor Halden als Instrument zur Untersuchung von Problemen im Bereich von Chemie und Werkstoffen
H. 10, S. 918

Kassebohm, B., siehe Wawrzik, U.:
H. 5, S. 473

Kather, A., Heiermann, G., Hougaard, P., Husemann, R.-U., und Knizia, M.:
Dampferzeuger für fortgeschrittene Dampfparameter
H. 6, S. 567

Kather, A., siehe Heiermann, G.:
H. 8, S. 678–689

Katzer, Helga, und von Borries, W.:
Automatisches Überwachungssystem zur Früherkennung von Bunkerbränden in Abfallverbrennungsanlagen
H. 2, S. 195

Kecke, D., und Röthig, J.:
Beanspruchungsgerechte Werkstoffauswahl zur Verschleißminderung
H. 2, S. 188

Keegan, M.B.T., siehe Fitchett, G.:
H. 5, S. 471

Kehr, H., siehe Schuster, H.:
H. 5, S. 472

Kehr, M., Breuer, H., und Schettler, H.:
Die neuen 800-MW-Braunkohlenblöcke der VEAG in Boxberg und Schwarze Pumpe
H. 6, S. 569

Kehr, M., Breuer, H., und Schettler, H.:
Die neuen 800-MW-Braunkohlenblöcke der VEAG Vereinigte Energiewerke AG in Boxberg und Schwarze Pumpe
H. 11, S. 941–946

Keintzel, G., und Gawlowski, L.:
Planung und Auslegung der Dampferzeuger für Kohle-Kombi-Kraftwerke
H. 11, S. 992

Kessel, W., siehe Reidick, H.:
H. 6, S. 485–491

Ketting, N.G.:
Strategische Interessen der Energieversorgung in den Niederlanden
H. 11, S. 991

Kicherer, A., Spliethoff, H., Maier, H., und Hein, K.R.G.:
Einsatzmöglichkeiten von nachwachsenden Rohstoffen in einer Staubfeuerung
H. 2, S. 189

Kienberger, K.H.:
Radiolysegasansammlungen im Dampfsystem eines Siedewasser-Kernkraftwerkes
H. 3, S. 257–260

Kildsig, F., Rostgaard, H., Slabiak, T., und Bjorn, I.:
Erfahrungen mit einer DENOX-Testanlage im Werk Stigsnæs
H. 10, S. 918

Kinn, Th., siehe Wetzl, R.:
H. 5, S. 418–422

Kitzerow, H.-G., und Hölter, G.:
Stellenwert der Wirbelschichtverbrennung bei der thermischen Abfallverwertung
H. 10, S. 889–892

Kjaer, S., siehe van Liere, J.:
H. 6, S. 566

Kjaer, S.:
Die zukünftigen 400-MW-ELSAM-Blöcke in Aalborg und Skærbæk
H. 6, S. 569

Kjaer, S.:
Die zukünftigen 400-MW-ELSAM-Blöcke in Aalborg und Skærbæk
H. 11, S. 933–940

Klein, M., siehe Schuster, H.:
H. 5, S. 472

Klein, M., und Rotzoll, G.:
Grundlagenuntersuchungen zur NO- und N_2O-Bildung beim Kohle- und Kokskornabbrand in Wirbelschichtfeuerungen
H. 10, S. 917

Klewer, H.-J., und Schäfer, W.:
Erfassung gasförmiger anorganischer Spurenstoffe, insbesondere Alkaliverbindungen, in Rauchgasen bei 1400 °C und Drücken bis 30 bar
H. 2, S. 195

Klosek, J., Sorensen, J.C., und Wong, M.:
Luft oder O_2 für Vergasungs-Kombi-Kraftwerke
H. 11, S. 992

Klug, P., Weitzer, M., Glaser, W., und Mayer, M.:
Betriebserfahrungen mit hochlegierten, korrosionsbeständigen Stählen und Nickel-Basis-Legierungen in Rauchgasentschwefelungsanlagen
H. 5, S. 471

Klüver, G.:
Neue Diagnosemöglichkeiten für Magnetventile
H. 5, S. 416/417

Knizia, K.:
Gedanken zur Veränderung unseres Weltbildes durch die Kernenergie
H. 1, S. 5–9

Knizia, M., siehe Heiermann, G.:
H. 8, S. 678–689

Knizia, M., siehe Kather, A.:
H. 6, S. 567

Knoblauch, B., siehe Hildebrandt, J.:
H. 5, S. 474

Knosala, P., und Meuli, K.:
Filtration und Anschwemmfiltration in der Kraftwerkskondensataufbereitung sowie in der Speisewasservorbehandlung für Umkehrosmose-Anlagen
H. 10, S. 916

Koch, D., siehe Braun, P.:
H. 10, S. 880/881

Koetzier, H., siehe van Liere, J.:
H. 6, S. 566

Köhler, E., siehe Egyptien, H.H.:
H. 3, S. 285

Köhler, W., siehe Franke, J.:
H. 4, S. 352–361

Köhn, G.:
Staudinger 5 – Auslegung und Erfahrungen aus Inbetriebnahme und erster Betriebszeit
H. 6, S. 568

Köhn, G.:
Staudinger 5 – Auslegung und Erfahrungen aus Inbetriebnahme und erster Betriebszeit
H. 11, S. 927–932

Kolar, J., und Eckert, G.:
6jährige Betriebserfahrungen mit der Umwandlung von SAV-Produkt in technischen Anhydrit
H. 5, S. 474

Koopmann, W., Regenbogen, R.W., und Zuideveld, P.L.:
Das Shell-Kohlevergasungsverfahren
H. 11, S. 991

Korschunov, B.A., siehe Dejc, M.E.:
H. 2, S. 130–133

Kortmann, W.:
Auftauanlage als Hilfsmittel zur Entleerung eingefrorener Eisenbahnwaggons
H. 9, S. 832/833

Kotschenreuther, H., Häuser, U., und Weirich, P.-H.:
Zukünftige wirtschaftliche Kohleverstromung
H. 1, S. 22–28

Kotschenreuther, H., siehe Lauterbach, K.:
H. 6, S. 500–508

Kowalczyk, U., siehe Haschke, M.:
H. 10, S. 916

Krabbe, H.-J., Pietsch, M., und Werner, H.-P.:
Kühlturmzusatzwasser-Aufbereitungsanlagen aus chemischer und biologischer Betrachtungsweise
H. 7, S. 631–633

Krabbe, H.-J., siehe Gremme, T.:
H. 10, S. 916

Kral, R., Schröder, S., und Zipfel, T.:
Versuche in einem 160-t/h-Benson-Dampferzeuger mit senkrecht berohrter Brennkammer
H. 2, S. 187

Kral, R., Schröder, Susanne, und Zipfel, Th.:
Versuche mit einem senkrecht berohrten Benson®-Verdampfer in einem 160-t/h-Dampferzeuger
H. 9, S. 793–797

Krass, K., und Mesters, K.:
Verwertung von Müllverbrennungsasche im Straßenbau
H. 9, S. 841–844

Krautwasser, P., Widera, M., Czyrska-Filemonowicz, A., Schuster, H., und Eckerlebe, H.:
Zerstörungsfreie Bestimmung der kriechdehnungsabhängigen Werkstoffschädigung durch Neutronen-Kleinwinkelstreuung
H. 6, S. 555–558

Kremer, H., siehe Arthkamp, J.:
H. 2, S. 191

Kremer, H., siehe Mylonas, J.:
H. 7, S. 585–590

Kremer, H., Wirtz, S., und Reischke, A.:
Berechnung von Strömungsvorgängen im Brenner-Nahbereich
H. 2, S. 190

Krieger, St.:
Aktuelle Entwicklung der Abfallgesetzgebung der EG und ihre Auswirkungen auf die Elektrizitätswirtschaft der Bundesrepublik Deutschland
H. 5, S. 473

Krolewski, H.:
Bauwesen für Kraftwerke
H. 2, S. 106–119

Kübler, D., siehe Houfar, D.:
H. 6, S. 569

Küffer, M.:
Stand der Technik bei Dampfumformventilen – Teil 1: Aufgabenstellung, Einsatzbereich und Auslegung –
H. 11, S. 947–953

Küffer, M.:
Stand der Technik bei Dampfumformventilen – Teil 2: Konstruktion, Geräuschentwicklung, Wassereindüsung und Antriebssystem –
H. 12, S. 1019–1027

Kuhnle, G.:
Vollentsalzungsanlage mit Umkehr-Osmose und Multi-Step-Filter
H. 10, S. 916

Kuntzky, H.-H., siehe Nelissen, G.T.M.:
H. 11, S. 992

Kusterer, H., Exner, Rodica, und Bergmann, H.:
HYDROSS® – Einsatz von Wasserstoff zur Sofortreservebereitstellung im Kraftwerk
H. 5, S. 433–436

Kysela, J., siehe Turyna, R.:
H. 4, S. 389–393

Kysela, J.:
Der Korrosions-Testkreislauf in Řež als Teststand
H. 10, S. 918

Kyte, W.S.:
Strategien zur Einhaltung der Emissionsminderungsziele der britischen Elektrizitätsversorgungsindustrie
H. 5, S. 470

Kyte, W.S.:
Strategien zur Einhaltung der Emissionsminderungsziele der britischen Elektrizitätsversorgungsindustrie
H. 11, S. 974–976

Lacour, D., siehe Möllmann, A.:
H. 2, S. 153–159

Landis, R., siehe Weiss, G.:
H. 4, S. 345–351

Lang, E., siehe Streiff, F.A.:
H. 5, S. 450–455

Langen, H.J., siehe Hölscher, W.:
H. 5, S. 474

Langen, H.J., siehe Wilhelm, M.:
H. 10, S. 914

Langner, A.:
Verteilungsgleichgewichte anorganischer Inhaltsstoffe in Gegenwart von Ammoniak im Bereich der Dampferzeugung und der ersten Kondensation (Bericht zum Forschungsprojek)
H. 10, S. 914

Läpple, V., Blind, D., und Deimel, P.:
Beitrag zur Bestimmung der Geschwindigkeit von korrosionsgestütztem Rißwachstum unter konstanter äußerer Last in Hochtemperaturwasser
H. 10, S. 920

Lasch, M., und Grimm, W.:
Untersuchungen zur Erschöpfung von Aktivkohle zur Iodrückhaltung in Kernkraftwerken
H. 10, S. 920

Laue, C., und Roesch, J.:
Anwendung von Kernspurfiltern zur schnellen Bestimmung der α-Aktivität und zur Charakterisierung von Korrosionsprodukten im Primärwasser von Druckwasserreaktoren
H. 10, S. 920

Lauterbach, K., Mandel, H., Haase, H., und Kotschenreuther, H.:
Konzepte für 800-MW-Turbinen der VEAG im Kraftwerk Boxberg und im Gemeinschaftskraftwerk der VEAG/ESPAG am Standort Schwarze Pumpe
H. 6, S. 500–508

Lawlor, G., siehe Leavy, K.:
H. 5, S. 472

Leavy, K., Lawlor, G., und Lyons, J.:
Einrichtung eines Umweltschutzmanagementsystems in einem Wärmekraftwerk
H. 5, S. 472

Leferink, R.G.I., Barten, H., und Huijbregts, W.M.M.:
Diffusionsverchromen von schwachlegierten Stählen als Korrosionsschutzmaßnahme unter sulfidierenden Bedingungen
H. 3, S. 269–275

Lehmann, B., siehe Nobel, W.:
H. 5, S. 473

Lehmann, H.:
Betriebs- und Inbetriebnahmeerfahrungen bei vier Dampferzeugeranlagen mit umgerüstetem GEKO-Vorschubtreppenrost im Heizwerk Friedrichshagen der Energieversorgung Berlin AG
H. 10, S. 882–888

Lehmann, K.-H., siehe Mugrauer, O.:
H. 2, S. 186

Leich, K.E., siehe Ambs, E.:
H. 7, S. 634–641

Leipertz, A., siehe Wintrich, F.:
H. 2, S. 195

Leithner, R., Müller, J., und Schulz, A.:
Simulation zirkulierender Wirbelschichtfeuerungen
H. 2, S. 191

Lendvai, P.:
Krisenzeichen in Südosteuropa – Risiken und Chancen –
H. 12, S. 1008–1013

Leyh, T., Jahr, M., und Gelbe, H.:
Strömungsinduzierte Rohrbündelschwingungen in Wärmeübertragern
H. 2, S. 193

Lichtenauer, Ilse-Marie, siehe Oehmigen, H.-G.:
H. 11, S. 985–988

Lind-Hansen, A., siehe Lindhardt, S.:
H. 6, S. 568

Lindhardt, S., und Lind-Hansen, A.:
Der Block Esbjerg 3 – Erfahrungen aus Inbetriebnahme und erster Betriebszeit
H. 6, S. 568

Lindner, W., siehe Paur, H.-R.:
H. 2, S. 190

Linzer, W., siehe Ponweiser, K.:
H. 2, S. 192

Lisson, G., siehe Höhn, K.-U.:
H. 10, S. 915

Loner, H.:
Thermische Stabilität von Wasserstoffperoxid
H. 10, S. 920

Lovis, M., siehe Bauer, G.:
H. 2, S. 120–124

Lucas, K., siehe Luckas, M.:
H. 2, S. 190

Luckas, M., Lucas, K., und Roth, H.:
Thermodynamik der Phasen- und Reaktionsgleichgewichte von Rauchgas-Wasser-Systemen
H. 2, S. 190

Lyons, J., siehe Leavy, K.:
H. 5, S. 472

Maier, H., siehe Kicherer, A.:
H. 2, S. 189

Maihöfer, A., siehe Braunstein, L.:
H. 5, S. 456–462

Maile, K., Purper, H., und Theofel, H.:
Experimentelle und numerische Untersuchungen an Rohrbögen unter Innendruck mit zusätzlich aufgebrachten Biegemomenten bei Temperaturen im Kriechbereich
H. 2, S. 188

Maile, K., Purper, H., und Theofel, H.:
Experimentelle und numerische Untersuchungen an Rohrbogen unter Innendruck mit zusätzlich aufgebrachten Biegemomenten bei Temperaturen im Kriechbereich (Ergebnisse des VGB-Forschungsprojektes 83)
H. 8, S. 738–743

Mäkelä, K., Perboni, G., und Aaltonen, P.:
Hochtemperaturüberwachung in Kraftwerken
H. 10, S. 919

Mandel, H., siehe Lauterbach, K.:
H. 6, S. 500–508

Märker, W., siehe Bauer, G.:
H. 2, S. 120–124

Martin, J., siehe Busch, M.:
H. 7, S. 614–618

Mathenia, Th.:
Intensive Nutzung von Abwärme in industriellen Ballungsgebieten durch örtliche Energieversorgungsunternehmen
H. 5, S. 405–408

Mathers, N.B.R., siehe Evans, J.:
H. 5, S. 471

Mathers, N.B.R., siehe Evans, J.:
H. 12, S. 1044–1049

Mathieu, Ph., siehe Dechamps, P.J.:
H. 2, S. 187

Mattern, E., siehe Ottenburger, U.:
H. 5, S. 423–428

Mätzing, H., siehe Paur, H.-R.:
H. 2, S. 190

Mayer, K.H., siehe Berger, C.:
H. 6, S. 567

Mayer, M., siehe Klug, P.:
H. 5, S. 471

Mayrhuber, J., und Cerjak, H.:
Überhitzerkorrosion in thermischen Müllentsorgungsanlagen – Ergebnisse aus Feld- und Laborversuchen
H. 2, S. 187

Meier, H.-J., siehe Rehwinkel, H.:
H. 6, S. 529–535

Meier, M., siehe Straub, S.:
H. 8, S. 744–752

Meierer, M., Staudt, U., und Bursik, A.:
Bewertung der verfahrenstechnischen Alternativen zur Entfernung von Ammoniak aus kraftwerksspezifischen Abwässern
H. 5, S. 474

Meiring, F., van der Wal, F., und de Ruijter, J.A.F.:
Thermodynamische Zustandsüberwachung von Kondensatoren
H. 3, S. 219–222

Melzer, B., Seliger, P., und Illmann, W.:
Verbesserte Lebensdauerabschätzung kriechbeanspruchter Rohrbögen mittels bauteilspezifischer Kennwerte
H. 4, S. 394–399

Mercusot, M., Richardson, J., und Wloch, R.:
Eine neue Möglichkeit der On-line-Überwachung und -Kontrolle für Kühlwasserprogramme
H. 10, S. 915

Merzkirch, W., Heckmann, W., Arndt, J., und Granser, D.:
Messung der Strömungsgeschwindigkeit mittels „particle and image velocimetry" in transparenten Modellen von Verdichter-Komponenten
H. 2, S. 195

Meschgbiz, A., siehe Rüsenberg, D.:
H. 2, S. 188

Mesters, K., siehe Krass, K.:
H. 9, S. 841–844

Mesters, K.:
Untersuchungen zur Mobilisierung von leichtlöslichen Salzen aus MV-Asche
H. 12, S. 1058–1061

Meuli, K., siehe Knosala, P.:
H. 10, S. 916

Michaelis, H.:
Langfristige Orientierung im Energiebereich und ihr Einfluß auf Forschung und Entwicklung
H. 8, S. 653–657

Michaelis, R.:
Langfristige Orientierung im Energiebereich und ihr Einfluß auf Forschung und Entwicklung
H. 2, S. 185

Michalak, H., siehe Pachaly, R.:
H. 5, S. 471

Miller, C.L., Hoppe, J.A., und Huber, D.A.:
Die Wirbelschichtfeuerung: eine wichtige Option der Elektrizitätsversorgungsunternehmen für eine saubere Kohletechnologie
H. 2, S. 147–152

Mohrmann, R., Riedel, H., und Sester, M.:
Simulation des Verformungsverhaltens eines Rohrbogens mit Dehnungsmeßstreifen
H. 2, S. 188

Möllmann, A., und Lacour, D.:
Überwachung von organischen Korrosionsschutzsystemen in REA zur Abschätzung der Restlebensdauer
H. 2, S. 153–159

Motzet, H., siehe Oberste-Padtberg, R.:
H. 10, S. 907–910

Muchmayr, B., siehe Prader, R.:
H. 2, S. 188

Mugrauer, O., Becker, D.E., Lehmann, K.-H., und Guglhör, P.:
Strahlenexposition bei der Verwertung von Reststoffen aus der Kohleverbrennung
H. 2, S. 186

Müller, J., siehe Leithner, R.:
H. 2, S. 191

Müller, P., und Reh, L.:
Simultane In-line-Messung von Gas- und Feststoffmassenströmen in Suspensionen
H. 2, S. 194

Müsch, H., siehe Bendick, W.:
H. 3, S. 261–268

Müsch, H., und Remmert, H.:
Richtreihen zur Bewertung der Gefügeausbildung und -schädigung zeitstandbeanspruchter Werkstoffe von Hochdruckrohrleitungen und Kesselbauteilen
H. 2, S. 180–183

Mylonas, J., Rimmelspacher, J., Kremer, H., und Döring, F.:
Explosionsschaden an einem Benson-Kessel der Isar-Amperwerke in Irsching
H. 7, S. 585–590

Neder, H., siehe Dernbecher, B.:
H. 10, S. 915

Neft, H.G., und Franconville, G.:
Neue Dampfturbinenkonzepte für höhere Eintrittsparameter und längere Endschaufeln
H. 5, S. 409–415

Neidel, W., siehe Gohla, M.:
H. 2, S. 194

Nelissen, G.T.M., und Kuntzky, H.-H.:
Kraftwerk mit integrierter Kohlevergasung – Leittechnische Aspekte –
H. 11, S. 992

Neubronner, M., Vortmeyer, D., und Brummel, H.-G.:
Das Wärmestrahlungsverhalten von Flugaschen in Abhängigkeit von ihrer mineralischen Zusammensetzung und der Staubbeladung
H. 2, S. 192

Neumann, K., siehe Gloger, M.:
H. 7, S. 595–601

Niederhoff, K., siehe Zschau, M.:
H. 6, S. 568

Niepel, H., siehe Thielen, W.:
H. 7, S. 608–613

Nijhof, H.H., und Rademacher, F.J.C.:
Ein zuverlässiger Weg zur Lagerung und Wiedergewinnung von REA-Gips
H. 8, S. 705–715

Nobel, W., Häring, S., Beck, A., und Lehmann, B.:
Immissionsschutzrechtliches Änderungsgenehmigungsverfahren mit integrierter Umweltverträglichkeitsuntersuchung für einen 330-MW-(el.)-/280-MW-(th.)Verbundblock als Ersatzanlage bestehender Blöcke am Kraftwerksstandort Altbach/Deizisau
H. 5, S. 473

Noppenau, H., und Hansen, S.:
Designstudie eines kohle- und gasbefeuerten Kraftwerks mit fortgeschrittenen Dampfdaten
H. 6, S. 569

Nordin, S., und Dahl, A.:
Erfahrungen mit der DWSF-Anlage Värtan nach einjährigem Betrieb
H. 4, S. 384–388

Nowak, A.-E., siehe Trost, M.:
H. 2, S. 141–146

Nowitzki, B.:
Katalytische Zerstörung polychlorierter Dibenzodioxine und polychlorierter Dibenzofurane mit Hilfe von Wabenkatalysatoren in Abgasen aus Abfallverbrennungsanlagen
H. 10, S. 917

Oberste-Padtberg, R., Motzet, H., und Spicker, V.:
Herstellung und Verwendung von Alinitzement aus Müllverbrennungsrückständen
H. 10, S. 907–910

Obertacke, R., siehe Wintrich, F.:
H. 2, S. 195

Oehmigen, H.-G., Lichtenauer, Ilse-Marie, und Schlump, W.:
Gefügeuntersuchung an Schweißverbindungen des warmfesten Stahles X 10 CrMoVNb 9 1
H. 11, S. 985–988

Oeljeklaus, G., siehe Pruschek, R.:
H. 2, S. 192

Oeljeklaus, G., siehe Pruschek, R.:
H. 7, S. 577–584

Oleas, J., siehe Blangetti, F.:
H. 6, S. 509–517

Opfermann, R.:
Auswirkungen von EG-Vorgaben auf dem Gebiet der Arbeitssicherheit auf das deutsche Arbeitsschutzrecht
H. 3, S. 283

Ostermann, J., siehe Straub, S.:
H. 8, S. 744–752

Ottenburger, U., und Mattern, E.:
Neue Aspekte in der Wartengestaltung
H. 5, S. 423–428

Pace, St.E., siehe Stenzel, W.C.:
H. 6, S. 569

Pachaly, R., von der Heide, B., und Michalak, H.:
NO_x-Minderung an einem steinkohlebefeuerten Kessel in der ehemaligen ČSFR nach dem NO_x-out-Verfahren
H. 5, S. 471

Pacher, W., und Zechner, F.:
Minimierung von Problemstoffen nach dem System der Müllverbrennungsanlage Spittelau, Wien/Österreich
H. 11, S. 981–984

Pandel, F.W.:
Gegenüberstellung der Wirbelschicht-Prozeßdampferzeuger im Kraftwerk Goldenberg
H. 1, S. 60–69

Papageorgiou, N.G., und Kakaras, E.K.:
Betrachtungen über die Mischverbrennung weicher griechischer Braunkohle mit Steinkohle bzw. mit Braunkohle mit hohem Xylitgehalt
H. 2, S. 189

Pätsch, B., siehe Gutberlet, G.:
H. 10, S. 917

Paur, H.-R., Lindner, W., Mätzing, H., und Schikarski, W.:
Stand der Technik der Rauchgasreinigung durch Elektronenstrahl
H. 2, S. 190

Pavone, D., siehe Weber, E.:
H. 2, S. 188

Pavone, D., siehe Weber, E.:
H. 7, S. 602–607

Pelz, G., siehe Bonn, B.:
H. 2, S. 191

Perboni, G., siehe Mäkelä, K.:
H. 10, S. 919

Peters, R., siehe Fett, F.N.:
H. 3, S. 238–250

Petzel, H.-K., Scholl, G., und Tigges, K.-D.:
Modernste Verbrennungstechnologie zur Primärreduzierung von NO_x
H. 3, S. 231–237

Pfeiffer, F., siehe Baumbach, G.:
H. 2, S. 190

Pfost, H., siehe Poeschl, G.:
H. 2, S. 189

Pietsch, M., siehe Krabbe, H.-J.:
H. 7, S. 631–633

Pietzonka, F., siehe Henry, Ch.:
H. 6, S. 567

Pilbin, M.B., siehe Fitchett, G.:
H. 5, S. 471

Piltz, K., siehe Gieske, F.:
H. 1, S. 10

Pirker, H.P., siehe Jericha, H.:
H. 9, S. 781–786

Pirker, H.P., und Jericha, H.:
Weiterentwicklung des H_2/O_2-Dampfprozesses (Brennkammer und Hochtemperaturturbinen)
H. 2, S. 192

Plotnikov, V.P., siehe Shvarts, A.L.:
H. 6, S. 568

Poeschl, G., Ruhkamp, W., und Pfost, H.:
Schadstoffarme Verbrennung flüssiger Brennstoffe in Gasturbinen durch Vormischung und Vorverdampfung – Potentiale und Grenzen unter Berücksichtigung der Selbstentzündung
H. 2, S. 189

Pommerening, B., siehe Ruppel, I.:
H. 5, S. 471

Ponweiser, K., und Linzer, W.:
Simulation des instationären Wasserumlaufes in einem Naturumlauf-Dampferzeuger
H. 2, S. 192

Prader, R., Muchmayr, B., und Cerjak, H.:
Thermodynamische Berechnung von Diffusionsvorgängen in Gradientenwerkstoffen
H. 2, S. 188

Pranghofer, G.:
Erfahrungen mit Gewebefiltern in der Müllverbrennung
H. 6, S. 541–543

Prinsloo, F., siehe Gutberlet, G.:
H. 10, S. 917

Privik, M., siehe Haschke, M.:
H. 10, S. 916

Pruschek, R., Oeljeklaus, G., Boeddicker, D., und Brand, V.:
Thermodynamische Analyse von Kombi-Prozessen mit integrierter Kohlevergasung und CO_2-Rückhaltung
H. 2, S. 192

Pruschek, R., Oeljeklaus, G., Boeddicker, D., und Brand, V.:
Thermodynamische Analyse von Kombi-Prozessen mit integrierter Kohlevergasung und CO_2-Rückhaltung
H. 7, S. 577–584

Puch, K.-H., siehe vom Berg, W.:
H. 4, S. 378–383

Purper, H., siehe Maile, K.:
H. 2, S. 188

Purper, H., siehe Maile, K.:
H. 8, S. 738–743

Pyykkönen, A., siehe Tiilikka, M.:
H. 5, S. 442–445

***R**ademacher, F.J.C, siehe Nijhof, H.H.:*
H. 8. S. 705–715

Rampp, F., siehe Busch, M.:
H. 7, S. 614–618

Rasmussen, L., siehe van Liere, J.:
H. 6, S. 566

Rau, G., siehe Rost, M.:
H. 6, S. 492–495

Recker, M., Bledau, W., und Kahl, D.:
Modernisierung des Kraftwerksparks in den neuen Bundesländern unter besonderer Berücksichtigung des Umweltschutzes
H. 3, S. 202–208

Recker, M., siehe Eitz, A.W.:
H. 2, S. 185

Recker, M., siehe Eitz, A.W.:
H. 7, S. 573–576

Redmann, E., und Ahrens-Botzong, R.:
Die thermische Behandlung von Autoshredder-Leichtfraktion im Siemens-Schwel-Brenn-Verfahren
H. 7, S. 626–630

Regenbogen, R.W., siehe Koopmann, W.:
H. 11, S. 991

Regler, H.:
Erfahrungen mit dem Flugstromverfahren zur Rauchgasreinigung bei Abfallverbrennungsanlagen
H. 9, S. 816–821

Reh, L., siehe Müller, P.:
H. 2, S. 194

Rehwinkel, H., Meier, H.-J., und v. Wedel, G.:
Stationäre und zirkulierende Druckwirbelschichtfeuerung
H. 6, S. 529–535

Reichhardt, G.:
Wasserstoffexplosion im Werk der Firma Heraeus Quarzglas GmbH, Hanau
H. 8, S. 716–721

Reidick, H., Kessel, W., Bentzin, H., Böse, D., und Franitza, W.:
Betriebsergebnisse am rohbraunkohlebefeuerten 815-t/h-Dampferzeuger mit primärer feuerungsseitiger NO_x-Minderung
H. 6, S. 485–491

Reidick, H.:
Übertragbarkeit der Erfahrungen mit rheinischer Braunkohle auf mitteldeutsche Braunkohle hinsichtlich NO_x-Primärmaßnahmen
H. 5, S. 470

Reidick, H.:
Übertragbarkeit der Erfahrungen mit rheinischer Braunkohle auf mitteldeutsche Braunkohle hinsichtlich NO_x-Primärmaßnahmen
H. 10, S. 897–902

Reiling, W., Rentz, O., und Rothley, G.:
Simulationsmodell zur Bilanzierung von rauchgasseitigen Stoffströmen, dargestellt am Beispiel der REA-Abwasserschlammrückführung der Blöcke 3 und 4 im Grosskraftwerk Mannheim
H. 5, S. 472

Reimche, W., siehe Stegemann, D.:
H. 10, S. 853–860

Reinicke, W.R., und Gilg, J.:
Müssen Schallisolierungen noch besser werden?
H. 5, S. 474

Reischke, A., siehe Kremer, H.:
H. 2, S. 190

Remberg, H.-W., und Fehndrich, B.:
Wirkungsgradverbesserung bei Naturzug-Naßkühltürmen durch Austausch von Asbestzement-Kühleinbauten gegen Kunststoff-Kühleinbauten
H. 5, S. 472

Remmert, H., siehe Müsch, H.:
H. 2, S. 180–183

Rentz, O., siehe Reiling, W.:
H. 5, S. 472

Reuther, D., siehe Rost, M.:
H. 6, S. 492–495

Reynolds, S., siehe Evans, J.:
H. 12, S. 1044–1049

Reynolds, S.K., siehe Evans, J.:
H. 5, S. 471

Richardson, J., siehe Mercusot, M.:
H. 10, S. 915

Richter, H., siehe Bendick, W.:
H. 6, S. 567

Richter, H., siehe Bendick, W.:
H. 12, S. 1062–1069

Richter, M.:
Architektur im Kraftwerksbau
H. 3, S. 276–282

Riedel, H., siehe Mohrmann, R.:
H. 2, S. 188

Rimmelspacher, J., siehe Mylonas, J.:
H. 7, S. 585–590

Ripka, M., und Jensen, S.A.:
Das dänische Forschungs- und Entwicklungsprogramm für die Verwendung des Sprühabsorptionsproduktes
H. 5, S. 473

Roesch, J., siehe Laue, C.:
H. 10, S. 920

Roostgaard, H., siehe Kildsig, F.:
H. 10, S. 918

Rosselet, A., siehe Blum, R.:
H. 6, S. 566

Rost, M., Rau, G., und Reuther, D.:
Entwicklung eines Kraftwerksstandortes am Beispiel des Rheinhafen-Dampfkraftwerkes Karlsruhe (RDK)
H. 6, S. 492–495

Roth, H., siehe Luckas, M.:
H. 2, S. 190

Röthig, J., siehe Kecke, D.:
H. 2, S. 188

Rothley, G., siehe Reiling, W.:
H. 5, S. 472

Rotzoll, G., siehe Klein, M.:
H. 10, S. 917

Rovel, J.M., siehe Coste, C.:
H. 11, S. 992

Ruhkamp, W., siehe Poeschl, G.:
H. 2, S. 189

Rühle, W., Jung, P., und Enkler, G.:
Nuklidspezifische Messungen am Primärkreis einer DWR-Anlage – Ergebnisse und Interpretation aus chemischer Sicht
H. 10, S. 920

Rummenhohl, V., siehe Farwick, H.:
H. 5, S. 437–441

Ruppel, I., und Pommerening, B.:
NO_x-Minderung am erdgasbefeuerten Kraftwerk Moorburg – Schwerpunkte der Projektierung
H. 5, S. 471

Ruprecht, A., Giese, M., und Ginter, F.:
Numerische Berechnung der stationären Kennlinien von Armaturen
H. 2, S. 193

Ruprecht, A., Giese, M., und Ginter, F.:
Numerische Berechnung der stationären Kennlinien von Armaturen
H. 9, S. 798–801

Rüsenberg, D., Brinkmann, K, und Meschgbiz, A.:
Verbrennung von Bodenprodukt und Warmfilterstaub einer Vergasungsanlage in einer Wirbelschichtfeuerung
H. 2, S. 188

Saß, J., siehe Wagner, V.:
H. 5, S. 474

Scarlin, R.B., siehe Berger, C.:
H. 6, S. 567

Scarlin, R.B., siehe Engelke, W.:
H. 6, S. 568

Schäfer, W., siehe Klewer, H.-J.:
H. 2, S. 195

Schedlitzki, D., siehe Fenner, J.:
H. 6, S. 544–550

Schedlitzki, D., siehe Fenner, J.:
H. 10, S. 917

Schedlitzki, D., siehe Gibbesch, B.:
H. 12, S. 1033–1043

Schetter, B., siehe Becker, B.:
H. 11, S. 991

Schetter, G., siehe Christmann, A.:
H. 8, S. 722–729

Schettler, H., siehe Kehr, M.:
H. 6, S. 569

Schettler, H., siehe Kehr, M.:
H. 11, S. 941–946

Schettler, H., siehe Schuster, H.:
H. 5, S. 472

Schießl, P., siehe Härdtl, R.:
H. 2, S. 186

Schießl, P., und Härdtl, R.:
Anrechenbarkeit von Steinkohlenflugasche in Beton
H. 2, S. 185

Schießl, P., und Härdtl, R.:
Anrechenbarkeit von Steinkohlenflugasche in Beton
H. 7, S. 642–645

Schilling, H.-D.:
Perspektiven der Kraftwerkstechnik
H. 5, S. 470

Schilling, H.-D.:
Zukünftige Orientierungen in der Kraftwerkstechnik
H. 8, S. 658–670

Schilling, H.-D.:
Kurzbericht über die Tätigkeit der VGB TECHNISCHEN VEREINIGUNG DER GROSSKRAFTWERKSBETREIBER E.V. 1992/1993
H. 9, S. 757–780

Schilling, H.-D.:
Tendenzen in der Entwicklung der Kraftwerkstechnik
H. 11, S. 991

Schirkarski, W., siehe Paur, H.-R.:
H. 2, S. 190

Schlegel, E., siehe Häußler, Kathrin:
H. 2, S. 186

Schlieben, R., siehe Ambs, E.:
H. 7, S. 634–641

Schlump, W., siehe Oehmigen, H.-G.:
H. 11, S. 985–988

Schmidt, M., siehe Braunstein, L.:
H. 10, S. 916

Schmitt-Tegge, J.D.:
Die Situation der Hausmüll- und Sondermüllverbrennung im Jahre 1992 in der Bundesrepublik Deutschland
H. 8. S. 730–733

Schmoldt, J.:
Kombinierte Wärme- und Schallisolierungen an großflächigen Rauchgasreinigungsanlagen
H. 1, S. 34–41

Schneider, R., siehe Epple, B.:
H. 2, S. 189

Schnell, U., siehe Epple, B.:
H. 2, S. 189

Schnurer, H.:
Thermische Verfahren in der Abfallwirtschaft
H. 6, S. 536–540

Schöckle, F., siehe Bartonicek, J.:
H. 1, S. 48–53

Schöler, J., siehe Fett, F.N.:
H. 3, S. 238–250

Scholl, G., siehe Petzel, H.-K.:
H. 3, S. 231–237

Schöllhorn, K., Ebi, G., und Steigleder, K.:
Frettinganrisse in einem 936-MW-Turbogeneratorrotor
H. 4, S. 340–344

Schöngrundner, W., Hiebler, J., und Zierler, W.:
Betriebserfahrungen mit einer High-dust-SCR-Anlage an einem braunkohlebefeuerten 330-MW-Kraftwerksblock
H. 10, S. 918

Schoppmeier, W.:
Mechanische Aufbereitung von Schlacke aus Müllverbrennungsanlagen mit dem Schwerpunkt Schrott
H. 12, S. 1055–1057

Schreiter, P.:
Konstitution von Braunkohlenfilteraschen und deren Eignung für Bindebaustoffe
H. 2, S. 186

Schröder, S., siehe Kral, R.:
H. 2, S. 187

Schröder, Susanne, siehe Kral, R.:
H. 9, S. 793–797

Schubert, K.:
Unterweisung durch Dialog
H. 3, S. 284

Schuhmacher, K.H.:
Maßnahmen zur Beherrschung von Erosion in Wirbelschichtfeuerungen
H. 3, S. 251–253

Schulz, A., siehe Leithner, R.:
H. 2, S. 191

Schulz, R., siehe Weber, E.:
H. 7, S. 602–607

Schuster, H., Klein, M., Böse, D., Kehr, H., und Schettler, H.:
Entwicklungen und Planungsstudien für braunkohlebefeuerte Dampferzeuger mit hohem Wirkungsgrad und emissionsarmer Feuerung
H. 5, S. 472

Schuster, H., siehe Krautwasser, P.:
H. 6, S. 555–558

Schwarzwalder, H., siehe Ambs, E.:
H. 7, S. 634–641

Schweizer, E.-L., siehe Brunner, A.:
H. 1, S. 42–47

Schwenk, W., siehe Haarmann, K.:
H. 9, S. 837–840

Seliger, P., siehe Melzer, B.:
H. 4, S. 394–399

Sester, M., siehe Riedel, H.:
H. 2, S. 188

Seyfert, N., und Heer, H.:
Verbesserung bestehender Elektrofilteranlagen in Brandenburg
H. 5, S. 472

Shkolnikova, B.E., siehe Shvarts, A.L.:
H. 6, S. 568

Shvarts, A.L., Godik, I.B., Plotnikov, V.P., Shkolnikova, B.E., und Zlepko, V.E.:
Versuchskraftwerksblock SKR 100 Kashira/Rußland mit den Dampfparametern 30 MPa, 650/565 °C; Probleme beim Einsatz spezieller austenitischer Werkstoffe
H. 6, S. 568

Siller, E.:
Arbeitssicherheit – eine Aufgabe für Führungskräfte
H. 3, S. 284

Siller, E.:
Arbeitssicherheit – eine Aufgabe der Führungskräfte
H. 11, S. 954–958

Slabiak, T., siehe Kildsig, F.:
H. 10, S. 918

Sonnenschein, H., siehe Janicka, J.:
H. 2, S. 195

Soodmann, U., siehe Splitt, G.:
H. 10, S. 861–863

Sorensen, J.C., siehe Klosek, J.:
H. 11, S. 992

Sorge, J.N., siehe Hardman, R.R.:
H. 6, S. 523–528

Sorgenfrei, A., siehe Becker, B.:
H. 11, S. 991

Spicker, V., siehe Oberste-Padtberg, R.:
H. 10, S. 907–910

Spiegel, H., siehe Wintrich, F.:
H. 2, S. 195

Spindler, K., Blöchl, H., und Bursik, A.:
10 Jahre Zusatzwasseraufbereitung mit integrierter Umkehrosmose im Grosskraftwerk Mannheim
H. 6, S. 551–554

Spliethoff, H., siehe Kicherer, A.:
H. 2, S. 189

Splitt, G., und Soodmann, U.:
Schraubenspannungsmessung mit Ultraschall
H. 10, S. 861–863

Stahl, K.H.
Ersatzlöschmittel für Halon
H. 6, S. 518–520

Starzer, O., siehe Jericha, H.:
H. 9, S. 781–786

Staudt, U., siehe Meierer, M.:
H. 5, S. 474

Steckel, J.:
Strömungsbedingte Kräfte in Labyrinthdichtungen – Bestimmung, Erklärung, Minimierung –
H. 2, S. 193

Steer, T.:
Neuartiges Konzept zur Simulation von Flatterschwingungen von Turbinenschaufeln
H. 2, S. 193

Stegemann, D., Reimche, W., Beermann, H., und Südmersen, U.:
Nachweis kurzzeitiger Anstreifvorgänge in Dampfturbinen
H. 10, S. 853–860

Steigleder, K., siehe Schöllhorn, K.:
H. 4, S. 340–344

Stellbrink, B.:
Kraftwerk Staudinger – Maßnahmen für den Umweltschutz
H. 5, S. 470

Stellbrink, B.:
Kraftwerk Staudinger – Maßnahmen für den Umweltschutz
H. 9, S. 787–792

Stenzel, W.C., Jerch, R.A., und Pace, St.E.:
Derzeitiger Stand zur Anwendung fortgeschrittener Parameter bei der Auslegung fossilbefeuerter Kraftwerksanlagen in den USA
H. 6, S. 569

Stetter, H., siehe Zimmermann, C.:
H. 8, S. 690–695

Stolte, J.:
Einbau und Prüfung von federbelasteten Sicherheitsventilen
H. 1, S. 54–59

Straub, S., Meier, M., Ostermann, J., und Blum, W.:
Entwicklung der Mikrostruktur und der Festigkeit des Stahles X 20 CrMoV 12 1 bei 823 K während Zeistandbeanspruchung und Glühung
H. 8, S. 744–752

Streiff, F.A., Fleischli, M., Drtina, P., und Lang, E.:
Optimierung von Stickoxidminderungsreaktoren durch statisches Mischsystem und numerische Strömungsberechnungen
H. 5, S. 450–455

Streit, K.:
Hide-out-/Hide-out-Return-Verhalten von Siemens-KWU-Dampferzeugern
H. 10, S. 921

Strienitz, R., siehe Häußler, Kathrin:
H. 2, S. 186

Sturm, A., siehe Ellmer, G.:
H. 2, S. 187

Sturm, A.:
Zustandsbezogene Instandhaltung
H. 12, S. 1028–1030

Styrbro, G.:
Abschlußbericht zur Internationalen VGB-Konferenz „Fossilbefeuerte Dampfkraftwerke mit fortgeschrittenen Auslegungsparametern"
H. 11, S. 925/926

Südmersen, U., siehe Stegemann, D.:
H. 10, S. 853–860

Suhr, S., siehe Wierig, H.-J.:
H. 2, S. 185

Svarc, V., siehe Turyna, R.:
H. 10, S. 914

Szadkowski, D.:
Arbeitsmedizinische Aspekte beim Umgang mit Asbest
H. 3, S. 284

***T**eichert, U.:*
Messung von Faserbelastungen
H. 3, S. 284

Teichert, U.:
Messung von Faserbelastungen
H. 12, S. 1031/1032

Tenckhoff, B.:
Umsetzen der Gefahrstoffverordnung in die Kraftwerksbetriebe
H. 3, S. 283

Tenckhoff, B.:
Umsetzen der Gefahrstoffverordnung in die Kraftwerksbetriebe
H. 10, S. 869–872

Thelen, F.:
Gas-/Dampfturbinenprozesse für feste Brennstoffe mit Druckwirbelschichtfeuerung
H. 2, S. 191

Thelen, F.:
Gas-/Dampfturbinenprozesse für feste Brennstoffe mit Druckwirbelschichtfeuerung
H. 8, S. 671–677

Theofel, H., siehe Maile, K.:
H. 2, S. 188

Theofel, H., siehe Maile, K.:
H. 8, S. 738–743

Thielen, W., Becker, J., und Niepel, H.:
Verbrennung von mit Schadstoffen beladenem Aktivkoks
H. 7, S. 608–613

Tigges, K.-D., siehe Petzel, H.-K.:
H. 3, S. 231–237

Tiilikka, M., und Pyykkönen, A.:
Inbetriebnahme und Betrieb der ZWSF-Anlage im Kraftwerk Seinäjoki/Finnland
H. 5, S. 442–445

Tolksdorf, E., siehe Ambs, E.:
H. 7, S. 634–641

Torssell, K., siehe Henry, Ch.:
H. 6, S. 567

Traupe, A.:
Umgang mit Asbest und asbesthaltigen Produkten
H. 3, S. 283

Trippe, L.M., Brogle, P., und van Millingen, J.D.:
Leistungsmessung im Dauerbetrieb an Dampf- und Gasturbinen mit Torquemetern
H. 9, S. 802–806

Trost, M., Hirschfelder, H., und Nowak, A.-E.:
Betriebserfahrungen mit der Feuerfestauskleidung von drei ZWS-Dampferzeugern im Heizkraftwerk Flensburg
H. 2, S. 141–146

Tscheslog, W., siehe Damjakob, H.:
H. 1, S. 85–92

Turyna, R., und Kysela, J.:
Probleme der Chemie und Korrosion in den Kernkraftwerken der ehemaligen Tschechoslowakei
H. 4, S. 389–393

Turyna, R., und Svarc, V.:
Beitrag zur Überprüfung einiger Gleichungen der Dissoziationskoeffizienten von Ammoniak und Wasser sowie des Verteilungskoeffizienten von Ammoniak im Wasser-Dampfkreislauf von Kernkraftwerken
H. 10, S. 914

***U**mpleby, R.A., siehe Fitchett, G.:*
H. 5, S. 471

***V**. Wedel, G., siehe Rehwinkel, H.:*
H. 6, S. 529–535

Vaillant, J.C., siehe Blum, R.:
H. 6, S. 566

van der Riet, M., siehe Ham, A.J.:
H. 4, S. 370–377

van der Wal, F., siehe Meiring, F.:
H. 3, S. 219–222

van Eldik, R., siehe Gutberlet, G.:
H. 10, S. 917

van Liere, J., Kjaer, S., Koetzier, H., und Rasmussen, I.:
Neuere Kraftwerkskonzepte – ein Vergleich hinsichtlich Wirkungsgrad, Wirtschaftlichkeit, Aufbau und Betriebsgesichtspunkten
H. 6, S. 566

van Liere, J., und Bolt, N.:
Begleitende Werkstoff- und Rückstandsuntersuchungen
H. 11, S. 992

van Millingen, J.D., siehe Trippe, L.M.:
H. 9, S. 802–806

Venkateswarlu, J., siehe Haarmann, K.:
H. 9, S. 837–840

Vetter, H., und Broisch, A.:
Information und Motivation als Führungsinstrumente im Kraftwerksbetrieb
H. 4, S. 362–369

VGB-ABE-Ausschuß:
Betriebserfahrungen mit Kernkraftwerken 1992
H. 4, S. 289–339

VGB-Arbeitsgruppe „Ammoniak-Drucklager":
Lagerung von druckverflüssigtem Ammoniak für die Rauchgasreinigung im Kraftwerk
H. 5, S. 471

VGB-Arbeitsgruppe „N_2O":
N_2O in der Umwelt
H. 2, S. 160–171

Vitanza, C., siehe Karlsen, T.M.:
H. 10, S. 918

vom Berg, W., und Puch, K.-H.:
Verwertung von Rückständen aus Wirbelschichtfeuerungsanlagen
H. 4, S. 378–383

von Borries, W., siehe Katzer, Helga:
H. 2, S. 195

von der Heide, B., siehe Pachaly, R.:
H. 5, S. 471

Vortmeyer, D., siehe Neubronner, M.:
H. 2, S. 192

Vrangos, V., Damjakob, H., und Depe, T.:
Rauchgas-Ableitung über Kühltürme herkömmlicher Bauart und über Kühlkamine
H. 2, S. 187

***W**achter, O., siehe Bendick, W.:*
H. 3, S. 261–268

Wagner, E., siehe Fremuth, W.:
H. 12, S. 1015–1018

Wagner, G.H., siehe Brunner, A.:
H. 1, S. 42–47

Wagner, V., Benzel, F., Bohn, D., und Saß, J.:
Geräuschminderung bei Drosselarmaturen
H. 5, S. 474

Wahren, R., siehe Halliger, H.-L.:
H. 5, S. 463–469

Waltl, J., und Fichte, W.:
Optimierung des Wasser-Dampfkreislaufes eines Zwangdurchlaufkessels durch verfahrenstechnische, betriebliche und chemische Maßnahmen
H. 10, S. 914

Wawrzik, U., und Kassebohm, B.:
Klärschlamm-Mitverbrennung im Kraftwerk Lausward der Stadtwerke Düsseldorf AG
H. 5, S. 473

Weber, E., Hübner, K., Pavone, D., Schulz, R., und Wiggers, H.:
Entwicklungsergebnisse bei der Druckkohlenstaubfeuerung
H. 7, S. 602–607

Weber, E., Pavone, D., und Hübner, K.:
Entwicklungsergebnisse bei der Druckkohlenstaubfeuerung
H. 2, S. 188

Weiler, H., und Hartmann, U.:
Ergebnisse von leckagefreien Wärmetauscher-Pilot-Anlagen zur Rauchgasaufheizung in Kalkwäschen
H. 5, S. 472

Weirich, P.-H., siehe Kotschenreuther, H.:
H. 1, S. 22–28

Weiss, G., Landis, R., und Frey, H.:
Weiterentwicklung der Regel- und Sicherheitssysteme für Dampfturbinen
H. 4, S. 345–351

Weitzer, M., siehe Klug, P.:
H. 5, S. 471

Wellnitz, G., siehe Bendick, W.:
H. 1, S. 77–84

Werner, H.-P., siehe Krabbe, H.-J.:
H. 7, S. 631–633

Wetzl, R., und Kinn, Th.:
Status und Perspektiven der digitalen Kraftwerksleittechnik
H. 5, S. 418–422

Widera, M., siehe Krautwasser, P.:
H. 6, S. 555–558

Wied, W., siehe Braunstein, L.:
H. 5, S. 456–462

Wierig, H.-J., und Suhr, S.:
Frost-Tausalzwiderstand flugaschehaltiger Betone aus trockenen Mischungen
H. 2, S. 185

Wiesemes, K., siehe Gremme, T.:
H. 10, S. 916

Wiggers, H., siehe Weber, E.:
H. 7, S. 602–607

Wilhelm, M., Hölscher, W., und Langen, H.J.:
Umgang mit wassergefährdenden Stoffen im Kraftwerksbetrieb – Das Gefährdungspotential von Verwendungsanlagen (HBV-Anlagen)
H. 10, S. 914

Wilhelm, M., siehe Hölscher, W.:
H. 5, S. 474

Willeboer, W.:
Demonstrationsbetrieb der KV-STEG und die Zukunft der Kohlevergasungstechnik
H. 11, S. 991

Willner, Gudrun, siehe Flörke, O.W.:
H. 2, S. 186

Winkler, R., siehe Dobrevsky, Iv.:
H. 2, S. 172–179

Wintrich, F., Obertacke, R., Spiegel, H., und Leipertz, A.:
Regelung und Kontrolle einer schadstoffarmen Kraftwerksverbrennung über die mehrdimensionale spektroskopische Erfassung von Temperatur und Verbrennungsradikalen
H. 2, S. 195

Wirth, K.-E.:
Wärmeübergang in zirkulierenden Wirbelschichtfeuerungen
H. 2, S. 194

Wirtz, S., siehe Kremer, H.:
H. 2, S. 190

Wittchow, E., siehe Franke, J.:
H. 4, S. 352–361

Wloch, R., siehe Mercusot, M.:
H. 10, S. 915

Wong, M., siehe Klosek, J.:
H. 11, S. 992

Wunder, R.:
Brand im HKW West des VW Kraftwerks GmbH
H. 10, S. 875–879

Wüthrich, C., siehe Führer, K.:
H. 1, S. 29–33

Zechner, F., siehe Pacher, W.:
H. 11, S. 981–984

Zierler, W., siehe Schöngrundner, W.:
H. 10, S. 918

Zijl, G.J.L.:
Kohlevergasung Buggenum – Weichenstellung für eine zukünftige Brennstoffstrategie zur Elektrizitätserzeugung in den Niederlanden
H. 2, S. 102–105

Zimmermann, C., und Stetter, H.:
Einfluß der Radialspiele auf die Diffusorströmung und den Wirkungsgrad einer ND-Modellturbine
H. 8, S. 690–695

Zintl, F.M.:
Zur Abscheidung von elementarem Quecksilber aus inerten oder reduzierenden Gasgemischen
H. 9, S. 822–831

Zipfel, T., siehe Kral, R.:
H. 2, S. 187

Zipfel, Th., siehe Kral, R.:
H. 9, S. 793–797

Zlepko, V.E., siehe Shvarts, A.L.:
H. 6, S. 568

Zon, G.D.:
Die Planung der Demonstrationsanlage KV-STEG in Buggenum
H. 11, S. 991

Zschau, M., siehe Bendick, W.:
H. 1, S. 77–84

Zschau, M., siehe Haarmann, K.:
H. 9, S. 837–840

Zschau, M., und Niederhoff, K.:
Rohrleitungskonstruktion mit den neuen Stählen einschließlich Induktivbiegung
H. 6, S. 568

Züfle, E., siehe Führer, K.:
H. 1, S. 29–33

Zuideveld, P.L., siehe Koopmann, W.:
H. 11, S. 991

Zylla, I., siehe Bendick, W.:
H. 3, S. 261–268

In den 12 Heften des Jahrgangs 73 (1993) sind enthalten:

1	2	3	4	5	6
1 – 96	97 – 198	199 – 288	289 – 404	405 – 484	485 – 572
7	8	9	10	11	12
573 – 652	653 – 756	757 – 852	853 – 924	925 – 996	997 – 1076

Sachverzeichnis 1993

Abblaseleitung für Sicherheitsventile 54

Abfallverbrennung
— Feuerungstechnik 723
— Kapazitätsentwicklung 730
— rechtlicher Rahmen 536
— Rolle in der Abfallwirtschaft 536
— Situation in Deutschland 730

Abfallvermeidung 723

Abschaltversagen
— Armaturen 134

Abscheidung von Quecksilber 823

Abwärmenutzung
in industriellen Ballungsgebieten 405

Abwasser aus REA 979, 1045

Adsorption 822

Aktivkohle 822

Aktivkoksadsorber
— Flugstrom 817
— Rauchgasnachreinigung 807

Aktivkoksbeladung in RNR 807

Aktivkoks-Entsorgung 608, 737, 968

Aktivkoks aus RNR
— Verbrennung 609

Alinitzement
— Herstellung 907
— Müllverbrennungsrückstände 907
— Verwendung 908

Anlagennachrüstung 787

Anlagensanierung 787

Arbeitssicherheit
— Aufgabe der Führungskräfte 954
— Haftungsrisiko der Führungskräfte 958
— interdisziplinäre Zusammenarbeit 873
— Sicherheitsverantwortung in der Linie 874
— Umweltschutz und Arbeitssicherheit 873

Architektur
— Projektstudien 282

Armaturen
— Dampfumformung 947, 1019
— Drehmomentüberhöhung 134
— numerische Berechnung stationärer Kennlinien 798

Arsen
— Verhalten in Feuerungsanlagen und Bilanzierung 254

Aschesysteme von WSF 67

Atoms for Peace 7

Atmosphärenchemie 160

Aufbereitung von MV-Schlacke 1055

Auftauanlagen für Kohle 832

Auslegung und Erfahrungen
in Staudinger 5 927

austenitische Werkstoffe
— Anwendung im Kraftwerksbau 985
— Herstellung und Verarbeitung von Halbzeugen 985
— Betriebserfahrungen 985

Anstreifvorgänge
— Dampfturbinen 853

Auto-Shredder-Leichtfraktion
— thermische Verwertung 619

AWS (siehe Wirbelschicht)

Bekohlungsanlagen
(Kohle- und Kalksysteme) 67, 94, 508, 832

Beladung von A-Koks in der RNR 807

Benson-Dampferzeuger
— Verdampferkonzepte 352

Berechnung (numerisch)
— stationäre Kennlinien von Armaturen 798

Beschaufelung Dampfturbinen 595

Beschichtungen in REA 153

Betriebsanweisung gemäß Gefahrstoff-verordnung 870

Betriebsführungssystem
— integriertes 864

Betriebsversammlung als Mittel
zur Information und Ausbildung 873

Bevorratung von A-Koks 807

Biomassen
— Verbrennung 189, 429
— Vergasung 75, 189, 429

Blasventil für Rußbläser 496

Boxberg und Schwarze Pumpe
— 800-MW-Blöcke der VEAG 941

Brand
— Maschinentransformator 966
— Rauchgasreinigungsanlage 959

Brandauswirkung in einer Rauchgas-reinigungsanlage 561

Brandmeldeanlage mit Lichtwellenleiter-übertragung 880

Brandschaden
— Kraftwerk 875
— Rauchgasreinigungsanlage 959

Brandschutzkonzept
— Verbesserung nach einem Brand 879

Brandschutzmaßnahmen
— nach Maschinentrafobrand 967
— nach Brand in einer REA 963

Braunkohle
— Vergleich Ost – West 897

Brennstoff
— Preise 102
— Versorgung 12, 102, 991

Brüdenbrenner 487

Bunkerbrände in Müllverbrennungs-anlagen 195

Bypass-Systeme für Dampf 947, 1019

Charakterisierung von Kohle
(siehe Kohle-Charakterisierung)

Chlorbutylkautschuk 549

9- bis 12-%-Chromstahl
— Verhalten bei Zeitbeanspruchung 77

Clean Coal Technology 147

CO_2-Abgabe
— zukünftige Orientierungen 668

CO_2-Energiesteuer 893

CO_2-Löschanlagen
— Umrüstung von Halon 519

Dampfeindüsung
— Gasturbinen 125

Dampferzeuger
— Benson-Kessel mit senkrecht-berohrtem Verdampfer 793
— Hideout- und Hideout-Return-Vorgänge 172–179
— Inbetriebnahme/Betriebserfahrungen 927

Dampfparameter, fortgeschrittene 678

Dampfturbinen
— Anstreifvorgänge 853
— 800-MW-Blöcke 500
— Diffusorströmung 690
— höhere Dampfparameter 409
— Kondensator 509
— Konstruktionen 409, 500
— Laufschaufelprofile 130
— ND-Beschaufelung 595
— Radkammerraumgeometrie 696
— Radialspiele 690
— Regelsystem 345
— Runderneuerung 591
— Schwingungsüberwachung 853
— Sicherheitssysteme 345
— ungleichförmige Anströmung 696
— Werkstoffe 409

Dampfumformventile
— Einsatzbereich 947, 1019
— Auslegung 947, 1019
— Konstruktion 947, 1019
— Schallabstrahlung 947, 1019

Datenverarbeitung
— Anwendung für bautechnische Zwecke 113

Demonstrationsanlagen
— Druckfeuerung 384
— Druckvergasung 75/76, 102, 991

DENOX-Anlage
— Schäden an Rußbläsern 496

DENOX-Leittechnik 437

DENOX-REA-Wechselwirkung 437

DENOX-SCR-Anlage 42

Deionat
— Gewinnung mittels Umkehrosmose und Ionenaustausch 551

Diagnosemöglichkeiten für Magnet-ventile 416

Dichtheit
— Flanschverbindung 48

Dichtungskennwerte einer Flansch-verbindung 48

Diffusorströmung
— Dampfturbine 690

Diffusionsverchromen
— Korrosionsschutz schwachlegierter Stähle 269

digitale Kraftwerksleittechnik
— Status und Perspektiven 418

Dissertationen zur Kraftwerkstechnik 480

Drallbrenner 190, 586, 789

Drallströmung 899

Drehmomentmessung
— Dampf-/Gasturbinen 802

Drehmomentüberhöhung bei Armaturen 134

Druck-Flugstromfeuerung (DFI F) 14, 188, 602

Druck-Flugstromvergaser (DFI V) 13, 579

Druck-Kohlenstaubfeuerung
(siehe Druck-Flugstromfeuerung)

Druck-Wirbelschichtfeuerung (siehe Wirbelschicht)

Druck-Wirbelschichtvergaser (siehe Wirbelschicht)

Druckwasserreaktoren
— Chemie und Korrosion in tschechischen Anlagen 389–393
— Hideout-Vorgänge in Wasser-Dampfkreisläufen 172–179

DWSF, DWSV (siehe Wirbelschicht)

Edelstahl 1.4462 45
EG
— fünftes Aktionsprogramm 893
— Großfeuerungsanlagen-Richtlinie Umsetzung 893
— Luftreinhaltegesetzgebung 893
— Umweltpolitik 893
— Umweltschutzgesetze 974
Einbau und Prüfung
— federbelastete Sicherheitsventile 54
Einspritzventile für Dampfumformung 947, 1019
Elektrizitätswirtschaft Österreichs 1015
Emissionen
— aus MVA 723, 982
— aus SMVA 734
Emissionsminderung bei MVA 619
Emissionswerte
— Flugstromverfahren 817
— Grenzwerte für Industriekessel 977
— Gegenstromadsorber 807
— MVA 541
— Trockensorptionsverfahren 541
Energieträgerstruktur
— zukünftige Orientierungen 662
Engineering-Systeme digitaler Leittechnik 421
Entcarbonisierung
— Kühlturmzusatzwasseraufbereitung aus chemischer und biologischer Sicht 631
Entschwefelung
— Sulfatbildung bei der Rauchgasentschwefelung nach dem Wellman-Lord-Verfahren 456
Entsorgung der Kernkraftwerke 199
Entsorgung von A-Koks aus RNR 609, 968
Erfahrungen und Auslegung in Staudinger 5 927
Europas Kraftwirtschaft
— Leistungsanforderungen 11
Eurosilo 705
Exergie als Produktionsfaktor 8
Explosion Wasserstofftank 716
Explosionsschaden NO_x-arme Erdgasfeuerung 585

Faserbelastung
— Grenzwerte am Arbeitsplatz Innenraumbelastung 1031
— Meßverfahren 1031
Fernwärme 787
Festvortrag
VGB-Kongreß „Kraftwerke 1993" 1008
Feuerfest-Auskleidung von Brennkammern 141, 251, 444
Feuerungsregelung in MVA 614
Feuerungstechnik (siehe Biomassen-F., Gas-F., Gasturbinen-F., Druck-F., Müll-F., Öl-F., Rost-F., Schmelz-F., Tangential-F., Wasserstoff-F., Zykloid-F.)
feuerungsseitige NO_x-Minderung bei Rohbraunkohle 485
Flanschverbindung
— Dichtungskennwerte 48
Flockung
— als Vorreinigungsstufe bei der Deionatgewinnung mittels Umkehrosmose und Ionenaustausch 551
Flockungs-Fällungsverfahren
— Kühlturmzusatzwasseraufbereitung aus chemischer und biologischer Sicht 631
Flugasche 822
Flugstaubverschlackung 968
Flugstromadsorber bei MVA 817
Flugstrom-Verbrennung, -Vergasung (siehe Druck-)
Förderung von REA-Gips 705
Forschungsaufgaben der Kraftwerkstechnik 185, 476, 573, 653, 685
Forschungsinstitute für Kraftwerkstechnik 476
Forschungsstiftung, VGB 775
fortgeschrittene Dampfparameter 678
fossilbefeuerte Kraftwerke
— fortgeschrittene Auslegungsparameter 925
— zukünftige Orientierungen 662
fossile Brennstoffe 12, 102, 370, 447
Frettinganrisse
— Generatorläuferschaden 340
Führungsinstrumente im Kraftwerksbetrieb 362
Fürsorgepflicht
— Managementaufgabe 957
Fusionsforschung
— Stand und Aussichten 17

Gasfeuerungen 471, 585, 846
Gasturbinen
— Dampfeindüsung 125
— Feuerungen 189, 846
— Konzepte mit Wassereinsatz 125
GDT-Prozeß 125
Gebläse in REA 1047
Gefahrstoffverordnung
— Auskunftspflicht 870
— Ermittlungspflicht 869
— Kennzeichnungspflicht 870
— Umsetzen in die Praxis 869
Gefügeausbildung zeitstandbeanspruchter Werkstoffe 180
Gegenstromadsorber
— A-Koks 807
Generatorschaden durch Frettinganrisse 340
Gewebefilter in MVA 541
GfK in REA 46, 157, 1033, 1048
globale Erwärmung 974
Großkraftwerksanlagen
— Gesamterscheinungsbild 278
Gummierungen in REA 153, 544, 1048

Halon-Löschmittel
— Ersatz 518
Hastelloy C 276, C 4 44
Heizkraftwerk
— Architektur- und Gestaltungsstudien 281
Herofenkoks 822
HG-Abscheidung 823
Hideout
— in Wasser-Dampfkreisläufen von Kernkraftwerken 172–179
Hochtemperatur
— Gasreinigung 188, 531, 604
— Gasturbine 578
— Dampfturbine 192, 781
— Winkler-Verfahren 188
H_2O_2-Verbrennung (siehe Wasserstoff-Feuerung)
Hybridbrenner 189
hydraulische Stellsysteme für Bypass-Ventile 1019

Importkohle
— Eigenschaften 370
Industrieanlagen
— Eingliederung in Stadt- und Landschaftsräume 276
Industriearchitektur
— Gestaltungsabsichten 276
industrielle Ballungsgebiete
— Nutzung der Abwärme 405
Industriekessel 977
Industriekraftwerke
— Rehabilitierung 209
— mit Wirbelschichtfeuerung 241, 442
Industriezulassungs-Richtlinie 893
Inergen-Löschmittel 521
Instandhaltung
— Nutzen durch zustandsbezogene 1030
— zustandsorientierte 1028
— Einfluß der Diagnosetechnik 1028
— unterschiedliche Kategorien 1029
integriertes Betriebsführungssystem 864
Ionenaustausch
— mit integrierter Umkehrosmose im Grosskraftwerk Mannheim 551
IPC-Richtlinie 893
Ir-Kamera 614
Isolierungen für Wärme und Schall an REA 34

Kennlinien von Armaturen
— numerische Berechnung 798
Kernenergie
— Gedanken zur Veränderung unseres Weltbildes 5
— zukünftige Orientierungen 667
Kernkraftwerke
— Chemie und Korrosion in tschechischen Anlagen 389–393
— Entsorgung 199
— Hideout in Wasser-Dampfkreisläufen 172–179
— künftige Sicherheitsanforderungen 97
— Radiolysegasansammlungen in einer SWR-Anlage 257–260
— terminliche Verwirklichung 110
Kesselspeisepumpe mit Zellradprofil-Spaltringen 223
Kesseltrommel
— Betriebserfahrung mit warmfestem CuNiMo-Stahl 463
Klärschlamm
— Mitverbrennung mit Kohle 473
— Verbrennung 846
Klima
— Beobachtungsdaten 834
Klimaforschung 834
Klimamodell
— gekoppeltes System 834
— Langzeitsimulation 834
Klimaprognose 834
Klimaveränderung
— Nachweisfrage 834
klimawirksames Gas 160
Kohle
— Braunkohlen 62, 189, 486, 897, 915
— Aschegehalt 62, 186, 378, 915
— Ausbrand 373
— Förderanlagen (siehe Bekohlung)
— Kohlegas für Gasturbinen 14
— Lagerung 705
— Mischungen 189

— NO_x-Bildungsneigung 754, 897
— Reaktivität 373
— Schlämme 446, 508
— Steinkohlen 12, 370, 446
— Vergasung (siehe Vergasung)
— Verschlackung, Verschmutzung 489, 990
— Verstromung 22
— Weltvorräte 12
— Zündwilligkeit 189, 373, 754

Kohle-Vergasungsanlagen
— Buggenum 991
— Toms Creek 75

Koksfilter zur RNR, Aufbau 734, 807

kombinierte Wärme- und Schall-isolierungen an REA 34

Kondensator
— Umrüstung 509
— Zustandsüberwachung 129

Kongreß „Kraftwerke 1993" 998

Konvoi-Blöcke der ELSAM 933

Korrosion
— Korrosionsschutz in REA 43, 153, 544, 1033
— spezifische Probleme in tschechischen Kernkraftwerken 389–393

Kosten der REA 1047

Kraftwerke
— Aalborg und Skærbæk, zukünftige 400-MW-Blöcke der ELSAM 933
— BASF-Kraftwerk „Mitte" 42
— Buggenum 991
— Goldenberg 60
— Grosskraftwerk Mannheim, Betriebs-erfahrungen bei der Deionatgewinnung 551
— Kohle-Kombi-Kraftwerke (KKK) 11, 13, 70, 102, 120, 128, 187, 191/192, 566, 577, 663, 671, 992
— Rheinhafen-Dampfkraftwerk Karlsruhe 492
— Ratcliffe der PowerGen 1045
— Schwarze Pumpe und Boxberg, 800-MW-Blöcke der VEAG 941
— Staudinger 787, 927
— Värtan 384
— Völklingen 231

„Kraftwerke 1993", VGB-Kongreß 998

Kraftwerksanlagen
— Anforderungen bei der Gestaltung 277

Kraftwerksbetrieb
— Führungsinstrumente 362

Kraftwerkskapazität
— zukünftige 661

Kraftwerkskühlung
— Maßnahmen der großräumigen Wasserwirtschaft 106

Kraftwerksreststoffe
— Zuständigkeit der Bautechnik 111

Kraftwerksstandort
— Entwicklung 492

Kraftwerkstechnik
— zukünftige Orientierungen 658

Kraftwerkswarte
— Anforderungen 424
— Planung und Auslegung 424

Kraftwirtschaft Europas
— Leistungsanforderungen 11

Kreativität als Produktionsfaktor 8

kriechbeanspruchte Rohrbögen
— Lebensdauerabschätzung 394

kriechdehnungsabhängige Werkstoffschädigung
— zerstörungsfreie Bestimmung durch Neutronen-Kleinwinkelstreuung 555

Krisenzeichen in Südosteuropa (Festvortrag VGB-Kongreß „Kraftwerke 1993") 1008

Kühlwasser
— Aufbereitung aus chemischer und biologischer Sicht 631

Kühlwasserspeicher
— Deckung von Verdunstungsverlusten 108

Kühlturm-Zusatzwasser
— Aufbereitung aus chemischer und biologischer Sicht 631

künftige Kernkraftwerke
— Sicherheitsanforderungen 97

Kunststoffrohre 1033

Kunststoffverwertung 619

Kurzbericht über die Tätigkeit der VGB 1992/1993 757

k-Wert-Erfassung bei Kondensatoren 129

Lager für Speisepumpen
— produktgeschmiert 223

Leittechnik
— Datenkommunikation 420
— digitale 418

Linienverantwortung
— durch Führungskräfte 957

Löschmittel
— Halonersatz 519
— Inergen 521

Lufteintritt
— cw-Werte und Versperrungsgrade 88

Luftstufung 897

Magnetventile
— neue Diagnosemöglichkeiten 416

Maschinentransformatorbrand 966

Membranverfahren zur Wasseraufbereitung
— Umkehrosmose 551

MHD-Kraftwerksprozeß 119, 664

Mikrobiologie
— Kühlturmzusatzwasseraufbereitung aus biologischer Sicht 631

Mit-Verbrennung, -Vergasung 429, 473, 608

Motivation und Information als Führungs-instrumente im Kraftwerksbetrieb 362

Müllverbrennungsanlage
— Anlagendarstellung 981
— Gewebefilter 541
— kamerageführte Feuerungsregelung 614
— Minimierung von Problemstoffen 981
— Wirbelschichtfeuerung 889

Müllverbrennungsanlage (MVA)
— Bonn 619
— Düsseldorf 807
— Geiselbullach 817
— Herten 734
— Ingolstadt 619
— Ludwigshafen 723
— Wien 981

Müllverbrennungsasche
— Auslaugerate 1058
— bautechnische Gesichtspunkte 841
— Bodenwasseranalyse 1058
— Mobilisierbarkeit leichtlöslicher Salze 1058
— Reststoffe 907
— Rohschlacke, Zusammensetzung 1055
— Schlacke 723, 1055
— Schlacke im Straßenbau 841
— Schrott 1056
— Sickerwasseruntersuchung 1058
— Verwertung als Dammbaustoff 1058
— Verwertung im Straßenbau 841
— wasserwirtschaftl. Gesichtspunkte 843

Müllverbrennungsrückstände
— Behandlungsmöglichkeiten und Verwertung 907
— Schrott, Aschen, Neutralisierungs-schlamm 983

Naturzugkühlturm auf Meridionalscheiben 85

Neue Bundesländer
— Modernisierung des Kraftwerkparks 202

ND-Beschaufelung
— Dampfturbinen 595

Nickel
— Verhalten in Feuerungsanlagen und Bilanzierung 254

NO_x-arme Brenner 234, 485, 525

NO_x-Bildung 533, 754, 897, 917

NO_x-CO-Wechselwirkung 897

NO_x-Minderung 787
— bei MVA 619
— Primärmaßnahmen 71, 231, 384, 472, 485, 523, 789, 897
— Sekundärmaßnahmen (DENOX) 71, 190, 450

NO_x-SCR-Anlage 42

N_2O-Bildung 160, 191, 917

N_2O-Emissionen 160

N_2O-Meßproblematik 160

N_2O-Minderung 160, 534

Ölfeuerung 94, 189, 791

Öko-Audit-Verordnung 893

Österreich
— Elektrizitätswirtschaft 1015

On-line-Prediction 427

Organisationsverschulden
— außergewöhnlicher Betriebszustand 873

optische Überwachung, Schaufelschwingen 29

Osmose
— umgekehrte, zur Wasseraufbereitung 551

Oxidation
— Rauchgasentschwefelung nach dem Wellman-Lord-Verfahren 456

Ozonschichtschädigung 160

Polyethylen
— -propylen in REA 1033

primärfeuerungsseitige NO_x-Minderung bei Rohbraunkohle 485

Primärkreislauf
— Hideout-Return bei Abfahrvorgängen 172–179
— Spezifikation in tschechischen Kern-kraftwerken 389–393

Probenahme
— für die Schwermetallbilanzierung in kohle-befeuerten Dampferzeugern mit Rauchgas-reinigungsanlagen 254

Prozeßführung
— verfahrensorientiert 427

Prozeßführungs- und Informationssysteme 420

Prüfung und Einbau federbelasteter Sicherheitsventile 54

Prüfvorschriften für Kunststoffe und Gummierungen 153, 544, 1041

Pumpen in REA 1047

Pyrolyse 626

Qualitätssicherung
— VGB-Maßnahmenkatalog 113
Quecksilber 822
— Verhalten in Feuerungsanlagen und Bilanzierung 254
Quecksilberabscheidung 823

Radialscheiben
— Lichtraumprofil 88
Radialspiele
— Dampfturbine 690
Radiolysegas
— Auftreten in einer SWR-Anlage 257–260
Radkammerraumgeometrie
— Dampfturbinen 696
Rauchgasentschwefelung 787
— Sulfatbildung beim Wellman-Lord-Verfahren 456
Rauchgasentschwefelungsanlage 42, 977, 1045
Rauchgasreinigung 42, 153, 544, 977, 822
— Reststoffverbrennung 977
— Sulfatbildung bei der Rauchgasentschwefelung nach dem Wellman-Lord-Verfahren 456
— Brandschaden 959
— Wärme- und Schallisolierungen 34
Rauchgasrezirkulation 897
REA-Gips-Förderung 705
REA-Gips-Lagerung
— Fließeigenschaften von REA-Gips 705
— Referenz-Siloanlagen 705
Reaktivität (siehe Kohle-Charakterisierung)
Regavo in REA 1047
regenerative Energieträger
— zukünftige Orientierungen 666
Reibungskupplung
— Armaturen-Antrieb 134
Rekombination
— von Radiolysegas in einer SWR-Anlage 257–260
Restmüllqualität 723, 730
Restmüllverwertung 723
Reststoffe aus Kohlekraftwerken
— Verwertung und Vermarktung 112
Reststoffbehandlung bei MVA 983
Reststoffminimierung bei MVA 982
Reststoffverwertung 787
Rohrbögen
— Festigkeitsuntersuchungen innendruckbeanspruchter Teile mit zusätzlichem Biegemoment im Kriechbereich 738
Rohrleitungen aus GFK 1033
Rostaschequalität 723
Rostfeuerungen 883
rotierende Wirbelschicht (siehe Wirbelschicht)
Rotoranriß
— Generator 340
ROWITEC 889
Rückschlagventil
— Düsen und Ringkolben 798
Rückstände aus der thermischen Abfallverwertung 903
Runderneuerung
— Dampfturbine 591
Rußbläser
— Schäden 496

Sanierung eines Brandschadens 877
Sauerstoff-Vergasung 992
saurer Regen 974
SCR, high dust 437
SCR nach REA 437
SCR-Verfahren
— Betriebserfahrung 437
Sekundärkreislauf
— Hideout und Hideout-Return 172–179
— Korrosionsproblem in tschechischen Kernkraftwerken 389–393
Selen
— Verhalten in Feuerungsanlagen und Bilanzierung 254
SIGPRO®
— Speisepumpenkonzept 223
Sicherheitssysteme
— Dampfturbinen 345
Sicherheitsventile
— Einbau und Prüfung 54
Siedewasserreaktoren
— Radiolysegasansammlungen und ihre Vermeidung 257–260
SMVA Herten 734
SNCR-Technik bei MVA 619
Sofortreservebereitstellung im Kraftwerk durch Wasserstoff 433
Sonderabfallverbrennung
— Situation in Deutschland 730
Sonderabfallverbrennungsanlage 734
SO_2-Emissionsminderungsplan in Großbritannien 974
Spaltdichtringe mit Zellenprofil
— Speisepumpen 223
Speisepumpen
— SIGPRO®-Konzept 223
Speisewasser
— Aufbereitung mittels Umkehrosmose und Ionenaustausch 551
Spurenelemente
— Bilanzierung an kohlebefeuerten Dampferzeugern mit Rauchgasreinigungsanlagen 254
Südafrika-Kohle 370

Schäden an Rußbläsern 496
Schalenunterstützung radial ausgerichteter Stützscheiben 85
Schallisolierungen an Rauchgasreinigungsanlagen 34
Schaufelprofile neuer Geometrie 130
Schaufelschwingungen
— optische Überwachung 29
Schlackenaufbereitung 1055
Schmelzfeuerungen 42, 603, 789
Schrägstütze/Radialscheibe
— Tragwirkung 91
Schraubenkräfte
— Flanschverbindung 48
Schraubenspannungsmessung
— Boltmike SMII 862
Schraubenvorspannung
— Meßgenauigkeit 862
Schraubverbindung
— Schraubenspannungsmessung 861
Schrottverwertung bei MVA 1056
Schwefeloxide
— chemische Vorgänge bei der Entfernung aus Rauchgasen nach dem Wellman-Lord-Verfahren 456
Schwefelwasserstoff 822
Schwel-Brenn-Verfahren 626
Schwermetalle
— Verhalten in kohlebefeuerten Dampferzeugern mit Rauchgasreinigungsanlagen 254
Schwermetallgehalte verschiedener Gipsarten 983
Schwingungsüberwachung
— Dampfturbinen 853

Stadtwerke Karlsruhe
— Betriebsdatenerfassung in den KW 215
Stand der Kraftwerkstechnik 658
Steinkohlen (siehe Kohlen)
Stellantriebe für Armaturen
— Drehmomentüberhöhung 134
Stickoxide (siehe NO_x)
Strahlbrenner 488
Strömung in Feuerungen 190, 194, 450, 588
Stromerzeugungstechnik
— zukünftige Orientierungen 658
Stützen im Lufteintritt
— strömungsmechanische Wirkung 85
Stufenverbrennung 486

TA Siedlungsabfall 536, 730
TA Sonderabfall 536
Tagesfragen der Kraftwerkstechnik 1003
Tätigkeitsbericht VGB 757
Tangentialfeuerung 486, 523, 789, 899, 945
thermische Abfallbehandlung 536, 722, 903
thermische Abfallverwertung
— Müllverbrennung 187, 195, 536, 541, 576, 608, 614, 730, 807, 816, 889, 977, 981
— Auswirkung von Verordnungen 723
Thermographie zur Roststeuerung 614
thermodynamische Zustandsüberwachung von Kondensatoren 129
Torquemeter
— Leistungsmessung 802
Treibhauskonzentration 834
Trockenkühlung
— Aussichten für eine Verwendung 110
Trockensorptionsverfahren 541
Turbinen
— Leistungsmessung 802
Turbinenprofil für Schaufeln geringer Höhe 130
Turbinenschaufelschwingungen 29

Umfeldgestaltung
— Bauwerke für die Stromerzeugung 117
Umkehrosmose
— zur Wasseraufbereitung 551
Umrüstung
— Dampfturbinenkondensator 509
Umweltinformations-Richtlinie 893
Umweltschutz in Großbritannien 974
Umweltschutzmaßnahmen 787

Umweltschutzbeauftragter
— betriebliche Organisation 1050
— Entsorgung/Abfall 1050
— Gefahrgut 1050
— Gewässerschutz 1050
— Immissionsschutz 1050
— Strahlenschutz 1050
— Vorschriften 1050

VEAG-800-MW-Blöcke
— in Boxberg und Schwarze Pumpe 941
Ventile
— für Dampfumformung 947, 1019
— mit Magneten, Diagnosemöglichkeiten 416
Verbrennung
— Aktivkoks 608
— Altpapierreste 977
— Fallrohr 370
— Stufen 191, 231
Verbrennungsforschung 70, 189, 190/191, 195, 370, 430
Verbundkraftwerk
— neue Variante des Kombi-Kraftwerks 120
Vergasung
— Flugstrom 102, 991
— Verfahren 75, 104, 187, 663, 991
— Wirbelschicht 75, 992
Vergleich von Wirbelschichtfeuerungen 60, 147, 531, 671
Verschlackung und Verschmutzung 489, 990
Verschleiß 141, 251
Verwertung von MVA-Asche und -Schlacke 841, 903, 1058
Verwertung von Wirbelschichtasche
— Alinitzement 378
— Bergbau 378
— Erd- und Straßenbau 378
— Kalkmineralsteine 378
— Land- und Forstwirtschaft 378
— Portlandzement 378
VGB-Ehrungen 1005
VGB-Forschungsprogramm 185–188, 193, 474 634, 642, 738, 775
VGB-Forschungsstiftung 775
VGB-Tätigkeit 757
Vinylesterharze 45, 1048
Vorspannung
— Schraubenlängung 861

Wartengestaltung
— Aspekte 423
Wasseraufbereitung
— durch Ionenaustausch mit integrierter Umkehrosmose 551
Wasserstoff zur Sofortreservebereitstellung im Kraftwerk 433
Wasserstoffexplosion 716
Wasserstoff-Feuerung 192, 433, 781
wasserwirtschaftliche Anforderungen bei MV-Ascheverwertung 841
Wärmeisolierungen an Rauchgas-reinigungsanlagen 34
Wärmeschaltbild für 800-MW-Anlagen 500
Wärmeübertragung 192, 194
wegabhängige Abschaltung
— Armaturen 134
Wellman-Lord-Verfahren 43
Weltbild
— Gedanken zur Veränderung durch Kernenergie 5
Werkstoffe
— Dampfturbinen 409
Wirbelschichtaschen 67, 186, 378
— chemische Zusammensetzung 378
— Dichte 378
— mineralogische Zusammensetzung 378
— Korngrößenverteilung 378
Wirbelschichtaschen, Verwertung
— Alinitzement 378
— Erd- und Straßenbau 378
— Kalkmineralsteine 378
— Land- und Forstwirtschaft 378
— Portlandzement 378
Wirbelschicht-Feuerung (WSF)
— Anlage Emile Huchet 446
— Anlage Flensburg 141
— Anlage Grenaa 430
— Anlage Goldenberg 60
— Anlage Karhula 71
— Anlage Leverkusen 241
— Anlage Moabit 244
— Anlage Norrköping 74
— Anlage Seinäjoki 442
— Anlage Tampere 72
— Anlage Värtan 384
— Druck (DWSF) 70, 147, 191, 384, 508, 529, 575
— rotierende 889
— stationäre atm. (AWSF) 72, 529
— Vergleiche 60, 147, 531, 671
— zirkulierende atm. (ZAWSF) 60, 73, 141, 147, 191, 238, 241, 244, 442, 446, 530
Wirbelschicht-Brenn-kammerauskleidung 64, 141, 251, 444, 448
Wirbelschicht-Düsenboden 65
Wirbelschicht-Feuerfestausmauerung (siehe Brennkammer)
Wirbelschicht-Rückführzyklone 65, 243, 252
Wirbelschichtverbrennung 70, 75, 188, 191, 846, 889
— zur Abfallverwertung 889
Wirbelschichtvergasung (WSV) 75, 188, 992
Wirkungsgrad von Steinkohle-Kraftwerken 12–15, 26, 120, 602, 935
wirtschaftliche Kohleverstromung
— zukünftige 22
Wissenschaft
— Kraftwerkskomponenten 560
— Maschinentechnik 912
WSF (siehe Wirbelschicht)
WSV (siehe Wirbelschicht)

X 10 CrMoVNb 9 1
— Einsatz im Kraftwerk Tiefstack 643
— Gefügeuntersuchungen an Schweißverbindungen 985
— Hochtemperatur-Korrosionsbeständigkeit im Vergleich zu legierten warmfesten ferritischen Chromstählen 837
X 20 CrMoV 12 1
— Betriebsbeanspruchung, Zeitstandschädigung 261
— Mikrostrukturentwicklung bei Zeit-beanspruchung und Glühung 744

Zündwilligkeit (siehe Kohlecharakterisierung)
Zuleitung für Sicherheitsventile 54
Zusammensetzung von MV-Rohschlacke 1055
ZWSF (siehe Wirbelschicht)
Zykloidfeuerung für Aktivkoks 610
Zyklone (siehe Wirbelschicht)

Persönliches 1993

Adrian, Fritz,
Bundesverdienstkreuz
H. 5, S. 483

Ann, Holger,
mit Ehrendoktorwürde ausgezeichnet
H. 8, S. 755

Baumann, Hans
Karl-Winnacker-Preis
H. 6, S. 570

Bechtold, Klaus,
in den BEWAG-Vorstand berufen
H. 9, S. 848

Beer, Oskar,
im Ruhestand
H. 8, S. 755

Bohn, Thomas,
Bundesverdienstkreuz am Bande
H. 11, S. 993

Braun, Bruno O.,
Vorsitzender des Vorstandes der Holding AG
der TÜV-Rheinlandgruppe und Vorsitzender
der Geschäftsführung des TÜV Rheinland e.V.
H. 2, S. 196

Brehm, Georg,
neuer Leiter des Kraftwerkes Staudinger
H. 7, S. 649

Brüderlin, Heinz,
65 Jahre
H. 2, S. 196

Brüderlin, Heinz,
Bundesverdienstkreuz erster Klasse, im Ruhestand
H. 4, S. 401

Brüderlin, Heinz,
aus TWS-Vorstand ausgeschieden
H. 6, S. 570

Buxmann, Joachim,
60 Jahre
H. 7, S. 649

Carle, Remy,
Vorsitzender der WANO
H. 4, S. 401

Carle, Rémy,
Bundesverdienstkreuz 1. Klasse
H. 7, S. 649

Dibelius, Günther,
70 Jahre
H. 1, S. 95

Erythropel, Hermann,
gestorben
H. 2, S. 196

Freitag, Alfred,
im Ruhestand
H. 1, S. 95

Gieske, Friedhelm,
65 Jahre
H. 1, S. 95

Gramatke, Joachim,
gestorben
H. 9, S. 848

Groh, Kurt,
Leiter des Bereiches Energiewirtschaft und
Technik der Energieversorgung Ostbayern AG
H. 1, S. 95

Hagenmeyer, Ernst,
zum Honorar-Professor ernannt
H. 12, S. 1071

Harig, Hans-Dieter,
Vorstandsvorsitzender der PreussenElektra
H. 2, S. 196

Hartmann, Ulrich,
Vorsitzender des Aufsichtsrates
der PreussenElektra
H. 6, S. 570

Heinbuch, Rudolf,
60 Jahre
H. 6, S. 570

Heizmann, Peter,
stellvertretender Geschäftsführer
der LTG Lufttechnische GmbH
H. 2, S. 196

Kantner, Armin,
65 Jahre, 25jähriges Dienstjubiläum, im Ruhestand
H. 4, S. 401

Kassebohm, Borchert,
gestorben
H. 9, S. 848

Kiesling, Josef,
gestorben
H. 8, S. 755

Klöditz, Detlef,
Mitglied des VDI-Präsidiums,
H. 2, S. 196

Knizia, Klaus,
im Ruhestand
H. 1, S. 95

Knoche, Karl-Friedrich,
60 Jahre
H. 12, S. 1071

Krämer, Hermann,
aus dem PreussenElektra-Vorstand ausgeschieden
H. 2, S. 196

Linnebach, Klaus,
Vorstandsvorsitzender der ABB Kraftwerke AG
H. 5, S. 483

Lütkestratkötter, Herbert,
Vorsitzender bei Lahmeyer International GmbH
H. 7, S. 649

Maikranz, Franz,
80 Jahre
H. 2, S. 196

Mutius, Ludwig A. von,
in der Geschäftsführung von Lahmeyer
H. 7, S. 649

Natusch, Klaus,
60 Jahre
H. 11, S. 993

Otting, Heinz-Friedrich,
65 Jahre
H. 5, S. 483

Paierl, Herbert,
im Vorstand der STEWEAG
H. 8, S. 755

Pickel, Ernst,
KWO-Geschäftsführer
H. 2, S. 196

Pohr, Michael,
im Vorstand der Asea Brown Boveri AG
H. 1, S. 95

Potthast, Ulrich,
Vorstandsvorsitzender der VKR
H. 4, S. 401

Sachs, Hartmut,
im Ruhestand
H. 7, S. 649

Schäfer, Dietrich,
ABB-Geschäftsbereichsleiter Dampfkraftwerke
für Energieversorgungsunternehmen
H. 5, S. 483

Scheck, Günter,
Vorstandsvorsitzender der TWS
H. 6, S. 570

Schenk, Herbert,
im Ruhestand
H. 2, S. 196

Scherer, Viktor,
Heinrich-Mandel-Preis 1993
H. 11, S. 993

Schiele, Otto H.,
Grashof-Gedenkmünze
H. 5, S. 483

Schießl, Peter,
50 Jahre
H. 6, S. 570

Schnelle, Winfried,
50 Jahre
H. 1, S. 95

Schulten, Rudolf,
70 Jahre
H. 8, S. 755

Schulten, Rudolf,
mit Ehrendoktorwürde ausgezeichnet
H. 12, S. 1071

Schumann, Horst,
gestorben
H. 9, S. 848

Schwirten, Dieter,
neuer LAUBAG-Vorsitzender
H. 9, S. 848

Specks, Rudolf,
65 Jahre
H. 5, S. 483

Stäbler, Karl,
Leiter des VDEW-Fachausschusses Kernenergie
H. 4, S. 401

Stellbrink, Bernhard,
im Ruhestand
H. 7, S. 649

Stiller, Hans-Joachim,
Kraftwerksleiter des Steinkohlekraftwerkes
der Main-Kraftwerke AG
H. 1, S. 95

Tiktak, Albert,
Offizier des Ordens Oranje Nassau
H. 5, S. 483

VGB-Vorstand,
Änderungen
H, 11, S. 993

von Hörde, Klaus R.,
Vorstandsvorsitzender der Carl Schenck AG
H. 1, S. 95

von Koerber, Eberhard,
bei ABB für Europa einschließlich der GUS
verantwortlich
H. 9, S. 848

von Weihe, Alfred,
gestorben
H. 2, S. 196

Wechselblatt, Paul,
65 Jahre
H. 9, S. 848

Weinländer, Walter,
tödlich verunglückt
H. 8, S. 755

Wenk,
stellvertretender technischer Geschäftsführer
der KWO
H. 2, S. 196

Wohlfart, Hans,
AiF-Präsident
H. 1, S. 95

Wöll, Erwin,
im Ruhestand
H. 1, S. 95

Zedtwitz-Arnim, Georg-Volkmar Graf,
verstorben
H. 7, S. 649

Ziegler, Fritz,
Vorsitzender des Vorstandes
der Vereinigten Elektrizitätswerke Westfalen AG
H. 1, S. 95

Buchbesprechungen 1993

Abwehr betrieblicher Störfälle: Brandschutz – Umweltschutz – Werkschutz
H. 2, S. 133

Abwehr betrieblicher Störfalle: Brandschutz – Umweltschutz – Werkschutz
H. 12, S. 1075/1076

Chancen und Risiken der künftigen Weltenergieversorgung
H. 12, S. 1075

Coal-fired magnetohydrodynamic (MHD electric power generation
H. 2, S. 119

Dampfkesselbestimmungen
H. 10, S. 860

Deutscher Ausschuß für Stahlbeton H. 434
Beurteilung der Wirksamkeit von Steinkohlenflugaschen als Betonzusatzstoff
H. 12, S. 1018

Die Energiefrage – Entdeckung ihrer ethischen Dimension
H. 6, S. 491

DIN Taschenbuch 229: Durchflußmessungen von Fluiden in geschlossenen Leitungen mit Drosselgeräten, Blenden, Düsen und Venturirohre
H. 12, S. 1076

Elektrischer Eigenbedarf: Energietechnik in Kraftwerken und Industrie
H. 12, S. 1076

Erneuerbare Energien – Erzeugung, Speicherung, Einsatzmöglichkeiten
H. 12, S. 1076

Fachwörterbuch Elektrotechnik – Elektronik
H. 12, S. 1069

Grundlagen der Meßtechnik
H. 2, S. 119

Handbuch des Deutschen Wasserrechts: Neues Recht des Bundes und der Länder
H. 11, S. 996

Immissionsschutz – Kommentar zum Bundes-Immissionsschutzgesetz und Textsammlung
H. 12, S. 1069

Kreativität, Energie und Entropie – Gedanken gegen den Zeitgeist
H. 6, S. 540

Lagerung und Transport wassergefährdender Stoffe (LTwS)
H. 11, S. 996

Musteranlage der Energiewirtschaft Band 19: Heizkraftwerk Tiefstack der HEW
H. 6, S. 543

Perspektiven für Energie-Ingenieure
H. 6, S. 543

Praxis der Umweltverträglichkeitsprüfung für Klärwerke, Verbrennungsanlagen und Deponien
H. 6, S. 554

Schaltungen und Systeme großer thermischer Kraftwerke
H. 6, S. 491

Sicherheit in der Rohrleitungstechnik
H. 6, S. 491

Sicherheitstechnik
H. 6, S. 572

Sicherheitstechnik
H. 10, S. 860
Sicherheitstechnik
H. 12, S. 1075

Strömungs- und Durchflußmeßtechnik
H. 2, S. 133

Supraleitung und Tieftemperaturtechnik
H. 6, S. 572

TK-Software „Steuer 1992" – Empfehlenswertes Programm für Steuer-Laien
H. 4, S. 399

TRD – Technische Regeln für Dampfkessel
H. 10, S. 860

Umwelt und Entsorgungstechnik, Entsorgungspraxis-Bau- und Verfahrenstechnik
H. 10, S. 860

VDI-Lexikon Meß- und Automatisierungstechnik
H. 4, S. 399

Wirbelschichttechnik in der Energiewirtschaft
H. 2, S. 197

VGB Kraftwerks-technik

Organ der VGB
Technischen Vereinigung der
Großkraftwerksbetreiber e.V.

Internationale Fachzeitschrift
für Technik in Kraftwerken
74. Jahrgang (1994)
Hefte 1 – 12

Herausgeber

VGB TECHNISCHE VEREINIGUNG DER GROSSKRAFTWERKSBETREIBER E.V.

Vorsitzender: Professor Dr. W. Hlubek, Essen;
Geschäftsführer: Professor Dr. rer. nat. H.-D. Schilling, Essen.

Anschrift der Redaktion

VGB TECHNISCHE VEREINIGUNG DER GROSSKRAFTWERKSBETREIBER E.V.
Klinkestraße 27–31, D-45136 Essen, Postfach 10 39 32, D-45039 Essen,
Telefon (02 01) 48 62-6 86/6 87, Telefax (02 01) 48 62-6 88, Telex 857 707 vgb d.

Chefredaktion

Chefredakteur: Oberingenieur Dipl.-Ing. H. Bleßmann, Essen;
Redaktionsassistentin: Rita Maria Wilke, Essen.

Redaktion

Oberingenieur Dr.-Ing. W. vom Berg, Essen;
Oberingenieur Dr. rer. nat. B. Forck, Essen;
Oberingenieur Professor Dr.-Ing. J. Jacobs, Essen;
Abteilungsdirektor Dipl.-Ing. K. Plate, Essen;
Abteilungsdirektor Dr.-Ing. G. Schlegel, Essen;
Abteilungsdirektor Dr.-Ing. E. Tolksdorf, Essen;
Oberingenieur Dipl.-Ing. G. Welten, Essen.

Wissenschaftlicher Redaktionsbeirat

Professor Dr. J. Béer, Cambridge, Massachusetts/USA;
Professor Dr. techn. Th. Bohn, Essen;
Professor Dr.-Ing. F. Brandt, Darmstadt;
Professor Dr.-Ing. J. Buxmann, Hamburg;
Professor Dr.-Ing. G. Dibelius, Aachen;
Professor Dr.-Ing. H. Kremer, Bochum;
Professor Ir. J.J.C. van Lier, Delft/Niederlande;
Professor Dipl.-Ing. Dr. techn. W. Linzer, Wien/Österreich;
Professor Dr. techn. O.I. Martynova, Moskau/Rußland;
Professor Dr.-Ing. L. Müller, Berlin;
Professor Dr. rer. nat. R. Schulten, Aachen.

Technischer Redaktionsbeirat

Dipl.-Ing. R. Aarni, Helsinki/Finnland;
Betriebsdirektor Dipl.-Ing. K. Bers, Berlin;
Dr. techn. H. Breidenbach, Essen;
Dr. rer. nat. J. Ernst, Hamburg;
Dipl.-Ing. J. Garleff, Hamburg;
Abteilungsdirektor Dr.-Ing. G. Haag, Stuttgart;
Dipl.-Ing. Dr. techn. F. Janitschek, Klagenfurt/Österreich;
Direktor Dr. rer. nat. D. Kallmeyer, Essen;
Direktor Dipl.-Ing. ETH K. Küffer, Baden/Schweiz;
Direktor Dr.-Ing. E.h. Dipl.-Ing. R. Mäule, Esslingen;
Direktor Dipl.-Ing. J. Schulte, Leverkusen.

Vertrieb und Anzeigenverwaltung

VGB-KRAFTWERKSTECHNIK GmbH
Klinkestraße 27–31, D-45136 Essen, Postfach 10 39 32, D-45039 Essen,
Telefon (02 01) 48 62-6 80/6 81/6 83, Telefax (02 01) 48 62-6 88, Telex 857 707 vgb d.
Verantwortlich für Vertrieb und Anzeigenteil: R. Rätz.

Erscheinungsweise

monatlich, außerdem erscheint zeitlich verschoben eine englische Fassung der Hefte.

ISSN 0372-5715

Jahresinhaltsverzeichnis 1994

Verfasserverzeichnis 1994

Aaltonen, P., siehe Saario, T.:
H. 11, S. 1015

Abel, T., siehe Effenberger, H.:
H. 9, S. 755–761

Abt, K.O., siehe Hansmann, G.:
H. 11, S. 1003

Adlhoch, W., siehe Schiffer, H.-P.:
H. 11, S. 1004

Adlhoch, W., und Bolt, N.:
Möglichkeiten zur Weiterentwicklung der Kombi-Kraftwerkstechnik
H. 7, S. 609–612

Albert, F., und Schirmer, U.:
Betrieb von Hausmüllverbrennungsanlagen mit Restmüll
H. 5, S. 442–445

Albrechtsen, C.:
Betrieb einer GUD-Anlage ohne örtliche Beaufsichtigung
H. 9, S. 769–771

Arnoldt, C., siehe Hancke, Tania:
H. 2, S. 164

Arnswald, W.†, Kempkes, B., Wellnitz, G., und Zschau, M.:
Gegenwärtiger und zukünftiger Einsatz des 9%igen Chromstahles X 10 CrMoVNb 9 1 in Kraftwerken
H. 3, S. 230–235

Aumüller, A., siehe Rych, H.-G.:
H. 5, S. 449–453

Bacher, P., siehe Fabian, H.-U.:
H. 12, S. 1032–1036

Backes, H.-P.:
Betonzusatzstoff (FA) – Qualität von der Produktion bis zur Anwendung
H. 10, S. 894–896

Bandholz, K.-D., siehe Sacher, H.:
H. 2, S. 159

Bannwarth, H.:
Gipsaschen, eine Alternative zur Kalkung mit kohlensauren Kalken
H. 3, S. 257

Barlmeyer, N., und Rall, H.-E.:
Wirtschaftliche Druckluftstation im Dampfkraftwerk Gaisburg der Technischen Werke Stuttgart
H. 4, S. 373–375

Bartelink, M., van der Veen, E., und Voß, W.:
Gemeinsame, zukunftweisende, kommunale und industrielle Energieversorgung
H. 8, S. 663–666

Bartonicek, J., und Schöckle, F.:
Voraussetzungen für eine gesicherte und reproduzierbare Montage einer Stopfbuchspackung (Kennwerte und Montageverfahren)
H. 2, S. 160

Bartonicek, J., Wich-Schwarz, S., Hartmann, A., und Schöckle, F.:
Einfluß der Montage auf die Dichtheit von Flanschverbindungen
H. 4, S. 402

Baßow, C., Cossmann, R., und Schreier, W.:
Primärmaßnahmen zur NO_x-Reduzierung an gasbefeuerten Dampferzeugern
H. 11, S. 1008

Bauer, F., siehe Bergmann, H.:
H. 11, S. 1003

Baum, H.J.:
Materialauswahl und QS-Richtlinien für REA-Waschwasserleitungen aus Edelstahl für das HKW Lichterfelde
H. 2, S. 161

Baumann, D., und Dämmig, S.:
Erfahrungsbericht Dampferzeugeraustausch im Kernkraftwerk Beznau I
H. 2, S. 162

Becker, U., siehe Rohler, K.:
H. 8, S. 676–681

Becker, U., und Rohler, K.:
Berührungsloses Einmessen von Rohrleitungen in Kraftwerksanlagen
H. 4, S. 401

Beier, W., siehe Schenkel, W.:
H. 3, S. 236–242

Bendick, W., siehe Blum, R.:
H. 8, S. 641–652

Benesch, W., und Schnadt, K.:
Auswirkungen von Brennstoffwechseln
H. 11, S. 1005

Berger, Chistina, Mayer, K.H., und Scarlin, R.B.:
Turbinenkonstruktionen mit neuen Stählen für hohe Dampfparameter, Teil 1: Ergebnisse der Werkstoffentwicklung
H. 4, S. 338–345

Bergmann, D., und Schetter, B.:
Kohlegas-Kraftwerk Buggenum
H. 6, S. 532–536

Bergmann, H., und Bauer, F.:
Entwicklungspotentiale der Braunkohle-Kraftwerkstechnik
H. 11, S. 1003

Bettenworth, H., Weinig, J., und Bursik, A.:
Biologische Elimination von Stickstoffverbindungen aus REA-Abwasser
H. 11, S. 1014

Bietenbeck, F., siehe Rohler, K.:
H. 10. S. 831–836

Bilger, H., Hartel, W., und Ringeis, W.:
Neue Leichtwasserreaktorkonzepte mit passiven Sicherheitseigenschaften
H. 2, S. 103–108

Bischler, R., siehe Buschmann, M.:
H. 12, S. 1037–1040

Blaser, W., und Robinson, R.N.:
Zink-Dosierung im Kernkraftwerk Leibstadt – bisherige Betriebserfahrungen –
H. 11, S. 1015

Blind, D., siehe Läpple, V.:
H. 9, S. 797–803

Blum, R., Hald, J., Bendick, W., Rosselet, A., und Vaillant, J.C.:
Neuentwicklungen hochwarmfester ferritisch-martensitischer Stähle aus den USA, Japan und Europa
H. 8, S. 641–652

Blume, R., siehe Nerger, D.:
H. 10, S. 867–872

Böhm, H.:
Fossilbefeuerte Kraftwerke
H. 3, S. 173–186

Bolt, N., siehe Adlhoch, W.:
H. 7, S. 609–612

Böse, D., siehe Schuster, H.:
H. 1, S. 30–35

Bosholm†, J.:
Stoffaustrag beim Verdampfen borsäurehaltiger Abwässer
H. 5, S. 454–457

Braun, P., Kinzel, H., und Förster, Th.:
Das Brandmeldesystem List in den Bekohlungsanlagen des Heizkraftwerks Heilbronn der Energie-Versorgung Schwaben AG
H. 1, S. 51–53

Braunstein, L., Schmidt, M., und Gropp, K.:
Einsatz eines Laboranalysators zur Bestimmung von Ammoniak im Rauchgas
H. 8, S. 701–704

Braunstein, L., siehe Wied, W.:
H. 11, S. 1016

Broda, J., siehe Haschke, M.:
H. 6, S. 549–551

Broda, J., siehe Saretz, M.:
H. 2, S. 161

Buddas, T., siehe Saario, T.:
H. 11, S. 1015

Burchhardt, U., Laux, C.H., und Eichhorn, G.:
Neue Größenordnung von Speisepumpen in den 800-MW-Braunkohleblöcken der VEAG
H. 6, S. 469–478

Burmester, K., siehe Schopf, N.:
H. 12, S. 1041–1046

Bursik, A., siehe Bettenworth, H.:
H. 11, S. 1014

Bursik, A., siehe Meierer, M.:
H. 8, S. 657–662

Bursik, A., und Staudt, U.:
Derzeitiger Stand der chemischen Konditionierung von Wasser-Dampfkreisläufen in Anlagen mit Umlaufkesseln
H. 11, S. 1013

Bursik, A.:
Elektrische Leitfähigkeit des Betriebsmittels im Wasser-Dampfkreislauf
H. 6, S. 543–548

Bursik, A.:
Einsatz von organischen Konditionierungsmitteln und Sauerstoffbindemitteln in Kraftwerken
H. 11, S. 1013

Buschmann, M., Bischler, R., Kowatsch, H., und Killinger, E.:
Moderne Abhitzekessel in GuD-Anlagen
H. 12, S. 1037–1040

Busse, L., siehe Engelke, W.:
H. 4, S. 346–360

Camsey, G.T.B.:
Der Energiemarkt in Großbritannien
H. 2, S. 95–98

Chalupnik, R., siehe Krautz, H.-J.:
H. 11, S. 1010

Chirica, E., siehe Chirica, M.:
H. 11, S. 1013

Chirica, M., und Chirica, E.:
Aspekte der chemischen Konditionierung von Wasser-Dampfkreisläufen rumänischer Hochdruckkessel
H. 11, S. 1013

Christill, M., siehe Kolb, T.:
H. 11, S. 1012

Clausen, J.C., siehe Noer, M.:
H. 4, S. 317–321

Cordemann, Antjelina, Damaske, O., und Schlaak, M.:
Messung von Öl auf Wasser
H. 4, S. 386–388

Cossmann, R., siehe Baßow, C.,
H. 11, S. 1008

Cowan, R.L.:
Optimierung der Wasserchemie in amerikanischen SWR-Anlagen
H. 11, S. 1015

Czekalla, N., siehe Jonas, K.:
H. 11, S. 1005

Dämmig, S., siehe Baumann, D.:
H. 2, S. 162

Damaske, O., siehe Cordemann, Antjelina:
H. 4, S. 386–388

David, P., siehe Schöntag, W.:
H. 11, S. 1014

Daxböck, W., siehe Rych, H.-G.:
H. 5, S. 449–453

de Jong, J.B.R.M., siehe Droog, H.A.:
H. 12, S. 1028–1031

de Kluyver, J.P., und Gast, C.H.:
Betriebserfahrungen mit NO_x-armen Brennern in den Niederlanden
H. 11, S. 1006

de Temple, B.E.R.J.:
Gestützte Weichstoff-Kompensatoren für Gas-Dampfturbinen-Kombi-Block-Kraftwerke
H. 9, S. 762–768

de Winter, H.M.J., siehe Willeboer, W.:
H. 11, S. 1006

de Winter, H.M.J., siehe Zon, G.D.:
H. 5, S. 436–441

Deimel, P., siehe Läpple, V.:
H. 9, S. 797–803

Delot, P., siehe Jacquet, L.:
H. 11, S. 1010

Der VGB-Kongreß „Kraftwerke 1994"
H. 11, S. 905–913

Dietmann, H., und Kockelmann, H.:
Verwendung der Gestaltänderungsenergiehypothese im Anwendungsbereich der KTA-Regeln
H. 6, S. 498–508

Dillmann, H.G., siehe Martinsteg, H.:
H. 4, S. 403

Djakow, A.F.:
Reformen der Leitung der russischen Stromwirtschaft
H. 2, S. 89–94

Doležal, R.:
Heißdampfspeicher auf der Basis eines GuD-Durchlauf-Abhitzekessels
H. 1, S. 36–38

Dorn, I.H., siehe Kolb, T.:
H. 11, S. 1012

Dragos, L., siehe Flueraru, C.:
H. 11, S. 1010

Droog, H.A., de Jong, J.B.R.M., und Kok, M.J.:
Zukünftige Entwicklungen der Energiewirtschaft in den Niederlanden
H. 12, S. 1028–1031

Dubslaff, E., Kahlert, J., Kube, D., und Lipinski, B.:
Abwicklung und erste Ergebnisse der Ertüchtigungsmaßnahmen am 500-MW-Block Boxberg P
H. 9, S. 787–789

Effenberger, H., Furumoto, H., und Abel, T.:
Optimaler Betrieb eines MgO-Rückgewinnungskessels durch wissensbasierte Prozeßführung
H. 9, S. 755–761

Egeler, R.:
Betriebserfahrungen mit Flugstromverfahren zur Dioxinminderung
H. 11, S. 1012

Eggert, H.:
Der vollverschweißte Plattenwärmetauscher als Heizungs- und Niederdruckvorwärmer im Kraftwerk
H. 4, S. 400

Eichholtz, A., Hourfar, D., und Kübler, D.:
Der 700-MW-Steinkohleblock der VEBA Kraftwerke Ruhr AG in Gelsenkirchen-Heßler
H. 1, S. 25–29

Eichhorn, G., siehe Burchhardt, U.:
H. 6, S. 469–478

Eiken, W., siehe Hagen, K.:
H. 11, S. 1014

Eisenbeis, H., Oleas, J., Hosp, A., und Horlacher, H.:
Einsatz von Hochgeschwindigkeitsabscheidern (MOPS/SCRUPS) im Kernkraftwerk Beznau I
H. 12, S. 1055–1060

Eitz, A.W., Kehr, M., Michelfelder, S., und Rennert, K.D.:
Wärmetechnische Auslegung und Aufstellung der 800-MW-Dampferzeuger für den Standort Boxberg
H. 3, S. 208–212

Elias, H.-J.:
Einsatzerfahrungen mit einem rechnergestützten Betriebsführungssystem (BFS)
H. 6, S. 515–521

Elsmore, R.:
Einsatz von Bromchloridimethylhydantoin (BCDMH) zur Reduzierung biologischer Verunreinigungen und Verbesserung des Wärmeübergangs in Kühlkreisläufen
H. 11, S. 1016

Engelfried, R., Fricke, D.-H., und Homann, M.:
Verfahren zur Entfernung von Dekontbeschichtungen durch Mikrowellenbestrahlung
H. 11, S. 991–999

Engelke, W., Franc, J.C., Scarlin, R.B., und Busse, L.:
Turbinenkonstruktionen mit neuen Stählen für hohe Dampfparameter, Teil 2: Herstellerspezifische Konstruktionsmerkmale
H. 4, S. 346–360

Enkler, G., siehe Venz, H.:
H. 11, S. 1016

Ermel, G., siehe Lipinski, B.:
H. 2, S. 164

Fabian, H.-U., und Bacher, P.:
Der europäische Druckwasserreaktor EPR
H. 12, S. 1032–1036

Fahlke, J., siehe Meierer, M.:
H. 11, S. 1014

Fichte, W., siehe Waltl, J.:
H. 3, S. 248–252

Fiedler, K., siehe Schmidt, R.-G.:
H. 7, S. 569–574

Fischer, B., siehe Rohler, K.:
H. 10. S. 831–836

Fischer, E.:
Wiederkehrende zerstörungsfreie Prüfungen (WKP) als Teil eines integralen Servicekonzeptes
H. 2, S. 162

Flick, R., siehe Rühle, W.:
H. 11, S. 1016

Flueraru, C., und Dragos, L.:
Kraftwerksertüchtigung durch zirkulierende Wirbelschichtfeuerung
H. 11, S. 1010

Föllmer, B., und Schnettler, A.:
Diagnosesysteme mit PC-Unterstützung zur Prüfung federbelasteter und gesteuerter Sicherheitsventile im Betrieb
H. 7, S. 586–590

Förster, Th., siehe Braun, P.:
H. 1, S. 51–53

Fortmann, M., siehe Nink, A.:
H. 2, S. 160

Franc, J.C., siehe Engelke, W.:
H. 4, S. 346–360

Franz, E.:
Inbetriebsetzung und erste Betriebserfahrungen beim Block 3 der Wiener Stadtwerke – WIENSTROM, Kraftwerk Simmering
H. 2, S. 115–118

Fricke, D.-H., siehe Engelfried, R.:
H. 11, S. 991–999

Fujita, M., siehe Takahashi, M.:
H. 11, S. 1003

Furumoto, H., siehe Effenberger, H.:
H. 9, S. 755–761

Fushimi, T.:
Erfahrungen mit dem Kraftwerk Kawagoe der Chubu Electric Power
H. 3, S. 213–219

Gade, U., und Schettler, H.:
Drehzahlregelung an Ventilatormühlen für Rohbraunkohle
H. 11, S. 1005

Gast, C.H., siehe de Kluyver, J.P.:
H. 11, S. 1006

Gasteiger, G., siehe Gilli, P.G.:
H. 5, S. 421–426

Gaube, J., und Jahn, P.:
Wertstoffgewinnung bei der Aufbereitung von Abwässern aus REA-Anlagen
H. 1, S. 60–63

Gericke, B., Löffler, J.C., und Perkavec, M.A.:
Biomassenverstromung durch Vergasung und integrierte Gasturbinenprozesse
H. 7, S. 595–604

Gilberg, G., siehe Hufmann, T.:
H. 11, S. 1006

Gilli, P.G., und Gasteiger, G.:
Gas- und ölbefeuerte Kombi-Anlagen: Das Kraftwerkskonzept mit den international größten Zuwachsraten
H. 5, S. 421–426

Girod, W.-D., Klapdor, W., und Merz, J.:
Instandhaltungsstrategien angemessen einsetzen
H. 8, S. 667–675

Godin, R.:
Stand und Perspektiven der Kraftwerkstechnik in Frankreich
H. 2, S. 99–102

Granacher, J., siehe Kloos, K.H.:
H. 1, S. 75–82

Gremme, Th., Wiesemes, K., und Krabbe, H.-J.:
LIMS – Ein Werkzeug zur Datenverarbeitung und Laborautomation in einem Kraftwerkszentrallabor
H. 9, S. 804–807

Griffin, T., siehe Scherer, V.:
H. 11, S. 1004

Grimm, W., siehe Lasch, M.:
H. 11, S. 988–990

Gropp, K., siehe Braunstein, L.:
H. 8, S. 701–704

Gutberlet, H.:
Kraftwerkschemie in Rauchgasreinigungsanlagen
H. 1, S. 54–59

***H**aaker, H., siehe Schenck, K.:*
H. 3, S. 220–224

Hacker, H., und Traeger, K.:
Konstruktions- und Abdichtungsanforderungen für Armaturen im Hochtemperaturbereich
H. 10, S. 857–866

Hagen, K., und Eiken, W.:
Pilot-Anlage zur biologischen Denitrifikation im Reinwasser der RAA-Anlage
H. 11, S. 1014

Hainke-Hentschel, R.:
Sanierung von HD-Rohrleitungen unter besonderer Berücksichtigung der Halterungstechnik
H. 7, S. 591–594

Hald, J., siehe Blum, R.:
H. 8, S. 641–652

Hallfarth, G., Hesse, J., Jung, P., Kapteinat, H.-P., Meyer, M., und Pöschl, A.:
Zur Praxis der Dosimetrie in Kernkraftwerken – Teil 2: Beta-Dosimetrie –
H. 7, S. 629–633

Hamacher, P., siehe Rühle, W.:
H. 11, S. 1016

Hancke, Tania, Herbst, L., Arnoldt, C., und Hinz, W.:
Neue Tendenzen im Mensch-Maschine-System für die Prozeßführung
H. 2, S. 164

Hannes, K., Mittelbach, G., und Schreier, W.:
Ballastkohlekraftwerk mit brennstoffgestufter Feuerung in Kombination mit selektiver nichtkatalytischer Reduktion von Stickstoffoxiden
H. 2, S. 139–146

Hansen, S., siehe Noppenau, H.:
H. 2, S. 119–123

Hansmann, G., und Abt, K.O.:
Der Beitrag der Kraftwerksfeuerungen zur Lösung von Entsorgungsproblemen: ein Technik- oder Akzeptanzproblem?
H. 11, S. 1003

Harrison, P.:
Vinylesterharz-GFK als Konstruktionswerkstoff im Kraftwerksbereich
H. 8, S. 653–656

Hartan, J., und Peters, F.:
Erstellung von Abfallwirtschaftskonzepten und Abfallbilanzen für Kraftwerke
H. 9, S. 808–815

Hartel, W., siehe Bilger, H.:
H. 2, S. 103–108

Hartermann, R.-U., und Schulze-Eckel, R.:
Rohgaskühler: eine wesentliche Komponente der integrierten Kohlevergasung
H. 11, S. 1007

Hartleben, B.:
Erfahrungsbericht über Schadensfrüherkennung und Überwachung durch Körperschallanalyse in Kraftwerksanlagen
H. 9, S. 783–786

Hartmann, A., siehe Bartonicek, J.:
H. 4, S. 402

Haschke, M., Privik, M., Kowalczyk, U., und Broda, J.:
Möglichkeiten zur schnellen Elementanalyse an Reststoffen mit der energiedispersiven Röntgenspektroskopie
H. 6, S. 549–551

Hauk, R., und Poller, J.:
Vergasungsverfahren für Abfälle
H. 9, S. 790–796

Hauk, R., und Weinzierl, K.:
Kombination von Rostfeuerung und Schwelbrenntechnik – Thermische Abfallbehandlung Dortmund als Ausgang eines Konvois
H. 11, S. 1011

Havenaar, P., Santen, D.J., und Verrier, K.:
Eine Anlage zur Kraft-Wärme-Kopplung auf Basis von Gichtgas
H. 11, S. 1007

Hein, H.D., siehe Klever, H.G.:
H. 11, S. 1016

Heinz, D.:
Umwelt- und Gesundheitsverträglichkeit von Kraftwerksreststoffen
H. 8, S. 711–716

Heinz, G., siehe Merz, A.:
H. 11, S. 1011

Helmich, P., siehe Nicolai, W.:
H. 2, S. 166

Henkel, H., siehe Rick, E.:
H. 6, S. 479–484

Henning, K.-D., siehe Lasch, M.:
H. 11, S. 988–990

Henrichs, M., siehe Trübenbach, M.:
H. 2, S. 163

Henrichs, M., Trübenbach, M., und Sturm, A.:
Nachweis von Rissen an der Beschaufelung von Niederdruckläufern an Dampfturbinen am Beispiel des Kraftwerkes Moorburg
H. 8, S. 682–687

Henry, Ch., siehe Pietzonka, F.:
H. 1, S. 64–74

Herbst, L., siehe Hancke, Tania:
H. 2, S. 164

Hermsmeyer, H., siehe Hufmann, T.:
H. 11, S. 1006

Herzog, R., LeFebve, D., Olia, H., Ruchti, Chr., Svoboda, C., und Wilke, W.-St.:
Kompaktsimulatoren – ein effizienter Weg zu tieferem Prozeßverständnis
H. 6, S. 527–531

Hess, K., siehe Kolb, T.:
H. 11, S. 1012

Hesse, J., siehe Hallfarth, G.:
H. 7, S. 629–633

Hill, T.A.:
Voraussichtliche Beiträge einzelner Kraftwerke zum sauren Regen
H. 5, S. 446–448

Hillenbrand, P., siehe Kloos, K.H.:
H. 1, S. 75–82

Hinz, W., siehe Hancke, Tania:
H. 2, S. 164

Hlubek, W.:
Tagesfragen der Kraftwerkstechnik
H. 11, S. 914–916

Hoffmann, W., siehe Rühle, W.:
H. 11, S. 1016

Hofmann, E., und Lochner, K.H.:
Kommunikation in der Kraftwerksleittechnik
H. 10, S. 837–842

Hofstötter, P., und Mai, E.:
Überblick über das VGB-Forschungsprojekt 92 „COST 501/2-WP 5 C: Restlebensdauervorhersage unter simulierten Betriebsbelastungen"
H. 10, S. 883–889

Höhr, H.:
Auslegungsgesichtspunkte und Beispiele für Gasturbinen in Kraft-Wärme-Kopplungsanlagen
H. 6, S. 493–497

Hollwedel, U., siehe Kuhnke, K.:
H. 11, S. 1016

Hölscher, W., siehe Wilhelm, M.:
H. 3, S. 243–247

Homann, M., siehe Engelfried, R.:
H. 11, S. 991–999

Hong, Wuk-Hee:
Verringerung der Umweltbelastung durch mehr Kraftwerke? – Das Beispiel Korea
H. 5, S. 412–415

Horlacher, H., siehe Eisenbeis, H.:
H. 12, S. 1055–1060

Hosp, A., siehe Eisenbeis, H.:
H. 12, S. 1055–1060

Hourfar, D., siehe Eichholtz, A.:
H. 1, S. 25–29

Höxtermann, E.:
Ursachen für Störungen und Schäden an Dampfturbinen
H. 10, S. 825–830

Hufmann, T., Gilberg, G., und Hermsmeyer, H.:
Präventivmaßnahmen gegen Korrosionen an Feuerraumwänden
H. 11, S. 1006

Husinger, H., siehe Merz, A.:
H. 11, S. 1011

***I**llingworth, A.:*
Aus der Kraftwerkspraxis
– Stellungnahme zum Entwurf der EU-Kommission für die Druckgeräte-Richtlinie –
H. 4, S. 396–398

Indenklef, J.:
Ergasverdichter für Gasturbinen
H. 5, S. 431–435

***J**acquet, L., und Delot, P.:*
Planung und Bau der Anlage Gardanne
H. 11, S. 1010

Jäger, G., und Kallmeyer, D.:
Umweltschutzmanagement im Kraftwerksbereich eines Energieversorgungsunternehmens
H. 4, S. 335–337

Jahn, P., siehe Gaube, J.:
H. 1, S. 60–63

Jensen, J.P., Palmer, D.A., und Simonson, J.M.:
Messung der Flüchtigkeit gelöster Stoffe aus wäßrigen Lösungen und ihre Anwendung in Wasser-Dampfkreisläufen
H. 11, S. 1013

John, R.:
Planung von Rohrleitungsgewerken moderner Großkraftwerksanlagen unter Einbeziehung neuer hochwarmfester Werkstoffe
H. 10, S. 850–856

Jonas, K., und Czekalla, N.:
Braunkohlebefeuerte Heizkraftwerke als Alternative zu Gas-Kombi-Kraftwerken
H. 11, S. 1005

Jonas, K., und Morh, Th.:
Konzepte und Lösungswege zur Erneuerung der ostdeutschen Heizkraftwerke
H. 4, S. 327–334

Jones, A.R.:
Verbrennungscharakteristik von Orimulsion und Erfahrungen mit der Feuerungsumstellung in Großbritannien
H. 11, S. 1008

Jung, H., und Wawzik, U.:
Betriebserfahrungen und betriebliche Überwachung von Aktivkoks-Adsorbern
H. 11, S. 1012

Jung, P., siehe Hallfarth, G.:
H. 7, S. 629–633

Kahl, D., und Pfeiffer, J.:
REA-Gips aus ostdeutschen Kraftwerken als Rohstoffangebot für die Baustoffindustrie
H. 3, S. 257

Kahlert, J., siehe Dubslaff, E.:
H. 9, S. 787–789

Kallmeyer, D., siehe Jäger, G.:
H. 4, S. 335–337

Kappe, J.:
Hochwertiger Anhydrit aus Rauchgasentschwefelungsgips
H. 3, S. 257

Kapteinat, H.-P., siehe Hallfarth, G.:
H. 7, S. 629–633

Karlsen, Torill M., und Vitanza, C.:
Der Versuchsreaktor Halden als Instrument zur Untersuchung von Problemen im Chemie- oder Werkstoffbereich
H. 8, S. 697–700

Karweina, D., siehe Rick, E.:
H. 6, S. 479–484

Käß, M., und Kaulitz, J.:
Messung und Überwachung von Luft-/Kohlenstaub-Verteilungen
H. 11, S. 1005

Kather, A., und Kessel, W.:
Entwicklung und Betriebserfahrungen von Schmelzfeuerungen
H. 11, S. 1005

Katzer, Helga, und von Borries, W.:
Frühzeitige Erkennung von Brandentwicklungen im Abfallbunker
H. 10, S. 873–874

Kaulfuß, G., und Tempel, W.:
Planung und Bau des neuen Gasturbinen-Heizkraftwerkes Dresden – Nossener Brücke
H. 10, S. 890–893

Kaulitz, J., siehe Käß, M.:
H. 11, S. 1005

Kehr, M., siehe Eitz, A.W.:
H. 3, S. 208–212

Kehr, M., siehe Schuster, H.:
H. 1, S. 30–35

Kehr, M., und Oetjeng, D.:
Kraftwerksprojekte der 90er Jahre
H. 8, S. 705–710

Keller, G.:
Die Strahlenexposition der Bevölkerung durch Baustoffe unter besonderer Berücksichtigung von Sekundärrohstoffen
H. 8, S. 717–720

Keller, H.P., siehe Oppermann, W.:
H. 2, S. 160

Kempkes, B., siehe Arnswald, W.†:
H. 3, S. 230–235

Keppel, W.:
20 Jahre ABB-Gasturbinen Typ 13: Von 55 bis 165 MW – Spiegelbild einer Evolution
H. 4, S. 361–372

Kerperin, K.J.:
Aktorik – Übersicht und Tendenzen
H. 2, S. 165

Kessel, W., siehe Kather, A.:
H. 11, S. 1005

Kiefer, F.:
Verfeuerung flüssiger und gasförmiger Reststoffe
H. 11, S. 1008

Kienböck, M., und Müller, U.:
Anwendungspotentiale für hochenergetische Beschichtungen in der Kraftwerkstechnik
H. 2, S. 136–138

Killinger, E., siehe Buschmann, M.:
H. 12, S. 1037–1040

Kimura, N., siehe Takahashi, M.:
H. 11, S. 1003

Kinzel, H., siehe Braun, P.:
H. 1, S. 51–53

Kissmann, R.:
Der Wärmetauscher im Wandel des Einsatzgebietes – Erfahrungen mit Plattenwärmetauschern –
H. 4, S. 400

Kjaer, S., Koetzier, H., van Liere, J., und Rasmussen, I.:
Neue Konzepte für kohlebefeuerte Kraftwerke
H. 7, S. 561–568

Klapdor, W., siehe Girod, W.-D.:
H. 8, S. 667–675

Klein, K., und Stahlberg, R.:
Vergasung von Abfällen unter Atmosphärendruck
H. 11, S. 1004

Klein, M., siehe Schuster, H.:
H. 1, S. 30–35

Klein, M.R., und Rotzoll, G.:
N_2O- und NO-Bildung beim Kohle- und Kokskornabbrand in Laborwirbelschichten
H. 12, S. 1072–1080

Klever, H.G., Hein, H.D., und Krebs, J.:
Wiederaufarbeitung und Verwertung der Dampferzeuger-Reinigungslösung des Kernkraftwerks Unterweser im Braunkohlekraftwerk Buschhaus
H. 11, S. 1016

Klimpke, R., siehe Konrad, H.:
H. 11, S. 924–931

Kloos, K.H., Granacher, J., und Hillenbrand, P.:
Verhalten warmfester Stähle bei mehrstufiger Zeitstandbeanspruchung
H. 1, S. 75–82

Klosek, J., Sorensen, J.C., und Wong, M.:
Luft oder Sauerstoff für Vergasungs-Kombi-Kraftwerke (GCC)
H. 12, S. 1066–1071

Kneissl, P.J.:
Moderne Müllverbrennungsanlagen in Österreich
H. 11, S. 1011

Koch, H.-J.:
Vom Restsfoff zum Produkt
H. 3, S. 255

Koch, P., und Léonard, G.:
Kohlevergasung, Roheisenerzeugung und Kombi-Kraftwerk – ein Verbundprojekt im Rahmen des „Clean-Coal"-Technologieprogramms
H. 11, S. 1007

Kockelmann, H., siehe Dietmann, H.:
H. 6, S. 498–508

Koetzier, H., siehe Kjaer, S.:
H. 7, S. 561–568

Kok, M.J., siehe Droog, H.A.:
H. 12, S. 1028–1031

Kolar, J.:
Verwertungsmöglichkeiten für Reststoffe der Sprühabsorptionsverfahren
H. 3, S. 257

Kolb, T., Dorn, I.H., Christill, M., und Hess, K.:
Rückstandsfreie Rauchgasnachreinigung durch Katalysatortechnik
H. 11, S. 1012

König, B., siehe Schopf, N.:
H. 12, S. 1041–1046

Konrad, H., Klimpke, R., und Zilling, H.:
Panzerungen, insbesondere für Armaturen
H. 11, S. 924–931

Koopmann, E.W., Regenbogen, R.W., und Zuideveld, P.L.:
Erfahrungen mit dem Shell-Kohlevergasungsprozeß
H. 11, S. 974–977

Korischem, B., und Werner, U.:
Rauchgaswäsche bei der Industriemüllverbrennung
H. 6, S. 537–542

Kostroun, F., siehe Kuhnke, K.:
H. 11, S. 1016

Kott, H., und Wagner, A.:
Die Auswahl geeigneter Absperrorgane für Hochdruckabsperrschieber
H. 4, S. 402

Kowalczyk, U., siehe Haschke, M.:
H. 6, S. 549–551

Kowatsch, H., siehe Buschmann, M.:
H. 12, S. 1037–1040

Krabbe, H.-J., siehe Gremme, Th.:
H. 9, S. 804–807

Kraushaar, K.H.:
Die Cockpit-Warte im Block 5 des Kraftwerkes Staudinger
H. 7, S. 581–585

Krautz, H.-J., und Chalupnik, R.:
Braunkohle-Kombi-Kraftwerke mit zirkulierender Druckwirbelschichtfeuerung
H. 11, S. 1010

Krebs, J., siehe Klever, H.G.:
H. 11, S. 1016

Krüger, J.:
EDV-gestützte sektionale Untersuchungen des Strahlungsraums von Müllverbrennungskesseln
H. 11, S. 978–983

Krüger, J.:
Reduktion der Schadstoffemission einer Müllverbrennungsanlage durch Einsatz von Dampf im Überschallbereich in der Feuerung
H. 11, S. 1011

Krüger, U., und Seifert, J.:
Erarbeitung der Aufgabenstellung
für die Leittechnik bei der Nachrüstung
der Kraftwerke Jänschwalde und Boxberg
H. 2, S. 165

Kube, D., siehe Dubslaff, E.:
H. 9, S. 787–789

Kübler, D., siehe Eichholtz, A.:
H. 1, S. 25–29

Kuhnke, K., Hollwedel, U., und Kostroun, F.:
Chemische Dampferzeugerreinigung
im Kernkraftwerk Unterweser
H. 11, S. 1016

Kuhnle, G.:
Vollentsalzungsanlage mit Umkehrosmose
und Multistep-Filter
H. 10, S. 875–878

Kuntzky, H.-H., siehe Nelissen, G.T.M.:
H. 7, S. 605–608

Kuron, D.:
Korrosion in Abgasreinigungsanlagen und Schornsteinen
H. 4, S. 376–385

Küster, D.:
Erhöhung der Standzeiten von Schmelzkammerauskleidungen
H. 11, S. 1005

Kwasny, J.:
Stand und Möglichkeiten der Verwertung
von Filteraschen aus Braunkohlekraftwerken
in der Bundesrepublik Deutschland auf der Basis
bisheriger Ergebnisse des Verbundforschungsvorhabens zur Aschenverwertung (1991 bis 1994)
H. 3, S. 256

Kysela, J.:
Der Korrosions-Testkreislauf in Řež als Teststand
H. 7, S. 626–628

Kyte, W.S.:
Management, Verwertung und Ablagerung
von Kraftwerksrückständen in Großbritannien
H. 3, S. 256

***L**aine, A., und Manninen, P.:*
Betriebserfahrungen mit Gasturbinen
vom Typ V 64.3 im Kombi-Kraftwerk Vuosaari A
H. 5, S. 427–430

Langen, H.-J., siehe Wilhelm, M.:
H. 3, S. 243–247

Langner, A., Riess, R., und Stellwag, B.:
Verteilungsgleichgewichte anorganischer Inhaltsstoffe in Gegenwart von Ammoniak im Bereich
der Dampferzeugung und der ersten Kondensation
H. 7, S. 618–625

Läpple, V., Blind, D., und Deimel, P.:
Beitrag zur Bestimmung der Geschwindigkeit
von korrosionsgestütztem Rißwachstum
unter konstanter äußerer Last in Hochtemperaturwasser
H. 9, S. 797–803

Lapp, H., siehe Seifert, S.:
H. 2, S. 162

Lasch, M., Grimm, W., Henning, K.-D., und Schäfer, M.:
Untersuchungen zur Erschöpfung von Aktivkohle
zur Iodrückhaltung in Kernkraftwerken
H. 11, S. 988–990

Lasch, M., und Staudt, U.:
Die VGB-Richtlinie für SWR-Anlagen
im internationalen Vergleich
H. 11, S. 1015

Lasthaus, D., siehe Simon, E.:
H. 11, S. 1006

Laue, Carola, Vater, P., und Roesch, J.:
Anwendung von Kernspur-Mikrofiltern
zur schnellen Bestimmung der α-Aktivität
und zur Charakterisierung von Korrosionsprodukten
im Primärkühlwasser von Kernkraftwerken
H. 10, S. 879–882

Laux, C.H., siehe Burchhardt, U.:
H. 6, S. 469–478

LeFebve, D., siehe Herzog, R.:
H. 6, S. 527–531

Lehmann, B., siehe Mäule, R.:
H. 3, S. 199–207

Lehmann, H.:
Betriebsergebnisse eines emissionsarmen
Verbrennungsrostsystems
H. 11, S. 917–923

Leitz, R.:
Planung und Inbetriebnahme
einer luftgekühlten Kondensationsanlage
für ein 700-MW-GUD-Kraftwerk
mit besonderen Schallauflagen
H. 4, S. 401

Lelickens, H., siehe Loock, R.:
H. 2, S. 162

Léonard, G., siehe Koch, P.:
H. 11, S. 1007

Lind-Hansen, A., siehe Lindhardt, S.:
H. 1, S. 15–24

Lindhardt, S., und Lind-Hansen, A.:
I/S Vestkraft, Block 3, Esbjerg
H. 1, S. 15–24

Lipinski, B., siehe Dubslaff, E.:
H. 9, S. 787–789

Lipinski, B., und Ermel, G.:
Wartenkonzepte für die Nachrüstung
der VEAG-Blöcke – Erste Erfahrungen
aus Boxberg
H. 2, S. 164

Lochner, K.H., siehe Hofmann, E.:
H. 10, S. 837–842

Löffler, J.C., siehe Gericke, B.:
H. 7, S. 595–604

Loner, H., siehe Schenker, E.:
H. 11, S. 1015

Loock, R., und Lelickens, H.:
SWR: Inspektion und Sanierung der Arretierung
von Steuerstabführungsrohren
H. 2, S. 162

Lorson, H., und Schingnitz, M.:
Ein neues Pyrolyse-Druckvergasungs-Konservierungsverfahren
H. 11, S. 1004

Lukas, W., und Saxer, A.:
Die Verwertung von Braunkohlen-Aschen
und REA-Wässern für den Bau
und die Abdichtung von Deponien
H. 3, S. 257

Lynch, G.E.:
Demonstrationsanlagen mit integrierter Kohlevergasung im „Clean-Coal"-Technologieprogramm
H. 11, S. 1006

***M**ai, E., siehe Hofstötter, P.:*
H. 10, S. 883–889

Maier, H., Müh, H., und Schröder, G.:
Orimulsion – ein nicht alltäglicher Brennstoff
auf dem Prüfstand
H. 11, S. 1014

Mäkelä, K., siehe Saario, T.:
H. 11, S. 1015

Manninen, P., siehe Laine, A.:
H. 5, S. 427–430

Martinsteg, H., und Dillmann, H.G.:
Gefiltere Druckentlastung des Sicherheitsbehälters
von Kernkraftwerken – Trockenfiltermethode
H. 4, S. 403

Mäule, R., Lehmann, B., Necker, P., und Schäfer, K.-H.:
Heizkraftwerk HKW 2 – der 330-/280-MW-Kraftwerksneubau der Neckarwerke Elektrizitätsversorgungs-AG als Verbundblock
H. 3, S. 199–207

Mayer, K.H., siehe Berger, Christina:
H. 4, S. 338–345

Meierer, H.P., siehe Venz, H.:
H. 11, S. 1016

Meierer, M., Bursik, A., und Müller, K.:
Untersuchung und Optimierung der Betriebsbedingungen von regenerativen Wärmeaustauschern in Rauchgasentschwefelungsanlagen
H. 8, S. 657–662

Meierer, M., und Fahlke, J.:
Versuche zur katalytischen Reduktion von Nitrat
in REA-Abwasser
H. 11, S. 1014

Menke, D., und Zwahr, H.:
Erste Betriebserfahrungen
der Anlage Hamburg/Borsigstraße
H. 11, S. 1010

Menke, Doris:
Erste Erfahrungen mit neuartigen Meß- und Detektionsgeräten in der Müllverbrennungsanlage Borsigstraße
H. 2, S. 164

Merz, A., Hunsinger, H., Vogg, H., und Heinz, G.:
Auswirkungen der Feuerführung
auf Gutbett- und Feuerraumtemperaturen
sowie das Verbrennungsergebnis
H. 11, S. 1011

Merz, J., siehe Girod, W.-D.:
H. 8, S. 667–675

Meyer, B., siehe Schiffer, H.-P.:
H. 11, S. 1004

Meyer, B., Willmes, O., und Röper, B.:
Mechanismen der chlorinduzierten Korrosion
von Wirbelschicht-Heizflächen
H. 11, S. 1009

Meyer, M., siehe Hallfarth, G.:
H. 7, S. 629–633

Michelfelder, S., siehe Eitz, A.W.:
H. 3, S. 208–212

Mittelbach, G., siehe Hannes, K.:
H. 2, S. 139–146

Mohr, Th., siehe Jonas, K.:
H. 4, S. 327–334

Miyahara, S.:
Stand und Perspektiven der fossilbefeuerten
und nuklearen Kraftwerkstechnik in Japan
H. 3, S. 193–198

Müh, H., siehe Maier, H.:
H. 11, S. 1014

Mühle, E.-E., Neuhaus, E., Sadek, A., und Siegel, M.:
Beurteilung langzeitbeanspruchter Dampfturbinenbauteile für den Weiterbetrieb
– 20 Jahre Erfahrungen (Teil 1) –
H. 1, S. 39–46

Mühle, E.-E., Neuhaus, E., Sadek, A., und Siegel, M.:
Beurteilung langzeitbeanspruchter Dampfturbinenbauteile für den Weiterbetrieb – 20 Jahre Erfahrungen (Teil 2) –
H. 2, S. 128–135

Müller, K., siehe Meierer, M.:
H. 8, S. 657–662

Müller, M., und Turowski, R.:
Der Beitrag der Elektrizitätswirtschaft zum Klimaschutz
H. 7, S. 613–617

Müller, U., siehe Kienböck, M.:
H. 2, S. 136–138

Müller, U.:
Beschichtungswerkstoffe und -verfahren für die Instandhaltung in Kraftwerken
H. 2, S. 161

***N**akabayashi, Y., siehe Takahashi, M.:*
H. 11, S. 1003

Necker, P., siehe Mäule, R.:
H. 3, S. 199–207

Nelissen, G.T.M., und Kuntzky, H.-H.:
Kraftwerk mit integrierter Kohlevergasung – Leittechnische Aspekte –
H. 7, S. 605–608

Nerger, D., Blume, R., und Schinkel, H.:
Schweißtechnische Sanierung einer HZÜ-Rohrleitung aus 14 MoV 6 3 mit Nickel-Basis-Schweißzusätzen ohne anschließende Wärmebehandlung
H. 10, S. 867–872

Neuhaus, E., siehe Mühle, E.-E.:
H. 1, S. 39–46

Neuhaus, E., siehe Mühle, E.-E.:
H. 2, S. 128–135

Neumann, G.:
Verwertung von Kraftwerksreststoffen in Österreich
H. 3, S. 256

Neumann, G.:
Verwertung von Kraftwerksreststoffen in Österreich
H. 11, S. 1000–1002

Neupert, D., Schlee, M., und Simon, E.:
Wissensbasierte Prozeßführung im Kraftwerk Staudinger
H. 3, S. 225–229

Nicolai, W., und Helmich, P.:
Betriebsmanagementsysteme und deren Anwendung
H. 2, S. 166

Niederhoff, K., siehe Zschau, M.:
H. 2, S. 150–157

Nielsen, C., siehe Noer, M.:
H. 4, S. 317–321

Niessner, H.:
Leittechniksimulator zur Qualitätssicherung im Kraftwerk bei Instandsetzung und Nachrüstung
H. 2, S. 163

Nink, A., und Fortmann, M.:
Kapazitive Hochtemperatur-Dehnungsmeßgeber (HT-DMS) mit Meßwerterfassungssystem KAMES zur betriebsbegleitenden Rohrleitungsüberwachung
H. 2, S. 160

Nitsch, D., siehe Schenck, K.:
H. 3, S. 220–224

Noer, M., Nielsen, C., Rasmussen, I., und Clausen, J.C.:
Clean Coal – Technologische Initiativen in Dänemark
H. 4, S. 317–321

Nonhoff, G., und Lux, R.:
Praxiserprobte GFK-Korrosionsschutzsysteme für Rauchgasreinigungsanlagen
H. 4, S. 400

Noppenau, H., und Hansen, S.:
Designstudie eines kohle- und gasbefeuerten Kraftwerkes mit fortgeschrittenen Dampfdaten
H. 2, S. 119–123

Nordhues, H.-W., siehe Wörner, J.-D.:
H. 12, S. 1081–1085

Novak, M., siehe Schröfelbauer, H.:
H. 1, S. 4–14

Nowitzki, B.:
Dioxin-Abbau durch Wabenkatalysatoren
H. 11, S. 984–987

***O**etjeng, D., siehe Kehr, M.:*
H. 8, S. 705–710

Oleas, J., siehe Eisenbeis, H.:
H. 12, S. 1055–1060

Olia, H., siehe Herzog, R.:
H. 6, S. 527–531

Oppermann, W., und Keller, H.P.:
Vermessung und Überwachung von Fehlern in Bauteilen mit einer verbesserten Potentialsondenmeßtechnik
H. 2, S. 160

***P**ache, W., und Trobitz, M.:*
Überprüfung von federbelasteten Sicherheitsventilen in deutschen Kernkraftwerken
H. 4, S. 403

Palmer, D.A., siehe Jensen, J.P.:
H. 11, S. 1013

Pannenbäcker, K.:
Erfahrungen bei der Auswahl und Einführung eines DV-gestützten Instandhaltungssystem
H. 2, S. 163

Pardon, K.:
Neues Freilauf-Rückschlagventil
H. 1, S. 47–50

Partecke, R.:
Panzerungen an Sicherheitsarmaturen
H. 12, S. 1061–1065

Perkavec, M.A., siehe Gericke, B.:
H. 7, S. 595–604

Perkavec, M.A., und Steczek, M.:
Perspektiven für öl- und gasbefeuerte Kombi-Kraftwerke in Europa
H. 11, S. 1007

Perko, H.-D., und Stolte, J.:
Sicherheitseinrichtungen für verschiedene Aufgaben in Kraftwerken
H. 4, S. 402

Peters, F., siehe Hartan, J.:
H. 9, S. 808–815

Peters, W., siehe Schopf, N.:
H. 12, S. 1041–1046

Petzel, H.-K.:
Die Wirbelschichtfeuerung vor dem Schritt zur betriebsbewährten Großfeuerung
H. 11, S. 1003

Pfäffle, H., Sondermann, P., und Strack, P.H.:
Betriebserfahrungen mit einem Kraftwerkseinsatz-Optimierungssystem als Instrument im Energie-Controlling bei den Stadtwerken Düsseldorf
H. 7, S. 575–580

Pfeiffer, J., siehe Kahl, D.:
H. 3, S. 257

Pietzonka, F., Henry, Ch., und Torssell, K.:
Auslegung dickwandiger Bauteile auf der Basis neuer Stähle
H. 1, S. 64–74

Pigler, F.:
Validierung eines Rechenverfahrens zur Ermittlung der bei Blitzeinschlag eingekoppelten Spannungen
H. 12, S. 1050–1054

Pilhofer, K.H.:
Das neue digitale Neutronenfluß-Meßsystem im Kernkraftwerk Würgassen
H. 6, S. 485–492

Placke, R., siehe Schenck, K.:
H. 3, S. 220–224

Poller, J., siehe Hauk, R.:
H. 9, S. 790–796

Pöschl, A., siehe Hallfarth, G.:
H. 7, S. 629–633

Prins, S.:
Verwertung von Kraftwerksreststoffen in den Niederlanden
H. 3, S. 256

Privik, M., siehe Haschke, M.:
H. 6, S. 549–551

Pronobis, M.:
Vergleich der Methoden zur Verstärkung des Wärmeübergangs auf der Innenseite des Rohres
H. 2, S. 124–127

Przybilla, H.-J.:
Photogrammetrische 3D-Vermessung eines Kesselrohrleitungssystems
H. 4, S. 401

Puch, K.-H., siehe vom Berg, W.:
H. 3, S. 257

Purper, H., siehe Rohler, K.:
H. 10. S. 831–836

***R**all, H.-E., siehe Barlmeyer, N.:*
H. 4, S. 373–375

Rasmussen, I., siehe Kjaer, S.:
H. 7, S. 561–568

Rasmussen, I., siehe Noer, M.:
H. 4, S. 317–321

Rasmussen, I.:
Entwicklung von größeren ZWSF für Kohle- und Biomassenverfeuerung
H. 11, S. 1010

Redepenning, K.-H.:
Die thermische Kunststoffaufbereitung
H. 8, S. 688–696

Reese, C., siehe Schenck, K.:
H. 3, S. 220–224

Regenbogen, R.W., siehe Koopmann, E.W.:
H. 11, S. 974–977

Reimann, C., siehe Schöngrundner, W.:
H. 6, S. 552–556

Rennert, K.D., siehe Eitz, A.W.:
H. 3, S. 208–212

Renzenbrink, W., siehe Wischnewski, R.:
H. 11, S. 1006

Reuther, D., siehe Żelkowski, J.:
H. 11, S. 1006

Reymendt, J., siehe Wörner, J.-D.:
H. 12, S. 1081–1085

Rick, E., Henkel, H., und Karweina, D.:
Die Warte – Kriterien für Aufbau und Technik
H. 6, S. 479–484

Riess, R., siehe Langner, A.:
H. 7, S. 618–625

Ringeis, W., siehe Bilger, H.:
H. 2, S. 103–108

Ringelstein, K.H.:
Sicherheitstechnische Aspekte der Leckabdichtung von Kraftwerkskomponenten unter Betriebsbelastung
H. 9, S. 772–776

Robinson, R.N., siehe Blaser, W.:
H. 11, S. 1015

Roesch, J., siehe Laue, Carola:
H. 10, S. 879–882

Rohler, K., Bietenbeck, F., Fischer, B., und Purper, H.:
Entwicklung eines Lebensdauer-Überwachungssystems (LMS) im Rahmen des BRITE-EURAM-Programms
H. 10, S. 831–836

Rohler, K., siehe Becker, U.:
H. 4, S. 401

Rohler, K., und Becker, U.:
Berührungslose tachymetrische Vermessung von Rohrleitungen
H. 8, S. 676–681

Röper, B., siehe Meyer, B.:
H. 11, S. 1009

Rosselet, A., siehe Blum, R.:
H. 8, S. 641–652

Rotzoll, G., siehe Klein, M.R.:
H. 12, S. 1072–1080

Ruchti, Chr., siehe Herzog, R.:
H. 6, S. 527–531

Rühle, W., Hamacher, P., Hoffmann, W., und Flick, R.:
Organische Inhaltsstoffe im Primärkreislauf von DWR-Anlagen und ihre Identifikation
H. 11, S. 1016

Rühle, W., siehe Venz, H.:
H. 11, S. 1016

Rukes, B., Vollmer, W., und Wittchow, E.:
Kraftwerke mit hohen Dampfzuständen
H. 5, S. 405–411

Rüsenberg, D., siehe Wischnewski, R.:
H. 11, S. 1006

Rych, H.-G., Daxböck, W., und Aumüller, A.:
Einfluß und Reaktionen der Betriebsführung eines steinkohlebefeuerten Großkraftwerks bei Überwachung durch einen Immissionsschutzplan für SO_2 und NO_2
H. 5, S. 449–453

Saario, T., Mäkelä, K., Aaltonen, P., und Buddas, T.:
Verhalten und Korrosionspotential von Metalloberflächen in DWR-Anlagen bei der Dosierung von Ammoniak, Hydrazin und Zink
H. 11, S. 1015

Sacher, H., und Bandholz, K.-D.:
Optimierung der Instandhaltung und des Prüfkonzepts mit Hilfe probabilistischer Sicherheitsanalysen
H. 2, S. 159

Sadek, A., siehe Mühle, E.-E.:
H. 2, S. 128–135

Sadek, E., siehe Mühle, E.-E.:
H. 1, S. 39–46

Santen, D.J., siehe Havenaar, P.:
H. 11, S. 1007

Saretz, M., und Broda, K.:
Bisherige Erfahrungen und Ergebnisse der Video-Endoskopie-Inspektionen an Kraftwerksbaugruppen
H. 2, S. 161

Scarlin, R.B., siehe Berger, Christina:
H. 4, S. 338–345

Scarlin, R.B., siehe Engelke, W.:
H. 4, S. 346–360

Schabbehard, H.W., siehe Schetter, B.:
H. 11, S. 1004

Schäfer, K.-H., siehe Mäule, R.:
H. 3, S. 199–207

Schäfer, M., siehe Lasch, M.:
H. 11, S. 988–990

Scheil, G.:
Betrieb eines 300-MW-Blockes mit REA-Gebläse bei schadensbedingtem Ausfall des Kesselsaugzuges
H. 2, S. 147–149

Schenck, K., Haaker, H., Nitsch, D., Placke, R., und Reese, C.:
Heutige Einflüsse und deren Auswirkungen auf die Verfügbarkeit von Wärmekraftwerken
H. 3, S. 220–224

Schenkel, W., und Beier, W.:
Kunststoffverwertung – aber wie?
H. 3, S. 236–242

Schenker, E., und Loner, H.:
Charakterisierung von Kolloiden in Kraftwerkswässern
H. 11, S. 1015

Scherer, V., und Griffin, T.:
Katalytisch unterstützte Verbrennung in Gasturbinen: Potential und Grenzen
H. 11, S. 1004

Schetter, B., siehe Bergmann, D.:
H. 6, S. 532–536

Schetter, B., und Schabbehard, H.W.:
Heizöl-Vormischbrenner für Gasturbinen
H. 11, S. 1004

Schettler, H., siehe Gade, U.:
H. 11, S. 1005

Schettler, H., siehe Schuster, H.:
H. 1, S. 30–35

Schiffer, H.-P., Adlhoch, W., und Meyer, B.:
Wirbelschichtvergasung – ein Verfahren zur rohstofflichen Verwertung von Restkunststoffen
H. 11, S. 1004

Schilling, H.-D.:
Kurzbericht über die Tätigkeit der VGB TECHNISCHEN VEREINIGUNG DER GROSSKRAFTWERKSBETREIBER E.V. 1993/1994
H. 9, S. 729–754

Schingnitz, M., siehe Lorson, H.:
H. 11, S. 1004

Schinkel, H., siehe Nerger, D.:
H. 10, S. 867–872

Schirmer, U., siehe Albert, F.:
H. 5, S. 442–445

Schirmer, U., siehe Trost, M.:
H. 11, S. 1009

Schlaak, M., siehe Cordemann, Antjelina:
H. 4, S. 386–388

Schlee, M., siehe Neupert, D.:
H. 3, S. 225–229

Schlessing, J.:
Weiterentwicklung an Schüsselmühlen
H. 11, S. 1005

Schlessing, J.:
Die Realisierung gegenläufiger Forderungen zur Sicherheit und zum Umweltverhalten
H. 11, S. 1008

Schmid, K., siehe Żelkowski, J.:
H. 11, S. 1006

Schmidt, M., siehe Braunstein, L.:
H. 8, S. 701–704

Schmidt, R.-G., und Fiedler, K.:
Kondensationsvorgänge in einer mehrstufigen Naßdampfturbine
H. 7, S. 569–574

Schmoldt, J.:
Tauwasserverhütung bei Isolierungen an Behältern, Rohrleitungen und Armaturen
H. 4, S. 400

Schnadt, K., siehe Benesch, W.:
H. 11, S. 1005

Schnettler, A., siehe Föllmer, B.:
H. 7, S. 586–590

Schobesberger, P., Tschanun, I., und Zimmer, H.:
Betriebserfahrungen an einer Reststoffeuerungsanlage mit neuartigem Wirbelschichtverfahren
H. 11, S. 1009

Schöckle, F., siehe Bartonicek, J.:
H. 2, S. 160

Scholz, W., und Wuttig, H.:
Sensorik und intelligente Meßumformer – Übersicht und Tendenzen –
H. 2, S. 164

Schöngrundner, W., und Reimann, C.:
Erfahrungen mit dem Einsatz von feuchtem REA-Gips bei den Wietersdorfer & Peggauer Zementwerken
H. 6, S. 552–556

Schöngrundner, W.:
Die Verwertung von Kraftwerksreststoffen bei den Österreichischen Draukraftwerken – Ein Schwerpunkt: Braunkohlen-Aschen als mineralische Deponieabdichtungsmaterialien –
H. 11, S. 1013

Schöntag, W., und David, P.:
Betriebserfahrungen mit der zweistufigen REA des 900-MW-Kohleblocks HKW München Nord
H. 11, S. 1014

Schoop, U.:
Erfahrungen mit Rohrkugelmühlen
H. 11, S. 1005

Schopf, N., Peters, W., König, B., Smit, W., Burmester, K., und Sundermann, R.:
NO_x-arme Öl- und Gasfeuerungen für Industrie- und Heizkraftwerke
H. 12, S. 1041–1046

Schreiber, W., siehe Hannes, K.:
H. 2, S. 139–146

Schreier, W., siehe Baßow, C.,
H. 11, S. 1008

Schröder, G., siehe Maier, H.:
H. 11, S. 1014

Schröder, M.:
Korrosionen an Elektrofiltern hinter REA nach dem Sprühabsorptionsverfahren
H. 9, S. 777–782

Schröfelbauer, H., Novak, M., und Tauschitz, J.:
Das Nachrüst- und Erneuerungskonzept für die Wärmekraftwerke des Verbundkonzerns
H. 1, S. 4–14

Schuhmacher, K.-H.:
Optimierungsmaßnahmen an einem Heizkraftwerk mit Wirbelschichtfeuerung
H. 11, S. 1008

Schüler, D., siehe Verstege, S.:
H. 10, S. 843–849

Schulze-Eckel, R., siehe Hartermann, R.-U.:
H. 11, S. 1007

Schuster, H., Böse, D., Klein, M., Kehr, M., und Schettler, H.:
Entwicklungen und Planungsstudien für braunkohlebefeuerte Dampferzeuger mit hohem Wirkungsgrad und emissionsarmer Feuerung
H. 1, S. 30–35

Schuster, H., siehe Simon, E.:
H. 11, S. 1006

Seifert, J., siehe Krüger, U.:
H. 2, S. 165

Seifert, S., und Lapp, H.:
Einsatz von Videotechnik für die Inspektion des RDB und Kerneinbauten im KKI 2
H. 2, S. 162

Siegel, M., siehe Mühle, E.-E.:
H. 1, S. 39–46

Siegel, M., siehe Mühle, E.-E.:
H. 2, S. 128–135

Simon, E., Lasthaus, D., und Schuster, H.:
Minderung der NO_x-Emissionen bei der Verbrennung problematischer Steinkohlen
H. 11, S. 1006

Simon, E., siehe Neupert, D.:
H. 3, S. 225–229

Simonson, J.M., siehe Jensen, J.P.:
H. 11, S. 1013

Smit, W., siehe Schopf, N.:
H. 12, S. 1041–1046

Sommer, P.:
Qualitätssicherung bei der Leittechnik-Planung, -Fertigung und -Montage
H. 2, S. 165

Sondermann, P., siehe Pfäffle, H.:
H. 7, S. 575–580

Sorensen, J.C., siehe Klosek, J.:
H. 12, S. 1066–1071

Stäbler, K.:
Die Ausbildung des Kraftwerkspersonals
H. 1, S. 1–3

Ståhl, K.:
Ein Kombi-Kraftwerk mit integrierter Biomassen-Vergasung
H. 11, S. 1007

Stahlberg, R., siehe Klein, K.:
H. 11, S. 1004

Stanton, J., und Ullmann, K.:
Die Auswirkungen eines Total-Quality-Management-Programms auf Zuverlässigkeit und Verfügbarkeit in einem US-Energieversorgungsunternehmen
H. 6, S. 509–514

Staudt, U., siehe Bursik, A.:
H. 11, S. 1013

Staudt, U., siehe Lasch, M.:
H. 11, S. 1015

Steczek, M., siehe Perkavec, M.A.:
H. 11, S. 1007

Steinlein, H.:
Konkurrierende Umweltgesichtspunkte beim Betrieb von Wärmekraftwerken
H. 11, S. 1014

Stellbrink, B.:
Erste Erfolge mit innovativer Technik im Kraftwerk Staudinger 5
H. 4, S. 322–326

Stellwag, B., siehe Langner, A.:
H. 7, S. 618–625

Stellwag, B.:
Dosisleistungsreduktion in Kernkraftwerken durch Zinkdosierung – Inhalte und Untersuchungsstand eines VGB-Projektes
H. 11, S. 1015

Stolte, J., siehe Perko, H.-D.:
H. 4, S. 402

Strack, P.H., siehe Pfäffle, H.:
H. 7, S. 575–580

Sturm, A., siehe Henrichs, M.:
H. 8, S. 682–687

Sturm A., siehe Trübenbach, M.:
H. 2, S.163

Sturm, A.:
Zustandsorientierte Instandhaltung für Kraftwerke
H. 2, S. 159

Sturm, A.:
Zustandsorientierte Instandhaltung für Kraftwerke
H. 6, S. 522–526

Sundermann, R., siehe Schopf, N.:
H. 12, S. 1041–1046

Svarc, V., siehe Turyna, R.:
H. 5, S. 458–460

Svoboda, C., siehe Herzog, R.:
H. 6, S. 527–531

Takahashi, M., Nakabayashi, Y., Fujita, M., und Kimura, N.:
Aktueller Stand der 350-MW-Wirbelschichtfeuerung Takehara und der 71-MW-Druckwirbelschichtfeuerung Wakamatsu der EPDC sowie der fortschrittlichen Stromerzeugung in Japan
H. 11, S. 1003

Tauschitz, J., siehe Schröfelbauer, H.:
H. 1, S. 4–14

Teichmann, B.:
Wasserlanzenbläser zur Reinigung von Feuerraumwänden bei Braunkohlenkesseln – Neuentwicklung
H. 4, S. 399

Tempel, W., siehe Kaulfuß, G.:
H. 10, S. 890–893

Tippkötter, Th., und Willmes, O.:
Der GFK-Liner als Korrosionsschutz von Rauchgaskanälen hinter Entschwefelungsanlagen bei Braunkohlekraftwerken
H. 11, S. 932–941

Torssell, K., siehe Pietzonka, F.:
H. 1, S. 64–74

Traeger, K., siehe Hacker, H.:
H. 10, S. 857–866

Trobitz, M., siehe Pache, W.:
H. 4, S. 403

Trost, M., und Schirmer, U.:
Optimale Auslegung von Feuerfest-Auskleidungen in Wirbelschichtsystemen
H. 11, S. 1009

Trübenbach, M., siehe Henrichs, M.:
H. 8, S. 682–687

Trübenbach, M., Sturm, A., und Henrichs, H.:
Nachweis von Rissen an der Beschaufelung von ND-Turbinen am Beispiel des Kraftwerks Moorburg
H. 2, S. 163

Tschanun, I., siehe Schobesberger, P.:
H. 11, S. 1009

Turowski, R., siehe Müller, M.:
H. 7, S. 613–617

Turyna, R., und Svarc, V.:
Beitrag zur Überprüfung einiger Gleichungen der Dissoziationskoeffizienten von Ammoniak und Wasser sowie des Verteilungskoeffizienten von Ammoniak im Wasser-Dampfkreislauf von Kernkraftwerken
H. 5, S. 458–460

Ullmann, K., siehe Stanton, J.:
H. 6, S. 509–514

Vaillant, J.C., siehe Blum, R.:
H. 8, S. 641–652

van der Kruit, P.C.:
Der Platz des Menschen im Universum
H. 12, S. 1002–1027

van der Veen, E., siehe Bartelink, M.:
H. 8, S. 663–666

van der Westhuizen, W.B.:
Probleme beim Warmstart von Kesselspeisepumpen
H. 4, S. 400

van Liere, J., siehe Kjaer, S.:
H. 7, S. 561–568

Vater, P., siehe Laue, Carola:
H. 10, S. 879–882

Venz, H., Meierer, H.P., Enkler, G., und Rühle, W.:
Anforderungen an die Kraftwerkschemie durch längere Zyklen und höhere Anreicherungen
H. 11, S. 1016

Verrier, K., siehe Havenaar, P.:
H. 11, S. 1007

Verstege, S., und Schüler, D.:
Umlaufende Verformungen an Gleitringdichtungen
H. 10, S. 843–849

VGB-ABE-Ausschuß:
Betriebserfahrungen mit Kernkraftwerken 1993
H. 4, S. 261–316

Villemeur, A.:
Reliability-Centered-Maintenance-(RCM-) Strategie bei EdF
H. 2, S. 159

Vitanza, C., siehe Karlsen, Torill M.:
H. 8, S. 697–700

Vogg, H., siehe Merz, A.:
H. 11, S. 1011

Vollmer, W., siehe Rukes, B.:
H. 5, S. 405–411

vom Berg, W., und Puch, K.-H.:
Verwertung von Rückständen aus Wirbelschichtfeuerungsanlagen
H. 3, S. 257

von Borries, W., siehe Katzer, Helga:
H. 10, S. 873–874

Voß, W., siehe Bartelink, M.:
H. 8, S. 663–666

Wagner, A., siehe Kott, H.:
H. 4, S. 402

Walenda, K., siehe Welzenbach, J.:
H. 2, S. 162

Waltl, J., und Fichte, W.:
Optimierung des Wasser-Dampfkreislaufes eines Zwangdurchlaufkessels durch verfahrenstechnische, betriebliche und chemische Maßnahmen
H. 3, S. 248–252

Wawzik, U., siehe Jung, H.:
H. 11, S. 1012

Weinig, J., siehe Bettenworth, H.:
H. 11, S. 1014

Weinzierl, K., siehe Hauk, R.:
H. 11, S. 1011

Weinzierl, K.:
Kohlekraftwerke der Zukunft
H. 2, S. 109–114

Weisser, H.:
Erfahrungen mit der Verbrennung von Abfällen in Wirbelschichtfeuerungen
H. 11, S. 1009

Welfonder, E.:
VGB-konforme Dokumentation
H. 11, S. 942–973

Wellnitz, G., siehe Arnswald, W.†:
H. 3, S. 230–235

Welzenbach, J., und Walenda, K.:
Planung und Ausführung von Revisionsarbeiten im Kernkraftwerk Oskarshamn I
H. 2, S. 162

Werdehausen, R.:
Anforderungen an die Automatisierung der Betriebsleitebene
H. 2, S. 166

Werner, U., siehe Korischem, B.:
H. 6, S. 537–542

Werres, H.:
Austausch von DH-Armaturen in den Kernkraftwerken Obrigheim und Neckarwestheim
H. 2, S. 163

Wich-Schwarz, S., siehe Bartonicek, J.:
H. 4, S. 402

Wied, W., und Braunstein, L.:
Einsatz eines Low-cost-DOC-Meßgerätes bei der Betriebsanalytik
H. 11, S. 1016

Wiesemes, K., siehe Gremme, Th.:
H. 9, S. 804–807

Wietbrock, V., siehe Żelkowski, J.:
H. 11, S. 1006

Wilhelm, M., Hölscher, W., und Langen, H.-J.:
Umgang mit wassergefährdenden Stoffen im Kraftwerksbetrieb
H. 3, S. 243–247

Wilke, W.-St., siehe Herzog, R.:
H. 6, S. 527–531

Willeboer, W., siehe Zon, G.D.:
H. 5, S. 436–441

Willeboer, W., und de Winter, H.M.J.:
Inbetriebnahmeerfahrungen mit der Anlage Buggenum
H. 11, S. 1006

Willmes, O., siehe Meyer, B.:
H. 11, S. 1009

Willmes, O., siehe Tippkötter, Th.:
H. 11, S. 932–941

Wischnewski, R., Renzenbrink, W., und Rüsenberg, D.:
Stand und Weiterentwicklung der KoBra-Technik
H. 11, S. 1006

Wittchow, E., siehe Rukes, B.:
H. 5, S. 405–411

Wittig, S.:
Gasturbinen für die Kraftwerkstechnik
H. 5, S. 416–420

Wittig, S.:
Fortschrittliche Gasturbinenprozesse
H. 11, S. 1003

Wollmann, H.J.:
Rieselplatten in Naturzug-Kühltürmen – Erfahrungen während der Betriebszeit –
H. 4, S. 401

Wollny, S.:
Entsorgung von Abfällen aus Kraftwerken
H. 9, S. 816–820

Wong, M., siehe Klosek, J.:
H. 12, S. 1066–1071

Wörner, J.-D., Reymendt, J., und Nordhues, H.-W.:
Dichtheitsanforderungen an Betonkonstruktionen im Kraftwerksbau
H. 12, S. 1081–1085

Wuttig, H., siehe Scholz, W.:
H. 2, S. 164

Yeager, K.E.:
Technik als Anstoß zum Strukturwandel in der Kraftwirtschaft der USA
H. 3, S. 187–192

Zabel, P.:
Stoffliche Charakteristik von Braunkohlenfilteraschen und Erfahrungen bei der Verwertung in der Bauwirtschaft
H. 12, S. 1086–1091

Zehner, P.:
Verfeuerung von Importkohlen in Wärmekraftwerken
H. 11, S. 1003

Żelkowski, J., Reuther, D., Schmid, K., und Wietbrock, V.:
Betriebserfahrungen mit Importkohlen und begleitende Untersuchungen
H. 11, S. 1006

Zielinski, Z.:
Untersuchungen zum Regelverhalten des CENTREL- und VEAG-Inselnetzes unter stationären und instationären Betriebsbedingungen
H. 12, S. 1047–1049

Zillessen, Chr.:
Einsatz von Kraftwerksreststoffen als Baustoff im untertägigen Steinkohlenbergbau
H. 3, S. 257

Zilling, H., siehe Konrad, H.:
H. 11, S. 924–931

Zimmer, H., siehe Schobesberger, P.:
H. 11, S. 1009

Zon, G.D., de Winter, H.M.J., und Willeboer, W.:
Kohlevergasung im Dienste der Stromerzeugung: die Demo-KV STEG
H. 5, S. 436–441

Zschau, M., siehe Arnswald, W.†:
H. 3, S. 230–235

Zschau, M., und Niederhoff, K.:
Rohrleitungskonstruktion mit dem neuen Stahl P 91 einschließlich Induktivbiegung
H. 2, S. 150–157

Zuideveld, P.L., siehe Koopmann, E.W.:
H. 11, S. 974–977

Zwahr, H., siehe Menke, D.:
H. 11, S. 1010

In den 12 Heften des Jahrgangs 74 (1994) sind enthalten:

1	2	3	4	5	6
1 – 88	89 – 172	173 – 260	261 – 404	405 – 468	469 – 560
7	8	9	10	11	12
561 – 640	641 – 728	729 – 824	825 – 902	903 – 1020	1021 – 1102

Sachverzeichnis 1994

Abdichtungen für Hochtemperatur-Armaturen 857
Abdichtverfahren für Leckage 772
ABE-Ausschuß der VGB, Jahresbericht 261–316
Abfall 808, 816
— besonders überwachungsbedürftig 816
— Entsorgung 816
— nicht überwachungsbedürftig 817
— überwachungsbedürftig 817
Abfallbegriff 816
Abfallbehandlung: Kunststoffe 236, 688
Abfallbilanz 808
— betriebliche (Beispiel) 813
— gesetzliche Grundlagen (Bund, Länder) 808
Abfallgesetze 808
— des Bundes, der Länder 808
Abfallverbrennung, Brennstoffqualität 442
Abfallvergasung 790
— Stoff- und Energiebilanz 795
Abfallwirtschaft 808
Abfallwirtschaftskonzepte 808
— betriebliche (Beispiel) 812
— gesetzliche Grundlagen (Bund, Länder) 808
Abgasreinigung, Hochtemperatur (siehe Hochtemperatur-Abgasreinigung) 174, 561, 595, 898
Abhitze-Dampferzeuger, Heiß- und Kaltstart 536
Abhitzekessel hinter GuD-Anlagen, Konstruktion und Betriebsverhalten 1037
Ablagerungen in Gasturbinen-Brennkammern 558
Abwasseranalyse, kontinuierliche Überwachung auf geringe Ölkonzentrationen 386
800-MW-Blöcke Boxberg, Auslegung, Aufstellung der Dampferzeuger 208–212
Aktivkohle, Untersuchung zur Erschöpfung bezüglich Iod-Rückhaltung 988
Altbach-Deizisau, Block HKW 2 der Neckarwerke 199–207
Altkunststoff-Verwertung 236
Ammoniak
— Bestimmung in Rauchgasen 701
— ungleichmäßige Verteilung von NH_3 in DENOX-Anlagen 54
— Verteilung im Sekundärkreislauf einer DWR-Anlage 458
Ammoniak-Schlupf 144
— Bestimmung in Rauchgasen 701
— in DENOX-Anlagen durch Rauchgasschieflage 54
Analyse
— kontinuierliche Überwachung von Wasser und Abwasser auf geringe Ölkonzentrationen 386
— von Rauchgasen, Bestimmung von Ammoniak 701
— von Reststoffen mittels Röntgenfluoreszenzspektroskopie 549
Analysenautomaten, Datenverarbeitung und Laborautomation im Kraftwerkslabor 804
Anbackungen an E-Filter 777
Armaturen
— Hochtemperaturbereich 857
— Panzerungen 924, 1061
Atomemissionsspektroskopie mit induktiv gekoppeltem Plasma, im Vergleich mit Röntgenfluoreszenzspektroskopie 549
Auffangwannen, Konstruktionsdetails 1084
Auftragschweißen für Armaturen 924, 1061
Auftriebswirkung in Flammen 822
Ausbildung 1–3, 527
Auslegung von Kraftwerken mit hohen Dampfzuständen 405–411
Automatisierung, Datenverarbeitung und Laborautomation im Kraftwerkslabor 804

Ballastkohle-Kraftwerk 139
Bau- und Montageüberwachung 729
Begleitscheinverfahren 818
Bekohlungsanlagen
— Brandbekämpfung 53
— Brandmeldesysteme 51–53
Beschichtung, Versuche zur Entfernung 995
Beschichtungen, hochenergetische in der Kraftwerkstechnik, Anwendungspotentiale 136–138
Beschichtungsentfernung, ohne radioaktiv kontaminierten Sekundärabfall 991
Beta-Dosimetrie, Praxis in Kernkraftwerken 629
Beton, Eindringen wassergefährdender Stoffe 1082
Betonbau, Richtlinie beim Umgang mit wassergefährdenden Stoffen 1081
Betonbauteile, Dichtheitsnachweise mit Sicherheitsbeiwerten 1083
Betonflächen, beschichtet und unbeschichtet, für Auffangwannen 1085
Betonkonstruktionen, Dichtheitsanforderungen gemäß WHG 1081
Betriebserfahrungen, Gasturbinen V 64.3 427
betriebsgerechte Leittechnik, Dokumentation 952–954
BFS Betriebsführungssystem, rechnergestütztes, Erfahrungen bei PreussenElektra 515–521
Bildschirmtechnik, Einsatz, Trend 479
Biomassen, Verbrennung und Vergasung (siehe auch Vergasungsverfahren) 317, 437, 462, 595, 917, 921, 1007, 1009
Blitzeinschlag
— durch eingekoppelte Spannungen 1050–1054
— Messung der eingekoppelten Spannungen 1050–1054
BOB-Fahrweise, Gasturbinen 769
Borsäure, Verhalten beim Verdampfen borsäurehaltiger Abwässer 454
Boxberg
— Auslegung und Aufstellung der Dampferzeuger für 800-MW-Blöcke 208–212
— Block P, Ergebnisse der Ertüchtigung 789
Brandbekämpfungseinrichtungen in Bekohlungsanlagen 53
Brandfrüherkennung im Müllbunker 873
Brandmeldesystem in Bekohlungsanlagen 51–53
Braunkohledampferzeuger, Dimensionen 706
Braunkohlefeuerungen 30
— Entwicklungspotential 1003, 1005
— Verschlackung 31
— Wirkungsgrade 33
Braunkohlekraftwerk, Optimierung des technischen Aufbaus 706
Braunkohlen
— feuerungstechnische Maßnahmen 32
— Mahlanlage 33
— Vergleich West–Ost 31
Braunkohlenfilteraschen 1086
— Anforderungen 1086
— Qualitätssicherung 1087
— stoffliche Charakterisierung 1086
— Verwertung in der Bauwirtschaft 1088
Brennelemente, Untersuchung des Korrosionsverhaltens im Test-Reaktor Halden 697
Brenner für Gasturbinen-Brennkammer 429, 733
Brennkammern von Gasturbinen 182, 365, 418, 429, 558, 634, 733
Brennkammertemperatur, Braunkohlen-Feuerung 211
Brennstoff-Druckumwandlung, Verfahrensvergleich 181, 563
Brennstoff-Druckumwandlung, Wirkungsgrade 111, 177, 362
Brennstoffwechsel, Auswirkungen 1005
Brennstoffzellen 177/178
— Entwicklung 177, 568, 898
BRITE-EURAM-Programm, Lebensdauerüberwachungssystem 831–836
Brutreaktor-Unfall, Simulation 1093
Buggenum (siehe Kraftwerk Buggenum)
Bussysteme
— Stand der Normungsarbeiten 840
— typische Vertreter der... 837

CEN (Europäisches Regelwerk) 729
CENTREL, Stromverbund für Tschechien, Slowakei, Ungarn und Polen 1047/1048
Chemie
— in Rauchgasreinigungsanlagen 54
— NO- und N_2O-Bildung in Wirbelschichtfeuerungen 1072
chemische Vorgänge bei der NO- und N_2O-Bildung in Wirbelschichtfeuerungen 1072
Clean-Coal-Technologie 317, 736, 1006
Cockpit-Warte
— Block 5 des Kraftwerkes Staudinger 322–326
— Konzept, Aufbau, Erfahrungen 581–585
Compound-Abdichtungen 772
CO_2-Problematik 914

Dänemark, Initiativen zur Clean-Coal-Technologie 317–321
Dampferzeuger
— 800-MW-Blöcke in Boxberg, Auslegung, Aufstellung 208–212
— Druckteilertüchtigung 787
Dampfkraftwerke, dickwandige Bauteile, X 20 CrMoV 12 1, X10 CrMoVNb 9 1 64
Dampfparameter, erhöhte für 700-MW-Steinkohleprojekt Heßler der VKR 25–29

Dampfturbinen
— Bauteillebensdauer 39, 128
— Laufunruhe 825
— Lebensdauerverlängerung 39, 128
— Kondensationsvorgänge 569
— neue Werkstoffe 338
— Schaufelschäden 682
— Ursachen für Ausrichtungsänderungen 825
— Ursache für Brände 825
— Ursache für Schäden 825
— Werkstoffkennwerte 39, 128

Dampfturbinengehäuse, Schadensursachen 825

Dampfturbinenkonstruktion 338

Dampfturbinenlager, Schadensursachen 825

Dampfturbinenschaufeln, Schadensursachen 825

Dampfzustände (hohe), Kraftwerke mit… 405–411

Deckelverschluß, Armaturen für Hochtemperaturen 587

Demonstrationsanlagen „Clean Coal" (siehe auch Kraftwerk Buggenum) 1006, 1007

DENOX-Anlagen
— Bestimmung von Ammoniak 701
— ungleichmäßige Verteilung von NH_3 54

DENOX-Katalysatoren, Desaktivierung 54

Deutsch-französischer Druckwasserreaktor EPR 1032–1036

Diagnosesystem für Sicherheitsventile 586

Diagnostik, meßtechnikgestützte 524

Dichtungen mit Gleitringen für Generatorgas 843

Dioxine bei MVA 984

Dissertationen zur Kraftwerkstechnik 394

Dokumentation in der Leittechnik 942–973

Dokumentation, rechnergetützte 956/957

Druck-Kohlenstaubfeuerung (DKSTF) 567

Drucklufterzeugung, Schraubenkompressor 373

Druckschwingungen im Feuerräumen 166

Druckstoß bei HD-Rohrleitungen 850

Druckstoßreinigung von Filtern 558

Druckvergasung (DV) (siehe auch Vergasungsverfahren) 109, 436, 562, 692, 722, 790, 974, 1006, 1007

Druckverluste bei HD-Rohrleitungen 850

Druckwasserreaktor
— Bestimmung der α-Aktivität von Primärkühlwasser mittels Kernspurfiltern 879
— europäischer EPR 1032–1036
— Untersuchung des Korrosionsverhaltens von Werkstoffen im Testloop Řež 626
— Verdampfen borsäurehaltiger Abwässer 454
— Verhalten von Ammoniak im Sekundärkreislauf 458

Druck-Wirbelschichtfeuerung (DWSF) 111, 254, 563, 736, 1010

Druckzerstäuber-Brenner 167

E-Filter hinter REA 777

E-Filter-Korrosion 777

Einwellenanordnung GT/DT 532

Eisen, Reduzierung im Wasser-Dampfkreislauf eines Zwangdurchlaufkessels 248

elektrische Spannungen bei Blitzeinschlag, Rechenverfahren zur Ermittlung der… 1050–1054

Elektro-Speisepumpen (800-MW-Block) 469

Emissionen, NO- und N_2O-Bildung in Wirbelschichtfeuerungen 1072

Energie-Controlling durch Kraftwerkseinsatz-Optimierungssystem 575–580

energiedispersive Analyse, Röntgenfluoreszenzspektroskopie mit polarisierter Strahlung (ED-PRFA) zur schnellen Elementanalyse an Reststoffen 549

Energieeinsparung 1030

Energiemarkt in Großbritannien 95–98

Energieversorgung, kommunale und industrielle 663

Energiewirtschaft der Niederlande 1028

Engineering Analyzer 527

Entsorgung 816

Entwicklung, Gasturbinen 416

Entwicklungstendenzen von Konzepten für fossilbefeuerte Kraftwerke 173–186

EPR, europäischer Druckwasserreaktor 1032–1036

Erdgasverdichter, Gasturbinen 431

Erfahrungsaustausch der Kernkraftwerke im ABE-Ausschuß der VGB 261–316

Erneuerungs- und Nachrüstkonzept für Wärmekraftwerke in Österreich 4

Ertüchtigungsmaßnahmen, Boxberg P 787

Esbjerg Block 3, Erfahrungen aus Inbestriebnahme 15

ESPAG-Verfahren zur Abfallvergasung 794

europäischer Druckwasserreaktor EPR 1032–1036

Expertensystem MODI, leittechnische Erfahrungen 225–229

Expertensysteme, Entwicklung, Erwartungen 481

FDDI-Übertragungssystem 837

Feldbereich in der Leittechnik, offene Kommunikation 839

Feldbustechnik, Anwendung im Kraftwerk 840/841

Feldverkabelung 841

Fernwärmeversorgung in Korea 412

ferritisch-martensitische hochwarmfeste Stähle in den USA, Japan und Europa 641–652

Festvortrag VGB-Kongreß „Kraftwerke 1994" 1022

Feuerfest-Auskleidung 1005, 1009

Feuerungen 1003
— VGB-Tätigkeit 735

Filmsieden 84

Flanschabdichtungen bei Leckage 772

Fluoreszenzmessung, kontinuierliche Überwachung von Wasser und Abwasser auf geringe Ölkonzentrationen 386

Fluorwasserstoffkonzentration, Transfer über den Regavo 657

Forschungsschwerpunkte, Gasturbinen 416, 634

fortgeschrittene Dampfparameter, Designstudie für kohle- und gasbefeuertes Kraftwerk 119–123

Frankreich, Kraftwerkstechnik 99–102

französisch-deutscher Druckwasserreaktor EPR 1032–1036

Freilauf-Rückschlagventil, Mindestmenge 47

Freistrahl-Diffusionsflammen 822

funktionsbezogene Leittechnik-Dokumentation 942–950

Funktionspläne, Hinweise zur Gestaltung 954–956

Galaxie 1022

Gasreinigung bei Abfallvergasung 791

Gasturbinen
— Betriebserfahrungen mit V 64.3 427
— BOB-Fahrweise 769
— Brennkammern 1003, 1005
— Entwicklung 361, 416
— Erdgasverdichter 431
— Forschung 416
— Heizkraftwerk, gestalterische Anforderungen 893
— Kombi-Prozesse 493, 665
— Konstruktion 361
— Kraft-Wärme-Kopplung 493, 665
— Schadensfrüherkennung 783
— Werkstoffe 361

Gasverwertung bei Abfallvergasung 791

Gehäuseabdichtung, HD-Armaturen 857

Gestaltänderungsenergiehypothese, KTA-Regel, mehrachsiger Spannungszustand 498

gestützte Weichstoffkompensatoren 762

Getriebe, Schadensursachen 825

GFK im Kraftwerk 653, 932

Gichtgas-Feuerung 1007

glasfaserverstärkter Kunststoff im Kraftwerk 653, 932

Gleitringdichtungen für Generatorgas 843

Großbritannien, Energiemarkt 95–98

Grosskraftwerk Mannheim, Regavo in Rauchgasentschwefelungsanlagen 657

GuD-Durchlauf-Abhitzekessel für Heißdampfspeicherung 36–38

Gummierungen in REA 383

HAT-Prozeß 177/178

Hausmüllverbrennung 738

Heinrich-Mandel-Preis 911

Heißgas-Filterung (siehe Hochtemperatur-Abgasreinigung)

Heizkraftwerke, ostdeutsche, Wege zur Erneuerung 327–334

Heizkraftwerksneubau, geringe Entfernung zur Wohnbebauung 890

Heßler-700-MW-Steinkohleprojekt der VKR 25–29

HD-Rohrleitungen, Sanierung 591

Hochdruckrohrleitungen (Blockgröße 800 bis 1000 MW) 850

Hochtemperatur
— Abgasreinigung 84, 558, 610
— Armaturen 857
— Prozeß für 700-MW-Steinkohleblock, Projekt Heßler der VKR 25–29

hochwarmfester ferritisch-martensitischer Stahl in den USA, Japan, Europa 641–652

hohe Dampfzustände, Kraftwerke mit 405–411

Holz-Verbrennung in Kraftwerken 921

Hydrierung von Kunststoff-Abfall 236, 688

Immissionsschutzplan
— Gaußsches Ausbreitungsmodell 449
— Immissionsmeßnetz 449
— Kraftwerk Dürnrohr 449
— Trajektorien-Rückrechnung 449
— Umgebungsüberwachung 449

Importkohle-Einsatz 1003, 1005/1006

Inbetriebnahmeerfahrungen Esbjerg Block 3 15

Industrieanlagen, Erscheinungsbild im Landschaftsraum 708

Industriearchitektur, kulturgesellschaftliche Verpflichtung 893

Industriemüllverbrennung, Rauchgasreinigung 537

Informationsaufbereitung, Leittechnik 583

innovative Technik im Kraftwerk Staudinger 5, erste Erfolge 322–326

Inselnetze, Untersuchungen des Regelverhaltens 1047/1048

Instandhaltung
— Kostenreduzierung 526
— Konzentration der Fachkompetenz 525
— schadensbezogen 522
— Verbesserung der Arbeitsverfügbarkeit 667
— zustandsorientiert 522
— Zustandswissen 524

Instandhaltungsstrategie
— Anforderungen 667
— angemessener Einsatz 667
— Gliederung 667

Iod, Rückhaltung durch Aktivkohle 988

IR-Technik, Anforderungen bei Einsatz zur Brandfrüherkennung 873

Jahresbericht des ABE-Ausschusses der VGB, Kernkraftwerke 261–316

Japan, Stand und Perspektiven der Kraftwerkstechnik 193–198

Kaltgas-Wirkungsgrad der Vergasung 975

katalytische Verbrennung in Gasturbinen-Brennkammern 1004

katalytischer Dioxin-Abbau 984

Keilplatten-Schieber, Aufpanzerungen 924

keramische Bauteile 84

Kernenergie 914

Kernkraftwerke
— Bestimmung der α-Aktivität mittels Kernspurfiltern 879
— Betriebserfahrungen 1993 im ABE-Ausschuß der VGB 261–316
— Halden-Reaktor als Untersuchungsinstrument zum Werkstoffverhalten 697
— Nichtverfügbarkeit 223/224
— Testloop in Řež 626
— Untersuchung des korrosionsgestützten Rißwachstums in Hochtemperaturwasser 797
— Untersuchung zur Erschöpfung von Aktivkohle bezüglich Iod-Rückhaltung 988
— Verdampfen borsäurehaltiger Abwässer 454
— Verhalten von Ammoniak im Sekundärkreislauf von DWR-Anlagen 458

Kernschmelz-Simulation 1018

Kesselsaugzug, Abhilfe im Schadensfall 147

Klimaschutz
— CO_2-Minderungspotential 613
— Erdgas als Substitutionsenergie 613
— Fernwärme, Klimaschutz 613
— Kernenergie, Klimaschutz 613
— Kohlekraftwerke, Wirkungsgrade 613
— Kraft-Wärme-Kopplung, Klimaschutz 613
— Stromnachfrage-Entwicklung 613

KoBra-Vergasungsanlage 1006

Körperschallanalyse, Schadensfrüherkennung 783

Kohlecharakterisierung 735, 1003, 1005, 1006

Kohleeignung zur Vergasung 976

Kohlefeuerungen, Spurenelement-Bilanzierung 822

Kohlegas, Verbrennung in Gasturbinen-Brennkammer 437, 533

Kohle-Kombi-Kraftwerke (KKK) 109, 178, 436, 561, 609, 722, 735, 1006, 1007, 1066

Kohlekraftwerke, neue Konzepte 561–568

Kohle-Mahlanlagen 1005
— Rohrmühlen 142

Kohlenstaubbrenner, Berechnung 558, 462, 210

Kohlenstaubfeuerung
— Berechnung 722
— Staudinger 5 322, 1006

Kohlenstaubleitungen 1005

kohle- und gasbefeuertes Kraftwerk mit fortgeschrittenen Dampfdaten, Designstudie von SK Power 119–123

Kohlevergasung
— COREX-Verfahren 1007
— Rohgaskühler 1007
— Shell-Verfahren 437, 974

Kohle-Vergasungsanlage, Buggenum 437, 532

Kombi-Anlagen für Gas- und Ölfeuerung 421–426

Kombi-Prozesse
— Gasturbinen 493, 665
— geschlossener Gasturbinen-Kreislauf 84

Kommunikationssysteme, leittechnische, Kriterien zur Bewertung 838

Kompaktsimulator 527

Kompensatoren, Weichstoff 762

Komponenten von Kraftwerken, Tendenzen 182–186

Kompressoren für Druckluft, Schraubenkompressoren 373

Kondensation
— saure Kondensate im Regavo von Rauchgasentschwefelungsanlagen 657
— Verhalten anorganischer Inhaltsstoffe 618

Kondensationsvorgänge
— Dampfturbinen 569
— Naßdampfturbine 569

Kondensatorrohre, Schadensursachen 825

Kongreß „Kraftwerke 1994" 914

Konstruktion
— Dampfturbinen 338
— Gasturbinen 361

Kontrollbereich, radioaktive Kontamination von Polymerbeschichtungen 991

Konzepte, neue, für Kohlekraftwerke 561–568

Korrosionen
— in Feuerräumen 1006, 1009
— im Regavo von Rauchgasentschwefelungsanlagen 657
— Untersuchung der Werkstoffschädigung von DWR- und SWR-Anlagen im Testloop Řež 626
— Untersuchung des Werkstoffverhaltens im Test-Reaktor Halden 697

Korrosionsschutz
— bei E-Filtern 777
— von Rauchgaskanälen mit GFK 932

Kraft-Wärme-Kopplung, Gasturbinen 493, 665, 1030

Kraftwerke
— Buggenum 436, 532, 605, 974, 1006, 1029, 1066
— Einflüsse und Auswirkungen auf die Verfügbarkeit 220–224
— Grosskraftwerk Mannheim, Regavo in Rauchgasentschwefelungsanlagen 657
— Kendal 1097
— Offenbach 1008
— Provence/Gardanne 1010
— Simmering, Block 3, Inbetriebsetzung, erste Betriebserfahrungen 115–118
— Standortvorgabe mit städtebaulichen Zwängen 892
— Verfügbarkeit und Nachrüstung/REA, Behörden, neue Technologien 220–224
— Walheim, Wasseraufbereitung mit Umkehrosmose und nachgeschalteten Multistep-Filtern 875

Kraftwerker 1–3

Kraftwerksanlagen, Projekte in der ehemaligen DDR 705

Kraftwerkschemie
— Datenverarbeitung und Laborautomation im Kraftwerkslabor 804
— in Rauchgasreinigungsanlagen 54

Kraftwerkseinsatz, Optimierungssystem Stadtwerke Düsseldorf 575–580

Kraftwerkskonzepte für fossile Brennstoffe, Stand, Anforderungen, Entwicklung 173–186

Kraftwerksmeister 1–3

Kraftwerkspersonal 1–3

Kraftwerksreststoffe in Österreich 1000
— Entschwefelung 1001
— Reststoffmengen 1000
— Verwertung 1000

Kraftwerks-Simulator-Gesellschaft mbH 1–3

Kraftwerkstechnik
— Frankreich 99–102
— Japan, Stand, Perspektiven 193–198
— neue 914
— Technik und Architektur 892

Kraftwirtschaft
— Umstrukturierung in Ostdeutschland 705
— USA, Strukturwandel 187–192

Kreislaufwirtschafts- und Abfallgesetz 808

Kunststoff-Vergasung 1004

Kunststoffverwertung 236

Kunststoffverwertung, thermische Verfahren 236, 688

KWS, KRAFTWERKSSCHULE E.V. 1–3, 729

Laboratorium, Datenverarbeitung und Laborautomation 804

Längsspannung bei Blitzeinschlag 1050–1054

Langzeit-Dehnverhalten von Stählen 634

Laserstrahl für Rohrleitungsvermessung 676

Laugen-Verbrennung 757

Learning by Doing 667

Lebensdauer, Dampfturbinenbauteile 39, 128

Lebensdauerüberwachungssystem (LMS) im Rahmen des BRITE-EURAM-Programms 831–836

Lebensdauerverlängerung, Dampfturbinen 39, 128
Leckabdichtungen von Kraftwerkskomponenten 772
Legierungen, Einsatz in REA 379
Leitfähigkeitsmessung im Wasser-Dampfkreislauf 543
Leittechnik
— Funktionseinheiten, Zurordnung zur Anlagen- und Leittechnikhierarchie 959
— Kommunikation 837–842
— Struktur 840
— Warte, Aufbau, Technik und Entwicklung 479–484
Leittechnik-Dokumentation 942–973
— Gestaltungsmerkmale der Hersteller 960–973
Luftüberschuß-Temperatursteuerung bei MVA 978
Luftverschmutzung in Korea 412

Mahlanlagen (Rohrmühlen) 142
Management im Umweltschutz 335
martensitisch-ferritische hochwarmfeste Stähle in den USA, Japan, Europa 641–652
Meldekonzept, Leittechnik 582
Membranverfahren, Wasseraufbereitung, Umkehrosmose mit nachgeschalteten Multistep-Filtern 875
Mensch-Maschine-Schnittstelle, Cockpit-Warte 584
Meßwerterfassung, Datenverarbeitung und Laborautomation im Kraftwerkslabor 804
Methoden zur Verstärkung des Wärmeübergangs auf Innenseite der Rohre 124–127
Mikrowellenbestrahlung, Absprengung bzw. Erweichung der Beschichtungen 998
Mindestmengen-Regelventil 47
Mitverbrennung von Biomassen in Kohlefeuerungen 318
Mitverbrennung von Reststoffen in Öl-/Gasfeuerungen 1008
Modellbeschichtungsstoffe, Charakterisierung 994
MODI-Expertensystem 225–229
Müllentsorgung in Industrieländern 736
Müllverbrennung, Kesselberechnungen 978
Müllverbrennungsasche 1093
Müllvergasung 790
Multistep-Filter, Wasseraufbereitung mit Umkehrosmose und nachgeschalteten Multistep-Filtern 875
MVA, Brandfrüherkennung im Bunker 873

Nachrüst- und Erneuerungskonzept für Wärmekraftwerke in Österreich 4
Nachrüstung von Kohlekraftwerken, Nichtverfügbarkeit 220–224
Naßdampfturbine, Kondensationsvorgänge 569
Naturzugkühltürme, Simulation 1018
Neckarwerke, HKW 2 als Verbundblock 199–207
Neubaukraftwerke, Konzeptfindung von Anlagentechnik und Architektur 710
Neubauplanung, Niederlande 1028
neue Kraftwerke 729
Neutronenfluß-Meßsystem, digitales 485–492
Nichtverfügbarkeit durch Nachrüstung, REA/DENOX 220–224
Niederlande, Energiewirtschaft 1028
NOELL-Verfahren zur Abfallvergasung 794
NO_x
— Grundlagenuntersuchungen zur NO- und N_2O-Bildung in Wirbelschichtfeuerungen 1072
— Minderung 1002, 1006, 1007, 1072
— Primärmaßnahmen 139, 167, 210, 463, 1041
— Sekundärmaßnahmen (DENOX), nichtkatalytische und katalytische Reduktion (SNCR/SCR) 143, 462, 634
NO_x-arme
— Brenner 140, 439, 462, 558, 1007, 1041
— Öl- und Gasfeuerung, System TEMINOX 1041
N_2O-Bildung und Reduktion 462, 1072

Öko-Bilanz der Kunststoffverwertung 236
Öl, kontinuierliche Überwachung von Wasser und Abwasser auf geringe Ölkonzentrationen 386
Ölbrenner in Gasturbinen-Brennkammern 634
Ölmeßgeräte, Überblick über verschiedene Meßmethoden zur Überwachung von Öl auf oder in Wasser 386
Öl- und Gasfeuerungen
— Kombi-Kraftwerke 1007, 1008
— NO_x-Minderung 1041
Österreich, Erneuerungs- und Nachrüstkonzept für Wärmekraftwerke 4
Optimierung des Kraftwerkseinsatzes zum Energie-Controlling 575–580
Organisation im Umweltschutz 335
Orimulsion-Feuerung 1008, 1014
Osmose, umgekehrte, Wasseraufbereitung mit Umkehrosmose und nachgeschalteten Multistep-Filtern 875
ostdeutsche Heizkraftwerke, Wege zur Erneuerung 327–334

Panzerungen für Armaturen 924, 1061
Parallelplatten-Schieber, Aufpanzerungen 924
Partikelbildung in Abgasen 898
Personal 1–3
Perspektiven und Stand der fossilbefeuerten und nuklearen Kraftwerkstechnik in Japan 193–198
PHARE-Programm der EU 729
PKA-Verfahren zur Abfallvergasung 793
Primärkreislauf, Bestimmung der α-Aktivität mittels Kernspur-Miktrofiltern 879
PROFIBUS, Prozeß-Feld-Bus 838
Prozeßführung 755, 1008
— wissensbasiert 225–229
Prozeßverhalten 527
Prozeßwarten 480
Prüfung von Sicherheitsventilen 586
Pumpenüberwachung, Schadensfrüherkennung 783
Pyrocom-Verfahren zur Abfallvergasung 791
Pyrolyse
— Verfahren zur Abfallvergasung 791
— von Kunststoffabfall 236, 688

Qualitätssicherung, Datenverarbeitung und Laborautomation im Kraftwerkslabor 804
Quality Management, Auswirkungen auf US-Energieversorgungsunternehmen 509–514

RAO-EES, neue staatliche, russische Aktiengesellschaft für Energiewirtschaft und Elektrifizierung 89–94
Rauchgase
— Bestimmung von Ammoniak 701
— NO- und N_2O-Bildung in Wirbelschichtfeuerungen 1072
— ungleichmäßige Verteilung von NH_3 in DENOX-Anlagen 54
Rauchgasentschwefelung 174
— Bildung von Schwefel/Stickverbindungen bei der Rauchgasentschwefelung 54
— Gebläse 148
— Gummierungen 383
— in Korea 412
— Konstruktionsmaterialien 376
— Korrosion 376
— Korrosion im Regavo von Rauchgasentschwefelungsanlagen 657
— Kunststoffe 381
— Legierungen 379
— Schornsteine 376
Rauchgaskanäle mit GFK 932
Rauchgasreinigung
— bei Industriemüllverbrennung 537
— Berechnungen über den Waschvorgang 537
Rauchgastemperatur bei MVA 978
REA-Abwasser (Aufbereitung) 60
— Abwassereindampfung 60
— ECL-Verfahren (Kostenvorteil) 63
— Fällprodukte 62
REA-Gips 552
— Einfluß auf Zementeigenschaften 553
— Einsatz in Zementwerken 552
REA mit GFK-Werkstoffen 653, 932
REA-Nichtverfügbarkeit in Westdeutschland und den USA 220–224
Rechnereinsatz, Datenverarbeitung und Laborautomation im Kraftwerkslabor 804
rechnergestützte Leittechnikplanung und -dokumentation 956/957
rechnergestütztes Betriebsführungssystem, Erfahrungen bei PreussenElektra 515–521
Regelventil, Mindestmenge 47
Regelverhalten von Inselnetzen 1047/1048
Restlebensdauer
— Dampfturbinenbauteile 39, 128
— Rohrleitungen aus niedriglegierten ferritischen Stählen 883
Restmüllverbrennung 442
Reststoff 808, 816
Revisionsumfang, 500-MW-Turbosatz 788

Ringbrennkammern für Gasturbinen 365, 371
Rißwachstum von korrosionsgestütztem Rißwachstum unter konstanter äußerer Last 797
Röntgenfluoreszenzanalyse, energiedispersive mit polarisierter Strahlung (ED-PRFA), Möglichkeiten zur schnellen Elementanalyse an Reststoffen 549
Rohrbläser, Schadensfrüherkennung 783
Rohrbogen, Mehrfach-Rißfelder 722
Rohrbündel-Wärmeübergang, Zustandsänderung 462, 558, 634
Rohrhalterungen, Sanierung 591
Rohrkugelmühlen 1005
Rohrleitungen
— Planung für 800 bis 1000MW 850
— tachymetrische Vermessung 676
Rohrleitungssanierung, HD-System 591
Rohrleitungssysteme, Lebensdauer-überwachungssystem 831–836
rohstoffliche Kunststoffverwertung 236
Rostfeuerung 917
— Betriebsergebnisse einer emissionsarmen Vorschub-Rostfeuerung 917
Rückdruckregler, Mindestmenge 47
Rückstand 816
russische Stromwirtschaft, Reformen der Leitung 89–94

Sammelstelle 817
Sanierung, HD-Rohrleitungen 591
Saurer Regen 446
— kritische Belastung 446
— Matador-Ausbreitungsmodell 446
— Säureablagerung 446
— Schwefel-Deposition in Großbritannien 446
SCR (siehe NO_x-Sekundärmaßnahmen)
Sicherheitsarmaturen, Aufpanzerungen 1061
Sicherheitspartnerschaftsprogramm der deutschen Kernkraftwerksbetreiber 729
Sicherheitsventile, Diagnosesystem 586
700-MW-Steinkohleblock Projekt Heßler der VKR 25–29
Siedewasserreaktoren
— Untersuchung zur Erschöpfung von Aktivkohle bezüglich Iod-Rückhaltung 988
— Untersuchungen des korrosionsgestützten Rißwachstums unter konstanter äußerer Last an niedriglegierten Stählen 797
Simmering, Block 3, Inbetriebsetzung, erste Betriebserfahrungen 115–118
Simulator 527
— Ausbildung 1–3
SNCR (siehe NO_x-Sekundärmaßnahmen)
SO_2-Emission, Asien 412
Speisepumpen, neue Größenordnung (800-MW-Block) 469
Speisewasser, Aufbereitung durch Umkehrosmose und Vollentsalzung mit Multistep-Filtern 875
Sprühabsorptionsverfahren 777
Spurenelemente, Bestimmung in Reststoffen mittels energiedispersiver Röntgenfluoreszenzanalyse mit polarisierter Strahlung (ED-PRFA) 549

Schaden, Dampfturbinen 825
Schadensfrüherkennung durch Körperschallanalyse 783
Schaufelschäden
— Dampfturbinen 682
— Wirbelstromprüfungen 682
Schieber, Auftragschweißungen 924
Schmelzfeuerungen 1005
Schmelzkammer-Feuerung, NO_x-Minderung 167
Schraubenkompressoren für Druckluft 373
Schraubenverdichter, Gasturbinen 431
Schüsselmühlen 1005
Schwachstellen, systematische 667
Schwefelsäure im Regavo von Rauchgasentschwefelungsanlagen 657
Schwel-Brenn-Verfahren zur Abfallvergasung 791
Schwel-Brenn-Anlage Dortmund 508
Schwermetalle, Bestimmung in Reststoffen mittels energiedispersiver Röntgenfluoreszenzanalyse mit polarisierter Strahlung (ED-PRFA) 549
Schwingungsdämpfer, Sicherheitsventile 586

Stadtwerke Düsseldorf, Erfahrungen mit Kraftwerkseinsatz-Optimierungssystem 575–580
Stähle, ferritische, martensitische, hochwarmfeste in den USA, Japan und Europa 641–652
Stand der Technik bei fossilbefeuerten Kraftwerken 173–186
Standortsituation, Proportionen und Funktion 893
Staudinger 5, Erfolge mit innovativer Technik 322–326
Steinkohlenflugasche
— Betonzusatzstoff 894
— Haupt- und Nebenbestandteile 713
— Lagerung 894
— Lieferung von Betonzusatzstoff 894
— ökotoxische Bewertung 714
— Produktionsüberwachung 894
— Qualitätssicherung 894
— toxische und arbeitshygienische Bewertung 713
Steuerungskonzept, Leittechnik 582
Stickoxidminderung, Primärmaßnahmen bei Braunkohle 787
Stickstoffoxide, Grundlagenuntersuchungen zur NO- und N_2O-Bildungin Wirbelschichtfeuerungen 1072
Störmeldungen, Aufbereitung 583
Stoffliche Verwertung von Abfällen 236
Stopfbuchsabdichtungen, bei Leckage 772
Strängigkeit der HD-Rohrleitungen 850
Strahlenexposition
— Baustoffe 718
— natürliche Radioaktivität 717
— Radon und Folgeprodukte 717
— Sekundärrohstoffe 718
Stromwirtschaft, russische, Reformen der Leitung 89–94
Strukturwandel in der USA-Kraftwirtschaft durch Technik 187–192
Stufenmischbrenner, Berechnung 558
Stufenverbrennung 167, 1018

Tachymeter, Rohrleitungsvermessung 676
TACIS-Programm der EU 729
Tätigkeitsbericht der VGB, Kurzform 729
Tagesfragen der Kraftwerkstechnik 914
Tangentialfeuerung 210
technische Diagnostik 523
Temperaturkompensation der Leitfähigkeitsmessung im Wasser-Dampfkreislauf 543
Temperaturverlauf bei MVA 978
thermische Abfallverwertung, Auswirkungen der Qualitätsveränderung des Brennstoffes 442
Thermoselect-Verfahren zur Abfallvergasung 794
Tieftemperaturkorrosion im Regavo von Rauchgasentschwefelungsanlagen 657
Total-Quality-Management-Programm, Auswirkungen auf US-Energieversorgungsunternehmen 509–514
TPEG, Twinning Programme Engineering Group 729
Turboflam-Forschungsprogramm 418, 634
Turbosatz, Ertüchtigung der ND-Läufer 788
Turbo-Speisepumpen (800-MW-Block) 469

Überwachung
— DENOX-Anlagen, Ammoniakbestimmung 701
— kontinuierliche Überwachung von Wasser und Abwasser auf geringe Ölkonzentrationen 386
Umkehrosmose, Wasseraufbereitung mit Umkehrosmose und nachgeschalteten Multistep-Filtern 875
Umweltrechtsentwicklung 335
Umweltschutz in der Energiewirtschaft der Niederlande 1028
Umwelttechnikentwicklung 335
Universum 1022
USA-Kraftwirtschaft, Anstoß zum Wandel durch Technik 187–192

VEBA-Verfahren zur Abfallvergasung 795
Ventilator-Mühlen 1005
Ventile, Schadensursachen 825
Verbrennungsregelung und -optimierung 758
Verbundbetrieb Erdgas/Kohle 179, 201
Verbundblock HKW 2 der Neckarwerke 199–207
Verbundkraftwerk 178/179
Verfügbarkeit
— Nachrüstung/REA, Behörden, neue Technologien 220–224
— Zuverlässigkeit durch Total Quality Management 509–514
Vergasung
— von Abfällen 790, 1004
— von Kunststoff-Abfall 236, 688

Vergasungsverfahren
— Festbett-Verfahren 1004
— Flugstrom-Verfahren 437, 974
— für Abfälle 790, 1004
— für Biomassen (siehe Biomassen)
— mit Luft 598, 1066
— mit Sauerstoff 437, 974, 1066
— Überdruckverfahren (siehe Druckvergasung)
— unter Atmosphärendruck 598, 1004
— Wirbelschichtverfahren 596, 1004, 1006

Vermessung, Rohrleitungen 676

Verpackungs-Verordnung 236

Verteilungsgleichgewicht
— Ammoniak im Sekundärkreislauf einer DWR-Anlage 458
— anorganische Inhaltsstoffe im Bereich der ersten Kondensation 618

Verwertung von Kraftwerksrückständen
— Braunkohleaschen 711
— REA-Gips 712
— Schmelzkammergranulat 712
— Steinkohlenflugasche 712

VGB-Ehrungen 903/904, 909

VGB-Forschungsprogramm 750, 883

VGB-FORSCHUNGSSTIFTUNG 750, 883

VGB-Tätigkeit 729

Vinylesterharz, GFK im Kraftwerk 653, 932

Vollast-Speisepumpe (800-MW-Block) 469

Vollentsalzung mit Umkehrosmose und nachgeschalteten Multistep-Filtern 875

Vormischverbrennung in Gasturbinen-Brennkammern 365, 371

VTA-Verfahren zur Altkunststoff-Verwertung 236, 688

Wärmespannungen, instationäre 1093

Wärmestromdichte, Verdampfer 822

Wärmeübergang, Verstärkung auf der Innenseite der Rohre, Vergleich der Methoden 124–127

Wärmeübertragung durch regenerative Gaswärmeaustauscher 657

Wartenpersonal, Aufgaben 480

Wasser, kontinuierliche Überwachung auf geringe Ölkonzentrationen 386

Wasserabscheider
— Einfluß auf den Wirkungsgrad 1060
— Elemente, Drahtgeflecht 1056
— Hochgeschwindigkeitsabscheider (MOPS/SCRUPS) 1055
— Reduzierung der Endfeuchte 1056
— Zwischenüberhitzer (WAZÜ) 1055

Wasseraufbereitung mit Umkehrosmose und nachgeschalteten Multistep-Filtern 875

Wasser-Dampfkreislauf
— elektrische Leitfähigkeit des Betriebsmittels 543
— Optimierung durch chemische Maßnahmen 248
— Verteilungsgleichgewichte anorganischer Inhaltsstoffe 618

wassergefährdende Stoffe 243
— F-, R- und I-Maßnahmen 245
— Gefährdungsstufen 244
— HBV-Anlagen 243
— Wassergefährdungsklassen 244

Wasser-Rußbläser in Feuerräumen 399

Wellenabdichtung, Speisepumpen 469

Wellendichtungen für Generatorgas 843

Weichstoff-Kompensatoren 762

Weiterbildung 1–3

Werkstoffe
— Dampfturbinen 338
— Gasturbinen 361

Werkstoffkennwerte, Dampfturbinenteile 39, 128

Wettbewerb in der Stromwirtschaft 914

Wiederkehrende Prüfung, Sicherheitsventile 586

Wiener Stadtwerke, Kraftwerk Simmering, Block 3 115–118

Wirbelschichtfeuerung
— Abfallverbrennung 1009
— Berechnung 254
— Entwicklungspotential 1003
— Feststoffe in zirkulierender Wirbelschicht 166, 898
— Feuerfest-Auskleidung 1009
— Großanlagen 1010
— in Rumänien 1010
— Korrosion 1009
— Mitverbrennung von Biomasse 319
— NO_x-Minderung 437, 974
— Optimierung 1008
— Rückstandverwertung 257
— Schwefeleinbindung 254
— Simulationsrechnung 1018

Wirbelschichtfeuerung (siehe Druck-Wirbelschichtfeuerung)

Wirbelschichtfeuerung (siehe N_2O-Bildung)

Wirbelschichtvergasung (siehe Vergasung)

Wirbelschichtvergasung zur Abfallbehandlung 795

Wirbelstromprüfungen, Schaufelschäden 682

Wirkungsgrade fortschrittlicher Kraftwerkssysteme 109, 173, 564, 1018

X 10 CrMoVNb 9 1
— Einsatz in Kraftwerken 230
— Rohrleitungskonstruktionen, Induktivbiegungen 150

Zeitstandbeanspruchung warmfester Stähle 822

Zircaloy, Untersuchung des Korrosionsverhaltens im Test-Reaktor Halden 697

Zuverlässigkeit, Verfügbarkeit durch Total Quality Management 509–514

Zwangdurchlaufkessel, Optimierung des Wasser-Dampfkreislaufes durch chemische Maßnahmen 248

Zweiphasen-Strömungen 1093

Persönliches 1994

ABB Industrietechnik AG,
Änderungen in der Führung
H. 12, S. 1094

Änderungen im Vorstand
der Fachgemeinschaft Armaturen im VDMA
H. 6, S. 559

Ahle, Manfred,
Geschäftsführer für Entwicklung bei Joh. Vaillant GmbH u. Co.
H. 10, S. 899

Ameling, Dieter,
Vorsitzender der Krupp-VDM-Geschäftsführung
H. 5, S. 463

Arnswald, Werner,
gestorben
H. 3, S. 258

Arriens, Karl-Heinz,
25 Jahre bei der VGB
H. 10, S. 899

Asmuth, Peter,
Technischer Vorstand der Elektromark AG
H. 2, S. 168

Backes, Heinz-Peter,
stellvertretender Vorsitzender des Bundesverbandes Kraftwerksnebenprodukte e.V.
H. 5, S. 463

Baier, Hubert,
BVK-Förderpreis zur Nutzung von Kraftwerksnebenprodukten
H. 11, S. 1019

Bechthold, Klaus,
Technischer Vorstand der Berliner Kraft und Licht (BEWAG)-AG
H. 2, S. 168

Behmisch + Partner,
Deutscher Architekturpreis
H. 1, S. 85

Beißwenger, Hans,
in der Geschäftsführung
der Lurgi Energie und Umwelt GmbH
H. 5, S. 463

Berg, Ulf,
Geschäftsbereichsleiter bei ABB Kraftwerke AG
H. 1, S. 85

Bilger, Hartmut,
Mitglied des EVS-Vorstandes
H. 4, S. 403

Böhm, Achim,
im Ruhestand
H. 1, S. 85

Böhm, Hans,
Ehrendoktorwürde
H. 10, S. 899

Bosholm, Jürgen,
gestorben
H. 2, S. 167

Brünecke, Ehrhardt,
gestorben
H. 1, S. 85

Bursik, Albert,
60 Jahre und im Ruhestand
H. 12, S. 1094

Czoguhn, Klaus,
als Präsident des VDI ausgeschieden
H. 6, S. 559

Dangl, Kurt,
gestorben
H. 8, S. 723

Daradimos, Georg,
in der Geschäftsführung
der Lurgi Energie und Umwelt GmbH
H. 5, S. 463

Dräger, Christian,
60 Jahre
H. 8, S. 723

Dreher, Arno,
gestorben
H. 7, S. 636

Fahlenkamp, Hans,
Leiter der Bereiche Anlagenbau und
Feuerungsanlagen bei ABB Umwelttechnik
H. 3, S. 258

Fraser Gesellschaft für Unternehmensberatung,
Änderungen in der Führungsebene
H. 11, S. 1019

Gilli, Paul Viktor,
70 Jahre
H. 5, S. 463

Goepfert, Reimer & Partner,
Wechsel in der Geschäftsführung
H. 10, S. 899

Grübener, Friedhelm,
Vorstandsmitglied bei der STEAG
H. 10, S. 899

Haag, Gottfried,
Ernennung zum Honorarprofessor
H. 4, S. 403

Hagenmeyer, Ernst,
AR-Vorsitzender der ESAG
H. 7, S. 636

Hansen, Sven,
Förderpreis des VDI erhalten
H. 5, S. 463

Härdtl, Reiner,
BVK-Förderpreis zur Nutzung
von Kraftwerksnebenprodukten
H. 11, S. 1019

Hirschfelder, Günter,
65 Jahre
H. 12, S. 1094

Höxtermann, Ernst,
60 Jahre
H. 3, S. 258

Kapteinat, Hans-Peter,
50 Jahre
H. 1, S. 85

Karg, Rolf,
Geschäftsführer bei ABB Turbinen
H. 2, S. 168

Kelber, Gerhard,
50 Jahre
H. 5, S. 463

Klaßmann, Wilfried,
Vertriebsleiter
bei Rohde & Schwarz GmbH & Co.
H. 10, S. 899

Koch, Hans,
75 Jahre
H. 11, S. 1019

Koch, Heinz,
aus dem Geschäftsführungsressort Technik
bei Krupp-VDM ausgeschieden
H. 5, S. 463

Kremer, Hans,
60 Jahre
H. 1, S. 85

Lange, Günter,
gestorben
H. 8, S. 723

Lefas, Constantin,
gestorben
H. 7, S. 636

Löffler, Friedrich,
gestorben
H. 2, S. 167

Lorenz, Walther,
gestorben
H. 3, S. 258

Lotz, Helmut,
25 Jahre bei Elektromark
H. 10, S. 899

Lueken, Andreas,
Geschäftsführer bei Uhde GmbH
H. 11, S. 1019

Marx, Peter,
65 Jahre
H. 5, S. 463

Marx, Peter,
im Ruhestand
H. 8, S. 723

Maurel, Vincent,
Chef der GEC Alsthom Electromécanique SA
H. 12, S. 1094

Melchior, Jochen,
Vorstandsvorsitzender bei der STEAG
H. 10, S. 899

Menges, Erik D.,
im Ruhestand
H. 10, S. 899

Moll, Klaus,
Vorstandsvorsitzender
der ABB Industrietechnik AG
H. 6, S. 559

Müller, Leonhard,
65 Jahre
H. 4, S. 403

Naarmann, Dirk,
Vorstandsmitglied bei VKR
H. 11, S. 1019

Obrig, Hans-Wilhelm,
Mitglied im Präsidium des VDI und Vorsitzender
des Wissenschaftlichen Beirats
H. 12, S. 1094

Plass, Ludolf,
Vorsitzender der Geschäftsführung
der Lurgi Energie und Umwelt GmbH
H. 5, S. 463

Plate, Klaus,
25jähriges Dienstjubiläum
H. 3, S. 258

Plate, Klaus,
60 Jahre
H. 6, S. 559

Pohr, Michael,
übernahm Vorstandsvorsitz der deutschen ABB
H. 6, S. 559

Pollack, Martin,
50 Jahre
H. 7, S. 636

Pruschek, Rudolf,
65 Jahre
H. 8, S. 723

Quack, Rudolf,
85 Jahre
H. 7, S. 636

Reidick, Heinz,
gestorben
H. 7, S. 636

Richter, Wolfgang,
gestorben
H. 4, S. 403

Riemer, Hans-Werner,
als VEW-Vorstand bestätigt
H. 4, S. 403

Rosahl, Erich Otto,
gestorben
H. 6, S. 559

Rothmund, Bernhard,
Serviceleiter bei ABB Industrietechnik AG
H. 10, S. 899

Schott, Heinz,
Vorsitzender des Bundesverbandes
Kraftwerksnebenprodukte e.V.
H. 5, S. 463

Schrader, Bernhard,
Mitglied der norwegischen Akademie
der Wissenschaften
H. 7, S. 636

Schrag, Hans-Jürgen,
Mitglied der Oschatz-Geschäftsführung
H. 7, S. 636

Seewald, Gerhard,
mit Unternehmerpreis ausgezeichnet
H. 4, S. 404

Siegmund, Lothar,
gestorben
H. 6, S. 559

Simon, Manfred,
im Ruhestand
H. 1, S. 85

Stäbler, Karl,
im Ruhestand
H. 8, S. 723

Thamm, Hans,
Geschäftsführer des Bundesverbandes
Kraftwerksnebenprodukte e.V.
H. 5, S. 463

Thöm, Wilhelm,
gestorben
H. 6, S. 559

Tonn, Jürgen,
Vorstandsmitglied der ABB Industrietechnik
H. 3, S. 258

van Eyndhoven, Frans,
gestorben
H. 1, S. 85

VGB-Vorstand,
Änderungen
H. 10, S. 899

Warnecke, Hans-Jürgen,
Präsident des VDI
H. 6, S. 559

Weinberger, Albrecht,
60 Jahre
H. 1, S. 85

Werner, Dietmar,
60 Jahre
H. 10, S. 899

Wiens, Udo,
BVK-Förderpreis zur Nutzung von
Kraftwerksnebenprodukten
H. 11, S. 1019

Witte, Ulrich,
gestorben
H. 7, S. 636

Wolff, Peter,
50 Jahre
H. 3, S. 258

Wolff, Sepp,
50 Jahre
H. 8, S. 723

Buchbesprechungen 1994

Abwehr betrieblicher Störfälle Brandschutz – Umweltschutz – Werkschutz
H. 12, S. 1031

AD-Merkblätter Taschenbuchausgabe 1993
H. 12, S. 1085

Akzeptanzprobleme bei Maßnahmen zur Abfallentsorgung
H. 5, S. 441

Coal-Use-Technology
New Challenges, New Responses
H. 12, S. 1085

Computer-Controlled Scanning Electron Microscopy of Minerals in Coal
H. 9, S. 776

Dictionary of Power Engineering – Deutsch/Englisch –
H. 1, S. 88

EG-Umweltrecht
H. 5, S. 441

Emissionen der Treibhausgase Distickstoffoxid und Methan in Deutschland
H. 11, S. 999

Handbuch der Umweltverträglichkeitsprüfung (HdUVP)
H. 1, S. 88

Handbuch des Deutschen Wasserrechts
H. 12, S. 1095

Handbuch „Gefahrstoffe"
H. 11, S. 999

Lagerung und Transport wassergefährdender Stoffe (LTwS)
H. 12, S. 1031

Möglichkeiten der thermischen Abfallbehandlung und -verwertung
H. 12, S. 1095

Nitrogen in Coal
H. 9, S. 776

N_2O-Emissions from Coal Use
H. 9, S. 776

Reaktoren zur thermischen Abfallbehandlung
H. 1, S. 38

Rohrleitungstechnik
H. 12, S. 1096

Sicherheitstechnik
H. 5, S. 441

Sicherheitstechnik
H. 12, S. 1096

Stahlrohr-Handbuch
H. 12, S. 1096

Thermodynamik der Strahlung
H. 12, S. 1085

TK Software „Steuer 1993" – empfehlenswertes Programm für Steuer-Laien –
H. 1, S. 88

Umweltschutztechnik – Eine Einführung
H. 1, S. 38

Untertägige Entsorgung bergbaufremder Rückstände in Deutschland
H. 12, S. 1095

VGB Kraftwerkstechnik

Organ der VGB
Technischen Vereinigung der
Großkraftwerksbetreiber e.V.

Internationale Fachzeitschrift
für Technik in Kraftwerken
75. Jahrgang (1995)
Hefte 1 – 12

Herausgeber

VGB TECHNISCHE VEREINIGUNG DER GROSSKRAFTWERKSBETREIBER E.V.

Vorsitzender: Professor Dr. W. Hlubek, Essen;
Geschäftsführer: Professor Dr. rer. nat. H.-D. Schilling, Essen.

Anschrift der Redaktion

VGB TECHNISCHE VEREINIGUNG DER GROSSKRAFTWERKSBETREIBER E.V.
Klinkestraße 27–31, D-45136 Essen, Postfach 10 39 32, D-45039 Essen,
Telefon (02 01) 48 62-6 86/6 87, Telefax (02 01) 48 62-6 88, Telex 857 707 vgb d.

Chefredaktion

Chefredakteur: Oberingenieur Dipl.-Ing. H. Bleßmann, Essen;
Redaktionsassistentin: Rita Maria Wilke, Essen.

Redaktion

Oberingenieur Dr.-Ing. W. vom Berg, Essen;
Oberingenieur Dr. rer. nat. B. Forck, Essen;
Oberingenieur Professor Dr.-Ing. J. Jacobs, Essen;
Abteilungsdirektor Dipl.-Ing. K. Plate, Essen;
Abteilungsdirektor Dr.-Ing. G. Schlegel, Essen;
Abteilungsdirektor Dr.-Ing. E. Tolksdorf, Essen;
Oberingenieur Dipl.-Ing. G. Welten, Essen.

Wissenschaftlicher Redaktionsbeirat

Professor Dr. J. Béer, Cambridge, Massachusetts/USA;
Professor Dr. techn. Th. Bohn, Essen;
Professor Dr.-Ing. F. Brandt, Darmstadt;
Professor Dr.-Ing. J. Buxmann, Hamburg;
Professor Dr.-Ing. G. Dibelius, Aachen;
Professor Dr.-Ing. H. Kremer, Bochum;
Professor Ir. J.J.C. van Lier, Delft/Niederlande;
Professor Dipl.-Ing. Dr. techn. W. Linzer, Wien/Österreich;
Professor Dr. techn. O.I. Martynova, Moskau/Rußland;
Professor Dr.-Ing. L. Müller, Berlin;
Professor Dr. rer. nat. R. Schulten, Aachen.

Technischer Redaktionsbeirat

Dipl.-Ing. R. Aarni, Helsinki/Finnland;
Betriebsdirektor Dipl.-Ing. K. Bers, Berlin;
Dr. techn. H. Breidenbach, Essen;
Dr. rer. nat. J. Ernst, Hamburg;
Dipl.-Ing. J. Garleff, Hamburg;
Abteilungsdirektor Professor Dr.-Ing. G. Haag, Stuttgart;
Dipl.-Ing. Dr. techn. F. Janitschek, Klagenfurt/Österreich;
Direktor Dr. rer. nat. D. Kallmeyer, Essen;
Direktor Dipl.-Ing. ETH K. Küffer, Baden/Schweiz;
Direktor Dr.-Ing. E.h. Dipl.-Ing. R. Mäule, Esslingen;
Direktor Dipl.-Ing. J. Schulte, Leverkusen.

Vertrieb und Anzeigenverwaltung

VGB-KRAFTWERKSTECHNIK GmbH
Klinkestraße 27–31, D-45136 Essen, Postfach 10 39 32, D-45039 Essen,
Telefon (02 01) 48 62-6 80/6 81/6 83, Telefax (02 01) 48 62-6 88, Telex 857 707 vgb d.
Verantwortlich für Vertrieb und Anzeigenteil: R. Rätz.

Erscheinungsweise

monatlich, außerdem erscheint zeitlich verschoben eine englische Fassung der Hefte.

ISSN 0372-5715

Jahresinhaltsverzeichnis 1995

Verfasserverzeichnis 1995

Abt, K.O., und Hansmann, G.:
Der Beitrag der Kraftwerksfeuerungen zur Lösung von Entsorgungsproblemen
H. 2, S. 141–144

Adlhoch, W., siehe Schiffer, H.-P.:
H. 6, S. 523–528

Akermann, P., siehe Filleböck, A.:
H. 10, S. 885–888

Altmann, D., siehe Lipinski, B.:
H. 11, S. 940–946

Backes, H.M., Kremer, K., und Wenz, R.:
Verpuffung in einem Dampfkessel in einem chemischen Fabrikationsbetrieb
H. 11, S. 929–933

Bakker, W.T., siehe van Liere, J.:
H. 1, S. 36–42

Baresel, M., siehe Wasel-Nielen, J.:
H. 10, S. 910

Bartels, F., und Weber, H.-G.:
Bergemann, Wasserlanzenbläser für Kohlekessel
H. 11, S. 934–939

Baßow, C., Cossmann, R., und Schreier, W.:
Primärmaßnahmen zur NO_x-Reduzierung an gasbefeuerten Dampferzeugern
H. 11, S. 957–960

Bath, U., Jovanovic, A., und Weber, R.:
Instandhaltung von Kraftwerken mit Fuzzy-Datenanalyse
H. 7, S. 583–586

Bauer, F., siehe Bergmann, H.:
H. 2, S. 134–140

Bauer, H.-J., siehe Wittig, S.:
H. 6, S. 503–508

Beck, M., siehe Koch, Th.:
H. 10, S. 912

Becker, Brigitte, und Köppe, P.:
Qualitätssicherung an Kraftwerksarmaturen aus Stahlguß
H. 12, S. 1056–1058

Benesch, W., Farwick, H., und Hannes, K.:
Entwicklungen von Kohlefeuerungen bei der STEAG
H. 12, S. 1031–1036

Benesch, W., und Schnadt, K.:
Auswirkungen von Brennstoffwechseln
H. 8, S. 715–721

Benini, M., siehe Zeijseink, A.G.L.:
H. 10, S. 909

Bentzin, H., und Jakobsen, H.-J.:
Betriebserfahrungen mit rekonstruierten Kesselanlagen in den neuen Bundesländern
H. 8, S. 678–684

Benz, J., Triebel, W., und Saiger, W.:
Anpassung der Abwassersysteme von Altanlagen an die aktuelle Gesetzessituation im EVS-Heizkraftwerk Heilbronn
H. 5, S. 476

Bergmann, D., Koch, R.-D., und Röttger, G.:
Dampfturbinen für große Heizkraftwerke
H. 10, S. 858–863

Bergmann, D., siehe Schmidt, D.:
H. 9, S. 777–784

Bergmann, H., und Bauer, F.:
Entwicklungspotentiale der Braunkohle-Kraftwerkstechnik
H. 2, S. 134–140

Bettenworth, H., Weinig, J., und Bursik, A.:
Biologische Elimination von Stickstoffverbindungen aus Abwasser von Rauchgasentschwefelungsanlagen
H. 10, S. 898–901

Bettenworth, H., Weinig, J., und Pflug, H.:
Nitrifikation und Denitrifikation von ammoniumhaltigen Kraftwerksabwässern mittels Festbettreaktoren
H. 10, S. 910

Billotet, Th., und Johänntgen, U.:
Kraftwerk Bexbach II – Fortschrittliche Stromerzeugung aus Steinkohle
H. 1, S. 21–25

Biniaris, St.:
Der Stand der Bemühungen zur Harmonisierung der Ausbreitungsmodelle auf europäischer Ebene
H. 11, S. 968–971

Biniaris, St., und Hildebrandt, J.:
Messung von Gaskonzentrationen mit Hilfe einer In-situ-Meßeinrichtung für Abgaskanäle beliebiger Geometrie und Größe
H. 5, S. 475

Biniaris, St., Kremer, W., und Menzel, K.:
Bypass-System zur Messung des Staubgehaltes im feuchten Rauchgas hinter Rauchgasentschwefelungsanlagen
H. 5, S. 475

Biniaris, St., Menzel, K., und Hildebrandt, J.:
Genauigkeit von Betriebsmeßeinrichtungen für den Rauchgasvolumenstrom
H. 7, S. 621–624

Blaser, W., und Robinson, R.N.:
Zink-Dosierung im Kernkraftwerk Leibstadt
H. 7, S. 625–629

Blöchl, H., siehe Meierer, M.:
H. 5, S. 476

Blümel, W., und Nagel, U.:
Verwertung von Produktionsrückständen in einem Industriekraftwerk
H. 5, S. 475

Bock, H.-W., Graf, A., und Hofmann, H.:
Fortschrittliche Leitsysteme für Kernkraftwerke
H. 6, S. 516–522

Bödecker, K.W., siehe Wiemer, A.:
H. 5, S. 436–440

Bohn, D., siehe Terhaag, U.:
H. 3, S. 243–246

Bohnstedt, J., Heiberger, D., und Kilian, P.:
Großschaden einer Dampfturbine und dessen Reparatur, verursacht durch den Bruch einer Zahnkupplungshülse
H. 7, S. 563–569

Bolt, N., siehe van Liere, J.:
H. 1, S. 36–42

Bopp, P., siehe Lipinski, B.:
H. 11, S. 940–946

Böse, D., siehe Peter, R.:
H. 9, S. 805–813

Braitsch, W., siehe Eckel, M.:
H. 5, S. 412–420

Brandenstein, J.W., siehe Schallert, B.:
H. 5, S. 474

Brandt, R., siehe Laue, Carola:
H. 10, S. 911

Braun, W., Grimm, B., Welp, H., und Widzgowski, R.:
Erkenntnisse aus dem Betrieb von REA (Naßverfahren) und ihre Anwendung bei der Auslegung und Konzipierung von Neuanlagen
H. 5, S. 474

Braunstein, L., siehe Spengler, K.:
H. 10. S. 909

Breuer, H., Kehr, M., und Gerstmeyer, R.:
Darstellung der Entwicklung der neuen Braunkohlekraftwerke der VEAG
H. 2, S. 93–100

Brüggemann, H., siehe Kather, A.:
H. 8, S. 707–714

Bung, W., und Föllmer, B.:
Gesteuerte Sicherheitsventile in Kraftwerken gemäß deutschem Regelwerk
H. 9, S. 771–776

Bursik, A.:
Einsatz von organischen Konditionierungsmitteln und Sauerstoffbindemitteln in Kraftwerken
H. 2, S. 145–151

Bursik, A., und Seipp, H.-G.:
Ökonomische Bedeutung der Kraftwerkschemie
H. 10, S. 909

Bursik, A., und Staudt, U.:
Derzeitiger Stand der chemischen Konditionierung von Wasser-Dampfkreisläufen in Anlagen mit Umlaufkesseln
H. 5, S. 461–464

Bursik, A., siehe Bettenworth, H.:
H. 10, S. 898–901

Bursik, A., siehe Seipp, H.-G.:
H. 4, S. 391–393

Chirica, Elena, siehe Chirica, M.:
H. 6, S. 544–548

Chirica, M., und Chirica, Elena:
Fragen der Chemie von Wasser-Dampfkreisläufen bei rumänischen Hochdruckdampferzeugern
H. 6, S. 544–548

Ciszewski, D., siehe Fahlke, J.:
H. 10, S. 912

Cleve, U.:
Reaktionsmechanismen bei der Eigenerwärmung von Aktivkohlen beim Einsatz in Rauchgasreinigungsanlagen
H. 1, S. 43–47

Cossmann, R., siehe Baßow, C.:
H. 11, S. 957–960

Cossmann, R., siehe Franke, J.:
H. 4, S. 353–359

Cowan, R.L.:
Optimierung der Wasserchemie in amerikanischen SWR-Anlagen
H. 8, S. 739–744

Cowan, R.L.:
Strategien zur Unterdrückung von Spannungsrißkorrosion in US-amerikanischen SWR-Anlagen
H. 10, S. 911

Crane, R.M., Mattis, A., und Ullmann, K.:
Anwendung der computergestützten Tomographie im Kraftwerksbereich
H. 5, S. 446–449

Dähnert, D.:
Entwicklung von Alt-Standorten
H. 2, S. 158/159

de Kluyver, J.P., und Gast, C.H.:
Betriebserfahrungen mit Low-NO_x-Brennern in kohlenbefeuerten Kesseln in den Niederlanden
H. 7, S. 603–608

Demuth, J., siehe Müller-Odenwald, H.:
H. 11, S. 972–979

Dibelius, G., siehe Terhaag, U.:
H. 3, S. 243–246

Doležal, R.:
Die Speisewasser- bzw. Sattdampfumleitung als Mittel zur Korrektur der Heizflächenleistung bei GuD-Abhitzekesseln mit Trommeln
H. 8. S. 685–688

Donslund, B., siehe Ipsen, H.:
H. 5, S. 476

Dorn, I.H., siehe Joschek, H.-I.:
H. 4, S. 370–379

Dreischer, H.-D., siehe Hoya, K.:
H. 6, S. 554–557

Eckel, M., Braitsch, W., und Jansen, M.:
Ertüchtigung von Turbosätzen im Bereich des Bayernwerks AG
H. 5, S. 412–420

Eggert, H.:
Der vollverschweißte Plattenwärmetauscher als Heizungs- und Niederdruckvorwärmer im Kraftwerk
H. 5, S. 433–435

Eiken, W., siehe Hagen, K.:
H. 10, S. 894–897

Eitz, A.W.:
Kraftwerke und Umwelt
H. 7, S. 610–615

Engert, H.-J., siehe Lehmkämper, O.:
H. 5, S. 476

Ermel, G., und Lipinski, B.:
Wartenkonzepte für die Nachrüstung der VEAG-Blöcke
H. 1, S. 54–60

Fahlke, J., Spindler, K., Weinig, J., Ciszewski, D., und Riddle, R.:
Eindampfung von REA-Abwasser in einer Versuchsanlage
H. 10, S. 912

Fahlke, J., siehe Meierer, M.:
H. 10, S. 902–907

Farwick, H., siehe Benesch, W.:
H. 12, S. 1031–1036

Farwick, H., siehe Müller-Odenwald, H.:
H. 11, S. 972–979

Feller, Johanna, siehe Noll, B.:
H. 6, S. 540–543

Fichte, W.:
Schwerentflammbare Hydraulikflüssigkeiten – eine Standortbestimmung –
H. 10, S. 910

Fichte, W., Gaißer, K.-E., und Zinke, K.:
Chemie in Kühlkreisläufen von Gleitringdichtungen in Speisepumpen
H. 10, S. 909

Filleböck, A., Tschaffon, H., Gerhards, U. und Akermann, P.:
Erfahrungen aus einer Versuchsanlage zur Wiederaufheizung von Rauchgasen (STAGAVO) in einer Braunkohle-REA
H. 10, S. 885–888

Finker, A., siehe Moll, W.:
H. 1, S. 26–31

Flick, R., siehe Hoffmann, W.:
H. 9, S. 814–818

Föller, W.:
Mindestmengenventile zum Schutz von Speisepumpen in Kraftwerken
H. 7, S. 587–591

Föllmer, B., siehe Bung, W.:
H. 9, S. 771–776

Former, W., und Timmermann, K.-E.:
Öko-Audit – Chancen und Nutzen für wen?
H. 10, S. 889–893

Franitza, W., siehe Peter, R.:
H. 9, S. 805–813

Franke, J., Cossmann, R., und Huschauer, H.:
Benson®-Dampferzeuger mit senkrecht berohrter Brennkammer
H. 4, S. 353–359

Freund, W., siehe Gillessen, R.:
H. 7, S. 630–636

Fuchs, M.:
Wasserstoff aus (Sonnen-)Strom
H. 2, S. 101–106

Fürstenberg, E., Heinrich, H.-J., und Hofmann, A.:
Untersuchungen zur Umkehrosmose-Verträglichkeit eines chemisch aufbereiteten Oberflächenwassers
H. 10, S. 910

Gaißer, K.-E., siehe Fichte, W.:
H. 10, S. 909

Gast, C.H., siehe de Kluyver, J.P.:
H. 7, S. 603–608

Gebert, H., und Tillmann, Kathrin:
Der kombinierte GuD-Prozeß mit Kraft-Wärme-Kopplung in einem neuen Berliner Heizkraftwerk; Schwerpunkt: Abhitzekessel
H. 10, S. 843–848

Gerhards, U., siehe Filleböck, A.:
H. 10, S. 885–888

Gerstmeyer, R., siehe Breuer, H.:
H. 2, S. 93–100

Gillessen, R., und Freund, W.:
Festigkeitsbetrachtungen der Schweißnaht im Hochdruck-Anlagenbau
H. 7, S. 630–636

Glowatzki, A., siehe Greif, H.-G.:
H. 5, S. 475

Graf, A., siehe Bock, H.-W.:
H. 6, S. 516–522

Granacher, J., siehe Kloos, K.H.:
H. 12, S. 1059–1064

Greif, H.-G., und Glowatzki, A.:
Mitverbrennung von Reststoffen in industriellen Braunkohle-Dampferzeugern
H. 5, S. 475

Griffin, T., und Scherer, V.:
Katalytisch unterstützte Verbrennung in Gasturbinen
H. 5, S. 421–426

Grimm, B., siehe Braun, W.:
H. 5, S. 474

Großterlinden, F.-W., Hellmer, R., Rennert, K.-D., und Thierbach, H.-U.:
Optimierung des Betriebsverhaltens der neuen 252-MW-Dampferzeuger einschließlich ihrer Mahl- und Feuerungsanlagen im HEW-Heizkraftwerk Tiefstack
H. 12, S. 1020–1025

Großterlinden, F.-W., und Thierfelder, H.-G.:
Das HEW-Heizkraftwerk Tiefstack
H. 4, S. 345–352

Haag, G.:
Aktuelle Herausforderungen an die Kraftwerksbautechnik
H. 3, S. 280–282

Hagen, K., und Eiken, W.:
Pilot-Anlage zur biologischen Denitrifikation im Reinwasser der Rauchgasreinigungs-Abwasserreinigungsanlage
H. 10, S. 894–897

Hagen, K., und Huber, K.:
Pilot-Anlage zur umweltschonenden und wirtschaftlichen Erzeugung von VE-Wasser mittels Transmembrandestillation
H. 10, S. 910

Hajdamowicz, S., siehe Seipp, H.-G.:
H. 10, S. 909

Hamacher, P., siehe Hoffmann, W.:
H. 9, S. 814–818

Hamers, J.P., siehe Latour, P.A.M.:
H. 6, S. 494–499

Hamers, J.P., siehe Zimmermann, P.:
H. 5, S. 476

Hammer, G., siehe Six, J.:
H. 5, S. 475

Hannes, K., siehe Benesch, W.:
H. 12, S. 1031–1036

Hänsel, G., siehe Maile, K.:
H. 1, S. 67–75

Hansmann, G., siehe Abt, K.O.:
H. 2, S. 141–144

Harmgart, Sigrid, siehe Meierer, M.:
H. 10, S. 902–907

Harrer, A.:
Turbinenschäden – verursacht durch Überdrehzahl
H. 8, S. 689–696

Hartenstein, A., und Mayer, A.:
SCR-Katalysatortechnik mit Harnstoff für Industrie- und Heizkraftwerke
H. 2, S. 110–117

Hartig, S., siehe Noll, B.:
H. 6, S. 540–543

Hartwich, W., siehe Peter, R.:
H. 9, S. 805–813

Häßler, G.:
Gemeinschaftsforschung als übernationale Aufgabe
H. 12, S. 1011–1019

Haubrich, H.-J.:
Elektrosmog – Dichtung oder Wahrheit?
H. 1, S. 5–9

Hauenschild, R., und Jury, W.:
Kombi-Kraftwerke mit höchsten Wirkungsgraden und niedrigsten Emissionen unter Einsatz der Gasturbine GT26
H. 6, S. 487–493

Havenaar, P., und Kotschenreuther, H.:
Das Kraftwerk Hemweg 8
H. 5, S. 407–411

Heiberger, D., siehe Bohnstedt, J.:
H. 7, S. 563–569

Hein, M., Syring, H., und Pflug, H.:
Nitrifikation und Denitrifikation von ammoniumhaltigen Kraftwerksabwässern mittels Wirbelbettreaktoren
H. 10, S. 910

Heinrich, H.-J., siehe Fürstenberg, E.:
H. 10, S. 910

Hellmer, R., siehe Großterlinden, F.-W.:
H. 12, S. 1020–1025

Helmich, P., siehe Nicolai, W.:
H. 2, S. 125–133

Henze, F.U., siehe Seyfert, N.:
H. 5, S. 473

Henzel, N.:
Aktueller Stand der Primärkühlmittelchemie in deutschen DWR-Anlagen
H. 10, S. 911

Hermann, A.:
Einstein und die Technik
H. 12, S. 1003–1005

Hesse, H.-G., siehe Rieder, J.:
H. 3, S. 181–190

Hiebler, J., siehe Schöngrundner, W.:
H. 1, S. 61–66

Hildebrand, M., siehe Hoffmann, Th.:
H. 8, S. 727–731

Hildebrand, M., siehe Necker, P.:
H. 5, S. 473

Hildebrandt, J., siehe Biniaris, St.:
H. 7, S. 621–624

Hlubek, W.:
Tagesfragen der Kraftwerkstechnik
H. 11, S. 926–928

Hobson, E., Lindahl, P., und Massey, T.:
Leistungssteigerung mit Kühlturmeinbauten aus NPF
H. 9, S. 829–832

Hoffmann, H., siehe Lehmkämper, O.:
H. 5, S. 476

Hoffmann, M., siehe Wohlsein, J.:
H. 3, S. 215–219

Hoffmann, Th., und Hildebrand, M.:
Perspektiven der CO_2-Minderung im Bereich der Elektrizitätswirtschaft
H. 8, S. 727–731

Hoffmann, W., Hamacher, P., Flick, R., und Rühle, W.:
Bestimmung von organischen Verunreinigungen in Leichtwasserreaktoren
H. 9, S. 814–818

Hofmann, A., siehe Fürstenberg, E.:
H. 10, S. 910

Hofmann, H., siehe Bock, H.-W.:
H. 6, S. 516–522

Hohmann, F., siehe Schliesser, W.:
H. 10, S. 912

Hollwedel, Ursula, siehe Kostroun, F.:
H. 9, S. 819–823

Hölscher, W., siehe Wilhelm, M.:
H. 8, S. 732–738

Hoya, K., und Dreischer, H.-D.:
Gewässerschutz im Kraftwerk
H. 6, S. 554–557

Huber, K., siehe Hagen, K.:
H. 10, S. 910

Hübner, F.-W.:
Funktionsprüfungen an fremdmediengesteuerten Sicherheitsventilen während des Kesselbetriebes
H. 7, S. 592–596

Hultsch, Th., und Müller, U.:
Betriebserfahrungen zu einem Kreislaufverbundsystem für die Rauchgasentschwefelung im Heizkraftwerk Klingenberg
H. 5, S. 454–456

Huppmann, G., siehe Moll, W.:
H. 1, S. 26–31

Huschauer, H., siehe Franke, J.:
H. 4, S. 353–359

Husemann, R.U., Wachter, O., und Zabelt, K.:
Verarbeitung und Betriebseinsatz von neuen Werkstoffen im Kraftwerksbau
H. 3, S. 265–279

Hüvel, B., und Rink, M.:
Kombination einer ammoniakalischen Naßwäsche zur Entschwefelung mit einer SCR-Entstickung
H. 9, S. 802–804

Ipsen, H., Kruse, H., Donslund, B., und Krom, Th.D.:
Deponierung von Nebenprodukten aus der Kohleverbrennung: zukünftige Strategien
H. 5, S. 476

Jakobsen, H.-J., siehe Bentzin, H.:
H. 8, S. 678–684

Jansen, H.:
Die Einführung eines Umweltmanagementsystems bei EPON
H. 12, S. 1052–1055

Jansen, M., siehe Eckel, M.:
H. 5, S. 412–420

Jensen, J.P., Palmer, D.A., und Simonson, J.M.:
Messung der Flüchtigkeit gelöster Stoffe aus wäßrigen Lösungen und deren Anwendung auf Wasser-Dampfkreisläufe
H. 2, S. 152–157

Johänntgen, U., siehe Billotet, Th.:
H. 1, S. 21–25

Joschek, H.-I., Dorn, I.H., und Kolb, Th.:
Der Drehrohrofen
H. 4, S. 370–379

Jovanovic, A., siehe Bath, U.:
H. 7, S. 583–586

Jury, W., siehe Hauenschild, R.:
H. 6, S. 487–493

Kahl, D., und Pfeiffer, J.:
Optimierung der Rauchgasentschwefelung für die Qualität der Reststoffe beim Einsatz von Braunkohle mit hohem Schwefelgehalt an einer Pilot-Anlage
H. 5, S. 475

Kahl, D., siehe Recker, M.:
H. 11, S. 988–991

Kallina, G.:
Vorausschauender Freilastrechner für das optimale Anfahren von Dampferzeugern
H. 7, S. 578–582

Kallmeyer, D.H., und Kübler, D.:
Kohleverstromung und CO_2-Problematik
H. 1, S. 10–14

Kaminski, Th., siehe Zölzer, K.:
H. 9, S. 755–762

Kapr, Th., siehe Schneider, G.:
H. 1, S. 48–53

Karlsson, A., siehe Montgomery, Melanie:
H. 3, S. 258–264

Käß, M., und Kaulitz, J.:
Messung und Überwachung der Luft-/Kohlenstaubverteilung
H. 11, S. 947–951

Kather, A.:
Verfahrenstechnische und konstruktive Auslegung moderner Braunkohle-Dampferzeuger
H. 9, S. 763–770

Kather, A., Kessel, W., und Brüggemann, H.:
Entwicklung und Betriebserfahrungen mit Schmelzfeuerungen
H. 8, S. 707–714

Kather, A., siehe Wohlsein, J.:
H. 3, S. 215–219

Kaulitz, J., und Käß, M.:
H. 11, S. 947–951

Kehr, M., siehe Breuer, H.:
H. 2, S. 93–100

Kessel, W., siehe Kather, A.:
H. 8, S. 707–714

Kessel, W., siehe Peter, R.:
H. 9, S. 805–813

Kienberger, K.H.:
H_2O_2-Messungen im Reaktorwasser einer SWR-Anlage
H. 10, S. 911

Kildsig, F.:
Einfluß der gemeinsamen Verbrennung von Kohle und Stroh auf die Rauchgasreinigung
H. 10, S. 912

Kildsig, F., siehe Torp, P.E.:
H. 10, S. 912

Kilian, P., siehe Bohnstedt, J.:
H. 7, S. 563–569

Kimura, N., siehe Takahashi, M.:
H. 5, S. 427–432

Kissmann, R.:
Der Wärmetauscher im Wandel des Einsatzgebietes
H. 4, S. 366–369

Klauke, U., siehe Lipinski, B.:
H. 11, S. 940–946

Klein, K., und Stahlberg, R.:
Thermoselect-Vergasung von Abfällen unter Atmosphärendruck zur Energie- und Rohstoffgewinnung
H. 6, S. 529–533

Klemm, J., Schönrok, M., und Tai-Nguyen:
Mitverbrennung von entwässerten Klärschlämmen in Steinkohlekraftwerken
H. 5, S. 475

Klöckl, W., siehe Seipp, H.-G.:
H. 10, S. 909

Kloos, K.H., Granacher, J., und Müller, B.:
Zyklisches Zeitstandverhalten warmfester Kraftwerksstähle im Zugbereich, unter intermittierender Beanspruchung und im Zug-Druck-Bereich
H. 12, S. 1059–1064

Koch, R.-D., siehe Bergmann, D.:
H. 10, S. 858–863

Koch, Th., Pieper, B., Beck, M., und Schäfer, M.:
Wirkungsgradverbesserungen von Rauchgasentschwefelungsanlagen durch Einsatz von Carbonsäuren
H. 10, S. 912

Kockelmann, H.:
Zur Frage der Tragfähigkeit von Gußeisen- und Gußeisen-Stahl-Schweißungen
H. 11, S. 980–987

Kolar, J.:
Verwertungsmöglichkeiten für Reststoffe der Sprühabsorptionsverfahren
H. 2, S. 167–173

Kolb, Th., siehe Joschek, H.-I.:
H. 4, S. 370–379

Konzelmann, G.:
Armut und Kinderreichtum
H. 12, S. 998–1002

Köppe, P., siehe Becker, Brigitte:
H. 12, S. 1056–1058

Koppen de Neve, P., siehe van Liere, J.:
H. 2, S. 89–92

Kostroun, F., Kuhnke, K., und Hollwedel, Ursula:
Chemische Dampferzeugerreinigung
im Kernkraftwerk Unterweser
H. 9, S. 819–823

Kotschenreuther, H., siehe Havenaar, P.:
H. 5, S. 407–411

Kott, H., und Wagner, A.:
Die Auswahl geeigneter Absperrorgane
für Hochdruckabsperrschieber
H. 9, S. 785–790

Kötzing, P., siehe Schmidt, D.:
H. 9, S. 777–784

Kowalczyk, U., Schirmer, U., und Truppat, R.:
Differenzierung zwischen dem gesamten
organischen Kohlenstoff (TOC) und dem
abbaubaren organischen Kohlenstoff (AOC)
in Rostaschen von Verbrennungsanlagen
für Hausmüll und hausmüllähnliche Abfälle
H. 11, S. 961–967

Krabbe, H.-J., und Zinke, K.:
Bestimmung des Gebrauchsendes von Gummierungen in Rauchgasentschwefelungsanlagen
H. 10, S. 912

Kremer, K., siehe Backes, H.M.:
H. 11, S. 929–933

Kremer, W., siehe Biniaris, St.:
H. 5, S. 475

Kriegsman, L., siehe Penninks, F.W.M.:
H. 5, S. 474

Krom, Th.D., siehe Ipsen, H.:
H. 5, S. 476

Kruse, H., siehe Ipsen, H.:
H. 5, S. 476

Kübler, D., siehe Kallmeyer, D.H.:
H. 1, S. 10–14

Kuhnke, K., siehe Kostroun, F.:
H. 9, S. 819–823

Küster, D.:
Standzeitverlängerung von Schmelzkammerauskleidungen
H. 10, S. 868–872

Lading, S.B., und Mortensen, L.:
Erfahrungen mit einer innovativen SO_x- und NO_x-Adsorptionstechnik
H. 5, S. 474

Langner, A., siehe Narewski, R.:
H. 10, S. 909

Lasch, M., und Staudt, U.:
Die VGB-Richtlinie für SWR-Anlagen
im internationalen Vergleich
H. 8, S. 745–750

Lasch, M., siehe Staudt, U.:
H. 10, S. 911

Lasthaus, D., siehe Simon, E.:
H. 8, S. 722–726

Latour, P.A.M., Hamers, J.P., und Zimmermann, P.:
RoCa-3, Gas- und Dampfturbinen-Kraftwerksblock
mit Hybridkühlturm für die Lieferung von Kraft,
Wärme und CO_2
H. 6, S. 494–499

Laue, Carola, Vater, P., Brandt, R., und Roesch, J.:
Untersuchungen mit Kernspur-Mikrofiltern
zum Auftreten und Verhalten der α-Strahler
im Primärkühlmittel von Kernkraftwerken
H. 10, S. 911

Lehmkämper, O., Engert, H.-J., und Hoffmann, H.:
Optionen für die zukünftige Verwertung von Braunkohlenflugasche
H. 5, S. 476

Leitz, R.:
Planung und Inbetriebnahme einer luftgekühlten
Kondensationsanlage für ein 700-MW-GUD-Kraftwerk mit besonderen Schallauflagen
H. 6, S. 500–502

Liers, J., und Reichelt, H.-J.:
Sanierung von Armaturengehäusen
durch Auftragsschweißen
H. 10, S. 864–867

Lietzmann, A., siehe Weiß, E.:
H. 6, S. 549–553

Lietzmann, A., siehe Weiß, E.:
H. 9, S. 824–828

Lindahl, P., siehe Hobson, E.:
H. 9, S. 829–832

Lipinski, B., Altmann, D., Tanner, W., Klauke, U., und Bopp, P.:
Zielstellung und erste Ergebnisse
bei der Ertüchtigung der 500-MW-LMZ-Turbinen
der VEAG am Beispiel Kraftwerk Boxberg
H. 11, S. 940–946

Lipinski, B., siehe Ermel, G.:
H. 1, S. 54–60

Lukas, W.:
Die Verwendung von Kraftwerksreststoffen
für die Anlage von Langzeitlagern (Deponiebau)
H. 2, S. 160–166

Lux, R., siehe Nonhoff, G.:
H. 3, S. 191–199

Maier, H., Müh, H., und Schröder, G.:
Orimulsion – ein nicht alltäglicher Brennstoff
auf dem Prüfstand
H. 6, S. 534–539

Maile, K., Hänsel, G., und Purper, H.:
Langzeituntersuchungen zum Relaxationsverhalten warmfester Schraubenverbindungen
mit und ohne Betriebsvorbeanspruchung
H. 1, S. 67–75

Makarow, A.A.:
Die Rolle der Kernenergie in der Entwicklung
der Energiewirtschaft Rußlands
H. 1, S. 1–4

Martin, P.:
Gedanken zur Strom-Wärme-Kopplung
H. 12, S. 1026–1030

Massek, J.:
Abbruch einer Dampfkesselanlage
im Kraftwerk Herrenhausen
der Stadtwerke Hannover AG
H. 10, S. 855–857

Massey, T., siehe Hobson, E.:
H. 9, S. 829–832

Matthes, Th.:
25 Jahre Müllverbrennungsanlage Bremen
H. 12, S. 1049–1051

Mattis, A., siehe Crane, R.M.:
H. 5, S. 446–449

Mayer, A., siehe Hartenstein, A.:
H. 2, S. 110–117

Mayer, K.-H., siehe Prestel, W.:
H. 2, S. 118–124

Meierer, M., Harmgart, Sigrid, und Fahlke, J.:
Versuche zur katalytischen Reduktion von Nitrat
in REA-Abwasser
H. 10, S. 902–907

Meierer, M., und Blöchl, H.:
Verfahrenstechnische Optimierung
von Anlagen zur Aufbereitung
von ammoniakhaltigen Kraftwerksabwässern
unter betrieblichen Gesichtspunkten
H. 5, S. 476

Meisl, J., siehe Wittig, S.:
H. 6, S. 503–508

Meissner, K., siehe Schleßing, J.:
H. 11, S. 952–956

Menke, Doris:
Erfahrungen mit neuartigen Meß- und Detektionsgeräten in der Müllverwertung Borsigstraße
H. 3, S. 200–208

Menke, Doris, und Zwahr, H.:
Erste Betriebserfahrungen der Müllverwertungsanlage Borsigstraße
H. 10, S. 880–884

Menzel, K., siehe Biniaris, St.:
H. 7, S. 621–624

Mertens, P., siehe Neubert, W.:
H. 1, S. 32–35

Meyer, B., Willmes, O., und Röper, B.:
Mechanismen der chlorinduzierten Korrosion
von Wirbelschicht-Heizflächen
H. 12, S. 1043–1048

Meyer, B., siehe Schiffer, H.-P.:
H. 6, S. 523–528

Meyer, G., siehe Spengler, K.:
H. 10. S. 909

Mohr, G.:
Biologisch abbaubare Schmierstoffe
– Kritische Literaturdurchsicht
und eigene Betriebserfahrungen –
H. 10, S. 912

Moll, W., Finker, A., Peters, K.-M., Huppmann, G., und Rudbeck, P.:
Kraftwerksstudie auf Basis der Schmelzcarbonat-Brennstoffzellen-Technologie (MCFC)
H. 1, S. 26–31

Montgomery, Melanie, und Karlsson, A.:
Bericht über die Oxidation von neuen Stahltypen
in dampfseitigen Verhältnissen
H. 3, S. 258–264

Mortensen, L., siehe Lading, S.B.:
H. 5, S. 474

Müh, H., siehe Maier, H.:
H. 6, S. 534–539

Müller, B., siehe Kloos, K.H.:
H. 12, S. 1059–1064

Müller, U., siehe Hultsch, Th.:
H. 5, S. 454–456

Müller-Odenwald, H., Demuth, J., und Farwick, H.:
Der Luftvorwärmer – eine Komponente
zur Emissionsminderung ($CO_2 + SO_3$)
H. 11, S. 972–979

Nagel, U., siehe Blümel, W.:
H. 5, S. 475

Nakabayashi, Y., siehe Takahashi, M.:
H. 5, S. 427–432

Narewski, R., und Langner, A.:
Verfahren zur Abscheidung feinstkörniger Eisenoxide aus dem Heizwasser von Fernheiznetzen
H. 10, S. 909

Necker, P., und Hildebrand, M.:
Einflüsse der Europäischen Union
auf die Umweltschutzvorschriften und Folgen
für die Stromwirtschaft
H. 5, S. 473

Neubert, W., und Mertens, P.:
Kundengerechtes Kraftwerksdesign
H. 1, S. 32–35

Nicolai, W., und Helmich, P.:
Betriebsmanagementsysteme
und deren Anwendung
H. 2, S. 125–133

Noll, B., Wurz, D., Hartig, S., und Feller, Johanna:
Berechnung von Tropfenverdunstung und -wachstum für wäßrige Lösungen von Elektrolyten
H. 6, S. 540–543

Nonhoff, G., und Lux, R.:
Praxiserprobte GFK-Korrosionsschutzsysteme
für Rauchgasreinigungsanlagen
H. 3, S. 191–199

***O**schmann, W., siehe Schliesser, W.:*
H. 10, S. 912

***P**ache, W., und Trobitz, M.:*
Überprüfung von federbelasteten Sicherheitsventilen in deutschen Kernkraftwerken
H. 8, S. 703–706

Palmer, D.A., siehe Jensen, J.P.:
H. 2, S. 152–157

Parlaska, W.:
Neuzeitliche Gestaltungskriterien und Betriebserfahrungen von Großwasserraumkesseln
H. 4, S. 386–390

Penninks, F.W.M., und Kriegsman, L.:
Nachrüstung der ersten niederländischen DENOX-Anlage im EPON-Kraftwerk Centrale Gelderland in Nijmegen
H. 5, S. 474

Perko, H.-D., und Stolte, J.:
Sicherheitseinrichtungen
für verschiedene Aufgaben in Kraftwerken
H. 7, S. 597–602

Peter, R., Franitza, W., Böse, D., Hartwich, W., und Kessel, W.:
Umrüstung des Kraftwerkes Jänschwalde
mit 3000 MW elektrischer Leistung
auf NO_x-arme Verbrennungstechnologie
unter weitgehender Beibehaltung
der Anlagenkonfiguration
H. 9, S. 805–813

Peters, K.-M., siehe Moll, W.:
H. 1, S. 26–31

Petersen, K.:
Die Zukunft der Kernenergie aus Betreibersicht
H. 12, S. 1006–1010

Petzel, H.-K.:
Die Wirbelschichtfeuerung auf dem Wege
zur betriebsbewährten Großfeuerung?
H. 4, S. 380–385

Pfeiffer, J., siehe Kahl, D.:
H. 5, S. 475

Pflug, H., siehe Bettenworth, H.:
H. 10, S. 910

Pflug, H., siehe Seipp, H.-G.:
H. 10, S. 909

Pflug, M., siehe Hein, M.:
H. 10, S. 910

Pieper, B., siehe Koch, Th.:
H. 10, S. 912

Pieper, B., siehe Seipp, H.-G.:
H. 10, S. 909

Pöhl, Karin, Schreiter, P., und Werner, M.:
Zum chemischen und mineralogischen Aufbau
von Braunkohlen-Filteraschen (BFA)
aus deutschen Kraftwerken
H. 5, S. 465–471

Pöhler, F., siehe Rieder, J.:
H. 3, S. 181–190

Prestel, W., Mayer, K.-H., Weber, D., und Weiß, M.:
Mechanisierte computergestützte Ultraschallprüfung an betriebsbeanspruchten Turbinenwellen
H. 2, S. 118–124

Purper, H., siehe Maile, K.:
H. 1, S. 67–75

***R**asmussen, F., siehe Ricken, J.H.:*
H. 1, S. 15–20

Recker, M., und Kahl, D.:
Reststoffverwertung bei den VEAG-Braunkohlenkraftwerken
H. 11, S. 988–991

Reichelt, H.-J., siehe Liers, J.:
H. 10, S. 864–867

Reinartz, A., siehe Terhaag, U.:
H. 3, S. 243–246

Rennert, K.-D., siehe Großterlinden, F.-W.:
H. 12, S. 1020–1025

Renz, U., siehe Terhaag, U.:
H. 3, S. 243–246

Renzenbrink, W., siehe Wischnewski, R.:
H. 9, S. 791–794

Reuther, D., Rost, M., und Scherer, D.:
Planungsüberlegungen und -grundlagen
zum Umbau eines alten steinkohlebefeuerten
100-MW-Blockes zu einer modernen
350-MW-Gas- und Dampfturbinenanlage
H. 4, S. 341–344

Reuther, D., Schmid, K., Steigner, Th., und Żelkowski, J.:
Betriebserfahrung mit Importkohlen
und ihre labortechnische Bewertung
H. 9, S. 795–801

Ricken, J.H., und Rasmussen, F.:
Das Programm zur Minderung
der CO_2-Emissionen in Dänemark
und seine wirtschaftlichen Konsequenzen
H. 1, S. 15–20

Riddle, R., siehe Fahlke, J.:
H. 10, S. 912

Rieder, J., Hesse, H.-G., Pöhler, F., und Sigg, J.:
Kraftwerk Franken II, 3. Ausbau,
Verbundblock mit 750 MW
H. 3, S. 181–190

Rieß, W., siehe Schmidt, D.:
H. 9, S. 777–784

Rink, M., siehe Hüvel, B.:
H. 9, S. 802–804

Robinson, R.N., siehe Blaser, W.:
H. 7, S. 625–629

Röchling, D.:
Fünf Jahre Motorenheizkraftwerk Resse
H. 3, S. 220–230

Roesch, J., siehe Laue, Carola:
H. 10, S. 911

Röper, B., siehe Meyer, B.:
H. 12, S. 1043–1048

Rost, M., siehe Reuther, D.:
H. 4, S. 341–344

Röttger, G., siehe Bergmann, D.:
H. 10, S. 858–863

Rückold, M., siehe Schneider, G.:
H. 1, S. 48–53

Rudbeck, P., siehe Moll, W.:
H. 1, S. 26–31

Rudolph, J., siehe Weiß, E.:
H. 6, S. 549–553

Rudolph, J., siehe Weiß, E.:
H. 9, S. 824–828

Rühle, W., siehe Hoffmann, W.:
H. 9, S. 814–818

Ruijgrok, W.:
CO_2-Emissionen der Stromerzeugung
H. 3, S. 247–253

Rüsenberg, D., siehe Wischnewski, R.:
H. 9, S. 791–794

***S**ackermann, R., siehe Zölzer, K.:*
H. 9, S. 755–762

Saiger, W., siehe Benz, J.:
H. 5, S. 476

Schäfer, M., siehe Koch, Th.:
H. 10, S. 912

Schäfer, M., siehe Schliesser, W.:
H. 10, S. 912

Schallert, B., und Brandenstein, J.W.:
Konsequenzen aus 10jährigem Betrieb
von SCR-DENOX-Anlagen
H. 5, S. 474

Schauenburg, G., siehe Stuhlmüller, F.:
H. 12, S. 1037–1042

Scherer, D., siehe Reuther, D.:
H. 4, S. 341–344

Scherer, V., siehe Griffin, T.:
H. 5, S. 421–426

Schiffer, H.-P., Adlhoch, W., und Meyer, B.:
Die Wirbelschichtvergasung: Ein Verfahren
zur rohstofflichen Verwertung von Restkunststoffen
H. 6, S. 523–528

Schilling, H.-D.:
75 Jahre VGB: Kraftwerke 1970 bis 1995
Energiepolitische Rahmenbedingungen
und technische Entwicklungen
H. 8, S. 643–652

Schirmer, U., siehe Kowalczyk, U.:
H. 11, S. 961–967

Schleßing, J.:
Weiterentwicklung von Schüsselmühlen
H. 10, S. 873–879

Schleßing, J., und Meissner, K.:
Die Realisierung gegenläufiger Forderungen
zur Sicherheit und Umweltverträglichkeit
bei Kraftwerksfeuerungen
H. 11, S. 952–956

Schliesser, W., Oschmann, W., Hohmann, F., und Schäfer, M.:
Betriebserfahrungen beim Einsatz
von Adipinsäure in der Rauchgaswäsche
des Müllheizkraftwerkes Essen-Karnap
H. 10, S. 912

Schmid, K., siehe Reuther, D.:
H. 9, S. 795–801

Schmidt, D., Rieß, W., Kötzing, P., Bergmann, D., und Syrbe, M.:
Strömungsuntersuchungen an HKW-Turbinen im Heiz- und Schwachlastbetrieb
H. 9, S. 777–784

Schmoldt, J.:
Tauwasserverhütung bei Isolierungen an Behältern, Rohrleitungen und Armaturen
H. 8, S. 697–702

Schnadt, K., siehe Benesch, W.:
H. 8, S. 715–721

Schneider, G., Kapr, Th., und Rückold, M.:
Entwicklung eines Modells zur Optimierung von Katalysator-Wechsestrategien auf der Grundlage von Betriebserfahrungen mit der SCR-DENOX-Anlage des Heizkraftwerks Heilbronn, Block 7
H. 1, S. 48–53

Schobesberger, P., und Weiher, R.:
Kesselexplosion in Girne/Zypern
H. 10, S. 849–854

Schöngrundner, W., Hiebler, J., und Zierler, W.:
Betriebserfahrungen mit einer High-dust-SCR-Anlage an einem braunkohlebefeuerten 330-MW-Kraftwerksblock
H. 1, S. 61–66

Schönrok, M., siehe Klemm, J.:
H. 5, S. 475

Schreier, W., siehe Baßow, C.:
H. 11, S. 957–960

Schreiter, P., siehe Pöhl, Karin:
H. 5, S. 465–471

Schrickel, J., siehe Winter, H.:
H. 5, S. 475

Schröder, G., siehe Maier, H.:
H. 6, S. 534–539

Schuster, H., siehe Simon, E.:
H. 8, S. 722–726

Seipp, H.-G., Bursik, A., und Staudt, U.:
Empfehlungen der VGB zur Kraftwerkschemie im internationalen Vergleich
H. 4, S. 391–393

Seipp, H.-G., Klöckl, W., Bursik, A., Hajdamowicz, S., Pflug, H., und Pieper, B.:
Beschaffenheit von Speisewasser und Dampf für Betriebszustände außerhalb des Dauerbetriebs
H. 10, S. 909

Seipp, H.-G., siehe Bursik, A.:
H. 10, S. 909

Seyfert, N., und Henze, F.U.:
Betriebserfahrungen mit sanierten und rekonstruierten Elektrofiltern
H. 5, S. 473

Sieger, K., siehe Wittig, S.:
H. 6, S. 503–508

Sigg, J., siehe Rieder, J.:
H. 3, S. 181–190

Simon, E., Lasthaus, D., und Schuster, H.:
Verminderung der NO_x-Emissionen bei der Verbrennung problematischer Steinkohlen
H. 8, S. 722–726

Simonson, J.M., siehe Jensen, J.P.:
H. 2, S. 152–157

Sindelar, R.:
Zustandsregelung für Frischdampftemperatur?
H. 7, S. 570–577

Six, J., und Hammer, G.:
Reststoffverbrennung mit Rauchgasreinigung im Industriekraftwerk Baienfurt
H. 5, S. 475

Snelderwaard, R.J., siehe Zeijseink, A.G.L.:
H. 10, S. 909

Sommer, H.:
Struktur und Hierarchie beim Projektmanagement
H. 1, S. 76–84

Spengler, K., Meyer, G., und Braunstein, L.:
EDV im Kraftwerkslabor – Entwicklung vom Einplatzsystem zur Netzwerkversion
H. 10, S. 909

Spindler, K., siehe Fahlke, J.:
H. 10, S. 912

Stahlberg, R., siehe Klein, K.:
H. 6, S. 529–533

Staudt, U., und Lasch, M.:
Die VGB-Richtlinien für die Chemie in SWR-Anlagen – aktueller Stand
H. 10, S. 911

Staudt, U., siehe Bursik, A.:
H. 5, S. 461–464

Staudt, U., siehe Lasch, M.:
H. 8, S. 745–750

Staudt, U., siehe Seipp, H.-G.:
H. 4, S. 391–393

Staudt, U., siehe Stellwag, B.:
H. 10, S. 911

Steigner, Th., siehe Reuther, D.:
H. 9, S. 795–801

Stellwag, B., und Staudt, U.:
Dosisleistungsreduktion in Kernkraftwerken durch Zinkdosierung – Grundprozesse und Schlußfolgerungen für den Anlagenbetrieb
H. 10, S. 911

Steven, H., siehe Terhaag, U.:
H. 3, S. 243–246

Stietz, M., siehe Winter, H.:
H. 5, S. 475

Stolte, J., siehe Perko, H.-D.:
H. 7, S. 597–602

Stuhlmüller, F., Schauenburg, G., und Waldinger, D.:
Die Standard-Gasturbine im Druckwirbelschicht-Einsatz
H. 12, S. 1037–1042

Syrbe, M., siehe Schmidt, D.:
H. 9, S. 777–784

Syring, H., siehe Hein, M.:
H. 10, S. 910

***T**ai-Nguyen, siehe Klemm, J.:*
H. 5, S. 475

Takahashi, M., Nakabayashi, Y., und Kimura, N.:
Aktueller Stand der 350-MW-Wirbelschicht-feuerung Takehara und der 71-MW-Druckwirbel-schichtfeuerung Wakamatsu der EPDC sowie der fortschrittlichen Stromerzeugung in Japan
H. 5, S. 427–432

Tanner, W., siehe Lipinski, B.:
H. 11, S. 940–946

Teichmann, B.:
Wasserlanzenbläser zur Reinigung von Feuerraum-wänden bei Braunkohlenkesseln
H. 5, S. 450–453

Terhaag, U., Renz, U., Dibelius, G., Bohn, D., Reinartz, A., und Steven, H.:
Ergebnisse aus dem Betrieb des druck-aufgeladenen Wirbelschicht-Dampferzeugers im Heizkraftwerk der RWTH Aachen
H. 3, S. 243–246

Thiemann, H., und Weiler, H.:
Ein Jahr Betriebserfahrung mit der größten Fluß-wasser-Umkehrosmose-Anlage in Deutschland
H. 10, S. 910

Thierbach, H.-U., siehe Großterlinden, F.-W.:
H. 12, S. 1020–1025

Thierfelder, H.-G., siehe Großterlinden, F.-W.:
H. 4, S. 345–352

Tillmann, Kathrin, siehe Gebert, H.:
H. 10, S. 843–848

Timmermann, K.-E., siehe Former, W.:
H. 10, S. 889–893

Torp, P.E., und Kildsig, F.:
Feuchtigkeit nach einer Rauchgas-entschwefelungsanlage
H. 10, S. 912

Traupe, A.:
Vom Asbest zur künstlichen Mineralfaser
H. 3, S. 209–214

Triebel, W., siehe Benz, J.:
H. 5, S. 476

Trobitz, M., siehe Pache, W.:
H. 8, S. 703–706

Truppat, R., siehe Kowalczyk, U.:
H. 11, S. 961–967

Tschaffon, H., siehe Filleböck, A.:
H. 10, S. 885–888

***U**llmann, K., siehe Crane, R.M.:*
H. 5, S. 446–449

Urhahn, G.:
Untersuchungen zur Fischgiftigkeit von salzhaltigem Abwasser
H. 5, S. 457–460

***v**an der Westhuizen, W.B.:*
Probleme beim Warmstart von Kesselspeisepumpen
H. 4, S. 360–365

van Eck, T.:
Die Rolle eines Energieversorgungsunternehmens in Umweltschutzprojekten
H. 5, S. 474

van Liere, J., Bakker, W.T., und Bolt, N.:
Das Kohlevergasungskraftwerk Buggenum – Begleitende Werkstoff- und Rückstands-untersuchungen –
H. 1, S. 36–42

van Liere, J., und Koppen de Neve, P.:
Neue Trends bei Forschungs- und Entwicklungs-aspekten in den niederländischen EVU
H. 2, S. 89–92

Vater, P., siehe Laue, Carola:
H. 10, S. 911

VGB-ABE-Ausschuß:
Betriebserfahrungen mit Kernkraftwerken 1994
H. 4, S. 289–340

***W**achter, O.:*
Erfahrungen mit den austenitischen Werkstoffen 1.4541 und 1.4550 in deutschen Siedewasser-reaktoren
H. 10, S. 911

Wachter, O., siehe Husemann, R.U.:
H. 3, S. 265–279

Wagner, A., siehe Kott, H.:
H. 9, S. 785–790

Wakefield, P.J.:
Technisches Auditing: Erfahrungen der Eskom, Südafrika
H. 2, S. 107–109

Waldinger, D., siehe Stuhlmüller, F.:
H. 12, S. 1037–1042

Wasel-Nielen, J., und Baresel, M.:
Kühlwasserbehandlung mit Ozon in der Hoechst AG
H. 10, S. 910

Weber, D., siehe Prestel, W.:
H. 2, S. 118–124

Weber, H.-G., siehe Bartels, F.:
H. 11, S. 934–939

Weber, R., siehe Bath, U.:
H. 7, S. 583–586

Wecker, A., und Wysk, R.:
Versuche zur Quecksilberminderung im Abgas von Abfallverbrennungsanlagen mit dem Fällungsmittel NALMET A1
H. 3, S. 254–257

Weiher, R., siehe Schobesberger, P.:
H. 10, S. 849–854

Weiler, H., siehe Thiemann, H.:
H. 10, S. 910

Weinig, J., siehe Bettenworth, H.:
H. 10, S. 898–901

Weinig, J., siehe Bettenworth, H.:
H. 10, S. 910

Weinig, J., siehe Fahlke, J.:
H. 10, S. 912

Weiß, E., Lietzmann, A., und Rudolph, J.:
Elastische und elastisch-plastische Festigkeitsanalysen gewölbter Böden mit und ohne Stutzen im Krempenbereich
H. 6, S. 549–553

Weiß, E., Rudolph, J., und Lietzmann, A.:
Komplexe Festigkeitsanalyse von Komponenten des Druckbehälter- und Dampfkesselbaus am Beispiel der Kugelschale-Stutzen-Verbindung
H. 9, S. 824–828

Weiß, M., siehe Prestel, W.:
H. 2, S. 118–124

Welp, H., siehe Braun, W.:
H. 5, S. 474

Wenz, R., siehe Backes, H.M.:
H. 11, S. 929–933

Werner, M., siehe Pöhl, Karin:
H. 5, S. 465–471

Widzgowski, R., siehe Braun, W.:
H. 5, S. 474

Wieman, J.L.:
Human-factor-Bedienungskonzept für das Kernkraftwerk Borssele
H. 5, S. 441–445

Wiemer, A., und Bödecker, K.W.:
Temperaturverhalten abgesperrter Rohrleitungsabzweige
H. 5, S. 436–440

Wignjosaputro, A., siehe Zölzer, K.:
H. 9, S. 755–762

Wilhelm, M., Wodtke, J., und Hölscher, W.:
Die Umsetzung der neuen Verordnung über Anlagen zum Umgang mit wassergefährdenden Stoffen (VAwS) im Kraftwerksbetrieb
H. 8, S. 732–738

Willeboer, W.:
Umweltauswirkungen von Kombi-Kraftwerken mit integrierter Kohlevergasung in der Praxis
H. 5, S. 474

Willmes, O., siehe Meyer, B.:
H. 12, S. 1043–1048

Winkler, W.:
Kraftwerke mit Brennstoffzellen als neuer Kraftwerkskomponente
H. 6, S. 509–515

Winter, H., Schrickel, J., und Stietz, M.:
Umsetzung und Konsequenzen aus der Störfall-Verordnung am Beispiel des Ammoniaklagers von Block 7 im Rheinhafen-Dampfkraftwerk
H. 5, S. 475

Wischnewski, R., Renzenbrink, W., und Rüsenberg, D.:
Stand und Weiterentwicklung der KoBra-Technik
H. 9, S. 791–794

Wittig, S., Bauer, H.-J., Meisl, J., und Sieger, K.:
Fortschrittliche Gasturbinenprozesse mit zweistufiger Verbrennung
H. 6, S. 503–508

Wodtke, J., siehe Wilhelm, M.:
H. 8, S. 732–738

Wohlsein, J., Hoffmann, M., und Kather, A.:
Große Braunkohle-Dampferzeuger mit zirkulierender Wirbelschichtfeuerung
H. 3, S. 215–219

Wurz, D., siehe Noll, B.:
H. 6, S. 540–543

Wysk, R., siehe Wecker, A.:
H. 3, S. 254–257

Zabelt, K., siehe Husemann, R.U.:
H. 3, S. 265–279

Zehner, P.:
Verfeuerung von Importkohlen in Wärmekraftwerken
H. 3, S. 231–242

Zeijseink, A.G.L., Benini, M., und Snelderwaard, R.J.:
Prop-up: ein Experten-System für die On-line-Diagnose von chemischen Abweichungen im Wasser-Dampfkreislauf des UNA Kraftwerks 25 in Velsen/Niederlande
H. 10, S. 909

Żelkowski, J., siehe Reuther, D.:
H. 9, S. 795–801

Ziehe, H.:
Wasserwirtschaft im Lausitzer Revier aus Sicht der Kraftwerksbetreiber
H. 7, S. 616–620

Zierler, W., siehe Schöngrundner, W.:
H. 1, S. 61–66

Zillessen, Chr.:
Einsatz von Kraftwerksreststoffen als Baustoff im untertägigen Steinkohlenbergbau
H. 4, S. 394–396

Zimmermann, P., und Hamers, J.P.:
Planung und Bau eines schwadenfreien und geräuscharmen Hybridkühlturmes mit einer umweltschonenden Wasserbehandlung durch Ozon für ein GuD-Kraftwerk in den Niederlanden
H. 5, S. 476

Zimmermann, P., siehe Latour, P.A.M.:
H. 6, S. 494–499

Zinke, K., siehe Fichte, W.:
H. 10, S. 909

Zinke, K., siehe Krabbe, H.-J.:
H. 10, S. 912

Zölzer, K., Wignjosaputro, A., Sackermann, R., und Kaminski, Th.:
Einsatz des Kessel-Diagnose-Systems KEDI im Kraftwerk Staudingern 5
H. 9, S. 755–762

Zwahr, H., siehe Menke, Doris:
H. 10, S. 880–884

In den 12 Heften des Jahrgangs 75 (1995) sind enthalten:

1	2	3	4	5	6
1 – 88	89 – 180	181 – 288	289 – 406	407 – 486	487 – 562
7	8	9	10	11	12
563 – 642	643 – 754	755 – 842	843 – 914	915 – 996	997 – 1076

Sachverzeichnis 1995

Abbaubarer organischer Kohlenstoff
— Bestimmungsmethode 961

ABE-Ausschuß
— Betriebserfahrungen mit Kernkraftwerken 1994 289

Abfallbehandlungskosten 884

Abfallverbrennung 13, 370, 880

Abfallverwertung durch Vergasung 523

Abgasreinigung bei Rückstandsverbrennung 375

Abgrenzung (VAwS-Anlagen) 732

Abhitzekessel im GuD-Prozeß des neuen Berliner Heizkraftwerkes 843–848

Ablaufplanung
— Termine und Kostencontrolling 82/83

Absperrorgane für Hochdruck-absperrschieber 785

Abwasser aus REA 457

Abwasseraufbereitung 457

Abwassernetze
— Bestandsaufnahme 554/555

Additiv zur Quecksilberfällung im MVA-Abgas 254

Aerosol 804

Aktivitätsverlust vom SCR-Katalysator 804

Aktivkohle zur Rauchgasnachreinigung 43

akustische Gastemperaturmessung
— Aufbau 202, 205
— Erfahrungen 202, 205

Altlasten
— Auswirkungen und Umgang 158

Altlastensanierung
— Maßnahmen 158

Alt-Standorte
— Umnutzung und Neubau 159

Ammoniak
— Bestimmung in Rauchgasen 61
— Versorgung in DENOX-Anlagen 61

Ammoniakschlupf
— Überwachung durch NH_3-Gehalt der Flugasche 61

Analyse
— von Orimulsion (Heizöl-S-Ersatz) 534

Anzapfkühlung
— Endstufenschaufeln 777

AOC in MVA-Rückständen 961

Arabien 998

Arbeits- und Gesundheitsschutz bei MVA 1049

Architektur
— Gestaltungskriterien 281

Armaturen
— Gehäusesanierung 864
— Hochdruck 785

Armaturengehäuse
— Korrosionsschäden 864

Armaturenisolierungen 697

Asbest
— Betriebsanweisung 212
— Schutzmaßnahmen 209

Aschegehalte
— ostdeutsche Rohbraunkohlen 682

Aschen aus MVA
— AOC-Bestimmung 961

Auditing, technisches
— Erfahrungen der Eskom, Südafrika 107–109

Auftragsschweißung
— Korrosionsbeständigkeit 865
— Technologie 865

Ausbrandverbesserung 1023

Ausbreitungsmodell der TA Luft 968

Ausbreitungsmodelle
— Entwicklungen in Europa 968

Baustoffe
— Förder- und Verarbeitungsverfahren im Steinkohlenbergbau 395

Bedienkonzept auf Human-factor-Basis im Kernkraftwerk Borssele 441–445

Behälterisolierungen 697

Bekohlungsanlage 717

Berliner Heizkraftwerk
— GuD-Prozeß mit Kraft-Wärme-Kopplung 843–848

Bestiftung von Rohrwänden 869

Betriebserfahrungen mit Rauchgasreinigung 454, 803

Betriebsergebnisse aus MVA 880

Betriebsführung
— Betriebsdatenmanagement 125–128
— Prozeß-Controlling 125–128
— Prozeß-Optimierung 125–128
— Prozeß-Simulation 125–128
— Umwelt-Controlling 125–128
— Verwaltung 125–128

Betriebsmanagementsysteme
— Aufbau, Anforderungen 125–133

Bevölkerungsexplosion 998

Bexbach II
— fortschrittliche Stromerzeugung 21

Biofilmreaktor 898

Biomassen
— Verbrennung und Vergasung (s.a. Vergasungsverfahren) 18, 912

Blasstrahlfigur
— Wasserlanzenbläser 450

Blockheizkraftwerk
— MHKW 220

Borssele, Kernkraftwerk
— Human-factor-Bedienkonzept 441–445

Braunkohle
— Aschen 94, 465, 682
— Mahltrocknung 763
— Staubsilo 684

Braunkohle-Aktivkoks
— Herdofen-Koks 43

Braunkohleemissionen 835

Braunkohlefeuerungen
— Entwicklungspotential 134, 763

Braunkohlenaschen
— stoffliche Charakteristik 163
— Verwertung als Betonzusatzstoff 988
— Verwertung für Hohlraumsanierung 988
— Verwertung für Schacht- und Kanal-verfüllungen 988

Braunkohlenfilteraschen
— chemische Zusammensetzung 465
— Granulometrie 465
— Kornmorphologie 465
— mineralogische Zusammensetzung 465
— Partikelbestand 465

Braunkohle-Dampferzeuger
— verfahrenstechnische und konstruktive Auslegung 9

Braunkohlenkraftwerke der VEAG
— Darstellung 93–100

Brenner
— Gasturbinen 421

Brennerregelung 240

Brennkammer
— Senkrecht-Berohrung bei Benson-Dampferzeugern 353–359
— Gasturbinen 343, 421, 487, 503

Brennstoffanalyse
— Orimulsion (Heizöl-S-Ersatz) 534

Brennstoffaufgabe bei Drehrohrfeuerung 373

Brennstofftechnik 231

Brennstoffwechsel
— Auswirkungen 236, 715

Brennstoffzellen
— Entwicklung 26, 509
— für Kraftwerke 509–515
— Schmelzcarbonat, Technologie 26–31
— verfahrenstechnische Grundlagen 509–512

Brennzeit von Kohlepartikeln 713

Bruttostromerzeugung (Deutschland) 611

Chemische Reinigung
— eines Dampferzeugers in einer DWR-Anlage 819

Chlorgehalt von Kohlen 720, 1043

Chloridlösungen
— Dampfdruck 541

CO-Bildung in Aktivkoksfiltern 43

computergestützte Tomographie im Kraftwerk 446–449

CO_2-Emissionen 727
— Minderung und Entsorgung 284, 473, 494

CO_2-Minderungsmaßnahmen 10

CO_2-Minderungspotential
— Abschätzung 727
— Elektrizitätsanwendung 727

CO_2-Problematik 10

CO_2-Produktion im Kraftwerksblock für Gewächshäuser 494–499

CO_2/SO_3-Emissionsminderung 972

Dämpfungseinrichtung
— Sicherheitsventile 703

Dänemark 15

dänische Energiepolitik 15

Dampfeindüsung zur NO_x-Minderung 1024

Dampferzeuger
— Auswirkungen auf den Dampferzeuger beim Einsatz von Orimulsion (Heizöl-S-Ersatz) 534
— Benson, mit Senkrecht-Berohrung 353–359
— chemische Reinigung in einer DWR-Anlage 819
— Simulation 835

Dampfkesselanlage
— Abbruch im Kraftwerk Herrenhausen der Stadtwerke Hannover 855–857

Dampfturbine
— Beschaufelung 412, 940
— Großschaden 563
— für Heizkraftwerke 858
— weiterentwickelter Prozeß 21, 25
— Wirkungsgradverbesserung 412, 940

Datenanalse
— Fuzzy-Methode 583

Denitrifikation (biologisch) 894, 898

DENOX-Anlagen
— Ammoniakversorgungseinrichtungen 61
— Betriebserfahrungen 61

DENOX-Verfahren 803

dezentrale Strom-Wärme-Lieferung 1026

Diagnose
— Instandhaltung 583

Diagnosesystem für Kessel
— Einsatz in Staudinger 5 755–762

Dieselmotor
— Emissionen 225
— Steuerung, SIMATIC 228
— trivalent befeuert 222

differential-optische Absorptionsspektroskopie zur Messung von Reingasen in einer MVA
— Aufbau; Erfahrungen 203, 206

Dissertationen
zur Kraftwerkstechnik 86, 479, 834, 993

Dosisleistung
— Minimierung durch Zn-Dosierung in einer SWR-Anlage 625

Drehrohrfeuerung zur Verwertung chemischer Rückstände 370

Drehrohr-Verbrennungsöfen 370

Drosselkörper
— Mindestmengenventil 587

Druckkohlenstaub-feuerung (DKSTF) 12, 834, 1035

Druckvergasung (DV)
(s.a. Vergasungsverfahren) 11, 36, 91

Druckwasserreaktoren
— Bestimmung organischer Verunreinigungen in Kreisläufen 814
— chemische Dampferzeugerreinigung 819
— Einsatz organischer Konditionierungsmittel im Sekundärkreislauf 145

Druckwirbelschichteinsatz
— Gasturbine 1037

Druckwirbelschicht-feuerung (DWSF) 12, 138, 243, 384, 429, 1034, 1037

Durchlaufkessel
— chemische Fragen zu Wasser-Dampf-Kreisläufen bei rumänischen Hochdruck-dampferzeugern 544

Eigenbedarf 25

Eigenerwärmung von Aktivkohlen 43

Einstein 1003

Elektrofeld 5

Elektrofilter
— Einfluß des Brennstoffs auf die Abscheidung 241

Elektrofilterstaub
— NH_3-Gehalt im Elektrofilterstaub als Ersatzgröße für NH_3-Schlupf in DENOX-Anlagen 61

Elektrosmog 5

Elektrolytlösungen 540

Emissionen
— aus MVA 880
— Auswirkungen auf die Emissionen beim Einsatz von Orimulsion (Heizöl-S-Ersatz) 534

Emissionskonzentrationen bei Thermoselect 533

Emissionsminderung bei MVA 1050

Emissionsprognose 1989–2000 615

Emissionswerte bei der Rückstands-verbrennung 376

Endstufenschaufeln
— Anzapfkühlung 777

Endstufenströmung 777

Energiebilanz bei Thermoselect 532

Energiepolitik 643, 926

Energiespeicherung
— magnetische 397

Energieträgerstrukturen (Deutschland) 611

Energieversorgung 926

EPON 1052

EPRI
— Vergleich von EPRI Guidelines mit der VGB-Richtlinie R 450 L 391

Eröffnungsveranstaltung 915

Eröffnungsvortrag zum VGB-Kongreß 1995 926

Ersatzbrennstoffe
— Mitverbrennung 141

Ertüchtigung
— Turbosatz 412, 940

Eskom-Erfahrungen mit technischem Auditing 107–109

EU-Öko-Audit-Verordnung 889

European Pressurized Reactor (EPR) 1008

EVU in Ostdeutschland 612

Explosionen in Dampf-erzeugern/Feuerungen 849, 929

Festigkeitsanalyse
— Dampfkessel 824
— Druckbehälter 824
— Kugelschale-Stutzen 824
— gewölbte Böden, Krempenbereich 549

Festvortrag VGB-Kongreß 1995 998

Feuerfestauskleidung 868

Feuerungen 658, 717
— Akzeptanzprobleme bei der Mitverbrennung 141
— Wandreinigung 450

Feuerraumtemperaturmessung in einer MVA 201

Feuerraumwände
— Reinigung mit Wasserlanzenbläsern 450

Filterstaubqualität bei MVA 883

Fischgiftigkeit G_F von Ameisensäure, Nitrit, Schwermetallen, Chloriden 458

Fischtest 457

Flammenstabilität 397, 929, 954

Forschungsaspekte
— Niederlande 89

Forschungsprojekte
— Rentabilität 92, 1014
— VGB-Programm 67

Forschungsschwerpunkte
— KoBra 137
— Kraftwerkstechnik 91, 477, 1011

Franken II
— 3. Ausbau, Verbundblock 181–190

Freilastrechner
— vorausschauender 578

Fremdsteuerung
— Sicherheitsventile 592, 771

Frischdampftemperatur
— Zustandsregelung 570–577

Folieneinbau
— niedrige Verschmutzungsrate 829/830

Foulingbelastung
— großtechnischer Versuch mit Folienpaketen 831

Führungsmethode
— autoritär oder kooperativ 77

Funktionsprüfungen
— Sicherheitsventile 592, 703, 771

Gasausbrand bei Drehrohrfeuerung 373

Gas-Diesel-Motor
— Klopfsensorik 224

Gasturbine
— Brenner 421
— Druckwirbelschichteinsatz 1037
— katalytische Verbrennung 421
— Kombi-Kraftwerke 487
— Nachrüstung 341
— Schaufeln 285, 336
— Wirkungsgrade 487
— zweistufige Verbrennung 503

GAVO 454

Gegenstromblöcke
— Wärmetauscher 366

Gehalte an abbaubarem Kohlenstoff in Müllasche 965

Gemeinschaftsforschung der VGB
— 25 Jahre 1011

Gemeinschaftsorganisation 643

Genehmigungsverfahren
— Gutachten für Franken II, 3. Ausbau 181–190

gesteuerte Sicherheitsventile 592, 597, 771

Gewässerschutz
— sicherheitstechnischer Standard 554

GFK in Rauchgasreinigungsanlagen 191

Großschaden
— Dampfturbine 563

Großwasserraumkessel
— Gestaltungskriterien und Betriebs-erfahrungen 4

Gründungsversammlung 915

Grußworte 915

GuD-Abhitzekessel
— Korrektur der Heizflächenbelastung durch Speisewasser-/Sattdampf-umleitung 685–688

GuD-Prozeß mit Kraft-Wärme-Kopplung im neuen Berliner Heizkraftwerk 843–848

Hastelloy in REA 454
Hausmüllvergasung 529
Heinrich-Mandel-Preis 421, 834, 923
Heißgasluftrezirkulation
— System 24
Heizflächenbelastung durch Speisewasser-/Sattdampfumleitung 685–688
Heizflächenverschmutzung
— Auswirkungen auf die Heizflächenverschmutzung beim Einsatz von Orimulsion (Heizöl-S-Ersatz) 534
Heizkraftwerk
— Dampfturbinen 858
— Tiefstack der HEW 345–352
Heizreaktor mit passivem Abschaltsystem 836
Heizturbinen
— Konstruktion 858
— Strömungsuntersuchungen 777
Heizungs- und Niederdruckvorwärmer 433
Hemweg 8
— Kraftwerk mit fortgeschrittener Stromerzeugung 407–411
Herrenhausen
— Kraftwerk der Stadtwerke Hannover, Abbruch der Kesselanlage 855–857
HEW
— Heizkraftwerk Tiefstack 345–352
Hochdruck-Absperrschieber
— Absperrograne 785
Hochdruck-Anlagenbau
— Schweißnahtfestigkeit 630
Hochdruck-Umleitstation mit Sicherheitsfunktion 597
Hochschulforschungsinstitute 477, 1014
Hochtemperatur-Abgasreinigung
— Warmgasfilter 430, 793
Hybridkühlturm im RoCa-3-Kraftwerksblock bei EZH, Niederlande 498
Hybrid-Wärmetauscher 433

Immissionen
— Auswirkungen auf die Immissionen beim Einsatz von Orimulsion (Heizöl-S-Ersatz) 534
Immissionsprognose
— Franken II, 3. Ausbau 181–190
Importkohleeinsatz
(s.a. Kohlecharakterisierung) 231, 795
Induktionswirkung 5
innenberippte Rohre
— experimentelle Untersuchungen 353–359
Instandhaltung
— Fuzzy-Konzept 583
— Multi-Criteria-Analyse 584
— MVA 1049
Isolierungen
— Tauwasserverhütung 697

Jänschwalde
— Kraftwerksumrüstung 805
Joint Implementation 727

Kalt-Luvo WSV 972
Katalysatoren für DENOX-Anlagen
— Erosion 61
— Flugascheablagerung 61
katalytische Abgasreinigung bei Rückstandsverbrennung 375
katalytische Verbrennung in Gasturbinenbrennkammern 421
KEDI Kessel-Diagnose-System
— Einsatz in Staudinger 5 755–762
Keilplattenschieber 785
Kenndaten von Orimulsion (Heizöl-S-Ersatz) 534
keramische Schaufeln in Gasturbinen 836
Kernenergie
— in Rußland 1
— zukünftige Entwicklung in Deutschland 1006
Kernkraftwerk Borssele
— Human-factor-Bedienkonzept 441–445
Kernkraftwerke
— Bestimmung organischer Verunreinigungen in LWR 814
— chemische Dampferzeugerreinigung in einer DWR-Anlage 819
— Dosierung von Zink in einer SWR-Anlage 625
— Einsatz organischer Konditionierungsmittel im Sekundärkreislauf von DWR-Anlagen 145
— internationaler Vergleich chemischer Regelwerke 745
— Optimierung der Wasserchemie 739
Kerntechnischer Ausschuß 838
Kesselanlagen, rekonstruierte
— Erfahrungen in den neuen Bundesländern 678–684
Kessel-Diagnose-System (KEDI)
— Einsatz in Staudinger 5 755–762
Kesselexplosion
— Hintergrund, Schadensursache und prophylaktische Maßnahmen 10
Kesselspeisepumpen
— Probleme beim Warmstart 360
Klärschlammverbrennung 13, 143
— im Kohlekraftwerk 141
Klopffestigkeit
— Gas-Diesel-Motor 227
KoBra-Vergasungsprojekt 136, 791
Kohlecharakterisierung 94, 231, 235, 465, 678, 713, 715, 724, 796
Kohlefeuerungen
— Spurenelement-Bilanzierung 237
Kohlegas
— für Brennstoffzellen 26
— Reinigung 27
— Zusammensetzung 37
Kohle-Kombi-Kraftwerke (KKK)
— Forschungsschwerpunkte 91, 243
Kohlemahlanlagen 96, 812, 873
Kohlenstaubfeuerung
— Staudinger 5 722
Kohlenstaubleitungen, -verteilung 871, 947
Kohlenstaubmessung 949
Kohlenstoffbestimmung in Verbrennungsrückständen 961
Kohlevergasung
— Emissionen 474
— Rückstände 36, 40
Kohlevergasungsanlagen
— Werkstoffeignung 36
Kohleverstromung 10, 15
Kombi-Kraftwerke
— Kostenvergleich 487, 1026
Kombi-Prozesse mit Brennstoffzellen 513
Kondensat
— Zusammensetzung des Kondensates bei anorganischer Verunreinigung im Speisewasser 152
Kondensationsanlage
— luftgekühlt 500
Kondensatreinigung bei rumänischen Hochdruckdampferzeugern 544
Konditionierung
— Umlaufkessel, derzeitiger Stand 461
— Wasser-Dampfkreisläufe bei rumänischen Hochdruckdampferzeugern 544
— Wasser-Dampfkreisläufe mit Organica 145
Konstruktion
— Heizturbinen 858
— Radscheibenläufer 412
Korrosionsschutz für Rauchgaskanäle mit GFK 191
Kosten
— Abfallbehandlung 884
— CO_2-Minderung 14, 17
— Vergleich Kombi-Kraftwerke 487, 1026
Kraft-Wärme-Kopplung 727, 858, 1026
Kraftwerk
— Boxberg 613
— Buggenum 36, 129
— Franken II 181, 707
— Goldenberg 215
— Hemweg 8 407–411
— Jänschwalde 613, 805
— Klingenberg 455
— Provence, Gardanne/Frankreich 383
— Rheinhafen IV 341
— Staudinger 722
— Takehara 427
— Tiefstack 345, 1020
— Voitsberg, Betriebserfahrungen mit der DENOX-Anlage 61
— Wakamatsu 429
Kraftwerke
— Abschätzung von Ersatz- und Neubaubedarf 158
Kraftwerksanlagen
— Abbruch und Entsorgung 280/281
Kraftwerksasche
— Verwertung 988
Kraftwerksbau
— Bauen in bestehenden Anlagen 280
— Betriebseinsatz 265
— Verarbeitung 265
— Werkstoffe 265
Kraftwerksdesign
— kundengerecht 32–35
Kraftwerksentwicklung 643
Kraftwerkskonzept, fortschrittliches
— für Steinkohle 21–25
Kraftwerksreststoffe
— Anlagen von Langzeitanlagen (Deponiebau) 160
— Baustoffe im untertägigen Steinkohlenbergbau 396
— hydraulische Immobilisation 160

KRAFTWERKSSCHULE E.V.
— Ausbildung 398–403
— Betriebspersonal 398–403
— Grundsteinlegung 398–403
— Weiterbildung 398–403
Kraftwerkstechnik 926
Kraftwerkstechnologie 15
Kraftwerksumbau 341, 940
Kreuzstromblöcke
— Wärmetauscher 366
kritische Feldwirkung 5
Kühldampfmassenstrom 777
Kühleinbauten
— Oberblächenkonfiguration zur thermischen Leistungssteigerung 829
Kunststoff
— Kühleinbauten, thermische Leistung und Verschmutzungsgrade 832
— Vergasung 523
Kurzbericht VGB 653

Langzeituntersuchungen warmfester Schraubenverbindungen 67
Lanzenbläser mit Wasser 450
LAU- und HBV-Anlagen 732
Lausitzer Revier 616
Leitsysteme
— fortschrittliche, für Kernkraftwerke 516
Lippendorf
— Braunkohlekraftwerk der VEAG 93–100
luftgekühlte Kondensationsanlage 500
Luftvorwärmer 972

Magnetfeld 5
Mahlanlagen 717
Mahltrocknung 680
Mahlverhalten von Kohlen 800, 835, 878
Massenbilanz bei Thermoselect 530
Mehrstufen-Kondensatableiter
— Mindestmengenventil 587
Meßergebnisse des Temperaturverhaltens in nicht durchströmten Rohrleitungs-abzweigen 436–440
Meßgeräte in der Müllverwertung
— Erfahrungen 200–208
Mindestmengenventile
— Speisepumpen 587
Mineralfasern
— Gesundheitsgefahren 210
— künstliche 209
Mineralwolle
— Betriebsanweisung 214
— Dämmstoffe 214
Mischungsschichthöhe
— Berechnung 968
Mitgliederbewegung 653
Mitverbrennung
— Biomassen in Kohlefeuerungen 141, 475
— Klärschlamm im Kraftwerk 141
Modulbauweise
— Plattenwärmetauscher 366
Monin-Obukhov-Länge
— Berechnung 968
Motorenheizkraftwerk Resse
— Verfügbarkeitsanforderungen 220
MVA
— Bremen 1049
— Hamburg-Borsigstraße 880

Nachbrennkammer
— Turbulenz 377
Nachreaktionsbrenner 765
Naturumlauf-Dampferzeuger
— chemische Fragen zu Wasser-Dampf-kreisläufen bei rumänischen Hochdruck-dampferzeugern 544
Naturzugkühlturm
— thermische Leistung 829
neue Bundesländer
— rekonstruierte Kesselanlagen 678–684
neue Kraftwerkskonzepte 10
NH_3-Schlupf 48, 61
Niederdruckvorwärmer
— Plattenbauweise 433
Nitratreduktion 894, 902
NO_x
— Auswirkungen auf die NO_x-Bildung beim Einsatz von Orimulsion (Heizöl-S-Ersatz) 534
NO_x-arme Brenner 506, 603, 724, 1021
NO_x-arme Verbrennung 805
NO_x-Minderung 726, 765, 805, 834, 959, 1021
— Kohleverbrennung unter Druck 12
— Primärmaßnahmen 61, 473, 505, 560, 603, 718, 722, 724, 765, 805
NO_x-Reduktion
— CO-Oxidation 110
— mit Harnstoff 110
NO_x-Sekundärmaßnahmen (DENOX)
— nichtkatalytische und katalytische Reduktion (SNCR/SCR) 397, 474, 720, 802
NPF-Kühleinbauten
— thermische Leistungsmessungen 830
N_2O-Bildung und -Reduktion 834, 837/838

Öl
— Orimulsion als Heizöl-S-Ersatz 534
Öl- und Gasfeuerungen
— Kombi-Kraftwerke 834
— NO_x-Minderung 957
— Sicherheit und Umweltverträglichkeit 952
— Verpuffung 929
organische Substanzen
— Bestimmung in Wasser-Dampf-kreisläufen von LWR 814
Organisationsstruktur
— hierarchischer Aufbau 78
Orimulsion-Feuerung 534
Oxidationskatalysator 110
oxidkeramische Brennstoffzellen 26, 139, 510

Packung
— Ersatz von Asbest 864
Palladium-Katalysatoren für Gasturbinenbrennkammern 422
Parallelplattenschieber 785
Pilot-Anlage 894, 902
Planungsziele
— baugestalterisch 282
Plattenwärmetauscher 366, 433
Projektabwicklung
— Bauherrenaufgaben 76/77
Projektbeeinflussung
— Entscheidungsvorlagen und -dokumentation 80/81
Projektentwicklung
— Regelkreise und Zielvorgaben 79
Projektsteuerung
— Aufgabenstellungen 76
Probenahme zur Ascheuntersuchung in MVA 966

Qualitätssicherung
— Armaturen 1056
— Stahlguß 1056
— Fuzzy-Datenanalyse 586
Quasitrockensorption
— MVA 1050
Quecksilberabscheidung aus MVA-Abgas 254

Radialstufendüse
— Mindestmengenventil 587
Radscheibenläufer
— Konstruktion 412
Rauchgas
— Bestimmung des Ammoniakschlupfes 61
Rauchgasentschwefelung 454, 457, 613, 802
Rauchgasentschwefelungs-anlage (REA) 894, 898, 902
Rauchgaskanäle aus GFK 191
Rauchgasreinigung bei MVA 1050
Rauchgasreinigung bei der Rückstandsverbrennung 375
Rauchgasvolumenstrom
— Berechnung 621
— Betriebsmeßeinrichtung 621
— Vergleich Berechnung/Messung 621
Rauchgaswärmenutzung 23
Rauchgaswiederaufheizung 454, 885
REA-Abwasser 894, 898
REA-Abwasser (katalytisch) 902
REA-Gips
— Verwertung 988
REA-Kalk-Additiv-Verfahren 61
REA-Wasser
— Verwertung 988
Reaktivität von Aktivkohle, -koks 43
Regelung der Frischdampftemperatur
— Zustandsregelung 570–577

Regelventile für Mindestmenge 587
Reingasmessungen in einer MVA 203
Reinigung von Feuerraumwänden 450
rekonstruierte Kesselanlagen
— Betriebserfahrungen 678–684
Relativitätstheorie 1003
Reststoffe
— aus Braunkohlekraftwerken 988
— aus MVA 882
Reststoffverwertung bei MVA 1050
Richtlinie
— Vergleich der VGB-Richtlinie R 401 J für die Chemie in Kernkraftwerken mit der EPRI Guideline 745
— VGB-Richtlinie für Kesselspeisewasser, Kesselwasser und Dampf, internationaler Vergleich 391
Ringversuch zur AOC-Bestimmung 961
Rohrbogen
— Verformungsverhalten 837
Rohrleitungen
— Isolierungen 697
— Reichweite von Wirbelzonen in nicht durchströmten Rohrleitungsabzweigen 436–440
— strömungsinduzierte Wirbelzonen in nicht durchströmten Rohrleitungsabzweigen 436–440
Rohrwandbestiftung 869
rohstoffliche Abfallverwertung 523
Rückbau
— Verfahrensablauf 280
Rückhaltebecken
— Aufgaben und Konzepte 556
Rückstände aus Sondermüllverbrennungen 376
Rückstandsverbrennung 370
— Emissionen 376
— Rohröfen 371
Rußbläser für Feuerraumwände 450, 934

Säure-Taupunkttemperatur 972
Salzsäureproduktion in MVA 882
Sauerstoffbindemittel
— organische Ersatzchemikalien für Hydrazin 145
Saugkasten
— Differenzdruck 621
SAV-Produkt
— behördliche Einordnung 169
— Eigenschaften 167
— stoffliche Charakteristik 164
— Verwertungsmöglichkeiten 169
SCR
— Anlage bei Braunkohle 61
— DENOX-Anlage 48
— high dust 48
— im Industriekraftwerk 110
— mit Harnstoff 110
— Verfahren 802
SCR-Katalysator
— Aktivitätsabnahme 48
— Wechsel 48
Selbstentzündungsneigung von Kohle und Koks 43
Sicherheit von Aktivkohlefiltern 47
Sicherheitsabsperrventile 597
Sicherheitseinrichtungen zur Druckabsicherung 597, 771
Sicherheitsventile
— federbelastet 597, 703
— Funktionsprüfungen 592
— verschiedene 597, 703
Sichter für Mahlanlagen 607, 876
Siedewasserreaktoren
— Bestimmung organischer Verunreinigungen im Wasser-Dampfkreislauf 814
— Dosierung von Zink 625
— Optimierung der Wasserchemie 739
— Vergleich der chemischen Regelwerke von EPRI und VGB 745
SOFC-Brennstoffzellen 509–515
Solar-Wasserstoff 101–106
Sondermüllverbrennung 370
Sonnen-Strom
— Wasserstoff 101–106
SO_2-SO_3-Konversion 61
SO_3-Konzentration 972
Spannungsrißkorrosion
— in SWR-Anlagen, Minimierung durch wasserchemische Maßnahmen 739
Speisepumpen
— Mindestmengenventile 587
— Probleme beim Warmstart 360
Speisewasser- bzw. Sattdampfumleitung bei GuD-Abhitzekesseln mit Trommel 685–688
Sprühabsorptionsverfahren 167
Sprühkühlung in Krümmern 86
SWR-1000 1009

Schaden
— Zahnkopplungshülse 563
Schadstofffrachten bei der Abfallvergasung 530
Schalldämmung für Luftkondensationsanlagen 500
Schaufelkühlung in Gasturbinen 836
Schieber für Hochdruck 785
Schmelzcarbonat
— Kraftwerke mit Brennstoffzellentechnik 26–31
Schmelzeigenschaften von Kohlenaschen 710
Schmelzfeuerungen 26, 185, 707, 868
Schubspannungsgeschwindigkeit
— Berechnung 968
Schüsselmühlen 873
Schutzmaßnahmen am Arbeitsplatz 213
Schwefeldioxide
— Auswirkungen auf den SO_2-Rauchgasgehalt beim Einsatz von Orimulsion (Heizöl-S-Ersatz) 534
Schwefelsäuremessungen 885
Schwefelsäuretaupunkt von Braunkohle 455
Schweißen
— Auftragsschweißen 864
Schweißung
— Gußeisen-Stahl 980
— Tragfähigkeit 980
Schwermetallemissionen bei MVA 881
Schwingungsverhalten von Speisepumpen 360

Stabilisierung von Erdgasbrennern 421, 560
Stadtwerke Hannover
— Kraftwerk Herrenhausen, Abbruch der Dampfkesselanlage 855–857
STAGAVO
— Franken II, 3. Ausbau 750 MW 187/188
— Reinigungseinrichtung, rohgasseitig 885
— werkstoffchemische Erfahrungen 885
STAGAVO-Versuchsanlage
— Aufbau 885
— Betriebserfahrungen 885
Statistik der CO_2-Emissionen
— weltweit 247–253
Staudinger 5
— Einsatz des Kessel-Diagnose-Systems KEDI 755–762
Stickstoffoxide
— Auswirkungen auf die NO_x-Bildung beim Einsatz von Orimulsion (Heizöl-S-Ersatz) 534
Strahlungswärmetransport 834
Strömungsfelder in Turbinen 836/837
strömungsinduzierte Wirbelbildung
— in nicht durchströmten Rohrleitungen 436–440
Strömungsuntersuchungen
— Heizturbinen 777
Stromerzeugung und CO_2-Emissionen
— internationaler Vergleich 247–253
Stromversorgung
— kommunale 397
Strom-Wärme-Kopplung 1026
Stufenverbrennung (s.a. Zweistufenverbrennung und Nachreaktionsbrenner) 507

Tätigkeiten der Arbeitskreise 653
Tagesfragen 926
Tangentialfeuerung 607
Tauwasserverhütung
— Behälter, Rohrleitungen, Armaturen 697
TAV-Aschen
— stoffliche Charakteristik 162
Temperaturmessung in Brennkammern
— akustisch 201
Temperaturverhalten abgesperrter Rohrleitungsabzweige 436–440
Tendenzen in der Stromwirtschaft 643
thermische Abfallverwertung 370, 880
Thermoselect-Verfahren 529
Thermoselect-Vergasung
— Massen- und Energiebilanzen 531, 1018
Tiefstack
— Heizkraftwerk der HEW 345–352
Tomographie im Kraftwerk
— computergestützt 446–449
Treibhausgase
— Emissionen 834/835
Trocknung von Braunkohle 135
Tropfenverdunstung 540
Tropfenwachstum 540
Turbinenschäden
— Überdrehzahl 689
Turbinenwellen
— Ultraschallprüfung 118
Turbosatz
— Ertüchtigung 412, 940

Überdrehzahl
— Turbinenschäden 689
Überhitzerabsicherungen 597
Umbau eines alten Kraftwerkes 341, 940
Umgang mit wassergefährdenden Stoffen 732
Umlaufkessel
— derzeitiger Stand der chemischen Konditionierung 461
Umnutzung
— Voraussetzungen für erneute Bebauung 281
Umrüstung
— Kraftwerk Jänschwalde 805
Umwelt 1052
Umweltbetriebsprüfung 889
Umwelterklärung 889
Umweltgutachter 889
Umwelthaftungsgesetz
— Gewässerschäden 557
Umweltkonzeption 1052
Umweltmanagement 889
Umweltmanagementsystem 1052
Umweltpolitik 1052
Umweltschutz
— Handbuch 1052
— im Kraftwerk 609/610, 613
US-Prüfung an Turbinenwellen 118

VEAG
— Braunkohlekraftwerke 93, 613
— Kraftwerk Jänschwalde 805
Ventilsteuerung
— Sicherheitsventile 592
Verbandsfragen 926
Verbrennung
— industrielle Rückstände 370
— katalytisch untertützte 421
— Zweistufen 343, 487, 503, 560
Verbrennungsrechnung
— nach Elementaranalyse 621
— vereinfacht 621
Verbrennungstechnologie
— NO_x-arm 805
Verbundbetrieb Erdgas/Kohle 13, 183, 341, 529
Verbundblock Franken II,
— 3. Ausbau 181–190
Verdunstungsmodell 540
Verfügbarkeit
— Sicherheitsventile 592, 771
Vergasung von Kunststoffabfällen 523
Vergasungsverfahren
— bei Atmosphärendruck 529, 1017
— für Abfälle 523, 529, 531, 1017/1018
— mit Sauerstoff 529
— bei Überdruck 11, 36, 91, 523, 791
— Wirbelschichtverfahren 523, 791
Vermeidung von Temperaturfluktuationen in nicht durchströmten Rohrleitungsabzweigen 436–440
Verpuffung in einem Dampfkessel
— Brenner- und Flammwächteranordnung 11
Verschmutzung und Verschlackung 719
Verteilungsgleichgewicht
— anorganische Verunreinigungen im Wasser-Dampfkreislauf 152
Verwertung
— von Braunkohlenaschen 988
— von REA-Gips 988
— von REA-Wasser 988
VGB-Ehrungen 922
VGB-Forschungsprogramm 67, 672, 777, 980, 1011
VGB-FORSCHUNGSSTIFTUNG 653, 671
VGB
— 75jähriges Jubiläum 643
VGB-Kongreß 1995 915
VGB-Laboratorien 653
VGB-Tätigkeit 653
VAwS 732
VVAwS 732

Wärmeentbindung von A-Koksfiltern 46
Wärmenutzung bei der Rückstandsverbrennung 374
Wärmetauscher in Plattenbauweise 366, 433
Wärmeübergang in Strömungskanälen 285
Wärmeverschiebungssystem 454, 804, 972
Walther-Verfahren 802
Warmgastrocknung von Braunkohle 135
Warmstarts von Speisepumpen 360
Wartenkonzepte 54
Wasseraufbereitung
— Zusatzspeisewasser bei rumänischen Hochdruckdampferzeugern 544
Wasserchemie in einer SWR-Anlage 739
Wasser-Dampfkreislauf
— chemische Fragen zu Wasser-Dampfkreisläufen bei rumänischen Hochdruckdampferzeugern 544
— chemische Konditionierung in Umlaufkesseln 461
— Konditionierung mit organischen Chemikalien 145
— Verteilungsgleichgewichte anorganischer Verunreinigungen 152
Wassergefährdungsstufen (WGK) 732
Wasserhaushaltsgesetz
— Folgen für die Kraftwerksbetreiber 554
Wasserlanzenbläser 450
Wassernutzung 616
Wasserrußbläser in Feuerräumen 450
Wasserstoffverbrennung 397
Wasserwirtschaft 616
Wellendichtungen bei Speisepumpen 360
Werkstoffe
— Eignung für Kohlevergasungsanlagen 36
Wirbelschichtfeuerung
— adiabatische 1034
— Braunkohle 138, 215
— Düsenböden (Gasverteilerböden) 219
— Emissionen 217/218, 244
— Entaschung 217
— Entwicklungspotential 380, 427, 660
— Erosion, Korrosion 219, 1043
— Großanlagen 139, 215, 380, 383, 427
— Laständerungsgeschwindigkeit 218
— NO_x-Minderung 217, 834, 837/838
— Reststoffverbrennung 475
— Rückstandsverwertung 834
— Simulationsrechnung 835, 837
— stationäre Wirbelschicht 243, 427
— zirkulierende Wirbelschicht 215, 381
Wirbelschichttrocknung (WTA) 792
Wirbelschichtvergasung 523
Wirkungsgrade
— fortschrittliche Kraftwerkssysteme 10, 30, 134, 140, 408, 763, 1034
— Gasturbinen 487
Wirkungsgradsteigerungen 10, 15
Workshop der VGB-Kontaktleute 1069

Zahnkupplungshülse
— Bruch 563
zentrale Strom-Wärme-Lieferung 1026
Zink
— Dosierung in einer SWR-Anlage zur Dosisleistungsminimierung 625
Zündempfindlichkeit von Aktivkohlen 45
Zündwilligkeitskennzahl nach *Żelkowski* (ZWZ) 800
Zusatzwassereinspeisung für Kondensationsanlage 500
Zweistufenverbrennung in Gasturbinen 343, 487, 503, 560

Persönliches 1995

Baier, Walter,
VDI-Preis für Energietechnik-Journalisten
H. 3, S. 285

Barnevik, Percy,
Verleihung des Titels „Emerging Markets CEO of the Year" (bester Vorstandsvorsitzender 1995 für die aufstrebenden Märkte)
H. 11, S. 993

Bernhardt, Siegfried,
gestorben
H. 4, S. 405

Bilger, Pierre,
Präsident von GEC Alsthom
H. 1, S. 86

Borgstedt, Karl-Eberhard,
Geschäftsführer bei Uhde GmbH
H. 3, S. 285

Bozem, Karlheinz,
Finanzvorstand bei der Energie-Versorgung Schwaben AG (EVS)
H. 7, S. 638

Brosch, Karl-Ernst,
Arbeitsdirektor im Vorstand der Ruhrkohle Bergbau AG, Herne
H. 4, S. 405

Brunn, Wolfgang,
Vorsitzender bei MAN GHH
H. 12, S. 1073

Bühler, Herbert,
gestorben
H. 2, S. 176

Class, Immanuel,
95 Jahre
H. 5, S. 482

Czychon, Karl-Heinz,
Betriebsleiter des Erdgaskraftwerkes Emsland
H. 8, S. 752

Ellerhorst, Horst,
gestorben
H. 7, S. 638

Esser, Friedrich H.,
im Ruhestand
H. 11, S. 993

Flügge, Hubertus,
Leiter des Kraftwerksstandortes Lingen
H. 8, S. 752

Förster, Hans-Peter,
im Ruhestand
H. 7, S. 638

Gorgas, Karl-Heinz,
Vorstandsmitglied der Lurgi AG
H. 2, S. 176

Hegemann, Karl-Rudolf,
Pressesprecher der Lentjes-Gruppe
H. 8, S. 752

Hepp, Harald,
alleiniger Geschäftsführer der Fördertechnik Gräfenhain GmbH
H. 3, S. 285

Hirt, Manfred,
Vorstandssprecher der Renk AG
H. 12, S. 1073

Ide, Günter,
60 Jahre
H. 2, S. 176

Jaeschke, Lothar,
im Ruhestand
H. 3, S. 285

Jeschar, Rudolf,
65 Jahre
H. 6, S. 560

Karg, Rolf,
stellvertretendes Vorstandsmitglied der Asea Brown Boveri AG
H. 12, S. 1073

Koch, Hans,
gestorben
H. 6, S. 559

Krätzig, Winfried B.,
Ehrendoktor
H. 2, S. 176

Kübel, Horst,
Geschäftsführer der ABB Turbomaschinen-Instandhaltung
H. 3, S. 285

Küffner, Georg,
VDI-Preis für Energietechnik-Journalisten
H. 3, S. 285

Kuhnt, Dietmar,
Vorsitzender des Vorstandes der RWE AG
H. 1, S. 87

Kußmaul, Karl,
65 Jahre
H. 4, S. 405

Lienhard, Hubert,
Vorstandsvorsitzender der ABB Kraftwerke AG
H. 2, S. 176

Linnebach, Klaus,
Leiter des ABB-Unternehmensbereiches Dampfkraftwerke
H. 2, S. 176

Melchior, Jochen,
Vorstandsvorsitzender der STEAG AG
H. 11, S. 993

Povše, Roman,
gestorben
H. 8, S. 752

Röhlen, Alfred,
gestorben
H. 3, S. 285

Ruess, Fritz P.,
Geschäftsführer der Siemens Power Ventures GmbH
H. 4, S. 405

Ruhrgas AG,
Änderungen im Vorstand
H. 10, S. 913

Sauerzapfe, Dieter,
im Ruhestand
H. 3, S. 285

Schmid, Karl L.,
im Ruhestand
H. 2, S. 176

Schmidt, Johannes,
Geschäftsführer der Siemens Power Ventures GmbH
H. 4, S. 405

Schneider, August,
75 Jahre
H. 4, S. 405

Schubert, John,
Vorsitzender der Geschäftsführung der Krupp Koppers GmbH
Vorstandsmitglied der Krupp Anlagenbau GmbH
H. 2, S. 176

Schumacher, Adolf,
60 Jahre
H. 12, S. 1073

Schwirten, Dieter,
Vorsitzender der ERI
H. 8, S. 752

Seiler, Christian,
gestorben
H. 11, S. 993

Stolle, Klaus-Dieter,
Vorstandsmitglied und Arbeitsdirektor der VEBA Kraftwerke Ruhr AG (VKR), Gelsenkirchen
H. 4, S. 405

Styrikovich, Mikhail A.,
gestorben
H. 12, S. 1073

Technischer VGB-Beirat,
Änderungen im Vorstand
H. 10, S. 913

Thelen, Franz,
im Ruhestand
H. 6, S. 560

Thomas, Hans-Joachim,
75 Jahre
H. 10, S. 913

Timm, Manfred,
Sprecher des HEW-Vorstandes
H. 1, S. 87

Tisborn, Benno,
65 Jahre
H. 6, S. 560

Uhlmann, Petra,
Leiterin der Presse- und Öffentlichkeitsarbeit bei PreussenElektra AG
H. 3, S. 285

Vaillant, Karl-Ernst,
Bundesverdienstkreuz
H. 1, S. 87

Vaillant, Karl-Ernst,
60 Jahre
H. 7, S. 638

Vater, Hans-Georg,
Vorstandsmitglied bei Hochtief AG
H. 12, S. 1073

Verein Deutscher Zementwerke
Änderungen in der Geschäftsführung
H. 3, S. 285

VGB-Vorstand,
Änderungen
H. 9, S. 838

von Gersdorff, Bernhard,
65 Jahre
H. 5, S. 482

Wagner, Ulrich,
mit Ehrenring des VDI ausgezeichnet
H. 6, S. 560

Weber, Ekkehard,
gestorben
H. 11, S. 993

Weinspach, Paul-Michael,
60 Jahre
H. 5, S. 482

Welten, Gerhard,
60 Jahre
H. 2, S. 176

Wilke, Günther,
im Ruhestand
H. 8, S. 752

Winje, Dietmar,
Vorstandsmitglied der Vereinigung Deutscher Elektrizitätswerke (VDEW)
H. 2, S. 176

Wissenschaftlicher VGB-Beirat,
Änderungen
H. 10, S. 913

Buchbesprechungen 1995

Abwehr betrieblicher Störfälle:
Brandschutz – Umweltschutz – Werkschutz
H. 5, S. 486
H. 11, S. 979

Alarmanlagen – Planung, Komponenten, Installation
H. 5, S. 449

Basisdaten Toxikologie für umweltrelevante Stoffe zur Gefahrenbeurteilung bei Altlasten
H. 3, S. 230

Baufachwörterbuch
H. 3, S. 230

Brandlehre
H. 1, S. 88

Bussysteme für die Prozeßleittechnik
H. 8, S. 750

Dampfkesselbestimmungen
H. 5, S. 471
H. 5, S. 486

Der Immissionsschutzbeauftragte
H. 2, S. 159

EDV-Anwendungsbericht
H. 10, S. 901

EDV-Anwendungsbericht: PC-Informationssystem „Immissionsschutzrecht und Luftreinhaltung" für Betriebsbeauftragte
H. 6, S. 557

Einsatz intelligenter Feldgeräte in der Verfahrenstechnik
H. 7, S. 642

Energiemarkt Bundesrepublik Deutschland
H. 5, S. 471

Experimente für den Feuerwehrunterricht
H. 3, S. 246

Feuerlöschmittel – Eigenschaften, Wirkung, Anwendung
H. 3, S. 230

Grundlagen der Meßtechnik
H. 5, S. 486

Grundlagen des Atemschutzes
H. 11, S. 979

Handbuch Belehrungsthemen (Unterweisungen)
H. 2, S. 159

Handbuch der Kesselbetriebstechnik Kraft- und Wärmeerzeugung in Praxis und Theorie
H. 5, S. 485

Handbuch der Umweltmedizin
H. 10, S. 914

Handbuch der Umweltverträglichkeitsprüfung (HdUVP)
H. 12, S. 1076

Handbuch des Deutschen Wasserrechts
H. 3, S. 246
H. 6, S. 562

Immissionsschutz
H. 6, S. 557

Industrielle Gasanalyse
H. 11, S. 979

Instandhaltung von Anlagen:
Konzepte – Strategien – Planung
H. 2, S. 159

Jahrbuch 1994 „Bergbau, Erdöl und Erdgas, Petrochemie, Elektrizität, Umweltschutz"
H. 1, S. 88

Jahrbuch Bergbau, Erdöl und Erdgas, Petrochemie, Elektrizität, Umweltschutz 1995
H. 5, S. 449

Lagerung und Transport wassergefährdender Stoffe (LTwS)
H. 3, S. 246
H. 6, S. 562
H. 10, S. 888

Lexikon und Wörterbuch der industriellen Meßtechnik, Wörterbuchteil Englisch–Deutsch, 3. Auflage
H. 5, S. 449

Meßtechnik an Maschinen und Anlagen
H. 5, S. 485

Physikalische Meßtechnik mit Sensoren
H. 6, S. 562

Praxishandbuch für den betrieblichen Brandschutz – Aufbau, Durchführung, Optimierung –
H. 5, S. 449

Reaktorhandbuch – Kerntechnische Grundlagen für Betriebspersonal in Kernkraftwerken
H. 3, S. 288

Rostfeuerungen zur Abfallverbrennung
H. 5, S. 485

Sicherheitstechnik
H. 3, S. 288
H. 5, S. 486
H. 8, S. 744
H. 12, S. 1076

Springer-Umweltlexikon
H. 5, S. 485

Stahlschlüssel
H. 5, S. 486

TK-Software „Steuer 1994":
Empfehlenswertes Programm für Steuer-Laien
H. 1, S. 88

Umweltchemie
H. 5, S. 486

Umweltwörterbuch Naturwissenschaften
H. 5, S. 471

Wärme- und Stoffübertragung
H. 3, S. 230

VGB Kraftwerks-technik

Organ der VGB
Technischen Vereinigung der
Großkraftwerksbetreiber e.V.

Internationale Fachzeitschrift
für Technik in Kraftwerken
76. Jahrgang (1996)
Hefte 1 – 12

Herausgeber

VGB TECHNISCHE VEREINIGUNG DER GROSSKRAFTWERKSBETREIBER E.V.

Vorsitzender: Professor Dr. W. Hlubek, Essen;
Geschäftsführer: Professor Dr. rer. nat. H.-D. Schilling, Essen.

Anschrift der Redaktion

VGB TECHNISCHE VEREINIGUNG DER GROSSKRAFTWERKSBETREIBER E.V.,
Klinkestraße 27–31, D-45136 Essen, Postfach 10 39 32, D-45039 Essen,
Telefon (02 01) 81 28-3 00/3 01, Telefax (02 01) 81 28-3 02.

Chefredaktion

Chefredakteur: Oberingenieur Dipl.-Ing. H. Bleßmann, Essen;
Redaktionsassistentin: Rita Maria Wilke, Essen.

Redaktion

Oberingenieur Dr.-Ing. W. vom Berg, Essen;
Oberingenieur Professor Dr.-Ing. J. Jacobs, Essen;
Abteilungsdirektor Dipl.-Ing. K. Plate, Essen;
Abteilungsdirektor Dr.-Ing. G. Schlegel, Essen;
Abteilungsdirektor Dr.-Ing. E. Tolksdorf, Essen.

Wissenschaftlicher Redaktionsbeirat

Professor Dr. J. Béer, Cambridge, Massachusetts/USA;
Professor Dr. techn. Th. Bohn, Essen;
Professor Dr.-Ing. F. Brandt, Darmstadt;
Professor Dr.-Ing. J. Buxmann†, Hamburg;
Professor Dr.-Ing. G. Dibelius, Aachen;
Professor Dr.-Ing. H. Kremer, Bochum;
Professor Ir. J.J.C. van Lier, Delft/Niederlande;
Professor Dipl.-Ing. Dr. techn. W. Linzer, Wien/Österreich;
Professor Dr. techn. O.I. Martynova, Moskau/Rußland;
Professor Dr.-Ing. L. Müller, Berlin.

Technischer Redaktionsbeirat

Dipl.-Ing. R. Aarni, Helsinki/Finnland;
Betriebsdirektor Dipl.-Ing. K. Bers, Berlin;
Dr. techn. H. Breidenbach, Essen;
Dr. rer. nat. J. Ernst, Hamburg;
Dipl.-Ing. J. Garleff, Hamburg;
Abteilungsdirektor Professor Dr.-Ing. G. Haag, Stuttgart;
Dipl.-Ing. Dr. techn. F. Janitschek, Klagenfurt/Österreich;
Direktor Dr. rer. nat. D. Kallmeyer, Essen;
Direktor Dipl.-Ing. ETH K. Küffer, Baden/Schweiz;
Direktor Dr.-Ing. E.h. Dipl.-Ing. R. Mäule, Esslingen;
Direktor Dipl.-Ing. J. Schulte, Leverkusen.

Vertrieb und Anzeigenverwaltung

VGB-KRAFTWERKSTECHNIK GmbH,
Klinkestraße 27–31, D-45136 Essen, Postfach 10 39 32, D-45039 Essen,
Telefon (02 01) 81 28-2 12/2 13, Vertrieb (02 01) 81 28-2 00,
Abonnement (02 01) 81 28-2 17, Telefax (02 01) 81 28-3 29.
Verantwortlich für Vertrieb und Anzeigenteil: R. Rätz.

Erscheinungsweise

monatlich, außerdem erscheint zeitlich verschoben eine englische Fassung der Hefte.

ISSN 0372-5715

Jahresinhaltsverzeichnis 1996

Verfasserverzeichnis 1996

ABE-Bericht:
Betriebserfahrungen mit Kernkraftwerken
H. 4, S. 249–300

Albert, F.A., Reimann, D.O., Leidig, O., und Krüger, J.:
Primärmaßnahmen zur Minderung von Emissionen bei der Abfallverbrennung
H. 8, S. 635–642

Apelt, O., siehe Onland, H.:
H. 12, S. 1009–1016

Arbes, P., siehe Wamser, J.:
H. 1, S. 74

Aspden, D., Platt, D., und Conlin, J.B.:
Periodische kombinierte Fahrweise für Kesselbehälter
H. 10, S. 875

August, M., siehe Schreiber, R.:
H. 1, S. 75

Aumüller, Bäumchen und Seyfert, N.:
Sanierung der Elektrofilteranlagen in den Kraftwerken Dürnrohr/EVN und Ensdorf/VSE
H. 3, S. 242

Aumüller, A., Bobik, M., und Cox, W.:
On-line-Korrosionsmessung an Verdampferrohren während luftseitiger Primärmaßnahmenfahrweise zur NO_x-Reduktion bei einer steinkohlenbefeuerten Großanlage unter Berücksichtigung des Einsatzes von Importkohlen
H. 9, S. 762–765

Ausfelder, U., siehe Roos, E.:
H. 5, S. 425–431

Bäumchen, siehe Aumüller:
H. 3, S. 242

Bald, A., siehe Schwegmann, P.:
H. 12, S. 970–973

Bartonicek, J., siehe Pfeiffer, G.:
H. 3, S. 245

Bartonicek, J., und Schöckle, F.:
Neue deutsche bzw. europäische Normen für die Flanschberechnung
H. 3, S. 245

Bartz, R., Newell, P.A., und Sehn, P.:
Ein Wirtschaftslichkeitsvergleich von Umkehrosmose und Ionenaustausch in Europa
H. 10, S. 876

Basener, H., und Hacker, H.:
Schäden an ZÜ-Einspritzkühlern und deren Sanierung, dargestellt an einem Beispiel im Heizkraftwerk Tiefstack
H. 3, S. 244

Bauer, W.:
Mehr Sicherheit durch Lean Management?
H. 8, S. 688

Baumhoff, V., Kempkes, B., und Peters, K.:
Spannungsbewertung von HD-Rohrleitungssystemen mit hohen Dampfparametern unter Berücksichtigung von Schrägzug und Lager- und Hängerreibung
H. 3, S. 244

Beck, M., siehe Koch, Th.:
H. 7, S. 589–591

Becker, B., und Schulenberg, Th.:
Erfolge bei der Gasturbinenentwicklung
H. 4, S. 309–314

Becker, F., siehe Ruf, R.:
H. 10, S. 876

Beckers, J.M.J., siehe Görner, K.:
H. 5, S. 369–375

Beckert, P., siehe Gittel, F.:
H. 6, S. 527

Beckmann, G.:
Schlanke Instandhaltung: Modell oder Praxis? – ein Fazit –
H. 1, S. 72

Beer, S.:
Überwachung und Optimierung des Betriebes von Kondensationsanlagen in thermischen Kraftwerken
H. 9, S. 739–745

Beesdo, H., siehe Kolb, R.:
H. 6, S. 506–513

Benz, J., Triebel, W., und Saiger, W.:
Anpassung der Abwassersysteme von Altanlagen an die aktuelle Gesetzessituation im EVS-Heizkraftwerk Heilbronn
H. 4, S. 331–335

vom Berg, W., und Puch, K.-H.:
Radioaktivität von Verbrennungsrückständen aus Kohlekraftwerken
H. 8, S. 681–687

Bergmann, L., siehe Melzer, B.:
H. 3, S. 245

Bernstein, W.:
Zuverlässigkeit von Kraftwerksanlagen
H. 8, S. 643–648

Bestebroer, Sigrid I., Smakman, G.J.J., und Kwant, K.W.:
Biomasse als Energierohstoff: Ein zukunftsträchtiger Energieträger
H. 7, S. 570–574

Beutel, R., siehe Loup, M.:
H. 10, S. 811–813

Biewald, H., und Meyer, G.:
Brandbekämpfung an unter Spannung stehenden elektrischen Anlagen mit Löschschaum
H. 8, S. 621–625

Blaser, B., siehe Blaser, W.:
H. 10, S. 876

Blaser, W., und Blaser, B.:
H_2-Minitest in Leibstadt und Mühleberg
H. 10, S. 876

Blees, R., siehe Schulze, U.:
H. 3, S. 243

Blees, R., siehe Schulze, U.:
H. 4, S. 320–323

Blind, D., siehe Läpple, V.:
H. 10, S. 875

Blum, R., siehe Scheffknecht, G.:
H. 10, S. 856–862

Blümel, W., und Nagel, U.:
Verwertung von Produktionsrückständen in einem Industrie-Kraftwerk
H. 3, S. 230–234

Bobik, M., siehe Aumüller, A.:
H. 9, S. 762–765

Böhm, E., und Toussaint, D.:
Konzept einer Ökobilanz in der Abfallbehandlung
H. 6, S. 526

Böhm, P., und Fischer, W.:
Zerstörungsfreie Vermessung von Rißfeldern in Speicherpumpenwellen oder Kugelschieberzapfen, ausgehend von der Zentralbohrung mit Hilfe des Ultraschallverfahrens SAFT
H. 3, S. 243

Böhm, R.:
Keimlast im Bereich von Abfallbehandlungsanlagen
H. 6, S. 529

Böhm, S., und Suß, G.:
Steinkohlenflugasche – ein Füller für den Asphaltstraßenbau
H. 12, S. 1040–1044

Bökenbrink, D., siehe Köster, H.:
H. 1, S. 72

Bolt, N.:
Kosteneffiziente Forschungsergebnisse für Gasturbinenbetreiber
H. 6, S. 471–475

Bonau, H.W.:
Mehrjährige Erfahrungen mit High-dust-ZERONOX-Katalysatoren 10.0 pitch
H. 10, S. 878

Born, J.G.P., siehe Sierhuis, W.M.:
H. 11, S. 936–940

Born, M., und Seifert, P.:
Chlorkorrosion an Dampferzeugern
H. 10, S. 823–828

Brakhan, W., siehe Loup, M.:
H. 10, S. 811–813

Brammen, W.:
Auswahlkriterien zum Einsatz von Rohrverschraubungen im Turbinenbau
H. 7, S. 557–560

Brand, B.:
Erfahrungen aus Abnahmeversuchen an Müllbunker-Überwachungssystemen mittels Infrarot-Kamera
H. 6, S. 528

Brand, V., siehe Pruschek, R.:
H. 6, S. 441–448

Brandt, R., siehe Laue, Carola:
H. 8, S. 656–660

Brasseur, O., und Daschmann, H.:
Der rekuperative Plattenwärmetauscher (REKU-LUVO) als neues Konzep zur Luftvorwärmung fossilbefeuerter Kraftwerke unter Berücksichtigung der Wirkungsgradverbesserung (REKU-LUVO-Plus)
H. 10, S. 814–817

Braun, R., und Weidener, H.:
Früherkennung von Bunkerbränden mit Hilfe der Infrarot-Thermographie – Restriktionen und Validierung –
H. 6, S. 529

Bretfeld, H., siehe Oehmigen, H.-G.:
H. 7, S. 602–606

Broisch, A., und Stürenburg, H.-G.:
10 Jahre Simulatorausbildung für fossilbefeuerte Kraftwerke
H. 12, S. 1047–1050

Bruns, J., siehe Wachter, O.:
H. 6, S. 514–520

Bunzemeier, A.:
Ein praxisorientiertes Inbetriebnahmekonzept für Zustandsregler im Bereich der Dampftemperaturregelung
H. 11, S. 911–917

Bürgel, H.-G.:
Wirkprinzipien, Einsatzmöglichkeiten und -grenzen von Microwasser-Löschanlagen für Kraftwerke
H. 9, S. 750–753

Bursik, A., siehe Seipp, H.-G.:
H. 8, S. 649–655

Bursik, A., und Seipp, H.-G.:
Ökonomische Bedeutung der Kraftwerkschemie
H. 4, S. 340–344

Busch, D., siehe Engelfried, R.:
H. 1, S. 66–71

Buuck, Marion:
Abnahmemessungen an Speisewasserpumpen im Prüffeld und vor Ort
H. 12, S. 989–994

Cerjak, H.H., siehe Mayrhuber, J.:
H. 6, S. 528

Chen, Q., siehe Scheffknecht, G.:
H. 10, S. 856–862

Christ, A., Fietz, M., und Renz, U.:
Grundlagen der Heißgasfiltration mit keramischen Filterelementen
H. 10, S. 838–842

Christ, Th., siehe Gaus, J.:
H. 11, S. 924–927

Conlin, J.B., siehe Aspden, D.:
H. 10, S. 875

Cox, W., siehe Aumüller, A.:
H. 9, S. 762–765

Croonenbrock, R., Klaka, H., und Knizia, M.:
Abhitzedampferzeuger für Gasturbinen moderner Kraftwerksprozesse
H. 2, S. 97–101

Daschmann, H., siehe Brasseur, O.:
H. 10, S. 814–817

David, P.:
Die Bildung von Biofilmen in Kohlen
H. 10, S. 878

Deckers, M., siehe Oeynhausen, H.:
H. 12, S. 974–979

Deeg, Th.:
Das Turbogetriebe HET mit hohem Wirkungsgrad
H. 1, S. 27–30

Deimel, P., siehe Läpple, V.:
H. 10, S. 875

Dobers, H., siehe Melzer, B.:
H. 3, S. 245

Döring, M., Leithner, R., und Schiller, A.:
Simulation des Auskühlvorganges in Dampferzeugern
H. 3, S. 202–208

Dragos, L., siehe Rosu, A.:
H. 7, S. 561–565

Draxler, A., siehe Schröfelbauer, H.:
H. 6, S. 449–456

Drosdziok, A., siehe Oeynhausen, H.:
H. 12, S. 974–979

Drucks, G., und Perko, H.-D.:
Funktionsprüfungen an Sicherheitsventilen in Anlagen
H. 3, S. 244

Ebeling, H.J., Noske, H., und Fricke, J.:
Kostensparende Teilerneuerung eines kommunalen Heizkraftwerkes durch eine anspruchsvolle GuD-Anlage
H. 7, S. 544–548

Eckel, M., siehe Roos, E.:
H. 5, S. 425–431

Egeler, R.:
Einfluß einer SNCR-Entstickung mit Harnstoff auf das Emissionsverhalten und die Rückstandsbelastung einer Müllverbennungsanlage
H. 6, S. 527

Eggers, H., Hein, E., Henrichs, M., Hoppe, H.J., Sturm, A., und Witt, W.:
Induktorkappen aus spannungsrißkorrosionsempfindlichen Werkstoffen am Beispiel konventioneller Kraftwerke der Hamburgischen Electricitäts-Werke AG
H. 10, S. 863–868

Eifler, D., siehe Petersmeier, Th.:
H. 4, S. 345–350

Eitz, A.W.:
Modernisierung und Rauchgasreinigung bei den bestehenden Braunkohlekraftwerken der VEAG
H. 1, S. 52–58

van Eldik, R., siehe Gutberlet, H.:
H. 2, S. 139–146

El Nagdy, K., siehe Qvale, B.:
H. 7, S. 575–580

Ender, V.:
Zur Sinnfälligkeit der Teilstromreinigung von Kreislaufwässern
H. 10, S. 876

Engelfried, R., und Busch, D.:
Zustand von Kühlturm-Innenbeschichtungen als Folge der REA-Betriebsbelastungen und der Umfeldeinwirkungen
H. 1, S. 66–71

Erken, M., siehe Heschel, W.:
H. 1, S. 46–51

Essers, H.:
Ölpflege mit System – Kontrolle der Ölreinheit als Diagnosesystem zur zustandsorientierten Instandhaltung von Hydraulik- und Schmierölsystemen in Kraftwerken
H. 1, S. 74

Essig, B., und Kahnert, H.:
Raumgestaltung von Warten
H. 10, S. 808–810

Ettemeyer, A.:
Korrosionsprüfung an Rohrleitungen mit Lasershearographie
H. 12, S. 999–1001

Fahlke, J., siehe Harmgart, S.:
H. 10, S. 878

Felgenhauer, A., siehe Heschel, W.:
H. 1, S. 46–51

Ferchhumer, G., siehe Waltl, J.:
H. 10, S. 875

Fichte, W.:
Chemie in Kühlkreisläufen von Gleitringdichtungen in Speisepumpen
H. 10, S. 843–846

Fietz, M., siehe Christ, A.:
H. 10, S. 838–842

Finkler, S., siehe Gutberlet, H.:
H. 2, S. 139–146

Fischedick, M., siehe Kaltschmitt, M.:
H. 6, S. 457–462

Fischer, W., siehe Böhm, P.:
H. 3, S. 243

Fleischer, G.:
Umgang mit künstlichen Mineralfaserprodukten in Kraftwerken
H. 8, S. 689

Flueraru, C., siehe Rosu, A.:
H. 7, S. 561–565

Franck, J., Schellenberger, I., und Karpinski, A.:
100 Jahre thermische Abfallbehandlung: Abgasreinigung damals und heute – Betriebserfahrungen der MVA Stellinger Moor Hamburg
H. 6, S. 526

Frank, R., siehe Vaida, V.:
H. 3, S. 188–194

Freimann, T., und Wierig, H.-J.:
Beurteilung der Konsistenz von frischen Mörteln und Betonen mit Steinkohlenflugasche durch unterschiedliche Prüfverfahren
H. 12, S. 1033–1039

Freimark, M., und Hauke, M.:
Bemerkenswerte Schäden an Gasturbinen-Verdichterrotoren in Scheibenbauweise
H. 5, S. 379–384

Fricke, J., siehe Ebeling, H.J.:
H. 7, S. 544–548

Fürstenberg, E., Heinrich, H.-J., und Hofmann, Annegret:
Untersuchungen zur Umkehrosmose-Verträglichkeit eines chemisch aufbereiteten Oberflächenwassers
H. 11, S. 941–943

Gade, U., siehe Kehr, M.:
H. 3, S. 183–187

Ganz, O., siehe Hein, M.:
H. 10, S. 878

Gasteiger, G., siehe Kehr, M.:
H. 3, S. 183–187

Gaus, J., Schroeder, W., und Christ, Th.:
Qualitätsmanagement in Theorie und Praxis
H. 11, S. 924–927

Gavillet, D., siehe Loner, H.:
H. 10, S. 876

Gehrhardt, J.-W., siehe Klanke, H.-P.:
H. 1, S. 74

Gerdes, C., Mayer, K.-H., Raddatz, M., Schöne, Sophie, Sörgel, G., und Wiemann, W.:
Experimentell gestützte Beanspruchungsanalysen zur Bestimmung der zu erwartenden Anrißzyklenzahl thermisch zyklisch belasteter Turbinenbauteile
H. 2, S. 109–116

Gerhardt, Th., Rebmann, M., Spliethoff, H., und Hein, K.R.G.:
Untersuchungen zur Mitverbrennung von kommunalen Klärschlämmen in Kohlenstaubfeuerungen
H. 5, S. 403–413

Gheorghiu, D., siehe Vaida, V.:
H. 3, S. 188–194

Gierend, Chr.:
Feuerungsregelung durch Fuzzy Control
H. 6, S. 487–497

Gierend, Chr.:
Fuzzy Control in Kraftwerken: Potentiale und Anwendungsmöglichkeiten
H. 6, S. 527

Gittel, F., und Beckert, P.:
Die Nach- und Umrüstmaßnahmen der MVA Zirndorf zur 17. BImSchV und die Betriebserfahrungen mit einem wassergekühlten Rost bei der Hausmüllverbrennung
H. 6, S. 527

Glasbrenner, R.:
Erfahrungen mit Mehrkreisregelantrieben (VOR-ECON) in verschiedenen Kraftwerken und Anlagen
H. 3, S. 242

Glinka, U., siehe Labuschewski, J.:
H. 10, S. 833–837

Gockner, L., und Heinrici, M.:
Verstellbare Verdichtervorleitreihen im Praxiseinsatz
H. 9, S. 734–738

Görner, K., Michalke, R., de Kluyver, J.P., und Beckers, J.M.J.:
Maßnahmen und Erfahrungen
bei der Umrüstung der Blöcke A und B der EPZ
in Maasbracht/Niederlande
H. 5, S. 369–375

Götte, C., siehe Wohlsein, J.:
H. 4, S. 303–308

Grebe, E., und Näser, W.:
Kraftwerk und Netz: Ein einheitliches System
H. 1, S. 23–26

Groll, M., siehe Kulenovic, R.:
H. 10, S. 878

Großöhmig, W.:
Erfahrungen mit der Niederdruck-Wasservernebelungstechnik
H. 9, S. 754–761

Guderian, J., siehe Seifert, U.:
H. 6, S. 528

Günther, J., Zafeiriou, E., und Wurz, D.:
Modelluntersuchungen zur Wärme- und Stoffübertragung sowie numerische Simulation der strömungs- und wärmetechnischen Eigenschaften regenerativer Gasvorwärmer
H. 3, S. 241

Gurr-Beyer, C., Kerkhof, K., Kockelmann, H., Kußmaul, K., und Trobitz, M.:
Zustandsdiagnostik von Rohrleitungssystemen mittels Schwingungsanalyse – Anwendungsbeispiele
H. 3, S. 244

Gutberlet, H., Finkler, S., Pätsch, Barbara, van Eldik, R., und Prinsloo, F.:
Bildung von Schwefel- und Schwefel-Stickstoff-Verbindungen in Rauchgasentschwefelungsanlagen und ihr Einfluß auf die Oxidationskinetik von Sulfit
H. 2, S. 139–146

***H**aase, M., Lindhorst, W., und Reuter, F.D.:*
Erfahrungen beim Bau, bei der Inbetriebnahme und dem Betrieb des GuD-Kraftwerks Kirchmöser (160 MW) unter besonderer Berücksichtigung der Abhitzdedampferzeuger
H. 2, S. 102–108

Hacker, H., siehe Basener, H.:
H. 3, S. 244

Härdtl, R., Schießl, P., und Wiens, U.:
Neue Erkenntnisse zur Wirkung von Steinkohlenflugasche in Beton
H. 11, S. 953–956

Härdtl, R., und Schießl, P.:
25 Jahre Betonzusatzstoff „Steinkohlenflugasche" – Forschung und ihre Umsetzung in die Praxis –
H. 5, S. 432–434

Häßler, G.:
Effizienzrevolution Wunschdenken oder Realität?
H. 9, S. 731–733

Hagen, M., und Schöffler, W.:
Einfluß von Fluorid in chloridhaltigen REA-Suspensionen auf das Korrosionsverhalten von Duplex-Stahlguß
H. 11, S. 947–952

Hagenmaier, H.:
Zur Problematik von Dioxinmessungen im Geltungsbereich der 17. BImSchV
H. 6, S. 528

Hahn, B., Nowak, G.E., Wellnitz, G., und Zschau, M.:
Erfahrungen aus der Zustandsbewertung und Ertüchtigung von Komponenten des Wasser-Dampfkreislaufes
H. 3, S. 195–201

Haibach, V., siehe Marzilger, B.:
H. 1, S. 59–62

Hajdamowicz, Sigrun, siehe Seipp, H.-G.:
H. 8, S. 649–655

Hamers, J.P., siehe Zimmermann, P.:
H. 6, S. 502–505

Hammer, G., siehe Six, J.:
H. 3, S. 235–237

Haneklaus, Silvia, Paulsen, H.M., und Schnug, E.:
Feldversuche zum Einsatz von Rauchgasentschwefelungsprodukten als Schwefeldünger
H. 8, S. 676–680

Hansen, O., und Schwarzfischer, St.:
Einbindung einer 25-MW-Gasturbine in ein bestehendes Kraftwerk unter Verwendung des bestehenden Generators
H. 4, S. 315–319

Harder, J.:
Moderne Entaschungstechnik und Ascheverwertung bei Steinkohlekraftwerken mit Trockenfeuerung
H. 9, S. 791–798

Harmgart, S., Fahlke, J., und Meierer, M.:
Die Beurteilung von DENOX-Katalysatoren während des Kraftwerksbetriebes
H. 10, S. 878

Harris, C.P., siehe Kevenhörster, P.:
H. 3, S. 242

Hartleben, B.:
Instandhaltung von regenerativen Wärmetauschern – Serviceleistungen im Bereich Revision, Instandsetzung und Komponentenertüchtigung –
H. 1, S. 75

Hartlieb, N., Martin, P., und Sengler, A.:
Rationalisierungsmöglichkeiten bei der Planung großer Dampfkraftwerke
H. 3, S. 169–174

Hauke, M., siehe Freimark, M.:
H. 5, S. 379–384

Heimann, G., Kahlert, J., und Weiß, G.:
Instandhaltungskonzept für die 800-MW-Braunkohleblöcke der VEAG
H. 1, S. 73

Hein, E., siehe Eggers, H.:
H. 10, S. 863–868

Hein, K.R.G., siehe Gerhardt, Th.:
H. 5, S. 403–413

Hein, M., Henkel, A., Pflug, H.D., und Ganz, O.:
Eliminierung von Ammoniak aus REA-Abwässern mittels Dampfstrippung bei niedrigem pH-Wert
H. 10, S. 878

Heinrich, H.-J., siehe Fürstenberg, E.:
H. 11, S. 941–943

Heinrici, M., siehe Gockner, L.:
H. 9, S. 734–738

Heinz, D., und Hudales, J.B.M.:
Steinkohlenflugasche – ein wertvoller Betonzusatzstoff in Deutschland und in den Niederlanden
H. 10, S. 869–873

Henkel, A., siehe Hein, M.:
H. 10, S. 878

Henrichs, M., siehe Eggers, H.:
H. 10, S. 863–868

Henzel, N., Kilian, R., und Stellwag, B.:
Alternative Fahrweisen für SWR-Anlagen
H. 10, S. 877

Heschel, W., Felgenhauer, A., Erken, M., und Jackstädt, F.:
Mathematisches Modell der Selbsterwärmung gasdurchströmter Aktivkoksfilter
H. 1, S. 46–51

Heurung, G.:
Trageakzeptanz von Atemschutzgeräten
H. 8, S. 689

Hlubek, W.:
Tagesfragen der Kraftwerkstechnik
H. 11, S. 892/893

Hofmann, Annegret, siehe Fürstenberg, E.:
H. 11, S. 941–943

Hohmann, F., siehe Oschmann, W.:
H. 7, S. 592–595

Hoppe, H.J., siehe Eggers, H.:
H. 10, S. 863–868

Horak, O., siehe Soja, G.:
H. 6, S. 529

Horstmann, H., siehe Vaida, V.:
H. 3, S. 188–194

Hosak, W., siehe Kohl, C.-D.:
H. 11, S. 928–932

Hosser, D., siehe Will, J.:
H. 10, S. 818–822

Houbak, N., siehe Qvale, B.:
H. 7, S. 575–580

Hudales, J.B.M., siehe Heinz, D.:
H. 10, S. 869–873

Hufmann, T., Mors, F., und Salewski, G.:
Sichterumrüstung von Kohlemühlen und deren Auswirkungen auf den Kesselbetrieb
H. 3, S. 242

***I**nselmann, S., siehe Smitshuysen, E.:*
H. 10, S. 877

***J**ackstädt, F., siehe Heschel, W.:*
H. 1, S. 46–51

Jager, W., siehe Liers, J.:
H. 1, S. 63–65

Jakob, A., siehe Stucki, S.:
H. 6, S. 527

Jakubowski, A., siehe Tannenhauer, J.:
H. 8, S. 689

Jourdain, P., siehe Loner, H.:
H. 10, S. 876

Jovanovic, A., und Maile, K.:
ESR-VGB – Ein intelligentes Softwarepaket zur Restlebensdaueranalyse von Rohrleitungen
H. 12, S. 995–998

Jung, H., siehe Neukirchen, B.:
H. 10, S. 829–832

***K**ahl, D., und Pfeiffer, J.:*
Optimierung der Rauchgasentschwefelung für die Qualität der Reststoffe beim Einsatz von Braunkohle mit hohem Schwefelgehalt an einer Pilot-Anlage
H. 2, S. 147–150

Kahlert, J., siehe Heimann, G.:
H. 1, S. 73

Kahnert, H., siehe Essig, B.:
H. 10, S. 808–810

Kahr, G., und Steiner, T.:
Qualitätssicherung im Kraftwerkslabor
H. 10, S. 877

Kaltschmitt, M., und Fischedick, M.:
Wind- und Sonnenenergie im Kraftwerksverbund
H. 6, S. 457–462

Kapr, Th., siehe Schneider, G.:
H. 4, S. 336–339

Karfik, V., siehe Schmäh, M.:
H. 6, S. 528

Karpinski, A., siehe Franck, J.:
H. 6, S. 526

Karweina, D.:
Perspektiven der Leittechnik
am Beispiel des Kraftwerks Schkopau
H. 6, S. 481–486

Kautz, H.R., und Klöhn, K.:
Konsequenzen aus aktuellen Schadensfällen
für die Qualitätssicherung aus VGB-Sicht
H. 7, S. 596–601

Kehr, M., Gasteiger, G., Gade, U., und Merz, J.:
800-MW-Braunkohlekraftwerk Schwarze Pumpe
H. 3, S. 183–187

Kellerer, A.M.:
10 Jahre nach Tschernobyl: Erwartete und
beobachtete gesundheitliche Effekte in der GUS
H. 4, S. 301–302.3

Kelleter, J., siehe Kohl, C.-D.:
H. 11, S. 928–932

Kempkes, B., Reiners, U., und Weber, J.:
Lebensdauerüberwachung von Rohrleitungen
und zeitstandbeanspruchten Komponenten
H. 3, S. 241

Kempkes, B., siehe Baumhoff, V.:
H. 3, S. 244

Kempkes, B., siehe Reiners, U.:
H. 8, S. 613–618

Kerkhof, K., siehe Gurr-Beyer, C.:
H. 3, S. 244

Kessler, A., siehe Roos, E.:
H. 5, S. 425–431

Kevenhörster, P., Harris, C.P., und Reid, D.:
Die Entwicklung der Dichtsysteme
an rotierenden Luft- und Gasvorwärmern
– Ausgeführte Anlagen, Betriebserfahrungen,
Vorteile der einzelnen Systeme –
H. 3, S. 242

Kiefer, F., und Winske, P.:
Erweiterung der Einsatzmöglichkeiten
von Schmelzkammergranulat im Straßenbau
H. 6, S. 521–525

Kildsig, F.:
Einfluß der gemeinsamen Verbrennung
von Kohle und Stroh auf die Rauchgasreinigung
H. 9, S. 777–779

Kilian, R., siehe Henzel, N.:
H. 10, S. 877

Kilian, Renate, siehe Wachter, O.:
H. 6, S. 514–520

Klaka, H., siehe Croonenbrock, R.:
H. 2, S. 97–101

Klanke, H.-P., und Gehrhardt, J.-W.:
Moderne Ultraschallprüfverfahren für die Turbinen-
und Generator-Wellenrevision
H. 1, S. 74

Klein, K.E.:
Maßnahmen zur Minderung der Dioxin-/
Furan-Emissionen in der Rauchgasreinigung
der Abfallverbrennungsanlage Stuttgart
mit zum Teil unerwarteten Ergebnissen
H. 6, S. 528

Klein, M., siehe Lehmann, L.:
H. 2, S. 85–94

Klöcker, K.J., siehe Klutz, H.-J.:
H. 3, S. 224–229

Klöckl, W., siehe Seipp, H.-G.:
H. 8, S. 649–655

Klöhn, K., siehe Kautz, H.R.:
H. 7, S. 596–601

Klutz, H.-J., Klöcker, K.J., und Lambertz, J.:
Das WTA-Verfahren als Vortrocknungsstufe
für moderne Kraftwerkeskonzepte
auf Basis Braunkohle
H. 3, S. 224–229

de Kluyver, J.P., siehe Görner, K.:
H. 5, S. 369–375

Kneissl, P., siehe Spaun, S.:
H. 6, S. 526

Kneissl, P.I., Sridharan, N., und Spaun, S.:
Die Inbetriebnahme der Abfallverwertungs-
anlage Wels – Aktuelle Betriebsergebnisse
und Praxiserfahrungen
H. 6, S. 527

Kneissl, P.J.:
Moderne Müllverbrennungsanlagen in Österreich
H. 3, S. 215–219

Knizia, K.:
Gefährdet das Klima unserer Energiepolitik
die Erde?
H. 7, S. 538–543

Knizia, M, siehe Croonenbrock, R.:
H. 2, S. 97–101

Koch, H.-J.:
Steinkohlenflugasche, Kesselsand, Schmelzkammer-
granulat und Gips – anerkannte Bauprodukte
H. 2, S. 158–164

Koch, Th., Pieper, B., Beck, M., und Schäfer, M.:
Wirkungsgradverbesserungen
von Rauchgasentschwefelungsanlagen
durch Einsatz von Carbonsäuren
H. 7, S. 589–591

Kockelmann, H., siehe Gurr-Beyer, C.:
H. 3, S. 244

Köster, H., und Bökenbrink, D.:
Kraftwerks-Instandhaltungs-Retrofit
H. 1, S. 72

Kohl, C.-D., Kelleter, J., Schwarz, A., Petig,
H., Laurs, H., und Hosak, W.:
Gas-Sensor-Brandmeldeverfahren
H. 11, S. 928–932

Kolar, J.:
75 Jahre Abgasreinigung in Kraftwerken
H. 5, S. 394–402

Kolb, R., Pohl, R., Kühne, Chr., und Beesdo, H.:
Zeitstandverhalten von Rohrbögen
aus dem russischen Werkstoff 12 Ch 1 MF
H. 6, S. 506–513

Krabbe, H.-J., und Zinke, K.:
Bestimmung des Gebrauchsendes von Gummie-
rungen in Rauchgasentschwefelungsanlagen
H. 11, S. 944–946

Krause, N.:
Regeln für Sicherheit und Gesundheitsschutz
an Arbeitsplätzen bei Exposition durch elektrische,
magnetische oder elektromagnetische Felder
H. 8, S. 690

Kreis, U., siehe Pfadler, H.:
H. 11, S. 918–921

Kremer, H., siehe Walter, M.:
H. 1, S. 37–45

Krüger, J.:
Reduktion der Schadstoffemission einer Müll-
verbrennungsanlage durch Einsatz von Dampf
im Überschallbereich in der Feuerung
H. 2, S. 134–138

Krüger, J., siehe Albert, F.A.:
H. 8, S. 635–642

Kühne, Chr., siehe Kolb, R.:
H. 6, S. 506–513

Kühne, Chr., siehe Pohl, R.:
H. 5, S. 420–424

Kuismanen, S.:
Helsinki Energy bringt die Zustandsüberwachung
in Hanasaari-B auf den neuesten Stand
H. 1, S. 74

Kulenovic, R., Schneider, G., Groll, M., und
Maier, H.:
Entwicklung eines Grobstaub-Partikelemissions-
meßgerätes und erste Betriebserfahrungen
H. 10, S. 878

Kurzhöfer, U., siehe Weyand, M.:
H. 3, S. 245

Kußmaul, K., Maile, K., und Purpur, H.:
Verformungs- und Versagensverhalten von Rohr-
bogen unter Innendruck und konstantem Zusatz-
moment im Kriechbereich
H. 8, S. 661–666

Kußmaul, K., siehe Gurr-Beyer, C.:
H. 3, S. 244

Kwant, K.W., siehe Bestebroer, Sigrid I.:
H. 7, S. 570–574

Labuschewski, J., und Glinka, U.:
Einfluß unterschiedlicher Sorbentia auf die Ab-
scheideleistung eines Quasitrocken-Verfahrens
hinter Müllverbrennungsanlagen
H. 10, S. 833–837

Läpple, V., Blind, D., und Deimel, P.:
Stand der Forschung zum korrosionsgestützten
Rißwachstum niedriglegierter ferritischer Stähle
in sauerstoffhaltigem Hochtemperaturwasser
H. 10, S. 875

Lambertz, J., siehe Klutz, H.-J.:
H. 3, S. 224–229

Lambrecht, V.:
Brand in einer Kohleförderanlage
H. 12, S. 1006–1008

Langner, A., siehe Narewski, R.:
H. 9, S. 772–776

Lasch, M., Trobitz, M., und Straub, W.:
ECP-Messungen in der SWR-Anlage
Gundremmingen
H. 10, S. 877

Lasthaus, D., siehe Tigges, K.D.:
H. 5, S. 388–393

Laue, Carola, Vater, P., Brandt, R., und Roesch, J.:
Untersuchungen mit Kernspurmikrofiltern
zum Auftreten und Verhalten der α-Strahler
im Primärkühlmittel von Kernkraftwerken (DWR)
H. 8, S. 656–660

Laurs, H., siehe Kohl, C.-D.:
H. 11, S. 928–932

Lehmann, Eleftheria:
Wirksame Prävention durch neues Arbeitsschutz-
gesetz
H. 8, S. 688

Lehmann, L., Klein, M., und Wittchow, E.:
Der Block 4 im Kraftwerk Heyden
H. 2, S. 85–94

Leidig, O., siehe Albert, F.A.:
H. 8, S. 635–642

Leidig, O.:
Einhaltung der TA Siedlungsabfall im Müllheizkraftwerk Essen-Karnap
H. 7, S. 566–569

Leimbrock, W., siehe Tannenhauer, J.:
H. 8, S. 689

Leisse, A., siehe Tigges, K.D.:
H. 5, S. 388–393

Leithner, R., siehe Döring, M.:
H. 3, S. 202–208

Leitz, R.:
Entwicklung von Trockenkühlanlagen mit geringer Schallemission und niedrigem Eigenbedarf
H. 3, S. 243

Lenz, H., siehe Schippers, K.:
H. 3, S. 243

Liers, J., Weiß, R., Rockstroh, B., und Jager, W.:
Zerstörungsfreie Werkstoffprüfung an Stutzenschweißnähten von Hochdruckwärmetauschern
H. 1, S. 63–65

Limper, K., siehe Walter, M.:
H. 1, S. 37–45

Lindhorst, W., siehe Haase, M.:
H. 2, S. 102–108

Loebel, J.:
Aufbau, Anordnung und erste Erfahrungen mit Halbleiter-Gas-Sensor-Brandmeldeanlagen in Bekohlungsanlagen
H. 11, S. 933–935

Loner, H., Gavillet, D., Schenker, E., Zwicky, H.U., Jourdain, P., und Magnusson, K.A.:
Einfluß des Zinks auf die Ablagerungen auf Brennstabhüllrohren
H. 10, S. 876

van Loon, M.A.P.C.:
Joint Implementation
H. 1, S. 7–9

Lorenzen, S., und Madsen, A.G.:
Haderslev – Eine Müllverbrennungsanlage mit separat befeuertem Überhitzer
H. 4, S. 324–326

Loup, M., Beutel, R., und Brakhan, W.:
Qualitätssicherung in der Instandhaltung am Beispiel des Kraftwerkes Neurath
H. 10, S. 811–813

Lüßing, H., siehe Niemann, W.:
H. 1, S. 75

Lutat, A., siehe Schönfelder, T.:
H. 10, S. 877

Lux, R.:
Unfallverhütungsvorschriften der Berufsgenossenschaften und EG-Arbeitsschutzrichtlinien
H. 8, S. 689

Lyngsjö, G.:
Der Sicherheitsstandard in den Kernkraftwerken der Sydkraft/Schweden
H. 2, S. 95/96

***M**adsen, A.G., siehe Lorenzen, S.:*
H. 4, S. 324–326

Magnusson, K.A., siehe Loner, H.:
H. 10, S. 876

Magyarics, T.:
Ungarn: 1100 Jahre auf den Kreuzwegen von Europa
H. 12, S. 964–969

Maier, H., siehe Kulenovic, R.:
H. 10, S. 878

Maihöfer, A.:
Das Industriekraftwerk – von Guilleaume bis GuD
H. 1, S. 14–22

Maile, K., siehe Jovanovic, A.:
H. 12, S. 995–998

Maile, K., siehe Kußmaul, K.:
H. 8, S. 661–666

Malinowski, M.:
Hochdruck-Rohrverbindungen bis 1000 bar, die ohne Zwischendichtung auskommen
H. 12, S. 1045–1046

Martin, P., siehe Hartlieb, N.:
H. 3, S. 169–174

Marx, D.:
Effektive Nutzung der Schadensstatistik
H. 9, S. 746–749

Marzilger, B., Haibach, V., und Rose, H.:
Volumenstrommessungen im Zusammenhang mit Gewährleistungsuntersuchungen an der Rauchgasentschwefelungsanlage (REA) von Block 8 im GKM
H. 1, S. 59–62

Mattheij, J.H.G.:
Reparaturgrenzen für Heißteile von Gasturbinen
H. 12, S. 1002–1005

Mayer, K.-H., siehe Gerdes, C.:
H. 2, S. 109–116

Mayrhuber, J., und Cerjak, H.H.:
Neue Ergebnisse der Hochtemperaturkorrosion in abfallbefeuerten Dampfkesseln – Ursachen, Mechanismen und Abhilfemaßnahmen
H. 6, S. 528

Meierer, M., siehe Harmgart, S.:
H. 10, S. 878

Melzer, B., Dobers, H., und Bergmann, L.:
Erfahrungen mit Kaltbiegungen in Kraftwerksrohrleitungen
H. 3, S. 245

Melzer, B., siehe Zabelt, K.:
H. 12, S. 1023–1027

Merz, J., siehe Kehr, M.:
H. 3, S. 183–187

Meyer, G., siehe Biewald, H.:
H. 8, S. 621–625

Meyer, W.:
Vergleich der Emissionsfaktoren bei thermischer Abfallbehandlung und thermischer Abfallverwertung
H. 6, S. 527

Michalke, R., siehe Görner, K.:
H. 5, S. 369–375

Moravi, G.:
Praktische Erfahrungen mit Lean-Management-Methoden in der Instandhaltung am Beispiel eines Energieversorgungsunternehmens
H. 1, S. 72

Mors, F., siehe Hufmann, T.:
H. 3, S. 242

Mossal, K.-H., siehe Mulch, S.:
H. 6, S. 528

Mulch, S., Wilhelmi, B., und Mossal, K.-H.:
Korrosionsvorgänge an feuerfesten Werkstoffen in kommunalen Müllverbrennungsanlagen
H. 6, S. 528

Müller, H.:
Langfristige Sicherung der Kühlmittelverlust-Störfallfestigkeit elektrischer und leittechnischer Einrichtungen in Kernkraftwerken
H. 5, S. 376–378

***N**äser, W., siehe Grebe, E.:*
H. 1, S. 23–26

Nagel, U., siehe Blümel, W.:
H. 3, S. 230–234

Narewski, R., und Langner, A.:
Verfahren zur Abscheidung feinstkörniger Eisenoxide aus dem Heizwasser von Fernheiznetzen
H. 9, S. 772–776

Neergaard, M., siehe Ståhl, K.:
H. 4, S. 327–330

Neger, D., und Spiegel, H.:
Die thermische Abfallverwertung – Energiewirtschaftliche Relevanz und Beitrag zur Luftreinhaltung –
H. 6, S. 526

Neifer, R., siehe Spanner, M.:
H. 2, S. 117–125

Neukirchen, B., und Jung, H.:
Die Kosten der thermischen Abfallbehandlung
H. 10, S. 829–832

Newell, P.A., siehe Bartz, R.:
H. 10, S. 876

Niemann, W., und Lüßing, H.:
Instandsetzung von Schmelzkammerauskleidungen aus SiC-Stampfmassen
H. 1, S. 75

Noppenau, H.:
Das SK-Power-Multibrennstoff-Konzept
H. 6, S. 498–501

Noske, H., siehe Ebeling, H.J.:
H. 7, S. 544–548

Nowak, G.E., siehe Hahn, B.:
H. 3, S. 195–201

***O**ehmigen, H.-G., Schlump, W., und Bretfeld, H.:*
Gefüge und Eigenschaften einer Schweißverbindung des Stahles X 11 CrMoWVNb 9 11
H. 7, S. 602–606

Oeljeklaus, G., siehe Pruschek, R.:
H. 6, S. 441–448

Oeynhausen, H., Drosdziok, A., und Deckers, M.:
Dampfturbinen für die neue Kraftwerksgeneration
H. 12, S. 974–979

Onland, H., und Apelt, O.:
Optimierung der Elektrofilteranlage eines 370-MW-Steinkohlekraftwerksblockes
H. 12, S. 1009–1016

Oschmann, W., Hohmann, F., Schliesser, W., und Schäfer, M.:
Betriebserfahrungen beim Einsatz von Adipinsäure in der Rauchgaswäsche des Müllheizkraftwerkes Essen-Karnap
H. 7, S. 592–595

Otto, K.-W.:
Strategie regenerativer Energieträger
H. 1, S. 10–13

***P**acher, W.:*
Die Wiener Müllverbrennungsanlagen – Betriebserfahrungen der MVA Flötzersteig und Spittelau
H. 6, S. 526

Pätsch, Barbara, siehe Gutberlet, H.:
H. 2, S. 139–146

Papenhausen, V.:
Bauwerke aus Stahlbeton für den Umgang mit wassergefährdenden Stoffen
H. 9. S. 780/781

Paulsen, H.M., siehe Haneklaus, Silvia:
H. 8, S. 676–680

Perkavec, M.A.:
Modifizierung des Standard-Brennkammersystems einer 10-MW-Gasturbine in ein trockenes Niedrig-NO_x-System
H. 11, S. 894–899

Perko, H.-D., siehe Drucks, G.:
H. 3, S. 244

Peters, K., siehe Baumhoff, V.:
H. 3, S. 244

Petersmeier, Th., und Eifler, D.:
Isothermes Wechselverformungsverhalten des Stahles X 22 CrMoV 12 1 im Temperaturbereich 20 °C ≤ T ≤ 650 °C
H. 4, S. 345–350

Petig, H., siehe Kohl, C.-D.:
H. 11, S. 928–932

Pfadler, H., Kreis, U., Poppe, H., und Stritter, R.:
Optimierung der Prozeßdatenvisualisierung durch den Einsatz eines neuen Rechnerinformationssystems im Gemeinschaftskernkraftwerk Neckarwestheim 1
H. 11, S. 918–921

Pfeiffer, G., Bartonicek, J., und Schöckle, F.:
Neue Ergebnisse von Prüfungen an Werkstoffen für Stopfbuchspackungen
H. 3, S. 245

Pfeiffer, H., siehe Sturm, A.:
H. 1, S. 73

Pfeiffer, J., siehe Kahl, D.:
H. 2, S. 147–150

Pflaumbaum, H.-J., siehe Rathje, U.J.:
H. 1, S. 31–36

Pflug, H., siehe Seipp, H.-G.:
H. 8, S. 649–655

Pflug, H.D., siehe Hein, M.:
H. 10, S. 878

Pflug, H.D., siehe Schönfelder, T.:
H. 10, S. 877

Pflug, H.D., siehe Seipp, H.-G.:
H. 10, S. 875

Pickel, E.:
27 Jahre Betrieb des Kernkraftwerkes Obrigheim
H. 3, S. 175–182

Pieper, B.:
Einfluß und Auswirkungen der Kombi-Fahrweise auf den Kraftwerksbetrieb
H. 5, S. 414–419

Pieper, B., siehe Koch, Th.:
H. 7, S. 589–591

Pieper, B., siehe Seipp, H.-G.:
H. 10, S. 875

Pieper, B., siehe Seipp, H.-G.:
H. 8, S. 649–655

Pieper, B., und Schweimler, J.:
Senkung der Betriebskosten durch konsequentes Einhalten der Normal-Betriebswerte im Wasser-Dampfkreislauf
H. 2, S. 156/157

Pitscheider, K., siehe Welfonder, E.:
H. 11, S. 900–910

Platt, D., siehe Aspden, D.:
H. 10, S. 875

Pohl, M.:
Einsatzprofil ferritisch-austenitischer Duplex-Stähle im Bereich der REA-Technik
H. 9, S. 766–771

Pohl, R., und Kühne, Chr.:
Erfahrungen bei der Präparation für die Gefügeabdrucknahme und Vorschlag für eine neue Methode zur Kontrolle der Abdruckqualität zum Zwecke der Zeitstandporenerkennung am Beispiel des warmfesten Stahls 12 CH 1 MF
H. 5, S. 420–424

Pohl, R., siehe Kolb, R.:
H. 6, S. 506–513

Poppe, H., siehe Pfadler, H.:
H. 11, S. 918–921

Prinsloo, F., siehe Gutberlet, H.:
H. 2, S. 139–146

Proske, M.:
Energie ist nicht gleich Energie
H. 12, S. 980–988

Pruschek, R., Oeljeklaus, G., und Brand, V.:
Zukünftige Kohlekraftwerkssysteme
H. 6, S. 441–448

Puch, K.-H., siehe vom Berg, W.:
H. 8, S. 681–687

Purpur, H., siehe Kußmaul, K.:
H. 8, S. 661–666

***Q**vale, B., Houbak, N., und El Nagdy, K.:*
Nutzung von Niedrigtemperaturwärme (Abwärme aus Industrieprozessen; Biomassen, Abfälle oder Geothermie als Wärmequelle) zur Stromerzeugung in Kraftwerken
H. 7, S. 575–580

***R**addatz, M., siehe Gerdes, C.:*
H. 2, S. 109–116

Rapp, K., siehe Schöngrundner, W.:
H. 10, S. 877

Rathje, U.J., und Pflaumbaum, H.-J.:
Die Generation 2000 luftgekühlter Abdampfkondensatoren
H. 1, S. 31–36

Rebmann, M., siehe Gerhardt, Th.:
H. 5, S. 403–413

Reid, D., siehe Kevenhörster, P.:
H. 3, S. 242

Reimann, D.O., siehe Albert, F.A.:
H. 8, S. 635–642

Reiners, U., siehe Kempkes, B.:
H. 3, S. 241

Reiners, U., Weber, J., und Kempkes, B.:
Lebensdauerüberwachung von Rohrleitungen und zeitstandbeanspruchten Komponenten
H. 8, S. 613–618

Renz, U., siehe Christ, A.:
H. 10, S. 838–842

Reuter, F.D., siehe Haase, M.:
H. 2, S. 102–108

Rimmelspacher, J.:
Eine neue Schaltung für dampfbeheizte Luftvorwärmer
H. 8, S. 633/634

Rockstroh, B., siehe Liers, J.:
H. 1, S. 63–65

Röben, H., siehe Sturm, A.:
H. 1, S. 73

Roesch, J., siehe Laue, Carola:
H. 8, S. 656–660

Roos, E., Kessler, A., Eckel, M., und Ausfelder, U.:
Lebensdauerüberwachung von Rohrleitungskomponenten unter Berücksichtigung von Zusatzbelastungen
H. 5, S. 425–431

Rose, H., siehe Marzilger, B.:
H. 1, S. 59–62

Rosu, A., Voronca, Simona, Dragos, L., Flueraru, C., und Scarlat, N.:
Einführung des ZWSF-Verfahrens in rumänischen Kraftwerken
H. 7, S. 561–565

Roy, S.:
Betreuung von Kraftwerksbaustellen aus der Sicht einer staatlichen Arbeitsschutzbehörde
H. 8, S. 690

Rudolph, J., siehe Weiß, E.:
H. 12, S. 1028–1032

Ruf, R., und Becker, F.:
Anwendung des Thermodynamik-Programms ChemSage zur Berechnung von Korrosionsprodukt-Lösungsgleichgewichten – ein Beitrag zur Entwicklung eines Aktivitätsaufbau-Modells
H. 10, S. 876

***S**aiger, W., siehe Benz, J.:*
H. 4, S. 331–335

Sailer, J., und Trobitz, M.:
Neu entwickeltes Verfahren für die Abdichtung von unter Druck stehenden, heißen Medien, Säuren oder Laugen führenden Anlagenteilen
H. 3, S. 244

Salewski, G., siehe Hufmann, T.:
H. 3, S. 242

Scarlat, N., siehe Rosu, A.:
H. 7, S. 561–565

Schäfer, M., siehe Koch, Th.:
H. 7, S. 589–591

Schäfer, M., siehe Oschmann, W.:
H. 7, S. 592–595

Schäfers, W., siehe Walter, M.:
H. 1, S. 37–45

Schäfers, W., siehe Zwahr, H.:
H. 6, S. 527

Scheffknecht, G., Blum, R., Chen, Q., und Vanderschaeghe, A.:
Ein Vorhaben zur Ermittlung der Hochtemperaturkorrosionseigenschaften verschiedener Dampferzeugerwerkstoffe unter Betriebsbedingungen und Dampftemperaturen bis 620 °C
H. 10, S. 856–862

Schellenberger, I., siehe Franck, J.:
H. 6, S. 526

Schenker, E., siehe Loner, H.:
H. 10, S. 876

Scherer, D., siehe Waller, H.:
H. 8, S. 626–632

Scherer, V., siehe Waller, H.:
H. 8, S. 626–632

Schießl, P., siehe Härdtl, R.:
H. 5, S. 432–434

Schießl, P., siehe Härdtl, R.:
H. 11, S. 953–956

Schiller, A., siehe Döring, M.:
H. 3, S. 202–208

Schilling, H.-D.:
Kurzbericht über die Tätigkeit der VGB TECHNISCHEN VEREINIGUNG DER GROSSKRAFTWERKSBETREIBER E.V. 1995/1996
H. 9, S. 703–730

Schippers, K., und Lenz, H.:
Umbau des Naturzug-Naßkühlturms eines 300-MW-Blockes im Kraftwerk Weisweiler zur Wirkungsgradverbesserung
H. 3, S. 243

Schirmer, U., siehe Trost, M.:
H. 3, S. 220–223

Schliephacke, J.:
Juristische Aspekte beim Einsatz von Eigen- und Fremdpersonal
H. 8, S. 688

Schliesser, W., siehe Oschmann, W.:
H. 7, S. 592–595

Schlump, W., siehe Oehmigen, H.-G.:
H. 7, S. 602–606

Schlusnus, P.:
Die Verantwortlichkeit des Erstellers und des Nutzers von Gerüsten am Beispiel eines Gerüsteinsturzes
H. 8, S. 689

Schmäh, M., und Karfik, V.:
Advanced Cemas FTIR – Ein Mehrkomponenten-Emissions-Meßsystem für Abfallverbrennungsanlagen
H. 6, S. 528

Schneider, G., Kapr, Th., und Schreiber, H.:
Materialuntersuchungen an Katalysatoren aus der DENOX-Anlage von Block 7 des Heizkraftwerks Heilbronn
H. 4, S. 336–339

Schneider, G., siehe Kulenovic, R.:
H. 10, S. 878

Schnug, E., siehe Haneklaus, Silvia:
H. 8, S. 676–680

Schöckle, F., siehe Bartonicek, J.:
H. 3, S. 245

Schöckle, F., siehe Pfeiffer, G.:
H. 3, S. 245

Schöffler, W., siehe Hagen, M.:
H. 11, S. 947–952

Schöne, Sophie, siehe Gerdes, C.:
H. 2, S. 109–116

Schönfelder, T., Lutat, A., und Pflug, H.D.:
Automatische analytische Überwachung von Wasser-Dampfkreisläufen
H. 10, S. 877

Schöngrundner, W., und Rapp, K.:
Aufbau des Qualitätssicherungssystems und Akkreditierung des chemischen Prüflabors der Österreichischen Draukraftwerke AG
H. 10, S. 877

Scholtholt, H.:
Qualitätssicherung in der Kraftwirtschaft
H. 1, S. 1–6

Schreiber, H., siehe Schneider, G.:
H. 4, S. 336–339

Schreiber, R., Weiland, H., und August, M.:
Reparaturschweißung der Induktorwelle eines 588-MVA-Generators
H. 1, S. 75

Schrickel, J., siehe Winter, H.:
H. 2, S. 151–155

Schröder, S., siehe Weiß, E.:
H. 12, S. 1028–1032

Schroeder, W., siehe Gaus, J.:
H. 11, S. 924–927

Schröfelbauer, H., Draxler, A., und Tauschitz, J.:
Modernisierung der Dampfkraftwerke St. Andrä und Zeltweg
H. 6, S. 449–456

Schulenberg, T.:
Prüffeldergebnisse der neuen Gasturbine V 84.3 A
H. 10, S. 803–807

Schulenberg, Th., siehe Becker, B.:
H. 4, S. 309–314

Schulze, U., und Blees, R.:
Verringerung des Eigenbedarfs der 150-MW-Braunkohlen-Kraftwerksblöcke durch Anpassung von Saugzug-Ventilatoren an veränderte Anlagenparameter
H. 4, S. 320–323

Schumacher, W., siehe Zwahr, H.:
H. 6, S. 527

Schwarz, A., siehe Kohl, C.-D.:
H. 11, S. 928–932

Schwarzfischer, St., siehe Hansen, O.:
H. 4, S. 315–319

Schwegmann, P., und Bald, A.:
Möglichkeiten und Partnerschaften zur Modernisierung von Kraftwerken im ehemaligen RGW-Raum
H. 12, S. 970–973

Schweimler, J., siehe Pieper, B.:
H. 2, S. 156/157

Sehn, P., siehe Bartz, R.:
H. 10, S. 876

Seifert, P., siehe Born, M.:
H. 10, S. 823–828

Seifert, U., Guderian, J., und Wagner, Christina:
Schadensanalytik und Sicherheitsempfehlungen zu Aktivkoksadsorbern für die Rauchgas-Endreinigung
H. 6, S. 528

Seipp, H.-G., Klöckl, W., Bursik, A., Hajdamowicz, Sigrun, Pflug, H., und Pieper, B.:
Beschaffenheit von Speisewasser und Dampf für Betriebszustände außerhalb des Dauerbetriebes
H. 8, S. 649–655

Seipp, H.-G., Pflug, H.D., Pieper, B., und Staudt, U.:
Aspekte der Neugestaltung von VGB-Richtlinien und -Merkblättern zur Kraftwerkschemie fossilbefeuerter Anlagen
H. 10, S. 875

Seipp, H.-G., siehe Bursik, A.:
H. 4, S. 340–344

Sengler, A., siehe Hartlieb, N.:
H. 3, S. 169–174

Seyfert, N. , siehe Aumüller:
H. 3, S. 242

Sierhuis, W.M., de Vries, C., und Born, J.G.P.:
Dioxin-/Furan-Emissionen bei verschiedenen Betriebsverhältnissen des Rauchgasreinigungssystems der städtischen Müllverbrennungsanlage in Amsterdam
H. 11, S. 936–940

Simon, P., siehe Vaida, V.:
H. 3, S. 188–194

Sindelar, R.:
Beitrag zur Vordruckregelung im Rahmen eines Blockregelkonzepts
H. 5, S. 385–387

Sindelar, R.:
Universelle Blockregelkonzepte für eine verzögerungsfreie Primärfrequenzstützung
H. 7, S. 549–556

Six, J., und Hammer, G.:
Reststoffverbrennung mit Rauchgasreinigung im Industriekraftwerk Baienfurt
H. 3, S. 235–237

Smakman, G.J.J., siehe Bestebroer, Sigrid I.:
H. 7, S. 570–574

Smitshuysen, E., Inselmann, S., und Weber, T.:
Der Einsatz radioaktiver Natriumhydroxid-Isotope zur Feststellung von Kreislaufproblemen im Wasser-Dampfsystem
H. 10, S. 877

Sörgel, G., siehe Gerdes, C.:
H. 2, S. 109–116

Soja, G., und Horak, O.:
Umweltkontrolle durch Bioindikation in der Umgebung der Müllverbrennungsanlage Flötzersteig (Wien)
H. 6, S. 529

Spanner, M., Neifer, R., und Welfonder, E.:
Flukturierende Leistungseinspeisung von Windkraftanlagen
H. 2, S. 117–125

Sparrer, J., und Steenhuis, H.:
Mehrjährige Betriebserfahrungen mit den Rauchgasreinigungsanlagen Europas größter Müllverbrennungsanlage in Rotterdam
H. 6, S. 528

Spaun, S., siehe Kneissl, P.I.:
H. 6, S. 527

Spaun, S., und Kneissl, P.:
Der Beitrag der „Thermischen Abfallverwertung" zur Luftreinhaltung
H. 6, S. 527

Speier, J., siehe Tetzlaff, W.:
H. 1, S. 74

Spiegel, H., siehe Neger, D.:
H. 6, S. 526

Spliethoff, H.:
Untersuchungen und Entwicklungen schallpyrometrischer Temperaturmeßverfahren an zwei Kohlenstaubfeuerungen
H. 7, S. 581–588

Spliethoff, H., siehe Gerhardt, Th.:
H. 5, S. 403–413

Sridharan, N., siehe Kneissl, P.I.:
H. 6, S. 527

Ståhl, K., und Neergaard, M.:
Das Kombi-Kraftwerk mit integrierter Biomassen-Vergasung in Värnamo/Schweden
H. 4, S. 327–330

Staudt, U., siehe Seipp, H.-G.:
H. 10, S. 875

Stebel, H.:
Erfahrungen mit dem Einsatz des Betriebsführungssystems SI
H. 3, S. 209–214

Steenhuis, H., siehe Sparrer, J.:
H. 6, S. 528

Steiner, T., siehe Kahr, G.:
H. 10, S. 877

Stellwag, B., siehe Henzel, N.:
H. 10, S. 877

Stietz, M., siehe Winter, H.:
H. 2, S. 151–155

Stolte, J., siehe Weyand, M.:
H. 3, S. 245

Straub, W., siehe Lasch, M.:
H. 10, S. 877

Streffing, M., siehe Tigges, K.D.:
H. 5, S. 388–393

Stritter, R., siehe Pfadler, H.:
H. 11, S. 918–921

Stucki, S., Jakob, A., und Wochele, J.:
Verfahrenskonzept zur vollständigen Abtrennung von Schwermetallen bei der thermischen Abfallverwertung
H. 6, S. 527

Stüning, J.:
Standardisierung in der Gefährdungsanalyse am Beispiel der Gefahrstoffverordnung
H. 8, S. 688

Stürenburg, H.-G., siehe Broisch, A.:
H. 12, S. 1047–1050

Sturm, A.:
Instandhaltung von Energieerzeugungsanlagen
H. 6, S. 476–480

Sturm, A., Röben, H., und Pfeiffer, H.:
IV-gestützte Instandhaltung am Beispiel der konventionellen Kraftwerke der Hamburgischen Electricitäts-Werke AG
H. 1, S. 73

Sturm, A., siehe Eggers, H.:
H. 10, S. 863–868

Styrikovich†, M.A.:
Probleme und Perspektiven des Kohlenbergbaus in Rußland
H. 5, S. 357–362

Suchan, D.:
Aufbereitung von Kesselspeisewasser durch Mikrofiltration
H. 10, S. 876

Suß, G., siehe Böhm, S.:
H. 12, S. 1040–1044

Tannenhauer, J., Leimbrock, W., und Jakubowski, A.:
Arbeitssicherheitstechnische Betrachtungen beim Rückbau von Stahlbeton-Kühltürmen am Beispiel des Kraftwerkes Hagenwerder
H. 8, S. 689

Tauschitz, J., siehe Schröfelbauer, H.:
H. 6, S. 449–456

Tenckhoff, B.:
Kostensenkung durch sicheres Arbeiten – gezielter Einsatz arbeitssicherheitstechnischer Maßnahmen im Kraftwerksbetrieb und in der Instandhaltung –
H. 8, S. 688

Tesche, W.:
Planerische Berücksichtigung von Rezirkulation bei Zellenkühltürmen in Reihenanordnung
H. 3, S. 243

Tetzlaff, W., und Speier, J.:
Sichere Funktion von Rohrleitungen durch den Einsatz von Servohängern
H. 1, S. 74

Thamm, H.W.:
Marketing von Kraftwerksnebenprodukten in Deutschland
H. 9, S. 782–790

Thiemann, H., und Weiler, H.:
Ein Jahr Betrieb mit der größten Flußwasser-Umkehrosmoseanlage in Deutschland
H. 12, S. 1017–1022

Thierfelder, H.G.:
Modernisierung bestehender Kraftwerke
H. 5, S. 363–368

Tigges, K.D., Leisse, A., Lasthaus, D., und Streffing, M.:
Entwicklung von schadstoffarmen Staubfeuerungssystemen
H. 5, S. 388–393

Toussaint, D., siehe Böhm, E.:
H. 6, S. 526

Triebel, W., siehe Benz, J.:
H. 4, S. 331–335

Trobitz, M., siehe Gurr-Beyer, C.:
H. 3, S. 244

Trobitz, M., siehe Lasch, M.:
H. 10, S. 877

Trobitz, M., siehe Sailer, J.:
H. 3, S. 244

Trönell, S.:
Inspektions- und Instandsetzungsarbeiten im dekontaminierten Reaktordruckbehälter von Oskarshamn, Block I
H. 1, S. 75

Trost, M., und Schirmer, U.:
Optimale Auslegung von Feuerfest-Auskleidungen in Wirbelschichtsystemen
H. 3, S. 220–223

Tschuschke, W.:
Lean Management – ein effektiver Weg zur Gestaltung der Instandhaltung?
H. 8, S. 619/620

Ullrich, P.:
Kreislaufwirtschafts- und Abfallgesetz im Widerspruch zur Realität
H. 6, S. 526

Vaida, V., Gheorghiu, D., Vladescu, A., Frank, R., Horstmann, H., und Simon, P.:
Rehabilitation von Altanlagen als wirtschaftliche Alternative für die Energiewirtschaft Osteuropas am Beispiel zweier 300-MW-Blöcke in Rumänien
H. 3, S. 188–194

Vanderschaeghe, A., siehe Scheffknecht, G.:
H. 10, S. 856–862

Vater, P., siehe Laue, Carola:
H. 8, S. 656–660

Vella, R.:
Peer Reviews – ein freiwilliges Mittel zur Steigerung der Betriebskultur
H. 8, S. 611–612

VGB-Arbeitskreis „SWR-Chemie":
Revision der VGB-Richtlinie für das Wasser in Kernkraftwerken mit Leichtwasserreaktoren (VGB-R 401 J)
H. 3, S. 238/239

Vinzens, K., siehe Walther, J.:
H. 11, S. 922/923

Vladescu, A., siehe Vaida, V.:
H. 3, S. 188–194

Voronca, Simona, siehe Rosu, A.:
H. 7, S. 561–565

de Vries, C., siehe Sierhuis, W.M.:
H. 11, S. 936–940

Wachter, O.:
Erfahrungen mit den austenitischen Werkstoffen 1.4541 und 1.4550 in deutschen Siedewasserreaktoren
H. 10, S. 847–855

Wachter, O., Wesseling, U., Bruns, J., und Kilian, Renate:
Interkristalline Spannungsrißkorrosion an Nb-stabilisiertem austenitischem Stahl in Kerneinbauten eines Siedewasserreaktors
H. 6, S. 514–520

Wachter, O., siehe Zabelt, K.:
H. 12, S. 1023–1027

Wagner, Christina, siehe Seifert, U.:
H. 6, S. 528

Waller, H., Scherer, D., und Scherer, V.:
Die Gasturbine GT 26 im kombinierten Gas-Dampfturbinenkraftwerk
H. 8, S. 626–632

Walter, M., Kremer, H., Schäfers, W., und Limper, K.:
Bestimmung und Auswertung der Temperaturverteilung von Verbrennungsgut auf dem Verbrennungsrost von Müllverbrennungsanlagen
H. 1, S. 37–45

Walther, J., und Vinzens, K.:
Ansatzpunkte für eine schutzzielorientierte Instandhaltung aus Sicht von Aufsichtsbehörde und Gutachter
H. 11, S. 922/923

Waltl, J., und Ferchhumer, G.:
Spezifische Erfahrungen mit der flüchtigen Alkalisierung industrieller Dampferzeuger am Beispiel einer GuD-Anlage und einer Hausmüllverbrennungsanlage
H. 10, S. 875

Wamser, J., und Arbes, P.:
Rechnergestütztes Prüfen von Meßumformern und Druckschaltern mittels eines neu entwickelten Druckprüfwagens
H. 1, S. 74

Wandschneider, J.:
Integrierte Abfallverbrennungsanlage GAVI-Wijster (Niederlande)
H. 6, S. 527

Weber, J., siehe Kempkes, B.:
H. 3, S. 241

Weber, J., siehe Reiners, U.:
H. 8, S. 613–618

Weber, T., siehe Smitshuysen, E.:
H. 10, S. 877

Weidener, H., siehe Braun, R.:
H. 6, S. 529

Weiland, H., siehe Schreiber, R.:
H. 1, S. 75

Weiler, H., siehe Thiemann, H.:
H. 12, S. 1017–1022

Weiß, E., Rudolph, J., und Schröder, S.:
Berücksichtigung von Kriechvorgängen in Finite-Elemente-Festigkeitsanalysen am Beispiel des Klöpperbodens
H. 12, S. 1028–1032

Weiß, G., siehe Heimann, G.:
H. 1, S. 73

Weiß, R., siehe Liers, J.:
H. 1, S. 63–65

Welfonder, E., und Pitscheider, K.:
Robustes modellgestütztes Blockführungs- und Regelkonzept für verschiedene Block-Betriebsweisen
H. 11, S. 900–910

Welfonder, E., siehe Spanner, M.:
H. 2, S. 117–125

Wellnitz, G., siehe Hahn, B.:
H. 3, S. 195–201

Wels, H.C.:
Optimierung der Ersatzteilvorhaltung als ein Instrument zur Reduzierung von Instandhaltungskosten
H. 1, S. 73

Wesseling, U., siehe Wachter, O.:
H. 6, S. 514–520

Weyand, M., Kurzhöfer, U., und Stolte, J.:
Hochdruckschieber für sicherheitstechnische Aufgaben
H. 3, S. 245

Wieder, R.:
Qualitätsmanagement in der Arbeitssicherheit
H. 8, S. 688

Wiemann, W., siehe Gerdes, C.:
H. 2, S. 109–116

Wiens, U., siehe Härdtl, R.:
H. 11, S. 953–956

Wierig, H.-J., siehe Freimann, T.:
H. 12, S. 1033–1039

Wildermuth, R.:
Sanierung von Kühlwasserleitungen durch Zementmörtelauskleidung
H. 3, S. 246

Wilhelmi, B., siehe Mulch, S.:
H. 6, S. 528

Will, J., und Hosser, D.:
Dämmschichtbildner für Kabelbeschichtungen
H. 10, S. 818–822

Winske, P., siehe Kiefer, F.:
H. 6, S. 521–525

Winter, H., Schrickel, J., und Stietz, M.:
Umsetzung und Konsequenzen aus der Stöfall-Verordnung am Beispiel des Ammoniaklagers von Block 7 im RDK
H. 2, S. 151–155

Witt, W., siehe Eggers, H.:
H. 10, S. 863–868

Wittchow, E., siehe Lehmann, L.:
H. 2, S. 85–94

Wochele, J., siehe Stucki, S.:
H. 6, S. 527

Wohlsein, J., und Götte, C.:
Große Braunkohle-Dampferzeuger mit zirkulierender Wirbelschichtfeuerung
H. 4, S. 303–308

Wurz, D., siehe Günther, J.:
H. 3, S. 241

Wurz, D., siehe Zafeiriou, Efstratia:
H. 6, S. 463–470

Zabelt, K., Melzer, B., und Wachter, O.:
Die Korrosion der 9 %-Cr-Stähle in kesseltypischen Medien
H. 12, S. 1023–1027

Zafeiriou, Efstratia, siehe Günther, J.:
H. 3, S. 241

Zafeiriou, Efstratia, und Wurz, D.:
Numerische Simulation der Wärmeübertragungsvorgänge in rotierenden Regeneratoren
H. 6, S. 463–470

Zimmermann, P., und Hamers, J.P.:
Planung und Bau eines schwadenfreien und geräuscharmen Hybridkühlturmes mit einer umweltschonenden Wasserbehandlung durch Ozon für ein GuD-Kraftwerk in den Niederlanden
H. 6, S. 502–505

Zinke, K., siehe Krabbe, H.-J.:
H. 11, S. 944–946

van Zoest, G.:
Der Brand und die ersten Stunden danach
H. 8, S. 689

Zschau, M., siehe Hahn, B.:
H. 3, S. 195–201

Zumpe, G.:
Die „steinerne Glocke" – zum Wiederaufbau der Frauenkirche zu Dresden
H. 8, S. 667–675

Zwahr, H.:
100 Jahre thermische Müllverwertung in Deutschland
H. 2, S. 126–133

Zwahr, H., Schumacher, W., und Schäfers, W.:
Die Müllverwertungsanlage Rugenberger Damm in Hamburg – Die logische Weiterentwicklung eines bewährten Konzeptes
H. 6, S. 527

Zwicky, H.U., siehe Loner, H.:
H. 10, S. 876

In den 12 Heften des Jahrgangs 76 (1996) sind enthalten:

1	2	3	4	5	6
1–84	85–168	169–248	249–356	357–440	441–536
7	8	9	10	11	12
537–610	611–702	703–802	803–882	883–962	963–1054

Sachverzeichnis 1996

Abdampfkondensator, luftgekühlt 31
Abdichtungsprinzip
— zwischendichtungslos 1045
ABE-Jahresbericht 1985 249–300
Abfallsituation in Österreich 215
Abfallverbrennungsanlage Wels 216
Abfallverbrennungsanlagen in Deutschland 133
Abfangen auf Eigenbedarf 25
Abfangen auf unbekannte Teillast 25
Abflutung 502
Abhitzedampferzeuger
— Auslegung, Konstruktion, Betrieb 2
— im GuD-Kraftwerk Kirchmöser, Erfahrungen 102–108
Abnahmemessungen
— Speisepumpen 989
Abscheideleistung von quasitrockenen Emissionsminderungsverfahren bei MVA 833
Abscheidung feinstkörniger Eisenoxide aus Fernheizwasser 772–776
Abwärmenutzung 575
Abwasseranlagen 331–335
Abwasseraufbereitung
— Reststoffverbrennung im Industriekraftwerk 235
Abwassersysteme 331–335
Adipinsäure 589–595
Aktivkoksfilter
— Kohlenstoff-Sauerstoff-Reaktion 46
— Selbsterwärmungsmodell 46
— thermische Exkursion 46
Altanlagen 331–335
— Rehabilitation in Rumänien 188–194
Altöle
— Genehmigungsverfahren 230
— thermische Verwertung 230
Ameisensäure 589–591
Amsterdam
— thermische Abfallverwertung 936
Anlagenverordnung
— wasserrechtliche Vorschriften 780
Anrißzyklenzahl
— Dampfturbinenbauteile 109
Ausbildung 691, 1047
Ausbrandverbesserung bei MVA 568
Auskühlungsvorgang in Dampferzeugern
— Simulation 202–208
Automatisierungsgrad
— Fortschritte 363–368
Bauleitung 3
Bauteile von Dampfturbinen
— Anrißzyklenzahl 109
Berechnung von NO_x-armen Flammen 391
Beschichtungen in REA
— Wasserbestimmung in Gummierungen 944–946
Beton
— Durchlässigkeit und Schädigung durch umweltgefährdende Stoffe 781
Betonbau
— Richtlinie beim Umgang mit wassergefährdenden Stoffen 781
Betonbauwerke
— Barrieren für Stoffe aus Wassergefährdungsklassen 781
Betonflächen
— Mindestschichtdicken der OS-Systeme 71
Betonkonstruktion
— Dichtheit gegenüber wassergefährdenden Stoffen 780
Betriebserfahrungen
— 27 Jahre im KKW Obrigheim 175–182
Betriebsergebnisse beim Einsatz von Dampf statt Sekundärluft 136
Betriebsführungssysteme
— Erfahrungen, Einsatz 3
Betriebskultur
— Steigerung durch Peer Reviews 611/612
Betriebspersonal
— Ausbildung 691, 1047

Bewertung von Energie
— Hauptsätze der Thermodynamik 980
Biomassennutzung 570, 575, 711, 777
Blockheizkraftwerk 873
Blockregelkonzept
— Beitrag zur Vordruckregelung 385
— robust, modellgestützt 900
Brand in einer Kohleförderanlage 1006–1008
Brandbekämpfung an unter Spannung stehenden elektrischen Anlagen 621–625
Brandmeldung im Bekohlungsbereich von Braunkohlekraftwerken 928–935
Brandschutz
— Dämmschichtbildner für Kabel 818–822
Branntkalk
— Einsatz in Braunkohle-REA 147
Braunkohle, Rauchgasentschwefelung 147
Braunkohlenaktivkoks 46
Braunkohlenfilterasche-Zemet-Systeme 530
Braunkohlenkraftwerk
— Schwarze Pumpe, 800 MW 183–187
Braunkohle-Trocknungsverfahren WTA 224
Braunkohle-Wirbelschichtfeuerungen
— Kraftwerk Goldenberg 305
Brennstoff-Flexibilität 498
Brennstoffverbrauch 499
Brennstoffzellen 309, 471, 894

Carbonsäuren 589–591
CO_2-Diskussion 530, 538
CO_2-Gutschrift
— dritte Welt 7
— Rahmenabkommen 7

Dämmschichtbildner für Kabelbeschichtungen 818–822
dampfbeheizte Luftvorwärmer 633
Dampfeinsatz
— in der Müllfeuerung 639
— zur Feuerungsoptimierung 134
Dampferzeuger
— Auskühlvorgang, Simulation 202–208
— Chlorkorrosion an Dampferzeugern in MVA 823–828
Dampferzeugerdimensionen für den 800-MW-Braunkohleblock Schwarze Pumpe 183–187
Dampfkraftwerke
— große, Rationalisierung bei der Planung 169–174
— St. Andrä und Zeltweg, Modernisierung 449–456
Dampfqualität
— Beschaffenheit bei Betriebszuständen außerhalb des Dauerbetriebes 649–655
Dampftemperaturregelung
— Inbetriebnahmekonzept für Zustandsregler 911
Dampfturbinen
— Abströmgehäuse 974
— Anrißzyklenzahl von Bauteilen 109
— Beschaufelung 974
— 3D-Schaufelprofile 974
— Entwicklungskonzepte 974
— Konstruktionen 974
Dehnfugen
— Dichtheit und Beständigkeit 781
DENOX-Anlagen 336
DENOX-Umbaumaßnahmen 52
Detektion eines Schwelbrandes anhand der Gasemission 928/929, 933–935
Diagnosedaten 477
Dimethylaether als Arbeitsmedium 873
Dioxine/Furane
— Altölverbrennung 230
— Lackschlammverbrennung 230
Dissertationen zur Kraftwerkstechnik 529–531, 351/352, 699, 873, 1052
Druckbehälter-Bohrkerne 1052
Druck-Kohlenstaubfeuerung 441, 711
Druck-Vergasung 327, 441, 711
Druck-Wirbelschichtfeuerung 441, 711
Düsenboden von Wirbelschichtfeuerungen 307
Duplex-Stähle, ferritisch-austenitisch
— Bereich REA-Technik, Definition von Duplex-Stählen, Erschöpfungsprofil 766
Duplex-Stahlguß
— Fluorid, chloridhaltige REA-Suspensionen 947
DWR-Anlagen
— Verhalten der α-Strahler im Primärkühlmittel 656–660

Effizienzrevolution 731
Effizienzsteigerung
— bei Energieumwandlungsprozessen, evolutionäre Prozesse 731
— Kraftwerk Rheinhafen 731
Eigenbedarf
— Abfangen auf 25
— Elektrofilter 1009
Eigenbedarfsminderung
— Anpassung der Ventilatoren 320
Eigenbedarfsversorgung bei Netzfehlern 25
Eigenspannungsermittlung 1052
Eisenoxide
— Abscheidung feinstkörniger Eisenoxide aus Fernheizwasser 772–776
elektrische Anlagen
— Brandbekämpfung 621–625
Elektrofilter
— Ertüchtigung 52
— Staubwiderstand 1009
Elektrofilter-Optimierung 1009
— Abscheidegrad 1009
— Pulstechnik 1009
Elektromagnetfilter zur Abscheidung feinstkörniger Eisenoxide aus Fernheizwasser 772–776
Emissionen
— Biomassenverbrennung 777
— Gasturbinen 894
— Mitverbrennung von Klärschlamm 406
— Müllverbrennungsanlagen 568, 635
Emissionsminderung
— feuerungstechnische Maßnahmen 137
— Müllverbrennungsanlage 833
— MVA Amsterdam 937
— russische Kraftwerke 360
Emissionswerte NO_x-armer Steinkohlebrenner 392
energetische Bewertung
— Vergleich von Kraftwerksprozessen, energietechnische Begriffe 980
Energiepolitik
— Fehlentwicklungen in Deutschland durch Förderung der Regeneration 538
— globale Entwicklung der Energieversorgung 538
— ökologischer Umbau der Wirtschaft 538
— schöpferische Zerstörung 538
Energiesparen
— Kraftwerke 19/20
Engspaltschweißen
— sensorgeführt 1052
Entaschungssysteme von Wirbelschichtfeuerungen 306
Entwertung von Energie
— Entropie 538
Entwicklungskonzepte von Dampfturbinen 974
Entwicklungsstand bei Kohlekraftwerken 441–448
Epoxid-Beschichtungen
— Betriebsbelastung und Schutzwirkung 69
EPZ Maasbracht
— Umrüstung der Blöcke A + B 369–375
Erosionskorrosion 699
Erschöpfungsgrade
— Rohrleitungsüberwachung 613
Erwärmung der Erdatmosphäre 530
ESR-Expertenanalyse
— Schädigungsanalyse, Restlebensdauer 995
Essen-Karnap
— Nachrüstung der MVA 566
EU-Ausschreibung 1
Exergie, Entropie, energietechnische Begriffe 980

Fallrohrreaktoren 351
Festvortrag zum VGB-Kongreß 1996 964
Feuerfestauskleidung in Wirbelschichtfeuerungen 220
Feuerführung bei MVA 134
Feuerungen 710
Feuerungsregelung Fuzzy-Control 487
Filterelemente zur Heißgasfiltration 838
Filtration von Fernheizwasser mit H-EMF 772–776
Finite-Element-Methode Bauteilverhalten bei erhöhten Temperaturen 1028
Flüssigbrennstoff
— Aufbereitung 351
— Zerstäubung 351
Forschungsprojekte im VGB-Programm 202, 432, 661, 676, 823, 995, 1033, 1040
Forschungsschwerpunkte 432, 676, 681, 711, 725, 953
fortschrittliche Braunkohlen-Kraftwerkstechnik 224
Frequenz-Leistungsregelung 23
Furane/Dioxine
— Altölverbrennung 230
— Lackschlammverbrennung 230

Gas-Feststoff-Suspensionen
— Erzeugung und Untersuchung 351
Gasmeßtechnik zur Brandfrüherkennung 934/935
Gas-Sensor-Brandmeldeverfahren 928–935
Gasturbinen
— Betriebskonzept 544, 626, 734
— Emissionen 894
— Entwicklungsschritte 309, 315, 626, 803
— GuD-Anlage 544, 626
— Nachrüstung 315, 544, 626
— Reparaturgrenzen 1002
— Schaufeltemperaturüberwachung 471, 803
— Verdichterreparatur 379
— Verdichterschaden 379, 734
— verstellbare Verdichtervorleitreihen 626, 734
— Wirkungsgrade 309, 315, 548, 626, 803
— Zustandsüberwachung 471, 803, 894

Gasturbinen-Brennkammern 327, 712, 804
Gasturbinenschaufeln
— Reparaturverfahren 1002
— Schutzschichten 1002
Gasturbinen-Verbundschaltung 498
Gebrauchskosten in der Instandhaltung 746
Gefügeabdruck
— Abdruckqualität, Schädigungsklassen-beurteilung 420
Gegenstrom-Plattenwärmetauscher 814
Gemeinschaftsforschung der VGB 202, 432, 723
Genehmigungsverfahren
— Altölverbrennung 230
— Lackschlammverbrennung 230
Geschichte der thermischen Abfallverwertung 126
Geschichte Ungarns 964
Gesundheitliche Effekte in der GUS
— 10 Jahre nach Tschernobyl 301–302.4
Getriebeverzahnung
— Turbogetriebe 27
Gips
— Bauprodukt 158
Gipsqualität
— Braunkohle-REA 147
Gleichstromfeuerung in MVA 566
Gleitringdichtungen
— chemische Konditionierung in Kühlkreisläufen von Gleitringdichtungen in Speisepumpen 843–846
Global-Warming-Debatte
— Dokumentation 530, 538
GuD-Anlage
— Personalstruktur 544
GuD-Kraftwerk 502
GuD-Kraftwerk Kirchmöser
— Erfahrungen aus Bau, Inbetriebnahme und Betrieb 102–108
Gummierung
— Wasserbestimmung in Gummierungen von REA 944–946
GUS
— gesundheitliche Effekte 10 Jahre nach Tschernobyl 301–302.4

Haderslev
— thermische Abfallverwertung 324
Halbleiter-Gas-Sensor-Brandmeldeanlage 933–935
HAT-Kreislauf 577
Heinrich-Mandel-Preis 351, 891
Heißgasfiltration
— keramische Filterelemente 838
— theoretische Grundlagen und Versuchsergebnisse 838
Heyden, Block 4, Referenzanlage für 1000 MW 85–94
Hochleistungs-Magnetfilter zur Abscheidung feinstkörniger Eisenoxide aus Fernheizwasser 772–776
Hochschulforschungsinstitute 432, 477–482
Hochtemperatur-Gasreinigung 711
Hochtemperaturkorrosion
— Korrosionsverhalten der Werkstoffe 856
Hybridkühlturm 502

Importkohleneinsatz 762
Independent Power Producer (IPP) 1
Induktorklappen, Spannungsrißkorrosion 863
Industriekraftwerk
— Reststoffverbrennung 235
— Verwertung von Produktionsrückständen 230
— von Guilleaume bis GuD 14–22
— zirkulierende Wirbelschichtfeuerung 235
Infrarot-Thermographie 37
Instandhaltung
— wissensbasiert (KBM) 480
— zustandsabhängig 476
— Zustandswissen 476
— zuverlässigkeitsorientiert 476
Instandhaltungsmaßnahmen
— Ablauforganisation 619
Instandhaltungs-Organisation 477
Instandsetzung, Gasturbinenverdichter 379

Joint Implementation
— CO_2-Gutschrift 7
— Rahmenabkommen 7

Kabelanlagen
— Brandbekämpfung 625
Kabelbeschichtungen
— Anwendungsgebiete 820/821
— Brandverhalten 820/821
— Qualifizierungsverfahren 820/821
Kalina-Kreislauf 577
Kalkstein
— Einsatz in Braunkohle-REA 147
Kavitätserosion
— Gleitringdichtungen in Speisepumpen 843–846
Kegel-Konus-Verschraubung 557
keramische Filterelemente zur Heißgasfiltration 833
Kernkraftwerk Obrigheim
— 27 Jahre in Betrieb 175–182
Kernkraftwerke
— Betriebserfahrungen in 1995 (ABE-Bericht) 249–300
— Sicherheitsstandard bei Sydkraft 95/96
— Sicherung der Kühlmittelverluststörfallfestigkeit elektrischer und leittechnischer Einrichtungen 376–378
— Überarbeitung der wasserchemischen Richtlinie (VGB-R 401 J) 238/239
— Verhalten der α-Strahler im Primärkühlmittel von DWR-Anlagen 656–660
Kernspurmikrofilter
— Einsatz bei der Untersuchung des Primärkühlmittels von DWR-Anlagen 656–660
Kerzenfilter
— Reinigung von Fernheizwasser (Vergleich mit H-EMF) 772–776
Kesselsand
— Bauprodukt 158
Kirchmöser
— GuD-Kraftwerk, Erfahrungen aus Bau, Inbetriebnahme und Betrieb 102–108
Klärschlammverbrennung in Kohlefeuerungen 403
Klimadiskussion 530, 538
Kohlecharakterisierung, GUS 360
Kohleförderanlage
— Brand, Maßnahmen 1006–1008
Kohle-Kombi-Kraftwerke (KKK)
— Forschungsschwerpunkte 441, 716
Kohlekraftwerkssysteme, zukünftige 441–448
Kohlenstaubfeuerungen, Emissionen 388
Kohleverstromungsverfahren, neue 443–448
Kohle-Weltmarkt 360
Kombi-Fahrweise
— Auswirkungen auf die Schutzschicht von Eisenoberflächen 414–419
— Nutzen bei der Anwendung von Oxidationsmitteln im Wasser-Dampf-Kreislauf 340–344
Kompensationsmaßnahmen 923
Komponenten und Rohrleitungen
— Lebensdauerüberwachung 613
Kondensationsanlagen
— Optimierung 739
Kondensator
— luftgekühlt für Abdampf 31
Kondensatormodell
— Optimierung 739
Konditionierung
— chemische, in Kühlkreisläufen von Gleitringdichtungen in Speisepumpen 843–846
konventionelle Stromerzeugung mit integrierter Wind-/Sonnenenergie im Lastverbund 457
Korrosion
— Chlorkorrosion an Dampferzeugern in MVA 823–828
Korrosionsmessung, on-line 762
Korrosionsprüfung an Rohrleitungen
— Lasereinsatz 999
Kosten
— spezifische, für große Braunkohlenanlagen 169
— thermische Abfallbehandlung 828
Kraftwerke
— Dürnrohr 762
— Goldenberg mit Braunkohle-Wirbelschichtfeuerung 303
— Heilbronn 336
— Heyden, Block 4 85–94
— Modernisierung 363–368
— Nachrüstung und Ertüchtigung 52
— Värnamo mit Biomassen-Druckvergaser 327
— 500-MW-Blöcke, Arbeitsverfügbarkeit 52
Kraftwerkschemie
— ökonomische Bedeutung einer korrekten Chemie des Wasser-Dampf-Kreislaufes 340–344
Kraftwerkskonzepte für Biomasse 327, 573
Kraftwerkskreisläufe
— Optimierung 352
Kraftwerksmodernisierung im ehemaligen RGW-Raum
— Einzelmaßnahmen und Kosten 970
Kraftwerksnebenprodukte
— Marketing 782
KRAFTWERKSSCHULE E.V. 691, 1047
Kraftwerksstruktur in
— Dänemark 498
— Rumänien 561
— Rußland 359
Kreislauf mit Dimethylaether 873
Kreislauf mit HAT-Prozeß 577
Kreislaufwasserbehandlung mit Ozon 502
Kreisprozesse
— Energieformen, -wandlung, Energiearten (Primär-, End-, Nutzenergie) 980
KTA
— Beschlüsse anläßlich der 50. Sitzung 800
Kühlmittelverluststörfallfestigkeit
— elektrische und leittechnische Einrichtungen in Kernkraftwerken 376–378
Kühlturm
— Hybridbetrieb 502
— Rauchgas-Schwaden-Verteilung 67
Kühlturmanlage
— Schallschutz 502
Kühlturmmodell
— Optimierung 739

Kühlturmschwaden
— Ansäuerung durch gereinigte Rauchgase 66
Kuppel
— historische Konstruktion 667/668
Kuppellasten
— Ableitung 667
Kurzberichte über die Tätigkeiten der VGB-Arbeitsgebiete
— „Bauwesen“ 703
— „Chemie/Emissionen“ 703
— „Feuerungen“ 703
— „Verwertung/Entsorgung“ 703
— „Wärmekraftwerke“ 703
— „Werkstoffe, Schweißtechnik“ 703
— „ZMA“ 703
— KRAFTWERKSSCHULE E.V. 703
— neue Rahmenbedingungen für die Ausschußarbeit 703
— Schulungszentrum Essen-Kupferdreh 703
— Umstrukturierung 703
— VGB-FORSCHUNGSSTIFTUNG 703
— VGB-Labor „Werkstofftechnik“ 703
Kusnetsk-Kohlenfelder in Rußland 358

Lack- und Farbschlämme
— Genehmigungsverfahren 230
— thermische Verwertung 230
LCF-Belastungen
— Dampfturbinenbauteile 109
Lean Management 619
Lebensdauerüberwachung
— Rohrleitungen und Komponenten 613
Lenzing
— Abfallverwertungsprojekt 218
Luftmengenregelung bei Rostfeuerung 42
Luftvorwärmer
— neue Schaltung 633
Luftvorwärmung
— Plattenwärmetauscher 814
Luftzahl bei Müllfeuerung 135

Maasbracht
— Umrüstung der Blöcke A + B 369–375
martensitische 12 %-Cr-Stähle 351
Materialprüfung 812
Membranverfahren zur Wasseraufbereitung
— Umkehrosmose 1017–1022
Microwasser-Löschanlagen 750–753
Mikrofiltration als Vorreinigung für die Umkehrosmose 941–943
Mittelstromfeuerung in MVA 566
Mitverbrennung
— Biomasse, Emissionen 573, 777
— Einfluß auf die Verbrennungsprodukte 409
— Klärschlamm in Kohlenstaubfeuerungen 403
— Mitvergasung 403, 713
— wirtschaftliches Potential 412
Modernisierung von Kraftwerken im ehemaligen RGW-Raum
— Ost-West-Partnerschaftsprogramme 970
Müllheizkraftwerk 592–595
Müllkessel
— Chlorkorrosion an Dampferzeugern 823–828
Müllverbrennung in Deutschland 132
Müllverbrennungsanlagen
— Rosttemperaturen 37

Nachrüstkonzepte
— Ost-West-Partnerschaft 970
Nachrüstung
— Gasturbine 315, 544, 626, 734
Netz, Kraftwerk und 23–26
NH_3-Drucklager
— gesetzliche Auflagen 151
— Konzepte 151
— Sicherheitsanalyse 151
Niederdruckturbine
— Austausch 52
Niederdruck-Wasservernebelungstechnik für automatische Löschanlagen 757–760
Niedrigtemperatur-Wärmenutzung 575
NO_x-arme Strahlbrenner 390
NO_x-arme Wirbelbrenner 388
NO_x-Emissionen
— Entwicklung 394
NO_x-Minderungstechnik
— Entwicklung 394
NO_x-Primärmaßnahmen
— Korrosionsmessung 762
Nut-und-Feder-Verschraubung 1046
9 %-Cr-Stähle oberhalb 600 °C
— Korrosionsraten 1023

Oberflächenschutzsysteme
— Verschleißerscheinungen 68
Obrigheim, Kernkraftwerk
— 27 Jahre Betrieb 175–182
Optimierung
— Kondensationsanlagen 739
Osmose, umgekehrte
— zur Aufbereitung von Oberflächenwasser 941–943, 1017–1022
Osteuropa
— Rehabilitation von Altanlagen 188–194
Ost-West-Koorperation in der Kraftwerkstechnik
— Aufgaben der VGB, Eröffnungsvortrag „Kraftwerke 1996“ 892

PCDD/PCDF-Abscheidung mit Quasi-trockenverfahren bei MVA 834
PCDD/PCDF-Minderung in der MVA-Amsterdam 936
Pilot-Anlage
— Braunkohle 147
— Rauchgasentschwefelung 147
Planung großer Dampfkraftwerke
— Rationalisierungsmöglichkeiten 169–174
Plattenwärmetauscher (REKULUVO)
— Luftvorwärmung 814
Plausibilitätsprüfung 4
Primärkühlmittel
— Einsatz von Kernspurmikrofiltern zur Untersuchung des Verhaltens von α-Strahlern 656–660
Primärmaßnahmen zur Emissionsminderung in MVA 635
Produktionsrückstände
— Verwertung im Industriekraftwerk 230
Produktqualität 925
Prozeßbedienung und -beobachtung
— Fortschritte 363–368
Prozeßdatenvisualisierung
— Optimierung durch neues Rechner-informationssystem 918
Prüfsysteme
— Werkstoffprüfung, Stutzennähte, Hochdruck-wärmetauscher, Magnetpulverprüfung 63
Pumpenversuche
— Wirkungsgrad 989

QS-Maßnahmen 812
QS-Organisation 811
Qualität der Energie, Begriffe 980
Qualitätsimage 924
Qualitätsmerkmale 924
Qualitätssicherung 1
— in der Instandhaltung 811
— Schadensfälle, Schadensuntersuchung, DIN-EN-9000-Anwendung 596
Quasitrocken-Verfahren zur Emissionsminderung bei MVA 833
Quecksilberabscheidung mit Quasi-trockenverfahren bei MVA 834
Quetschverluste
— Turbogetriebe 27

Radikalstrahlungsmessung in Feuerungen 351
Rauchgasentschwefelung
— Braunkohle 147
— Hoch-pH-Fahrweise 147
— Hochsulfat-Fahrweise 147
— Wasserbestimmung in Gummierungen vor REA 944–946
Rauchgasentschwefelungsanlage 589–591
— Gewährleistungsuntersuchungen 59
Rauchgasentschwefelungsprodukte
— Schwefeldünger 676
Rauchgasreinigung
— Reststoffverbrennung im Industriekraftwerk 235
Rauchgasrezirkulation bei MVA 639
Rauchgasvolumenstrom
— Messung am Druckerhöhungsgebläse 59
— Messung am Saugzuggebläse 59
— rechnerische Bestimmung 59
Rauchgaswäsche 592–595
REA 589–591
— Betriebserfahrungen 139
— Rauchgasanalytik 139
— Schwefel-Stickstoff-Verbindungen 139
— Sulfit-Oxidation 139
Reaktorwasser
— neue Richt- und Grenzwerte in der Richtlinie für Wässer in KKW (VGB-R 401 J) 238/239
regenerative Energieträger
— gesellschaftliche Randbedingungen 10
— Kosten 10
— Maßnahmen der RWE 10
— Potentiale 10
regenerative Energieträger im Kraftwerks-Verbund, konventionell-regenerative Misch-Systeme 457
regenerative und konventionelle Kraftwerks-systeme im Verbund, Studie 457
Regeneratoren, rotierende
— Simulation der Wärmeübertragung 463–470
Restlebensdauer
— Rohrleitungen 613
Reststoffe
— Braunkohle-REA-Gips 147
Reststoffverbrennung im Industriekraftwerk 235
Reviews, Peer Reviews
— ein Mittel zur Steigerung der Betriebskultur 611/612
Richtlinie
— Überarbeitung der wasserchemischen Richtlinie für Kernkraftwerke (VGB-R 401 J) 238/239
Richtlinien
— betriebswirtschaftlicher Nutzen bei deren Einhaltung 156/157
Richtwerte
— Einführung von Action Levels in die wasserchemische Richtlinie von Kernkraftwerken 238/239
— Nutzen bei deren Einhaltung 156/157

Ringbrennkammer
— Gasturbinen 309, 626, 803, 894
Rippenrohrsysteme für Abdampfkondensator 31
Rißwachstum in O_2-haltigem Hochtemperaturwasser 1052
Rißwiderstandskurven
— Ermittlung 1052
Rohrbögen
— Verformungs- und Versagensverhalten, Kriechbereich 661
— Zeitstandverhalten, Werkstoff 12 Ch 1 MF, russischer Werkstoff, Erschöpfungsgrad 506
Rohrleitungen
— Lebensdauerüberwachung 613
Rohrverschraubungen 557, 1045
Rückführzyklone von zirkulierenden Wirbelschichtfeuerungen 307
Rußland
— Kohlenbergbau 357

Sanierung 331–335
Saugzug-Ventilatoren
— Eigenbedarfsminderung 320
SCR-Katalysator
— Alterung 336
— Materialuntersuchung 336
— Spurenanreicherung 336
separat befeuerte Überhitzer bei MVA 324
Sicherheitsanalyse
— probabilistische (PSA) 922
Sicherheitsstandard in Kernkraftwerken der Sydkraft 95/96
Simulation
— dynamische Vorgänge in Dampferzeugern 202, 352
— Wärmeübertragung in rotierenden Regeneratoren 463–470
Simulator
— KRAFTWERKSSCHULE E.V. 1047
SO_2
— Abscheidung 592–595
— Emissionen, Entwicklung 394
— Minderungstechnik, Entwicklung 394
Speisepumpen
— Abnahmemessungen 989
— chemische Konditionierung in Kühlkreisläufen von Gleitringdichtungen in Speisepumpen 843–846
Speisewasser
— Beschaffenheit bei Betriebszuständen außerhalb des Dauerbetriebes 649–655
— erhöhte Anforderungen 16/17
Speisewasserstutzen mit Thermosleeve 1052
SWR-Anlagen
— wasserchemische Richtlinie (VGB-R 401 J) 238/239
Sydkraft
— Sicherheitsstandard der Kernkraftwerke 95/96
Systembetrachtung 643

Schäden an Gasturbinen 379, 734, 1002
Schadensanalyse 813
Schadensstatistik 746
Schallpyrometrie 581
Schaufeltemperaturüberwachung
— Gasturbinen 471, 803
Schmelzkammergranulat
— Bauprodukt 158
— bodenmechanische Kennwerte 523
— Strahlmittel 161
— Straßenbau 521
Schutzschichten
— Beschaffenheit bei Betriebszuständen außerhalb des Dauerbetriebes 649–655
— Einfluß der Kombi-Fahrweise auf deren Qualität 414–419
Schwadenfreiheitssteuerung 502
Schwarze Pumpe
— 800-MW-Braunkohlekraftwerk 183–187
Schweiß-Eigenspannungsanalysen 530

Stahlbeton-Naturzugkühltürme
— Schutzbeschichtungen 66
St. Andrä und Zeltweg
— Modernisierung der Dampfkraftwerke 449–456
Staubabscheidung
— Entwicklung 394
steinerne Glocke
— denkmalpflegerische Aspekte 674
Steinkohlenbergbau in Rußland 358
Steinkohlenflugasche
— attestierte Betone 872
— Bauprodukt 158
— Beton 953
— Betonrezepturen 166
— Betonzusatzstoff 432, 869
— Dichtheit des Betongefüges 954
— Festigkeitsbeitrag 954
— Flugaschewirkung im Beton 1038
— Forschungsaktivitäten 433
— Gütesicherung und Qualitätsanforderungen 869
— Konsistenzprüfverfahren 1034
— Mörtel 1033
Stellite
— Ersatzwerkstoffe bei der Kombi-Fahrweise 414–419
Störfallfestigkeit elektrischer und leittechnischer Einrichtungen in Kernkraftwerken 376–378
Störfall-Verordnung
— Information der Öffentlichkeit 151
Stückkalk
— Einsatz in Braunkohle-REA 147

TA Siedlungsabfall 566
Tagesfragen der Kraftwerkstechnik
— Eröffnungsvortrag „Kraftwerke 1996“ 892
— VGB-Kongreß „Kraftwerke 1996“ 884
Temperaturmessung
— in Feuerungen 531, 581
— mit optischer Sensortomographie 351
— mit Schallpyrometrie 581
— mit Videokamera 43, 873
Temperaturverlust
— Abdampfkondensator 31
thermische Abfallbehandlung, Kosten 828
thermische Abfallverwertung 712
— Altöle 230
— Amsterdam 936
— Essen-Karnap 566
— Haderslev 324
— Lack- und Farbschlämme 230
— Österreich 215
— Primärmaßnahmen zur Emissionsminderung 635
Total Productive Maintenance 619
tragende steinerne Glocke
— Geometrie und Statik 673
Transportvorgänge bei Betriebszuständen außerhalb des Dauerbetriebes 649–655
Tschernobyl
— 10 Jahre nach dem Unfall, gesundheitliche Effekte in der GUS 301–302.4
Tschernobyl Replacement
— Ost-West-Partnerschaftsprogramme 970
Turbinenschaufeln
— Wärmedämmschicht-Aufdampfung 352
Turbogetriebe 27

Überwachung von Kondensationsanlagen 739
Umbau von Saugzugventilatoren 320
Umkehrosmose zur Aufbereitung von Oberflächenwasser 941–943, 1017–1022
Umrüstung der Blöcke A + B in Maastbracht 369–375
Umweltverträglichkeitsprüfung
— Genehmigungsverfahren 230
— Lackschlammverbrennung 230
Ungarn als mitteleuropäischer Staat
— Festvortrag „Kaftwerke 1996“ 964

Vakuumgehäuse
— Turbogetriebe 27
VEAG
— Modernisierung der Braunkohlekraftwerke 52
— Rauchgasreinigung bei Braunkohlekraftwerken 52
Ventilatorenanpassung 320
Verbrennung von Biomasse
— Kosten 573, 777
Verbrennungsrechnung bei MVA 134
Verdampferrohrkorrosion 762
Verdichterentwicklung
— Gasturbinen 309, 734, 803
Verdichterschaden
— Gasturbinen 379
Verformungsverhalten von Martensit-Stählen 351
Vergabeüberwachungsausschüsse 1
Vergasung von Biomasse
— Kosten 573, 777
Versuchswirkungsgrade von Speisepumpen 989
Verwertung
— Produktionsrückstände im Industriekraftwerk 230
— von Verbrennungsrückständen 530
Verzerrungsnahfeld an Rissen 529
VGB-Ehrungen 883/884, 889–891
VGB-Forschungsprogramm 202, 432, 724, 756
VGB-FORSCHUNGSSTIFTUNG 723
VGB-Kongreß 1996 884
VGB-Tätigkeit 703
Vormischverbrennung von Flüssigbrennstoffen 351

Wärmedämmschicht für Turbinenschaufeln 352
Wärmeübertragung in rotierenden Regeneratoren
— Simulation 463–470
Wärmeverbrauchskontrolle 746
Walzenrost in MVA 566
Warten
— Raumgestaltung 808
Wasseraufbereitung
— Bedeutung bei der Einhaltung von Normalbetriebswerten im Wasser-Dampfkreislauf 156/157
— Oberflächenwasser mit Umkehrosmose 941–943, 1017–1022
Wasserbestimmung in Gummierungen von REA 944–946
Wasser-Dampfkreislauf
— Auswirkungen der Kombi-Fahrweise 414–419

— Beschaffenheit bei Betriebszuständen außerhalb des Dauerbetriebes 649–655
— ökonomische Bedeutung der Konditionierung des Wasser-Dampfkreislaufes 340–344
— Senkung der Betriebskosten durch Einhalten der Normalbetriebswerte 156/157
— Werkstoffertüchtigung, Werkstoff-Zustandsbewertung 195
Wasser-Löschanlagen mit Feinstverdüsung 750–753
Wasservernebelungstechnik für Löschanlagen 754–761
Weißfeinkalk,
— Einsatz in Braunkohle-REA 147
Wels
— Abfallverbrennung 216
Werkstoff 1.4541, 1.4550
— Siedewasserreaktoren, interkristalline Spannungsrißkorrosion 847
Windpark-Dynamikmodell 117–125
Wirbelschichtfeuerung
— Braunkohle 303
— feuerfeste Auskleidung 220
— Industriekraftwerk 235
— Rumänien 561
— zirkulierende Wirbelschicht 235
Wirbelschichttechnik 713
Wirbelschichttrockner für Braunkohle 224
Wirkungsgrad
— Gütegrad, Nicht-Umkehrbarkeitsgrad, energietechnische Begriffe 980
— Minderung des langjährigen Wirkungsgradverlustes der Turbine durch Einhaltung der wasserchemischen Richtlinien 156/157
— Speisepumpen 989
Wirkungsgrade
— Gasturbinen 309, 473, 626, 803
Wirkungsgradsteigerung 52
Wirkungsgradverbesserung 589–591
— REKULUVO-Plus 814
WTA-Demonstrationsanlage Frechen 226
X 22 CrMoV 12 1
— Dampfturbinenbau 345
Zeltweg und St. Andrä
— Modernisierung der Kraftwerke 449–456
zeitstandbeanspruchte Komponenten
— Lebensdauerüberwachung 613
Zerstäuberdüsen 351
zirkulierende Wirbelschicht
— Strömungsmechanik 529
Zugankerbolzenschaden
— Gasturbinen 379
Zusatzwasserbehandlung 502
Zustandsüberwachung von Gasturbinen 471, 803, 894
Zuverlässigkeit 643, 873
Zuverlässigkeitsmodell 643
Zwangdurchlauf
— aus der Not wird eine Tugend 17

Persönliches 1996

Adamsky, Franz-Josef,
65 Jahre
H. 9, S. 800

Barthelt, Klaus,
70 Jahre
H. 4, S. 354

Baur, Elmar F.,
Vize-Präsident der ESA – European Sealing Association
H. 9, S. 800

Bay, Martin,
Vorsitzender der Geschäftsführung der Firma Fichtner GmbH & Co. KG
H. 5, S. 436

Beck, Peter,
Bundesverdienstkreuz am Bande
H. 1, S. 77

Betz, Hans-Georg,
Vorstandssprecher der STEAG Industrie AG
H. 2, S. 166

Biniaris, Stefanos,
im Ruhestand
H. 2, S. 166

Brockmann, Rainer,
technischer Geschäftsführer des Elektrizitätswerks Minden-Ravensberg GmbH
H. 4, S. 354

Carle, Rémy,
Clausius-Gedenkmünze
H. 11, S. 883

Doležal, Richard,
Mitglied in norwegischer wissenschaftlicher Vereinigung
H. 4, S. 354

Doležal, Richard,
75 Jahre
H. 5, S. 436

Ebel, Claus W.,
60 Jahre
H. 4, S. 354

Eitz, August Wilhelm,
Bundesverdienstkreuz am Bande
H. 1, S. 77

Elsässer, Rainer F.,
in den Vorstand des Bayernwerks berufen
H. 5, S. 436

Franke, Arnold,
im Ruhestand
H. 1, S. 77

Frye, Klaus,
neuer Bereichsleiter der Keramchemie
H. 5, S. 436

Ganser, Karl,
Rheinland-Preis für Umweltschutz
H. 3, S. 246

Goring, Lord Marshall of
gestorben
H. 3, S. 246

Günther, Horst,
kaufmännischer Vorstand der Elektromark AG
H. 3, S. 246

Hirschfelder, Günter,
gestorben
H. 7, S. 608

Hüning, Johannes,
im Ruhestand
H. 3, S. 246

Kasper, Klaus J.,
ordentliches Vorstandsmitglied des Badenwerks AG
H. 2, S. 166

KCH,
Wechsel im Vorstand
H. 7, S. 608

Keltsch, Eberhard,
gestorben
H. 9, S. 800

Kersting, Wilhelm,
gestorben
H. 5, S. 436

Kienzle, Otto,
gestorben
H. 11, S. 958

Klein, Hans,
60 Jahre
H. 8, S. 690

Klinger, Heinz,
Präsident der VDEW
H. 7, S. 608

König, Gert,
60 Jahre
H. 10, S. 880

Latty, Cyril X.,
Ehrenpräsident der ESA – European Sealing Association
H. 9, S. 800

Lentjes mce
neue Geschäftsführung
H. 6, S. 531

Linzer, Wladimir,
60 Jahre
H. 10, S. 880

Löhle, Herbert,
75 Jahre
H. 2, S. 166

Madsen, Willy,
im Ruhestand
H. 8, S. 690

Maier-Leibnitz, Heinz,
85 Jahre
H. 4, S. 354

Mathes, Heinrich-Werner,
Vorstandsvorsitzender der Lurgi AG
H. 11, S. 958

Mayinger, Franz,
65 Jahre
H. 8, S. 690

McAlees, David G.,
Leiter des Siemens/KWU-Geschäftsgebietes „Kernbrennstoffkreislauf"
H. 1, S. 77

Montero, Francisco J.,
Präsident der ESA – European Sealing Association
H. 9, S. 800

Motoiu, Costin,
gestorben
H. 11, S. 958

MPA Stuttgart,
Nachfolgeregelung
H. 1, S. 77

Paierl, Herbert,
in die steiermärkische Landesregierung berufen
H. 2, S. 166

Preuss, Ernst Joachim,
Bundesverdienstkreuz am Bande
H. 1, S. 77

Reh, Lothar,
mit „CFB-5 Award of Achievement" ausgezeichnet
H. 7, S. 608

Reh, Lothar,
60 Jahre
H. 8, S. 690

Resch, Gerhard,
gestorben
H. 4, S. 354

Rüdiger, Lothar,
60 Jahre
H. 8, S. 690

Schaefer, Werner,
70 Jahre
H. 7, S. 608

Schilling, Hans-Dieter,
60 Jahre
H. 11, S. 958

Schillinger, Daniel,
Geschäftsführer der deutschen Grundfos-Vertriebsgesellschaft
H. 2, S. 166

Schneider, Werner,
Geschäftsführer von DOYMA GmbH
H. 4, S. 354

Schnell, Peter,
Ehrensenator
H. 1, S. 77

Schulten, Rudolf,
gestorben
H. 5, S. 436

Schulz, Eckhard,
stellvertretender VDEW-Hauptgeschäftsführer
H. 7, S. 608

Schwarz, Dietrich,
60 Jahre
H. 9, S. 800

Schwarz, Ottmar,
75 Jahre
H. 10, S. 880

Spähn, Heinz,
70 Jahre
H. 5, S. 436

Spangenberg, Walter,
im Ruhestand
H. 7, S. 608

Speitkamp, Ludger,
mit dem Franz-Weber-Preis ausgezeichnet
H. 7, S. 608

VGB-Vorstand,
Änderungen
H. 10, S. 880

WANO-Vorstand,
Änderungen
H. 10, S. 880

Wein, Ernst August,
60 Jahre
H. 6, S. 531

WTW,
neue Geschäftsleitung
H. 6, S. 531

Zerna, Wolfgang,
Dr.-Ing. E.h. der GHS Essen
H. 3, S. 246

Buchbesprechungen 1996

Abwehr betrieblicher Störfälle:
Brandschutz – Umwelt – Werkschutz
H. 4, S. 308
H. 10, S. 807

Bergbau, Erdöl und Erdgas, Petrochemie, Elektrizität, Umweltschutz Jahrbuch 1996
H. 2, S. 168

Beyer/Walter: Lehrbuch der organischen Chemie; 22., überarbeitete und aktualisierte Auflage 1991
H. 10, S. 882

Brandschutz in der Elektroinstallation
H. 12, S. 973

Computerprogramm FINANZtest-Steuer vereinfacht die Steuererklärung
H. 4, S. 308

Der neue Ratgeber zur EU-Förderung
H. 1, S. 22

EG-Umweltrecht
H. 1, S. 84

Einführung in die digitalen Regelungen
H. 2, S. 94

Explosionsschutz elektrischer Anlagen
H. 4, S. 308

Gasdruckregelung – Funktionsweise, Sicherheitseinrichtungen, Auswahlkriterien
H. 3, S. 229

Geothermische Energie
H. 2, S. 168

Handbuch des Deutschen Wasserrechts
H. 2, S. 168
H. 10, S. 807

High Temperature Gas Cleaning
H. 12, S. 973

Jahresberichte 1995 „Fossile Energieträger" und „Erneuerbare Energiequellen – Rationelle Energieanwendung"
H. 11, S. 956

Kreislaufwirtschaftsgesetz, neue Verfahren der thermischen Abfallbehandlung und zeitgemäße Deponietechnik 1995
H. 1, S. 22

Lagerung und Transport wassergefährdender Stoffe (LTwS)
H. 1, S. 84
H. 11, S. 956

Repetitorium Dampferzeuger
H. 9, S. 800

Selektivschutz elektrischer Anlagen
H. 6, S. 475

Sicherheitstechnik
H. 3, S. 229
H. 6, S. 475
H. 12, S. 973

TK Software Steuer 1995
erscheint als Windows-Version
H. 2, S. 168

VGB Kraftwerks-technik

Organ der VGB
Technischen Vereinigung der
Großkraftwerksbetreiber e.V.

Internationale Fachzeitschrift
für Technik in Kraftwerken
77. Jahrgang (1997)
Hefte 1 – 12

Herausgeber

VGB TECHNISCHE VEREINIGUNG DER GROSSKRAFTWERKSBETREIBER E.V.

Vorsitzender: Professor Dr. W. Hlubek, Essen;
Geschäftsführer: Professor Dr. rer. nat. H.-D. Schilling, Essen.

Anschrift der Redaktion

VGB TECHNISCHE VEREINIGUNG DER GROSSKRAFTWERKSBETREIBER E.V.,
Klinkestraße 27–31, D-45136 Essen, Postfach 10 39 32, D-45039 Essen,
Telefon (02 01) 81 28-3 00/3 01, Telefax (02 01) 81 28-3 02.

Chefredaktion

Chefredakteur: Oberingenieur Dipl.-Ing. H. Bleßmann, Essen;
Redaktionsassistentin: Rita Maria Wilke, Essen.

Redaktion

Oberingenieur Dr.-Ing. W. vom Berg, Essen;
Oberingenieur Professor Dr.-Ing. J. Jacobs, Essen;
Abteilungsdirektor Dipl.-Ing. K. Plate, Essen;
Abteilungsdirektor Dr.-Ing. G. Schlegel, Essen;
Abteilungsdirektor Dr.-Ing. E. Tolksdorf, Essen.

Wissenschaftlicher Redaktionsbeirat

Professor Dr. J. Béer, Cambridge, Massachusetts/USA;
Professor Dr. techn. Th. Bohn, Essen;
Professor Dr.-Ing. F. Brandt, Darmstadt;
Professor Dr.-Ing. J. Buxmann†, Hamburg;
Professor Dr.-Ing. G. Dibelius, Aachen;
Professor Dr.-Ing. H. Kremer, Bochum;
Professor Ir. J.J.C. van Lier, Delft/Niederlande;
Professor Dipl.-Ing. Dr. techn. W. Linzer, Wien/Österreich;
Professor Dr. techn. O.I. Martynova, Moskau/Rußland;
Professor Dr.-Ing. L. Müller, Berlin.

Technischer Redaktionsbeirat

Dipl.-Ing. R. Aarni, Helsinki/Finnland;
Betriebsdirektor Dipl.-Ing. K. Bers, Berlin;
Dr. techn. H. Breidenbach, Essen;
Dr. rer. nat. J. Ernst, Hamburg;
Dipl.-Ing. J. Garleff, Hamburg;
Abteilungsdirektor Professor Dr.-Ing. G. Haag, Stuttgart;
Dipl.-Ing. Dr. techn. F. Janitschek, Klagenfurt/Österreich;
Direktor Dr. rer. nat. D. Kallmeyer, Essen;
Direktor Dipl.-Ing. ETH K. Küffer, Baden/Schweiz;
Direktor Dr.-Ing. E.h. Dipl.-Ing. R. Mäule, Esslingen;
Direktor Dipl.-Ing. J. Schulte, Leverkusen.

Vertrieb und Anzeigenverwaltung

VGB-KRAFTWERKSTECHNIK GmbH,
Klinkestraße 27–31, D-45136 Essen, Postfach 10 39 32, D-45039 Essen,
Telefon (02 01) 81 28-2 12/2 13/2 00, Vertrieb (02 01) 81 28-2 00,
Abonnement (02 01) 81 28-2 17, Telefax (02 01) 81 28-3 29.
Verantwortlich für Vertrieb und Anzeigenteil: R. Rätz.

Erscheinungsweise

monatlich, außerdem erscheint zeitlich verschoben eine englische Fassung der Hefte.

ISSN 0372-5715

Jahresinhaltsverzeichnis 1997

Verfasserverzeichnis 1997

ABE-Bericht:
Betriebserfahrungen mit Kernkraftwerken 1996
H. 4, S. 248–299

Abt, K.O., und Wawrzik, U.:
Umgestaltung einer gewachsenen Kraftwerksstruktur in eine effiziente marktfähige Struktur
H. 1, S. 4–8

Adamsky, F.-J., Teichmann, H., und Tolksdorf, E.:
Betriebserfahrungen mit dem warmfesten Werkstoff 15 NiCuMoNb 5 in konventionellen Kraftwerksanlagen
H. 8, S. 667–675

Åhman, St., und Gottschalk, J.:
NID- Ein neues Trockensorptionsverfahren
H. 8, S. 650–653

Ahrens, R., und Behrent, M.:
Akzeptanz durch Kommunikation
H. 2, S. 141–142

Albert, F.W.:
Die Niederungen des Alltags: Über den erfolgreichen Betrieb einer Müllverbrennungsanlage
H. 1, S. 39–47

Aldrian, G., siehe Schöngrundner, W.:
H. 11, S. 975

Al-Halbouni, A., siehe Sontag, R.:
H. 6, S. 533

Altbrod, P., siehe Eigenmann, L.:
H. 6, S. 532

Angleys, Mechthild, und Gehrke, B.:
Entwicklung der modernen EVT-Schüsselmühle (Kurzfassung)
H. 5, S. 434

Aspden, J.D.:
Kraftwerkschemie – Leistungsmanagement (Kurzfassung)
H. 11, S. 974

Aumüller, A., und Raffelsberger, N.:
Modernisierung des EVN-Kraftwerkes Theis B mit neuester Gasturbinentechnik zu einem Kombi-/Verbundblock
H. 6, S. 443–447

Baas, H.:
Neuentwickelte Gasmotoren für ein Blockheizkraftwerk im Vergleich zu den Gasmotoren auf der Deponie der Stadtwerke Münster in Coerde
H. 11, S. 927–931

Baer, E., siehe Hötzel, G.:
H. 4, S. 348

Bärnthaler, K., siehe Heiting, B.:
H. 12, S. 1057–1067

Bajári, M.:
Die Hydrazin-Primärkreislaufchemie bei den WWER-440-Blöcken des Kernkraftwerkes Paks (Kurzfassung)
H. 11, S. 977

Bakács, I.:
Langfristiger Ausbau der ungarischen Kraftwirtschaft
H. 2, S. 91–94

Bals, M.:
Untersuchungen zum Verschmutzungsverhalten zukünftig anstehender Kohlen des rheinischen Reviers (Kurzfassung)
H. 6, S. 532

Bauer, H., siehe Nopitsch, K.:
H. 11, S. 977

Bauer, W.:
Mehr Arbeitssicherheit durch Lean Management?
H. 8, S. 638–640

Bärnthaler, K., siehe Heiting, B.:
H. 4, S. 345

Barends, H.W.M.D., siehe Helmich, P.:
H. 6, S. 461–464

Baresel, M., siehe Wasel-Nielen, J.:
H. 2, S. 130–134

Bartsch, H., Gerdes, C., Potthast, E., und Levacher, R.:
Entwicklung eines neuen NiCrMo-Stahles für geschweißte Dampfturbinenwellen
H. 6, S. 512–517

Bartscherer-Sauer, Angela, Miskiewicz, K., Kirchen, G., Kwasny-Echterhagen, R., und Peters, K.:
Eignung von rheinischer Braunkohlenfilterasche für Baustoffe
H. 1, S. 66–71

Barton-Bieg, Margit, siehe Necker, P.:
H. 4, S. 345

Basener, H., und Hacker, H.:
Schäden an ZÜ-Einspritzkühlern und deren Sanierungen, dargestellt an einem Beispiel im Heizkraftwerk Tiefstack
H. 3, S. 181–192

Bauer, G., und Lankes, F.:
Erhöhung des Blockwirkungsgrades durch verbesserte Abgaswärmenutzung
H. 5, S. 376–381

Baumhoff, V., Kempkes, B., und Peters, K.:
Spannungsbewertung von HD-Rohrleitungssystemen mit hohen Dampfparametern unter Berücksichtigung von Schrägzug und Lager- und Hängerreibung
H. 2, S. 114/115

Baumhoff, V., siehe Hahn, B.:
H. 3, S. 214–220

Beer, S., Braitsch, W., und Kleinsteuber, W.:
Maßnahmen zur Steigerung des Netto-Wirkungsgrades an einem bestehenden 300-MW-Block
H. 5, S. 358–362

Behrent, M., siehe Ahrens, R.:
H. 2, S. 141/142

Beising, R., siehe Käser, M.:
H. 4, S. 347

Beising, R., und Käser, M.:
Einführung einer praxisbezogenen Dienstanweisung – Umweltschutz als Bestandteil des Umweltmanagementsystems bei EVS (Kurzfassung)
H. 4, S. 348

Bendick, W., Haarmann, K., Ring, M., und Zschau, M.:
Stand der Entwicklung neuer Rohrwerkstoffe für den Kraftwerksbau in Deutschland und Europa
H. 5, S. 407–412

Benesch, W.A.:
Aktuelle Feuerungskonzepte bei der STEAG (Kurzfassung)
H. 6, S. 531

Bentele, W., siehe Holl, M.:
H. 3, S. 174–177

vom Berg, W., siehe Puch, K.-H.:
H. 7, S. 604–610

Bergemann, L., siehe Holl, M.:
H. 3, S. 174–177

Bergmann, H., Chalupnik, R., und Jacobs, J.:
Entwicklungsstand von Kombi-Kraftwerken auf Kohlebasis
H. 3, S. 166–173

Bergmann, L., Dobers, H., und Melzer, B.:
Erfahrungen mit Kaltbiegungen in Kraftwerksrohrleitungen
H. 3, S. 193–196

Bergmann, R., siehe Schmittecker, B.M.:
H. 11, S. 976/977

Berger, Christina, siehe Mayer, K.H.:
H. 10, S. 848–857

Berger, R., und Krabbe, H.J.:
Simulation der Schwermetallemissionen eines Steinkohlekraftwerks (Kurzfassung)
H. 4, S. 346

Bernstein, W., und Sturm, A.:
Werner Boie – ein Pionier der Kraftwerkstechnik
H. 12, S. 1001–1007

Bettenworth, H., Hein, M., und Pflug, H.:
Nitrifikation und Denitrifikation von ammoniumhaltigen Kraftwerksabwässern
H. 3, S. 208–213

Beyer, H., siehe Hensel, W.:
H. 1, S. 26–28

Bieda, U., und Schulz, A.:
Optimierung des Konzeptes wiederkehrender Prüfungen an Stoßbremsen in den Anlagen GKN I und II
H. 9, S. 728–730

Bischoff, W., siehe Tigges, K.D.:
H. 5, S. 434

Bleier, A., Greger, G.-U., von Jan, R., und Klinger, W.:
Brennstabdefekt-Schätzung – aktueller Kenntnisstand und Ausblick (Kurzfassung)
H. 11, S. 978

Blind, D., siehe Läpple, V.:
H. 9, S. 754–761

Blöchl, H., siehe Meierer, M.:
H. 11, S. 976

Bloembergen, J.R., und Lindeman, J.:
Umweltverträglichkeitsprüfung (UVP) und Änderungen im Scoping-Verfahren bei niederländischen Kraftwerken (Kurzfassung)
H. 4, S. 346/347

Blümel, W., und Wilgeroth, U.:
Verhalten von Schwermetallen in verschiedenen Kohlefeuerungen (Kurzfassung)
H. 4, S. 346

Boddenberg, G., siehe Wöhrle, G.:
H. 5., S. 367–371

Böhm, E., und Toussaint, D.:
Konzept einer Ökobilanz der Abfallbehandlung
H. 8, S. 654–656

Böhm, H.:
150 Jahre Elektrotechnik
H. 12, S. 1008–1014

Böhme, D.:
Erfahrungen und Erkenntnisse aus dem Betrieb sowie aus der Planung von Klärschlammmitverbrennungsanlagen aus der Sicht des Anlagenbauers (Kurzfassung)
H. 6, S. 533

Bökenbrink, D., Gilles, H.-J., Schiffer, A., und Schröder, E.:
Austausch der Leittechnik in nur 81 Tagen
H. 1, S. 29–34

Böse, D., siehe Peter, R.:
H. 5, S. 434

Bohlinger, W., siehe Peters, Th.:
H. 11, S. 979

Bohnsack, G.:
Korrosionsinhibierung durch das im Helamin enthaltene „filmbildende" Amin
H. 10, S. 841–847

Bolz, M., Rühle, W., und Hoffmann, W.:
Massenspektrometrische Bestimmung des ^{10}Bor-/^{11}Bor-Isotopenverhältnisses (Kurzfassung)
H. 11, S. 977

Bolz, M., siehe Rühle, W.:
H. 11, S. 977

Borchardt, H.-P., siehe Peters, Th.:
H. 11, S. 979

Borst, Karin, und Koch, F.:
Untersuchungen an geschädigten Turbinenschaufeln
H. 9, S. 724–727

Brackmann, M., siehe Schaack, W.:
H. 7, S. 578–584

Braitsch, W., siehe Beer, S.:
H. 5, S. 358–362

Brandon, D.G., siehe Vaisburd, S.:
H. 6, S. 532/533

Braun, D., siehe Gömöri, J.:
H. 11, S. 976

Braun, R., und Weidener, H.:
Früherkennung von Bunkerbränden mit Hilfe der Infrarot-Thermographie
H. 12, S. 1047–1052

Braun, W., und Lang, A.:
Einsatz numerischer Strömungsmechanik zur Auslegung und Optimierung von Rauchgasreinigungsanlagen (Kurzfassung)
H. 4, S. 346

Bräuer, J., Bung, W., und Kempkes, B.:
Elektronische Drucküberwachung für gesteuerte Sicherheitsventile und Sicherheitsabsperrventile
H. 3, S. 197–200

Brenner, A.,und Uttich, R., Weingartner, S.:
Entwicklungsstand und Marktpotential eines H_2/O_2-Dampferzeugers zur Primärregelung
H. 1, S. 14–17

Broscheit, G., siehe Lipner, F.:
H. 12, S. 1015–1021

Bruckschlegel, M., siehe Hagenmaier, H.:
H. 7, S. 565–570

Brüggemann, H., siehe Kather, A.:
H. 6, S. 470–475

Buberl, A., siehe Schuster, F.A.:
H. 7, S. 585–590

Buchloh, W.:
Kraftwerksmeister-Ausbildung (Kurzfassung)
H. 9, S. 787

Buck, P., siehe Maier, H.:
H. 6, S. 533

Bürkner, R., siehe Simon, V.:
H. 9, S. 719–723

Buhlmann, R.:
Risikomanagement – eine komplexe, interdisziplinäre Aufgabe im Kraftwerksbau
H. 8, S. 641/642

Bundgaard, J., und Svendsen, J.J.:
Strohbefeuerte Benson-Kessel von 120 t/h Dampfleistung (Kurzfassung)
H. 6, S. 533

Bung, W., siehe Bräuer, J.:
H. 3, S. 197–200

Bursik, A., siehe Bursik, L.:
H. 11, S. 974

Bursik, L., Quigley, D.F., und Bursik, A.:
Probenahme im Wasser-Dampf-Kreislauf – neuere Verfahren und vollautomatische Probenahmensysteme – (Kurzfassung)
H. 11, S. 974

Busch, D.:
Betoninstandsetzung
H. 4, S. 340–343

Busse, L., Heiberger, D., und Krämer, E.:
Korrosionseffekte in gebogenen Tannenbaum-Befestigungen
H. 10, S. 807–810

Calvis, H., siehe Ullrich, P.:
H. 8, S. 657–658

Cerjak, H., siehe Schuster, F.A.:
H. 7, S. 585–590

Cerjak, H., Hofer, P., Schaffernak, B., Spiradek, Kristine, und Zeiler, G.:
Haupteinflußgrößen auf die Kriechbeständigkeit von 9- bis 12%igen Cr-Stählen für Kraftwerke mit erhöhten Dampfparametern
H. 9, S. 762–769

Chalupnik, R., siehe Bergmann, H.:
H. 3, S. 166–173

Chvalina, J., Seitz, A., und von der Heide, B.:
Langjährige Erfahrungen mit nichtkatalytischer Entstickung in kohlebefeuerten Kesseln in der Tschechischen Republik (Kurzfassung)
H. 4, S. 346

Chwieralski, J., Heil, J., und Reiter, W.:
Nachrüstung des 100-MW-Steinkohlekraftwerkes Dettingen mit einer Trocken-REA (Kurzfassung)
H. 4, S. 346

Clausen, J. Chr., und Sørensen, Merete:
Anlagen- und Betriebserfahrungen mit strohbefeuerten Kesseln in Heizkraftwerken
H. 10, S. 802–806

Conlin, J.B., siehe Friend, J.F.C.:
H. 4, S. 348

Conlin, J.B., und Platt, D.I.:
Aperiodische Kombi-Fahrweise für Trommelkessel
H. 10, S. 838–840

Cossmann, R., siehe Kehr, M.:
H. 4, S. 307–314

Cousin, R., und Suhany, T.:
Entwicklung eines Verfahrens zur Langzeitüberwachung von Abgasströmen auf Dioxine und Furane
H. 7, S. 571–574

Czech, N., Schmitz, F., und Stamm, W.:
Fortschrittliche Schutzschichten für Gasturbinenschaufeln
H. 3, S. 221–225

Danisch, R., siehe Liersch, G.:
H. 3, S. 226–229

David, P. (†), siehe Fichte, W.:
H. 11, S. 975

Dechant, K.-E., und Roßmaier, W.:
Verbesserte Wasserdruckprüfungen bei Flammrohr-, Rauchrohr- und Wasserrohrkesseln
H. 8, S. 623–629

Deimel, P., siehe Läpple, V.:
H. 9, S. 754–761

Deleryd, R., siehe Jacobi, G.:
H. 11, S. 978

Derichs, W., und Wintrich, F.:
Diagnose des Verbrennungsablaufes mit Hilfe eines emissionsspektroskopischen Sensorsystems in großtechnischen Feuerungen (Kurzfassung)
H. 5, S. 435

Derichs, W., und Wintrich, F.:
Temperaturmessung in Feuerräumen von Kraftwerkskesseln (Kurzfassung)
H. 5, S. 435

Dietl, G., siehe Schmidt, W.:
H. 6, S. 533

Dobers, H., siehe Bergmann, L.:
H. 3, S. 193–196

Dröscher, F., siehe Necker, P.:
H. 4, S. 345

Dröscher, F., siehe Schrickel, J.:
H. 4, S. 347

Dröscher, F., siehe Necker, P.:
H. 10, S. 832–837

Dubslaff, E.:
Die Entwicklung der VEAG vor dem Hintergrund sich ändernder Rahmenbedingungen
H. 12, S. 995–1000

Ebert, K., Maier, H., und Schröder, G.:
Neue Wege zur NO_x-Minderung an einem ölbefeuerten, in der Spitzenlast eingesetzten Kombi-Block (Kurzfassung)
H. 6, S. 532

Eckstein, U., siehe Titze, B.:
H. 6, S. 518–523

Edelmann, H., und Stuhlmüller, F.:
EFCC – Ein zukünftiges Konzept für Kohle-Kombi-Kraftwerke?
H. 7, S. 537–543

Eden, D., Heiting, B., und Luckas, M.:
Berechnung und Optimierung von SO_2-Rauchgaswäschern
H. 6, S. 505–511

Egeler, R.:
Einfluß einer SNCR-Entstickung auf das Emissionsverhalten und die Rückstandsbelastung einer Müllverbrennunganlage
H. 10, S. 823–828

Eich, K.-J., siehe Simon, V.:
H. 9, S. 719–723

Eigenmann, L., Altbrod, P., Meisl, J., Koch, R., und Wittig, S.:
Konzeption und Optimierung einer schadstoffarmen Kesselfeuerung (Kurzfassung)
H. 6., S. 532

Eickelpasch, N., siehe Lasch, M.:
H. 11, S. 978

Eimer, N., siehe Meierer, M.:
H. 11, S. 976

Eisgruber, H.:
Umgang mit menschlichen Faktoren beim Betrieb deutscher Kernkraftwerke
H. 5, S. 388–392

Enkler, G., siehe Rühle, W.:
H. 11, S. 977

Ennis, P.J., siehe Wachter, O.:
H. 9, S. 770–785

Epple, B., siehe Kather, A.:
H. 6, S. 470–475

Erker, M., König, H., Mayer, K.-H., und Stark, K.:
Erfahrungen bei Großrevisionen an zwei 515-MW-Dampfturbosätzen
H. 8, S. 630–637

Essers, H.:
Ölpflege mit System
H. 2, S. 116–119

Fahlke, J., siehe Harmgart, Sigrid:
H. 1, S. 48–52

Fahlke, J., siehe Seipp, H.-G.:
H. 11, S. 974

Fazekas, A.:
Möglichkeiten zur Verbesserung der Wirkungsgrade in der ungarischen Kraftwirtschaft
H. 4, S. 304–306

Felgener, G. W., und Reich-Walber, M.:
Braunkohlenkoks-Festbettreaktoren zur Feinreinigung von Kraftwerksabwässern (Kurzfassung)
H. 11, S. 979

Ferchhumer, G., siehe Waltl, J.:
H. 11, S. 946–952

Fichte, W., siehe Seipp, H.-G.:
H. 11, S. 974

Fichte, W., siehe Peters, Th.:
H. 11, S. 979

Fichte, W., Strohhäcker, J., und David, P. (†):
Kontinuierliche Wasserstoffmessungen in Wasser-Dampf-Kreisläufen von Dampferzeugeranlagen (Kurzfassung)
H. 11, S. 975

Fischer, G.:
Kraftwerkskohlenlagerplätze mit Entspeicherungskratzern
H. 10, S. 817–822

Fleischer, G.:
Umgang mit künstlichen Mineralfaserprodukten in Kraftwerken
H. 1, S. 53–55

Fleischanderl, A., siehe Malle, Bettina:
H. 2, S. 126–129

Fleischhauer, M., siehe Schrickel, J.:
H. 4, S. 347

Fogh, F., siehe Kristiansen, A.E.:
H. 11, S. 978

Frank, J., Schellenberger, I., und Karpinski, A.:
100 Jahre thermische Abfallbehandlung – Abgasreinigungstechnik damals und heute, Betriebserfahrungen der MVA Stellinger Moor, Hamburg -
H. 6, S. 486–493

Franke, J., Schnabel, F., und Wittchow, E.:
Materialschonender Betrieb vom Dampferzeugern
H. 2, S. 104–108

Franz, E.:
Konstruktionsregeln für Großwasserraumkessel im europäischen Wandel
H. 8, S. 617–622

Frenzel, J., siehe Manth, T.:
H. 11, S. 975

Friend, J.F.C, Nell, L.R., Goosen, A.J., und Conlin, J.B.
Bewertung der Wasserwirtschaft in den Kohlekraftwerken der ESKOM aus Sicht des Umweltschutzes (Kurzfassung)
H. 4, S. 348

Friis, Peggy:
Windenergie in Dänemark
H. 3, S. 205–207

Früchtenicht, H.-W.:
Einrichtungen und Medien für die künftige Ausbildung von Kraftwerkspersonal (Kurzfassung)
H. 9, S. 787

Gaßner, K.-H., siehe Heinzl, S.:
H. 6, S. 531–532

Gavillet, D. Ph., siehe Loner, Helena:
H. 12, S. 1068–1071

Gehrke, B., siehe Angleys, Mechthild:
H. 5, S. 434

Geier, R., Talman, J.A., und Reh, L.:
Hochtemperaturpyrolyse von Kohle unter prozeßnahen Bedingungen (Kurzfassung)
H. 5, S. 433

Gerdes, C., siehe Mayer, K.H.:
H. 10, S. 848–857

Gerdes, C., siehe Bartsch, H.:
H. 6, S. 512–517

Geissler, K.-P., siehe Schallert, B.:
H. 11, S. 979

Gericke, B.:
Kombi-Anlagen für Industrie und Kommunen – Einfluß der Gasturbinen auf den Dampferzeuger (Teil 1)
H. 10, S. 793–799

Gericke, B.:
Kombi-Anlagen für Industrie und Kommunen – Einfluß der Gasturbinen auf den Dampferzeuger (Teil 2)
H. 11, S. 912–919

Gilles, H.-J., siehe Bökenbrink, D.:
H. 1, S. 29–34

Gnädig, G.:
Gasturbinen als zuverlässige Primärantriebe für Kombi-Kraftwerke, Beispiel South Humber Bank
H. 2, S. 95–97

Goosen, A.J., siehe Friend, J.F.C.:
H. 4, S. 348

Gottschalk, J., siehe Åhman, St.:
H. 8, S. 650–653

Gödecke, H., und Zimmermann, B.:
Feuerungsumbau an einem 500-MW-Erdgas-Block zur NO_x-Reduzierung auf 100 mg/m_3 (Kurzfassung)
H. 6, S. 532

Gömöri, J., und Braun, D.:
Verfahren zur Kontrolle der Mikrobiologie im Kühlwasserkreislauf des KKW Gösgen mit einem Produkt auf Basis H_2O_2-Silber (Kurzfassung)
H. 11, S. 976

Grawe, J., und Hoffmann, Th.:
Stand der Umsetzung der CO_2-Selbstverpflichtungserklärung der deutschen Stromversorger
H. 3, S. 161–165

Gräbel, H.-P., siehe Hagenmaier, H.:
H. 7, S. 565–570

Greger, G.-U., siehe Bleier, A.:
H. 11, S. 978

Greif, H.-G., siehe Meyrahn, H.:
H. 1, S. 61–65

Grupp, H.:
Biologisch abbaubare Schmierstoffe
H. 1, S. 56–60

Günther, R.:
Betriebserfahrungen mit synthetischen Flüssigkeiten in Steuer- und Regelsystemen von Dampfturbinen
H. 12, S. 1040–1046

Guttenbrunner, M., Madlsperger, G., und Pfeffer, S.:
Umrüstung der OKA-Braunkohlekraftwerke auf Steinkohle (Kurzfassung)
H. 5, S. 434

Haarmann, K., siehe Bendick, W.:
H. 5, S. 407–412

Hacker, H., siehe Basener, H.:
H. 3, S. 181–192

Häßler, G.:
Ertüchtigung von Kraftwerksstandorten als Alternative zum Rückbau
H. 5, S. 353–357

Häßler, G., und Häßler, R.:
Darstellung kombinierter thermodynamischer Prozesse
H. 10, S. 800/801

Häßler, R., siehe Häßler, G.:
H. 10, S. 800/801

Hagenmaier, H., Bruckschlegel, M., und Gräbel, H.-P.:
Zur Problematik von Dioxinmessungen im Geltungsbereich der 17. BImSchV
H. 7, S. 565–570

Hahn, B., Baumhoff, V., Peters, K., und Zschau, M.:
Einsatz des Stahles X 10 CrMoVNb 91 im Rahmen von Anlagenertüchtigungen
H. 3, S. 214–220

Haller, B. R., siehe Nowi, A.:
H. 7, S. 551–555

Hammer, L., siehe Mølbak, T.:
H. 6, S. 457–460

Hannes, K., siehe Zerres, H.:
H. 4, S. 321–325

Hannes, K., Neumann, F., Thielen, W., und Pracht, M.:
Kohlenstaub-Druckverbrennung
H. 5, S. 393–400

Hanus, R., siehe Schuster, F.A.:
H. 7, S. 585–590

Harmgart, Sigrid, Meierer, M., und Fahlke, J.:
Die Beurteilung von DENOX-Katalysatoren während des Kraftwerksbetriebes
H. 1, S. 48–52

Harrer, A.:
Innere Ausrichtung von Industriedampfturbinen
H. 7, S. 544–550

Harte, R., siehe Titze, B.:
H. 6, S. 518–523

Hartleben, B.:
Instandhaltung von regenerativen Wärmetauschern
H. 1, S. 23–25

Hartwig, J., siehe Schenk, K.:
H. 6, S. 448–452

Hater, W., siehe Steber, J.:
H. 11, S. 976

Heckenberger, M., siehe Käser, M.:
H. 4, S. 347

Heddrich, R.:
Der Stahlbau für die Kesselhäuser großer Kraftwerke
H. 5, S. 429–431

Heiberger, D., siehe Busse, L.:
H. 10, S. 807–810

von der Heide, B., siehe Chvalina, J.:
H. 4, S. 346

Heil, J., siehe Chwieralski, J.:
H. 4, S. 346

Hein, D., siehe Röckl, A.:
H. 6, S. 533

Hein, H.R.G., siehe Spliethoff, H.:
H. 5, S. 433/434

Hein, M., siehe Bettenworth, H.:
H. 3, S. 208–213

Hein, M., siehe Schönrok, M.:
H. 4, S. 346

Hein, M., Pflug, H.D., und Henkel, A.
Entfernung von Ammoniak aus industriellen Wässern mittels Adsorption/Ionenaustausch an natürlichen Clinoptilolith (Kurzfassung)
H. 11, S. 976

Heinzl, S., und Gaßner, K.-H.:
Erfahrungen beim Umstellen eines Blockes von 420 MW (el.) von schwerem auf leichtes Heizöl (Kurzfassung)
H. 6, S. 531/532

Heiting, B., Bärnthaler, K., und Weiß, Chr.:
REA-Wäscher „2000" – Eine neue Generation von SO_2-Absorbern für Braunkohlekraftwerke
H. 12, S. 1057–1067

Heiting, B., siehe Eden, D.,
H. 6, S. 505–511

Heitmann, H. G.:
Entwicklungen der Kraftwerks-Chemie in den letzten 10 Jahren (Kurzfassung)
H. 11, S. 974

Heitmüller, R.J., Tippkötter, T., und Niesbach, J.:
Umrüstung einer Braunkohlefeuerung auf NO_x-arme Rundstrahlbrenner im Kraftwerk Niederaußem (Kurzfassung)
H. 6, S. 531

Heitmüller, R.J., und Müller, H.:
Untersuchung der Brennkammerverschmutzung mit einem mathematischen Modell (Kurzfassung)
H. 6, S. 532

Helmich, P., und Barends, H.W.M.D.:
Rechnergestütztes Betriebsmanagementsystem für das Prozeßcontrolling im Kombi-Kraftwerk Eemscentrale/Niederlande
H. 6, S. 461–464

Henjes, F., siehe Simon, E.:
H. 8, S. 643–649

Henke, K.-P., siehe Schmittecker, B.M.:
H. 11, S. 976/977

Henkel, A., siehe Hein, M.:
H. 11, S. 976

Hennig, R., siehe Krüger, F.W.:
H. 5, S. 363–366

Hille, M., siehe Krüger, F.W.:
H. 5, S. 363–366

Hensel, W., Beyer, H., und Samman, A.:
Nachweis des sicheren Betriebes einer Kraftwerksanlage bei Brand durch eine Verknüpfung von Brandsimulation und systemtechnischer Analyse
H. 1, S. 26–28

Hildebrand, M.:
Die Novelle der Großfeuerungsanlagen-Richtlinie und Folgerungen für die deutschen Kraftwerksbetreiber (Kurzfassung)
H. 5, S. 433

Hlubek, W.:
Tagesfragen der Kraftwerkstechnik
H. 11, S. 894–896

Hölemann, H., siehe Schildhauer, P.:
H. 12, S. 1053–1056

Hösel, W., siehe Schaack, W.:
H. 7, S. 578–584

Hötzel, G., und Baer, E.:
Das Umwelt-, Arbeitsschutz- und Notfallmanagement der Duisburger Versorgungs- und Verkehrsgesellschaft und die Umsetzung in die betriebliche Praxis (Kurzfassung)
H. 4, S. 348

Höxtermann, E., siehe Schenk, K.:
H. 6, S. 448–452

Hofer, P., siehe Cerjak, H.,
H. 9, S. 762–769

Hoffmann, H., siehe Mauer, D.:
H. 11, S. 978

Hoffmann, Th., siehe Grawe, J.:
H. 3, S. 161–165

Hoffmann, W., siehe Bolz, M.:
H. 11, S. 977

Høgh Sørensen, L., siehe Rasmussen, I.:
H. 6, S. 465–469

Hojczyk, B., und Hühne, W., Thierfelger, H.G.:
Das Steinkohlekraftwerk Rostock
H. 4, S. 315–320

Holl, M., Mertin, D., Jung, P., Bentele, W., und Bergemann, L.:
Strahlenschutzoptimierung beim Betrieb deutscher Kernkraftwerke
H. 3, S. 174–177

Howe, G., und Stürenburg, H.-G.:
Simulatorausbildung für fossil befeuerte Kraftwerke – Stand und Entwicklung – (Kurzfassung)
H. 9, S. 787

Hourfar, D., Koll, H., und Kübler, D.:
Neue Dampfparameter für fortschrittliche Steinkohlekraftwerke
H. 6, S. 441/442

Houzer, H. G.:
Ertüchtigung der Leittechnik von zwei kohlebefeuerten 150-MW-Blöcken mit vollautomatischen An- und Abfahren
H. 5, S. 382–387

Huber, S.:
TOC-Charakterisierung mit einem neuen Analysenverfahren (Liquid Chromatography-Organic Carbon Detection; LC-OCD): Methodenbeschreibung und erste Anwendungen im Kraftwerksbereich (Kurzfassung)
H. 11, S. 975/976

Hühne, W., siehe Hojczyk, B.:
H. 4, S. 315–320

Hundebøl, I., siehe Rasmussen, I.:
H. 6, S. 465–469

Huschauer, H., siehe Husemann, R.U.:
H. 12, S. 1072–1079

Husemann, R.U., Huschauer, H., Lai, V., und Owedyk, K.:
Austenit-Martensit-Mischverbindungen im Bereich der Heizflächenrohre bei Großdampferzeugern der neuen Generation
H. 12, S. 1072–1079

Iffarth, K., siehe Unland, G.:
H. 5, S. 434

Iffarth, K., siehe Peter, R.:
H. 5, S. 434

Irons, R.M.A.:
Assessment of Software and Laboratory Tools for the Prediction of NO_x Emissions and Carbon Loss from Coal-Fired Utility Plant (Kurzfassung)
H. 6, S. 531

Jacobi, G., und Deleryd, R.:
Teleskop-Sipping in DWR- Anlagen (Kurzfassung)
H. 11, S. 978

Jacobs, J., siehe Bergmann, H.:
H. 3, S. 166–173

Jäger, G., Kallmeyer, D., Langeneke, B., Petersen, K., und Otto, K.-W.:
Wertschöpfungstiefe der EVU beim Bau und Betrieb von Kraftwerken
H. 1, S. 9–13

Jakubowski, A., siehe Tannenhauer, J.:
H. 10, S. 811–813

von Jan, R., siehe Bleier, A.:
H. 11, S. 978

Jansen, A. E., siehe Klaassen, R.:
H. 4, S. 346

Johänntgen, U., siehe Marx, F.J.:
H. 4, S. 346

Johänntgen, U.:
Verbesserung der Ableitverhältnisse beim Anfahren eines Kraftwerkes mit Kühlturmableitung (Kurzfassung)
H. 4, S. 346

Josifi, Y, siehe Ponweiser, K.:
H. 3, S. 178–180

Jourdain, P., siehe Loner, Helena:
H. 12, S. 1068–1071

Jung, P., siehe Holl, M.:
H. 3, S. 174–177

Jüngling, K., und Kölle, P.:
Computersimulation der Strömungsverhältnisse in einem Waschturm der Müllverbrennungsanlage Düsseldorf-Flingern
H. 3, S. 201–204

Jürgensen, M.:
Erfahrungen mit der Ozonwaschmaschine als Ersatz für die chemische Reinigung im Kernkraftwerk Obrigheim (Kurzfassung)
H. 11, S. 978

Kahr, G., siehe Steiner, Th.:
H. 8, S. 664–666

Käferstein, P., siehe Sontag, R.:
H. 6, S. 533

Käser, M., Heckenberger, M., und Beising, R.:
Effiziente Umweltschutzüberwachung und -beratung mit Hilfe eines betrieblichen Umweltinformationssystems bei der EVS (Kurzfassung)
H. 4, S. 347

Käser, M., siehe Beising, R.:
H. 4, S. 348

Kager, W., siehe Tauschitz, J.:
H. 2, S. 98–103

Kahl, D., Piper, Kristina, und Zabel, P.:
Konzepte zur Verwertung von Lausitzer Braunkohlenflugaschen
H. 2, S. 143–149

Kallmeyer, D., und Wick, W.:
Entwicklungsschritte zum trockenbraunkohlebefeuerten Kraftwerk
H. 4, S. 300–303

Kallmeyer, D., siehe Jäger, G.:
H. 1, S. 9–13

Karpinski, A., siehe Frank, J.:
H. 6, S. 486–493

Kather, A., Brüggemann, H., und Epple, B.:
NO_x-arme Steinkohlefeuerung für Großdampferzeuger
H. 6, S. 470–475

Kautz, H.R., siehe Neumann, J.:
H. 4, S. 329–334

Kehr, M., Lipinski, B., Valbert, G., und Cossmann, R.:
Modernisierung der 500-MW-Braunkohleblöcke am VEAG-Standort Boxberg
H. 4, S. 307–314

Keil, U., und Thiemann, H.:
Auswirkungen von verfahrenstechnischen Optimierungen auf die Modulstandzeiten der Umkehrosmoseanlage in Leuna (Kurzfassung)
H. 11, S. 979

Kempkes, B., siehe Bräuer, J.:
H. 3, S. 197–200

Kempkes, B., siehe Baumhoff, V.:
H. 2, S. 114–115

Kern, T., siehe Mayer, K. H.:
H. 10, S. 848–857

Kirchen, G., siehe Bartscherer-Sauer, Angela:
H. 1, S. 66–71

Klaassen, R., und Jansen, A. E.:
Rauchgasentschwefelung durch Gasabsorption an Membranen (Kurzfassung)
H. 4, S. 346

Klädtke, J.:
Untersuchungen zum Wachstum der Wälder in Europa – Ein Überblick
H. 9, S. 747–753

Klein, M., siehe Schuster, H.:
H. 6, S. 531

Kleinsteuber, W., siehe Beer, S.:
H. 5, S. 358–362

Klinger, W., siehe Bleier, A.:
H. 11, S. 978

Kneissl, P. J., Sridharan, N., und Spaun, S.:
Inbetriebnahme der AVA Wels
H. 9, S. 744–746

Kneissl, P. J., siehe Spaun, S.:
H. 7, S. 575–577

Knopf, E., und Nettebrock, J.:
Rauchgaskanäle als Ingenieurbauwerke
H. 8, S. 676–679

Koch, F., siehe Borst, Karin:
H. 9, S. 724–727

Koch, R., siehe Eigenmann, L.:
H. 6, S. 532

Kölle, P., siehe Jüngling, K.:
H. 3, S. 201–204

Könczöl, S., siehe Penninger, A.:
H. 7, S. 560–564

König, H., siehe Erker, M.:
H. 8, S. 630–637

Koll, H., siehe Hourfar, D.:
H. 6, S. 441/442

Korthout, A.J.C., siehe Rozendaal, C.M.:
H. 6, S. 531

Krabbe, H.J., siehe Berger, R.:
H. 4, S. 346

Krämer, E., siehe Busse, L.:
H. 10, S. 807–810

Krass, K., und Pitschak, Susanne:
Stoffliche und bautechnische Charakterisierung von Wirbelschichtaschen für den Einsatz in hydraulisch gebundenen Schichten im Straßenbau
H. 3, S. 230–235

Kremer, S.:
Concurrent Engineering in der Kraftwerkstechnik
H. 11, S. 907–911

Kremser, U., siehe Manth, T.:
H. 11, S. 975

Kristgeirsson, J., siehe Mølbak, T.:
H. 6, S. 457–460

Kristiansen, A. E., und Fogh, F.:
Kreide als Absorptionsmittel in der Entschwefelungsanlage auf SH-EV3 (Kurzfassung)
H. 11, S. 978

Krüger, F. W., Hennig, R., und Hille, M.:
Qualitätssicherung für Kernkraftwerke
H. 5, S. 363–366

Kruip, J.:
Simulatorausbildung für Kernkraftwerke – Stand und Entwicklung (Kurzfassung)
H. 9, S. 787

Krumpholz, U., siehe Lasch, M.:
H. 11, S. 978

Kübler, D., siehe Hourfar, D.:
H. 6, S. 441/442

Kurzhöfer, U., Stolte, J., und Weyand, M.:
Hochdruckschieber für sicherheitstechnische Aufgaben
H. 2, S. 120–125

Kwasny-Echterhagen, R., siehe Bartscherer-Sauer, Angela:
H. 1, S. 66–71

Lacour, D., siehe Schwarz, G.:
H. 11, S. 979

Läpple, V., Blind, D., und Deimel, P.:
Stand der Forschung zum korrosionsgestützten Rißwachstum niedriglegierter ferritischer Stähle in sauerstoffhaltigem Hochtemperaturwasser
H. 9, S. 754–761

Lai, V., siehe Husemann, R.U.:
H. 12, S. 1072–1079

Lang, A., siehe Braun, W.:
H. 4, S. 346

Lange, K. J.:
Betriebserfahrungen mit einer GuD-Anlage im Heizkraftwerk Potsdam-Süd – hängender, zusatzbefeuerter Abhitzekessel im Gleitdruckbetrieb
H. 12, S. 1022–1027

Langeneke, B., siehe Jäger, G.:
H. 1, S. 9–13

Lankes, F., siehe Bauer G.:
H. 5, S. 376–381

Lasch, M., Krumpholz, U., Eickelpasch, N., und Schohe, W.:
Biologisches Reinigungsverfahren für radioaktive Abwässer (Kurzfassung)
H. 11, S. 978

Lasthaus, D., Tigges, K.D., und Schettler, H.:
Regelung einer modernen Braunkohlenstaubfeuerung am Beispiel des 930-MW-Dampferzeugers für das Kraftwerk Lippendorf (Kurzfassung)
H. 5, S. 434

Lasthaus, D., siehe Schuster, H.:
H. 6, S. 531

Lehmann, B., siehe Necker, P.:
H. 4, S. 345

Lehmann, B., siehe Necker, P.:
H. 10, S. 832–837

Ledig, F., siehe Triebel, W.:
H. 9, S. 786

Lehmann, Eleftheria.:
Wirksame Prävention durch neues Arbeitsschutzgesetz
H. 7, S. 556–559

Leimbrock, W., siehe Tannenhauer, J.:
H. 10, S. 811–813

Leisse, A., siehe Tigges, K.D.:
H. 5, S. 401–406

Lenz, H.-H., siehe Schippers, K.:
H. 2, S. 109–113

Leuschner, J., siehe Unland, G.:
H. 5, S. 434

Levacher, R., siehe Bartsch, H.:
H. 6, S. 512–517

Liebig, E., und Svoboda, R.,:
Chemie im Wasser-Dampf-Kreislauf von kombinierten Gas-Dampfkraftwerken (Kombi-Kraftwerke) (Kurzfassung)
H. 11, S. 975,

Liersch, G., und Danisch, R.:
Der Europäische Druckwasserreaktor (EPR)
H. 3, S. 226–229

Lindeman, J., siehe Bloembergen, J.R.:
H. 4, S. 346/347

Linzer, W., siehe Ponweiser, K.:
H. 3, S. 178–180

Lipinski, B., siehe Kehr, M.:
H. 4, S. 307–314

Lipner, F., und Broscheit, G.:
Betriebserfahrungen bei der Erzeugung von Fernwärme und Strom mit einem Blockheizkraftwerk mit Gasturbinenantrieb im Stadtbezirk Berlin-Köpenick
H. 12, S. 1015–1021

Loner, Helena, Zwicky, H.-U., Gavillet, D. Ph., Schenker, E., Jourdain, P., und Magnusson, K.-Å.
Einfluß des Zinks auf die Ablagerungen auf Brennstabhüllrohren
H. 12, S. 1068–1071

Lucas, D.:
Ausarbeitung und Einführung eines Umweltschutz-Handbuches bei einem EVU – praktische Erfahrungen (Kurzfassung)
H. 4, S. 348

Luckas, M., siehe Eden, D.,
H. 6., S. 505–511

Ludwig, U., und Urbonas, L.:
Untersuchungen zur Verwertung mitteldeutscher Flugaschen aus braunkohlebefeuerten Kraftwerken zur Herstellung von Baustoffen
H. 2, S. 150–155

Lüder, K., siehe Menke, Doris:
H. 4, S. 347

Madlsperger, G., siehe Guttenbrunner, M.:
H. 5, S. 434

Magnusson, K.-Å., siehe Loner, Helena:
H. 12, S. 1068–1071

Maier, H., Pflug, H., und Seipp, H.-G.:
Kraftwerkschemie heute – notwendig oder überflüssig?
H. 4, S. 326–328

Maier, H., Triebel, W., Buck, P., und Waldhausen, H.:
Auswirkungen der versuchsweisen Mitverbrennung von thermisch getrocknetem Klärschlamm in einem Steinkohlekraftwerk (Kurzfassung)
H. 6, S. 533

Maier, H., siehe Ebert, K.:
H. 6, S. 532

Maier-Reiter, W., siehe Necker, P.:
H. 4, S. 345

Maier-Reiter, W., siehe Necker, P.:
H. 10, S. 832–837

Maile, K., siehe Mayer, K. H.:
H. 10, S. 848–857

Malle, Bettina, Fleischanderl, A., und Marr, R.:
Pilot-Anlage zur Rückgewinnung von HCl aus dem Rauchgas einer Müllverbrennungsanlage
H. 2, S. 126–129

Manth, T., Frenzel, J., und Kremser, U.:
Einsatz von Ultrafiltration und Umkehrosmose bei der Produktion von demineralisiertem Wasser (Kurzfassung)
H. 11, S. 975

Marr, R., siehe Malle, Bettina:
H. 2, S. 126–129

Martin, P.:
Überwachung industrieller Feuerungen (Kurzfassung)
H. 5, S. 434/435

Martynova, O.I., und Vainman, A.B.:
Einige Probleme der Sauerstoffahrweise in Anlagen mit Zwangdurchlaufkesseln
H. 8, S. 659–663

Marx, F.J., und Johänntgen, U.:
Ökologische und ökonomische Aspekte beim NO_x-mindernden Feuerungsumbau an einer Großdampferzeugeranlage (Kurzfassung)
H. 4, S. 346

Mauer, D., Hoffmann, H., und Schnegg, U.:
Schwermetallentfernung bei der Rauchgaswäsche von Verbrennungsanlagen mit Lewatit-Selektiv-Ionenaustauschern TP 207 und TP 214 (Kurzfassung)
H. 11, S. 978

Mayer, K.-H., siehe Erker, M.:
H. 8, S. 630–637

Mayer, K.-H., Berger, Christina, Gerdes, C., Kern, T., und Maile, K.:
Einfluß von Fehlstellen auf die Gebrauchseigenschaften von Wellen und Gehäusen der Dampfturbinen
H. 10, S. 848–857

Maughan, E., siehe Seipp, H.-G.:
H. 11, S. 974

Mauritz, O., siehe Zelkowski, J.:
H. 5, S. 433

Meerkerk, A., siehe Rozendaal, C. M.:
H. 6, S. 531

Meierer, M., siehe Harmgart, Sigrid:
H. 1, S. 48–52

Meierer, M., Papajewski, K., Schepp, P., und Wurz, D.:
Unerwartete Korrosionserscheinungen an rauchgasberührten Teilen eines Wärmeverschiebesystems in einer Rauchgasentschwefelungsanlage
H. 5, S. 413–421

Meierer, M., Blöchl, H., und Eimer, N.:
Betriebliche Bewährung einer neuartigen Verfahrenskombination zur Aufbereitung ammoniakhaltiger Kraftwerksabwässer (Kurzfassung)
H. 11, S. 976

Meisl, J., siehe Eigenmann, L.:
H. 6, S. 532

Melzer, B., siehe Bergmann, L.:
H. 3, S. 193–196

Melzer, B., siehe Zabelt, K.,
H. 11, S. 962–965

Menke, Doris, und Lüder, K.:
Durchführung und Umsetzung des Öko-Audits in der Müllverwertungsanlage Borsigstraße (Kurzfassung)
H. 4, S. 347

Mertin, D., siehe Holl, M.:
H. 3, S. 174–177

Meyer, H., siehe Müsch, H.:
H. 10, S. 858–866

Meyer, N.:
Aus- und Weiterbildung des Betriebspersonals in der chemischen Industrie (Kurzfassung)
H. 9, S. 787

Meyer, W.:
Emissionsfaktoren bei der energetischen Nutzung von Abfällen
H. 11, S. 936–939

Meyrahn, H., Päffgen, H.-P., Reich-Walber, M., und Greif, H.-G.:
Verwertung von rheinischen Braunkohlenflugaschen
H. 1, S. 61–65

Michels, B.:
Revision der Dampfturbine im Gemeinschaftskraftwerk Kiel, kombiniert mit dem Austausch der HD-Teilturbinenbeschaufelung
H. 9, S. 713–718

Miskiewicz, K., siehe Bartscherer-Sauer, Angela:
H. 1, S. 66–71

Mølbak, T., Hammer, L., und Kristgeirsson, J.:
Einführung der Fuzzy-Control-Technik in der dänischen Kraftwirtschaft
H. 6, S. 457–460

Möllmann, H.-W.:
Selbstregelnde Kreiselpumpen, Typ V-AN
H. 5, S. 372–375

Moravi, G.:
Umweltschutz durch Öko-Audit im Kraftwerk (Kurzfassung)
H. 4, S. 347

Mory, A., und Tauschitz, J.:
Mitverbrennung von Biomasse in Kohlekraftwerken (Kurzfassung)
H. 6, S. 533

Müller, H., siehe Heitmüller, R.J.:
H. 6, S. 532

Müller, S., siehe Schwarz, G.:
H. 11, S. 979

Müsch, H., Meyer, H., Remmert, H., und Schlüter, N.:
Erprobung von Austenit-Ferrit-Verbindungen der Werkstoffe X 3 CrNiMoN 17 13 (1.4910) und X 10 CrMoVNb 9 1 (1.4903) für den Einsatz in modernen Hochtemperaturkraftwerken
H. 10, S. 858–866

Mützenich, G.:
Moderne und kostengünstige Rauchgasreinigungsanlage im Spannungsfeld von Genehmigung, Betrieb und „gerichtsfester Organisation" am Beispiel der MKVA Krefeld (Kurzfassung)
H. 4, S. 348

Narz, T.:
Informations-System überwachungsbedürftige Stoffe – ISUS (Kurzfassung)
H. 4, S. 347

Necker, P., Lehmann, B., Barton-Bieg, Margit, Dröscher, F., und Maier-Reiter, W.:
Umweltmonitoring in der Umgebung des Kraftwerkes Altbach/Deizisau
H. 10, S. 832–837

Neger, D., und Spiegel, H.:
Die thermische Abfallverwertung – Energiewirtschaftliche Relevanz und Beitrag zur Luftreinhaltung –
H. 6, S. 481–485

Nell, L.R., siehe Friend, J.F.C.:
H. 4, S. 348

Nettebrock, J., siehe Knopf, E.:
H. 8, S. 676–679

Neumann, J., und Kautz, H. R.:
Auswertung der internationalen Literatur zur Hochtemperaturkorrosion in Kohle- und Müllkraftwerken
H. 4, S. 329–334

Neumann, G.:
Aufbau- und Ablauforganisation des Umweltmanagementsystems im Verbund (Kurzfassung)
H. 4, S. 348

Neumann, F., siehe Hannes, K.:
H. 5, S. 393–400

Neubauer, H.:
Entwicklung der Emissionsmeßtechnik am Beispiel der Gemeinschafts-Müll-Verbrennungsanlage Niederrhein GmbH
H. 6, S. 494–504

Nieder, D., und Wolter, D.:
Einführung der Zink-Dosierung im Kraftwerk Biblis, Block B (Kurzfassung)
H. 11, S. 977

Niesbach, J., siehe Heitmüller, R.J.:
H. 6, S. 531

Nonnenmacher, A., und Stützle, R.:
Reduzierung der HCl-Emissionen eines steinkohlebefeuerten Wirbelschichtkessels durch Additivzugabe (Kurzfassung)
H. 4, S. 346

Nopitsch, K., Bauer, H., Schindhelm, F., Wiening, K. H., und Stemmer, F. J.:
Kontinuierliche Messung der ^{10}Bor-Konzentration in DWR-Kreisläufen (Kurzfassung)
H. 11, S. 977

Nowi, A., und Haller, B. R.:
Wirkungsgradentwicklung bei Dampfturbinen
H. 7, S. 551–555

Oeynhausen, H., siehe Simon, V.:
H. 9, S. 719–723

Oleas, J.:
Einfluß der Marktentwicklung auf zukünftige Kraftwerkskonzeptionen in Europa
H. 1, S. 1–3

Oswald, J.:
Ein lohnender Aufwand – Erfahrungen aus einer Umweltbetriebsprüfung in einem Kernkraftwerk (Kurzfassung)
H. 4, S. 347

Otto, K.-W., siehe Jäger, G.:
H. 1, S. 9–13

Otto, J., siehe Wamser, J.:
H. 1, S. 18–22

Owedyk, K., siehe Husemann, R.U.:
H. 12, S. 1072–1079

Päffgen, H.-P., siehe Meyrahn, H.:
H. 1, S. 61–65

Papajewski, K., siehe Meierer, M.:
H. 5, S. 413–421

Pauliny, Ingeborg, siehe Steiner, Th.:
H. 8, S. 664–666

Penninger, A., Könczöl, S., und Wolff, V.:
Rechnergestützte Diagnoseverfahren für industrielle Dampferzeuger
H. 7., S. 560–564

Pertsikov, I., siehe Vaisburd, S.:
H. 6, S. 532–533

Peter, R., Böse, D., und Iffarth, K.:
Betriebserfahrungen an Ventilatormühlen bei stark schwankenden Heizwerten und erhöhten thermischen Belastungen (Kurzfassung)
H. 5, S. 434

Peters, K., siehe Bartscherer-Sauer, Angela:
H. 1, S. 66–71

Peters, K., siehe Baumhoff, V.:
H. 2, S. 114–115

Peters, K., siehe Hahn, B.:
H. 3, S. 214–220

Peters, Th., Borchardt, H.-P., Bohlinger, W., Fichte, W., und Rullik, W.:
Entfernung von Ölverschmutzungen aus geschlossenen, weitverzweigten Zwischenkühlwasserkreisläufen bei laufendem Betrieb (Kurzfassung)
H. 11, S. 979

Petersen, K., siehe Jäger, G.:
H. 1, S. 9–13

Petzel, H.-K., siehe Tigges, K. D.:
H. 5, S. 401–406

Pfeffer, S., siehe Guttenbrunner, M.:
H. 5, S. 434

Pflug, H., siehe Bettenworth, H.:
H. 3, S. 208–213

Pflug, H., siehe Seipp, H.-G.:
H. 11, S. 953–961

Pflug, H., siehe Seipp, H.-G.:
H. 11, S. 974

Pflug, H., siehe Hein, M.:
H. 11, S. 976

Pflug, H., siehe Maier, H.:
H. 4, S. 326–328

Pieper, B., siehe Seipp, H.-G.:
H. 11, S. 953–961

Piper, Kristina, siehe Kahl, D.:
H. 2, S. 143–149

Pitschak, Susanne, siehe Krass, K.:
H. 3, S. 230–235

Platt, D.I., siehe Conlin, J.B.:
H. 10, S. 838–840

Ponweiser, K., Linzer, W., und Josifi, Y.:
Stabilitätsbetrachtungen an einem Dampferzeuger mit einem Zwei-Trommel-Bündel
H. 3, S. 178–180

Potthast, E., siehe Bartsch, H.:
H. 6, S. 512–517

Pracht, M., siehe Hannes, K.:
H. 5, S. 393–400

Puch, K.-H., und vom Berg, W.:
Nebenprodukte aus kohlebefeuerten Kraftwerken
H. 7, S. 604–610

Puls, R., siehe Sticher, W.:
H. 6, S. 531

Quadakkers, W. J., siehe Thiele, M.:
H. 2, S. 135–140

Quigley, D. F., siehe Bursik, L.:
H. 11, S. 974

Raffelsberger, N., siehe Aumüller, A.:
H. 6, S. 443–447

Rapp, K., siehe Schöngrundner, W.:
H. 11, S. 975

Rasmussen, I., Hundebøl, I., und Høgh Sørensen, L.:
Das ELSAM-Kohle- und Biomasse-ZWSF-Kraftwerksprojekt
H. 6, S. 465–469

Rau, P.:
Betriebserfahrungen und Maßnahmen zur Schadensvermeidung an REA-Gebläseschaufeln aus dem Nickel-Basis-Werkstoff G-NiCr 20 Mo 15
H. 1, S. 35–38

Raum, D., und Rüdiger, E.:
Stillegung von Kernkraftwerken
H. 7 , S. 597–603

Reh, L., siehe Geier, R.:
H. 5, S. 433

Reh, L., siehe Wang, Y.:
H. 6, S. 532

Reichel, H.-H.:
Korrosionserscheinungen in Industrie- und Heizkraftwerken
H. 11, S. 920–927

Reich-Walber, M., siehe Meyrahn, H.:
H. 1, S. 61–65

Reich-Walber, M., siehe Felgener, G.W.:
H. 11, S. 979

Reiter, W., siehe Chwieralski, J.:
H. 4, S. 346

Remmert, H., siehe Müsch, H.:
H. 10, S. 858–866

Reuter, A., siehe Zabelt, K.,
H. 11, S. 962–965

Richter, R.:
Hochverschleißfeste Stellventile
H. 6, S. 476–480

Riedl, R.:
Aktive Oxidation an Wärmetauscherrohren eines Biomassefernheizwerkes
H. 7, S. 591–596

Ring, M., siehe Bendick, W.:
H. 5, S. 407–412

Röckl, A., und Hein, D.:
Wärmeübertragung und Schadstoffbildung bei der Variation betrieblicher und konstruktiver Brennerparameter (Kurzfassung)
H. 6, S. 533

Roßmaier, W., siehe Dechant, K.-E.:
H. 8, S. 623–629

Rozendaal, C.M., Korthout, A.J.C., und Meerkerk, A.:
Coal Blending and the Performance of the Low-NO_x Pulverized Coal-Fired Unit Amer 9 in the Netherlands (Kurzfassung)
H. 6, S. 531

Rüdiger, E., siehe Raum, D.:
H. 7, S. 597–603

Rühle,W., siehe Bolz, M.:
H. 11, S. 977

Rühle, W., Enkler, G., und Bolz, M.:
Einsatz von Membranverfahren zum Li-Entzug und zur Borsäurekontrolle im Primärkreislauf von DWR-Anlagen (Kurzfassung)
H. 11., S. 977

Rullik, W., siehe Peters, Th.:
H. 11, S. 979

Ruotsalainen, J.:
Neues Turbinendiagnose- und -analysensystem auf Laserbasis
H. 12, 1036–1039

Samman, A., siehe Hensel, W.:
H. 1, S. 26–28

Schaack, W., Hösel, W., und Brackmann, M.:
Modelluntersuchung zur strömungstechnischen Optimierung von DENOX-Anlagen in Kraftwerken
H. 7, S. 578–584

Schäfers, W., Schuhmacher, W., und Zwahr, H.:
Die Müllverwertungsanlage Rugenberger Damm in Hamburg
H. 9, S. 738–743

Schaffernak, B., siehe Cerjak, H.,
H. 9, S. 762–769

Schallert, B., und Geissler, K.-P.:
Kraftwerk Schkopau – Umkehrosmoseanlage, erste Betriebsergebnisse (Kurzfassung)
H. 11, S. 979

Scheffknecht, G., siehe Semedard, J.-C.:
H. 12, 1028–1035

Schettler, H., siehe Lasthaus, D.:
H. 5, S. 434

Schellenberger, I., siehe Frank, J.:
H. 6, S. 486–493

Schenk, K., Höxtermann, E., und Hartwig, J.:
Betrieb von Turbinen mit schwerentflammbaren Flüssigkeiten auch im Schmiersystem
H. 6, S. 448–452

Schenker, E., siehe Loner, Helena:
H. 12, S. 1068–1071

Schepp, P., siehe Meierer, M.:
H. 5, S. 413–421

Schettler, H., siehe Schuster, H.:
H. 6, S. 531

Schiffer, A., siehe Bökenbrink, D.:
H. 1, S. 29-34

Schildhauer, P., und Hölemann, H.:
Schwelbrände in Abfallagern von Müllheizkraftwerken
H. 12, S. 1053–1056

Schilling, H.-D.:
Globale Sicherheitspartnerschaft bei der Kernenergie – Eine Zwischenbilanz
H. 2, S. 77–90

Schilling, H.-D.:
Ökologische Potentiale der Energieversorgung zukünftiger Generationen
H. 11, S. 897–906

Schindhelm, F., siehe Nopitsch, K.:
H. 11, S. 977

Schippers, K., und Lenz, H.-H.:
Umbau des Naturzug-Naßkühlturms eines 300-MW-Blockes im Kraftwerk Weisweiler zur Wirkungsgradverbesserung
H. 2, S. 109–113

Schlaffke, W.:
Entwicklungstendenzen der beruflichen Weiterbildung (Kurzfassung)
H. 9, S. 786

Schlegel, G.:
Die KRAFTWERKSSCHULE E. V. – Gemeinschaftliche Ausbildungsstätte der Kraftwerksbetreiber – (Kurzfassung)
H. 9, S. 787

Schlessing, J.:
Ermittlung von Betriebsparametern zur Dampferzeugung in Kohlekraftwerken
H. 9, S. 731–737

Schleßing, J.:
Erfahrungen und kostengünstige Vorschläge für den optimalen Einsatz der Heizoberflächenreinigung (Kurzfassung)
H. 5, S. 435

Schleßing, J.:
Ermittlung von Betriebsparametern für den Einsatz von Importkohlen (Kohlequalitätsschlüssel) (Kurzfassung)
H. 5, S. 433

Schleßing, J., siehe Schröder, H.C.:
H. 5, S. 434

Schliephacke, J.:
Juristische Aspekte beim Einsatz von Eigen- und Fremdpersonal
H. 10, S. 814–816

Schlüter, N., siehe Müsch, H.:
H. 10, S. 858–866

Schlusnus, P.:
Die Verantwortlichkeit des Gerüsterstellers und des Nutzers von Gerüsten am Beispiel eines Gerüsteinsturzes
H. 11, S. 932–935

Schmitt, A.:
Ausbildung des Betriebspersonals bei der EdF Electricité de France (Kurzfassung)
H. 9, S. 787

Schmittecker, B. M., Henke, K.-P., und Bergmann, R.:
Kühlwasserbehandlung mit Ozon – Betriebserfahrungen aus dem Großkraftwerk – (Kurzfassung)
H. 11, S. 976/977

Schmidt, W., und Dietl., G.:
Technische Großversuche zur Mitverbrennung von Biomasse in einem Braunkohlekraftwerk (Kurzfassung)
H. 6, S. 533

Schmitz, F., siehe Czech, N.:
H. 3, S. 221–225

Schnabel, F., siehe Franke, J.:
H. 2, S. 104–108

Schnegg, U., siehe Mauer, D.:
H. 11, S. 978

Schönert, K., siehe Werner, V.:
H. 5, S. 433

Schöngrundner, W., Rapp, K., und Aldrian, G.:
Sperrwasserprobleme bei Gleitringdichtungssystemen durch eisenhydroxidbildende Bakterien (Kurzfassung)
H. 11, S. 975

Schönrok, M., und Hein, M.:
Sieben Jahre Betriebserfahrung mit High-dust-DENOX-Anlagen hinter Schmelzkammerfeuerungen – Auswirkungen auf nachgeschaltete Anlagen (Kurzfassung)
H. 4, S. 346

Schönrok, M., siehe Simon, E.:
H. 8, S. 643–649

Schohe, W., siehe Lasch, M.:
H. 11, S. 978

Schrickel, J., Wolf, T.P., Dröscher, F., und Fleischhauer, M.:
UVP im Genehmigungsverfahren nach dem BImSchG für eine thermische Müllbehandlungsanlage (Kurzfassung)
H. 4, S. 347

Schröder, E., siehe Bökenbrink, D.:
H. 1, S. 29–34

Schröder, G., siehe Ebert, K.:
H. 6, S. 532

Schröder, H.C., und Schleßing, J.:
Sichere Feuerung unter Berücksichtigung des Umweltschutzes (Kurzfassung)
H. 5, S. 434

Schröder, H.C.:
Erfahrungen bei der Planung von Gasturbinenanlagen mit nachgeschalteten Abhitzekesseln in bezug auf die Regelwerkskonformität (Kurzfassung)
H. 5, S. 435

Schütz, M.:
Stand der Rauchgasentschwefelungstechnik
H. 11, S. 943–945

Schuhmacher, W., siehe Schäfers, W.:
H. 9, S. 738–743

Schulz, A., siehe Bieda, U.:
H. 9, S. 728–730

Schuster, F.A., Buberl, A., Hanus, R., und Cerjak, H.:
Erfahrungsbericht über die Herstellung von Turbinen- und Ventilgehäusen aus den neuen 9%-Cr-Stahlgußsorten
H. 7, S. 585–590

Schuster, H., Tigges, K.D., Klein, M., Lasthaus, D., und Schettler, H.:
Untersuchungen zur Auslegung der Feuerung des 930-MW-Dampferzeugers für das Kraftwerk Lippendorf (Kurzfassung)
H. 6, S. 531

Schwarz, G., Müller, S., und Lacour, D.:
Systematische Prüfung und Zustandsbewertung organischer Korrosionsschutzsysteme in Rauchgasentschwefelungsanlagen (Kurzfassung)
H. 11, S. 979

Schwarz, W., siehe Thiele, M.:
H. 2, S. 135–140

Schwickert, M., siehe Titze, B.:
H. 6, S. 518–523

Seipp, H.-G., siehe Maier, H.:
H. 4, S. 326–328

Seipp, H.-G., Pflug, H. D., Pieper, B., und Staudt, U.:
Aspekte der Neugestaltung von VGB-Richtlinien und -Merkblättern zur Kraftwerkschemie fossilbefeuerter Anlagen
H. 11, S. 953–961

Seipp, H.-G., Fahlke, J., Fichte, W., Maughan, E., und Pflug, H. D.:
Erhöhte Anforderungen an on-line-ermittelte chemische Meßwerte von Wasser-Dampf-Kreisläufen (Kurzfassung)
H. 11, S. 974

Seitz, A., siehe Chvalina, J.:
H. 4, S. 346

Semedard, J.-C., und Scheffknecht, G.:
Moderne Abhitzedampferzeuger
H. 12, 1028–1035

Siepe, M., siehe Sticher, W.:
H. 6, S. 531

Simon, E.:
Bewertung und Betriebserfahrungen beim Einsatz problematischer Importkohlen (Kurzfassung)
H. 5, S. 433

Simon, E., Schönrok, M., und Henjes, F.:
Kohlekriterien in gestaffelten Bandbreiten und deren Einflüsse auf den Dampferzeugerbetrieb
H. 8, S. 643–649

Simon, V., Oeynhausen, H., Bürkner, R., und Eich, K.-J.:
Gleichdruck? Überdruck? Variabler Druck! Eine neue Generation von Dampfturbinenbeschaufelungen für höchste Wirkungsgrade
H. 9, S. 719–723

Sontag, R., Al-Halbouni, A., und Käferstein, P.:
Einflüsse des Brennraumes auf die NO_x-Emissionen von zwei Gasbrennern (Kurzfassung)
H. 6, S. 533

Sørensen, Merete, siehe Clausen, J. Chr.:
H. 10, S. 802–806

Sparrer, J., und Steenhuis, H.:
Mehrjährige Betriebserfahrungen mit den Rauchgasreinigungsanlagen Europas größter Müllverbrennungsanlage in Rotterdam
H. 11, S. 940–942

Spaun, S., und Kneissl, P. J.:
Der Beitrag der thermischen Abfallverwertung zur Luftreinhaltung
H. 7, S. 575–577

Spaun, S., siehe Kneissl, P. J.:
H. 9, S. 744–746

Spiegel, H., siehe Neger, D.:
H. 6, S. 481–485

Spiradek, Kristine, siehe Cerjak, H.,
H. 9, S. 762–769

Spliethoff, H., und Hein, K.R.G.:
Mitverbrennung von Holz, Stroh, Kunststoff, Klärschlamm und Teeröl in Kohlenstaubfeuerungen (Kurzfassung)
H. 5, S. 433–434

Sridharan, N., siehe Kneissl, P. J.:
H. 9, S. 744–746

Stamm, W., siehe Czech, N.:
H. 3, S. 221–225

Stanton, J.W., und Ullmann, K.:
Brandschaden im Brennerbereich eines Dampferzeugers und Maßnahmen zur Minimierung von Produkteinbußen während der Ausfallzeit
H. 6, S. 453–456

Starck, C., siehe Schulte, W.:
H. 4, S. 345–346

Rauchgasreinigung mit Ammoniak (Kurzfassung)
H. 4, S. 345

Stark, K., siehe Erker, M.:
H. 8, S. 630–637

Staudt, U., siehe Seipp, H.-G.:
H. 11, S. 953–961

Steber, J., und Hater, W.:
Ökologische Beurteilung von Kühlwasserbehandlungsmitteln (Kurzfassung)
H. 11, S. 976

Steenhuis, H., siehe Sparrer, J.:
H. 11, S. 940–942

Steiner, Th., Pauliny, Ingeborg, und Kahr, G.:
Qualitätssicherung im Kraftwerkslabor
H. 8, S. 664–666

Steinhage, T., siehe Tigges, K.D.:
H. 5, S. 434

Stemmer, F. J:, siehe Nopitsch, K.:
H. 11, S. 977

Stenger, R., siehe Unland, G.:
H. 5, S. 434

Stepanek, A., siehe Torringen, H.-W.:
H. 5, S. 422–428

Sticher, W., Siepe, M., und Puls, R.:
Separate Koksofengasmitverbrennung im Kraftwerk Huckingen; Umbaumaßnahmen und Betriebsergebnisse (Kurzfassung)
H. 6, S. 531

Stolte, J., siehe Kurzhöfer, U.:
H. 2, S. 120–125

Strohhäcker, J., siehe Fichte, W.:
H. 11, S. 975

Stürenburg, H.-G., siehe Howe, G.:
H. 9, S. 787

Stützle, R., siehe Nonnenmacher, A.:
H. 4, S. 346

Stuhlmüller, F., siehe Edelmann, H.,
H. 7, S. 537–543

Sturm, A., siehe Zelkowski, J.:
H. 5, S. 433

Sturm, A., siehe Bernstein, W.:
H. 12, S. 1001–1007

Suhany, T., siehe Cousin, R.:
H. 7, S. 571–574

Svendsen, J.J., siehe Bundgaard, J.:
H. 6, S. 533

Svoboda, R., siehe Liebig, E.:
H. 11, S. 975,

Talman, J. A, siehe Geier, R.:
H. 5, S. 433

Tannenhauer, J., Leimbrock, W., und Jakubowski, A.:
Arbeitssicherheitstechnische Betrachtungen beim Rückbau von Stahlbeton-Kühltürmen am Beispiel des Kraftwerkes Hagenwerder
H. 10, S. 811–813

Tauschitz, J., Kager, W., und Voges, W.:
Restwärmeauskopplung im Dampfkraftwerk Voitsberg 3
H. 2, S. 98–103

Tauschitz, J., siehe Mory, A.:
H. 6, S. 533

Teichmann, H., siehe Thiele, M.:
H. 2, S. 135–140

Teichmann, H., siehe Adamsky, F.-J.:
H. 8, S. 667–675

Tetzlaff, G.:
Der Treibhauseffekt aus wissenschaftlicher Sicht
H. 10, S. 829–831

Thiele, M., Teichmann, H., Schwarz, W., und Quadakkers, W. J.:
Korrosionsverhalten von ferritischen und austenitischen Stählen in simulierten Rauchgasen von stein- und braunkohlebefeuerten Kraftwerken
H. 2, S. 135–140

Thielen, W., siehe Hannes, K.:
H. 5, S. 393–400

Thiemann, H., siehe Keil, U.:
H. 11, S. 979

Thierfelder, H.G., siehe Hojczyk, B.:
H. 4, S. 315–320

Tibi, B.:
Der Islam und der Westen im Zeitalter des Zivilisationskonflikts
H. 12, S. 990–994

Tigges, K.D., Leisse, A., und Petzel, H.-K.:
Betriebserfahrungen und Ergebnisse mit dem Omega-Verfahren zur Primärentstickung im Heizkraftwerk Völklingen
H. 5, S. 401–406

Tigges, K.D., siehe Lasthaus, D.:
H. 5, S. 434

Tigges, K.D., siehe Unland, G.:
H. 5, S. 434

Tigges, K.D., Bischoff, W., und Steinhage, T.:
Walzenschüsselmühlen als Komponente moderner Feuerungstechnik (Kurzfassung)
H. 5, S. 434

Tigges, K.D., siehe Schuster, H.:
H. 6, S. 531

Tippkötter, T., siehe Heitmüller, R.J.:
H. 6, S. 531

Titze, B., Harte, R., Eckstein, U., und Schwickert, M.:
Innovative Reingaseinleitung in Kühlturmneubauten
H. 6, S. 518–523

Tolksdorf, E., siehe Adamsky, F.-J.:
H. 8, S. 667–675

Torringen, H.-W., und Stepanek, A.:
Bautechnik bei Müllverbrennungsanlagen
H. 5, S. 422–428

Toussaint, D., siehe Böhm, E.:
H. 8, S. 654–656

Triebel, W., und Ledig, F.:
Kraftwerker-Ausbildung nach der staatlichen Anerkennung (Kurzfassung)
H. 9, S. 786

Triebel, W., siehe Maier, H.:
H. 6, S. 533

Ule, B., siehe Vodopivec, F.:
H. 4, S. 335–339

Ullmann, K., siehe Stanton, J.W.:
H. 6, S. 453–456

Ullrich, P., und Calvis, H.:
Kreislaufwirtschafts- und Abfallgesetz im Widerspruch zur Realität
H. 8, S. 657–658

Unland, G., Tigges, K. D., Iffarth, K., Stenger, R., und Leuschner, J.:
Entwicklung von Mahltrocknungsanlagen mit Schlagradmühlen (Kurzfassung)
H. 5, S. 434

Uttich, R., siehe Brenner, A.:
H. 1, S. 14–17

Urbonas, L., siehe Ludwig, U.:
H. 2, S. 150–155

Vainman, A.B., siehe Martynova, O.I.:
H. 8, S. 659–663

Vaisburd, S., Pertsikov, I., and Brandon, D.G.:
Coal Ash Melt Viscosity Measurements for Assessment of Deposit Location in Power Boilers
H. 6, S. 532/533

Valbert, G., siehe Kehr, M.:
H. 4, S. 307–314

Vehovar, L., siehe Vodopivec, F.:
H. 4, S. 335–339

Vodopivec, F., Vrbić, V.S., Ule, B., Zvokelj, J., und Vehovar, L.:
Untersuchung von Rissen und Brüchen an betriebsbeanspruchten Turbinenschaufeln
H. 4, S. 335–339

Voges, W., siehe Tauschitz, J.:
H. 2, S. 98–103

Vrbić, V. S., siehe Vodopivec, F.:
H. 4, S. 335–339

Wachter, O., und Ennis, P. J.:
Die Eigenschaften eines 9%-Chromstahles vom Typ 9 Cr-0,5 Mo-1,8 W-V-Nb im Hinblick auf seine Verwendung als Rohrleitungs- und Kesselbaustahl (Teil 1)
H. 9, S. 770–785

Wachter, O., siehe Zabelt, K.,
H. 11, S. 962–965

Waltl, J., und Ferchhumer, G.:
Spezifische Erfahrungen mit der flüchtigen Alkalisierung am Beispiel einer GuD-Anlage und einer Hausmüllverbrennungsanlage
H. 11, S. 946–952

Wang, Y., und Reh, L.:
Aufbereitung flüssiger Brennstoffe für schadstoffarme Vormischverbrennung in Gasturbinen (Kurzfassung)
H. 6, S. 532

Waldhausen, H., siehe Maier, H.:
H. 6, S. 533

Wamser, J., und Otto, J.:
Rechnergestütztes Prüfverfahren von Meßumformer und Druckschaltern mittels eines neu entwickelten Druckprüfwagens
H. 1, S. 18–22

Wasel-Nielen, J., und Baresel, M.:
Kühlwasserbehandlung mit Ozon in der Hoechst AG im Vergleich zu anderen mikrobiziden Verfahren
H. 2, S. 130–134

Wawrzik, U., siehe Abt, K.O.:
H. 1, S. 4–8

Weber, K.:
Rechnergestütztes System für das betriebliche Umweltmanagement (Kurzfassung)
H. 4, S. 348

Weidener, H., siehe Braun, R.:
H. 12, S. 1047–1052

Weingartner, S., siehe Brenner, A.:
H. 1, S. 14–17

Weiß, Chr., siehe Heiting, B.:
H. 12, S. 1057–1067

Werner, V., Zelkowski, J., und Schönert, K.:
Beurteilung des Mahlverhaltens von Kraftwerkskohlen durch ein neues Laborverfahren (Kurzfassung)
H. 5, S. 433

Weyand, M., siehe Kurzhöfer, U.:
H. 2, S. 120–125

Wick, W., siehe Kallmeyer, D.:
H. 4, S. 300–303

Wiening, K. H., siehe Nopitsch, K.:
H. 11, S. 977
Wilde, G.:
Weiterbildung der technischen Mitarbeiter in einem Energieversorgungsunternehmen (Kurzfassung)
H. 9, S. 787
Wilgeroth, U., siehe Blümel, W.:
H. 4, S. 346
Wintrich, F., siehe Derichs, W.:
H. 5, S. 435
Wittchow, E., siehe Franke, J.:
H. 2, S. 104–108
Wittig, S., siehe Eigenmann, L.:
H. 6, S. 532
Wolf, T.P., siehe Schrickel, J.:
H. 4, S. 347
Wolff, V., siehe Penninger, A.:
H. 7, S. 560–564
Wolter, D., siehe Nieder, D.:
H. 11, S. 977
Wöhrle, G., und Boddenberg, G.:
Brandschutz in Kernkraftwerken
H. 5, S. 367–371
Wurz, D., siehe Meierer, M.:
H. 5, S. 412–421

Zabel, P., siehe Kahl, D.:
H. 2, S. 143–149
Zabelt, K., Wachter, O., Melzer, B., und Reuter, A.:
Ergebnisse von Feldversuchen an 9%-Cr-Stählen im Kraftwerk Wilhelmshaven
H. 11, S. 962–965
Zeiler, G., siehe Cerjak, H.,
H. 9, S. 762–769
Zelkowski, J., Sturm, A., und Mauritz, O.:
Feuerungstechnische Charakterisierung von Importkohlen durch Kennzahlen (Kurzfassung)
H. 5, S. 433
Zelkowski, J., siehe Werner, V.:
H. 5, S. 433
Zerres, H., Struckmann, P., und Hannes, K.:
Berechnung der Lebensdauer von DENOX-Katalysatoren mit Hilfe eines Alterungsmodells
H. 4, S. 321–325
Zimmermann, B., siehe Gödecke, H.:
H. 6, S. 532
Zschau, M., siehe Hahn, B.:
H. 3, S. 214–220
Zschau, M., siehe Bendick, W.:
H. 5, S. 407–412
Zvokelj, J., siehe Vodopivec, F.:
H. 4, S. 335–339
Zwahr, H., siehe Schäfers, W.:
H. 9, S. 738–743
Zwicky, H.-U., siehe Loner, Helena:
H. 12, S. 1068–1071

In den 12 Heften des Jahrgangs 77 (1997) sind enthalten:

1	2	3	4	5	6
1 – 76	77 – 160	161 – 244	245 – 352	353 – 440	441 – 536
7	8	9	10	11	12
537 – 616	617 – 688	689 – 792	793 – 884	885 – 988	989 – 1088

Sachverzeichnis 1997

Abfallaufgabevorrichtungen 39

Abfallschlämme, thermische Nutzung 125, 877

Abfallverbrennung
— Anbackungen in der Sprühsorption 201
— Anlage Hamburg Rugenberger Damm 738
— Anlage Hamburg Stellinger Moor 489
— Anlage Rotterdam, NL 940
— Anlage Wels, Österreich 744
— Aschebehandlung 744
— Beitrag zur Luftreinhaltung 575
— Berechnung des energetischen Nutzens 657
— Betriebserfahrungen 39
— Betriebsmittel bei Abgasreinigung 941
— Betriebsmittelmengen 492, 741
— betriebswirtschaftliche Kenndaten 942
— Brandursachen im Bunker 1055
— Emissionen 941
— Emissionsfaktoren 936
— Emissionswerte 492, 740
— energiepolitische Rahmenbedingungen in Österreich 481
— Entstickung mit SNCR 823
— Entwicklung von Schwelbränden im Bunker 1053
— Ergebnisse Hamburg Borsigstraße 739
— Feuerfestsystem 43
— Feuerungs- und Leistungsregelung 41
— fossilbefeuerter Überhitzer 45
— frühzeitige Branderkennung im Bunker 1047
— Harnstoffeinsatz zur Entstickung 825
— HCl-Gewinnung aus der Abgasreinigung 126
— Infrarottechnik zur Branderkennung 1048
— in Hamburg, 100 Jahre 486
— in Österreich 481, 575
— Klimarelevanz 575
— konstruktive Verbesserungen 39
— Korrosionsschutz in der Feuerung 44
— Kosten der Entstickung 827
— Kreislaufwirtschafts- und Abfallgesetz 657
— Langzeitüberwachung der PCDD/F-Emissionen 571
— mechanische Verbesserungen an Feuerung und Entschlacher 40
— Nebenreaktionen und Sekundäremissionen bei der SNCR 826
— Ökobilanz 576, 654
— örtliche Luftqualität 484
— Problematik der PCDD/F-Messung 565
— Qualität von behandelter Flugasche 746
— Reinheit des erzeugten Salzes 492
— Rolle des Wirkungsgrades in der Ökobilanz 657
— Strömungsverhältnisse in der Sprüsorption 201
— Überprüfung installierter IR-Systeme zur Branderkennung im Bunker 1049
— Umweltentlastung 483
— Verbesserungen im Bereich der Abgasreinigung 46
— zusätzlicher Sattdampferzeuger 45

Abfallwirtschaft
— Energiewirtschaft, Kombination 482

Abgasreinigung hinter MVA 491

Abgaswärme-Nutzung 358–362

Abgastemperatur-Absenkung 358–362

Abhilfemaßnahmen 420

Abhitzekessel, Kombi-Kraftwerke 793, 913

Abhitzekesselanlagen hinter Gasturbinen
— Anlagebeschreibungen und Auslegungsparameter 1028
— Betriebserfahrungen bei Zusatzfeuerungen und Gleitdruckbetrieb 1022

Absperrventile, elektronische Drucküberwachung 197

Abwasser, Nitrifikation und Denitrifikation von ammoniumhaltigen Kraftwerksabwässern 208–213

Abwasserbehandlung mit selbstregelnden Pumpen 372

Adsorption von filmbildenden Aminen auf Stahloberflächen 841–847

Aerosolbildung 876

Alkalisierung des Wasser-Dampf-Kreislaufes mit flüchtigen Alkalisierungsmitteln 946–952

Ammoniak, Entfernung durch Nitrifikation und Denitrifikation 208–213

Analyse
— Qualitätssicherung im Kraftwerkslabor 664–666
— Müllverbrennung mit IR-Thermografie 875

Analysenverfahren, statistische Absicherung von Analyseverfahren, Qualitätssicherung 664–666

Anbackungen in der Sprühsorption bei Abfallverbrennungsanlagen 201

Anfahren, Kombi-Kraftwerk 793, 912

Anlagenabbau; Arbeitsschritte und Vorgehensweisen 600/601

Anstreifschäden, Dampfturbinen 544

An- und Abfahrverluste
— Begriffe 967
— Berechnung 968
— Datenerfassung, Ergebnisdarstellung 969
— Hauptursachen 966

Arbeitsschutz, Produktionsausfälle 639

Arbeitsschutzgesetz
— Allgemeine Grundsätze 557
— Einzelrichtlinien zur Rahmenrichtlinie 556
— Prävention 556
— Rahmenrichtlinie (89/391/EG) 556

Arbeitsschutzkonzept, betriebliche Kooperation 559

Arbeitssicherheit
— Lean Management 638
— Organisationsformen 638
— Prävention 639

Arbeits- und Gesundheitsschutz, Managementkonzepte 640

Asche
— Elementaranalyse 643, 731
— Hardgrove-Index 643, 731
— Schmelzverhalten 643, 731

Aschebehandlung bei Abfallverbrennungsanlagen 744

Atmosphäre, Energietransport 829

Aufbereitung von ammoniumhaltigen Abwässern durch Nitrifikation und Denitrifikation 208–213

Auftraggeber, Führungspflichten 814

Auftraggeberpflichten
— Sicherheitsüberwachung 816
— Subunternehmer 814

Auslaßverluste, Dampfturbinen 551

Ausmahlung
— Korngrößenspektrum 731
— Mahlbarkeitsbewertung 731

Ausrichtung, Dampfturbinen 544

Austenit-Ferrit-Verbindungen, E 3 CrNiMoN 17 13 und X 10 CrMoVnb 91 858–866

Austenit-Martensit-Mischverbindungen bei Heizflächenrohren 1072–1079

Baumwachstum
— Buche 747
— Fichte 747
— Tanne 747

Beitrag zur Luftreinhaltung durch Abfallverbrennungsanlagen 575

Bekohlungskonzept, Kraftwerksbekohlung 817

Berechnung des energetischen Nutzens von Abfallverbrennungsanlagen 657

Beschichtungen
— Gasturbinenschaufeln 221–225
— Material, Applikationsverfahren, Qualitätssicherung 341

Betoninstandsetzung; Kühltürme, Schornsteine, Reaktorkuppeln 340

Betonoberflächen; Beschichtungsstoffe und Untergrund 340

betriebliche Brandschutzmaßnahmen 371

Betriebserfahrugen
— Abfallverbrennung 39
— Dokumentation 971
— Kernenergie 77–90
— Kernkraftwerke 1996 248

Betriebskosten 643

Betriebsmanagementsystem, rechnergestütztes 461

Betriebsmittel bei Abgasreinigung bei Abfallverbrennungsanlagen 941

Betriebsmittelmengen bei Abfallverbrennungsanlagen 492, 741

Betriebsparameter 731

betriebswirtschaftliche Kenndaten 942

Bio-Indikatoren 832

Biomasse-Nutzung 465

Blockanlagen, An- und Abfahrverluste 966

Blockheizkraftwerke
— Gasturbinenantrieb, Betriebserfahrungen bei der Erzeugung von Strom und Fernwärme 1015
— Vergleich von Gasmotoren mit Deponiegas 927

Bodenuntersuchungen 832

Boie, Geschichte der Kraftwerkstechnik 1001–1007

Boxberg, Braunkohlenkraftwerke 370–314

Braunkohlenflugaschen
— Baumaterial 62
— Betonzusatzstoffe 147
— Bindemittelpasten und -mörtel 153
— Dreistoffdiagramm 145
— Granulometrie, Chemie und Mineralogie 150
— Herstellung von Baustoffen 150
— Klärschlammkonditionierung 65
— Konzepte zur Verwertung 143
— Kraftwerke Jänschwalde und Boxberg 145
— Land- und Forstwirtschaft 61
— REA-Wasser-Einbindung 148
— Röntgenbeugungsanalysen 152
— Tragschichtbinder 146
— Verwertung 61
— Zumahlstoff im Zement 146

Brandschaden im Brennerbereich an einem Dampferzeuger 453
Brandschutz in Kernkraftwerken 26, 367
Brandschutzkonzept in Kernkraftwerken 367
Brandschutzrichtlinien VGB-R 108 370
Brandsimulation 27
Brandursachen im Bunker bei Abfallverbrennungsanlagen 1055
Brennelemente, Einfluß von Zink auf Brennstabhüllrohre 1068–1071
Brennstoff-Luft-Stufung 731
Brennstoffzellen 309, 471, 894
Brüche und Anrisse an Dampfturbinenschaufeln 335, 544, 630
Bunkerbrände Ursachen und Brandbekämpfung 426

Camerata Nucleare, VGB-Kongreß 1997 885–893
Carnot-Prozeß 245–247
chemische Laboratorien, Qualitätssicherung im Kraftwerkslabor 664–666
Chevron-Mischbett 817
Chromstähle, Kriechbeständigkeit 762–769
Clausius, Rudolf 245–247
Clausius-Rankine-Prozeß 245–247
Containment EPR
— Auslegung 226
— GFK-Liner 226
CO_2-Diskussion 161
CO_2-Emissionen, Entwicklung 91–94
CO/O_2-Messung 731
CO_2-Minderung
— Kosteneffizienz 91–94
— Kraftwerkswirkungsgrad 91–94
— Potentiale 91–94
CO_2-Recycling 875
CO_2-Selbstverpflichtungs-Erklärung, deutsche Stromversorgung 91–94

Dampferzeuger
— Brandschaden im Brennerbereich 453
— H_2/O_2-Primärregelung 14
— materialschonende Betrieb, Anfahrsysteme und Methoden 104
— Stabilitätsbetrachtungen an Zwei-Trommel-Bündel 178
— Voraussetzungen für den Montageablauf 431
Dampferzeugergerüststützen, Nachjustierung 872
Dampfmaschine, Theorie, Grundlagen 245–247
Dampfparameter, Steinkohlekraftwerke 441
Dampfturbinen
— Anstreifschäden 544
— Auslaßverluste 551
— Diagnoesesystem Laufunruhe 1036
— 3D-Schaufeln 719
— HFD-Betriebserfahrungen 1040
— innere Ausrichtung 544
— Laufunruhe-Ursachen 1036
— Regelsysteme mit HFD 1040
— Retrofit HD-Beschaufelung 713
— Revisionsbefunde 630, 713
— Risse in Tannenbaum-Befestigungen 807
— Schaufelprofile 551, 719
— Schmiersysteme mit HFD 1040
— schwerentflammbare Flüssigkeit 448, 1040
— Werkstoffe 441
— Wirkungsgrade 551, 719
Dampfturbinengehäuse, Rißschäden 630
Dampfturbinenschaufeln, Brüche, Anrisse 335, 544, 630, 807
Dampfturbinenwellen, geschweißte 512–517
Dampfturbinenwellen und -gehäuse, Einfluß von Fehlstellen 848–857
Denitrifikation, Nitrifikation und Denitrifikation von ammoniumhaltigen Abwässern 208–213
DENOX-Anlagen
— Modelluntersuchung 578
— Reaktorberechnung 321
— Rußbläser 48
— strömungstechnische Optimierung 578
DENOX-Katalysatoren
— Alterungsmodell 321
— Austausch 48
— Lebensdauer 321
DENOX-Reaktor, Geschwindigkeitsnetzmessungen 578
Deregulierung, Liberalisierung der Energieversorgung 4–8
dezentrale Energieversorgung 4–8
Diagnosesystem, Laufunruhe, Dampfturbinen 1036
Diagnoseverfahren, Signalanalyse 7
Differenzsetzung, ohne Zusatzmaßnahmen erträglich 873
Dissertation zur Kraftwerkstechnik 73, 125, 528, 875, 971
Dokumentation von Betriebserfahrungen 971
Dokumentationspflichten, Gefährdungsbeurteilung 558
Doppelsitz-Stellventil 476
3D-Schaufeln, Dampfturbinen 719
Druckbehälter-Bohrkerne 972
Druckentlastung von Rohren 972
Druck-Kohlenstaubfeuerung 3, 166, 393, 537
Druckschalter, rechnergestütztes Prüfverfahren 18-22
Drucküberwachung für Sicherheitsventile 197
Druck-Vergasung 166, 875
Druck-Wirbelschichtfeuerung 3, 166
Düsenboden von Wirbelschichtfeuerungen 307
Duplex-Stähle 971

Eco-Gavo-System, Wirkungsgradsteigerung 5
EFCC-Prozeß (indirekt kohlebefeuerte Gasturbine) 537
Effizienz in der Kraftwerkstechnik, Eröffnungsrede Kraftwerke 1997 885–893
Einspritzkühler
— konstruktive Verbesserungen am Einspritzstock 191
— Wassereinspritzung 181
Elektrofilter-Abscheidung 643
elektronische Drucküberwachung für Sicherheitsventile 197
Elektrotechnik
— Geschichte 12
— 150 Jahre 12
ELSAM, Windkraftnutzung 205–207
Emailqualität für emaillierte Wärmetauscher 24
Emissionen
— Abfallverbrennungsanlagen 941
— Biomasseverbrennung 777
Emissionsdatenverarbeitung 494
Emissionsfaktoren bei Abfallverbrennungsanlagen 936
Emissionsmeßtechnik 494
Emissionsmessungen
— Betriebserfahrungen 494
— Kosten 494
— Müllverbrennungsanlage 494
— Wartungsaufwand 494
Emissionswerte bei Abfallverbrennungsanlagen 492, 740
energiepolitische Rahmenbedingungen der Abfallverbrennung in Österreich 481
Energieversorgung Ungarns 91–94
Engineering, Kraftwerkstechnik 907
Entropie
— Entdeckung 245–247
— Kombi-Prozesse 800
Entstickung mit SNCR bei Abfallverbrennungsanlagen 823
Entwässerung von Kohle 302
Entwestlichung der Welt, Zivilisationskonflikte 990–994
Entwicklung von Schwelbränden im Bunker bei Abfallverbrennungsanlagen 1053
Erdbebenauslegung EPR 226
Ergebnisse Abfallverbrennung Hamburg Borsigstraße 739
Ermüdungsfestigkeit 73, 971
Eröffnungsvortrag VGB-Kongreß „Kraftwerke 1997“ 885–893
Erosionskorrosion 922
Ertüchtigung, Kraftwerke 5
Erwärmung der Erdatmosphäre 530
EU-Sicherheitsprogramme 2
Euro-Islam, Zivilisationskonflikt 12
European Pressurized Water Reactor (EPR) — bautechnisches Konzept 226
Exergie, Entropie, Clausius 245–247

Fahrbrückenkratzer 817
Fehlstellen in Wellen und Gehäusen von Dampfturbinen 848–857
ferritische Stähle in sauerstoffhaltigem Hochtemperaturwasser 754–761
Feuerfestsystem bei Abfallverbrennungsanlagen 43
Feuerraum-Korrosion 731
Feuerungseinstellung, Tangentialfeuerung 731
Feuerungs- und Leistungsregelung bei Abfallverbrennungsanlagen 41
Filmbildner, Korrosionsinhibierung durch Amine 841–847
Flechtenbeschädigung 832
fortschrittliche Braunkohlen-Kraftwerkstechnik 300
fortschrittliche Brennstoff-Umwandlung 14, 166, 537
Forschungsprojekte im VGB-Programm 230, 505, 654, 789
Forschungsschwerpunkte 432, 676, 711, 725, 953
Fremdfirmeneinsatz, Verhaltensregeln 816
Fremdpersonaleinsatz, Führungsverantwortung 814

frühzeitige Branderkennung im Bunker bei Abfallverbrennungsanlagen 1047
Fundamentalismus, Islam 990–994
Funktionsprüfungen an Stoßbremsen 728

Gasturbinen
— Kombi-Kraftwerk 95, 793, 912
— Strömungsanalyse 972
— Warmstart 95
Gasturbinen-Brennkammern 537
Gasturbinenschaufeln, Schutzschichten 221
Gefährdungsbeurteilung, Maßnahmen des Arbeitsschutzes 558
Gefüge-Veränderungen von Duplex-Stählen 971
Gemeinschaftsarbeit, Liberalisierung 885–893
Gemeinschaftsforschung der VGB 230, 505, 789
Gerüste
— Einsturz 932
— Regelung DIN 4420 Teile 1 bis 4 932
Gerüstbauarbeiten, VBG 37, „Bauarbeiten" 934
Gerüstbenutzer, bestimmungsgemäßes Verwenden 934
Gerüsthersteller, Verantwortung 933
globale Sicherheitspartnerschaft, Bilanz 77–99
Graskultur 832
Großprojekte, Strategien der Kommunikation 142
Großwasserraumkessel
— Konstruktionsregeln im europäischen Wandel 617
Großwasserraum-/Wasserrohrkessel, verbesserte Wasserdruckprüfungen 623
Gründungsbereich, konstruktive Maßnahmen 869
Gründungskonstruktionen, Anforderungen 867
GuD-Anlagen, Alkalisierung des Wasser-Dampf-Kreislaufes 946, 952
Gußfehler an 9 %igen-Stahlgußsorten 585–590

Hängerverhalten, Degradation über die Betriebszeit 115
Harnstoffeinsatz zur Entstickung bei Abfallverbrennungsanlagen 825
Haupt-Dampferzeuger, Kombi-/Verbundblock 6
Havarieuntersuchungen
— Fehlverhalten 641
— Verursacher 641
HCI-Gewinnung aus der Abgasreinigung bei Abfallverbrennungsanlagen 126
HD-Rohrleitungssysteme
— Bewertung von Zusatzbelastungen 114
— Spannungsbewertung unter Berücksichtigung von Schrägzug 114
HFD-Betriebserfahrungen, Dampfturbinen 1040
HFD-Einsatz, Dampfturbinen 448, 1040
Heinrich-Mandel-Preis 351, 891
Heißwasseroxidation 920
Heizflachrohre, Austenit-Martensit-Mischverbindungen 1072–1079
Heizflächen emailliert, Maßnahmen zur Lebensdauerverlängerung 23
Heizkraftwerke, Korrosion 920
Hochdruckschieber für sicherheitstechnische Aufgaben 120
Hochschulforschungsinstitute 525
Hochtemperatur-Chlorid-Korrosion 923
Hochtemperatur-Gasreinigung 537, 875, 876
Hochtemperaturkorrosion X 20 CrMoV 12 1 925
Hochtemperaturwasser, ferritische Stähle in 754–761
hochverschleißfeste Stellventile 476
Hydrazin, Umstellung auf Kombi-Fahrweise 838–840
H_2/O_2-Dampferzeuger 14

IGCC 166–173
Immissionsmessungen 832
Industriekraftwerke, Korrosion 920
industrielle Dampferzeuger
— Diagnoseverfahren 560–564
— ungarische Kraftwerke 560–564
Infrarottechnik zur Branderkennung bei Abfallverbrennungsanlagen 1048
Instandhaltung, regenerativer Wärmetauscher 23
integrierte Kohle-Vergasung, Kraftwerke 166–173
islamische Zivilisation, Kulturkonflikte 12

Joint Implementation 2

Kaltbierungen
— Biegeverformung und Werkstoffeigenschaften 193–196
— Kraftwerksrohrleitungen 193–196
— Zeitstandeigenschaften 193–196
kalte Verbrennung, salzhaltige Braunkohle 12
Kanallager; Verschiebungen, Festpunktanordnung und Kompensatoren 679
Kanalwanderungen; Bemessung und Stabilitätsnachweise 678
katalytische NO_x-Minderung (DENOX) 470
Keilplattenschieber (HD) 120
Keramik-Filter 876
Kernenergie, Störfälle 77–90
Kernkraftwerke
— Brandschutzkonzept 367
— Brandschutzregelungen 368
— Einfluß von Zink auf Brennstabhüllrohre 1068–1071
— Qualitätssicherung 363
— radioaktive Emissionen 1996 248
— Verfügbarkeit 1996 248
Kernkompetenz, EVU 4–8
Kesselgerüst, Ausrichtungsmöglichkeiten 429
Kesselhäuser, Abtragung der Lasten und Konstruktion 429
KMF-Produkte, technische Richt-Konzentration (TRK) 54
Klimadiskussion 530, 538
Klimaforschung 829
Klimamodelle 829
Klimarelevanz von Abfallverbrennungsanlagen 575
Klimasystem 829
Kohlenanalyse
— Ausbrand 731
— Glühverlust 731
— Mischungen 731
Kohlecharakterisierung 875, 876
Kohle-Kombi-Kraftwerke (KKK) 166, 537, 875
Kohlenlagerplatz 817
Kohlenstaub-Druckverbrennung 393
Kohlenstaubfeuerung 643
Kombi-Fahrweise
— aperiodisch in Umlaufkesseln 838–840
— in Zwangdurchlaufkesseln 659–663
— Umstellung auf Hydrazin 838–840
Kombi-Kraftwerke
— Abhitzekessel 793, 913
— Anfahren 793, 912
— Gasturbinen 793, 912
— Kohle 166–173
Kombi-Prozesse, thermodynamische Analyse 800
Kombi-Verbundblock 343–347
kommunale Energieversorgung 4–8
Kommunikationsbereitschaft, Haltung der Betreiberunternehmen 142
Kondensatstop-Verfahren 358–362
Konditionierung von Kühlwasser mit Ozon 130–134
Konstanthänger, Lager- und Hängerreibung 115
konstruktive Verbesserungen bei Abfallverbrennung 39
Korrosion
— Industrie- und Heizkraftwerke 920
— Inhibierung durch filmbildende Amine 841–847
— REA 413
Korrosionsschutz in der Feuerung bei Abfallverbrennungsanlagen 44
Korrosionsverhalten
— austenitische Stähle in Rauchgasen 135–140
— ferritische Stähle in Rauchgasen 135–140
Kosten der Entstickung bei Abfallverbrennungsanlagen 827
Kraft-Wärme-Kopplung, Anlagenbetrieb 973
Kraftwerk Buggenum, IGCC 166–173
Kraftwerk Boxberg
— Betriebsergebnis 307–314
— Leittechnik 307–314
— Umstrukturierung und Neubau 307–314
— Umweltschutz 307–314
— Zeitplan 307–314
Kraftwerk Rostock
— Auslegungsdaten 315–320
— Grundkonzept 315–320
— Kohle-Kenndaten 315–320
— Leittechnik 315–320
Kraftwerk Schwandorf
— Betriebsparameter 358–362
— Wirkungsgradsteigerung 358–362
Kraftwerk Stellinger Moor 486
Kraftwerk Theiß 2000
— Auslegungsoptimierung 343–347
— Erzeugungskapazitäten 343–347
Kraftwerke auf Basis Hausmüll, 100 Jahre 486
Kraftwerke Grenaa und Arhus für Biomasse 465
Kraftwerkschemie, wirtschaftliche Aspekte 326–328
Kraftwerksgeschichte 1008–1014
Kraftwerkskonzepte 1–3
Kraftwerkskonzepte für Biomasse 327, 573
Kraftwerkskreisläufe, Optimierung 875, 800
Kraftwerksnebenprodukte
— Braunkohlekraftwerke 606
— Produktion und Verwendung 604

— Rauchgasentschwefelungsprodukte 607
— Steinkohlekraftwerke 604

Kraftwerksstillegungen, VEAG 995–1000

Kraftwerkstechnik, Engineering 907

Kreiselpumpen, selbstregelnd 372

Kreislaufwirtschafts- und Abfallgesetz 657

Kriechbeständigkeit
von 9- bis 12 %-Cr-Stählen 762–769

Kriechen warmfester Stähle 971

Kriechschäden,
durch Aufzehrung von Sicherheiten 114

KTA-Brandschutzregeln 367

Kühleinbauten, Austausch gegen Kunststoff-Hochleistungseinbauten 112

Kühlleistung,
Verbesserung auf Auslegungswerte 110

Kühlturm
— Asbestbelastung 813
— Leistungsmessungen,
Ergebnisse nach Umbau 113
— Rückbautechnologie 811

Kühlturmumbau, Arbeiten
unter voller hydraulischer Last 111

Kühlwasser, Behandlung mit Ozon 130–134

Kühlwasserbehandlung mit Ozon 130–134

Kulturdialog, Zivilisationskonflikt 12

VGB-Kurzbericht
— Dampferzeugeranlagen 689–712
— Entwicklung der Kraftwerkstechnik 689–712
— Kernkraftwerkstechnik 689–712
— Kraftwerkschemie 689–712
— Kraftwerksschule (KWS) 689–712
— Umweltschutz 689–712
— VGB-Forschungsstiftung 689–712
— VGB-Tätigkeiten 689–712
— VGB-Umstrukturierung 689–712

Laboratorien, Qualitätssicherung
im Kraftwerkslabor 664–666

Längs- und Kreislager 817

Langzeitüberwachung der
PCDD/F-Emissionen
bei Abfallverbrennungsanlagen 571

Laufunruhe-Ursachen, Dampfturbinen 1036

Leittechnik
— Austausch 29
— Ertüchtigung 382
— vollautomatisches An- und Abfahren 382

Lochkorrosion 413

Luvo-Beaufschlagung 643

Magyar Villamos Mürek Rt. (MVM) 304–306

Mahlanlagen 643

Marktentwicklung,
Deregulierung der Märkte 4–8

Marktstrategien
— kommunale Energieversorgung 4–8
— Wertschöpfung bei EVU 4–8

mechanisch-thermische Entwässerung 302

mechanische Verbesserung an Feuerungen und Entschlacker
bei Abfallverbrennungsanlagen 40

Megatrends, Energieversorgung 1008–1014

Membranrohrwände,
Werkstoffentwicklung 404–412

Meßumformer,
rechnergestütztes Prüfverfahren 18–22

Mikrobiologie in Kühlwasser,
Bekämpfung mit Ozon 130–134

Mindestmengen-Regelventil 476

Mineralfasern
— Gefährdungsbeurteilung
krebserzeugender Stoffe 53
— künstliche, Abschätzung des Krebsrisikos 53
— künstliche Mineral-Dämmstoffe 53

Mineralwolle, Umgang mit Dämmstoffen 55

Mittellastbetrieb, Steinkohlekraftwerk 300–303

Mitverbrennung von Biomasse
— Emission 573, 777
— Kosten 573, 777

Modernisierungskonzepte,
kommunale EVU 4–8

Müllbunker, Abmessungen, Anforderungen
und Tragswerksplanung 424, 425

Müllverbrennung, Wirtschaftlichkeit
des Anlagenbetriebs 428

Müllverbrennungsanlagen
— Alkalisierung
des Wasser-Dampf-Kreislaufes 946–952
— Grundlagen für den Entwurf
der Bauwerke 423
— Rosttemperaturen 875

Nachbetriebsphase,
Vorbereitung der Stillegung 599

Naturzug-Naßkühlturm,
Umbau zur Wirkungsgradverbesserung 109

Nebenreaktionen und Sekundäremissionen
bei der SNCR
bei Abfallverbrennungsanlagen 826

Netzmessungen bei DENOX 48

Neubaukonzepte, VEAG-Kraftwerke 995–1000

neue Bundesländer, Energieversorgung 995–1000

9%-Cr-Stähle
— Kraftwerk Wilhelmshaven 962–965
— Korrosionsverhalten in Rauchgasen 135–140

9-12%-Chromstähle, Verwendung
als Rohrleitungs- und Kesselbaustahl 770-784

ND-Endstufen, Risse in Tannenbaum-Befestigungen 807

ND-Endstufenlaufschaufeln,
Ursachen für Brüche 335

NH_3-Schlupf 48

NH_3-Schlupfüberwachung 321

NiCrMo-Stahl für'geschweiße
Dampfturbinenwellen 512–517

NID –Ein neues Trockensorptionsverfahren
nach dem Schlauchfilterprinzip 650

Nitrifikation und Denitrifikation
von ammoniumhaltigen Abwässern 208–213

NO_x-arme Wirbelbrenner 470

NO_x-Emission, Einflüsse 472

NO_x-Minderungsmaßnahmen 731

Öffentlichkeitsarbeit, Anforderungen
an die Kommunikation 141

Öl, biologisch abbaubare Schmierstoffe 56-60

Ölpflege
— Diagnosesystem zur Instandhaltung
von Hydraulik- und Schmierölsystemen 116
— Reinheitsklassen – Monitoren 119

Ölreinheitsklassen, nach Norm ISO 4406 117

Öltestgeräte, zur Ermittlung des
Feststoffgehaltes im Schmieröl 118

Ökobilanz
von Abfallverbrennungsanlagen 576, 654

Ökologie
— Anwendung von biologisch abbaubaren
Schmierstoffen 56–60
— Anwendung von Ozon zur
Kühlwasserbehandlung 130–134

ökologische Potentiale,
Energieversorgung 897–906

örtliche Luftqualität, Beeinflussung
durch Abfallverbrennung 484

Organisation des Brandschutzes 371

Organisation von KKW-Betreibern 77–90

Ozon – zur Kühlwasserbehandlung 130-134

Partnerschaften zwischen
Kernkraftwerken 77–90

Pioniere in der Kraftwerksforschung 1001–1007

Planungsfaktoren, Kraftwerke 907

Primärregelung mit H2/O2, Dampferzeuger 14

Privatisierungen
in der ungarischen Energieversorgung 91–94

Projektentwicklung, Planung der Akzeptanz 141

Problematik der PCDD/F-Messung
bei Abfallverbrennungsanlagen 565

Prüfungen an Stoßbremsen 728

Prüfschaltung für Sicherheitsventile 197

Polyaromaten-Bildung (PAH) 877

Polyglykole
— biologisch abbaubare Schmierstoffe 56–60

Pumpen, selbstregelnd 372

Pyrolyse-Prozesse, Rauchgasreingigung,
Aerosolbildung 876

Qualität von behandelter Flugasche
bei Abfallverbrennungsanlagen 746

Qualitätssicherung
— IAEA-Regelwerk für Kernkraftwerke 363
— im Kraftwerkslabor 664–666

Radialstufendüse, Stellventile 476

Rauchgas, Ableitung über Kühltürme 518

Rauchgasentschwefelungsanlagen
(REA) 413, 420

Rauchgasentschwefelungtechnik, Stand 943

Rauchgaskanäle, Betriebszustände
und Beanspruchungen 676

Rauchgas-Luvo 376–381

Rauchgastemperaturen, stationäre
und instationäre Temperaturgradienten 677

Rauchgas-Wiederaufheizung 376–381

REA
— Betriebserfahrungen RWE 1057
— Braunkohlekraftwerke 1057
— Naßverfahren 943
— Netzmessung von SO2 1057
— Rauchgaskanäle, verfahrenstechnische
Vorgaben und Werkstoffe 678
— Sprühabsorptionsverfahren 943
— Trockenverfahren 943

REA-Abwasser, Nitrifikation und
Denitrifikation von
ammoniumhaltigen Abwässern 208–213

REA-Wäscher
— Berechnung 505
— Gegenstrom-Eindüsung 505
— Gleichstrom-Eindüsung 505
— Optimierung 505

REA-Wäscher 2000 1057
Reaktorkuppeln, Sanierung mit Spritzbeton oder Beschichtung 342
rechnergestützte Diagnose, Meßwerterfassung 560–564
Referenzkraftwerke 1–3
Regelsysteme mit HED, Dampfturbinen 1040
Regelventil, Speisewasser 476
Reingasableitungen, optimierte Lösungen 518, 520
Reingasaustritte, im Zentrum innerhalb der Kühltürme 519
Reingaseinführungen, Kühlturmschalenöffnungen in Hochlage 521
Reingasrohre, auf der Schalenwandung aufgelegt 520
Reingaswärmetauscher-Gestell 413
Reinheit des erzeugten Salzes bei Abfallverbrennungsanlagen 492
Religionskonflikt, Wertekonflikt 990–994
Restwärmeauskopplung in Dampfkraftwerken Auslegungsdaten und Einflußfaktoren 98
Retrofit HD-Beschaufelung Dampfturbinen 713
Retrofitting
— Gesetzgebung 353–357
— Kernkraftwerke 353–357
— Kraftwerk Schwandorf 353–357
— technische Neuerung 353–357
Revisionsbefunde, Dampfturbinen 630, 713
Risikomanagement
— interdisziplinäre Aufgabe 641
— präventive Maßnahmen 642
— Wirkungsziele 642
Risse in Tannenbaumbefestigungen, ND-Endstufen 807
Rißschäden, Dampfturbinengehäuse 630
Rißwachstum, korrosionsgestützt 754–761
Rohrbündel, Schwingungsanregung 972
Rohrbruchschieber (HD) 120
Rohrleitungs- und Kesselbaustahl, 9 % Chromstahl 770–784
Rohrwerkstoffe, neue, für den Kraftwerksbau 407–412
Rolle des Wirkungsgrades in der Ökobilanz von Abfallverbrennungsanlagen 657
Rückführzyklone von zirkulierenden Wirbelschichtfeuerungen 875
Rugenberger Damm, Projekt Abfallverbrennung Hamburg 738
Rußbildungs-Mechanismen 877
Rußbläser bei DENOX 48

SECAD-Projekt 907
Selbstverpflichtung, freiwillige 77–90
Setzungen, Begriffsdefinitionen 867
Setzungsdifferenzen, Auswirkungen auf das Kesselgerüst 867/868
sicherer Einschluß, Einschlußzeit, Maßnahmen und Kosten 600
Sicherheitspartnerschaft bei der Kernenergie 77–90
Sicherheitsventile, elektronische Drucküberwachung 197
Sichtprüfung an Stoßbremsen 728
Siedewasserreaktor, Einfluß von Zink auf Brennstabhüllrohre 1068–1071
Signalerfassung für Sicherheitsventile 197
Siemens, Unternehmensgeschichte 1008–1014
Spannungsrißkorrosion durch Laugen 921
Speisewasserstutzen mit Thermosleeve 973
Speisewasser-Regelventil 476
Sustainable Development, ökologische Potentiale 897–906

Schäden an Turbinenschaufeln, Ursachen und Prophylaxe 724
Schadstoffrückhaltung, ökologische Potentiale 897–906
Schalendimensionierung, Einfluß der Öffnungen, der Rohrlasten und des Aufdickungspflasters 522
Schaufelanrisse, Dampfturbinenschaufeln 335, 546, 807
Schaufelbrüche, Dampfturbinenschaufeln 335
Schaufelprofile, Dampfturbinen 551, 719
Schieber (HD) für sicherheitstechnische Aufgaben 120
Schornsteinkopf, chemischer Angriff und Sanierungsverfahren 342
Schlackekühlwasser, selbstregelnde Pumpen 372
Schlackelagerung, Konstruktion und Aufbau 427
Schmierölsystem, Kontrolle der Ölreinheit 117
Schmierstoffe,
— biologisch abbaubare 56–60
Schmiersysteme mit HFD, Dampfturbinen 448, 1040
Schutzschichten, Gasturbinenschaufeln 221
schwerentflammbare Flüssigkeit, Dampfturbinen 448,1040
Schwingungen von Rohrbündeln 972
Stahlbeton-Kühlturm 811
Steinkohle
— Importkohle 643
— Ruhrkohle 643
— Saarkohle 643
Steinkohlefeuerungen 470
Steinkohlekraftwerke, Dampfparameter 441
Steuerflüssigkeit, biologische abbaubar 56–60
Stellventile, hochverschleißfest 476
Stillegung, gesetzliche Grundlagen 597
Stillegungsarbeiten, radiologische Überwachung 602
Stillegungsplanung, atomrechtliches Verfahren 598
Stillegungsstrategien, mögliche Varianten 598
Stirnböschung 817
Stoffstromsenkung, Exergie 897–906
Stoßbremsen, wiederkehrende Prüfungen 728
Strahlungsflüsse 829
Strahlungs-Wärmeübergang, Monte-Carlo-Berechnung 973
Stranded Assets 4–8
Strömung in Axialturbinen 973
Strömungsgleichrichter 578
Strömungsleitbleche 578
Strömungsverhältnisse in der Sprühsorption bei Abfallverbrennungsanlagen 201
strohbefeuerte Dampfkessel in Heizkraftwerken, Anlagen- und Betriebserfahrungen 802
Stromabsatz, VEAG 995–1000

Tagesfragen der Kraftwerkstechnik 1997 894–896
Thermodynamik, Hauptsätze 245–247
thermodynamische Analyse 800
— Analyse von EFCC-Prozessen 539
TPEG der EU 77–90
Treibhauseffekt 829
Trocknung von Rohbraunkohle 300
Tropfenabscheideroptimierung 420
Tschernobyl-Unfall 77–90
TU Dresden, Beiträge zur Kraftwerksforschung 1001–1007
Turbinengehäuse aus 9%iger-Stahlgußsorben 585–590

Überhitzer als „Rucksack“ bei Abfallverbrennungsanlagen 45
Überprüfung installierter IR-Systeme zur Branderkennung im Bunker bei Abfallverbrennungsanlagen 1049
Umlaufkessel, aperiodische Kombi-Fahrweise 838–840
Umweltentlastung durch Abfallverbrennung 483
Umweltmonitoring 832
ungarische Kraftwirtschaft
— Kraftwerkspark 304–306
— langfristiger Ausbau 91–94
— Kraftwerks-Wirkungsgrade 304–306
— technische Parameter 304–306
— Kennzahlen/Bilanzen 91–94

VEAG
— Mitarbeiterentwicklung 995–1000
— wirtschaftliche Entwicklung 995–1000
Ventilgehäuse aus 9%-Cr-Stahlgußsorten 585–590
Verbesserungen im Bereich der Abgasreinigung bei Abfallverbrennungsanlagen 46
Verbrennung vom Biomasse, Kosten 573, 777
Vergasung von Biomasse, Kosten 573, 777
Verschlackungsneigung 731
Verwertung von Verbrennungsrückständen im Straßenbau 971
vorbeugende Diagnostik, Dampfkessel 560–564
VGB-Arbeitsgebiete, Kurzberichte 689–712
VGB-Forschungsprogramm 230, 505, 707, 789
VGB-Forschungsstiftung 706
VGB-Richtlinien, Aspekte zur Neugestaltung 953–961
VGB-Tätigkeit, Kurzbericht 689

Wärmetauscher, Schäden an emaillierten Heizflächen 23
Wärmetauscher, Heizflächen, Heizblechkörbe für verbesserte Serviceleistung 25
Wärmeübertragung bei Hochtemperatur (EFCC) 537
Wärmeverschiebesystem (REA) 413
Waldwachstum 747

Waldwachstumssteigerungen
— Konseqzenzen 747
— Ursachen 747

WANO, Entwicklung 77–90

WANO, Peer Reviews 77–90

warmfeste Stähle, Kriechgleichungen 971

warmfester Werkstoff 15 NiCuMoNb 5, Betriebserfahrungen 667–675

Wasser-Dampf-Kreislauf
— Alkalisierung in GuD- und Müllverbrennungsanlagen 946–952
— Kombi-Fahrweise 659–663
— Neugestaltung von Richtlinien 953–961

Werkstoff 1.4539 413

Werkstoff 2.4605 420

Werkstoffe, Dampfturbinen 441

Wertschöpfung bei EVU 9–13

Wertschöpfungskette 9–13

Wettbewerb
— Liberalisierung 894–896
— zukünftiger 1–3

wiederkehrende Prüfungen an Stoßbremsen 728

Windenergienutzung, Dänemark 205–207

Windkraft-Kapazität, Dänemark 205–207

Windkraft-Potentiale, Dänemark 205–207

Wirbelschichttaschen
— Charakterisierung 230
— hydraulisch gebundene Schichten im Straßenbau 230
— wasserwirtschaftliche Untersuchungen 234

Wirbelschicht-Kraftwerk Arhus für Biomasse 468

Wirbelschichttechnik 73, 125, 465, 875, 876, 877

Wirbelschichttrockner für Braunkohle 300

Wirkungsgrade, Dampfturbinenschaufeln 551, 719

Wirkungsgraderhöhungen, Potentiale 897–906

Wirtschaftlichkeit
— EFCC-Prozesse 542
— NO_x^- Minderung 470

X 10 CrMoVNb 9 1
— Eigenschaften und Verarbeitung 214–220
— Einsatzerfahrungen 214–220

Zentrale Melde- und Auswertstelle für Kernkraftwerke (ZMA), Kurzbericht 689–712

Zink, Einfluß auf Brennstabhüllrohr-Ablagerungen 1068–1071

Zirkulierende Wirbelschicht, Strömungstechnik 529

Zivilisationskonflikt, Islam 990–994

ZÜ-Einspritzkühler
— Einspritzstock mit Druckzerstäubung 181
— Schadensabläufe 187

Zündwilligkeit von Kohlen 875

zusätzlicher Sattdampferzeuger bei Abfallverbrennungsanlagen 45

Zwangdurchlaufkessel
— Kombi-Fahrweise 659–663
— Schäden bei Kombi-Fahrweise 659–663

Zwischenüberhitzung
— Schaden am Einspritzkühler 181
— Thermoschockrisse hinter dem Einspritzstock 183

Zyklonabscheider in WSF 875

Persönliches 1997

Friedrich Abel gestorben
H. 11, S. 982

Tyark Allers neuer Vorsitzender
der Krupp Uhde GmbH
H. 10, S. 878

Edmond Alphandéry im Aufsichtsrat der BAG
H. 4, S. 349

Edmond Alphandéry E 7-Präsident
H. 7, S. 612

Ottomar Apelt (VKR) im Ruhestand
H. 5, S. 437

Karl-Heinz Barz neu im ABB-Vorstand
H. 10, S. 878

Josef Becker gestorben
H. 2, S. 157

Hartmut Bilger zum 2. stellv. VGB-Vorsitzenden
gewählt
H. 10, S. 878

Karl-Eberhard Borgstedt nicht mehr Vorsitzender
bei Krupp Uhde GmbH
H. 10, S. 878

Stig Borglin 70 Jahre
H. 8, S. 686

Karlheinz Bozem Vorsitzender
des EVS-Vorstandes
H. 12, S. 1083

Heribert Breidenbach im Ruhestand
H. 11, S. 981

Volpert Briel Geschäftsführer
ABB Umwelttechnik
H. 7, S. 612

Werner Brocke gestorben
H. 4, S. 349

Joachim Buxmann gestorben
H. 1, S. 73

Karel Capek gestorben
H. 3, S. 237

Jürgen Carl aus Preussag-Noell-
Geschäftsführung ausgeschieden
H. 4, S. 349

Hubertus Christ Präsident des VDI
H. 6, S. 534

Horst Dietz neuer Vorstandsvorsitzender
der deutschen ABB
H. 10, S. 878

Baptist Drückes neuer Geschäftsführer bei LLB
H. 12, S. 1083

Mohammed ElBaradei Generaldirektor der IAEA
H. 8, S. 686

Heinz-Ubbo Eilks neuer Geschäfts-
führer der REINZ-Dichtungs-GmbH
H. 1, S. 73

Bernd Eusemann erhält Robert-Meyer-Preis 1997
H. 5, S. 437

Kay Hanns Ewaldsen neu im Lurgi-Vorstand
H. 11, S. 981

Dieter Rudolf Fischer in Preussag-Noell-
Geschäftsführung
H. 4, S. 349

Peter Fritz in Preussag-Noell-Geschäftsführung
H. 4, S. 349

Willi Johannes Fuchs neuer VDI-Direktor
H. 6, S. 534

Francois Gabella ABB Buisiness Area Manager
H. 10, S. 878

Peter Gerber (VDI) tritt 1999 in den Ruhestand
H. 6, S. 534

Herbert Gienow nicht mehr Präsident
der deutschen GEC Alsthom GmbH
H. 10, S. 878

Rudolf Guck gestorben
H. 2, S. 157

Heinz Gutberlet (VKR) zum Direktor ernannt
H. 5, S. 437

Heinz Gutberlet (VKR) zum Honorarprofessor
berufen
H. 5, S. 437

Horst B. Gutmann gestorben
H. 12, S. 1083

Günther Häßler 60 Jahre
H. 12, S. 1083

Ernst Hagenmeyer 60 Jahre
H. 6, S. 534

Ernst Hagenmeyer aus EVS-Vorstand
ausgeschieden
H. 11, S. 981

Hans Peter Hehn in Preussag-Noell-Geschäfts-
führung
H. 4, S. 349

Detlef Heinz zum Professor berufen
H. 11, S. 982

Wilhelm Heitmann neuer Präsident der deutschen
GEC Alsthom GmbH
H. 10, S. 878

Ernst-Günther Hencke neuer Geschäftsführer der
VDI-GET
H. 6, S. 535

Jörg Henne neu in VGB-Vorstand gewählt
H. 10, S. 878

Knuth Henneke neuer Vice-President
Human Resources bei ABB
H. 10, S. 878

Johannes Hüning gestorben
H. 11, S. 981

Raymond Hoy gestorben
H. 3, S. 237

Adolf Hüttl erhielt Bundesverdienstkreuz
H. 8, S. 686

Rudolf Jaerschky im Ruhestand
H. 9, S. 788

Rudolf Jeschar erhielt Rudolf-Günther-Preis
H. 10, S. 878

Reinhard Kallenbach 80 Jahre
H. 9, S. 788

K.E. Klinksiek (DGMK) im Ruhestand
H. 7, S. 612

Klaus Knizia 70 Jahre
H. 6, S. 534

Jürgen Koch im Lurgi-Vorstand
H. 6, S. 534

Hermann Krämer im Ruhestand
H. 12, S. 1083

Wilfried B. Krätzig 65 Jahre
H. 11, S. 981

Stephan Krone (VKR)
in Geschäftsleitung berufen
H. 5, S. 437

Stephan Krone 60 Jahre
H. 11, S. 981

Dietmar Kuhnt 60 Jahre
H. 11, S. 981

Karl Laborenz gestorben
H. 5, S. 437

Wolfgang Leuckel 65 Jahre
H. 2, S. 157

Otto Majewski neuer
Aufsichtsratsvorsitzender bei IAW
H. 4, S. 349

Eberhard Meller neuer
VDEW-Hauptgeschäftsführer
H. 11, S. 982

Klaus K. Moll neuer Lentjes-Chef
H. 1, S. 73

Klaus K. Moll neu im Lurgi-Vorstand
H. 2, S. 157

Werner Müller aus VKR-Vorstand ausgeschieden
H. 11, S. 982

Hendrik Napp in Preussag-Noell-
Geschäftsführung
H. 4, S. 349

Heinz Penndorf
aus VGB-Vorstand ausgeschieden
H. 10, S. 878

Ernst Pickel (KWO) im Ruhestand
H. 10, S. 878

Michael Pohr
Vice-President in der ABB-Holding
H. 10, S. 878

Ulrich Potthast
zum 1. stellv. VGB-Vorsitzenden gewählt
H. 10, S. 878

Ulrich Potthast 60 Jahre
H. 11, S. 981

Raymund Rätz 65 Jahre
H. 2, S. 157

Gero von Randow
erhält Robert-Meyer-Preis 1997
H. 5, S. 437

Hans-Helmut Reichel 60 Jahre
H. 8, S. 686

Friedrich Reutner 60 Jahre
H. 5, S. 437

Klaus-Dieter Röker Vorsitzender
TÜV Hannover/Sachsen-Anhalt
H. 7, S. 612

Josef Rosmanith aus Preussag-Noell-
Geschäftsführung ausgeschieden
H. 4, S. 349

Erich Sauer wird Professor
an der Universität Essen
H. 6, S. 535

Michael Scheurlen
Heinrich-Mandel-Preisträger 1997
H. 11, S. 982

Joachim Schneider neu im ABB-Vorstand
H. 10, S. 878

Wilfried Schnell neuer Geschäftsführer bei LLB
H. 12, S. 1083

Wolfgang Schürle
Vorsitzender des EVS-Aufsichtsrates
H. 12, S. 1083

Manfred Seeger
neuer Präsident der IFIEC Europa
H. 7, S. 612

Peter Seeger in Preussag-Noell-Geschäftsführung
H. 4, S. 349

Werner Friedrich Staab
neuer Geschäftsführer bei LLB
H. 12, S. 1083

Joachim-Heinrich Stamer
im Vorstand der EBW-Transportnetze AG
H. 11, S. 982

Dieter Stegemann 65 Jahre
H. 7, S. 612

Paul Straßer 25 Jahre bei GKM
H. 4, S. 349

Wilm Tegethoff 70 Jahre
H. 4, S. 349

Gisa Teßmer Geschäftsführerin der DGMK
H. 7, S. 612

Albert Traupe 60 Jahre
H. 6, S. 534

Jürgen Warnecke nicht mehr VDI-Präsident
H. 6, S. 534

August Weckesser gestorben
H. 8, S. 686

Moritz Weig
aus VGB-Vorstand ausgeschieden
H. 10, S. 878

Klaus Weinzierl im MEAG-Vorstand
H. 9, S. 788

Michael Wenk
neuer Technischer Geschäftsführer bei KWO
H. 10, S. 878

Dietmar Werner im Ruhestand
H. 2, S. 157

Dietmar Werner
aus VGB-Vorstand ausgeschieden
H. 10, S. 878

Reinhart Winkler gestorben
H. 6, S. 535

Gerhard Wöhrle im Ruhestand
H. 11, S. 981

Buchbesprechungen 1997

Abwehr betrieblicher Störfälle
Brandschutz – Umweltschutz – Werksschutz
H. 2, S. 115
H. 4, S. 339
H. 11, S. 987

Baulicher Brandschutz im Industriebau
H. 2, S. 115

Business Deutschland Gelbe Seiten, 1997
H. 10, S. 882

DVS-Berichtsband „Reparaturschweißen, Anwendungsbeispiele aus Energietechnik und Anlagenbau"
H. 10, S. 881

Das Informationssystem der Deutschen Wirtschaft
H. 10, S. 882

EG-Umweltrecht
H. 10, S. 881

Fertig ausgearbeitete Schulungsbausteine für die laufende Ausbildung in der Freiwilligen Feuerwehr
H. 4, S. 339

Geschichte als Lesespaß
Geschichte(n) hinterm Zähler – Die Beziehung zwischen Energieversorgern und ihren Kunden
H. 10, S. 881

Handbuch der Umweltverträglichkeitsprüfung (HdUVP)
H. 10, S. 881

Handbuch des Deutschen Wasserrechts
Neues Recht des Bundes und der Länder
H. 2, S. 115

Jahrbuch Bergbau, Erdöl und Erdgas, Petrochemie, Elektrizität, Umweltschutz 1997
H. 2, S. 125

Lagerung und Transport wassergefährdender Stoffe (LTwS)
H. 1, S. 76

Mehrsprachiges „Wörterbuch" für Begriffe in der Abfallwirtschaft bei thermischen Kraftwerken
H. 9, S. 791

Physikalische Explosionen
H. 11, S. 987

Schöpferische Zerstörung = zerstörte Schöpfung?
H. 5, S. 440

Sicherheitstechnik
H. 3, S. 204

Steuern sparen mit TK Software
H. 3, S. 204

Taschenatlas der Umweltchemie
H. 5, S. 440

Umweltbegutachtung nach Öko-Audit-Verordnung (EG-VO 1836/93): Die Prüfung durch den Umweltgutachter; Hilfen für die Praxis
H. 10, S. 881

VIK-Bericht 208 „thermische Verfahren zur energetischen und stofflichen Verwertung und Entsorgung von Abfällen"
H. 4, S. 339

Zehn Jahre nach Tschernobyl – eine Bilanz
H. 1, S. 76

Jahres-inhaltsverzeichnis

VGB KraftwerksTechnik

78. Jahrgang (1998)
ISSN 0372-5715
Hefte 1 – 12

Internationale Fachzeitschrift für Technik in Kraftwerken

1998

**Organ der
VGB Technischen Vereinigung der
Großkraftwerksbetreiber e.V.**

Herausgeber

VGB Technische Vereinigung
der Großkraftwerksbetreiber e.V.

Vorsitzender:
Professor Dr.-Ing. W. Hlubek, Essen.

Geschäftsführer:
Professor Dr. rer. nat. H.-D. Schilling,
Essen.

Anschrift der Redaktion

VGB Technische Vereinigung
der Großkraftwerksbetreiber e.V.

Klinkestraße 27–31, D-45136 Essen,
Postfach 10 39 32, D-45039 Essen,

Telefon (0201) 8128-300/301,
Fax (0201) 8128-302.

Chefredaktion

Chefredakteur: Dipl.-Ing. H. Bleßmann,
Redaktionsassistentin: Rita Maria Wilke.

Redaktion

Dr. F. Bauer,
Dr.-Ing. W. vom Berg,
Dipl.-Ing. E. Höxtermann,
Professor Dr.-Ing. J. Jacobs,
Dr. rer. nat. G. Kelber,
Dr.-Ing. G. Schlegel,
Dr. rer. nat. U. Staudt,
Professor Dr.-Ing. E. Tolksdorf.

Wissenschaftlicher Redaktionsbeirat

Professor Dr.-Ing. W. Bernstein, Dresden
Professor Dr.-Ing. K. Hein, Stuttgart
Professor E. Kakaras, Athen/Griechenland
Professor Dr.-Ing. U. Renz, Aachen
Dr.-Ing. H. Scholtholt, Essen
Professor Dr.-Ing. F. Stangenberg, Bochum
Professor Dr.-Ing. H. Stetter, Stuttgart
Professor T. Torisson, Lund/Schweden
Professor Dr.-Ing. S. Wittig, Karlsruhe

Technischer Redaktionsbeirat

Dipl.-Ing. B. Dijkman, Utrecht/Niederlande
Dr. P. Haller, Paris/Frankreich
Dipl.-Ing. H. Heer, Essen
Dipl.-Ing. W. Heitmann, Paris/Frankreich
Dr. rer. nat. D. Kallmeyer, Essen
Dr.-Ing. E.h. Dipl.-Ing. R. Mäule, Stuttgart
Dr.-Ing. P. Necker, Esslingen
Dipl.-Ing. M. P. Olesen,
Kalundborg/Dänemark
Dr.-Ing. D.-J. Wahl, Gelsenkirchen-Buer
Dr. rer. nat. W. Zaiss, Neckarwestheim

Vertrieb und Anzeigenverwaltung

VGB-KRAFTWERKSTECHNIK GmbH
Klinkestraße 27–31, D-45136 Essen,
Postfach 10 39 32, D-45039 Essen,

Telefon:
Anzeigen (0201) 8128-212/213,
Vertrieb (0201) 8128-200,
Abonnement (0201) 8128-217,
Fax (0201) 8128-329.

Anzeigen- und Vertriebsleiter: R. Rätz,
Anzeigentarif Nr. 34 vom 1. Januar 1998.

Erscheinungsweise

Monatlich; außerdem erscheint eine
englische Fassung dieses Heftes unter
dem Titel: „VGB PowerTech".

Übersicht

Verfasserverzeichnis ..... Seite 4

Sachverezeichnis ..... Seite 10

Persönliches ..... Seite 17

Buchbesprechungen ..... Seite 19

A

ABE-Bericht:
Betriebserfahrungen
mit Kernkraftwerken 1997
H. 5, S. 29–84

Adams, J., und Flicke, H.–P.:
Der ideale Kraftwerkspark – Entwicklung eines Rechenmodells
H. 6, S. 27–33

Albert, F.W.:
Fuzzy logic und ihre Anwendung in Müllheizkraftwerken – Erfolge mit einer Regelung auf der Basis „fuzzy control"
H. 12, S. 66–72

Angleys, Mechthild, und Gehrke, B.:
Entwicklung der modernen ALSTOM-Schüsselmühle
H. 9, S. 80–87

Appenzeller, G., siehe Schulze, J.K.:
H. 4, S. 109–114

Aspden, J.D., und Conlin, J.B.:
Leistungsmanagement der Kraftwerkschemie
H. 10, S. 180–184

Asplund, St.:
Planung, Errichtung und Betrieb von Großdieselmotor-Kraftwerken am Beispiel einer Schwerölanlage mit innovativer Abgasreinigung und effizienter Wärmenutzung
H. 3, S. 54–56

B

Bakker, A., siehe Köster, W.:
H. 10, S. 127–132

Barth, E., siehe Spiegel, W.:
H. 10, S. 154–163

Barth, E., und Heinz, H.:
Primärmaßnahmen zur Reduzierung von Korrosionen und Verschmutzungen durch geregelte Zugabe von Rauchgasadditiven bei der AVA GmbH in Augsburg
H. 11, S. 101–103

Baur, Th., siehe Plepla, K.-H.:
H. 5, S. 97–101

Becker, B., und Simon, G.:
Betriebserfahrungen
mit der V94.3A-Gasturbine
H. 9, S. 60–62

Beising, R., siehe Käser, M.:
H. 6, S. 94–98

Beker, M., siehe Toebes, T.:
H. 7, S. 24–30

Bendick, W., siehe Mayer, K.H.:
H. 1, S. 27–32

Benesch, W.A., Klein, M., und Sackermann, R.:
Kesselneubau in extrem kurzer Zeit im Kraftwerk Lünen
H. 6, S. 34–40

Benesch, W.A., siehe Kern, J.:
H. 5, S. 85–89

Benesch, W.A., und Farwick, H.:
Aktuelle Feuerungskonzepte bei der STEAG
H. 12, S. 55–59

Berger, R., und Krabbe, H.J.:
Simulation der Schwermetallemissionen eines Steinkohlekraftwerks – Auswirkungen einer Feuerraumrückführung von REA-Schlamm
H. 9, S. 100–106

Bergmann, M., und Blume, H.:
Maschinenfundamente in Verbundbauweise
H. 4, S. 100–107

Bernstein, W.:
Einfluß der Gastemperaturen vor der Turbine auf Lebensdauer und Schadstoffemission – Untersuchungen an Originalmaschinen zur Bauteillebensdauer und zur Emissionsminderung durch Vormischbetrieb und Wassereinspritzung
H. 10, S. 104–110

Billhardt, S., Finn, H.-W., und Fritzsche, J.:
Kostencontrolling und Kostenprognose in der Instandhaltung
H. 10, S. 111–116

Bischoff, W., siehe Tigges, K.–D.:
H. 11, S. 77–88

Blaser, B., Jakab, R., und Perotto, C.:
Wasserstoffeinspeiseversuche in Kernkraftwerken – Teil 2: Kernkraftwerk Mühleberg
H. 1, S. 87–90

Blaser, W., Brul, J., und Kaufmann, W.:
Wasserstoffeinspeiseversuche in Kernkraftwerken – Teil 1: Kernkraftwerk Leibstadt
H. 1, S. 82–86

Bloembergen, J.R., und Lindeman, J.:
Umweltverträglichkeitsprüfung (UVP) und Änderung im Scoping-Verfahren bei niederländischen Kraftwerken
H. 9, S. 96–98

Blomeier, K., und Kettner, H.:
Ertüchtigung einer Dampfturbine im Kraftwerk Knepper
H. 4, S. 50–54

Blume, H., siehe Bergmann, M.:
H. 4, S. 100–107

Böhm, R.:
Keimbelastungen im Bereich von Abfallbehandlungsanlagen
H. 4, S. 62–66

Bohn, D., Gier, J., und Ziemann, M.:
Einfluß der Überströmgehäusegeometrie auf den Strömungsausgleich bei Turbinen mit Teilbeaufschlagung
H. 2, S. 62–68

Bonau, H.W.:
High-dust-Wabenkatalysatoren für hohe Staubbelastungen
H. 4, S. 96–98

Böse, D., siehe Peter, R.:
H. 10, S. 146–153

Boxma, C.J., siehe Noteboom, J.W.:
H. 6, S. 61–67

Braekler, K.U., und Seifert, W.:
Die neue GuD-Anlage im Sekundärrohstoff-Verwertungszentrum Schwarze Pumpe
H. 9, S. 35–37

Brand, B.:
Erfahrungen aus Abnahmeversuchen an Müllbunker-Überwachungssystemen mittels Infrarot-Kamera
H. 1, S. 64–70

Brandon, D.G., siehe Vaisburd, S.:
H. 8, S. 70–73

Braun, W., und Lang, A.:
Einsatz numerischer Strömungsmechanik zur Auslegung und Optimierung von Rauchgasreinigungsanlagen
H. 6, S. 87–93

Brüggemann, H., Scheffknecht, G., Marx, F.J., und Koch, G.:
Erste Betriebserfahrungen nach Umbau der Feuerung des Kraftwerks Bexbach I
H. 12, S. 61–65

Brul, J., siehe Blaser, W.:
H. 1, S. 82–86

Bursik, A., siehe Bursik, L.:
H. 12, S. 73–77

Bursik, L., Quigley, D.F., und Bursik, A.:
Probenahme im Wasser-Dampf-Kreislauf – neuere Verfahren und vollautomatische Probenahmesysteme
H. 12, S. 73–77

C

Cayrol, R.:
Medien und Demokratie
H. 12, S. 38–41

Chvalina, J., Seitz, A., und von der Heide, B.:
Langjährige Erfahrungen mit nichtkatalytischer Entstickung in kohlebefeuerten Kesseln in der Tschechischen Republik
H. 3, S. 79–85

Chwieralski, J., Heil, J., und Reiter, W.:
Nachrüstung des 100-MW-Steinkohlekraftwerkes Dettingen mit einer Trocken-REA
H. 4, S. 79–84

Clemensen, H., und Hartmann, Th.:
Erfahrungen mit kostengünstigen Maßnahmen zur Reduktion der CO_2-Emissionen in Dänemark
H. 7, S. 64–67

Cmejrek, P., siehe Kern, J.:
H. 5, S. 85–89

Conlin, J.B., siehe Friend, J.F.C.:
H. 9, S. 92–95

Conlin, J.B., siehe Aspden, J.D.:
Leistungsmanagement der Kraftwerkschemie
H. 10, S. 180–184

Cura, H.:
Die Entwicklung der Stromerzeugung durch Energieversorgungsunternehmen und Industrie in Westeuropa
H. 1, S. 33–40

D

Dahlhaus. R., siehe Scholz, U.:
H. 9, S. 88–91

David, P.†:
Bildung von Biofilmen in Kohle
H. 6, S. 99–102

Dietmann, H., und Issler, St.:
Zur Bestimmung von Dehnungserhöhungsfaktoren
H. 9, S. 116–124

Distler, K., und Ipatov, P.:
Sicherheitspartnerschaft zwischen den Kernkraftwerken Balakovo und Biblis – Vom Erfahrungsaustausch im Rahmen der WANO zu technischen Unterstützungsprojekten
H. 1, S. 38–43

Dittmar, H.:
Fünf Jahre Partnerschaft
zwischen den Kernkraftwerken in Deutschland
und den GUS-/MOE-Staaten
H. 2, S. 35–37

Drexler, J., siehe Krüger, J.:
H. 11, S. 90–100

Dröscher, F., siehe Schrickel, J.:
H. 3, S. 86–99

E

Edelburg, J., siehe Zgorzelski, P.:
H. 2, S. 53–61

Elstner, I., siehe Mulch, St.:
Korrosionsvorgänge an feuerfesten Werkstoffen
in kommunalen Müllverbrennungsanlagen
H. 3, S. 70–74

Engelhard, G., Habip, L.M., Pellkofer, D., Schmidt, J., und Weber, J.:
Optimierung der Schweißeigenspannungen an
austenitischen Rohrverbindungen – Erprobung
und numerische Simulation von Schweiß- und
Nachbehandlungsverfahren
H. 2, S. 103–108

Ennis, P.J., und Wachter, O.:
Die Eigenschaften des 9%-Chromstahles vom
Typ 9 Cr-0,5 Mo-1,8 W-V-Nb im Hinblick
auf seine Verwendung als Rohrleitungs-
und Kesselbaustahl – Teil 2: Gefüge und mecha-
nische Eigenschaften von Schweißverbindungen
H. 1, S. 95–106

Ermel, G., und Kolodziej, H.:
Leittechnik Schwarze Pumpe – Eine Bilder-
sprache von der Projektierung bis
zum Beobachten und Bedienen
H. 8, S. 57–62

Ermel, G., und Kolodziej, H.:
Erste Betriebserfahrungen nach Umbau
der Feuerung des Kraftwerkes Bexbach I
H. 12, S. 26–34

F

Fahlke, J., siehe Seipp, H.-G.:
H. 11, S. 115–121

Farwick, H., siehe Benesch, W.A.:
H. 12, S. 55–59

Fichte, W., siehe Seipp, H.-G.:
H. 11, S. 115–121

Finn, H.-W., siehe Billhardt, S. :
H. 10, S. 111–116

Fleischhauer, M., siehe Schrickel, J.:
H. 3, S. 86–99

Flicke, H.-P., siehe Adams, J.:
H. 6, S. 27–33

Friend, J.F.C., Nell, L.R., Goosen, A.J. und Conlin, J.B.:
Bewertung der Wasserwirtschaft
in den Kohlekraftwerken der ESKOM
aus Sicht des Umweltschutzes
H. 9, S. 92–95

Fritzsche, J., siehe Billhardt, S.:
H. 10, S. 111–116

G

Gade, U., und Schettler, H.:
Einbeziehung von Forschungsergebnissen in
die Projektierung von 900-MW-Braunkohle-
kraftwerken anhand ausgewählter Beispiele
H. 12, S. 42–48

Ganz, O., siehe Pflug, H.D.:
H. 4, S. 85–93

Gebert, H., Roser, G., und Markmann, D.:
Betriebserfahrungen mit dem Kombi-Kraftwerk
HKW Mitte, Berlin
H. 7, S. 31–36

Gehrke, B., siehe Angleys, Mechthild:
H. 9, S. 80–87

Geipel, H., siehe Lübbert, E.:
H. 11, S. 27–44

Gerodez, P., Löser, H.G., und Meixner, B.:
Verstellbare Verdichter-Vorleitreihe
und EV-Brennkammer – Erfahrungen,
Durchführung und Ergebnisse
eines Gasturbinen-Retrofit-Projektes
H. 11, S. 53–59

Gibbesch, B., Schütz, M., und Müller, St.:
Einsatz von PP/GFK-Verbundkonstruktionen
in suspensionsführenden Rohrleitungen
einer Rauchgasreinigungsanlage
H. 6, S. 103–111

Gicquel, R., siehe Leide, B.:
H. 8, S. 44–50

Gier, J., siehe Bohn, D.:
H. 2, S. 62–68

Gierend, Chr.:
Fuzzy Control in Kraftwerken – Potentiale und
Anwendungsmöglichkeiten
H. 5, S. 118–125

Gies, H., siehe Krug, Marion:
H. 3, S. 115–123

Girod, W.:
Gestaltungskriterien für eine innovative Instand-
haltung im Kraftwerksbetrieb
H. 9, S. 65–70

Gladisch, M., siehe Nehring, J.:
H. 5, S. 107–111

Gockner, L., siehe Minychthaler, G.:
H. 5, S. 102–106

Gödecke, H., und Zimmermann, B.:
Feuerungsumbau an einem 500-MW-Erd-
gasblock zur NO_x-Minderung auf 100 mg/m³
H. 11, S. 104–107

Göllner, F.G., und Jäger, K.:
Pro & Kontra
H. 9, S. 71

Goosen, A.J., siehe Friend, J.F.C.:
H. 9, S. 92–95

Goser, K., siehe Otte, R.:
H. 7, S. 52–57

Gowdy, D., siehe Ullmann, K.:
H. 3, S. 36–42

Grimm, D., siehe Mulch, St.:
H. 3, S. 70–74

Groll, M., siehe Schneider, G.:
H. 9, S. 108–111

Guderian, J., siehe Seifert, U.:
H. 2, S. 77–80

Guttenbrunner, M., Madlsperger, G., Pfeffer, S., und Steiner, H.:
Umrüstung der Braunkohle-Kraftwerke
der Oberösterreichischen Kraftwerke AG
auf Steinkohle
H. 6, S. 81–86

H

Habip, L.M., siehe Engelhard, G.:
H. 2, S. 103–108

Haffner, B., siehe Noll, B.:
H. 2, S. 90–96

Hahn, B., Weber, J., und Weber, H.:
Analyse des Betriebsverhaltens von
Austenit-Ferrit-Schweißverbindungen
im Temperaturbereich oberhalb 550 °C
H. 3, S. 108–114

Hannes, J., Renz, U., und van den Bleek, C.M.:
Mathematische Modellierung von zirku-
lierenden Wirbelschichtfeuerungen
industriellen Maßstabs
H. 2, S. 69–76

Hartmann, Th., siehe Clemensen, H.:
H. 7, S. 64–67

Heckenberger, M., siehe Käser, M.:
H. 6, S. 94–98

Heil, J., siehe Chwieralski, J.:
H. 4, S. 79–84

Hein, M., siehe Pflug, H.D.:
H. 4, S. 85–93

Hein, M., siehe Schönrok, M.:
H. 7, S. 85–88

Heinz, H., siehe Barth, E.:
H. 11, S. 101–103

Heitmüller, R.J., Tippkötter, T., und Niesbach, J.:
Umrüstung einer Braunkohlefeuerung
auf NO_x-arme Rundstrahlbrenner
im Kraftwerk Niederaußem
H. 12, S. 49–54

Henkel, A., siehe Pflug, H.D.:
H. 4, S. 85–93

Herrmann, J., siehe Merkel, M.:
H. 1, S. 45–47

Hesselmann, W., und Kätzmer, D.:
Qualitätsmanagement bei EVU – Aufgaben und
Strategien
H. 3, S. 33–35

Hicken, E.F., siehe Schaffrath, A.:
H. 5, S. 90–96

Hlubek, W.:
Tagesfragen der Kraftwerkstechnik
H. 12, S. 35–37

Hönings, N., Kindermann, G., und Troche, A.:
Das Gasturbinenprojekt Obernburg – Konzept,
Contracting-Modell, Realisierung und
Betriebserfahrungen
H. 7, S. 37–43

Horak, O., siehe Soja, G.:
H. 3, S. 75–78

Hoven, M., siehe Voigt, E.:
H. 1, S. 41–44

Husemann, R.-U., siehe Mayer, K.H.:
H. 1, S. 27–32

I

Iffarth, K., siehe Peter, R.:
H. 10, S. 146–153

Iffarth, K., siehe Unland, G.:
H. 6, S. 76–80

Inselmann, S., siehe Smitshuysen, E.:
H. 7, S. 89–94

Ipatov, P., siehe Distler, K.:
H. 1, S. 38–43

Issler, St., siehe Dietmann, H.:
H. 9, S. 116–124

J

Jacobs, P., siehe Vuong. H.:
H. 4, S. 32–36

Jaegers, H., siehe Schaffrath, A.:
H. 5, S. 90–96

Jäger, K., siehe Göllner, F.G.:
H. 9, S. 71

Jakab, R., siehe Blaser, B.:
H. 1, S. 87–90

Jansen, A.E., siehe Klaassen, R.:
H. 8, S. 96–98

Janto, M., siehe Otte, R.:
H. 5, S. 112–117

Jeske, H.-O., Walter, P., und Pape, M.:
Ein modulares, standardisiertes Kraftwerkskonzept auf der Basis von Dampf- und Gasturbinen
H. 6, S. 49–54

Johänntgen, U., siehe Marx, F.J.:
H. 5, S. 127–131

Johänntgen, U.:
Kühlwasserseitige Bypass-Schaltung an Kondensationsanlagen – Ein Beitrag zur exergetischen Optimierung von Dampfkraftwerken
H. 3, S. 57–64

Johänntgen, U.:
Verbesserung der Ableitverhältnisse beim Anfahren eines Kraftwerkes mit Kühlturmableitung
H. 8, S. 92–95

Jonas, K., und Mehlhose, L.:
Der Umbau des Kraftwerkes VEO Eisenhüttenstadt zu einem Kombi-Kraftwerk für die industrielle und öffentliche Energieversorgung
H. 8, S. 34–39

K

Kahlert, J., Kirsch, R., und Mischok, E.:
Erfahrungen bei der Inbetriebnahme eines Betriebsführungssystems auf der Basis SAP R/3 und PRODAS
H. 11, S. 60–64

Karweina, D.:
Kraftwerk Schkopau – Leittechnik, Erfahrungsbericht über neue Konzepte der Prozeßführung und Visualisierung
H. 7, S. 44–51

Käser, M., Heckenberger, M., und Beising, R.:
Effiziente Umweltschutzüberwachung und -beratung mit Hilfe eines betrieblichen Umweltinformationssystems bei der Energie-Versorgung Schwaben AG
H. 6, S. 94–98

Kasper, K.J.:
Der europäische Druckwasserreaktor EPR
H. 2, S. 29–34

Kätzmer, D., siehe Hesselmann, W.:
H. 3, S. 33–35

Kauer, G.:
Heißdampfkühlung durch Wassereinspritzung in wärmetechnischen Anlagen
H. 9, S. 50–59

Kaufmann, W., siehe Blaser, W.:
H. 1, S. 82–86

Kellerer, A., und Spangenberg, Chr.:
Betriebserfahrungen mit einer Cheng-Cycle-Anlage – Konzept und technische Besonderheiten des Cheng Cycles, Betriebserfahrungen
H. 11, S. 46–52

Keppel, W., siehe Lübbert, E.:
H. 11, S. 27–44

Kern, J., Benesch, W.A., und Cmejrek, P.:
Optimierte Fahrweise von Wärmekraftwerken mit SR4
H. 5, S. 85–89

Kern, T., siehe Mayer, K.H.:
H. 1, S. 27–32

Kettner, H., siehe Blomeier, K.:
H. 4, S. 50–54

Kindermann, G., siehe Hönings, N.:
H. 7, S. 37–43

Kinne, H., siehe Mulch, St.:
H. 3, S. 70–74

Kirsch, R., siehe Kahlert, J.:
H. 11, S. 60–64

Klaassen, R., und Jansen, A.E.:
Rauchgasentschwefelung durch Membran-Gasabsorption
H. 8, S. 96–98

Klaus, P., siehe Tenner, J.:
H. 4, S. 43–49

Kleffner, W.:
Saure Emissionen aus konventionellen Kraftwerken (Teil 1) – dargestellt am Beispiel eines schweröl befeuerten Kraftwerksblockes mit Rauchgasreinigungsanlagen (RRA)
H. 1, S. 75–81

Kleffner, W.:
Saure Emissionen aus konventionellen Kraftwerken (Teil 2) – dargestellt am Beispiel eines schweröl befeuerten Kraftwerksblockes mit Rauchgasreinigungsanlagen (RRA)
H. 2, S. 84–89

Klein, K.E.:
Maßnahmen zur Minderung der Dioxin-/Furanemissionen in der Rauchgasreinigung der Abfallverbrennungsanlage Stuttgart mit zum Teil unerwarteten Ergebnissen
H. 4, S. 67–73

Klein, M., siehe Benesch, W.A.:
H. 6, S. 34–40

Klein, M., siehe Schuster, H.:
H. 7, S. 58–63

Klevtsov, I., siehe Tallermo, H.:
H. 8, S. 105–111

Koch, G., siehe Brüggemann, H.:
H. 12, S. 61–65

Koerdt, R., siehe Silbermann, G.:
H. 8, S. 29–33

Kolodziej, H., siehe Ermel, G.:
H. 8, S. 57–62

Köneke, D., siehe Wolzenburg, T.:
H. 1, S. 55–63

Korthout, A.J.C., siehe Rozendaal, C.M.:
H. 4, S. 55–61

Köster, W., und Bakker, A.:
Die Errichtung von zwei Großraumsilos zur Lagerung von 100000 m^3 Steinkohle
H. 10, S. 127–132

Krug, Marion, Neuroth. M., Miskiewicz, K., und Gies, H.:
Einsatz von Kraftwerksnebenprodukten in hydraulisch erhärtenden Immobilisierungssystemen
H. 3, S. 115–123

Krüger, J., und Drexler, J.:
Korrosionen an Membranwänden im Feuerraum durch thermisch-mechanische Beanspruchung der Feuerfestauskleidung in den Linien 1 bis 3 des MKW Schwandorf
H. 11, S. 90–100

Kuhn, G., siehe Merkel, M.:
H. 1, S. 45–47

Kulenovic, R., siehe Schneider, G.:
H. 9, S. 108–111

L

Lams, J.-L., siehe Vuong, H.:
H. 4, S. 32–36

Lang, A., siehe Braun, W.:
H. 6, S. 87–93

Lasthaus, D., siehe Schuster, H.:
H. 7, S. 58–63

Leide, B., und Gicquel, R.:
Systemverbesserungen eines Zweidruck-Abhitzedampferzeugers
H. 8, S. 44–50

Lemke, D., siehe Sparmann, A.:
H. 11, S. 108–114

Leuschner, J., siehe Unland, G.:
H. 6, S. 76–80

Leushacke, D.F., siehe Rittscher, D.:
H. 3, S. 43–48

Liebig, E., und Svoboda, R.:
Chemie im Wasser-Dampf-Kreislauf von kombinierten Gas-/Dampfkraftwerken (Kombi-Kraftwerke)
H. 12, S. 78–83

Liebmann, V., siehe Sparmann, A.:
H. 11, S. 108–114

Lindeman, J., siehe Bloembergen, J.R.:
H. 9, S. 96–98

Löser, H.G., siehe Gerodez, P.:
H. 11, S. 53–59

Lübbert, E., Wittig, S., Geipel, H., Keppel, W., und Weyer, H.-B.:
Forschung für die Kraftwerkstechnik 1998
H. 11, S. 27–44

Lucas, D.:
Ausarbeitung und Einführung eines Umweltschutz-Handbuches bei einem EVU – Praktische Erfahrungen
H. 8, S. 99–104

Lutat, A., siehe Pflug, H.D.:
H. 3, S. 100–107

M

Mader, O.:
Heavy-duty- oder aeroderivative Gasturbinen? Eine Gegenüberstellung
H. 6, S. 42–48

Madlsperger, G., siehe Guttenbrunner, M.:
H. 6, S. 81–86

Maier, H., siehe Schneider, G.:
H. 9, S. 108–111

Maile, K., siehe Roos, E.:
H. 11, S. 122–130

Markmann, D., siehe Gebert, H.:
H. 7, S. 31–36

Martel, Christine, und Rentz, O.:
Analyse der Schwermetallstoffströme in Steinkohlefeuerungen
– Teil 1: Kohleklassifizierung
Ergebnisse des VGB-Forschungsprojektes 162
H. 9, S. 72–79

Martel, Christine, und Rentz, O.:
Analyse der Schwermetallstoffströme in Steinkohlefeuerungen
– Teil 2: Einfluß der Kohleart und des Lastzustandes
Ergebnisse des VGB-Forschungsprojektes 162
H. 10, S. 134–140

Marx, F.J., siehe Brüggemann, H.:
H. 12, S. 61–65

Marx, F.J., und Johänntgen, U.:
Ökologische und ökonomische Aspekte beim NO_x-mindernden Feuerungsumbau an einer Großdampferzeugeranlage
H. 5, S. 127–131

Maughan E., siehe Seipp, H.-G.:
H. 11, S. 115–121

Mauritz, O., siehe Zelkowski, J.:
H. 10, S. 141–145

Mayer, K.H., Bendick, W., Husemann, R.-U., Kern, T., und Scarlin, R.B.:
Neue Werkstoffe zur Verbesserung des Wirkungsgrades von fossilbefeuerten Dampfkraftwerken
H. 1, S. 27–32

Medding, F.:
Verwendung von glasfaserverstärkten Kunststoffen (GFK) im Schornsteinbau
H. 7, S. 95–101

Meerkerk, A., siehe Rozendaal, C.M.:
H. 4, S. 55–61

Mehlhose, L., siehe Jonas, K.:
H. 8, S. 34–39

Meixner, B., siehe Gerodez, P.:
H. 11, S. 53–59

Melzer, B., siehe Seliger, P.:
H. 1, S. 91–94

Menke, Doris:
Durchführung und Umsetzung des Öko-Audits in der Müllverwertungsanlage Borsigstraße 1
H. 7, S. 68–79

Merkel, M., Kuhn, G., und Herrmann, J.:
Eine thermoelastische Analyse eines Turbinengehäuses mittels Randelementmethode
H. 1, S. 45–47

Merklein, Th.:
Optimale Feuerführung bei wechselnden Brennstoffen mittels Verbrennungsdiagnose
H. 8, S. 63–67

Meyer, R., siehe Rittscher, D.:
H. 3, S. 43–48

Minychthaler, G., und Gockner, L.:
Der Betrieb der Kraft-Wärme-Kopplung in den Kraftwerken von WIENSTROM
H. 5, S. 102–106

Mischok, E., siehe Kahlert, J.:
H. 11, S. 60–64

Miskiewicz, K., siehe Krug, Marion:
H. 3, S. 115–123

Moravi, G.:
Umweltschutz durch Öko-Audit im Kraftwerk
H. 7, S. 80–84

Mulch, St., Elstner, I., Grimm, D., und Kinne, H.:
Korrosionsvorgänge an feuerfesten Werkstoffen in kommunalen Müllverbrennungsanlagen
H. 3, S. 70–74

Müller, H., und Warnken, L.:
Betriebsbegleitende Nachweisführung der Störfallfestigkeit von Komponenten der Elektro- und Leittechnik
H. 8, S. 51–56

Müller, St., siehe Gibbesch, B.:
H. 6, S. 103–111

N

Nehring, J., van Well, D., und Gladisch, M.:
Elektronische Drucküberwachung zur Steuerung von Armaturen mit sicherheitsrelevanter Aufgabenstellung entsprechend TRD 421 und AD-Merkblatt A2DESY-3
H. 5, S. 107–111

Nell, L.R., siehe Friend, J.F.C.:
H. 9, S. 92–95

Neumann, G.:
Aufbau- und Ablauforganisation des Umweltmanagementsystems im Verbund
H. 10, S. 164–166

Neuroth, M., siehe Krug, Marion:
H. 3, S. 115–123

Niesbach, J., siehe Heitmüller, R.J.:
H. 12, S. 49–54

Noll, B., Wurz, D., Haffner, B., und Schepp, P.:
Modelluntersuchungen von Rauchgaswäschern
H. 2, S. 90–96

Nonnenmacher, A., und Stützle, R.:
Reduzierung der HCl-Emissionen eines steinkohlebefeuerten Wirbelschichtkessels durch Additivzugabe
H. 4, S. 74–78

Noteboom, J.W., und Boxma, C.J.:
Inspektion von Rotorkappen im eingebauten Zustand
H. 6, S. 61–67

O

Öhler, S.:
Ausschreibungskriterien speziell für Industrie- und Heizkraftwerke
H. 3, S. 49–53

Otte, R., und Goser, K.:
Selbstorganisierende neuronale Karten zur multivariaten Prozeßanalyse
H. 7, S. 52–57

Otte, R., und Janto, M.:
Dynamische neuronale Referenzmodelle zur Prozeßüberwachung
H. 5, S. 112–117

P

Pape, M., siehe Jeske, H.-O.:
H. 6, S. 49–54

Pellkofer, D., siehe Engelhard, G.:
H. 2, S. 103–108

Perotto, C., siehe Blaser, B.:
H. 1, S. 87–90

Pertsikov, I., siehe Vaisburd, S.:
H. 8, S. 70–73

Peter, R., Böse, D., und Iffarth, K.:
Betriebserfahrungen an Ventilatormühlen bei stark schwankenden Heizwerten und erhöhten thermischen Belastungen
H. 10, S. 146–153

Pfeffer, S., siehe Guttenbrunner, M.:
H. 6, S. 81–86

Pflug, H., siehe Seipp, H.-G.:
H. 11, S. 115–121

Pflug, H.D., Hein, M., Henkel, A., und Ganz, O.:
Entfernung von Ammoniak aus Abwasser von Rauchgasreinigungsanlagen mittels Dampfstrippung und sukzessiver Alkalisierung
H. 4, S. 85–93

Pflug, H.D., Lutat, A., und Schönfelder, T.:
Automatische analytische Überwachung von Wasser-Dampf-Kreisläufen
H. 3, S. 100–107

Plepla, K.-H., Schwab, W., und Baur, Th.:
Erste Betriebserfahrungen mit den Dampfturbinen der neuen Heizkraftwerksanlagen Gera-Nord
H. 5, S. 97–101

Potthast, U.:
Kraftwerk Schkopau – Planung, Bau und erste Betriebserfahrungen
H. 1, S. 21–26

Prasser, H.-M., siehe Schaffrath, A.:
H. 5, S. 90–96

Q

Quigley, D.F., siehe Bursik, L.:
H. 12, S. 73–77

R

Rapp, K., siehe Schöngrundner, W.:
H. 2, S. 97–102

Reiter, W., siehe Chwieralski, J.:
H. 4, S. 79–84

Rentz, O., siehe Martel, Christine:
H. 10, S. 134–140

Rentz, O., siehe Martel, Christine:
H. 9, S. 72–79

Renz, U., siehe Hannes, J.:
H. 2, S. 69–76

Richter, R., und Willert, A.:
Die Strömungsgeometrie im Ventil und deren Einfluß als Konstantdrossel bei der Auslegung einer neuen Stellventilbaureihe
H. 3, S. 65–69

Rittscher, D., Leushacke, D.F., und Meyer, R.:
Stillegung und Abbau des Kernkraftwerkes Greifswald
H. 3, S. 43–48

Roos, E., und Maile, K.:
Integrität von Kraftwerksbauteilen – Forschungsarbeiten von Professor Karl Kußmaul an der MPA Stuttgart
H. 11, S. 122–130

Roser, G., siehe Gebert, H.:
H. 7, S. 31–36

Roser, G., siehe Scholz, U.:
H. 9, S. 88–91

Rozendaal, C.M., Korthout, A.J.C., und Meerkerk, A.:
Einfluß von Kohlemischungen auf die Leistung der NO_x-armen Kohlenstaubfeuerung des Blockes 9 im Kraftwerk Amer in den Niederlanden
H. 4, S. 55–61

Rückert, H., siehe Scholten, V.:
H. 4, S. 37–42

S

Sackermann, R., siehe Benesch, W.A.:
H. 6, S. 34–40

Scarlin, R.B., siehe Mayer, K.H.:
H. 1, S. 27–32

Schaffrath, A., Hicken, E.F., Jaegers, H., und Prasser, H.-M.:
Experimentelle Ergebnisse mit der NOKO-Versuchsanlage
H. 5, S. 90–96

Scheffknecht, G., siehe Brüggemann, H.:
H. 12, S. 61–65

Schepp, P., siehe Noll, B.:
H. 2, S. 90–96

Scherzer, St.:
GuD-Anlagen für kommunale und industrielle Energieversorgung
Teil 1: Planungsüberlegungen
H. 8, S. 40–43

Schettler, H., siehe Gade, U.:
H. 12, S. 42–48

Schettler, H., siehe Schuster, H.:
H. 7, S. 58–63

Schilling, H.-D., und Mitarbeiter:
Kurzbericht über die Tätigkeit der VGB im Jahre 1997/1998
H. 10, S. 77–103

Schimana, D.:
Risiken von Industrie- und Heizkraftwerken während der Errichtungs- und Betriebsphase und deren Absicherung
H. 2, S. 44–52

Schlessing, J.:
Die Anwendung von erprobten Betriebsparametern und Kennzahlen auf den Einsatz von schwer zu verbrennenden Kohlen in trockenentaschten Dampferzeugern
H. 8, S. 74–91

Schmidt, J., siehe Engelhard, G.:
H. 2, S. 103–108

Schneider, G., Kulenovic, R., Groll, M., und Maier, H.:
Entwicklung eines Grobstaub-Partikelemissionsmeßgerätes und erste Betriebserfahrungen
H. 9, S. 108–111

Scholten, V., und Rückert, H.:
Erfahrungen bei Errichtung und Inbetriebsetzung von Braunkohleblöcken der 800-MW-Klasse
H. 4, S. 37–42

Scholz, U., Dahlhaus, R., und Roser, G.:
Akustische Bearbeitung eines Kraftwerksprojektes
H. 9, S. 88–91

Schönfelder, T., siehe Pflug, H.D.:
H. 3, S. 100–107

Schöngrundner, W., und Rapp, K.:
Aufbau des Qualitätssicherungssystems und Akkreditierung des chemischen Prüflabors der Österreichischen Draukraftwerke AG
H. 2, S. 97–102

Schönrok, M., und Hein, M.:
Sieben Jahre Betriebserfahrung mit High-dust-DENOX-Anlagen hinter Schmelzkammerfeuerungen – Auswirkungen auf nachgeschaltete Anlagen
H. 7, S. 85–88

Schrickel, J., Wolf, T.P., Dröscher, F., und Fleischhauer, M.:
Umweltverträglichkeitsprüfung im Genehmigungsverfahren nach dem Bundes-Immissionsschutzgesetz für eine thermische Müllbehandlungsanlage
H. 3, S. 86–99

Schröder, H.Chr.:
Prinzipielle Überlegungen zur Bewertung und Überprüfung von älteren Kraftwerksanlagen
H. 9, S. 38–47

Schulte, W., und Starck, C.:
Rauchgasreinigung mit Ammoniak
H. 1, S. 71–74

Schulze, E., und Tenner, J.:
H. 4, S. 43–49

Schulze, J.K., und Appenzeller, G.:
Wirtschaftliche Konzepte der Flugascheaufbereitung und -homogenisierung
H. 4, S. 109–114

Schuster, H., Klein, M., Lasthaus, D., Schettler, H., und Tigges, K.-D.:
Untersuchungen zur Auslegung der Feuerung der 930-MW-Dampferzeuger für das Kraftwerk Lippendorf
H. 7, S. 58–63

Schütz, M., siehe Gibbesch, B.:
H. 6, S. 103–111

Schwab, W., siehe Plepla, K.-H.:
H. 5, S. 97–101

Seifert, U., Guderian, J., und Wagner, Christina:
Schadensanalytik und Sicherheitsempfehlungen zu Aktivkoks-Adsorbern für die Rauchgas-Endreinigung
H. 2, S. 77–80

Seifert, W., siehe Braekler, K.U.:
H. 9, S. 35–37

Seipp, H.-G., Fahlke, J., Fichte, W., Maughan E., und Pflug, H.:
Erhöhte Anforderungen an on-line ermittelte chemische Meßwerte von Wasser-Dampf-Kreisläufen
H. 11, S. 115–121

Seitz, A., siehe Chvalina, J.:
H. 3, S. 79–85

Seliger, P., und Melzer, B.:
Neue Ergebnisse zum Kriech- und Zeitstandverhalten des warmfesten Rohrstahles 15 CrMoV 5-10
H. 1, S. 91–94

Silbermann, G., und Koerdt, R.:
Strom und Wasser für das Leben in der Wüste. Das Kraftwerk Al Taweelah in Abu Dhabi
H. 8, S. 29–33

Simon, E.:
Bewertung und Betriebserfahrungen beim Einsatz problematischer Importkohlen
H. 6, S. 68–75

Simon, G., siehe Becker, B.:
H. 9, S. 60–62

Sindelár, R.:
Adaptive Blockregelkonzepte MODAN- und MODAKOND-a
H. 1, S. 48–54

Smitshuysen, E., Weber, Th., und Inselmann, S.:
Die Verwendung radioaktiver Natriumhydroxid-Isotope zur Feststellung von Zirkulationsproblemen in Wasser-/Dampfsystemen
H. 7, S. 89–94

Soja, G., und Horak, O.:
Umweltkontrolle durch Bio-Indikation in der Umgebung der Müllverbrennungsanlage Flötzersteig (Wien)
H. 3, S. 75–78

Spangenberg, Chr., siehe Kellerer, A.:
H. 11, S. 46–52

Sparmann, A., Liebmann, V., und Lemke, D.:
Erste Betriebserfahrungen mit dem REA-Naßwaschverfahren und der Gipsverwertung im VEAG-Kraftwerk Jänschwalde
H. 11, S. 108–114

Spiegel, W., Barth, E., und Wagner, H.:
Schadensprozesse an Feuerfestauskleidungen in Müllverbrennungsanlagen – Vorsorge durch periodische Kontrolle
H. 10, S. 154–163

Starck, C., siehe Schulte, W.:
H. 1, S. 71–74

Steiner, H., siehe Guttenbrunner, M.:
H. 6, S. 81–86

Steinhage, T., siehe Tigges, K.-D.:
H. 11, S. 77–88

Stenger, R., siehe Unland, G.:
H. 6, S. 76–80

Sturm, A., siehe Zelkowski, J.:
H. 10, S. 141–145

Stützle, R., siehe Nonnenmacher, A.:
H. 4, S. 74–78

Svoboda, R., siehe Liebig, E.:
H. 12, S. 78–83

T

Tallermo, H., und Klevtsov, I.:
Hochtemperaturkorrosion der Stähle 12Ch1MF, 13 CrMo 4 4 und 10 CrMo 9 10 im SF-Kessel bei der Temperatur des Metalls bis zu 540 °C
H. 8, S. 105–111

Tenner, J., Klaus, P., und Schulze, E.:
Erfahrungen bei der Erstellung und dem Einsatz eines Datenvalidierungsmodells zur Prozeßüberwachung und -optimierung im Kernkraftwerk Isar 2
H. 4, S. 43–49

Tigges, K.-D., Bischoff, W., und Steinhage, T.:
Walzenschüsselmühlen als Komponenten moderner Feuerungstechnik
H. 11, S. 77–88

Tigges, K.-D., siehe Schuster, H.:
H. 7, S. 58–63

Tigges, K.-D., siehe Unland, G.:
H. 6, S. 76–80

Tippkötter , T., siehe Heitmüller R.J.:
H. 12, S. 49–54

Toebes, T., und Beker, M.:
Fremddampfeinkopplung und Prozeßdampfauskopplung in der GUD-Anlage Moerdijk/Niederlande
H. 7, S. 24–30

Troche, A., siehe Hönings, N.:
H. 7, S. 37–43

U

Ullmann, K., und Gowdy, D.:
Maßnahmen in den USA zur Senkung der Investitions- und Betriebskosten bei der Stromerzeugung
H. 3, S. 36–42

Unland, G., Tigges, K.-D., Iffarth, K., Stenger, R., und Leuschner, J.:
Entwicklung von Mahltrocknungsanlagen mit Schlagradmühlen
H. 6, S. 76–80

V

Vaisburd, S., Pertsikov, I., und Brandon, D.G.:
Messungen der Viskosität von Kohlenaschen zur Bestimmung der Position von Ablagerungen in Kraftwerkskesseln
H. 8, S. 70–73

van den Bleek, C.M., siehe Hannes, J.:
H. 2, S. 69–76

van Well, D., siehe Nehring, J.:
H. 5, S. 107–111

VGB: Der VGB–Kongreß „Kraftwerke 1998"
H. 12, S. 61–65

Voigt, E., Hoven, M., Winkler, J., und Weiher, R.:
Umbaumaßnahmen an einem Abhitzekessel in einer Papierfabrik in Eilenburg
H. 1, S. 41–44

von der Heide, B., siehe Chvalina, J.:
H. 3, S. 79–85

Vuong, H., Lams, J.–L., und Jacobs, P.:
Wärmebilanz für Kraftwerke
H. 4, S. 32–36

W

Wachter, O., siehe Ennis, P.J.:
H. 1, S. 95–106

Wagner, Christina, siehe Seifert, U.:
H. 2, S. 77–80

Wagner, H., siehe Spiegel, W.:
H. 10, S. 154–163

Walter, P., siehe Jeske, H.-O.:
H. 6, S. 49–54

Warnken, L., siehe Müller, H.:
H. 8, S. 51–56

Weber, H., siehe Hahn, B.:
H. 3, S. 108–114

Weber, J., siehe Engelhard, G.:
H. 2, S. 103–108

Weber, J., siehe Hahn, B.:
H. 3, S. 108–114

Weber, K.:
Rechnergestütztes System für das betriebliche Umweltmanagement
H. 10, S. 176–179

Weber, Th., siehe Smitshuysen, E.:
H. 7, S. 89–94

Weiher, R., siehe Voigt, E.:
H. 1, S. 41–44

Weinspach, P.-M., siehe Wolzenburg, T.:
H. 1, S. 55–63

Welfonder, E.:
Nahtloser Übergang von der Prozeßführung zur Betriebsführung, von Leittechnik- zu Betriebsführungssystemen
H. 11, S. 65–76

Wenzlaff, R., siehe Zgorzelski, P.:
H. 2, S. 53–61

Weyer, H.–B., siehe Lübbert, E.:
H. 11, S. 27–44

Wild, J.:
Service-Strategien der Zukunft
H.6, S. 55–59

Willert, A., siehe Richter, R.:
H. 3, S. 65–69

Winkler, J., siehe Voigt, E.:
H. 1, S. 41–44

Wittig, S., siehe Lübbert, E.:
H. 11, S. 27–44

Wolf, T.P., siehe Schrickel, J.:
H. 3, S. 86–99

Wolzenburg, T., Köneke, D., und Weinspach, P.-M.:
Standzeitverlängerung erosiv belasteter Bauteile durch die Berechnung der Formänderung unter erosiver Belastung
H. 1, S. 55–63

Wurst, F.:
Dioxinmessungen bei MVA nach dem Stand der deutschen 17. BImSchV
H. 2, S. 81–83

Wurz, D., siehe Noll, B.:
H. 2, S. 90–96

Z

Zelkowski, J., Sturm, A., und Mauritz, O.:
Feuerungstechnische Charakterisierung von Importkohlen durch Kennzahlen
H. 10, S. 141–145

Zgorzelski, P., Wenzlaff, R., und Edelburg, J.:
Ertüchtigung der Blockleittechnik in einem Industriekraftwerk nach 37jähriger Betriebszeit
H. 2, S. 53–61

Ziemann, M., siehe Bohn, D.:
H. 2, S. 62–68

Zimmermann, B., siehe Gödecke, H.:
H. 11, S. 104–107

A

ABE-Bericht H. 5, S. 29

Abfallbehandlungsanlage, thermische H. 3, S. 86
— Öko-Audit H. 7, S. 68

Abgasreinigung bei MVA H. 4, S. 67

Abgasreinigungstechnik H. 4, S. 79

Abfallverbrennung H. 3, S. 154
— Feuerfestmaterial H. 10, S. 154
— Keimbelastung in der Umgebung H. 4, S. 62

Abhitzedampferzeuger, GuD-Anlage, SVZ Schwarze Pumpe H. 9, S. 35
— thermische Optimierung H. 8, S. 44

Abkühlcharakteristik H. 8, S. 92

Ablagerungen aufgrund von Biofilmbildung in Kohlesilos H. 6, S. 99–102
— Hochtemperatur-Korrosion H. 8, S. 105

Abnahmeversuche an Müllbunker-Überwachungssystemen H. 1, S. 64–70

Abwasser, Entfernung von Ammoniak aus REA-Abwasser H. 4, S. 85–93

Abwasseraufbereitung, Entfernung von Ammoniak aus REA-Abwasser H. 4, S. 85–93

Abwasserminimierung H. 9, S. 92

Additive zur Korrosionsverminderung in MVA H. 11, S. 101

Additivzugabe zur HCl-Bindung in ZAWSF H. 12, S. 66

Aeroderivative oder Heavy-duty-Gasturbinen? H. 6, S. 42–48

AG TURBO, Gasturbinenforschung und -entwicklung H. 11, S. 33

Akkreditierung, Aufbau des chemischen Prüflabors der ÖDK H. 2, S. 97–102

Aktivkoksanlagen H. 2, S. 77

akustische Auslegung einer Anlage, Berechnungsmodell H. 9, S. 88

Alstom-Schüsselmühle, Staubbeladung, Laufruhe, Standzeiten, Plexiglasmodell, Strömungssimulation mit finiten Elementen, Zerkleinerungsvorgang H. 9, S. 80

Amasox-Prozeß H. 1, S. 71

Ammoniak, Entfernung von Ammoniak aus REA-Abwasser H. 4, S. 85–93

Ammoniak-REA H. 1, S. 71

Analyse, automatische Überwachung von Wasser-Dampf-Kreisläufen H. 3, S. 100–107
— Qualitätssicherung im chemischen Prüflabor H. 2, S. 97–102

Analysenautomaten zur Überwachung von Wasser-Dampf-Kreisläufen H. 3, S. 100–107

Anforderungen an ein Prüflabor nach der Norm EN 45 001 H. 2, S. 97–102

Anlagenbeschreibung, Gasturbinen H. 7, S. 37–43

Armaturen, elektronische Drucküberwachung für Überströmventile H. 5, S. 107
— neue Stellventile H. 3, S. 65

Auftragnehmerbeurteilung H. 3, S. 34

Ausschreibungskriterien Industrie- und Heizkraftwerke Drau-Consult H. 3, S. 49

Austenit-Ferrit-Schweißverbindungen H. 3, S. 108

austenitische Rohrverbindungen, Optimierung H. 2, S. 103

Auswurf, saurer H. 1, S. 75

Automatisierung der Überwachung von Wasser-Dampf-Kreisläufen H. 3, S. 100–107

B

Basissicherheitskonzept H. 11, S. 122

Bauteile aus GFK, Produktion, Transport, Montage H. 7, S. 99

Berechnung, Rotorkappen H. 6, S. 61

Bestimmung von Dehnungserhöhungsfaktoren H. 9, S. 116

Betrieb Kraft-Wärme-Kopplung WIENSTROM H. 5, S. 102

betriebliches Umwelt-Management- und Informationssystem H. 10, S. 176

Betriebsablaufverfolgung im System PRODAS H. 11, S. 63

betriebsbegleitende KMV, Nachweis H. 8, S. 51

Betriebserfahrungen, Dampfturbinen in einem HKW H. 5, S. 97–101
— Gasturbinen, Cheng-Cycle-Anlage H. 11, S. 46–52
— HKW Mitte, Berlin H. 7, S. 31
— Kraftwerk Schkopau H. 1, S. 21

Betriebsführung von Kraftwerken H. 9, S. 1
H. 11, S. 65

Betriebsführungssystem H. 11, S. 60–64

Betriebspartner, Kennzahlen, trockenentaschte Dampferzeuger, Feuchte in der Kohle, Mahlanlagenbelastung, Korngrößenverteilung, Ausmahlkennzahl, Brennstoff- und Luftstufung H. 8, S. 74

Betriebsüberwachung H. 12, S. 73

Biofilme, Bildung von Biofilmen in Kohle H. 6, S. 99–102

Blockleittechnik, Ertüchtigung in einem Industriekraftwerk H. 2, S. 53

Blockregelkonzepte, adaptive H. 1, S. 48

Braunkohle-Kraftwerke, Dampferzeuger, Rauchgasentschwefelung, Wirkungsgrad H. 1, S. 21

Braun- und Steinkohlendaten, Umrüstung von Braun- auf Steinkohlen, Walzen-Schüsselmühlen, NO_x-Primärmaßnahmen, Brennerkasten H. 6, S. 81

Braunkohlenfeuerung, NO_x-arme Rundstrahlbrenner, Omega-Zahlen, Kohlenstaubverteilung, Brenner-Zahnring, dreidimensionale strömungstechnische Berechnung H. 12, S. 49

Braunkohlenflugasche
— Bindersysteme H. 3, S. 115
— Immobilisierungssystem H. 3, S. 115

Brennelementwechsel in Kernkraftwerken H. 5, S. 29

Brennstoffuntersuchung H. 4, S. 121

Bruchmechanik-Konzept H. 11, S. 122

Bundes-Immissionsschutzgesetz
— Genehmigungsverfahren H. 3, S. 86
— thermische Abfallbehandlungsanlage H. 3, S. 86

C

Carnot-Faktor-Differenz-Schaubild, thermische Optimierung, Abhitzedampferzeuger H. 8, S. 44

CCD-Sensor H. 9, S. 108

Chemie-Indikatoren H. 10, S. 180

Chemie-Management H. 10, S. 180

chemische Laboratorien, Qualitätssicherungssysteme H. 2, S. 97–102

Cheng-Cycle-Anlage, Gasturbinen, Betriebserfahrungen H. 11, S. 46–52

Controlling, technisches H. 9, S. 67

CO_2-Diskussion H. 7, S. 1
H. 7, S. 64
H. 11, S. 28

CO_2-Minderung H. 5, S. 127

CO_2-Reduktion durch Windkraft H. 7, S. 64
— in Dänemark H. 7, S. 64
— Kosten H. 7, S. 64

D

Datenumwandlung, Wirkungsgradberechnung H. 4, S. 32

Dampferzeuger, Neubau, Kombi-Kraftwerk VEO Eisenhüttenstadt H. 8, S. 34

Dampfgenerator, Wärmerückgewinnung H. 7, S. 25

Dampfprüfstock, Drucküberwachungseinheit H. 5, S. 107

Dampf- und Gasturbinen, Kraftwerkskonzept H. 6, S. 49–54

Dampfturbinen, Betriebserfahrungen in einem HKW H. 5, S. 97–101
— Ertüchtigung HD- und MD-Turbine H. 4, S. 50–54
— 3DS-Schaufeln H. 12, S. 42–48

Dampfturbinen-Bypass H. 9, S. 88

Dampfturbinen-Kondensatoren, kühlwasserseitige Bypass-Schaltung H. 3, S. 57–64

Dampfturbinen-Regelstufe, Radraumgeometrie H. 2, S. 62–68

Dehnungserhöhungsfaktoren, Bestimmung H. 9, S. 116

DENOX, REA, Wechselwirkung H. 7, S. 85

DENOX-Anlage, Verringerung Katalysatorverbrauch H. 5, S. 127

Detektion von Zirkulationsproblemen H. 7, S. 89

Dezentrale Energieversorgung, Kombi-Kraftwerke H. 8, S. 40

Diagnosesystem, Kraftwerke H. 6, S. 55–59

Diffusion von Metallchloriden durch Feuerfestmaterial H. 10, S. 154

Dioxin-/Furan-Emission bei MVA H. 4, S. 67

Dissertationen zur Kraftwerkstechnik H. 7, S. 106

Dokumentenverwaltungssystem H. 10, S. 176

Dosisleistung bei Wasserstoffdosierung H. 1, S. 82

Druck-Erfassungs-System, DESY-3 für Sicherheitsventile H. 5, S. 107

Drucküberwachung, elektronische, für Sicherheitsventile H. 5, S. 107

Dünger aus Ammoniumsulfat H. 1, S. 71

3DS-Schaufeln, Dampfturbinen H. 12, S. 42–48

E

ECP-Messungen H. 1, S. 82
H. 1, S. 87

EDF, französische Energiepolitik H. 12, S. 29

Eigenschaften von NF 616, 9Cr-0,5Mo-1,8W-V-Nb H. 1, S. 95

Eisensulfat, Belagsbildung von Eisensulfat in Kohlesilos durch Biofilme H. 6, S. 99–102

elastisch-plastische Beanspruchung H. 9, S. 116

EMAS, Eco-Management and Audit Scheme, Öko-Audit, Kraftwerk (AUS) H. 7, S. 80

Emissionen, Gasturbinen H. 11, S. 53–60
— saure H. 1, S. 75
— Schwermetalle H. 2, S. 84
— Steinkohlekraftwerk H. 9, S. 100

Energiepolitik in Dänemark H. 7, S. 64

Energiewirtschaft USA, Kostenreduktionspotentiale H. 3, S. 36

Engspaltschweißung, austenitische Rohre H. 2, S. 103

Environmental Monitoring Systems H. 8, S. 99

EPR H. 2, S. 29

Erosionsschäden, Wirbelschicht H. 1, S. 55

Ersatzprüfungen H. 8, S. 51

Europäischer Druckwasserreaktor H. 2, S. 29

exergetische Optimierung H. 3, S. 57

Exergieverluste, Minimierung, Abhitzedampferzeuger H. 8, S. 44

F

Federfundament, Vergleich gemessener und errechneter Eigenfrequenzen bei unterschiedlichen Erregerfrequenzen H. 4, S. 104

Ferrit-Austenit-Schweißverbindungen H. 3, S. 108

Feuerfestauskleidung, thermische, chemische Beanspruchung H. 11, S. 90

Feuerfeste Werkstoffe in MVA H. 3, S. 70
H. 10, S. 154

Feuerfestmaterial, Berechnungsmodell für thermische Belastungen H. 11, S. 90
— Diffusion von Metallchloriden H. 10, S. 154
— Indikatoren für Schädigung H. 10, S. 154
— Infiltration H. 10, S. 154

Feuerfestsysteme, Platten H. 10, S. 154
H. 11, S. 90

Feuerfestwerkstoffe, Vorsorge H. 10, S. 154

Feuerraum
— Auswirkungen H. 9, S. 100
— REA-Schlamm H. 9, S. 100
— Rückführung H. 9, S. 100

Feuerraumuntersuchungen H. 4, S. 123

Feuerungstechnik, Hochschulforschung H. 4, S. 121

Feuerungsumbau H. 5, S. 127
— 500-MW-Erdgasblock, NO_x-Minderung, Vormischbrenner, Heißgasrezirkulation, Oberluft, Flammenüberwachung, Dampftemperaturregelung H. 11, S. 77

Flammenforschung H. 4, S. 121

Fließkurven, Dehnungserhöhungsfaktoren H. 9, S. 116

Flugasche
— Aufbereitung H. 4, S. 109
— Aufbereitungsanlage Maasvlakte H. 4, S. 109
— Homogenisierung H. 4, S. 109

Flugaschesilo H. 4, S. 109

Formänderung, Berechnung H. 1, S. 55

fortschrittliche Brennstoffumwandlung H. 3, S. 129–132

Forschung für die Kraftwerkstechnik H. 3, S. 128
H. 11, S. 27

Forschungsförderung H. 11, S. 27

Forschungsgebiet „Braunkohlenkraftwerk“ H. 12, S. 42
— „Entsorgung von Reststoffen“ H. 10, S. 86
— „Feuerungstechnik“ H. 4, S. 121
— „Gasturbinen“ H. 11, S. 33
— „Kraftwerkschemie“ H. 2, S. 124
— „Integrität von Bauteilen“ H. 11, S. 122

Forschungsgebiete, Hochschulforschung H. 7, S. 102
H. 4, S. 121

Forschungsinstitute H. 7, S. 102

Forschungsprojekte im VGB-Programm H. 1, S. 91
H. 3, S. 129–134

Frankreich, Energiepolitik H. 12, S. 29

Fremddampfeinkopplung, GuD-Anlage, Moerdijk H. 7, S. 24

Fundamente in Verbundbauweise, Fertigung, Montage, Wirtschaftlichkeit H. 4, S. 106

Fuzzy Control in Kraftwerken H. 5, S. 118

Fuzzy logic in MVA H. 12, S. 66

Fuzzy logic, Optimierung der Leistungsregelung in MVA H. 12, S. 66

G

Gastemperatur, Einfluß auf die Lebensdauer von Gasturbinen H. 10, S. 104–110

Gas- und Dampfturbinen, Kraftwerkskonzept H. 6, S. 49–54

Gasturbinen, Anlagenbeschreibung H. 7, S. 37–43
— Betriebserfahrungen, V94.3A H. 9, S. 60–62
— Cheng-Cycle-Anlage H. 11, S. 46–52

— Einfluß der Gastemperatur auf die Lebensdauer H. 10, S. 104–110
— Emissionen H. 11, S. 53–60
— Heavy-duty oder aeroderivative? Gegenüberstellung H. 6, S. 42–48
— verstellbare Verdichter-Vorleitreihe, Retrofit H. 11, S. 53–60

Gasturbinen-Brennkammern H. 11, S. 38

Gefüge von NF 616 H. 1, S. 95

Gemeinschaftsforschung der VGB H. 11, S. 1

Genehmigungsverfahren (BImSchG)
— thermische Abfallbehandlungsanlage H. 3, S. 86

Geschäftsprozeß H. 9, S. 65, 66

GFK-Bauteile, Voraussetzungen für die Verwendung im Schornsteinbau H. 7, S. 95

GFK/PP-Verbundrohre H. 6, S. 103

GFK-Röhre H. 2, S. 84
glasfaserverstärkte Kunststoffe, Herstellung, Prüfung und Überwachung H. 7, S. 96

glasfaserverstärkte Kunststoff-Rohre H. 6, S. 103

Grobstaub-Partikelemissionsmeßgerät H. 9, S. 108

Großraumsilo, Steinkohlenlagerung, Kohlenlagersysteme, Bekohlungsanalyse, Silofunktion, Staub-, Brand-, Ex-Schutz, Inertisierung H. 10, S. 127

GuD-Anlage, SVZ Schwarze Pumpe H. 9, S. 35

GuD-Anlagen, kommunale Energieversorgung H. 8, S. 40
— Kraft-Wärme-Kopplung H. 8, S. 40

GuD-Kraftwerk Moerdijk H. 7, S. 24

GuD-Kraftwerke, industrielle Energieversorgung H. 8, S. 40

H

HCl-Reduzierung durch Additivzugabe in ZAWASF H. 4, S. 74

Heavy-duty oder aeroderivative Gasturbinen? H. 6, S. 42–48

Heinrich-Mandel-Preis H. 12, S. 33

Heißdampfkühlung Wassereinspritzung in HD-Kühler H. 9, S. 50

Heizflächenreduzierung, Abhitzedampferzeuger H. 8, S. 44

Heizkraftwerk H. 7, S. 89
— Sanierung H. 9, S. 88

Heizkraftwerk Berlin-Mitte, Betriebserfahrungen H. 7, S. 91

HD-Separator H. 12, S. 78

HG-Abscheidung H. 8, S. 96

HKW, Betriebserfahrungen mit Dampfturbinen H. 5, S. 97–101

Hochschulforschung H. 11, S. 31

Hochschulforschungsinstitute H. 7, S. 102

Hochtemperatur-Gasturbine H. 11, S. 33

Hochtemperaturkorrosion verschiedener Stähle H. 8, S. 105

Hüttengasverstromung, Kraftwerk VEO Eisenhüttenstadt H. 8, S. 34

H_2S-Minderung, Gasreinigung H. 8, S. 96

I

Immissionen aus MVA H. 3, S. 75

Importkohlen, Kohlen-Spezifikationen, Mahlverhalten/Mahlbarkeit, Zündverhalten, Ausbrand, Flammenbild, Asche-Gips-Qualität H. 6, S. 68

Indikatoren für Schädigung von Feuerfestmaterial H. 10, S. 154

Infiltration von Feuerfestmaterial H. 10, S. 154

Informationssystem H. 10, S. 115

Infrarot-Kameras zur Müllbunker-Überwachung H. 1, S. 64–70

Indo-Europäischer Workshop, VGB-Tätigkeiten, Kurzbericht 97/98 H. 10, S. 77

Ingenieur, Medien, Kommunikation H. 12, S. 40

Inspektion von Rotorkappen H. 6, S. 61

Instandhaltung, innovativ H. 9, S. 65

Instandhaltungskosten H. 9, S. 67–69

Instandhaltungsprozeß H. 11, S. 61

Instandhaltungsstrategie H. 9, S. 67/68
— Kraftwerke H. 6, S. 55–59

integrierte Ressourcenplanung H. 7, S. 64

Integrität von Kraftwerksbauteilen H. 11, S. 122

Instandsetzungsmaßnahmen, Bewertung, Prüfung H. 9, S. 40

Investitionskosten, Senkung, US-EVU H. 3, S. 36

Investitions-Management SAP H. 11, S. 62

J

Journalismus, Verantwortung, Politik H. 12, S. 38

K

Kalkulations-Software, Wärmebilanzierung H. 4, S. 32

Kapitalkosten, Reduzierung, Maßnahmen in der US-Kraftwirtschaft H. 3, S. 36

katalytische Dioxinminderung H. 4, S. 67

Keimbelastung im Bereich von MVA H. 4, S. 62

Kennwerte neuer warmfester Stähle H. 1, S. 27

Kernenergie, Sustainable Development, VGB-Kongreß 1998 H. 12, S. 35

Kernkraft, Frankreich, EDF H. 12, S. 29

Kernkraftwerk H. 1, S. 82
H. 1, S. 87
— Greifswald H. 3, S. 43
— Isar 2 H. 4, S. 43

Kessel- und Rohrleitungsbaustahl NF 616 H. 1, S. 95

Kesselblasen H. 9, S. 88

Kesselneubau
Planung und Durchführung in extrem kurzer Zeit
STEAG-Kraftwerk Lünen H. 6, S. 34

Kesselspeisepumpenfundament, dynamische Auslegung, Konstruktion und Berechnung H. 4, S. 102

kinetisches Diagramm, Hochtemperaturkorrosion H. 8, S. 105

Kohle, Bildung von Biofilmen in Kohle H. 6, S. 99–102
— Cl-haltige H. 12, S. 66

Kohlecharakterisierung, Importkohle, Kennzahlen Referenzkohle, Grenzkohle, Verschleißkennzahl, Zündwilligkeitszahl, Verschlackungskennzahl H. 10, S. 141

Kohlenmischungen, NO_x-arme Kohlenstaubfeuerung, Kohleneigenschaften, Luftstufung, Oberluft, Rauchgasrezirkulation H. 4, S. 55

Kombi-Kraftwerk, Anlagenbeschreibung H. 7, S. 37–43
— HKW Berlin-Mitte H. 7, S. 31
— VEO Eisenhüttenstadt H. 8, S. 34

Kombi-Kraftwerke H. 12, S. 78

Kondensationsanlage, kühlwasserseitige Bypass-Schaltung H. 3, S. 57–64
— Parallel- und Reihenschaltung H. 3, S. 57

Kondensationsvorgänge im Rauchgasweg, Minimierung H. 2, S. 84

Kongreßbericht „Kraftwerke 1998“ H. 12, S. 26

Korrosion H. 1, S. 75
— Beeinflussung durch Schwermetalle H. 10, S. 154 H. 11, S. 101
— feuerfeste Werkstoffe in MVA H. 3, S. 70 H. 10, S. 154
— Kohlesilos durch Biofilmbildung H. 6, S. 99–102
— Membranwände in MVA H. 11, S. 90
— MVA, Wirkung von Belägen H. 11, S. 101
— MVA, Wirkung der Temperaturverteilung H. 11, S. 101

Korrosion und Verschmutzung in MVA H. 11, S. 101

Korrosionsbeständigkeit verschiedener warmfester Stähle H. 8, S. 105

Kostencontrolling H. 10, S. 111–116

Kosten der Stromerzeugung H. 6, S. 1

Kosteneinsparung, USA-Elektrizitätswirtschaft H. 3, S. 36

Kostenoptimierung, idealer Kraftwerkspark H. 6, S. 30

Kostenprognosen in der Instandhaltung H. 10, S. 111–116

Kraft-Wärme-Kopplung, Kombi-Kraftwerk HKW Berlin-Mitte H. 7, S. 31
— Kombi-Kraftwerke H. 8, S. 40

Kraftwerk
— Emissionen H. 9, S. 100
— Erdgas, Meerwasser-Entsalzungsanlagen H. 8, S. 29
— Kraftwerk Öko-Audit (AUS) H. 7, S. 80
— Kraftwerkskonzept, Braunkohle, Forschung, Verbrennung, Emission, Kohlemühle H. 12, S. 42
— Optimierung, Kraftwerkseinsatz, Energiebedarf H. 5, S. 85
— Schwermetalle H. 9, S. 100
— Steinkohlekraftwerk H. 9, S. 100

Kraftwerk Bexbach II H. 3, S. 57
— Jänschwalde der VEAG, REA-Naßwaschverfahren, Gipsverwertung H. 11, S. 108
— VEO Eisenhüttenstadt H. 8, S. 34
— Voitsberg, Qualitätssicherung im chemischen Prüflabor H. 2, S. 97–102

Kraftwerke, Braunkohle, Wirkungsgrad, Inbetriebnahme H. 4, S. 24
— Diagnosesystem H. 6, S. 55–59
— Instandhaltungsstrategien H. 6, S. 55–59

Kraftwerke (NL), Umweltverträglichkeitprüfung (UVP) H. 9, S. 96

Kraftwerksbauteile, Integrität H. 11, S. 122

Kraftwerksbetrieb H. 5, S. 85 H. 6, S. 27 H. 11, S. 115 H. 12, S. 73

Kraftwerksbetrieb und Grundsatzfragen H. 10, S. 79

Kraftwerkschemie H. 10, S. 180
— Hochschulforschung H. 2, S. 124

Kraftwerkskonzept, Dampf- und Gasturbinen H. 6, S. 49–54

Kraftwerkspark, idealer H. 6, S. 27

Kraftwerksprojekt, akustische Anforderungen H. 9, S. 88

Kriechschädigung, Integrität H. 11, S. 122

Kriech- und Zeitstandverhalten H. 1, S. 91

KTA-Regeln H. 9, S. 124

Kühlmittelverlust-Störfallfestigkeit H. 8, S. 51

Kühlturmableitung H. 8, S. 92
— Anfahrvorgang H. 8, S. 92
— Immissionsverhältnisse H. 8, S. 92
— Vorteile H. 8, S. 92

Kühlwasser H. 3, S. 57

Kühlwasser-Bypass-Schaltung, Dampfturbinenkondensatoren H. 3, S. 57–64

Kupfer im Speisewasser H. 1, S. 87

Kurzbericht, Arbeitsgebiet „Kernkraftwerkstechnik“ H. 10, S. 88
— Arbeitsgebiet „Kraftwerksbetrieb und Grundsatzfragen“ H. 10, S. 79
— Arbeitsgebiet „Kraftwerkstechnik“ H. 10, S. 82
— Arbeitsgebiet „Umweltschutz, Nebenprodukte, Chemie“ H. 10, S. 84
— VGB-Tätigkeiten 97/98 H. 10, S. 77

KWK-Betrieb, Teillastverhalten, HKW Berlin-Mitte H. 7, S. 31

L

Langzeit-Plastizität H. 1, S. 91

Laserpartikelscanner H. 9, S. 108

Lebensdauer Gasturbinen, Einfluß der Gastemperatur H. 10, S. 104–110

Lebensdauerabschätzung, Prüfung, Instandsetzung H. 9, S. 40

Lebensdauerbewertung H. 11, S. 122

Leck-vor-Bruch-Konzept H. 11, S. 122

Leistungserhöhung, Ertüchtigung einer Dampfturbine H. 4, S. 50–54

Leitfähigkeitsmessung H. 11, S. 115

Leittechnik, Bildersprache, Kraftwerk Schwarze Pumpe H. 8, S. 57

Lichtschnitterzeugung H. 9, S. 108

Lochkegel als Ventildrossel H. 3, S. 65

Luftstufung, Brennstoffstufung, Rauchgasrezirkulation, NO_x-Primärmaßnahmen, Flammenstabilität, Ausbrand, Feuerraumkorrosion, Verschlackung, Magaldi-Entascher H. 12, S. 55

Luftzahlabsenkung H. 5, S. 127

M

Meßtechnische Überwachung Druckwasserreaktor H. 4, S. 43

Mahltrocknungsanlage, Schlagradmühlen, NO_x- und CO-arme Verbrennung, Ventilatormühlen, Vernetzungsmodell, numerische Simulation, Sichter H. 6, S. 76

Maschinenfundamente, Systemeigenschaften und Montagebedingungen H. 4, S. 101

Mauerwerksröhre, Sanierung H. 2, S. 84

Medien, Demokratie, VGB-Kongreß 1998 H. 12, S. 38

Medien-Verantwortung, Kompetenz, VGB-Kongreß 1998 H. 12, S. 40

Meßparameter im Wasser-Dampf-Kreislauf H. 11, S. 115

Methanolsynthese, SVZ Schwarze Pumpe, GuD-Anlage H. 9, S. 35

Mikrobiologie
— Biofilmbildung in Kohlesilos H. 6, S. 99–102

Mischschweißverbindungen, Austenit – Ferrit H. 3, S. 108

Modernisierung, Kosteneinsparung H. 3, S. 39

Modernisierungsstrategie, Kraftwerk VEO Eisenhüttenstadt H. 8, S. 36

Müllbehandlungsanlage
— thermische
— Umweltverträglichkeitsprüfung H. 3, S. 86

Müllbunker, Abnahmeversuche an Überwachungssystemen mit Infrarot-Kamera H. 1, S. 64–70

Müllverbrennungsanlage Borsigstraße (MVB)
— Öko-Audit H. 7, S. 68
— GuD-Kraftwerk Moerdijk H. 7, S. 24

Müllverbrennungsfilterasche, Immobilisierung
— Hydratphasen H. 3, S. 115
— Mikroverkapselung H. 3, S. 115
— Mineralneubildungen H. 3, S. 115
— Schwermetallimmobilisierung H. 3, S. 115

Multi-Brennstoff-Konzept H. 7, S. 64

MVA Augsburg H. 11, S. 101
— Schwandorf H. 11, S. 90
— Stuttgart H. 4, S. 67
— Wien-Flötzersteig H. 3, S. 75

N

Nachhaltige Energieversorgung, Wettbewerb, VGB-Kongreß 1998 H. 12, S. 35

nachhaltige Entwicklung, VGB-Kongreß 1998 H. 12, S. 35

Nachrüstung Gasturbine, HKW H. 7, S. 37–43

Natrium-24 zur Detektion von Zirkulationsproblemen H. 7, S. 89

NF 616, neuer warmfester Stahl H. 1, S. 95

NH_3-Entfernung aus REA-Abwasser, Technikumsmaßstab H. 7, S. 85

Norton-Exponent H. 1, S. 91

NO_x-arme Feuerung, Eckenfeuerung, Ausbrandluft, Wandluftdüsen, CO/O_2-Wandkonzentrationsmessung, Unverbranntes in der Flugasche H. 12, S. 61

NO_x-Minderung H. 3, S. 79
H. 7, S. 85
— feuerungstechnische H. 5, S. 127

NO_x-OUT-Verfahren H. 3, S. 79

930-MW-Dampferzeuger, NO_x-arme Braunkohlenstaubfeuerung, Feuerungskonzept, Feuerraummodell, Pyrolyse- und Abbrandverhalten der Braunkohle, Feuerraumtemperatur, Verschlackungskennzahl, Brennernahfeld-Untersuchung, Ausbrandluft H. 7, S. 58

O

Öko-Audit H. 10, S. 164
H. 10, S. 176
— Kraftwerk (AUS) H. 7, S. 80
— Müllverbrennungsanlage Borsigstraße (MVB) H. 7, S. 68

Öko-Audit-Verordnung der EG, Kraftwerk (AUS) H. 7, S. 80
— Müllverbrennungsanlage Borsigstraße (MVB) H. 7, S. 68

On-line-Meßgeräte H. 11, S. 115

optimale Feuerführung, Verbrennungsdiagnose, Verbrennungstechnik, Flammen-Emissionsspektrum, Verbrennungsanalysenkamera, Visualisierung und Archivierung, 4-Wellenlängenanalyse, Umwelt- und Ressourcenschonung H. 8, S. 63

Optimierung, Schweißverfahren, austenitische Rohrleitungen H. 2, S. 103

Optimierungsprozeß H. 3, S. 33

Organisationsstruktur H. 10, S. 164

Oxidschichten, Hochtemperaturkorrosion H. 8, S. 105

P

Partikelemissionen, saure H. 9, S. 108

Partnerschaft Balakovo – Biblis H. 2, S. 38

Partnerschaftsprogramm mit KKW der GUS/MOE-Staaten H. 2, S. 35

Planungskonzept Instandhaltung, Prüfungsmaßnahmen H. 9, S. 40

Politik, Medieneinfluß, VGB-Kongreß 1998 H. 12, S. 40

politische Kommunikation, Demokratie, Medien H. 12, S. 40

PP/GFK-Verbundrohre H. 6, S. 103

Primärmaßnahmen zur Korrosionsverminderung in MVA H. 11, S. 101

Probenahmeleitung H. 12, S. 73

Probenahmestelle, Schwermetalleinbindung in die Asche H. 10, S. 134

Probenahmesystem H. 12, S. 73

PRODAS, DV-System H. 11, S. 60–64

Prozeßanalyse, neuronale Karten H. 7, S. 52

Prozeßdampfauskopplung, GuD-Anlage Moerdijk H. 7, S. 24

Prozeßführung
— Betriebsführung H. 11, S. 65
— Visualisierung, Erfahrungsbericht H. 7, S. 44

Prozeßüberwachung H. 4, S. 43
— dynamische neuronale Referenzmodelle H. 5, S. 112

Prüfverfahren, Lebensdaueranalyse, Instandsetzung H. 9, S. 40

PSO H. 7, S. 64

Q

Qualität H. 1, S. 33
— Instandhaltung H. 9, S. 66/67

Qualitätsfälle H. 3, S. 33

Qualitätsmanagement H. 3, S. 33

Qualitätsmanagementsystem H. 3, S. 33

Qualitätssicherung
— chemisches Prüflabor H. 2, S. 97–102
— VGB-Aktivitäten, Kurzbericht 97/98 H. 10, S. 77

Qualitätsziele H. 3, S. 33

R

Radioaktivitätsabgaben 1997 H. 5, S. 29

Radraumgeometrie, Dampfturbinengehäuse H. 2, S. 62–68

Rationalisierung, rechnergestützte Optimierung H. 6, S. 27

Rauchgasentschwefelung, Entfernung von Ammoniak aus REA-Abwasser H. 4, S. 85–93

Rauchgasentschwefelungsanlage (REA)
— VEAG-Kraftwerk Jänschwalde H. 11, S. 108

Rauchgasreinigung bei MVA H. 4, S. 67

Rauchgaswäschersimulation H. 2, S. 90

REA, Anwendung numerischer Strömungsmechanik H. 6, S. 87
— inhomogene Absorption, numerisch H. 6, S. 87
— kleinere Wäscher, Modelluntersuchungen H. 2, S. 90
— Optimierung der Abscheidung, Modelluntersuchungen H. 2, S. 90
— Strömungsvergleichmäßigung, Modelluntersuchungen H. 2, S. 90
— Strömungsverteilung, numerisch H. 6, S. 87
— VEAG-Kraftwerk Jänschwalde H. 11, S. 108
— Vergleich Numeric/Modell H. 6, S. 87

REA-Abwasser, Entfernung von Ammoniak aus REA-Abwasser H. 4, S. 85–93

REA-Gips, VEAG-Kraftwerk Jänschwalde, Verwertung H. 11, S. 108

REA-Nachrüstung, 100 MW Steinkohlekraftwerk H. 4, S. 79

REA-Naßwaschverfahren
— Gipsverwertung H. 11, S. 108
— VEAG-Kraftwerk Jänschwalde H. 11, S. 108

REA-Schlamm
— Auswirkungen H. 9, S. 100
— Feuerraumrückführung H. 9, S. 100

REA-Verfahren mit Ammoniak H. 1, S. 71

Rechenmodell, Optimierung des Kraftwerksparks H. 6, S. 29

Rechtsinformationssysteme H. 10, S. 176

Regelstufe für Dampfturbine, Radraumgeometrie H. 2, S. 62–68

Regelung in MVA, Optimierung durch Fuzzy logic H. 12, S. 66

Regelventile, neue Baureihe H. 3, S. 65

Reorganisation H. 9, S. 65, 66

Restlebensdauer-Ausnutzung, Rechenmodell H. 6, S. 33

Retrofit, HD-/MD-Dampfturbine H. 4, S. 50–54
— verstellbare Verdichter-Vorleitreihe, Gasturbinen H. 11, S. 53–60

Revision in Kernkraftwerken H. 5, S. 29

Richtlinien H. 10, S. 180

Rohrleitungen aus PP/GFK H. 6, S. 103

Rohrverbindungen, austenitisch, Optimierung H. 2, S. 103

Rotorkappen, Inspektion H. 6, S. 61

S

Säurefilmbildung im Kamin H. 2, S. 84

Säuretaupunkt H. 1, S. 75

SAP-Anwendungen H. 11, S. 61

SAP R/3-Module H. 11, S. 60–64

Scoping-Verfahren
— Kraftwerke (NL) H. 9, S. 96
— Umweltverträglichkeitsprüfung (UVP) H. 9, S. 96

SCR High-dust nach Schmelzfeuerung H. 7, S. 85

SCR-Katalysatorwechselerfahrungen H. 7, S. 85

Service-Strategien in Kraftwerken H. 6, S. 55–59

Sicherheit Aktivkoksanlagen H. 2, S. 77

Sicherheitsventile, elektronische Drucküberwachung H. 5, S. 107

SiC-Material in MVA H. 3, S. 70
H. 10, S. 154

SNCR-Verfahren, Betriebserfahrungen H. 3, S. 79
— Kohlefeuerung in Tschechien H. 3, S. 79

Sonderprüfungen H. 8, S. 51

SO_2-Minderung H. 1, S. 71
H. 4, S. 79
H. 6, S. 87
— Membran-Gasabsorption, Versuchsanlage H. 8, S. 96
— Verfahrensmodell H. 8, S. 96

SO_3-Bildung H. 1, S. 75

SO_3-Minderung H. 1, S. 75

Spannungsrißbildung, Rotorkappen H. 6, S. 61

Spannungsrißkorrosion H. 7, S. 89

Speisewasser H. 12, S. 78

Speisewasserunterkühlung, thermische Optmierung, Abhitzedampferzeuger H. 8, S. 44

Speisewasserversorgung, GuD-Anlage, SVZ Schwarze Pumpe H. 9, S. 35

Sprühprüfung H. 8, S. 51

Sustainable Development, Wettbewerb, VGB-Kongreß 1998 H. 12, S. 35

SWR-Anlage H. 1, S. 82
H. 1, S. 87

Sch

Schadensanalytik Aktivkoksanlagen H. 2, S. 77

Schäden, Mischschweißverbindungen (Austenit – Ferrit) H. 3, S. 108

Schaufeln, 3DS für Dampfturbinen H. 12, S. 42–48

Schmelzkorrosion an SiC- und Korund-Chrom-Werkstoffen H. 3, S. 70

Schornsteininnenrohre, fertigungs- und betriebsbegleitende Überwachungen von GFK-Bauteilen durch den Betreiber H. 7, S. 100

Schornsteinsanierung H. 2, S. 84

Schwachstellen an Armaturen H. 10, S. 114

Schwarze Pumpe, Sekundärrohstoffverwertungszentrum H. 9, S. 35

Schweißverbindungen, Austenit – Ferrit H. 3, S. 108

Schweißverfahren, Optimierung, Rohrleitung H. 2, S. 103

Schwermetalle
— Emission H.9, S. 100
— Steinkohlekraftwerk H. 9, S. 100

St

Standzeitverlängerung, Berechnung H. 1, S. 55

Steinkohlekraftwerk
— Emissionen H. 9, S. 100
— Schwermetalle H. 9, S. 100

Steinkohlenfeuerung, Schwermetallanalyse, Ascheanalyse, Inkohlungsgrad, Verschlackungs- und Verschmutzungsneigung, Datenbasis, Klassifizierung, Korrelation zwischen den Klassifizierungsparametern H. 9, S. 72

Stellventile, neue Baureihe H. 3, S. 65

Stillegung H. 3, S. 43

Strippen
— von Ammoniak aus REA-Abwasser H. 4, S. 85–93

Stromerzeuger, Energieverbrauch in Europa, Osteuropa, Emission, Schadstoff, Kraftwerke, Wirkungsgrad H. 1, S. 33

T

TACIS-Programm H. 2, S. 38

Tagesfragen der Kraftwerkstechnik, VGB-Kongreß 1998 H. 12, S. 35

Temperaturexkursion Aktivkoksanlagen H. 2, S. 77

thermische Werkstoffermüdung H. 11, S. 122

thermodynamische Prozeßabnahme, Wärmebilanz H. 4, S. 32

thermoelastische Analyse eines Turbinengehäuses H. 1, S. 45–47

Trocken-REA H. 4, S. 79

Turbinenfundamente, dynamische Tragwirkung bei Verbundbauweise H. 4, S. 103

Turbinengehäuse, thermoelastische Analyse H. 1, S. 45–47

U

Überwachung H. 11, S. 115
— automatische analytische Überwachung von Wasser-Dampf-Kreisläufen H. 3, S. 100–107
— Sekundärkreislauf H. 4, S. 43

Ultraschallprüfung, Rotorkappen H. 6, S. 61

Umbaumaßnahmen Abhitzekessel hinter Gasturbinen Kraftwerk Sachsen Papier H. 1, S. 41

Umwelthandbuch H. 10, S. 176

Umweltinformationssystem, Aufbau H. 6, S. 94
— Inhalte H. 6, S. 94
— Projektverlauf H. 6, S. 94
— Soft- und Hardware H. 6, S. 94

Umweltkontrolle durch Bio-Indikation bei MVA H. 3, S. 75

Umweltleitbild H. 10, S. 164

Umweltmanagement
— Kraftwerk (AUS) H. 7, S. 80
— Müllverbrennungsanlage Borsigstraße (MVB) H. 7, S. 68
— Öko-Audit H. 7, S. 80

Umweltmanagementsystem, Aufbau- und Ablauforganisation H. 10, S. 164
— Umsetzung H. 10, S. 164

Umweltschutz
— Kraftwerk (AUS) H.7, S. 80
— Kraftwerke (NL) H. 9, S. 96
— Öko-Audit H. 7, S. 80
— thermische Abfallbehandlungsanlage H. 3, S. 86
— Umweltverträglichkeitsprüfung (UVP) H. 7, S. 68

— Müllverbrennungsanlage Borsigstr. (MVB) H. 3, S. 86; H. 7, S. 68; H. 7, S. 80; H. 9, S. 96

Umweltschutzhandbuch H. 8, S. 99

Umweltschutzsystem H. 8, S. 99

Umweltverträglichkeitsprüfung (UVP), Kraftwerke (NL) H. 9, S. 96
— thermische Abfallbehandlungsanlage H. 3, S. 86

(UVP) Umweltverträglichkeitsprüfung, Kraftwerke (NL) H. 9, S. 96
— thermische Abfallbehandlungsanlage H. 3, S. 86

V

Verbundfundamente, Anwendungen für Kesselspeisepumpen und Turbinen H. 4, S. 100

Verbundkonstruktion, PP/GFK H. 6, S. 103

Verformungsbereiche, Dehnungserhöhungsfaktoren H. 9, S. 116

Verfügbarkeit 1997 der KKW H. 5, S. 29
Ventilatormühlen, Heizwertschwankung, thermische Belastung, Mühlenfahrdiagramm, Naßventilatormühle, Instandhaltungskosten H. 10, S. 146

Verschleiß, Wirbelschicht H. 1, S. 55

Versicherung und Risiken Industrie- und Heizkraftwerke Allianz München H. 2, S. 43

Ventile mit Konstantdrossel H. 3, S. 65

VGB-Forschungsprogramm H. 10, S. 94

VGB-FORSCHUNGSSTIFTUNG H. 10, S. 94

VGB-Kongreß „Kraftwerke 1998“, Eröffnungsveranstaltung H. 12, S. 26

VGB-Tätigkeit H. 10, S. 77

Viskosität von Kohlenaschen, Ablagerungen in Kraftwerkskesseln, Viskositätsmessung, Verschlackungsneigung, Hochtemperatur-Rotations-Viskosimeter H. 8, S. 70

Vorleitreihe, Gasturbinenverdichter, Retrofit H. 11, S. 53–60

V94.3A Gasturbine, Betriebserfahrungen H. 9, S. 60–62

W

Wärmebilanz, Wirkungsgradberechnung H. 4, S. 32

wärmegeführtes Kombi-Kraftwerk, HKW Berlin-Mitte H. 7, S. 31

Walzenschüsselmühlen, Primärluft, Grobgut, Grießrücklauf, Fertigstaub, Luftstrom-Lamellensichter, Luftstrom-Klappensichter, Kombinationssichter, Düsenring, Spannrahmen, Auftragsschweißen, Staubverteilung, Mühlenbelastung H. 11, S. 77

WANO-MC H. 2, S. 35

Wasseraufbereitungsverfahren H. 9, S. 92

Wasserbilanzen H. 9, S. 92

Wasserchemie H. 12, S. 78

Wasser-Dampf-Kreislauf H. 7, S. 89; H. 10, S. 180; H. 11, S. 115; H. 12, S. 73; H. 12, S. 78
— automatische analytische Überwachung von Wasser-Dampf-Kreisläufen H. 3, S. 100–107

Wasserstoffdosierung in einer SWR-Anlage H. 1, S. 82; H. 1, S. 87

Wasserverbrauch H. 9, S. 92

Wasserwirtschaft H. 9, S. 92

Werkstoffe für GFK-Bauteile, Anforderungen, Verarbeitung, Prüfung H. 7, S. 97

Werkstoffermüdung, Integrität H. 11, S. 122

Werkstoffneuerungen für Wirkungsgradverbesserung H. 1, S. 27

Wirbelschicht, Erossionschäden H. 1, S. 55

Wirkungsgrad, Verbesserung mit neuen Werkstoffen H. 1, S. 27

Wirkungsgradberechnung, rechnergestützte H. 4, S. 32

Wirkungsgraderhöhung H. 3, S. 57; H. 5, S. 127

Wirkungsgradverbesserung, Retrofit einer Dampfturbine H. 4, S. 50–54

Wirbelschichtfeuerung, Verbrennung Cl-haltiger Steinkohle H. 12, S. 66

Z

Zeitstandfestigkeit neuer warmfester Stähle H. 1, S. 27

Zeitstandverhalten, 15 CrMoV 5-10 H. 1, S. 91

Z-Faktor, Zeitstandverhalten H. 1, S. 91

Zirkulationsprobleme im Wasser-Dampf-Kreislauf H. 7, S. 89

Zirkulierende Wirbelschichtanlage ZWA, mathematische Modellierung, Partikelgrößenverteilung, Kohlenverbrennung, Gaskonzentrationsprofile, Bettemperatur H. 2, S. 69

Zukunft der VGB-Arbeit, Kongreß „Kraftwerke 1998“ H. 12, S. 27
— Kurzbericht 97/98 H. 10, S. 77

Zusatzwasser H. 12, S. 78

Zustandsanalyse, Lebensdauerabschätzung H. 9, S. 40

Zwangdurchlaufkessel H. 12, S. 78

Zweidruck-Abhitzedampferzeuger, GuD-Kraftwerk, thermodynamische Verbesserung H. 8, S. 44

Zwischenlage Nord H. 3, S. 43

Joachim Adams wird Vorstandsvorsitzender der VEW ENERGIE AG
H. 6, S. 113

Greg Ahel Präsident und COO von CalEnergy
H. 4, S. 118

Suleiman Al-Kadi Vorsitzender der Arab Union of Producers, Transporters and Distributors of Energy
H. 5, S. 135

Nicholas Baldwin neu im Vorstand der PowerGen
H. 4, S. 118

Franz Bauer neuer Bereichsleiter in der VGB-Geschäftsstelle
H. 3, S. 126

Franz Baumüller 60 Jahre
H. 6, S. 113

Elmar F. Baur neuer Präsident der European Sealing Association
H. 8, S. 114

Rolf Bierhoff neuer Präsident der Eurelectric
H. 8, S. 114

Hans Böhm im Ruhestand
H. 11, S. 133

Rainer Breidenbach neu im Deutz-Vorstand
H. 12, S. 84

Dieter Brosche Leiter Grundsatzfragen Erzeugung nuklear bei BAG
H. 2, S. 112

Hans Brühe 65 Jahre
H. 3, S. 126

Mohamed Ismail Che Mat Din Geschäftsführer bei Tenaga Nasional
H. 6, S. 113

E. Renae Conley zur Präsidentin von Cincinnati Gas & Electric ernannt
H. 5, S. 135

John Paul Cowan Chef des Nuklearbetriebes bei Florida Power
H. 6, S. 113

Michel Derdevet zum Deputy Managing Director der EDF ernannt
H. 10, S. 193

M. Donnel zum Executive Vice President bei Duke Energy Power Services ernannt
H. 10, S. 193

Georg Dorkhom leitet Geschäftsbereich Cutting & Welding bei Messer
H. 8, S. 114

Gerald Doucet neuer Generalsekretär des Weltenergierates
H. 7, S. 109

Richard J. Duszynski zum Executive Vice President bei Duke Energy Power Services ernannt
H. 10, S. 193

August Wilhelm Eitz gestorben
H. 6, S. 113

Wolfgang Essig neuer Geschäftsführer bei Krupp Uhde
H. 9, S. 125

J. Michael Evans neuer Präsident bei ConEdison
H. 4, S. 118

Werner Externbrink im Ruhestand
H. 11, S. 133

Berthold Frank 85 Jahre
H. 9, S. 125

Axel Franke im Vorstand der Keramchemie
H. 4, S. 118

Rudolf Friedrich gestorben
H. 4, S. 118

Michael Gerlach kaufmännischer Geschäftsführer der Stadtwerke Görlitz
H. 8, S. 114

Wayne Gilbert verläßt den Aufsichtsrat von Power New Zealand
H. 5, S. 135

Dave Goebel zurückgetreten
H. 4, S. 118

Dieter Götte neuer Geschäftsführer bei A/V/E
H. 3, S. 126

Dietrich Goldschmidt erhält Ehrendoktorwürde
H. 3, S. 126

Joachim Grawe mit Bundesverdienstkreuz ausgezeichnet
H. 9, S. 125

Charles L. Griffith Jr. neuer Präsident und CEO bei Ingersoll-Dresser
H. 8, S. 115

Rudolf Gruber ausgezeichnet
H. 3, S. 126

Antonio Guzman neuer Präsident der chilenische Endesa
H. 6, S. 113

Thomas Gutzwiller leitet Produktbereich Pumpen bei Sulzer
H. 8, S. 115

James Hackett zum CEO von Seagull Energy ernannt
H. 10, S. 193

Gerhard Heckelmann Geschäftsführer von ABB Service GmbH
H. 11, S. 133

Wolfgang Helmboldt neuer Prokurist der EW Wesertal
H. 9, S. 125

Klaus Hein Prorektor der Universität Stuttgart
H. 11, S. 133

Wilhelm Heitmann Senior Vice President bei ALSTOM
H. 12, S. 84

Hans Hofer neuer Vetriebsleiter
H. 5, S. 135

Klaus Huneke Geschäftsführer bei Heimbach
H. 9, S. 126

Jörgen Peter Jensen Heinrich-Mandel-Preisträger 1998
H. 12, S. 33

Wolfgang Kässer neu im Vorstand der VEW
H. 9, S. 126

Hans Reiner Kautz gestorben
H. 3, S. 126

Norbert König im KWU-Bereichsvorstand
H. 11, S. 133

Günther Koch im Vorstand der Pfalzwerke
H. 9, S. 126

Adolf Kreuser gestorben
H. 3, S. 126

Stephan Krone im Ruhestand
H. 12, S. 84

Dieter Kübler in den Ruhestand getreten
H. 10, S. 193

Viktor Kudryavy Mitglied des EES-Vorstandes
H. 5, S. 135

Hans Kuntzemüller Vorsitzender der EGL-Geschäftsleitung
H. 8, S. 115

Karl Kußmaul mit Guilleaume-Gedenkmünze ausgezeichnet
H. 12, S. 33

Mikhail Kuzichev Vorstandsvorsitzender der Krasnoyarskenergo Co.
H. 9, S. 126

Jürgen Lenz in den Vorstand der Ruhrgas berufen
H. 8, S. 115

J. Wayne Leonard zum Präsidenten und COO von Entergy ernannt
H. 9, S. 126

Ian Douglas Lindsay gestorben
H. 7, S. 109

Alfredo Llorente zum Vorsitzenden der Chilectra gewählt
H. 6, S. 113

Reinhold Mäule mit Guilleaume-Gedenkmünze ausgezeichnet
H. 12, S. 33

John Maher im Ruhestand
H. 4, S. 118

Peter Marx gestorben
H. 4, S. 118

Thomas Mathenia Vorsitzender des Fördervereins von Fraunhofer
H. 12, S. 84

Michael Maurer wird Hauptgeschäftsführer der AiF
H. 11, S. 133

PacifiCorp ernennt Keith McKennon zum CEO
H. 10, S. 193

Mike Meisner neuer Präsident bei Maine Yankee
H. 4, S. 118

Eberhard Meller neuer Hauptgeschäftsführer der VDEW
H. 5, S. 135

Peter Menzies neuer Chef bei Mercury
H. 10, S. 193

Leopold Mikulic neu im Deutz-Vorstand
H. 12, S. 84

Karl Mönkemeyer gestorben
H. 3, S. 126

Jochen Müller übernimmt der Vorsitz der Lurgi Lentjes Service GmbH
H. 9, S. 126

Friedel Neubauer neuer Aufsichtsrats-vorsitzender beim RWE
H. 2, S. 112

Jürgen Neumann aus Lurgi-Vorstand ausgeschieden
H. 10, S. 193

Helmut Petri Mitglied im VDI-Präsidium
H. 2, S. 112

Klaus Plate im Ruhestand
H. 3, S. 126

Ulrich Potthast in den Ruhestand getreten
H. 10, S. 193

Ulrich Potthast mit Guilleaume-Gedenkmünze ausgezeichnet
H. 12, S. 32

Robert Racine neues Vorstandsmitglied bei Cogema
H. 6, S. 113

John Robb zum Vorstandsvorsitzenden von Hewden ernannt
H. 6, S. 113

Eberhard Roos Direktor der MPA Stuttgart
H. 12, S. 84

François Roussely neuer EDF-Präsident
H. 8, S. 115

Lars Rylander Leiter des Europa-Geschäftes der GE Nuclear Energy
H. 2, S. 112

Hans-Volker Schlenker gestorben
H. 5, S. 135

Paul Schmidhuber 75 Jahre
H. 11, S. 133

Manfred Scholle im VEW-Vorstand
H. 9, S. 126

Rüdiger Schultz erhält Prokura
H. 9, S. 126

Andreas Schumacher erhält Prokura
H. 9, S. 126

Georg Schwarz gestorben
H. 8, S. 114

Norbert Schwarzkopf gestorben
H. 3, S. 126

Dieter Schwirten mit Guilleaume-Gedenkmünze ausgezeichnet
H. 12, S. 33

Dickinson Smith zum CEO von AmerGen Venture ernannt
H. 9, S. 126

Hein Spähn mit August-Thum-Medaille ausgezeichnet
H. 8, S. 114

Franz Josef Spalthoff 75 Jahre
H. 9, S. 125

Wilfried Steuer 65 Jahre
H. 8, S. 114

Patrick Strange zum CEO von Mercury Energy ernannt
H. 9, S. 126

Manfred Timm 60 Jahre
H. 8, S. 114

Erich Tolksdorf zum Professor ernannt
H. 4, S. 118

Anatoli Tschubais Vorstandschef bei UES
H. 7, S. 109

Albrecht Weinberger im Ruhestand
H. 3, S. 126

Chang Young-shik zum KEPCO-Präsidenten ernannt
H. 7, S. 109

Ike Zeringue zum Chief Operating Officer von TVA ernannt
H. 7, S. 109

Fritz Ziegler führt VEW bis 2000
H. 2, S. 112

Randy H. Zwirn im KWU-Bereichsvorstand
H. 11, S. 133

Abwehr betrieblicher Storfälle
Brandschutz – Umweltschutz – Werkschutz
H. 7, S. 110

Anzeige- und Genehmigungsverfahren
nach dem BImSchG
H. 6, S. 117

Braunkohlekraftwerk Schkopau
H. 7, S. 110

Business Deutschland Gelbe Seiten
H. 4, S. 126

Der Drehstrommotor
H. 4, S. 126

Die Energiefrage
Bedarf und Potentiale, Nutzung,
Risiken und Kosten
H. 9, S. 128

Die launische Sonne widerlegt Klimatheorien
H. 4, S. 127

EDV-Anwendungsbericht
H. 6, S. 117

EMV von Gebäuden, Anlagen und Geräten
H. 12, S. 88

Entsorgungshandbuch für Energie-
versorgungsunternehen – neue Auflage
H. 9, S. 128

Gasisolierte metallgekapselte Last-
trennschalteranlagen bis 36 kV
H. 6, S. 117

GMA-Bericht Nr. 34: Leittechnik
in deutschen Kernkraftwerken
H. 9, S. 128

Handbuch der Prozeßautomatisierung
– Prozeßleittechnik für verfahrens-
technische Anlagen –
H. 4, S. 127

Handbuch der RWE Energie AG „Gefahrstoffe"
H. 7, S. 111

Jahrbuch Bergbau, Erdöl und Erdgas,
Petrochemie, Elektrizität, Umweltschutz 1998
H. 6, S. 117

Kabelhandbuch
H. 9, S. 128

Kraft- und Arbeitsmaschinen, Band 6
H. 9, S. 128

Kreislauf- und Abfallwirtschaft
in den deutschen Kohlekraftwerken
H. 9, S. 129

Mehrsprachiges Fachwörterbuch der Gaswirtschaft
H. 8, S. 115

PC-Programm „Beurteilung
von Netzrückwirkungen"
H. 8, S. 115

Regenerative Energiesysteme:
Technologie – Berechnung – Simulation
H. 7, S. 110

Schadenmanagement – Maßnahmen
zur Schadenminderung – Handhabung
von Frequenzschäden
H. 12, S. 88

Stellantriebe
H. 4, S. 127

Textsammlung Umweltrecht für Energieanlagen
H. 4, S. 126

VDE-Schriftenreihe Band 71
– Normen verständlich
H. 12, S. 88

Jahres-inhaltsverzeichnis

VGB KraftwerksTechnik

79. Jahrgang (1999)

ISSN 0372-5715

Hefte 1 – 12

Internationale Fachzeitschrift für Technik in Kraftwerken

1999

Organ der
VGB Technischen Vereinigung
der Großkraftwerksbetreiber e.V.

Herausgeber

VGB Technische Vereinigung
der Großkraftwerksbetreiber e.V.

Vorsitzender:
Professor Dr.-Ing. W. Hlubek, Essen.

Geschäftsführer:
Professor Dr. rer. nat. H.-D. Schilling,
Essen (bis 30.9.1999),
Dr.-Ing. K.A. Theis, Essen (ab 1.9.1999).

Anschrift der Redaktion

VGB Technische Vereinigung
der Großkraftwerksbetreiber e.V.

Klinkestraße 27–31, D-45136 Essen,
Postfach 10 39 32, D-45039 Essen,

Telefon (0201) 8128-300/301,
Fax (0201) 8128-302.
e-mail: pr@vgb-power.de

Chefredaktion

Chefredakteur: Dipl.-Ing. H. Bleßmann,
Redaktionsassistentin: Rita Maria Wilke.

Redaktion

Dr. F. Bauer,
Dr.-Ing. W. vom Berg,
Dipl.-Ing. E. Höxtermann,
Professor Dr.-Ing. J. Jacobs,
Dr. rer. nat. G. Kelber,
Dr.-Ing. G. Schlegel,
Dr. rer. nat. U. Staudt,
Professor Dr.-Ing. E. Tolksdorf.

Wissenschaftlicher Redaktionsbeirat

Professor Dr.-Ing. W. Bernstein, Dresden
Professor Dr.-Ing. K. Hein, Stuttgart
Professor E. Kakaras, Athen/Griechenland
Professor Dr.-Ing. U. Renz, Aachen
Dr.-Ing. H. Scholtholt, Essen
Professor Dr.-Ing. F. Stangenberg, Bochum
Professor Dr.-Ing. H. Stetter, Stuttgart
Professor T. Torisson, Lund/Schweden
Professor Dr.-Ing. S. Wittig, Karlsruhe

Technischer Redaktionsbeirat

Dr.-Ing. K. Bechtold, Berlin
Dipl.-Ing. B. Dijkman, Utrecht/Niederlande
Dr. P. Haller, Paris/Frankreich
Dipl.-Ing. H. Heer, Essen
Dipl.-Ing. W. Heitmann, Paris/Frankreich
Dr. rer. nat. D. Kallmeyer, Essen
Dr.-Ing. P. Necker, Esslingen
Dipl.-Ing. M. P. Olesen,
Kalundborg/Dänemark
Dr.-Ing. D.-J. Wahl, Gelsenkirchen-Buer
Dr. rer. nat. W. Zaiss, Neckarwestheim

Vertrieb und Anzeigenverwaltung

VGB-KRAFTWERKSTECHNIK GmbH
Klinkestraße 27–31, D-45136 Essen,
Postfach 10 39 32, D-45039 Essen,

Telefon:
Anzeigen (0201) 8128-212/213,
Vertrieb (0201) 8128-200,
Abonnement (0201) 8128-217,
Fax (0201) 8128-329.
e-mail: mark@vgb-power.de

Anzeigen- und Vertriebsleiter: R. Rätz,
Anzeigentarif Nr. 35 vom 1. Januar 1999.

Erscheinungsweise

Monatlich; außerdem erscheint eine
englische Fassung dieses Heftes unter
dem Titel: „VGB PowerTech“.

Übersicht

Verfasserverzeichnis ..... Seite 4

Sachverzeichnis ..... Seite 10

Persönliches ..... Seite 17

Buchbesprechungen ..... Seite 19

A

Abt, K.O., Wolff, U., und Kalaitzis, D.:
Konzeption und Bestandteile eines integrierten Umwelt- und Sicherheits-Managementsystems für den Kraftwerksbereich und die Müllverbrennungsanlage der Stadtwerke Düsseldorf (SWD) AG
H. 4, S. 34–37

Adamietz, M., Linnemann, C., und Schröder, J.J.:
On-line-Prozeßgüteüberwachung eines 880-MW-Steinkohlekraftwerks
H. 8, S. 41–47

Auel, W., und Schubert, M.:
Neues Verfahren zur NO_x-armen Verbrennung von Steinkohle bei trockenentaschten Dampferzeugern
H. 8, S. 60–65

B

Backman, R., siehe Sandelin, K.:
H. 7, S. 64–67

Bai, Wang Xiao, siehe Stahl, D.:
H. 7, S. 21–24

Bareiß, J., siehe Humboldt, P.:
H. 10, S. 105–109

Bauer, Chr., Spliethoff, H., und Hein, K.R.G.:
Grundlegende Untersuchungen zum Umsatz verschiedener Kohlen unter Druckkohlenstaub-Feuerungsbedingungen
H. 2, S. 47–52

Baumann, H., siehe Zabelt, K.:
H. 8, S. 84–89

Beiers, H.-G., siehe Weiler, H.
H. 8, S. 71–76

Belausov, G., siehe Chercea, G.:
H. 10, S. 136–142

Benesch, W.A., und Heyn, K.:
Effizientes Projektmanagement – Erfahrungen aus aktuellen Kraftwerksprojekten im In- und Ausland
H. 6, S. 41–45

Benz, J. , siehe Maier, H.:
H. 8, S. 66–70

Benz, J., Maier, H., Schneider, G., Buck P., und Triebel, W.:
Entwicklung und Einsatz eines Regenerierverfahrens für SCR-Katalysatoren
H. 7, S. 60–63

Benzing, W., siehe Hintzen, F.J.:
H. 10, S. 125–129

Berger, Susanne, Bergins, Chr., Strauß, K., Bielfeldt, F.B., Elsen, R.O., und Erken, M.:
Mechanisch-thermische Entwässerung von Braunkohle
H. 1, S. 40–45

Bergins, Chr., siehe Berger, Susanne:
H. 1, S. 40–45

Bergmann, R., siehe Schmittecker, B.M.:
H. 4, S. 82–87

Bestebroer, Sigrid I., siehe van Liere, J.:
H. 5, S. 101–104

Bethge, F., Manß, G., Geisler O., und Wilbrand, K.:
Thermische Behandlung und Verwertung von Böden mit Kohlenwasserstoff-Kontamination durch Mitverbrennung in einer zirkulierenden Wirbelschicht
H. 2, S. 70–74

Bethge, K., siehe Zabelt, K.:
H. 8, S. 84–89

Betz, R., siehe Heil, C.:
H. 10, S. 86–91

Bielfeldt, F.B., siehe Berger, Susanne:
H. 1, S. 40–45

Bittner, M., siehe Pfeiffer, G.:
H. 12, S. 66–70

Blöchl, H., siehe Meierer, M.:
H. 2, S. 75–78

Blum, R., siehe Larsen, O.H.:
H. 12, S. 91–98

Boddenberg, G.:
Aktuelle Erkenntnisse zum Brandschutz in Kraftwerken
H. 9, S. 93–96

Bolz, M., siehe Rühle, W.:
H. 10, S. 143–145

Bongers, J.W.M., und Wiersema, H.T.:
Ein Jahr Erfahrung mit dem nachgerüsteten und modernisierten Kernkraftwerk Borssele
H. 7, S. 25–27

Bonn,B., siehe Hackert, G.:
H. 2, S. 65–69

Bourdier, J.P.:
Hat die Kernenergie im Spannungsfeld zwischen Nachhaltigkeit und Wettbewerb eine Chance?
H. 1, S. 21–24

Brand, B., siehe Liebert, J.:
H. 8, S. 33–40

Braun, W., siehe Heinze, G.:
H. 12, S. 87–90

Bretfeld H., siehe Oehmigen, H.-G.:
H. 2, S. 80–86

Brinkmann, K., siehe Michels, B.:
H. 11, S. 31–37

Brockmeier, U.:
Validierung von Prozeßdaten in Kraftwerken
H. 9, S. 61–66

Brosche, D., und Fischbacher, W.:
Periodische Sicherheitsüberprüfung von Kernkraftwerken
H. 6, S. 26–30

Brosche, D., und Mattern, J.:
SWR 1000 – ein zukunftsweisendes Reaktorkonzept mit mittlerer Leistung
H. 11, S. 24–30

Buck P., siehe Benz, J.:
H. 7, S. 60–63

Buck, P., siehe Maier, H.:
H. 3, S. 64–67

Buck, P., siehe Maier, H.:
H. 8, S. 66–70

Bunk, M., und Hornisch, H.-J.:
Die integrierte Maschinendiagnose: Das Werkzeug zur zustandsorientierten Instandhaltung der Hauptkomponenten des Kraftwerkes
H. 2, S. 44–46

C

Carbonnier, D., siehe Serres, R.:
H. 8, S. 29–32

Cerjak, H., und Kienreich, R.:
Werkstoffe für die Kraftwerkstechnik an der Schwelle zum 21. Jahrhundert
H. 11, S. 87–89

Chercea, G. , Radulescu, M., Mangu-Totolo, Craita, Ispas, C., und Belausov, G.:
Versuche zur Auswahl des optimalen Mühlentyps beim Mahlen von Steinkohlengemisch in Rumänien
H. 10, S. 136–142

Czylwik, M., und Fink, H.:
On-line-Optimierung der Kühlwasserfahrweise eines Heizkraftwerkes mit Flußwasserkühlung
H. 7, S. 70–73

D

Danisch, R., siehe Liersch, G.:
H. 8, S. 90–94

Daucik, K., siehe Jensen, J.P.:
H. 7, S. 28–31

David †, P., siehe Fichte, W:
H. 1, S. 79–83

Deeskow, P., siehe Michels, B.:
H. 11, S. 31–37

Deleryd, R., siehe Jacobi, G.:
H. 7, S. 68–69

Dietl , R., siehe Schmidt, W.:
H. 4, S. 76–81

Dolben, G.:
Auswirkungen der Liberalisierung auf den Betrieb und die Einsatzplanung des Kraftwerksparks
H. 2, S. 32–37

E

Eckardt, B., siehe Heil, C.:
H. 10, S. 86–91

Eckoldt, D., siehe Fuchs, H.V.:
H. 3, S. 76–78

Eimer, N., siehe Meierer, M.:
H. 2, S. 75–78

Elsen, R.O., siehe Berger, Susanne:
H. 1, S. 40–45

Engelfried, R., und Titze, B.:
Planung, Bemessung und Ausführung von Oberflächenschutzmaßnahmen an den Kühlturmneubauten mit Rauchgaseinleitung im Kraftwerk Lippendorf
H. 12, S. 99–104

Engesser, H., siehe Schröder, H.Chr.:
H. 4, S. 46–52

Enkler, G., siehe Rühle, W.:
H. 10, S. 143–145

Erken, M., siehe Berger, Susanne:
H. 1, S. 40–45

Eurich, K. , siehe Mandel, H.:
H. 9, S. 53–60

Eurlings, J.Th.G.M.:
Eine Zukunft für die IGCC-Technik – Größe, Brennstoffe und Produkte
H. 4, S. 53–57

F

Fichte, W., Strohhäcker, J., und David †, P.:
Kontinuierliche Wasserstoffmessungen in Wasser-Dampf-Kreisläufen von Dampferzeugeranlagen
H. 1, S. 79–83

Fink, H., siehe Czylwik, M.:
H. 7, S. 70–73

Fischbacher, W., siehe Brosche, D.:
H. 6, S. 26–30

Fogh, F. , siehe Skriver, Alice E.:
H. 6, S. 70–73

Franke, J., Kral, R., und Wittchow, E.:
Dampferzeuger für die nächste Kraftwerksgeneration Gesichtspunkte zur Auslegung und zum Betriebsverhalten
H. 9, S. 40–45

Frenzel, J., siehe Manth, Th.:
H. 1, S. 76–78

Friede, H.:
Aktueller Stand der Rauchgasentschwefelungstechnik in China
H. 12, S. 82–86

Fuchs, H.V. , Eckoldt, D., und Hemsing, J.:
Alternative Schallabsorber für den industriellen Einsatz – Akustiker suchen nach faserfreien Schalldämpfern
H. 3, S. 76–78

Führer, K.:
Emissionsmindernde Maßnahmen im MHKW Essen-Karnap – Erfahrungen aus Inbetriebnahme und zwei Jahren Betrieb
H. 1, S. 71–75

G

Gade, U., siehe Kehr, M.:
H. 8, S. 18–28

Gade, U., Weiher, R., und Mengel, A.:
Verpuffung an einem Hilfskessel im Kraftwerk Schwarze Pumpe
H. 11, S. 38–41

Gaßner, K.-H., siehe Heinzl, S.:
H. 3, S. 60–63

Geisler O. , siehe Bethge, F.:
H. 2, S. 70–74

Geißler, K.–P., siehe Schallert, B.:
H. 8, S. 77–80

Gericke, B., und Hansen, O.:
Wirkungsgradsteigernde Maßnahmen durch integrierte Abwärmenutzung bei feststoffbefeuerten Industriedampferzeugern und bei Abhitzekesseln – Teil 1: Dampfprozeß
H. 4, S. 38–44

Gericke, B., und Hansen, O.:
Wirkungsgradsteigernde Maßnahmen durch integrierte Abwärmenutzung bei feststoffbefeuerten Industriedampferzeugern und bei Abhitzekesseln – Teil 2: Kombi-Prozeß
H. 5, S. 85–91

Gilli, P.G., Reinharter, E., und Simmons, J.:
Weltweit erstes Kraftwerk zur thermischen Nutzung von Prozeßgasen bei Stahlerzeugung durch Direktreduktion
H. 11, S. 72–76

Gräfer, H.:
Entwässerungsnetze: Überwachungsverordnung, Sanierung
H. 11, S. 81–86

Griem, H., Köhler, W., und Schmidt, H.:
Wärmeübergang, Druckverlust und Spannungen in Verdampferwänden – Vom Experiment zur Auslegung
H. 1, S. 30–39

Guderian, J., Seifert, U., und Wagner, Christina:
Modellgestützte Sicherheitsbetrachtungen zu Aktivkoksadsorbern für die Rauchgasendreinigung in thermischen Abfallbehandlungsanlagen – Ergebnisse des VGB-Forschungsprojektes 144
H. 3, S. 68–72

H

Haaker, H., siehe Schäfer, R.:
H. 7, S. 41–43

Hackert, G., Kremer, H., Wirtz, S., Bonn,B., und Seewald,H.:
Neue Methoden zur Charakterisierung des Verbrennungsverhaltens von Kohlenstaub bei erhöhtem Druck
H. 2, S. 65–69

Hagemann, O., siehe Schepers, W.:
H. 3, S. 46–54

Hampel, R., siehe Worlitz, F.:
H. 6, S. 54–59

Haneklaus, Silvia, siehe Paulsen, H.M.:
H. 7, S. 74–78

Hansen, O., siehe Gericke, B.:
H. 4, S. 38–44

Hansen, O., siehe Gericke, B.:
H. 5, S. 85–91

Hanßen, H., siehe Sänger, M.:
H. 6, S. 64–69

Hantschel, J., siehe Schubert, G.:
H. 9, S. 72–75

Haupt, G., siehe Pruschek, R.:
H. 5, S. 69–74

Hausmann, B., Steinbrecht, D., und Weiher, R.:
Geplante Prüfrichtlinie für Speisewasser-Konditionierungsmittel am Beispiel filmbildender Amine
H. 9, S. 46–52

Heil, C., Eckardt, B., und Betz, R.:
Entwicklung und Implementation eines In-situ-Unfallprobenahmesystems
H. 10, S. 86–91

Hein, D., siehe Röckl, A.:
H. 7, S. 54–59

Hein, K.R.G., siehe Bauer, Chr.:
H. 2, S. 47–52

Hein, M., Pflug, H., und Henkel, A.:
Entfernung von Ammoniak aus industriellen Wässern mittels Adsorption/Ionenaustausch an natürlichem Clinoptilolith
H. 3, S. 79–84

Heinze, G., Sparmann, A., Welp, H., und Braun, W.:
Betriebliche und energetische Optimierung der Rauchgasentschwefelungsanlagen im Kraftwerk Jänschwalde
H. 12, S. 87–90

Heinzl, S., und Gaßner, K.-H.:
Erfahrungen beim Umstellen eines 420-MW-Blockes von schwerem auf leichtes Heizöl
H. 3, S. 60–63

Heitmüller, R.J., und Müller, H.:
Untersuchung der Brennkammerverschmutzung mit einem mathematischen Modell
H. 2, S. 53–57

Heitmüller, R.J., und Kather, A.:
Wärme- und feuerungstechnisches Konzept des Dampferzeugers für den BoA-Block Niederaußem K
H. 5, S. 75–82

Hemsing, J., siehe Fuchs, H.V. :
H. 3, S. 76–78

Henke, K.-P., siehe Schmittecker, B.M.:
H. 4, S. 82–87

Henkel, A., siehe Hein, M.:
H. 3, S. 79–84

Henriksen, N., Vilhelmsen, T., Larsen, O.H., und Blum, R.:
Oxidwachstum und Temperaturanstieg in Verdampfern von superkritischen Kesseln mit Kohlenstaubfeuerung
H. 12, S. 91–98

Heuer, V., siehe Walter, G.::
H. 12, S. 49–54

Heyn, K., siehe Benesch, W.A.:
H. 6, S. 41–45

Hintzen, F.J. , und Benzing, W.:
Zunehmender Einsatz der Trockenkühlung in internationalen Kraftwerksprojekten
H. 10, S. 125–129

Hofmann, D., siehe Zabelt, K.:
H. 8, S. 84–89

Hornisch, H.-J., siehe Bunk, M.:
H. 2, S. 44–46

Hugi, E., und Reh, L.:
Auslegung hochbeladener Zyklonabscheider für zirkulierende Wirbelschicht-Reaktorsysteme
H. 4, S. 64–69

Humboldt, P., und Bareiß, J.:
Vollrevision an einem 8,85-MW-Turbosatz der Fernwärme Ulm GmbH
H. 10, S. 105–109

Husemann, R.U.:
Werkstoffe und ihre Gebrauchseigenschaften für Überhitzer- und Zwischenüberhitzerrohre in Kraftwerken mit erhöhten Dampfparametern – Teil 1: Neue Überhitzerwerkstoffe, Betriebsversuche, Hochtemperaturkorrosionen
H. 9, S. 84–87

Husemann, R.U.:
Werkstoffe und ihre Gebrauchseigenschaften für Überhitzer- und Zwischenüberhitzerrohre in Kraftwerken mit erhöhten Dampfparametern – Teil 2: Oxidation, Kaltverformung
H. 10, S. 146–149

I

Ispas, C., siehe Chercea, G.:
H. 10, S. 136–142

J

Jacobi, G., und Deleryd, R.:
Telescope-Sipping in DWR-Anlagen
H. 7, S. 68/69

Jaeger, M., und Tai, P.T.:
Das Korrosionsverhalten von Behälterwerkstoffen beim Einsatz wäßriger Eisenchelatlösungen zur H_2S-Entfernung aus Gasen
H. 6, S. 74–78

Jensen, J.P., Smitshuysen, E.F., und Daucik, K.:
Schutz der Stahloberflächen von Dampferzeugern – Theorie und Praxis
H. 7, S. 28–31

Jílek, L., und Trávnicek, V.:
Kraft-Wärme-Kopplung
in der Tschechischen Republik
H. 11, S. 66–71

Johnsen, F.:
Der Bau von Anlagen zur Gewinnung erneuerbarer Energien in Dänemark
Biomasse-Kraftwerk, Windkraftanlagen
H. 9, S. 88–92

Junghahn, E., und Krumm, R.:
Höchste Anlagenverfügbarkeit durch den Einsatz von Schnellumschalteinrichtungen
H. 7, S. 44–47

K

Kalaitzis, D., siehe Abt, K.O.:
H. 4, S. 34–37

Kasper, K.J.:
Der SWR 1000 – ein neues Siedewasserreaktor-Konzept
H. 4, S. 21–25

Kastning, M., siehe Seidel, J.:
H. 11, S. 56–59

Kather, A., siehe Heitmüller, R.J.:
H. 5, S. 75–82

Kehr, M., Gade, U., und Schettler, H.:
Entwicklungspotentiale innerhalb der 800-/900-MW-Kraftwerksgeneration der VEAG
H. 8, S. 18–28

Keil, U., und Thiemann, H.:
Auswirkungen von verfahrenstechnischen Optimierungen auf die Modulstandzeiten der Umkehrosmoseanlage in Leuna
H. 9, S. 76–83

Kienreich, R., siehe Cerjak, H.:
H. 11, S. 87–89

Kivelä, M., siehe Nieminen, J. :
H. 10, S. 130–135

Kjær, S., und Thomsen, F.:
Stand der fortgeschrittenen überkritischen fossilbefeuerten Dampfkraftwerke im ELSAM-Bereich
H. 6, S. 31–35

Klemmer, P.:
Die Klimadebatte
H. 3, S. 29–33

Köhler, W., siehe Griem, H.:
H. 1, S. 30–39

Kräenfeld, K., siehe Sticher, W.:
H. 7, S. 48–52

Kral, R., siehe Franke, J.:
H. 9, S. 40–45

Krämer, G.:
Effektiv instandhalten? Modell zur Ermittlung einer zustandsbezogenen, kostenorientierten Instandhaltungsstrategie
H. 12, S. 72–75

Krapf, H., siehe Steiner, E.K.:
H. 12, S. 45–48

Kremer, H., siehe Hackert, G.:
H. 2, S. 65–69

Kremser, U., siehe Manth, Th.:
H. 1, S. 76–78

Krüger, H., siehe Schirmer, U.:
H. 4, S. 70–75

Krüger, J., siehe Schirmer, U.:
H. 4, S. 70–75

Krumm, R., siehe Junghahn, E.:
H. 7, S. 44–47

L

Larsen, O.H., siehe Henriksen, N.:
H. 12, S. 91–98

Lasthaus, D., Tigges, K.D., und Schettler, H.:
Regelung einer modernen Braunkohlen-Staubfeuerung am Beispiel des 930-MW (el.)-Dampferzeugers für das Kraftwerk Lippendorf
H. 1, S. 60–64

Lechner, O.:
Vom Benediktinerkloster als geistlichem Energieunternehmen
H. 12, S. 42–44

Lehmann, B., siehe Necker, P.:
H. 4, S. 26–33

Lenk, P., siehe Oehmigen, H.-G.:
H. 2, S. 80–86

Lenk, U.:
Familienzuwachs: Neue Gasturbine V94.2A von Siemens
H. 6, S. 36–40

Levy, D., siehe Roulet, V.:
H. 9, S. 34–39

Liebert, J., Brand, B., Schwarz, W., Sgarz, G., und Umminger, K.:
Unterstützung des Betriebes von DWR-Anlagen durch die Forschungsvorhaben UPTF und PKL
H. 8, S. 33–40

van Liere, J., und Bestebroer, Sigrid I.:
„Source to Service" – von der Ressource bis zum Service
Eine umfassende Strategie zur Reduzierung der Treibhausgase
H. 5, S. 101–104

Liersch, G., Mattern, J. ,und Danisch, R.:
Die neue Kernkraftwerks-Reaktorgeneration: EPR und SWR 1000
H. 8., S. 90–94

Linnemann, C., siehe Adamietz, M.:
H. 8, S. 41–47

Loogk, Maria, siehe Walter, G.:
H. 12, S. 49–54

Loth, R., siehe Wippel, B.:
H. 12, S. 55–59

Lucat, P., siehe Roulet, V.:
H. 9, S. 34–39

Lungwitz, H., siehe Sänger, M.:
H. 6, S. 64–69

M

Maier, H., Benz, J., Triebel, W., und Buck, P.:
SCR-Technologie – Betriebsverhalten, Wechselstrategie, Regeneration
H. 8, S. 66–70

Maier, H., siehe Benz, J.:
H. 7, S. 60–63

Maier, H., Waldhauser, H., Triebel, W., und Buck, P.:
Auswirkungen der versuchsweisen Mitverbrennung von thermisch getrocknetem Klärschlamm in einem Steinkohlekraftwerk
H. 3, S. 64–67

Mandel, H., Eurich, K., und Tielsch, P.:
Ergebnisse aus Montage, Inbetriebnahme und Abnahmemessung der beiden 800-MW-Entnahme-Kondensationsturbinen im Kraftwerk Schwarze Pumpe
H. 9, S. 53–60

Mangu-Totolo, Craita, siehe Chercea, G.:
H. 10, S. 136–142

Manß, G., siehe Bethge, F.:
H. 2, S. 70–74

Manth, Th., Frenzel, J., und Kremser, U.:
Einsatz von Ultrafiltration und Umkehrosmose bei der Produktion von demineralisiertem Wasser
H. 1, S. 76–78

Mattern, J., siehe Liersch, G.:
H. 8, S. 90–94

Mattern, J., siehe Brosche, D.:
H. 11, S. 24–30

Mayer, A.G.:
Brennstoff-Portfolio- und Risiko-Management für einen deregulierten Energiemarkt
H. 2, S. 24–25

Meierer, M., Elmer, N., und Blöchl, H.:
Betriebliche Bewährung einer neuartigen Verfahrenskombination zur Aufbereitung ammoniakhaltiger Kraftwerksabwässer
H. 2, S. 75–78

Mengel, A., siehe Gade, U.:
H. 11, S. 38–41

Michels, B., Weidmann, B., Brinkmann, K., Deeskow, P., und Schulze, E.:
Erste Betriebserfahrungen mit der On-line-Diagnose in einem 350-MW-Kraftwerk
H. 11, S. 31–37

Mory, A., und Tauschitz, J.:
Mitverbrennung von Biomasse in Kohlekraftwerken
H. 1, S. 65–70

Müller, H., siehe Heitmüller , R.J.:
H. 2, S. 53–57

Muschelknautz, E., siehe Muschelknautz, U.:
H. 4, S. 58–63

Muschelknautz, U., und Muschelknautz, E.:
Abscheideleistung von Rückführzyklonen in Wirbelschichtfeuerungen
H. 4, S. 58–63

N

Nacke, H.:
Die KRAFTWERKSSCHULE E.V.
seit August 1998 mit einer Außenstelle
in Österreich vertreten
H. 3, S. 85–87

Nagler, Th., und Schenck, K.:
Durchflußmessung an Turbinenlagern – Eine
Maßnahme zur Verhütung von Schäden
H. 7, S. 35–38

Nagy, O., siehe Ösz, J.:
H. 4, S. 88–94

Necker, P., Schäfer, K.-H., Lehmann, B., und Seeger, R.:
Inbetriebnahme und erste Betriebserfahrungen
mit dem Heizkraftwerk 2 (HKW 2)
der Neckarwerke Stuttgart AG am Standort
Altbach/Deizisau
H. 4, S. 26–33

Nieder, D., Schneider-Kühnle, P., und Wolter, D.:
Einführung der Zinkdosierung
im Kraftwerk Biblis, Block B
H. 5, S. 105–107

Nieminen, J. , Palonen, J., und Kivelä, M.:
Zirkulierende Wirbelschichtanlage für Biomasse-
vergasung – THERMIE-Demonstrationsprojekt
in Lahti/Finnland
H. 10, S. 130–135

Nowi, A., und Walker, P.J.:
Erste Meßergebnisse an Turbinen
mit neuer Schaufelgeneration
H. 12, S. 60–65

O

Oehmigen, H.-G., Lenk, P., Schulze, Anne, Proft, Daniela, und Bretfeld., H.:
Das Verhalten der Schweißverbindung
des Stahles X11CrMoWVNb9-1-1 unter Zeit-
standbeanspruchung
H. 2, S. 80–86

Ösz, J., Salamon, T., Nagy, O., und Tilky, P.:
Minimierung des Korrosionsrisikos der Dampf-
erzeuger im Kernkraftwerk Paks
H. 4, S. 88–94

Olesen, M.P.:
Die industrielle Symbiose in Kalundborg
H. 10, S. 83–85

Oswald, J.:
Ein lohnender Aufwand – Erfahrungen aus einer
Umweltbetriebsprüfung in einem Kernkraftwerk
H. 3, S. 73–75

P

Palonen, J., siehe Nieminen, J.:
H. 10, S. 130–135

Paul, S., siehe Schäfer, J.:
H. 8, S. 48–53

Paulsen, H.M., Haneklaus, Silvia, und Schnug, E.:
Eignung von SAV-Produkten zur Deckung
des Schwefelbedarfs von Ackerkulturen
H. 7, S. 74–78

Pfeiffer, G., Bittner, M., und Probst, H.:
Betrachtung des Eigenbedarfsschutzes in
leistungsstarken und leistungsschwachen Netzen
H. 12, S. 66–70

Pflug, H., siehe Hein, M.:
H. 3, S. 79–84

Popp, H.:
Der Norm-Entwurf DIN 6779-10/Mai 1998
„Kennzeichnungssystematik für technische Pro-
dukte und technische Produktdokumentation;
Teil 10: Kraftwerke“ – Kommentare und Erläute-
rungen
H. 3, S. 55–59

Probst, H., siehe Pfeiffer, G.:
H. 12, S. 66–70

Proft, Daniela, siehe Oehmigen, H.-G.:
H. 2, S. 80–86

Pruschek, R., Haupt, G., Zimmermann, G., und Ullrich, N.:
Sind Kombi-Kraftwerke mit integrierter Kohle-
vergasung wettbewerbsfähig?
H. 5, S. 69–74

Puls, R., siehe Sticher, W.:
H. 7, S. 48–52

R

Radulescu, M., siehe Chercea, G.:
H. 10, S. 136–142

Reh, L., siehe Hugi, E.:
H. 4, S. 64–69

Reichel, H.-H.:
Verdampferschäden durch Ablagerungen in Ver-
bindung mit Feuerungsänderungen
H. 10, S. 92–96

Reinharter, E., siehe Gilli, P.G.:
H. 11, S. 72–76

Renique, A.J.E.G.:
Fachspezifische oder generalistische Sicht: Not-
wendigkeit einer „ganzheitlichen“ Fachkenntnis
H. 3, S. 26–28

Renz, U., siehe Schäfer, J.:
H. 8, S. 48–53

Rieks, H.-J.:
3D-Geometriebestimmung in Industrieanlagen
As-built-Anlagendokumentation
H. 6, S. 80–87

Röckl, A., und Hein, D.:
Wärmeübertragung und Schadstoffbildung
bei Variation betrieblicher und konstruktiver
Brennerparameter
H. 7, S. 54–59

Roulet, V., Lucat, P., und Levy, D.:
Zwei Jahre Betriebserfahrung mit der 250-MW-
ZWSF der SOPROLIF im Kraftwerk Provence
H. 9, S. 34–39

Rühle, W., Enkler, G., und Bolz, M.:
Einsatz von Membranverfahren zum Entzug von
Lithium und zur Borsäurekontrolle im Primär-
kreislauf von Druckwasserreaktoren
H. 10, S. 143–145

S

Salamon, T., siehe Ösz, J.:
H. 4, S. 88–94

Sandelin, K., Backman, R., Wärnström, U., und Siikavirta, Hanne:
Prozeßstörungen beim REA-Naßwaschverfahren
als Folge von Aluminiumfluorid-Verschmutzun-
gen
H. 7, S. 64–67

Sänger, M., Werther, J., Hanßen, H., und Lungwitz, H.:
Quecksilberabscheidung bei der Verbrennung
von Klärschlämmen
H. 6, S. 64–69

Schäfer, J., Renz, U., und Paul, S.:
Mathematische Modellierung eines Dampf-
erzeugers mit zirkulierender Wirbelschicht
unter der Zielsetzung einer Echtzeitsimulation
– Ergebnisse des VGB-Forschungsprojektes 151
H. 8, S. 48–53

Schäfer, K.-H., siehe Necker, P.:
H. 4, S. 26–33

Schäfer, R., und Haaker, H.:
Einführung eines prozeßorientierten Qualitäts-
managementsystems für den Planungsbereich
eines Verbund-EVU
H. 7, S. 41–43

Schäfers, W., siehe Walter, M.:
H. 6, S. 60–63

Schallert, B., und Geißler, K.-P.:
Umkehrosmoseanlage im Kraftwerk Schkopau
– Erste Betriebserfahrungen
H. 8, S. 77–80

Schatz, U.:
Kooperation von Betreiber und Konstrukteur
führt zur effektiven Auslegung von Eckrohr-
Müllkesseln
H. 11, S. 42–45

Scheffknecht, G., siehe Schröder, H.Chr.:
H. 4, S. 46–52

Schenck, K., siehe Nagler, Th.:
H. 7, S. 35–38

Schepers, W., und Hagemann, O.:
Optimierung der On-line- und Off-line-Wäsche
an einer 26-MW-Gasturbine unter besonderer
Berücksichtigung der Leistungssteigerung
H. 3, S. 46–54

Scherer, D., siehe Waller, H.:
H. 9, S. 67–71

Schettler, H., siehe Kehr, M.:
H. 8, S. 18–28

Schettler, H., siehe Lasthaus, D:
H. 1, S. 60–64

Scheurlen, M.:
Aero-thermische Auslegung und Erprobung
der Schaufelblätter für eine fortschrittliche Gas-
turbinengeneration
H. 3, S. 41–45

Schilling, H.-D.:
Kurzbericht über die Tätigkeit der VGB TECH-
NISCHEN VEREINIGUNG DER GROSS-
KRAFTWERKSBETREIBER E.V.
1998/1999
H. 10, S. 55–77

Schirmer, U., Krüger, H., und Krüger, J.:
Erfahrungen mit dem Betrieb von Katalysatoren
in Abfallverbrennungsanlagen
H. 4, S. 70–75

Schlessing, J., siehe Schröder, H.Chr.:
H. 2, S. 58–64

Schlessing, J.:
Optimaler Betrieb und Einsatz der Heizflächenreinigung in Dampferzeugern
H. 8, S. 54–59

Schmidt, H., siehe Griem, H.:
H. 1, S. 30–39

Schmidt, W., und Dietl, R.:
Technischer Großversuch zur Mitverbrennung von Biomasse in einem Braunkohlekraftwerk
H. 4, S. 76–81

Schmitt, D.:
Erfahrungen mit der Liberalisierung des Strommarktes in den europäischen Ländern
H. 2, S. 26–31

Schmittecker, B.M., Henke, K.-P., und Bergmann, R.:
Kühlwasserbehandlung mit Ozon – Betriebserfahrungen aus dem Großkraftwerk
H. 4, S. 82–87

Schneider, G., siehe Benz, J.:
H. 7, S. 60–63

Schneider-Kühnle, P., siehe Nieder, D.:
H. 5, S. 105–107

Schnug, E., siehe Paulsen, H.M.:
H. 7, S. 74–78

Schönert, K., siehe Werner, V.:
H. 1, S. 56–59

Schönfeld, P.:
Firewall-Systeme zum Schutz der Datenkommunikation in Kraftwerken
H. 10, S. 110–112

Schröder, H.Chr., Engesser, H., Scheffknecht, G., und Stierstorfer, H.:
Erfahrungen bei der Planung von Gasturbinen-(GT-)Anlagen mit nachgeschalteten Abhitzedampferzeugern (AHDE) in bezug auf deren Regelwerkskonformität
H. 4, S. 46–52

Schröder, H.Chr., und Schlessing, J.:
Sichere Feuerung unter Berücksichtigung des Umweltschutzes
H. 2, S. 58–64

Schröder, J.J., siehe Adamietz, M.:
H. 8, S. 41–47

Schubert, G., und Hantschel, J.:
Optimierung elektrischer Eigenbedarfsschaltungen als Folge einsträngiger verfahrenstechnischer Auslegungen und Wirtschaftlichkeitsvorgaben
H. 9, S. 72–75

Schubert, M., siehe Auel, W.:
H. 8, S. 60–65

Schulze, Anne, siehe Oehmigen, H.-G.:
H. 2, S. 80–86

Schulze, E., siehe Michels, B.:
H. 11, S. 31–37

Schwarz, W., siehe Liebert, J.:
H. 8, S. 33–40

Schweimler, J.:
Erfahrungen mit langen Reisezeiten ohne Hauptrevision am Beispiel von fünf Großturbosätzen in einem Braunkohlenkraftwerk
H. 11, S. 47–55

Seeger, R., siehe Necker, P.:
H. 4, S. 26–33

Seewald,H., siehe Hackert, G.:
H. 2, S. 65–69

Seidel, J., und Kastning, M.:
Zentrale oder dezentrale Anordnung der Elektro- und Leittechnik-Einrichtungen
H. 11, S. 56–59

Seifert, U., siehe Guderian, J.:
H. 3, S. 68–72

Serres, R. und Carbonnier, D.:
Die Leistungen des französischen Kernkraftwerksparks – Ergebnisse und Perspektiven
H. 8, S. 29–32

Sgarz, G., siehe Liebert, J.
H. 8, S. 33–40

Siepe, M., siehe Sticher, W.:
H. 7, S. 48–52

Siikavirta, Hanne, siehe Sandelin, K.:
H. 7, S. 64–67

Simmons, J., siehe Gilli, P.G.:
H. 11, S. 72–76

Sindelar, R.:
Vorteile der geregelten inneren Turbinenleistung gegenüber der Turbogeneratorleistung
H. 1, S. 51–54

Singh, R.:
Energie im Zeitalter wachsenden Umweltbewußtseins: Wege in eine energiewirtschaftlich positive Zukunft
H. 9, S. 27–33

Skriver, Alice E., und Fogh, F.:
Kreide als Absorptionsmittel in der Entschwefelungsanlage des Blockes 3 im Enstedværket
H. 6, S. 70–73

Smitshuysen, E.F., siehe Jensen, J.P.:
H. 7, S. 28–31

Sparmann, A., siehe Heinze, G.:
H. 12, S. 87–90

Spliethoff, H., siehe Bauer, Chr.:
H. 2, S. 47–52

Stadtmüller, H.:
Blockheizkraftwerke der Isar-Amperwerke – Realisierungserfahrungen
H. 5, S. 92–95

Stahl, D., und Wang Xiao Bai:
Siemens in China: Durchbruch mit Dampfkraftwerken
H. 7, S. 21–24

Stegemann, H., siehe Worlitz, F.:
H. 6, S. 54–59

Steinbrecht, D., siehe Hausmann, B.:
H. 9, S. 46–52

Steiner, E.K., und Krapf, H.:
Alterungsmanagement in deutschen Kernkraftwerken
H. 12, S. 45–48

Sticher, W., Kräenfeld, K., Siepe, M., und Puls, R.:
Separate Koksofengas-Mitverbrennung im Kraftwerk Huckingen – Umbaumaßnahmen und Betriebsergebnisse
H. 7, S. 48–52

Stierstorfer, H., siehe Schröder, H.Chr.:
H. 4, S. 46–52

Strauß, K., siehe Berger, Susanne:
H. 1, S. 40–45

Strohhäcker, J., siehe Fichte, W.:
H. 1, S. 79–83

Sturm, A.:
Wissenbasierte Betriebsführung und Instandhaltung von Energieversorgungsanlagen
H. 6, S. 46–53

Sun, Yuliang, siehe Xu, Yuauhui:
H. 11, S. 19–23

T

Taag, H.-J.:
Reliability-Centred Maintenance (RCM)
H. 12, S. 77–81

Tai, P.T., siehe Jaeger, M.:
H. 6, S. 74–78

Tauschitz, J., siehe Mory, A.:
H. 1, S. 65–70

Thiemann, H., siehe Keil, U.:
H. 9, S. 76–83

Thomsen, F., siehe Kjær, S.:
H. 6, S. 31–35

Tielsch, P., siehe Mandel, H.:
H. 9, S. 53–60

Tigges, K.D., siehe Lasthaus, D.:
H. 1, S. 60–64

Tilky, P., siehe Ösz, J.:
H. 4, S. 88–94

Titze, B., siehe Engelfried, R.:
H. 12, S. 99–104

Trávnicek, V., siehe Jílek, L.:
H. 11, S. 66–71

Triebel, W., siehe Benz, J.:
H. 7, S. 60–63

Triebel, W., siehe Maier, H.:
H. 3, S. 64–67

Triebel, W., siehe Maier, H.:
H. 8, S. 66–70

U

Ullrich, N., siehe Pruschek, R.:
H. 5, S. 69–74

Umminger, K., siehe Liebert, J. :
H. 8, S. 33–40

V

Valk, M., und Weisser, H.:
Moderne Vormischbrenner für Gasturbinen: Technologie und Probleme aus Sicht des Versicherers
H. 3, S. 34–39

Vilhelmsen, T., siehe Henriksen, N.:
H. 12, S. 91–98

Vollmer, H.:
Primärenergieverbrauch in Westeuropa: Stand, Ausblick und Bereitstellung nach Energieträgern
H. 1, S. 46–50

Vollmer, H.:
Primärenergieverbrauch in Osteuropa: Stand, Ausblick und Bereitstellung nach Energieträgern
H. 2, S. 38–42

Voß, A.:
Nachhaltigkeit in der Energieversorgung – Relevante Stromerzeugungstechniken auf dem Prüfstand
H. 1, S. 25–29

W

Wachsmuth, H., siehe Waldner, F.:
H. 11, S. 78–80

Wagner, Christina, siehe Guderian, J.:
H. 3, S. 68–72

Waldhauser, H., siehe Maier, H.:
H. 3, S. 64–67

Waldner, F., Wünsch, G., und Wachsmuth, H.:
Arsen in gebrauchten DENOX-Katalysatoren: Ein Verfahren zur chemischen Bewertung
H. 11, S. 78–80

Walker, P.J., siehe Nowi, A.:
H. 12, S. 60–65

Waller, H., und Scherer, D.:
Redundanz, Zuverlässigkeit, Verfügbarkeit – was ist wirtschaftlich vertretbar?
H. 9, S. 67–71

Walter, G., Loogk, Maria, und Heuer, V.:
Schädigung von keramischen Faserauskleidungen in wärmetechnischen Anlagen durch Strömungskräfte und Partikeln
H. 12, S. 49–54

Walter, M., und Schäfers, W.:
In-situ-Messung von O_2, H_2O, CO_2 und HCl im Rauchgas von Abfallverbrennungsanlagen mittels NIR-Spektroskopie
H. 6, S. 60–63

Wärnström, U., siehe Sandelin, K.:
H. 7, S. 64–67

Weidmann, B., siehe Michels, B.:
H. 11, S. 31–37

Weiher, R., siehe Gade, U.:
H. 11, S. 38–41

Weiher, R., siehe Hausmann, B.:
H. 9, S. 46–52

Weiler, H., und Beiers, H.-G.:
Erfahrungen beim Bau und Betrieb einer komplexen Rauchgasreinigungsanlage in einem Raffineriekraftwerk
H. 8, S. 71–76

Weisser, H., siehe Valk, M.:
H. 3, S. 34–39

Welp, H., siehe Heinze, G.:
H. 12, S. 87–90

Werner, V., Zelkowski, J., und Schönert, K.:
Beurteilung des Mahlverhaltens von Kraftwerkskohlen durch ein neues Laborverfahren
H. 1, S. 56–59

Wernicke, D.:
Zur Beurteilung von Abnahmeversuchen an Naßkühltürmen
H. 10, S. 113–116

Werther, J., siehe Sänger, M.:
H. 6, S. 64–69

Wieder, R.:
Das neue Arbeitsschutzgesetz und seine Auswirkungen auf die betriebliche Praxis
H. 5, S. 96–100

Wiersema, H.T., siehe Bongers, J.W.M.:
H. 7, S. 25–27

Wilbrand, K., siehe Bethge, F.:
H. 2, S. 70–74

Wippel, B., und Loth, R.:
Rechnerischer Systemvergleich zum dynamischen Verhalten einer Kombi-Anlage mit Zwangdurchlauf- bzw. Zwangumlaufkessel bei Laständerungen
H. 12, S. 55–59

Wirtz, S., siehe Hackert, G.:
H. 2, S. 65–69

Wittchow, E., siehe Franke, J.:
H. 9, S. 40–45

Wolff, U., siehe Abt, K.O.:
H. 4, S. 34–37

Wolter, D., siehe Nieder, D.:
H. 5, S. 105–107

Worlitz, F., Stegemann, H., und Hampel, R.:
Vollständig aktiv magnetgelagerte Turbomaschinen für Anwendungen in der Kraftwerkstechnik
H. 6, S. 54–59

Woyke, W.:
Y2K aus Sicht der Energieversorger
H. 11, S. 60–65

Wünsch, G., siehe Waldner, F.:
H. 11, S. 78–80

X

Xu, Yuauhui, und Sun, Yuliang:
Der gasgekühlte 10-MW-Hochtemperaturreaktor in Peking
H. 11, S. 19–23

Z

Zabelt, K., Zschau, H.-E., Bethge, K., Baumann, H., und Hofmann, D.:
Untersuchung von betriebsbeanspruchten Belagschichten auf martensitischen und austenitischen Stählen unter Anwendung von Verfahren der Ionenstrahlanalytik
H. 8, S. 84–89

Zelkowski, J., siehe Werner, V.:
H. 1, S. 56–59

Zimmermann, G., siehe Pruschek, R.:
H. 5, S. 69–74

Zschau, H.-E., siehe Zabelt, K.:
H. 8, S. 84–89

A

Abnahmeversuche an Kühltürmen H. 10, S. 113

Absicherungsstrategie H. 2, S. 25

Abwasser
— Aufbereitung ammoniakhaltiger Kraftwerksabwässer H. 3, S. 79
— Strippen ammoniakhaltiger Kraftwerksabwässer H. 2, S. 75

Abwasserkanäle, aktuelle Überprüfung H. 11, S. 81

Adsorption von Ammoniak aus Kraftwerksabwässern an Clinoptilolith H. 3, S. 79

Aktivkoksanlagen H. 3, S. 68
— Schleichströmungen H. 3, S. 68
— Sicherheitskriterien H. 3, S. 68
— Temperaturexkursion H. 3, S. 68

ALFA-Kolloquium H. 3, S. 76

Alterung
— elektrotechnischer Komponenten H. 12, S. 46
— leittechnischer Komponenten H. 12, S. 46
— von Kernkraftwerken H. 12, S. 45
— von Kunststoffen H. 12, S. 48

Aluminiumfluorid in Naßwäsche H. 6, S. 64

Aluminiumfluorid-Komplexe H. 6, S. 64

Ammoniak
— Entfernung aus Kraftwerksabwässern durch Adsorption H. 3, S. 79
— Entfernung aus Kraftwerksabwässern durch Strippen H. 2, S. 75

Ammoniakwasser H. 1, S. 71

Anlagendokumentation, komplexe Anlagen in ihrer Gesamtheit H. 6, S. 82

Arbeitsschutzgesetz (ArbSchG) H. 5, S. 96

Artikelgesetz H. 5, S. 96

Ausbildungszentrum der Österreichischen Papierindustrie H. 3, S. 85

Aus der Wissenschaft H. 10., S. 155

Ausfallhäufigkeit H. 12, S. 77

Austauschinstandsetzung H. 6, S. 52

Auto-Oxidation H. 12, S. 92

B

Back-to-Back-Vertrag H 2, S. 25

bautechnische Alterung H. 12, S. 47

Belagschichten auf martensitischen und austenitischen Stählen H. 8, S. 84-89

Beschichtungsapplikation, Auftragsmenge und Mindestschichtdicke H. 12, S. 102

Beschichtungslagen, Prüfung der Haftung H. 12, S. 103

Besondere Ereignisse in EDF-Kernkraftwerken H. 8, S. 30

Bestandsdokumentation/ Form und Qualität H. 6, S. 80

Betonbauteile, beschichtete, bauphysikalische Probleme H. 12, S. 101

Betonschutz, vorbeugend, Polymerberschichtung, Kühlturmaußenseite H. 12, S. 100

Betriebserfahrungen
— Kraftwerk Buggenum H. 4, S. 53
H. 5, S. 69
— Kraftwerk Provence H. 9, S. 34

Betriebsführung, wissenbasierte H. 6, S. 46
— orts- und zeitbezogene Informationen H. 6, S. 80

Betriebsführungssystem
— modular H. 6, S. 47
— Kraftwerk H. 4, S. 34
— Sicherheitsmanagement H. 4, S. 34
— Umweltmanagement H. 4, S. 34

Betriebswärter-Lehrgang H. 3, S. 85

Biobrennstoff, Kesseltemperatur H. 9, S. 89

Biomasse
— Mitverbrennung H. 1, S. 65
H. 4, S. 76
H. 9, S. 88
— Vergasung H. 10, S. 130

Biomasse-Heizkraftwerke, Entwicklungsprogramm in Dänemark H. 9, S. 88

Biomasse-Mitverbrennung
— Alkali-Kat-Vergiftung H. 1, S. 65
— Biomasse-Mühle H. 1, S. 65
— Biomasse-Rost H. 1, S. 65
— Biomasse-Vergaser H. 1, S. 65
— Biomasse-Zufeuerung H. 1, S. 65
— Brennstoff-Verweilzeit H. 1, S. 65
— CO_2-Reduzierung H. 1, S. 65
— Holzrinden-Rostfeuerung H. 1, S. 65
— Holz-Schredder H. 1, S. 65
— Reburning H. 1, S. 65
— Rindenlager-Verdichtung H. 1, S. 65
— Schubboden H. 1, S. 65

Biomasseverwendung, Auswirkungen H. 9, S. 90

Blockheizkraftwerke, langjährige Betriebserfahrungen H. 5, S. 92

Bor, Entzug im DWR-Primärkreislauf durch Membranverfahren H. 10, S. 143

Brandmeldung, Gassensorik H. 9, S. 93

Brandschutz
— Brandschutzanalysen in KKW H. 9, S. 93
— Brandschutzkonzepte H. 9, S. 93
— dänische Kraftwerke H. 9, S. 93
— Feuerwehr im Kraftwerk H. 9, S. 93
— Förderbänder/Bandstraßen H. 9, S. 93
— Harmonisierung der Normung H. 9, S. 93
— Kabelkanäle H. 9, S. 93
— schwer brennbare Flüssigkeiten H. 9, S. 93
— Zuverlässigkeit in KKW H. 9, S. 93

Braunkohletrockung
— Aufheizphase H. 1, S. 40
— Entspannungsverdampfung H. 1, S. 40
— mechanisch-thermische Entwässerung H. 1, S. 40
— Nachentwrasung H. 1, S. 40
— Pilot-Presse H. 1, S. 40
— Preßphase H. 1, S. 40
— Vortrocknungsstufe H. 1, S. 40
— Wasserinhaltsstoffe H. 1, S. 40

Brenner H. 3, S. 34
— EV-Brenner H. 3, S. 34
— DLN-Brenner H. 3, S. 34
— HR-Brenner, Siemens H. 3, S. 34
— Vormischbrenner H. 3, S. 34

Brennkammerverschmutzung
— Kohleeigenschaften H. 2, S. 53
— Kohlenstaubverteilung H. 2, S. 53
— mathematisches Modell H. 2, S. 53
— Partikel-Flugbahn, Abbrandfortschritt H. 2, S. 53
— Partikel-Wandhaftung H. 2, S. 53
— Strömungssimulation, Abbrand, Wärmeübertragung H. 2, S. 53
— Trichter-, Brenner-, Rücksaugkopf-Verschlackung H. 2, S. 53

Brennstoffmix H. 2, S.24

Brennstoff-Portfolio, Management H. 2, S. 24

Brennstoffverbrauch
— Osteuropa H. 2, S. 39
— Westeuropa H. 1, S. 47

C

Chemie, VGB-Tätigkeiten H. 10, S. 65

China, Rauchgasentschwefelung H. 12, S. 82

Containment
— Druck- und Kondensationskammer H. 8, S. 93

Containment-Flutung H. 11, S. 27

CO_2-Emissionen H. 3, S. 29

CO_2-Emissionen, Osteuropa H. 2, S. 42

CO_2-Reduktion H. 3, S. 29

D

Dampferzeuger für die nächste Kraftwerksgeneration, Gesichtspunkte zur Auslegung und zum Betrieb H. 9, S. 40

Dampferzeuger
— Heizrohrleck H. 8, S. 35
— Korrosionsminimierung im KKW Paks H. 4, S. 88

Dampferzeugeranlagen, Wasserstoffmessungen H. 1, S. 79

Dampfgasvorwärmerbetrieb H. 1, S. 71

Dampfkraftwerk
— Dampfparameter (überkritisch) H. 6, S. 31
— Klima H. 7, S. 21
— Markt H. 7, S. 21
— Wasserkraft H. 7, S. 21
— Werkstoffe H. 6, S. 31
— Wirkungsgrad H. 6, S. 31

Dampfturbine
— Abnahmemessung Schwarze Pumpe H. 9, S. 53
— Braunkohlekraftwerke H. 9, S. 47
— Fernheizturbine H. 9. S. 105
— Inbetriebnahme Schwarze Pumpe H. 9, S. 53
— Meßergebnisse H. 9, S. 60
— neue Schaufelgeneration H. 9, S. 60
— Revision H. 9, S. 47
H. 9, S. 105

Datenkommunikation, Schutz H. 10, S. 110

Demonstrationskraftwerk Buggenum H. 4, S. 53
H. 5, S. 69

DENOX-Anlage bei Ölfeuerung H. 8, S. 71

DENOX-Betriebserfahrungen H. 8, S. 66

DENOX-Katalysatoren in MVA
— Aufheizgeschwindigkeit H. 4, S. 70
— Feuerungssituationen H. 4, S. 70
— Reaktionen mit $C_{org.}$ H. 4, S. 70
— Rostfeuerungen H. 4, S. 70
— Sicherheitsrelevanz H. 4, S. 70
— Temperaturexkursion H. 4, S. 70

dezentrale Energieerzeugung H. 5, S. 103

Diodenlaser H. 6, S. 60

Discretio H. 12, S. 43

Diversifikation, Brennstoffmix H. 2, S. 25

Doppelcontainment, innen horizontal und vertikal vorgespannt H. 8, S. 92

Druckwasserreaktor
— Forschungsvorhaben PKL H. 8, S. 33
— Forschungsvorhaben UPTF H. 8, S. 33
— Naturumlauf H. 8, S. 33
— passive Bespeisung H. 8, S. 35
— Primärkreisleck H. 8, S. 33
— sekundärseitige Druckentlastung H. 8, S. 35

Düngemittel
— Calcium H. 7, S. 74
— Schwefel H. 7, S. 74

DWR-Anlagen
— Einsatz von Membranverfahren im Primärkreislauf H. 10, S. 143
— Korrosionsminimierung im KKW Paks H. 4, S. 88
— Neues Sipping-Verfahren H. 7, S. 68
— Zinkdosierung im KKW Biblis H. 5, S. 105

DWR-Baulinien, evolutionäre Entwicklung H. 8, S. 90

Dynamis H. 12, S. 43

E

Echtzeitsimulation von ZWSF H. 8, S. 48

Eckrohr-Müllkessel, Auslegung und Konstruktion H. 11, S. 42

Effizienzsteigerung H. 9, S. 31

Eigenbedarf
— Betrachtung des Schutzes H. 12, S. 66
— optimierte Schaltungen H. 9, S. 72

Eisenbrand
— Feuerungssituationen H. 4, S. 70
— im Gas/Gas-Wärmetauscher H. 4, S. 70
— in SCR-DENOX H. 4, S. 70
— Reaktionen mit $C_{org.}$ H. 4, S. 70
— Wärmetauscher bei SCR H. 4, S. 70

Eisenchelate H. 6, S. 74

Elektro- und Leittechnikanordnung
— dezentral H. 11, S. 56
— zentral H. 11, S. 56

Elektrofilter, Naßtechnik H. 8, S. 71

Emissionsdaten MHKW H. 1, S. 71

Emissionsmessung
— Abfallverbrennungsanlagen H. 6, S. 60
— in situ H. 6, S. 60
— O_2, H_2O, CO_2, HCl H. 6, S. 60

Emissionsminderung H. 1, S. 71
— Aktivkoksverfahren H. 1, S. 71
— Inertisierung von Aktivkoks H. 1, S. 71

Energeia H. 12, S. 43

Energie-Infrastruktur H. 5, S. 102

Energieoptionen, langfristig H. 9, S. 30

Energiepartnerschaft, global H. 9, S. 28

Energiepolitik H. 5, S. 106

Energierechtsnovelle H. 2, S. 26

Energiesysteme, nachhaltige H. 1, S. 26

Energieunternehmen, geistliche H. 12, S. 42

Energieverbrauchsprognosen H. 3, S. 29

Energieversorgung
— nachhaltige H. 1, S. 25
— Osteuropa H. 2, S. 38
— Westeuropa H. 1, S. 46

Entschwefelung in China H. 12, S. 82

Entwässerungsnetze, Struktur und Systeme H. 11. S. 82

Epoxidbeschichtung, UV-Licht, Kreiden und Schichtdicken-abnahme H. 12, S. 100

EPR-Containment, Modellversuche H. 8, S. 93/94

EPR-Reaktorgebäude, bautechnisches Konzept H. 8, S. 92

Ermüdung H. 12, S. 46

Exergieprinzip H. 5, S. 101

externe Kosten H. 1, S. 29

F

Fehlerkurven H. 12, S. 78/79

Feuerungssicherheit
— Luftstufung, Tertiärluft, Ausbrandluft H. 2, S. 58
— NO_x-arme Feuerung H. 2, S. 58
— Vorbelüftung, Flammen-überwachung H. 2, S. 58
— Zündstabilität, Ausbrand, Flammenhalter H. 2, S. 58

Firewall-Systeme
— Gefahren H. 10, S. 110
— Schutzmaßnahmen H. 10, S. 110

Forschung und Entwicklung, VGB-Tätigkeiten H. 10, S. 70

Forschungsgebiet
— Dampferzeuger H. 10, S. 155
— Mahlverhalten H. 1, S. 56

Forschungsprojekt zu Aktivkoks H. 3, S. 68

Forschungsprojekte im VGB-Programm H. 1, S. 56
H. 3, S. 68
H. 4, S. 58
H. 7, S. 74
H. 8, S. 48

Forschungsübersicht H. 7, S. 83

Fortschrittsdenken, Krise H. 12, S. 44

G

Gaskraftwerk
— Drallbrenner H. 7, S. 48
— Drallkörperverstellung H. 7, S. 48
— Gichtgas H. 7, S. 48
— Koksofengas-Mitverbrennung H. 7, S. 48
— Kondensatbildung H. 7, S. 48
— Mischgasbrenner H. 7, S. 48
— NO_x-Emission H. 7, S. 48
— Rauchgasrezirkulation H. 7, S. 48
— Turboverdichter H. 7, S. 48
— Venturi-Düse H. 7, S. 48

Gas-Sensor-Brandmelder
— Bekohlung H. 9, S. 93
— Schwelbrände H. 9, S. 93

Gasturbine
— Abhitzedampferzeuger H. 4, S. 46
— Belüften und Spülen der Rauchgaswege H. 4, S. 46
— Filmkühlung H. 3, S. 41
— Flammenüberwachung H. 4, S. 46
— Gasturbine V94.2A H. 4, S. 54
— Leistungssteigerung H. 3, S. 46
— On-line- and Off-line-Wäsche H. 3, S. 46
— Schaufelausführung H. 3, S. 41
— Sicherheitszeit H. 4, S. 46
— Temperaturverteilung H. 3, S. 41

Gebäudekondensator H. 11, S. 26

Gemeinschaftsforschung der VGB H. 10, S. 72

geodätisches Flutsystem H. 4, S. 22

Geometriebestimmung, dreidimensional H. 6, S. 82

Gesamtbetriebsführungssystem H. 6, S. 49

Gesundheitsschutz H. 5, S. 96

H

heimatnahe Ausbildung H. 3, S. 85

Heinrich-Mandel-Preis für Kraftwerkstechnik 1999 H. 1, S. 40
H. 12, S. 41

Heizkraftwerk
— Betriebserfahrungen H. 4, S. 26
— Umweltschutz H. 4, S. 26

Herausforderungen, Umwelt H. 9, S. 27

Hochspannungs-Gleichstrom-Übertragung (HGÜ) H. 5, S. 103

Hochtemperaturkorrosion von Überhitzerwerkstoffen H. 9, S. 84–87
— Werkstoffe für Überhitzerrohre H. 9, S. 85–87
H. 10, S. 146

Hochtemperaturreaktor H. 11, S. 19

HTR-10 H. 11, S. 19

I

Image der Ingenieure H. 3, S. 28

industrielle Symbiose H. 10, S. 83
— förderliche Aspekte H. 10, S. 85
— hinderliche Aspekte H. 10, S. 85
— Umweltaspekte H. 10, S. 84
— wirtschaftliche Aspekte H. 10, S. 84

Inspektion, Wartung, Instandhaltung
— Planung von Maßnahmen H. 6, S. 81

Instandhaltung
— Kernkompetenzen H. 6, S. 51
— wissenbasierte H. 6, S. 46

Instandhaltungsdatenbank H. 12, S. 80

Instandhaltungskapazitäten H. 6, S. 51

Instandhaltungsplanung H. 12, S. 77

Instandhaltungsstrategie H. 12, S. 72
— kostenorientiert H. 12, S. 72
— zustandsbezogen H. 12, S. 72

Instandsetzungsarten H. 6, S. 50

Instandsetzungszyklus H. 2, S. 45

J

Jahr-2000-Konformität, Maßnahmen
— Leittechnik H. 11, S. 60
— Qualitätssicherung H. 11, S. 60
— Versorgungssicherheit H. 11, S. 60

Jahr-2000-Konformität, VGB-Tätigkeiten H. 10, S. 60

K

Kalksteinpassivierung, Oberflächenadsorption H. 6, S. 64

Kaltumformung, Einfluß auf die Zeitstandfestigkeit von Überhitzerrohren H. 10, S. 147–148

Kaltwasser-Temperaturgarantie H. 10, S. 113

Kanaldaten, Schadensklassifizierung und Sanierungsplanung H. 11, S. 84

Kanaldatenerfassung, objektorientiertes Bestandsdokumentationssystem H. 11, S. 83

Kanalinspektion, Vorausbedingung und Ablaufschema H. 11, S. 83

Kanalnetze, Anforderungen, Betrieb und Unterhaltung H. 11, S. 81

Katalysator-Regeneration H. 8, S. 66

keramische Faserauskleidung
— Schädigung und Faserabtrag H. 12, S. 49

Kernbrennstoffkreislauf H. 8, S. 31

Kernenergie
— Diskussion H. 12, S. 29
— Nachhaltigkeit H. 1, S. 21
— Option H. 9, S. 32
— radioaktive Abfälle H. 1, S. 21
— Wettbewerb H. 1, S. 21

Kernkraftwerk Isar 2, Umweltbetriebsprüfung H. 3, S. 73

Kernkraftwerk Paks, Korrosion im Dampferzeuger H. 4, S. 88

Kernkraftwerke
— Alterungsmanagement H. 12, S. 45
— Betriebsberichte 1998 H. 5, S. 27
— Brennelement-Schäden H. 7, S. 27
— Brennstoffkreislauf H. 8, S. 31
— Einsatz von Membranverfahren im Primärkreislauf H. 10, S. 143
— HTR-10 H. 11, S. 19
— Nachrüstung H. 7, S. 25
— neue Sicherheitskonzepte H. 11, S. 24
— neues Sipping-Verfahren H. 7, S. 68
— passive Sicherheitseinrichtungen H. 11, S. 25
— periodische Sicherheitsüberprüfung H. 6, S. 27
— probabilistische Sicherheitsanalyse H. 6, S. 27
— radioaktive Abgaben in 1998 H. 5, S. 25
— Sicherheitsstatusanalyse H. 6, S. 27
— Störfallprobenahmesystem H. 10, S. 86
— Strahlenschutz H. 8, S. 29
— SWR-1000 H. 11, S. 24
— Unfallprobenahmesystem H. 10, S. 86
— Umweltauswirkungen H. 8, S. 31
— Verfügbarkeit in Frankreich H. 8, S. 31
— Verfügbarkeit in 1998 H. 5, S. 25
— Wettbewerbsfähigkeit H. 8, S. 29
— Zinkdosierung im KKW Biblis H. 5, S. 105
— 10-jährige Sicherheitsrevision H. 8, S. 30

Kernkraftwerkstechnik, VGB-Tätigkeiten H. 10, S. 67

Kernreaktorkonzepte
— HTR-10 H. 11, S. 19
— SWR 1000 H. 4, S. 21
H. 11, S. 24

Kesseldiagnosesystem KEDI H. 11, S. 32

Kesselspeisewasser
— Einsatz von Ultrafiltration und Umkehrosmose H. 1, S. 76
— Flußwasseraufbereitung mit Umkehrosmose/Ionenaustausch H. 8, S. 77
H. 9, S. 76

Klärschlamm-Mitverbrennung
— Aktivkohlefilter H. 3, S. 64
— Geruchsbelästigung H. 3, S. 64
— Kraftwerksnebenprodukte H. 3, S. 64
— Nullversuch H. 3, S. 64
— Prallplattenwaage, Bandwaage H. 3, S. 64
— Rauchgas-Emissionsmessungen H. 3, S. 64
— Reststoffqualität H. 3, S. 64
— TA Siedlungsabfall H. 3, S. 64
— Wasserberieselung H. 3, S. 64

Klärschlammverbrennung (mono) H. 6, S. 64
— Quecksilberabscheidung H. 6, S. 64
— HH-Köhlbrandshof H. 6, S. 64

Klimaforschung H. 3, S. 29

Klimakonferenz H. 9, S. 27

Kloster H. 12, S. 42

Kohle-Kombi-Kraftwerke
— Druckkohlenstaubfeuerung H. 2, S. 47/65
— Druckvergasung H. 4, S. 53
H. 5, S. 69

Kohlenstaub-Druckfeuerung
— Abbrand, Verweilzeit H. 2, S. 47
— Aufheizrate, Reaktionsrate H. 2, S. 47
— Blähverhalten H. 2, S. 65
— Brennkammerauslegung H. 2, S. 47
— Druckflugstromreaktor H. 2, S. 47
— Entgasung H. 2, S. 47
— Euler-Lagrange-Betrachtung H. 2, S. 65
— Flachflammenbrenner (FFB) H. 2, S. 65
— Hochtemperatur-Hochdruck-Fallrohrreaktor (KOALA) H. 2, S. 65
— Kohlepyrolyse H. 2, S. 65
— Koksabbrand H. 2, S. 47
— Kornspektrum, Partikeloberflächentemperatur H. 2, S. 47
— Partikelabbrand H. 2, S. 65
— Partikeltemperatur H. 2, S. 65
— Sauerstoffpartialdruck H. 2, S. 47
— Zweiphasenströmung H. 2, S. 65

Kohlevergasung in Kraftwerken H. 4, S. 53
H. 5, S. 69

Kollektivdosis H. 8, S. 30

Kondensator, luftgekühlt, Wärmeaustausch H. 10, S. 125

Konditionierung von Kühlwasser
mit Ozon H. 4, S. 82

Koordinator (VBG 1) H. 5, S. 98

Korrosion
— in Kühlsystemen durch Mikrobiologie, Konditionierung mit Ozon H. 4, S. 82
— Stahlbauteile im KKW H. 12, S. 48
— von Behälterwerkstoffen bei der Vergasung von Abfallstoffen H. 6, S. 74–78

Kraft-Wärme-Koppelung, Diskussion H 12, S. 33

Kraftwerk Enstedværket H. 6, S. 70

Kraftwerk Heilbronn, DENOX-Anlage H. 8, S. 66

Kraftwerk Jänschwalde H. 12, S. 87

Kraftwerk, strohbefeuert, Strohlager H. 9, S. 89

Kraftwerke
— Prozeßüberwachung H. 8, S. 41
— Steinkohle H. 8, S. 41
— 1999, VGB-Jahreshauptversammlung, VGB-Tätigkeiten H. 12, S. 29

Kraftwerker-Lehrgang H. 3, S. 85

Kraftwerk-Kennzeichen-System (KKS)
— Betriebsmittel H. 3, S. 58
— Dokumentenart H. 3, S. 58
— Entsorgung-Kennzeichen-System (EKS) H. 3, S. 56
— Entwurf DIN 6779-10 „Kraftwerke“ H. 3, S. 55
— funktionelle Zuordnung H. 3, S. 57
— Kennzeichnungssystematik H. 3, S. 55

Kraftwerksbetrieb und Grundsatzfragen H. 10, S. 57

Kraftwerksbetrieb, VGB-Tätigkeiten H. 10, S. 57

Kraftwerkskonzept
— Braunkohle H. 5, S. 75
H. 8, S. 18
— Dampferzeuger H. 5, S. 75
— Entwicklungspotentiale H. 8, S. 18
— GuD-Kraftwerke H. 11, S. 66
— Kohlevergasung H. 5, S. 69
— Kosten H. 5, S. 69
— Kraft-Wärme-Kopplung H. 11, S. 66
— VGB-Tätigkeiten H. 10, S. 58
— Wirkungsgrad H. 5, S. 75
— Wettbewerb H. 5, S. 69

Kraftwerkskühlung
— Rückkühlung in wasserarmen Gegenden H. 10, S. 125

Kraftwerksplanung
— Prozeßführung H. 7, S. 41
— Qualitätsmanagement H. 7, S. 41

KRAFTWERKSSCHULE E. V.
— Kurzbericht H. 10, S. 76
— Simulatorausbildung für ZWSF H. 8, S. 52

Kraftwerkstechnik, VGB-Tätigkeiten H. 10, S. 59

Kreide als REA-Absorbens H. 6, S. 70
— pH-Wert-Einfluß H. 6, S. 70
— Zusammensetzung H. 6, S. 70

Kühlsysteme, Konditionierung mit Ozon H. 4, S. 82

Kühlturm, Abnahmeversuche H. 10, S. 113

Kühlwasser, Konditionierung mit Ozon H. 4, S. 82

Kühlwasserbehandlung, Konditionierung mit Ozon H. 4, S. 82

Kühlwasserfahrweise
— Anlagenmodell der Optimierung H. 7, S. 70
— anlagentechnische Randbedingungen H. 7, S. 70
— On-line-Optimierung H. 7, S. 70
— Umsetzung/Überprüfung der Optimierung H. 7, S. 73

kumulierter Energieaufwand H. 1, S. 28

Kurzbericht, VGB-Tätigkeiten 1999 H. 10, S. 55

Kyoto-Protokoll H. 3, S. 29

L

Lebensdauerberechnung von Verdampferrohren mit Hilfe der Finite-Elemente-Methode H. 12, S. 93

Lebensweganalyse H. 1, S. 28

Leitungen und Kanäle, Dichtheitsüberprüfungen H. 11, S. 82

Liberalisierung
— Einsatzplanung H. 2, S. 32
— Energiemärkte H. 2, S. 24
H. 2, S. 26
— Erzeugungssystem H. 2, S. 32
— Europa H. 2, S. 26
— Kraftwerkssparte H. 2, S. 32
— Strommärkte H. 12, S. 29

LIFAC-REA in China H. 12, S. 82

Lithium, Entzug im DWR-Primärkreislauf durch Membranverfahren H. 10, S. 143

Löschanlagen, Wassernebel-Löschanlagen H. 9, S. 93

Luftmangel bei Rostfeuerung
— Auswirkung auf DENOX-Kat H. 4, S. 70
— Folgereaktionen im Rauchgasweg H. 4, S. 70

M

Maschinendiagnose
— integrierte H. 2, S. 44
— Kosten H. 2, S. 44

Membranabsorber H. 3, S. 76

Membranverfahren
— Entzug von Lithium und Bor im Primärkreislauf, DWR-Anlage H. 10, S. 143
— zur Deionat-Gewinnung, Ultrafiltration und Umkehrosmose H. 1, S. 76

Meßverfahren, geodätisch und photogrammetrisch H. 6, S. 82

Methodik, Energiestatistiken H. 1, S. 46
H. 2, S. 38

MHKW Essen-Karnap H. 1, S. 71

Mikrobiologie in Kühlwasser, Bekämpfung durch Ozonung H. 4, S. 82

Mitgliederentwicklung, VGB-Tätigkeiten H. 10, S. 55

Mitverbrennung von
— Biomasse H. 1, S. 65
H. 4, S. 76
H. 9, S. 88
— Bodenaushub H. 2, S. 70
— Klärschlamm H. 3, S. 64

Modellierung einer ZWSF H. 8, S. 48

N

Nachhaltigkeit H. 1, S. 25

Nachrüstung des KKW Borssele H. 7, S. 25

Naß-Elektrofilter H. 8, S. 71

Naturzug-Luko, Synergieeffekte direkte/indirekte Systeme H. 10, S. 127

Netzzugang H. 2, S. 27

neuer Ingenieurtyp H. 3, S. 28

NIR-Spektroskopie H. 6, S. 60

Notkondensator H. 4, S. 22

NO_x-arme Verbrennung trockenentascher Dampferzeuger
— Drallkörper, Granulierer, NO_x-Grenzwert H. 8, S. 60
— Glühverluste, Zyklonschmelzfeuerung H. 8, S. 60
— Herenox-K-Verfahren, Luftstufung H. 8, S. 60
— Rauchgasrezirkulation, Reduktionsbrennstoff H. 8, S. 60

O

Oberflächenschutzsysteme, Aufbauten für verschiedene Beanspruchungsbereiche H. 12, S. 101

Objektinformationen, Datenorganisation H. 6, S. 81

On-line-Diagnose
— erste Betriebserfahrungen H. 11, S. 31
— Prozeßgüteüberwachung H. 11, S. 31
— Wirkungsgradüberwachnug H. 11, S. 31

Osmose, umgekehrte
— Betriebserfahrungen im Kraftwerk Schkopau H. 8, S. 77
— Einsatz bei der Produktion von vollentsalztem Wasser H. 1, S. 76
— verfahrenstechnische Optimierung der Anlage in Leuna H. 9, S. 76

Oxidation von Überhitzerwerkstoffen H. 10, S. 146–149

Oxidschichten auf der Dampf- und Rauchgasseite, Feldversuche mit verschiedenen Werkstoffen H. 8, S. 84–89

P

passive Impulsgeber H. 11, S. 26

periodische Sicherheitsüberprüfung H. 6, S. 27

PKL-Vorhaben (Primärkreislauf) H. 8, S. 33

Plant Design System, PDS, 3D-CAE-Modell H. 6, S. 80

Prävention H. 5, S. 97

Primärenergieverbrauch
— Osteuropa H. 2, S. 38
— Westeuropa H. 1, S. 46

Primärkreislauf, Zinkdosierung im KKW Biblis H. 5, S. 105

probabilistische Sicherheitsanalyse H. 6, S. 27

Probenahme bei Unfällen H. 10, S. 86

Prognose, Szenarien, Energiebedarf H. 1, S. 46
H. 2, S. 38

Projektmanagement, Kraftwerksprojekt H. 6, S. 41

Pro-Kopf-Energieverbrauch H. 9, S. 28

Prozeßgas, Drehrohrofen H. 11, S. 72

Prozeßgüte H. 11, S. 31

Prozeßgüteüberwachung H. 11, S. 31

Prozeßoptimierungssystem H. 11, S. 35

PSA H. 6, S. 27

PSÜ H. 6, S. 27

Public Service H. 2, S. 27

Q

Qualitätsmanagement, Systeme H. 7, S. 41

Quecksilber-Bilanzierung H. 6, S. 64

Quecksilberfällung, Natriumtetrasulfid H. 6, S. 64

R

radioaktive Abfälle H. 1, S. 21

Raffineriekraftwerk, REA in Leuna H. 8, S. 71

Rahmenrichtlinie H. 5, S. 96

Rationalisierungspotentiale, VGB-Tätigkeiten H. 10, S. 55

Rauchgaseinleitung, Kühltürme, konzentrisch von unten nach oben H. 12, S. 100

Rauchgasentschwefelungsanlagen H. 12, S. 87
— betriebliche Optimierung H. 12, S. 87
— energetische Optimierung H. 12, S. 87
— Reduzierung der Oxidationsluft H. 12, S. 87

RCM-Analyse H. 12, S. 79

RCM-Analyse-Prozeß H. 12, S. 80

RDB-Deckelaustausch H. 8, S. 30

REA
— Abwasserbehandlung H. 8, S. 71
— bei 3,5 – 5 % Schwefelgehalt in Steinkohle H. 12, S. 82
— Betrieb mit Kreide H. 6, S. 70
— Gipsqualität H. 12, S. 87
— mit 40 % Investkosten in China H. 12, S. 82
— Naßwäsche H. 6, S. 64
– Aluminiumfluorid-Verschmutzung H. 6, S. 64
– Prozeßstörungen H. 6, S. 64
— Seewasserverfahren in China H. 12, S. 82

Reaktordruckbehälter, Deckelaustausch H. 8, S. 30

Reaktorentwicklung, SWR 1000 H. 4, S. 21

rechnerischer Systemvergleich, dynamisches Verhalten von Zwangdurchlauf- bzw. Zwangumlaufkesseln H. 12, S. 55

Regelung
— Vorteile der geregelten inneren Turbinenleistung H. 1, S. 51
— moderne Braunkohlen-Staubfeuerung H. 1, S. 60

regenerative Energienutzung H. 1, S. 65
H. 4, S. 76
H. 9, S. 88
H. 10, S. 130

Reliability Centered Maintenance (RCM) H. 12, S. 77

Reserven, Brennstoff
— Osteuropa H. 2, S. 38
— Westeuropa H. 1, S. 47

Ressourcenverbrauch H. 1, S. 28

Restfeuchte im Gips bei Kreideeinsatz H. 6, S. 70

Restnutzungsdauerprognose H. 2, S. 46

Richtlinie für Speisewasserkonditionierung, filmbildende Amine H. 9, S. 46

Risiko-Management H. 2, S. 24
— Wettbewerbsfähigkeit H. 12, S. 31

Rohrleitung, defekte, Sanierungsverfahren und -ausführung H. 11, S. 85

Rohrschalldämpfer H. 3, S. 76

Rußbläser, Optimierung und Betrieb H. 8, S. 54

Rußbläseransteuerung H. 11, S. 33

S

SAV-Produkt, Forschungsprojekt H. 7, S. 74

SAV-REA in China H. 12, S. 82

schadstoffarme Verbrennung
— Brennermodifikation H. 7, S. 54
— Brennerparameter H. 7, S. 54
— Brennstoff-Luft-Mischung H. 7, S. 54
— Dampfzerstäuber H. 7, S. 54
— Laser-Diagnostik-System LDS H. 7, S. 54
— Laser-Doppler-Anemometrie LDA H. 7, S. 54
— Laser-induzierte Fluoreszenz LIF H. 7, S. 54
— Rauchgasrezirkulation H. 7, S. 54
— Schadstoffbildung H. 7, S. 54
— Wärmeübertragung H. 7, S. 54

Schalldämpfer, faserfrei H. 3, S. 76
— in Kamin integriert H. 3, S. 76

Schnellumschalteinrichtungen H. 7, S. 44

Schwadenbildung im Kühlturm H. 10, S. 116

Schwefel-Emissionsgrenzwerte in China H. 12, S. 82

Schwefelgehalt bis 2,5 % in der Kohle H. 6, S. 70

Schweröl-, Leichtölfeuerung
— Brennerausbiegungen H. 3, S. 60
— Einzelflammenüberwachung H. 3, S. 60
— Emissionsgrenzwerte H. 3, S. 60
— Heizflächenvergrößerung H. 3, S. 60
— Kesselbelüftung H. 3, S. 60
— Luftstufung H. 3, S. 60
— Pulsationsfrequenzbewertung H. 3, S. 60
— Rauchgasrezirkulation H. 3, S. 60

Schwingungsdiagnose H. 2, S.44

SCR-Katalysator H. 11, S. 78
— Aktivität H. 7, S. 60
— Arsenbestimmung H. 11, S. 78
— Arsenextraktion/Labor H. 11, S. 78
— Arsenvergiftung H. 11, S. 78
— Erfahrungen H. 7. S. 60
— Regeneration H. 7, S. 60
— Regenerierverfahren H. 7, S. 60
— Wechselstrategie H. 8, S. 66
— 20 000 Betriebsstunden H. 8, S. 66

SCR-Verfahren bei MHKW H. 1, S. 71

SCR-Wabenkatalysator H. 7, S. 60

Sicherheit von Aktivkoksanlagen H. 3, S. 68

Sicherheitsbehälter von KKW, Flutung bei Störfällen H. 11, S. 27

Sicherheitsbehälter, GFK-Liner als Dichtbarriere H. 8, S. 93

Sicherheitsstatusanalyse H. 6, S. 27

Siedewasserreaktor
— Containment-Flutung H. 11, S. 27
— Gebäudekondensator H. 11, S. 26
— passive Impulsgeber H. 11, S. 26
— passive Sicherheitseinrichtungen H. 4, S. 21
H. 11, S. 25
— Wirtschaftlichkeit H. 4, S. 24
— Wirtschaftlichkeitsanalyse H. 11, S. 29

Simulation, Brennstoff-Portfolio H. 2, S. 25

Simulatorausbildung für ZWSF H. 8, S. 48

Single Buyer H. 2, S. 27

Sipping, ein neues Verfahren in DWR-Anlagen H. 7, S. 68

Speisewasser
— Einsatz von Ultrafiltration und Umkehrosmose H. 1, S. 76
— Flußwasseraufbereitung mit Umkehrosmose/ Ionenaustausch H. 8, S. 77
H. 9, S. 76

SSA H. 6, S. 27

Statistik, Energiebedarf H. 1, S. 46

Statistik, Energiebedarf H. 2, S. 38

Steinkohle-Mahlanlage
— Kohlefeuchte, Aschegehalt, Hardgrove-Index H. 10, S. 136
— optimaler Mühlentyp, Scheibenkugelmühle H. 10, S. 136
— Quetsch-Mahlprozeß H. 10, S. 136
— Steinkohlen-Mischung H. 10, S. 136
— Walzenmühlen H. 10, S. 136

Steinkohlen-Mahlverhalten
— Clausthaler-Mahlbarkeitstest H. 1, S. 56
— Hardgrove-Mühle (-Index) HGI H. 1, S. 56
— Korngrößenspektrum H. 1, S. 56
— Kreislauffaktor H. 1, S. 56
— Mahlkraft H. 1, S. 56
— Mühle-Klassierer-Kreislauf H. 1, S. 56
— Staubfeinheit H. 1, S. 56
— Stauboberfläche H. 1, S. 56
— Zementindustrie H. 1, S. 56
— Zerkleinerungsarbeit H. 1, S. 56

Störfallprobenahmesystem H. 10, S. 86

Störungsarten H. 12, S. 78

Strahlenschutz
— ALARA-Prinzip H. 8, S. 31
— Kollektivdosis H. 8, S. 30

Strategie, VGB H. 12, S. 30
— VGB-Tätigkeiten H. 10, S. 55

Strippanlage zur Entfernung von Ammoniak aus Kraftwerksabwässern H. 2, S. 75

Strohförderwege, Feuermeldesysteme H. 9, S. 89

Strombörse H. 2, S. 29

Stromerzeugung
— Osteuropa H. 2, S. 38
— Westeuropa H. 1, S. 48

SWR 1000 H. 4, S. 21

SWR-1000-Projekt, Störfallbeherrschung H. 8, S. 90

Symbiose, industrielle H. 10, S. 83

T

Technokratie-Debatte H. 3, S. 26

Technologie und Umwelt H. 3, S. 28

Technologie, soziales und kulturelles Umfeld H. 3, S. 26

technologiekritische Periode H. 3, S. 26

thermische Behandlung von Böden
— Bettascheabzug H. 2, S. 70
— Bundes-Bodenschutzgesetz H. 2, S. 70
— Eluatverhalten H. 2, S. 70
— Kastenbeschicker H. 2, S. 70
— Kohlenwasserstoff-Kontamination H. 2, S. 70
— Mitverbrennung H. 2, S. 70
— Sandzugabe H. 2, S. 70
— zirkulierende Wirbelschicht H. 2, S. 70

Third-Party-Access H. 2, S. 27

Treibhausgase, Reduzierung H. 5, S. 101

Trockenkühlkomponenten, Kosten H. 10, S. 128

Trockenkühlsysteme, direkte/ indirekte Verfahrensvarianten H. 10, S. 126

Trockenkühlung, standortspezifische Vorteile H. 10, S. 125

Turbinen
— Durchflussmessung an Turbinenanlagen H. 4, S. 35
— Schadenverhütung H. 4, S. 35

Turbomaschinen, Magnetlagerung H. 4, S. 54

TÜV-Prüfung zum Betriebswärter H. 3, S. 86

U

Ultrafiltration, Einsatz bei der Produktion von vollentsalztem Wasser H. 1, S. 76

Umbau- und Erweiterungsplanungen, Kollisionsprüfungen H. 6, S. 81

Umkehrosmose
— Betriebserfahrungen im Kraftwerk Schkopau H. 8, S. 77
— Einsatz bei der Produktion von vollentsalztem Wasser H. 1, S. 76
— verfahrenstechnische Optimierung der Anlage in Leuna H. 9, S. 76

Umweltbedrohungen H. 9, S. 27

Umweltbetriebsprüfung H. 3, S. 73

Umweltbewußtsein H. 9, S. 27

Umweltschutz, Nebenprodukte, Chemie, VGB-Tätigkeiten H. 10, S. 55

Umweltszenario H. 9, S. 27

Unfallprobenahmesystem H. 10, S. 86

Unternehmenskultur H. 3, S. 26

UPTF-Vorhaben (Upper Plenum Test Facility) H. 8, S. 33

V

Validierung von Prozeßdaten, Methodik und Einsatz H. 9, S. 61

Verdampferschäden
— Ablagerungen H. 10, S. 92
— chemische Reinigung H. 10, S. 96
— NO_x-Minderungsmaßnahmen H. 10, S. 92
— Sanierungsmaßnahmen H. 10, S. 95
— Zunderschichten H. 10, S. 93

Verdampferwände, Wärmeübergang, Druckverlust und Spannungen H. 1, S. 30

Verdampferwerkstoffe H. 12, S. 93

Verdunstungsvorgänge im Kühlturm H. 10, S. 113

Vergasung von Biomasse H. 10, S. 130

Verpuffung an einem Hilfskessel, Ursachen und Prophylaxe H. 11, S. 38

VGB
— Ehrung H. 12, S. 40
— Kongreß 1999 H. 12, S. 29
— Forschungsprogramm H. 10, S. 71
— FORSCHUNGSSTIFTUNG H. 10, S. 70

vollentsalztes Wasser
— Einsatz von Ultrafiltration und Umkehrosmose H. 1, S. 76
— Flußwasseraufbereitung mit Umkehrosmose/ Ionenaustausch H. 8, S. 77
H. 9, S. 76

VVER-Anlage Paks
— Korrosion im Dampferzeuger H. 4, S. 88

W

Wärmeaustauscherbündel, Trockenkühlung, Entwicklung und Fertigung H. 10, S. 128

Wärmeleitfähigkeit der Oxidschicht in Verdampferrohren H. 12, S. 95

Wasseraufbereitung
— Einsatz von Ultrafiltration und Umkehrosmose H. 1, S. 76
— Entfernung von Ammoniak aus Kraftwerksabwässern H. 3, S. 79
— Flußwasseraufbereitung mit Umkehrosmose/ H. 8, S. 77
Ionenaustausch H. 9, S. 76
— Strippen von Ammoniak aus Kraftwerksabwässern H. 2, S. 75

Wasser-Dampf-Kreislauf, Wasserstoffmessungen H. 1, S. 79

Wassernebel-Löschanlagen H. 9, S. 93

Wasserstoffmessungen H. 1, S. 79

Werkstoff
— X 11 CrMoWVNb 9-1-1 (E 911) H. 2, S. 80-86

Werkstoff 1.0425
— Korrosionspotential H. 6, S. 76
— Schutzstrombedarf bei kathodischem Korrosionsschutz H. 6, S. 77

Werkstoffe für die Kraftwerkstechnik H. 11, S. 87-89

Werkstoffe 1.4301 und 1.4539
— Stromdichte-Potential-Kurven H. 6, S. 75-77
— Polarisationsleitwert H. 6, S. 76

Wettbewerb, Kernenergie H. 1, S. 21

Windkraftanlagen H. 9, S. 88

Windkraftnutzung, Bedingungen in Dänemark H. 9, S. 91

Windkraftpark, Off-shore, Errichtung H. 9, S. 90/91

Windkraftprojekte, Erzeugung in Küstengewässern H. 9, S. 90

Wirbelschicht, zirkulierende, Feuerung Kohle-Stroh-Mischung H. 9, S. 88

Wirbelschichtfeuerungen
— Abscheideleistung H. 4, S. 58
— Feststoffbeladung H. 4, S. 58
— Massenstrom-Umlauf, Umlaufasche H. 4, S. 58
— Rückführzyklon H. 4, S. 58
— Tauchrohr-Grenzschicht H. 4, S. 58

Wirbelschichtreaktorsysteme
— Bettmaterial-Körnung H. 4, S. 64
— Feststoff-Volumenkonzentration H. 4, S. 64
— Fluidisierung H. 4, S. 64
— Grenzkorn, Abscheidegrad H. 4, S. 64
— Hochtemperatur-Reaktorsystem H. 4, S. 64
— Zyklonabscheider H. 4, S. 64
— Zyklon-Deckenüberhöhung H. 4, S. 64
— Zyklon-Einlaufkanal H. 4, S. 64
— Zyklonmauerwerk-Erosion H. 4, S. 64

wirkungsgradsteigernde Maßnahmen
— integrierte Abwärmenutzung „Teil 1" feststoffbefeuerte Industriedampferzeuger in der Zementindustrie H. 4, S. 38
— integrierte Abwärmenutzung „Teil 2" Thermodynamik des Kombina-Prozesses H. 5, S. 85

Wirkungsgradsteigerung von Kohlekraftwerken mit Vergasung H. 4, S. 53
H. 5, S. 69

Wirkungsgradüberwachung H. 11, S. 31

Z

Zeitstandfestigkeit von Schweißverbindungen am X 11 CrMoWVNb 9-1-1 H. 2, S. 80–86

Zinkdosierung im Primärkreislauf einer DWR-Anlage H. 5, S. 105

zirkulierende Wirbelschichtanlage
— Biomassevergasung, Produktgas (Schwachgas) H. 10, S. 130
— Gleichstromzyklon, Düsenboden, Pyrolyse H. 10, S. 130
— Holzkohle, Bodenentaschungssystem H. 10, S. 130
— Holzrückstände, Altpapier, Altreifen H. 10, S. 130
— Kohlenstaub-Boxerfeuerung H. 10, S. 130
— Kunststoff, Bahnschwellen, Torf H. 10, S. 130
— Rauchgasemissionen, Luftvorwärmer H. 10, S. 130

zirkulierende Wirbelschichtfeuerung (ZWSF)
— Aschesiphon H. 9, S. 34
— Calcium-Schwefel-Verhältnis H. 9, S. 34
— Clean Coal Technologies H. 9, S. 34
— Fließbettkühler H. 9, S. 34
— integrierter Fließbettkühler IFBK H. 9, S. 34
— Pant-Leg-Design, Sekundärluft H. 9, S. 34
— Rezirkulationszyklon H. 9, S. 34
— Stütz- und Zündfeuer, Düsenboden H. 9, S. 34

Zukunft H. 9, S. 27

Zukunftsperspektiven für Kohlekraftwerke H. 4, S. 53
H. 5, S. 1/69
H. 6, S. 31

Zustandsdiagnose H. 6, S. 49

Zustandserkennung H. 12, S. 77

Zustandsüberwachung H. 12, S. 79

Zustandswissen H. 6, S. 47

Zuverlässigkeit
— Instandhaltung H. 9. S. 67
— Verfügbarkeit H. 9, S. 67
— Wirtschaftlichkeit H. 9. S. 67

Zyklon, Rückführzyklon in ZWSF H. 4, S. 58/69

Klaus Aden neuer Partner
bei Heidrik & Struggles – Mülder & Partner
H. 11, S. 93

Markku Ahola Leiter des Kraftwerks Edenderry
H. 5, S. 108

Jose Maria Amusategui im Vorstand
von National Power
H. 10, S. 162

A. Christopher Bakken III Vice President
des Cook Nuclear Power Plant
H. 4, S. 97

Mike Ballamy neuer Vice President
von Entergy Nuclear
H. 2, S. 91

Bertrand Barre leitet Forschung und
Entwicklung der Cogema
H. 7, S. 79

Gunnar Baumann erhielt Förderpreis
der Gesellschaft für Tribologie e.V.
H. 11, S. 93

Martin Bay neuer Chef der Lahmeyer
International
H. 10, S. 162

Klaus Bechtold 60 Jahre
H. 9, S. 96

Susanne Berger mit dem Heinrich-Mandel-
Preis 1999 der VGB ausgezeichnet
H. 11, S. 93

Hans Bergmaier gestorben
H. 7, S. 79

Gerd Boddenberg 60 Jahre
H. 7, S. 79

Clemens Börsig wechselt vom RWE
zur Deutschen Bank
H. 7, S. 79

Berthold Bonekamp neuer Chef bei Rheinbraun
H. 12, S. 107

Karlheinz Bozem verläßt den EnBW-Konzern
H. 4, S. 97

Terry E. Branstad im Vorstand von MidAmerican
H. 6, S. 88

Dieter Brosche 25 Jahre beim Bayernwerk
H. 8, S. 96

Massimo Brunelli im Enel-Vorstand
H. 3, S. 93

Howard Bruschi Chief Technology Officer
bei Westinghouse
H. 4, S. 97

Lutz Bücken neuer Vorstandschef bei Tessag
H. 12, S. 107

Dieter Bührnheim neuer Geschäftsführer
der B/A/S
H. 9, S. 96

Dirk Bunthoff führt ABB Kraftwerke Mannheim
H. 3, S. 93

Kevin Burke führt Orange and Rockland
H. 6, S. 88

Ursula M. Burns im Vorstand
der Lincoln Electric
H. 4, S. 97

Loic Caperan neu im EDF-Vorstand
H. 3, S. 93

Bill Cavanaugh neuer Vorsitzender
von Carolina Power & Light
H. 7, S. 79

CEZ-Vorstand und -Aufsichtsrat ausgewechselt
H. 2, S. 91

Eric Connor ist Präsident von Northern Electric
H. 6, S. 88

Hans-Jürgen Cramer für Vorstand
der Bewag nominiert
H. 12, S. 107

Theodore F. Craver Jr. CEO und Thomas J. Higgins President der Edison Enterprise
H. 10, S. 162

Norbert Czech als „Erfinder des Jahres" geehrt
H. 3, S. 93

Karl-Heinz Czychon neuer Direktor
des Gersteinwerks
H. 8, S. 96

John Derrick Vorsitzender
des PEPCO-Vorstandes
H. 6, S. 88

Yannick d'Escatha weiterhin Vorstandschef
der CEA
H. 10, S. 162

Herbert Detharding neu im Aufsichtsrat
der VAW Aluminium AG
H. 2, S. 91

Burkhard Dreher in den VEW-Vorstand berufen
H. 1, S. 87

James M. Donnell Präsident und CEO
von Duke Energy Nordamerika
H. 6, S. 88

Eckhard Dubslaff 60 Jahre
H. 9, S. 96

Mykola Dudchenko neuer Präsident
der Enerhoatom
H. 4, S. 97

Neues EDF-Management: Pierre Carlier,
Jacques Chauvin, Madame Claude Hue und
Jean-Louis Joliot im Vorstand
H. 2, S. 91

Klaus F. Erkes Vorstandsvorsitzender
der Schumag
H. 1, S. 87

Wolfgang Essig zum stellvertretenden Vorsitzenden der Krupp-Uhde-Geschäftsführung berufen
H. 9, S. 96

Hans-Ulrich Fabian aus PreussenElektra-
Vorstand ausgeschieden
H. 5, S. 108

Hans-Ulrich Fabian
Guilleaume-Gedenkmünze der VGB 1999
H. 12, S. 41

Robert C. Fagan zum Präsidenten und CEO
von TECO ernannt
H. 6, S. 88

Allen Franklin neuer President und COO
von Southern Co.
H. 7, S. 79

Michel Friedewald mit Rudolf-Kellermann-Preis
des VDI ausgezeichnet
H. 11, S. 93

Willi Johannes Fuchs neuer Direktor des VDI
H. 6, S. 88

Rolf Furrer Vizedirektor der NOK
H. 11, S. 93

Ross B. George in den Unitil-Vorstand gewählt
H. 3, S. 93

Paul Victor Gilli 75 Jahre
H. 5, S. 108

Ralf Göttel neuer Geschäftsführer
bei Victor Reinz
H. 5, S. 108

Ulrich Gräber in den Vorstand der EnBW Kraftwerke AG berufen
H. 11, S. 93

Antoine Granatino Senior Vice President
bei FileNET
H. 10, S. 162

Richard Grossi führt New Yorks Independent
System Operator
H. 2, S. 91

Jean François Hamon zum Vorstands-
vorsitzenden ernannt
H. 6, S. 88

Hans-Herlof Hardtke 60 Jahre
H. 4, S. 95

Klaus Hein 60 Jahre
H. 5, S. 108

Klaus Heinloth erhält Robert-Mayer-Preis 1999
H. 4, S. 97

Ulrich Henkel neuer Vetriebschef
H. 9, S. 96

Dieter Henning zurückgetreten
H. 11, S. 93

Keith Henry verläßt National Power
H. 6, S. 88

Heinz Herrmann führt ABB
Kraftwerke Mannheim
H. 3, S. 93

Werner Hlubek 60 Jahre
H. 3, S. 93

Ernst Höxtermann 65 Jahre
H. 4, S. 95

Walter Hohlefelder im PreussenElektra-
Vorstand
H. 5, S. 108

Mike Hughes zum Präsidenten der Electricity
Association gewählt
H. 5, S. 108

Adolf Hüttl 60 Jahre
H. 9, S. 96

Jörg Huwyler Vizedirektor der NOK
H. 11, S. 93

Jörn Jacobs 25 Jahre bei VGB
H. 10, S. 162

Gerd Jäger übernimmt Vorstandsressort
Erzeugung bei RWE Energie
H. 8, S. 96

Felix Joklik Bereichsdirektor der Wiener Stadtwerke
H. 10, S. 162

Don Jordan tritt als CEO zurück
H. 5, S. 108

Albert Jugel neuer Vorstand
Sicherheitstechnik
H. 8, S. 96

Martti Kaasinen stellvertretender Vorsitzender
bei Espoon Sähkö Oy
H. 7, S. 79

Emmanuel Kakaras zum General Manager
ernannt
H. 7, S. 79

Johannes Karlisch in den Vorstand der STEAG Industrie berufen
H. 2, S. 92

Klaus J. Kasper in den EnBW-Vorstand berufen
H. 6, S. 88

Helmut Kastl weiterhin im Vorstand der Stadtwerke Wien
H. 4, S. 99

Anthony P. Kavanagh Vice President bei American Electric Power
H. 3, S. 93

Bruce Kenyon neuer President und CEO der Northeast Nuclear Energy Co.
H. 4, S. 99

Hansjörg Kessler 60 Jahre
H. 3, S. 93

Jürgen Kirchhoff neuer AGFW-Vorstand
H. 5, S. 109

Edgar M.W. Kirchmann neuer Partner bei S•U•P
H. 9, S. 96

Heinz Klinger weiterhin VDEW-Präsident
H. 8, S. 96

Eberhard von Koerber gibt Aufsichtsratsvorsitz ab
H. 5, S. 109

Karl-Friedrich Knoche 65 Jahre
H. 1, S. 87

Hans Kremer 65 Jahre
H. 1, S. 87

Hans Kremer mit dem „Rudolf-Günther-Preis" ausgezeichnet
H. 11, S. 94

Michael Kunath in den Vorstand der Neckarwerke berufen
H. 5, S. 110

Michael Kunath Nachfolger von Ernst Joachim Preuss
H. 12, S. 107

Karl Kußmaul mit der Erich-Siebel-Gedenkmünze ausgezeichnet
H. 1, S. 87

Peter Layr in den Vorstand der EVN berufen
H. 5, S. 110

Werner Leibfried 70 Jahre
H. 8, S. 95

Jürgen Lenz 50 Jahre
H. 3, S. 93

Charles A. Lenzie im Ruhestand
H. 3, S. 94

J. Wayne Leonhard Chief Executive Officer von Entergy
H. 4, S. 99

Bruno Lescoeur neuer Chef bei London Electricity
H. 3, S. 94

Hubert Lienhard bei ABB ausgeschieden
H. 2, S. 92

Mauri Liimatainen leitet Kraftwerk Grangemouth
H. 6, S. 88

Alf Lindfors wird Produktionschef bei Vattenfall
H. 6, S. 88

Klaus Linnebach Vorstandsvorsitzender der ABB Alstom Power Deutschland
H. 10, S. 162

Ronald Litzinger neuer Senior Vice-President bei Energy
H. 7, S. 79

Personalveränderungen im Lurgi-Konzern
H. 9, S. 96

Gert Lyngsjoe neuer Produktionschef bei Sydkraft
H. 6, S. 88

Olli Maennikkoe Vorsitzender bei Espoon Sähkö Oy
H. 7, S. 79

Gert Maichel neuer VEW-Chef
H.1, S. 87

Otto Majewski Präsident des Deutschen Atomforums
H. 7, S. 79

John Marshall CEO für Australien bei American Electric Power
H. 2, S. 92

Ilkka Mikkola Managing Director von JE-Urakointi Oy
H. 3, S. 94

George W. Miraben Chief Administrative Officer bei Illinois Power
H. 3, S. 94

Diethard Möhr übernimmt IEC-Sekretariat für EMV-Normung
H. 2, S. 92

Richard Morse Chef der Preisaufsicht in Großbritannien
H. 3, S. 94

Egon Mühlberger in den Bayernwerk-Vorstand berufen
H. 5, S. 110

Leonhard Müller 70 Jahre
H. 3, S. 93

David J. Nangle President der Harris Calorific
H. 7, S. 79

Georgia Ricci Nelson President der Midwest Energy
H. 7, S. 80

Christian Nedeß im Präsidium des VDI
H. 1, S. 87

Michael R. Niggli CEO der Nevada Power Company
H. 4, S. 99

Carl-Erik Nyquist tritt in den Ruhestand
H. 10, S. 162

Klaus-Peter Ochel 60 Jahre
H. 7, S. 79

Johann Frederik Odfjell weiterhin Vorstandschef der Hafslund-Gruppe
H. 10, S. 162

Loyola de Palacio wird Energiekommissarin
H. 11, S. 94

Zoltan Paluska Managing Director bei Dedasz
H. 3, S. 94

Marc R. Pasture im Vorstand des VEW
H. 7, S. 80

Hubert Peitz im Ruhestand
H. 5, S. 108

Heinz Penndorf 65 Jahre
H. 8, S. 95

Klaus Plate 65 Jahre
H. 7, S. 79

Ulrich Potthast Vorsitzender des RWTÜV
H. 1, S. 87

Michael Price neuer Managing Director bei CLP
H. 2, S. 92

Rudolf Quack 90 Jahre
H. 8, S. 95

Michael Raznahan in den Vorstand von National Power berufen
H. 4, S. 99

Manfred Remmel Mitglied des Vorstandes der RWE AG und Vorstandsvorsitzender der RWE Energie AG
H. 1, S. 87

Manfred Remmel übernimmt neues Ressort im RWE-Holding-Vorstand
H. 11, S. 94

Ulrich Renz 60 Jahre
H. 1, S. 87

Geoffrey Roberts President und CEO der Entergy
H. 4, S. 99

James Ross neuer Vorstandsvorsitzender von National Grid
H. 7, S. 80

RWE: Personalentscheidungen im Bereich der Braunkohlenkraftwerke getroffen
H. 10, S. 162

Michael Rychlik neuer Vertriebsleiter bei H & B
H. 3, S. 94

Alessandro Sala Präsident des Verwaltungsrates des Kernkraftwerkes Gösgen AG
H. 7, S. 80

Pekka Salo Managing Director der IVO Transmission Engineering Oy
H. 2, S. 92

Hans-Dieter Schilling Guilleaume-Gedenkmünze der VGB 1999
H. 12, S. 41

James E. Schilling Vice President bei Lincoln Electric
H. 3, S. 94

Wilhelm Schoch gestorben
H. 4, S. 95

Bernhard Lothar Schönung im Vorstand der Lurgi AG
H. 11, S. 94

Wolfgang Schürle neuer Aufsichtsratsvorsitzender der EnBW
H. 7, S. 80

Helmut Schulte im Präsidium des VDI
H. 1, S. 87

Adolf Schumacher im Ruhestand
H. 2, S. 92

Siemens A&D ab 1. Oktober 1999 mit veränderter Führungsspitze
H. 12, S. 108

Norbert Sondermann an der Lurgi-Spitze
H. 10, S. 163

Rolf Sostmann im Ruhestand
H. 9, S. 96

Ulrich Täubert Vorsitzender des VGB-Fachausschusses „Bauwesen"
H. 5, S. 110

Danail Tafrov Generaldirektor der NEC (Bulgarien)
H. 10, S. 163

Antonio Matteo Taermina in der Geschäftsleitung der Atel AG
H. 3, S. 94

Karl A. Theis in die VGB-Geschäftsführung berufen
H. 8, S. 96

Philip Turberville zum CEO bei der Eastern Group ernannt
H. 2, S. 92

Heinz Tusk im Ruhestand
H. 7, S. 79

Yakov Urinson Vorstandsvorsitzender der Permenergo
H. 7, S. 80

Veränderungen im VGB-Vorstand
H. 12, S. 107

Klaus Voges Vorsitzender des Siemens-Bereichs Energieerzeugung (KWU)
H. 11, S. 94

Peter Welsh Mitglied der britischen Atomaufsicht
H. 5, S. 110

Joachim Werther zweiter Vizepräsident der TU Harburg
H. 7, S. 80

Matthias Wicky in der Geschäftsleitung der Atel AG
H. 3, S. 94

Heribert J. Wiedenhues zum Ehrendoktor ernannt
H. 8, S. 95

Peter Wiederkehr Vorstandsvorsitzender der Watt AG
H. 2, S. 92

Eberhard Wild
Guilleaume-Gedenkmünze der VGB 1999
H. 12, S. 41

Michael Willems Vorstandsmitglied der STEAG AG
H. 4, S. 99

Rold Windmöller neuer VDE-Vorsitzender
H. 1, S. 87

David Wittig im Vorstand der Western Resources
H. 3, S. 94

Ullrich Wöhr scheidet bei der Metallgesellschaft aus
H. 7, S. 80

C.O. Woody tritt in den Ruhestand
H. 7, S. 79

Roger Young wechselt zur FPL-Gruppe
H. 2, S. 92

Werner Zaiss
Ehrenurkunde der VGB 1999
H. 12, S. 41

Jacek Zelkowski 65 Jahre
H. 10, S. 162

Knut Zschiedrich in den GKM-Vorstand berufen
H. 2, S. 92

Das Räderwerk der Europäischen Kommission
H. 7, S. 82

Elektrische Meßtechnik
H. 12, S. 59

Energie, Umwelt und Wirtschaft:
Visionen statt Illusionen
H. 11, S. 92

Fortschritte der Kraftwerkstechnik 1997/1998
H. 11, S. 90

Grundlagen der Gastechnik
H. 11, S. 92

Handbuch der Elektrizitätswirtschaft – technische, wirtschaftliche und rechtliche Grundlagen
H. 11, S. 90

Handbuch
Hochtemperatur-Werkstofftechnik
H. 11, S. 91

Jahrbuch Bergbau,
Erdöl und Erdgas, Petrochemie, Elektrizität, Umweltschutz 1999
H. 7, S. 82

Sicherheitstechnik
H. 7, S. 82; H. 11, S. 90; H. 11, S. 91

VDE-Schriftenreihe
Normen verständlich – Nr. 85
Brandverhütung in elektrischen Anlagen
H. 11, S. 91

Vorbeugender Brand- und Explosionsschutz, Methoden – Mittel – Maßnahmen
H. 7, S. 82; H.11, S. 90

Jahres-inhaltsverzeichnis

VGB KraftwerksTechnik

80. Jahrgang (2000)
ISSN 0372-5715
Hefte 1 – 12

Internationale Fachzeitschrift für Technik in Kraftwerken

2000

**Organ der
VGB Technischen Vereinigung
der Großkraftwerksbetreiber e.V.**

Herausgeber
VGB Technische Vereinigung der Großkraftwerksbetreiber e.V.

Vorsitzender:
Professor Dr.-Ing. W. Hlubek, Essen (bis Oktober 2000)
Dr.-Ing. G. Jäger, Essen (ab Oktober 2000)

Geschäftsführer:
Dr.-Ing. K. A. Theis, Essen

Anschrift der Redaktion
VGB Technische Vereinigung der Großkraftwerksbetreiber e.V.

Klinkestraße 27–31, D-45136 Essen
Postfach 10 39 32, D-45039 Essen

Telefon (02 01) 81 28-300/301
Fax (02 01) 81 28-302
e-mail: pr@vgb-power.de
Homepage: http://www.vgb-power.de

Chefredaktion
Chefredakteur: Dipl.-Ing. H. Bleßmann
Redaktionsassistentin: Rita Maria Wilke

Redaktion
Dr. F. Bauer
Dr.-Ing. W. vom Berg
Professor Dr.-Ing. J. Jacobs
Dr. rer. nat. G. Kelber
Dr.-Ing. G. Schlegel
Dr. rer. nat. U. Staudt
Professor Dr.-Ing. E. Tolksdorf

Wissenschaftlicher Redaktionsbeirat
Professor Dr.-Ing. W. Bernstein, Dresden
Professor Dr.-Ing. K. Hein, Stuttgart
Professor E. Kakaras, Athen/Griechenland
Professor Dr.-Ing. U. Renz, Aachen
Dr.-Ing. H. Scholtholt, Essen
Professor Dr.-Ing. F. Stangenberg, Bochum
Professor Dr.-Ing. H. Stetter, Stuttgart
Professor T. Torisson, Lund/Schweden
Professor Dr.-Ing. S. Wittig, Karlsruhe

Technischer Redaktionsbeirat
Dipl.-Ing. B. Dijkman, Utrecht/Niederlande
Dr. P. Haller, Paris/Frankreich
Professor Dr.-Ing. Otto Hasenkopf, Stuttgart
Dipl.-Ing. H. Heer, Essen
Dr. rer. nat. D. Kallmeyer, Essen
Dipl.-Ing. H. Martin, Oberhausen
Dr.-Ing. P. Necker, Esslingen
Dipl.-Ing. M. P. Olesen, Kalundborg/Dänemark
Dr.-Ing. D.-J. Wahl, Gelsenkirchen-Buer
Dr. rer. nat. W. Zaiss, Neckarwestheim

Vertrieb und Anzeigenverwaltung
VGB-KRAFTWERKSTECHNIK GmbH
Klinkestraße 27–31, D-45136 Essen
Postfach 10 39 32, D-45039 Essen

Telefon: Anzeigen (02 01) 81 28-212/213
Vertrieb (02 01) 81 28-200
Abonnement (02 01) 81 28-217
Fax (02 01) 81 28-329
e-mail: mark@vgb-power.de

Anzeigen: Dipl.-Kauffrau Angela Langen
Anzeigentarif Nr. 36 vom 1. Januar 2000

Erscheinungsweise
Monatlich; außerdem erscheint eine eglische Fassung dieses Heftes unter dem Titel „VGB PowerTech“

Übersicht

Verfasserverzeichnis ..... Seite 4

Sachverzeichnis ..... Seite 10

Persönliches ..... Seite 16

Buchbesprechungen ..... Seite 18

A

Ackenheil, R., siehe Wendelberger, W.:
H. 3, S. 36 – 39

Adamsky, F.-J., Kempkes, B., und Ernst, J.:
Dehnungsinduzierte Risskorrosion in Rohrsystemen von konventionellen Kraftwerksanlagen
H. 10, S. 128 – 138

Adamsky, F.J., siehe Heitmüller, R.:
H. 6, S. 92 – 99

Alsparr, J.:
Druckaufgeladene Wirbelschichtfeuerung der Birka Energi
H. 3, S. 63 – 67

Alt, M., siehe Zaiss, W.:
H. 12, S. 66 – 60

Anderl, H., Mory, A., und Zotter, Th.:
BioCoComb-Vergasung von Biomasse und Mitverbrennung von Gas in einem Kohlenstaubkessel
H. 3, S. 68 – 75

Andersen, P., siehe Mortensen, J.H.:
H. 5, S. 87 – 93

Auel, W., Benesch, W.A., und Reichel, H.:
Thermische Nutzung von Raffinerierückständen in einem Heizkraftwerk
H. 1, S. 63 – 69

B

Ballat, J., siehe Reichert, R.:
H. 3, S. 55 – 60

Basener, H., siehe Valckenaere, J.:
H. 9, S. 49 – 54

Bastisch, H., Sesterhenn, K., Wöllfert, D., und Fillinger, N.:
Die Feuerwehr im Kraftwerk
H. 3, S. 46 – 50

Bell, C.P., und Brandenbusch, W.:
Risikomanagement für den Bau und Betrieb von Kraftwerken
H. 2, S. 29 – 42

Bendick, W., Haarmann, K., und Zschau, M.:
E 911 – Ein neuer Werkstoff für Dampfleitungen im Kraftwerksbau
H. 5, S. 114 – 118

Bendick, W., siehe Hahn, B.:
H. 11, S. 85 – 90

Bendick, W., siehe Husemann, R.U.:
H. 7, S. 86 – 89

Bendick, W., siehe Husemann, R.U.:
H. 8, S. 97 – 101

Benesch, W.A., siehe Auel, W.:
H. 1, S. 63 – 69

van den Bergen, J.B.J., siehe Zeijseink, A.G.L.:
H. 9, S. 77 – 80

Berger, Irene, siehe Trümper, V.:
H. 7, S. 77 – 80

Bergmann, H., und Hannes, K.:
Fortschrittliche Brennstoff-Umwandlungstechniken in zentralen und dezentralen Anlagen
H. 4, S. 29 – 34

Beukenberg, M., und Mohr, K.D.:
Die Gasturbine FT8 mit Dry-Low-NO_x-Brennkammer; Technik und erste Betriebserfahrungen in einer Verdichterstation
H. 9, S. 32 – 35

Beyer, J., siehe Vosteen, B.:
H. 9, S. 71 – 75, H. 10, S. 101 – 103

Bieder, M., siehe Sticher, W.:
H. 7, S. 34 – 40

Bischoff, W., siehe Simon, E.:
H. 8, S. 43 – 48

Blum, W., Straub, S., Polcik, P., und Mayer, K.H.:
Quantitative Untersuchung der mikrostrukturellen Entwicklung zweier Schmelzen des martensitischen Wellenstahls X12CrMoWVNbN10-1-1 während des Langzeitkriechens
H. 4, S. 90 – 98

Blume, D., siehe Paetzold, J.:
H. 1, S. 54 – 59

Böhme, A., siehe Wachter, O.:
H. 9, S. 93 – 98

Böhme, A., Sprenger, L., und Zabelt, K.:
Erste Betriebserfahrungen mit dem neuen Onlineverfahren zur Bestimmung des Restkohlenstoffgehaltes in der Flugasche im Gemeinschaftskraftwerk Kiel
H. 4, S. 77 – 82

Bohn, D., Krüger, U., und Kusterer, K.:
Erhöhung der Lebensdauer und Zuverlässigkeit hochbelasteter Kraftwerkskomponenten durch gekoppelte Berechnung von Strömung und Wärmeleitung
H. 11, S. 32 – 38

Brandenbusch, W., siehe Bell, C.P.:
H. 2, S. 29 – 32

Brosche, D.:
Öko-Audit am Standort der Kernkraftwerke Isar 1 und Isar 2
H. 4, S. 44 – 46

Buck, P., und Triebel, W.:
Betriebserfahrungen bei der Mitverbrennung von Klärschlämmen im Steinkohlekraftwerk Heilbronn
H 12, S. 84 – 87

Bursi, J.M., Lafanechere, L., und Jestin, L.:
Konzeptstudien für einen ZWS-Dampferzeuger mit 600 MW elektrischer Leistung
H. 2, S. 49 – 59

Bursik, A., siehe Jensen, J.P.:
H. 1, S. 83 – 87

Bursik, A., siehe Seipp, H.-G.:
H. 6, S. 82 – 85

Büttner, J., Grundhöfer, M., und Vallana, G.:
Auswertung besonderer Vorkommnisse in Kernkraftwerken
H. 4, S. 39 – 43

C

Capéran, L.:
Der europäische Energiemarkt im Umbruch
H. 1, S. 40 – 43

Cerjak, H., siehe Schaffernak, B.:
H. 3, S. 80 – 84

von Christen, U.:
Das Varioplant-Dampfkraftwerkskonzept für den globalen Kraftwerksmarkt
H. 7, S. 24 – 29

Cleve, K.:
Neueste Entwicklungen und Langzeiterfahrungen in der ZWS-Technologie
H. 5, S. 94 – 96

D

van Dijk, M.A.:
Die Liberalisierung des westeuropäischen Elektrizitätsmarktes
H. 1, S. 32 – 39

Daucik, K., siehe Thomsen, K.:
H. 4, S. 83 – 88

David, W., siehe Rziha, M.:
H. 5, S. 109 – 113

Denis, E., und Fortin, T.:
Werkzeuge und Verfahren für die Generatorüberwachung und -instandhaltung
H. 9, S. 41 – 44

Drexler, J., und Krüger, J.:
Wassergekühlte Rostsysteme im MKW Schwandorf
H. 8, S. 61 – 65

E

Eckel, M., und Metzner, B.:
Qualitätssicherung, Bau- und Montageüberwachung und Perspektiven neuer Werkstoffe der Kraftwerkstechnik
H. 1, S. 88 – 93

Egeler, R.:
EDV-unterstützte Arbeitsvorbereitung und Revisionsplanung im Müllheizkraftwerk Rosenheim
H. 10, S. 86 – 89

Eimer, N., siehe Meierer, M.:
H. 9, S. 56 – 61

Ennis, P. J., siehe Wachter, O.:
H. 9, S. 93 – 98

Ernst, J., siehe Adamsky, F.-J.:
H. 10, S. 128 – 138

Ertelt, R., siehe Prenzel, H.:
H. 12, S. 92 – 95

Eyckmans, M., siehe Roofthooft, R.:
H. 12, S. 102 – 104

F

Fendesak, N.:
Freischaltwesen mit SAP R/3
H. 11, S. 56/57

Fillinger, N., siehe Bastisch, H.:
H. 3, S. 46 – 50

Fogh, F., siehe Knudsen, N.O.:
H. 8, S. 81 – 85

Foos, A., siehe Schröder, H. Chr.:
H. 10, S. 70 – 77

Fortin, T., siehe Denis, E.:
H. 9, S. 41 – 44

Fricke, J., siehe Voss, J.:
H. 8, S. 32 – 38

G

Gebke, K., siehe Knorr, J.:
H. 6, S. 52 – 60

Geißler, K., siehe Lehmann, B.:
H. 8, S. 89 – 96

Glorian, D.:
Technische Leistung von Wärmekraftwerken
H. 4, S. 25 – 28

Gnirß, G.:
Druckgeräterichtlinie – Konsequenzen für Hersteller und Betreiber
H. 4, S. 61 – 66

Görner, K., siehe Pflipsen, K.:
H. 11, S. 47 – 50

Götte, C., Schreier, W., und Vonderbank, R.:
Konzept der Mitverbrennung von Trockenbraunkohlenstaub im Kraftwerk Niederaußem
H. 8, S. 49 – 55

Großöhmig, W.:
Brandschutzkonzepte für Kraftwerke
H. 2, S. 70 – 74

Grundhöfer, M., siehe Büttner, J.:
H. 4, S. 39 – 43

Güsewell, M., siehe Weise, Claudia:
H. 8, S. 69 – 74

Gutberlet, H., Neuhaus, S., und Lutat, A.:
Einfluss der Brennstoffqualität und verfahrenstechnischer Parameter auf Nebenreaktionen der Sulfitoxidation in Rauchgasentschwefelungsanlagen
H. 8, S. 75 – 80

H

Haarmann, K., siehe Bendick, W.:
H. 5, S. 114 – 118

Haarmann, K., siehe Husemann, R.U.:
H. 7, S. 86 – 89

Haarmann, K., siehe Husemann, R.U.:
H. 8, S. 97 – 101

Hacker, W.:
Der menschliche Faktor bei Arbeitsunfällen
H. 6, S. 78 – 81

Händel, G., und Paul, S.:
Optimierung von Betriebskosten durch Einsatz moderner Systemtechnik
H. 4, S. 55 – 60

Häßler, G.:
Verbesserungsmöglichkeiten kombinierter Gas-/Dampfturbinen-Prozesse Leistungsregelung
H. 5, S. 84 – 86

Hahn, B., und Bendick, W.:
Erfahrungen aus der Zustandsbewertung eines FD- und HZÜ-Rohrleitungssystems aus dem Werkstoff X20CrMoV12-1 nach einer Betriebszeit von über 180 000 h
H. 11, S. 85 – 90

Hampel, G., siehe Trümper, V.:
H. 7, S. 77 – 80

Hannes, K., siehe Bergmann, H.:
H. 4, S. 29 – 34

Hanuš, B., siehe Sindelár, R.:
H. 7, S. 61 – 64

Heeschen, J., siehe Husemann, R.U.:
H. 7, S. 86 – 89, H. 8, S. 97 – 101

Heidan, G., siehe Porsche, Th.:
H. 9, S. 66 – 70

Heijboer, R., siehe Zeijseink, A.G.L.:
H. 3, S. 76 – 79

Heinze, G., siehe Weise, Claudia:
H. 8, S. 69 – 74

Heitmüller, R., Adamsky, F.J., Helmrich, A., und Scheffknecht, G.:
Austenit-/Martensit-Mischverbinder für den BoA-Block Niederaußem K
H. 6, S. 92 – 99

Helmrich, A., siehe Heitmüller, R.:
H. 6, S. 92 – 99

Helmrich, A., siehe Husemann, R.U.:
H. 8, S. 97 – 101

Helmrich, A., siehe Wachter, O.:
H. 9, S. 93 – 98

Herda†, W. R., und Römer, W.:
Sanierung großvolumiger Rauchgasentschwefelungskomponenten mit Nickelbasislegierungen und Sonderedelstählen
H. 11, S. 78 – 84

Hernych, M., siehe Sindelár, R.:
H. 7, S. 61 – 64

Höxtermann, E., und Richter, P.:
Störungen und Schäden an Gasturbinenkomponenten
H. 10, S. 78 – 82

Hofer, P., siehe Schaffernak, B.:
H. 3, S. 80 – 84

Hoffmann, W., siehe Trümper, V.:
H. 7, S. 77 – 80

Holub, M., siehe Schetter, G.:
H. 6, S. 61 – 65

Huber, St.A.:
Herkunft, Bedeutung und Verhalten natürlicher organischer Wasserinhaltsstoffe bei der Herstellung von Kesselspeisewasser aus Oberflächenwasser
H. 12, S. 96 – 101

Hüsch, J.:
Erfahrungen mit der Rauchgasentschwefelung nach dem Wellman-Lord-Verfahren
H. 11, S. 62 – 67

Hummer, J.S., siehe Roos, J.:
H. 10, S. 113 – 116

Husemann, R.U., Bendick, W., Haarmann, K., Heeschen, J., und Helmrich, A.:
Der neue Werkstoff 7CrMoVTiB10-10 für die Kesselkomponente Membranwand
Teil 1: H. 7, S. 86 – 88
Teil 2: H. 8, S. 97 – 101

I

Ilchmann, H.-P., siehe Lipinski, B.:
H. 12, S. 48 – 54

J

Jablonski, Rita:
Brennstoffzellen in der zukünftigen Energieversorgung
H. 4, S. 35 – 38

Jasperneite, Martina:
Der Anspruch des Arbeitsschutzmanagements an die sicherheitstechnische und arbeitsmedizinische Betreuung am Beispiel des Arbeitssicherheits- und Gesundheitsmanagements 2000 plus
H. 6, S. 75 – 77

Jensen, J.P., und Bursik, A:
Ein Blick hinter die Richtlinien für die Chemie im Wasser-Dampf-Kreislauf
H. 1, S. 83 – 87

Jensen, V.:
Erfahrungen aus der Inbetriebnahme eines neuen 411-MW-Kohlekraftwerks
H. 5, S. 70 – 77

Jeschka, P., siehe Sticher, W.:
H. 7, S. 34 – 40

Jestin, L., siehe Bursi, J.M.:
H. 2, S. 49 – 59

K

Käß, M., Thierbach, H.-U., Schreier, W., Sabel, Th., und Risio, B.:
Neues Staubfeuerungskonzept für niedrigste Emissionen bei extremen Betriebsanforderungen im Kraftwerk Altbach/Deizisau der Neckarwerke Stuttgart AG
Teil 1: Entwicklung und Auslegung
H. 11, S. 39 – 46
Teil 2: Betriebserfahrungen
H. 12, S. 65 – 73

Käß, M., siehe Kuhnle, G.:
H. 10, S. 122 – 127

Kallina, G., Lausterer, G., und Kochenburger, A.:
Wirtschaftliche Ertüchtigung von Kraftwerken zur Netzfrequenzstützung durch gestufte Speichernutzung
H. 2, S. 38 – 42

Kastner, W., Köhler, W., und Schmidt, H.:
25 Jahre Betrieb einer Hochdruck-Versuchsanlage
H. 6, S. 45 – 51

Kather, A., siehe Kirmse, D.:
H. 6, S. 29 – 38

Kaulbarsch, R., und Zwahr, H.:
Die Bedeutung der Müllverbrennungsanlagen in Hamburg für die Fernwärme- und Industriedampfversorgung
H. 5, S. 97 – 102

Kempkes, B., siehe Adamsky, F.-J.:
H. 10, S. 128 – 138

Kerres, S., siehe Stadelmann, W.:
H. 9, S. 88 – 92

Kinn, Th., und Sasko, P.:
Intranetbasierendes Betriebsführungssystem – Konzept, Realisierung und Erfahrung
H. 7, S. 51 – 56

Kirmse, D., Lysk, S., Kather, A., und Scheffknecht, G.:
Betriebserfahrungen mit den beiden 800-MW-Dampferzeugern im Kraftwerk Schwarze Pumpe
H. 6, S. 29 – 38

Klotz, H., Rausch, L., Weirich, P.-H., und Zhang, P.:
Innovative Anordnungskonzepte für moderne Dampfturbogruppen und neue Trends bei Maschinenhäusern
H. 7, S. 30 – 33

Klug, Susanne, siehe Traupe, A.:
H. 7, S. 65 – 67

Kluge, H., siehe Wasel-Nielen, J.:
H. 7, S. 81 – 85

Knorr, J., Schuster, Ch., Gebke, K., Weber, L., und Thiel, H.-J.:
Simulation der parallelen Steigleitungen des Kühlluft-Kühler-Kreislaufs der Siemens-Gasturbinen Vx4.3 an der Versuchsanlage DANTON
H. 6, S. 52 – 60

Knudsen, N.O., und Fogh, F.:
Verhaltensmaßregeln bei aluminiuminduzierter Kalkstein-Inhibierung gipsproduzierender Entschwefelungsanlagen
H. 8, S. 81 – 85

Kochenburger, A., siehe Kallina, G.:
H. 2, S. 38 – 42

Köhler, W., siehe Kastner, W.:
H. 6, S. 45 – 51

Kraneis, W.:
Die wachsende Bedeutung des Verdunstungskühlers für Gasturbinen- und GuD-Kraftwerke
H. 9, S. 36 – 40

Krüger, J., siehe Drexler, J.:
H. 8, S. 61 – 65

Krüger, J., siehe Siebert:
H. 10, S. 117 – 120

Krüger, K., siehe Lühr, D.:
H. 4, S. 47 – 54

Krüger, U., siehe Bohn, D.:
H. 11, S. 32 – 38

Kruse, I., und Uden, A.:
Akustikreinigung am DENOX-Reaktor im Kraftwerk Hastedt der Stadtwerke Bremen AG
H. 8, S. 66 – 68

Kuhnle, G., Käß, M., Mohr, G., und Strohhäcker, J.:
Untersuchungen während der chemischen Reinigung und Inbetriebnahme des Wasser-Dampf-Kreislaufes im Heizkraftwerk 2, Altbach/Deizisau
H. 10, S. 122 – 127

Kusterer, K., siehe Bohn, D.:
H. 11, S. 32 – 38

L

Lafanechere, L., siehe Bursi, J.M.:
H. 2, S. 49 – 59

Larsen, O.H., siehe Møller, H.:
H. 2, S. 80 – 85

Lausterer, G., siehe Kallina, G.:
H. 2, S. 38 – 42

Lehmann, B., Nothdurft, R., Sailer, W., Strauß, J.H., und Geißler, K.:
Ausführung, Werkstoffkonzepte und Qualitätssicherung der Rauchgasentschwefelungsanlage des Heizkraftwerkes 2 im Kraftwerk Altbach/Deizisau der Neckarwerke Stuttgart AG
H. 8, S. 89 – 96

Lehne, F., und Leithner, R.:
Berechnung der Wandtemperaturdifferenz dickwandiger Bauteile von Dampferzeugern aus Dampftemperaturmesswerten
H. 1, S. 44 – 48

Leithner, R., siehe Lehne, F.:
H. 1, S. 44 – 48

Linke, K.:
Strategien im europaweiten Netzmanagement
H. 2, S. 33 – 37

Lipiak, G., siehe Umlauft, R.:
H. 8, S. 39 – 42

Lipinski, B., Werlich, J., und Ilchmann, H.-P.:
Anforderungen an die Personalausbildung in konventionellen Kraftwerken
H. 12, S. 48 – 54

Lühr, D., und Krüger, K.:
Steigerung der Wettbewerbsfähigkeit im Heizkraftwerk Tiefstack durch Hochautomatisierung und Optimierung der Betriebsarten
H. 4, S. 47 – 54

Lüken, W., Lüßing, H., Waldhoff, Th., und Zimmermann, B.:
Umbau der Zünd- und Stützfeuerung im Steinkohlekraftwerk Ibbenbüren von Heizöl S auf Orimulsion
H. 10, S. 90 – 100

Lüßing, H., siehe Lüken, W.:
H. 10, S. 90 – 100

Lutat, A., siehe Gutberlet, H.:
H. 8, S. 75 – 80

Lux, R.:
Neuordnung des berufsgenossenschaftlichen Vorschriften- und Regelwerkes
H. 3, S. 51 – 54

Lysk, S., siehe Kirmse, D.:
H. 6, S. 29 – 38

M

Makkonen, P:
ZWS-Kessel von Foster Wheeler mit dem neuen INTREX™-Überhitzer
H. 2, S. 43 – 48

Mark, F.E., und Vehlow, J.:
Mitverbrennung von Kunststoffabfällen in Abfallverbrennungsanlagen
H. 6, S. 66 – 70

Martin, K.U., und Metschke, J.:
JuSyS(r)-Feuerfestauskleidung für Müllverbrennungskessel – Beitrag zur Kostensenkung
H. 7, S. 73 – 76

Maughan, E.V., Pflug, H.D., Schraewer, R., und Werwatz, K.:
Theoretische und praktische Aspekte zur Natrium-Messung in Wasser-Dampf-Kreisläufen
H. 6, S. 86 – 91

Mayer, K.H., siehe Blum, W.:
H. 4, S. 90 – 98

Meierer, M., und Eimer, N.:
Langzeiterfahrungen bei Betrieb, Instandhaltung und Optimierung des Wärmeverschiebesystems in einer Rauchgasentschwefelungsanlage
H. 9, S. 56 – 61

Meisel, L., siehe Scharf, R.:
H. 1, S. 49 – 53

Melzer, B., siehe Zabelt, K.:
H. 5, S. 119 – 124

Mengel, A., siehe Schettler, H.:
H. 12, S. 74 – 79

Merz, A., siehe Seifert, H.:
H. 8, S. 56 – 60

Merzbach, F., siehe Wirling, J.:
H. 12, S. 88 – 91

Metschke, J.:
Rauchgasreinigung nach dem CDAS-Verfahren
H. 10, S. 108 – 112

Metschke, J., siehe Martin, K.U.:
H. 7, S. 73 – 76

Metzner, B., siehe Eckel, M.:
H. 1, S. 88 – 93

Mirschinka, V., siehe Petersen, K.:
H. 3, S. 26 – 30

Moellmann, K., siehe Pönisch, W.:
H. 2, S. 66 – 69

Mohr, G., siehe Kuhnle, G.:
H. 10, S. 122 – 127

Mohr, K.D., siehe Beukenberg, M.:
H. 9, S. 32 – 35

Mølbak, T., siehe Mortensen, J. H.:
H. 5, S. 87 – 93

Møller, H., Larsen, O.H., Smitshuysen, E., und Persson, L.Å.:
Chemische Reinigung ultra-überkritischer Kessel mit austenitischen Überhitzern
H. 2, 80 – 85

Moll, W., Pütter, J., und Pollack, M.:
Erste Erfahrungen mit Diagnosesystemen und Neuronalen Netzen bei der RWE Energie AG
H. 3, S. 42 – 45

Moll, W., siehe Pflipsen, K.:
H. 11, S. 47 – 50

Mortensen, J. H., Mølbak, T., Andersen, P., und Pedersen, T.S.:
Optimierung der Kesselregelung zur Verbesserung der Lastfolge von Kraftwerksblöcken
H. 5, S. 87 – 93

Mory, A., siehe Anderl, H.:
H. 3, S. 68 – 75

Mühlhaus, R., siehe Pflipsen, K.:
H. 11, S. 47 – 50

Müller, G., Valk, M., und Weisser, H.:
Spitzentechnologie Gasturbine: Schadenmechanismen, -häufigkeit und -kosten
H. 11, S. 26 – 31

Müller, J.:
Wasserlanzenbläser zur Abreinigung von Membranwänden eines 600-MW-Braunkohle-dampferzeugers Erweiterung
H. 12, S. 80 – 83

N

Nadort, I.:
Betrieb und Instandhaltung in zukünftigen Kraftwerken am Beispiel des UNA-Kraftwerkes Diemen
H. 6, S. 39 – 44

Neuhaus, S., siehe Gutberlet, H.:
H. 8, S. 75 – 80

Nolin, K.:
Neuentwickelte Entschwefelungsanlage für das schwerölbefeuerte Spitzenlastkraftwerk Karlshamn in Schweden
H. 11, S. 58 – 61

Nothdurft, R., siehe Lehmann, B.:
H. 8, S. 89 – 96

O

Oberhansberg, H., siehe Triebel, W.:
H. 10, S. 83 – 85

P

Paetzold, J., und Blume, D.:
Oberschwingungen durch drehzahlgeregelte Antriebe im Eigenbedarf und Anforderungen an die Spannungsqualität
H. 1, S. 54 – 59

Panek, N.:
TRGS 524 "Sanierung und Arbeiten in kontaminierten Bereichen": ZH 1/183 "Regel für Sicherheit und Gesundheitsschutz bei der Arbeit in kontaminierten Bereichen"
H. 5, S. 103 – 106

Paul, S., siehe Händel, G.:
H. 4, S. 55 – 60

Pedersen, T.S., siehe Mortensen, J. H.:
H. 5, S. 87 – 93

Penninks, F.W.M., siehe Willeboer, W.:
H. 5, S. 78 – 83

Persson, L.Å., siehe Møller, H.:
H. 2, S. 80 – 85

Peter, J., und Reifarth, K.:
Bereinigung der wasserrechtlichen Genehmigungen eines Kraftwerks
H. 11, S. 68 – 72

Petersen, K., und Mirschinka, V.:
Stand und Perspektive der Entsorgung der deutschen Kernkraftwerke
H. 3, S. 26 – 30

Petri, B.O., siehe Triebel, W.:
H. 10, S. 83 – 85

Pflipsen, K., Görner, K., Mühlhaus, R., Pollack, M., und Moll, W.:
Feuerungsoptimierung mit neuronalen Netzen und Fuzzy-Logic an einem Braunkohlekessel
H. 11, S. 47 – 50

Pflug, H.D., siehe Maughan, E.V.:
H. 6, S. 86 – 91

Pieper, B., siehe Trümper, V.:
H. 7, S. 77 – 80

Pönisch, W., und Moellmann, K.:
Weitere Verbesserungen bei der Dampftemperaturregelung
H. 2, S. 66 – 69

Polcik, P., siehe Blum, W.:
H. 4, S. 90 – 98

Pollack, M., siehe Moll, W.:
H. 3, S. 42 – 45

Pollack, M., siehe Pflipsen, K.:
H. 11, S. 47 – 50

Porsche, Th., Scholz, G., und Heidan, G.:
Mitverbrennung von Mischbrennstoffen aus Teerrückständen in den Braunkohlekraftwerken Schwarze Pumpe
H. 9, S. 66 – 70

Pourcq, D. de, siehe Roofthooft, R.:
H. 12, S. 102 – 104

Prenzel, H., und Ertelt, R.:
Schmierölmanagement – was damit tun?
H. 12, S. 92 – 95

Presutti, E., siehe Simon, M.:
H. 7, S. 57 – 60

Pütter, J., siehe Moll, W.:
H. 3, S. 42 – 45

Puls, R., Schreier, W., und Schulze, Th.:
Auslegung und Betriebserfahrungen mit der Verbrennung extrem schwerer Ölrückstände im IHKW Schwedt
H. 7, S. 68 – 72

Q

Quick, L., siehe Rziha, M.:
H. 5, S. 109 – 113

R

Raudszus, J., und Wachsmuth, H.:
Umsetzung der Verordnung über Anlagen zum Umgang mit wassergefährdenden Stoffen (VAwS)
H. 8, S. 86 – 88

Rausch, L., siehe Klotz, H.:
H. 7, S. 30 – 33

Reich, H.W.:
Risikomanagement und Finanzierung
H. 2, S. 26 – 28

Reichel, H., siehe Auel, W.:
H. 1, S. 63 – 69

Reichert, R., und Ballat, J.:
Schaltanlagen – Leittechnik
H. 3, S. 55 – 62

Reifarth, K., siehe Peter, J.:
H. 11, S. 68 – 72

Reik, M.:
Feinstfiltration – Ein betriebswirtschaftlicher Faktor
H. 7, S. 46 – 50

Reisinger, H., siehe Stadelmann, W.:
H. 9, S. 88 – 92

Reiter, J.:
Historische Dimensionen der EU-Ost-Erweiterung
H. 12, S. 43 – 47

Reuter, A., siehe Zabelt, K.:
H. 5, S. 119 – 124

Richter, P., siehe Höxtermann, E.:
H. 10, S. 78 – 82

Riess, R., siehe Schneider, V.:
H. 11, S. 73 – 77

Risio, B., siehe Käß, M.:
Teil 1: H. 11, S. 39 – 46
Teil 2: H. 12, S. 65 – 72

Römer, W., siehe Herda†, W. R.:
H. 11, S. 78 – 84

Roofthooft, R., Eyckmans, M., Verheyden, K., und de Pourcq, D.:
Konditionierung von Wasser-Dampf-Kreisläufen mit einer Mischung aus Polyaminen und Polyacrylaten
H. 12, S. 102 – 104

Roos, J., und Hummer, J.S.:
Fortschrittliche automatisierte Reinigung von Elektrofiltern
H. 10, S. 113 – 116

Rühle, W., siehe Schneider, V.:
H. 11, S. 73 – 77

Rumpff, K.:
Stellenwert von Arbeitssicherheit und Gesundheitsschutz unter den Bedingungen des verschärften Wettbewerbs nach der Liberalisierung des Strommarktes
H. 2, S. 75 – 79

Rziha, M., David, W., Quick, L., und Schmitz, F.:
Anpassung der Siemens/KWU-Richtlinie für Dampfqualität an die betrieblichen Randbedingungen moderner Kraftwerke (insbesondere GUD-Anlagen)
H. 5, S. 109 – 113

S

Sabel, Th., siehe Käß, M.:
Teil 1: H. 11, S. 39 – 46
Teil 2: H. 12, S. 65 – 72

Sailer, W., siehe Lehmann, B.:
H. 8, S. 89 – 96

Sasko, P., siehe Kinn, Th.:
H. 7, S. 51 – 56

Schaffernak, B., Cerjak, H., und Hofer, P.:
Neues Konzept zur Optimierung moderner 9- bis 12%-Cr-Stähle
H. 3, S. 80 – 84

Scharf, R., und Meisel, L.:
Wirkungsgraderhöhung im Kraftwerk Wilhelmshaven durch eine Zweigturbinenanlage
H. 1, S. 49 – 53

Scheffknecht, G., siehe Heitmüller, R.:
H. 6, S. 92 – 99

Scheffknecht, G., siehe Kirmse, D.:
H. 6, S. 29 – 38

Schetter, G., und Holub, M.:
Neue Anforderungen an die Konzeption von thermischen Abfallbehandlungsanlagen vor dem Hintergrund der Kostensenkung
H. 6, S. 61 – 65

Schettler, H., und Mengel, A.:
Ventilatormühlen-Entwicklung für Braunkohlendampferzeuger
H. 12, S. 74 – 79

Schiffer H.-P., siehe Wirling, J.:
H. 12, S. 88 – 91

Schirmer, U.:
Besonderheiten des Brandschutzes in Abfallverbrennungsanlagen
H. 6, S. 71 – 74

Schlegel, G.:
Aus- und Weiterbildung des Betriebspersonals als Gemeinschaftsaufgabe der Kraftwerksbetreiber
H. 12, S. 61 – 64

Schmidt, D., und Wintrich, H.:
Wirkungsgraderhöhung von Feuerungen mit der Kombination aus Emissionsspektroskopie und moderner Videotechnik
H. 1, S. 77 – 82

Schmidt, H., siehe Kastner, W.:
H. 6, S. 45 – 51

Schmitz, F., siehe Rziha, M.:
H. 5, S. 109 – 113

Schneider, V., Rühle, W., und Riess, R.:
Magnetitablagerungen im Wasser-Dampf-Kreislauf von DWR-Anlagen
H. 11, S. 73 – 77

Scholz, G., siehe Porsche, Th.:
H. 9, S. 66 – 70

Schraewer, R., siehe Maughan, E.V.:
H. 6, S. 86 – 91

Schreier, W., siehe Götte, C.:
H. 8, S. 49 – 55

Schreier, W., siehe Käß, M.:
Teil 1: H. 11, S. 39 – 46
Teil 2: H. 12, S. 65 – 72

Schreier, W., siehe Puls, R.:
H. 7, S. 68 – 72

Schröder, H.Chr., und Foos, A.:
Beitrag zur Bewertung und Probabilistik für einen optimalen und sicheren Kraftwerksbetrieb
H. 10, S. 70 – 77

Schuhmacher, K.-H., siehe Trost, M.:
H. 4, S. 72 – 76

Schulze, Th., siehe Puls, R.:
H. 7, S. 68 – 72

Schuster, Ch., siehe Knorr, J.:
H. 6, S. 52 – 60

Schuster, H., siehe Simon, E.:
H. 8, S. 43 – 48

Seifert, H., und Merz, A.:
Optimierung des Abfallverbrennungsprozesses an der Rostfeuerungsanlage TAMARA – Ergebnisse der VGB-Forschungsprojekte 173 und 194
H. 8, S. 56 – 60

Seipp, H.-G., und Bursik, A.:
Die Integration neuerer Anlagenkonzepte in die VGB-Speisewasserrichtlinie VGB-R 450 L
H. 6, S. 82 – 85

Seliger, P., siehe Zabelt, K.:
H. 5, S. 119 – 123

Sesterhenn, K., siehe Bastisch, H.:
H. 3, S. 46 – 50

Siebert, R., und Krüger, J.:
Untersuchung zur Abpulsung an einem zur quasitrockenen Rauchgasreinigung eingesetzten Gewebefilter
H. 10, S. 117 – 121

Simon, E., Bischoff, W., und Schuster, H.:
Neuere Erkenntnisse zum Einsatz eines erweiterten Kohlebandes an einem steinkohlebefeuerten Dampferzeuger
H. 8, S. 43 – 48

Simon, M., und Presutti, E.:
Online Economic Control (OEC) in Wärmekraftwerken mit fossiler Feuerung – Der Ansatz der EDF
H. 7, S. 57 – 60

Sindelár, R., Hanuš, B., und Hernych, M.:
Die Vorteile eines Reglers mit nachgebender Rückführung
H. 7, S. 61 – 64

Sindelár, R., und Toewe, W.:
TENSOMAX – Eine nachrüstbare Überwachung der thermischen Beanspruchung von Dampfturbinen
H. 1, S. 60 – 62

Smitshuysen, E., siehe Møller, H.:
H. 2, S. 80 – 85

Soyk, K.-H.:
Generatoren im Grenzleistungsbereich
H. 3, S. 40 – 42

Spindler, K.:
Kraftwerk zur Versorgung der neuen Raffinerie Leuna 2000
H. 7, S. 41 – 45

Sprenger, L., siehe Böhme, A.:
H. 4, S. 77 – 80

St

Stadelmann, W., Reisinger, H., und Kerres, S.:
Langzeitüberwachung von Systemen und Komponenten
H. 9, S. 88 – 92

Sticher, W., Jeschka, P., und Bieder, M.:
Auslegung und erste Betriebserfahrungen mit den Abhitzedampferzeugern der GuD-Anlage BASF Ludwigshafen
H. 7, S. 34 – 40

Straub, S., siehe Blum, W.:
H. 4, S. 90 – 98

Strauß, J.H., siehe Lehmann, B.:
H. 8, S. 89 – 96

Strohhäcker, J., siehe Kuhnle, G.:
H. 10, S. 122 – 127

T

Tappen, M.:
Kohlenstaub-Mengenmessung in Brennerleitungen – Neuartige Messungen zur Optimierung der Feuerung
H. 11, S. 51 – 55

Theis, K.A.:
Kurzbericht über die Tätigkeit der VGB TECHNISCHEN VEREINIGUNG DER GROSSKRAFTWERKSBETREIBER E.V. 1999/2000
H. 10, S. 42 – 69

Thiel, H.-J., siehe Knorr, J.:
H. 6, S. 52 – 60

Thierbach, H.-U., siehe Käß, M.:
Teil 1: H. 11, S. 39 – 46
Teil 2: H. 12, S. 65 – 72

Thomsen, K., und Daucik, K.:
Charakterisierung von Ionenaustauscherharzen in Bezug auf die Freisetzung von organischen Leachables
H. 4, S. 83 – 89

Toewe, W., siehe Sindelár, R.:
H. 1, S. 60 – 62

Toscher, E., siehe Triebel, W.:
H. 10, S. 83 – 85

Traupe, A., und Klug, Susanne:
Arbeitsschutzmanagement – Systemkonzept und Lösung für eine praxisnahe Implementierung in Kraftwerken
H. 7, S. 65 – 67

Triebel, W., Oberhansberg, H., Petri, B.O., und Toscher, E.:
Schichtplangestaltung – Eine wesentliche Voraussetzung zur Betriebsoptimierung
H. 10, S. 83 – 85

Triebel, W., siehe Buck, P.:
H. 12, S. 84 – 87

Trost, M., und Schuhmacher, K.-H.:
Stand der Technik bei Wirbelschichtfeuerungen
H. 4, S. 72 – 76

Trümper, V., Berger, Irene, Hampel, G., Hoffmann, W., und Pieper, B.:
Anforderungen an Ionenaustauscher in Kraftwerken aus der Sicht des Betreibers
H. 7, S. 77 – 80

Tülling, R., siehe Weise, Claudia:
H. 8, S. 69 – 74

U

Uden, A., siehe Kruse, I.:
H. 8, S. 66 – 68

Umlauft, R., und Lipiak, G.:
Betriebserfahrungen und Potentiale der Gasturbinen der dritten Generation
H. 8, S. 39 – 42

V

Valckenaere, J., und Basener, H.:
Reinigung der DENOX-Reaktoren im Heizkraftwerk Tiefstack mit Infraschall
H. 9, S. 49 – 55

Valk, M., siehe Müller, G.:
H. 11, S. 26 – 31

Vallana, G., siehe Büttner, J.:
H. 4, S. 39 – 43

Vehlow, J., siehe Mark. F.E.:
H. 6, S. 66 – 70

Verheyden, K., siehe Roofthooft, R.:
H. 12, S. 102 – 104
VGB-Arbeitsgruppe: VGB-Richtlinien für Organica und gelöste Kohlensäure im Wasser-Dampf-Kreislauf von Kraftwerken
H. 9, S. 83 – 87

VGB-Fachausschuss „Austausch von Betriebserfahrungen (ABE)“:
Betriebserfahrungen mit Kernkraftwerken 1999
H. 5, S. 33 – 69

Vogler, E.:
Erfahrungen mit drallstabilisierter Nachverbrennung als Primärmaßnahme bei der Restabfallverbrennung
H. 9, S. 62 – 65

Vogt, H.-P.:
Druckverlustfreie Dampf-Durchflussmessung führt zu Kosteneinsparungen in der Energiewirtschaft
H. 5, S. 107/108

Vonderbank, R., siehe Götte, C.:
H. 8, S. 49 – 55

Voß, A.:
Umweltschutz im liberalisierten Energiemarkt
H. 9, S. 45 – 48

Voss, J., und Fricke, J.:
Erfahrungen bei der Montage und Inbetriebsetzung einer 100-MW-GuD-Anlage für die kommunale Energieversorgung
H. 8, S. 32 – 38

Vosteen, B., und Beyer, J.:
Erzielbarer Rest-Kohlenstoffgehalt in Schlacken und Aschen von Müllverbrennungsanlagen
Teil 1: C_{fix}-Gehalt und C_{fix}-Abbrand
H. 9, S. 71 – 76
Teil 2: Glühverlust und Kohlenstoffgehalte
H. 10, S. 101 – 107

W

Wachsmuth, H., siehe Raudszus, J.:
H. 8, S. 86 – 88

Wachter, O., Zabelt, K., Ennis, P. J., Helmrich, A., und Böhme, A.:
Auslegung, Fertigung und Montage der ersten in Deutschland gefertigten und in einem Steinkohlekraftwerk eingebauten P92-Sammler
H. 9, S. 93 – 99

Waldhoff, Th., siehe Lüken, W.:
H. 10, S. 90 – 100

Wasel-Nielen, J., und Kluge, H.:
Kesselspeisewasser-Erzeugung aus Flusswasser durch Ionenaustausch und Umkehrosmose – 10 Jahre Betriebserfahrungen
H. 7, S. 81 – 85

Weber, L., siehe Knorr, J.:
H. 6, S. 52 – 60

Weirich, P.-H., siehe Klotz, H.:
H. 7, S. 30 – 33

Weise, Claudia, Güsewell, M., Heinze, G., und Tülling, R.:
Industrielle Untersuchungen zur Bestimmung der Taupunkte von Rauchgasen
H. 8, S. 69 – 74

Weisser, H., siehe Müller, G.:
H. 11, S. 26 – 31

Wendelberger, W., Ackenheil, R., und Gleixner, G.:
Betriebsverhalten eines 600-MW-Kohleblockes in Leistungsregelung
H. 3, S. 36 – 39

Werlich, J., siehe Lipinski, B.:
H. 12, S. 48 – 54

Werwatz, K., siehe Maughan, E.V.:
H. 6, S. 86 – 91

Wild, E.:
Die Zukunft der Energiemärkte im Spannungsfeld von Wettbewerb und Politik
H. 1, S. 29 – 31

Willeboer, W., und Penninks, F.W.M.:
Biomasse: Vergasungs- und Mitverbrennungsprojekte in den Niederlanden
H. 5, S. 78 – 83

Wintrich, H., siehe Schmidt, D.:
H. 1, S. 77 – 82

Wirling, J., Schiffer H.-P., und Merzbach, F.:
Adsorptive Abgasreinigung bei der Mitverbrennung von Klärschlamm in einem braunkohlebefeuerten Industriekraftwerk
H. 12, S. 88 – 91

Wöllfert, D., siehe Bastisch, H.:
H. 3, S. 46 – 50

Z

Zabelt, K., Melzer, B., Reuter, A., und Seliger, P.:
Eigenschaften und Einsatzgrenzen von dünn- und dickwandigen Bauteilen aus den hochwarmfesten Stählen NF616 und P92 Leistungsregelung
H. 5, S. 119 – 123

Zabelt, K., siehe Böhme, A.:
H. 4, S. 77 – 80

Zabelt, K., siehe Wachter, O.:
H. 9, S. 93 – 98

Zafeiriou, Efstratia:
HETAR & MATAR – Modelle zur numerischen Simulation der Wärme- und Stoffübertragungsvorgänge in rotierenden Regeneratoren
H. 4, S. 67 – 71

Zaiss, W., und Alt, M.:
Brechen für das Personal von Kernkraftwerken neue Zeiten an?
H. 12, S. 55 – 60

Zaiss, W.:
Forschungs- und Entwicklungsprogramme der Betreiber
H. 3, S. 31 – 35

Zeijseink, A.G.L., und Bergen, J.B.J. van den:
Eine Methode zur Kosten-Nutzen-Analyse der Kraftwerkschemie
H. 9, S. 77 – 80

Zeijseink, A.G.L., und Heijboer, R.:
Organische Verunreinigungen im Wasser-Dampf-Kreislauf Leistungsregelung
H. 3, S. 76 – 79

Zhang, P., siehe Klotz, H.:
H. 7, S. 30 – 33

Zieger, W.:
Arbeitsvorbereitung bei Instandhaltungsmaßnahmen
H. 2, S. 60 – 65

Zimmermann, B., siehe Lüken, W.:
H. 10, S. 90 – 100

Zölzer, K.:
Vor- und Nachteile von Wirbelschichtanlagen in verschiedenen Anwendungsgebieten
H. 1, S. 70 – 76

Zotter, Th., siehe Anderl, H.:
H. 3, S. 68 – 75

Zschau, H.-E.:
Untersuchung von Erscheinungen der Hochtemperaturkorrosion mit Verfahren der Ionenstrahlanalytik
H. 2, S. 86 – 91

Zschau, M., siehe Bendick, W.:
H. 5, S. 114 – 118

Zwahr, H., siehe Kaulbarsch, R.:
H. 5, S. 97 – 102

A

Abfallmitverbrennung
— Isolierschaum H. 6, S. 70
— Kunststoffe, Automobilbereich H. 6, S. 68
— Kunststoffe, elektronische Apparate H. 6, S. 69
— Verpackungskunststoffe H. 6, S. 66
— Wärmedämmschaum H. 6, S. 69
Abfallverbrennung H. 8, S. 56

Abgasreinigung bei MVA
— CDAS-Verfahren H. 10, S. 108
— Sorption von Cl und CO_2 an $Ca(OH)_2$ H. 10, S. 108
— Trockensorption, Auslegungsdaten H. 10, S. 108
— Trockenverfahren zur Abgasreinigung H. 10, S. 108

AGM 200, Leitsätze H. 6, S. 75

Akustikreinigung H. 8, S. 66

Allwandfeuerung
— Feuerungskonzepte H. 11, S. 39
— Low-NO_x-Staubbrenner H. 11, S. 39
— Seitenwandluft H. 11, S. 39
— Stufenmischbrenner H. 11, S. 39

Aluminiumfluorid-Komplexe, aluminiuminduzierte Kalkstein-inhibierung (Blinding) H. 8, S. 81

Androsselung H. 2, S. 38

Arbeitsgenehmigung H. 11, S. 56

Arbeitsschutzgesetz H. 7, S. 65

Arbeitsschutzmanagement H. 6, S. 75

Arbeitsschutzmanagementsystem (AMS) H. 7, S. 65

Arbeitssicherheit H. 2, S. 75

Arbeitsvorbereitung H. 11, S. 57

Asche/Schlacke
— Asche: Unverbranntes H. 9, S. 71; H. 10, S. 101
— Ausbrand der Asche H. 9, S. 71; H. 10, S. 101
— Glühverlust H. 10, S. 101
— Kohlenstoffgehalt in der Asche H. 9, S. 71; H. 10, S. 101
— Restkohlenstoffgehalt in Asche H. 9, S. 71; H. 10, S. 101
— Rostasche: Abhängigkeit vom Betrieb H. 9, S. 71; H. 10, S. 101
— Rostasche: Abhängigkeit vom Müll H. 9, S. 71; H. 10, S. 101
— Rostasche: Zusammensetzung H. 9, S. 71; H. 10, S. 101

Atomkonsens H. 1, S. 29; H. 12, S. 28, 32

Aufenthaltszeit von Verbrennungs-abgasen H. 8, S. 56

Aufsichtspflicht (ZH1/183) H. 5, S. 104

Ausbildung
— aktuelle Entwicklungen H. 12, S. 61
— Gemeinschaftsaufgabe der Kraftwerksbetreiber H. 12, S. 61
— Kernkraftwerke, Situationsanalyse H. 12, S. 55
— konventionelle Kraftwerke H. 12, S. 48

austenitischer Überhitzer, chemische Reinigung H. 2, S. 80

B

Berufsgenossenschaften, Regelwerk H. 3, S. 51

Beschaffungsprozess H. 11, S. 57

Betriebsführungssystem
— Betriebsverhalten H. 7, S. 51, 57
— Dokumentation H. 7, S. 51
— fossile Brennstoffe H. 7, S. 57
— Optimierung H. 7, S. 57
— Prozess-Leittechnik H. 7, S. 51, 57
— Wärmekraftwerke H. 7, S. 57
— Wirtschaftlichkeit H. 7, S. 51

Betriebskostenoptimierung
— Aufgabenstellung für Energie-Management- und Energie-Controlling-Systeme H. 4, S. 55
— Betrieb mit Energie-Management- und Energie-Controlling-Systemen H. 4, S. 55
— Einsatz moderner Betriebs-führungssysteme H. 4, S. 55

Betriebsoptimierung H. 3, S. 42

Bewertung von Exergie-Verlusten H. 5, S. 84

Biomasse-Nutzung H. 4, S. 29

BoA-Plus-Kraftwerkskonzept H. 4, S. 29

Brandschutz
— Branderkennung H. 6, S. 73
— Brandentstehung H. 6, S. 71
— Infra-Rot-Technik H. 6, S. 71
— Müllverbrennung H. 6, S. 71
— thermische Abfallverwertung H. 6, S. 71

Brandschutzkonzepte
— Anforderungen H. 2, S. 70
— Bausteine H. 2, S. 70
— Risikoanalyse H. 2, S. 70

Braunkohlendampferzeuger
— Eckpanzerung H. 12, S. 74
— Grießrücklaufkanal H. 12, S. 74
— Kohlenstaubzündbrenneranlage
— Nasskohlenventilatormühlen (NV-Mühlen) H. 12, S. 74
— Rauchgasrücksaugung H. 12, S. 74
— Umlenksichter H. 12, S. 74
— Zünd-Brennstaub H. 12, S. 74
— Zyklonabscheider H. 12, S. 74

Brennelemente
— direkte Endlagerung H 3, S. 28
— Transporte H. 3, S. 28
— Zwischenlagerung H. 3, S. 28

Brennstoff- Umwandlungstechniken H. 4, S. 29

Brennstoffzellen H. 4, S. 29, 35

C

Chemie im Wasser-Dampf-Kreislauf, Richtlinien H. 1, S. 83

chemische Reinigung
— begleitende Untersuchungen H. 10, S. 122
— überkritischer Kessel H. 2, S. 80
— Wasser-Dampf-Kreislauf H. 10, S. 122

D

Dampferzeuger
— Betriebsverhalten H. 3, S. 36
— Block-Regelkonzept H. 3, S. 36
— Frischdampftemperatur H. 3, S. 36
— Leistungsregelung H. 3, S. 36

Dampfkraftwerke H. 4, S. 25

Dampfqualität in GUD-Anlagen H. 5, S. 109

Dampftemperaturregelung, spezielle Ausprägung der Zustandsregelung H. 2, S. 66

Dampfturbine
— Anordnungskonzepte H. 7, S. 30
— Lebensdauer H. 1, S. 60
— Maschinenhäuser H. 7, S. 30
— Tensomax H. 1, S. 60
— thermische Beanspruchung H. 1, S. 60
— Überwachung H. 1, S. 60
— Wirkungsgraderhöhung H. 1, S. 49
— Zweigturbine H. 1, S. 49
— Zweitgenerator H. 1, S. 49

DENOX
— bei Schwerölfeuerung H. 11, S. 58
— HKW Tiefstack H. 9, S. 49
— Infraschall H. 9. S. 49
— Reaktoren H. 9, S. 49
— Reinigung H. 9, S. 49

DENOX-Anlage, Reinigung H. 8, S. 66

DENOX-Katalysator, Reinigung H. 8, S. 66

dezentrale Energieversorgung mit BZ H. 4, S. 35

dezentrale Erzeugung H. 4, S. 29

digitale Leittechnik H. 3, S. 55

Dokumentation H. 5, S. 106

Drehrohrfeuerungen
— Asche: Unverbranntes H. 9, S. 71; H. 10, S. 101
— Ausbrand der Asche H. 9, S. 71; H. 10, S. 101
— Glühverlust H. 10, S. 101
— Kohlenstoffgehalt in Asche H. 9, S. 71; H. 10, S. 101
— Restkohlenstoffgehalt in Asche H. 9, S. 71; H. 10, S. 101
— Rostasche: Abhängigkeit vom Betrieb H. 9, S. 71; H. 10, S. 101
— Rostasche: Abhängigkeit vom Müll H. 9, S. 71; H. 10, S. 101
— Rostasche: Zusammensetzung H. 9, S. 71; H. 10, S. 101

druckaufgeladene Wirbelschichtfeuerung
— Ermüdungsbruch H. 3, S. 63
— Erosion H. 3, S. 63
— Metcoloy- und Castolin-Beschichtung H. 3, S. 63
— stationäre Wirbelschicht H. 3, S. 63
— Zementpumpen H. 3, S. 63

Druckgeräte-Richtlinie (97/23 EG) H. 3, S. 53
— Konsequenzen für Hersteller und Betreiber H. 4, S. 61

Druckkohlenstaubfeuerung H. 4, S. 29, H. 12, S. 16

Druckkohlevergasung H. 4, S. 29

Druckwirbelschichtfeuerung H. 4, S. 29

DWR- Anlagen
— Anlagensicherheit H. 4, S. 42
— Magnetitablagerungen im Wasser-Dampf-Kreislauf H. 11, S. 73
— sicherheitstechnisch wichtige Armaturen H. 4, S. 40
— Siemens/KWU-Erfahrungs-auswertung H. 4, S. 40
— Verfügbarkeit H. 4, S. 42
— Vorkommnismeldung H. 4, S. 39
— WANO H. 4, S. 39
— Wasserstofffreisetzung H. 3, S. 34
— Zentrale Melde- und Auswertestelle (ZMA) H. 4, S. 39
— ZMA- Datenbank H. 4, S. 39

E

E-Filter
— automatische Stillstands-reinigung H. 10, S. 113
— ESPRO-Reinigungssystem H. 10, S. 113
— gesetzliche Auflage zur automatischen Reinigung H. 10, S. 113
— Reinigung mit Wasserstrahl H. 10, S. 113

Energie- und Umweltpolitik H. 9, S. 45

Energiedialog H. 12, S. 33

Energiemarkt, liberalisierter H. 9, S. 45

Energiemärkte
— europäische Politik H. 1, S. 29, 32, 40; H. 12, S. 28
— Finanzierung H. 2, S. 26, 29
— Fusionen H. 1, S. 32, 40
— Liberalisierung H. 1, S. 29, 32, 40; H. 2, S. 26, 33; H. 12, S. 28, 34, 37
— Politik H. 1, S. 29, 32; H. 2, S. 26, 29; H. 12, S. 28, 32, 39
— regionale Liberalisierung H. 12, S. 37
— Risikomanagement H. 2, S. 26, 29
— Strompreis H. 1, S. 29, 32, 40 H. 2, S. 27, 29
— Wettbewerb H. 1, S. 29, 32, 40, H. 2, S. 33, H. 10, S. 42, H. 12, S. 28

Erdgas-Kombi-Kraftwerke H. 4, S. 29

Erkrankungen, arbeitsbedingte H. 6, S. 78

EU-Osterweiterung H. 12, S. 43

EURELECTRIC H. 10, S. 42; H. 12, S. 30, 31

Experteneinschätzungen H. 9, S. 41

Externalisierung H. 9, S. 45

F

Fehlhandlungen H. 6, S. 79

feuerfeste Materialien
— Feuerfestauskleidung H. 7, S. 73
— feuerfeste Platten H. 7, S. 74
— hinterlüftete feuerfeste Platten H. 7, S. 74
— JuSyS-Feuerfestauskleidung H. 7, S. 73
— Kostensenkung H. 7, S. 73

Feuerwehr im Kraftwerk
— Aufgaben H. 3, S. 46
— Organisation, personelle Ausstattung H. 3, S. 46
— Rechtsstellung H. 3, S. 46
— Notwendigkeit/Wirtschaftlichkeit H. 3, S. 46

Flammendiagnose
— Emissionsspektroskopie H. 1, S. 77
— Feuerraumüberwachung H. 1, S. 77
— Feuerungsregelung H. 1, S. 77
— Videotechnik H. 1, S. 77

Flugasche H. 4, S. 77

Freigabeverfahren, elektronisch H. 10, S. 86

Freischaltprozess H. 11, S. 57

Freischaltwesen H. 11, S. 56

G

Gasturbine
— Beschreibungen H. 10, S. 78
— Betriebserfahrungen H. 8, S. 39; H. 9, S. 32
— Flottenangaben H. 8, S. 39
— FT 8 MAN GHH H. 9, S. 32
— Kühlluftkreislauf H. 6, S. 52
— Leistungserhöhung H. 9, S. 36
— Schadenshäufigkeit H. 11, S. 26
— Schadenskosten H. 11, S. 26
— Schadensmechanismen H. 11, S. 26
— Schadensmöglichkeiten H. 10, S. 78
— Simulation H. 6, S. 52
— Überwachungseinrichtungen H. 9, S. 32
— Verdichterstation H. 9, S. 32
— Verdunstungskühler H. 9, S. 36
— Verfügbarkeitskennzahlen H. 8, S. 39
— Versuchsanlage H. 6, S. 52
— VX 4. 3 Siemens H. 8, S. 39

Gefahrstoffe, Erkundung H. 5, S. 104

Genehmigung, wasserrechtliche H. 9, S. 68

gerichtsfestes Unternehmen H. 9, S. 68

Gesundheitsbegriff H. 6, S. 78

Gesundheitsmanagement 2000 H. 6, S. 75

Gesundheitsschutz H. 2, S. 75; H. 6, S. 77

Gewebefilter
— Abpulsrate und Filterschicht H. 10, S. 117
— Druckverlust H. 10, S. 117
— Test verschiedener Materialien H. 10, S. 117
— Untersuchung der Abpulsung H. 10, S. 117

Grenzleistungsbereich H. 3, S. 40

GuD-Anlagen
— Gasturbine H. 8, S. 32
— Inbetriebsetzung H. 8, S. 32
— Kraft-Wärme-Kopplung H. 8, S. 32
— Richtlinie zur Dampfqualität H. 5, S. 109
— Wirtschaftlichkeit H. 8, S. 32

H

Harmonisierungsprozess H. 3, S. 51

Hausenergieversorgung mit BZ H. 4, S. 35

Heinrich-Mandel-Preis für Kraftwerkstechnik 2000 H. 12, S. 41

Heizkraftwerk
— Automatisierung H. 4, S. 47
— Betriebsverhalten H. 4, S. 47
— Block-Regelkonzept H. 4, S. 47
— Prozess-Leittechnik H. 4, S. 47
— Wirtschaftlichkeit H. 4, S. 47

HKW Tiefstack, Reinigung der DENOX-Reaktoren H. 9, S. 49

Holzvergasung
— Ammoniakabscheidung H. 5, S. 78
— Biomasse H. 5, S. 78
— Gaswäscher H. 5, S. 78
— Mitverbrennung H. 5, S. 78
— Quenching H. 5, S. 78
— Rohgaskühler H. 5, S. 78
— Schlauchfilter H. 5, S. 78
— Sekundärbrennstoff H. 5, S. 78
— zirkulierende Wirbelschicht H. 5, S. 78

I

Inbetriebnahme, begleitende chemische Untersuchungen H. 10, S. 122

Infraschall
— HKW Tiefstack H. 9, S. 49
— Reinigung der DENOX-Reaktoren H. 9, S. 49

Instandhaltungsarten H. 9, S. 41

Instandhaltungsmaßnahmen H. 2, S. 60
— Arbeitsvorbereitung H. 2, S. 60
— Instandhaltungskosten, Reduzierung H. 2, S. 61

Instandhaltungsprogramm, I-Software, -System H. 10, S. 86, 87

Ionenaustauscherharze
— Anforderungen H. 7, S. 77
— Organikabgabe H. 4, S. 83

IPP H. 2, S. 29

K

Kalksteinpassivierung, aluminium-induzierte Kalksteininhibierung (Blinding) H. 8, S. 81

Kernenergieausstieg H. 9, S. 45

Kernkraftwerke
— Ausbildungskosten H. 12, S. 55
— Betriebsabfälle H. 3, S. 26
— Betriebserfahrungen 1999 H. 5, S. 33
— Entsorgung H. 3, S. 26
— Forschungs- und Entwicklungs-vorhaben H. 3, S. 31
— Magnetitablagerungen im Wasser-Dampf-Kreislauf H. 11, S. 73
— Öko-Audit H. 4, S. 44
— radioaktive Abgaben 1999 H. 5, S. 34
— Personalausbildung H. 12, S. 55
— Rahmenbedingungen H. 12, S. 55
— Störfallfestigkeit von E+L-Komponenten H. 3, S. 33
— Verfügbarkeit 1999 H. 5, S. 33
— Wiederaufarbeitung H. 3, S. 27

Kesseldiagnosesysteme H. 3, S. 42

Kesselspeisewasser
— Anforderungen an Ionen-austauscherharze H. 7, S. 77
— Flusswasseraufbereitung durch Umkehrosmose und Ionen-austausch H. 7, S. 81
— organische Wasserinhaltsstoffe in Oberflächenwässern – TOC-Analytik H. 12, S. 96

Klärschlamm-Mitverbrennung
— Dickstoffpumpe H. 12, S. 84
— Flammendurchschlagsicherung H. 12, S. 84
— Kraftwerksreststoffe H. 12, S. 84
— Sichtertemperaturregelung H. 12, S. 84
— Steinkohlekraftwerk H. 12, S. 84
— Stickstoffinertisierungs-einrichtung H. 12, S. 84

Klimaschutz H. 9, S. 45

Kohle-Kombi-Kraftwerke H. 4, S. 29

Kohlekraftwerk
— Betriebsverhalten H. 5, S. 70
— Dampferzeuger H. 5, S. 70
— Dampfparameter H. 5, S. 70
— Wirkungsgrad H. 5, S. 70

Kohlenstaub-Mengenmessung
— isokinetische Absaugung H. 11, S. 51
— Kohlenstaubverteilung H. 11, S. 51
— Lastfolgeverhalten H. 11, S. 51

Kohlenstoffbestimmung, Prozessoptimierung H. 4, S. 77

kombinierte GT/DT-Kraftwerke H. 4, S. 29

kombinierte GT/DT-Kraftwerke mit BZ H. 4, S. 35

kombinierte GT/DT-Prozesse H. 5, S. 84

KOMET-650-Forschungsprogramm H. 4, S. 29

Kondensatreinigung
— Anforderungen H. 7, S. 77
— Organikabgabe H. 4, S. 83

Kondensatstau H. 2, S. 38

Konditionierungsmittel, Polyamin/Polyacrylat-Mischung H. 12, S. 102

Kontamination, Transportbehälter für abgebrannte Brennelemente H. 3, S. 29

konventioneller Schutz H. 3, S. 55

Korrosion
— Darstellung der Hochtemperatur-korrosion (Ionenstrahlanalytik) H. 2, S. 86
— dehnungsinduzierte Risskorrosion in Rohrsystemen von konventionellen Kraftwerken H. 10, S. 128

Kostenanalyse H. 2, S. 61

Kosten-Nutzen-Analyse der Kraftwerkschemie H. 9, S. 77

Kraft-Wärme-Kopplung mit BZ H. 4, S. 35

Kraftwerk
— Altbach/Deizisau H. 8, S. 89
— Betriebsverhalten H. 7, S. 24
— Brennstoffzusammensetzung H. 7, S. 41
— Dampferzeuger H. 7, S. 24
— Hastedt H. 8, S. 66
— Instandhaltung H. 7, S. 24
— Kraftwerksbetrieb H. 10, S. 83
— Kraftwerkskonzept H. 7, S. 24; S. 41
— Kraftwerkspersonal H. 10, S. 83
— Mitverbrennung H. 7, S. 41
— Planungsinstrument H. 7, S. 24
— Raffinerierückstände H. 7, S. 41
— Schichtplan H. 10, S. 83
— Wirkungsgrad H. 7, S. 24
— Wirtschaftlichkeit H. 7, S. 24

Kraftwerkschemie, Kosten-Nutzen-Analyse H. 9, S. 77

Kraftwerksleistung, regionale H. 4, S. 25; H. 12, S. 38

Kraftwerksstatistik H. 4, S. 25

Kunststoffmitverbrennung
— Isolierschaum H. 6, S. 70
— Kunststoffe, Automobilbereich H. 6, S. 68
— Kunststoffe, elektronische Apparate H. 6, S. 69
— Verpackungskunststoffe H. 6, S. 66
— Wärmedämmschaum H. 6, S. 69

Kurzfassung des VGB-Tätigkeitsberichtes H. 10, S. 42

L

Lastfolgeverhalten
— linear-quadratisch H. 5, S. 87
— Gaussian-Regelung H. 5, S. 87
— optimierender Regler H. 5, S. 87
— Mehrgrößen-Regelkreis H. 5, S. 87

Leitsystem H. 3, S. 55

Leittechnik, Verbesserung der Dampftemperaturregelung H. 2, S. 66

M

Magnetitablagerung im Wasser-Dampf-Kreislauf einer DWR-Anlage H. 11, S. 73

Mahlanlage und Feuerung
— Dampferzeuger H. 8, S. 43
— Grießrücklauf H. 8, S. 43
— Kohlenband H. 8, S. 43
— Lamellensichter H. 8, S. 43
— Mahldruck H. 8, S. 43
— Mühlenlaufruhe H. 8, S. 43
— Primärdrall-Verstellung H. 8, S. 43
— Sichtertemperatur H. 8, S. 43
— Steinkohlen-Staubfeuerung H. 8, S. 43

Management H. 11, S. 56

Mentalkapazität H. 6, S. 79

Mitverbrennung von Teerrückständen
— Braunkohlekraftwerk H. 9, S. 66
— Brennstoffaufbereitung H. 9, S. 66
— Gefahrstoffmessungen H. 9, S. 66
— Mischbrennstoff H. 9, S. 66
— Teeröl-Feststoff-Wasser-Gemisch (TÖF) H. 9, S. 66
— Verschlackungsneigung H. 9, S. 66

Mitverbrennung von Trockenbraunkohle
— Braunkohlekraftwerk mit optimierter Anlagentechnik (BoA-Plus) H. 8, S. 49
— Pilot-Trocknungsanlage (PTA) H. 8, S. 49
— Rauchgasrücksaugschächte, druckstoßfest, zünddurch-schlagsicher H. 8, S. 49
— Stufenmischbrenner H. 8, S. 49
— Trockenbraunkohle (TBK) H. 8, S. 49
— Wirbelschichttrockner mit interner Abwärmenutzung (WTA) H. 8, S. 49
— Zündstabilität H. 8, S. 49

Mitverbrennung
— Biogas H. 3, S. 68
— Biomasse H. 3, S. 68
— externe Wirbelschicht H. 3, S. 68
— Holzschnitzel H. 3, S. 68
— Isolierschaum H. 6, S. 70
— Kunststoffe, Automobilbereich H. 6, S. 68
— Kunststoffe, elektronische Apparate H. 6, S. 69
— Rinde H. 3, S. 68
— Sägespäne H. 3, S. 68
— Vergasungsreaktor H. 3, S. 68
— Verpackungskunststoffe H. 6, S. 66
— Wärmedämmschaum H. 6, S. 69

Modellierung
— Luftvorwärmer H. 4, S. 61
— Rauchgasvorwärmer H. 4, S. 61
— Stoffübertragung H. 4, S. 61
— Wärmeübertragung H. 4, S. 61

Möller-Multi-Turboflow H. 4, S. 77

Monitoring/Archivierung H. 3, S. 42

Müllverbrennung
— Abgasreinigung H. 10, S. 108
— Asche: Unverbranntes H. 9, S. 71; H. 10, S. 101
— Ausbrand der Asche H. 9, S. 71; H. 10, S. 101
— Brandentstehung H. 6, S. 71
— Branderkennung H. 6, S. 73
— Brandschutz H. 6, S. 71
— Cash-Flow-Modell H. 6, S. 63
— CDAS-Verfahren H. 10, S. 108
— drallstabilisierte Nachverbrennung H. 9, S. 62
— energetische Betrachtung H. 8, S. 64
— Fernwärme H. 5, S. 97
— Feuerfestauskleidung H. 7, S. 73
— feuerfeste Platten H. 7, S. 74
— Gasausbrand H. 9, S. 62
— Geschichte H. 5, S. 97
— Glühverlust H. 10, S. 101
— Hamburg H. 5, S. 97
— hinterlüftete feuerfeste Platten H. 7, S. 74
— Historie H. 5, S. 97
— Industriedampf H. 5, S. 97
— Infra-Rot-Technik H. 6, S. 71
— JuSyS-Feuerfestauskleidung H. 7, S. 73
— Kohlenstoffgehalt in der Asche H. 9, S. 71; H. 10, S. 101
— Konzeption H. 6, S. 61
— Kostenrisiko H. 6, S. 62
— Kostensenkung H. 6, S. 61; H. 7, S. 73
— Kostenstrukturen H. 5, S. 97; H. 6, S. 62
— Primärmaßnahmen H. 9, S. 62
— Restkohlenstoffgehalt in Asche H. 9, S. 71; H. 10, S. 101
— Rostasche: Abhängigkeit vom Betrieb H. 9, S. 71; H. 10, S. 101
— Rostasche: Abhängigkeit vom Müll H. 9, S. 71; H. 10, S. 101
— Rostasche: Zusammensetzung H. 9, S. 71; H. 10, S. 101
— Rostsysteme H. 8, S. 61
— Sorption von Cl und CO_2 an $Ca(OH)_2$ H. 10, S. 108
— Trockensorption, Auslegungsdaten H. 10, S. 108
— Trockenverfahren zur Abgasreinigung H. 10, S. 108
— wassergekühlte Rostsysteme H. 8, S. 61

Müllverbrennungsanlagen, Optimierung H. 8, S. 56

N

nachgebende Rückführung H. 7, S. 61

Nachwuchsförderung, konventionelle Kraftwerke H. 12, S. 48

Natrium-Messung in Wasser-Dampf-Kreisläufen H. 6, S. 86

Netzmanagement H. 2, S. 33

Netzzugang H. 2, S. 33

neuronale Fuzzy-Systeme
— Vorhersagemodell H. 11, S. 47
— Optimierungsmodell H. 11, S. 47

neuronale Netze H. 3, S. 42

Niederspannungs-Schaltanlage H. 3, S. 55

Niedertemperatur-Vorwärmung mit Erdwärme H. 5, S. 84

Normalisierungsprozess H. 11, S. 57

NO_x-arme Feuerung
— Ausbrandluft H. 12, S. 65
— CO-Emission H. 12, S. 65
— CO-O_2-Wandatmosphäre H. 12, S. 65
— Laser-Doppler-Anemometrie H. 12, S. 65
— Luftzahl H. 12, S. 65
— NO_x-Emission H. 12, S. 65
— Quotientenpyrometer H. 12, S. 65
— radiale Luftstufung
— Verbundprozess H. 12, S. 65
— Weltmarktkohle H. 12, S. 65

O

Oberschwingungen H. 1, S. 54

Öko-Abgabe
— NO_x im Abgas H. 11, S. 58
— Schwefel im Brennstoff H. 11, S. 58

Öko-Bonus
— abgeschiedenes SO_2 H. 11, S. 58
— entferntes NO_x H. 11, S. 58

Ölsystem
— Filtration H. 7, S. 47
— Instandhaltung H. 7, S. 47
— Lebensdauer H. 7, S. 47
— Schmieröl H. 7, S. 47
— Schmierölmanagement H. 12, S. 26
— Zustandsbewertung H. 12, S. 26

On-line-Messung H. 4, S. 77

Organica im Wasser-Dampf-Kreislauf H. 9, S. 83

Organica und CO_2 im Wasser-Dampf-Kreislauf H. 9. S. 83

organische Verunreinigungen im Wasser-Dampf-Kreislauf H. 3, S. 76

Orimulsion Zünd- und Stützfeuer
— Begleitheizung H. 10, S. 90
— Gaszündflamme H. 10, S. 90
— Glutanaldehyd H. 10, S. 90
— Lagerstabilität H. 10, S. 90
— Lanzenfüllzeit H. 10, S. 90
— Naturbitumen-Wassergemisch H. 10, S. 90
— Oberflächen-Kontakttemperatur H. 10, S. 90
— Pumpen-Notlaufeigenschaft H. 10, S. 90
— Rückkühlung H. 10, S. 90
— Steinkohlekraftwerk H. 10, S. 90
— Umpumpprogramm H. 10, S. 90
— Zerstäuberdampf H. 10, S. 90
— Zündsicherheitszeit H. 10, S. 90

Osmose, umgekehrte, Flusswasser-aufbereitung durch Umkehr-osmose und Ionenaustausch H. 7, S. 81

P

Personalausbildung
— Gemeinschaftsaufgabe der Kraftwerksbetreiber H. 12, S. 61
— Kernkraftwerke, Situationsanalyse H. 12, S. 55
— konventionelle Kraftwerke H. 12, S. 48

Persönliche Schutzausrüstung (PSA) H. 3, S. 53

Polyamin/Polyacrylat, Konditionierung eines Wasser-Dampf-Kreislaufs H. 12, S. 102

Primärregelung H. 2, S. 38

Produkt-Filter H. 10, S. 117

PROFI-Blockregelung H. 2, S. 38

Prozessoptimierung H. 4, S. 77; H. 5, S. 84

Q

Qualifizierung, Personal in konventionellern Kraftwerken H. 12, S. 48

Qualitätsparameter H. 4, S. 77

Qualitätssicherung, Bau- und Montageüberwachung als produktbezogene QS H. 1, S. 88

radioaktive Abgaben von KKW H. 5, S. 34

Raffinerierückstände
— Fuelgas H. 1, S. 63
— Fluid Catalytic Cracking (FCC) = Slurry H. 1, S. 63
— Katalysatorabrieb H. 1, S. 63
— Nasselektrofilter H. 1, S. 63
— Pendelgassystem H. 1, S. 63
— Rauchgasquenche H. 1, S. 63
— Schraubenspindelpumpe H. 1, S. 63
— Synthesegas H. 1, S. 63
— Thermoöl H. 1, S. 63
— Vakuum Residue (VR) H. 1, S. 63
— Vakuum Visbreaker Residue (VVR) H. 1, S. 63
— Wassereindüsung zur NO_x-Minderung H. 1, S. 63

Rauchgasentschwefelungsanlagen H. 9, S. 56
— aluminiuminduzierte Kalksteininhibierung (Blinding) H. 8, S. 81
— Betrieb H. 9, S. 56
— Instandhaltung H. 9, S. 56
— Langzeiterfahrungen H. 9, S. 56
— Nebenreaktionen der Sulfit-oxidation in REA H. 8, S. 75
— Optimierung H. 9, S. 56

REA
— Absorber H. 8, S. 89
— Ausführung H. 8, S. 89
— Bau- und Montageüberwachung H. 8, S. 89
— Entschwefelung H. 11, S. 62
— Lochboden-Verfahren H. 11, S. 58
— Qualitätssicherung H. 8, S. 89
— Rauchgasreinigung H. 11, S. 62
— Schweröl-Spitzenkessel H. 11, S. 58
— Wellmann-Lord-Verfahren H. 11, S. 62
— Werkstoffkonzepte H. 8, S. 89

Regelkreis H. 7, S. 61

Regelstrecke H. 7, S. 61

Regelvorgänge H. 7, S. 61

Restkohlenstoffgehalt H. 4, S. 77

Revisionsplanung H. 10, S. 86

Richtlinie
— Chemie im Wasser-Dampf-Kreislauf H. 1, S. 83
— Dampfqualität in GUD-Anlagen H. 5, S. 109
— „Neue Anlagenkonzepte für die Speisewasserrichtlinie“ VGB-R 450 L H. 6, S. 82

Rohrwerkstoffe H. 2, S. 63

Rostfeuerungs-Versuchsanlage TAMARA H. 8, S. 56

Rostsysteme
— Asche: Unverbranntes H. 9, S. 71; H. 10, S. 101
— Ausbrand der Asche H. 9, S. 71; H. 10, S. 101
— drallstabilisierte Nachverbrennung H. 9, S. 62
— energetische Betrachtung H. 8, S. 64
— Gasausbrand H. 9, S. 62
— Glühverlust H. 10, S. 101
— Kohlenstoffgehalt in der Asche H. 9, S. 71; H. 10, S. 101
— Primärmaßnahmen H. 9, S. 62
— Restkohlenstoffgehalt in Asche H. 9, S. 71; H. 10, S. 101
— Rostasche: Abhängigkeit vom Betrieb H. 9, S. 71; H. 10, S. 101
— Rostasche: Abhängigkeit vom Müll H. 9, S. 71; H. 10, S. 101
— Rostasche: Zusammensetzung H. 9, S. 71; H. 10, S. 101
— Rostsysteme H. 8, S. 61
— wassergekühlte Rostsysteme H. 8, S. 61

Rotor H. 3, S. 40

S

Sachkundenachweis H. 5, S. 104

Sanierungsarbeiten H. 5, S. 104

Schallreinigung H. 8, S. 66

Schutzziele H. 7, S. 65

Schweißverbindungen, Austenit-Martensit-Verbindungen H. 6, S. 92

Sicherheitsarbeitsplan H. 5, S. 105

Simulatoren
— Braunkohle-Kraftwerke H. 12, S. 48
— fossilbefeuerte Kraftwerke H. 12, S. 61
— Gas-und-Dampfturbinen-Kraftwerke H. 12, S. 61

Spannungsüberhöhungen, zulässige Werte H. 1, S. 54

Speichernutzung H. 2, S. 38

Speisewasser
— Anforderungen an Ionenaustauscherharze H. 7, S. 77
— Flusswasseraufbereitung durch Umkehrosmose und Ionenaustausch H. 7, S. 81
— organische Wasserinhaltsstoffe in Oberflächenwässern, TOC-Analytik H. 12, S. 96

Speisewasserrichtlinie VGB-R 450 L, Integration neuer Anlagenkonzepte H. 6, S. 82

Statorblechkörper H. 3, S. 40

Statorgehäuse H. 3, S. 40

Statorwicklung H. 3, S. 40

Steuerreform, ökologische H. 9, S. 45

Stromerzeugung
— EDF H. 1, S. 40
— Frankreich H. 1, S. 41

SWR-Anlagen
— Anlagensicherheit H. 4, S. 42
— sicherheitstechnisch wichtige Armaturen H. 4, S. 40
— Siemens/KWU-Erfahrungs-auswertung H. 4, S. 40
— Spannungsrisskorrosion H 3, S. 35
— Verfügbarkeit H. 4, S. 42
— Vorkommnismeldung H. 4, S. 39
— WANO H. 4, S. 39
— Zentrale Melde- und Auswertestelle (ZMA) H. 4, S. 39
— ZMA-Datenbank H. 4, S. 39

Systemkonzept H. 7, S. 65

T

Tätigkeitsbericht VGB (Kurzfassung) H. 10, S. 42

Taupunktbestimmung von Rauchgasen
— Methodik und Messungen H. 8, S. 69
— Säuretaupunkt, Wassertaupunkt thermische Abfallverwertung H. 8, S. 69
— Abgasreinigung H. 10, S. 108
— Asche: Unverbranntes H. 9, S. 71; H. 10, S. 101
— Ausbrand der Asche H. 9, S. 71; H. 10, S. 101
— Brandentstehung H. 6, S. 71
— Branderkennung H. 6, S. 73
— Brandschutz H. 6, S. 71
— Cash-Flow-Modell H. 6, S. 63
— CDAS-Verfahren H. 10, S. 108
— drallstabilisierte Nach-verbrennung H. 9, S. 62
— energetische Betrachtung H. 8, S. 64
— Fernwärme H. 5, S. 97
— Feuerfestauskleidung H. 7, S. 73
— feuerfeste Platten H. 7, S. 74
— Gasausbrand H. 9, S. 62
— Geschichte H. 5, S. 97
— Glühverlust H. 10, S. 101
— Hamburg H. 5, S. 97
— hinterlüftete feuerfeste Platten H. 7, S. 74
— Historie H. 5, S. 97
— Industriedampf H. 5, S. 97
— Infra-Rot-Technik H. 6, S. 71
— JuSyS-Feuerfestauskleidung H. 7, S. 73
— Kohlenstoffgehalt in der Asche H. 9, S. 71; H. 10, S. 101
— Konzeption H. 6, S. 61
— Kostenrisiko H. 6, S. 62
— Kostensenkung H. 6, S. 61; H. 7, S. 73
— Kostenstrukturen H. 5, S. 97; H. 6, S. 62
— Primärmaßnahmen H. 9, S. 62
— Restkohlenstoffgehalt in Asche H. 9, S. 71; H. 10, S. 101
— Rostasche: Abhängigkeit vom Betrieb H. 9, S. 71; H. 10, S. 101
— Rostasche: Abhängigkeit vom Müll H. 9, S. 71; H. 10, S. 101
— Rostasche: Zusammensetzung H. 9, S. 71; H. 10, S. 101
— Rostsysteme H. 8, S. 61
— Sorption von Cl und CO_2 an $Ca(OH)_2$ H. 10, S. 108
— thermische Abfallverwertung
— Trockensorption, Auslegungsdaten H. 10, S. 108
— Trockenverfahren zur Abgasreinigung H. 10, S. 108
— wassergekühlte Rostsysteme H. 8, S. 61

TOC im Wasser-Dampf-Kreislauf H. 3, S. 76

Transaktionsmodell H. 2, S. 35

TRGS 524, Sanieren in kontaminierten Bereichen H. 5, S. 103

U

Überhitzer, chemische Reinigung H. 2, S. 80

überkritischer Kessel, chemische Reinigung H. 2, S. 80

Überwachung des Wasser-Dampf-Kreislaufs, Kosten-Nutzen-Analyse H. 9, S. 77

Überwachungsverfahren H. 9, S. 41

Umkehrosmose, Flusswasser-aufbereitung durch Umkehr-osmose und Ionenaustausch H. 7, S. 81

Umweltschutz H. 12, S. 29

Umweltschutz, Umgang mit wasser-gefährdenden Stoffen (VAwS) H. 8, S. 86

Unfallverhütungsvorschriften H. 3, S. 52

Unfallzahlen H. 2, S. 76

Untersuchungen H. 9, S. 41

V

Verbrennung extrem schwerer Ölrückstände
— Begleitheizung H. 7, S. 68
— NO_x-Emission H. 7, S. 68
— Raffineriegas H. 7, S. 68
— Raffinerie-Rückstände H. 7, S. 68
— Schweröl H. 7, S. 68
— Spülprogramm H. 7, S. 68
— Vakuum-Rückstand H. 7, S. 68
— Visbreaker H. 7, S. 68
— Viskositätsregelung H. 7, S. 68

Verbrennungsoptimierung H. 8, S. 56

Verbundsystem H. 2, S. 33

Verfügbarkeit
— Arbeitsverfügbarkeit H. 4, S. 25
— Nichtverfügbarkeit H. 4, S. 25

Verhütungsstrategie H. 6, S. 79

VGB
— Ehrungen H. 12, S. 40
— Festvortrag H. 12, S. 43
— Forschungsprogramm H. 10, S. 61
— Forschungsprojekt 173 H. 8, S. 56
— Forschungsprojekt 194 H. 8, S. 56
— Kongress H. 12, S. 28
— Kurzberichte aus den Bereichen H. 10, S. 44
— Neuausrichtung H. 1, S. 1
— Tätigkeitsbericht H. 10, S. 42

vollentsalztes Wasser
— Anforderungen an Ionen-austauscherharze H. 7, S. 77
— Flusswasseraufbereitung durch Umkehrosmose und Ionenaustausch H. 7, S. 81
— organische Wasserinhaltsstoffe in Oberflächenwässern, TOC-Analytik H. 12, S. 96

W

wärmegeführter KWK-Betrieb H. 4, S. 35

Wärmeverschiebesystem H. 8, S. 89

Wasseraufbereitung
— Anforderungen an Ionen-austauscherharze H. 7, S. 77
— Flusswasseraufbereitung durch Umkehrosmose und Ionenaustausch H. 7, S. 81
— organische Wasserinhaltsstoffe in Oberflächenwässern, TOC-Analytik H. 12, S. 96

Wasser-Dampf-Kreislauf
— chemische Reinigung und Inbetriebnahme H. 10, S. 122
— Konditionierung mit Polyamin/ Polyacrylat H. 12, S. 102
— Magnetitablagerungen in einer DWR-Anlage H. 11, S. 73
— Natrium-Messung H. 6, S. 86
— Organica und CO_2 H. 9, S. 83
— organische Verunreinigungen H. 3, S. 76
— Richtlinien H. 1, S. 83

wassergefährdende Stoffe
— Alarmplan H. 8, S. 86
— Anlagenkataster H. 8, S. 86
— Betriebsanweisungen H. 8, S. 86
— VAwS H. 8, S. 86

Wasserrecht, Genehmigung H. 9, S. 68

Wasserwirtschaft, optimierte H. 9. S. 68

Werkstoffe in Kraftwerken
— dünnwandige Rohre aus NF616 und P92 H. 5, S. 119
— E911 für Dampfleitungen H. 5, S. 114
— Erfahrungen mit dem Werkstoff X20CrMoV12-1 in FD-und HZÜ-Systemen H. 11, S. 85
— Konzept 9- bis 12%-Cr-Stähle H. 3, S. 80
— martensitischer Wellenstahl X12CrMoVNbN10-1-1 (Langzeitkriechen) H. 4, S. 90
— Nickelbasislegierungen und Sonderedelstähle in REA-Anlagen H. 11, S. 78
— 7CrMoVTiB10-10 für Membranrohrwände H. 7, S. 86

Wirbelschichtfeuerung
— Auftragsschweißen H. 4, S. 72
— Dehnfugenpflege H. 4, S. 72
— Feuerfestauskleidung H. 4, S. 72
— Pulver- oder Drahtflammspritzen H. 4, S. 72
— stationäre Wirbelschicht H. 4, S. 72
— Temperaturgradienten H. 4, S. 72
— Temperaturwechsel-beanspruchung H. 4, S. 72
— Thermographie H. 4, S. 72
— zirkulierende Wirbelschicht H. 4, S. 72

Wirkungsgradverbesserungs-Potentiale H. 4, S. 29

Workflow-Editor H. 11, S. 57

Z

ZH1/183, Regeln für Sicherheit und Gesundheitsschutz bei der Arbeit in kontaminierten Bereichen H. 5, S. 103

Zirkulierende Wirbelschichtanlagen (ZWA)
— Anthrazit, Petrolkoks, Biomasse (Holz, Rinde, Torf, Stroh) H. 1, S. 63
— Ausmauerungen H. 1, S. 63
— Beschichtungen, Flammspritzen H. 1, S. 63
— Chlorkorrosion H. 1, S. 63
— Erosionsverschleiß H. 1, S. 63
— Kornhaushalt H. 1, S. 63

zirkulierende Wirbelschichttechnologie
— Abscheidezyklon H. 5, S. 94
— Brennstoffflexibilität H. 5, S. 94
— integrierter Fließbettkühler H. 5, S. 94
— Tauchrohr H. 5, S. 94

Zustandsüberwachung
— Bruchmechanik H. 10, S. 70
— Kraftwerksbetrieb H. 10, S. 70
— Lebensdauer H. 10, S. 70; H. 11, S. 32
— Sicherheit H. 10, S. 70
— Turbinenschaufel H. 11, S. 32
— Wärmeleitung H. 11, S. 32
— Wiederkehrende Prüfungen H. 10, S. 70
— Zuverlässigkeit H. 11, S. 32

Eero Auranne Vorsitzender der Geschäftsführung der Fortum Energie
H. 6, S. 103

Bernhard Aufderheide zum Geschäftsführer bestellt
H. 5, S. 126

Norman Askew neuer Chef in Sellafield
H. 4, S. 99

Friedrich U. Arnold neuer Vorsitzender der Fachgemeinschaft Pumpen
H. 2, S. 101

Heinz-Peter Backes an der BVK-Verbandsspitze bestätigt
H. 9, S. 102

Klaus Bechtold im Ruhestand
H. 8, S. 105

Gottfried Beckmann 70 Jahre
H. 9, S. 102

Hartmut Bilger im Ruhestand
H. 10, S. 142

Horst H. Blechschmidt mit Bundesverdienstkreuz ausgezeichnet
H. 8, S. 105

Berthold Bonekamp neuer Vorstandsvorsitzender des DEBRIV
H. 1, S. 100

Hans-Jürgen Budde 65 Jahre
H. 8, S. 105

Rémy Carle 70 Jahre
H. 4, S. 99

Günter Czichon 70 Jahre
H. 6, S. 103

Hans-Otto von Danwitz im Ruhestand
H. 12, S. 105

Franz Daschner mit dem Deutschen Umweltpreis ausgezeichnet
H. 12, S. 105

Manfed Dittmer Geschäftsführer der Vasa Energy
H. 6, S. 103

Manfred Döss Generalbevollmächtigter der mg technologies ag
H. 9, S. 102

Adolf Ehret 75 Jahre
H. 10, S. 142

Rainer Frank Elsässer in den VGB-Vorstand gewählt
H. 11, S. 98

Fritz Endres aus SOBAG-Vorstand ausgeschieden
H. 1, S. 101

Reinhardt Ettemeyer gestorben
H. 2, S. 101

Hans-Ulrich Fabian 60 Jahre
H. 1, S. 100

Arno Gasteiger geht zur SAFE
H. 1, S. 100

Bernhard von Gersdorff 70 Jahre
H. 4, S. 99

Christian Gierend mit dem Heinrich-Mandel-Preis für Kraftwerkstechnik 2000 ausgezeichnet
H. 11, S. 98

Ulrich Gräber in den VGB-Vorstand gewählt
H. 11, S. 98

Rolf-Dieter Großkopf Vorsitzender der Geschäftsführung bei Krupp VDM
H. 6, S. 103

Adolf Harms gestorben
H. 4, S. 99

Anders Hedenstedt in den VGB-Vorstand gewählt
H. 11, S. 98

Heinrich Heisinger neuer Bereichsvorstand bei Siemens Energieübertragung und -verteilung
H. 10, S. 142

Werner Hellpoldt in der Grässlin-Geschäftsführung
H. 2, S. 101

Hans Jörg Henne aus dem VGB-Vorstand ausgeschieden
H. 3, S. 85

Hans Jörg Henne 65 Jahre
H. 4, S. 99

Klaus Henning wieder ins VDI-Präsidium gewählt
H.1, S. 100

Dieter Hickstein neuer Vorsitzender des Fachverbandes Galvanotechnik
H. 5, S. 126

Werner Hlubek übernimmt Vorstandsvorsitz beim RWTÜV
H.6, S. 103

Wener Hlubek mit der Guilleaume-Gedenkmünze ausgezeichnet und aus dem VGB-Vorstand ausgeschieden
H. 11, S. 98

Werner Hlubek neuer Aufsichtsratsvorsitzender der secunet
H. 12, S. 105

Thomas Hoffmann in den VGB-Vorstand gewählt
H. 11, S. 98

Klaus Hoppe ins Präsidium des VDI gewählt
H. 1, S. 100

Adolf Hüttl erhält Ehrendoktorwürde
H. 9, S. 102

Walter Hufnagel 25 Jahre bei der Nürnberger Messe
H. 12, S. 105

Gerd Jäger neuer VGB-Vorsitzender
H. 11, S. 98

Peter Käferstein 65 Jahre
H. 6, S. 103

Wolf-Dieter Kaiser 60 Jahre
H. 9, S. 102

Reinhard Kallenbach gestorben
H. 8, S. 105

Heinz Klinger nicht mehr VDEW-Präsident
H. 5, S. 126

Uwe Kolks Geschäftsführer bei PreussenElektra Engineering
H. 9, S. 102

Hermann Krämer 65 Jahre
H. 4, S. 99

Amy Krane in den Board of Directors von OASIS berufen
H. 10, S. 142

Hans-Georg Kumpfmüller Leiter des Siemens-Geschäftsgebietes Prozessautomatisierung
H. 4, S. 99

Wolf-Ingo Kunze Geschäftsführer der ARE
H. 8, S. 105

Karl Kußmaul 70 Jahre
H. 4, S. 99

Günter Lange erhielt Karl-Wellinger-Ehrenmedaille des VDI
H. 12, S. 105

Fritz Lehnen führt Engineering-Gruppe der mg technologies ag
H. 8, S. 105

Bernhard J.G. Leidinger wechselt zu Droege
H. 2, S. 101

Horst Lenkewitz im Ruhestand
H. 3, S. 85

Günter Marquis neuer VDEW-Präsident
H. 6, S. 103

Bernd Meyer als International Vice Chair berufen
H. 10, S. 142

Karl-Heinz Mayer erhält August-Thum-Medaille
H. 2, S. 101

Fritz Müller mit dem Bundesverdienstkreuz ausgezeichnet
H. 6, S. 103

Gunther Müller Geschäftsführer der Vasa Energy
H. 6, S. 103

Dirk Naarmann im Ruhestand
H. 9, S. 102

Heinz M. Nägel zum Geschäftsführer ernannt
H. 12, S. 105

Heinrich Novak 80 Jahre
H. 7, S. 90

Sergio Piras Vice President bei Varian
H. 4, S. 100

Philippe Pontet zum Geschäftsführer der CEA-Industrie ernannt
H. 3, S. 85

Gordon Riske in den DEUTZ-Vorstand berufen
H. 1, S. 101

Christoph von Roehl Vorstandsvorsitzender der RWE Umwelt AG
H. 1, S. 100

Ernst Rohstein Vorsitzender der Fachgemeinschaft Kompressoren, Druckluft- und Vakuumtechnik
H. 1, S. 101

Wilson Rudd Vice President bei Varian
H. 4, S. 100

Ansgar Schiffers gestorben
H. 1, S. 100

Peter Jürgen Schirmer im Ruhestand
H. 3, S. 85

Anton Schneider aus dem DEUTZ-Vorstand ausgeschieden
H. 1, S. 101

Klaus Schneiders in die Geschäftsführung von Krupp Uhde berufen
H. 1, S. 101

Günter Schöddert im Ruhestand
H. 4, S. 99

Ernst Schön 60 Jahre
H. 8, S. 105

Michael Schöneich Geschäftsführendes Präsidialmitglied beim VKU
H. 1, S. 101

Heinz Schott an der BVK-Verbandsspitze bestätigt
H. 9, S. 102

Thomas Schulenberg Leiter des Instituts für Kern- und Energietechnik
H. 6, S. 103

Uriel Sharef in den Siemens-Zentralvorstand aufgerückt
H. 10, S. 142

Harry Sneed bei Case Consult
H. 5, S. 126

Michael Stadler ABB-Vorstand für Stromübertragung
H. 1, S. 101

Erich K. Steiner technischer Geschäftsführer bei PreussenElektra Kernkraft
H. 4, S. 100

Erich K. Steiner in den VGB-Vorstand gewählt
H. 11, S. 98

Dirk Stelzner neuer Partner Relationship Manager bei IBS
H. 8, S. 105

Bernd Strasser in den Ruhestand verabschiedet
H. 2, S. 101

Joachim Strobel neuer Geschäftsführer bei ICT
H. 9, S. 103

Werner Suchanek 80 Jahre
H. 4, S. 99

Rolf Thaler im Vorstand der STEAG Electronic Systems
H. 2, S. 101

Bernd Thurat Vorsitzender der Geschäftsführung der Deutz Energy
H. 1, S. 101

Erich Tolksdorf 60 Jahre
H. 4, S. 99

Hans-Peter Tubandt im Ruhestand
H. 2, S. 101

Eberhard Uhlig führt RWE-Kraftwerke Frimmersdorf und Neurath
H. 3, S. 85

Georg Unland neuer Rektor in Freiberg
H. 5, S. 126

Die VGB-Ehrennadeln in Silber erhielten im Jahre 1999:

Werner Cleve, Braunschweigische Kohlen-Bergwerke AG, Helmstedt,

Heinrich Oberhansberg, RWE Energie AG, Essen,

Günter Paulin, STEAG AG, Essen,

Alois Patzelt, EnBW Kraftwerke AG, Kernkraftwerk Philippsburg GmbH, Philippsburg,

Professor (em.) Dr.-Ing. Rudolf Pruschek, Essen,

Professor (em.) Dr.-Ing., Paul-Michael Weinspach, Dortmund
H. 1, S. 100

Mit der VGB-Ehrennadel wurden im Jahre 1999 ausgezeichnet:

Horst Bieber, PreussenElektra Kraftwerke AG & Co. KG, Bremen,

Alexander Blank, EnBW Kraftwerke AG, Stuttgart,

Hans-Joachim Bölke, Dipl.-Ing., Bewag AG, Berlin,

Wolfgang Büldt, VEW EUROtest GmbH, Dortmund,

Dr.-Ing. Rudolf Danda, GEW AG, Köln,

Karl Ehrnsperger, Bayernwerk Kernenergie GmbH, München,

Kurt Fuhs, EnBW Kraftwerke AG, Philippsburg,

Ludwig Gockner, Wienstrom GmbH, Wien/Österreich,

Dr.-Ing. Ubbo Gramberg, BAYER AG, Leverkusen,

Nico Hansen, PreussenElektra Kernkraft, Brokdorf,

Helmut Hick, PreussenElektra Kraftwerke AG, Göppingen,

Gerhard Hopp, Bewag AG, Berlin,

Hans Irlbeck, Bayernwerk Kernenergie GmbH, München,

Frau Sinika Kurkela, Helsingin Energia, Helsinki/Finnland,

Wolfgang Löber, Bayernwerk Konventionelle Wärmekraftwerke GmbH, Aschaffenburg,

Georg Mair, Gemeinschaftskernkraftwerk Neckar GmbH, Neckarwestheim,

Volker Meyer, Gemeinschaftskernkraftwerk Grohnde GmbH, Emmerthal,

Hans Neubauer, Energieversorgung Oberhausen AG, Oberhausen,

Julius Palfalusi, EnBW Kraftwerke AG, Philippsburg,

Franz Rasmussen, SK Power Company, Ballerup/Dänemark,

Heinrich Röttinger, Dyckerhoff & Widmann AG, München,

Dr.-Ing. Hans Georg Rych, EVN Energie-Versorgung Niederösterreich AG, Maria Enzersdorf am Gebirge/Österreich,

Edgar Sander, Gemeinschaftskernkraftwerk Neckar GmbH, Neckarwestheim,

Georg Schäfer, RWE Energie AG, Essen,

Joachim Schrickel, EnBW Kraftwerke AG, Stuttgart,

Dr.-Ing. Bernd Schubert, Hamburgische Electricitäts-Werke AG, Hamburg,

Werner Schwarz, RWE Energie AG, Essen,

Dr.-Ing. Jörg Six, VEW ENERGIE AG, Dortmund,

Matthias Trost, Stadtwerke Flensburg GmbH, Flensburg,

Gerfried Weischede, Wuppertaler Stadtwerke AG, Wuppertal,

Horst Weisser, Lenzing AG, Lenzing/Österreich,

Karl Zölzer, PreussenElektra Engineering, Hannover
H. 1, S. 100

Ernst Welfonder 65 Jahre
H. 3, S. 85

Ernst August Wein im Ruhestand
H. 6, S. 103

Werner Wein 70 Jahre
H. 4, S. 99

Bernd Weinel neuer Finanzchef bei CeoTronics
H. 8, S. 105

Paul-Michael Weinspach 65 Jahre
H. 4, S. 99

Thorsten Werda leitet das Service-Center Berlin der Deutz AG
H. 6, S. 103

Götz Weyrich in die Geschäftsführung von Krupp Uhde berufen
H. 1, S. 101

Heribert J. Wiedenhues im Ruhestand
H. 1, S. 101

Wolfgang Wiesner 60 Jahre
H. 8, S. 105

Eberhard Wild aus dem VGB-Vorstand ausgeschieden
H. 3, S. 85

Sigmar Wittig 60 Jahre
H.2, S. 101

Aloys Wobben erhält Deutschen Umweltpreis
H. 12, S. 105

Michael Woelki in die Geschäftsführung der B/A/S berufen
H. 5, S. 126

Bernd Zellermann neu im SOBAG-Vorstand
H. 1, S. 101

Abwehr betrieblicher Störfälle – Brandschutz – Umweltschutz – Werkschutz
H. 6, S. 77

Abwehr betrieblicher Störfälle, Brandschutz – Umweltschutz – Werkschutz
H. 10, S. 143

Anforderungen an die Netzregelung bei der Deregulierung der Elektrizitätswirtschaft und erweitertem Vebundnetz
H. 8, S. 107

Automatisierungstechnik 2
H. 8, S. 106

Beton Brandschutz-Handbuch
H. 7, S. 90

Beuth-Kommentare, Baulicher Brandschutz im Industriebau, Kommentar zu DIN 18 230
H. 3, S. 86

Brennstoffzellen, VIK-Bericht Nr. 214, November 1999
H. 3, S. 85

Ciculating Fluidized Beds – Past, Present and Future
H. 4, S. 100

Die Bauvorschriften-CD
H. 10, S. 143

DIN-Taschenbuch Brandschutzmaßnahmen
H. 3, S. 87

Einführung in die Thermodynamik
H. 6, S. 105

Einheiten und Begriffe für physikalische Größen
H. 6, S. 105

Einheiten und Begriffe für physikalische Größen, DIN Taschenbuch 22 (Normen)
H. 4, S. 100

Elektro-Praxis, Brandschutz für Kabel und Leitungen
H. 3, S. 87

Feldbussysteme
H. 9, S. 107

Führung in EVU
H. 9, S. 107

Gasturbinen-Handbuch
H. 8, S. 107

Gefährdungsabschätzung von Umweltschadstoffen (GvU)
H. 6, S. 77

Größen und Einheiten in Technik und fachbezogenen Naturwissenschaften
H. 8, S. 106

Jahrbuch Bergbau, Erdöl und Erdgas, Petrochemie, Elektrizität, Umweltschutz 2000
H. 3, S. 86

Kennziffernkatalog Investitionsvorbereitung in der Energiewirtschaft – Ausgabe 1998
H. 10, S. 143

Lexikon Brand- und Explosionsschutz
H. 7, S. 90

Lexikon der Installationstechnik
H. 6, S. 105

Lexikon der Installationstechnik, VDE-Schriftenreihe Normen verständlich, Band 52
H. 4, S. 100

Modern English Training for Industry
Englisch zur Weiterbildung von Ingenieuren. 2., verbesserte Auflage
H. 3, S. 86

Praxishandbuch Abfallverbrennung – Technik und Betrieb thermischer Behandlungsverfahren
H. 12, S. 101

Ratgeber für Gasturbinenbetreiber
H. 3, S. 86

Regel- und Rechenabschaltungen in der Prozessautomatisierung
H. 6, S. 104

Regenerative Energiesysteme: Technologie – Berechnung – Simulation, 2. Auflage
H. 3, S. 85

Rückstände aus der Müllverbrennung
H. 6, S. 104

Schutz in elektrischen Anlagen – Schutz gegen gefährliche Körperströme
H. 8, S. 107

Sicherheitskultur: Über die reine Sicherheitstechnik hinaus gedacht
H. 12, S. 101

Sicherheitstechnik
H. 6, S. 105, H. 8, S. 107, H. 9, S. 103

Taschenbuch Betrieblicher Brandschutz
H. 6, S. 104

Thermodynamik, Teil 1: Einstoffsysteme. Grundlagen und technische Anwendungen
H. 8, S. 106

UB MEDIA CD-ROM
H. 10, S. 142

Verwertung von Abfällen in und auf Böden
H. 6, S. 104

VIK-Textsammlung Energierecht
H. 3, S. 85